

20694 Vorlesung mit Übungen Strukturgeologie und Tektonik

Module:

Fachkompetenz Geologie

Wahlmodul Geologie

Voraussetzung:

System Erde I und II

Übungen System Erde I und II

Leistungsüberprüfung:

8 Übungen PASS/FAIL

I Schlussprüfung benotet

2KP

Bestehen = Voraussetzung für ↗

I4358 Exkursion Geländepraktikum II (Geologie)

Modul:

Methodenkompetenz Geologie

Voraussetzung:

Kartenlesen und Profilzeichnen

Strukturgeologie und Tektonik

Leistungsüberprüfung:

Kartierung, Exkursionsbericht (PASS-FAIL)
(3KP)

Semesterplan FS 2016

	Datum		Thema		Übungen	abgeben
1	26. Feb.	1	Druck, Spannung, Mohr Kreis, Spannungsfeld	1	Stress	29. 3.
2	4. März	2	Deformation, Strainellipse, strain marker, Strainmessung	2	Strain	29. 3.
3	11. März		fällt aus (Tromsø workshop)			
4	18. März		fällt aus (Tromsø workshop)			
5	25. März		fällt aus (Ostern)			
6	1. April	3	Mohr-Coulomb, Reibung, Klüfte und Brüche	3	Mohr-Coulomb	6. 4.
7	8. April	4	Bruchsysteme, Stereonetz Verwerfungen	4	Stereonetz	13. 4.
8	15. April	5	Scherzonen, Foliation, Lineation	5	Trajektorien	27. 4.
9	22. April		fällt aus (EGU)			
10	29. April	6	Falten, Geometrie, Faltenbildung	6	Devils Island	11. 5.
11	6. Mai		fällt aus (Himmelfahrt)			
12	13. Mai	7	Mikrostrukturen, Deformationsmechanismen, Rheologie	7	Inverse SURFOR	18. 5.
13	20. Mai	8	Subduktion, Gebirgsbildung, Transformstörungen	8	Critical taper	25. 5.
14	27. Mai	9	Extensionstektonik, rifting, MOR, MCC, LANF			
15	3. Juni	10	Test			

Strukturgeologie und Tektonik

Literatur

- Fossen, H. (2012) Structural Geology, Cambridge University Press.
- Twiss, R.J., Moores, E.M. (2007) Structural Geology. W.H. Freeman.
- Passchier, C.W., Trouw, R.A.J. (2005) Microtectonics. Springer Verlag.

Deutsch:

- Frisch, W., Meschede, M. (2009) Plattentektonik. Primus Verlag.
- Eisbacher, G.H. (1991) Einführung in die Tektonik, Enke Verlag.

Klassiker:

- Moores, E.M., Twiss, R.J. (1996) Tectonics. W.H. Freeman.
- Hobbs, B.E., Means, W.D., Williams, P.F. (1976) An Outline of Structural Geology. Wiley International.
- Ramsay, J.G., Huber, M.I. (1987) Modern Structural Geology I & II. Academic Press.

Theoretisch-mathematisch:

- Pollard, D.D., Fletcher, R.C. (2005) Structural geology. Cambridge University Press.
- Means, W.D. (1976) Stress and Strain. Springer Verlag.
- Nye, J.F. (1985) Physical properties of crystals, Clarendon Press.

Strukturgeologie und Tektonik

Internet

E-modules by H. Fossen (<http://folk.uib.no/nglhe/>):

- To go with book:
 - <http://folk.uib.no/nglhe/StructuralGeoBookEmodules.html>
- Structural Geology Primer:
 - <http://folk.uib.no/nglhe/Emodules/Structure%20intro%20module.swf>

Twiss and Moores (Figures only - 47 MB download):

- <http://www.whfreeman.com/Catalog/product/structuralgeology-secondedition-twiss>

Burg, ETH Zürich (PDF):

- Einführung in die Strukturgeologie:
 - <http://e-collection.library.ethz.ch/eserv/eth:24456/eth-24456-01.pdf>

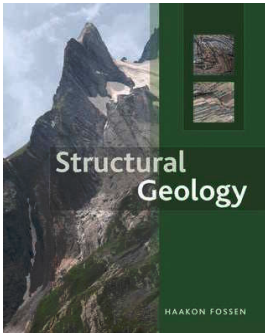


Table of Contents

diese Vorlesung

Preface

List of symbols

1. Structural geology and structural analysis	2
2. Deformation	2
3. Strain in rocks	1
4. Stress	1
5. Stress in the lithosphere	1
6. Rheology	7
7. Fracture and brittle deformation	3
8. Faults	4
9. Kinematics and paleostress in the brittle regime	-
10. Deformation at the microscale	7
11. Folds and folding	5
12. Foliation and cleavage	6
13. Lineations	6
14. Boudinage	5
15. Shear zones and mylonites	5
16. Contractional regimes	9
17. Extensional regimes	8
18. Strike-slip, transpression and transtension	10
19. Salt tectonics	-
20. Balancing and restoration	-

Appendix A. More about the deformation matrix

Appendix B. Stereographic projection

Glossary

References

Index

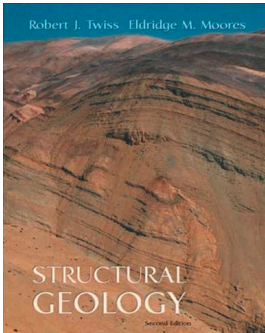


Table of Contents

diese Vorlesung

I. Introduction

Part I. Brittle Deformation

2. Fractures and Joints	3
3. Introduction to Faults	4
4. Normal Faults	4
5. Thrust Faults	4
6. Strike Slip Faults	4
7. Stress	1
8. Mechanics of Fracturing and Faulting: Experiment and Theory	3
9. Mechanics of Natural Fractures and Faults	4

Part II. Ductile Deformation

10. The Description of Folds	5
11. Foliations and Lineations in Deformed Rocks	6
12. Geometry of Homogeneous Strain	2
13. Kinematic Analysis of Folds	5
14. Analysis of Foliations and Lineations	6
15. Observations of Strain in Deformed Rocks	5

Part III. Rheology

16. Macroscopic Aspects of Rock Deformation: Rheology and Experiment	-
17. Microscopic Aspects of Ductile Deformation: Mechanisms and Fabrics	7
18. Scale Models and Quantitative Models of Rock Deformation	-

Part IV. Regional Associations of Structures

19. Development of Structures at Active Plate Margins	8, 9, 10
20. Anatomy and Tectonics of Orogenic Belts	9



I Druck - Spannung - Mohrkreis - Spannungsfeld

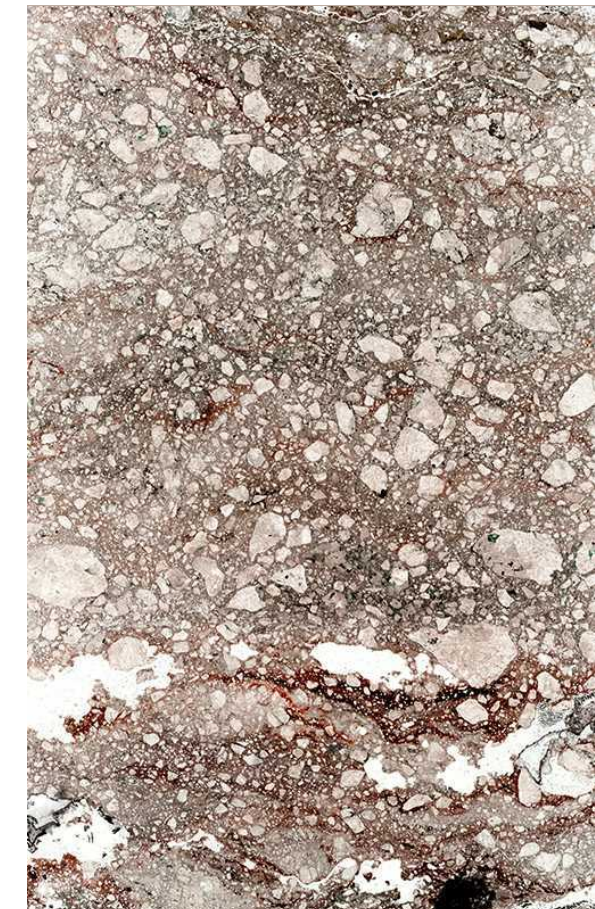
- VL-Themen:
- Druck und Spannung in der Erdkruste
 - Spannungsellipse
 - Spannungstensor
 - Hauptspannungen
 - Mohr-Kreis
 - Mohr'sche Brüche
 - Spannungszustände (Experiment & Natur)
 - Spannungsmessungen
 - Spannungsfeld

Druck und Spannung

Kontinuumsmechanik

Material ist

- kontinuierlich (keine Diskontinuitäten, keine Partikel etc.)
- homogen
- isotrop



Druck

Gravitation (Kraft)

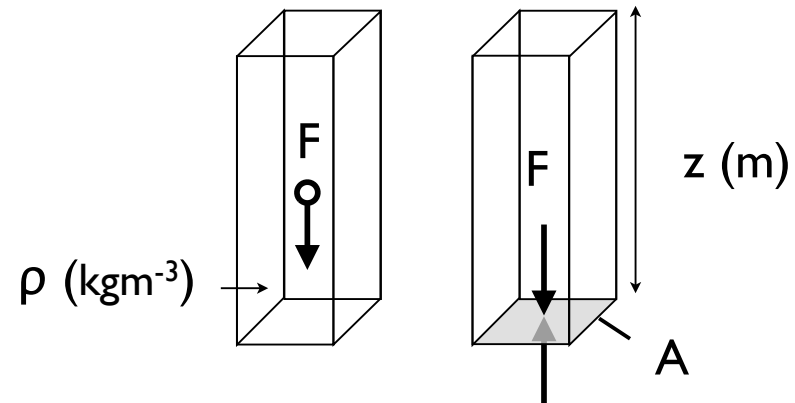
$$F = m \cdot g = \rho \cdot V \cdot g = \rho \cdot z \cdot A \cdot g$$

Kraft = Masse · Beschleunigung

$$1 \text{ Newton (N)} = 1 \text{ kg} \cdot \text{m} / \text{s}^2 = 1 \text{ kgms}^{-2}$$

$$g = 9.81 \text{ ms}^{-2}$$

$$\rho = 2.85 \cdot 10^3 \text{ kgm}^{-3}$$



$$\begin{aligned} \text{Druck} &= p = F/A \\ \text{Spannung} &= \sigma = F/A \end{aligned}$$

Lithostatischer Druck (= Gravitation / Fläche)

$$\sigma_{\text{lith}} = \rho \cdot g \cdot V / A = \rho \cdot g \cdot (z \cdot A) / A = \rho \cdot g \cdot z$$

Spannung = Kraft / Fläche

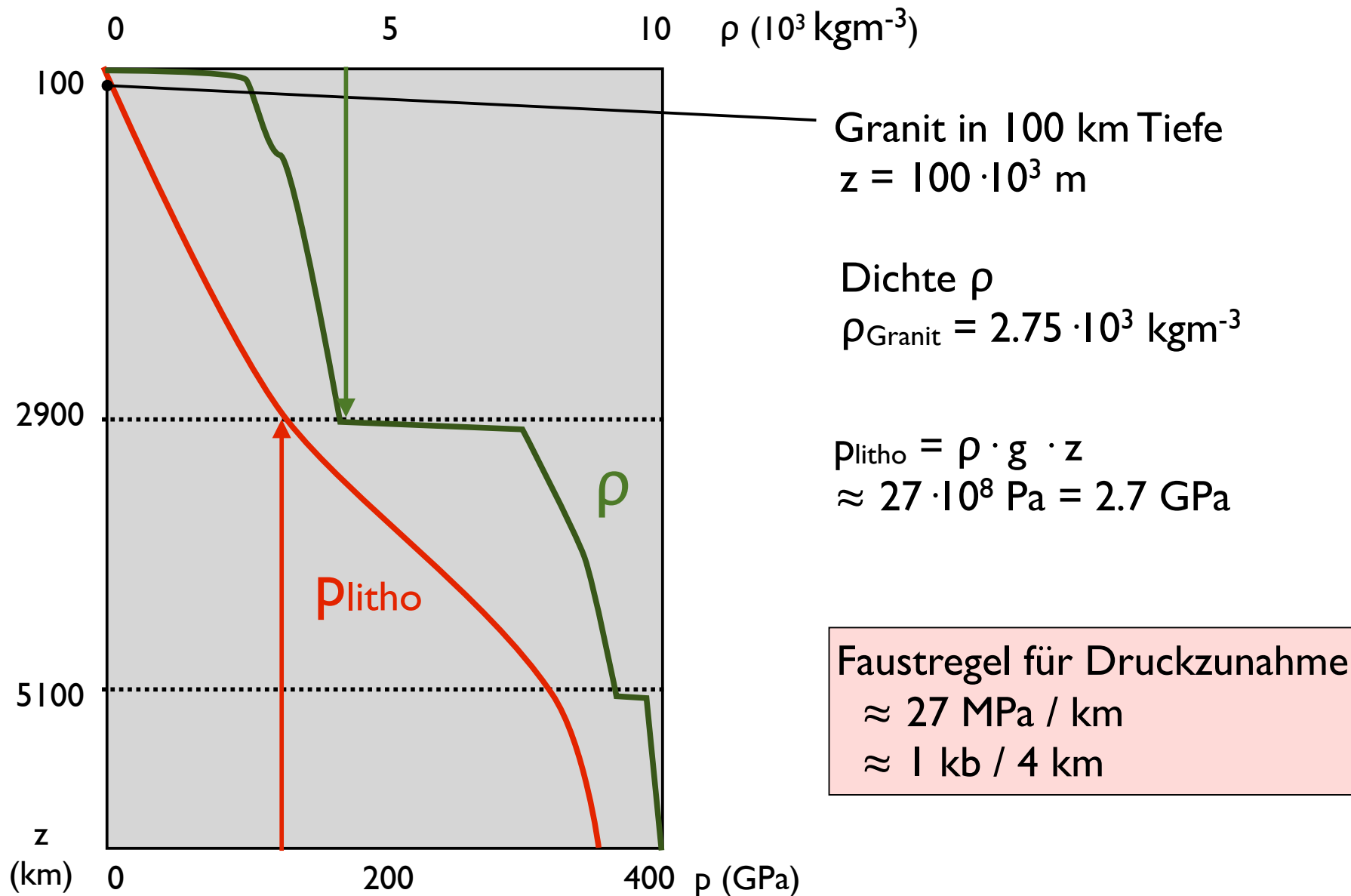
$$1 \text{ Pascal (Pa)} = 1 \text{ N} / \text{m}^2 = 1 \text{ Nm}^{-2}$$

Beispiel:

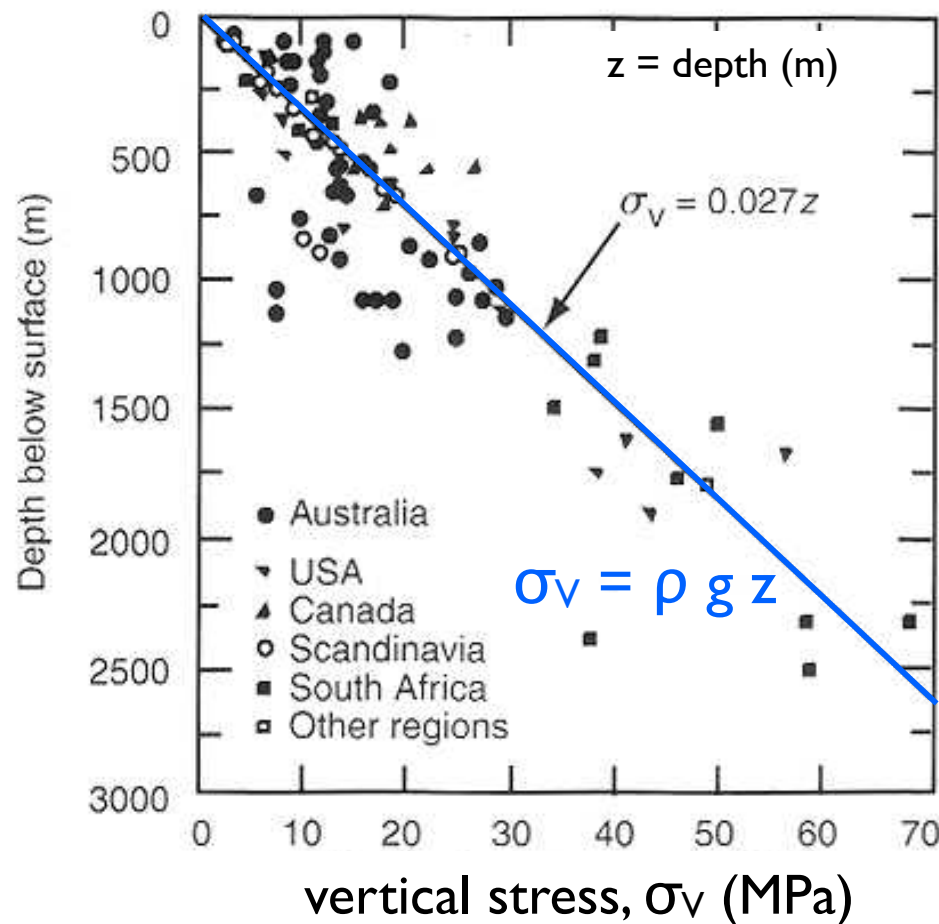
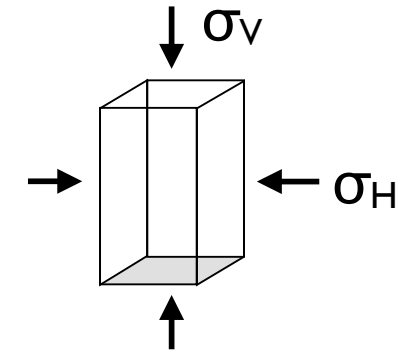
$$\sigma_{\text{lith}} = f(z) = 27'959 \text{ Pa} / \text{m} = 28 \text{ MPa} / \text{km}$$

Pascal	andere Einheiten
10^2 Pa (1 Hektopascal)	1 mbar
10^5 Pa	1 bar
100 MPa	1 kb
1 GPa	10 kb
10^5 Pa	14.5 psi (pound / inch ²)
1 MPa	0.145 kpsi

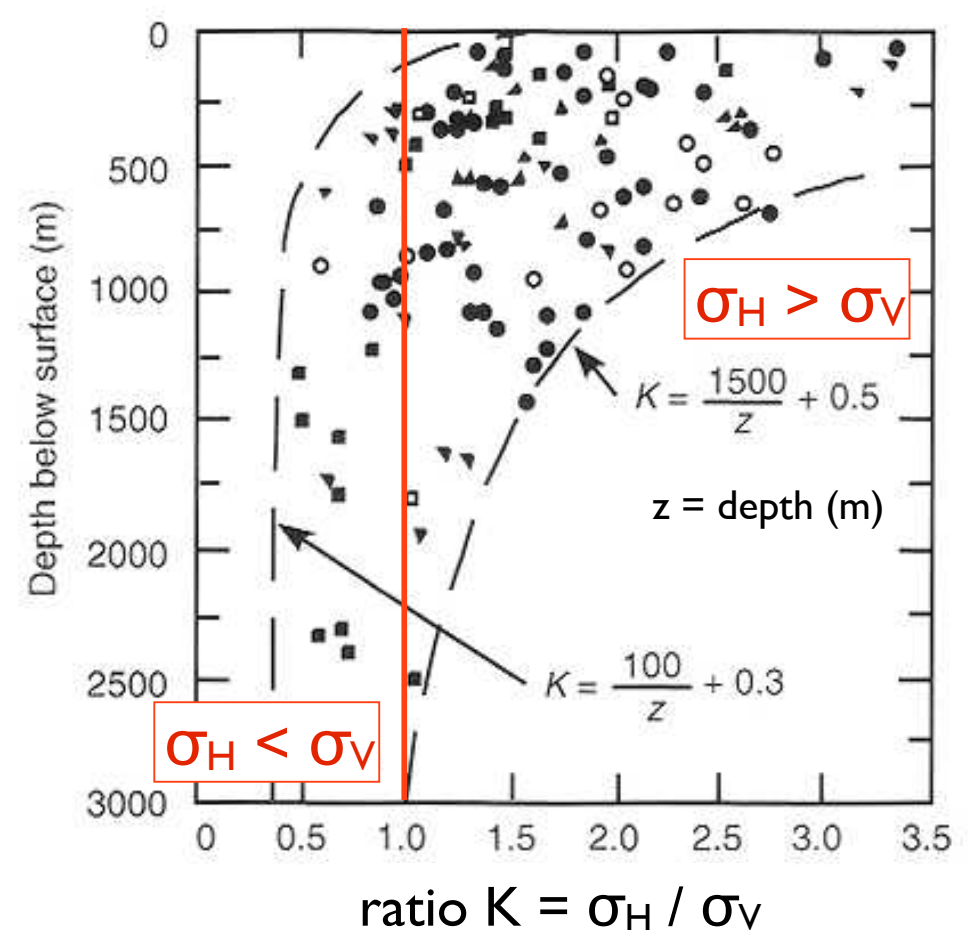
Lithostatischer Druck



Spannungsmessungen

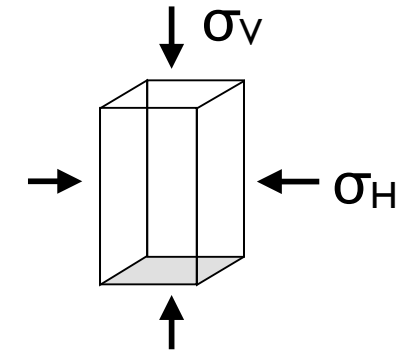
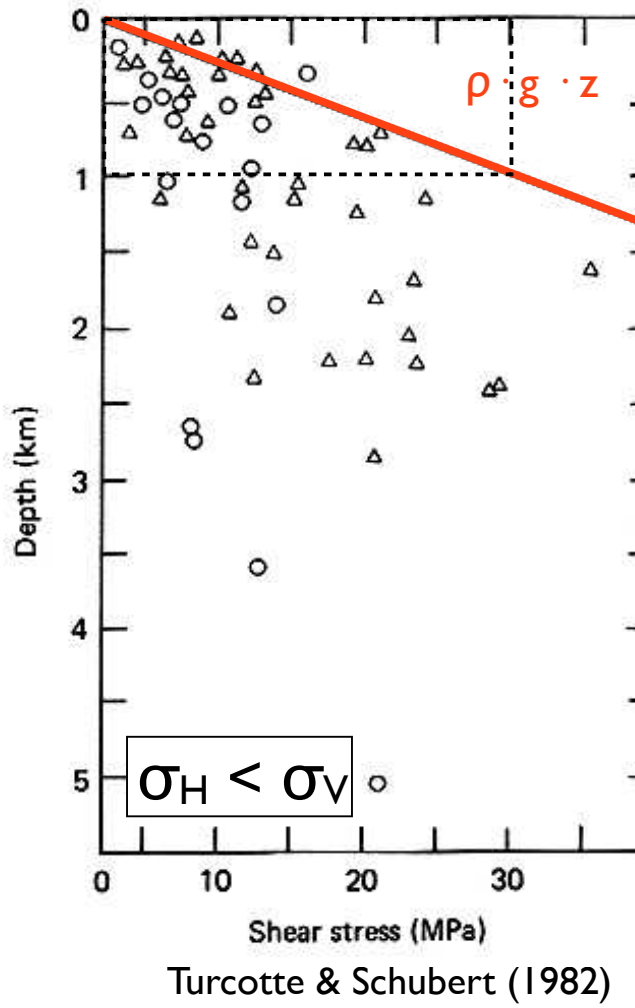
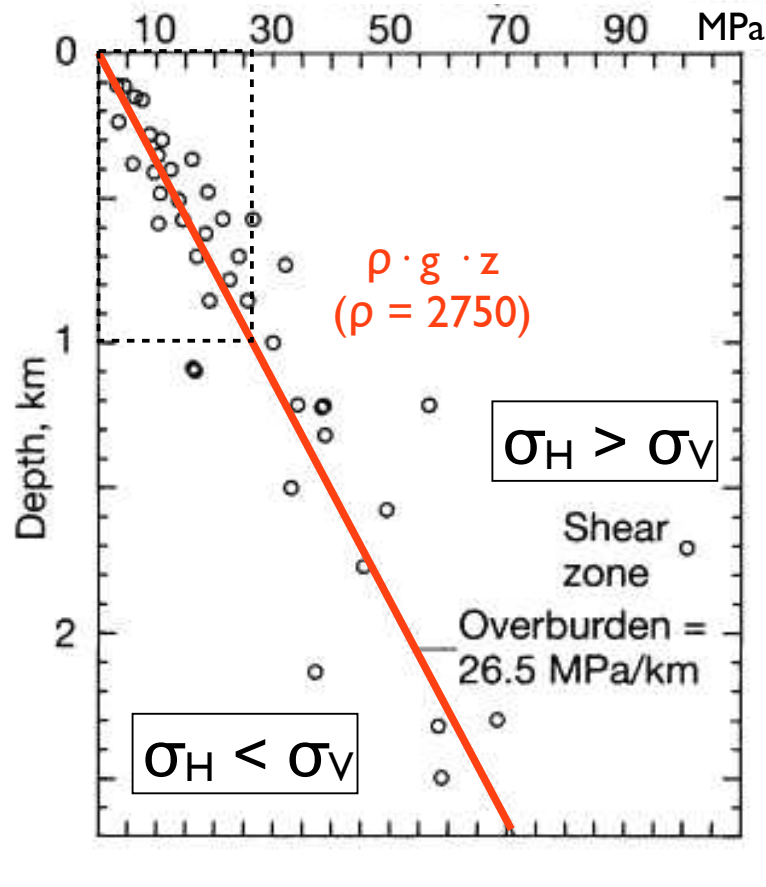


Fletcher & Pollard (2005)



mit zunehmender Tiefe: $\sigma_H \leq \sigma_V$

Spannungsmessungen



$$\rho \cdot g \cdot z$$

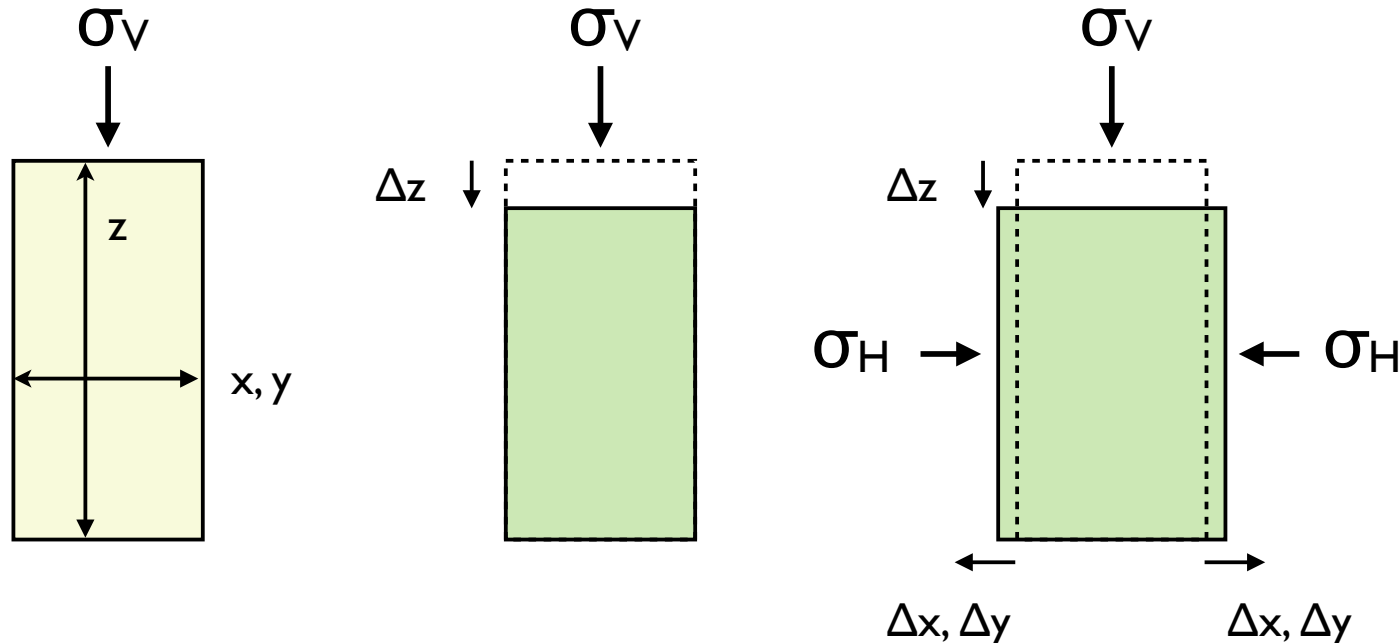
= lithostatic
pressure

= overburden
pressure

$$\tau = \frac{1}{2} (\sigma_V - \sigma_H)$$

wenn $\sigma_V \approx \sigma_H$
 $\tau \rightarrow 0$

Elastizitätskonstante E, v



$$e_z = \sigma_v / E = \sigma_z / E$$

$$e_z = \Delta z / z$$

**E = Elastizitätsmodul
(Young's module)**

$$e_x = e_y = v \cdot \sigma_z / E$$

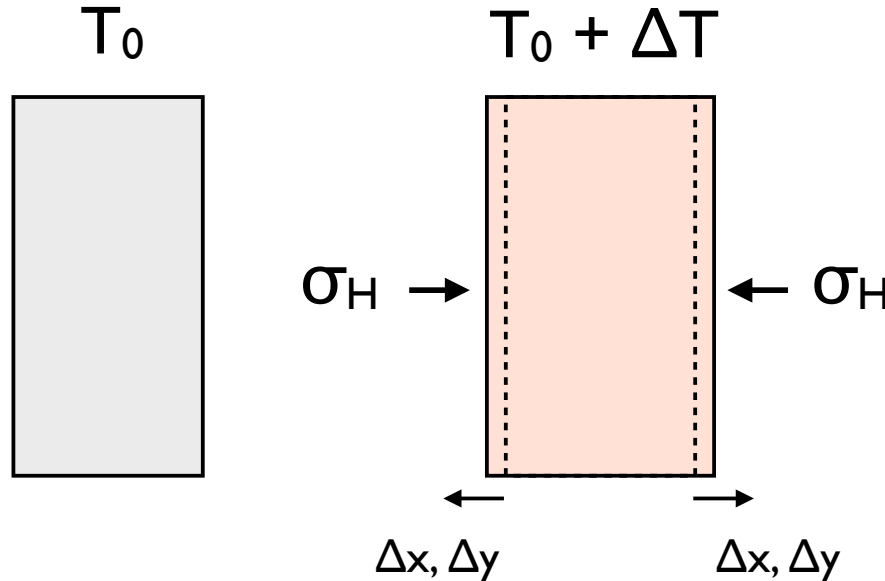
$$e_x = \Delta x / x \quad e_y = \Delta y / y$$

**v = Poissonzahl
(Querdehngszahl)**

$$\sigma_h = K \cdot \sigma_v = \frac{v}{(1-v)} \cdot \sigma_v$$

$$\sigma_h = \sigma_x = \sigma_y$$

Wärmeausdehnung α



$$\Delta x = \Delta y = \alpha \cdot x_0 \cdot \Delta T$$

α = Längenausdehungs koeffizient
(thermal expansion coefficient)

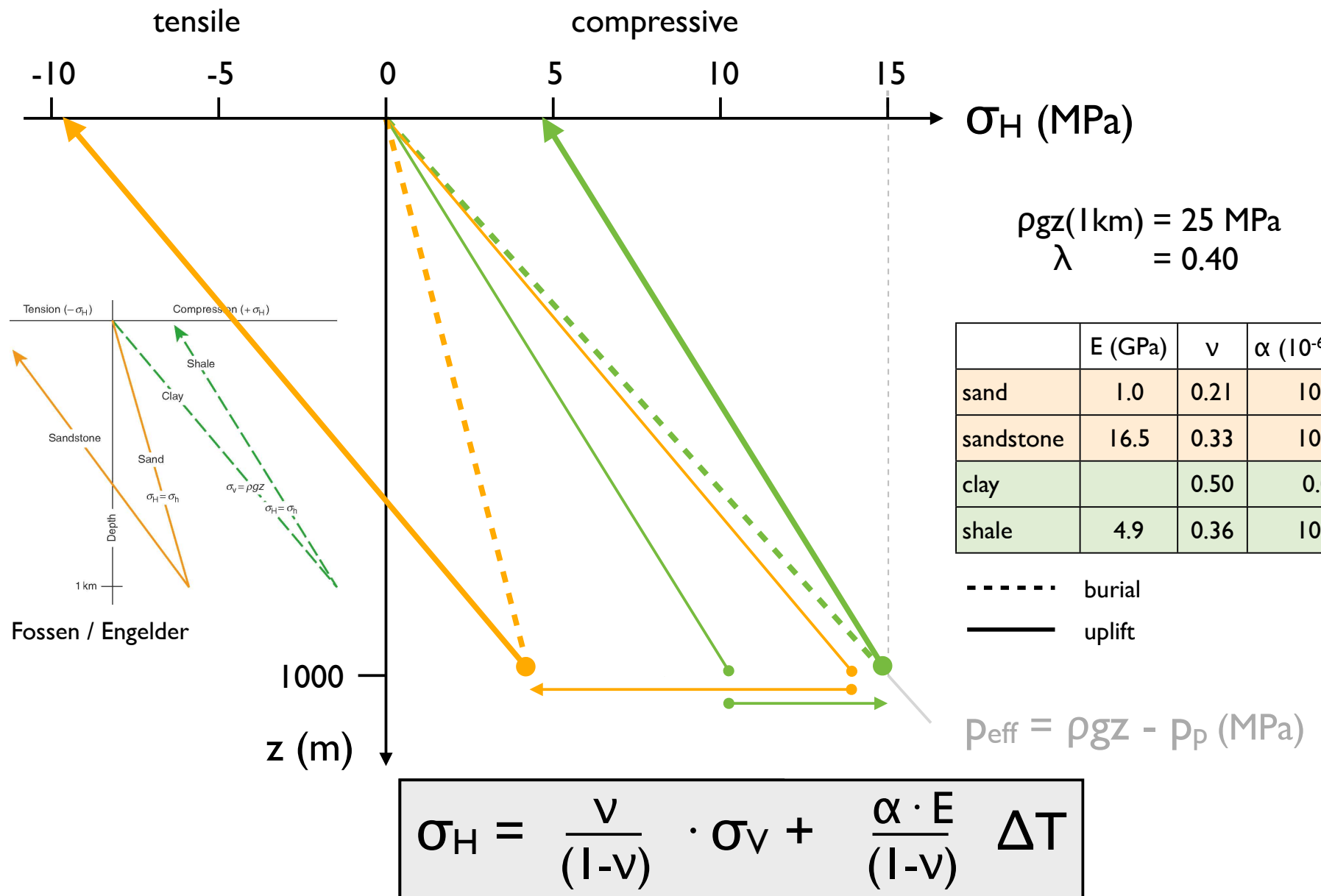
$$\sigma_H = \frac{E}{(1-v)} \cdot \alpha \cdot \Delta T$$

$$\sigma_H = \sigma_x = \sigma_y$$

zusammen:

$$\sigma_H = K \cdot \sigma_V = \frac{v}{(1-v)} \cdot \sigma_V + \frac{E}{(1-v)} \cdot \alpha \cdot \Delta T$$

Stress during burial and uplift



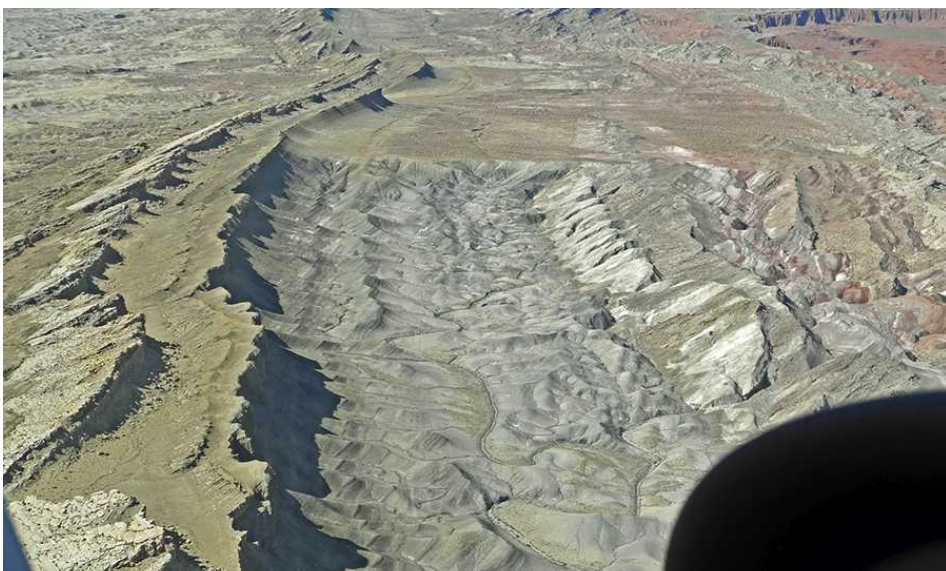
Beispiele



Fossen Structural Geology: Colorado River



<http://www.igiltd.com/petroleum-geology.html>



<http://written-in-stone-seen-through-my-lens.blogspot.ch/2011/09/flight-plan-part-ii-geology-of-circle.html>

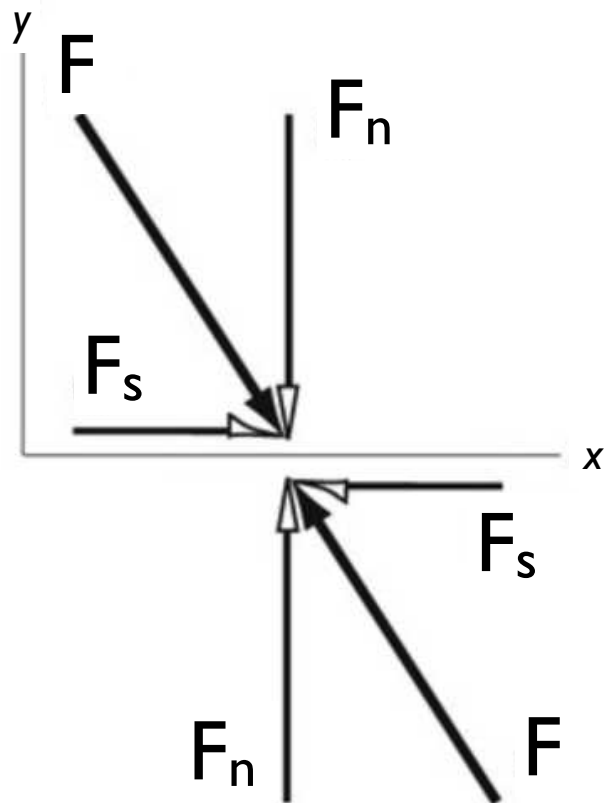


http://academic.brooklyn.cuny.edu/geology/leveson/core/topics/weathering/picture_gallery/display/yorkshire_27.html

Spannungsellipse

Gleichgewicht der Kräfte

Kräfte

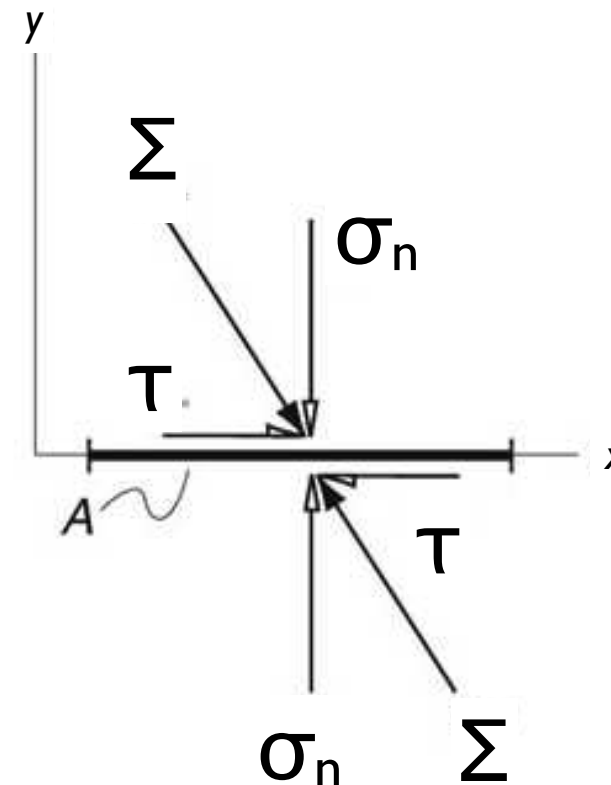


F_n, F_s : Normal- und Scherkomponenten

Kräftegleichgewicht

$$F_{\text{oben}} = F_{\text{unten}}$$

Kräfte = Spannung · Fläche

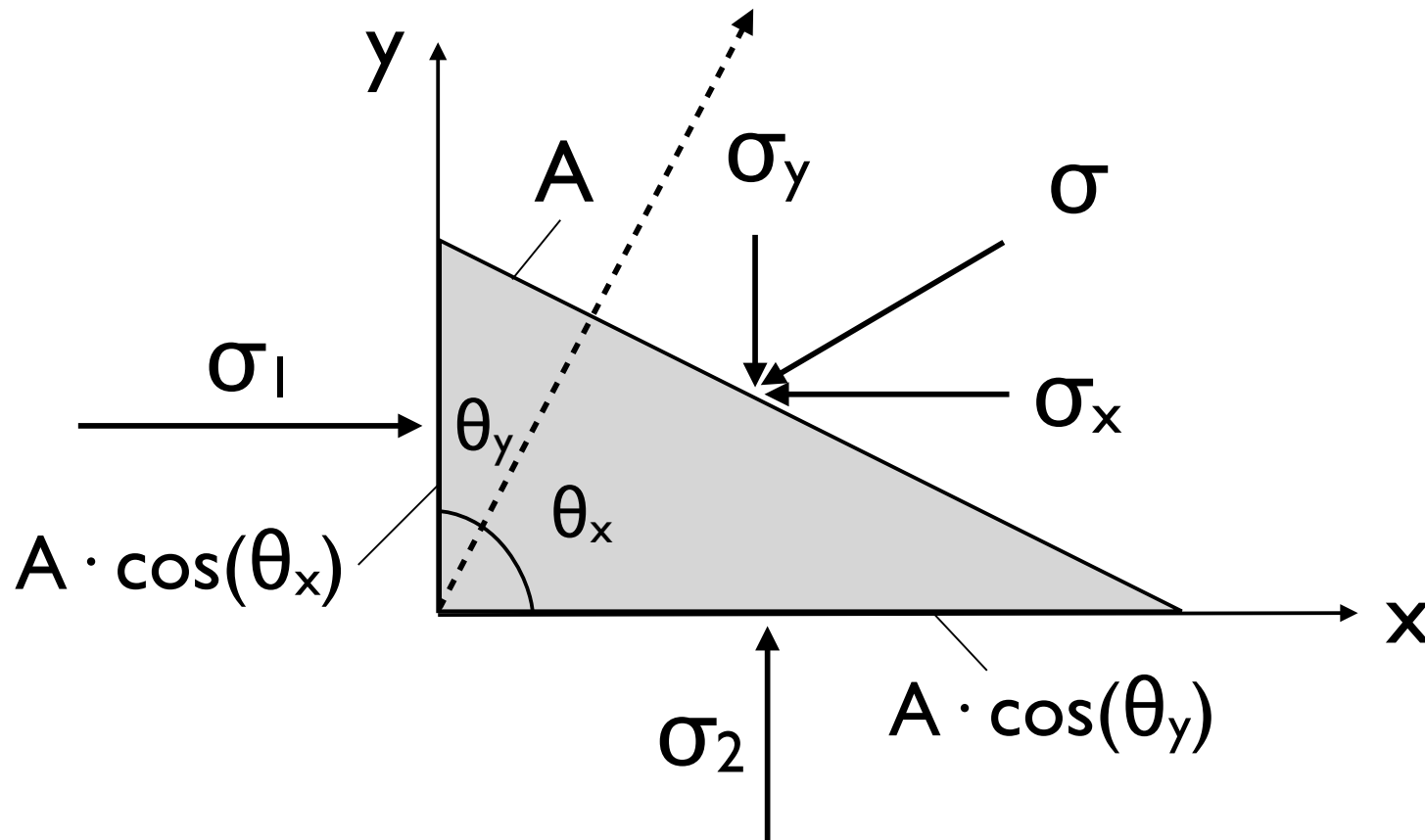


σ, τ : Normal- und Scherkomponenten

'traction' - Gleichgewicht

$$\Sigma_{\text{oben}} = \Sigma_{\text{unten}}$$

Gleichgewicht der Kräfte



Kräftegleichgewicht

$$F_x\text{-Richtung} = F_{-x}\text{-Richtung}$$

$$F_y\text{-Richtung} = F_{-y}\text{-Richtung}$$

$$\sigma_1 \cdot A \cdot \cos(\theta_x) = \sigma_x \cdot A$$

$$\sigma_2 \cdot A \cdot \cos(\theta_y) = \sigma_y \cdot A$$

Spannungsellipse / - ellipsoid

Gleichgewicht:

$$\sigma_1 \cdot A \cdot \cos(\theta_x) = \sigma_x \cdot A$$

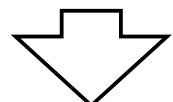
$$\sigma_2 \cdot A \cdot \cos(\theta_y) = \sigma_y \cdot A$$

$$l_x = \cos(\theta_x)$$

$$l_y = \cos(\theta_y) = \sin(\theta_x)$$

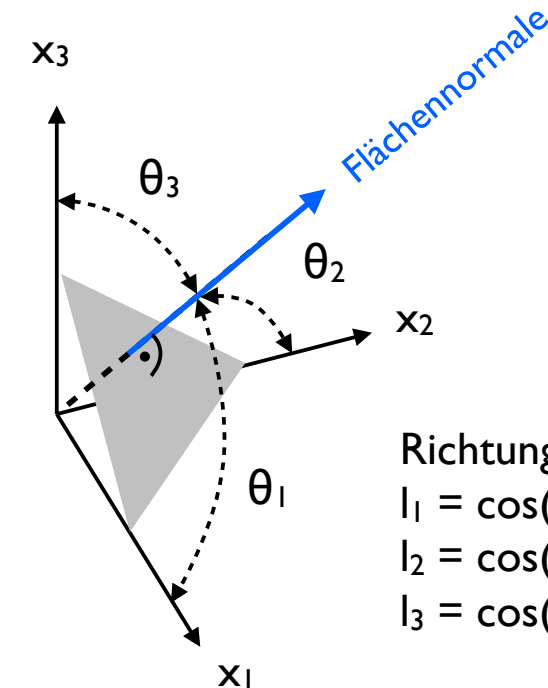
$$l_x = \sigma_x / \sigma_1$$

$$l_y = \sigma_y / \sigma_2$$



$$\frac{\sigma_x^2}{\sigma_1^2} + \frac{\sigma_y^2}{\sigma_2^2} = 1$$

$$\cos^2 \theta + \sin^2 \theta = 1$$

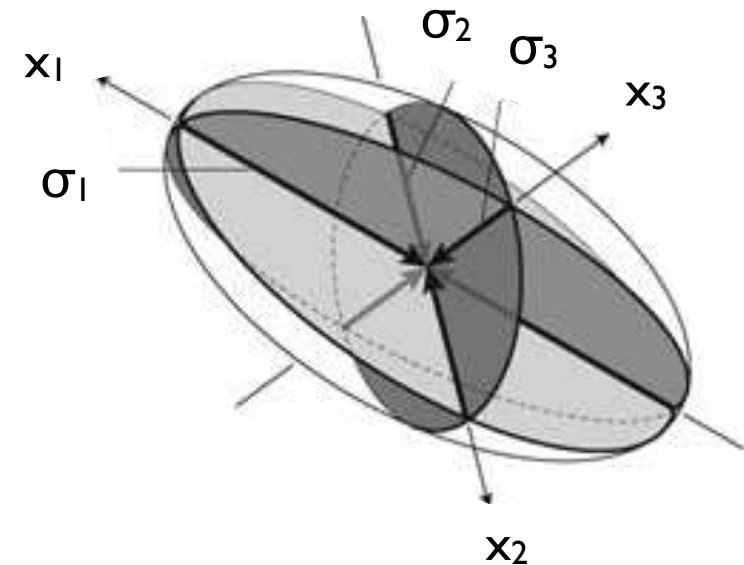
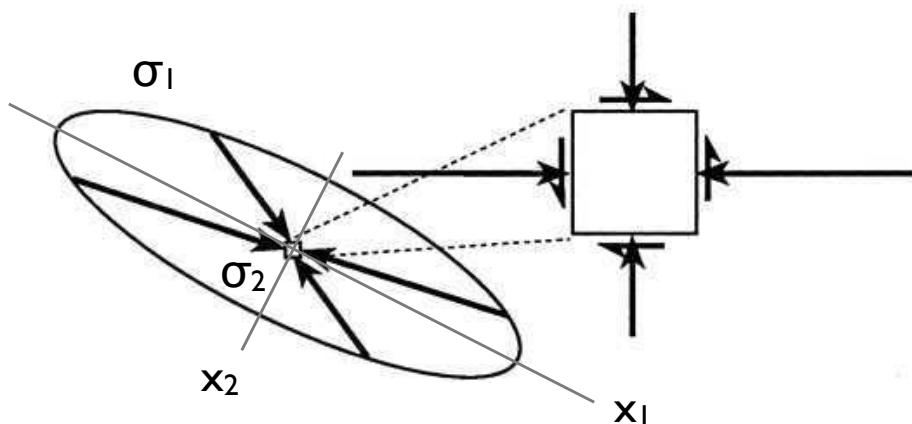


Richtungscosinus
 $l_1 = \cos(\theta_x)$
 $l_2 = \cos(\theta_y)$
 $l_3 = \cos(\theta_z)$

analog in 3D:

$$\frac{\sigma_x^2}{\sigma_1^2} + \frac{\sigma_y^2}{\sigma_2^2} + \frac{\sigma_z^2}{\sigma_3^2} = 1$$

Spannungsellipse / - ellipsoid



Hauptkomponenten

$$\sigma_1 > \sigma_2 > \sigma_3$$

= Achsen des Spannungsellipsoids

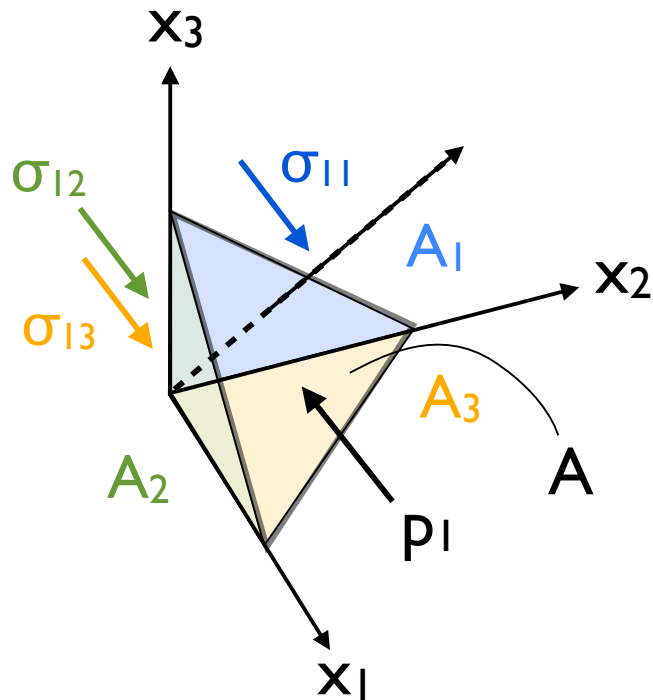
$$\frac{\sigma_x^2}{\sigma_1^2} + \frac{\sigma_y^2}{\sigma_2^2} = 1$$

$$\frac{\sigma_x^2}{\sigma_1^2} + \frac{\sigma_y^2}{\sigma_2^2} + \frac{\sigma_z^2}{\sigma_3^2} = 1$$

Spannungstensor

Spannungstensor

der Spannungstensor verknüpft zwei Vektoren:
den 'Spannungsvektor' (traction) bzw. die Kraft, p_i , und die
Flächennormale, l_i , auf welche die Kraft wirkt.



Schreibweise:

σ_{12} in Richtung x_2 auf Fläche

Gleichgewicht:

$$p_1 = l_1 \sigma_{11} + l_2 \sigma_{12} + l_3 \sigma_{13}$$

$$p_2 = l_1 \sigma_{21} + l_2 \sigma_{22} + l_3 \sigma_{23}$$

$$p_3 = l_1 \sigma_{31} + l_2 \sigma_{32} + l_3 \sigma_{33}$$

$$p_i = \sigma_{ij} \cdot l_j$$

p_i = Kraftkomponenten

σ_{ij} = Spannungstensor

l_j = Richtungscosinus

Spannungstensor - Symmetrie

der 3-dimensionale Spannungstensor beschreibt den Spannungszustand auf drei orthogonalen Flächen.

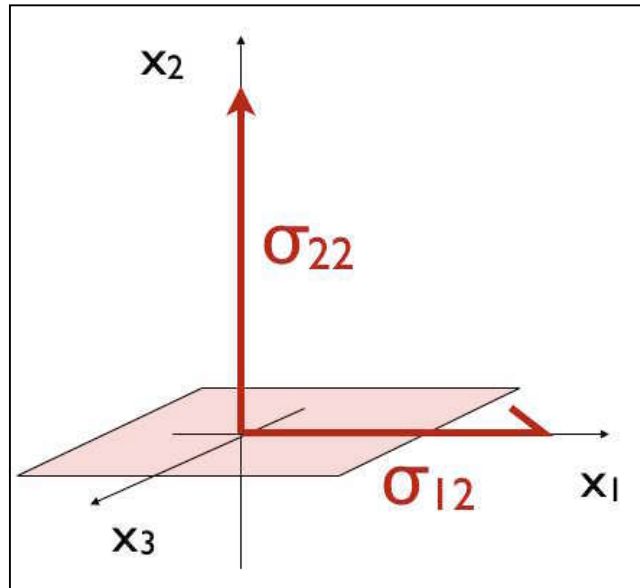
$$\boldsymbol{\sigma}_{ij} = \begin{bmatrix} \sigma_{11} & \sigma_{12} & \sigma_{13} \\ \sigma_{21} & \sigma_{22} & \sigma_{23} \\ \sigma_{31} & \sigma_{32} & \sigma_{33} \end{bmatrix}$$

Im Gleichgewicht muss der 3-dimensionale Spannungstensor symmetrisch sein.

$$\sigma_{ij} = \sigma_{ji}$$

wo $i=j$: Normalspannungen
wo $i \neq j$: Scherspannungen

Spannungskomponenten, -vorzeichen



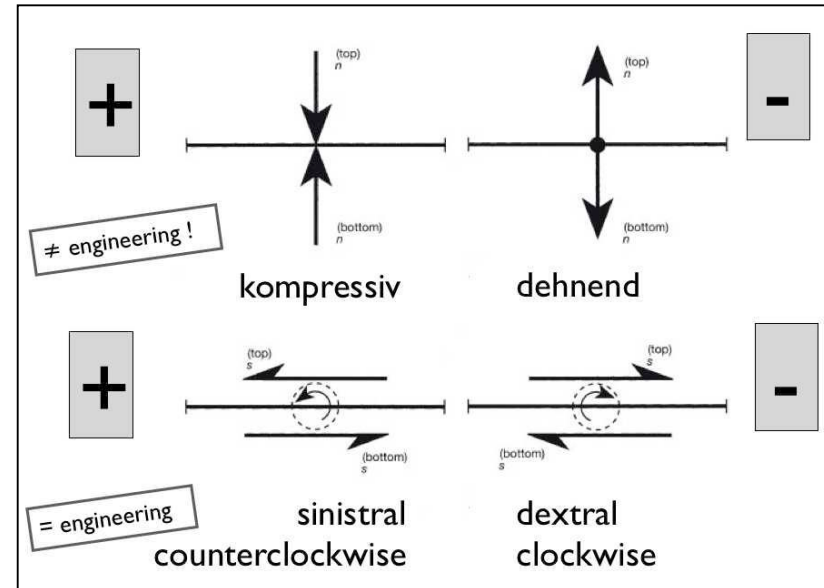
Bezeichnungen:

Normalkomponenten

σ_{11} σ_{22} σ_{33}

Scherkomponenten oder

σ_{12}	σ_{13}	σ_{21}	τ_{12}	τ_{13}	τ_{21}
σ_{23}	σ_{31}	σ_{32}	τ_{23}	τ_{31}	τ_{32}



Vorzeichen:

Normalkomponenten
kompressiv = positiv

Scherkomponenten
sinsitral = positiv

Hauptspannungen

Hauptspannungen und Invariante

Die Hauptspannungen gewinnt man aus den Eigenwerten des Spannungstensors. In Richtung der Hauptspannungen sind die Scherspannungen = 0

Hauptspannungen
 $\sigma_1 > \sigma_2 > \sigma_3$

$$\begin{bmatrix} \sigma_1 & 0 & 0 \\ 0 & \sigma_2 & 0 \\ 0 & 0 & \sigma_3 \end{bmatrix}$$

1. Invariante I_1 Spur $(\sigma_{11} + \sigma_{22} + \sigma_{33})$
 $= \sigma_{ii}$

2. Invariante I_2

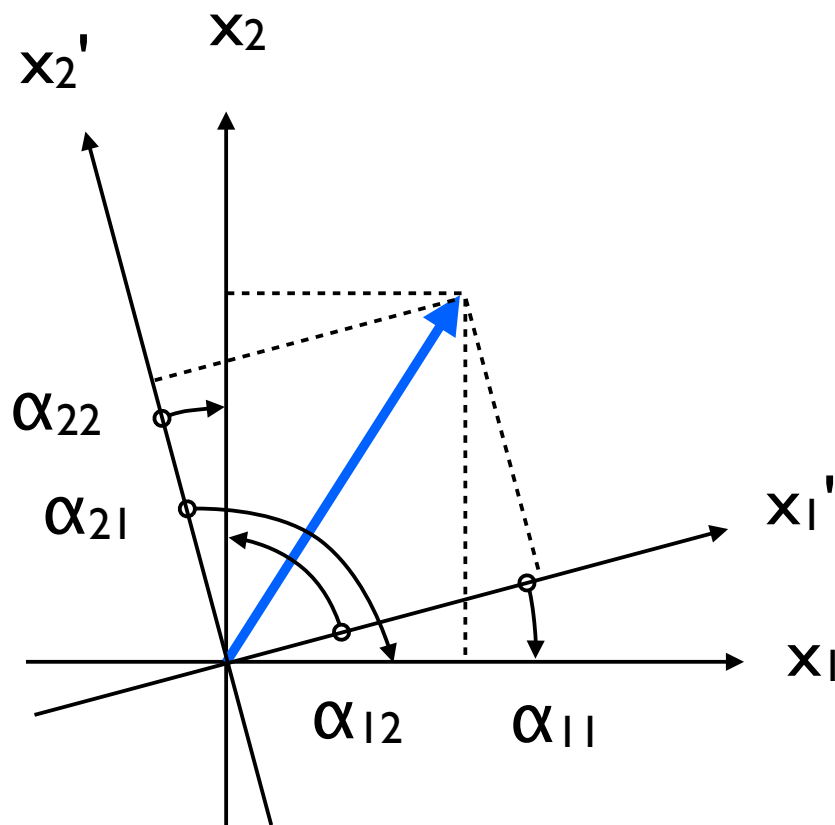
$$\sigma_{11}\sigma_{22} + \sigma_{22}\sigma_{33} + \sigma_{33}\sigma_{11} - \sigma_{12}^2 - \sigma_{23}^2 - \sigma_{31}^2$$
$$= 1/2 (\sigma_{ii}\sigma_{jj} - \sigma_{ij}\sigma_{ji})$$

3. Invariante I_3 Determinante $= \det(\sigma_{ij})$

Invariante sind gegenüber Koordinatentransformationen invariant...
Praktisch, denn die Grösse der Spannung sollte nicht vom Koordinatensystem abhängen, in welchem sie beschrieben wird.

Koordinatentransformation

Koordinatentransformation 2 Dimensionen



$$a_{ij} = \begin{bmatrix} a_{11} & a_{12} \\ a_{21} & a_{22} \end{bmatrix}$$

$$\begin{aligned} a_{11} &= \cos(\alpha_{11}) = \cos(\alpha) \\ a_{12} &= \cos(\alpha_{12}) = \sin(\alpha) \\ a_{21} &= \cos(\alpha_{21}) = -\sin(\alpha) \\ a_{22} &= \cos(\alpha_{22}) = \cos(\alpha) \end{aligned}$$

$$a_{ij} = \begin{bmatrix} \cos(\alpha) & \sin(\alpha) \\ -\sin(\alpha) & \cos(\alpha) \end{bmatrix}$$

Koordinatentransformation

Transformation des Spannungstensors

$$\sigma'_{ij} = a_{ip} a_{jq} \sigma_{pq} \quad \sigma' = A \sigma A^T \quad a_{ij} = \begin{bmatrix} \cos(\alpha) & \sin(\alpha) \\ -\sin(\alpha) & \cos(\alpha) \end{bmatrix}$$

Beispiel für 2D - Expansion:

$$\sigma_{11}' = a_{1p} a_{1q} \sigma_{pq} \quad i=1 \quad j=1 \quad p=1 \dots 2 \quad q=1 \dots 2$$

$$\sigma_{11}' = a_{11} a_{1q} \sigma_{1q} + a_{12} a_{1q} \sigma_{2q}$$

$$\sigma_{11}' = a_{11} a_{11} \sigma_{11} + a_{11} a_{12} \sigma_{12} + a_{12} a_{11} \sigma_{21} + a_{12} a_{12} \sigma_{22}$$

sei $\sigma_1 = 100 \text{ MPa}$, $\sigma_2 = 50 \text{ MPa}$, $\alpha = 90^\circ, 45^\circ, 30^\circ$

$$\sigma = \begin{bmatrix} 100 & 0 \\ 0 & 50 \end{bmatrix}$$

$$a = \begin{bmatrix} 0 & 1 \\ -1 & 0 \end{bmatrix} \begin{bmatrix} .7 & .7 \\ -.7 & .7 \end{bmatrix} \begin{bmatrix} .87 & .5 \\ -.5 & .87 \end{bmatrix}$$

$$\sigma' = \begin{bmatrix} 50 & 0 \\ 0 & 100 \end{bmatrix} \begin{bmatrix} 75 & -25 \\ -25 & 75 \end{bmatrix} \begin{bmatrix} 87.5 & -22 \\ -22 & 62.5 \end{bmatrix}$$

$$\text{Test: } I_1 = 150$$

Spannungsdeviator (deviatoric stress)

Deviator

$$\begin{bmatrix} s_{11} & s_{12} & s_{13} \\ s_{21} & s_{22} & s_{23} \\ s_{31} & s_{32} & s_{33} \end{bmatrix} =$$

Spannung

$$\begin{bmatrix} \sigma_x & \tau_{xy} & \tau_{xz} \\ \tau_{yx} & \sigma_y & \tau_{yz} \\ \tau_{zx} & \tau_{zy} & \sigma_z \end{bmatrix}$$

Spannung

$$- \begin{bmatrix} p & 0 & 0 \\ 0 & p & 0 \\ 0 & 0 & p \end{bmatrix} =$$

Deviator

$$\begin{bmatrix} \sigma_x - p & \tau_{xy} & \tau_{xz} \\ \tau_{yx} & \sigma_y - p & \tau_{yz} \\ \tau_{zx} & \tau_{zy} & \sigma_z - p \end{bmatrix}$$

$$p = \frac{\sigma_x + \sigma_y + \sigma_z}{3}$$

$p = \frac{1}{3} \sigma_{ii} = \frac{1}{3} (\sigma_1 + \sigma_2 + \sigma_3) =$ mean stress
= hydrostatischer (lithostatischer) Druck

Spur von S = 0

Spannungen σ_n und τ aus σ_1 und σ_2

geg:

Fläche F,

Normale n,

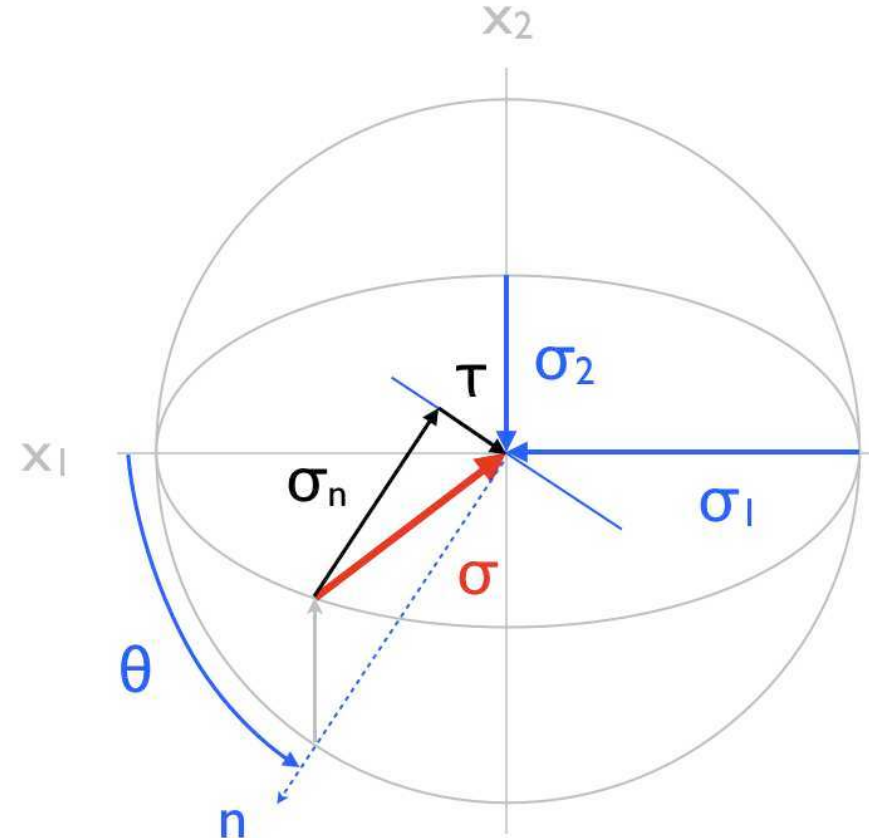
Spannungsellipse (σ_1, σ_2)

ges:

Spannung σ mit

Komponenten σ_n, τ

auf Fläche F

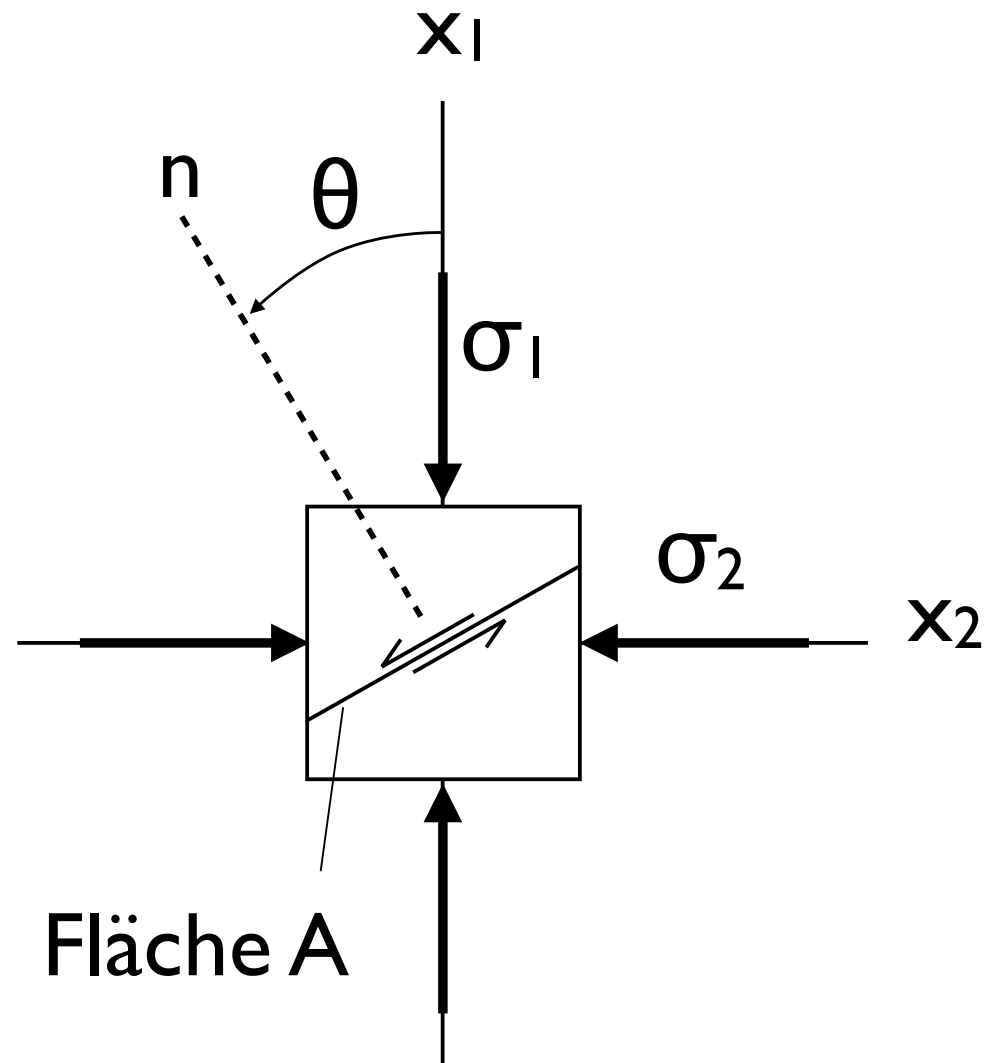


Möglichkeiten:

- über Spannungsellipse
- über Mohrkreis

Mohr-Kreis

Mohr Kreis in 2 Dimensionen



geg:
Hauptspannungen

$$\begin{pmatrix} \sigma_1 & 0 \\ 0 & \sigma_2 \end{pmatrix}$$

ges:
Normal- und
Scherspannung auf
Fläche A,
Flächennormale n

Mohr Kreis in 2 Dimensionen

Koordinatentransformation: $\sigma_{ij}' = a_{ik} a_{jl} \sigma_{kl}$

$$\sigma_{11}' = a_{11} a_{11} \sigma_{11} + a_{11} a_{12} \sigma_{12} + a_{12} a_{11} \sigma_{21} + a_{12} a_{12} \sigma_{22}$$

$$\sigma_{12}' = a_{11} a_{21} \sigma_{11} + a_{11} a_{22} \sigma_{12} + a_{12} a_{21} \sigma_{21} + a_{12} a_{22} \sigma_{22}$$

$$\sigma_{21}' = a_{21} a_{11} \sigma_{11} + a_{21} a_{12} \sigma_{12} + a_{22} a_{11} \sigma_{21} + a_{22} a_{12} \sigma_{22}$$

$$\sigma_{22}' = a_{21} a_{21} \sigma_{11} + a_{21} a_{22} \sigma_{12} + a_{22} a_{21} \sigma_{21} + a_{22} a_{22} \sigma_{22}$$

Beispiel:

$$\begin{aligned}\sigma_{11}' = & \cos(\theta)\cos(\theta) \sigma_{11} + \cos(\theta)\sin(\theta) \sigma_{12} + \\ & \sin(\theta)\cos(\theta) \sigma_{21} + \sin(\theta)\sin(\theta) \sigma_{22}\end{aligned}$$

weil $\sigma_{12} = \sigma_{21} = 0$:

$$\sigma_{11}' = \cos(\theta)^2 \sigma_{11} + \sin(\theta)^2 \sigma_{22}$$

Normalspannung

neu (σ') als Funktion von alt (σ) geschrieben:

$$\sigma_{11}' = \sigma_n$$

$$\sigma_{11} = \sigma_1$$

$$\sigma_{22} = \sigma_2$$

$$\sigma_n = \cos(\theta)^2 \sigma_1 + \sin(\theta)^2 \sigma_2$$

umgeformt:

$$\sin(\theta)^2 = \frac{1}{2} (1 - \cos(2\theta))$$

$$\cos(\theta)^2 = \frac{1}{2} (1 + \cos(2\theta))$$

$$\sigma_n = \frac{1}{2} (1 + \cos(2\theta)) \sigma_1 + \frac{1}{2} (1 - \cos(2\theta)) \sigma_2$$

$$\sigma_n = \frac{1}{2} (\sigma_1 + \sigma_2) + \frac{1}{2} (\cos(2\theta) \sigma_1 - \cos(2\theta) \sigma_2)$$

$$\boxed{\sigma_n = \frac{1}{2} (\sigma_1 + \sigma_2) + \frac{1}{2} (\sigma_1 - \sigma_2) \cos(2\theta)}$$

Scherspannung

$$\sigma_{12}' = -\tau$$

$$\sigma_{11} = \sigma_1$$

$$\sigma_{22} = \sigma_2$$

$$\begin{aligned}\sigma_{12}' &= a_{11} a_{21} \sigma_{11} + a_{11} a_{22} \sigma_{12} + a_{12} a_{21} \sigma_{21} + a_{12} a_{22} \sigma_{22} \\ &= \cos(\theta)(-\sin(\theta)) \sigma_{11} + \sin(\theta)\cos(\theta) \sigma_{22} \\ (\text{da } \sigma_{12} = \sigma_{21} = 0)\end{aligned}$$

$$-\tau = \cos(\theta)(-\sin(\theta)) \sigma_1 + \sin(\theta)\cos(\theta) \sigma_2$$

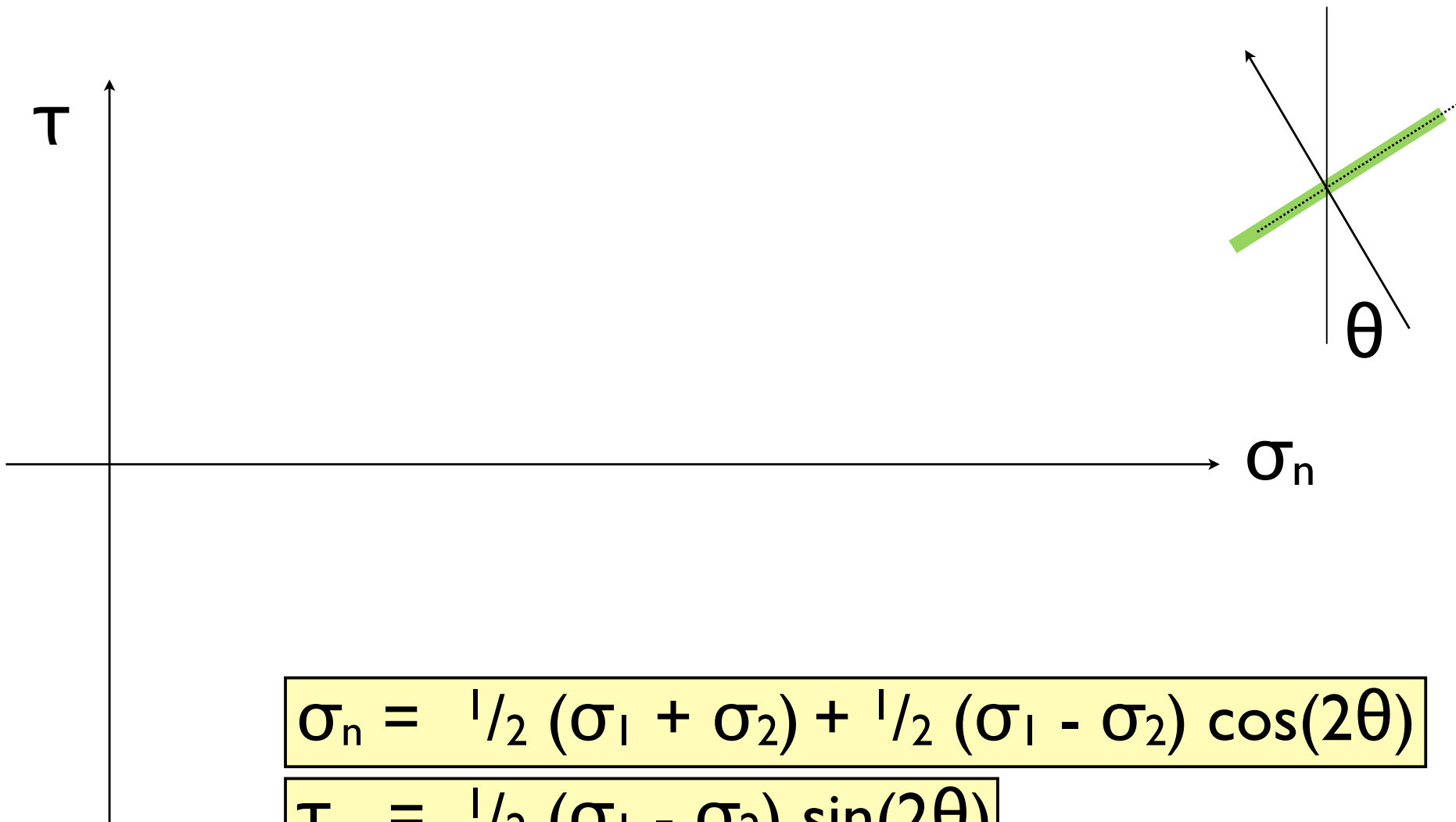
umgeformt: $\sin(\theta)\cos(\theta) = \frac{1}{2} \sin(2\theta)$

$$-\tau = -\frac{1}{2} \sin(2\theta) \sigma_1 + \frac{1}{2} \sin(2\theta) \sigma_2$$

$$\tau = \frac{1}{2} (\sigma_1 - \sigma_2) \sin(2\theta)$$

σ_n - τ - Koordinatensystem

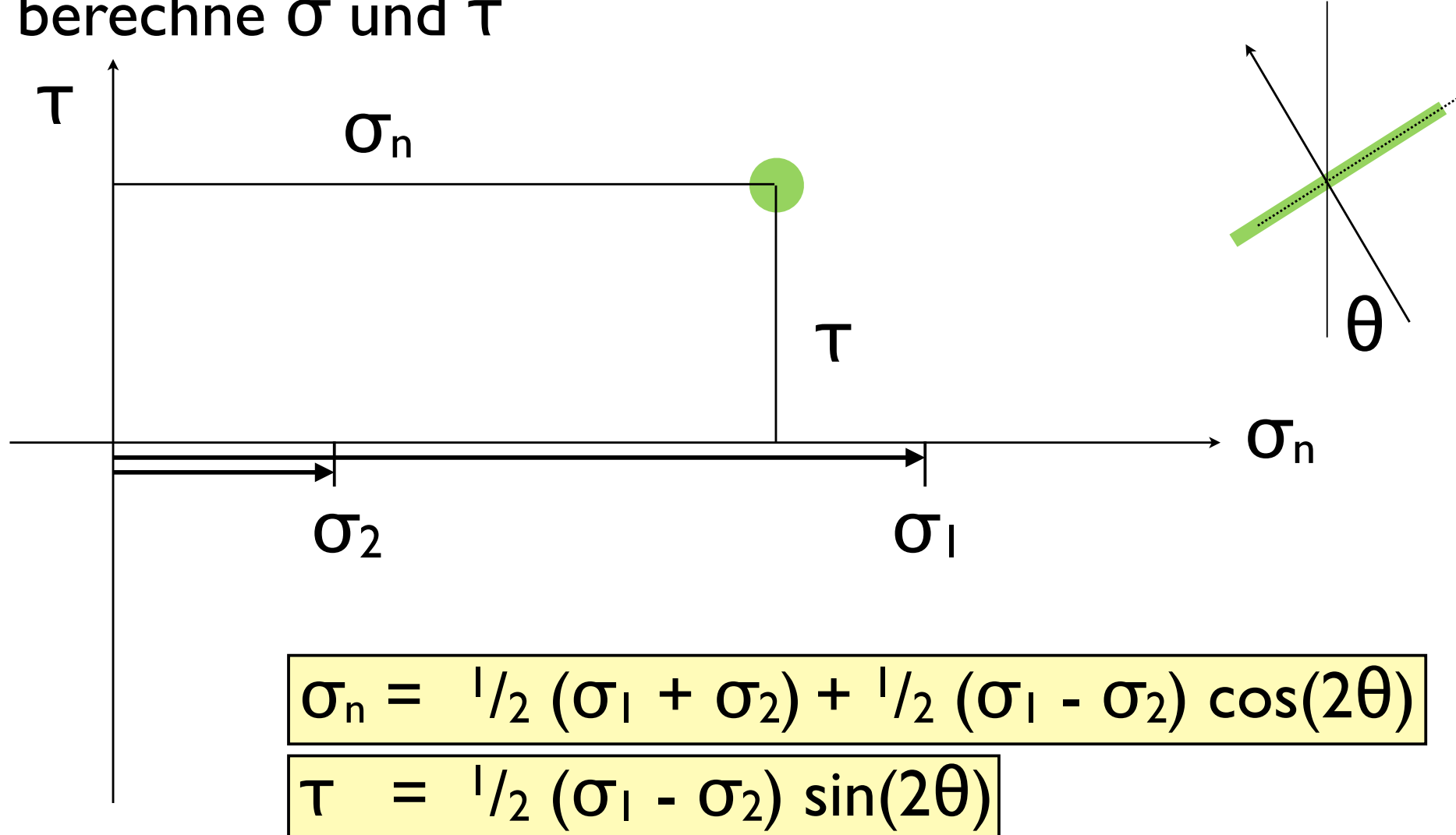
sei $\sigma_1 = 55 \text{ MPa}$, $\sigma_2 = 15 \text{ MPa}$, und $\theta = 30^\circ$



Beispiel

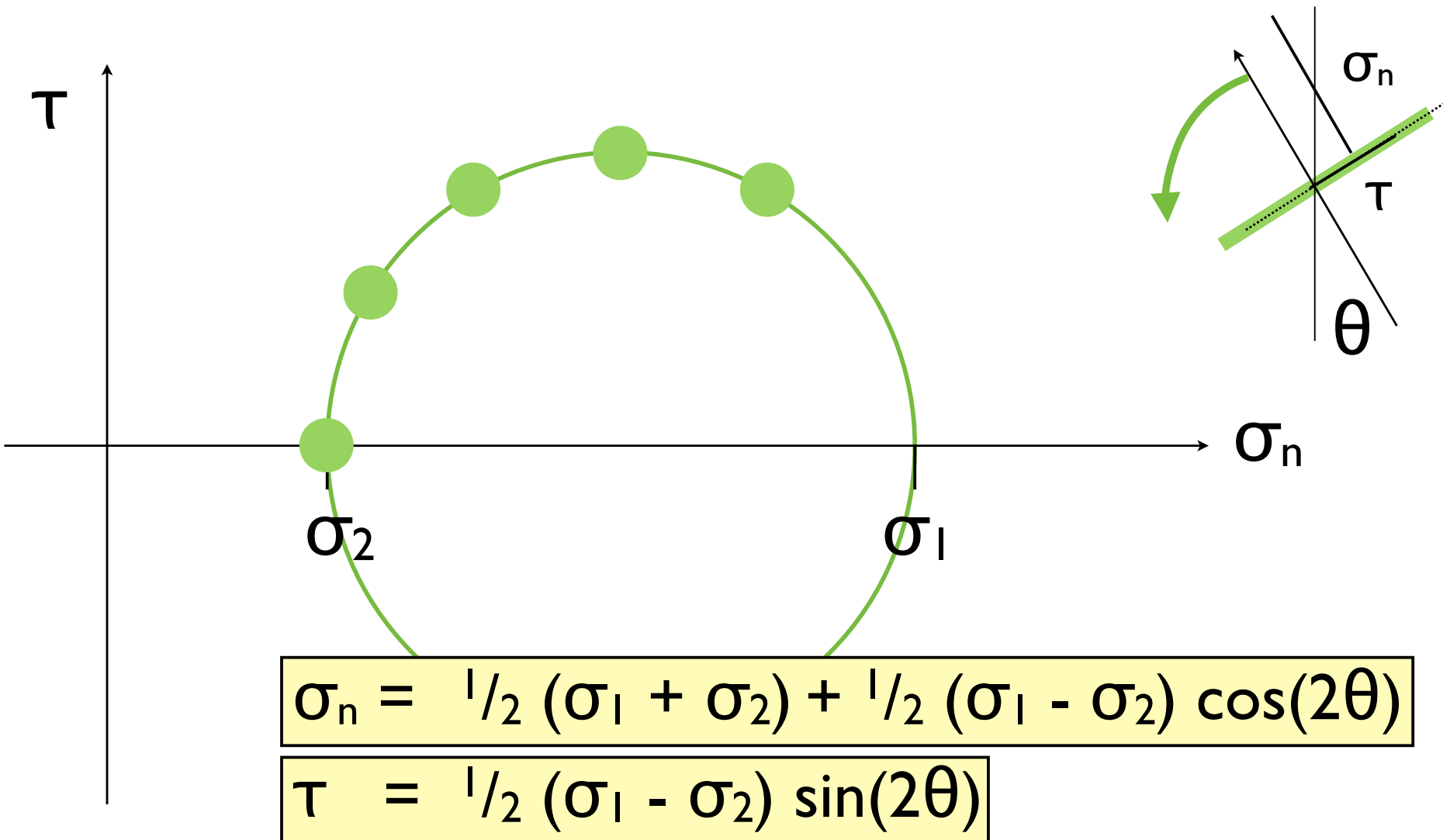
sei $\sigma_1 = 55 \text{ MPa}$, $\sigma_2 = 15 \text{ MPa}$, und $\theta = 30^\circ$

berechne σ und τ

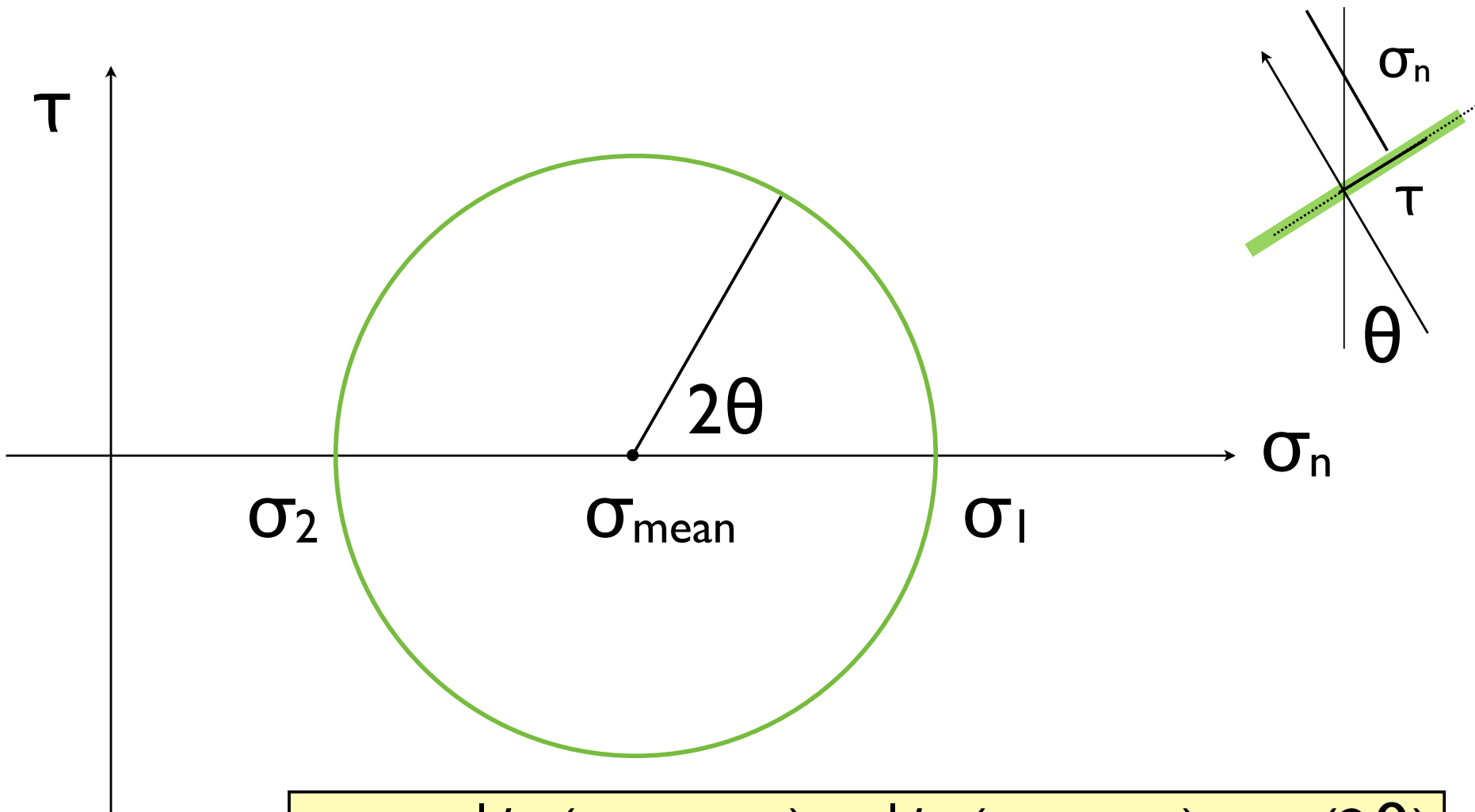


weitere Orientierungen

$\theta = 45^\circ, 60^\circ, 75^\circ, 90^\circ$



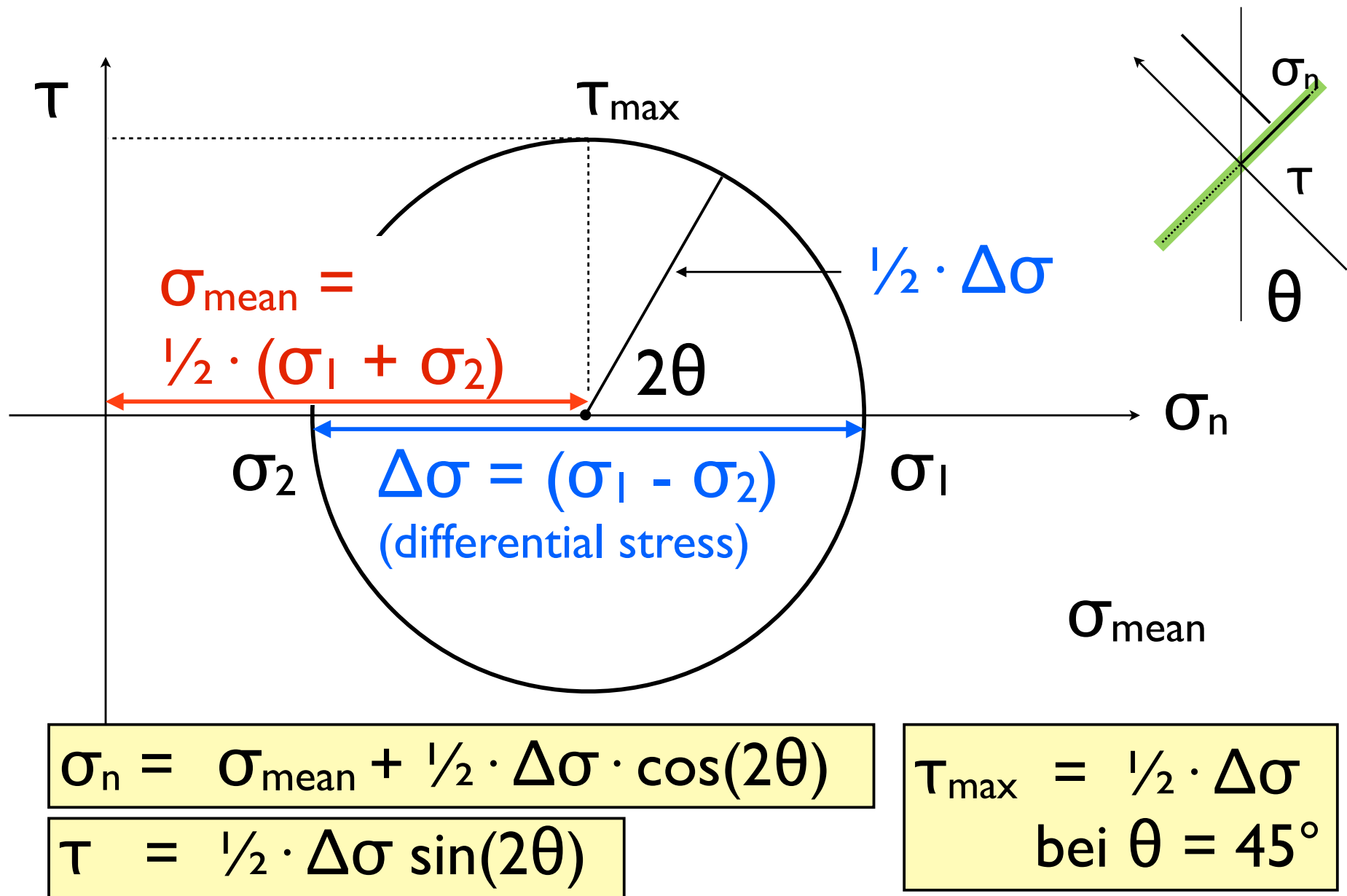
Mohr Kreis in 2 Dimensionen



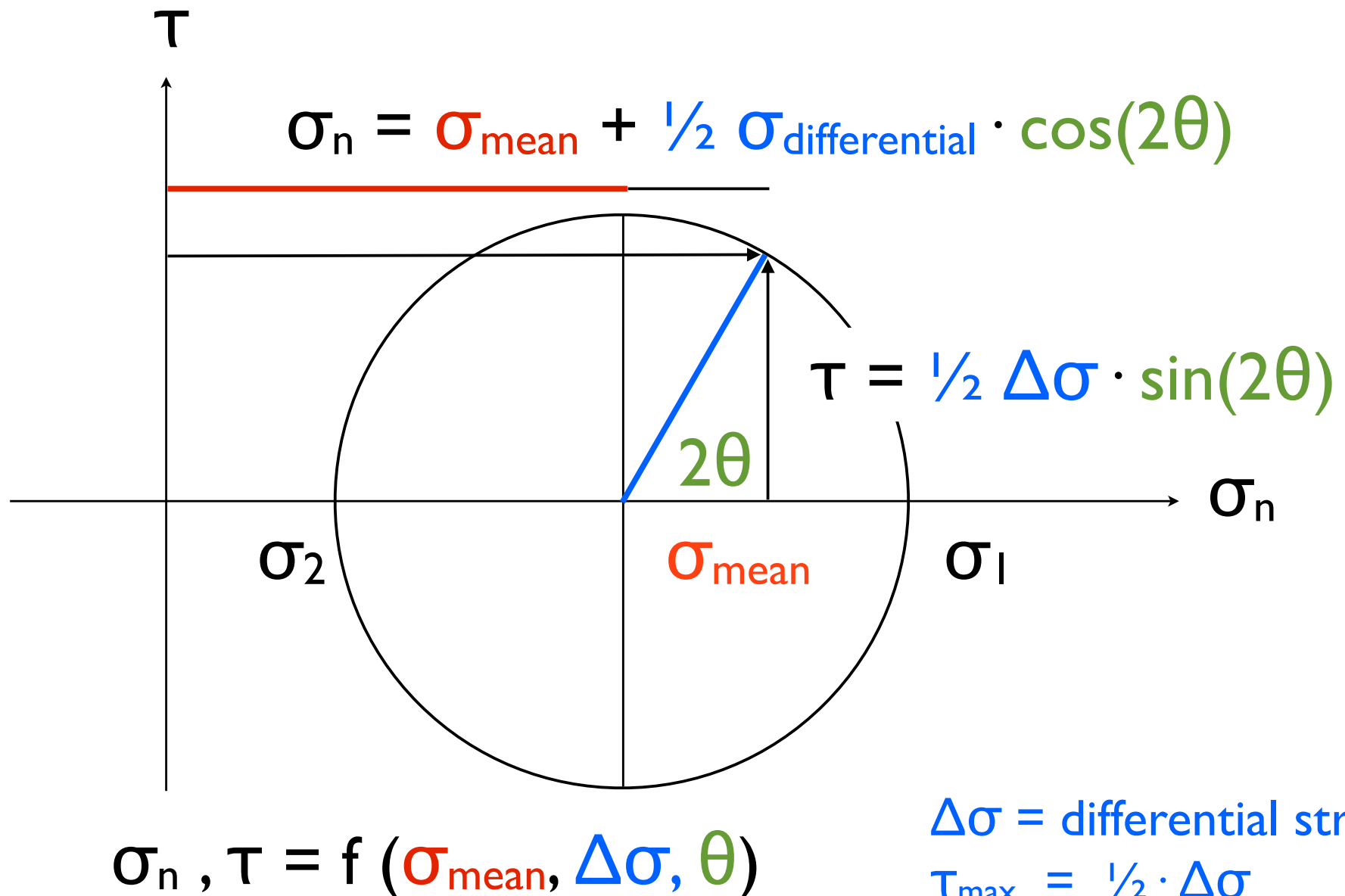
$$\sigma_n = \frac{1}{2} (\sigma_1 + \sigma_2) + \frac{1}{2} (\sigma_1 - \sigma_2) \cos(2\theta)$$

$$\tau = \frac{1}{2} (\sigma_1 - \sigma_2) \sin(2\theta)$$

Mohr Kreis in 2 Dimensionen



Mohr Kreis in 2 Dimensionen



Spezielle Spannungen

$\sigma > 0, \sigma < 0$ compressive stress, tensile stress

$\sigma_1, \sigma_2, \sigma_3$ principal stresses
 σ_1 = maximum compressive,
 σ_3 = minimum compressive or tensile

σ_{mean} $\frac{1}{3} \sigma_{ii} = \frac{1}{3} (\sigma_1 + \sigma_2 + \sigma_3)$ = mean stress

$\rho \cdot g \cdot h$ lithostatic stress = $\sigma_{\text{mean}} \neq \sigma_3$

$\Delta\sigma = \sigma_1 - \sigma_3$ differential stress \neq deviatoric stress

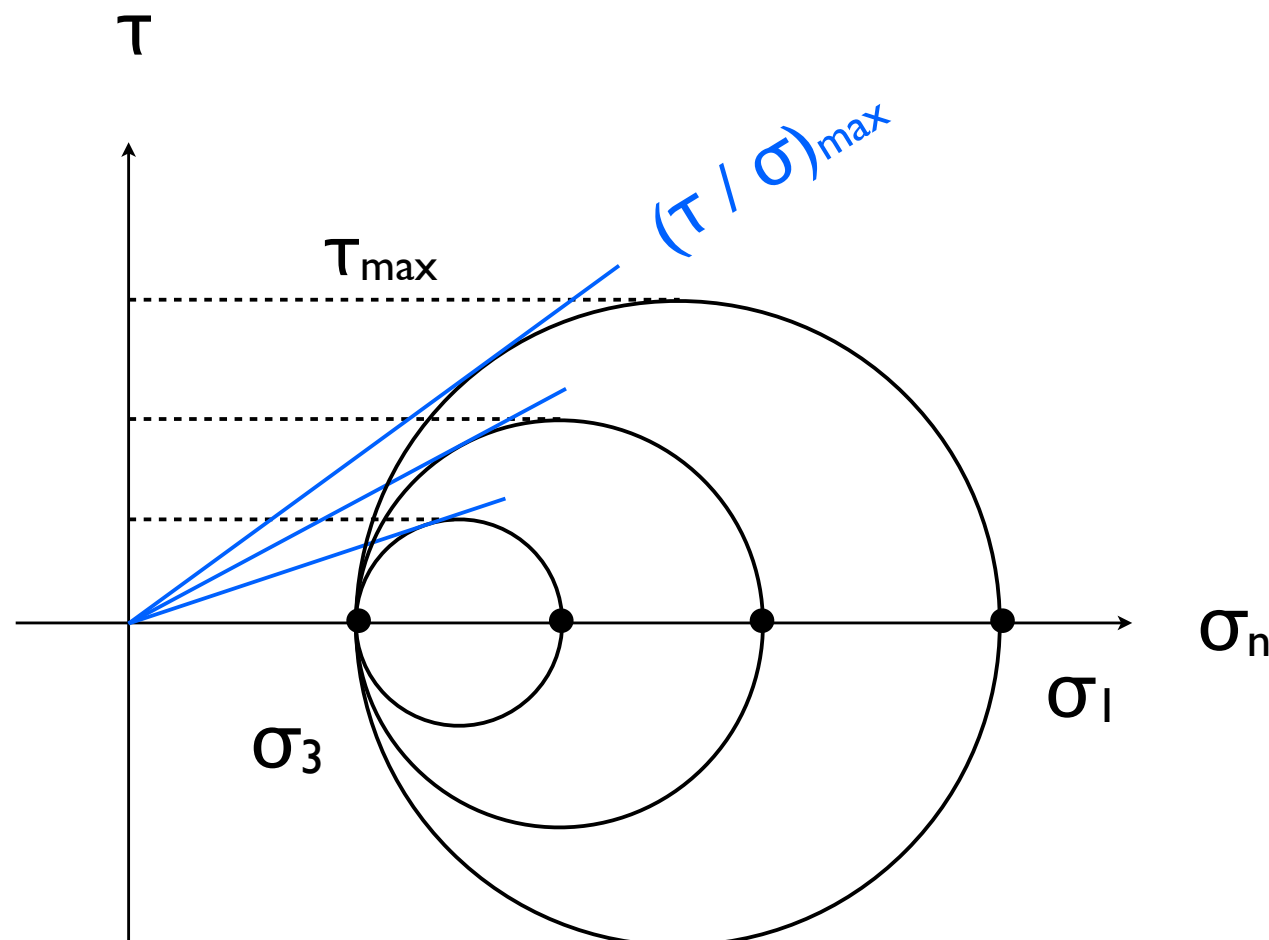
τ_{max} = $\frac{1}{2} \Delta\sigma$ = maximum shear stress

S_1, S_2, S_3 deviatoric stress

Mohr'sche Brüche

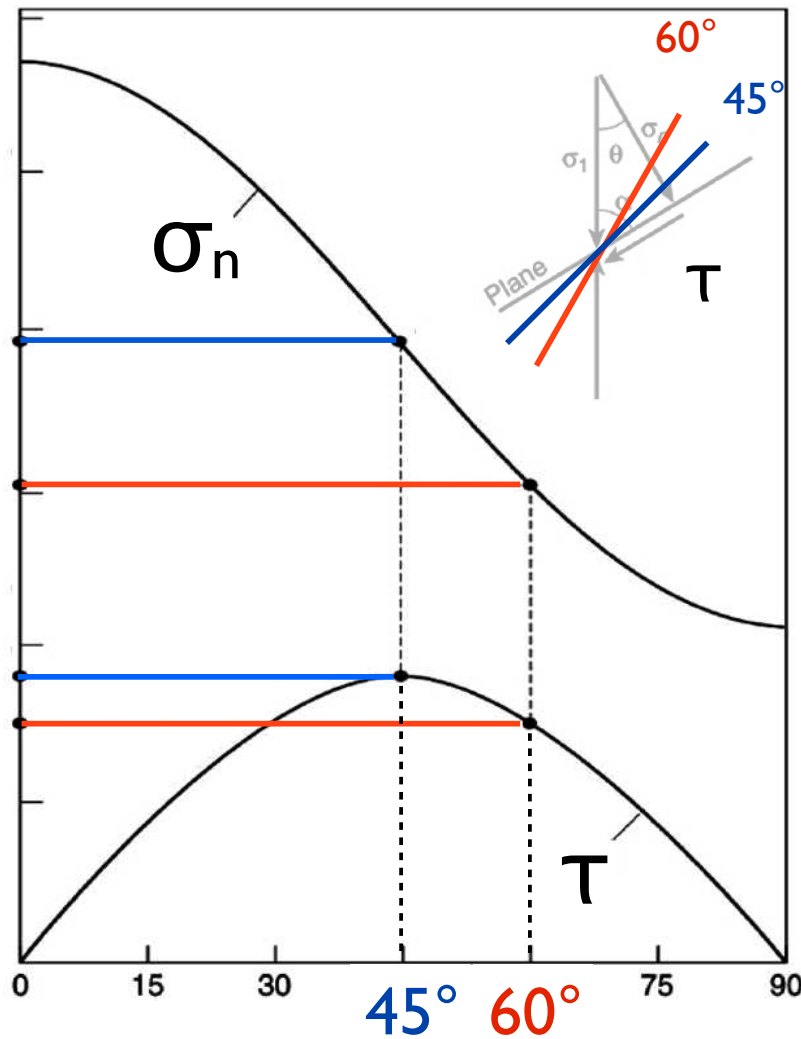
Scher- versus Normalspannung

maximale Scherspannung: τ_{\max}
 \neq maximales Verhältnis: $(\tau / \sigma)_{\max}$



Scher- versus Normalspannung

σ_1

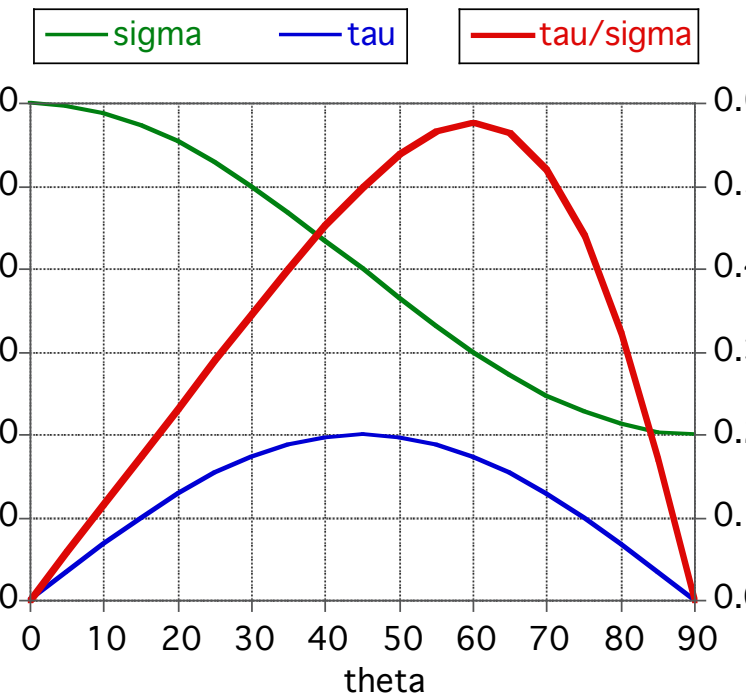


σ_3

maximum stress ratio τ/σ

$$\sigma = (\sigma_1 + \sigma_3) + (\sigma_1 - \sigma_3) \cdot \cos(\theta)$$

$$\tau = (\sigma_1 - \sigma_3) \cdot \sin(\theta)$$

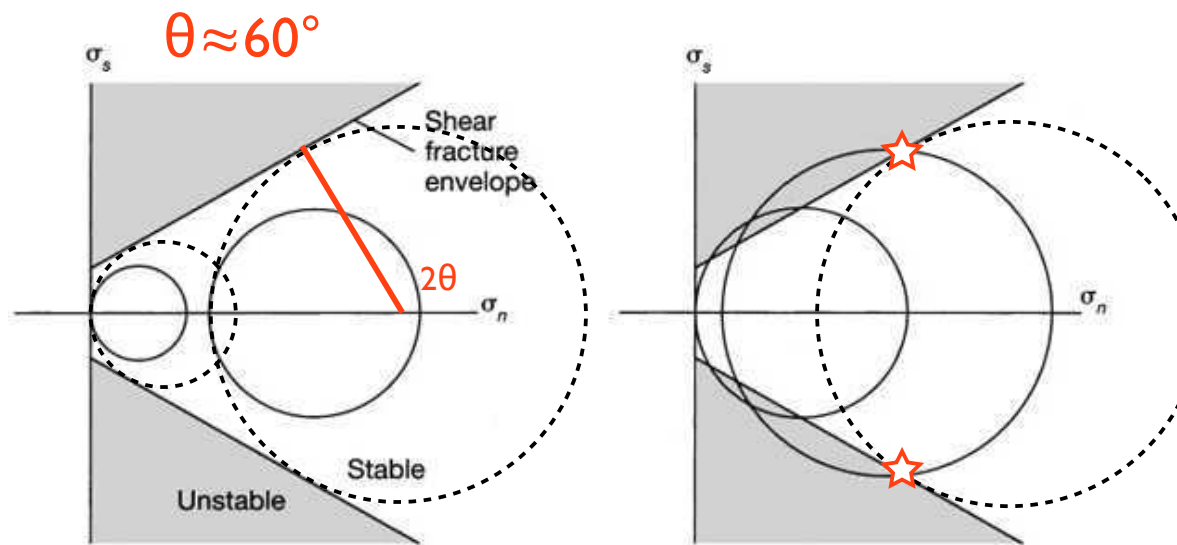


Stabilitätsbereich

Kompression \Rightarrow

Scherbruch

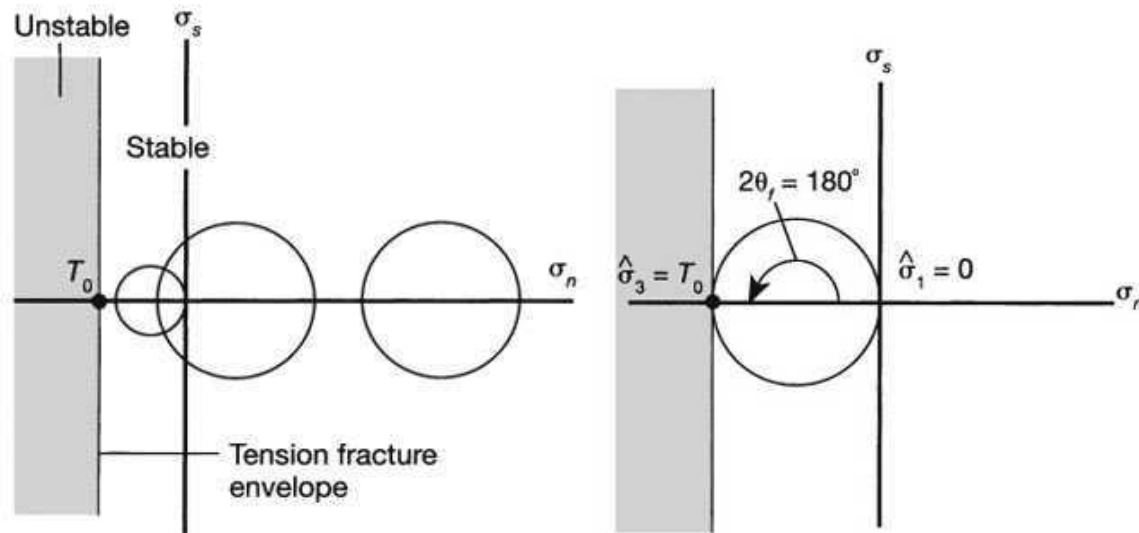
$\theta \approx 60^\circ$ bedeutet
Bruchfläche 30° zu σ_1



Tension \Rightarrow

Extensionsions-
bruch (Kluft)

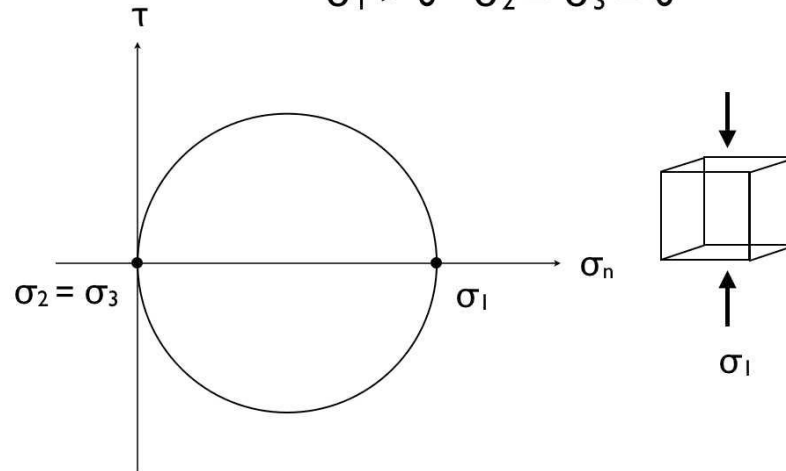
$\theta \approx 90^\circ$ bedeutet
Bruchfläche // σ_1



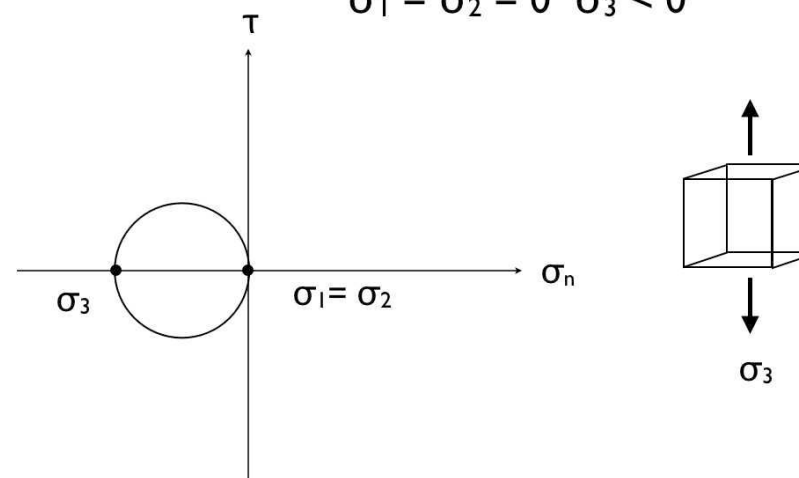
Spannungszustände

Spannungszustände

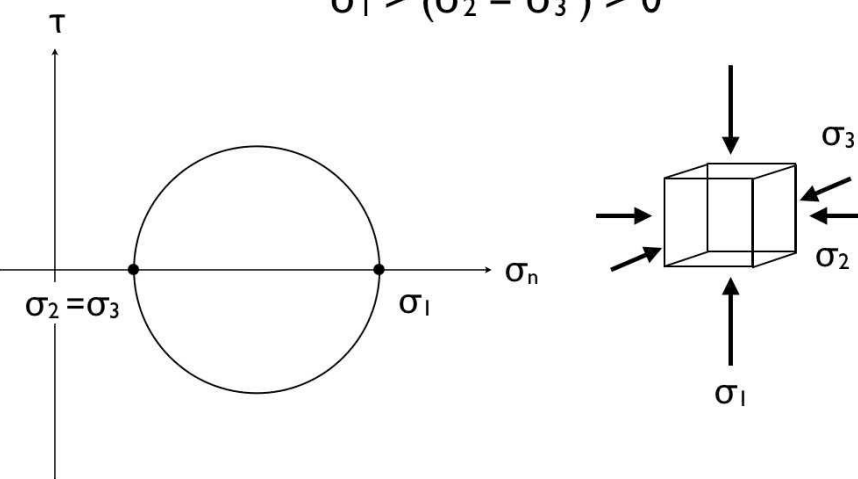
uniaxiale Kompression:
 $\sigma_1 > 0 \quad \sigma_2 = \sigma_3 = 0$



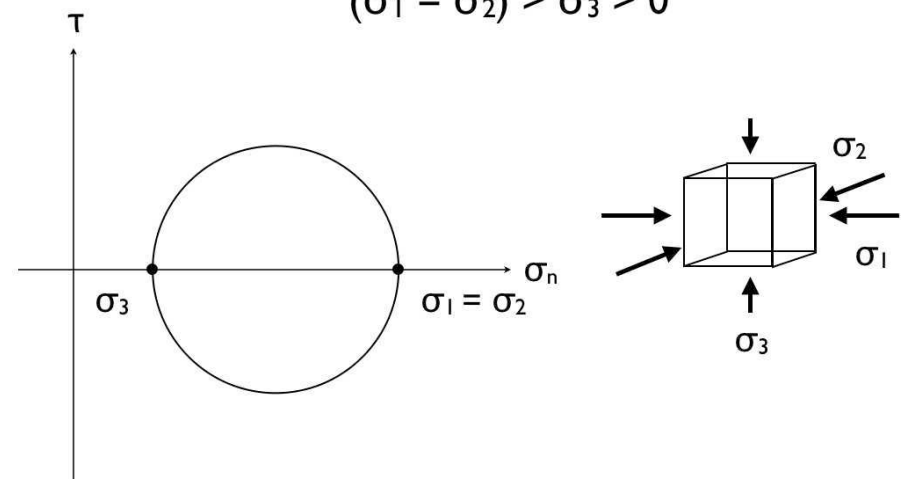
uniaxiale Tension:
 $\sigma_1 = \sigma_2 = 0 \quad \sigma_3 < 0$



axiale Kompression:
 $\sigma_1 > (\sigma_2 = \sigma_3) > 0$



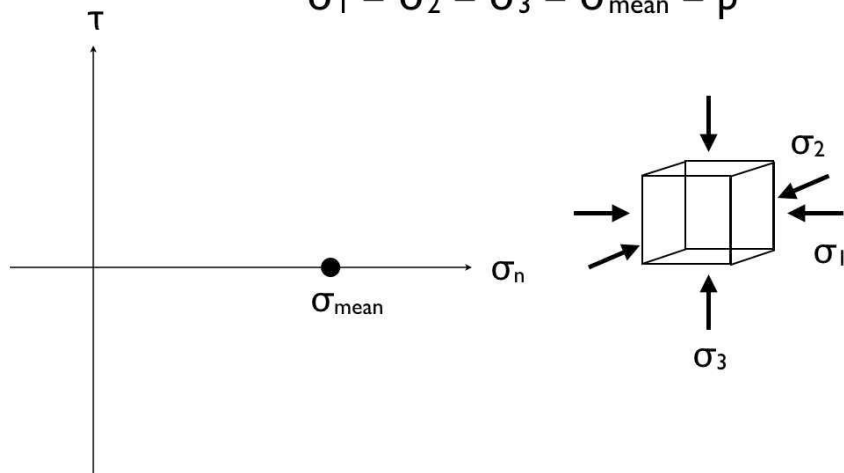
axiale Extension (\neq Tension):
 $(\sigma_1 = \sigma_2) > \sigma_3 > 0$



Spannungszustände

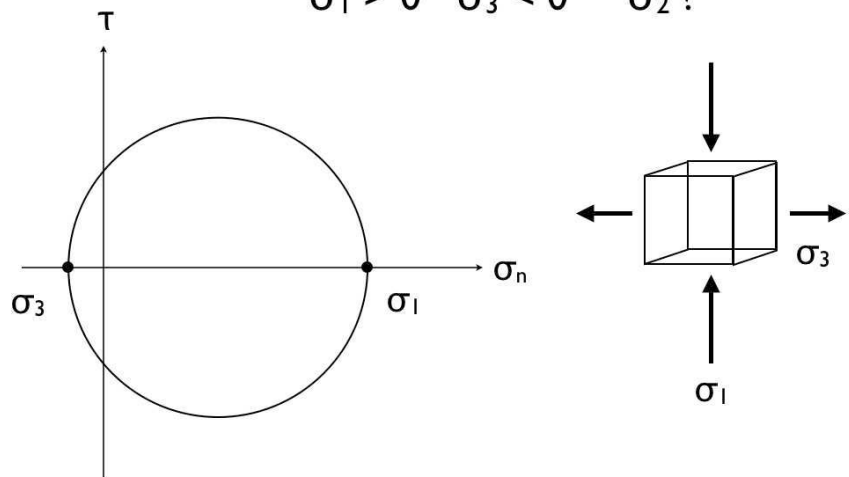
hydrostatischer Druck:

$$\sigma_1 = \sigma_2 = \sigma_3 = \sigma_{\text{mean}} = p$$



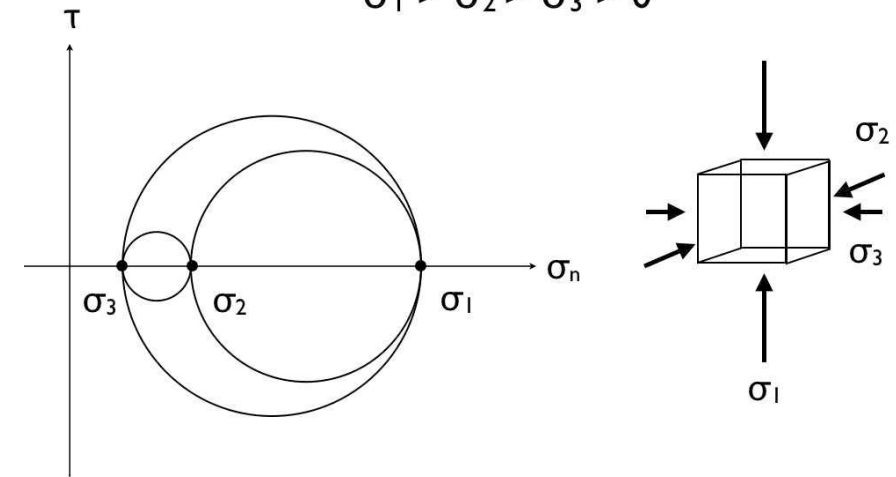
allgemeiner Spannungszustand:

$$\sigma_1 > 0 \quad \sigma_3 < 0 \quad \sigma_2 ?$$

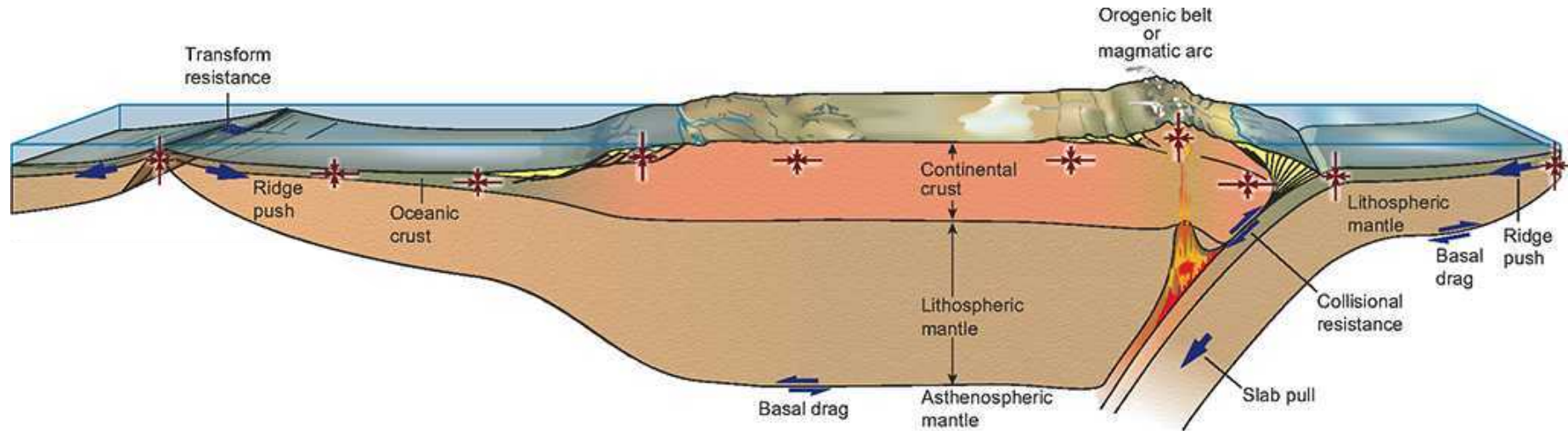


allgemeiner Spannungszustand:

$$\sigma_1 > \sigma_2 > \sigma_3 > 0$$



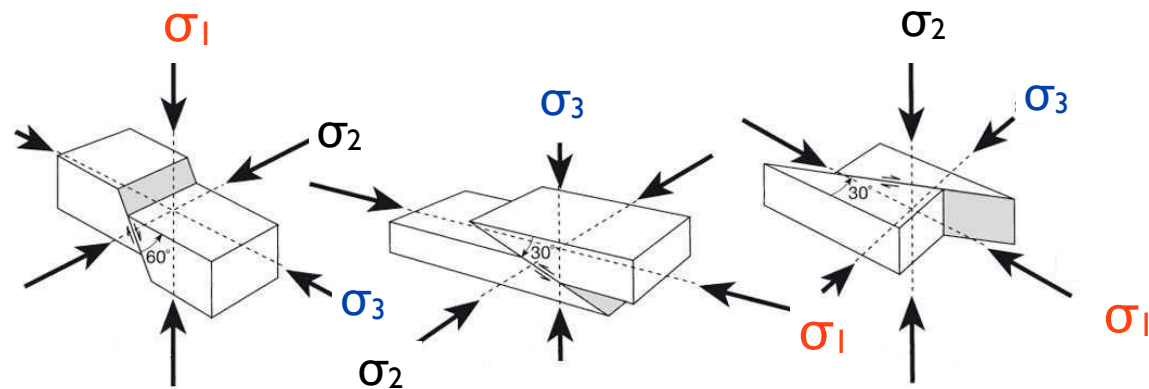
Spannungszustände



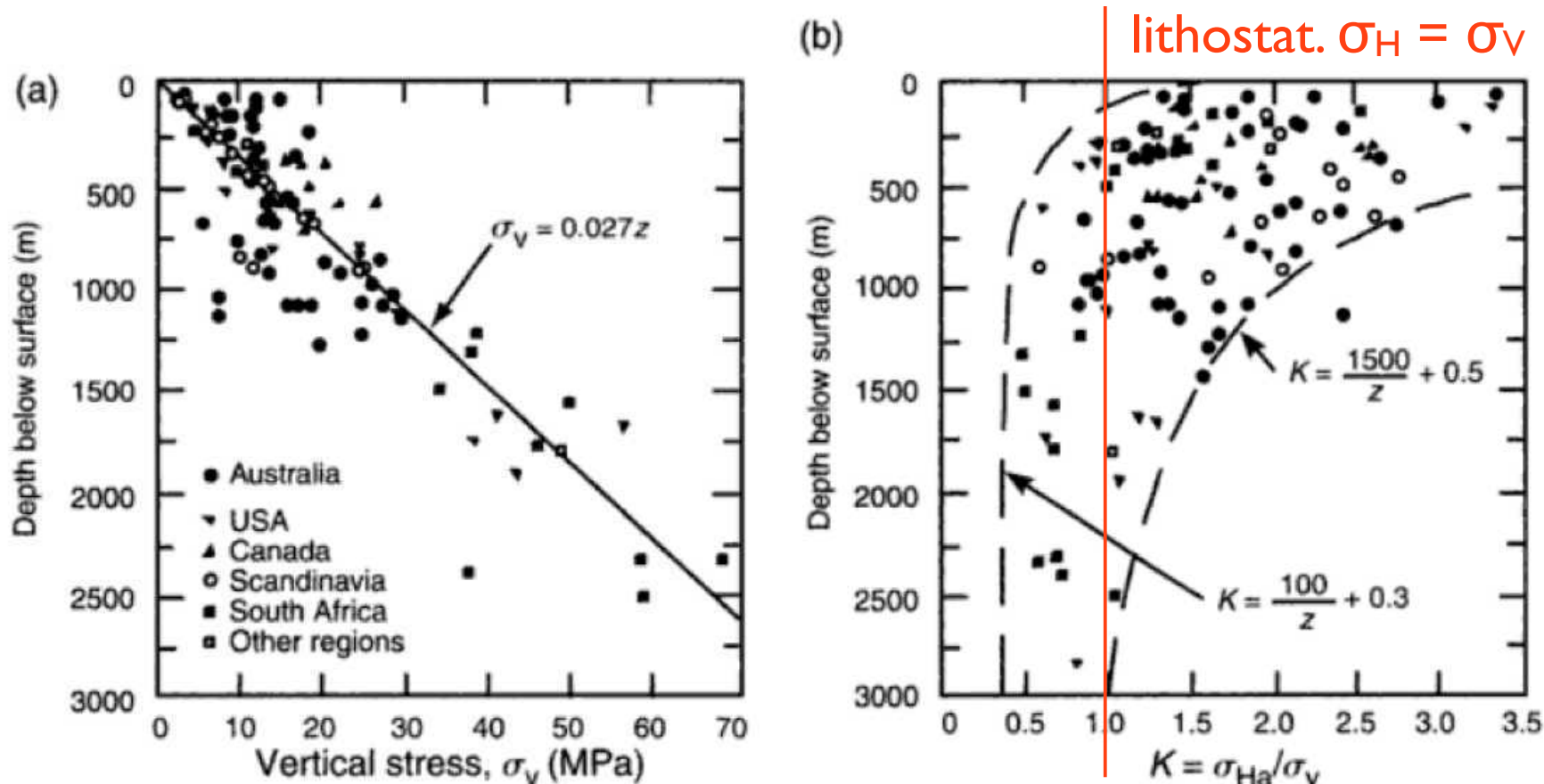
normal - fault
stress regime
 σ_1 = vertikal

reverse - fault
stress regime
 σ_1 = horizontal

strike slip
stress regime
 σ_1 = horizontal



Horizontale / vertikale Spannung



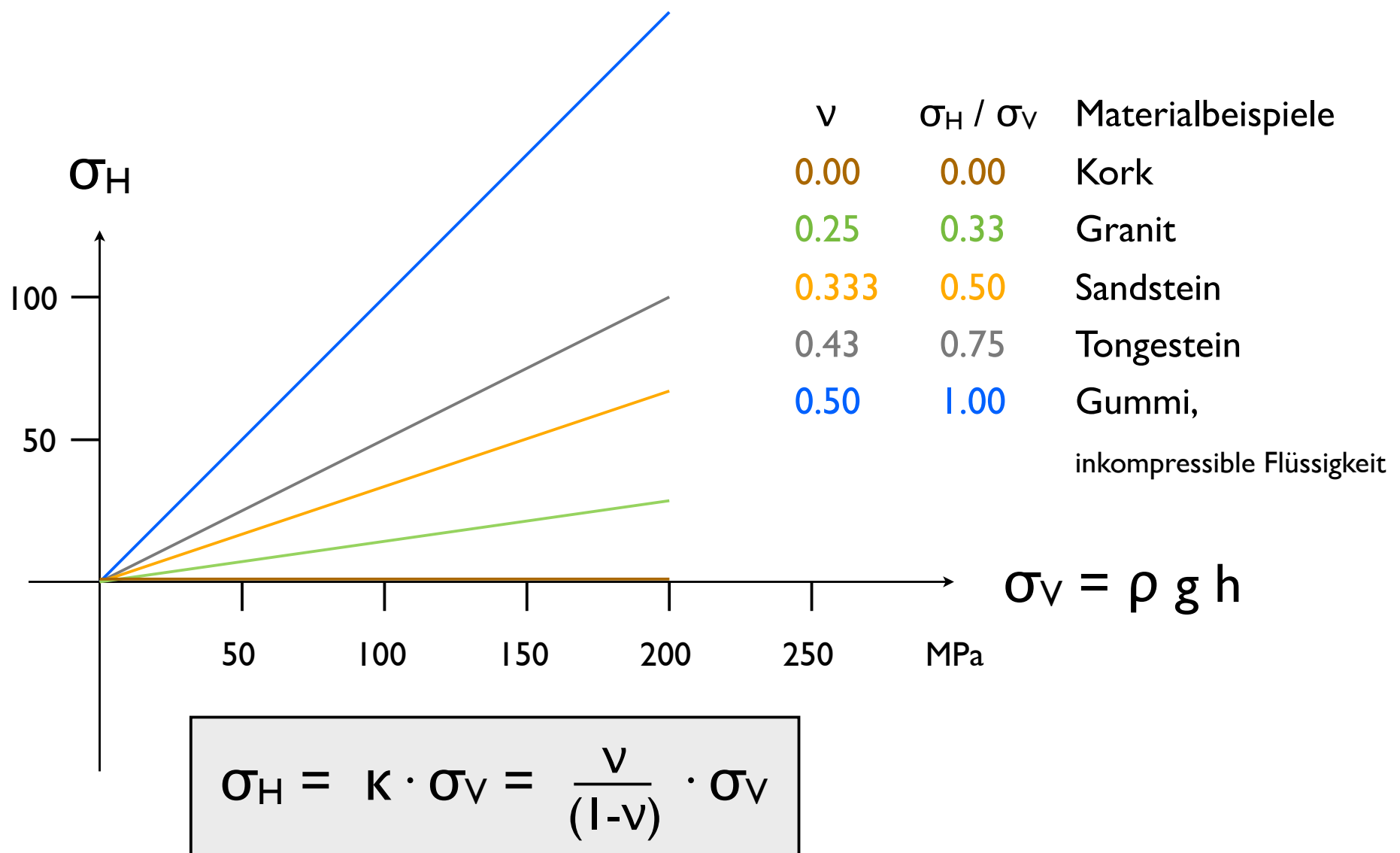
$$\sigma_v = \rho g h$$

$$\sigma_H = K \cdot \sigma_v$$

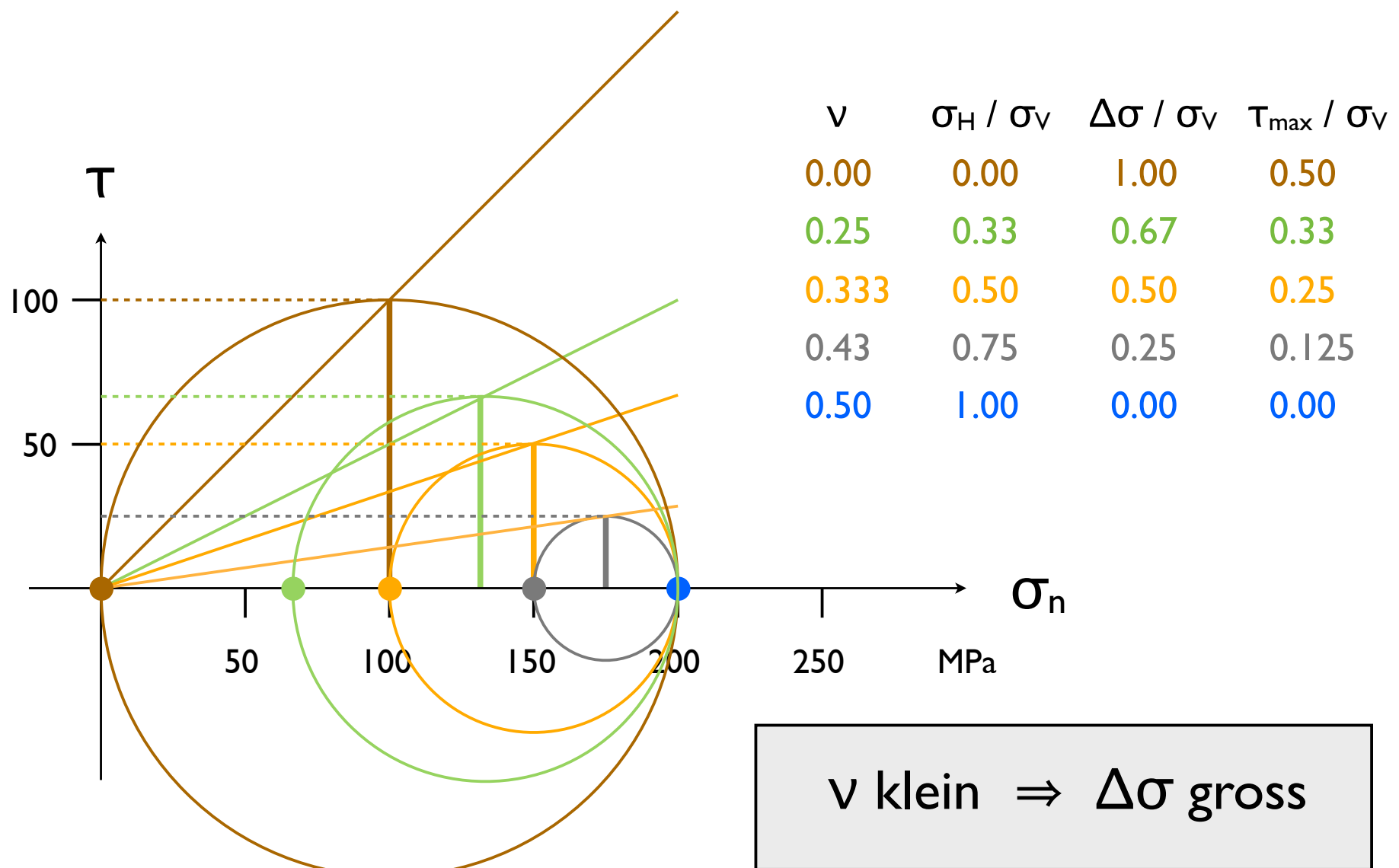
Fig 6.26 Variation of the stress components to depths of 3 km from in-situ measurements. (a) Vertical normal stress. (b) Horizontal normal stress normalized by vertical stress. Reprinted from Brown and Hoek (1978) with permission of Elsevier.

Pollard & Fletcher (2005)

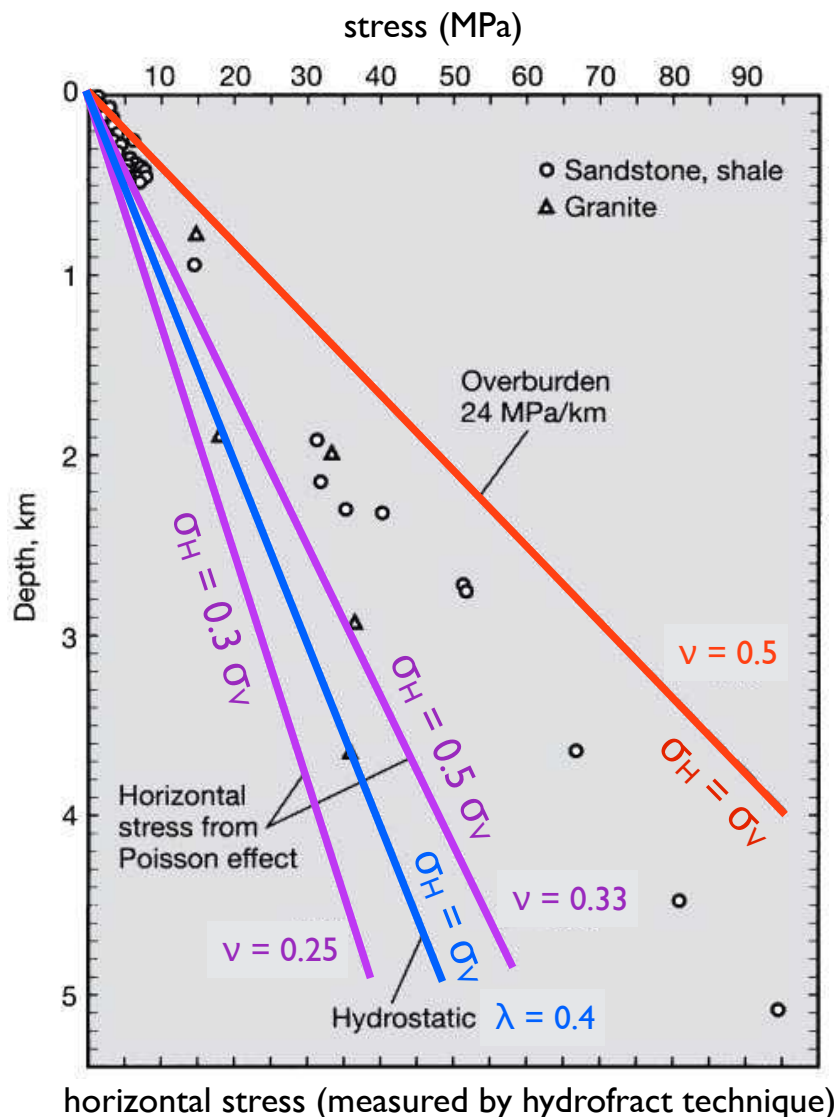
Einfluss der Poissonzahl



Effekt der Poissonzahl im Mohr Kreis



Standard State



Twiss & Moores (2007)

standard state

$$\sigma_V = \rho \cdot g \cdot z$$

$$\sigma_H = K \cdot \rho \cdot g \cdot z = K \cdot \sigma_V$$

$$\sigma_H \neq \sigma_V$$

= state of perfect confinement:

$$\sigma_H = K \cdot \sigma_V$$

$$K = \frac{\nu}{(1-\nu)}$$

ν	σ_H / σ_V	
0.333	0.50	sandstone
0.25	0.33	granite

lithostatic pressure = $\rho \cdot g \cdot z$ ($\rho = 2500$)

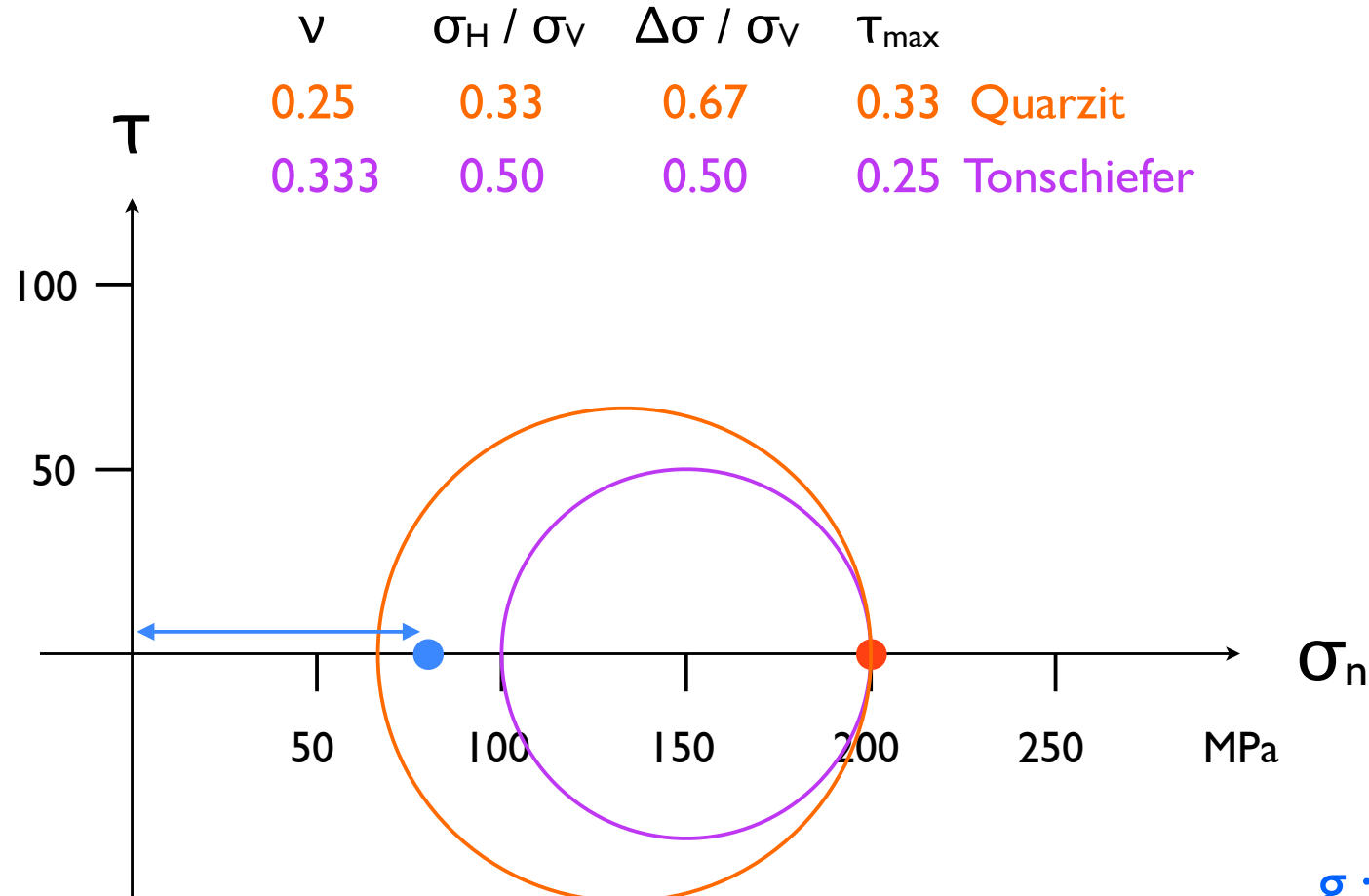
$$\sigma_H = \sigma_V$$

hydrostatic pressure = $g \cdot z$ ($\rho = 1000$)

$$\lambda = g z / \rho g z \approx 0.40$$

$$\sigma_H = \sigma_V$$

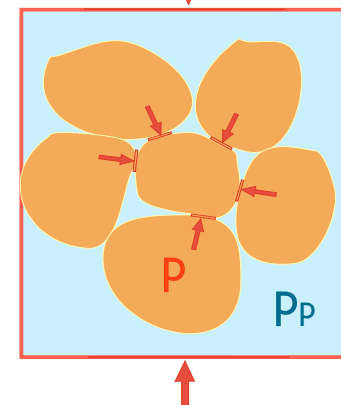
Porendruckeffekt



$$(\sigma_1)_{eff} = \sigma_1 - p_p$$

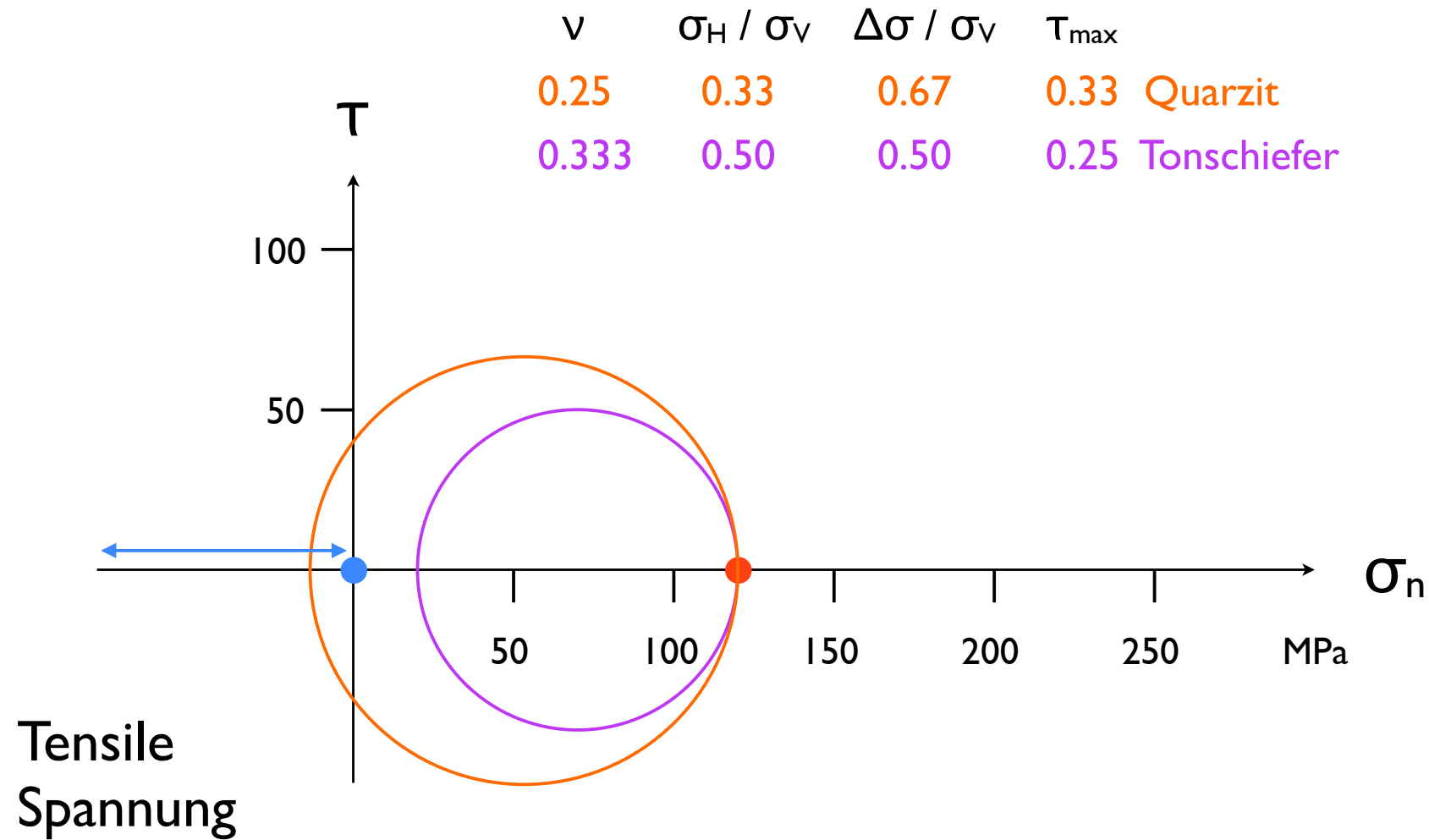
$$(\sigma_3)_{eff} = \sigma_3 - p_p$$

$$p_{eff} = p - p_p$$

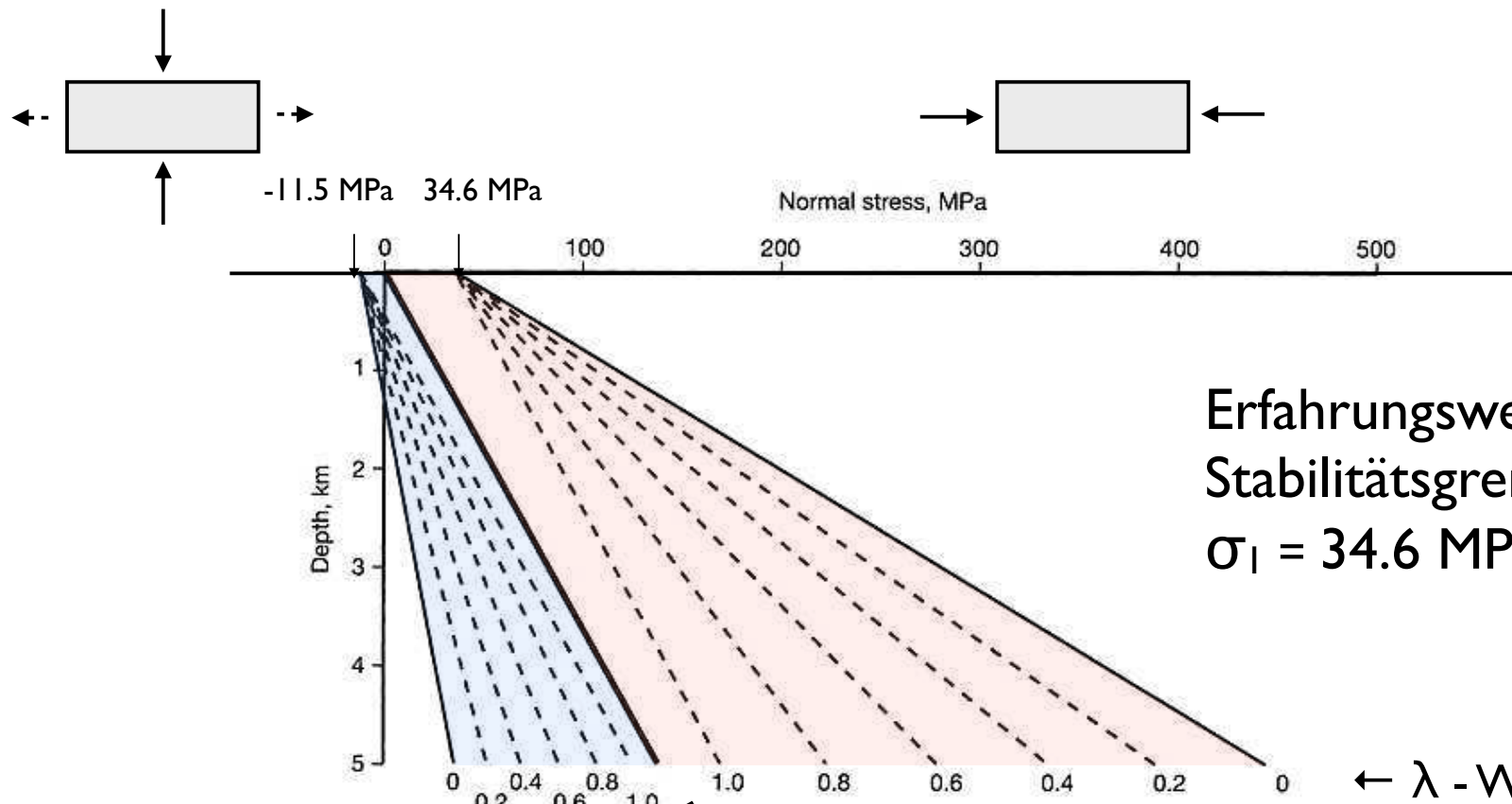


$$\lambda = \frac{g \cdot z}{\rho \cdot g \cdot z} = 0.40$$

Porendruckeffekt



Porendruck - Stabilitätsgrenze



horizontale Extension

minimale Spannung $\sigma_H (= \sigma_3)$

für $\sigma_V = \sigma_I = \sigma_{\max}$

Twiss & Moores (2007)

horizontale Kompression

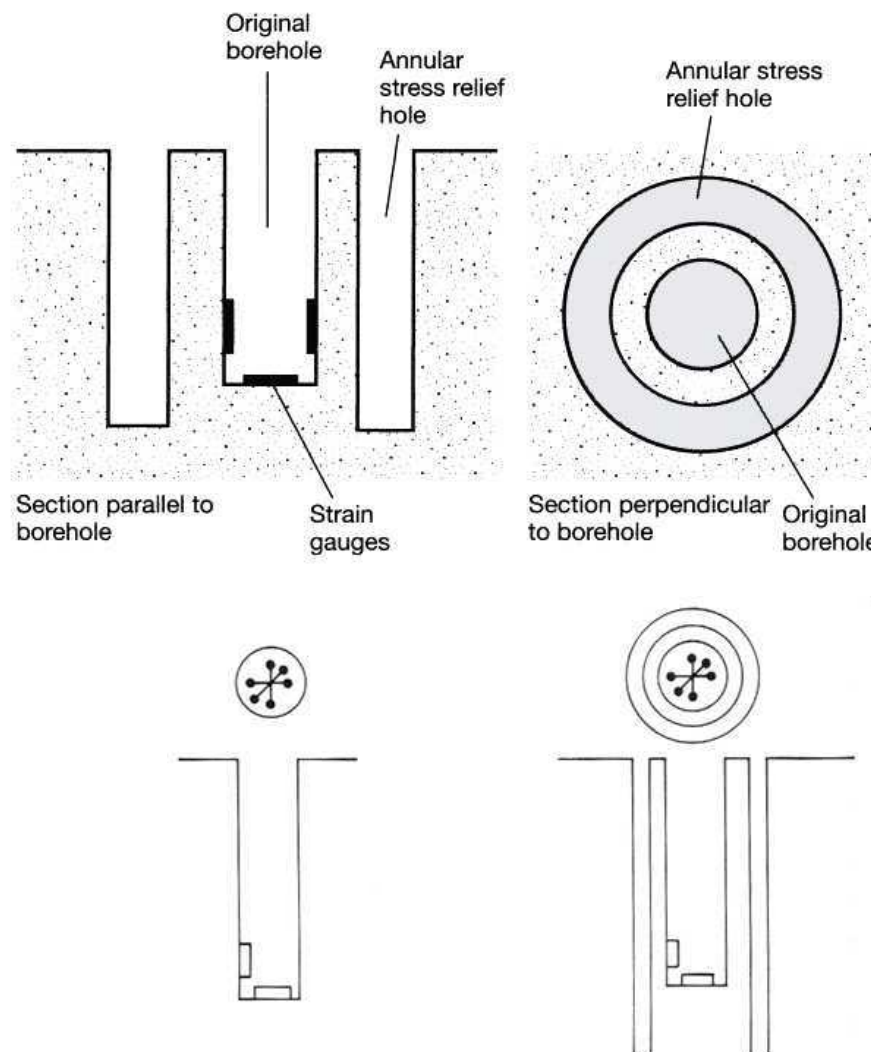
maximale Spannung $\sigma_H (= \sigma_I)$

für $\sigma_H = \sigma_I = \sigma_{\max}$

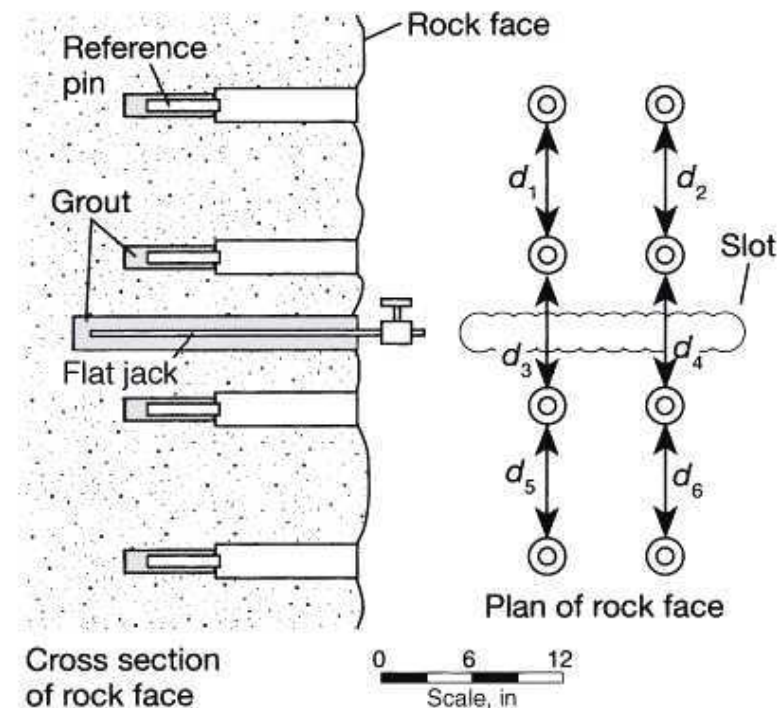
Spannungsmessungen

Spannungsmessung

Overcoring

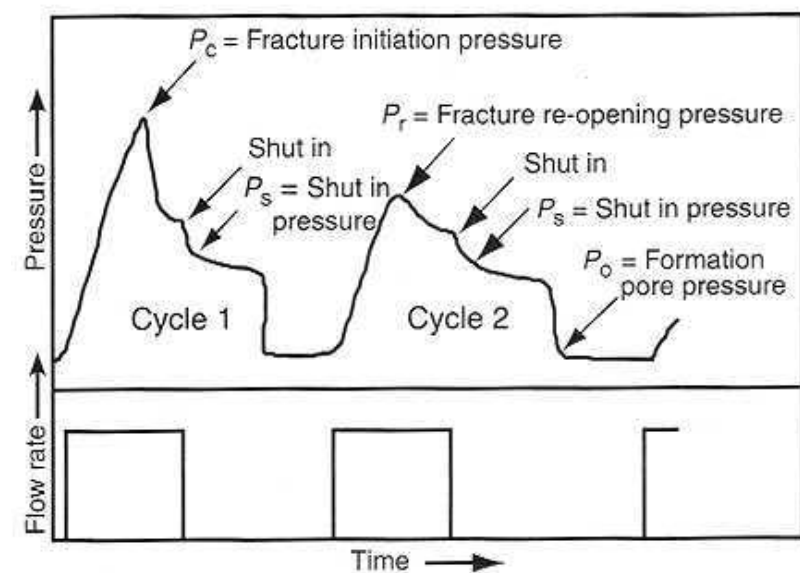
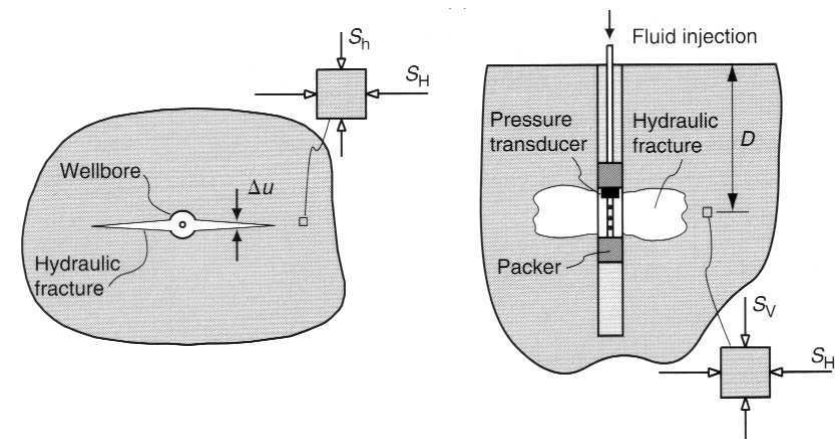
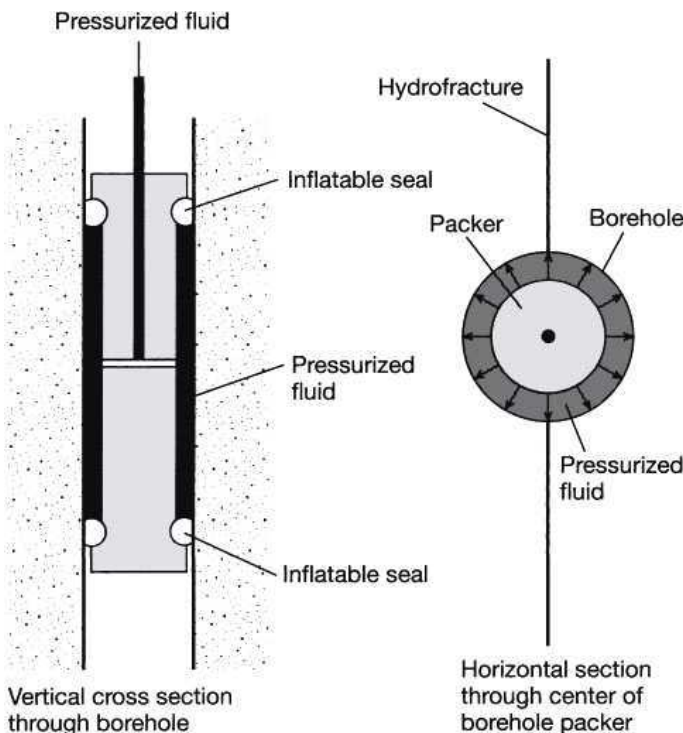
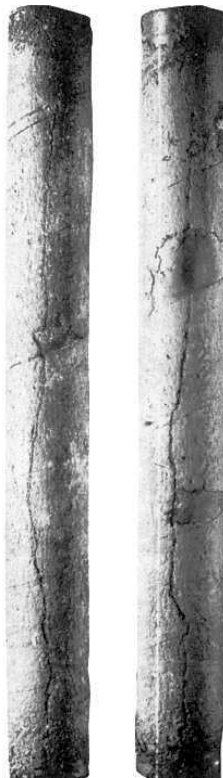


Flatjack technique



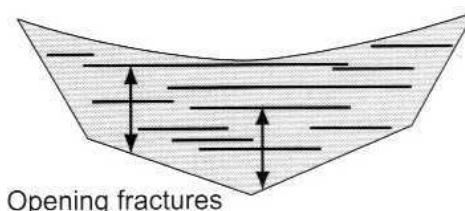
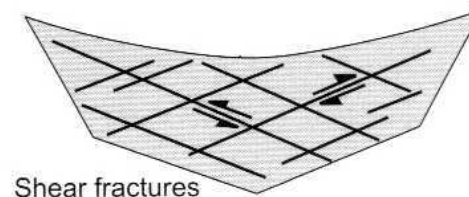
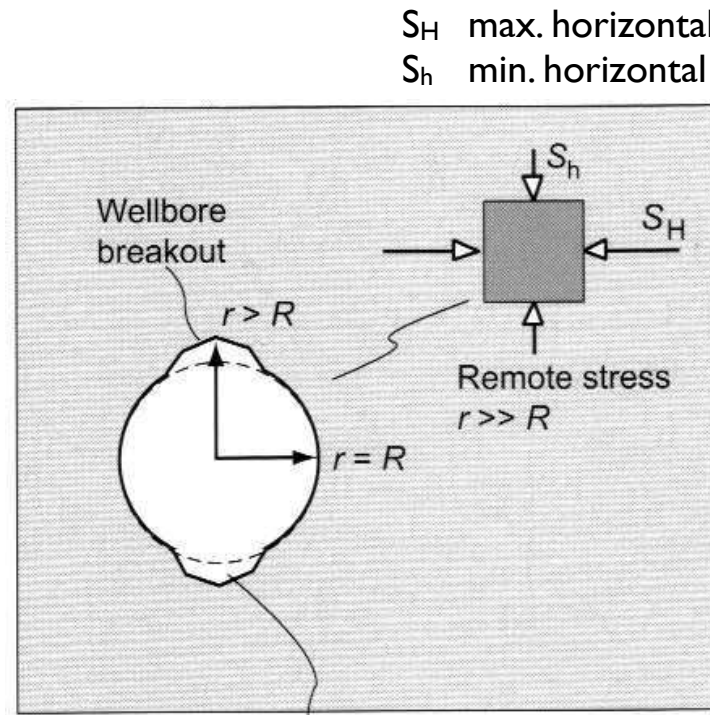
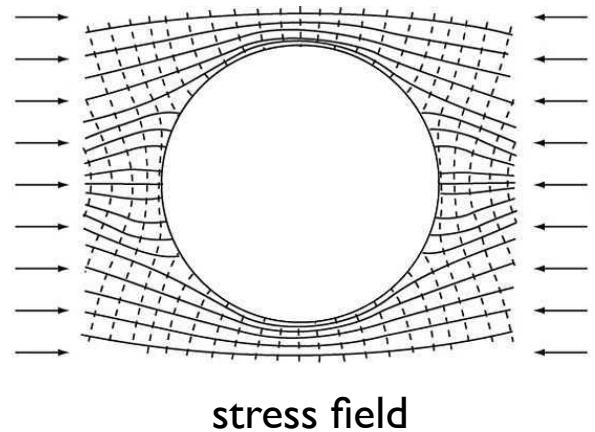
Spannungsmessung

Hydraulic fracturing (hydrofracturing)



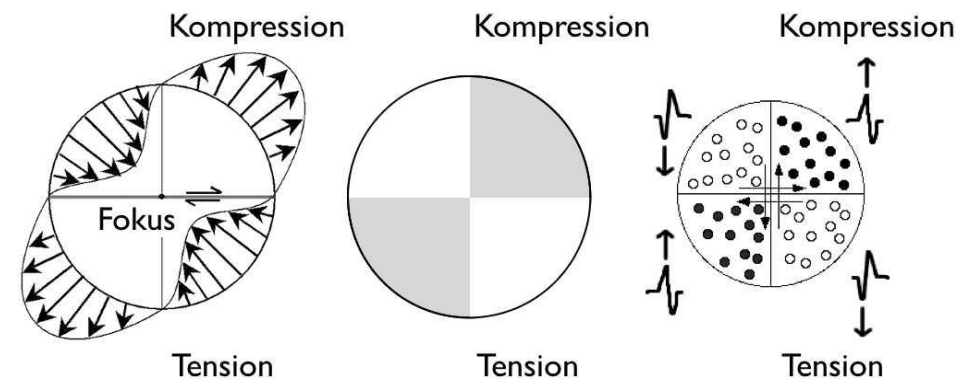
Spannungsmessung

Borehole breakout

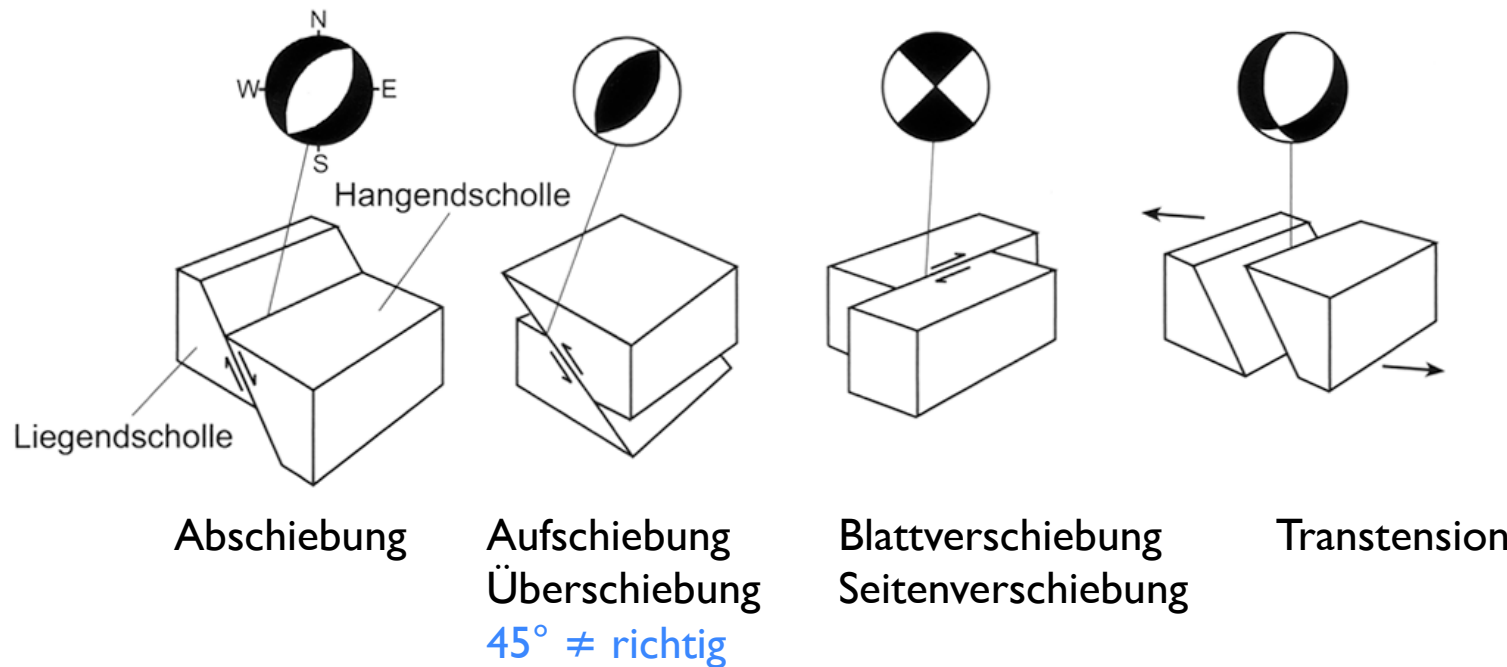


Spannungsmessung

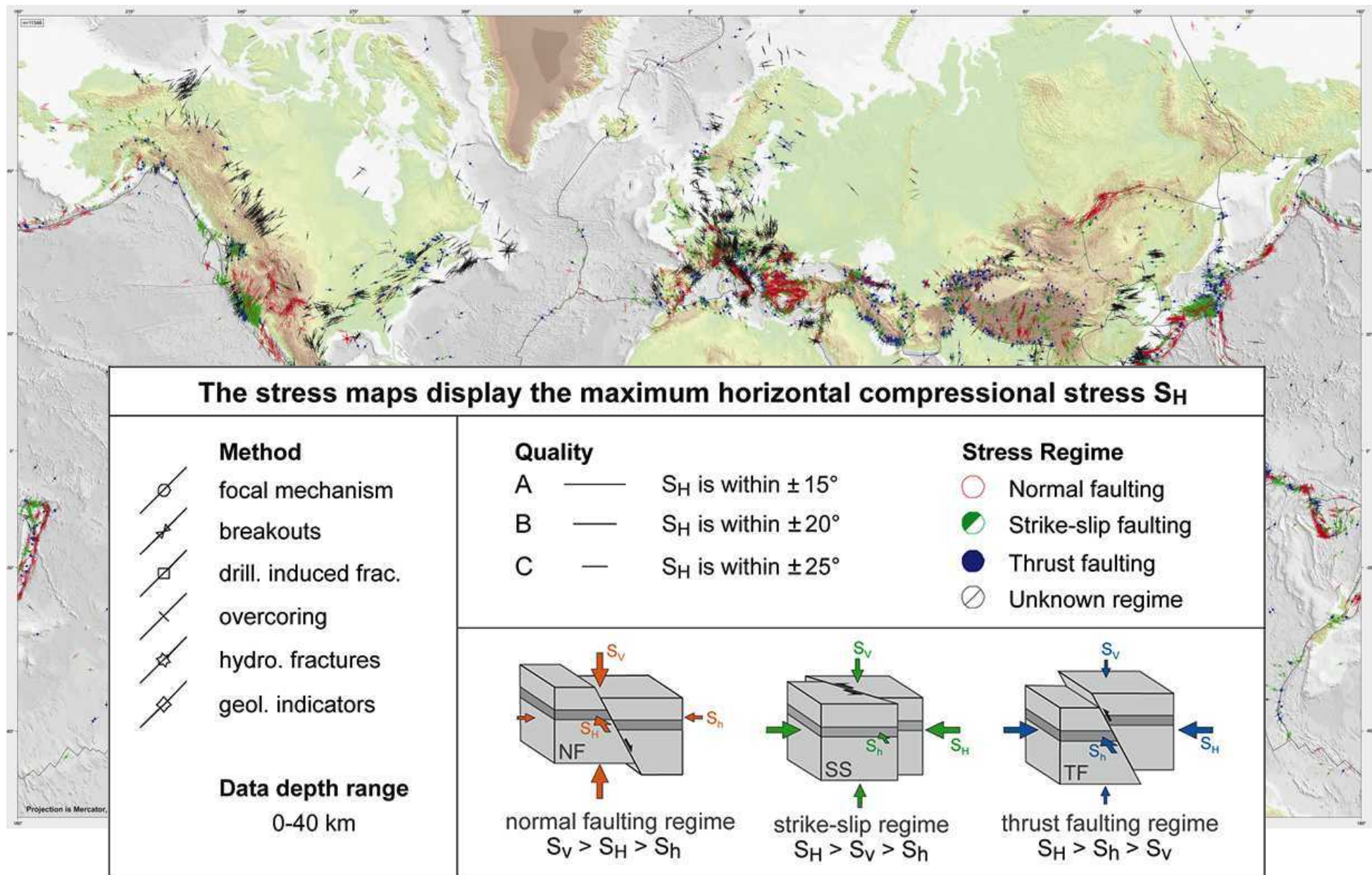
First motion analysis



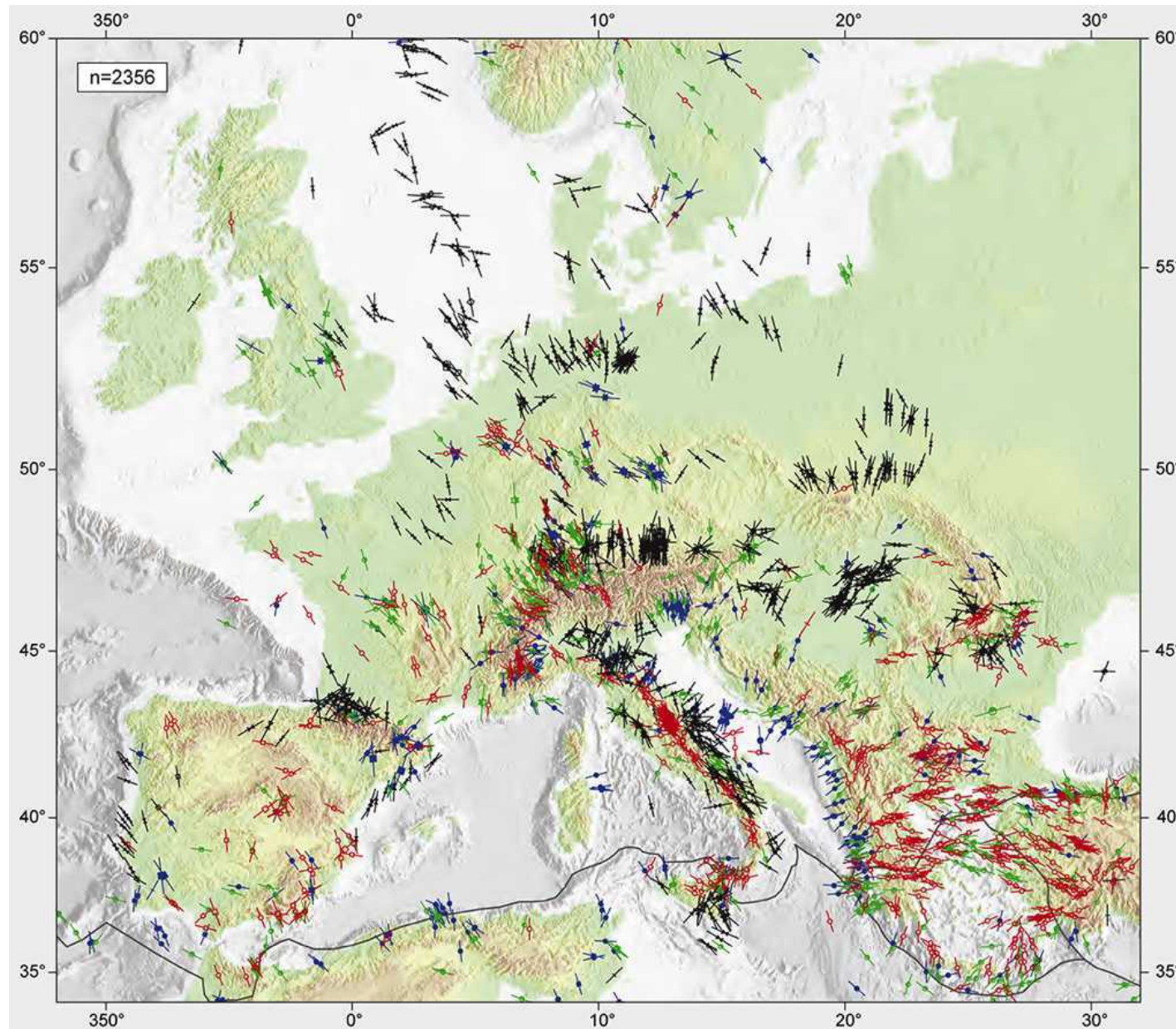
Erdbeben - Herdflächenlösung



World Stress Map (GFZ Potsdam)



World Stress Map (GFZ Potsdam)



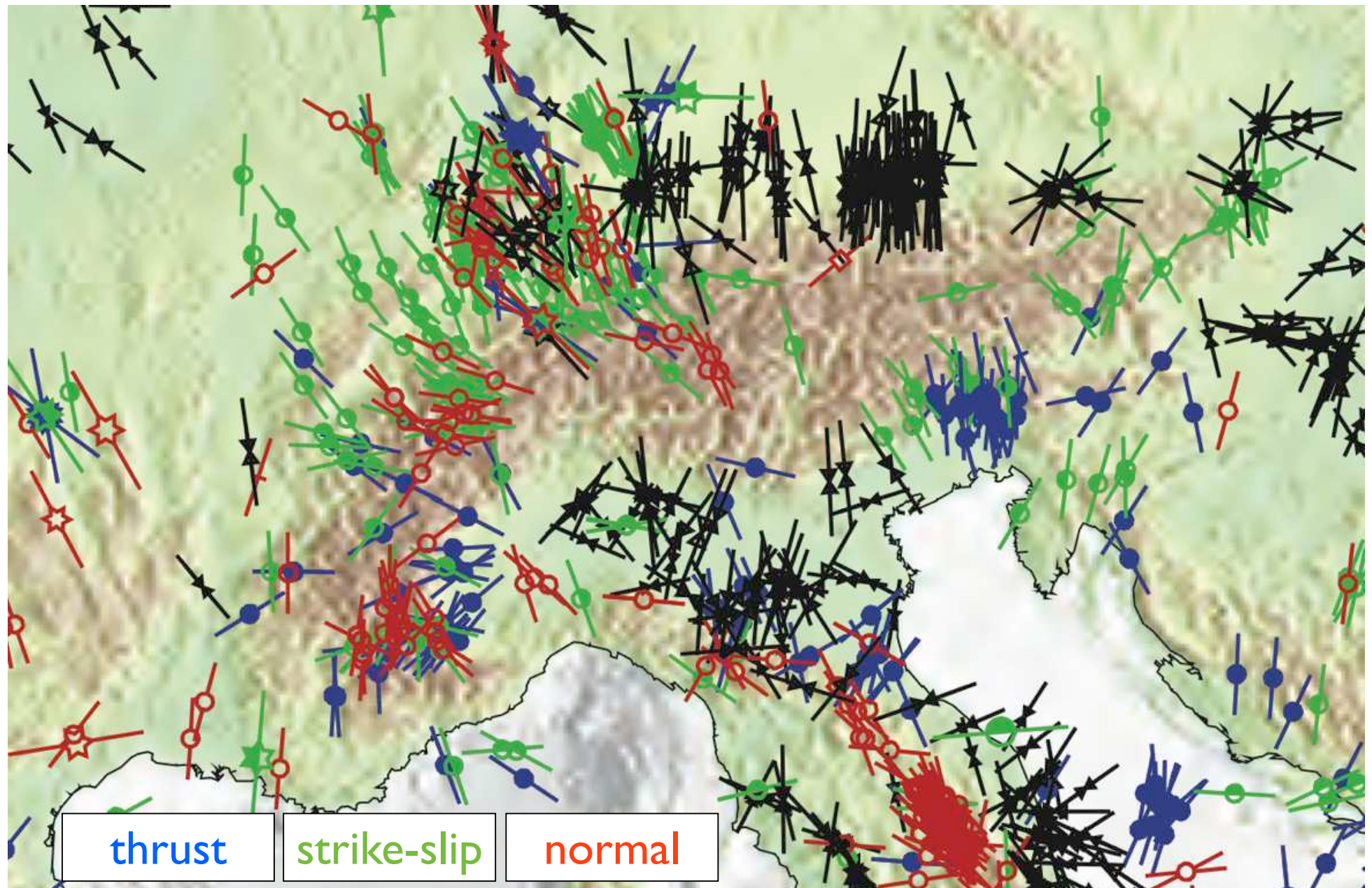
$\sigma_{\text{hor}}^{\text{max}}$

normal

strike-slip

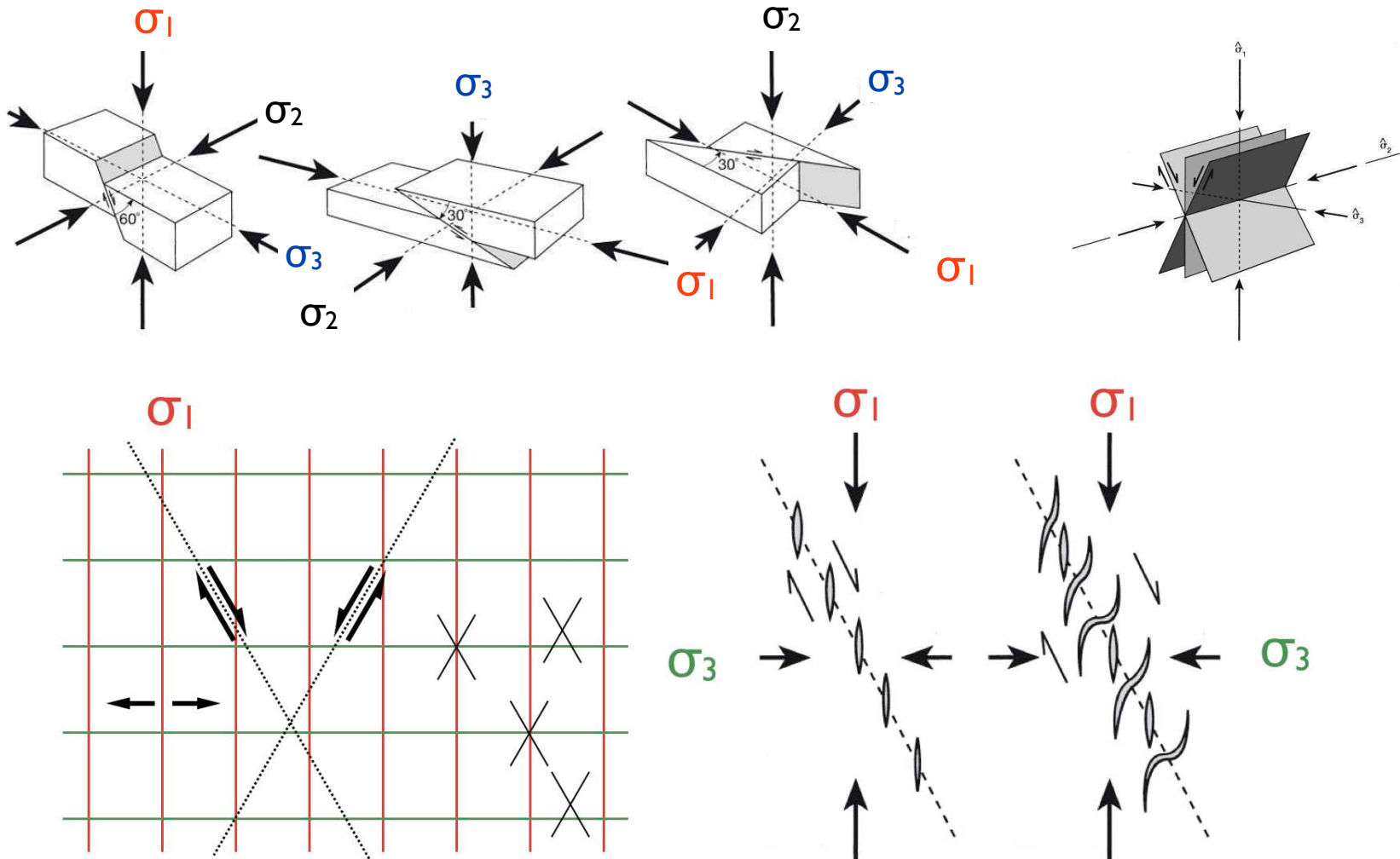
thrust

World Stress Map (GFZ Potsdam)



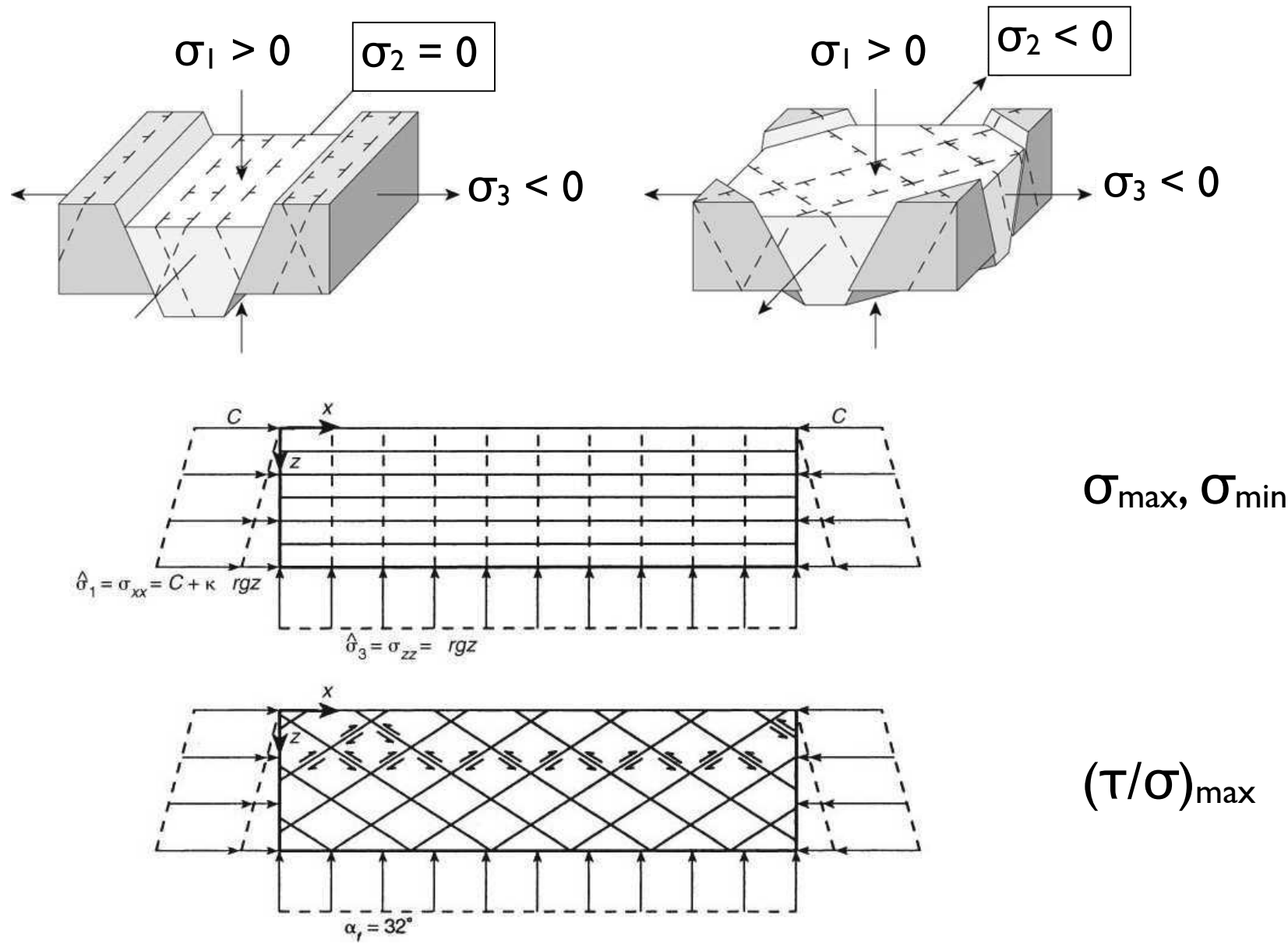
Spannungsfeld

Spannungsfeld an der Oberfläche



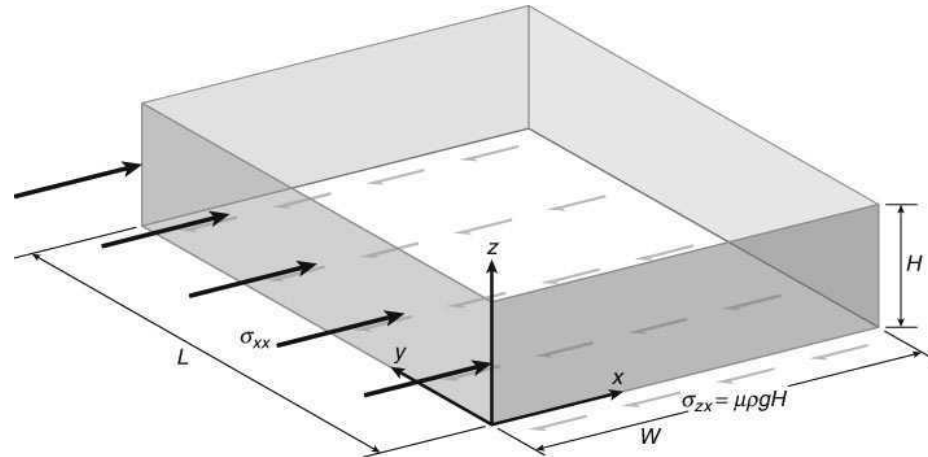
- = Richtung von $(\tau/\sigma)_{\max}$ = maximum stress ratio
- = Orientierung der Brüche gegenüber Hauptspannungen

Spannungsfeld in der Tiefe

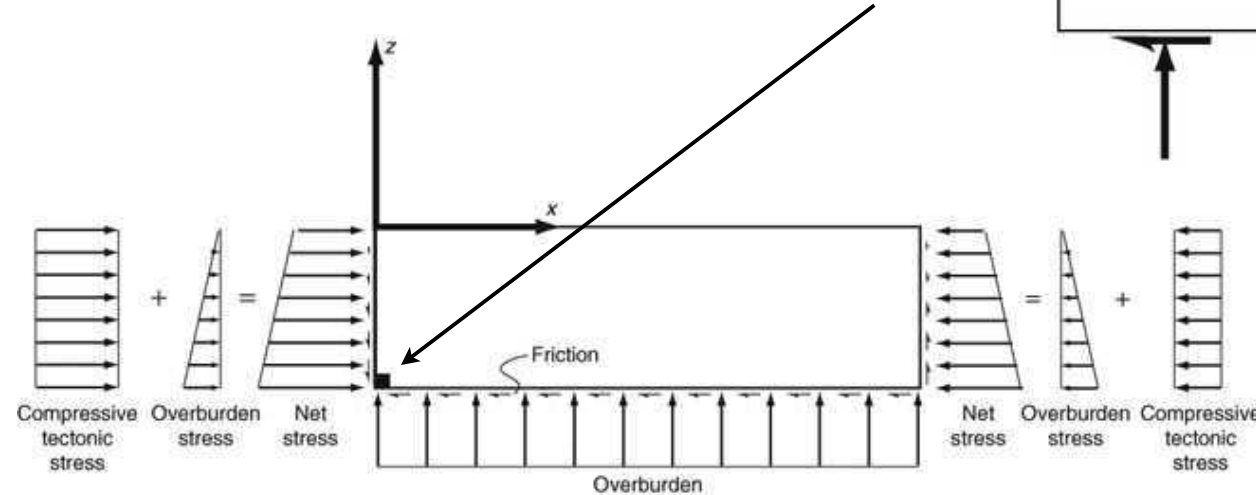
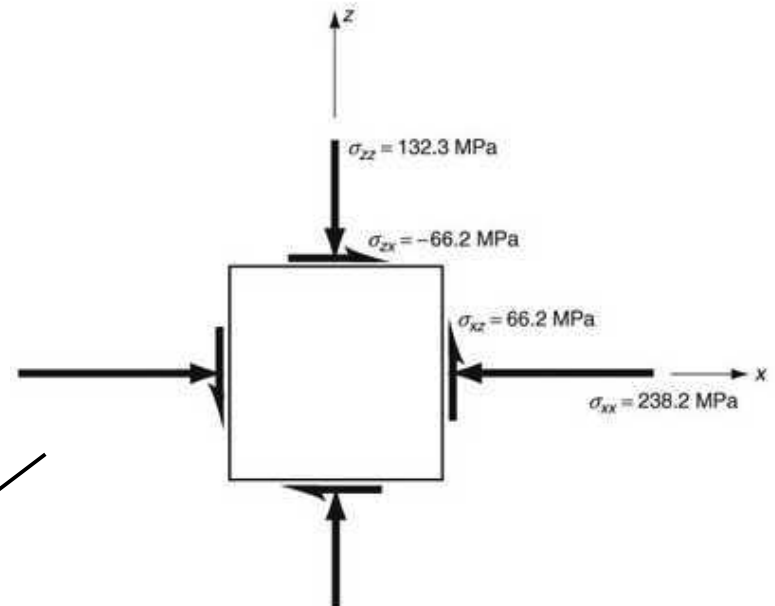


Spannungsfeld bei Überschiebung

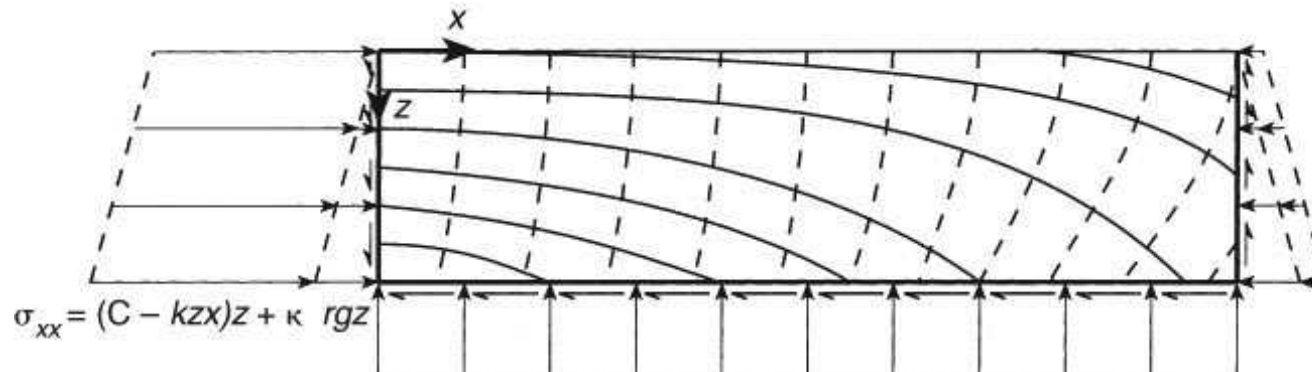
Seitlicher Schub



+ Reibungswiderstand

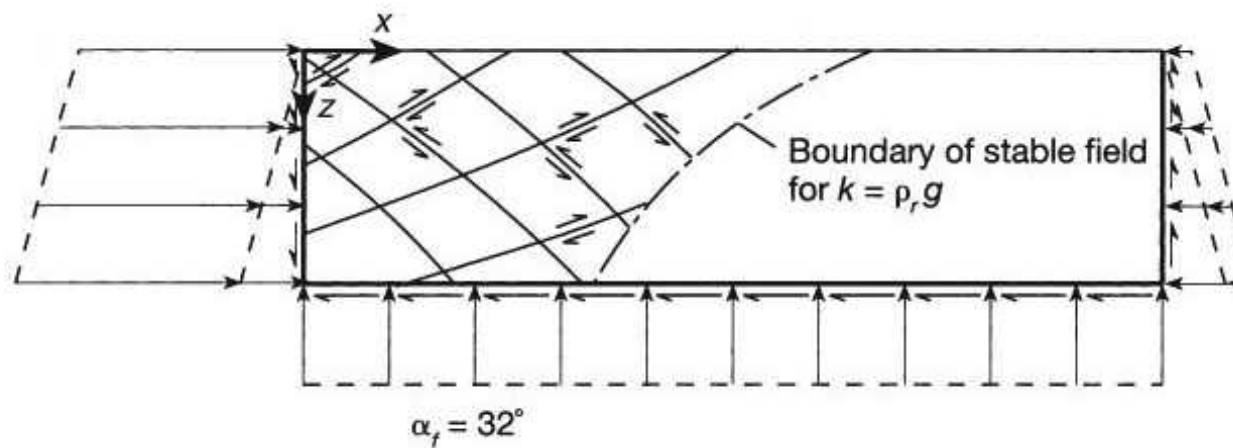


Spannungsfeld und Stabilitätsbereich

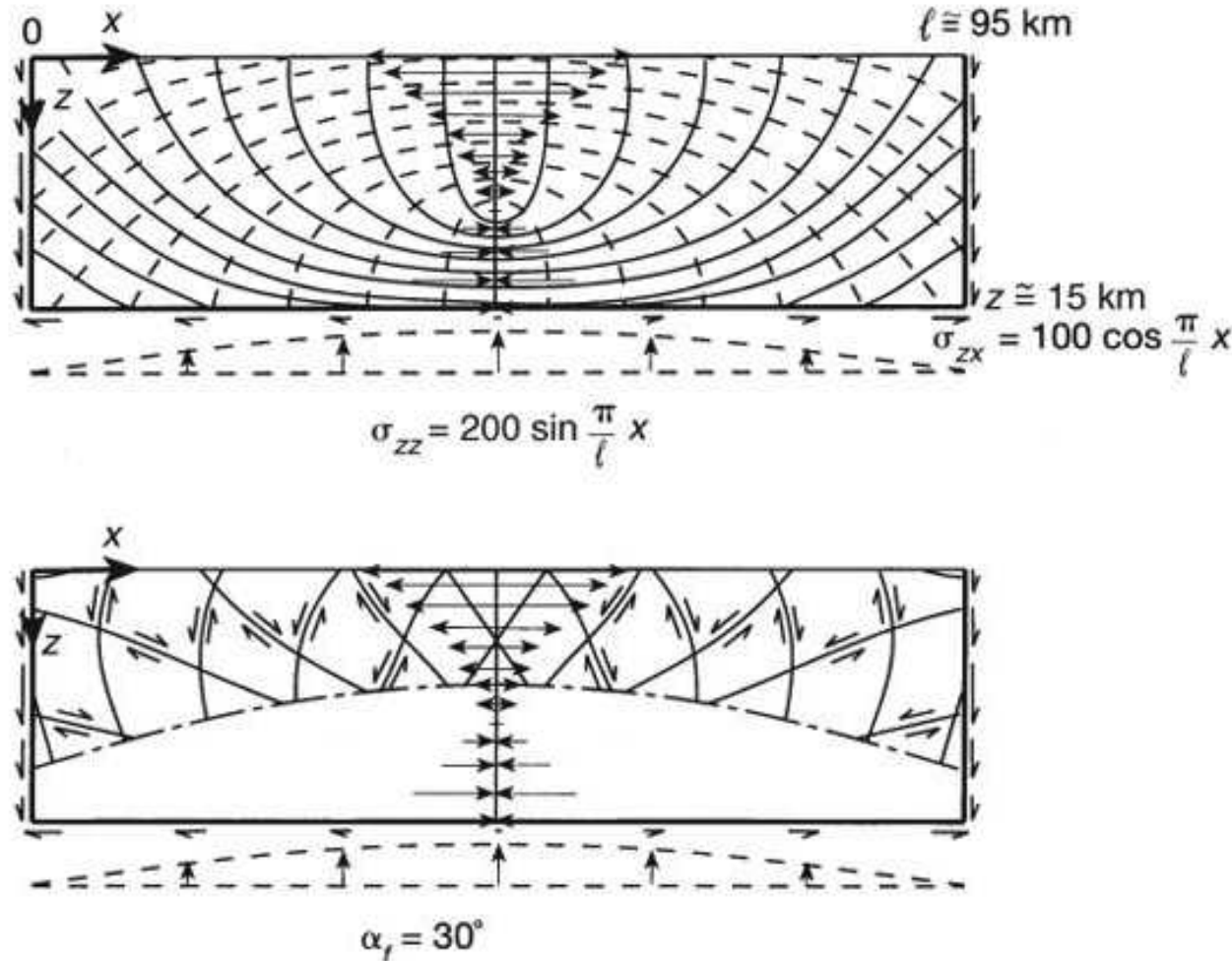


$$\sigma_{zx} = kz$$

$$\sigma_{zz} = rgz$$

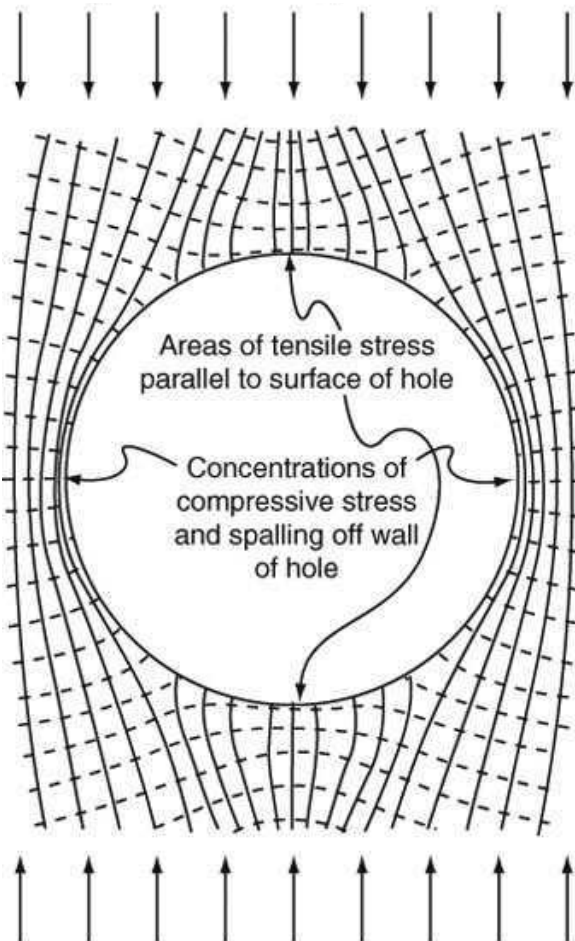


Spannungsfeld bei Krustendehnung

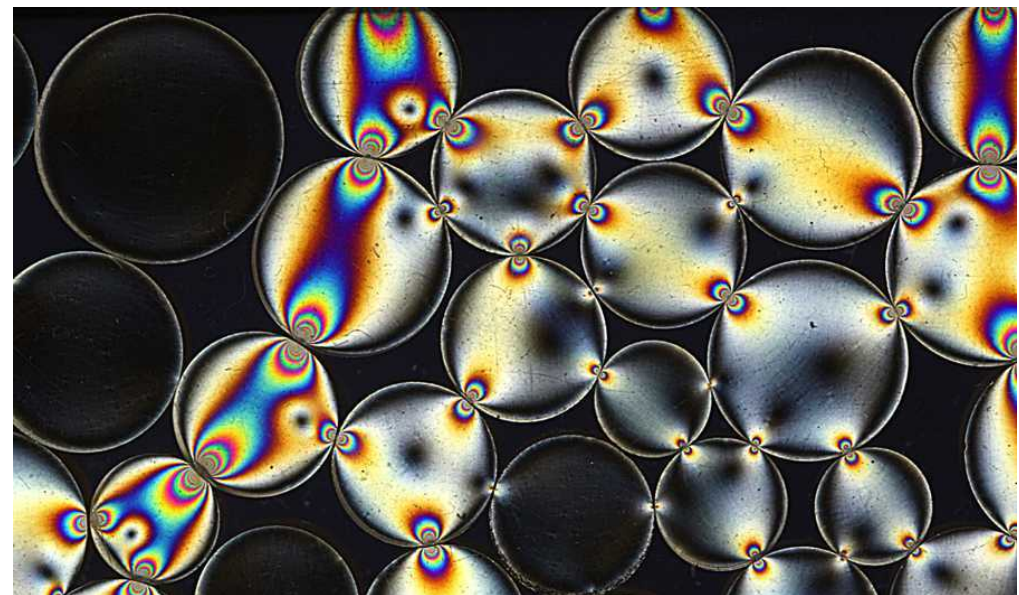


Hauptspannungstrajektorien

Spannungsverteilung
um einen Hohlraum



Spannungsverteilung
an Punkt-zu-Punkt-Kontakten



Visualisierung durch Spannungsoptik
(<http://dutcgeo.ct.tudelft.nl/allersma/fotoelast/fotelast.htm>)

2

2 Deformation - Strain - Strainmessung

VL-Themen:

- Deformation und Verformung
- Strain ellipse
- Progressive Deformation
- Flinn Diagramm
- Verkürzung - Falten
- Streckung - Boudinage
- Scherung - Scherzonen
- Verformungsmarker (strain marker)
- Strainmessung

**Deformation und
Verformung
(deformation and strain)**

Deformations - Zustand

Deformation = Geometrie
als Abweichung relativ zu unverformtem Zustand

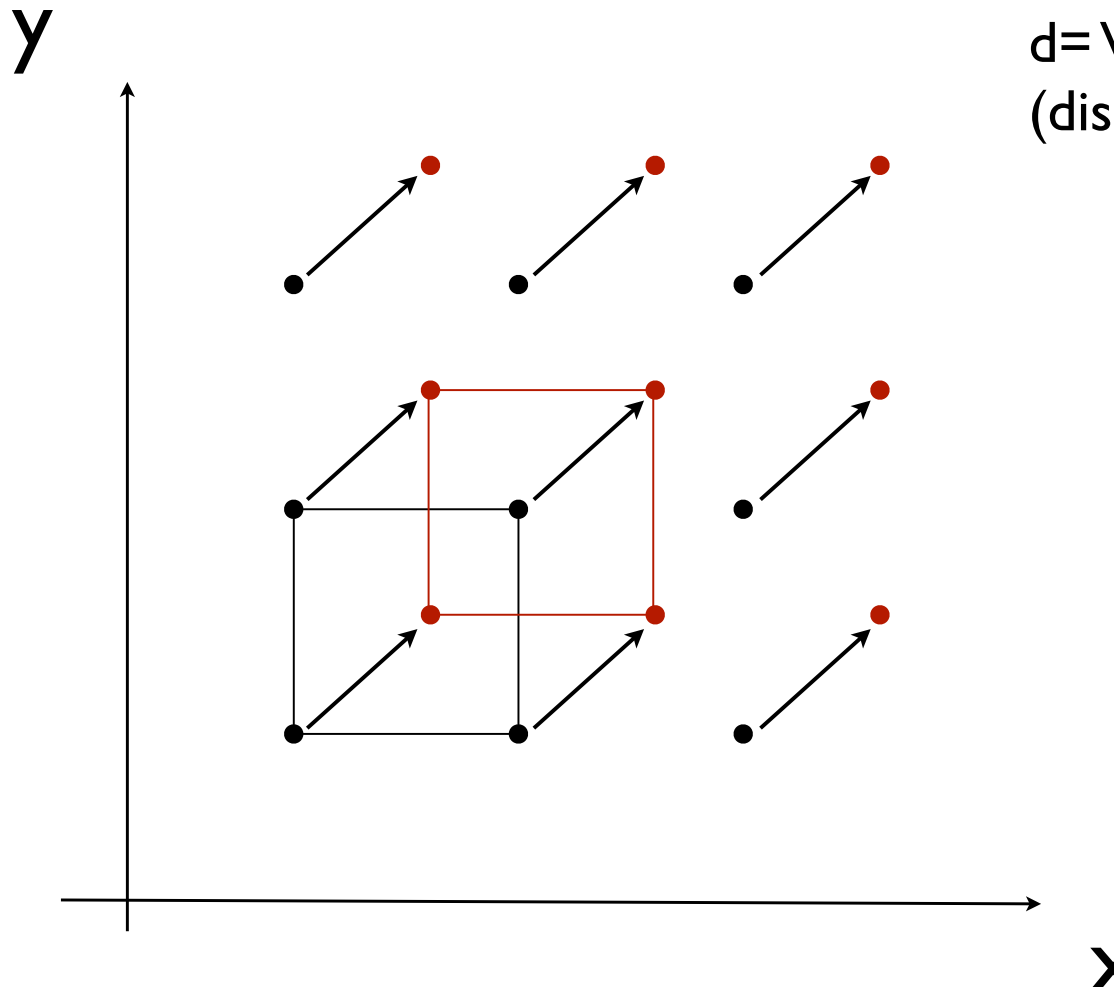
Deformation:
= Verschiebung (displacement) von Punkten
= Translation + Verformung (translation + strain)

Strain (Verformung): Streckung - Elongation
 Scherung (sinistral - dextral)
 Rotation (CLW - CCLW)

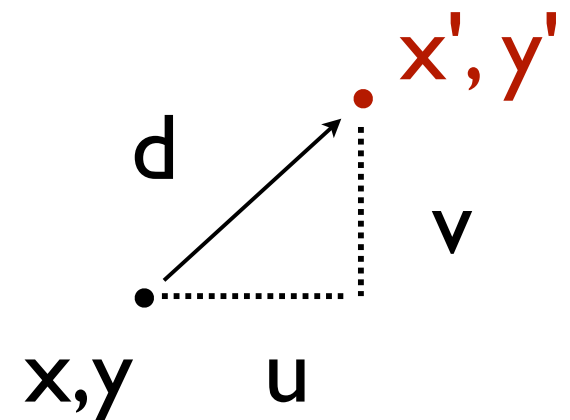
Dimension: Länge / Länge = dimensionslos

Translation (translation)

= Spezialfall der Verschiebung



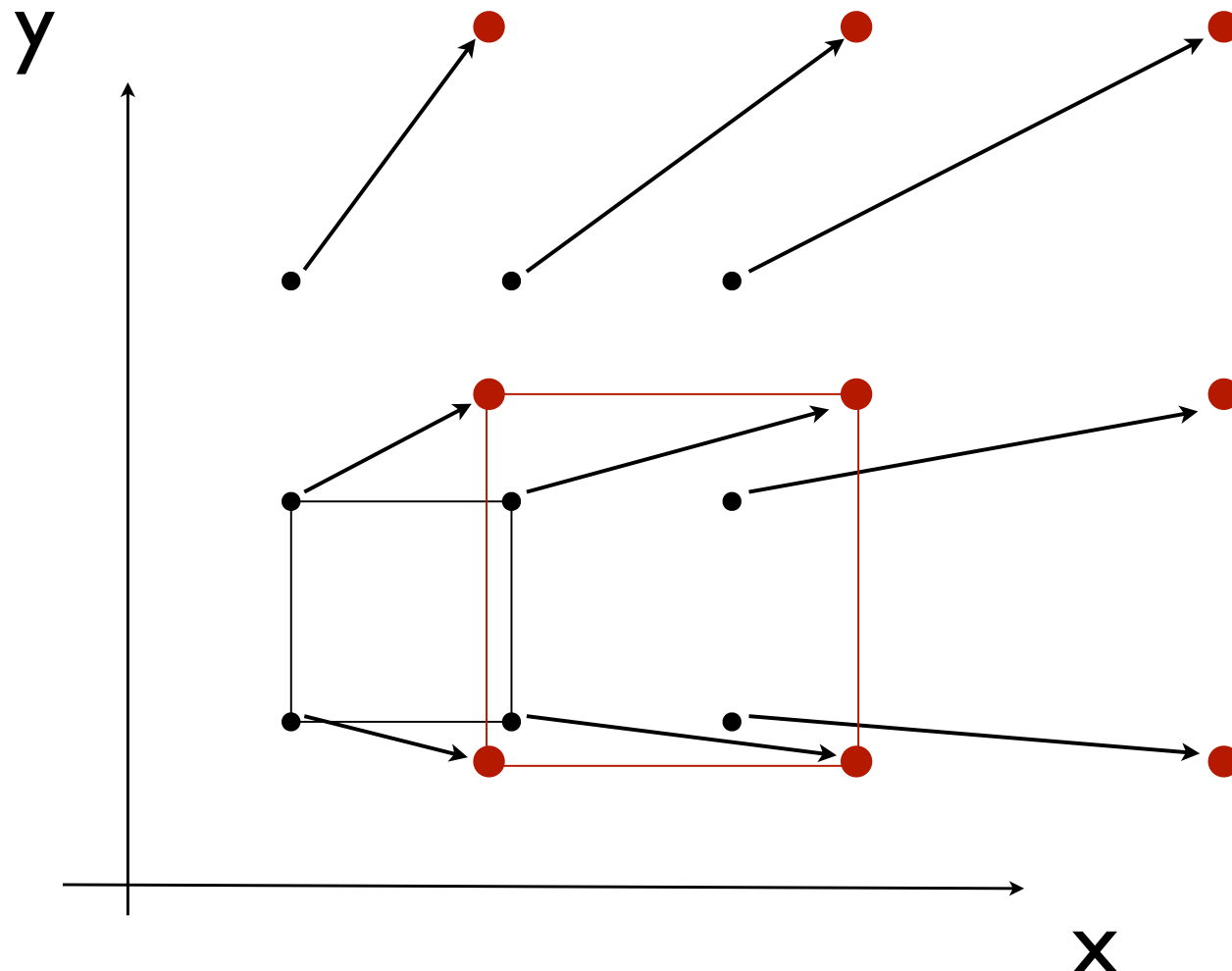
d = Verschiebungsvektor
(displacement vector)



u, v = Komponenten
der Verschiebung
Wenn alle u, v gleich
=> Translation

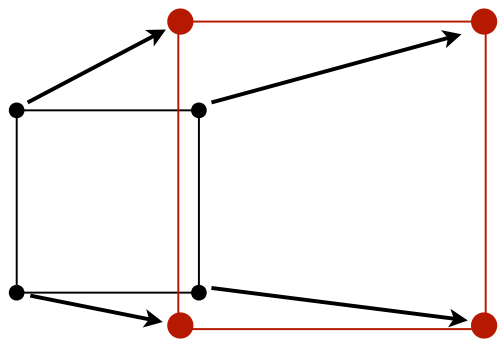
Verschiebung

= allgemeiner Fall



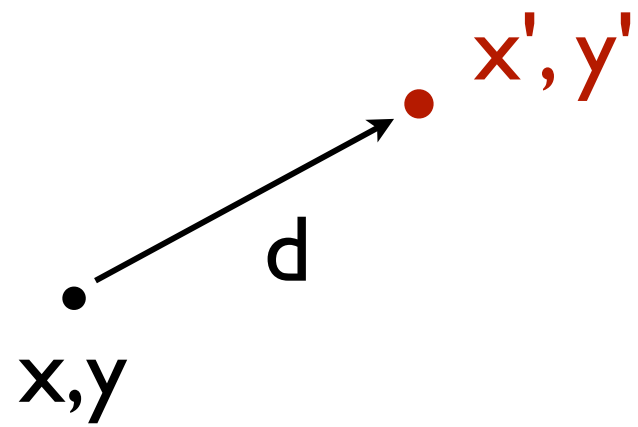
Alle u, v sind
verschieden

Koordinaten - Transformation



$$x' = f(x, y)$$
$$y' = f(x, y)$$

$$x' = A \cdot x + B \cdot y$$
$$y' = C \cdot x + D \cdot y$$

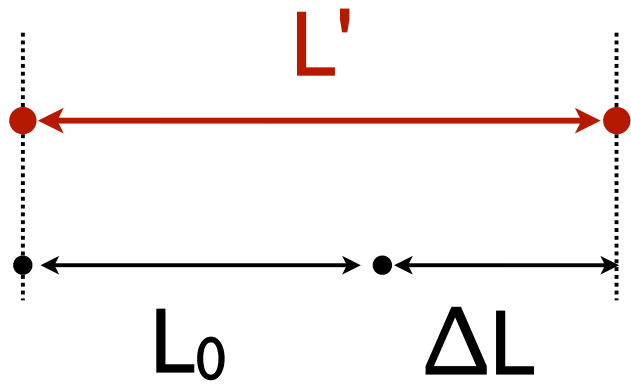
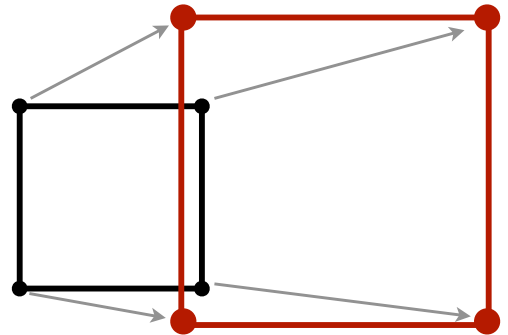


$$x'_1 = a_{11} \cdot x_1 + a_{12} \cdot x_2$$
$$x'_2 = a_{21} \cdot x_1 + a_{22} \cdot x_2$$

$$\begin{bmatrix} x'_1 \\ x'_2 \end{bmatrix} = \begin{bmatrix} a_{11} & a_{12} \\ a_{21} & a_{22} \end{bmatrix} \begin{bmatrix} x_1 \\ x_2 \end{bmatrix}$$

$$x'_i = a_{ij} \cdot x_j$$

Strain ID



L_0 unverformt
 L' verformt

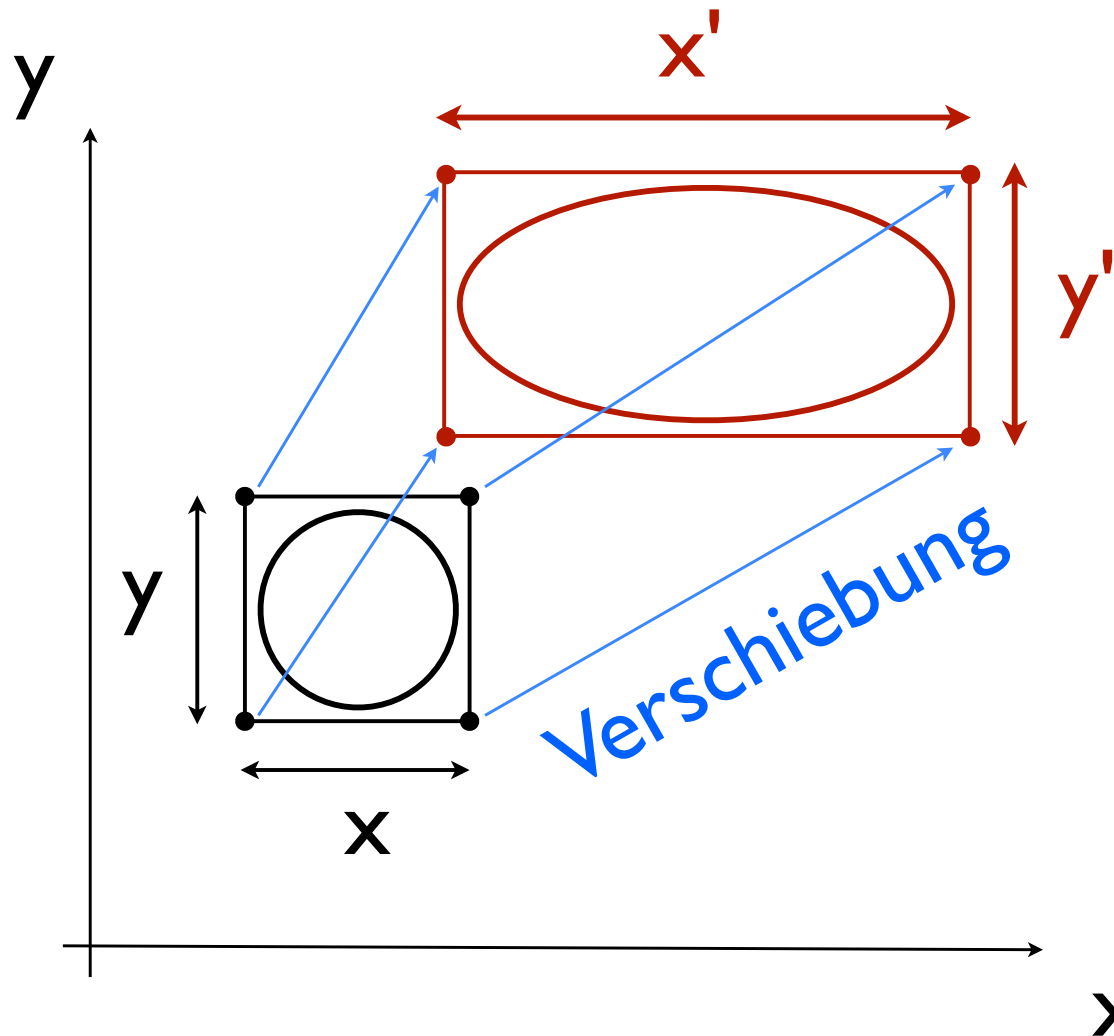
$$\Delta L = L' - L_0$$

$$e = \Delta L / L_0$$

(dimensionslos)

$e > 0$ Streckung
 $e < 0$ Verkürzung

Strain 2D



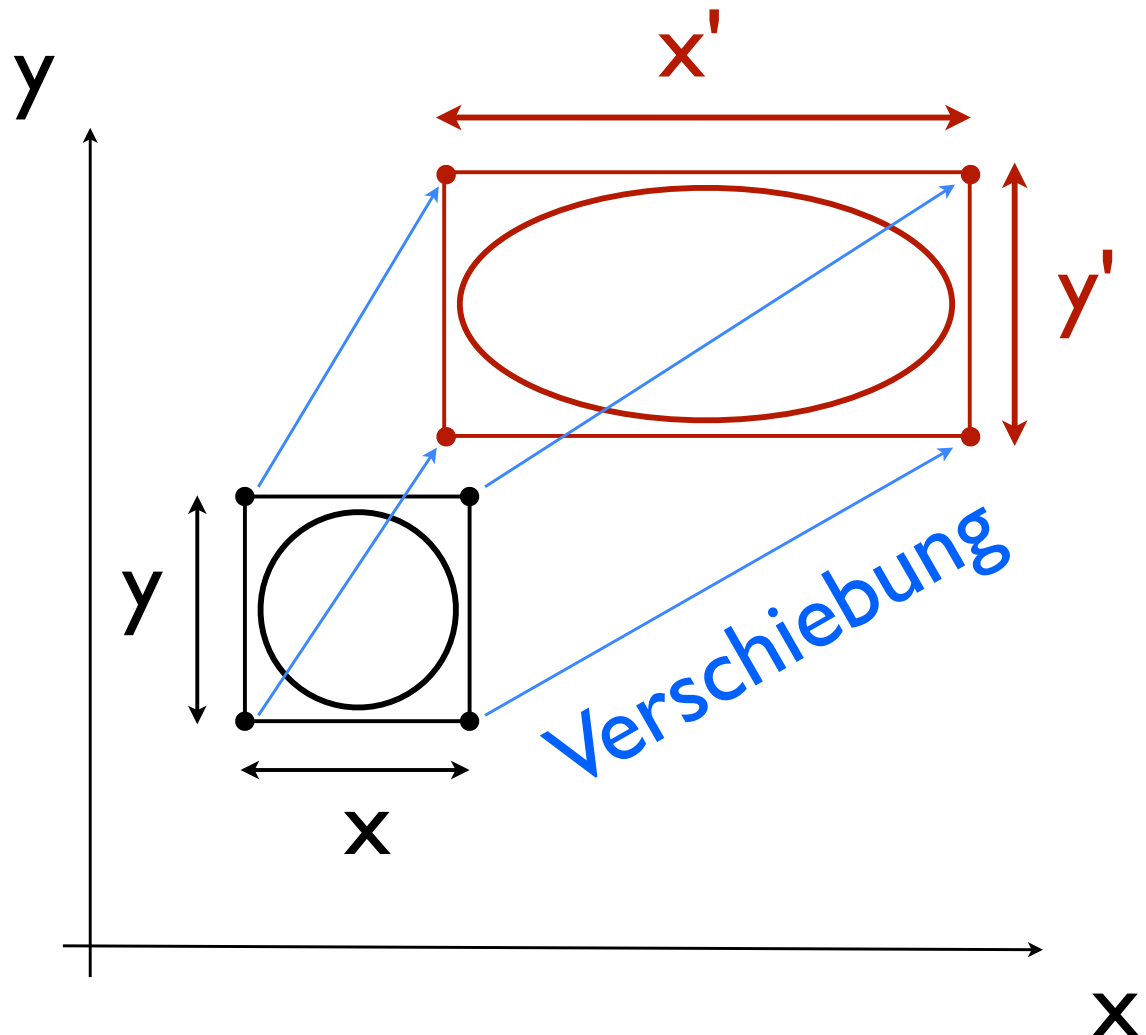
x, y unverformt
x', y' verformt

$$e_x = \Delta x / x$$
$$e_y = \Delta y / y$$

(dimensionslos)

$e > 0$ Streckung
 $e < 0$ Verkürzung

stretch 2D



x, y unverformt

x', y' verformt

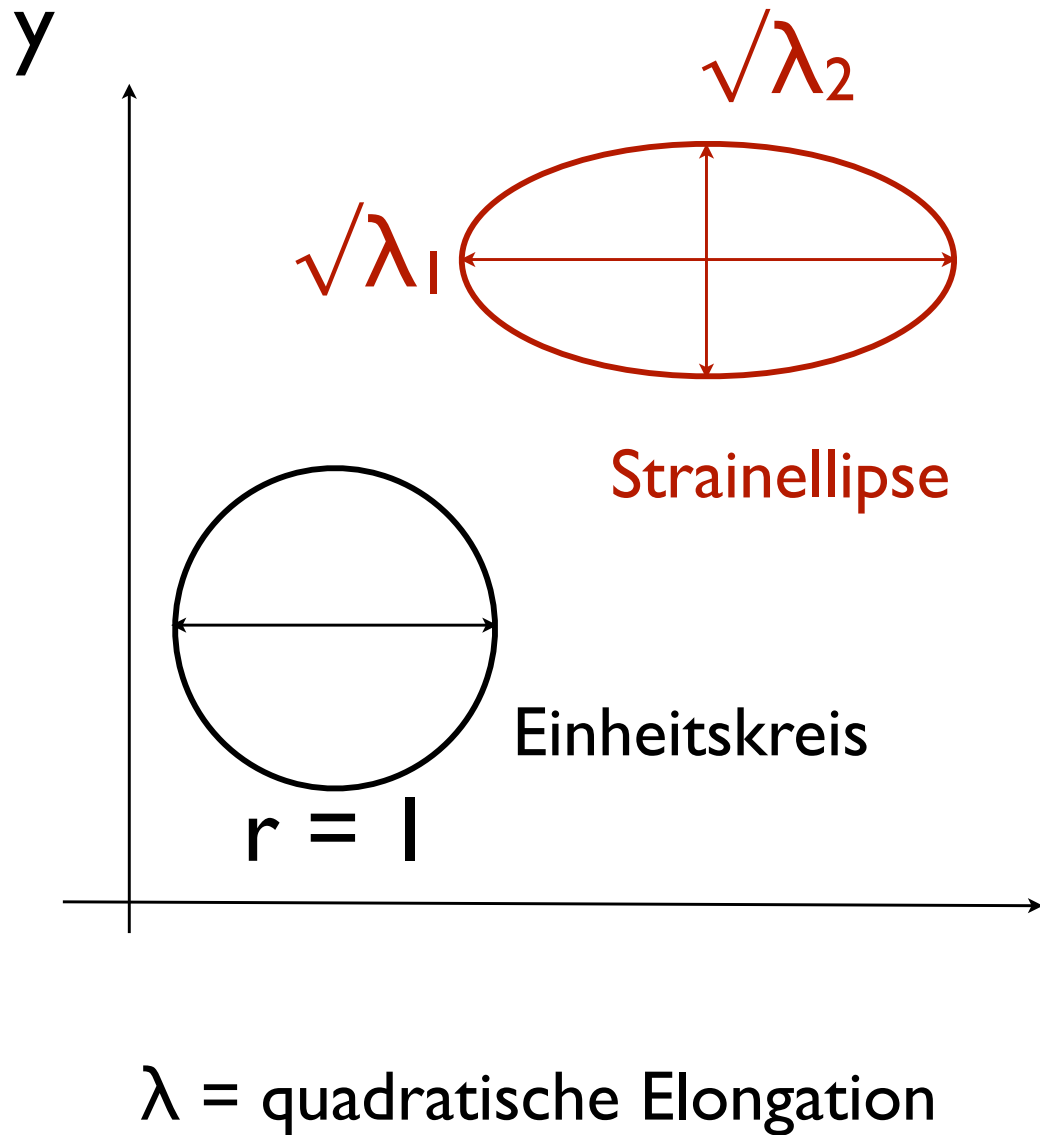
$$s_x = L_x' / L_x$$

$$s_x = (l + e_x)$$

$s > l$ Streckung

$s < l$ Verkürzung

Strain 2D - strain ellipse



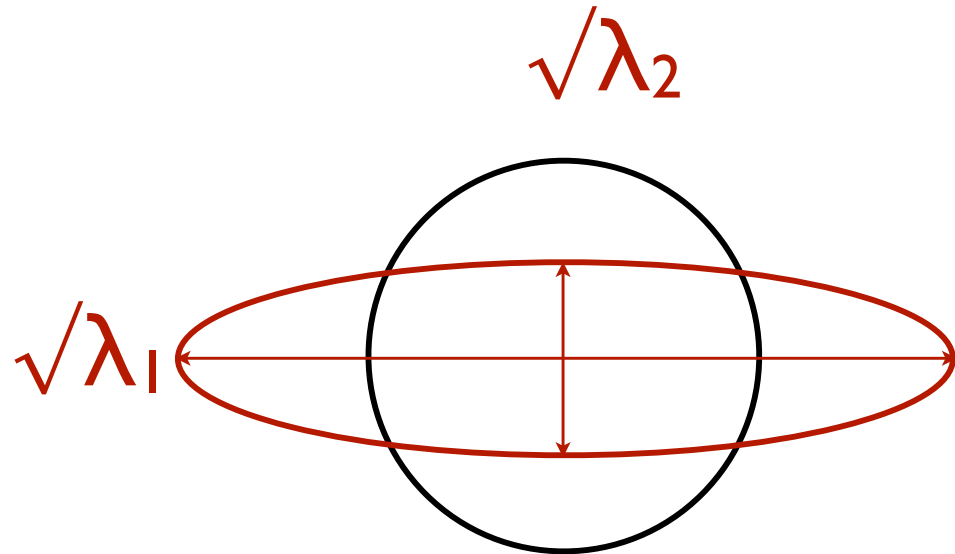
$$e = \Delta L / L_0$$
$$L' = L_0 \cdot (1 + e)$$

$$\lambda_1 = (1 + e_1)^2$$
$$\lambda_2 = (1 + e_2)^2$$

$$\lambda_1 > \lambda_2$$

$\lambda > 1$ Streckung
 $\lambda < 1$ Verkürzung

Strainellipse 2D



Ellipsenachsen

$$\sqrt{\lambda_1}, \sqrt{\lambda_2}$$

Achsenverhältnis

$$R = \sqrt{\lambda_1} / \sqrt{\lambda_2}$$

$$R \geq 1.00$$

Beispiel:

$$\sqrt{\lambda_1} = 2.0$$

$$\sqrt{\lambda_2} = 0.5$$

$$R = 4.00$$

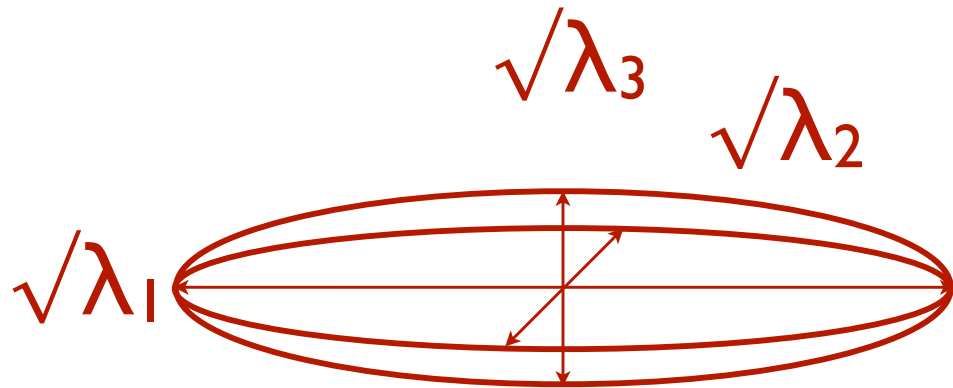
bei $\Delta A = 0$:

$$\sqrt{\lambda_1} \cdot \sqrt{\lambda_2} = 1$$

$$\sqrt{\lambda_2} = 1 / \sqrt{\lambda_1}$$

$$R = (\sqrt{\lambda_1})^2 = \lambda_1$$

Strainellipsoid 3D



Beispiel:

$$\sqrt{\lambda_1} = 2.0 \quad \sqrt{\lambda_2} = 1.0$$

$$\sqrt{\lambda_3} = 0.5$$

$$R_{13} = 4.00$$

Ellipsenachsen

$$\sqrt{\lambda_1}, \sqrt{\lambda_2}, \sqrt{\lambda_3}$$

bei $\Delta V = 0, \sqrt{\lambda_2} = 1$
(plane strain):

$$R_{13} = \sqrt{\lambda_1} / \sqrt{\lambda_3}$$

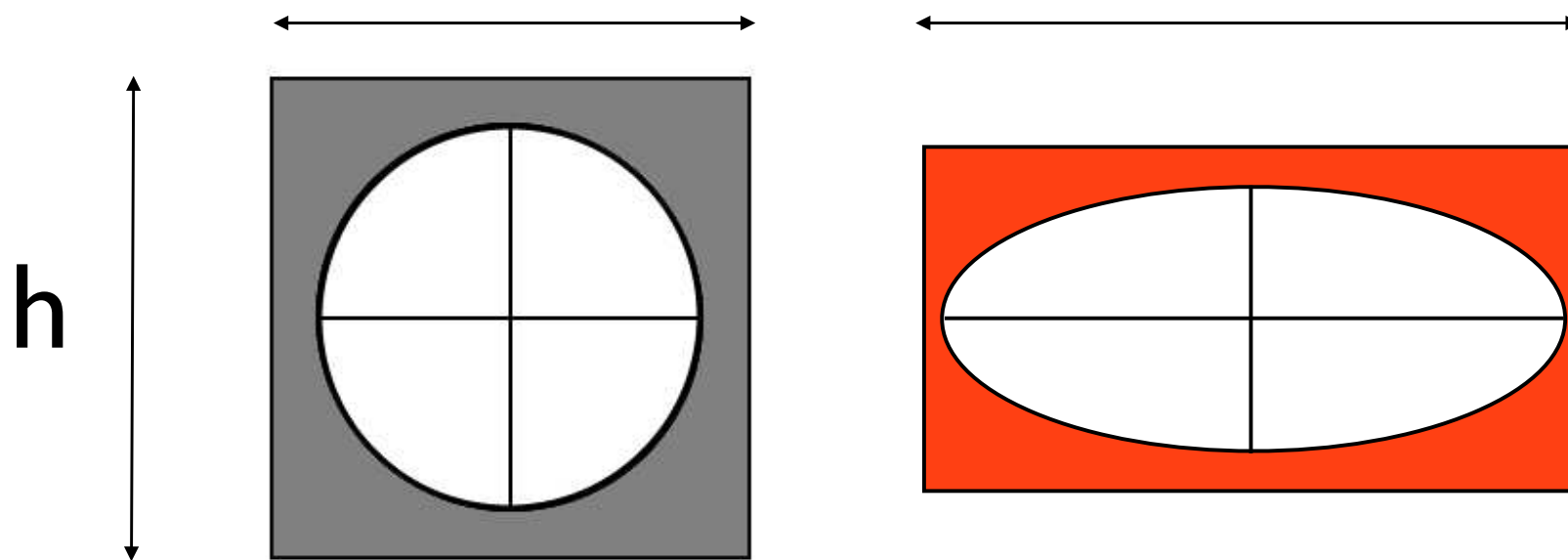
$$\sqrt{\lambda_1} \cdot \sqrt{\lambda_3} = 1$$

$$\sqrt{\lambda_3} = 1 / \sqrt{\lambda_1}$$

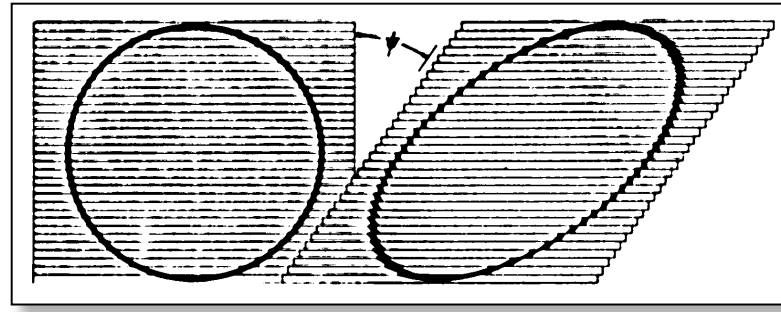
$$R_{13} = (\sqrt{\lambda_1})^2 = \lambda_1$$

Reine Scherung - koaxial

keine Rotation
der Achsen



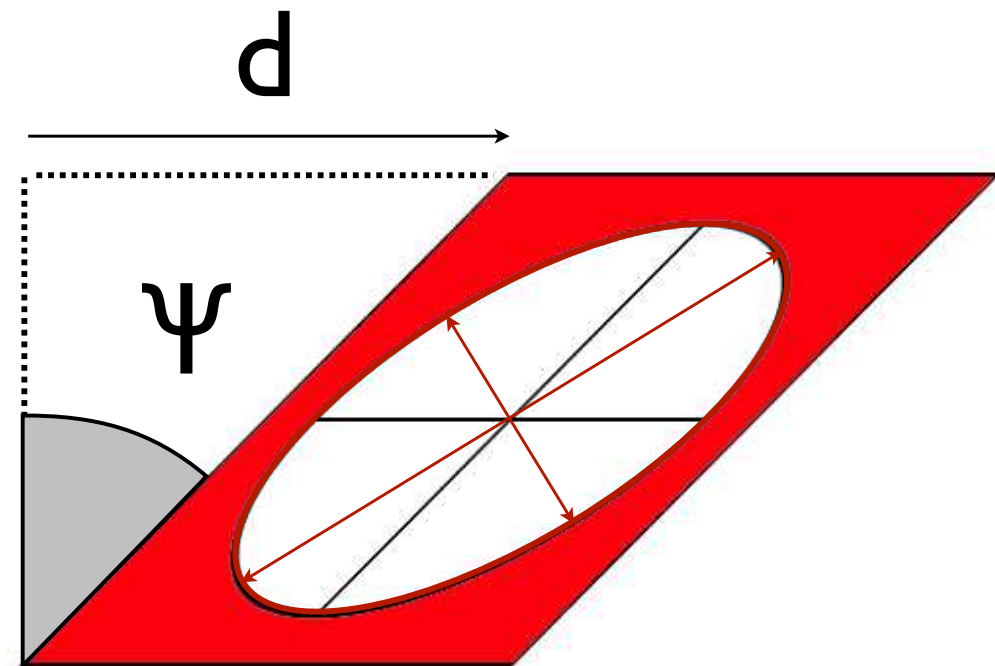
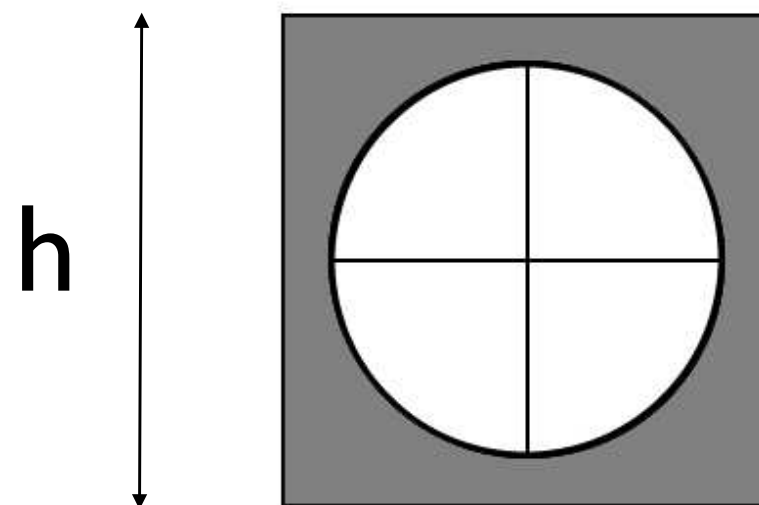
Einfache Scherung - rotational



shear strain

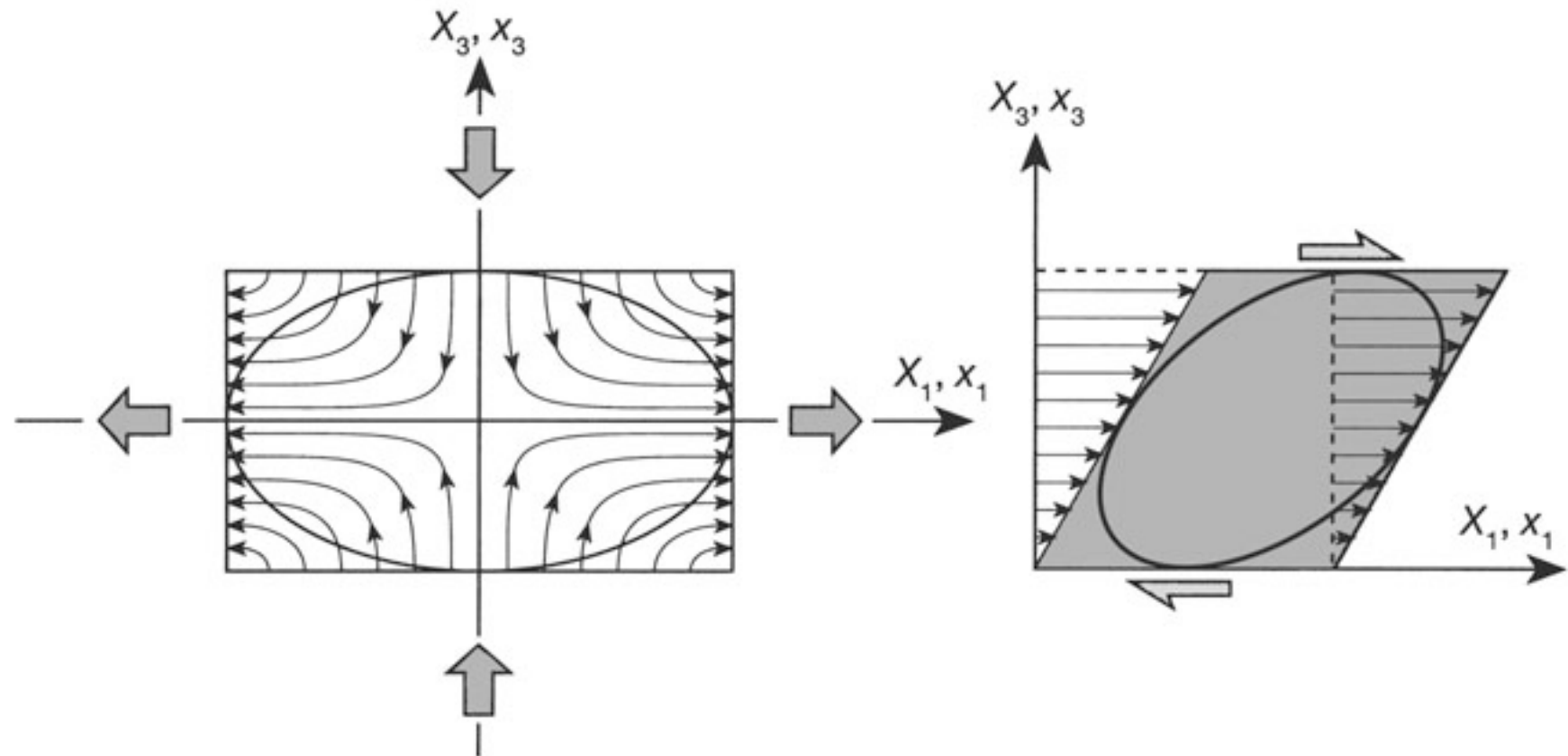
$$\gamma = \tan(\psi)$$

$$\gamma = d / h$$



Progressive Deformation (progressive deformation)

Progressive Deformation



A. Progressive pure shear

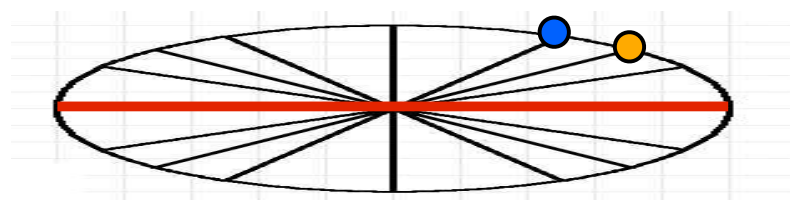
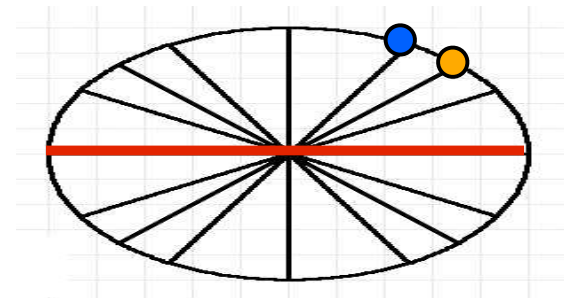
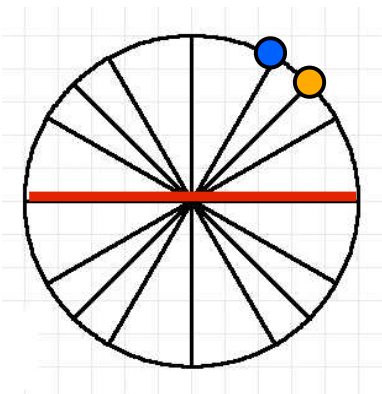
B. Progressive simple shear

Reine Scherung - pure shear

Koachsiale progressive Deformation
(coaxial progressive deformation)

Achsen der Strainellipse

- rotieren nicht
- sind Materiallinien

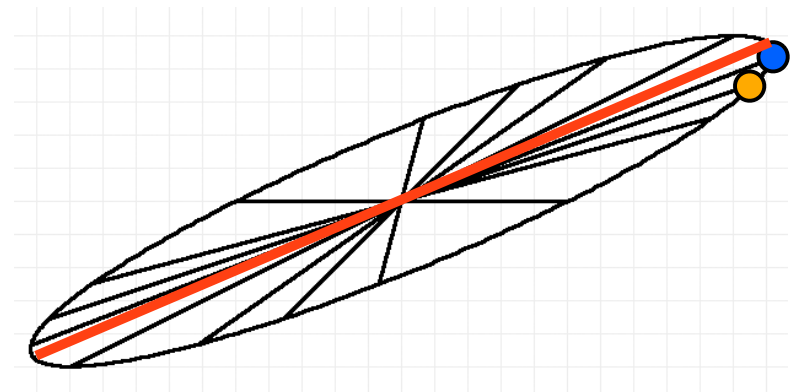
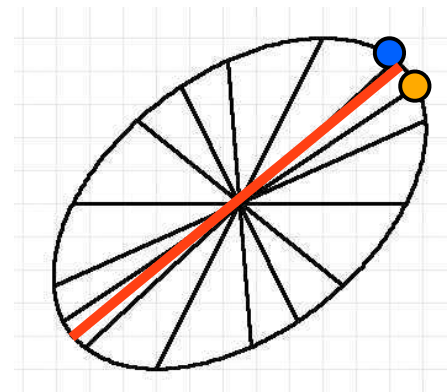
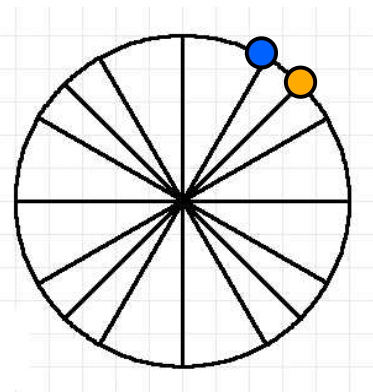


Einfache Scherung - simple shear

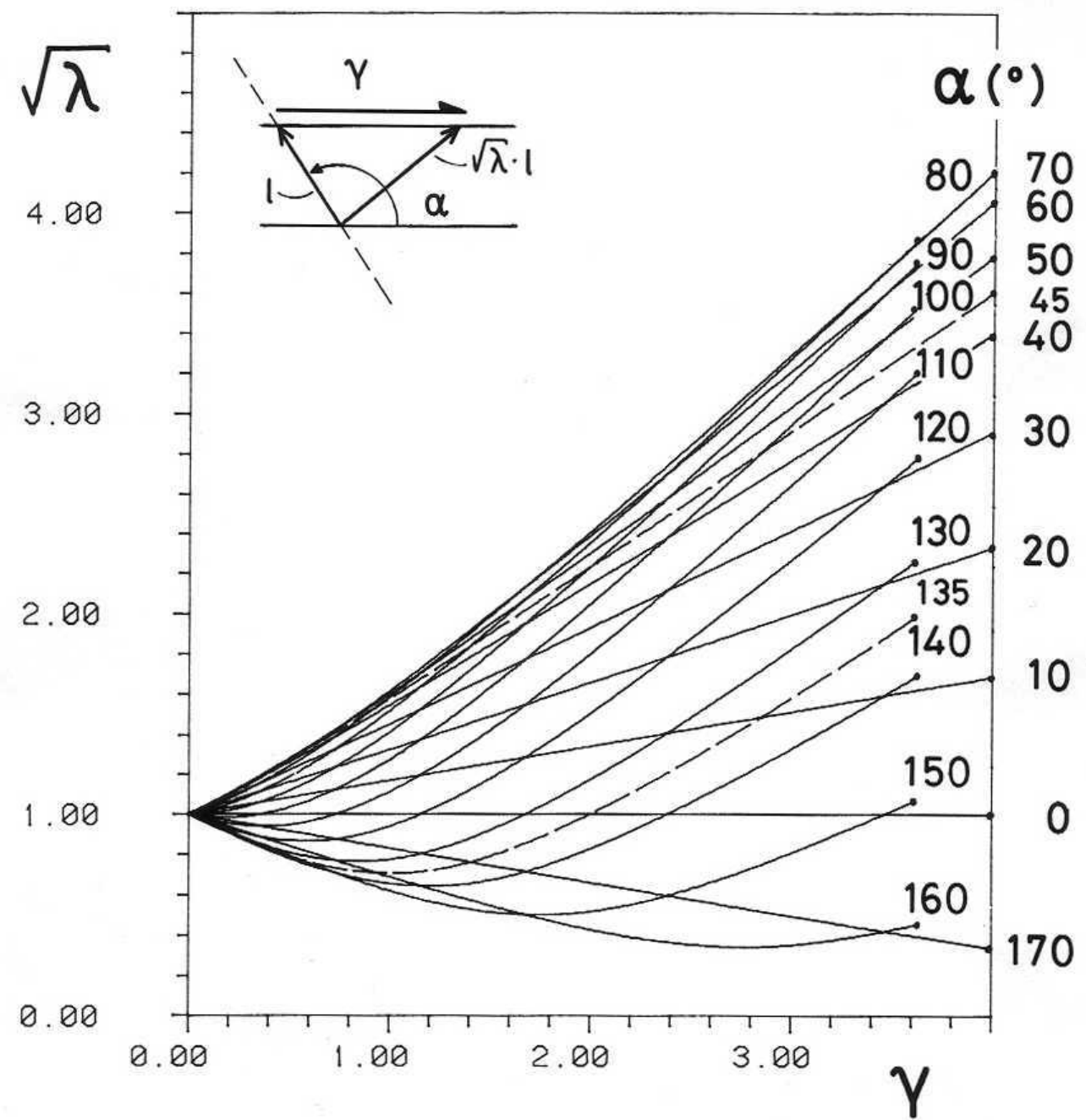
Nicht-koachsiale progressive Deformation
(non-coaxial progressive deformation)

Achsen der Strainellipse

- rotieren
- sind keine Materiallinien

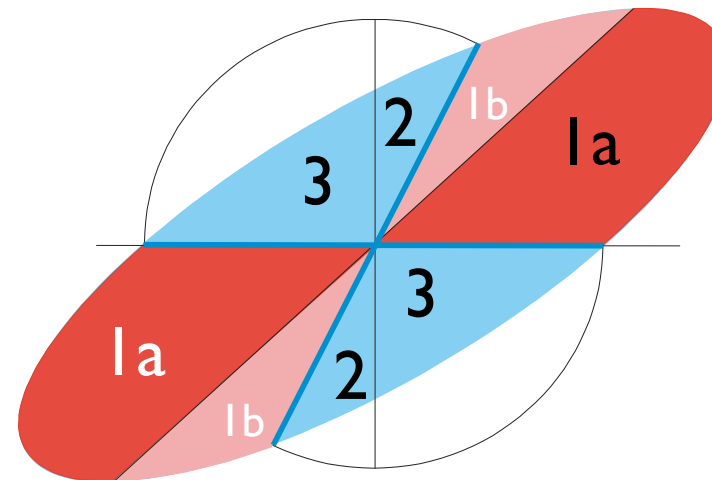
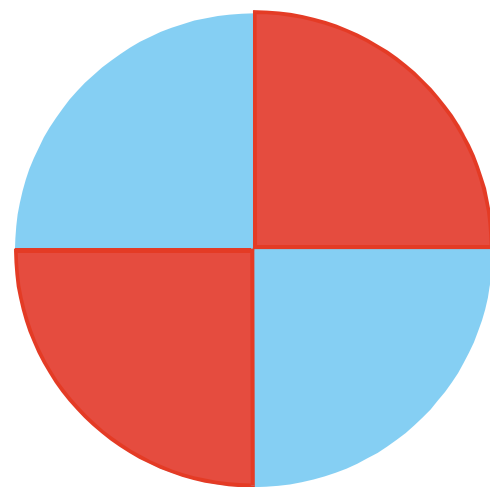
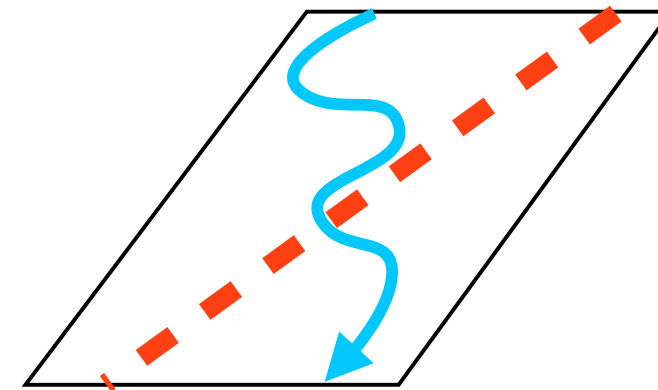
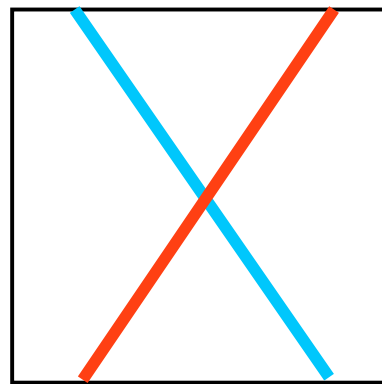


looks familiar



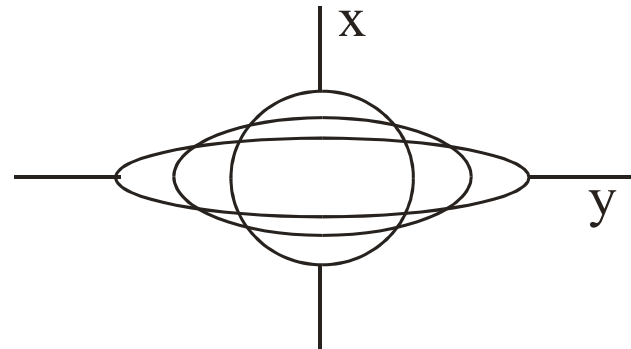
progressive simple shear

finite strain



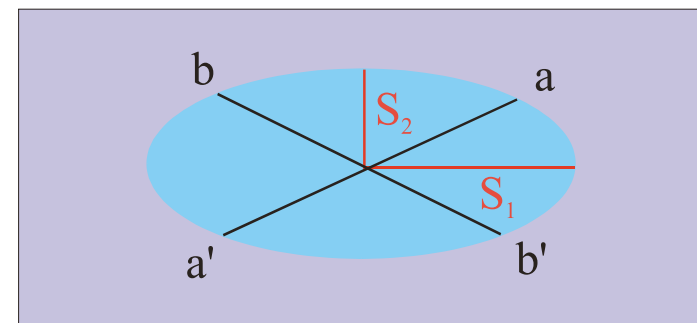
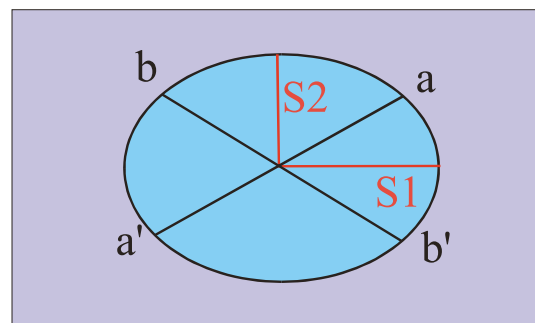
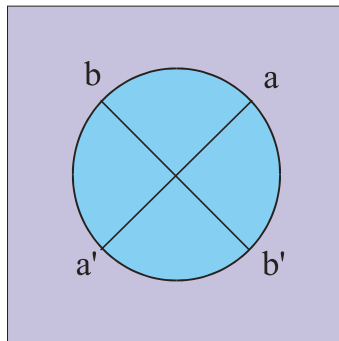
Feld 1a & 1b: Streckung (Boudinage)
Feld 2 & 3 : Stauchung (Falten)

Reine Scherung - pure shear



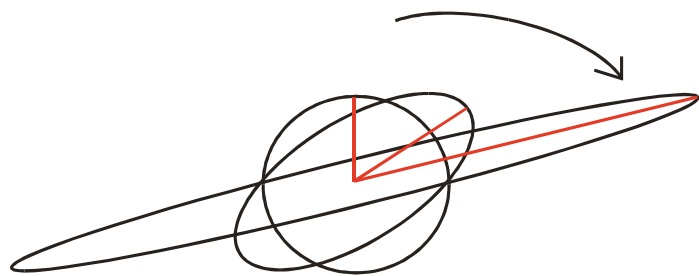
I.) Plättung (flattening)
reine Scherung
(pure shear)

koachsiale progressive Deformation
(coaxial progressive deformation)



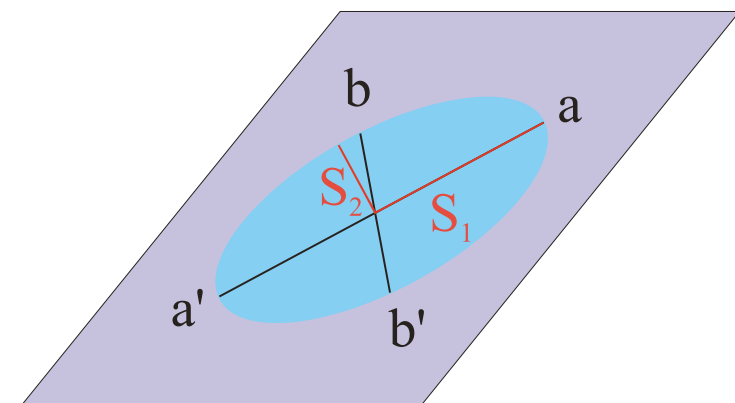
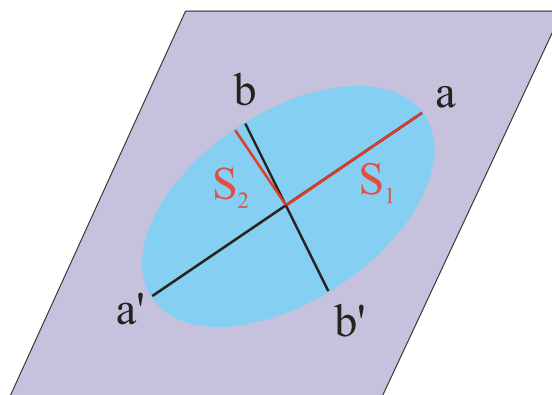
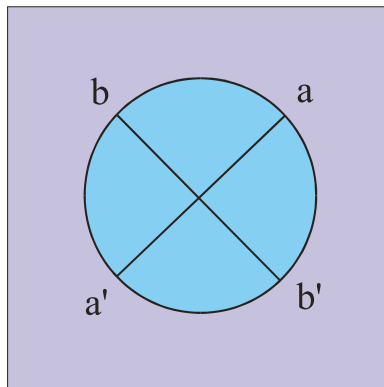
a und b sind Materiallinien, sie bewegen sich in Richtung S₁.
Diese Richtung ist der fabric attractor

Einfache Scherung - simple shear



2.) Scherung
einfache Scherung
(simple shear)

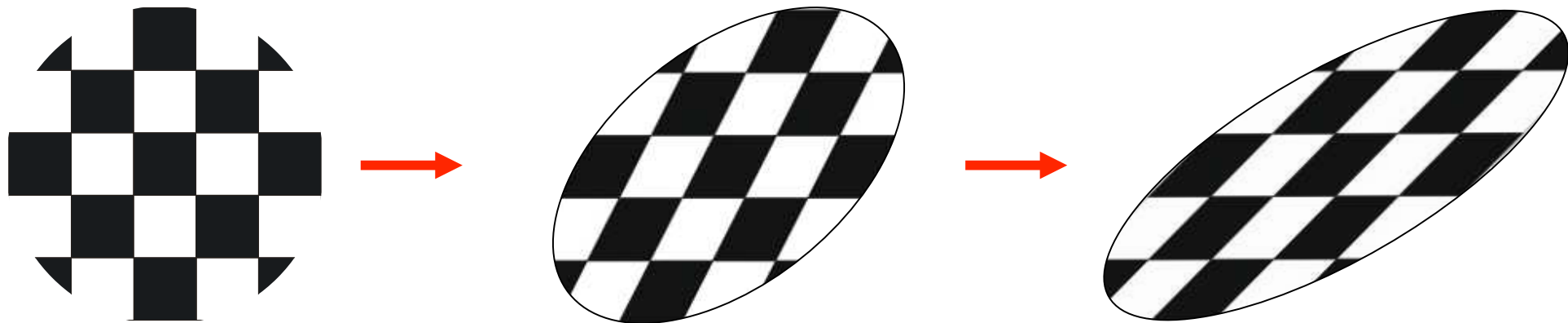
Nicht-koachsiale progressive Deformation
non-coaxial progressive deformation



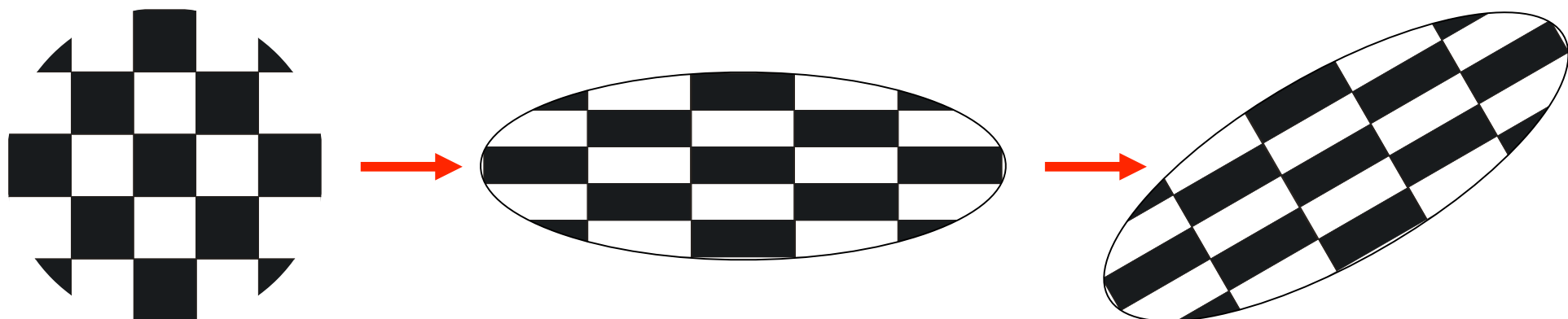
Materiallinie aa' wird immer gelängt.
bb' wird zuerst verkürzt, dann gelängt

strain ≠ strain history

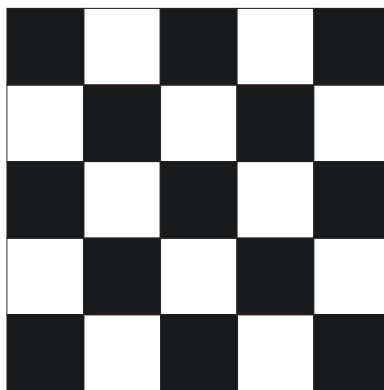
continued simple shear



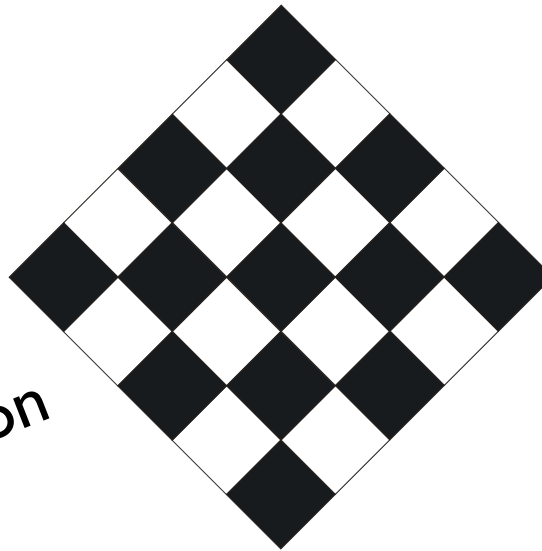
flattening and rotation



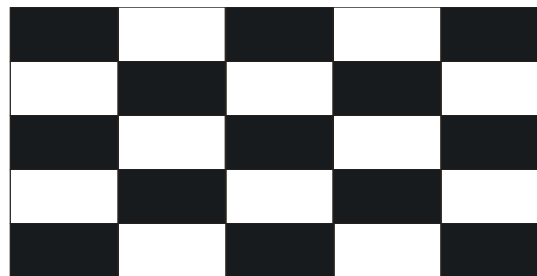
Reihenfolge der Verformung



Rotation
 45°



Plättung
 $R = 2$



Plättung
 $R = 2$

Rotation
 45°



Übung 2

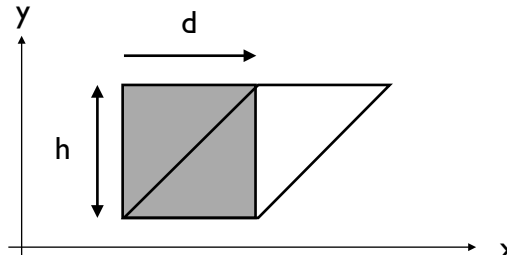
strain

Übung 2

Scherverformung in der Scherbox (simple shear in 2 D)

Ziel dieser Übung ist es, die verschiedenen geometrischen Aspekte der einfachen Scherung (in 2 Dimensionen) kennenzulernen und quantitativ beschreiben zu können. Die Übung kann auf zwei Arten gelöst werden: durch Messen oder durch Rechnen.

Einfache Scherung wird wie folgt beschrieben:



$$Y = d / h$$

wo d = Versetzungsbetrag und h = Höhe des geschersten Körpers.

Das Experiment

Ein Stapel Computerkarten wird geschert (diese Karten existieren in der Tat immer noch - sie sind im Übungsräum zusammen mit einer real existierenden Scherbox zu finden).

Auf den Karten ist seitlich ein Einheitskreis (Radius = 1.00) aufgemalt, sowie 8 Durchmesser in den Orientierungen $0^\circ, 30^\circ, 45^\circ, 60^\circ, 90^\circ, 120^\circ, 135^\circ, 150^\circ$.

Das Resultat des Scherexperimentes ist auf der beigelegten Abbildung dargestellt:

- 1 - Unverformter Zustand
- 2 - $Y = 0.5$
- 3 - $Y = 1.0$
- 4 - $Y = 2.0$
- 5 - $Y = 3.0$

Der Kreis verformt sich zu zunehmend schlankeren Ellipsen (= Verformungsellipsen), die verschiedenen Durchmesser werden länger oder kürzer und ändern die Orientierung.

Aufgaben

1. Bestimmen Sie den Scherwinkel, Ψ , in den 4 Verformungsschritten. Beschreiben Sie das Vorgehen.
2. Schreiben Sie die Gleichungen der Koordinaten-Transformation für $Y = 0.5, 1.0, 2.0, 3.0$.
3. Bestimmen Sie die Extension, e , und die Orientierung, ϕ , der eingezeichneten Durchmesser ($A-A'$, $B-B'$, etc.) bzw. der Radien ($0-A'$, $0-B'$, etc.) in den 4 Verformungsschritten.

$$\Delta L = L - L_0$$

$$e = \Delta L / L_0$$

wo L_0 = ursprüngliche Länge und L = verformte Länge

Die Radius des ursprünglichen Kreises ist = 1.00. Sie können nun entweder alle Durchmesser oder Radien messen oder die Koordinaten der verformten Radiusvektoren berechnen und daraus die verformte Länge gewinnen. Dazu nehmen Sie am besten an, dass sich der Koordinatenursprung immer im Mittelpunkt der Ellipsen befindet.
Welches Vorgehen wählen Sie? Beschreiben Sie es.

4. Stellen Sie die Extension, e , und die Orientierung, ϕ , der Linien $A-A'$, $B-B'$ etc. als Funktion von Y dar (2 separate Diagramme) und kommentieren Sie. Welche Linien, d.h. welche ursprünglichen Orientierungen, werden kürzer, welche werden länger? Wie schnell rotieren sie?
- 4*. Finden Sie die mathematische Gleichung, welche die Extension, e , und die Orientierung, ϕ , einer geschereten Geraden in Abhängigkeit der Scherung, Y , und der ursprünglichen Orientierung, ϕ_0 , der Geraden beschreibt.
5. Zeichnen Sie die lange Achse, a , und die kurze Achse, b , der Ellipsen ein, messen Sie die Längen a und b , berechnen Sie das Achsenverhältnis, R_f ($R_f = a/b$), und bestimmen Sie die Orientierung, ϕ , der langen Achse.
Tragen Sie die Resultate in den entsprechenden Diagramme der Aufgabe 4 ein.
6. Vergleichen Sie die Rotation der langen Ellipsenachse mit der Rotation der geschereten Durchmesser. Zeichnen Sie die Lagen der langen und kurzen Achsen auf den Verformungsellipsen im ursprünglichen Einheitskreis ein. Kommentieren Sie. Sind zusammengehörige Achsen senkrecht aufeinander? Sind die Ellipsenachsen Materiallinien?

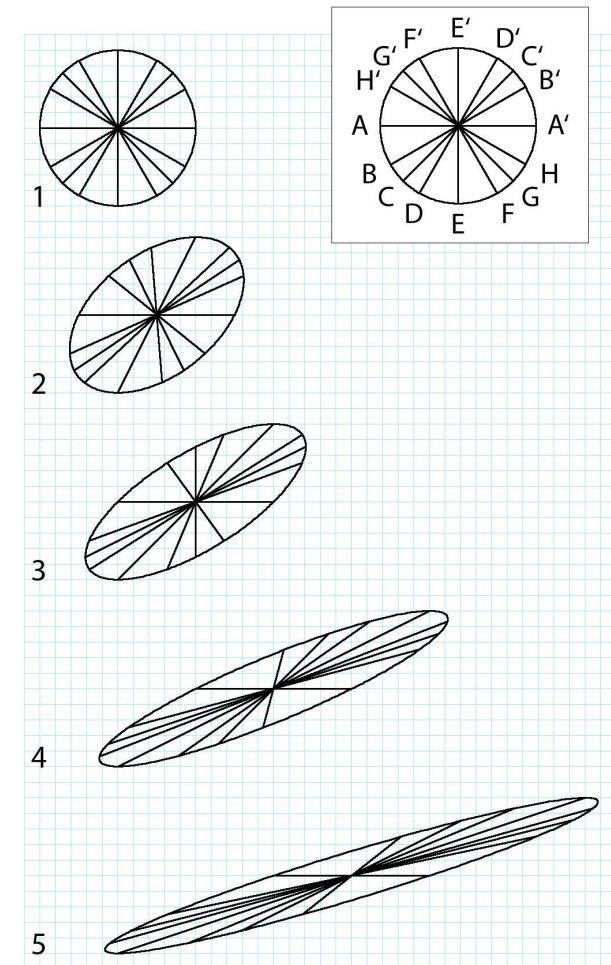
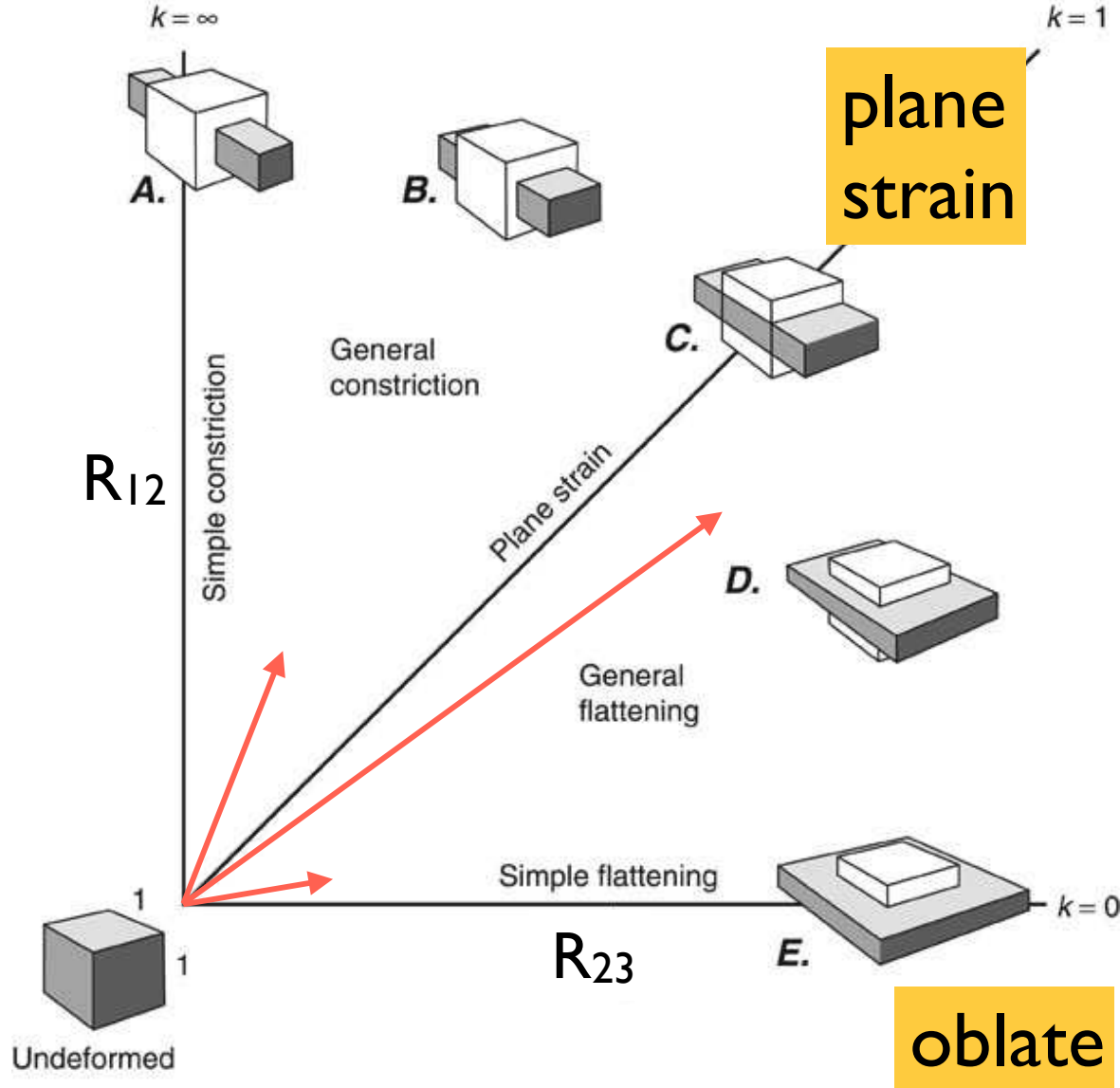


Abbildung: Resultat des Scherexperimentes

Flinn Diagramm (strain types)

Flinn - Diagramm

prolate



$$k = (R_{12} - 1) / (R_{23} - 1)$$

$$R_{12} = (1 + e_1) / (1 + e_2)$$

$$R_{23} = (1 + e_2) / (1 + e_3)$$

symmetrische Streckung

constrictional strain

$$k = \infty \Rightarrow e_2 = e_3 < e_1$$

plane strain

$$k = 1 \Rightarrow e_2 = 0$$

symmetrische Plättung

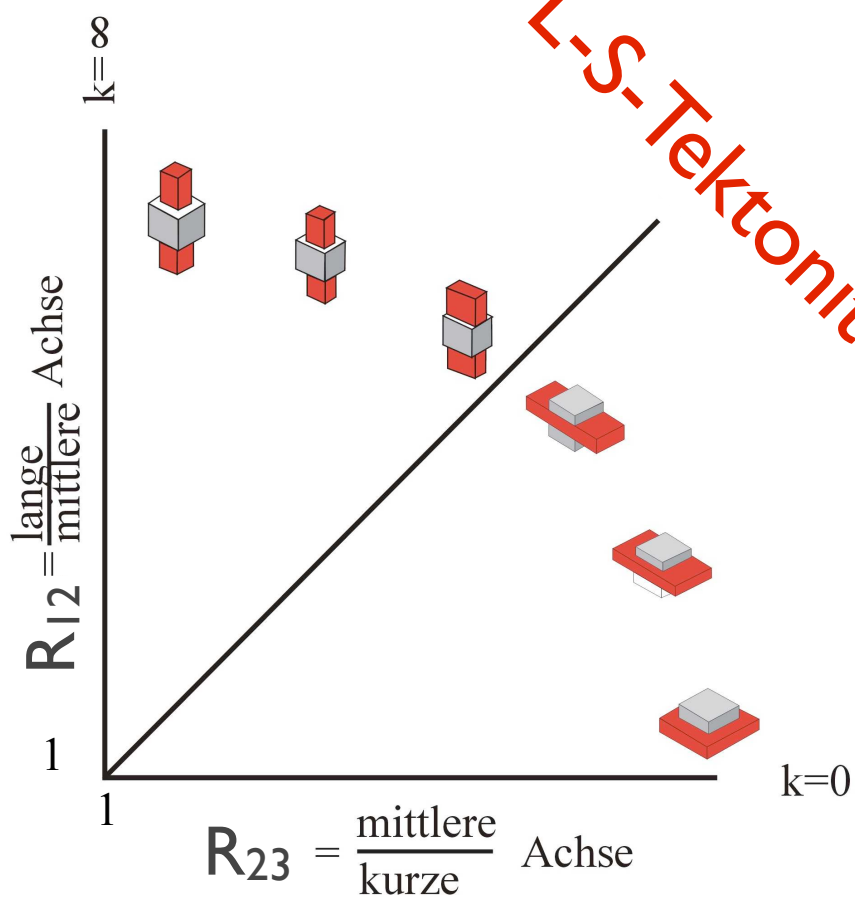
flattening strain

$$k = 0 \Rightarrow e_1 = e_2 > e_3$$

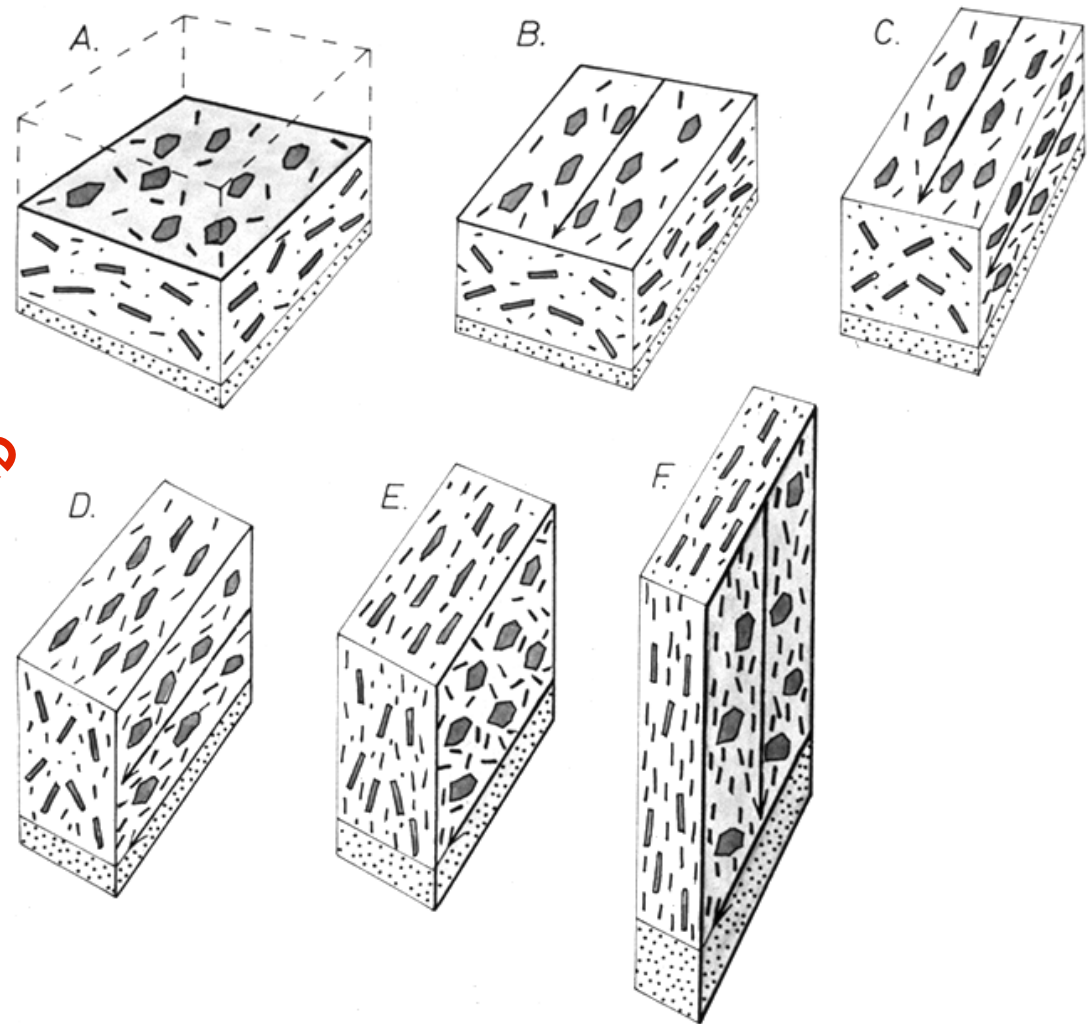
ε_s = strain magnitude

Flinn - Diagramm

L-Tektonite

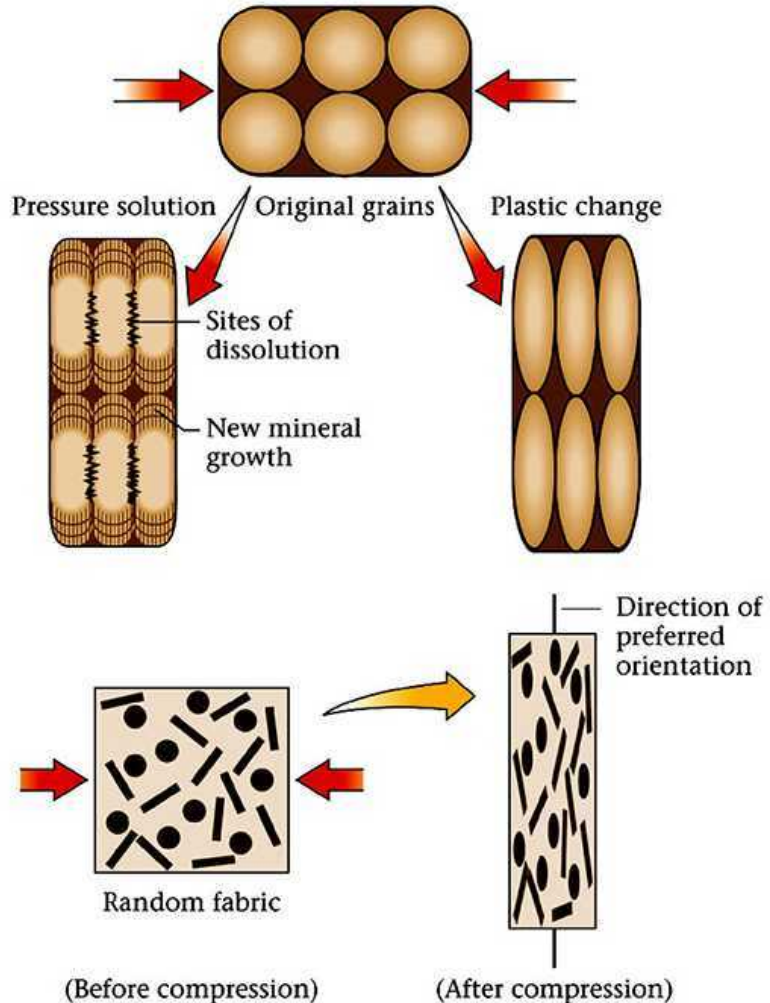


S-Tektonite

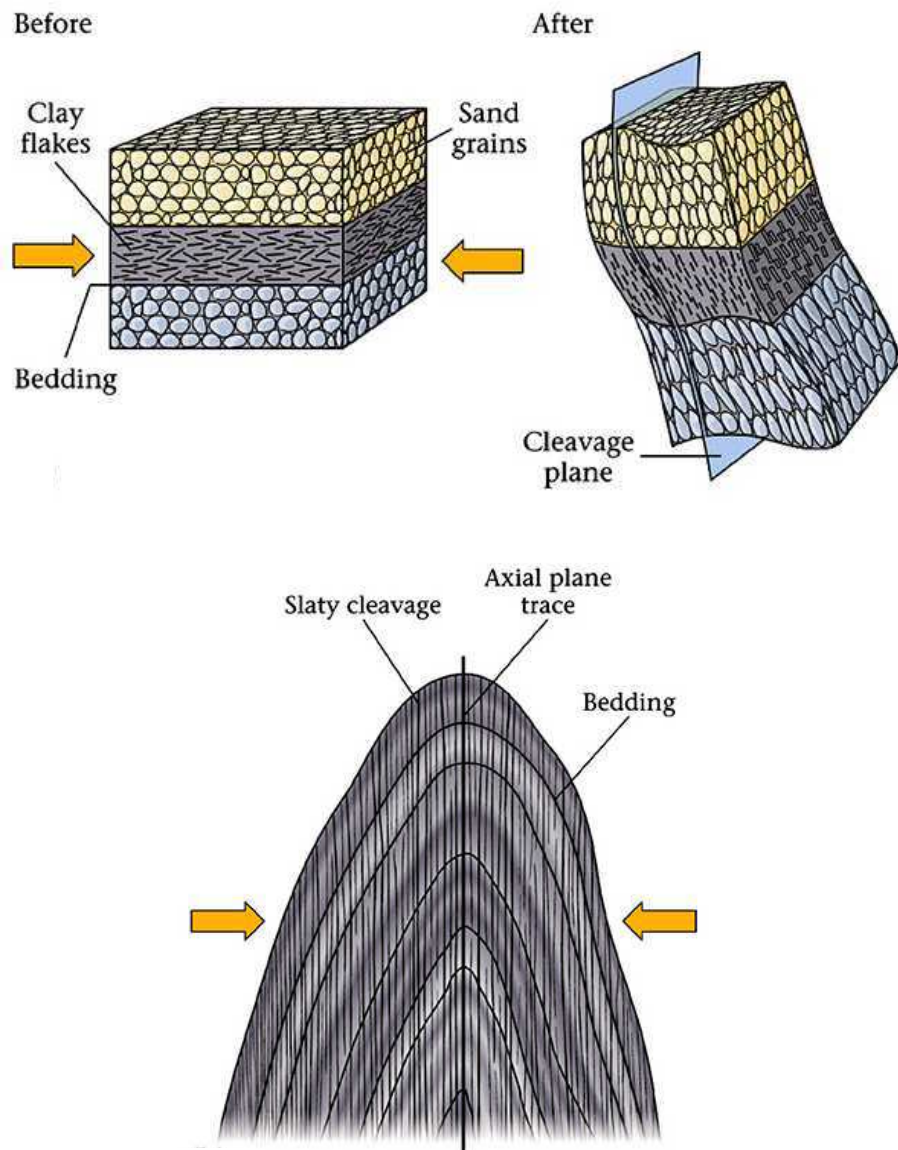


Deformation:

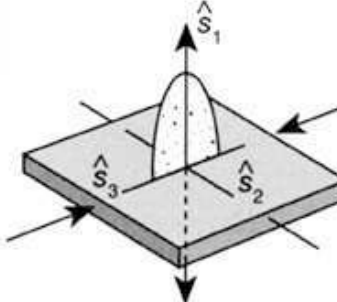
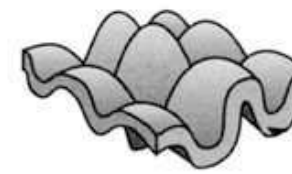
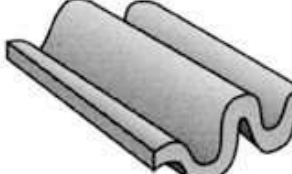
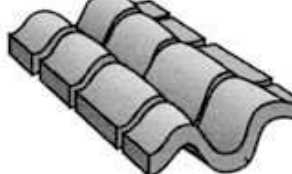
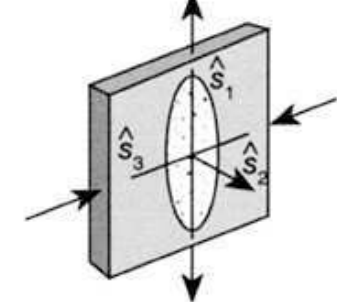
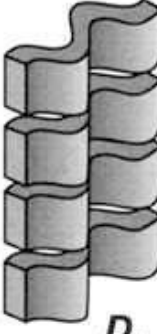
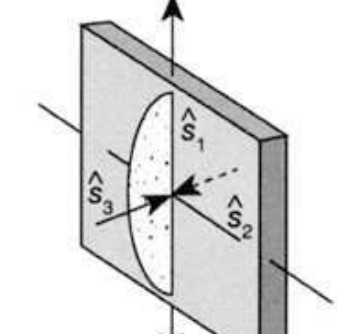
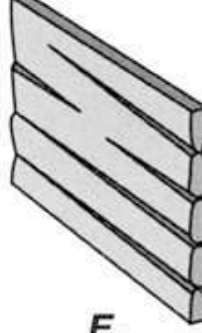
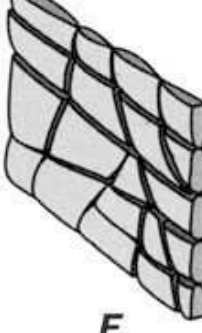
→ strain
 (strain marker !)



→ foliation



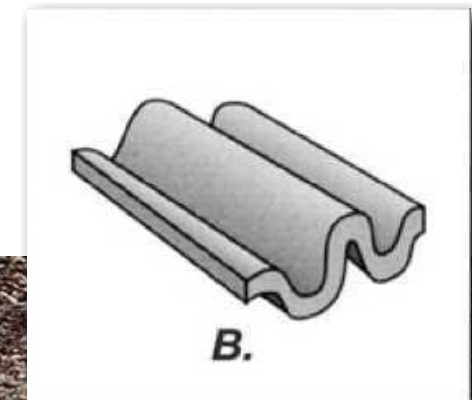
→ shortening and extension in layers

		$\hat{s}_2 < 1$	$\hat{s}_2 = 1$	$\hat{s}_2 > 1$
\hat{s}_1 perpendicular to layer		 A.	 B.	 C.
\hat{s}_2 perpendicular to layer				 D.
\hat{s}_3 perpendicular to layer			 E.	 F.

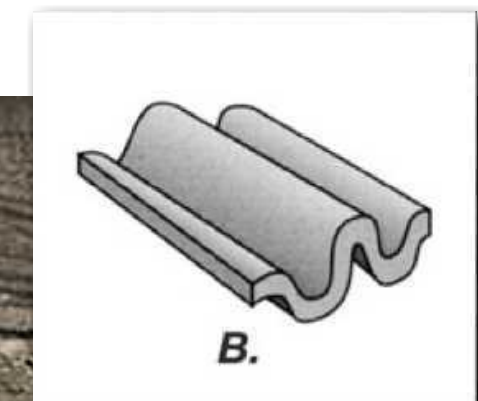
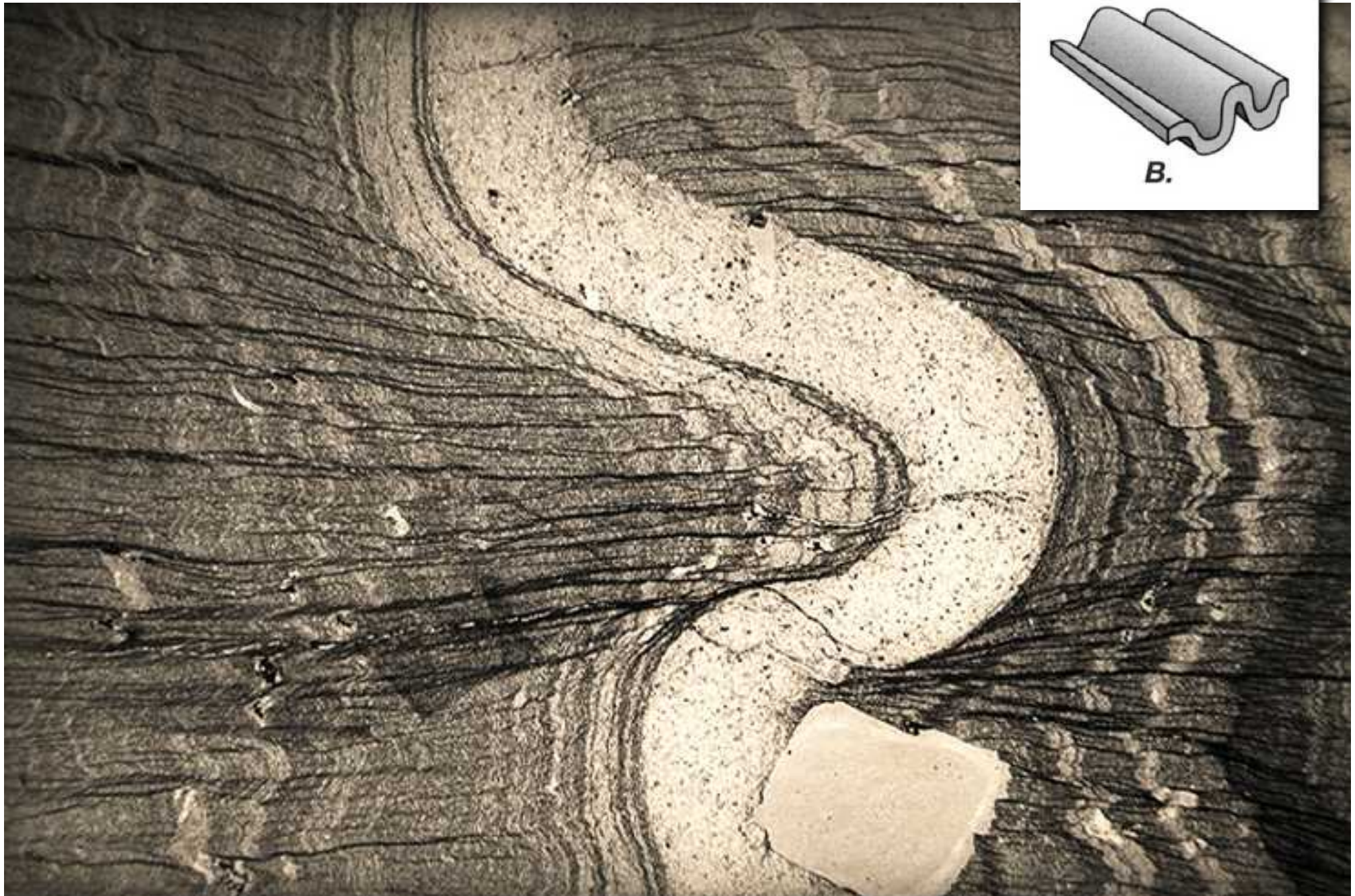
Verkürzung - Falten
Streckung - Boudinage

Verkürzung:

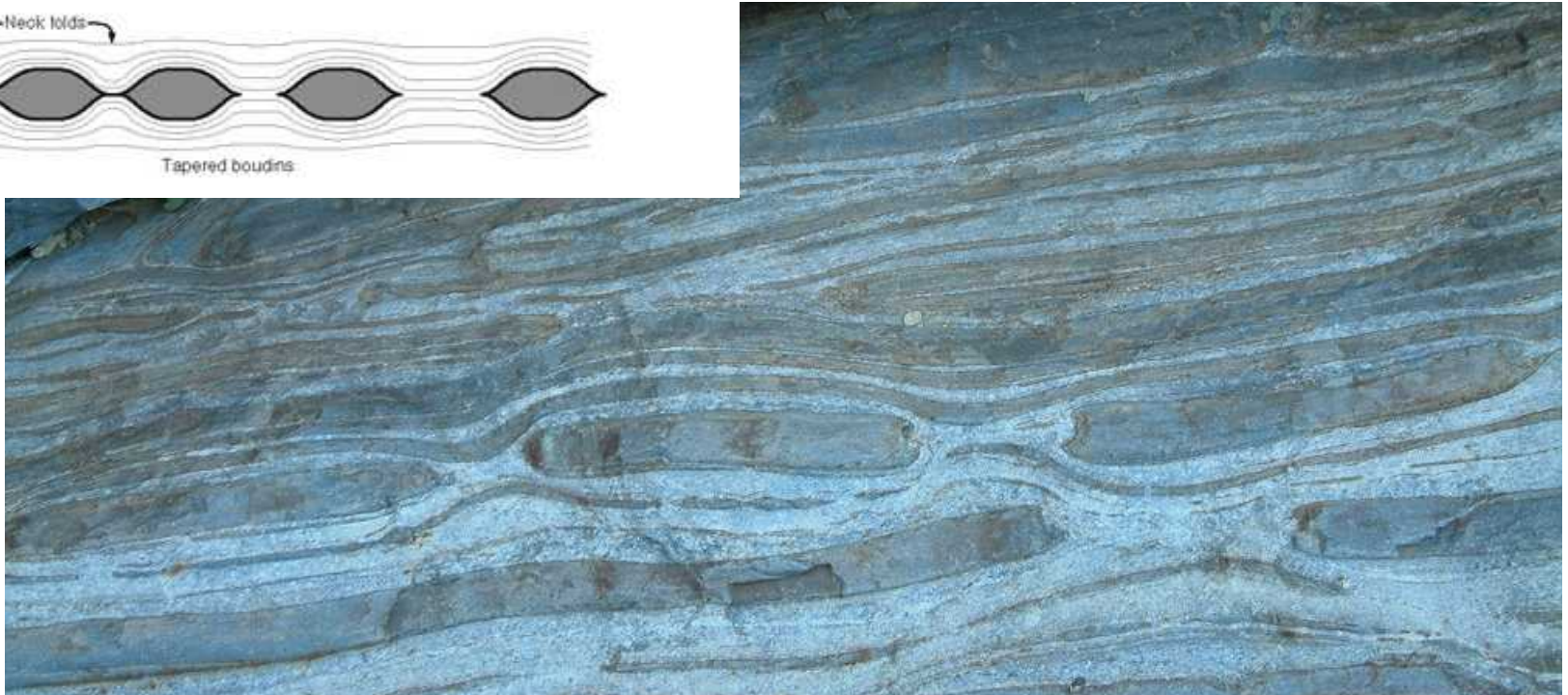
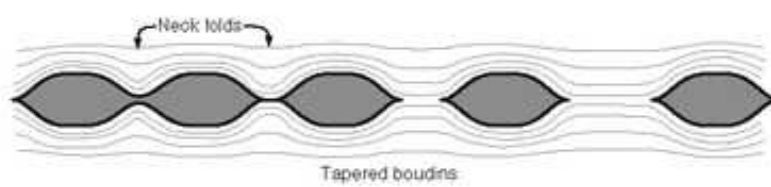
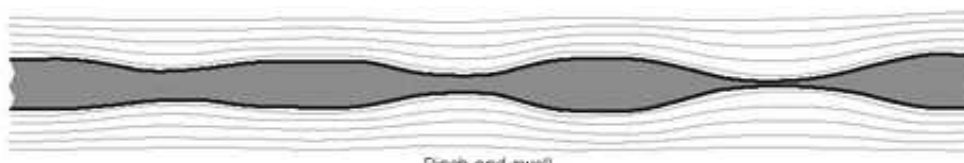
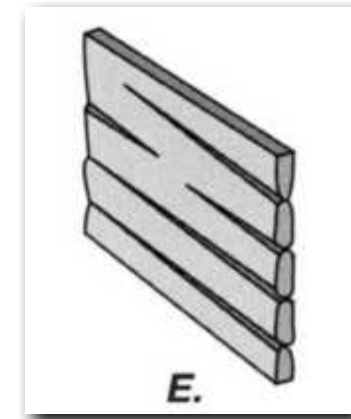
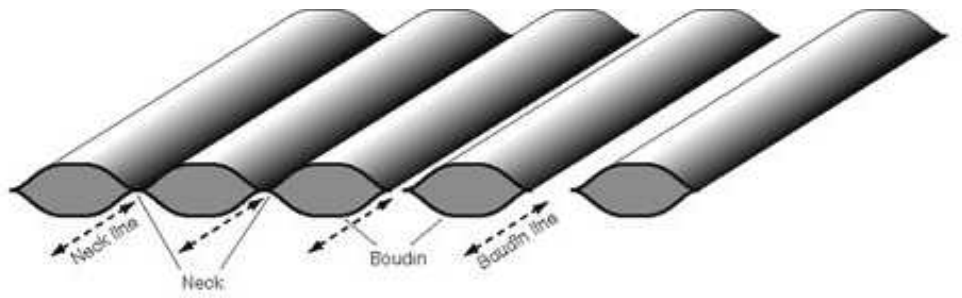
→ Ptygmatische Faltung



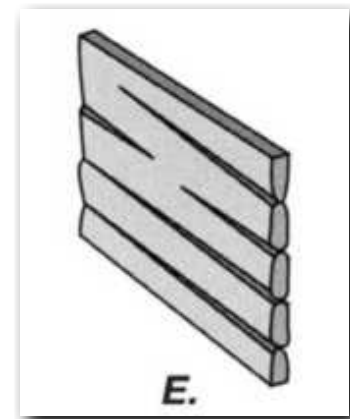
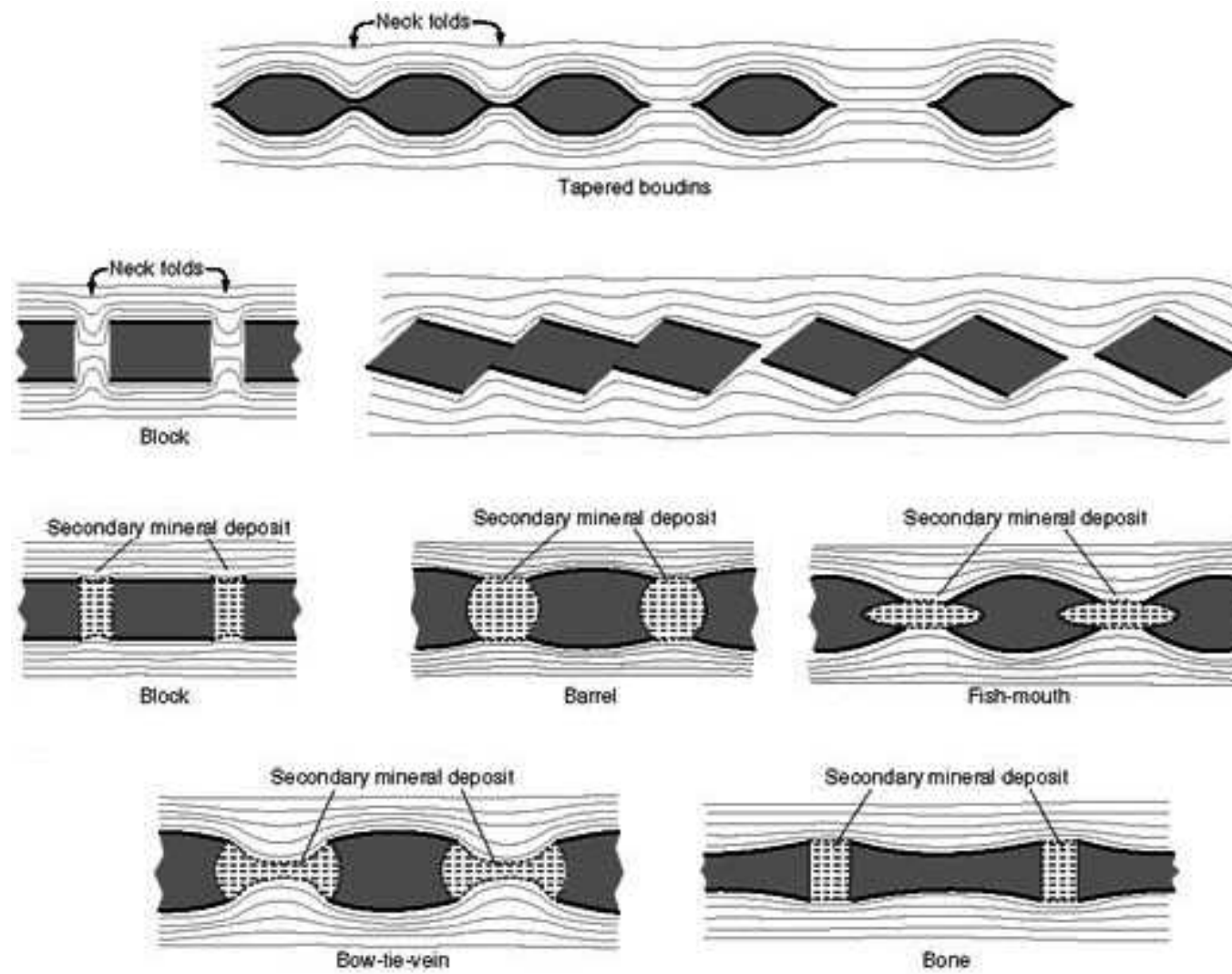
→ Faltung → Schieferung



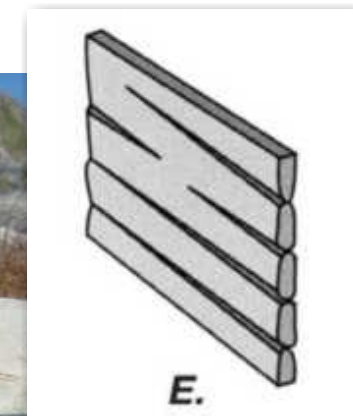
Boudinage



Boudinage

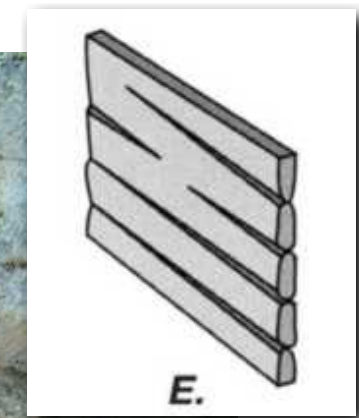


Boudinage



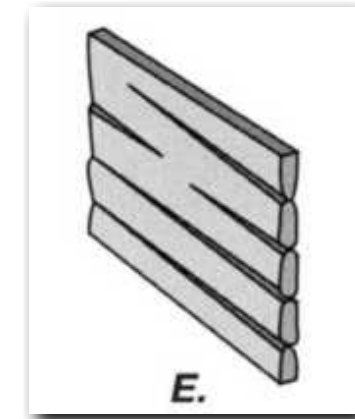
E.

Boudinage



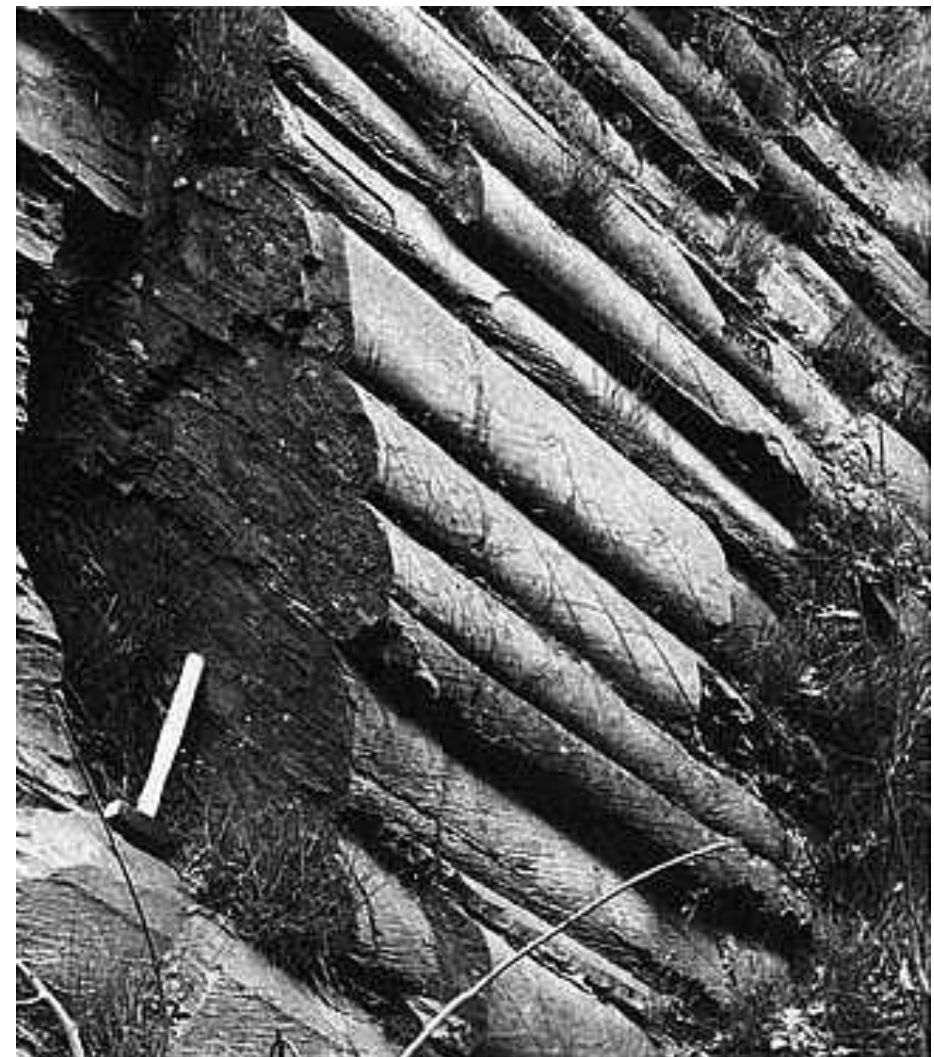
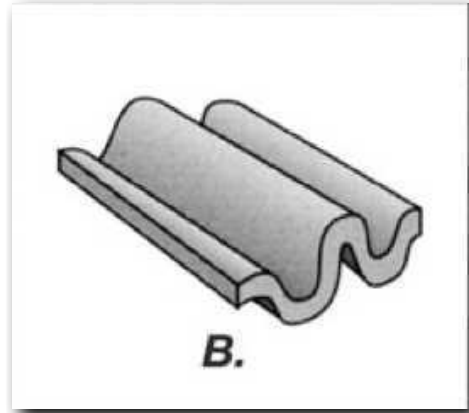
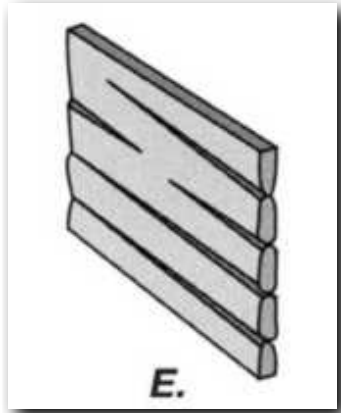
E.

Boudinage

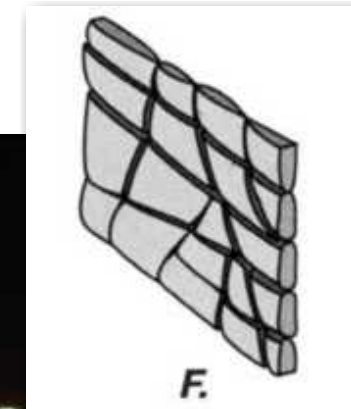


Boudinage

Mullionstrukturen (mullions)



'chocolate tablet structure'

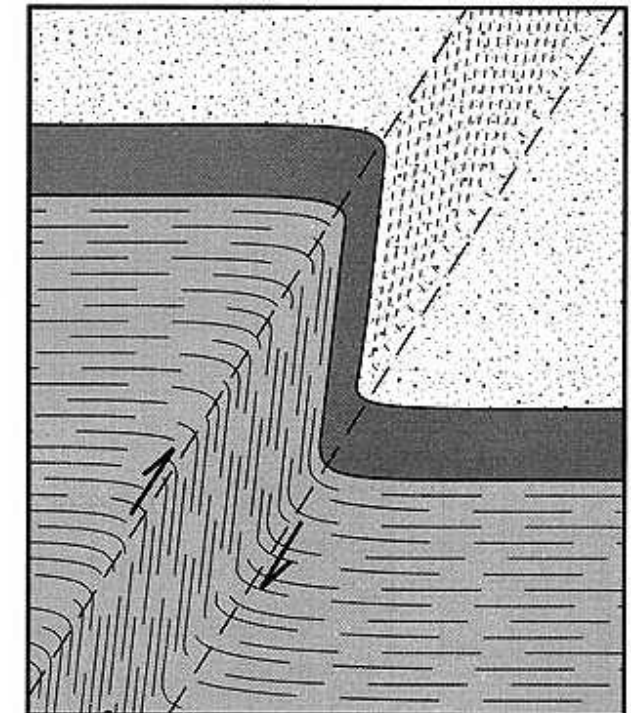
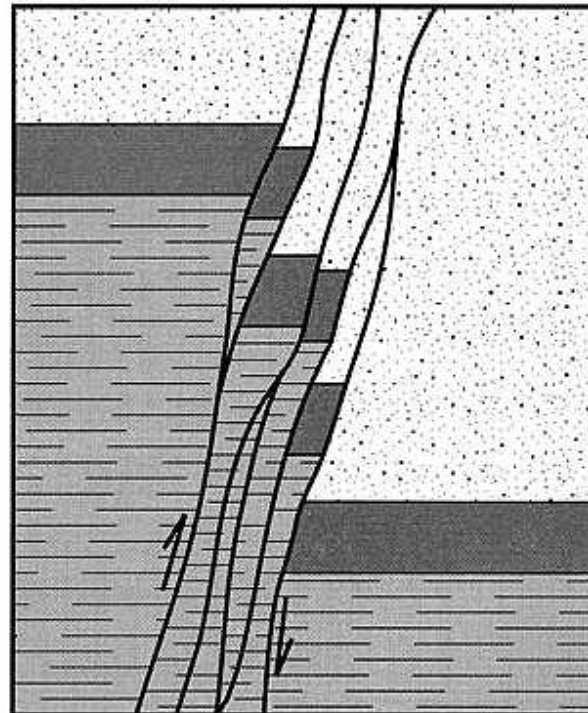
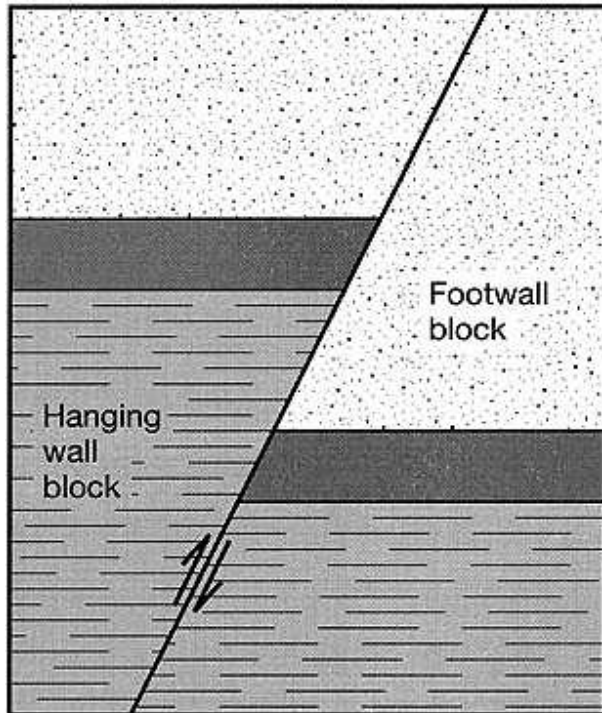


Scherung - Scherzonen

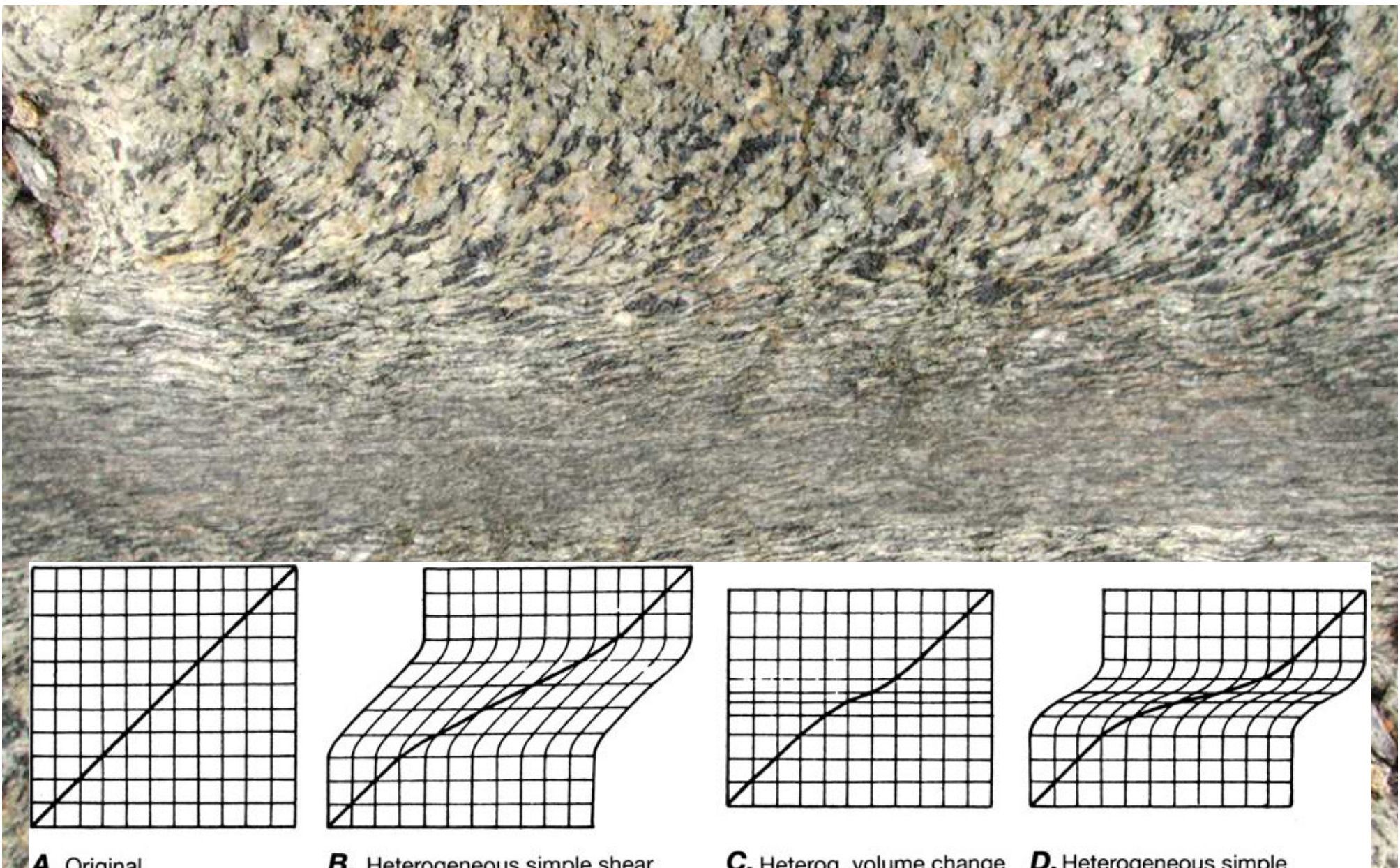
Scherverformung

spröd
duktil

lokalisiert
homogen



Schersinn: Duktile Scherzonen



A. Original

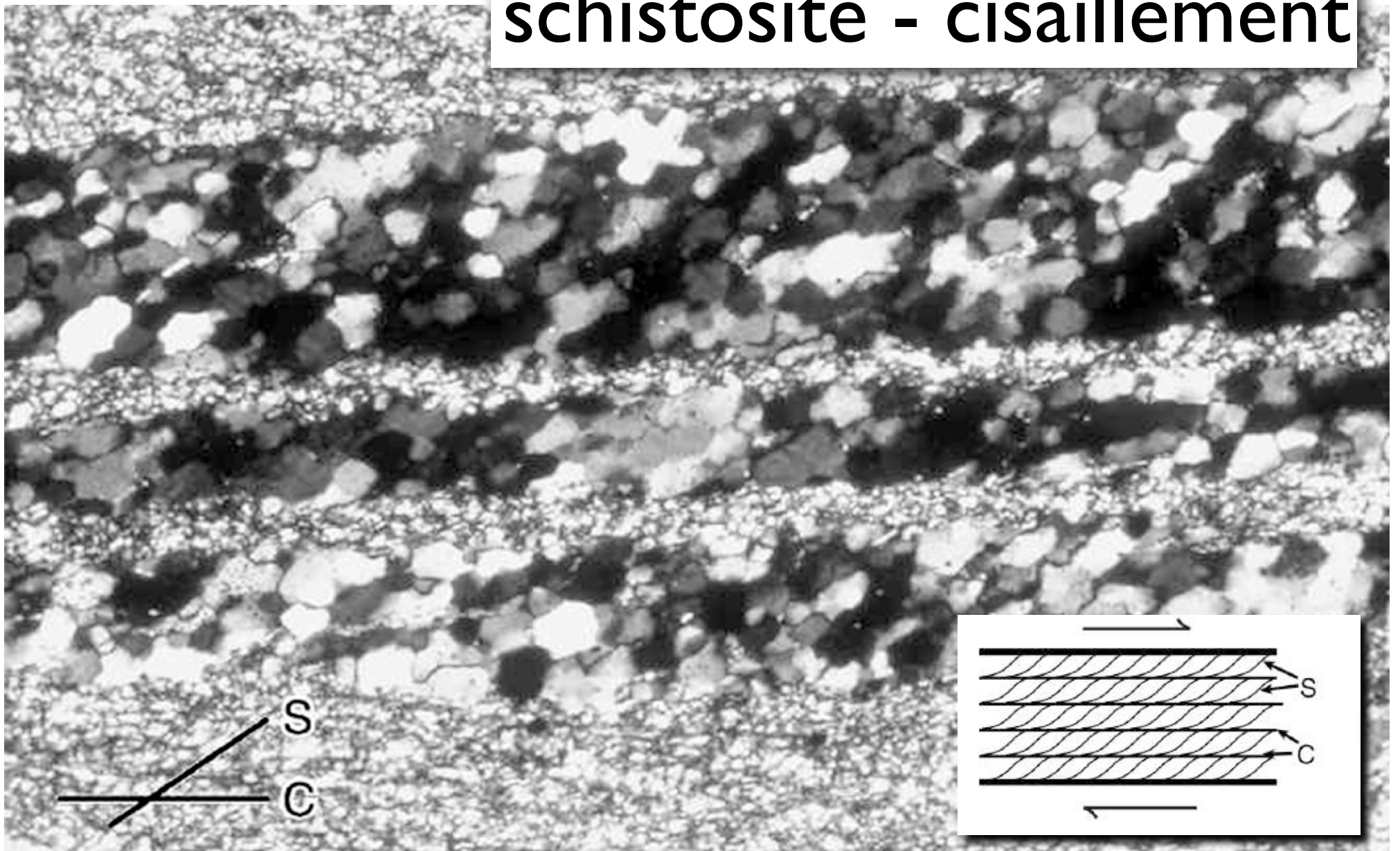
B. Heterogeneous simple shear

C. Heterog. volume change

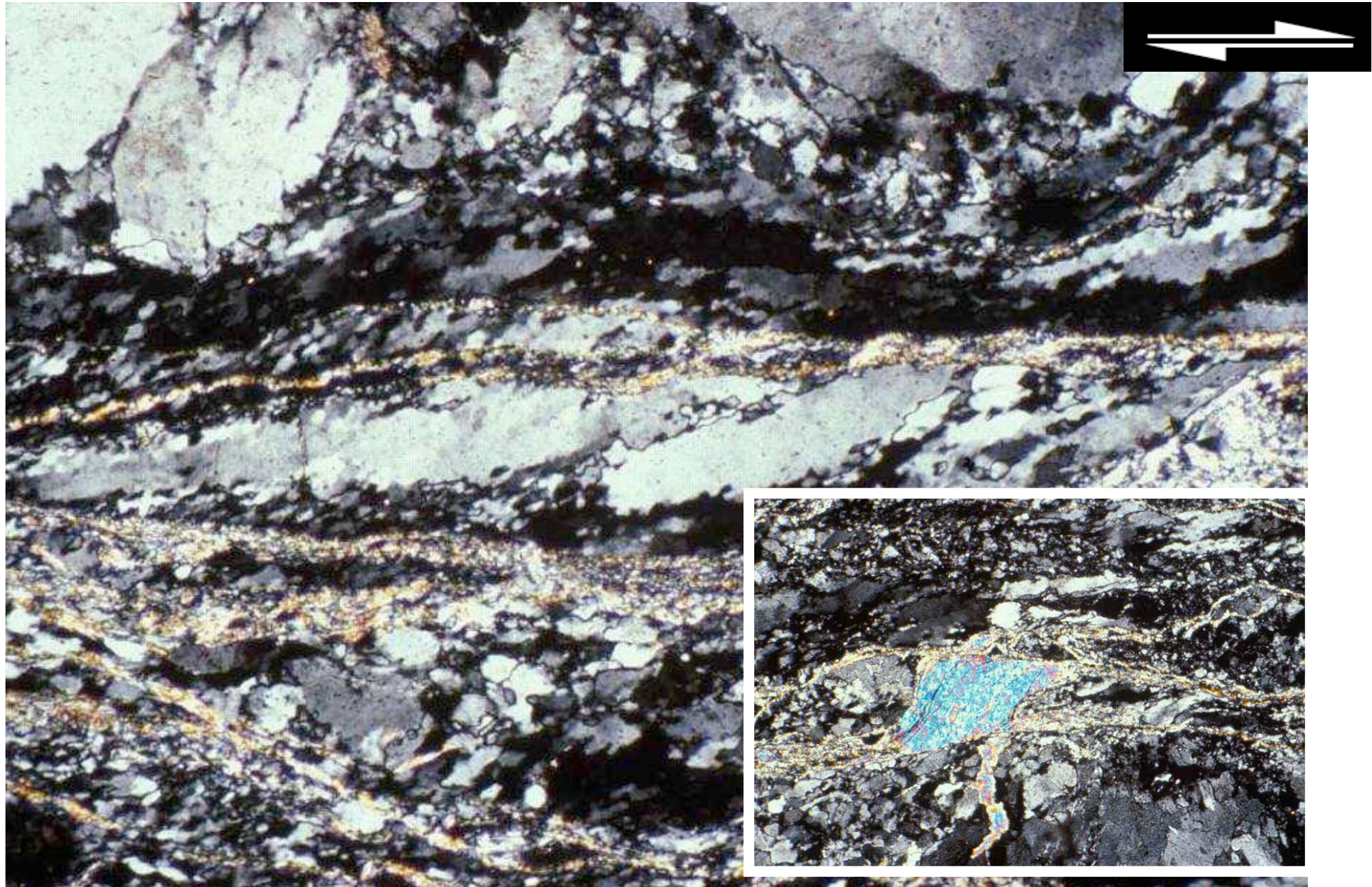
D. Heterogeneous simple shear plus heterogeneous volume change

Schersinn: S - C - Gefüge

schistosité - cisaillement



Schersinn - Kriterien



Schersinn - Kriterien



Verformungsmarker (strain marker)

deformed pebbles



deformed pebbles



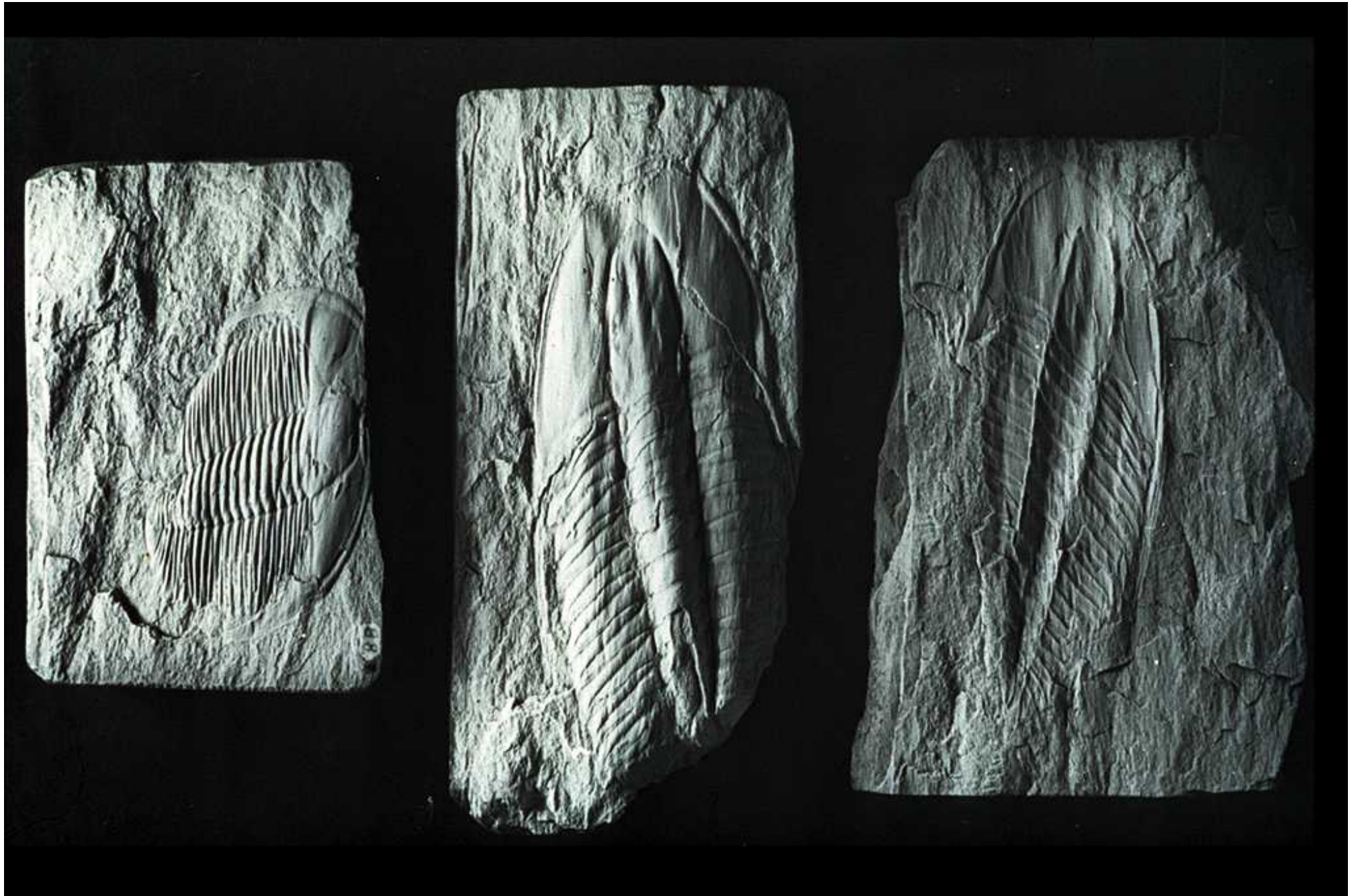
reduction spots



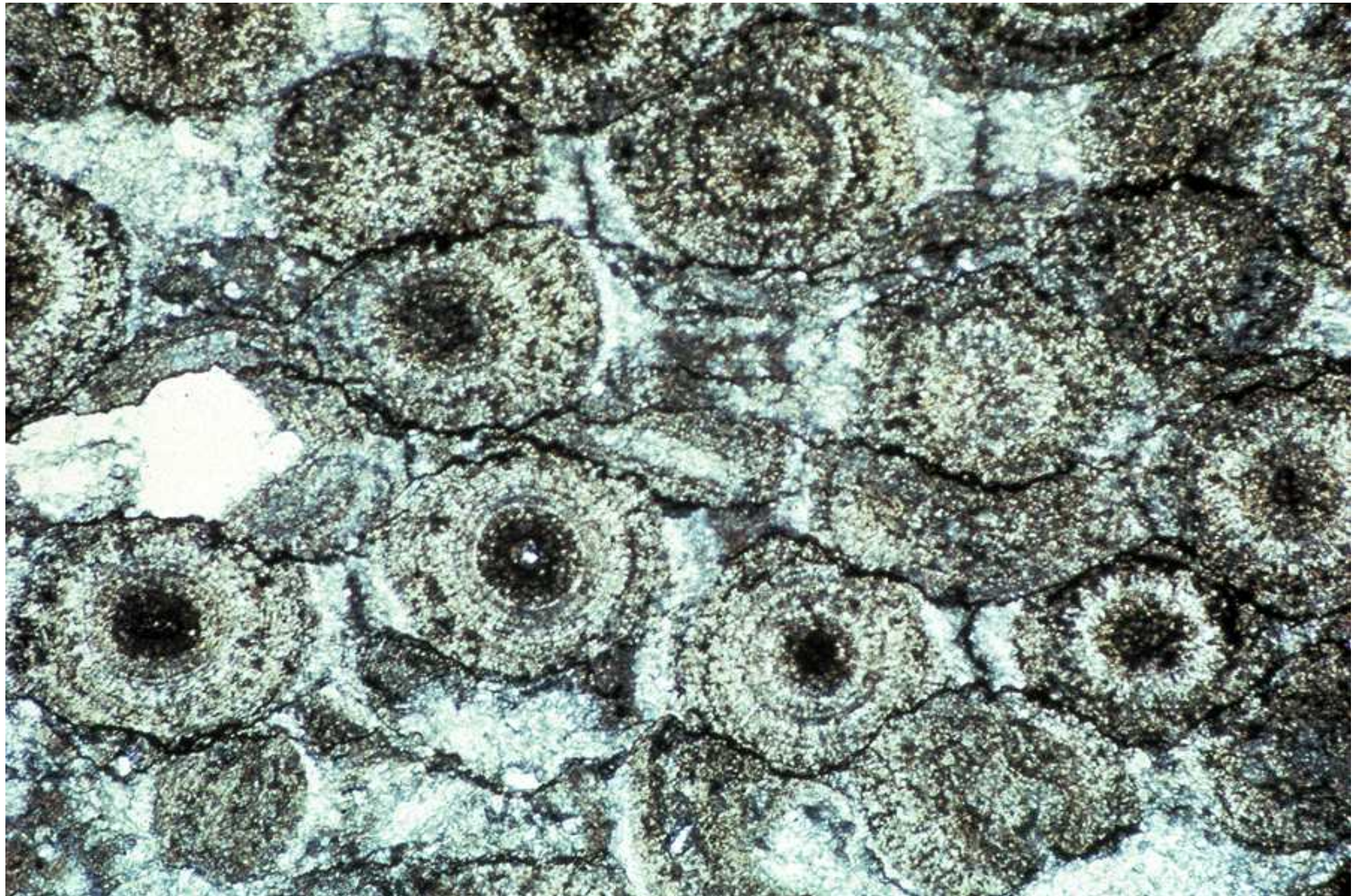
reduction spots



deformed trilobites



solution - precipitation



tectonic stylolites



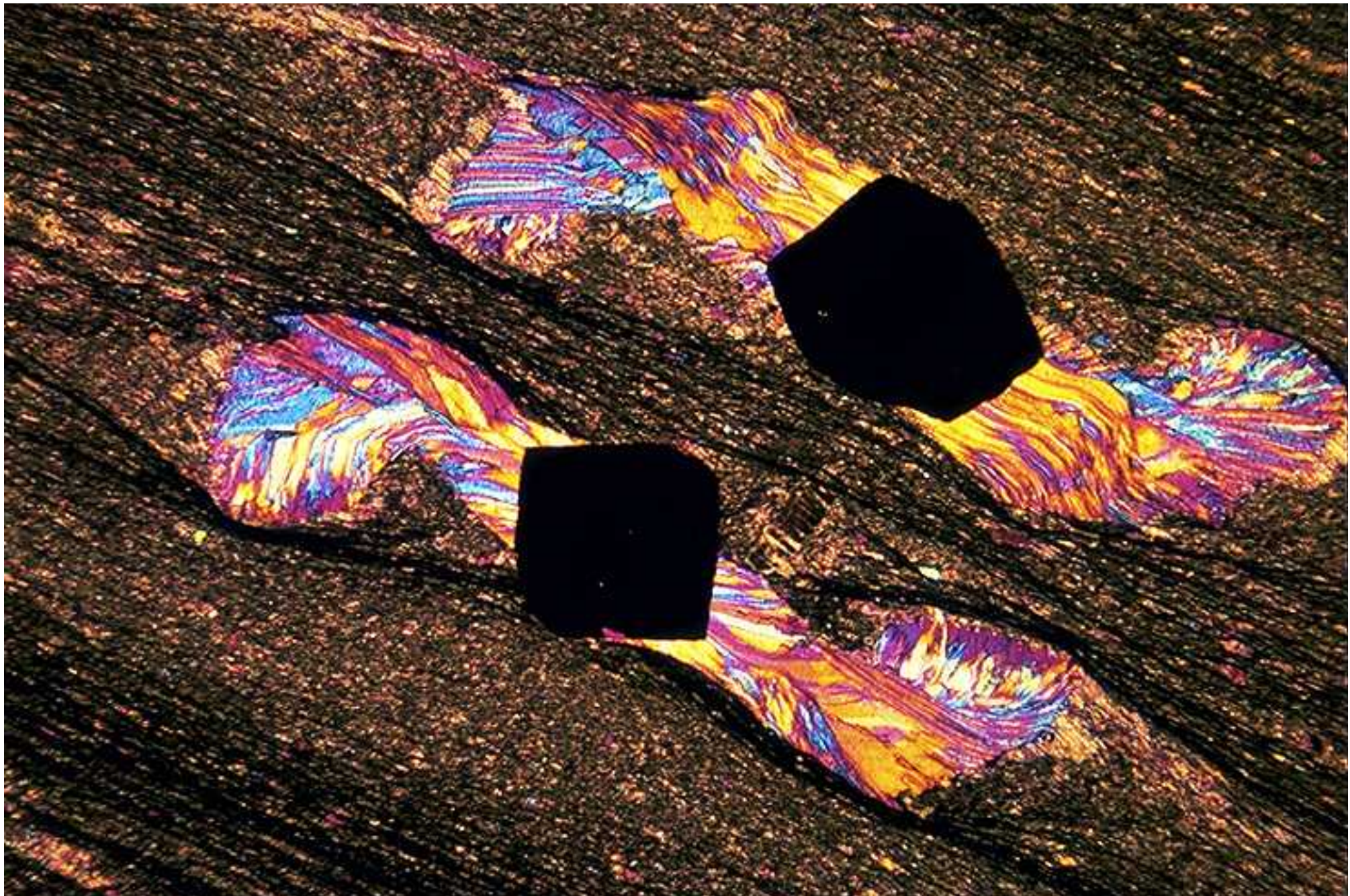
strain partitioning



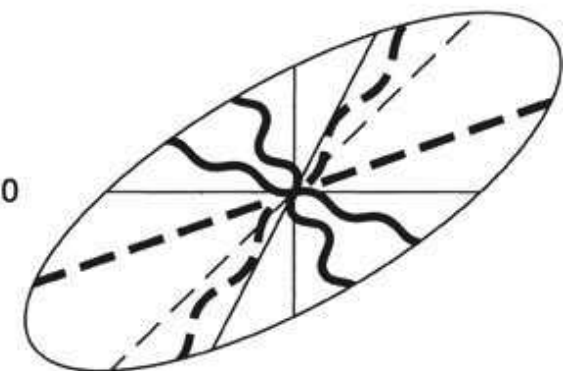
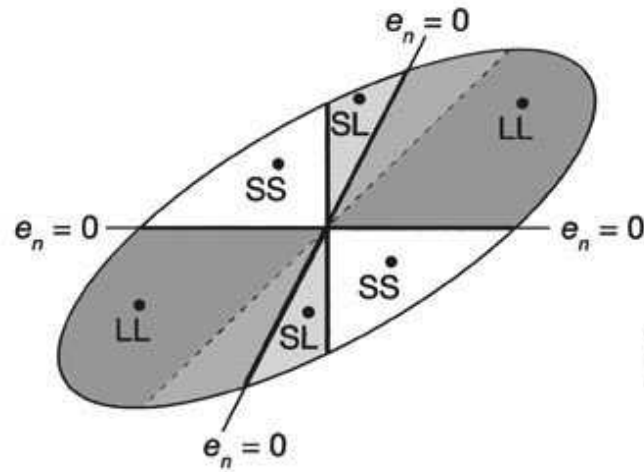
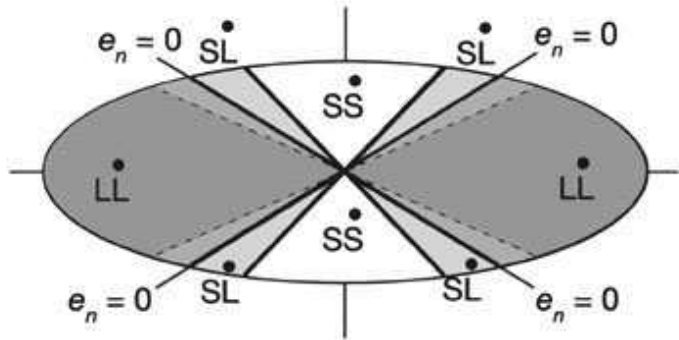
matrix - particle strain



fibres

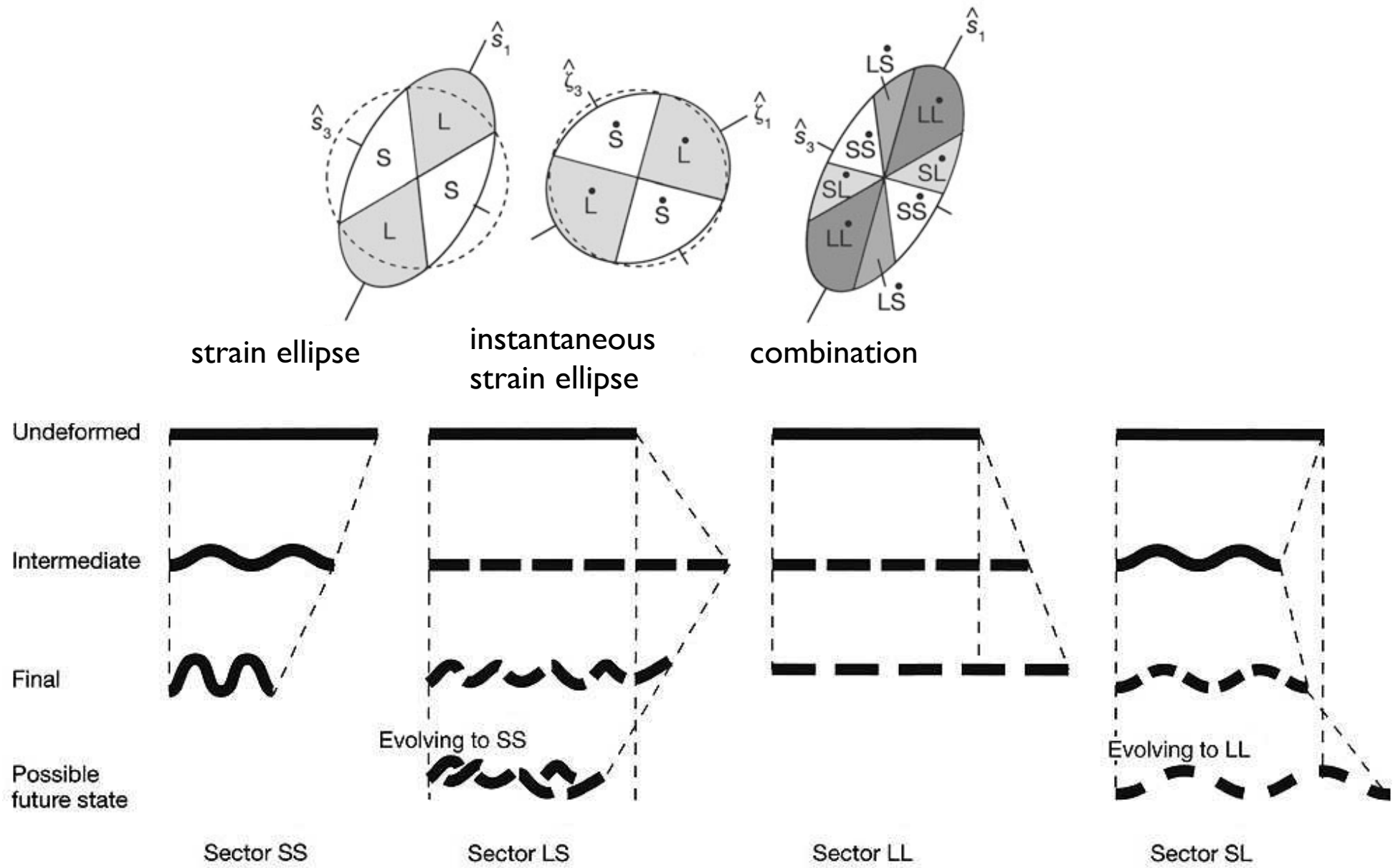


strain history





strain history - superposition



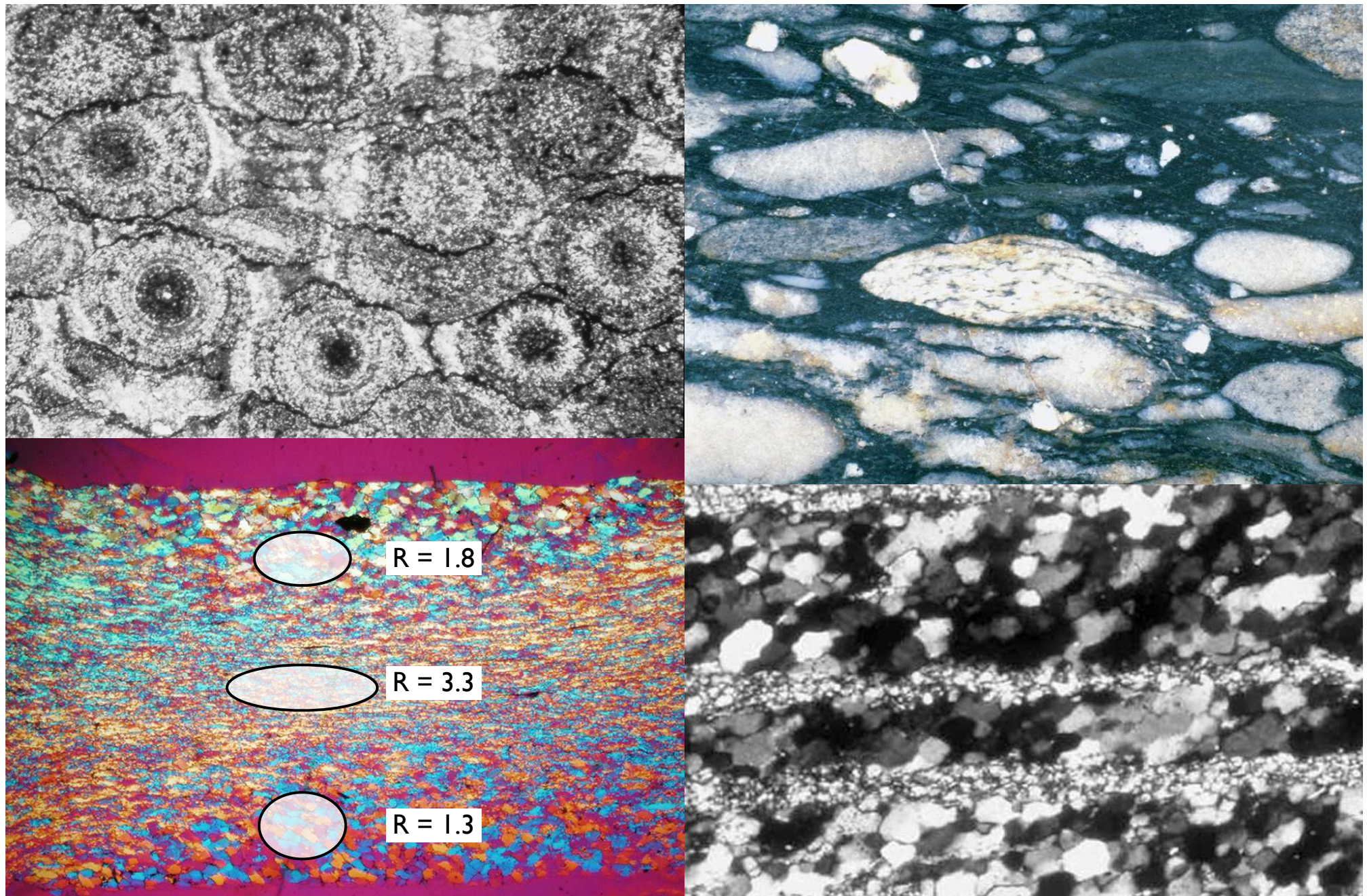
strain history: LS field



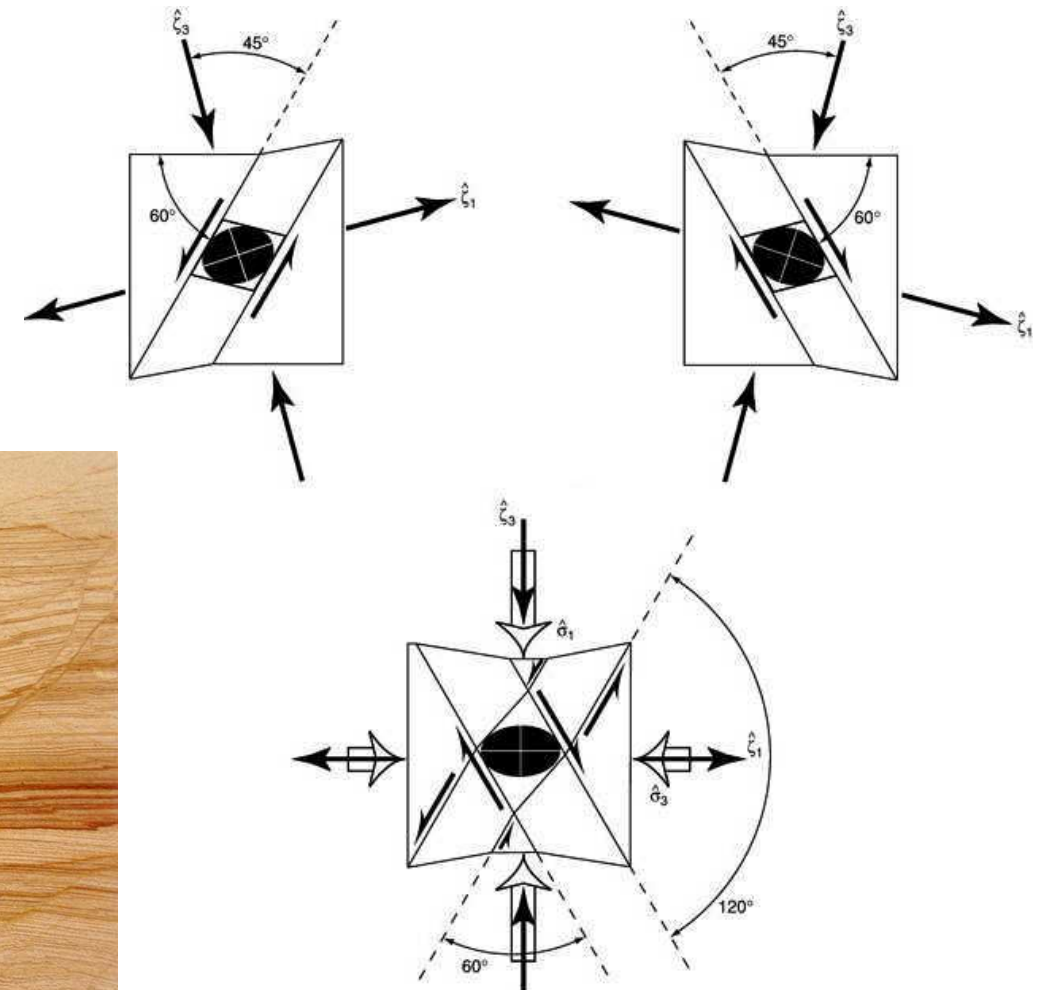
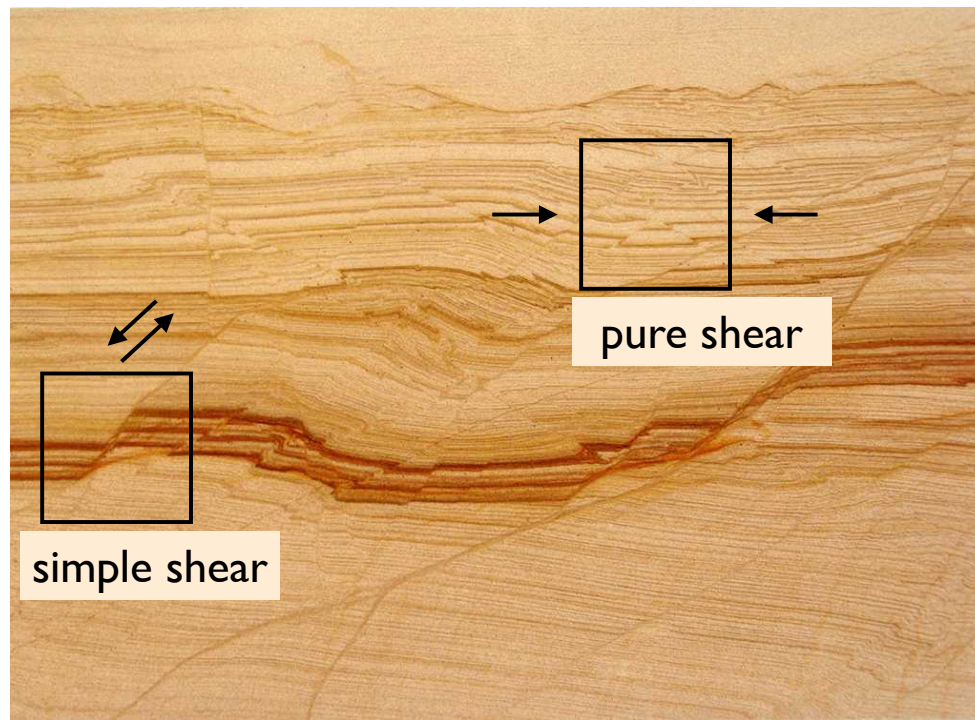


Strain Messungen

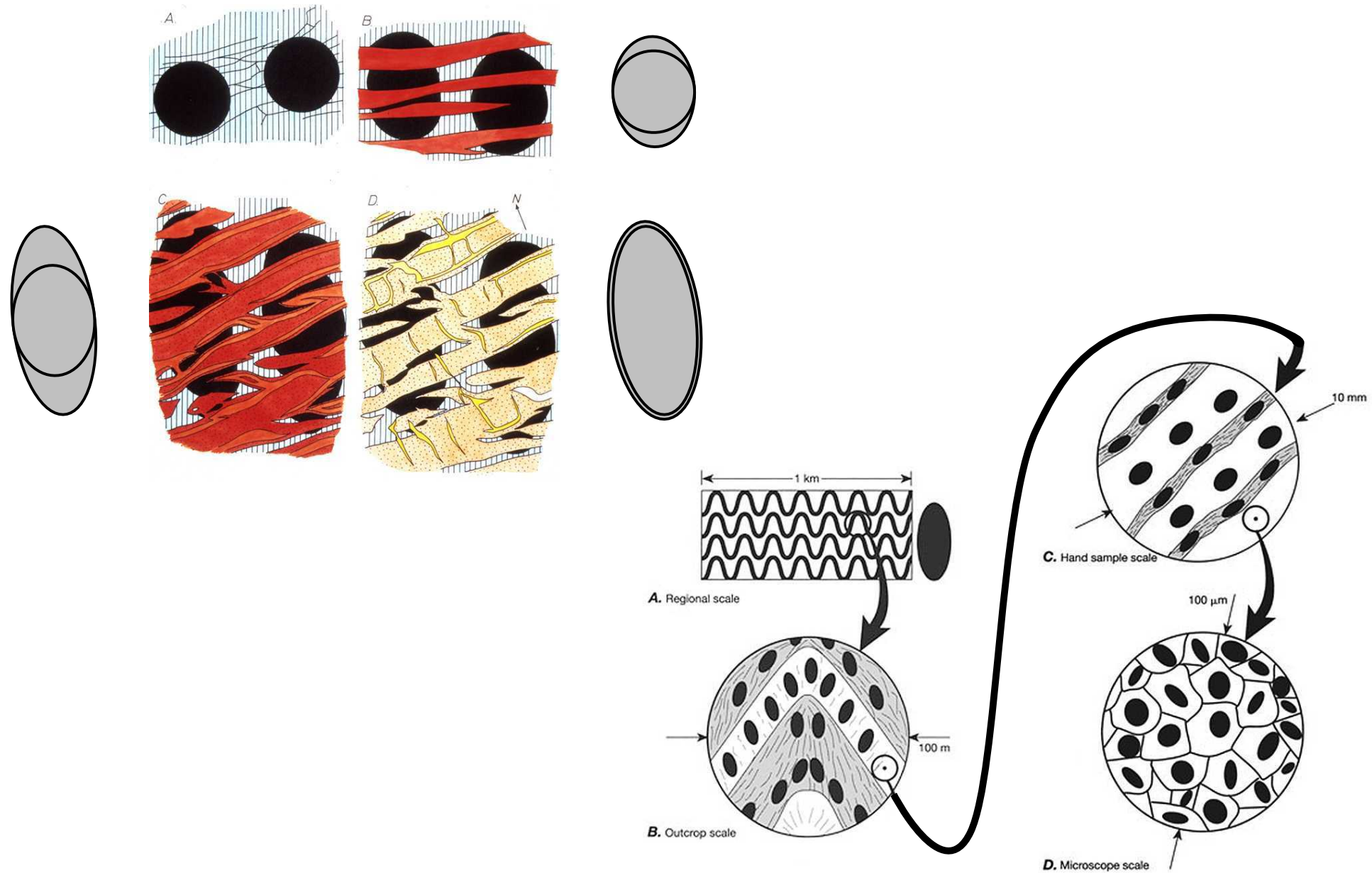
Strain marker - Homogenitätsbereich



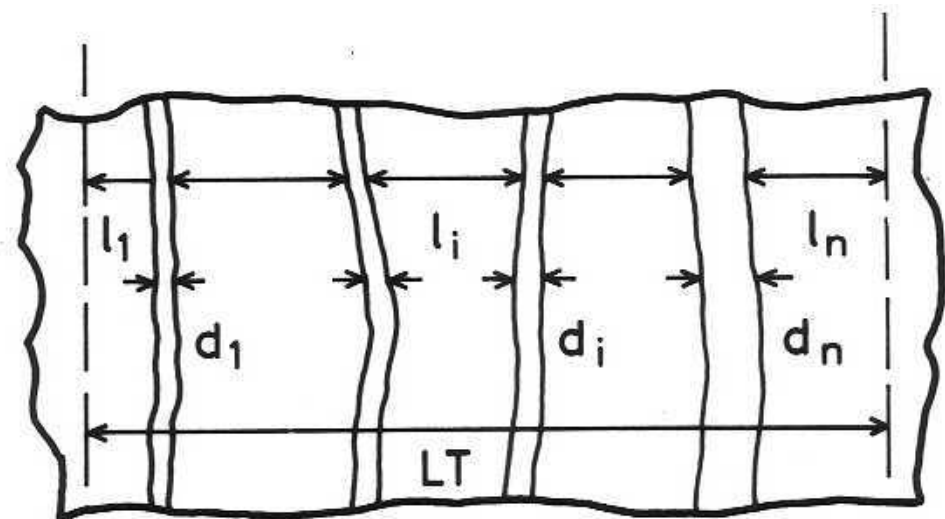
Lokalisierung und bulk strain



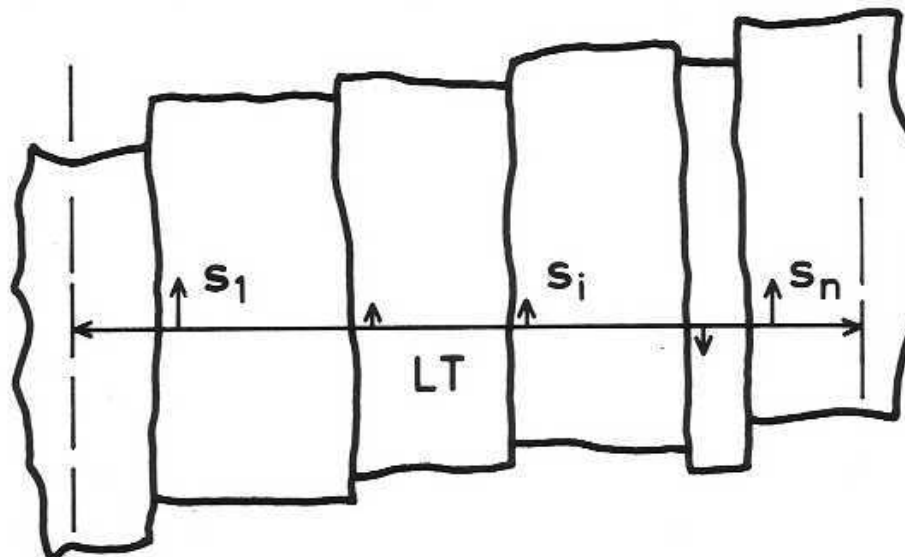
Massstab



strain from displacements

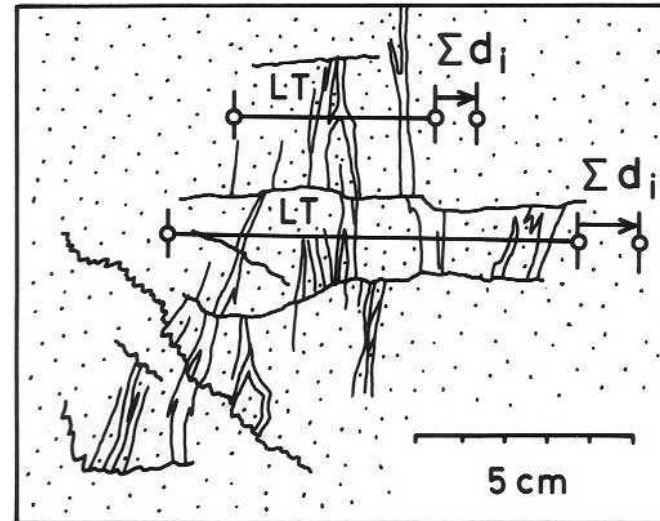
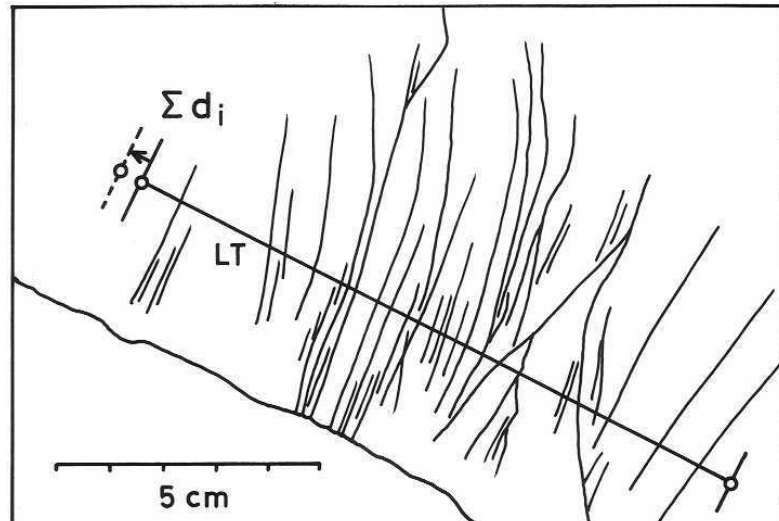
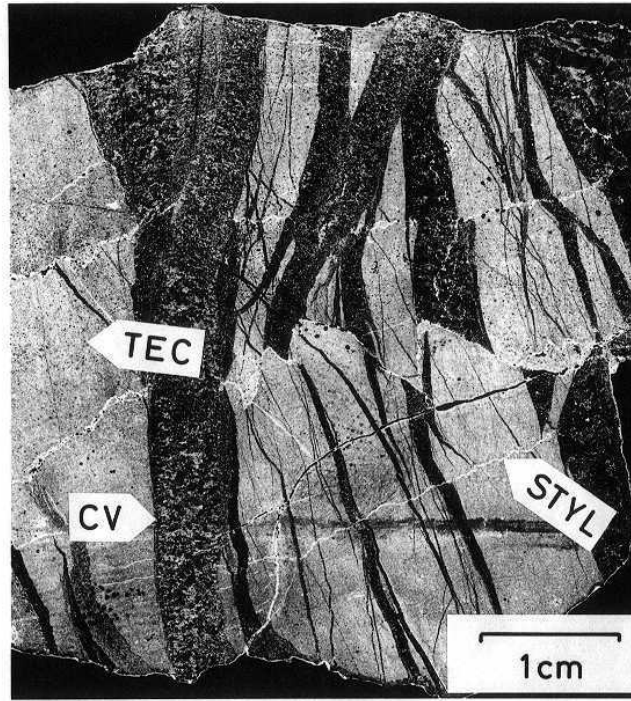


$$L = \sum_{i=1}^n l_i$$
$$D = \sum_{i=1}^n d_i$$

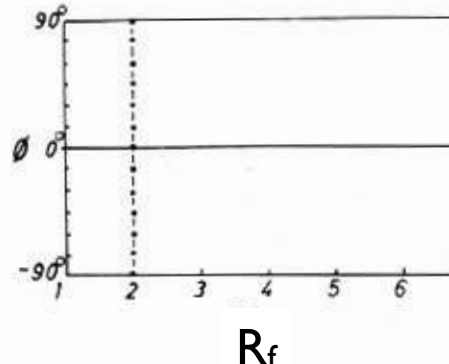
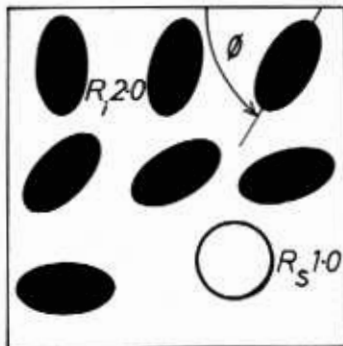


$$\Psi$$
$$S = \sum_{i=1}^n s_i$$
$$LT$$

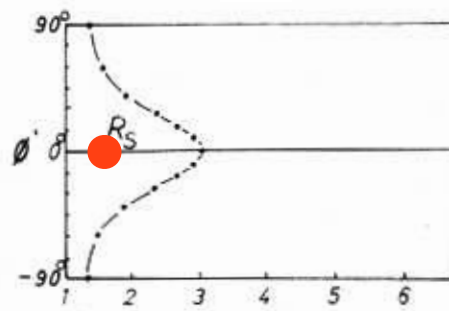
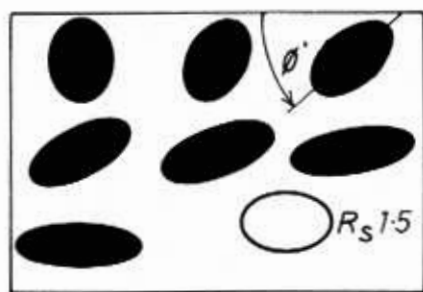
extensional strain from healed cracks



Rf - φ method (Ramsay)

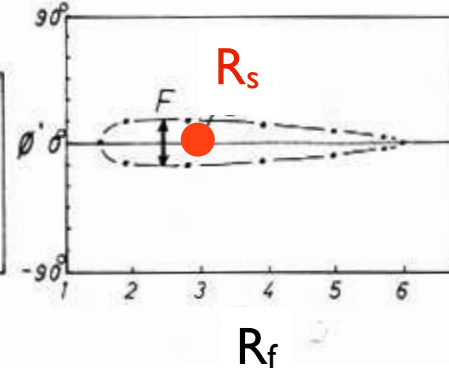


F fluctuation



R_i initial ellipses

ursprüngliches
Achsenverhältnis der
unverformten Ellippen

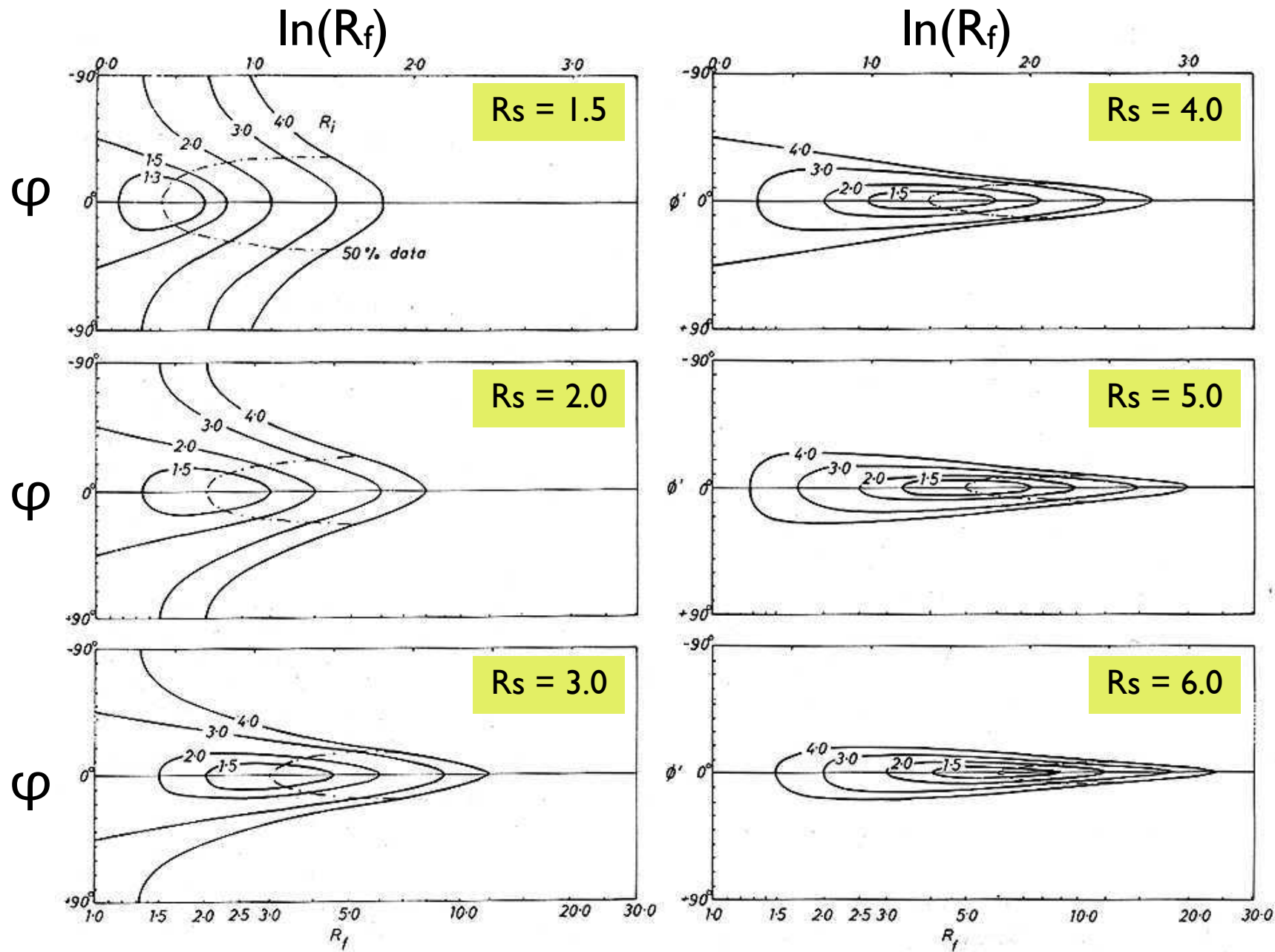


R_f deformed ellipses

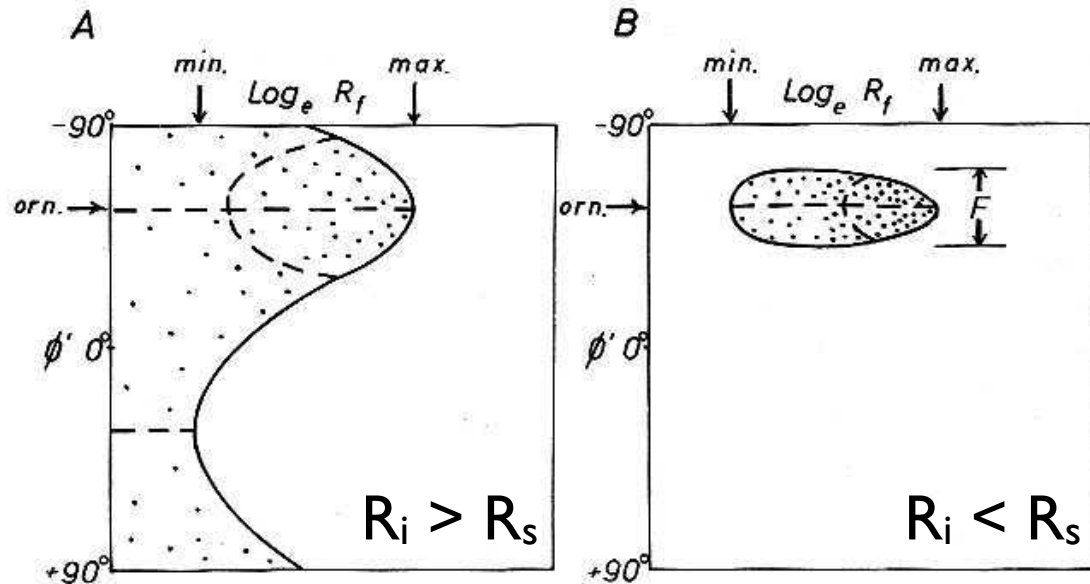
Achsenverhältnis der
verformten Ellippen

R_s strain ellipse

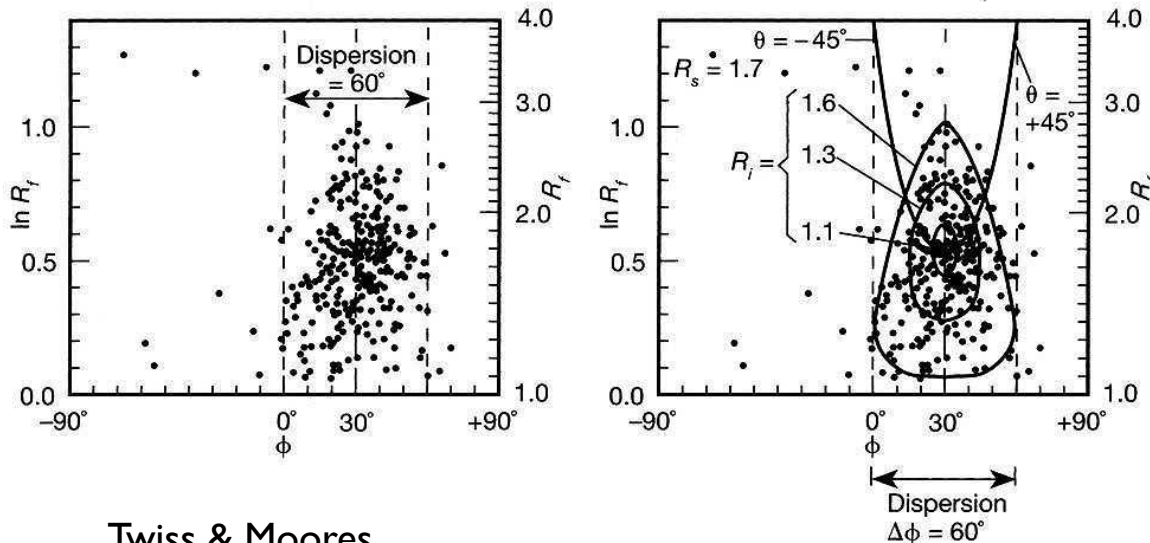
R_f - φ method (Ramsay)



Rf - φ method (Ramsay)



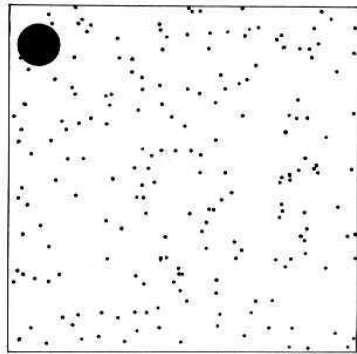
$$F = \frac{R_s (R_i^2 - I)}{\sqrt{(R_i^2 R_s^2 - I) (R_s^2 - R_i^2)}}$$



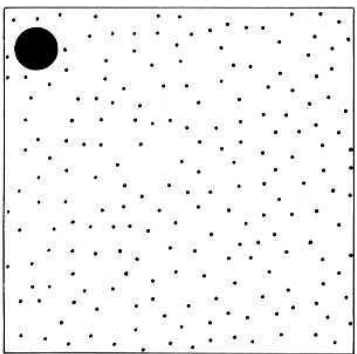
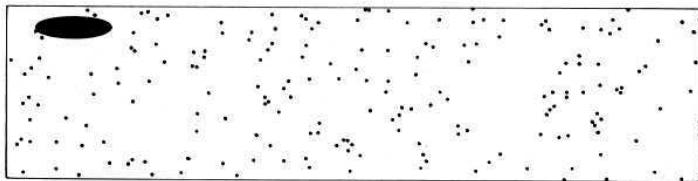
Twiss & Moores

F fluctuation
R_i initial ellipses
ursprüngliches Achsenverhältnis der unverformten Ellipsen
R_s strain ellipse

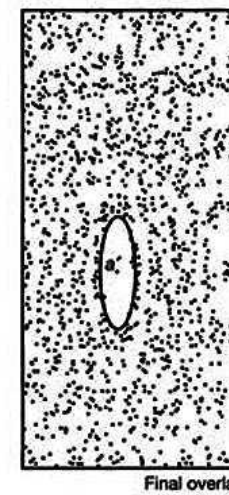
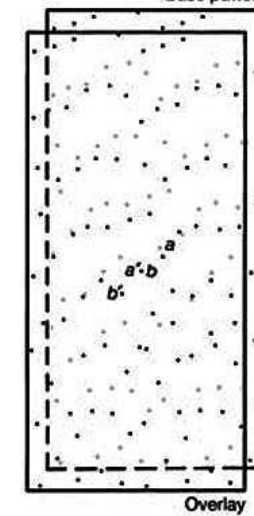
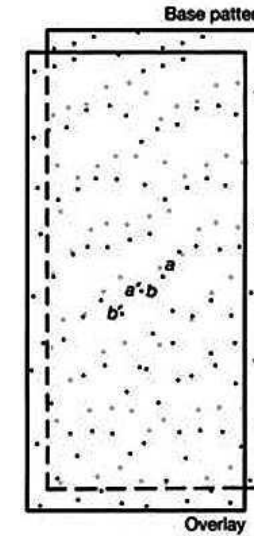
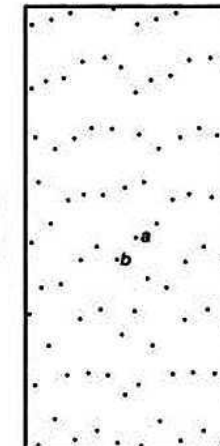
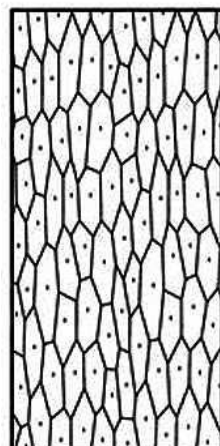
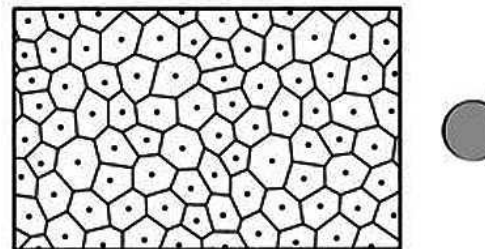
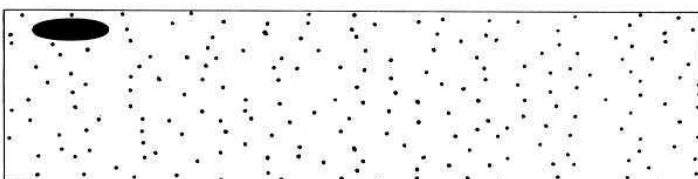
Fry method



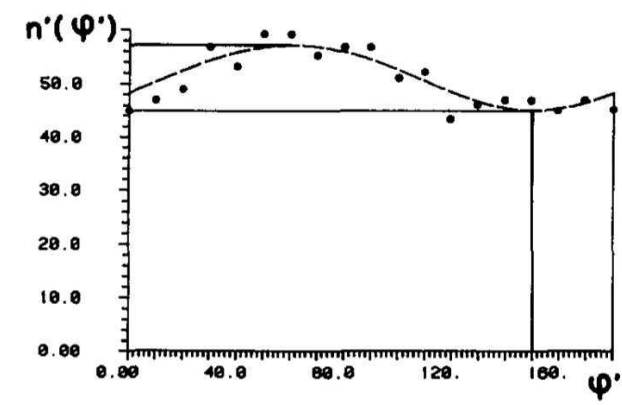
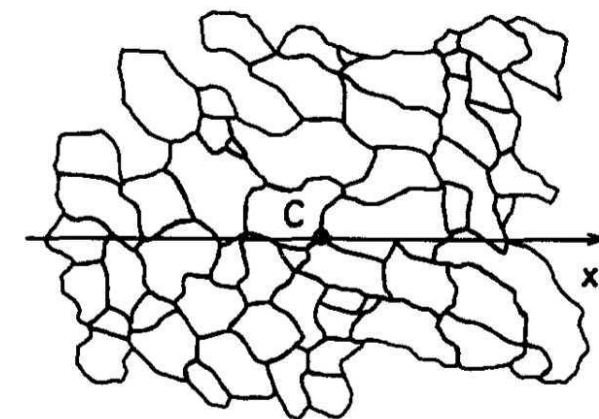
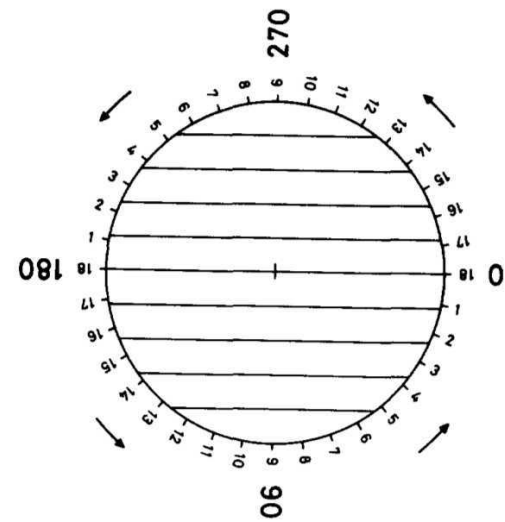
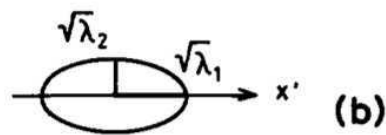
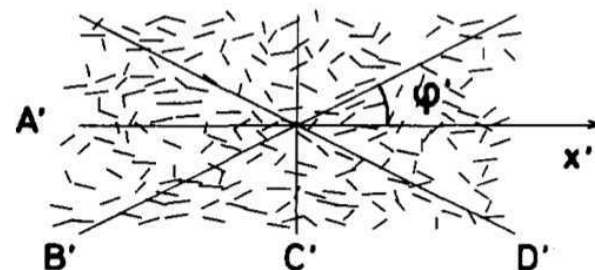
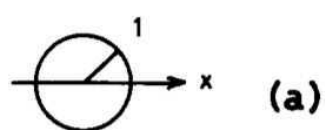
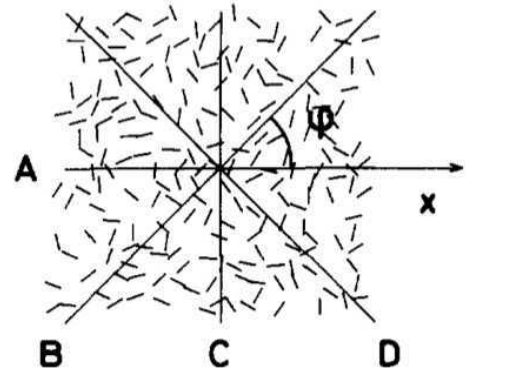
Poisson verteilt



antikorreliert



inverse SURFOR (Panzo)



PAROR SURFOR (Panizzo)

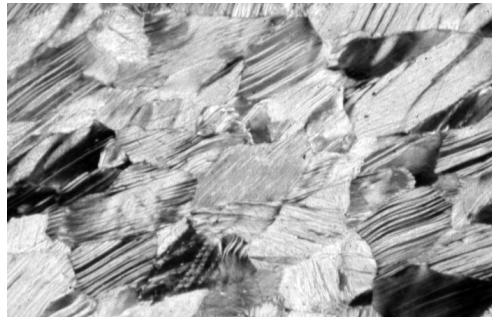
Special Research Paper*

Simple shear experiments on calcite rocks: rheology and microfabric

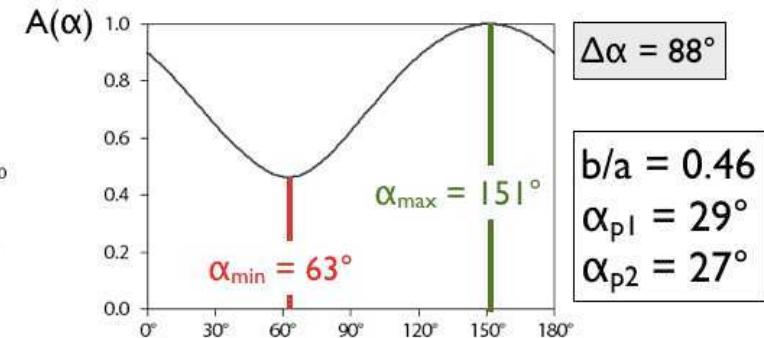
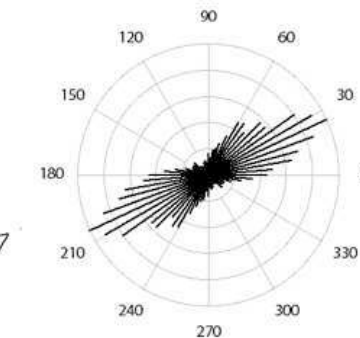
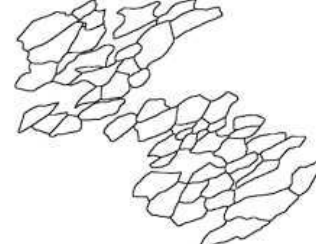
S. M. SCHMID,[†] R. PANIZZO[†] and S. BAUER[‡]

[†]Geologisches Institut, ETH-Zentrum, 8092 Zürich, Switzerland and [‡]Center for Tectonophysics, Texas A & M University, College Station, Texas 77843. Now at: Sandia National Laboratories, Div. 6314, Albuquerque, NM 87185, U.S.A.

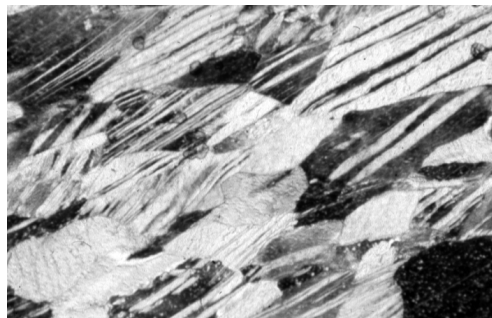
CT5 500°C



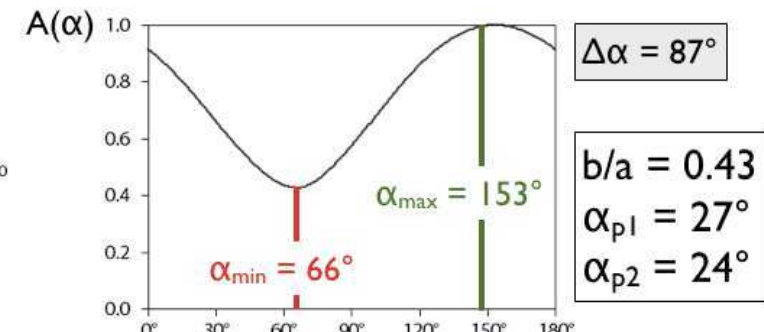
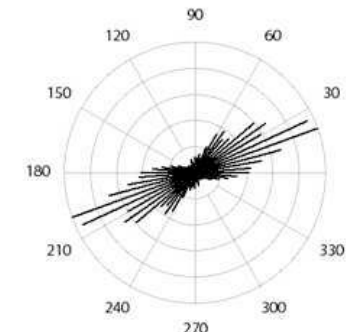
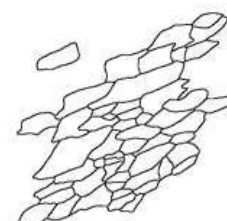
$$\gamma = 1.08$$



CTI 600°C



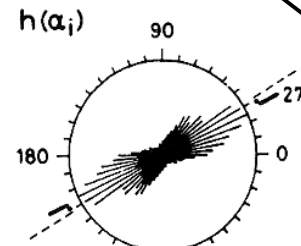
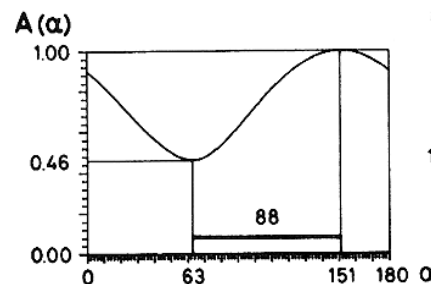
$$\gamma = 1.22$$



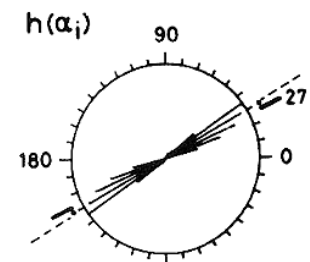
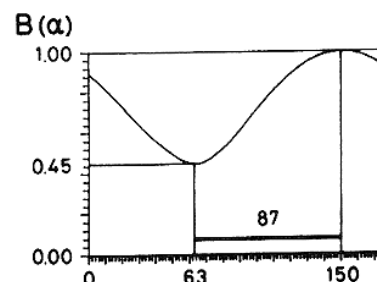
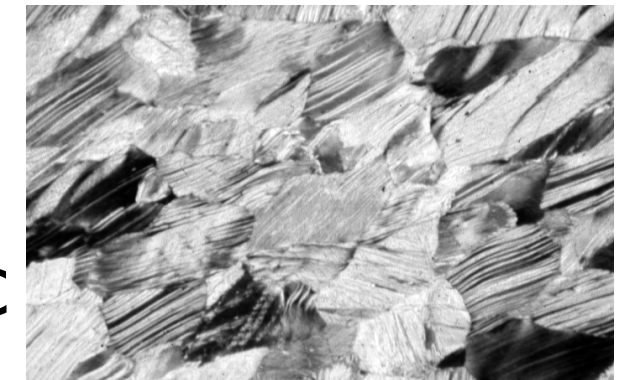
strain test

characteristic shape
(= ellipse)
= strain ellipse ?

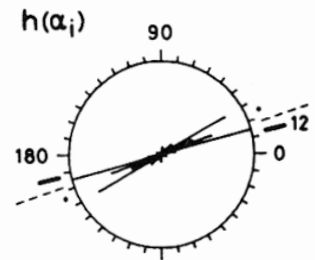
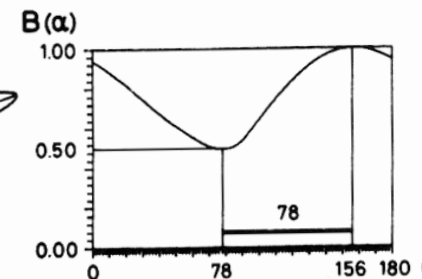
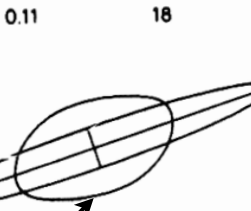
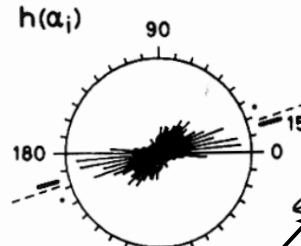
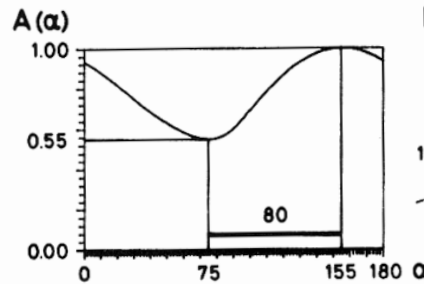
CT 5



CT5 500°C

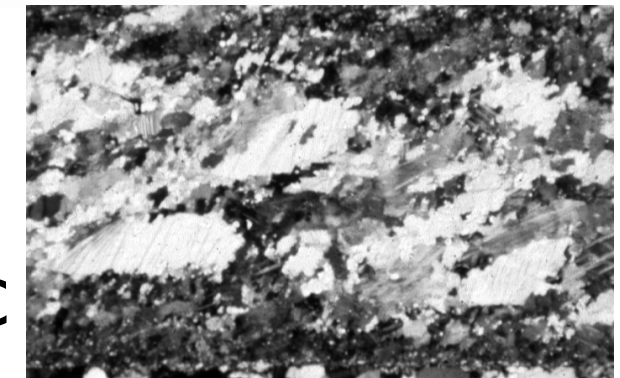


CT 7



characteristic shape
(≠ ellipse)

CT7 800°C



Übung 2

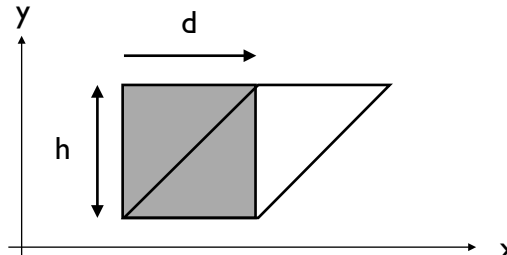
strain

Übung 2

Scherverformung in der Scherbox (simple shear in 2 D)

Ziel dieser Übung ist es, die verschiedenen geometrischen Aspekte der einfachen Scherung (in 2 Dimensionen) kennenzulernen und quantitativ beschreiben zu können. Die Übung kann auf zwei Arten gelöst werden: durch Messen oder durch Rechnen.

Einfache Scherung wird wie folgt beschrieben:



$$Y = d / h$$

wo d = Versetzungsbetrag und h = Höhe des geschersten Körpers.

Das Experiment

Ein Stapel Computerkarten wird geschert (diese Karten existieren in der Tat immer noch - sie sind im Übungsräum zusammen mit einer real existierenden Scherbox zu finden).

Auf den Karten ist seitlich ein Einheitskreis (Radius = 1.00) aufgemalt, sowie 8 Durchmesser in den Orientierungen $0^\circ, 30^\circ, 45^\circ, 60^\circ, 90^\circ, 120^\circ, 135^\circ, 150^\circ$.

Das Resultat des Scherexperimentes ist auf der beigelegten Abbildung dargestellt:

- 1 - Unverformter Zustand
- 2 - $Y = 0.5$
- 3 - $Y = 1.0$
- 4 - $Y = 2.0$
- 5 - $Y = 3.0$

Der Kreis verformt sich zu zunehmend schlankeren Ellipsen (= Verformungsellipsen), die verschiedenen Durchmesser werden länger oder kürzer und ändern die Orientierung.

Aufgaben

1. Bestimmen Sie den Scherwinkel, Ψ , in den 4 Verformungsschritten. Beschreiben Sie das Vorgehen.
2. Schreiben Sie die Gleichungen der Koordinaten-Transformation für $Y = 0.5, 1.0, 2.0, 3.0$.
3. Bestimmen Sie die Extension, e , und die Orientierung, ϕ , der eingezeichneten Durchmesser ($A-A'$, $B-B'$, etc.) bzw. der Radien ($0-A'$, $0-B'$, etc.) in den 4 Verformungsschritten.

$$\Delta L = L - L_0$$

$$e = \Delta L / L_0$$

wo L_0 = ursprüngliche Länge und L = verformte Länge

Die Radius des ursprünglichen Kreises ist = 1.00. Sie können nun entweder alle Durchmesser oder Radien messen oder die Koordinaten der verformten Radiusvektoren berechnen und daraus die verformte Länge gewinnen. Dazu nehmen Sie am besten an, dass sich der Koordinatenursprung immer im Mittelpunkt der Ellipsen befindet.
Welches Vorgehen wählen Sie? Beschreiben Sie es.

4. Stellen Sie die Extension, e , und die Orientierung, ϕ , der Linien $A-A'$, $B-B'$ etc. als Funktion von Y dar (2 separate Diagramme) und kommentieren Sie. Welche Linien, d.h. welche ursprünglichen Orientierungen, werden kürzer, welche werden länger? Wie schnell rotieren sie?
- 4*. Finden Sie die mathematische Gleichung, welche die Extension, e , und die Orientierung, ϕ , einer geschereten Geraden in Abhängigkeit der Scherung, Y , und der ursprünglichen Orientierung, ϕ_0 , der Geraden beschreibt.
5. Zeichnen Sie die lange Achse, a , und die kurze Achse, b , der Ellipsen ein, messen Sie die Längen a und b , berechnen Sie das Achsenverhältnis, R_f ($R_f = a/b$), und bestimmen Sie die Orientierung, ϕ , der langen Achse.
Tragen Sie die Resultate in den entsprechenden Diagramme der Aufgabe 4 ein.
6. Vergleichen Sie die Rotation der langen Ellipsenachse mit der Rotation der geschereten Durchmesser. Zeichnen Sie die Lagen der langen und kurzen Achsen auf den Verformungsellipsen im ursprünglichen Einheitskreis ein. Kommentieren Sie. Sind zusammengehörige Achsen senkrecht aufeinander? Sind die Ellipsenachsen Materiallinien?

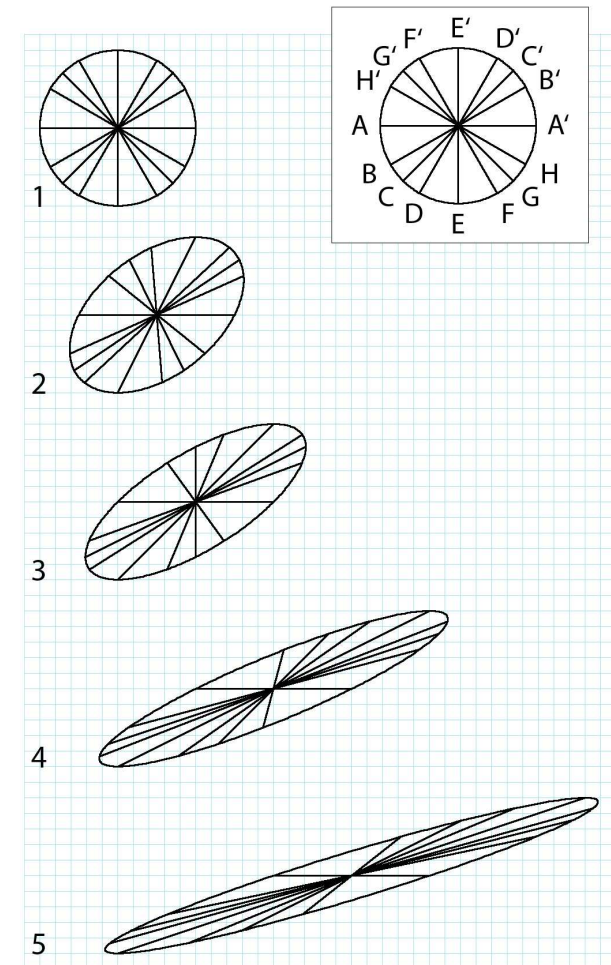


Abbildung: Resultat des Scherexperimentes

3

3 Mohr Coulomb - Reibung - Klüfte und Brüche

VL-Themen:

- Elastizität
- Deformationsexperimente
- Versagenskriterien
- Mohr Coulomb Failure
- Bruchbildung und -entwicklung
- Reibung
- Gleitreibung
- Klüfte und Brüche

Elastizität

Spröddeformation

elasticity

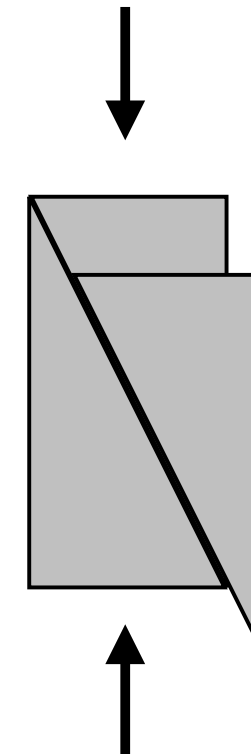
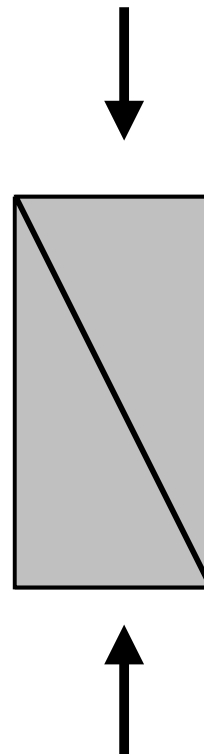
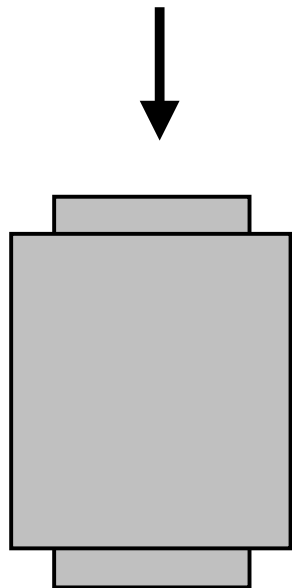
Elastizität

brittle failure

Bruchbildung
Versagen

friction

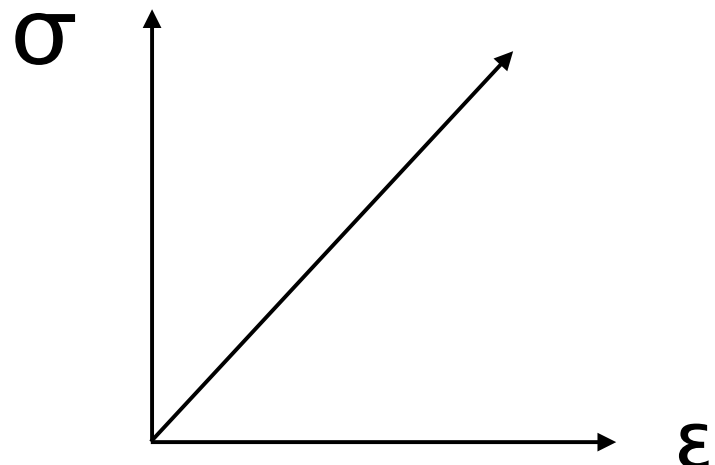
Reibung



Elastizität

Spannung = Materialeigenschaft · Verformung

$$\sigma_{ij} = E_{ijkl} \cdot \epsilon_{kl}$$



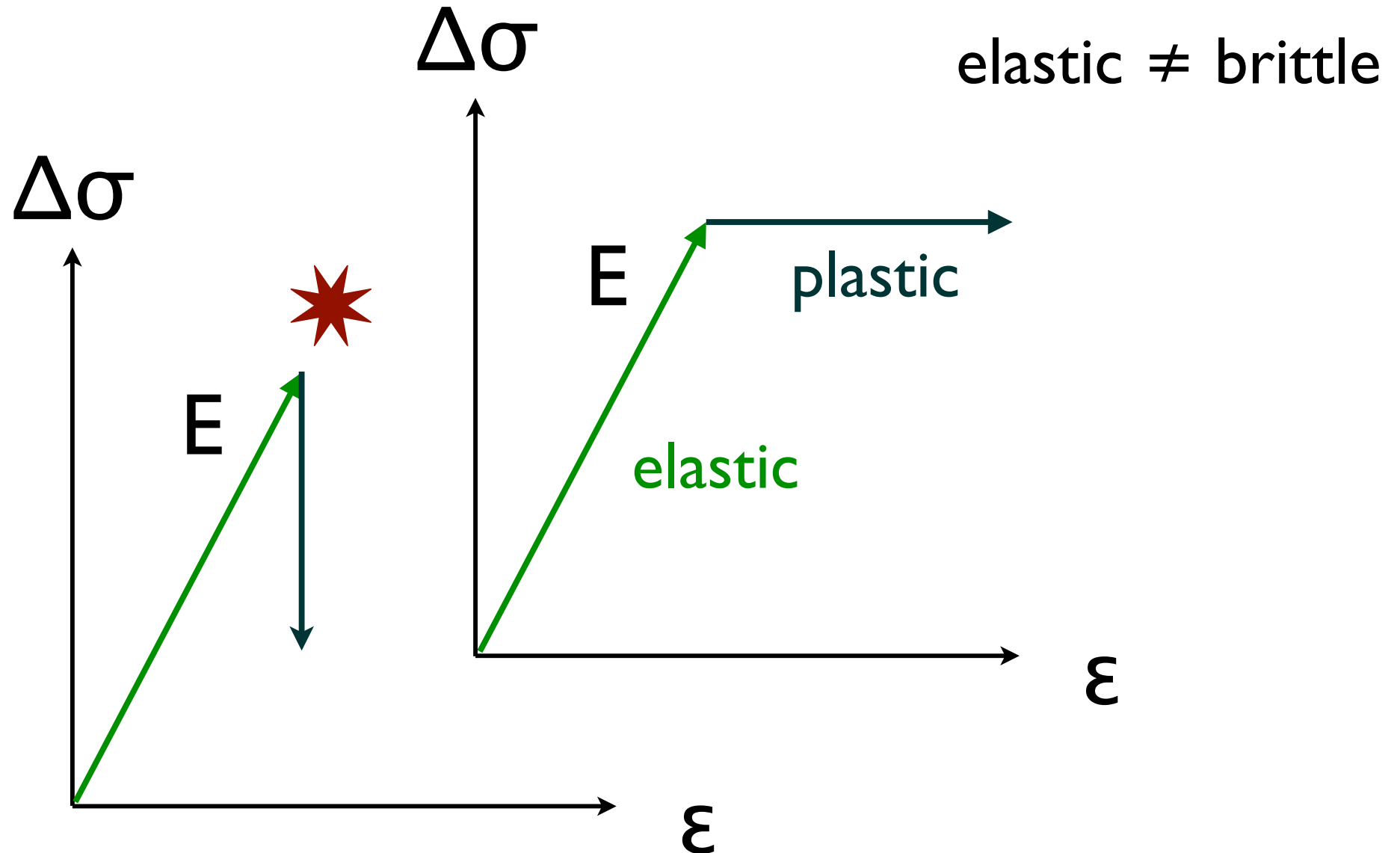
Seismische Geschwindigkeiten

$$\text{speed} = \sqrt{\frac{\text{elastic modulus}}{\text{density}}}$$

$$v_P = \left(\frac{K + \frac{4\mu}{3}}{\rho} \right)^{\frac{1}{2}}$$

$$v_S = \left(\frac{\mu}{\rho} \right)^{\frac{1}{2}}$$

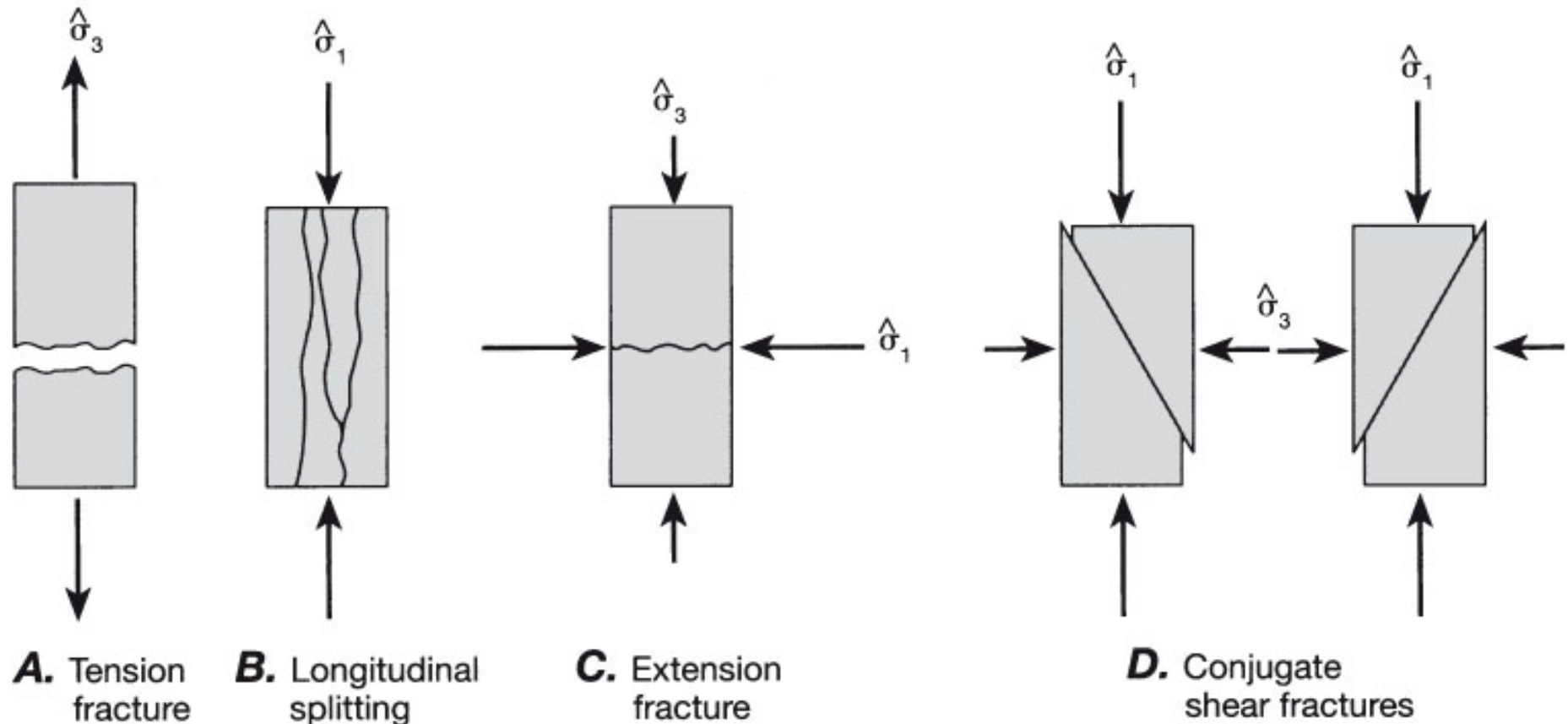
Spröddeformation



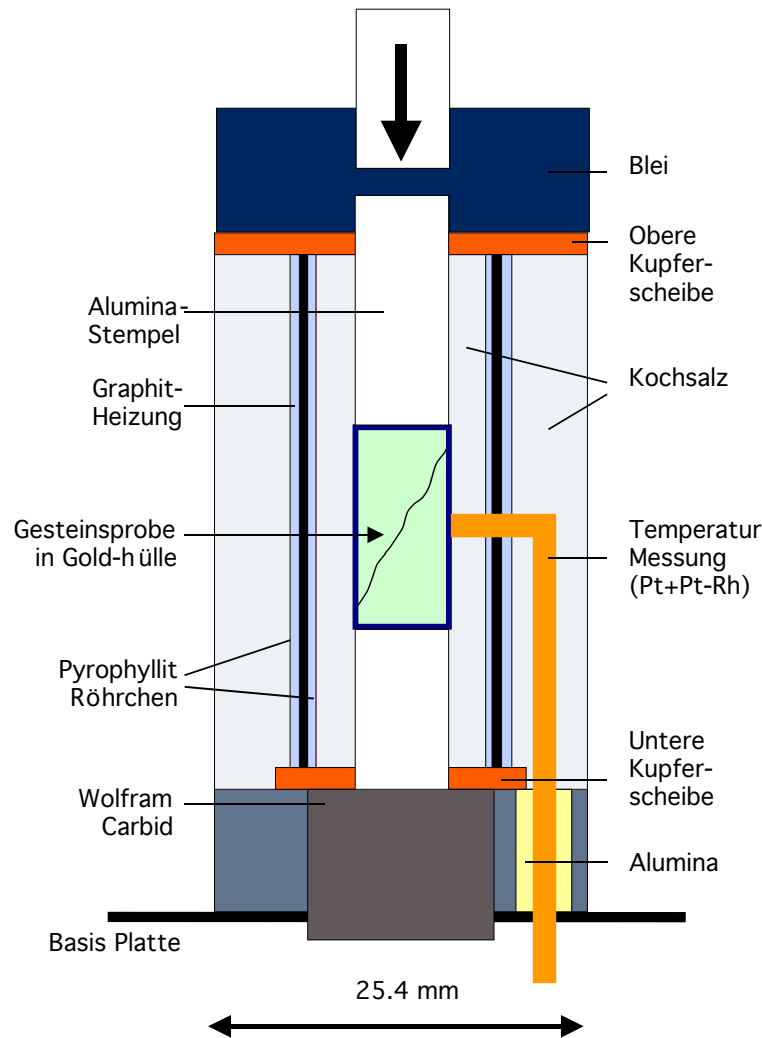
Experimente

Gesteinsmechanik

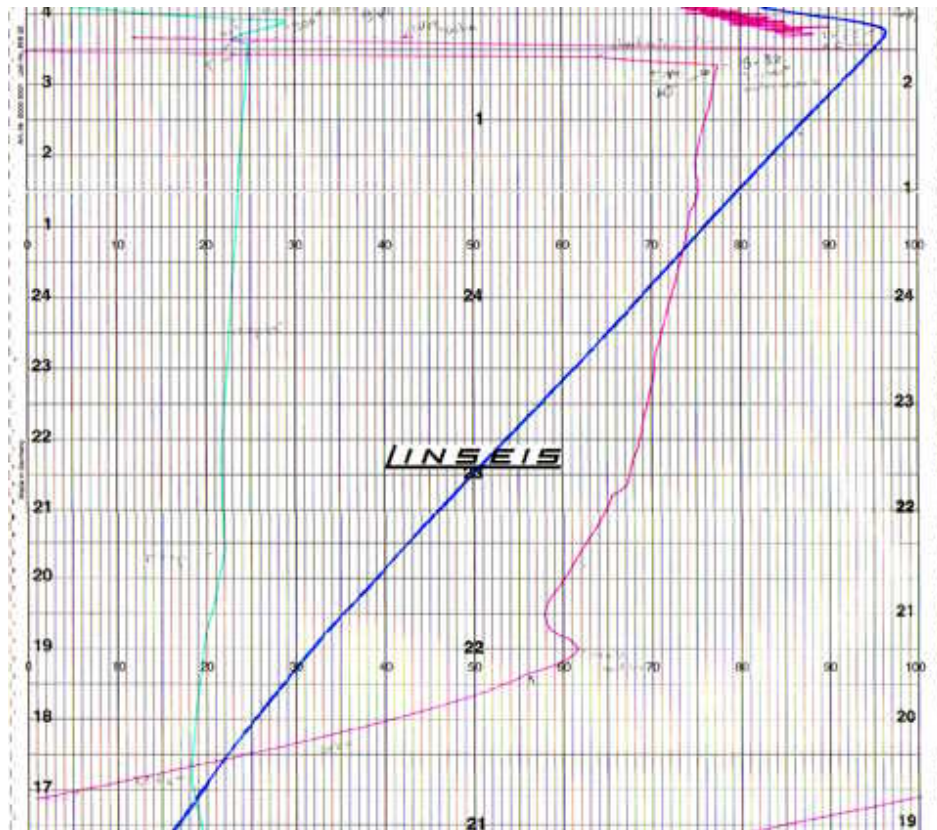
Experimentelle Gesteinsverformung



Rock deformation experiments

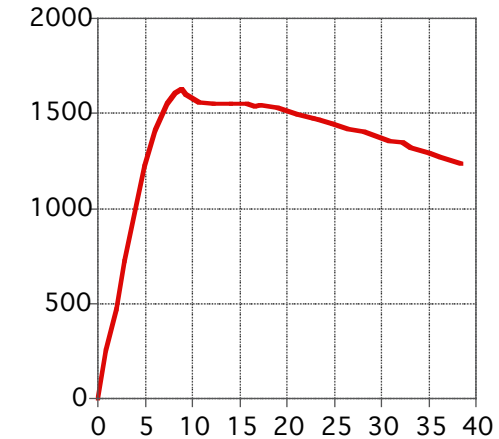


Rock deformation experiments

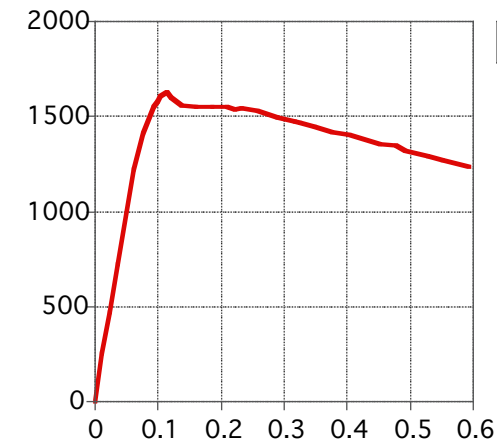


$$e(\%) = 100 \cdot (-\Delta L) / L$$

$\Delta\sigma(\text{MPa})$



$e(\%)$



ϵ_m

$$\epsilon_m = 1/\sqrt{3} \cdot \sqrt{(\epsilon_1 - \epsilon_2)^2 + (\epsilon_2 - \epsilon_3)^2 + (\epsilon_3 - \epsilon_1)^2}$$

$$\epsilon = \ln(L' / L) = \ln(s)$$

Versagenskriterien

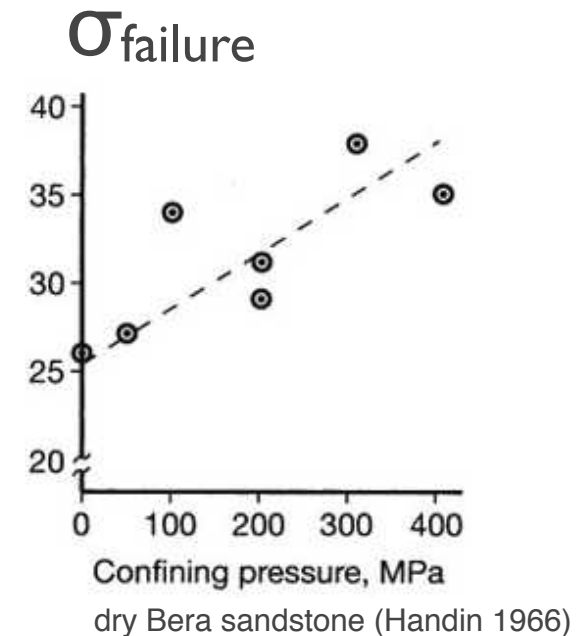
Failure criteria

Versagen

Was ist Versagen:
Bruch ? Kohäsionverlust ?
Verformung ?
Verformungsrate ?

Bei welchem Spannungszustand
tritt Versagen ein:

- maximales σ_1 oder σ_3 ?
- maximales $\Delta\sigma$ ($= \sigma_1 - \sigma_3$) ?
- maximales σ_h oder τ ?



Versagenskriterien

Coulomb Mohr failure criterion

$$\tau = \tau_0 + \mu \cdot \sigma$$

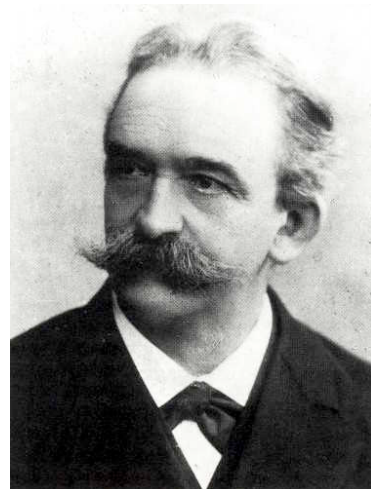
τ_0 = cohesion

μ = internal friction



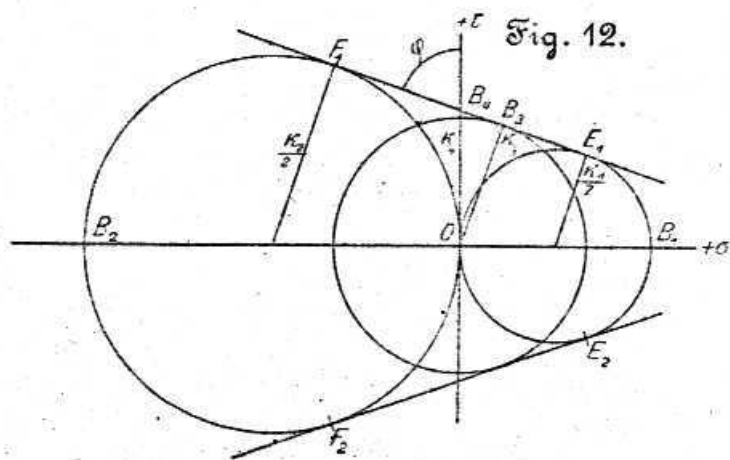
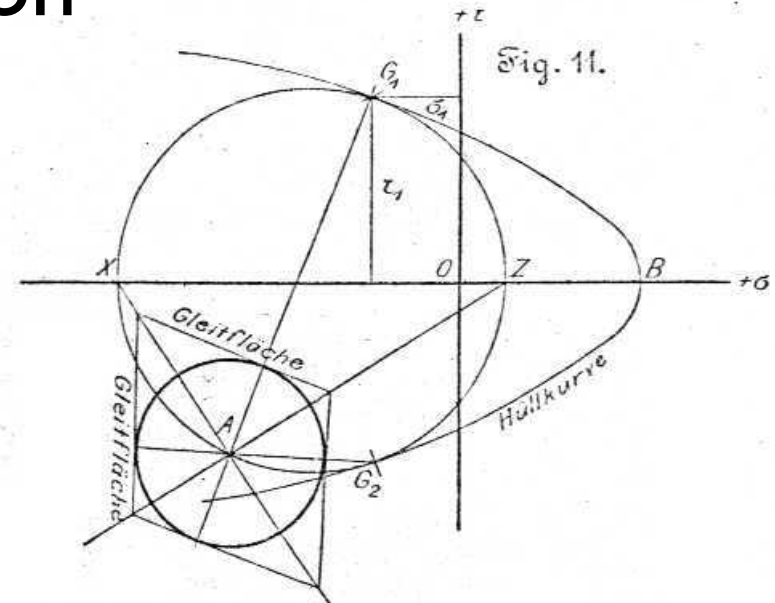
Charles Augustin de Coulomb

* 14. Juni 1736 in Angoulême
† 23. August 1806 in Paris



Christian Otto Mohr

* 8. Oktober 1835 in Wesselbüren
† 2. Oktober 1918 in Dresden



Mohr (1900)

Versagenskriterien

van Mises (Critical Distortional Energy)

$$\frac{1}{2} ((\sigma_1 - \sigma_2)^2 + (\sigma_2 - \sigma_3)^2 + (\sigma_3 - \sigma_1)^2) \leq T^2$$

T = tensile strength

(maximum octahedral shear stress)

$$\tau_{\text{oct}} = \sqrt{\frac{2}{3} J_2}$$



Richard Edler von Mises

* 19 April 1883 in Lwów

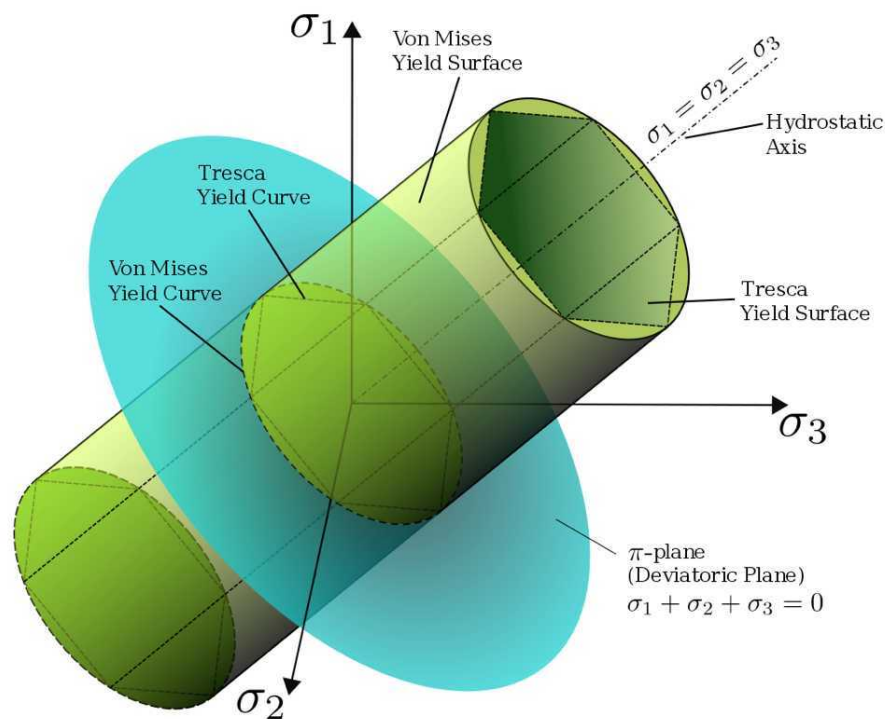
† 14 July 1953 in Boston

Versagenskriterien

Tresca (Critical Shear Stress)

$$\frac{1}{2} (\sigma_1 - \sigma_3) \leq S$$

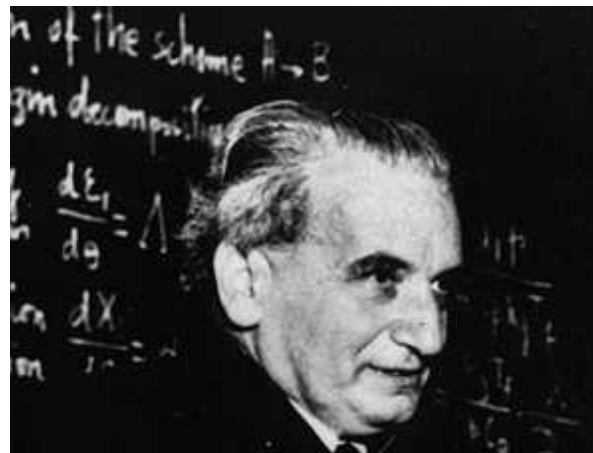
S = shear strength



Henri Édouard Tresca

* 12. Oktober 1814 in Dünkirchen
† 21. Juni 1885 in Paris

Coulomb Mohr Failure



Theodore von Kármán

* 11. Mai 1881 in Budapest als Tódor
Kármán
† 7. Mai 1963 in Aachen

ZEITSCHRIFT DES VEREINES DEUTSCHER INGENIEURE.

Nr. 42.

Sonnabend, den 21. Oktober 1911.

Band 55.

Inhalt:

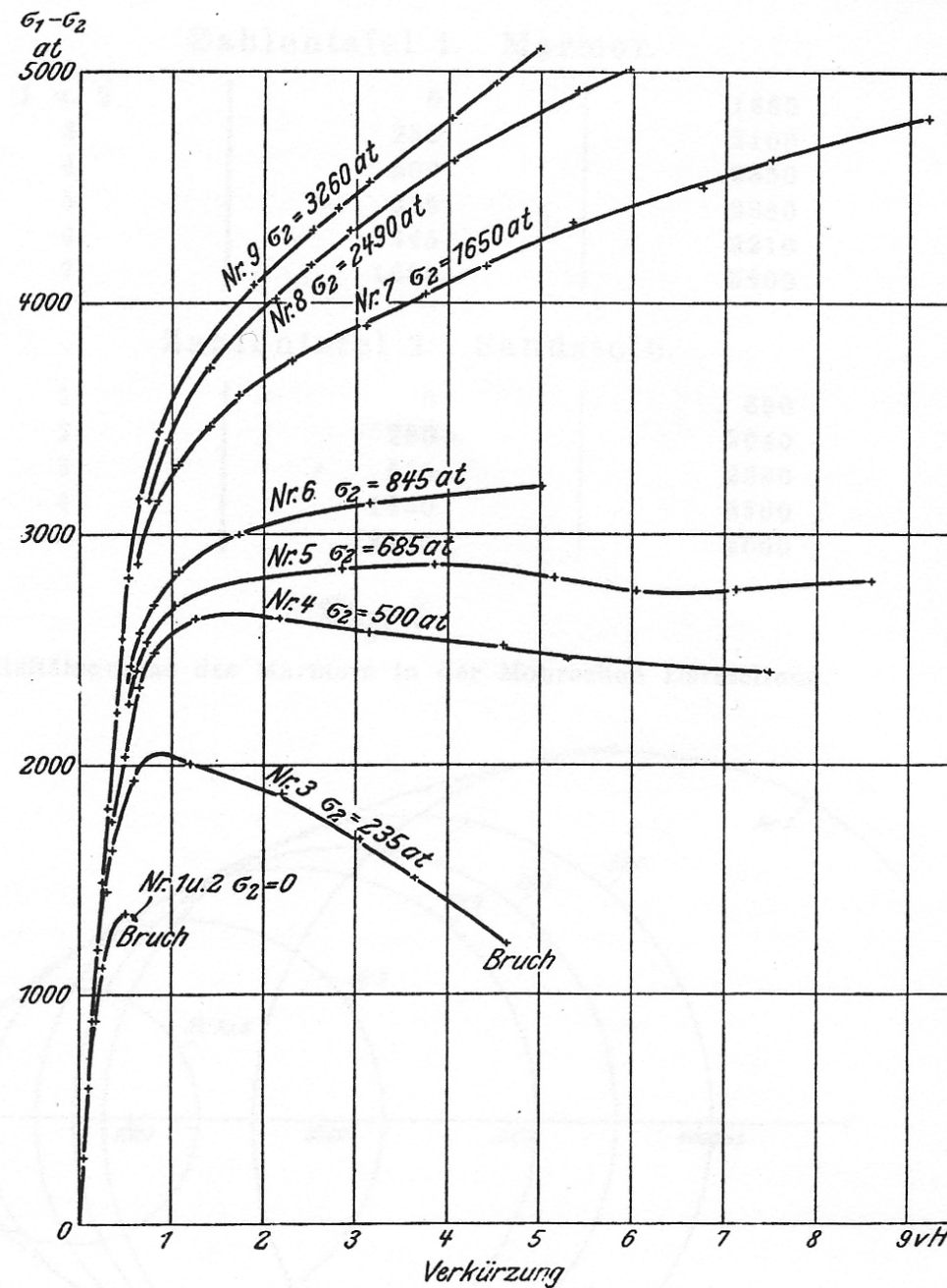
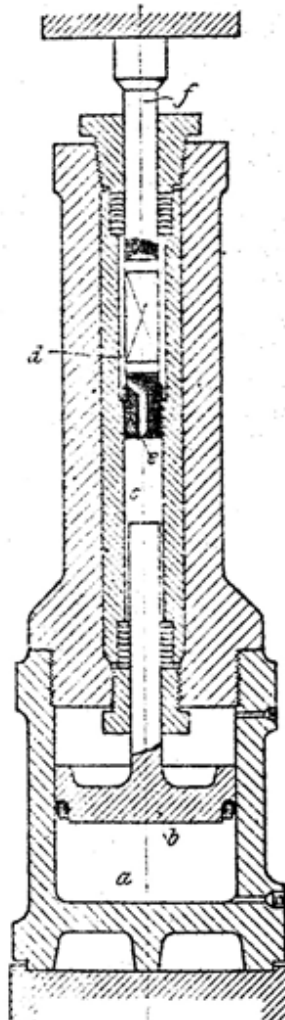
Festigkeitsversuche unter allseitigem Druck. Von Th. v. Kármán (hierzu Textblatt 29)	1749	B. Weinstein — Transformers. Von H. Bohle und D. Robertson. — Elementarmechanik für Maschinentechniker. Von R. Vogdt. — Einflußlinien für die Berechnung paralleler Vierendeel-Träger. Von W. St. Ritter v. Balicki. — Bei der Redaktion eingegangene Bücher	1777
Kerchove- und Gleichstrom-Dampfmaschine. Von G. Doederlein (Schluß)	1758	Zeitschriftenschau	1780
Elektrisches Schweißen. Von B. Löwenherz (Schluß)	1763	Rundschau: Vierzylinder-Heißdampf-Verbundlokomotive für Gebirgsstrecken der österreichischen Staatsbahnen. — Fahrbarer Bockkran für 150 t mit 2 Auslegern. — Rechenuhr. — Verschiedenes	1783
Entwicklung und Aussichten des Stahlbandantriebes. Von L. Silberg	1768	Patentbericht	1787
Fehler bei Wehrbauten in Eisenbeton. Dansville- und Austin-Damm. Von Ziegler	1773	Zuschriften an die Redaktion: Flüssige Brennstoffe für Kraftbetrieb	1788
Posener B.-V.: Versammlung der Ostdeutschen Bezirksvereine des Vereines deutscher Ingenieure vom 11. bis 13. August 1911. — Rheingau-B.-V. — Siegener B.-V.	1777	Angelegenheiten des Vereines: Mitteilungen über Forschungsarbeiten, Heft 106. — Internationale Industrie- und Gewerbeausstellung in Turin 1911.	1788
Bücherschau: Lord Kelvin. Vorlesungen über Molekulardynamik. Von	(hierzu Textblatt 29)		

Festigkeitsversuche unter allseitigem Druck.

Von Dr. Th. v. Kármán in Göttingen.

Fig. 5.

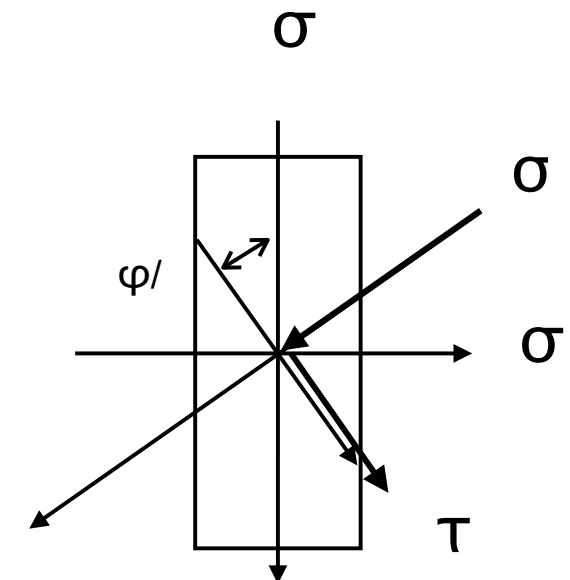
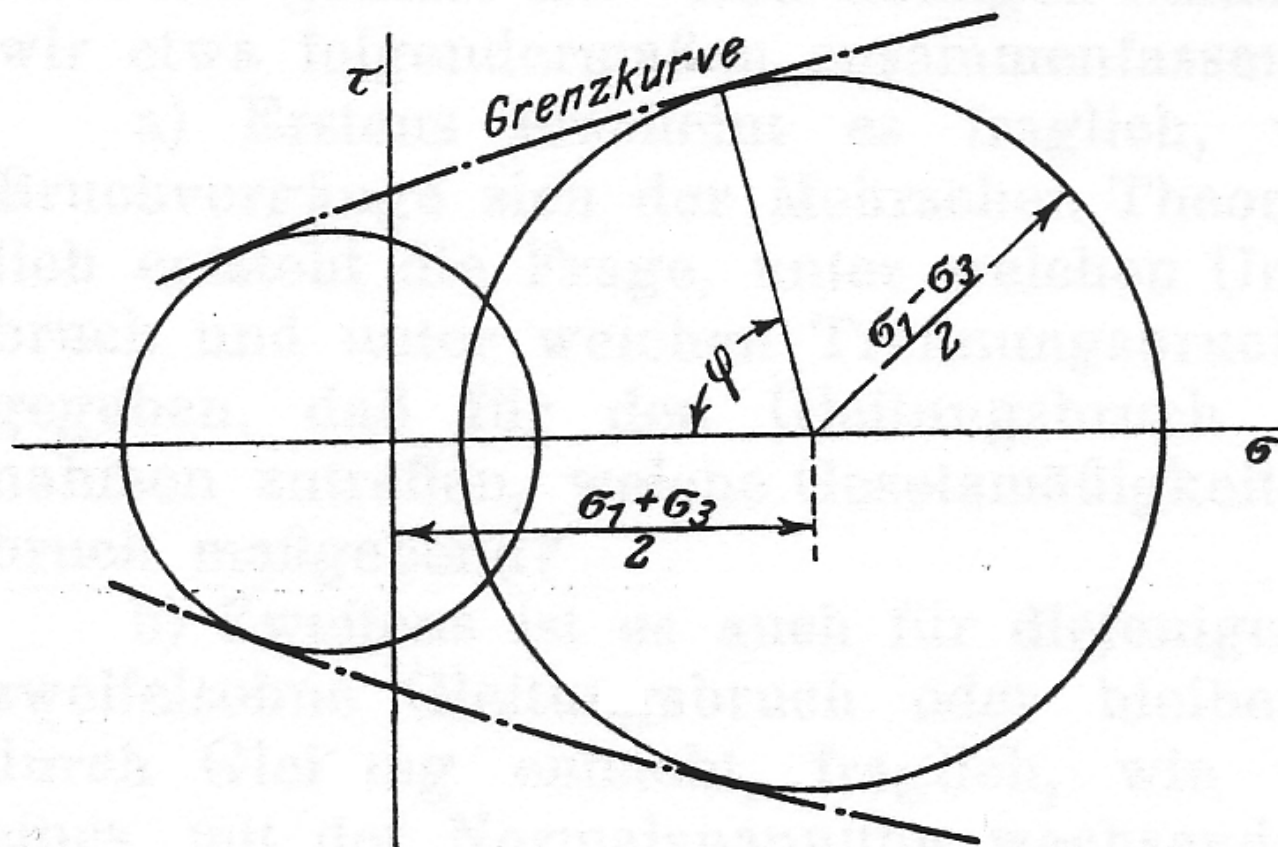
Formänderungskurve des Marmors beim Versuch
unter allseitigem Druck.



Spannungszustand bei Versagen

Fig. 1.

Darstellung der Grenzzustände nach Mohr.



Versagen

Elastizitätsgrenze

Fig. 7.

Elastizitätsgrenze des Marmors in der Mohrschen Darstellung.

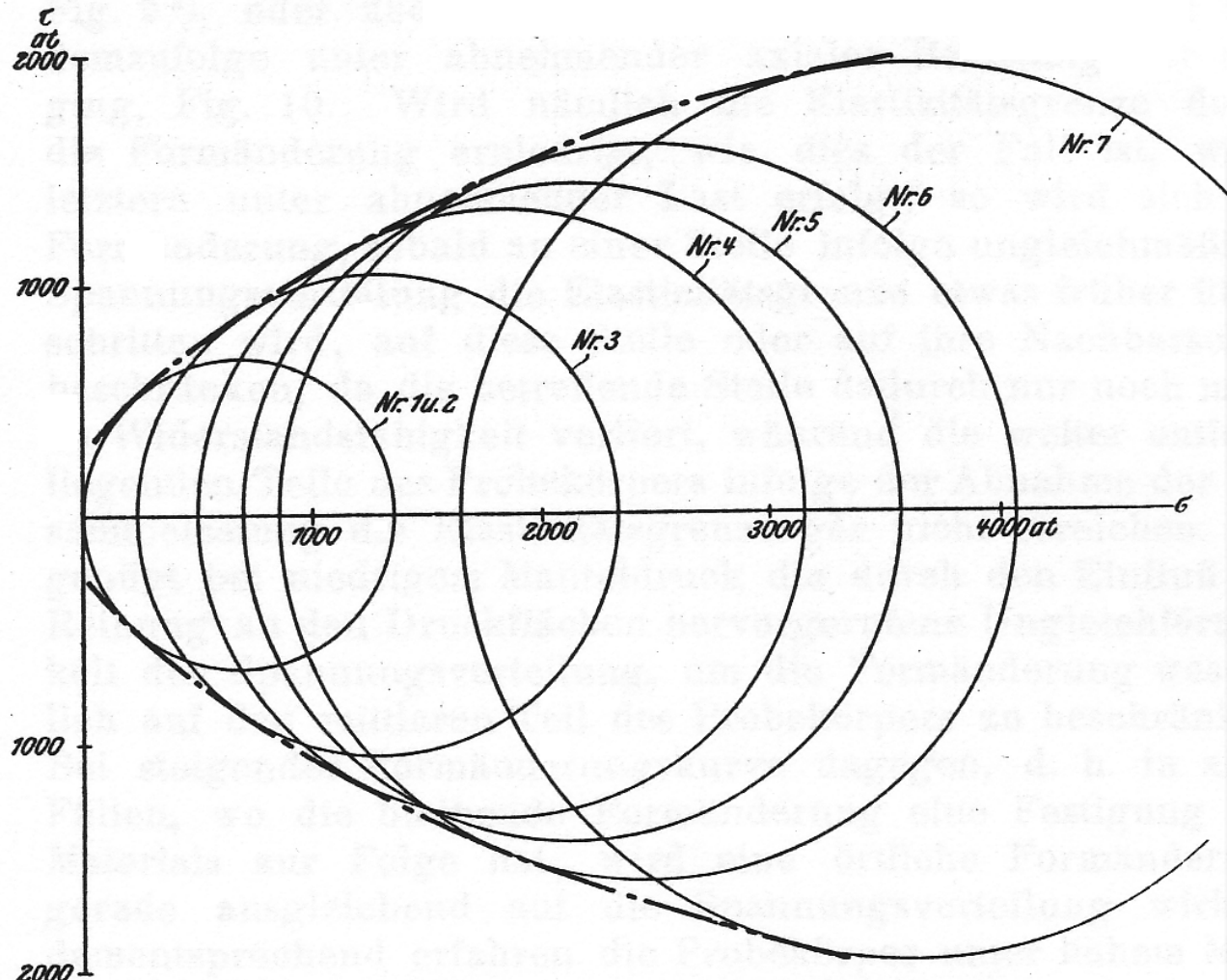
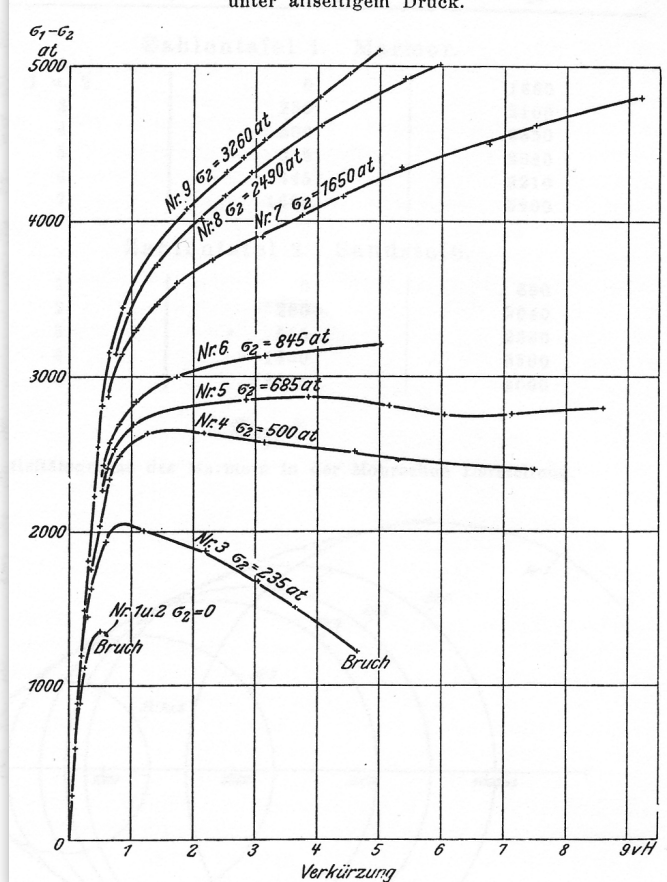


Fig. 5.

Formänderungskurve des Marmors beim Versuch unter allseitigem Druck.



Versagen

Plastizitätsgrenze

Fig. 8.

Kurven gleicher bleibender Dehnung bei Marmor
in der Mohrschen Darstellung.

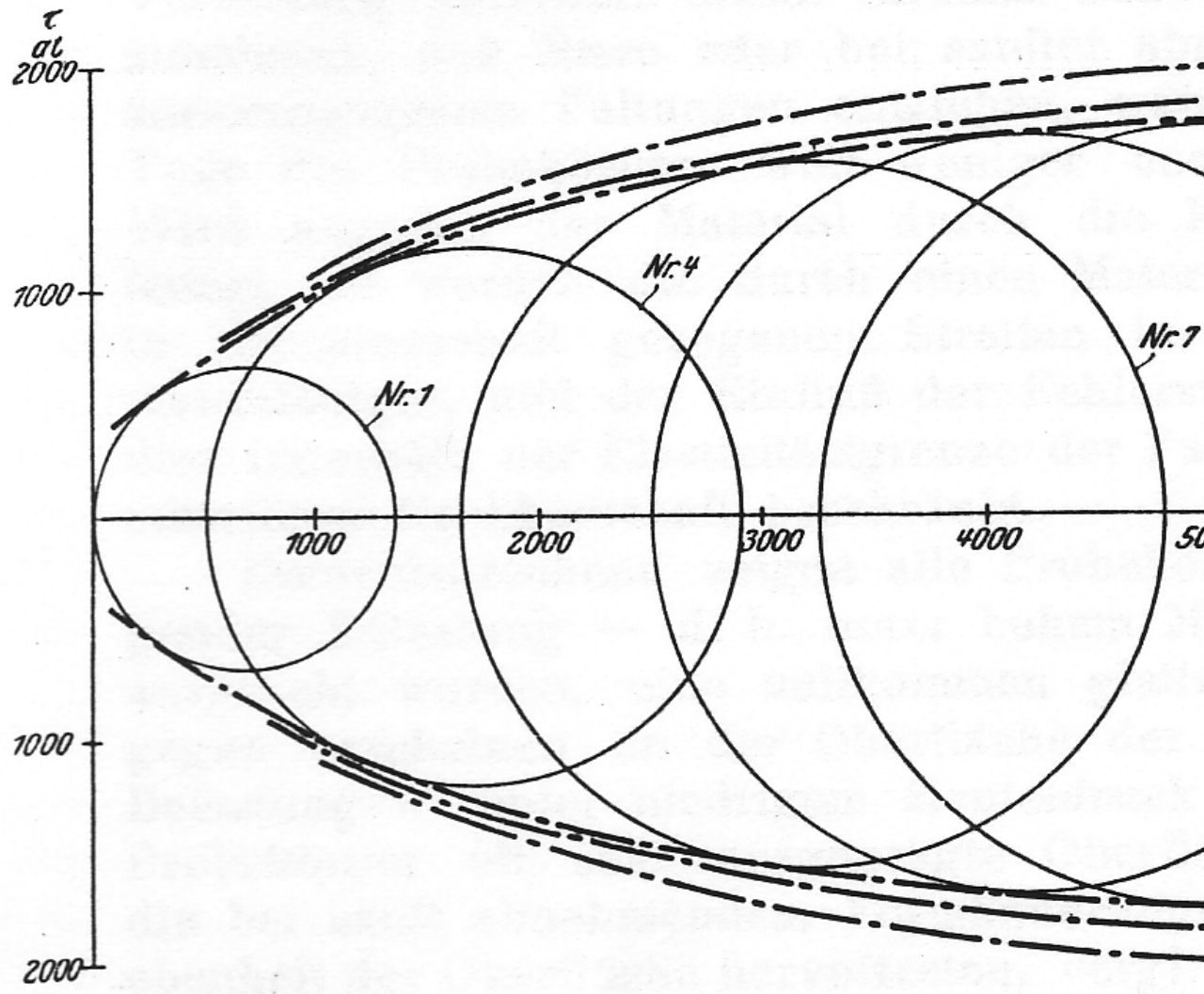
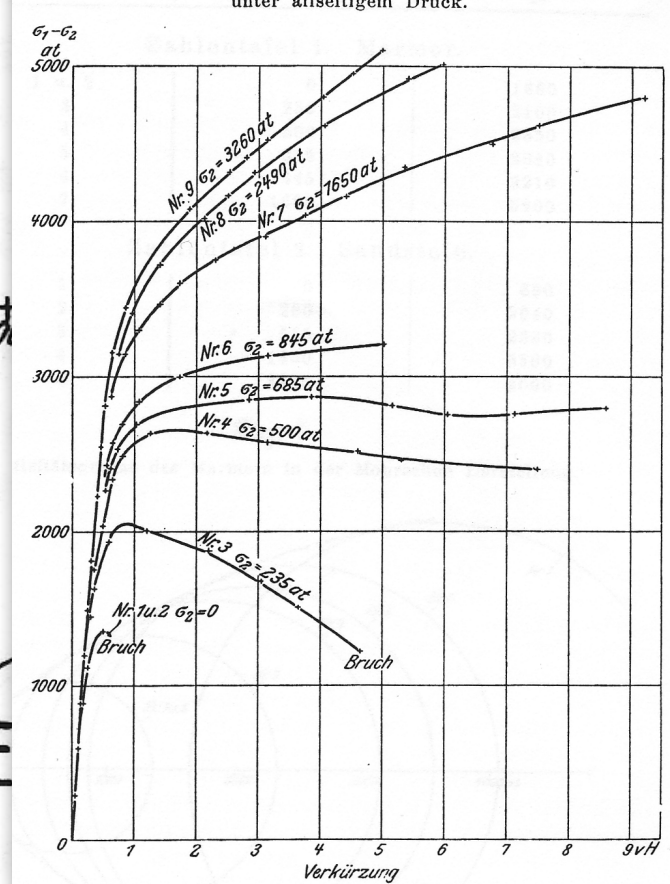
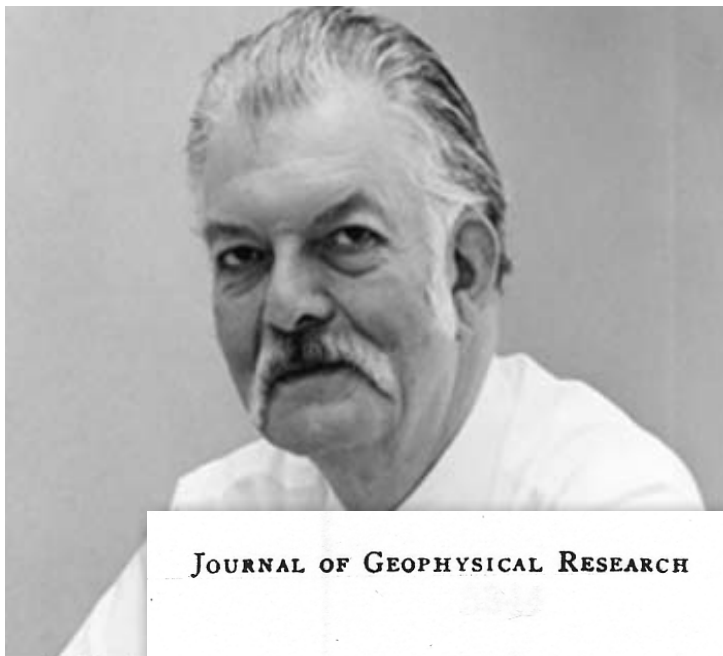


Fig. 5.

Formänderungskurve des Marmors beim Versuch
unter allseitigem Druck.





JOURNAL OF GEOPHYSICAL RESEARCH

VOL. 74, No. 22, OCTOBER 15, 1969

On the Coulomb-Mohr Failure Criterion

JOHN HANDIN

*Center for Tectonophysics, Texas A&M University
College Station, Texas 77843*

Coulomb's criterion for the shear fracture of a brittle material is that total shearing resistance is the sum of the cohesive shear strength (independent of direction) and the product of the effective normal stress and the coefficient of internal friction (a constant independent of normal stress). Mohr generalized this criterion by extending it to a three-dimensional state of stress, and by allowing for a variable coefficient. The coefficients of internal and external (sliding) friction are not the same in general. Both tend to decrease with increasing normal stress, and their relative magnitudes may determine if failure occurs by new shear fracturing or by slip on pre-existing cohesionless surfaces like joints in rocks.

Coulomb Mohr Failure Criterion

Coulomb's [1776] problem was the shear fracture in a prism of isotropic material under uniaxial compression σ_1 (compressive stresses counted positive). He wrote down the equations for the shear stress τ and normal stress σ on a plane inclined at an angle, say θ , to the loading direction. He assumed that 'la cohésion se mesure par la résistance que les corps solides opposent à la désunion directe de leur parties', and 'je suppose ici que l'adhérence oppose une égale résistance, soit que la force soit dirigée parallèlement ou perpendiculairement au plan de rupture.' He then solved for the value of θ for which the shear stress reaches the breaking stress T_{max} and he found,

T_{max} at $\theta = 45^\circ$

During the following two centuries, writers of authority have erroneously stated that Coulomb proceeded no further. For example, in the first edition of his widely known book on faulting Anderson [1942] ascribed the notion of internal friction to Navier. Jaeger [1962] repeated this mistake. In one edition of his great book, *The Earth*, Jeffreys [1952] in turn credits Anderson with this concept!

internal friction $n \cdot \sigma$

slope $n = \tan(\Phi)$

$$\tau = T_0 + n \cdot \sigma$$

cohesion T_0

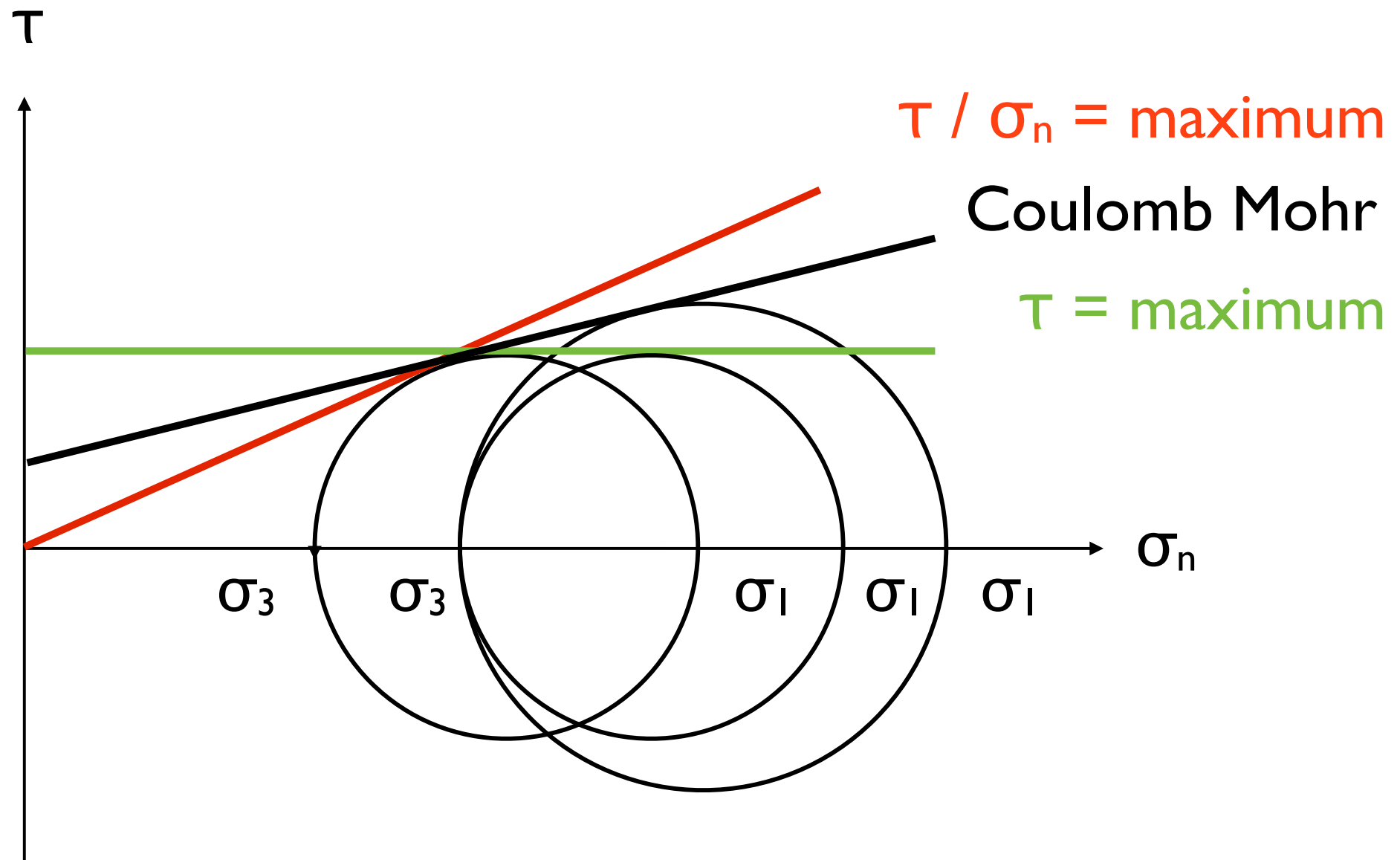
$$\theta_f = \pm 45^\circ \mp \Phi / 2$$

shear fracture and σ_1 .

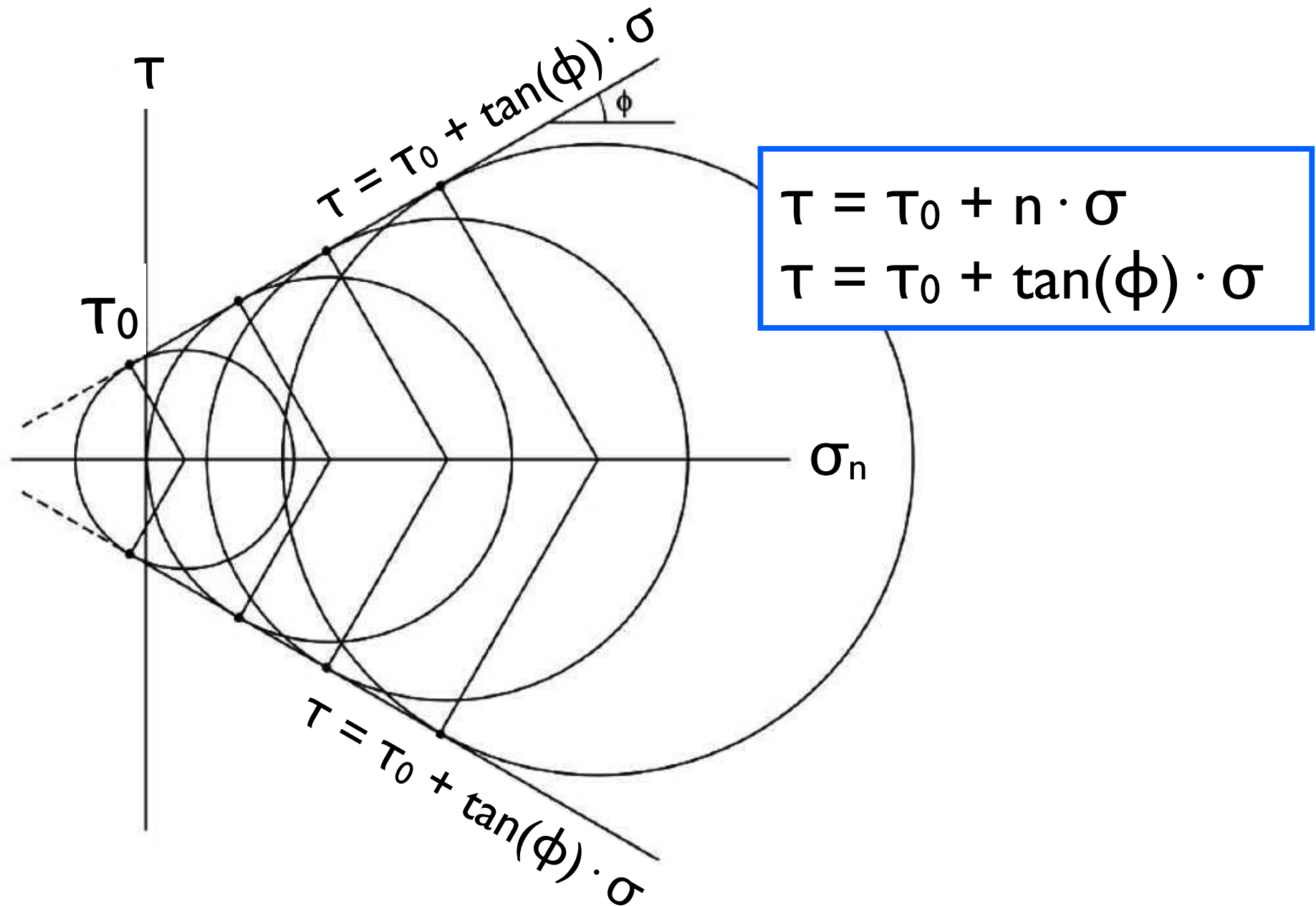
θ_f angle of failure

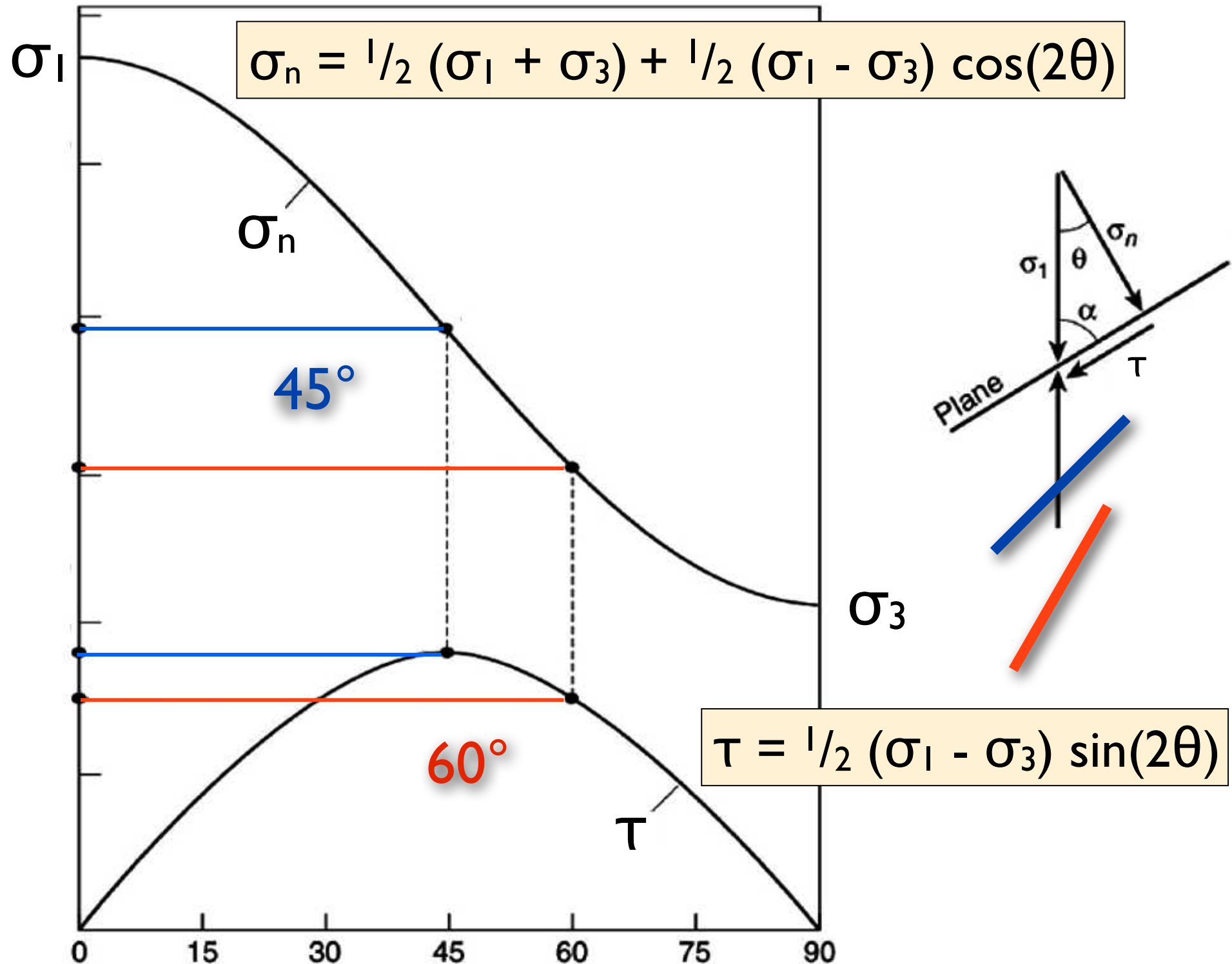
Φ angle of internal friction

Coulomb Mohr Failure Criterion



Coulomb Mohr Failure Criterion

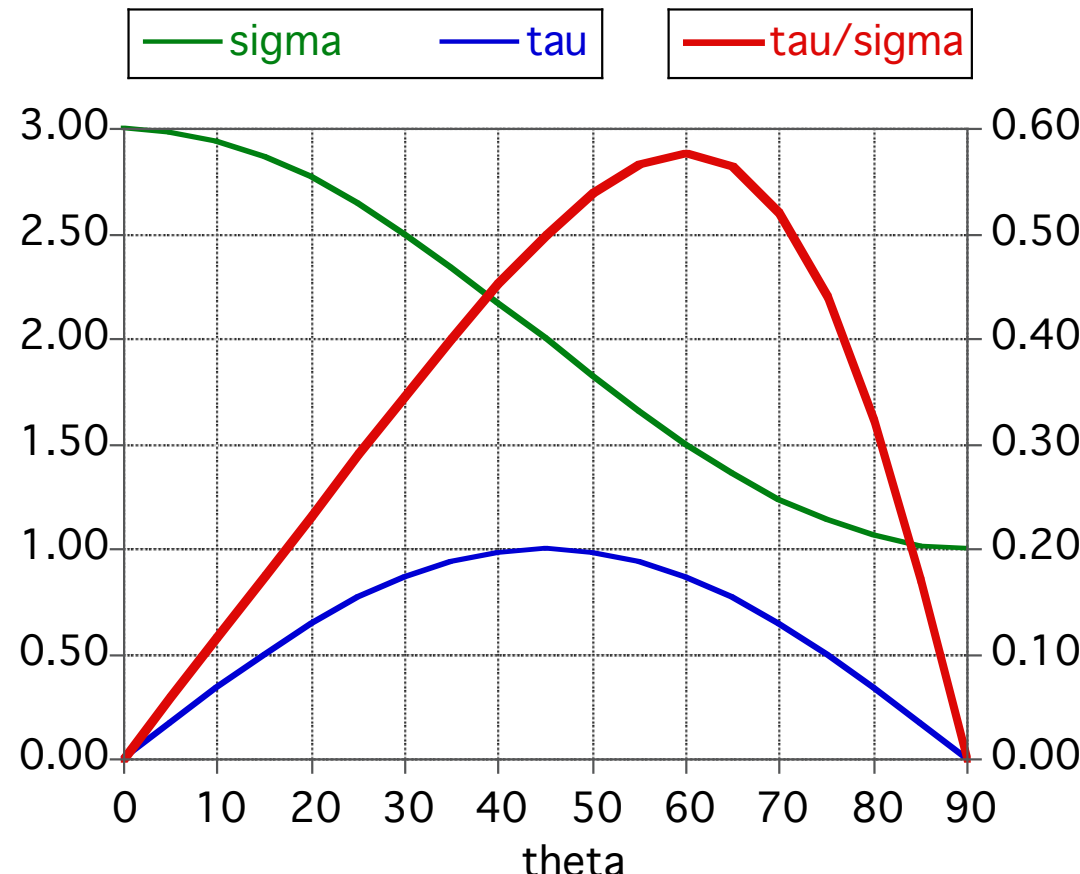




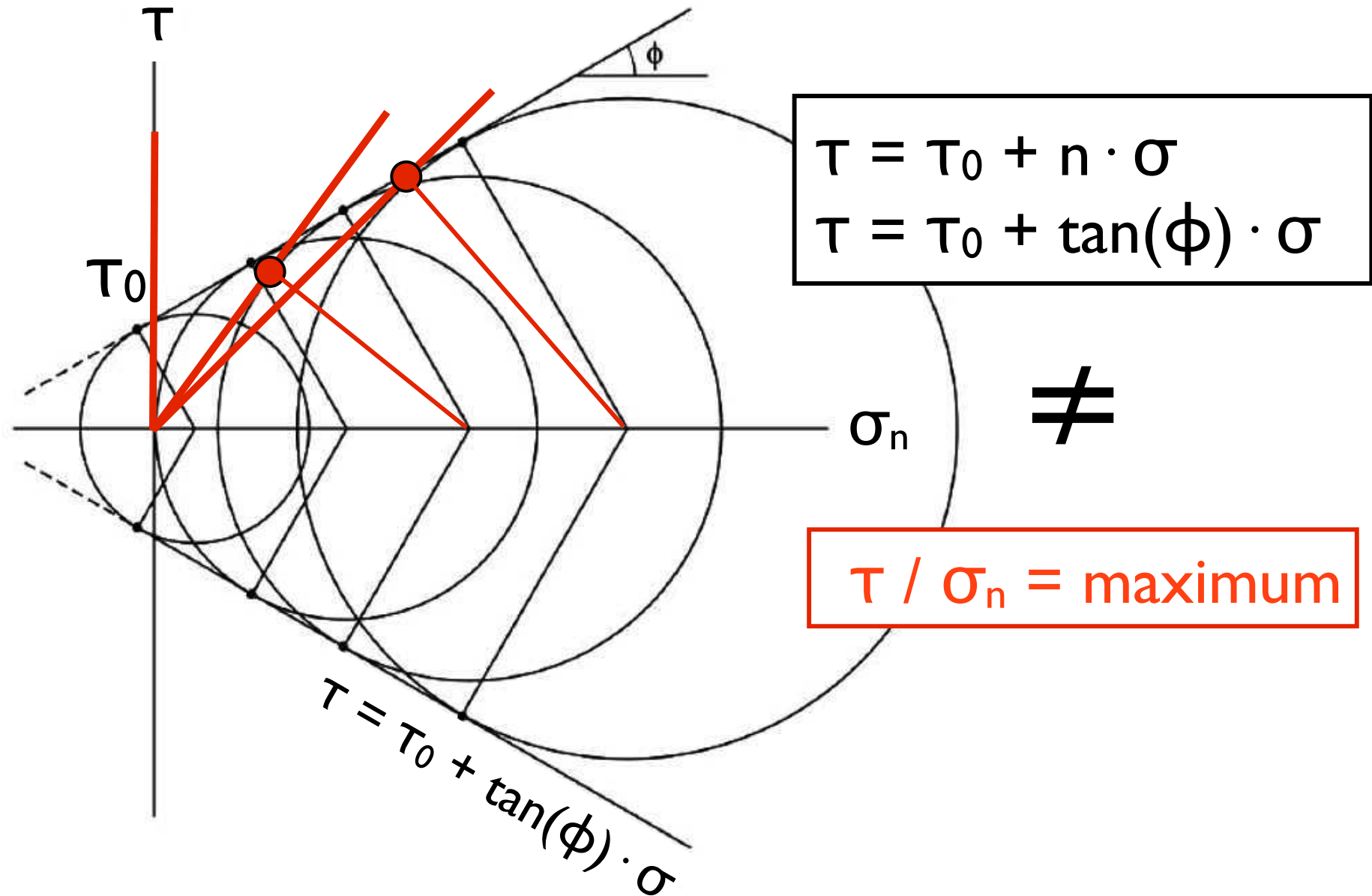
maximum stress ratio τ/σ

$$\sigma = (\sigma_1 + \sigma_3) + (\sigma_1 - \sigma_3) \cdot \cos(\theta)$$

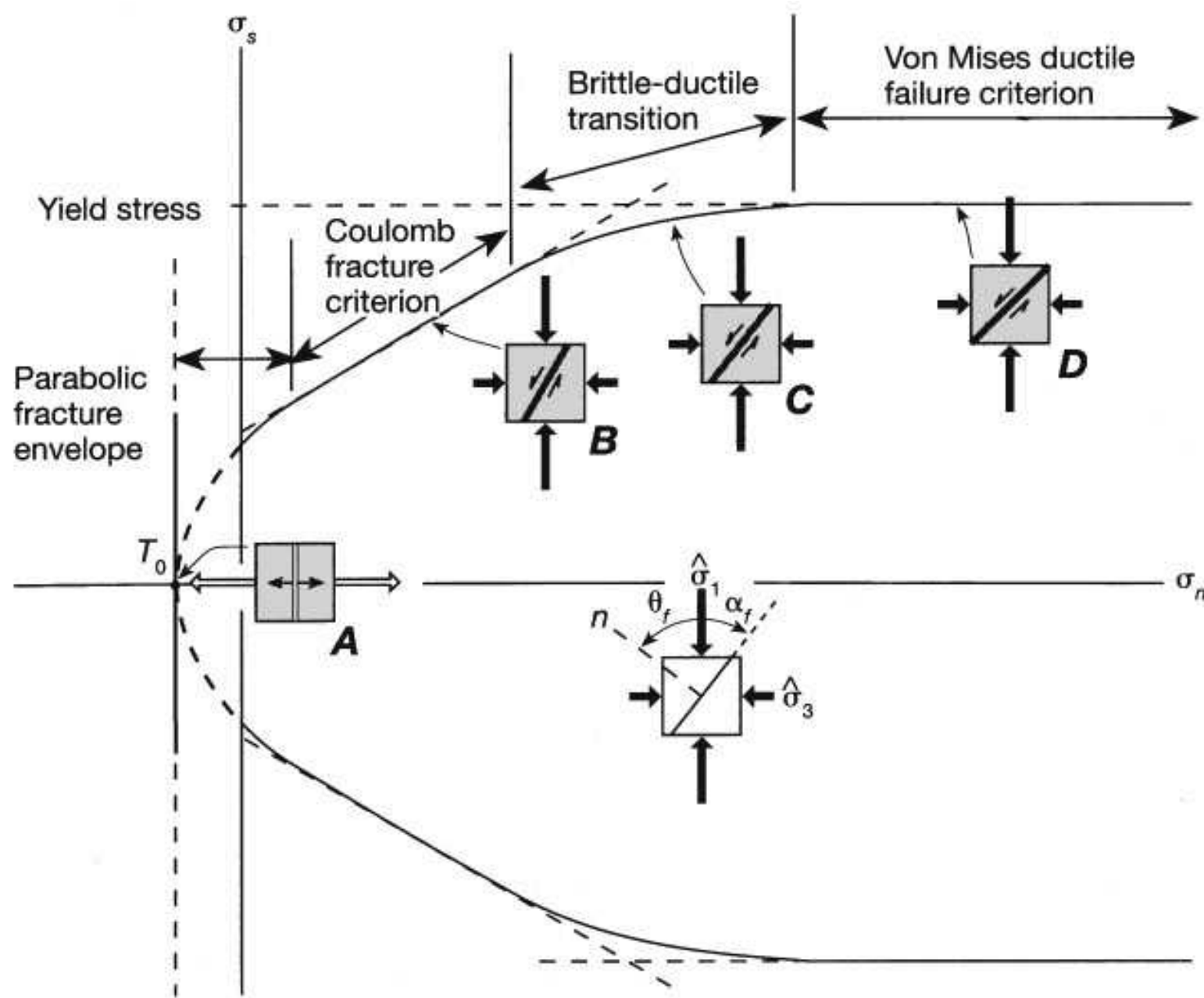
$$\tau = (\sigma_1 - \sigma_3) \cdot \sin(\theta)$$



Coulomb Mohr Failure Criterion

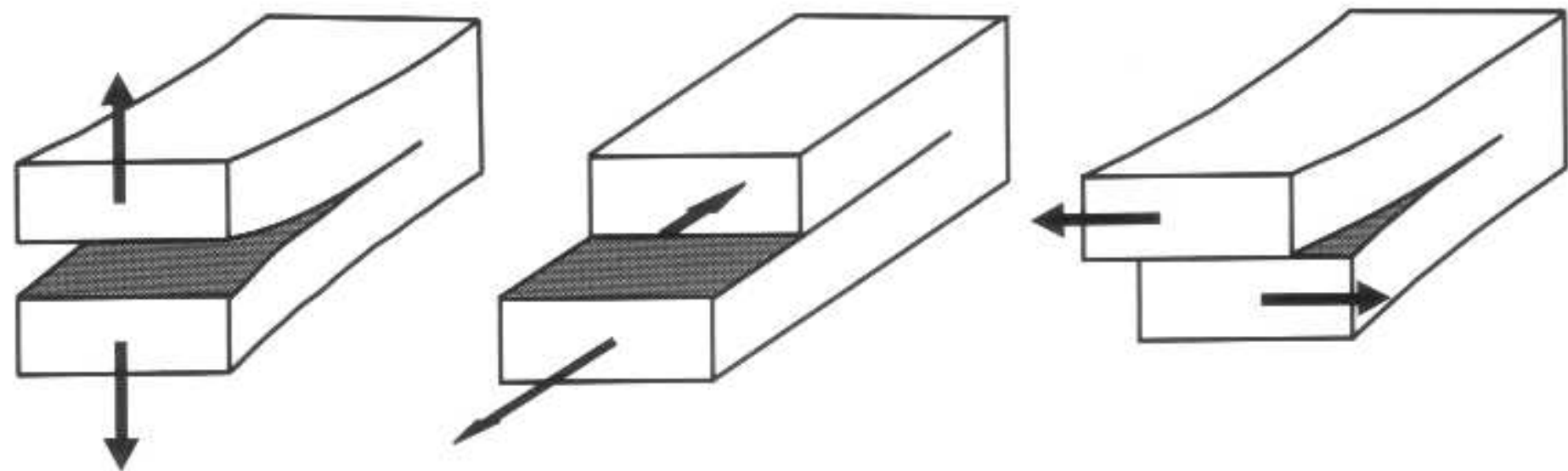


Mohr'sche Umhüllende



Bruchbildung

Fracture mode

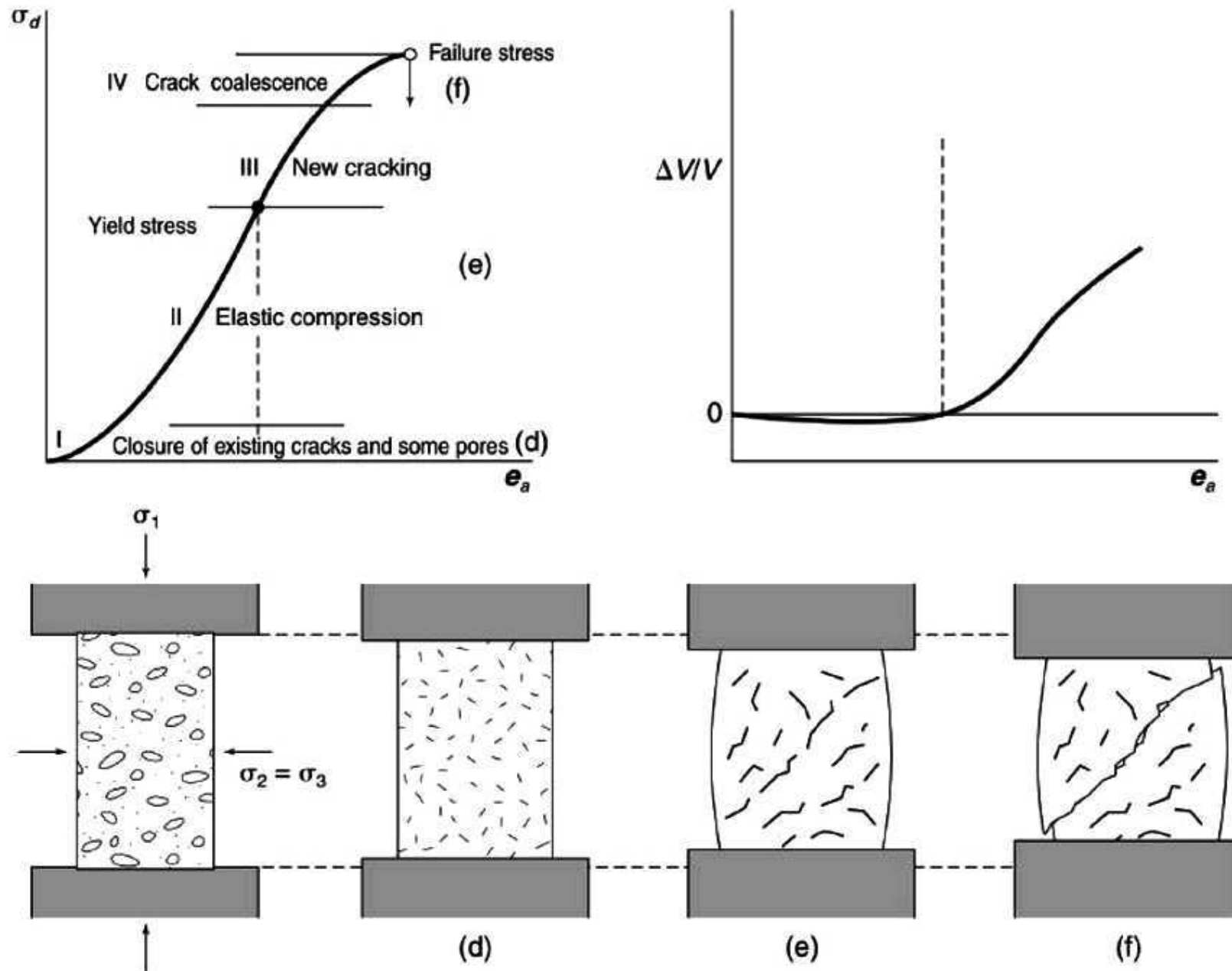


mode I

mode II

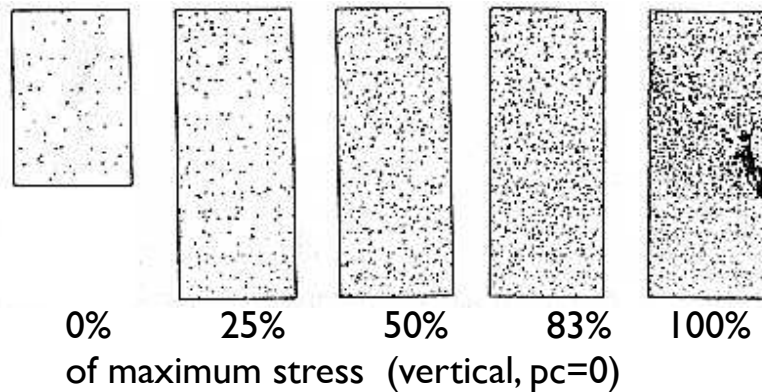
mode III

Fracture formation



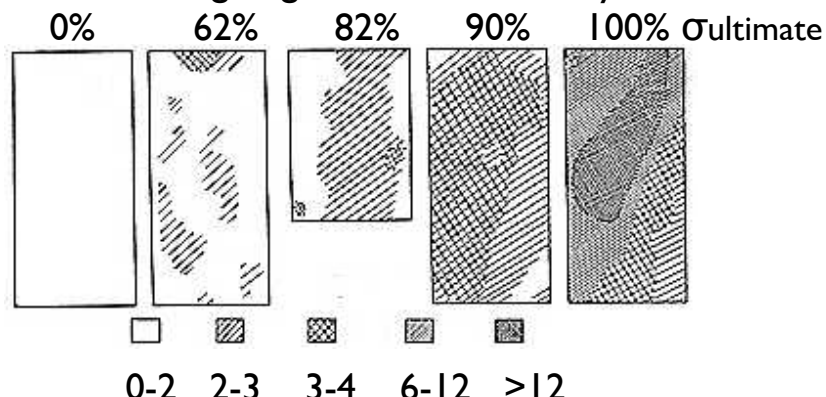
Fracture formation

Microfracturing of sandstone 50 · 127 mm cylinders



Sangha, C.M., Talbot, C.J., Dhir, R.K., 1974. Microfracturing of a sandstone in uniaxial compression. Int. J. Rock Mech. Min. Sci., Abstr. Vol. 11, 107-113

Microfracturing of gabbro 50 · 100mm cylinders

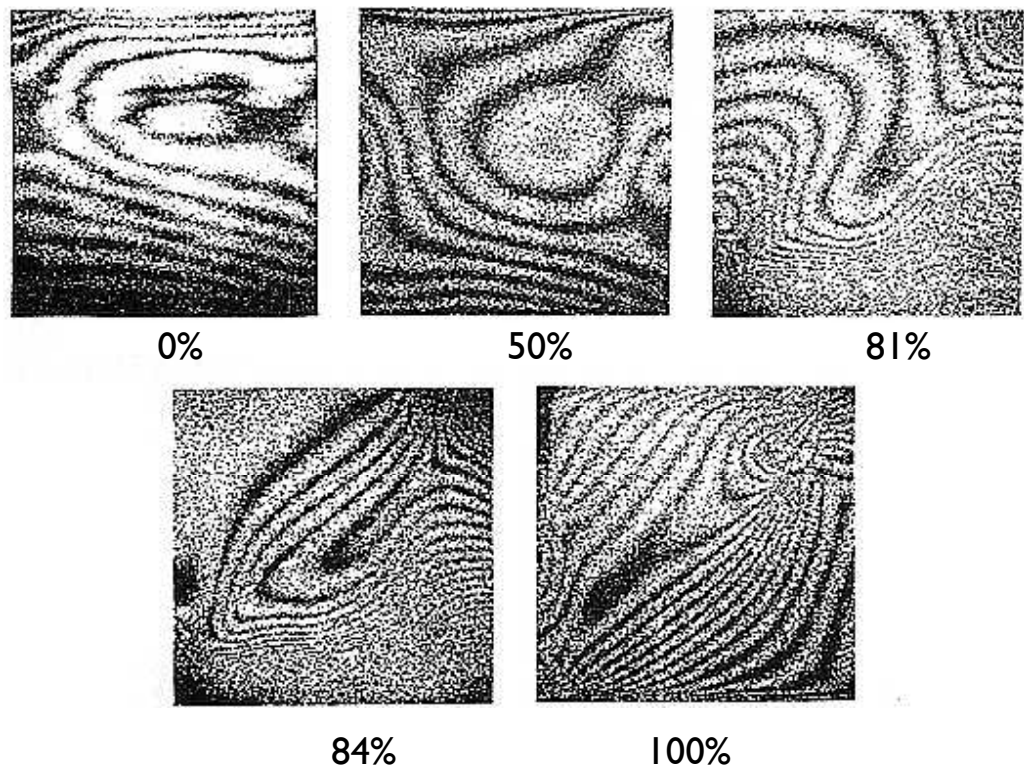


Optical reflectivity ratio (= microcrack density)

w/r to average reflectivity (pc = 130 MPa)

Chen Rong, Yao Xiao-Xin, Xie Hung-Sen, 1979. Studies of fracture of gabbro. Int. J. Rock Mech. Min. Sci., Abstr. Vol. 16, 107-108

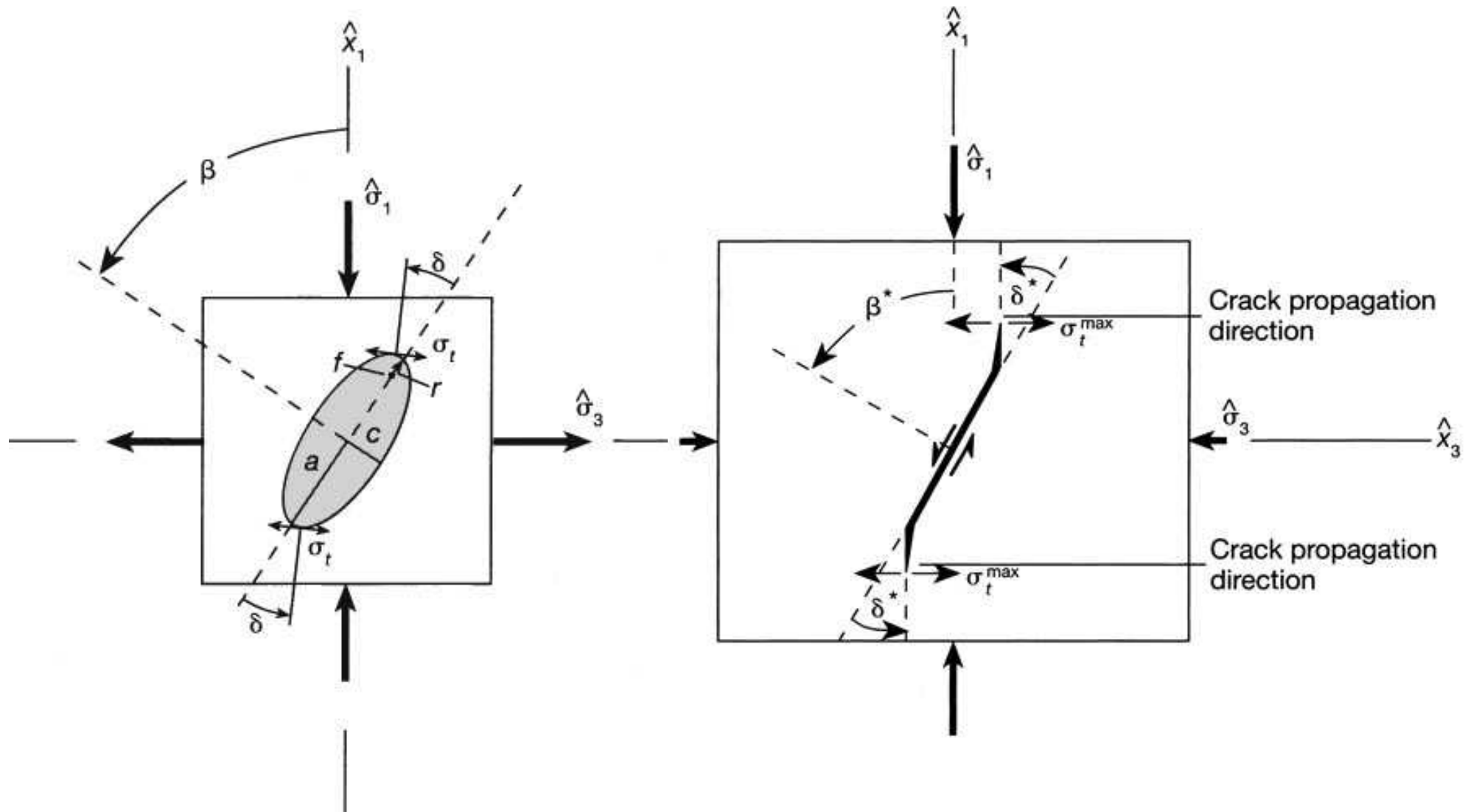
Dilatancy of pyrophyllite blocks 30 · 30 · 33 mm



Sobolev G, Spetzler H., Salov,B., 1978.

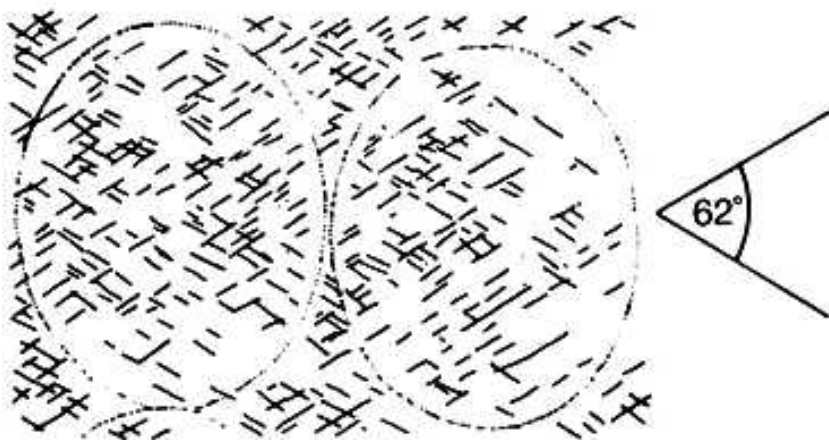
Precursors to failure in rocks while undergoing anelastic deformation. JGR 83, 1775-1784

Bruchentwicklung

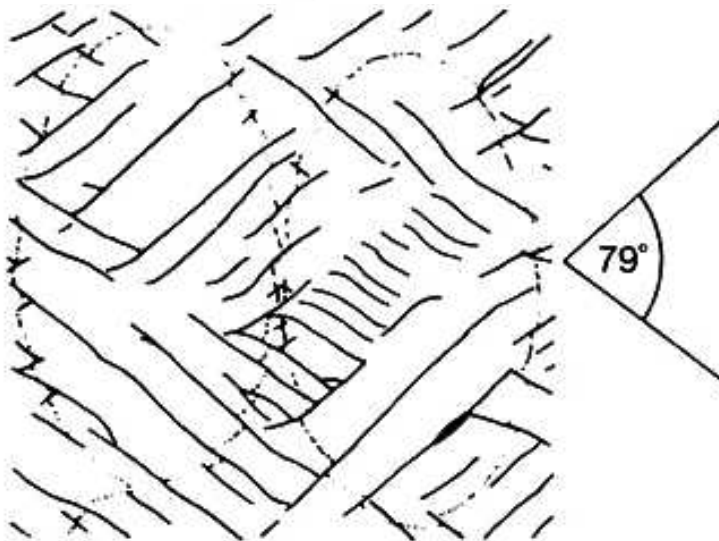


Shear Fractures

$$s_1 = 1.12 \quad s_3 = 0.89$$



$$s_1 = 1.37 \quad s_3 = 0.73$$

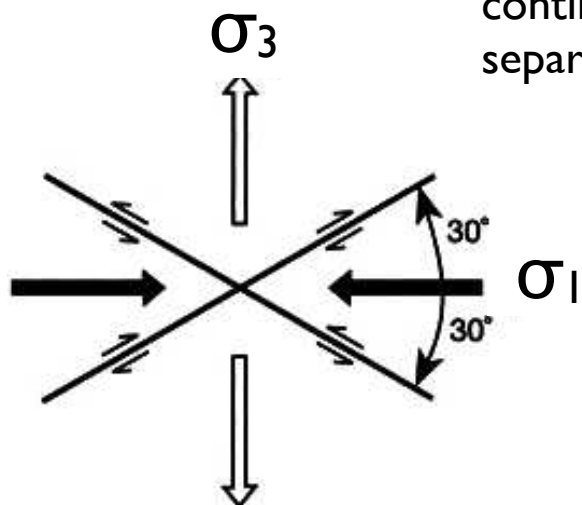


layer of clay on rubber sheet

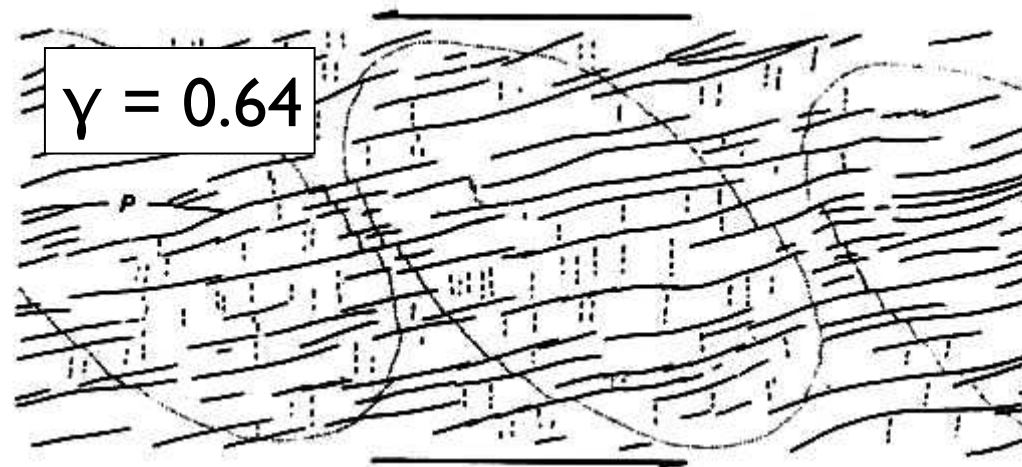
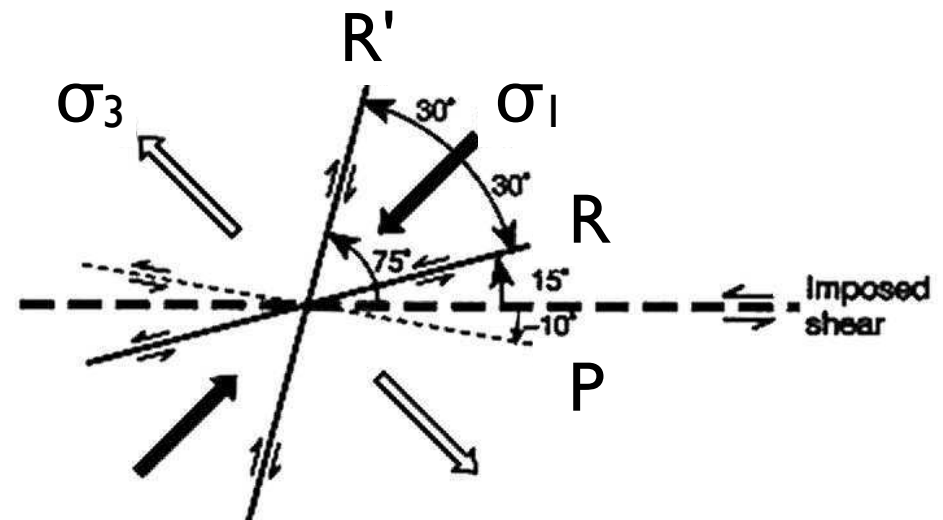
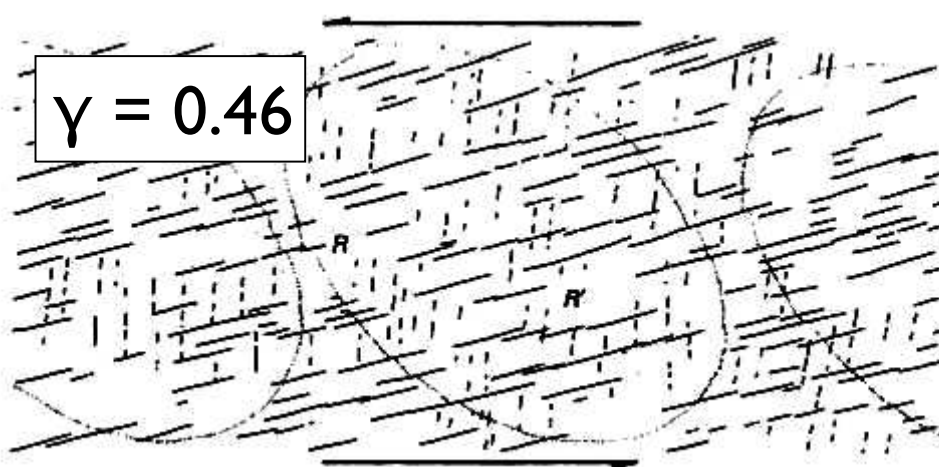
initial stretch:

pervasive Mohr Coulomb

continued stretch:
separation of regions



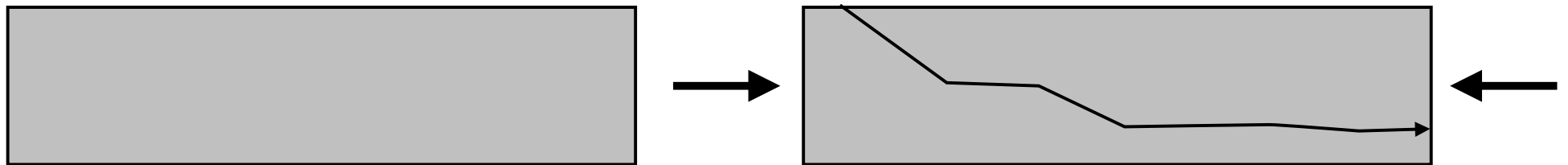
Riedel Shear Fractures



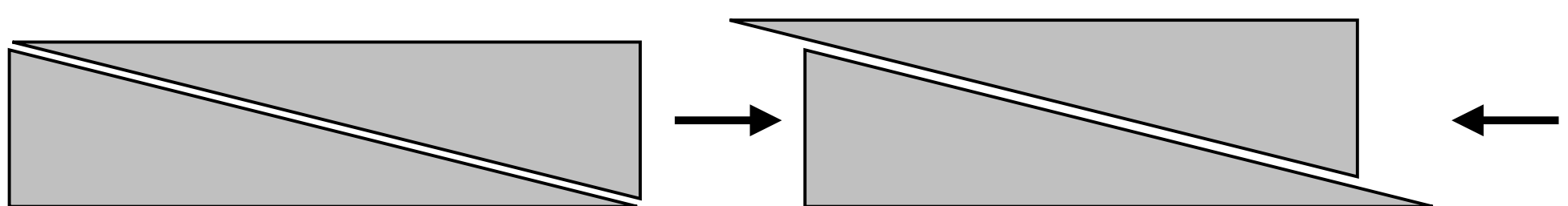
Reibung

fracture - friction

Intakter Körper: Bruchbildung



Bruchfläche vorhanden: Gleiten auf Bruch



Friction

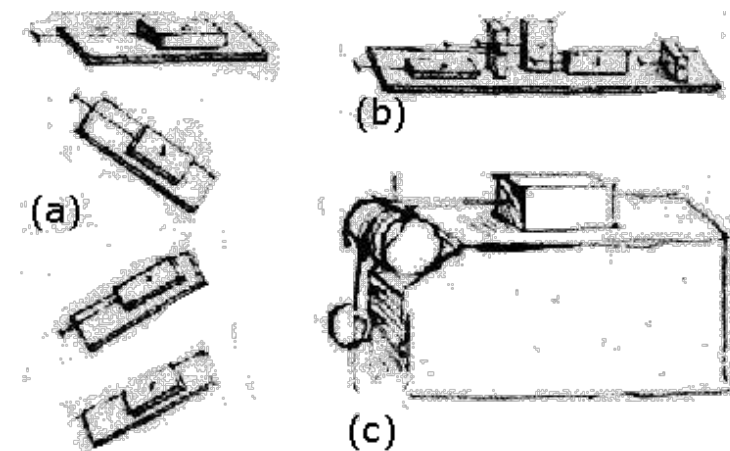
**Law of Leonardo da Vinci:
Friction is independent of
the area of contact**

Leonardo Da Vinci (1452-1519)



Leonardo da Vinci stated the two basic laws of friction 200 years before Newton even defined what force is.

1. the areas in contact have no effect on friction.
2. if the load of an object is doubled, its friction will also be doubled.



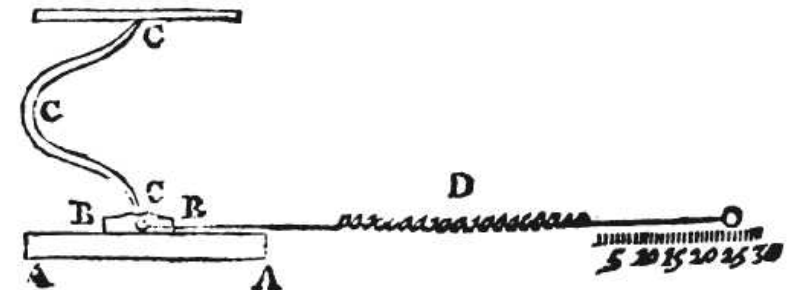
Friction

Law of Euler and Amontons:
Friction is proportional to
the loading force



Guillaume Amontons (1663-1705)
Leonhard Euler (1701-1783)

- Reibung verändert sich mit der Last (Normalkraft) nicht aber mit der Berührungsfläche der reibenden Körper.
- Die Reibung ist mehr oder weniger dieselbe für Eisen, Blei, Kupfer und Holz in beliebiger Kombination, wenn die Flächen mit Schweinefett eingerieben sind.
- Die Reibkraft entspricht ungefähr einem Drittel der Last (Normalkraft).

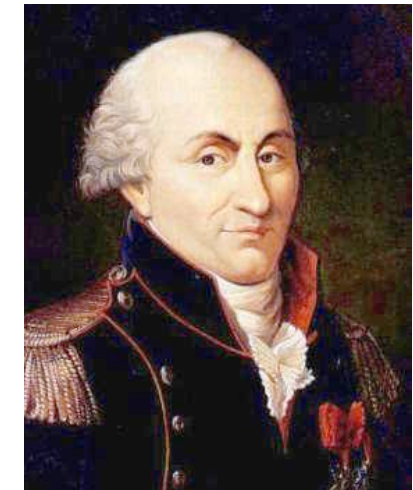


Versuchsaufbau von G. Amontons zur Messung der kinetischen Reibkraft. Die Reibung zwischen den Oberflächen A und B wird mittels der Auslenkung einer Feder D gemessen. Die Feder C dient der Einstellung der Normalkraft.

(De la résistance causée dans les machines (1699) in Memoires de l'Académie des Sciences.)

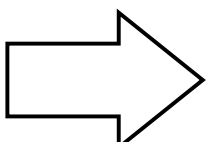
Friction

Law of Coulomb:
Friction is independent
of the velocity



Essai sur la théorie du frottement

Holz auf Holz: Reibung nimmt anfänglich zu, erreicht Maximum, danach ist die Reibkraft proportional zur Normalkraft.



Holz auf Holz: Reibung proportional zur Normalkraft bei jeder Geschwindigkeit.

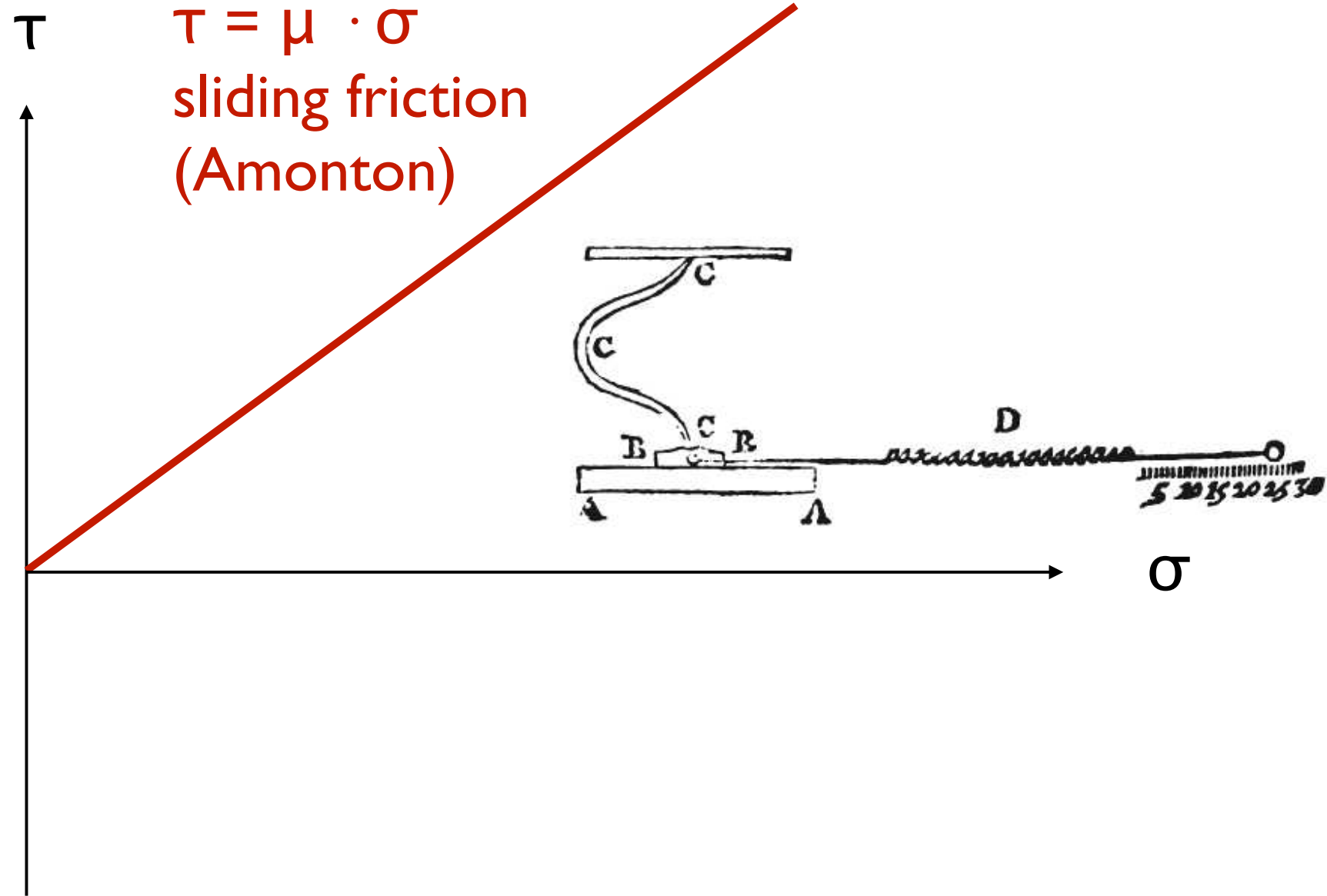
Kinetische Reibung ist einiges geringer als statische Reibung gemessen nach langer Ruhezeit der Materialien.

Metall auf Metall: Reibung ist proportional zu Normalkraft

Kein Unterschied zwischen statischer und kinetischer Reibung.

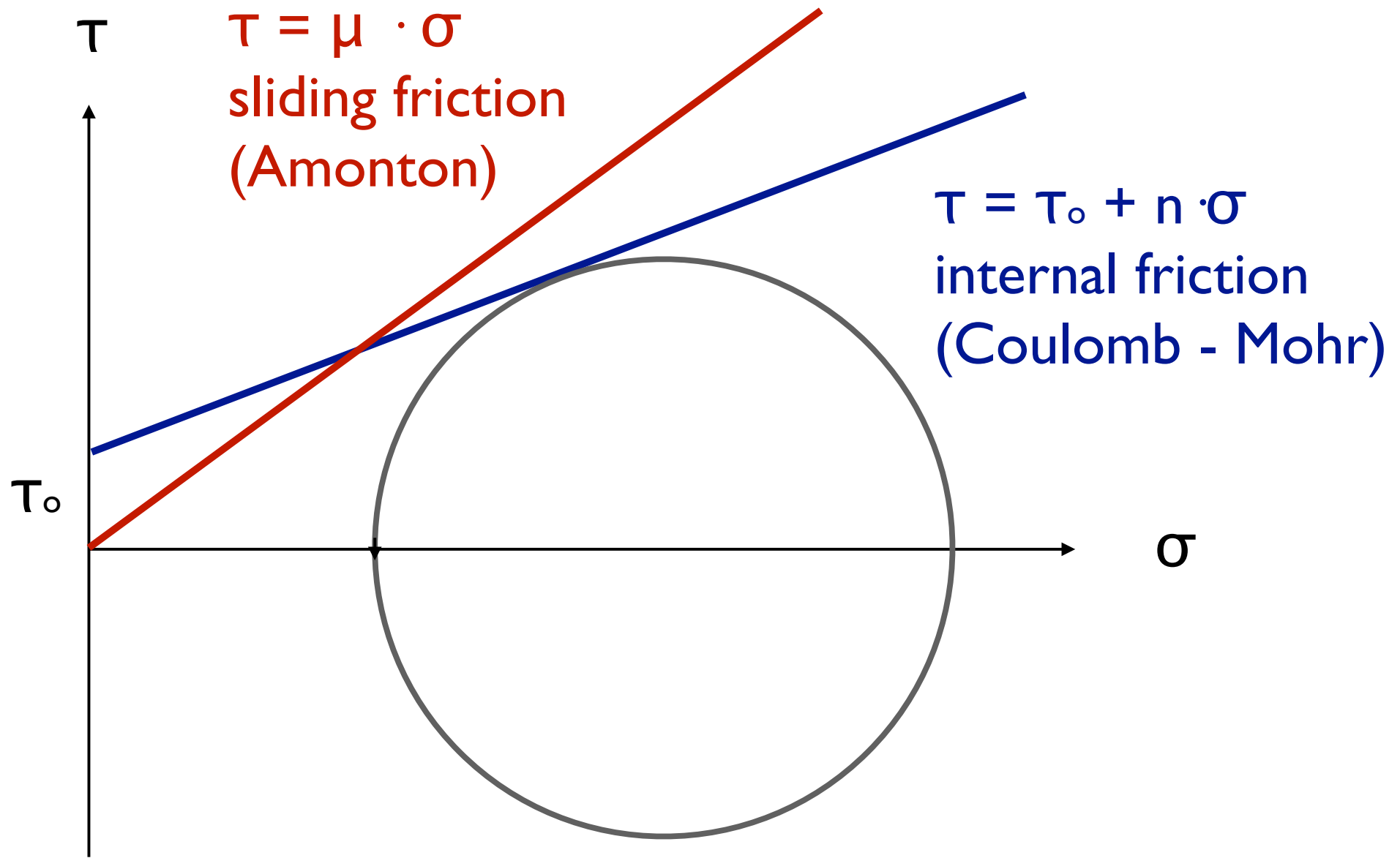
sliding friction

Gleitreibung



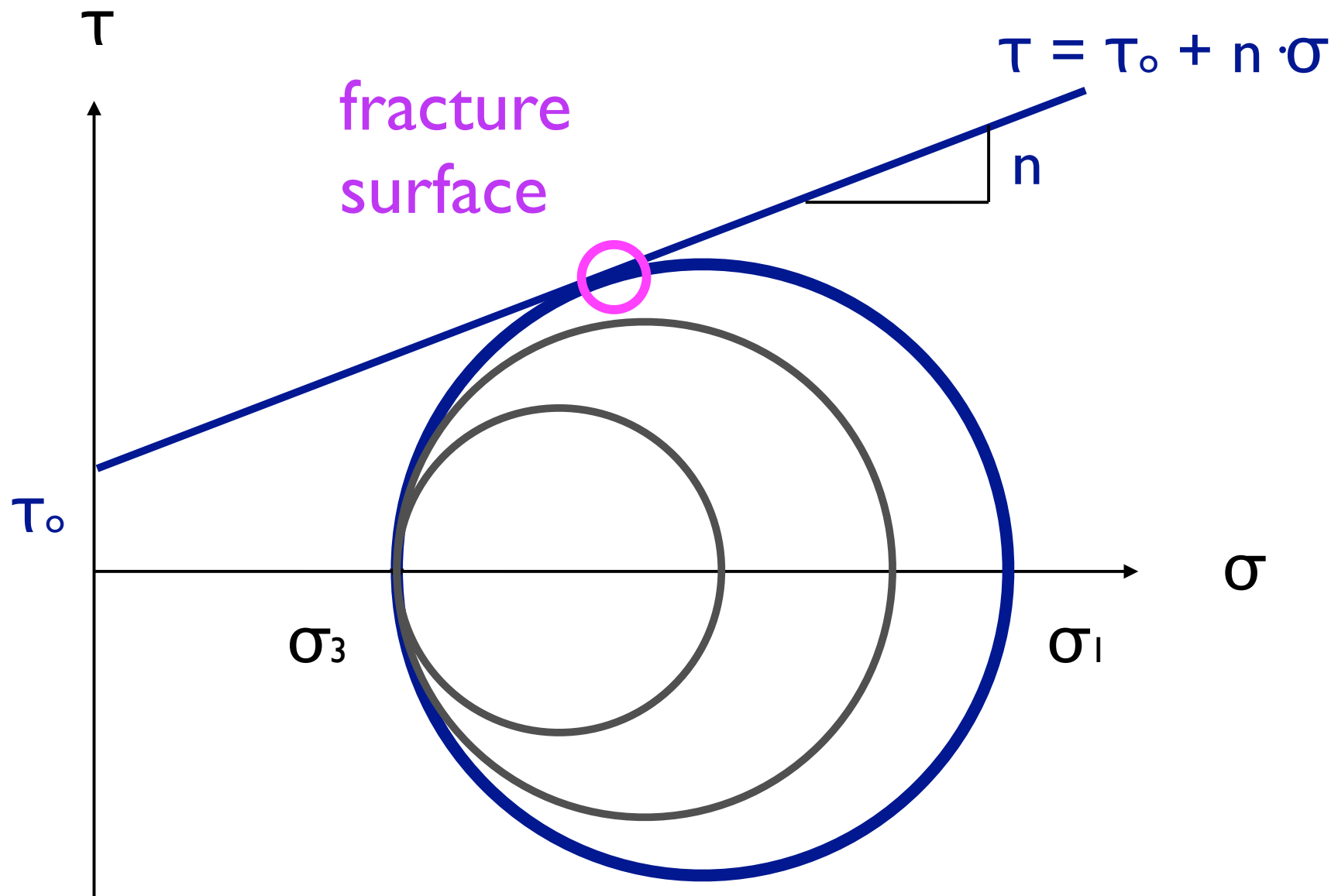
Byerlee's rule

Sliding friction



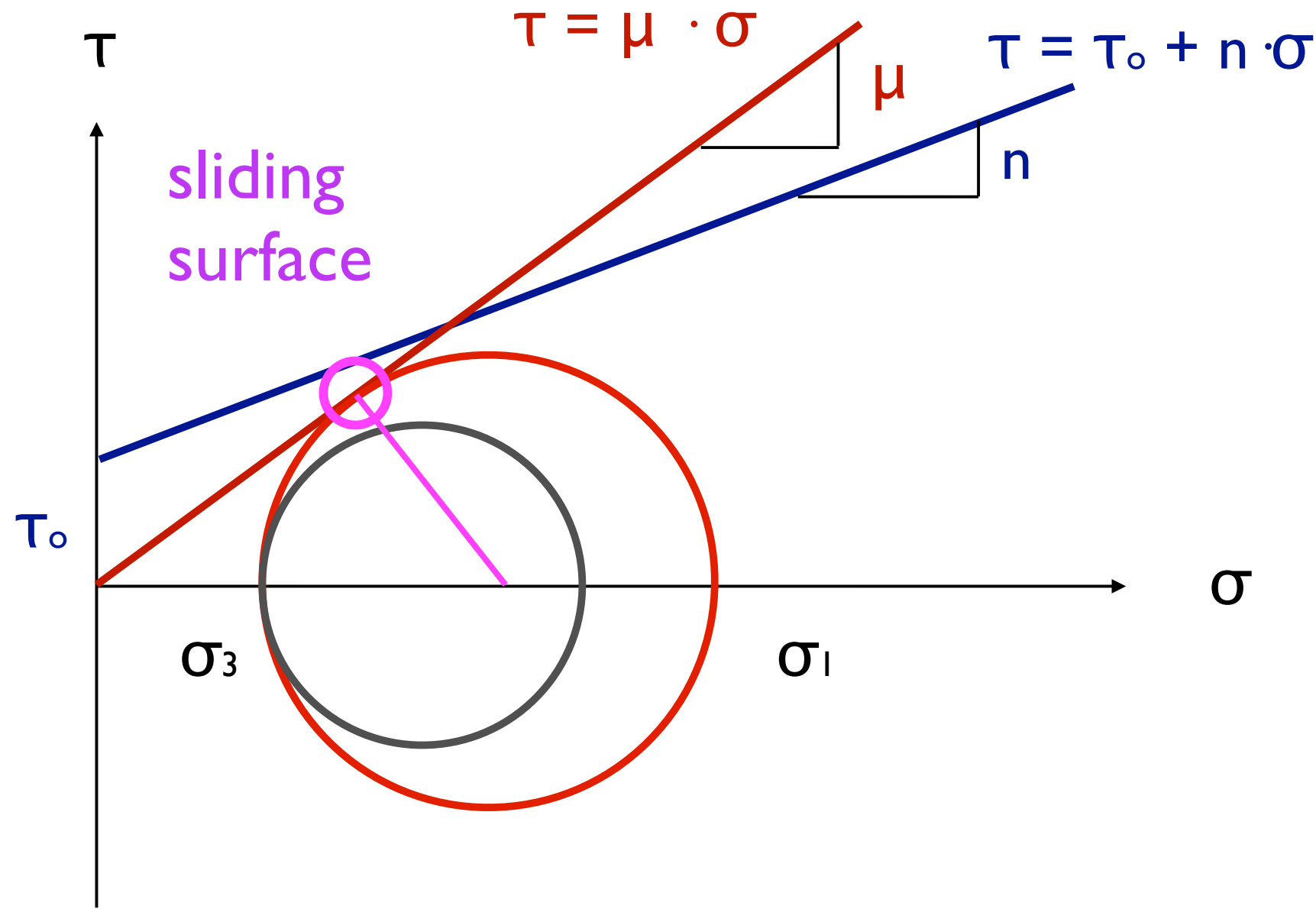
fracture

Bruchbildung



friction

Reibung

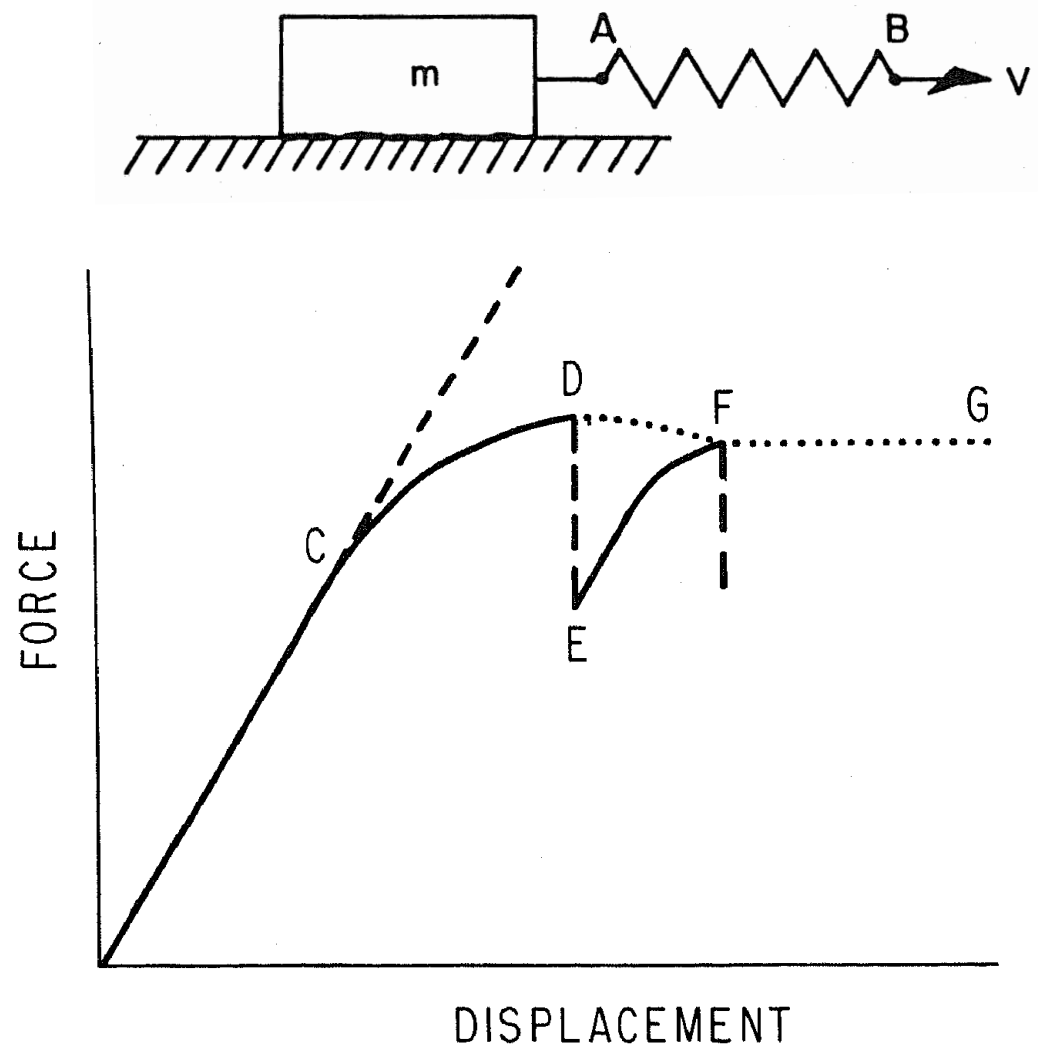


Byerlee's rule

C=initial friction

D=maximum friction

G= residual friction



Byerlee's rule

7. Conclusions

The experimental results show that at the low stresses encountered in most civil engineering problems the friction of rock can vary between very wide limits and the variation is mainly because at these low stresses friction is strongly dependent on surface roughness. At intermediate pressure such as encountered in mining engineering problems and at high stresses involved during sliding on faults in the deep crust the initial surface roughness has little or no effect on friction. At normal stresses up to 2 kb the shear stress required to cause sliding is given approximately by the equation

$$\tau = 0.85\sigma_n.$$

At normal stresses above 2 kb the friction is given approximately by

$$\tau = 0.5 + 0.6\sigma_n.$$

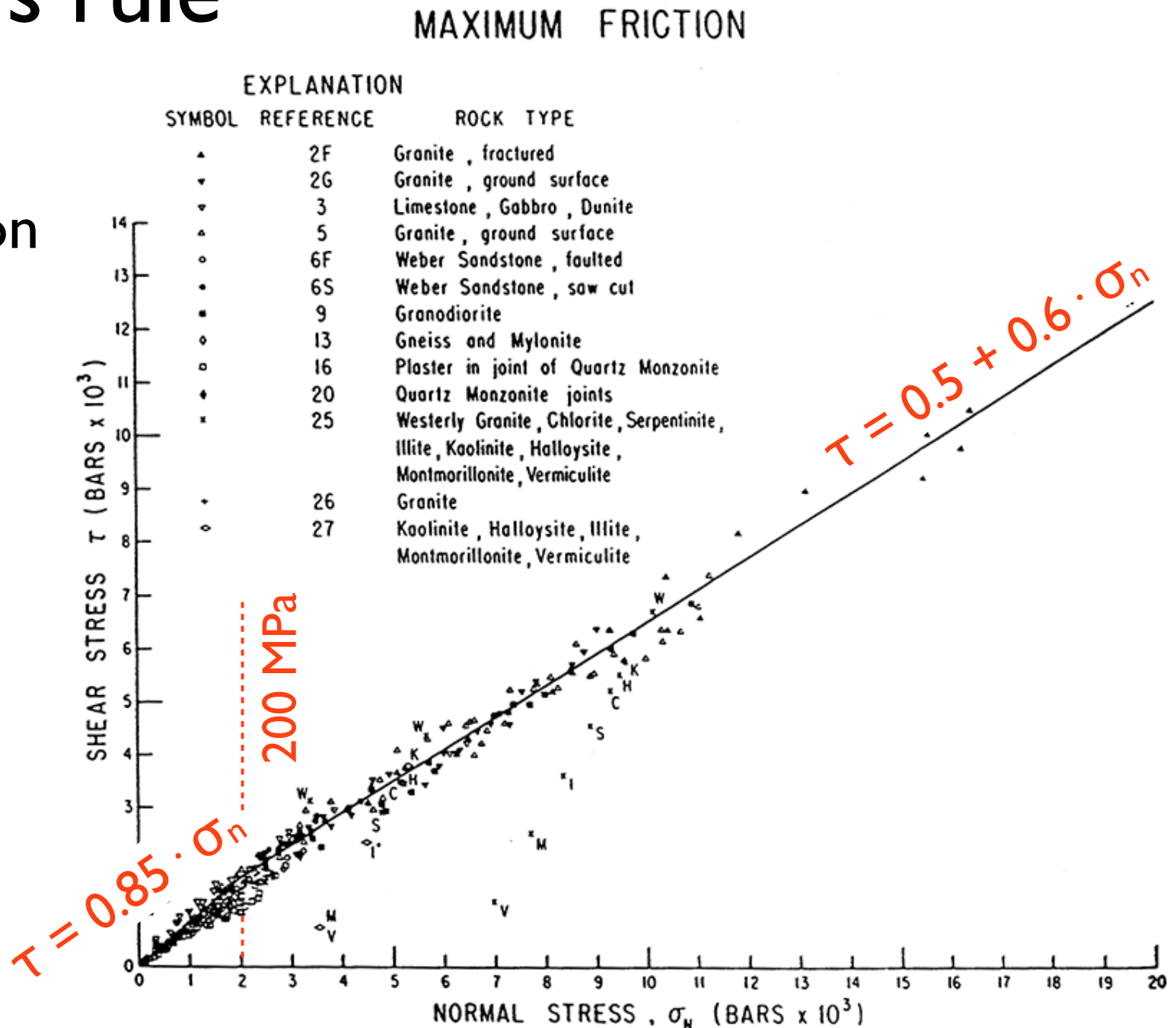
These equations are valid for initially finely ground surfaces, initially totally interlocked surfaces or on irregular faults produced in initially intact rocks. Rock types have little or no effect on friction.

If however, the sliding surfaces are separated by large thicknesses of gouge composed of minerals such as montmorillonite or vermiculite the friction can be very low. Since natural faults often contain gouge composed of alteration minerals the friction of natural faults may be strongly dependent on the composition of the gouge.

Byerlee's rule

static friction
for $\sigma_n =$
0 - 2 GPa
(0 - 20 kb)

≈ 80 km



Klüfte und Brüche
joints & fractures

Klüfte - Verwerfungen (joints - faults)

Definition Klüfte:

- planare Diskontinuität ohne Kohäsion (Extensionsbrüche)
- kein Versatz
- minimale Extension

Unterschied:

joints:

no displacement

static

elasticity

stress indicators

faults:

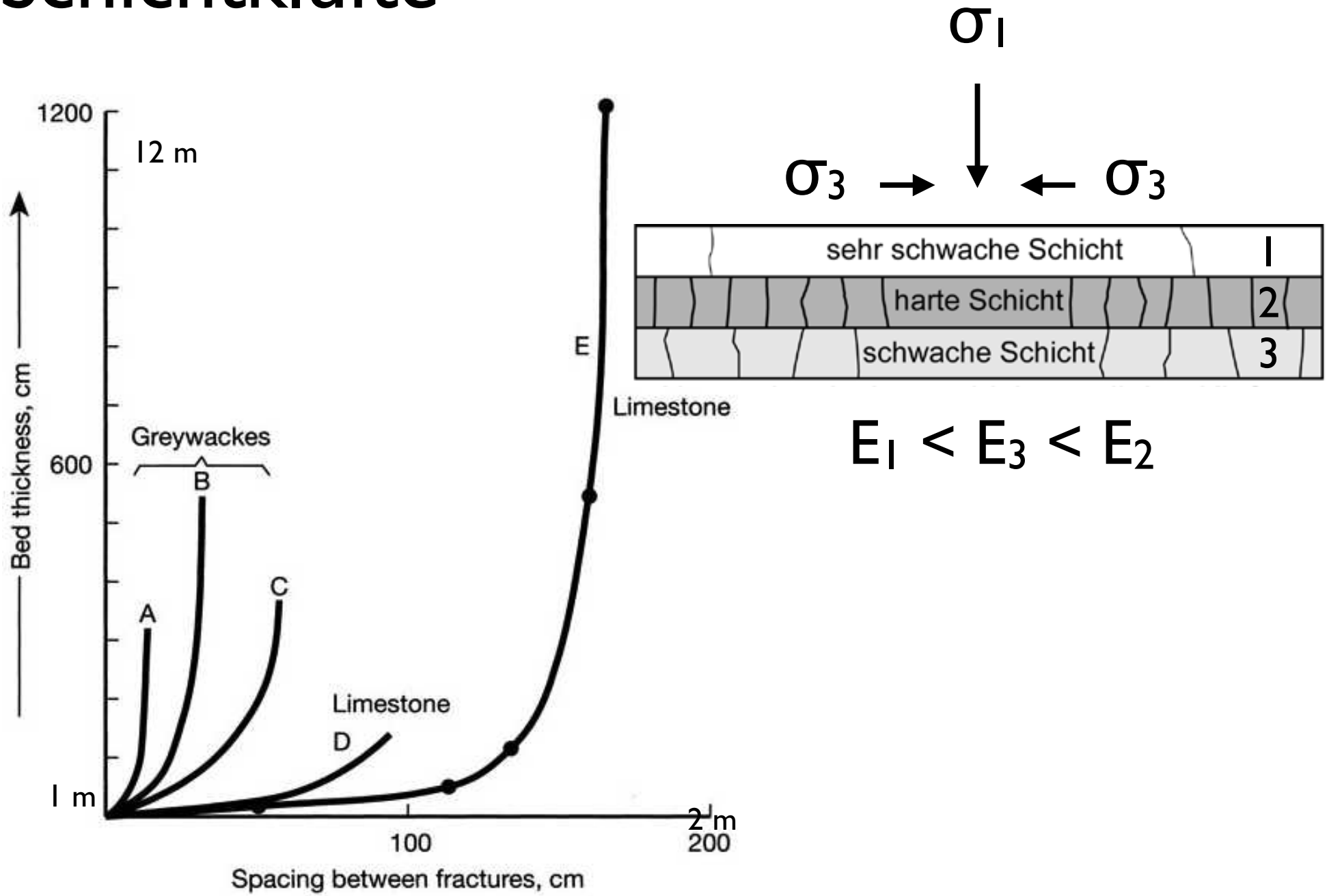
displacement

dynamic

frictional glide

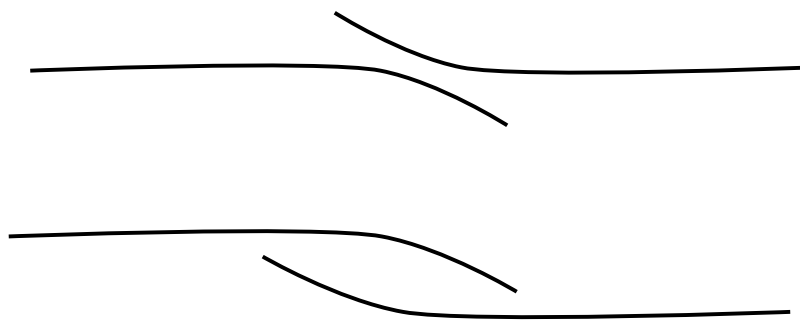
displacement indicators

Schichtklüfte

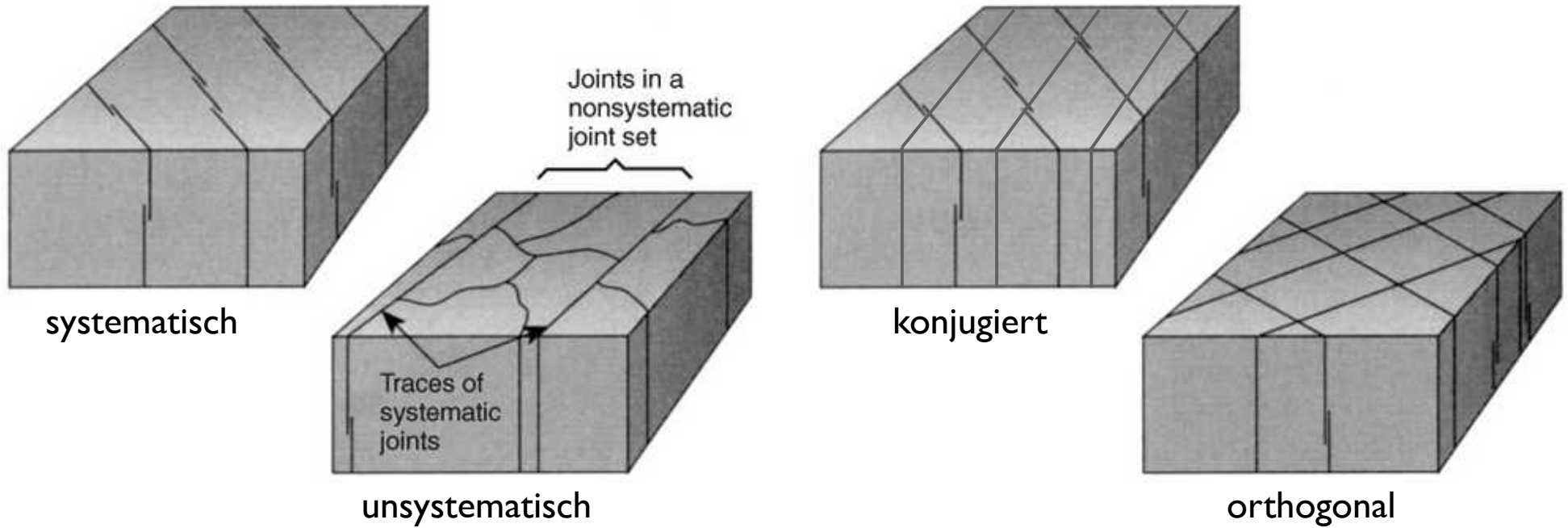


Kluftsysteme

Interaktion



Kluftschar systematisch - unsystematisch

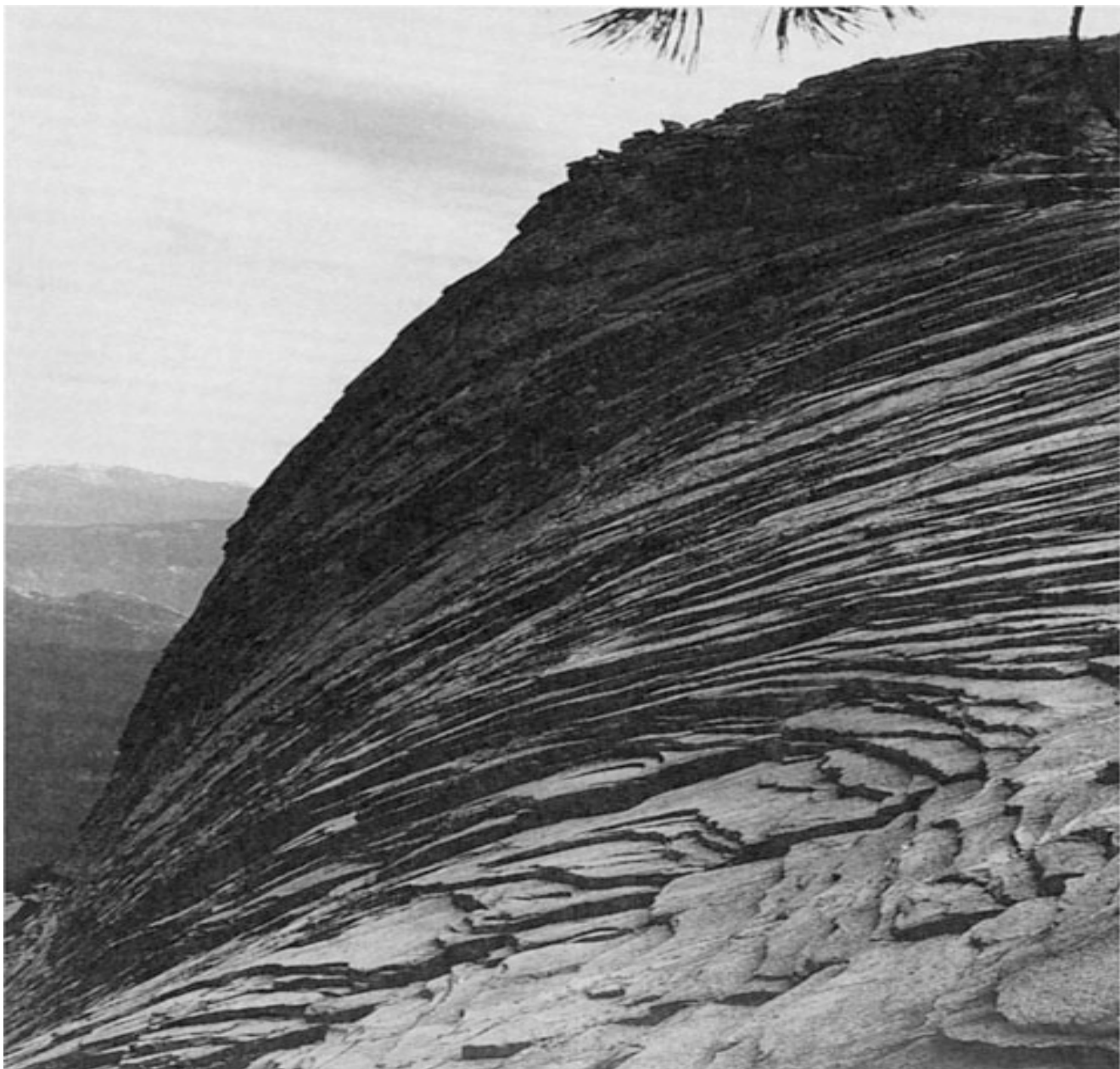


Klüfte im Aufschluss



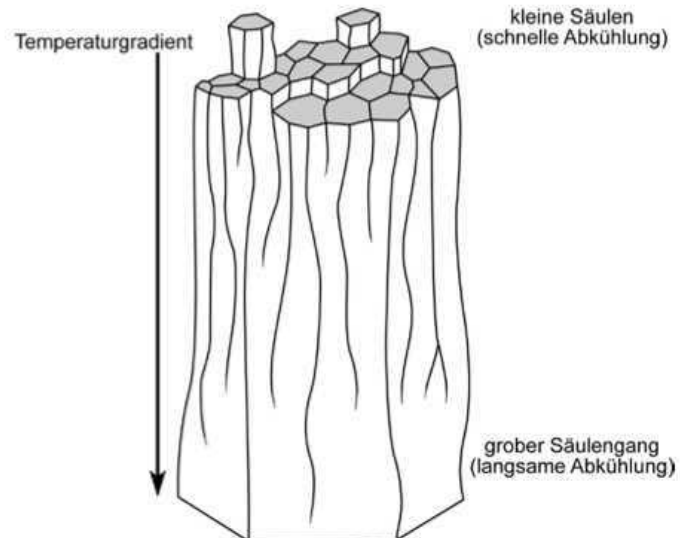
Rectangular joints in siltstone and black shale within the Utica Shale (Ordovician) near Fort Plain, New York.

Entlastungsklüfte

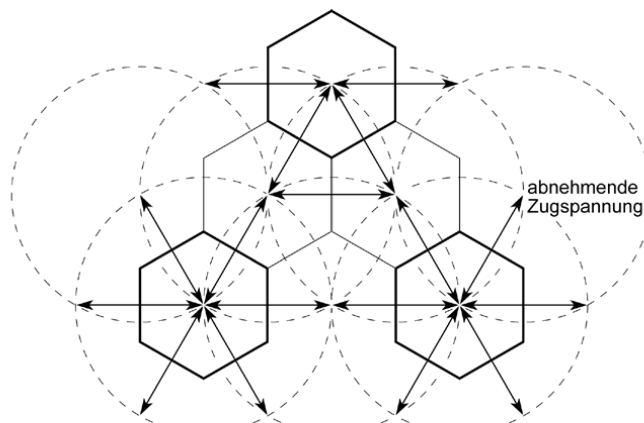


Twiss & Moores, 2007

Abkühlungsklüfte



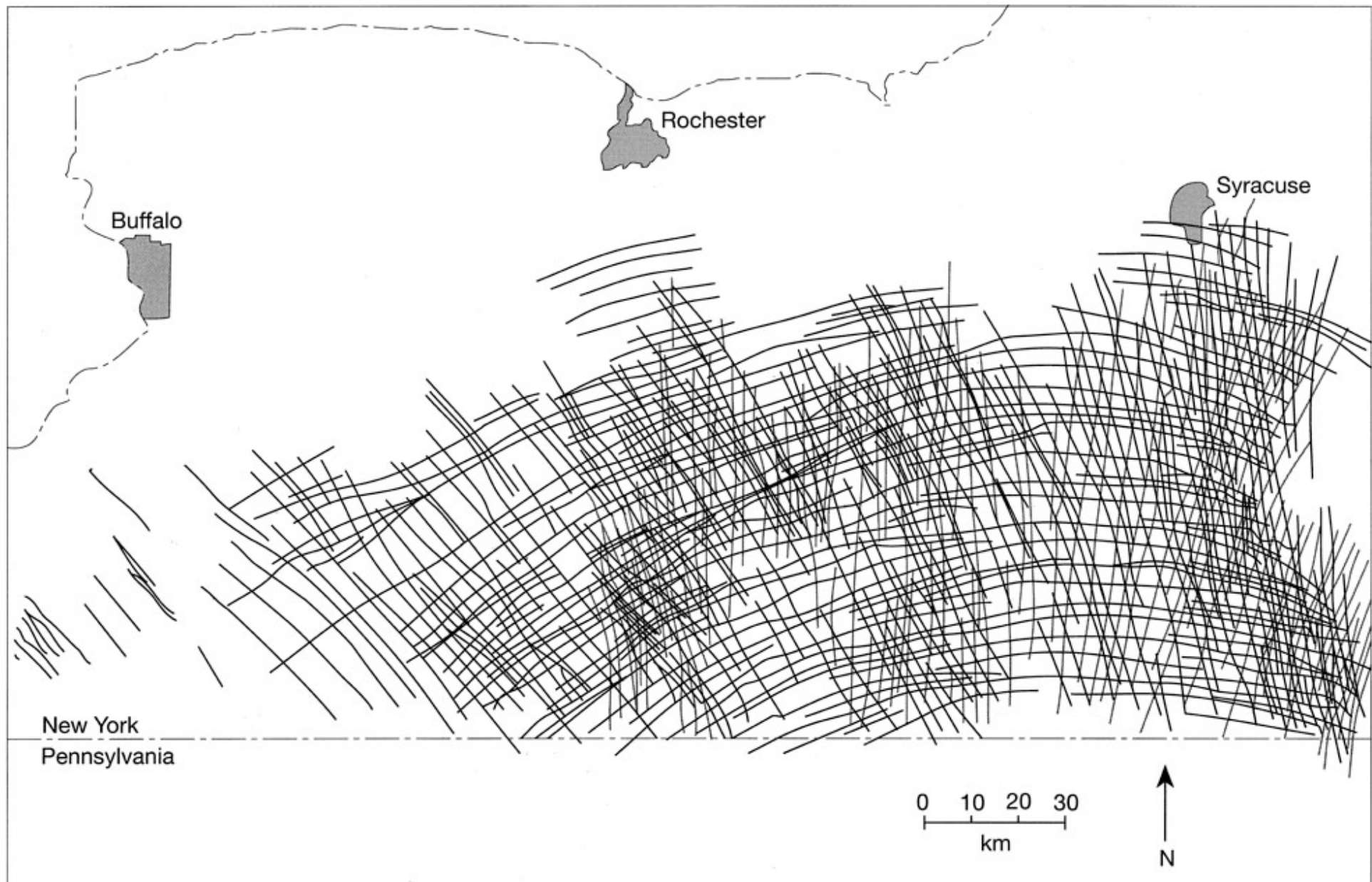
Skizzierte Vergrößerung eines säulenförmigen Kluftmusters
nach Goehring & Morris 2005 *Europhys. Lett.* **69**(5) 739-745



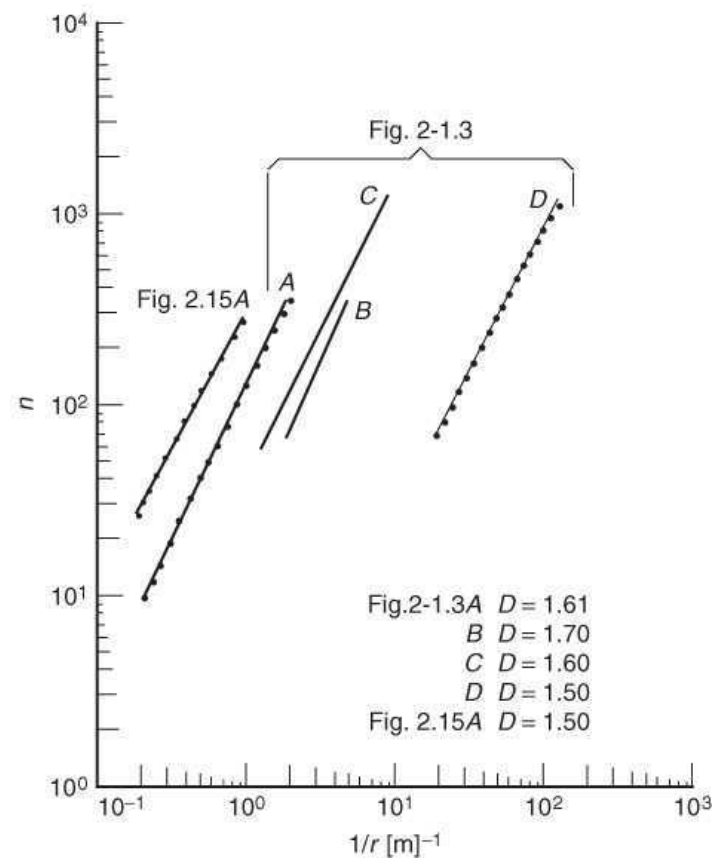
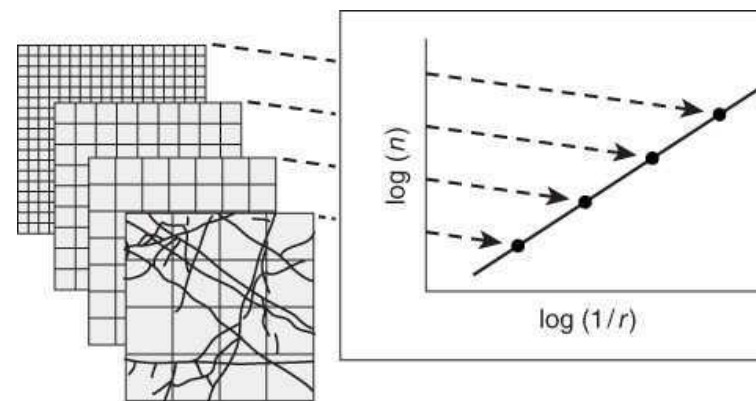
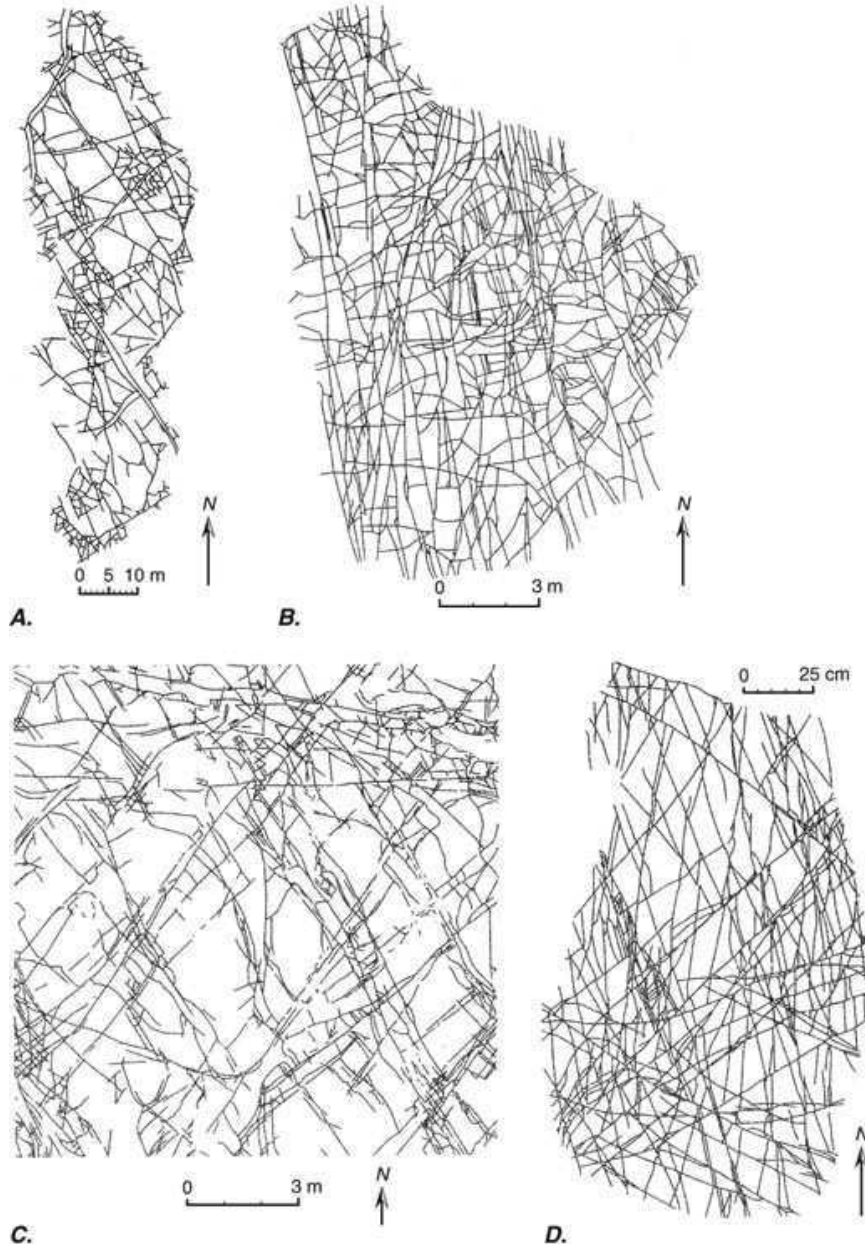
Entwicklung eines sechseckigen Kluftmusters
infolge des Dehnungszuges zu den gleichmäßig verteilten abgekühlten
oder trockenen Zentralbereichen innerhalb eines homogenen Materials



Kluftsysteme im Appalachian Plateau



Kluftmuster

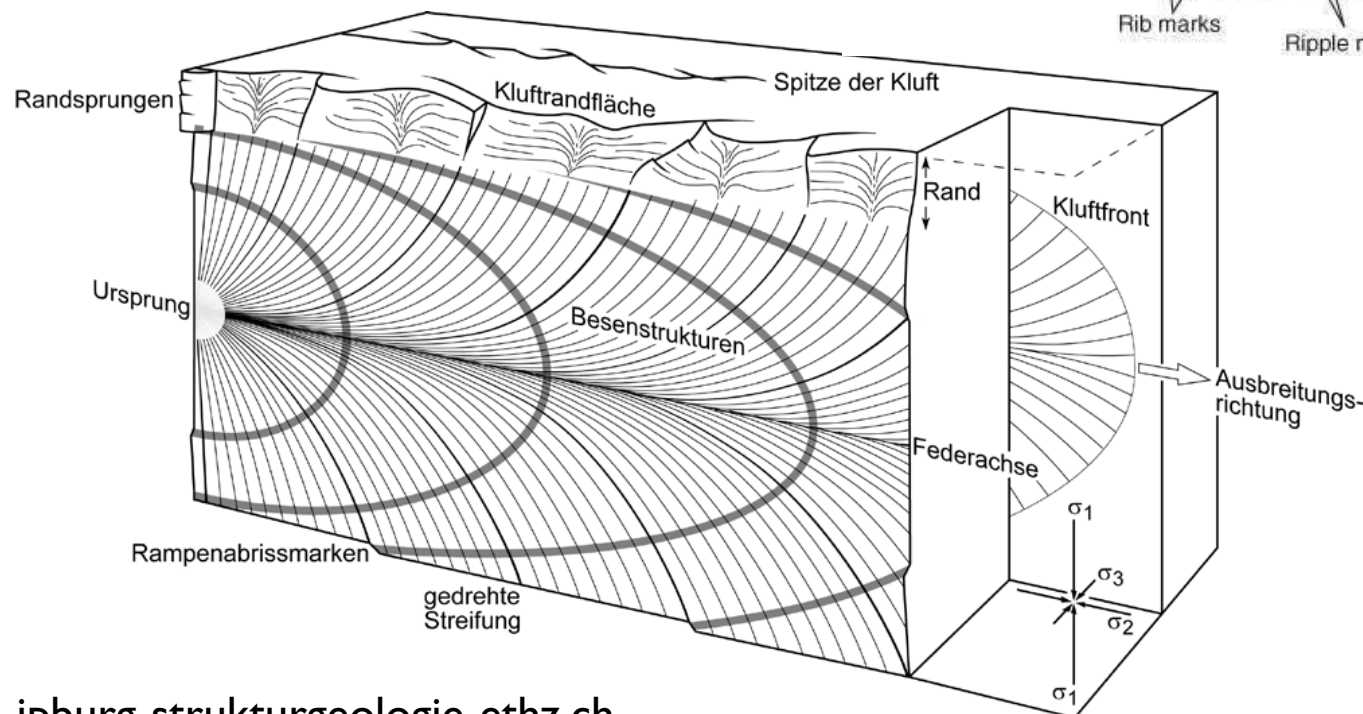
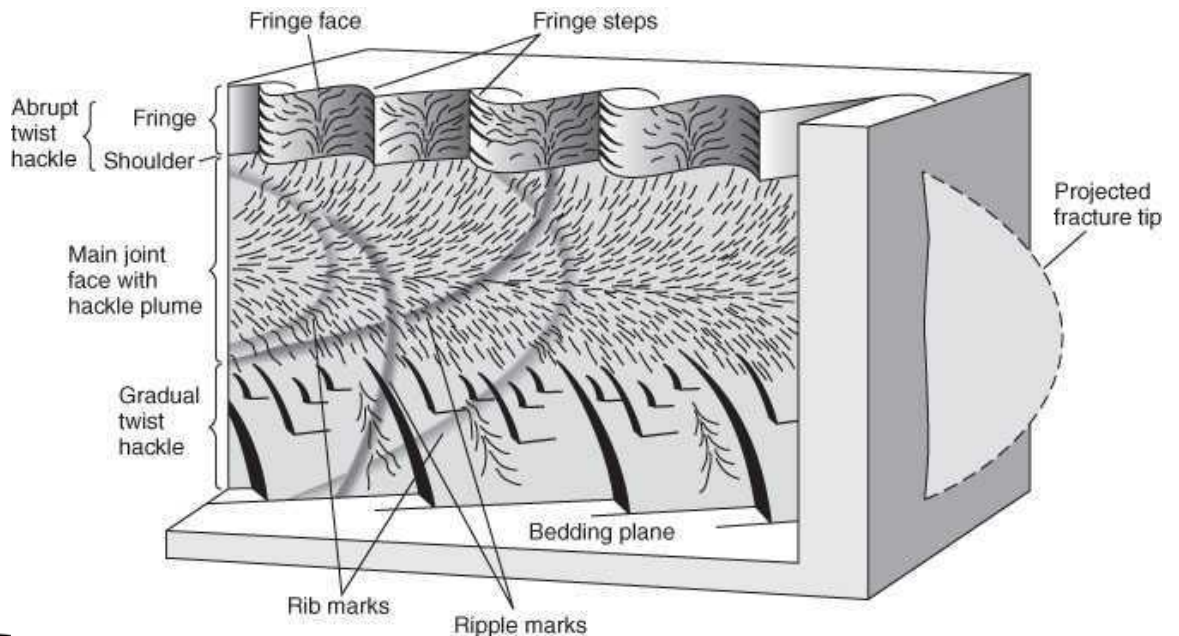


Bruchoberflächen

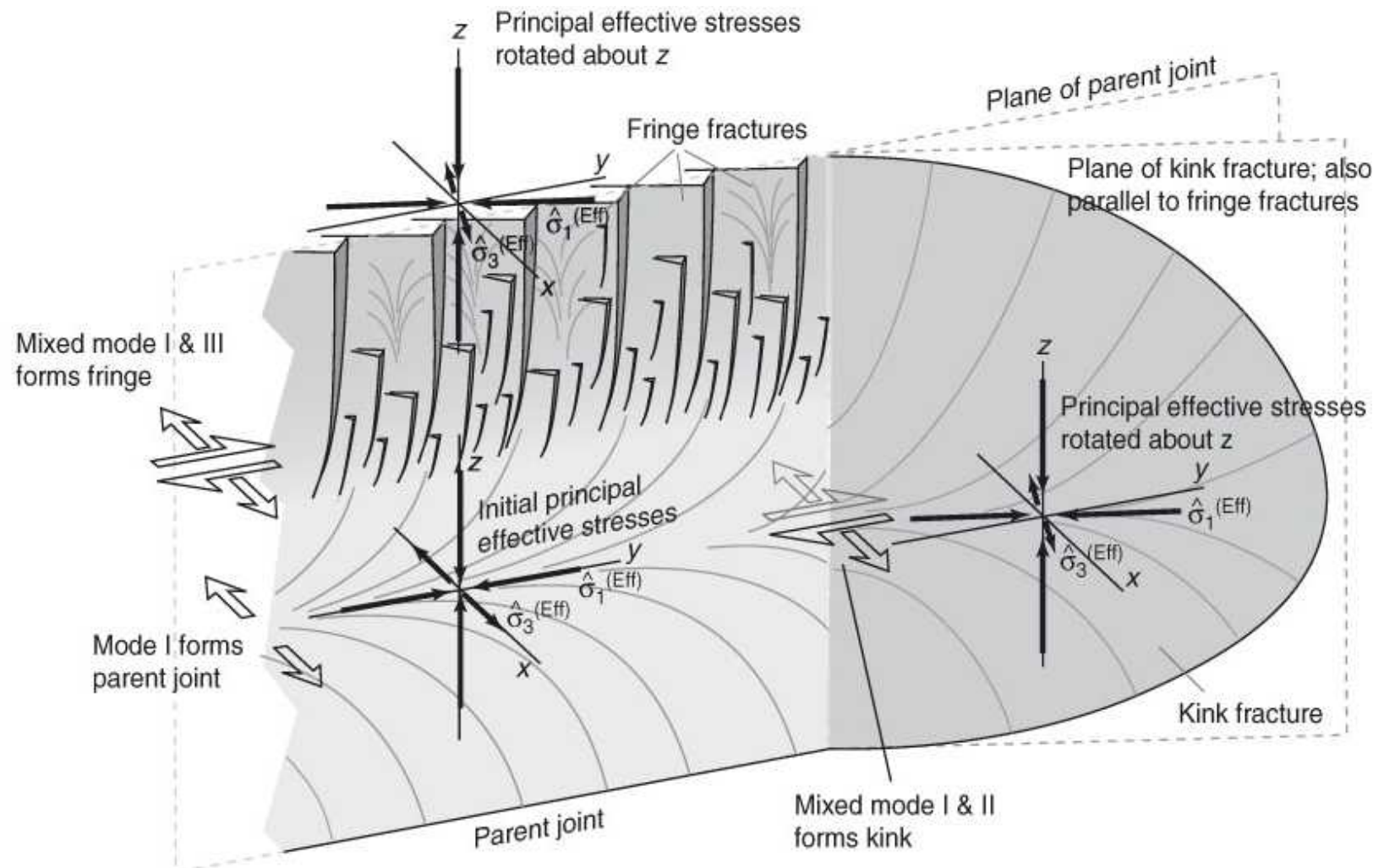


Twiss & Moores, 2007

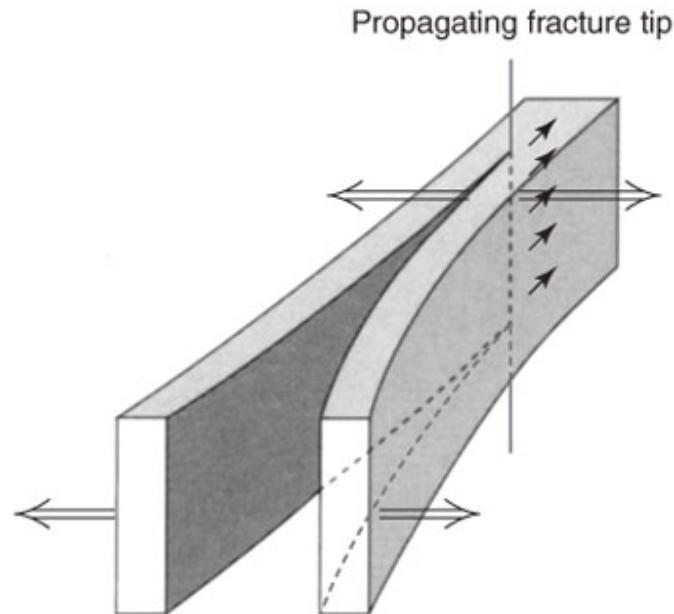
Morphologie von Bruchflächen



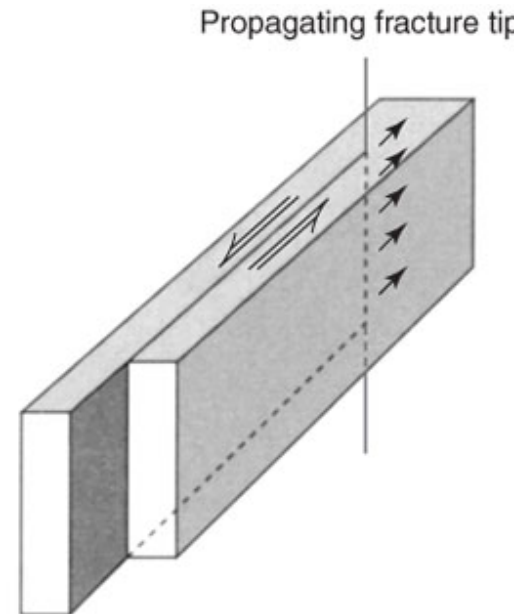
Bruchflächen im Spannungsfeld



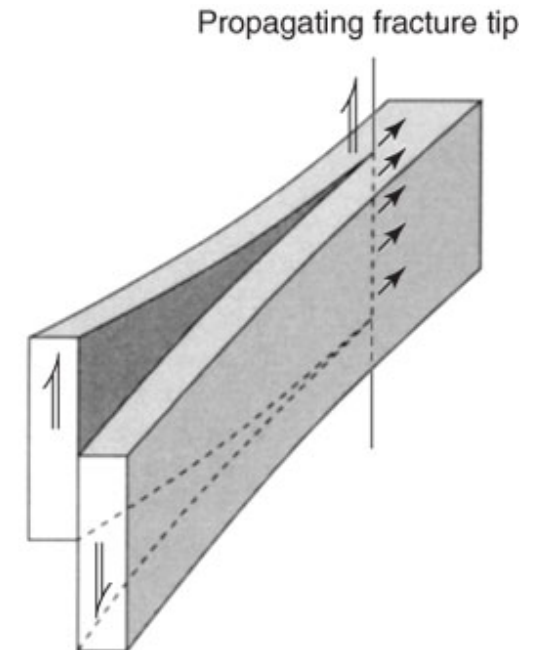
Bruchbildung



A. Extension (mode I propagation)



B. Shear (mode II propagation)



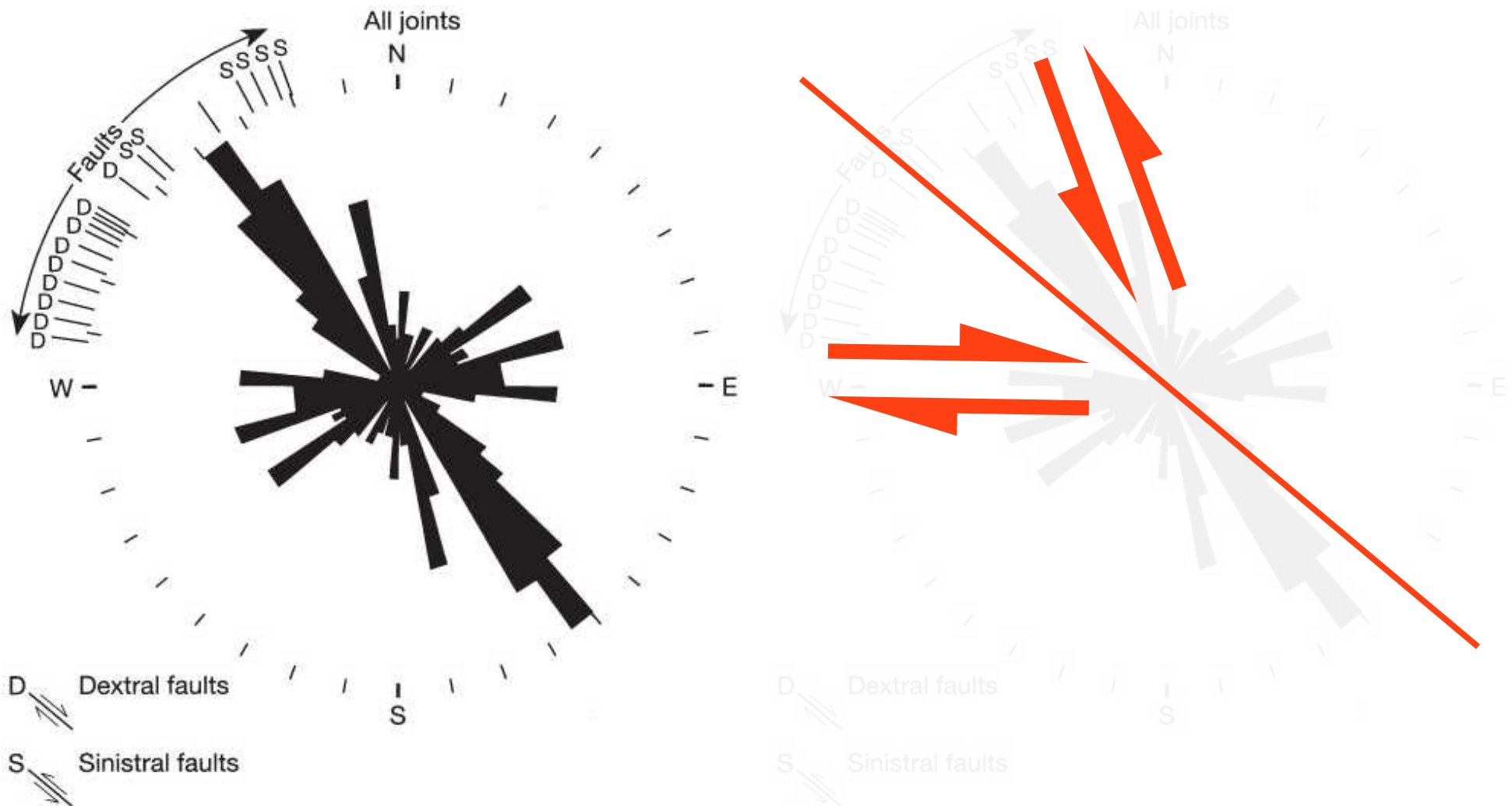
C. Shear (mode III propagation)

Extensionsbruch

Scherbruch

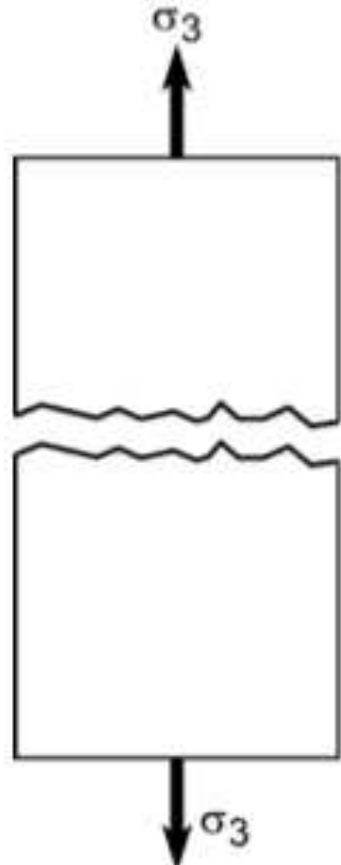
Scherbruch

Orientierung von Klüften



Brüche in Laborexperimenten

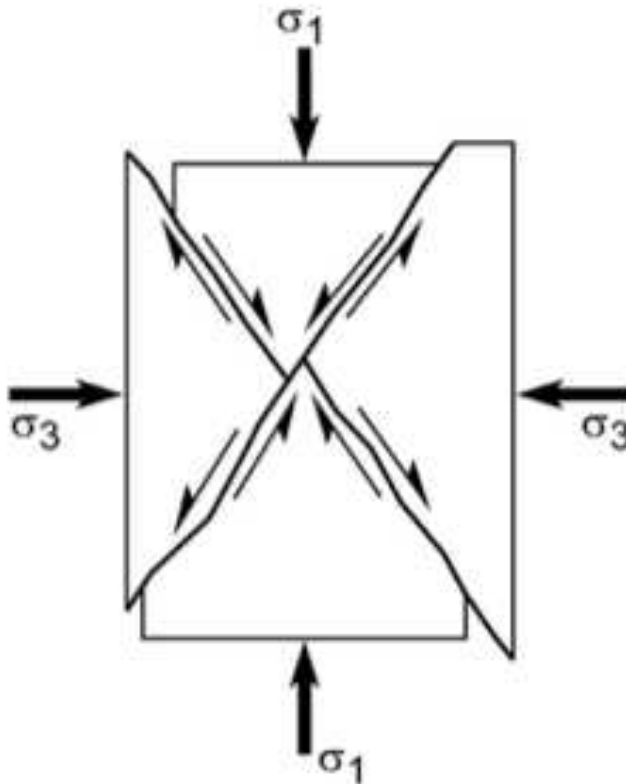
Extensionsbruch



Bruch durch Zug

$$\sigma_3 < 0$$

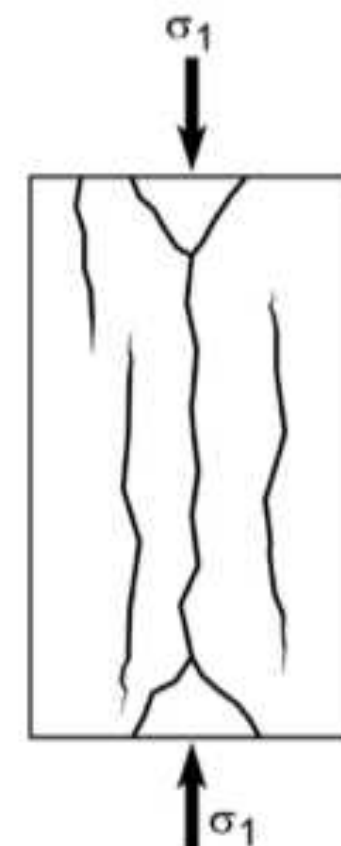
Scherbruch



konjugierte Scherbrüche
beim
Kompressionstest

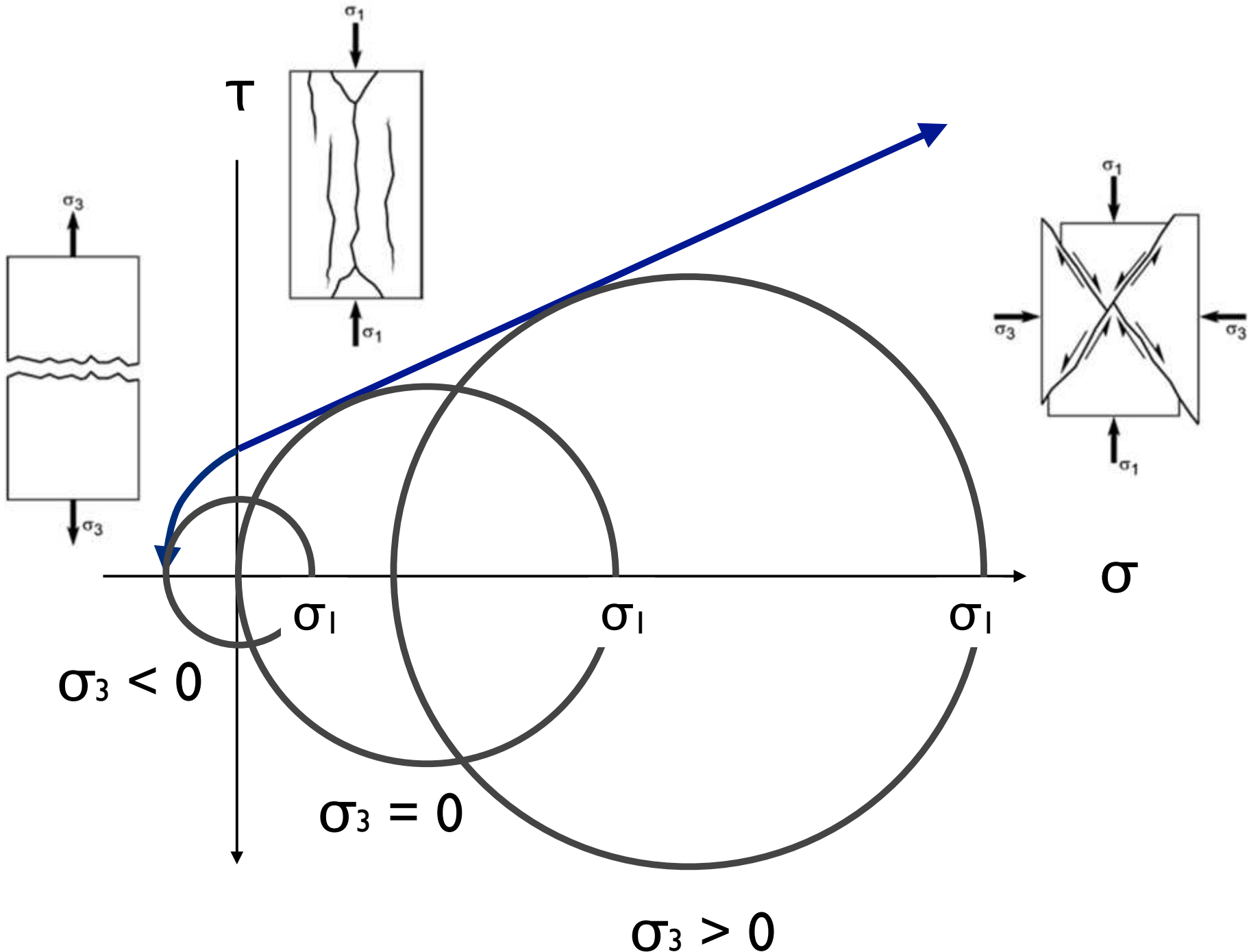
$$\sigma_1 > \sigma_3 > 0$$

Extensionsbruch



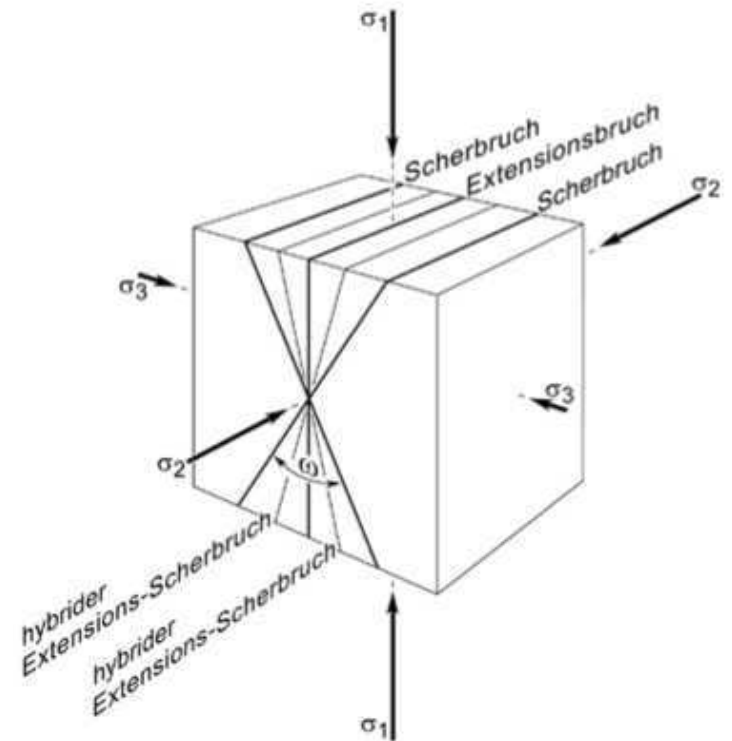
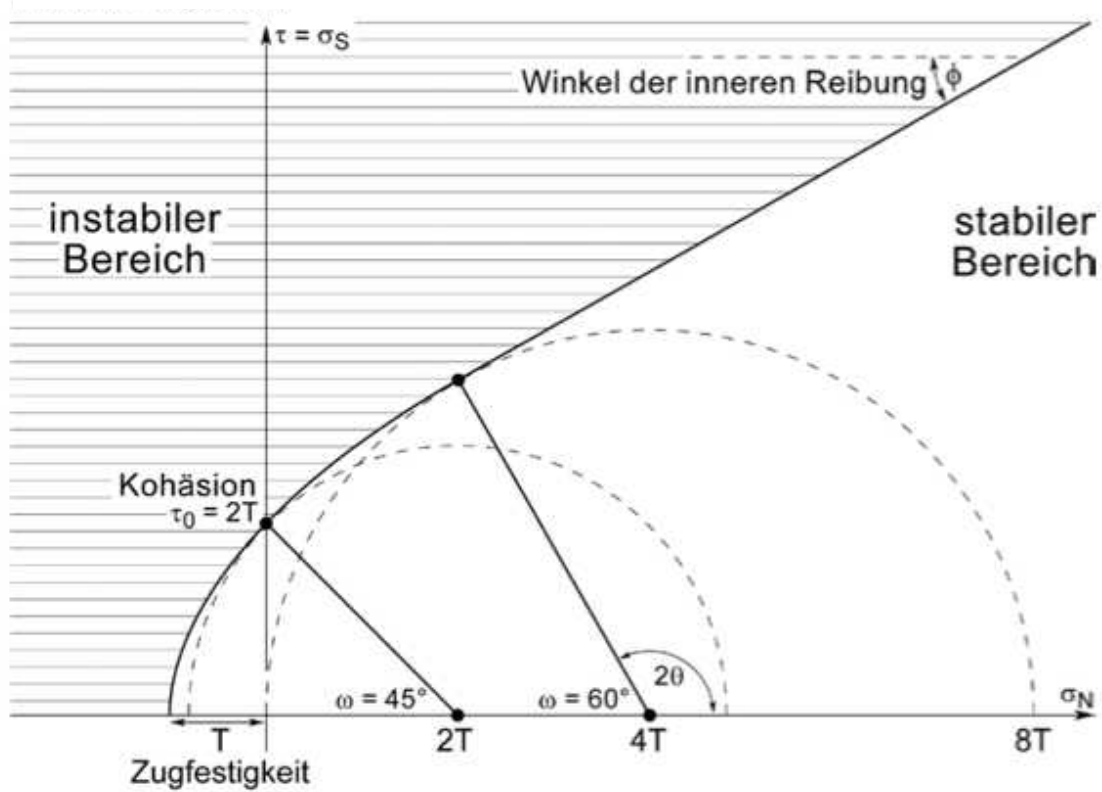
Dehnungsbrüche
bei niedrigem
Umgebungsdruck

$$\sigma_3 = 0$$



Typen von Brüchen

Bruch Modus	Klasse	$(\sigma_1 - \sigma_3)$	Öffnungswinkel
Dehnungsversagen	Extensionsbrüche	<4T	0°
Hybride Scherbrüche	Scher-Extensionsbrüche	4T – 8T	bis 60°
Scherbrüche	Kompressionelle Scherbrüche	>8T	>60°

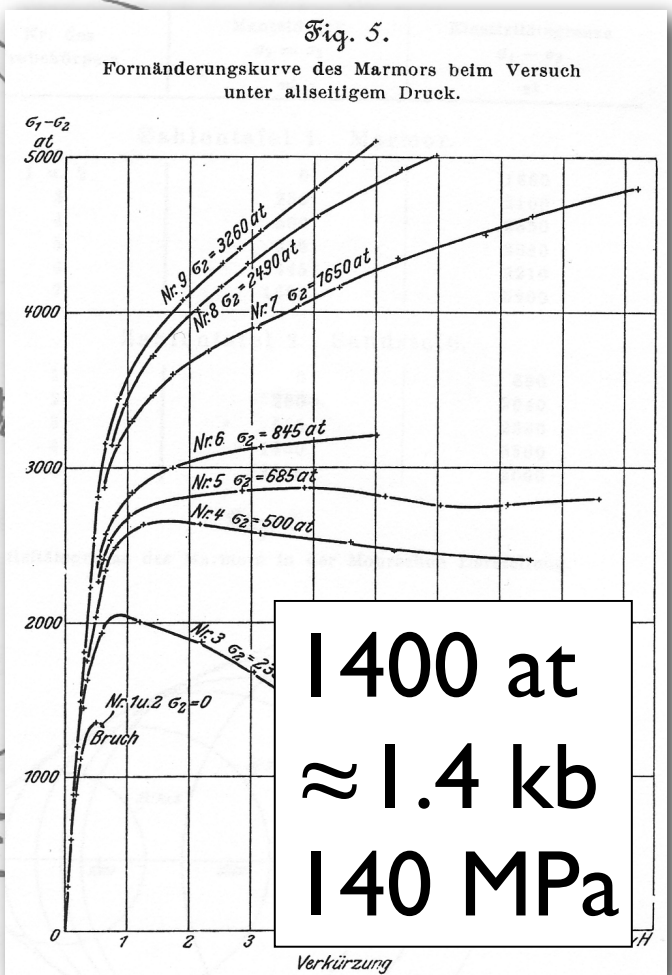
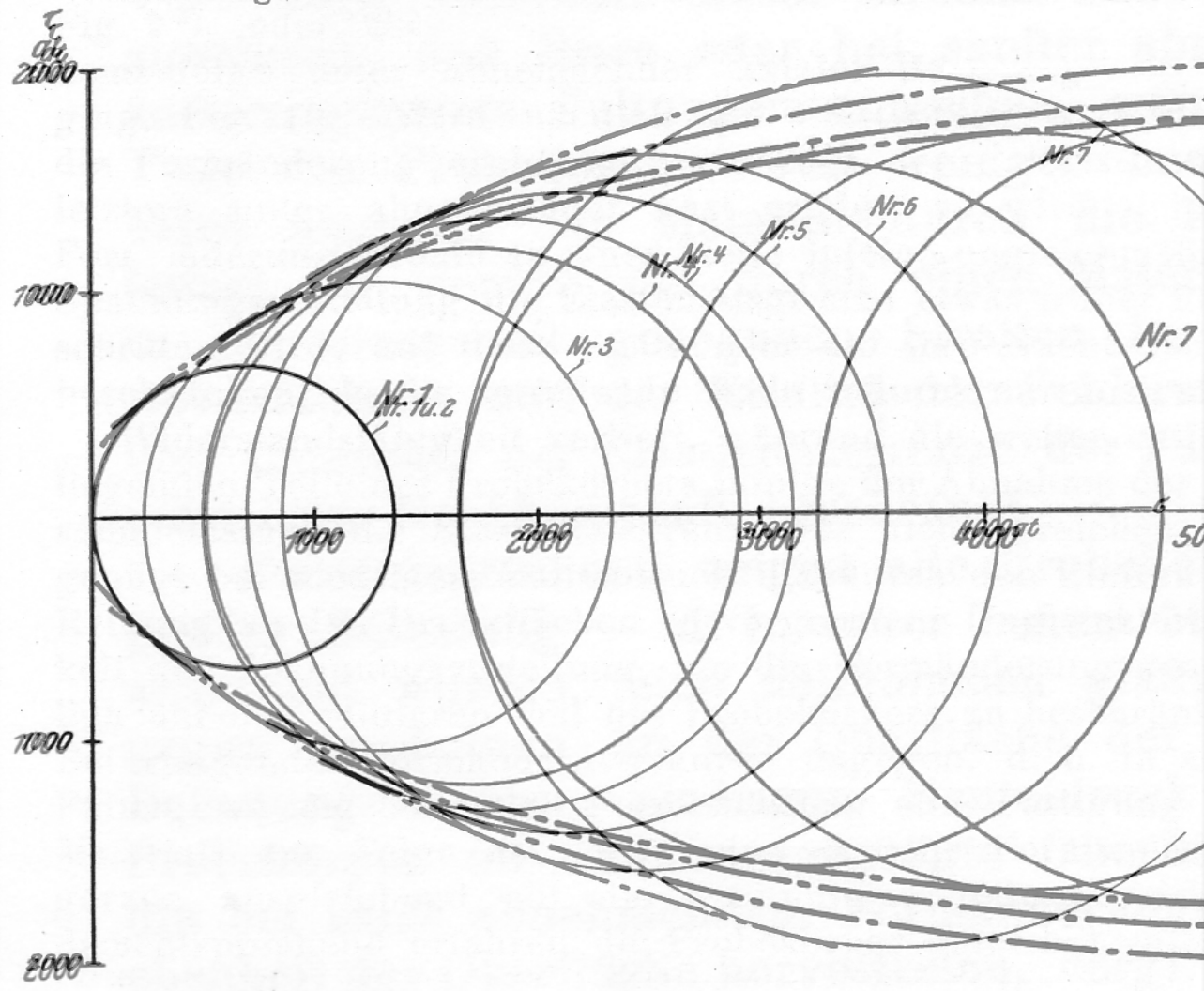


Elastizitätsgrenze

Fig. 8.

Kurven gleicher bleibender Dehnung bei Marmor
in der Mohrschen Darstellung.

Elastizitätsgrenze des Marmors in der Mohrschen Darstellung.

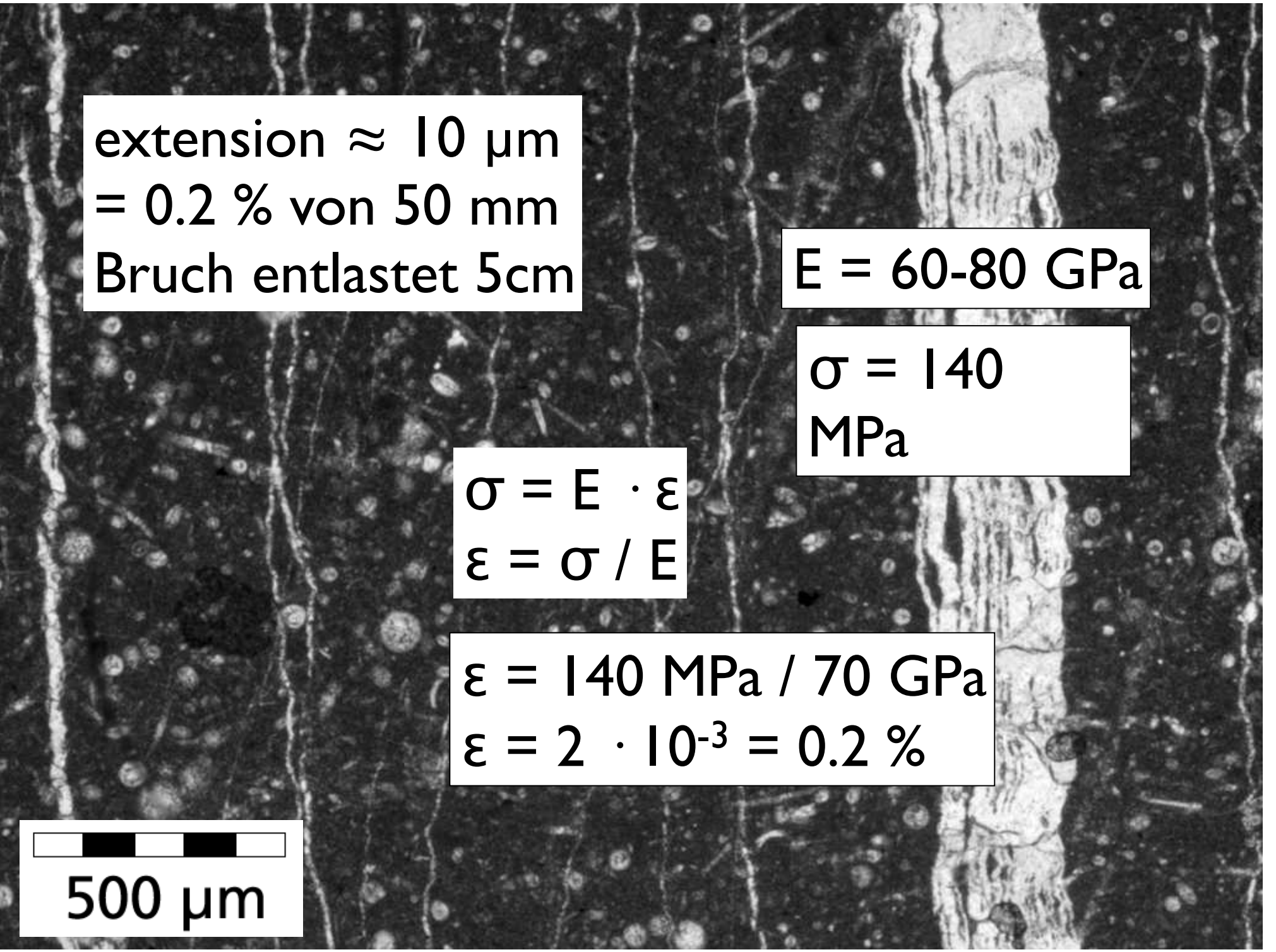


	Density kg m ⁻³	E 10 ¹¹ Pa	G 10 ¹¹ Pa	ν	k W m ⁻¹ °K ⁻¹	α 10 ⁻⁵ °K ⁻¹
Sedimentary						
Shale	2100–2700	0.1–0.3	0.14		1.2–3	
Sandstone	2200–2700	0.1–0.6			1.5–4.2	3
Limestone	2200–2800	0.6–0.8			2–3.4	2.4
Dolomite	2200–2800	0.5–0.9			3.2–5	
Marble	2200–2800	0.3–0.9	0.2–0.35	0.1–0.4	2.5–3	
Metamorphic						
Gneiss	2,700	0.04–0.7	0.1–0.35	0.04–0.15	2.1–4.2	
Amphibole	3,000		0.5–1.0	0.4	2.5–3.8	
Igneous						
Basalt	2.950	0.6–0.8	0.3	0.25	1.3–2.9	
Granite	2,650	0.4–0.7	0.2–0.3	0.1–0.25	2.4–3.8	2.4
Diabase	2,900	0.8–1.1	0.3–0.45	0.25	1.7–2.5	
Gabbro	2,950	0.6–1.0	0.2–0.35	0.15–0.2	1.9–2.3	1.6
Diorite	2,800	0.6–0.8	0.3–0.35		2.8–3.6	
Pyroxenite	3,250				4.1–5	
Anorthosite	2,750	0.83	0.35	0.25	1.7–2.1	
Granidiorite	2,700				2.6–3.5	
Mantle						
Peridotite	3,250				2.3–3	
Dunite	3,250	1.4–1.6	0.6–0.7		3.7–4.6	
Miscellaneous						
Halite			0.3	0.15	5.4–7.2	
Ice			0.092	0.033	2.2	

Extensionsbrüche



gefüllte Klüfte: Adern



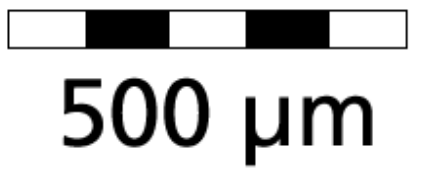
extension \approx 10 μm
= 0.2 % von 50 mm
Bruch entlastet 5cm

$$E = 60-80 \text{ GPa}$$

$$\sigma = 140 \text{ MPa}$$

$$\sigma = E \cdot \varepsilon$$
$$\varepsilon = \sigma / E$$

$$\varepsilon = 140 \text{ MPa} / 70 \text{ GPa}$$
$$\varepsilon = 2 \cdot 10^{-3} = 0.2 \%$$



4

4 Bruchsysteme - Stereonetz - Verwerfungen

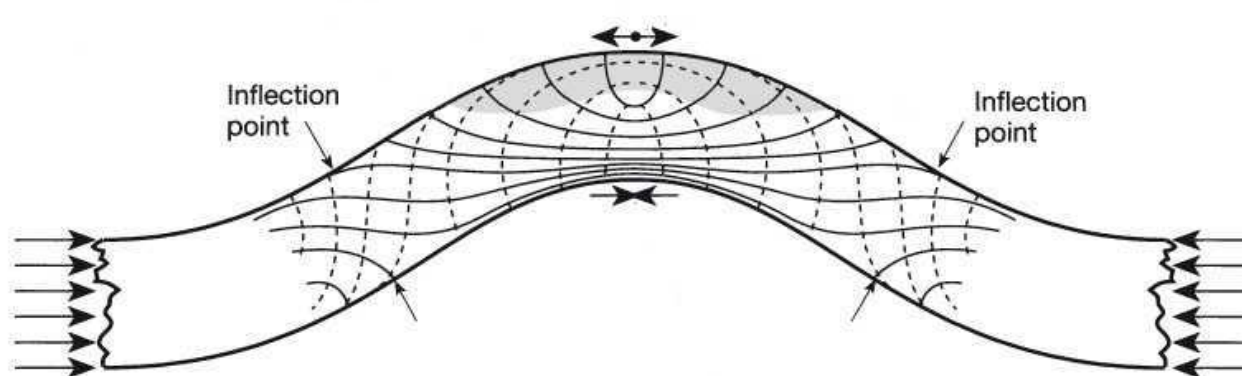
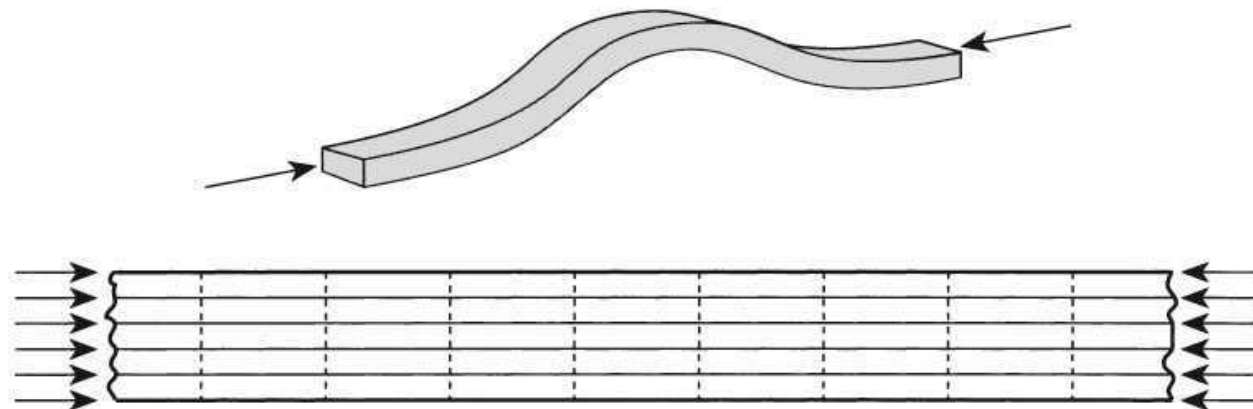
- VL-Themen:
- Brüche - Bruchsysteme
 - Stereonetz
 - Verwerfungen
 - fault zones
 - assozierte Strukturen (displacement markers)
 - Abschiebung (normal faults)
 - Auf-/Überschiebung (reverse faults, thrusts)
 - Strike-slip Verwerfungen

Klüfte assoziiert mit Biegung

Earth's surface is free surface: $\tau = 0$

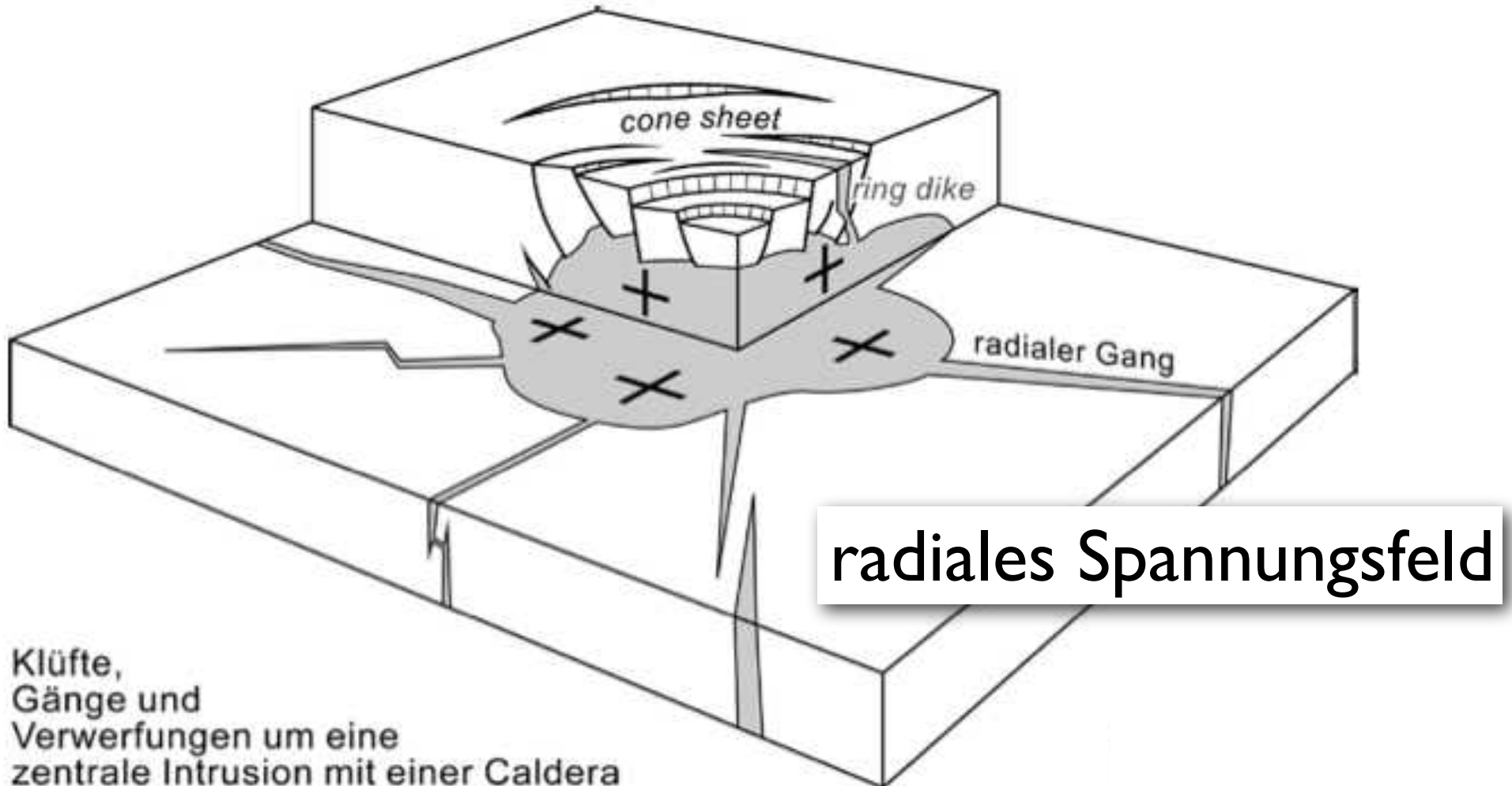
$\sigma_1, \sigma_2, \sigma_3$ are parallel and perpendicular

Angle of failure is 30° w/r to σ_1

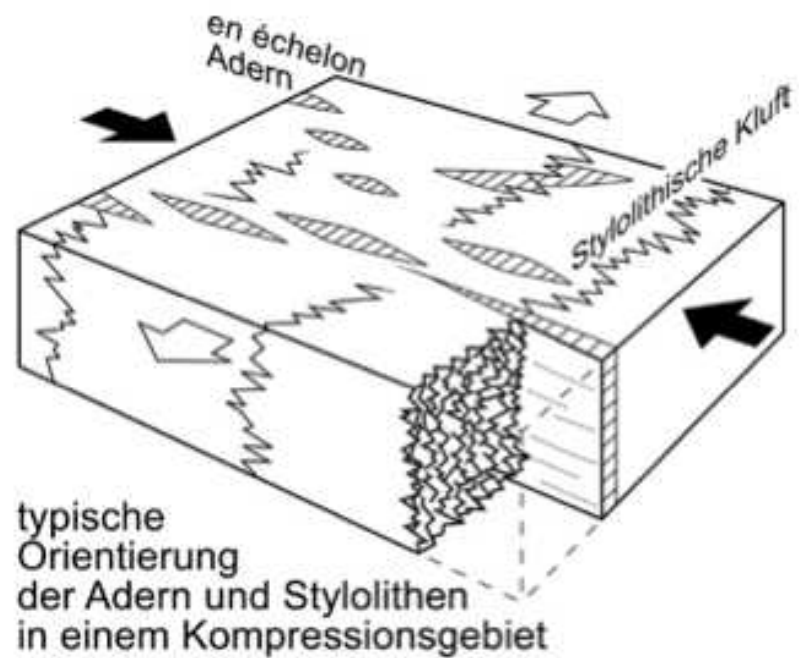
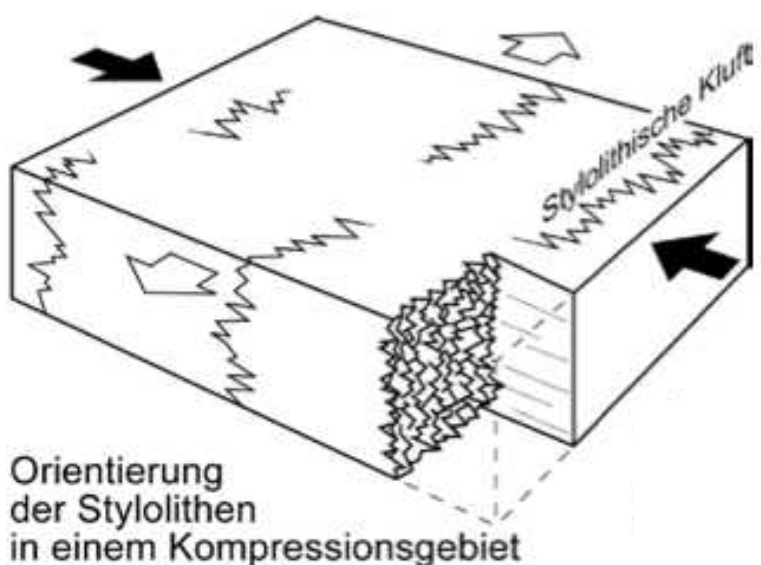
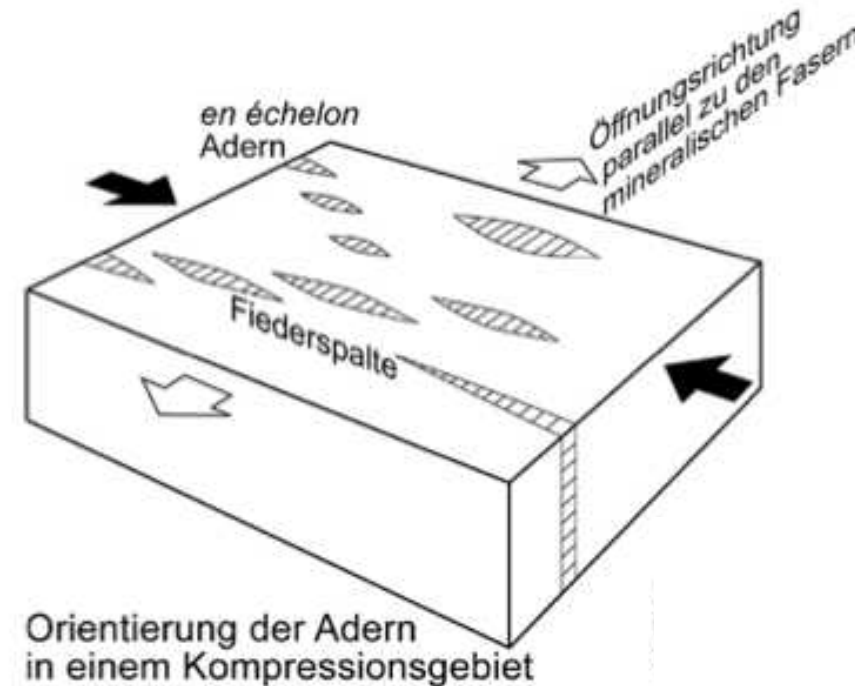


elastische Biegung

Klüfte assoziiert mit Intrusivkörpern



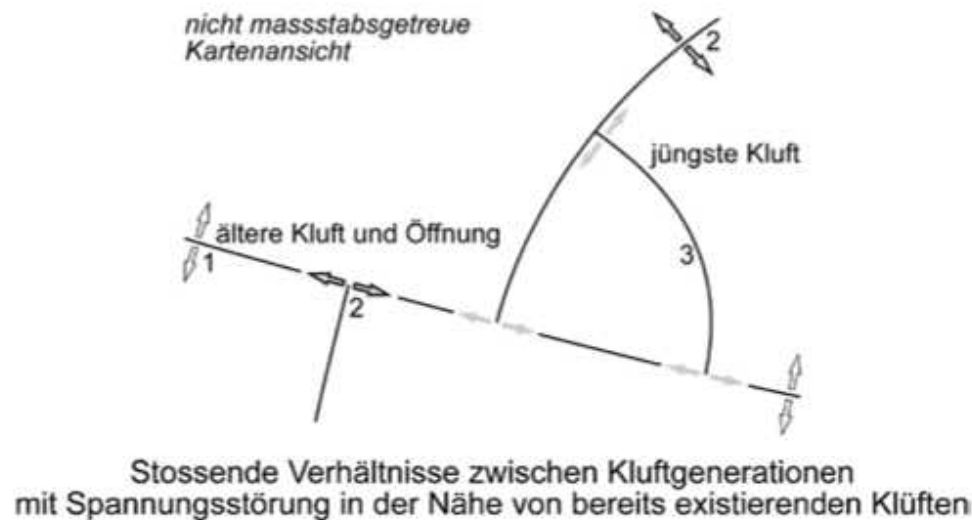
"Antiklüfte": Styrolithe



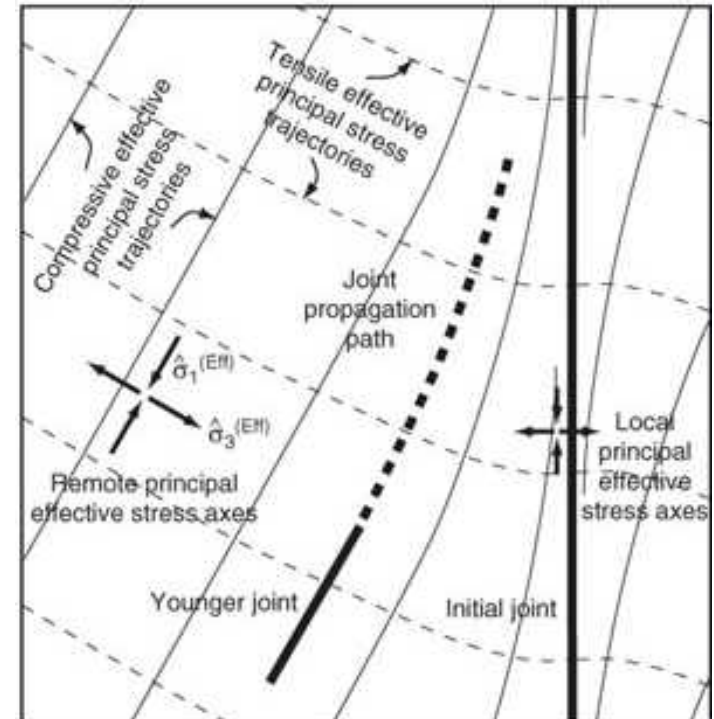
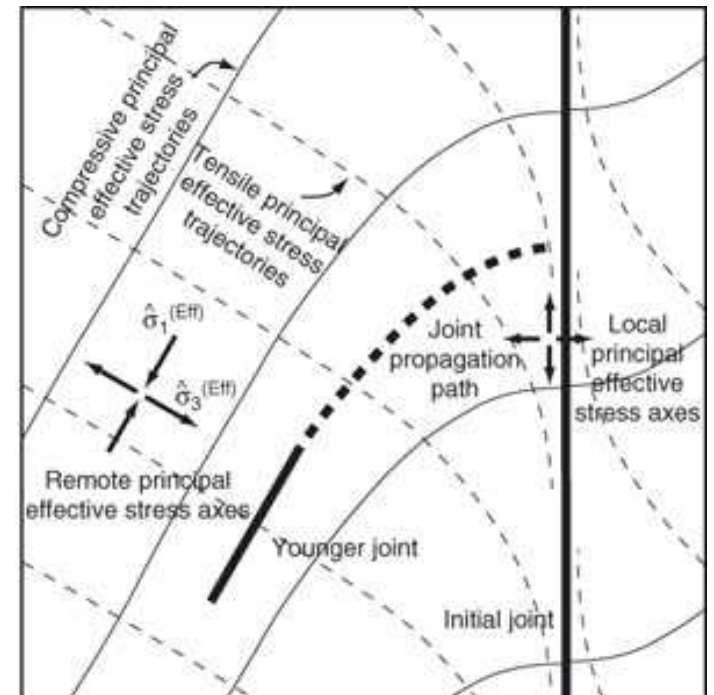
Klüfte und "Antiklüfte"



Zeitliche Abfolge

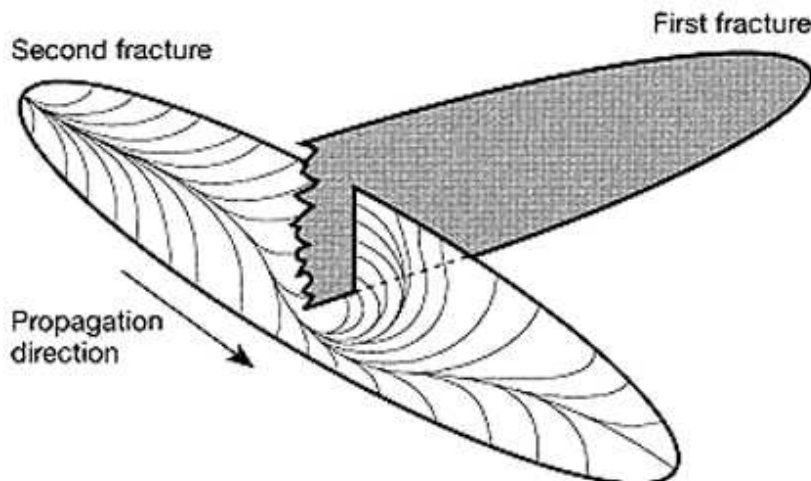


[jburg-strukturgeologie-ethz.ch](http://jburg-strukturgeologie.ethz.ch)



Zeitliche Abfolge

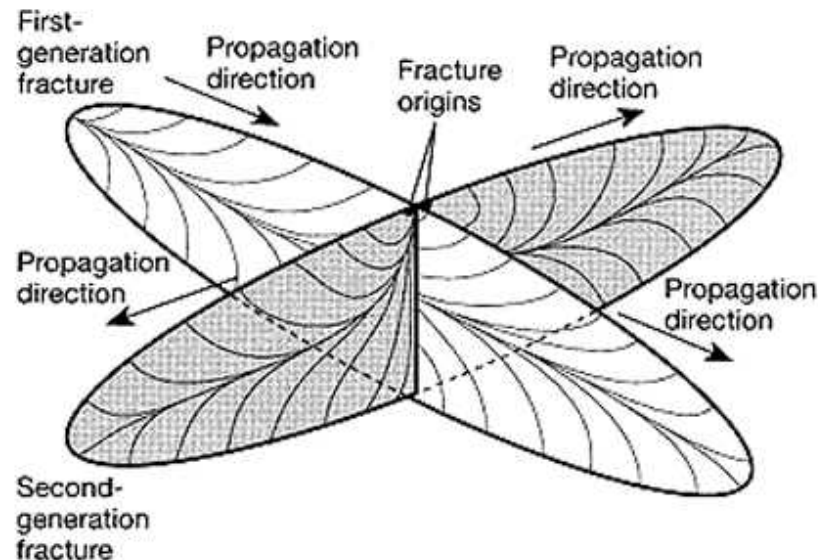
2



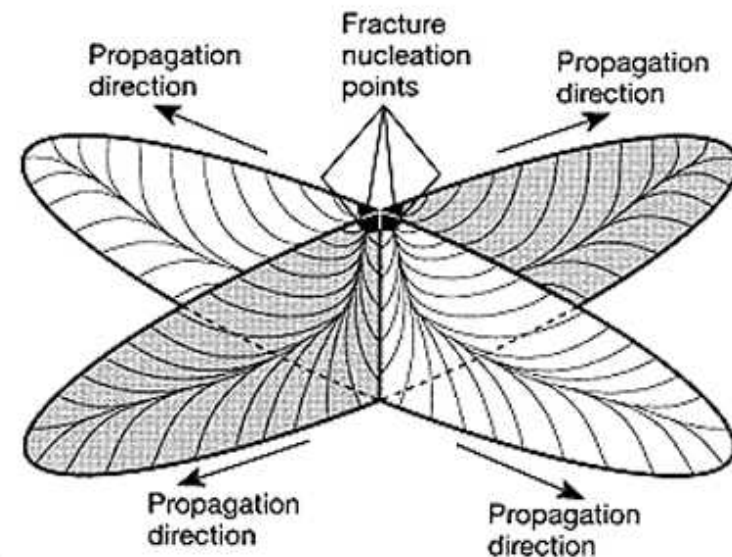
1

gleichzeitig

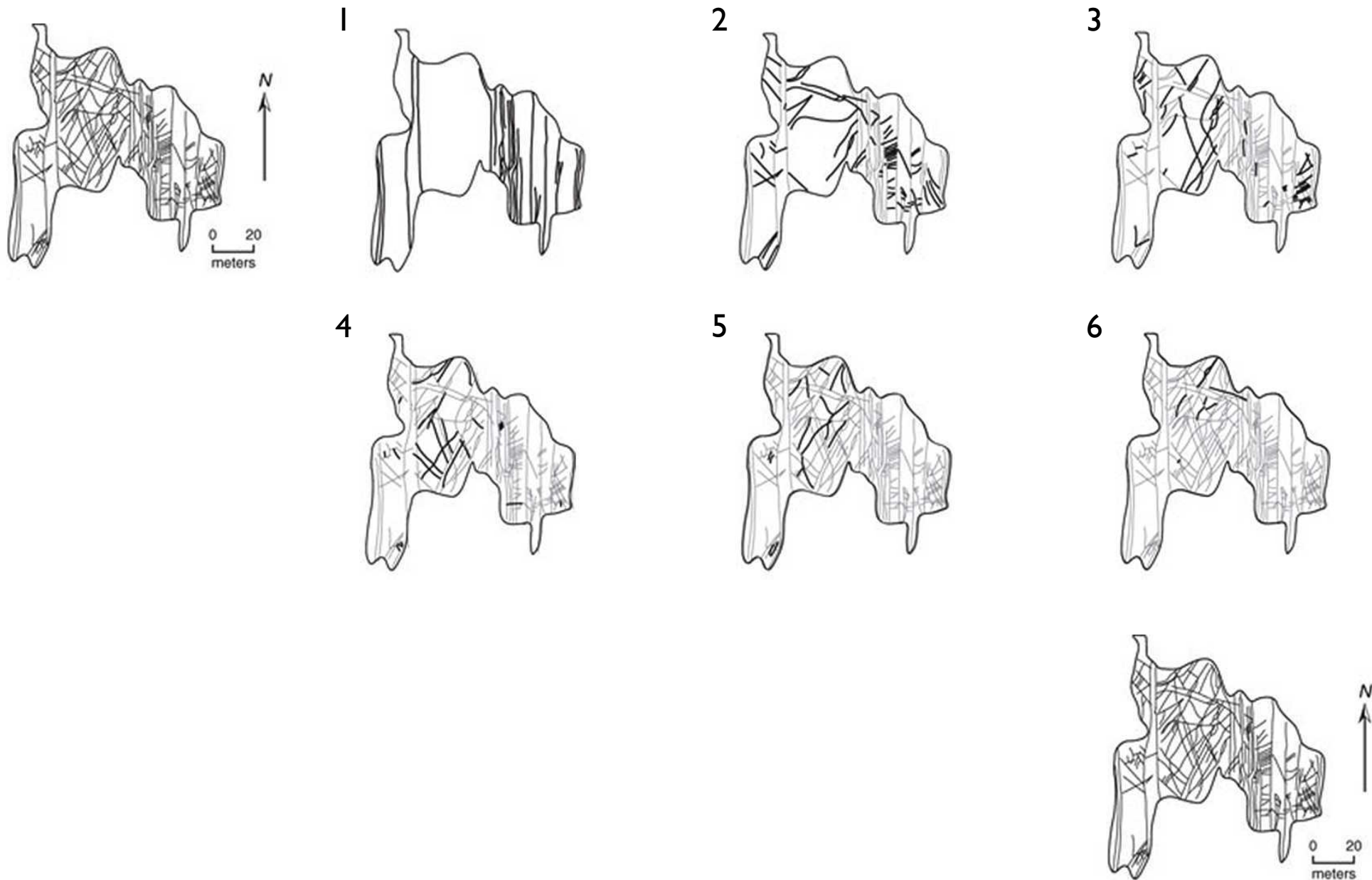
1



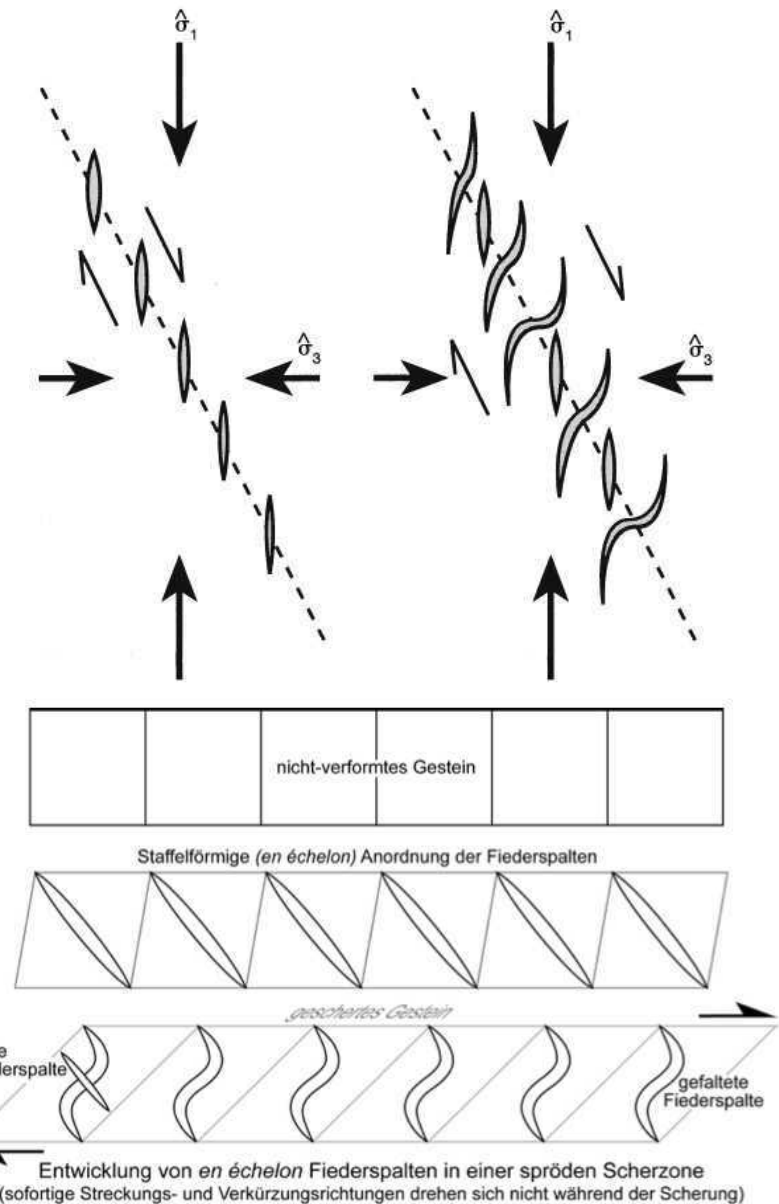
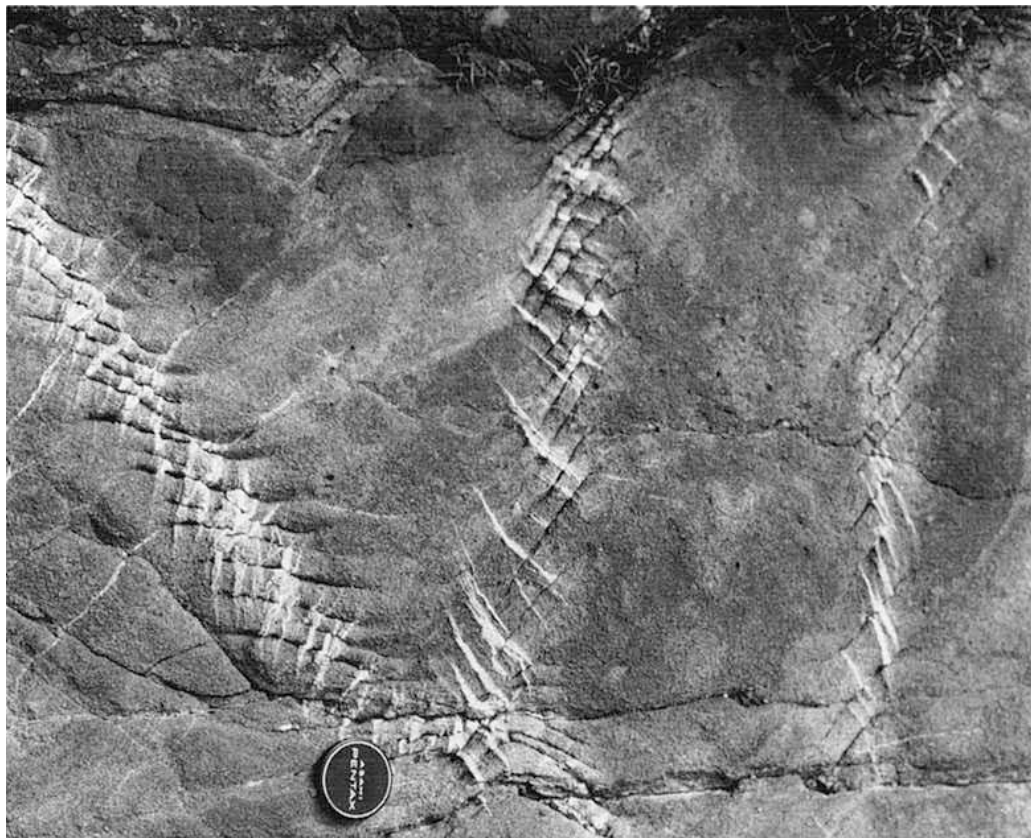
2



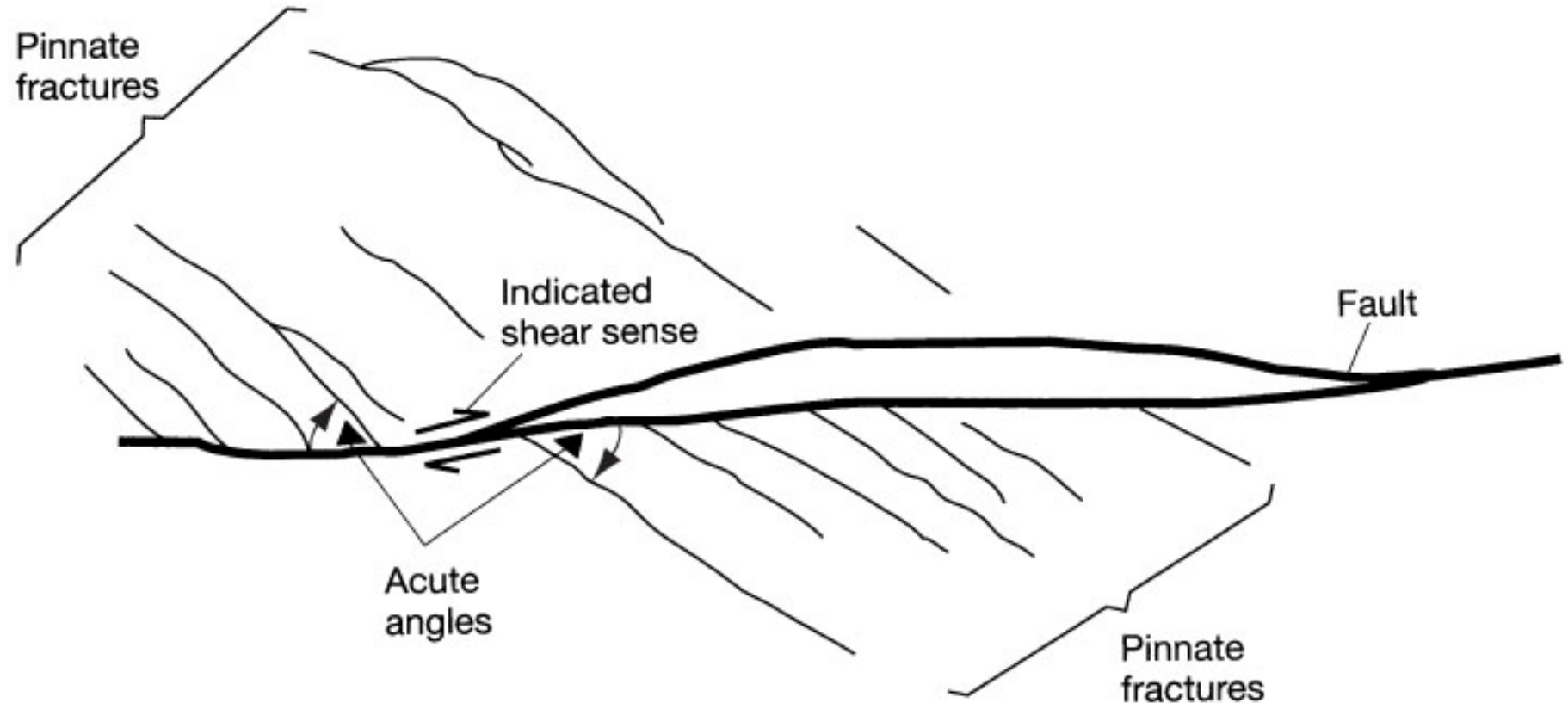
Zeitliche Abfolge in Bruchsystemen



Fiederklüfte en échelon



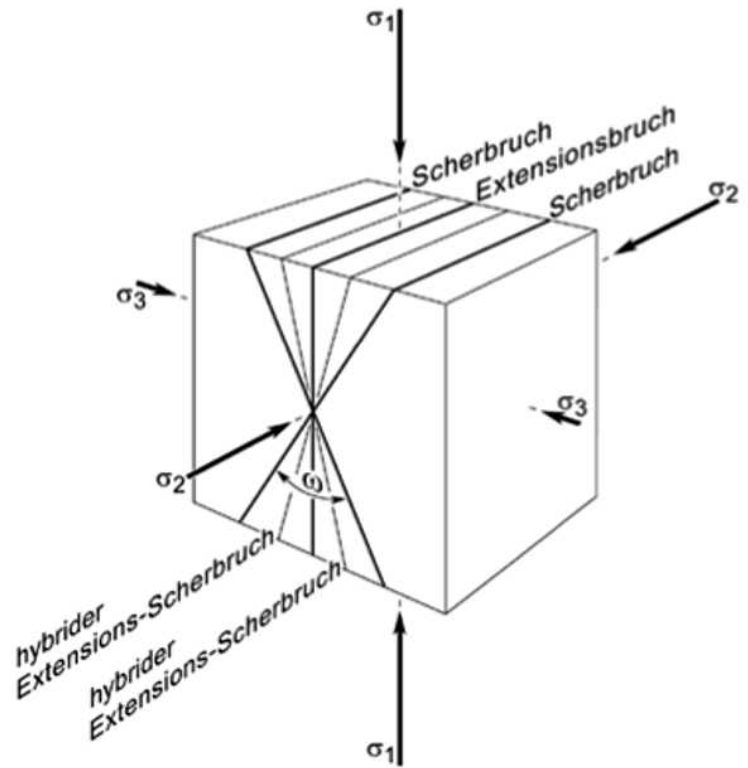
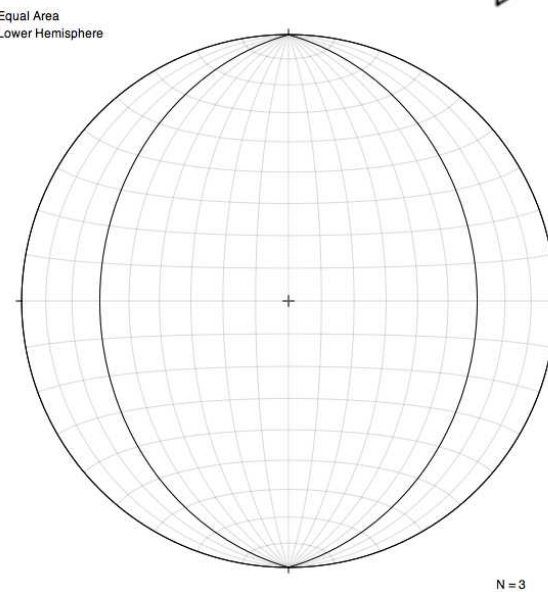
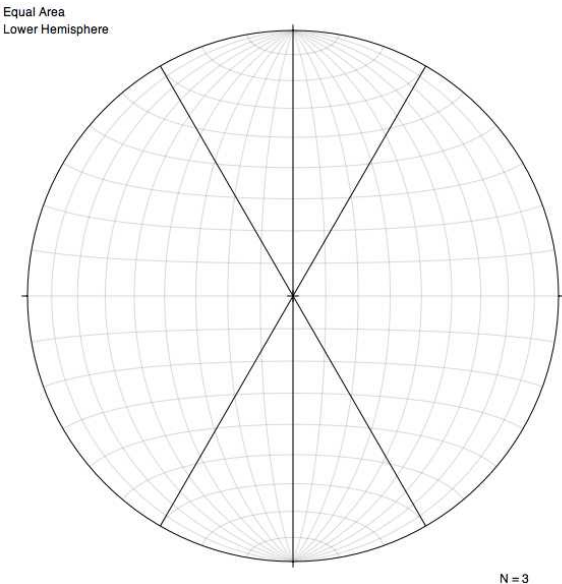
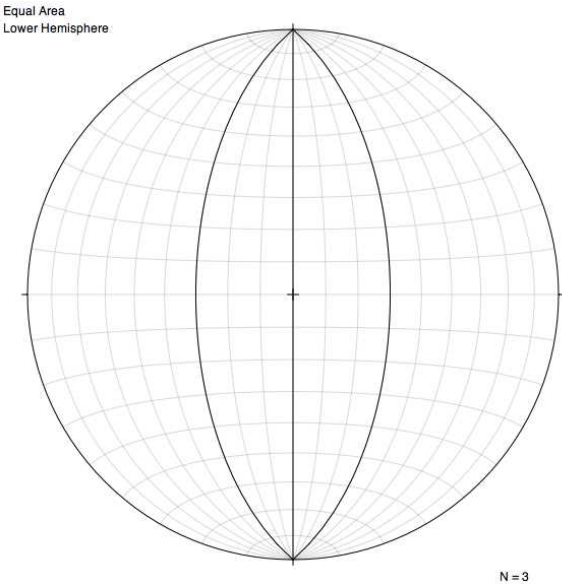
Klüfte assoziiert mit Verwerfung



feather fractures

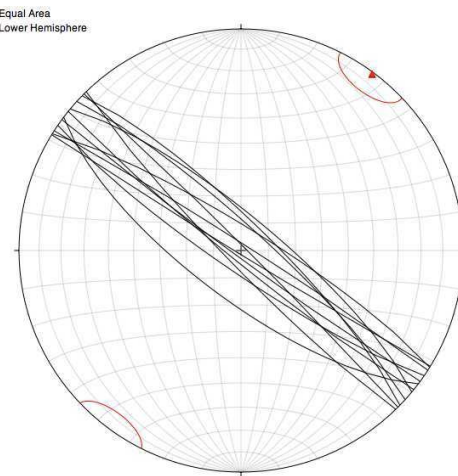
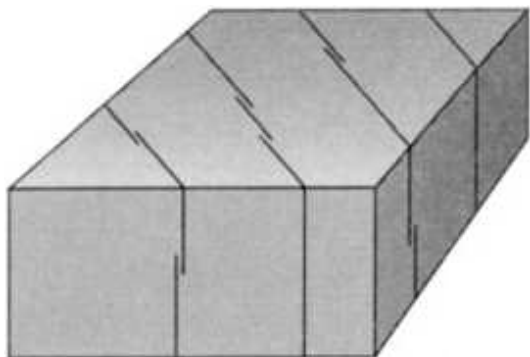
Stereonetz

Klüfte und Brüche im Stereonetz

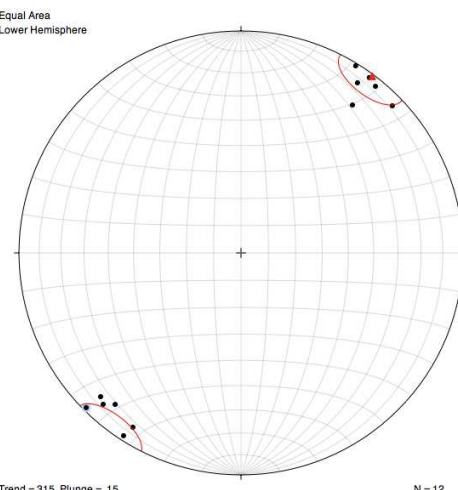
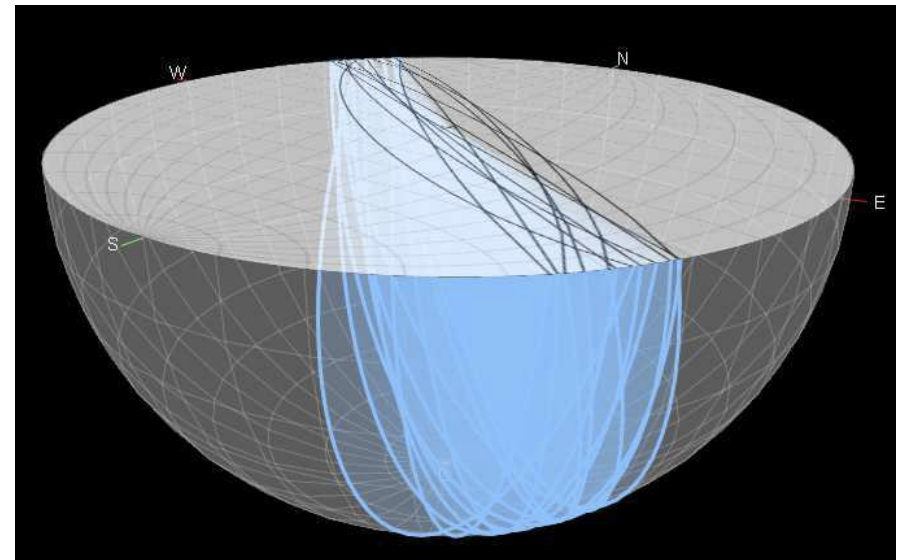


Fallazimuth / Fallen
051 / 34 (XXX/XX)
Streichen / Fallen
NI41E / 34 E

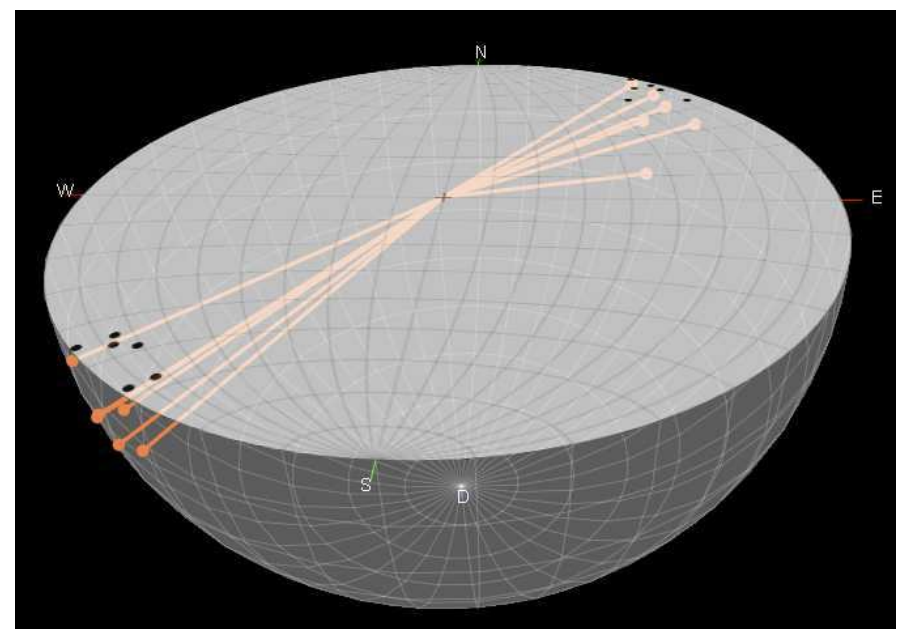
Klüfte und Brüche im Stereonetz



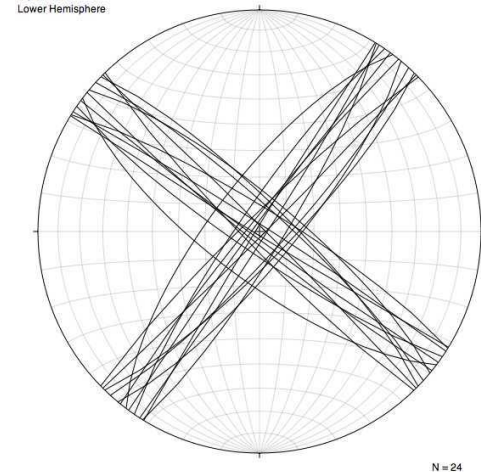
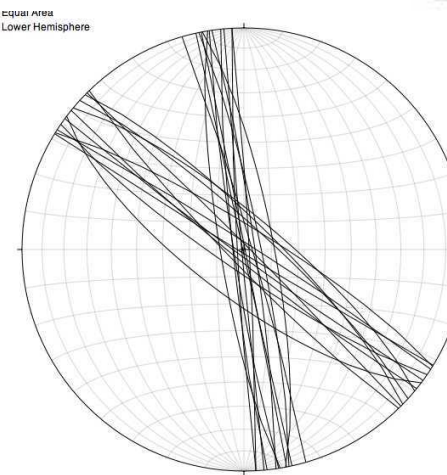
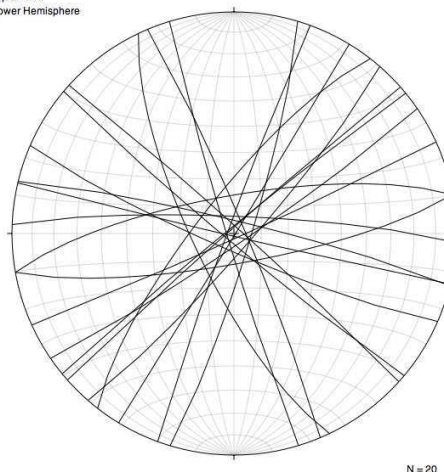
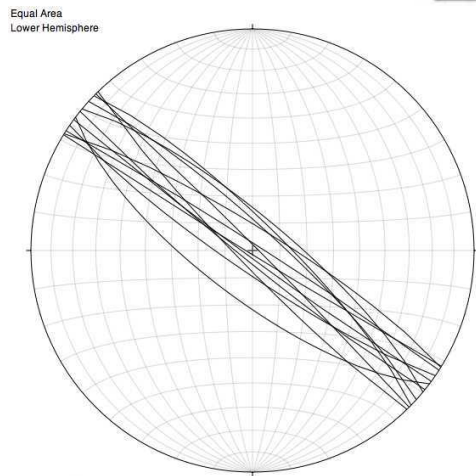
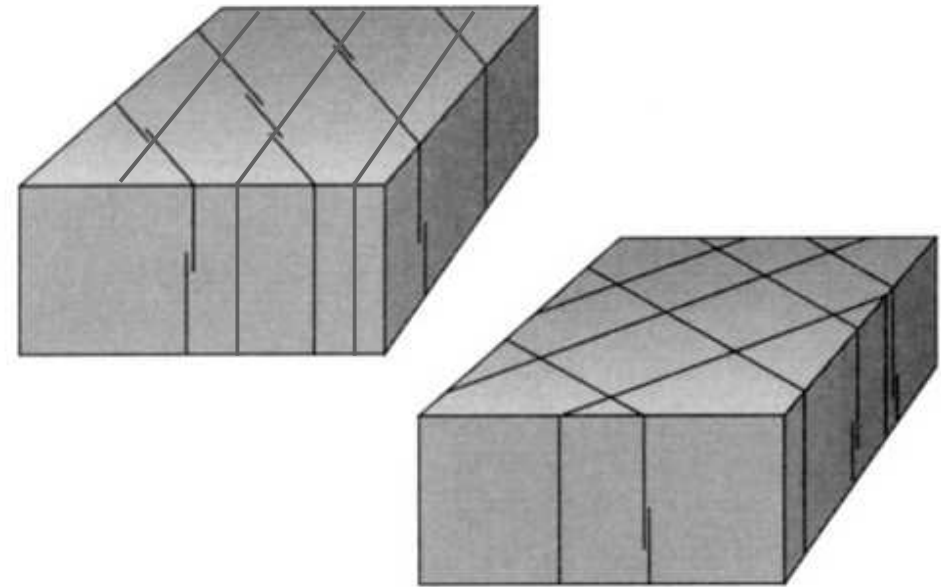
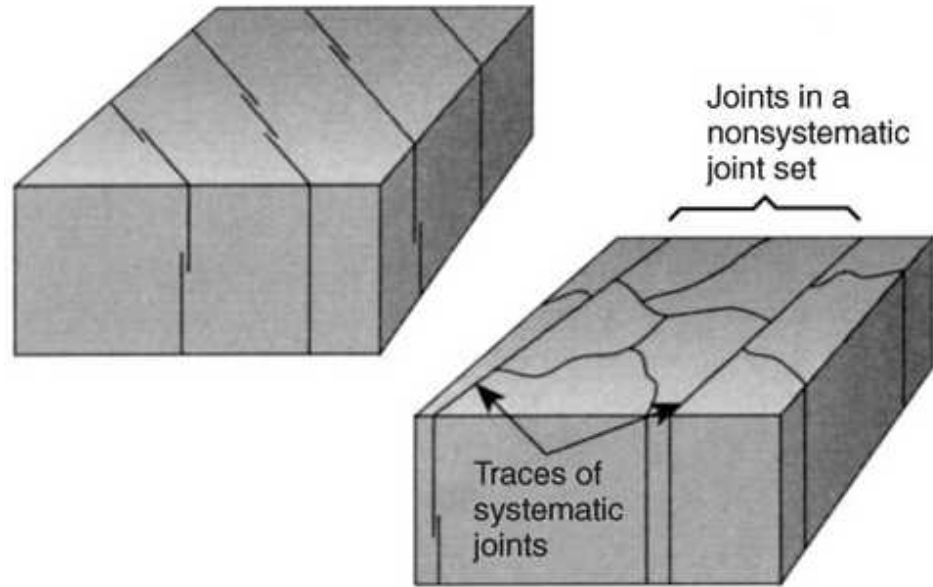
Flächen



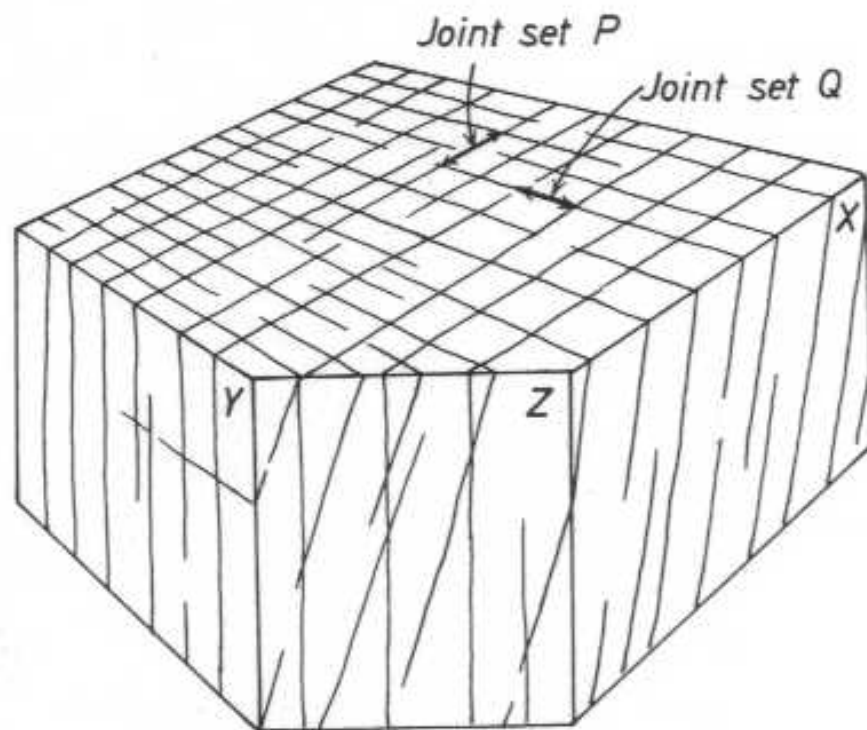
Flächenpole



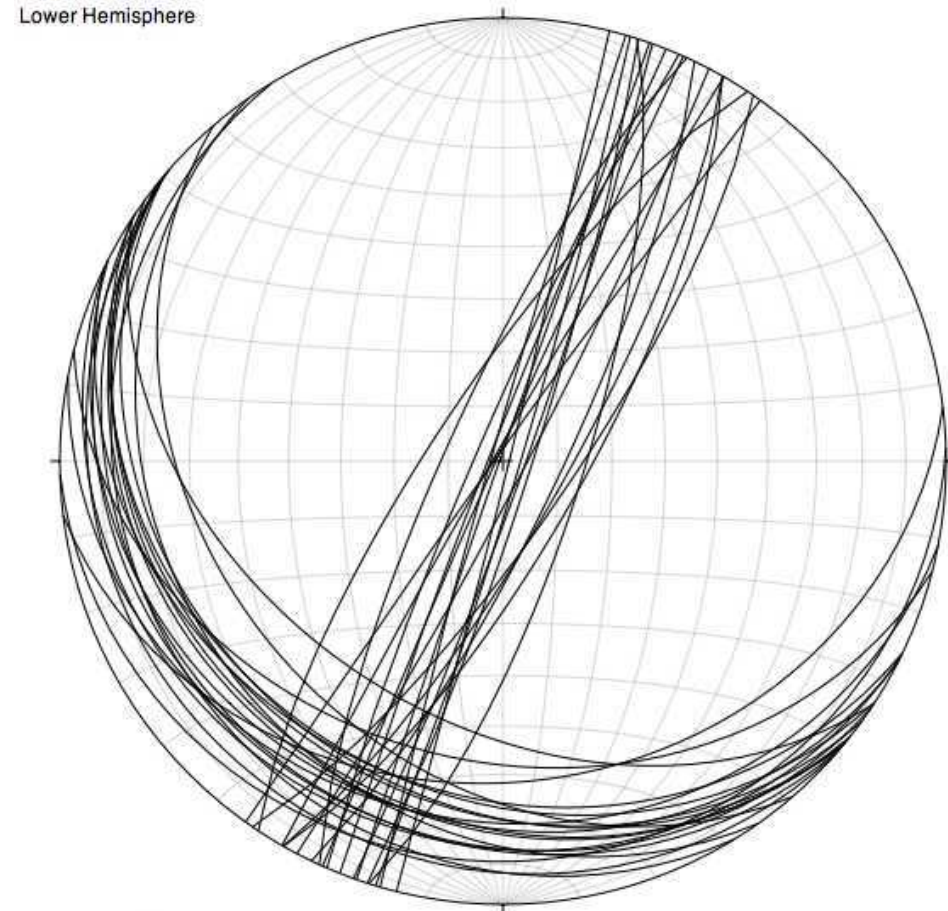
Klüfte und Brüche im Stereonetz



Klüfte und Brüche im Stereonetz



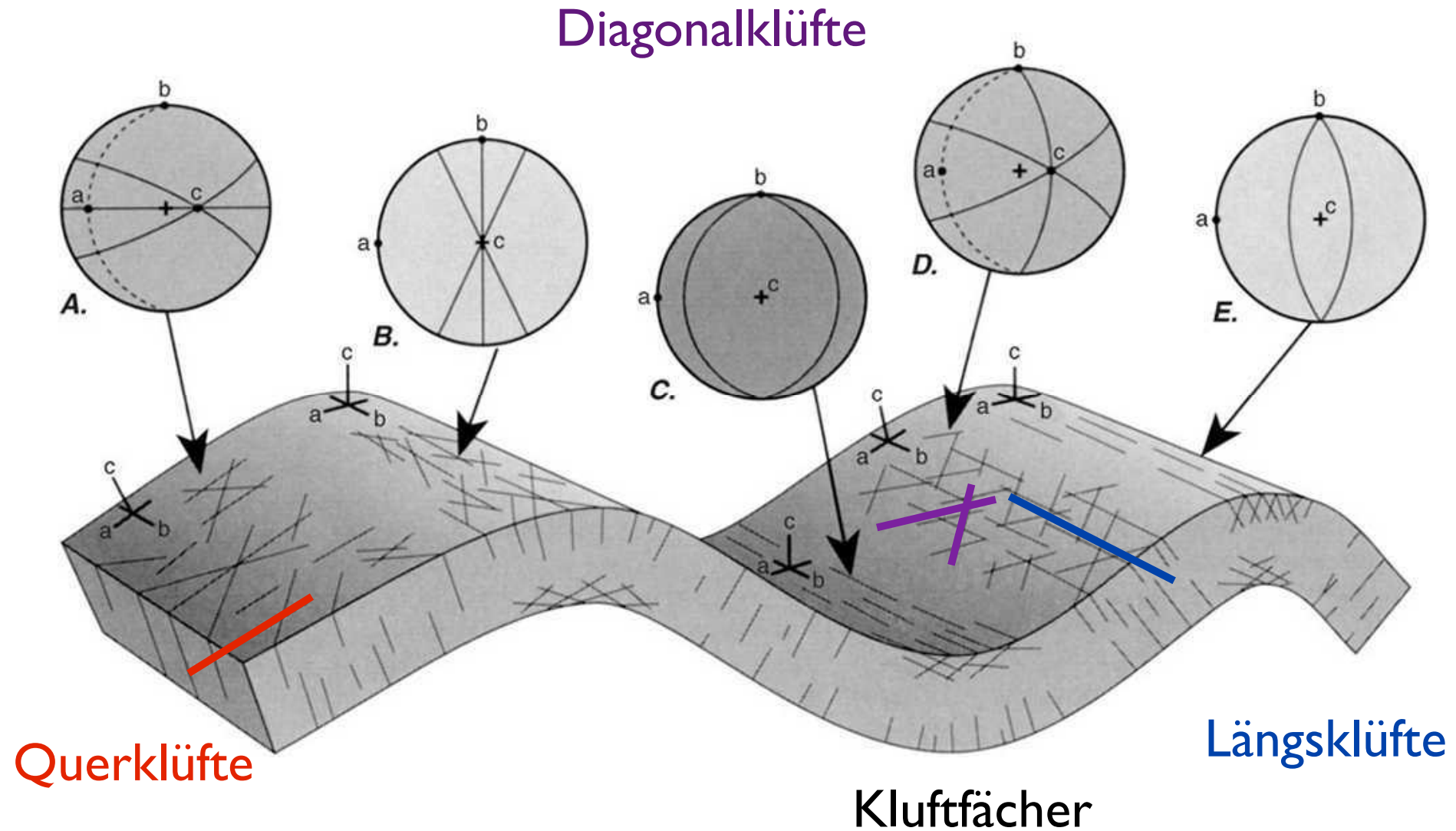
Equal Area
Lower Hemisphere



Trend = 332, Plunge = 5

N = 38

Klüfte assoziiert mit Falten



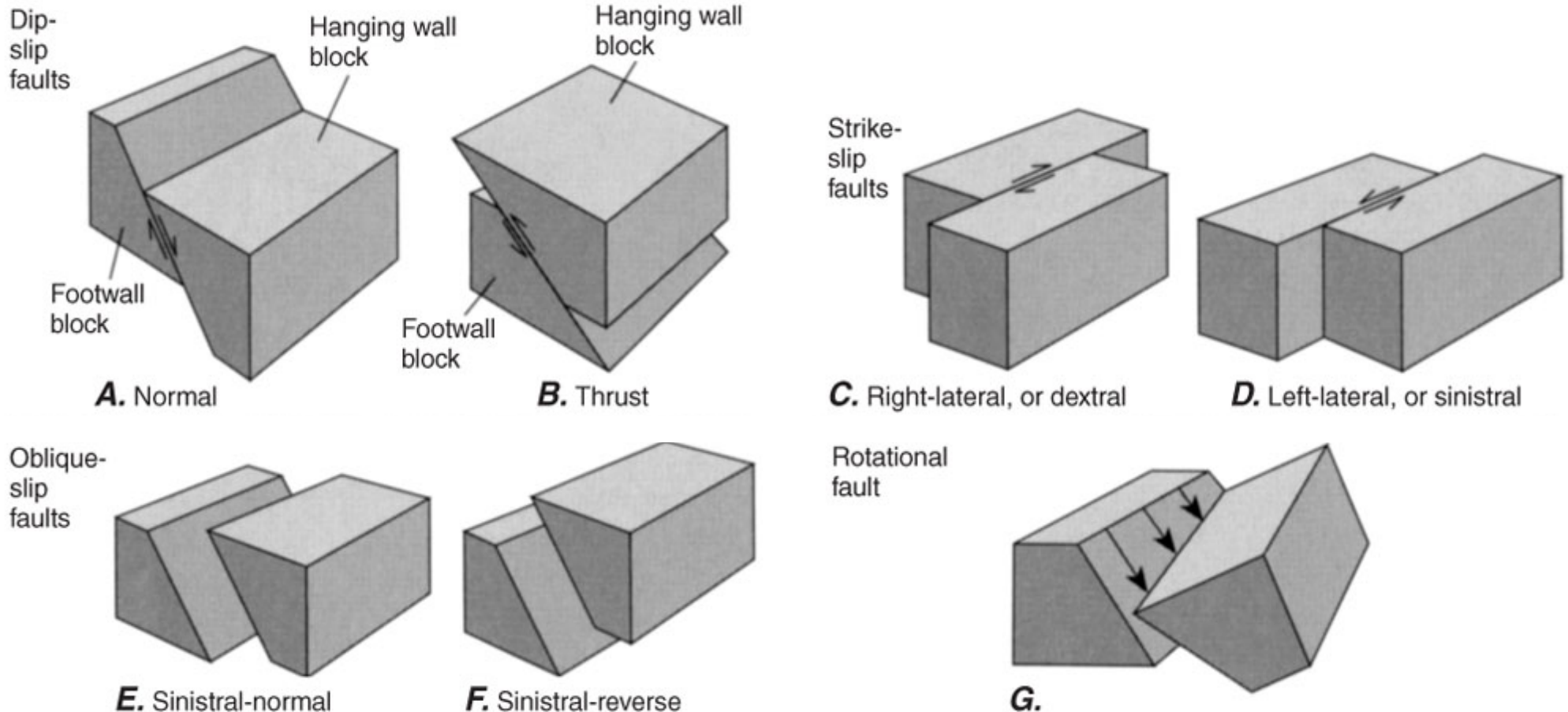
b = Richtung der Faltenachse

Twiss & Moores, 2007

faults

types of faults

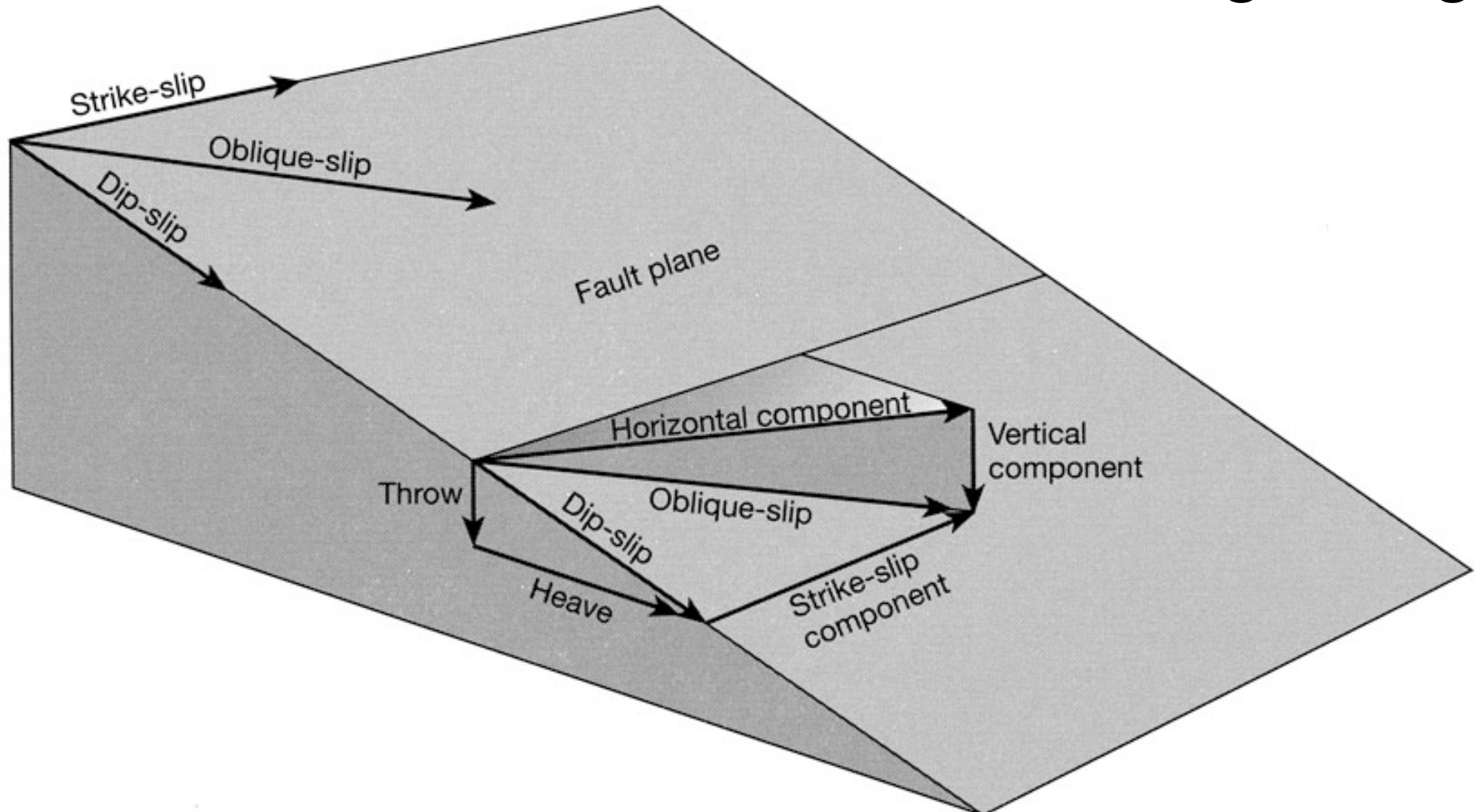
Verwerfungstypen



Hangendes - Liegendes

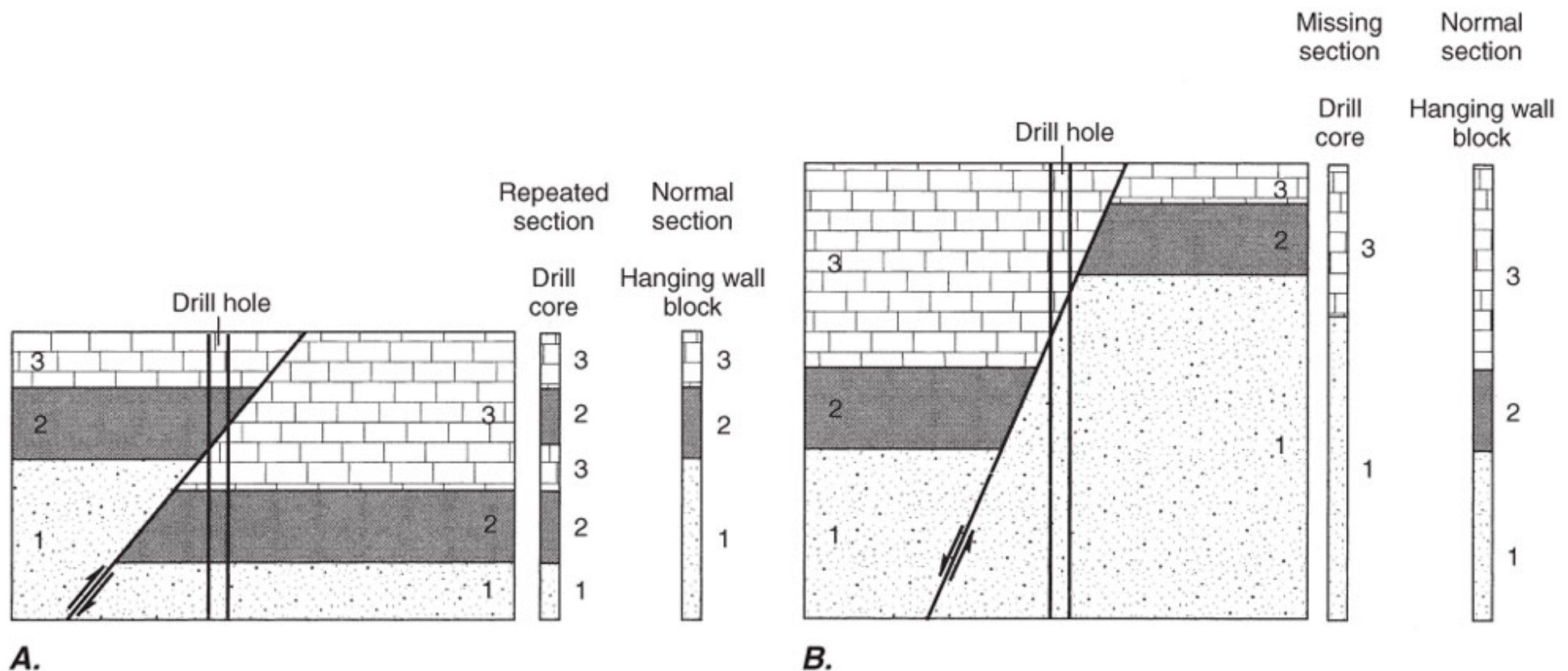
displacement

Versetzung
Versetzungsbetrag

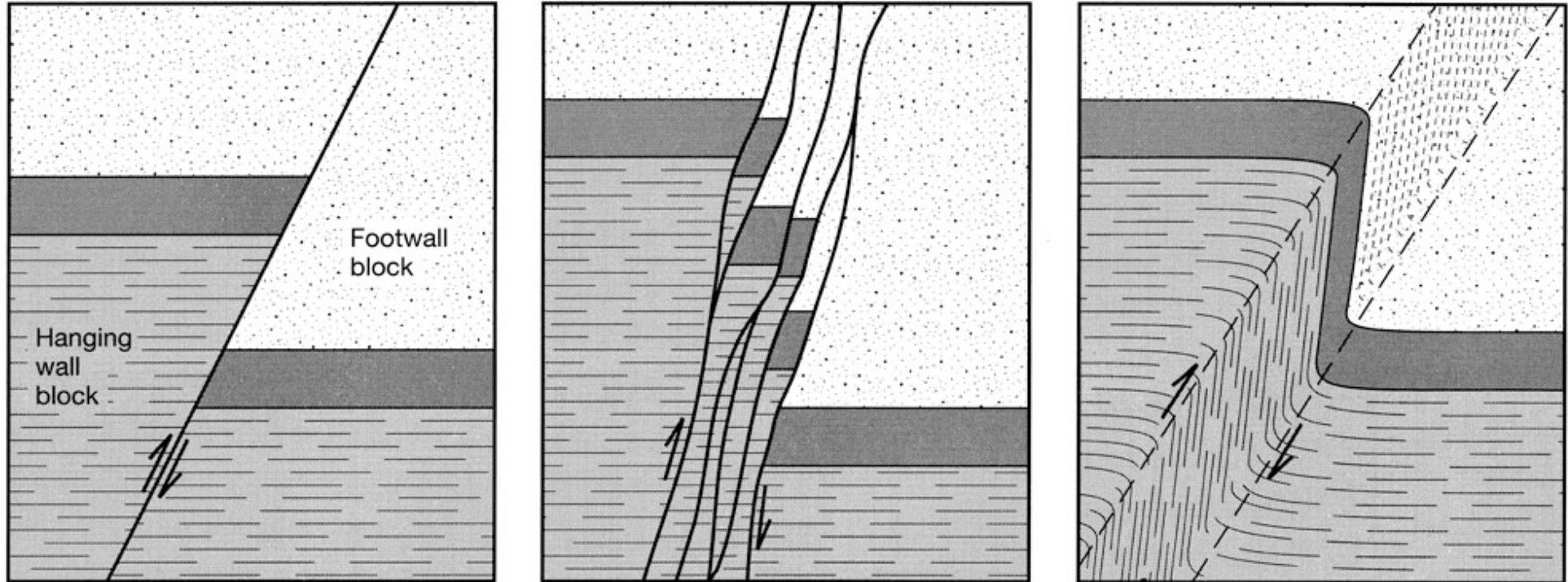


relative displacement defined by slip vector

Bohrung durch Auf-/Abschiebung



fault - fault zone - shear zone

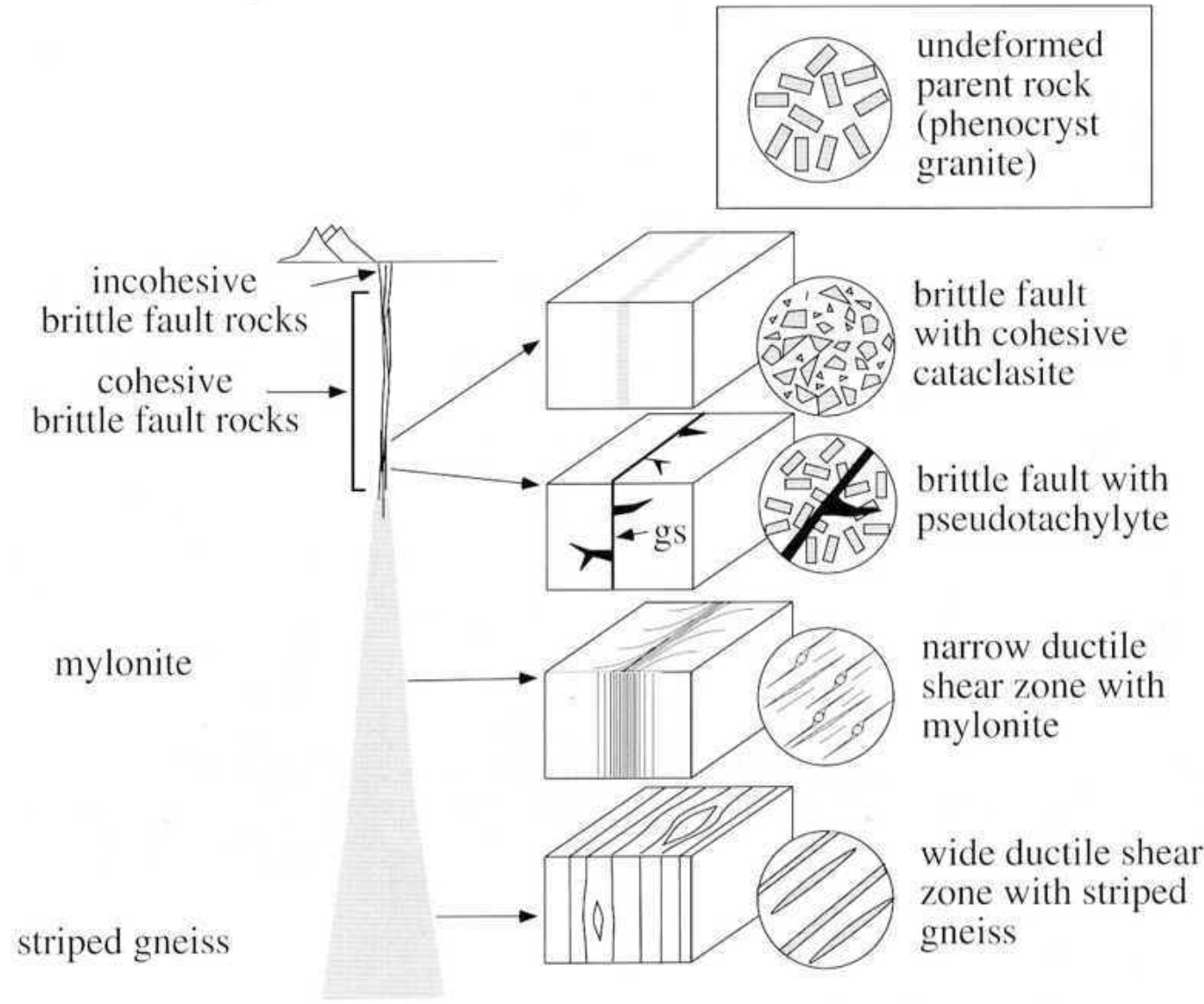


Verwerfung - Verwerfungszonezone - Scherzone

high angle fault: $> 45^\circ$ inclination
low angle fault: $< 45^\circ$ inclination

fault zone

Verwerfungszone



intaktes Gestein

Brekkzie
fault gouge

Kataklasite
Ultrakataklasite

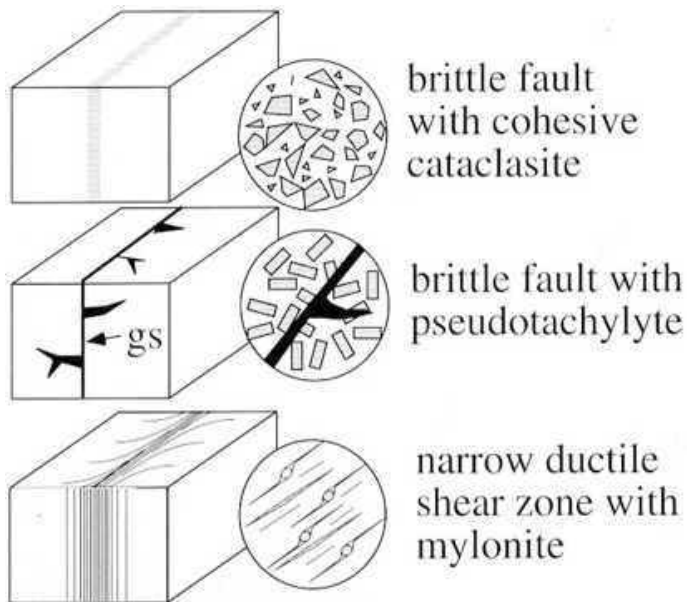
Pseudotachylite

Mylonite
Ultramylonite

Gneiss

fault zone

Typische Gesteine



Kohäsionsloses Lockermaterial:

Gesteinsmehl (gouge)	feinkörnige Matrix
Unverfestigte Brekzie	erkennbare Klasten

Festes Gestein (ohne Foliation):

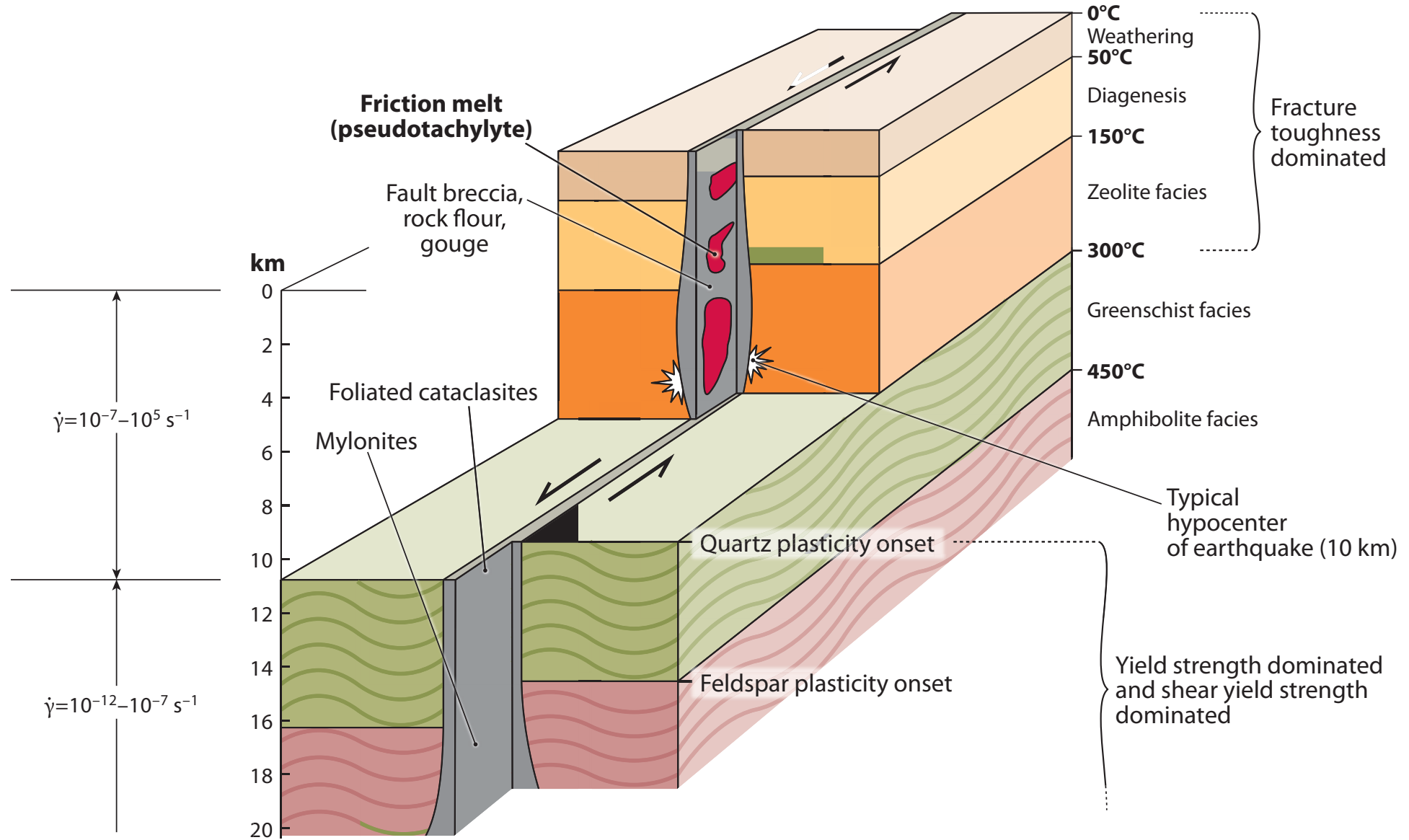
Protokataklasit / Brekzie	> 50% erkennbare Klasten
Kataklasit	50-90% Matrix
Ultrakataklasit	> 90% Matrix

Festes Gestein (mit Foliation):

Protomylonit	< 50% rekristallisiert
Mylonit	50-90% rekristallisiert
Ultramylonit	> 90% rekristallisiert

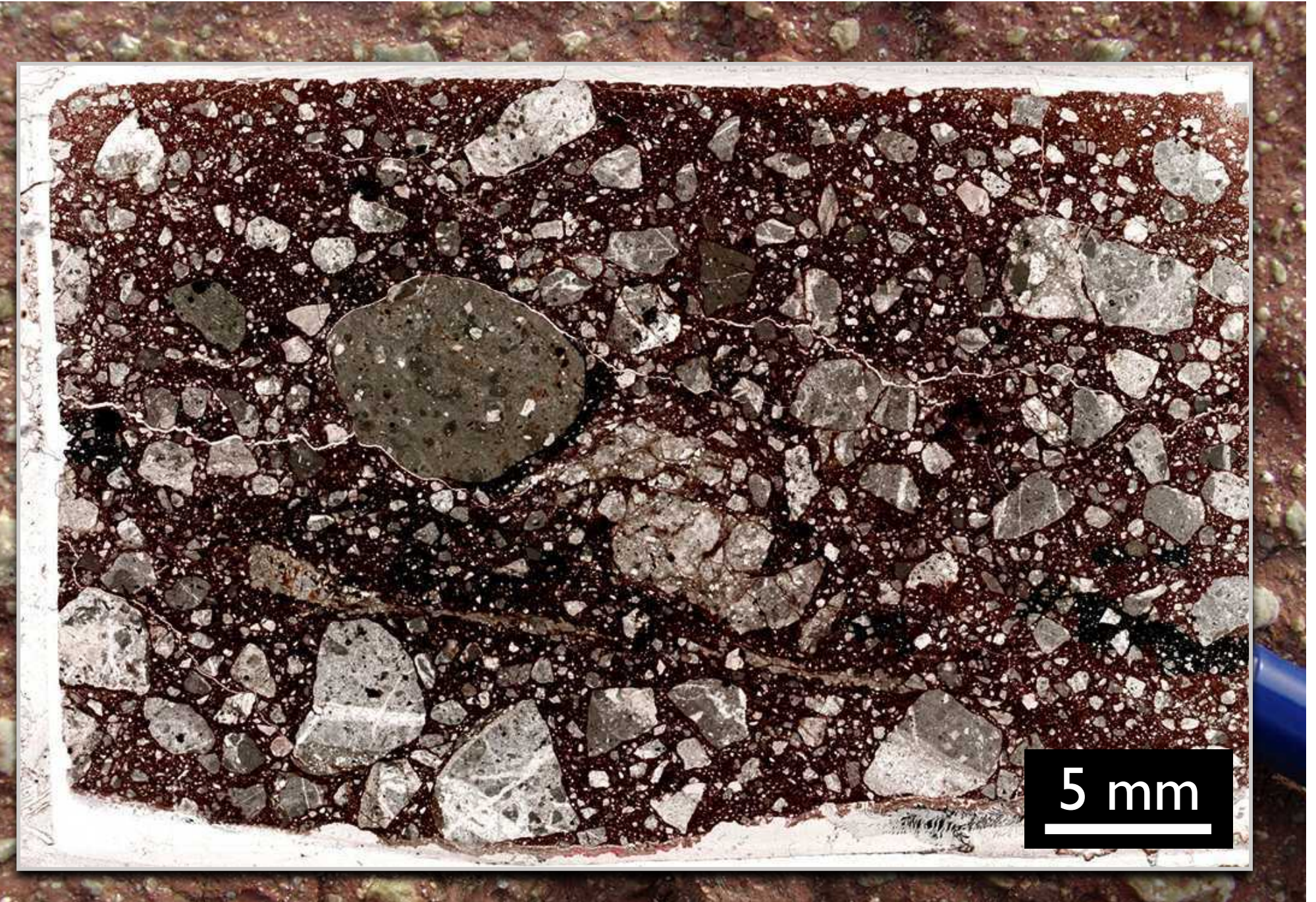
nach: Roland Vinx (2005): Gesteinsbestimmung im Gelände, Elsevier

fault zone





Bruchfläche



Kataklasit

Brekzie



Titus Canyon, Death Valley (Wikipedia)

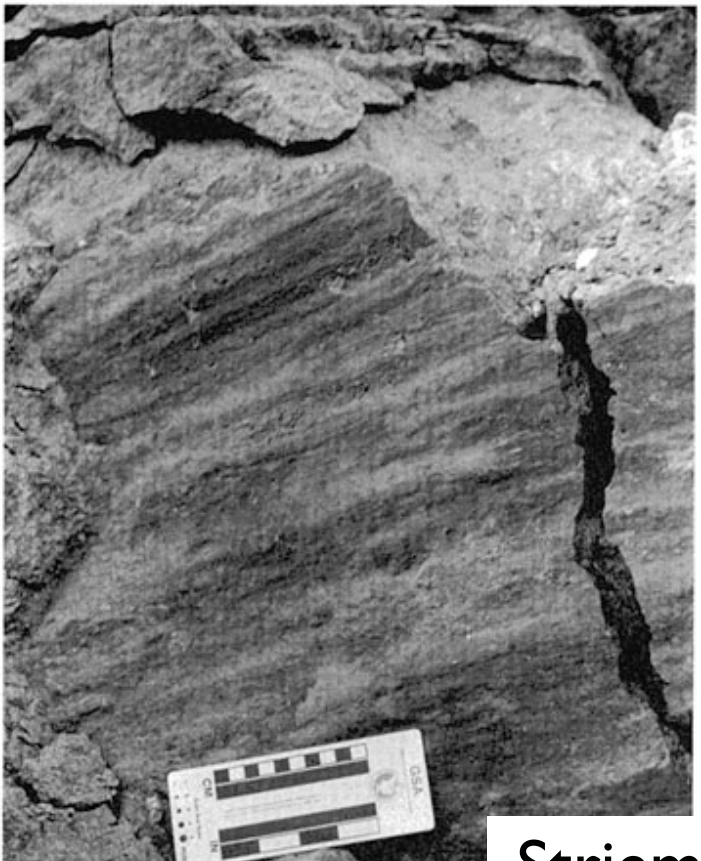
Pseudotachylit



(geology.um.maine.edu)



A.



B.

slickensides / sickenfibres

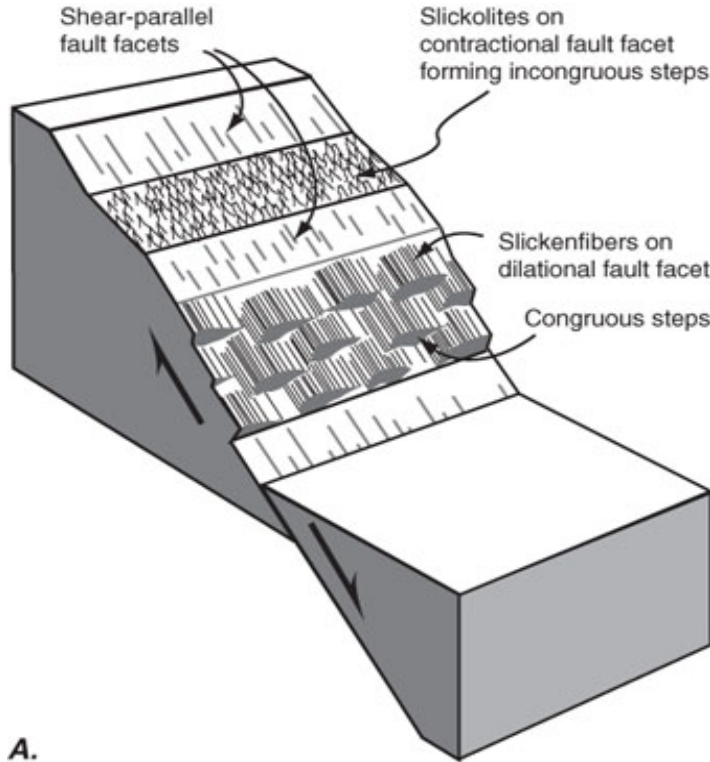
Gleitflächen

- indicate direction and sense of movement
- constitute a lineation containing the movement vector

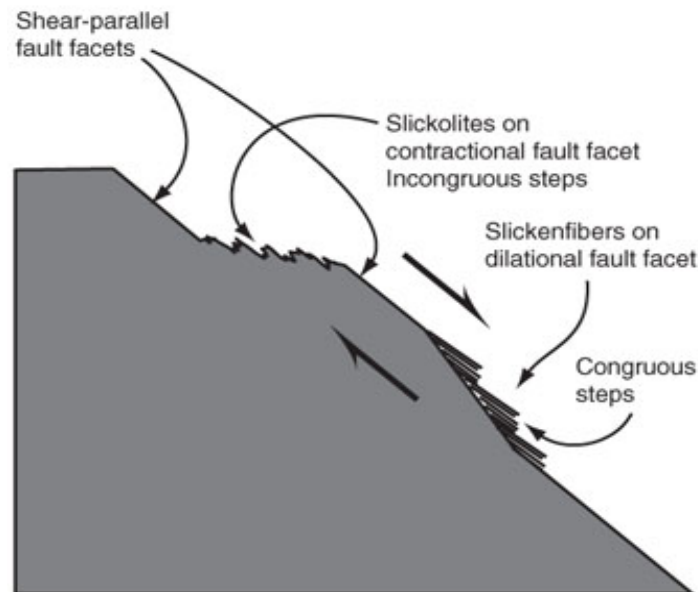


Striemungen - Rutschharnisch

slickenfibres

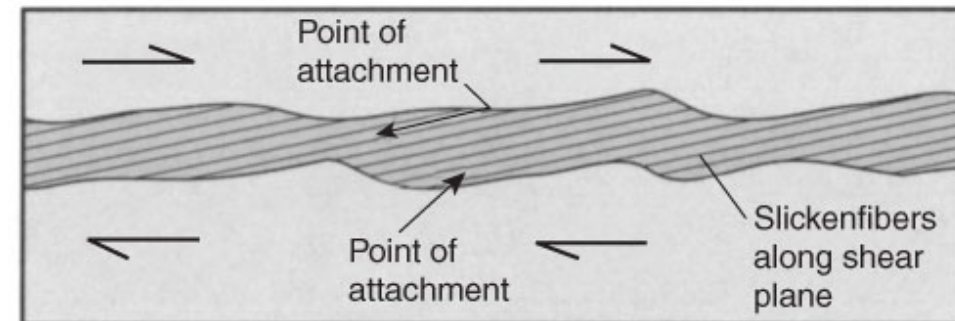


A.



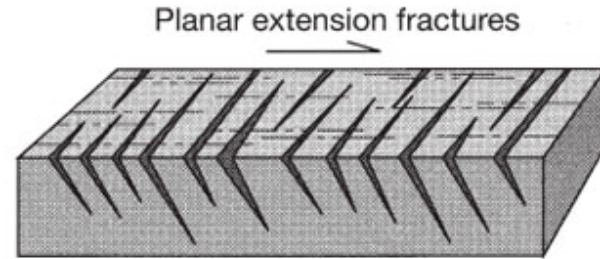
B.

solution-precipitation
microstructures

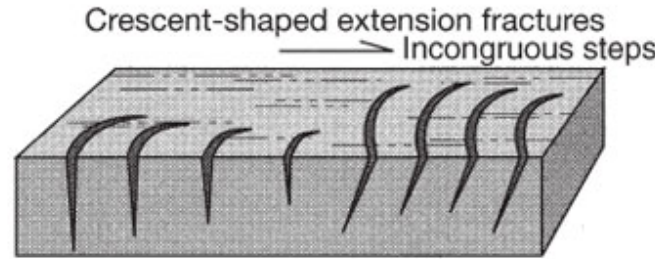


C.

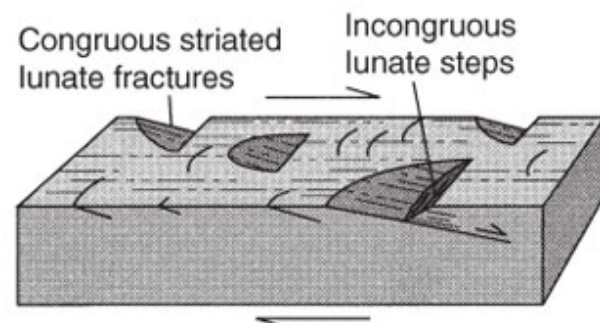
displacement - micro scale



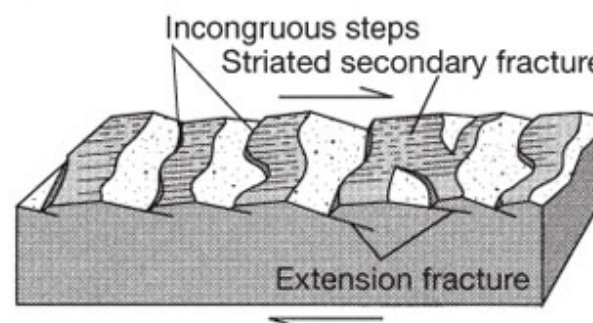
A.



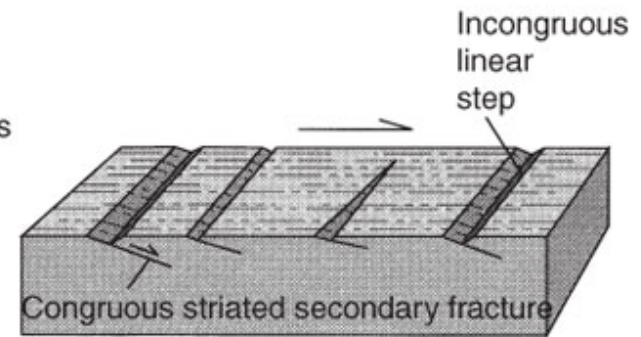
B.



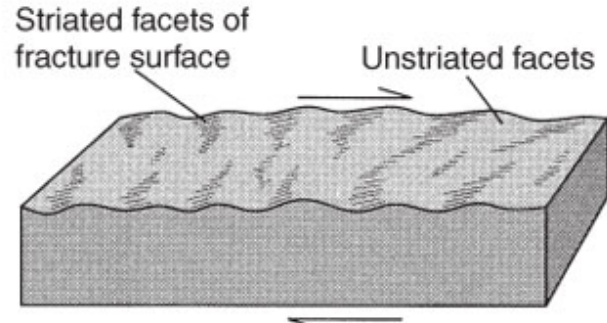
D.



E.



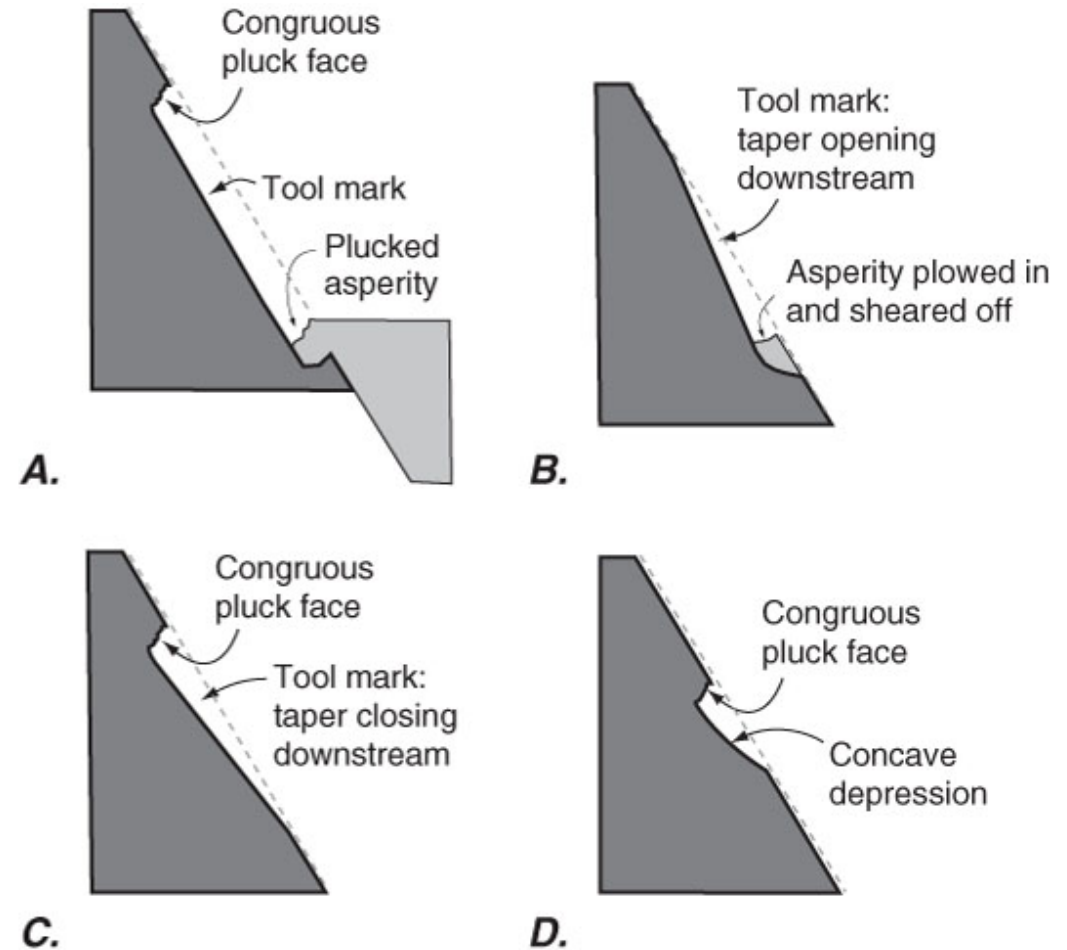
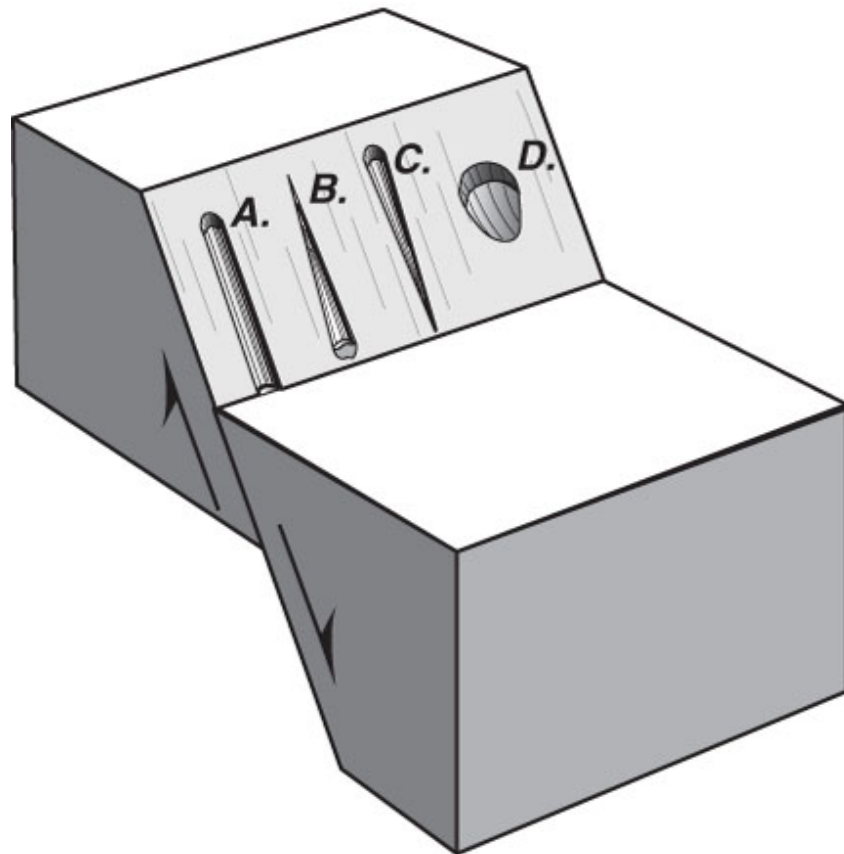
C.



F.

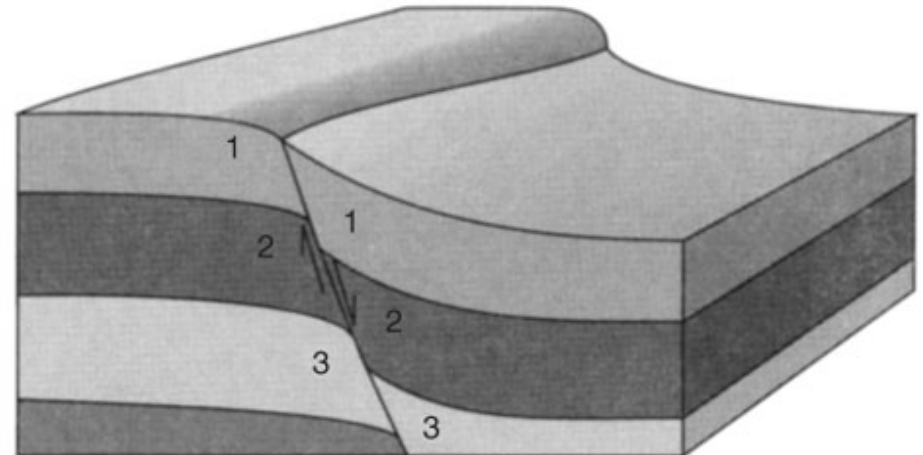
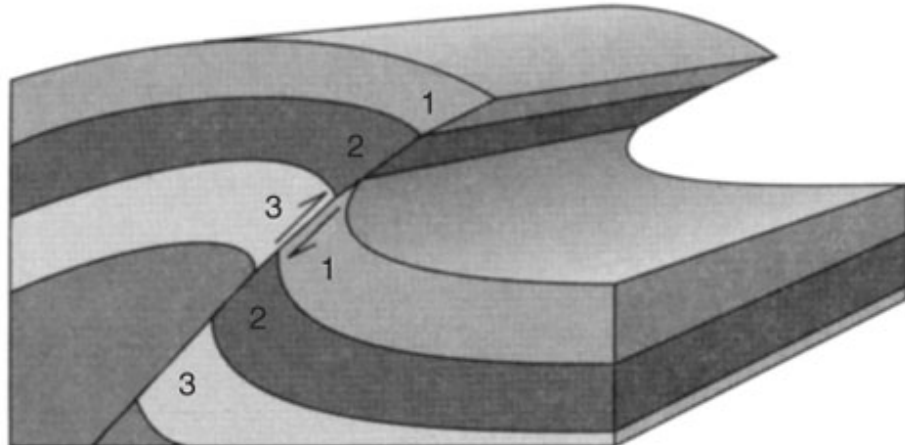
determination of movement sense from
cracks associated with faults

displacement - micro scale



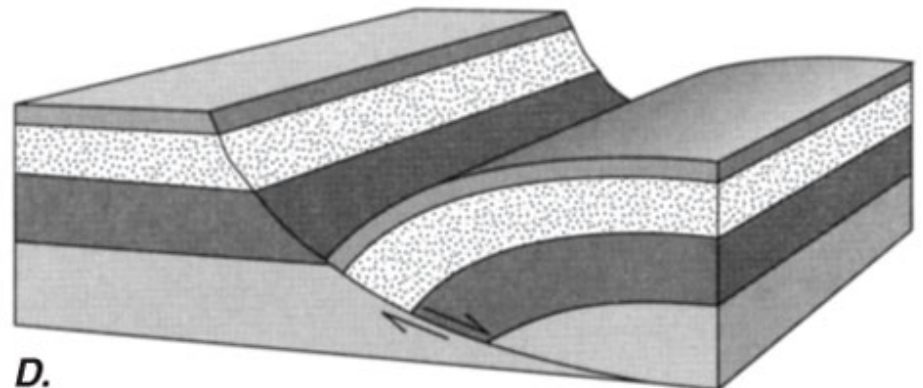
determination of movement sense from
tool marks

displacement - macro scale



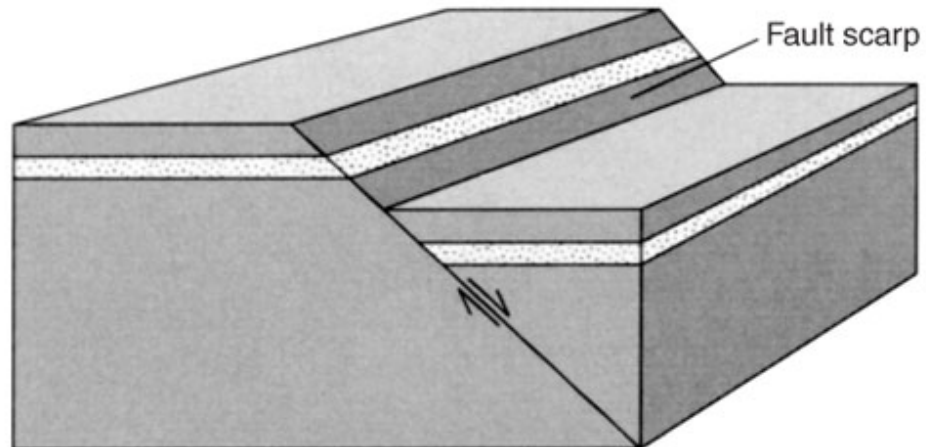
B.

Movement sense from
drag-folds and
roll-over anticlines

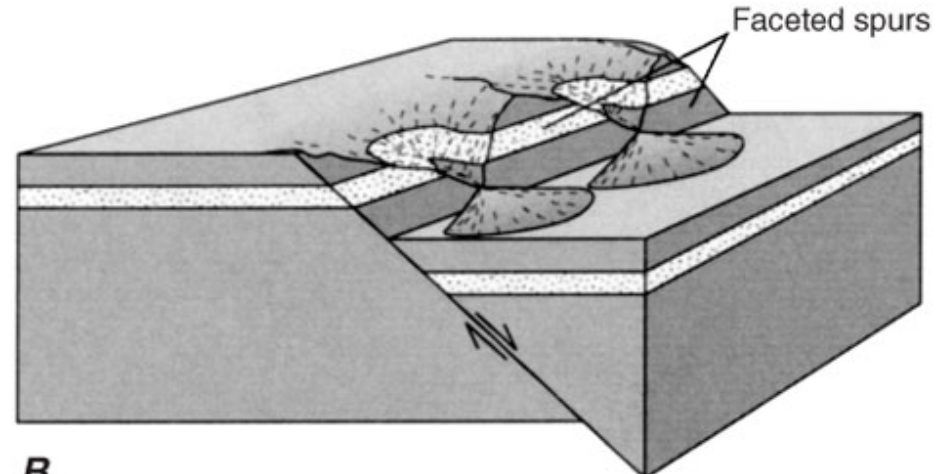


D.

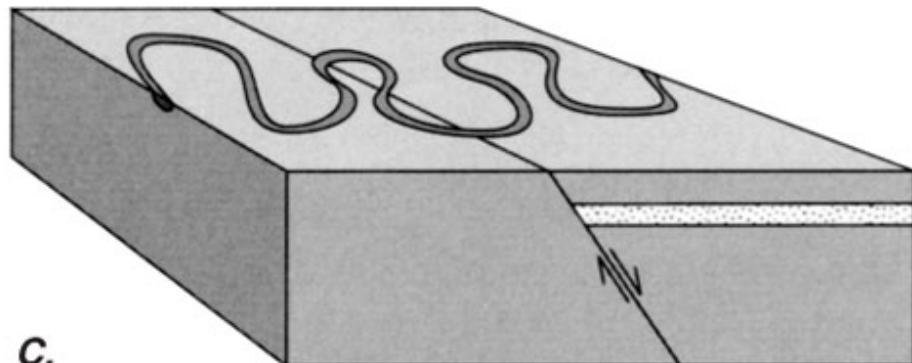
displacement - macro scale



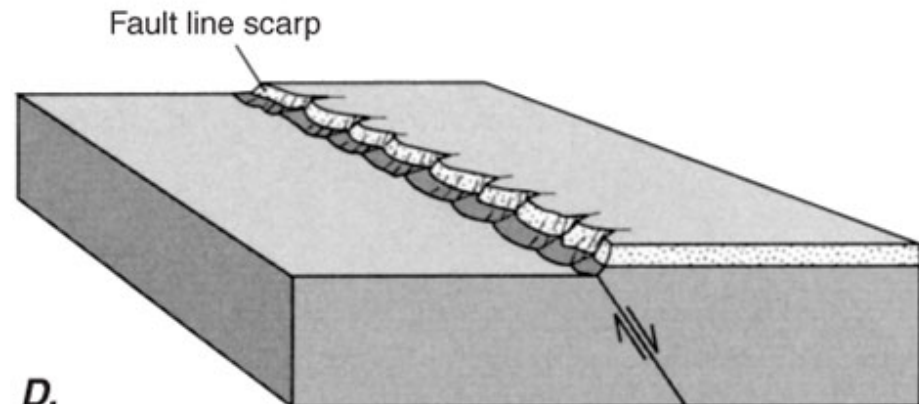
A.



B.



C.



D.

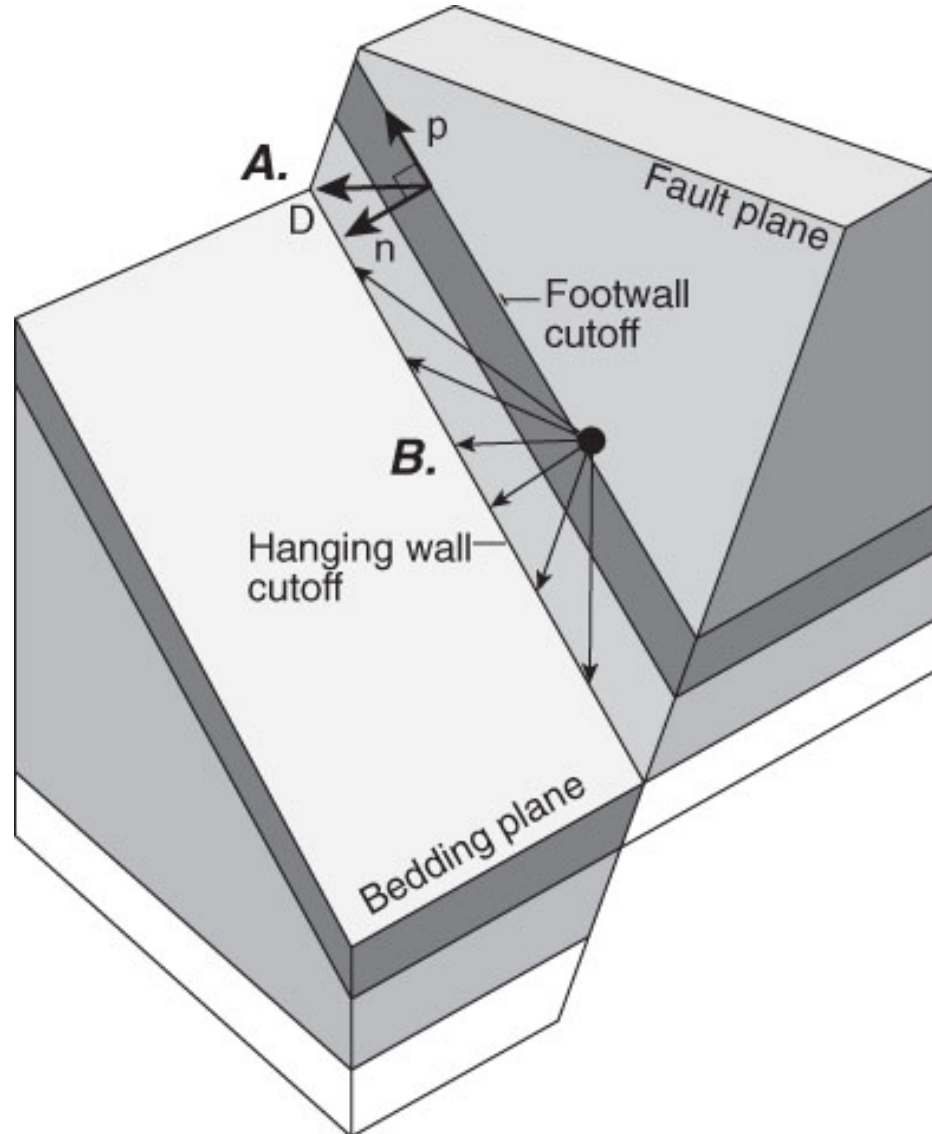
determination of movement sense from fault scarps, erosional features, stratigraphic displacement, eroded fault scarps

displacement - macro scale



Movement sense from displaced rivers

displacement - markers



faulted planar features
are non-unique
movement indicators

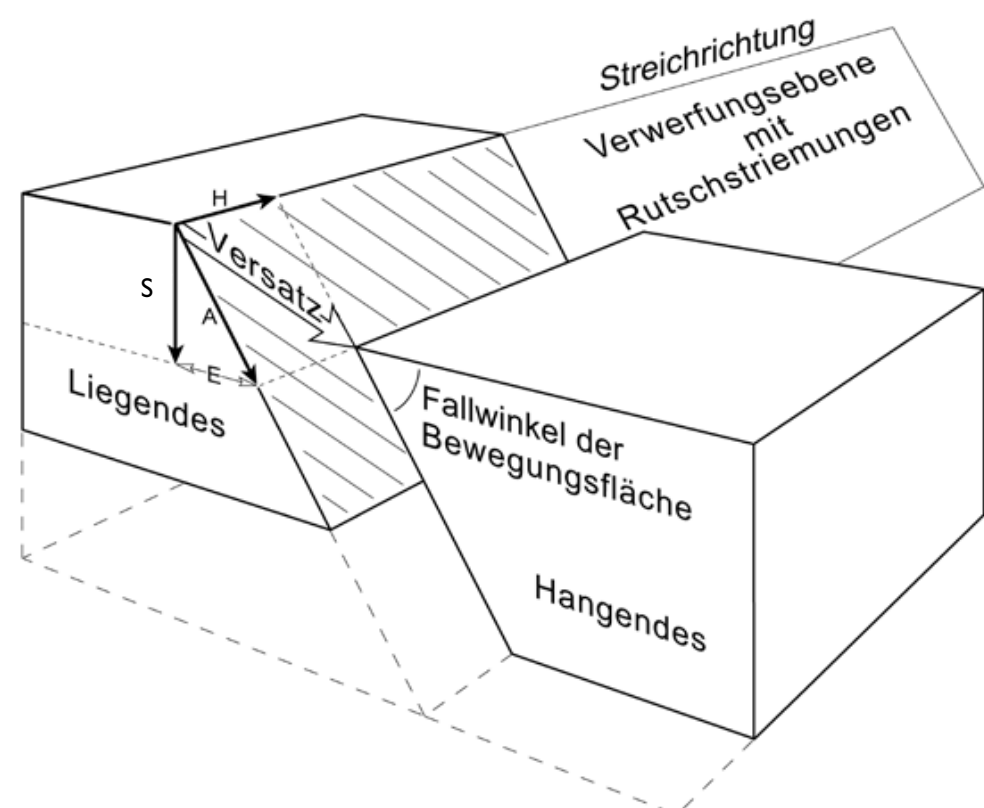
Verschiebungsvektor

In der Verwerfungsebene

- H Horizontale Verschiebungskomponente
(strike-slip component)
- A Abschiebungskomponente
(dip slip component)

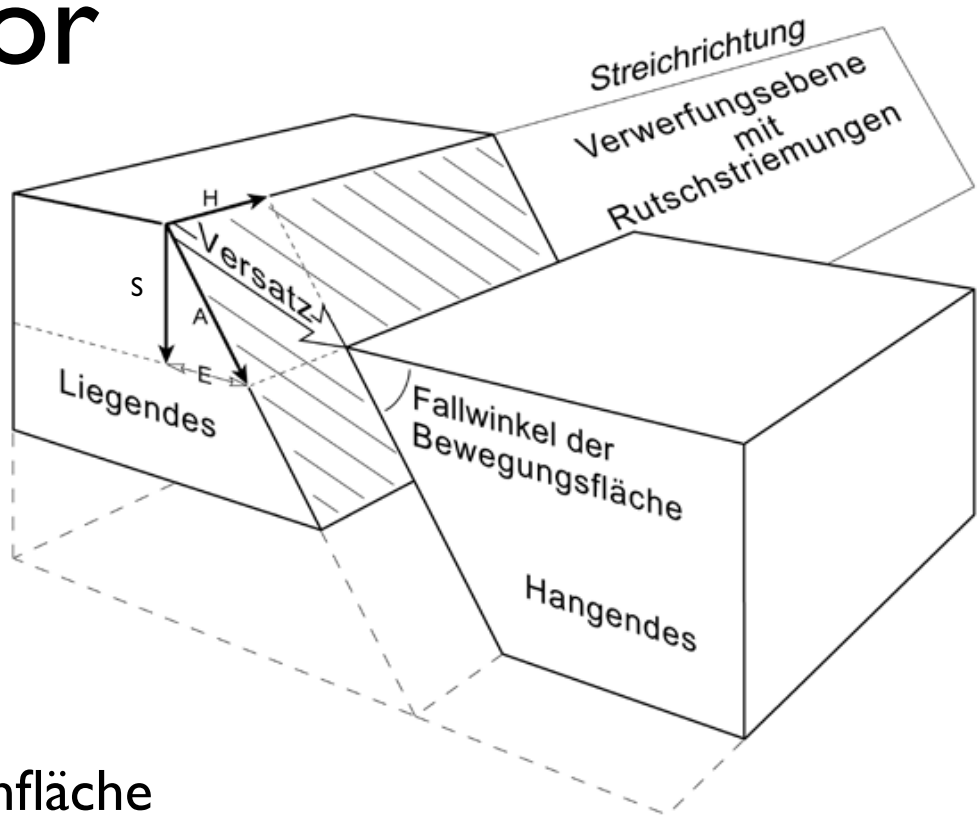
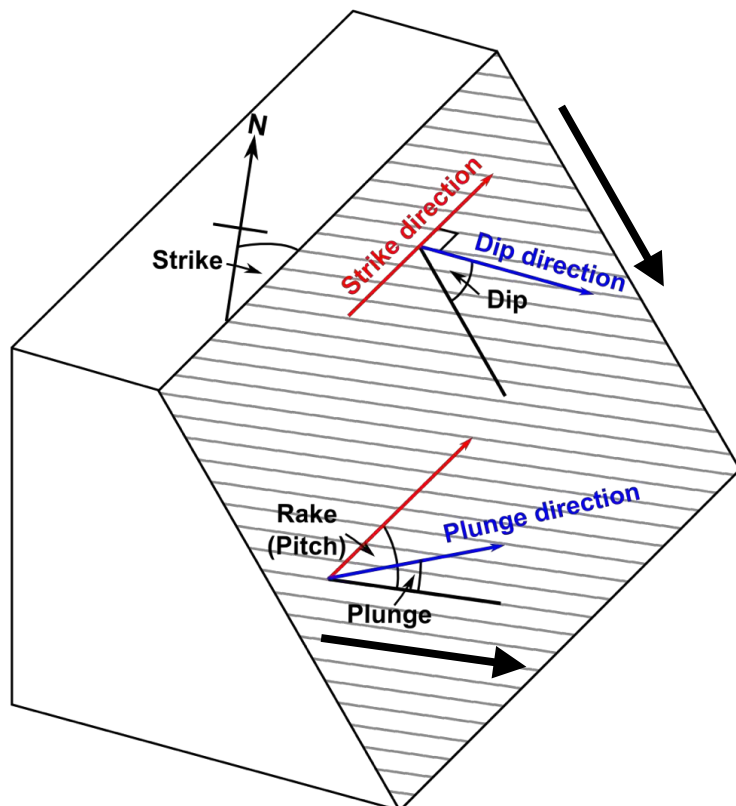
Im Profil

- E Dehnungsbetrag (heave)
- S Sprunghöhe (throw)
(vertikale Verschiebungs-
komponente)



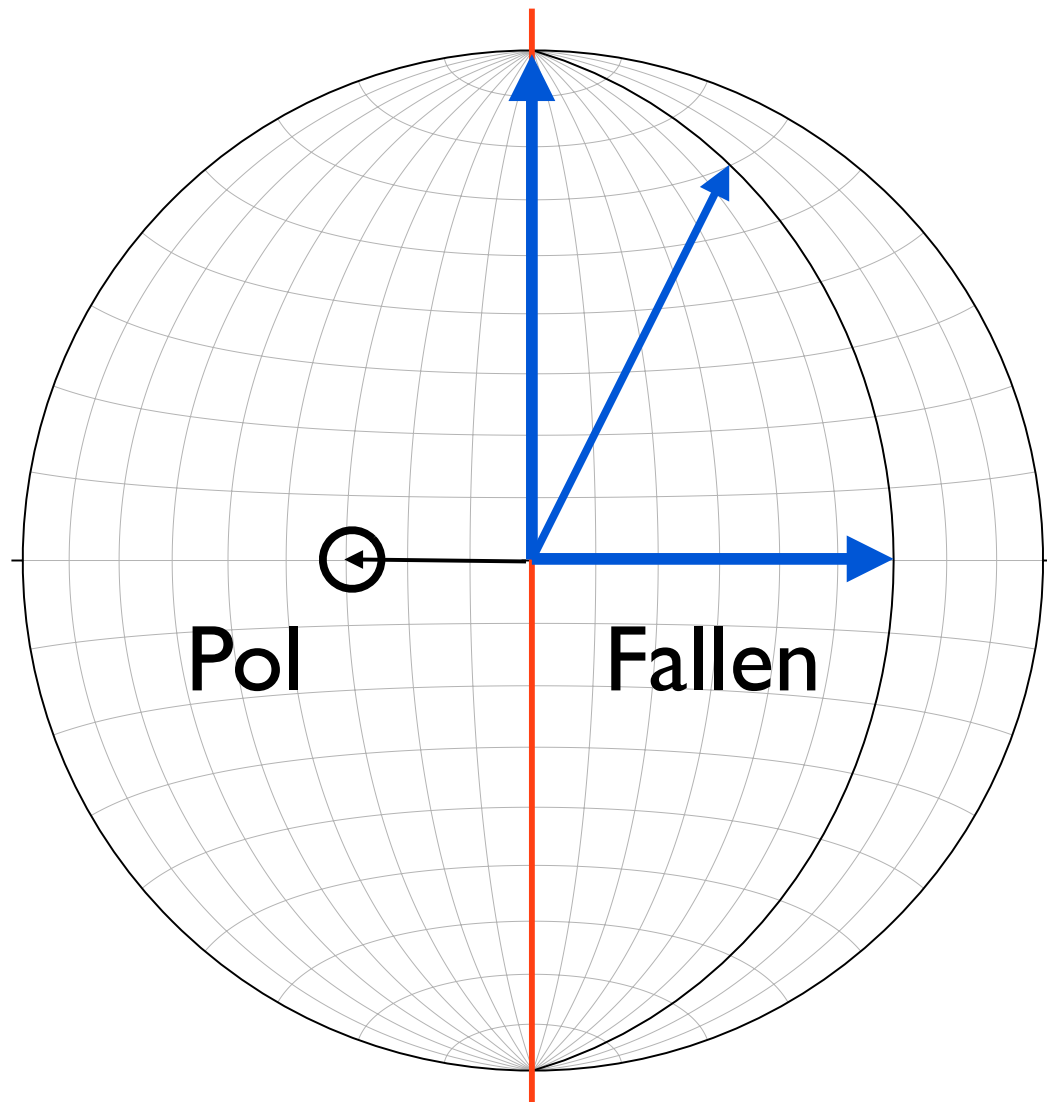
Verschiebungsvektor

- E Dehnungsbetrag (heave)
- S Sprunghöhe (throw)
(vertikale Verschiebungskomponente)
- H Horizontale Verschiebungskomponente
(strike-slip component)
- A Abschiebungskomponente
(dip slip component)

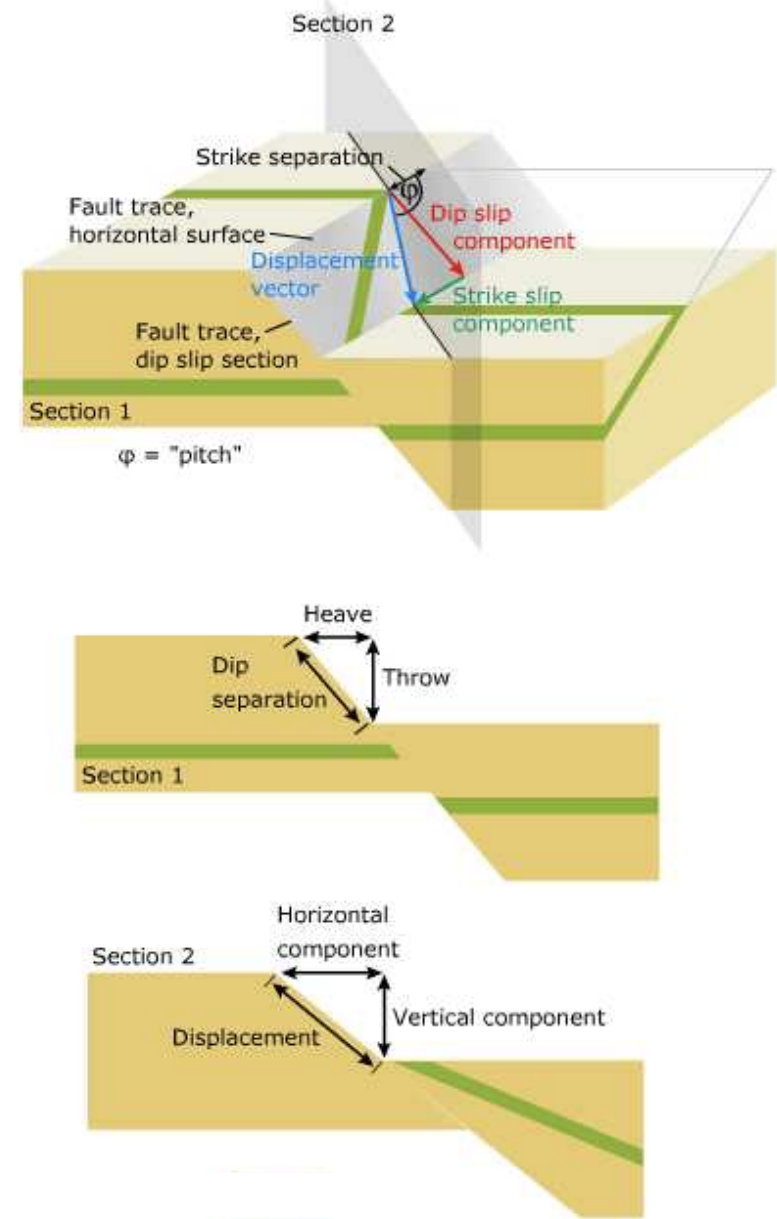
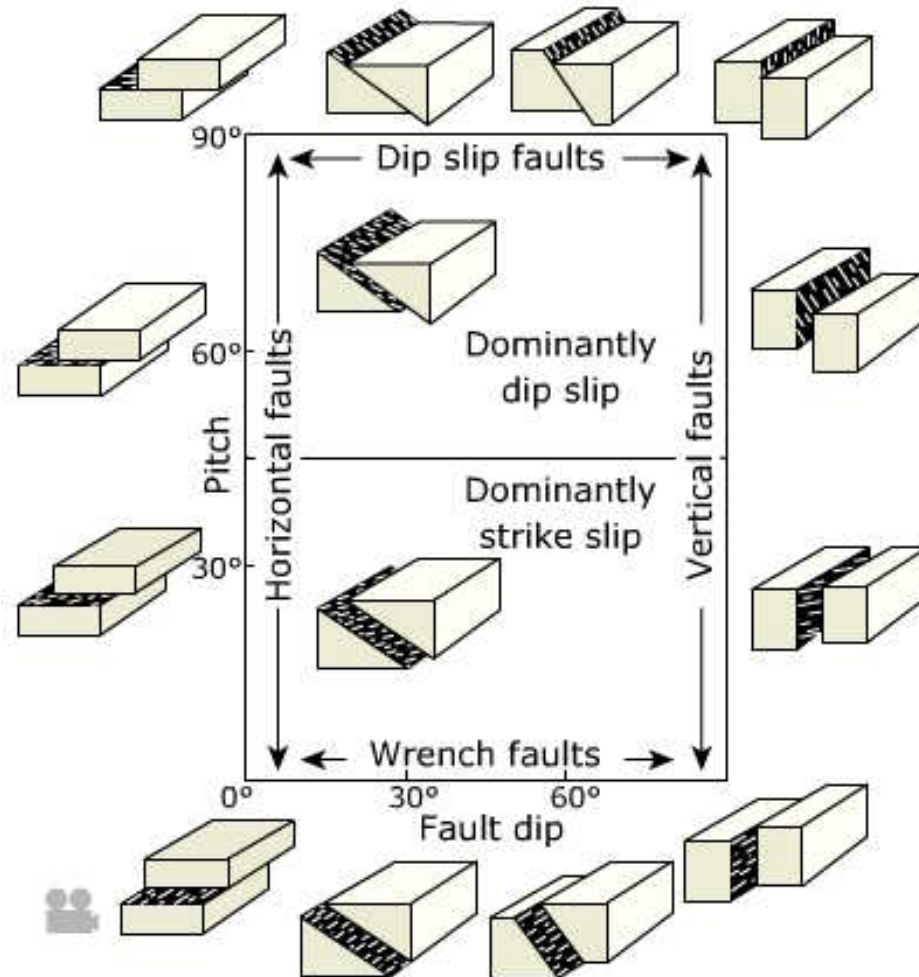


Bruchfläche
Raumlage: (Ein-)Fallen
dip-direction/dip

Linear (Striemung, Versatz, ...)
Raumlage: (Ein-)Tauchen
plunge-direction/plunge
pitch = Winkel <**strike-direction**, Linear>



Azimuth

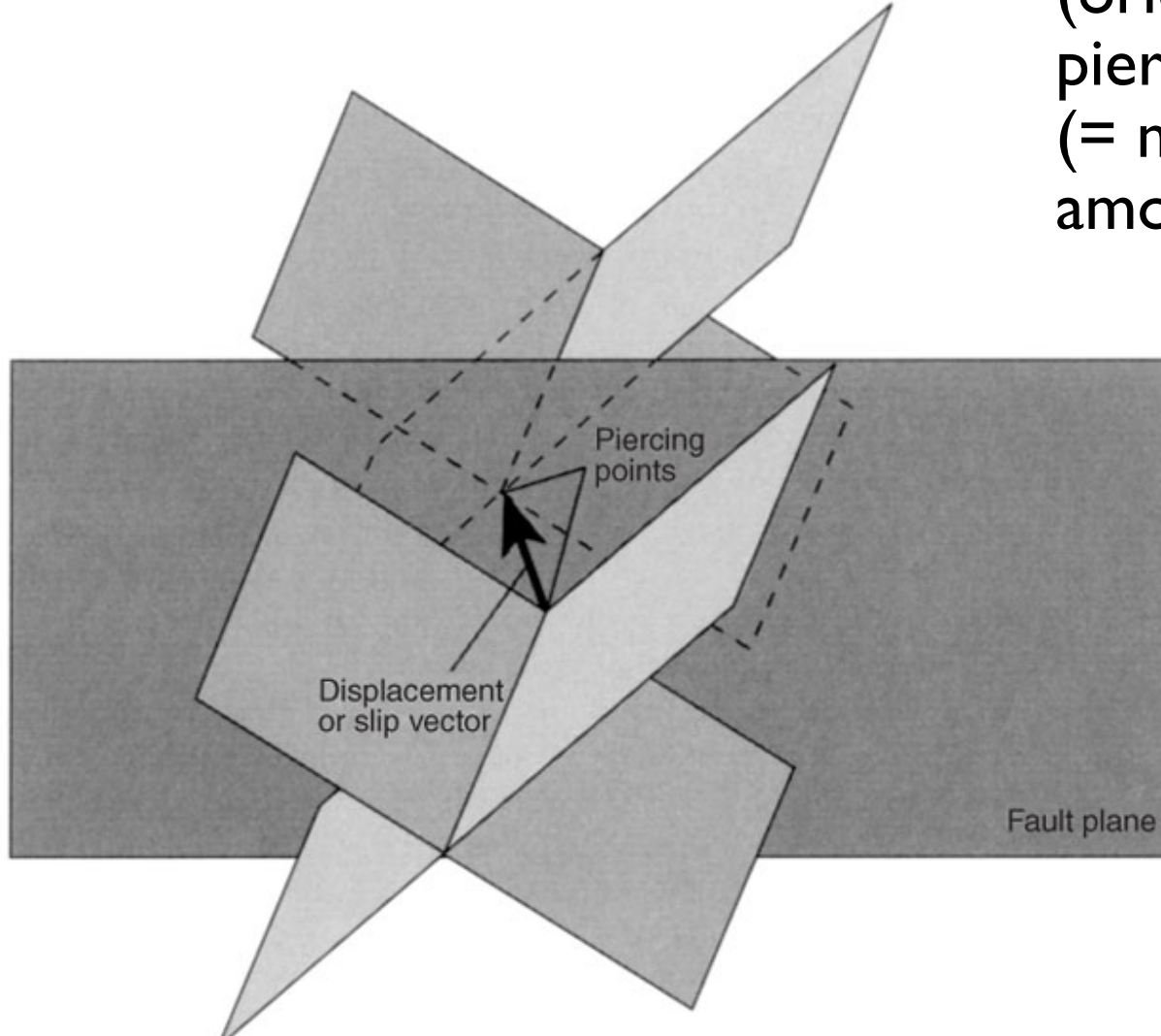


<http://folk.uib.no/nglhe/Emodules.html>

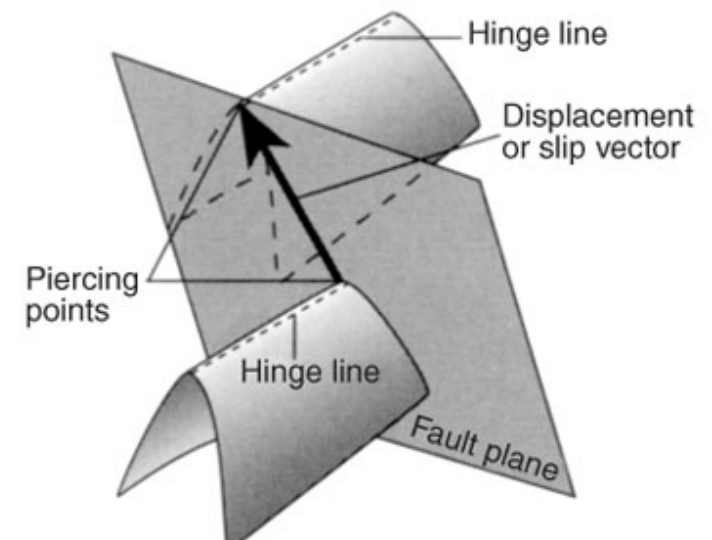
<http://folk.uib.no/nglhe/e-modules/Chapter%208/08%20Faults.swf>

piercing points

displacement vector
(orientation + length) from
piercing points
(= movement sense +
amount of displacement)

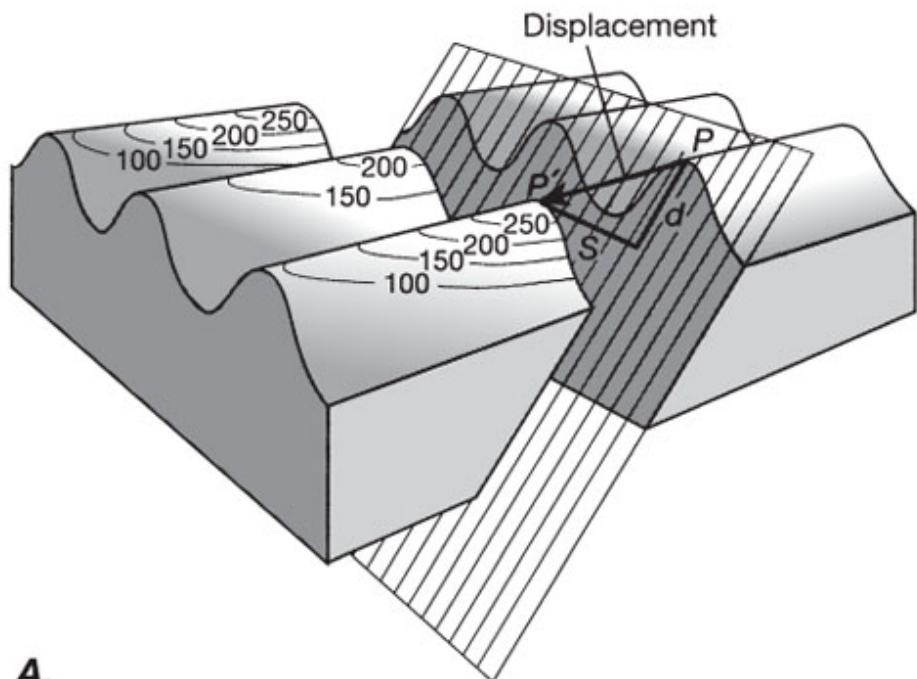


A.

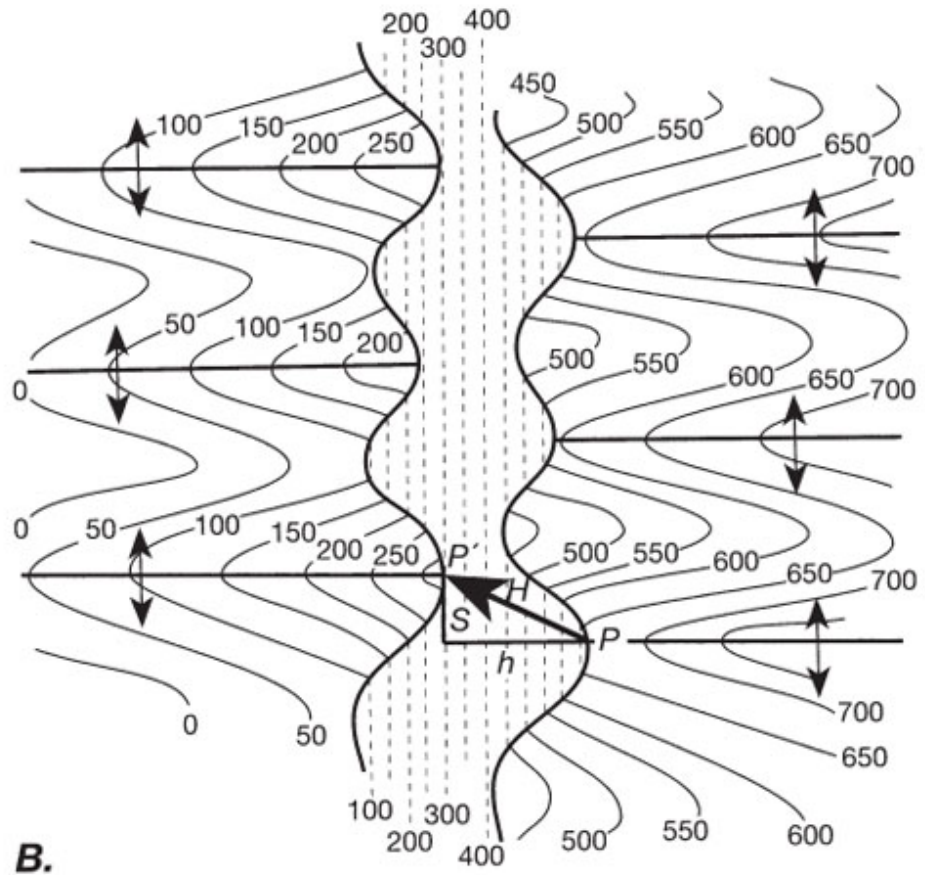


B.

piercing points

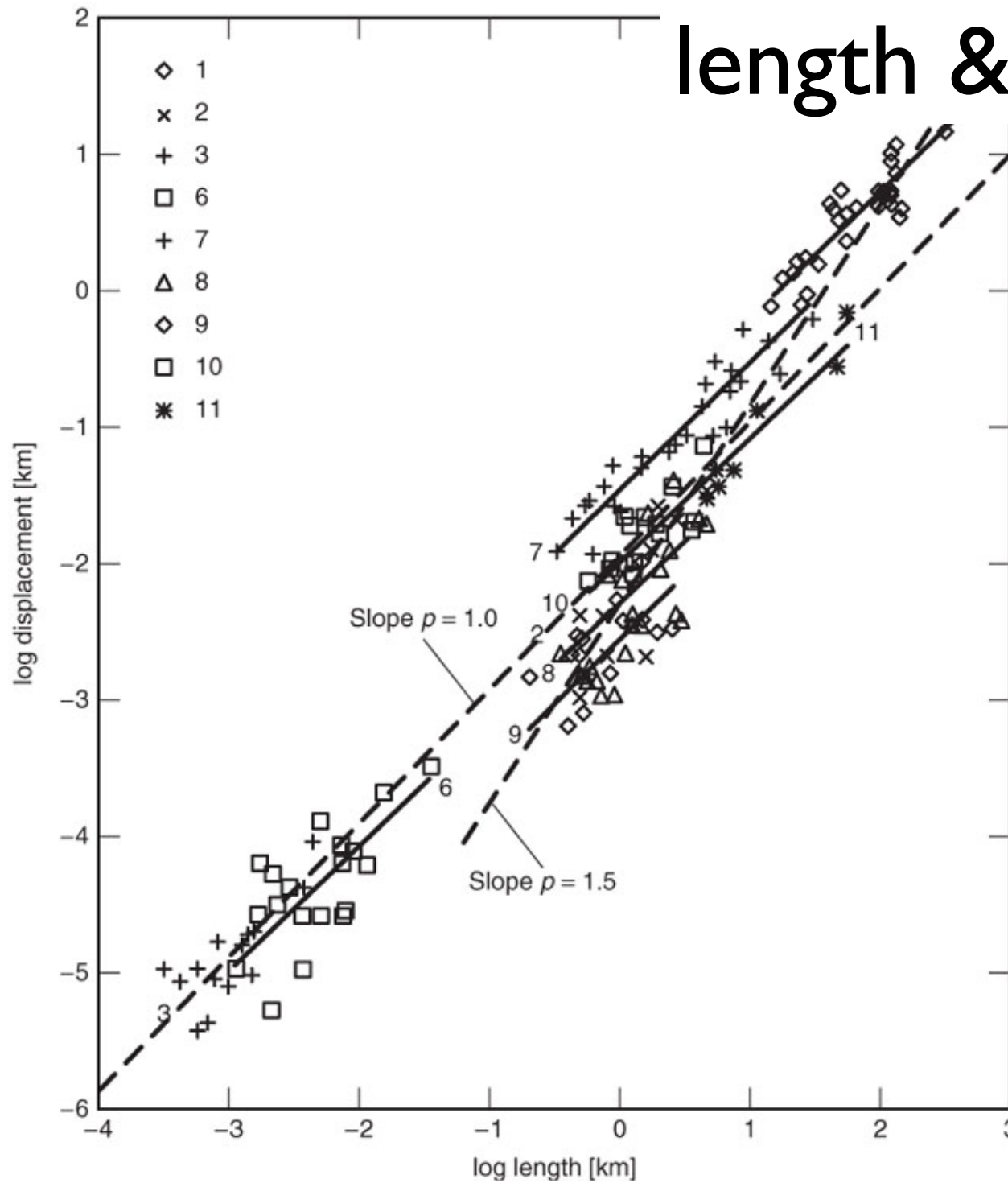


A.



B.

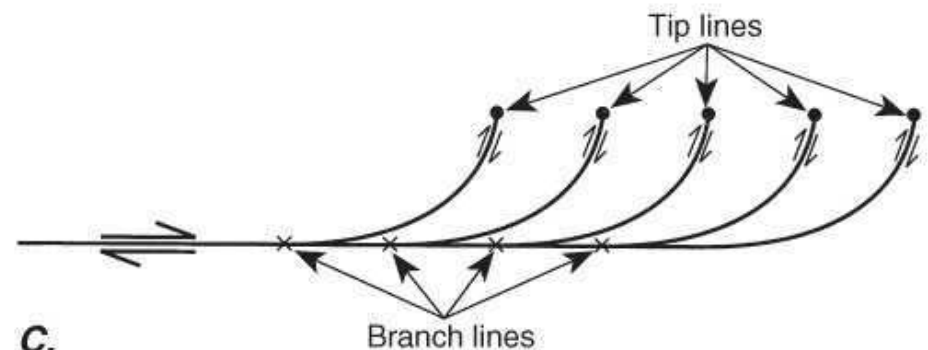
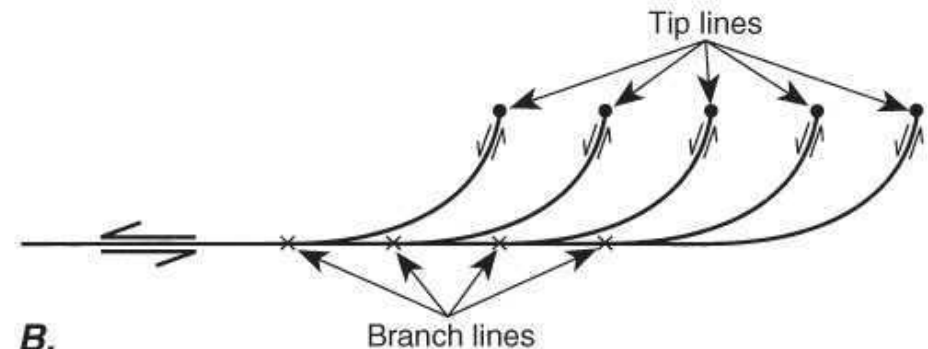
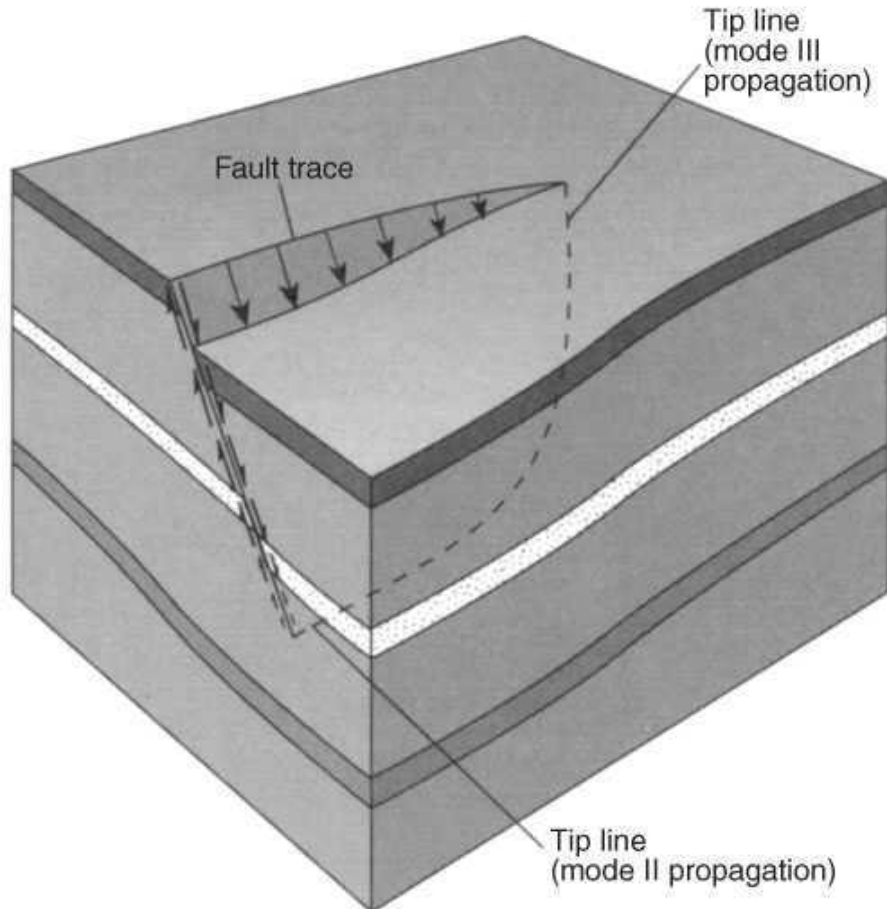
Example of piercing point construction using structural elevations



length & displacement

Relationship
between fault
displacement and
fault length:
“Faults do not run
across the earth”

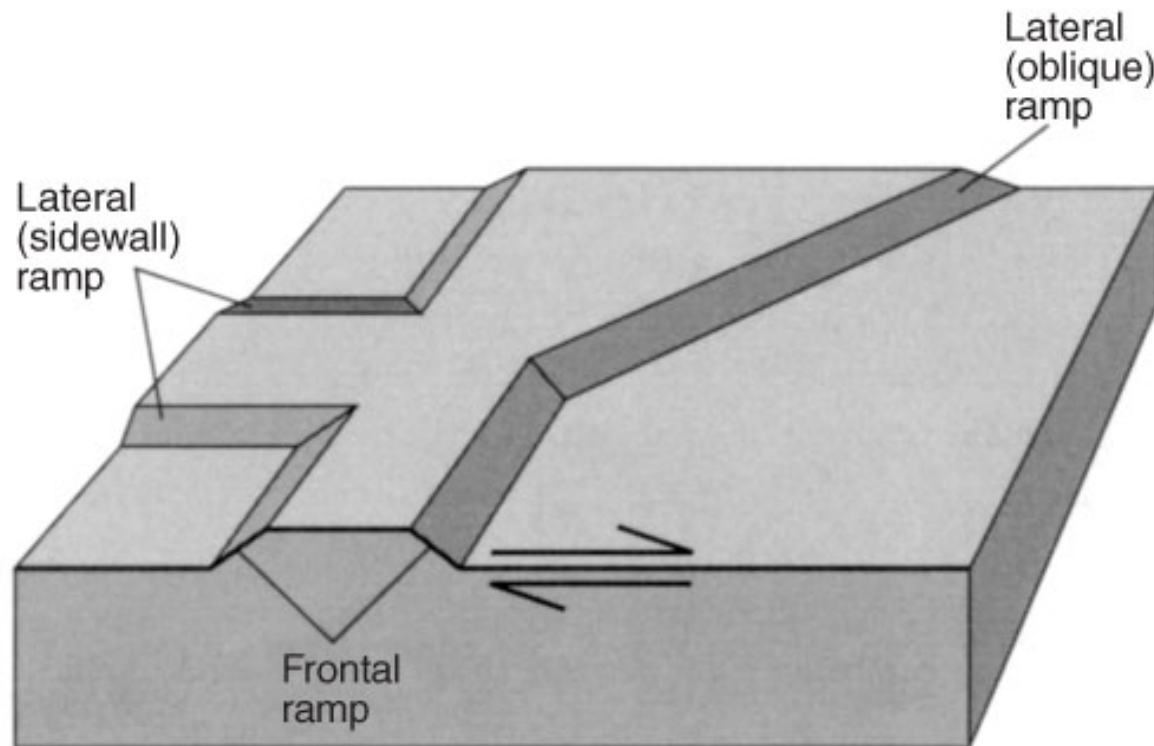
fault termination



special termination line: the tip line marks the end of displacement

splay faults branch out from the main fault along branch lines

fault ramps

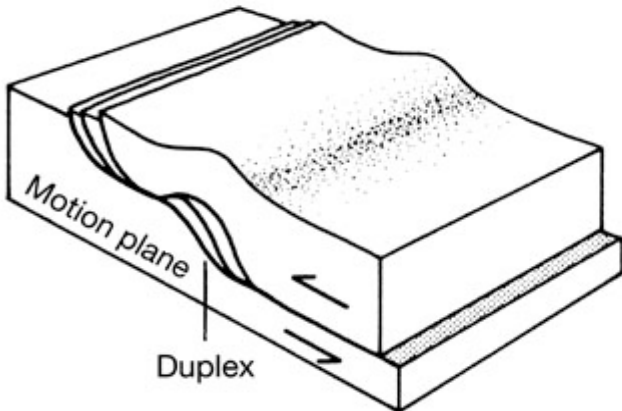


B. Extensional ramp or bend

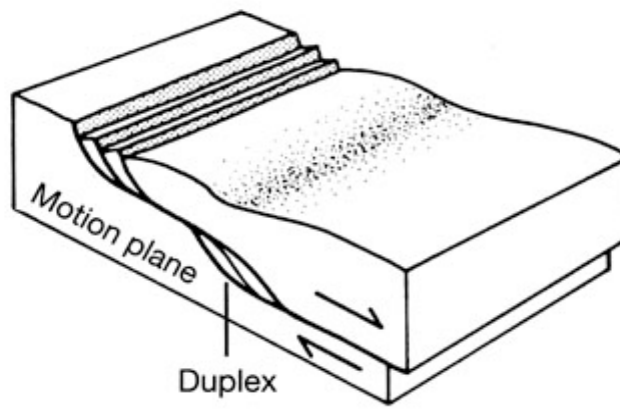
C. Contractional ramp or bend

faults step up at ramps

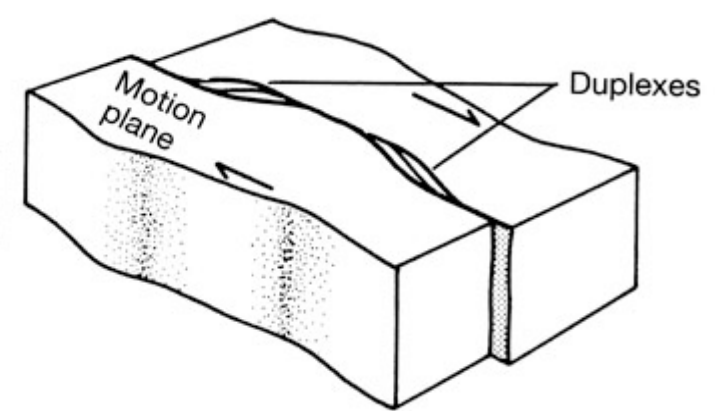
duplex structures



A. Thrust dip-slip



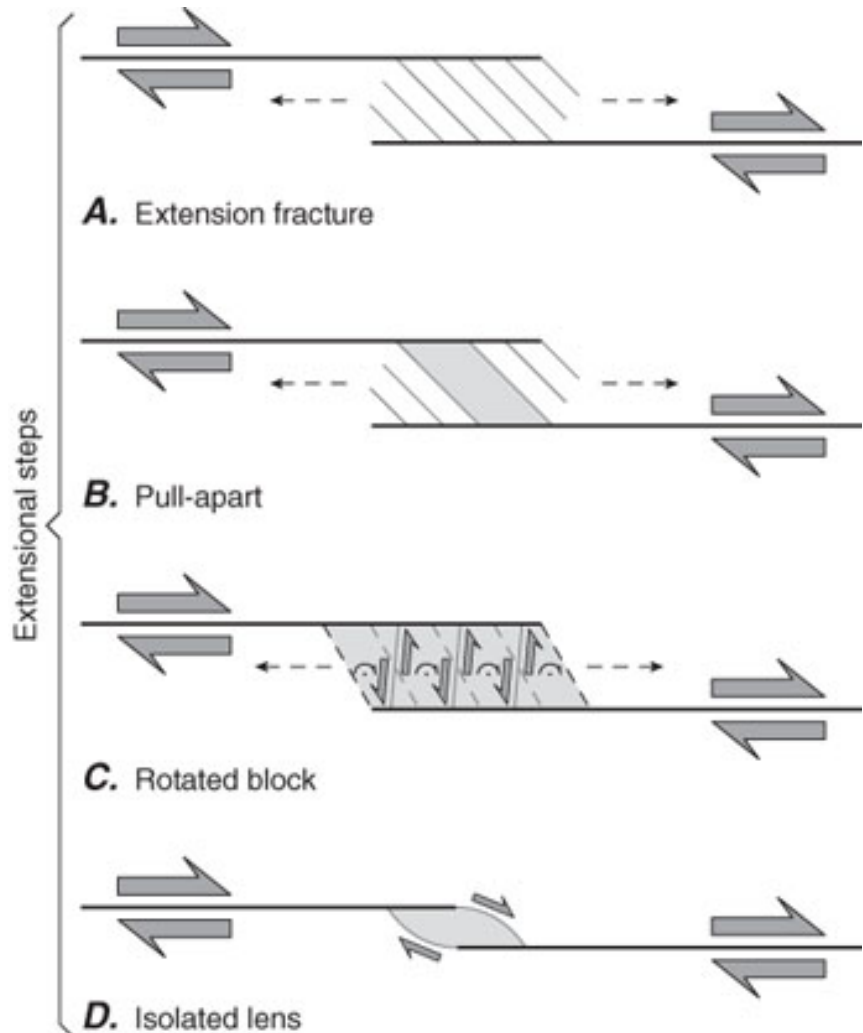
B. Normal dip-slip



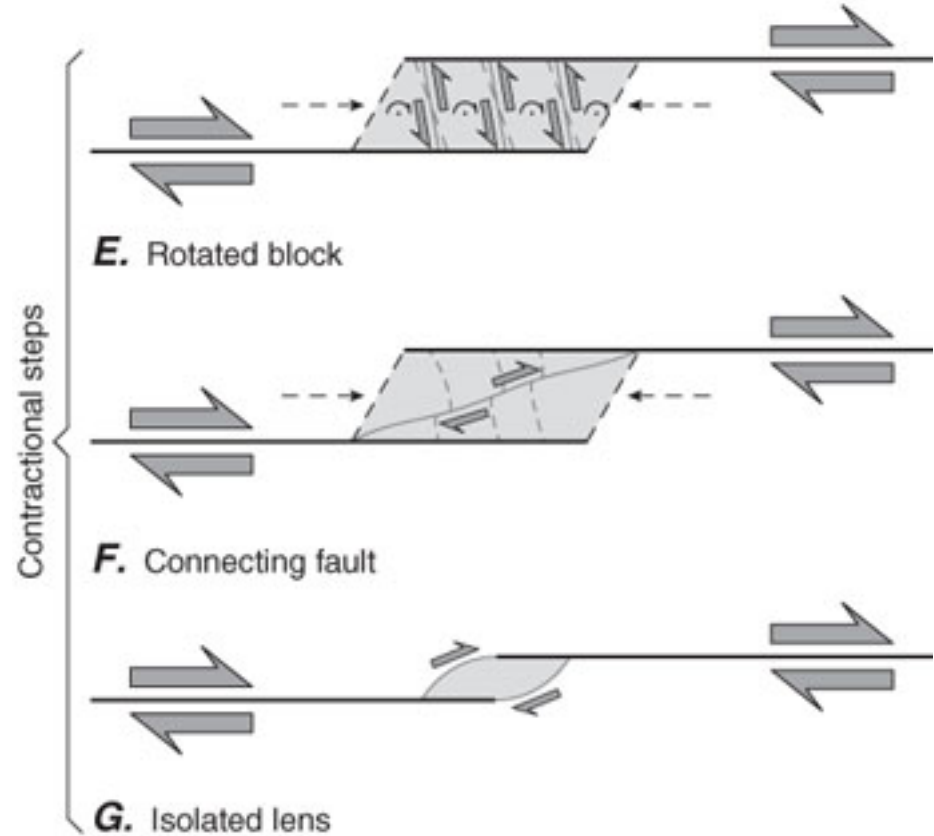
C. Strike-slip dextral

duplexes are bounded by 2 faults

fault steps



extension



contraction

normal faults

Definition

Abschiebung

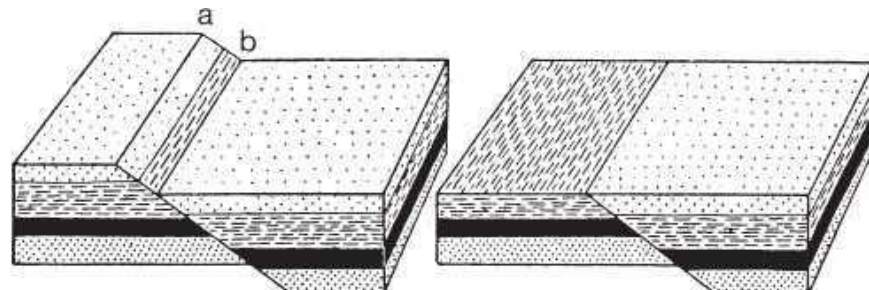
Normal Faults:

dominantly dip-slip faults

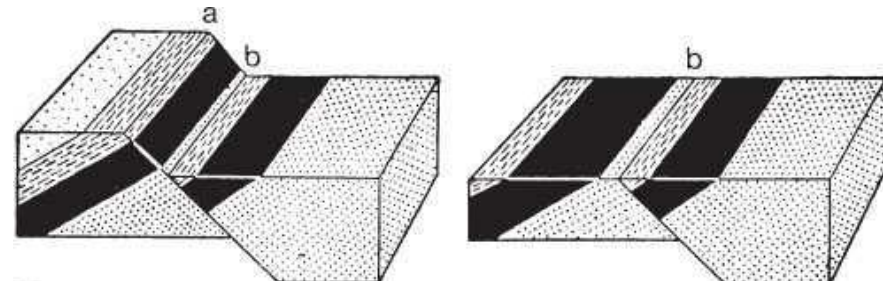
accommodate extension

normal faults

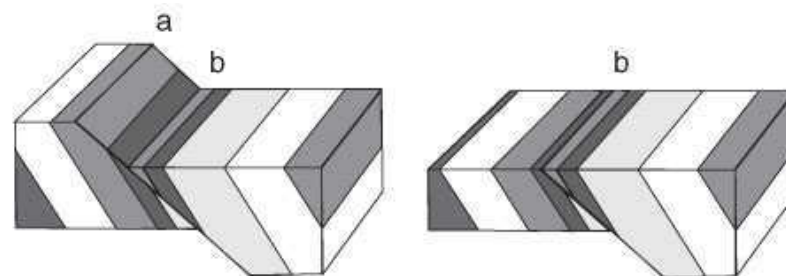
Abschiebung



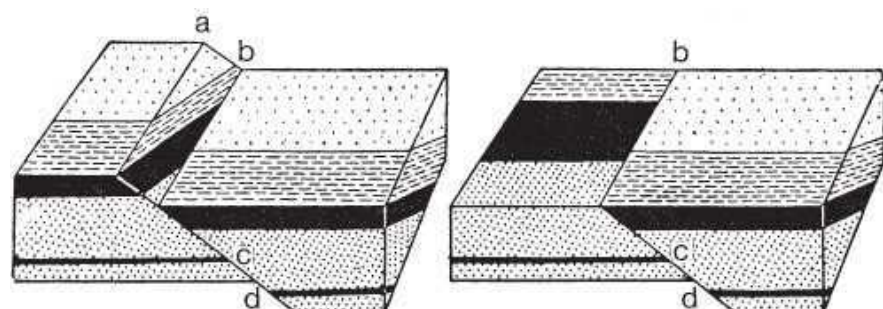
A.



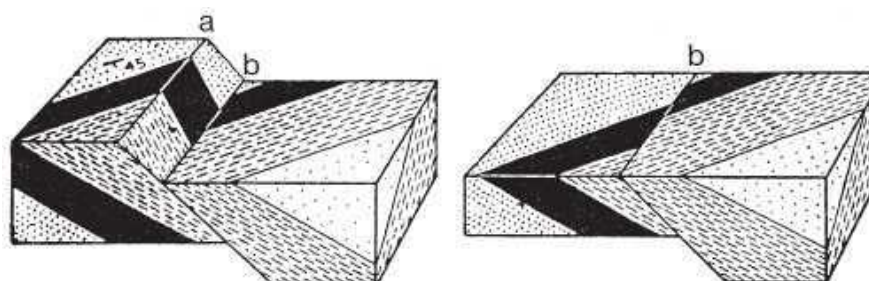
B.



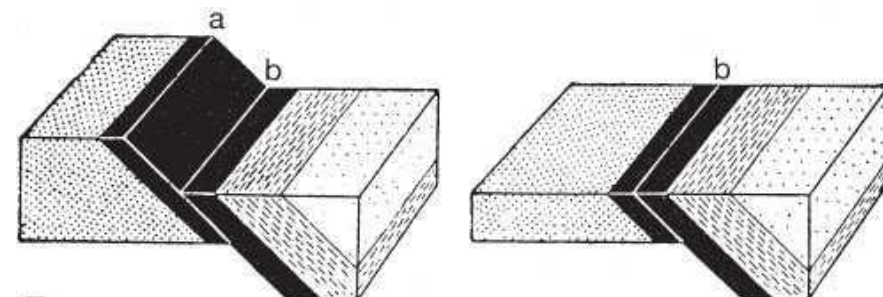
C.



D.

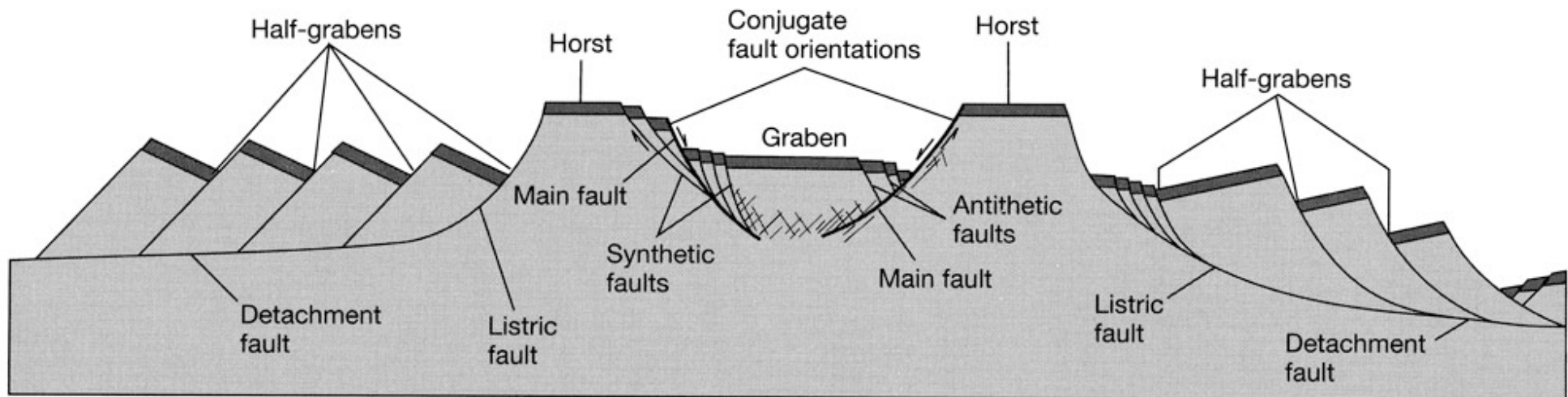


E.



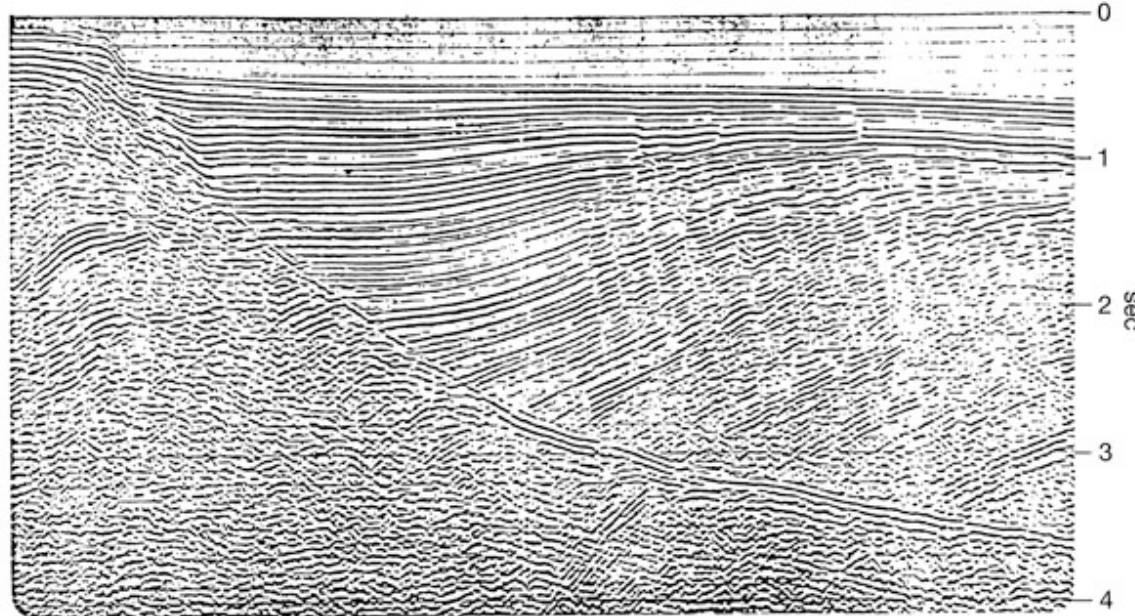
F.

normal fault system



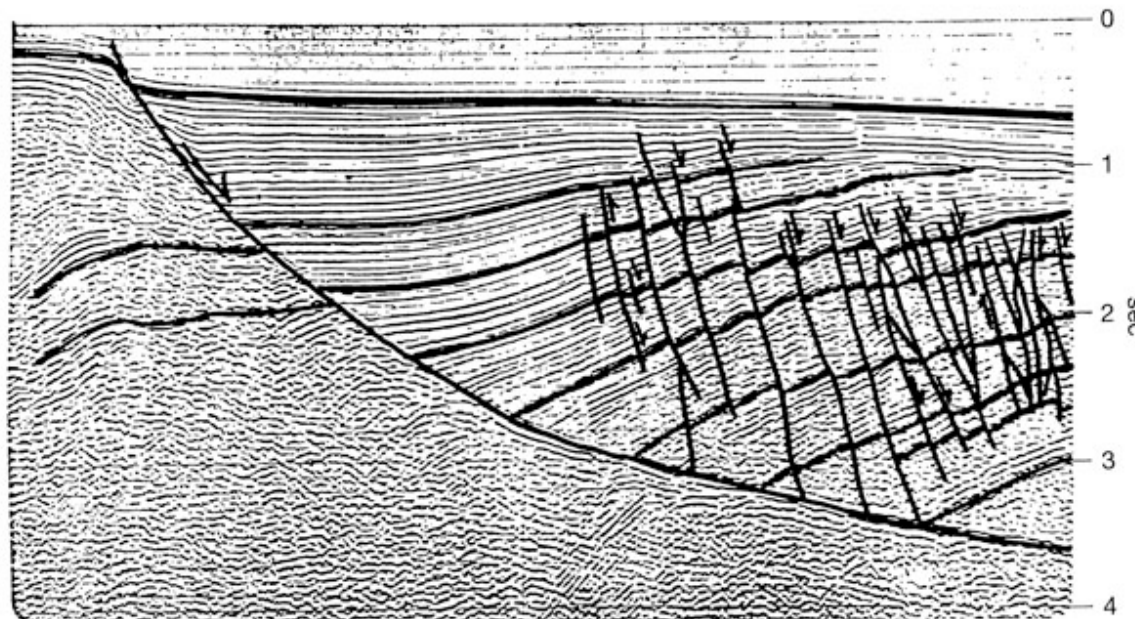
Horst, Graben, Halbgraben, listrische
Abschiebung, Abscherhorizont

synthetisch - antithetisch



A.

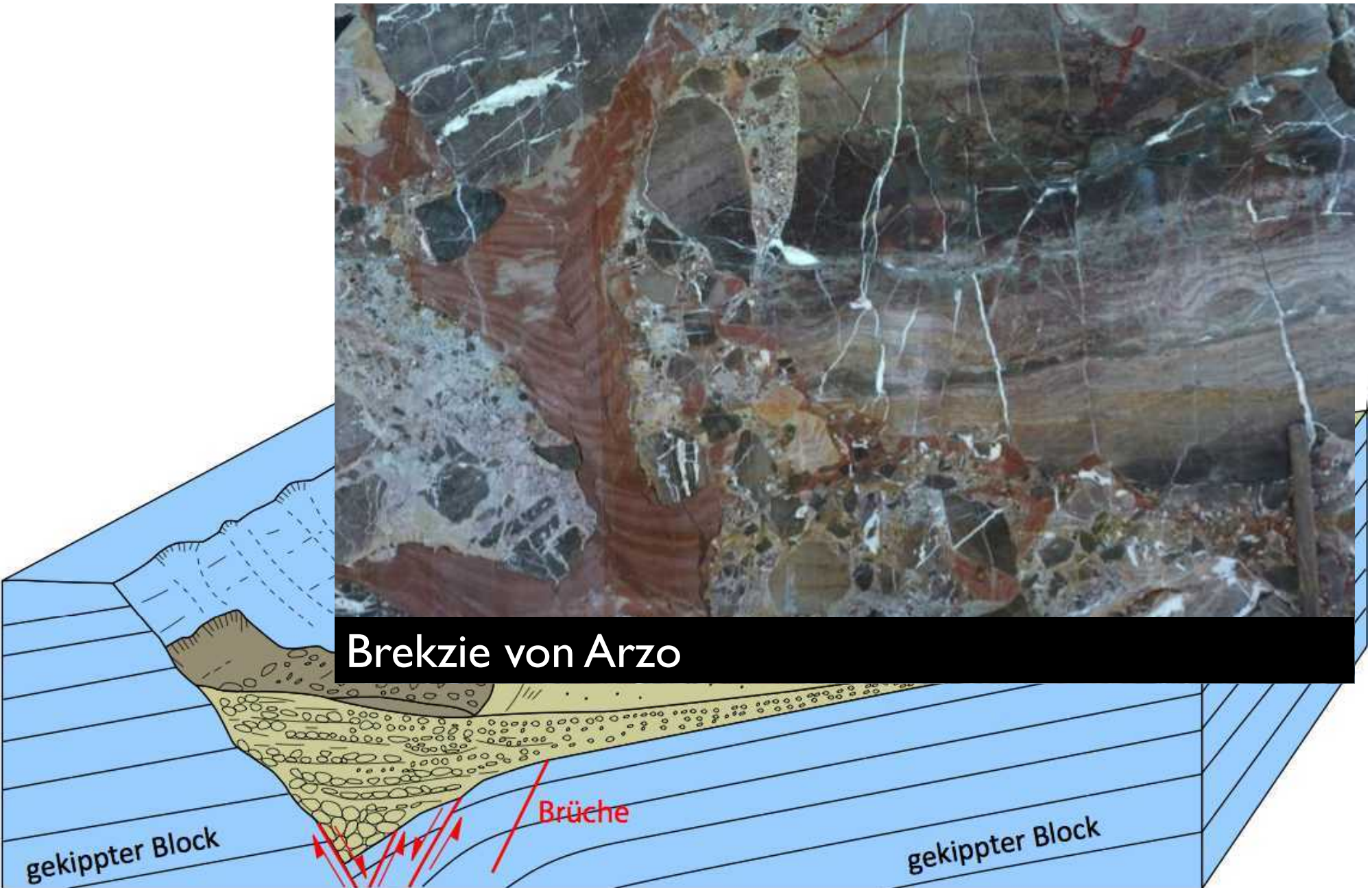
roll-over folds
(mostly anticlines)



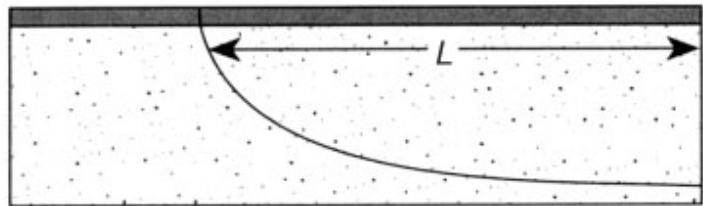
B.

associated with
listric faults
(+ synthetic faults)

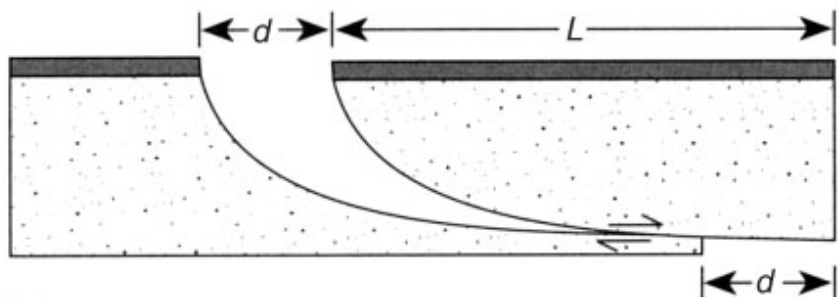
Schwelle von Arzo



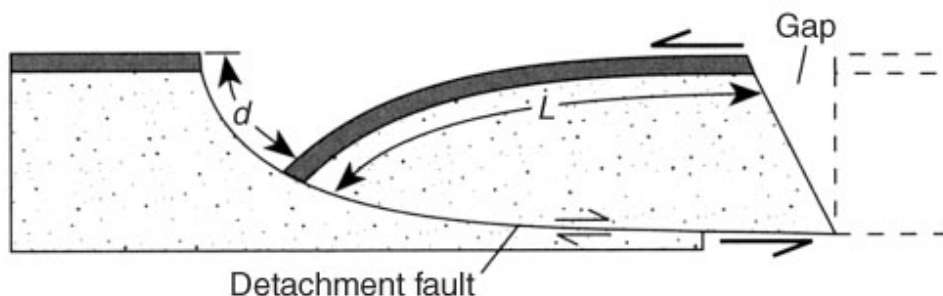
roll-over folds



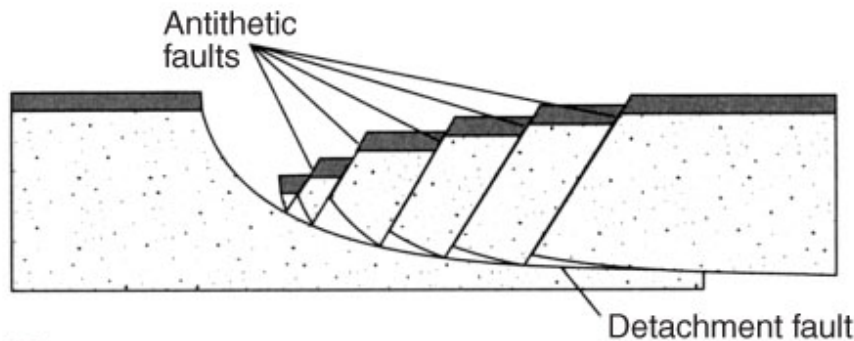
A.



B.



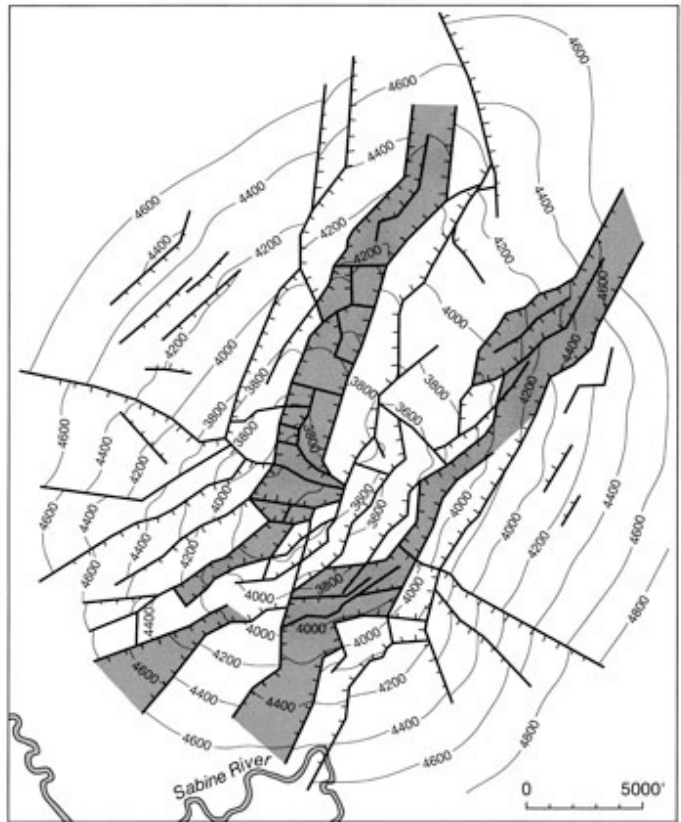
C.



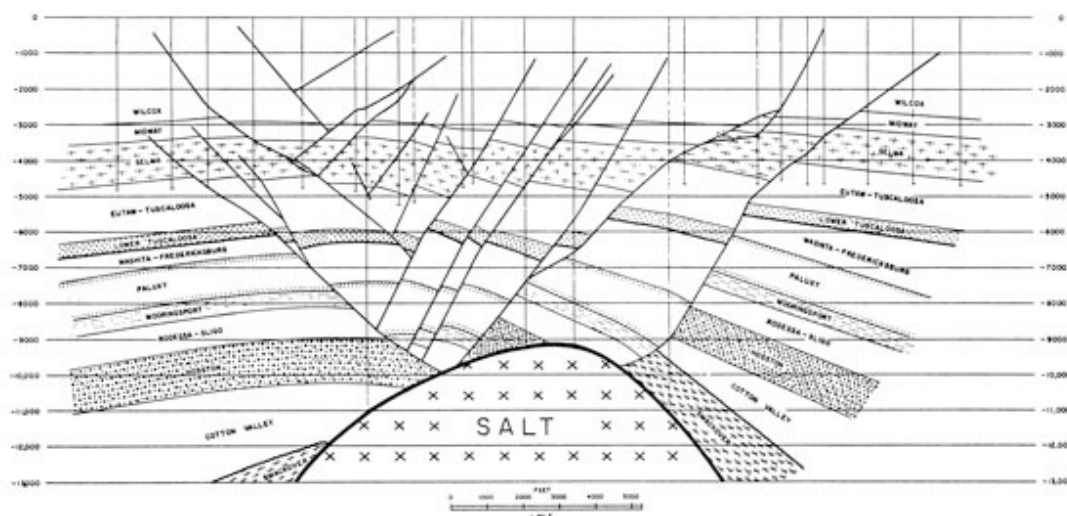
D.

antithetische
Flexur

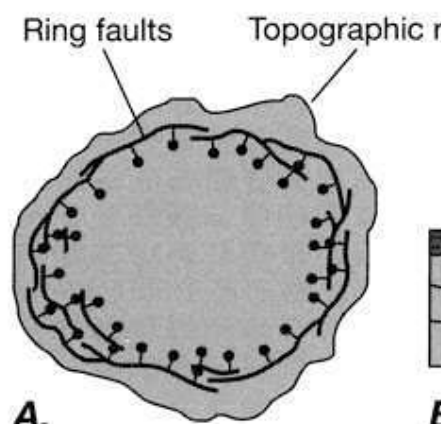
antithetische
Brüche



A.

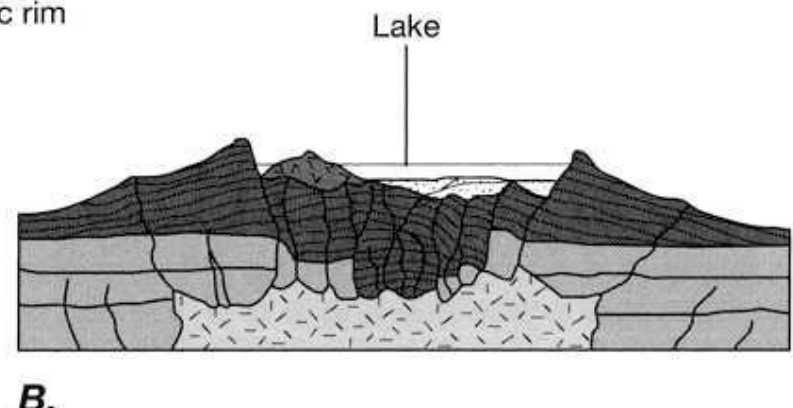


B.



A.

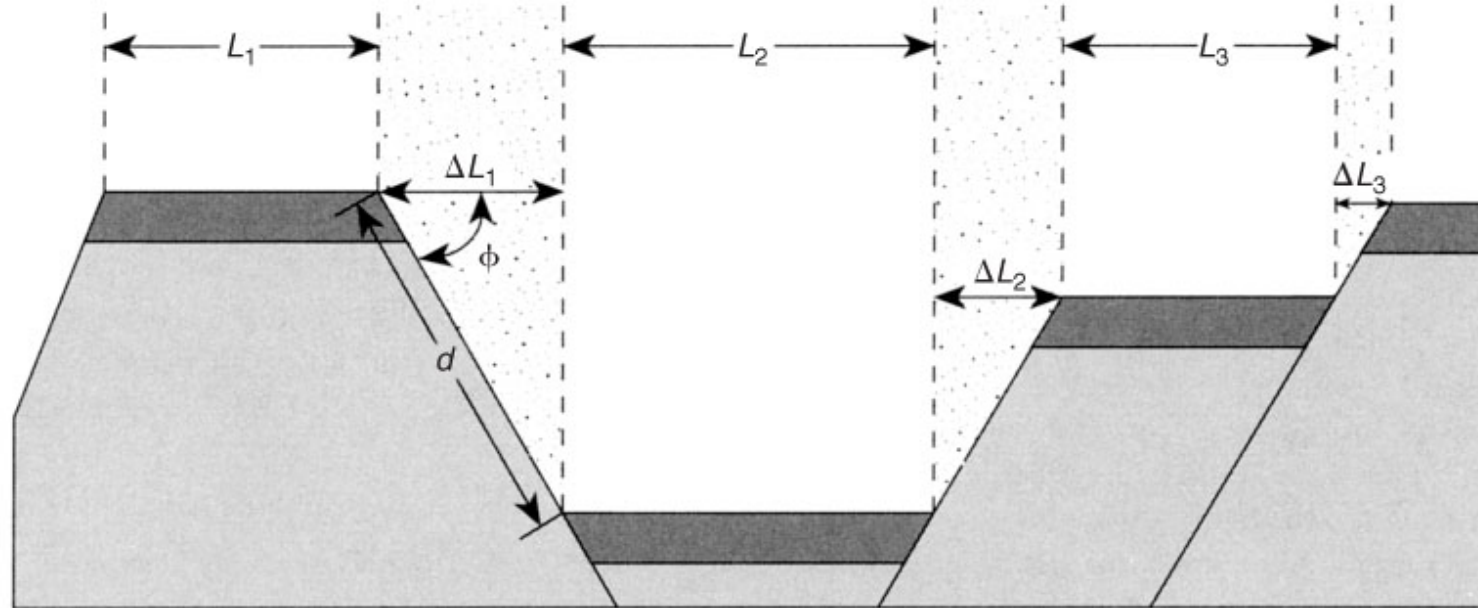
normal faults



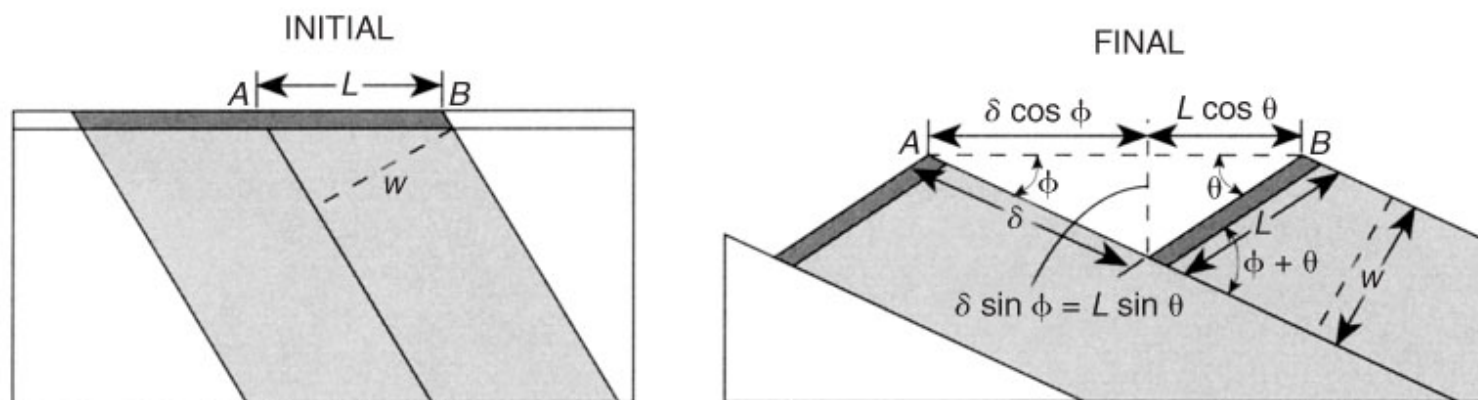
B.

associated with salt dome or intrusive body:
consequence of uplift and crustal extension

calculating extension



A.



B.

reverse faults

Definition

Auf- / Überschiebung

reverse or thrust faults:

commonly put older rocks over younger rocks

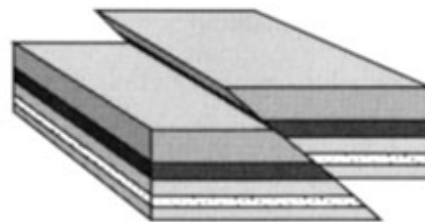
Reverse faults accommodate crustal shortening

Large areas of thrusted rocks = nappes

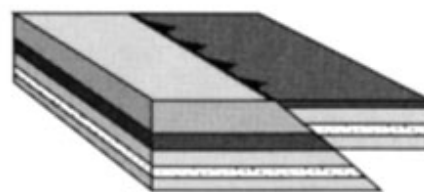
reverse fault: $> 45^\circ$ inclination

thrust: $\sim 30^\circ$ ($< 45^\circ$) inclination

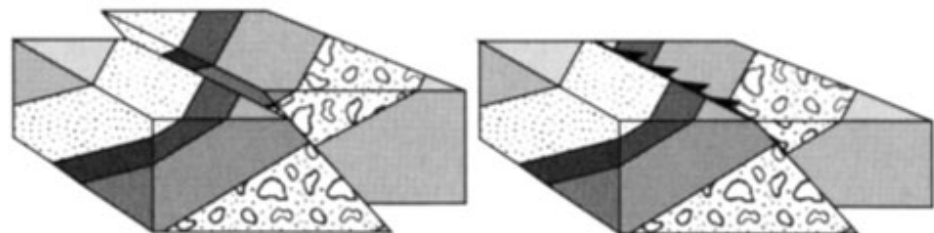
revers fault / thrust Auf- / Überschiebung



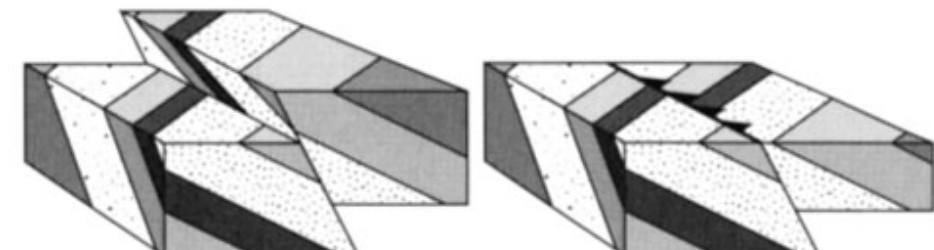
A.



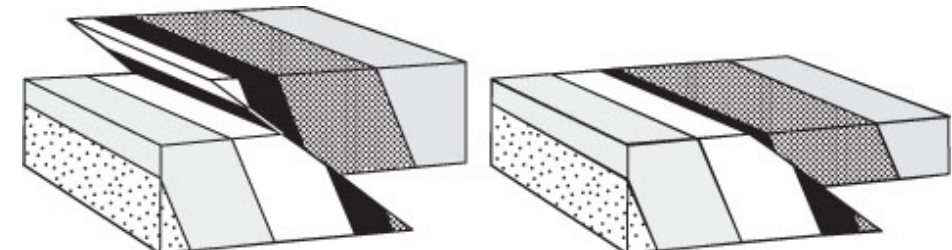
B.



C.

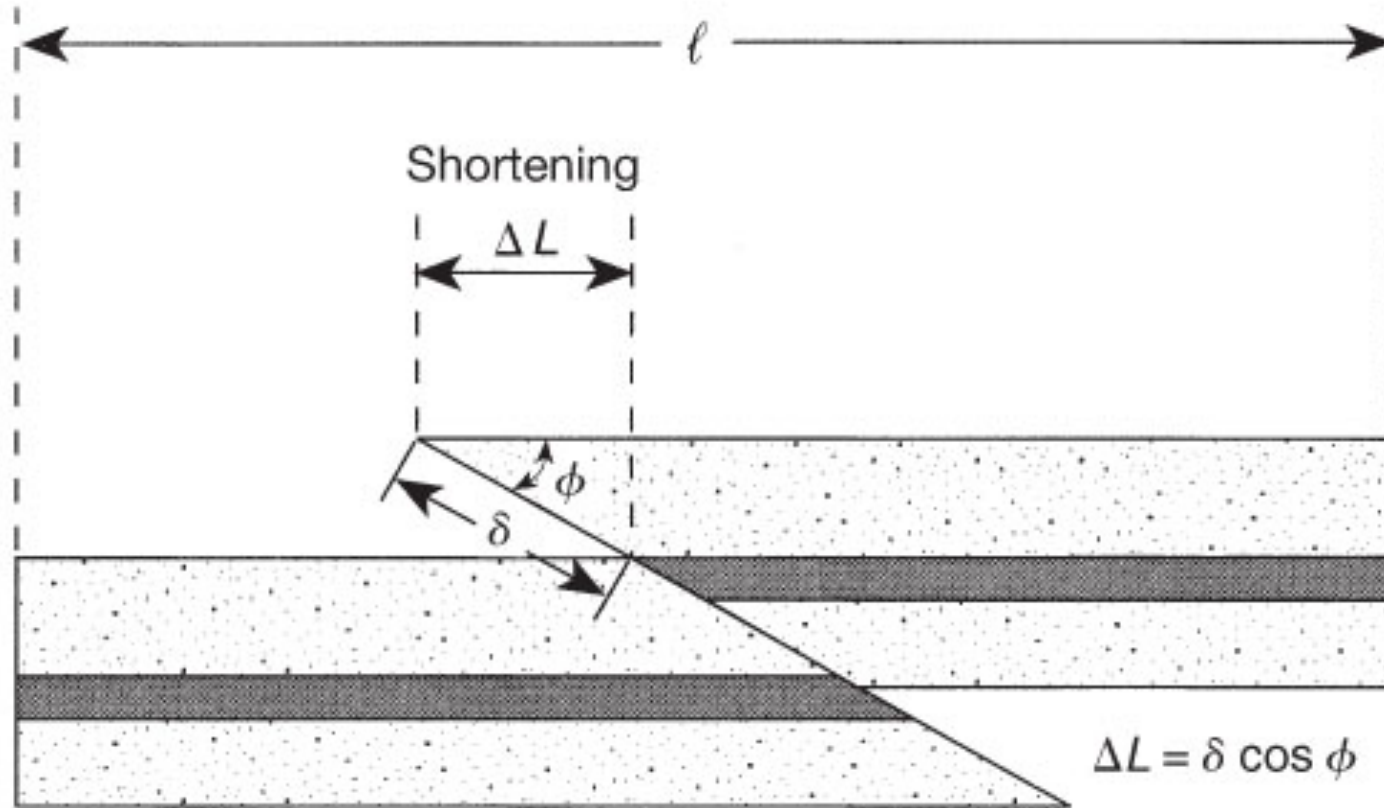


D.



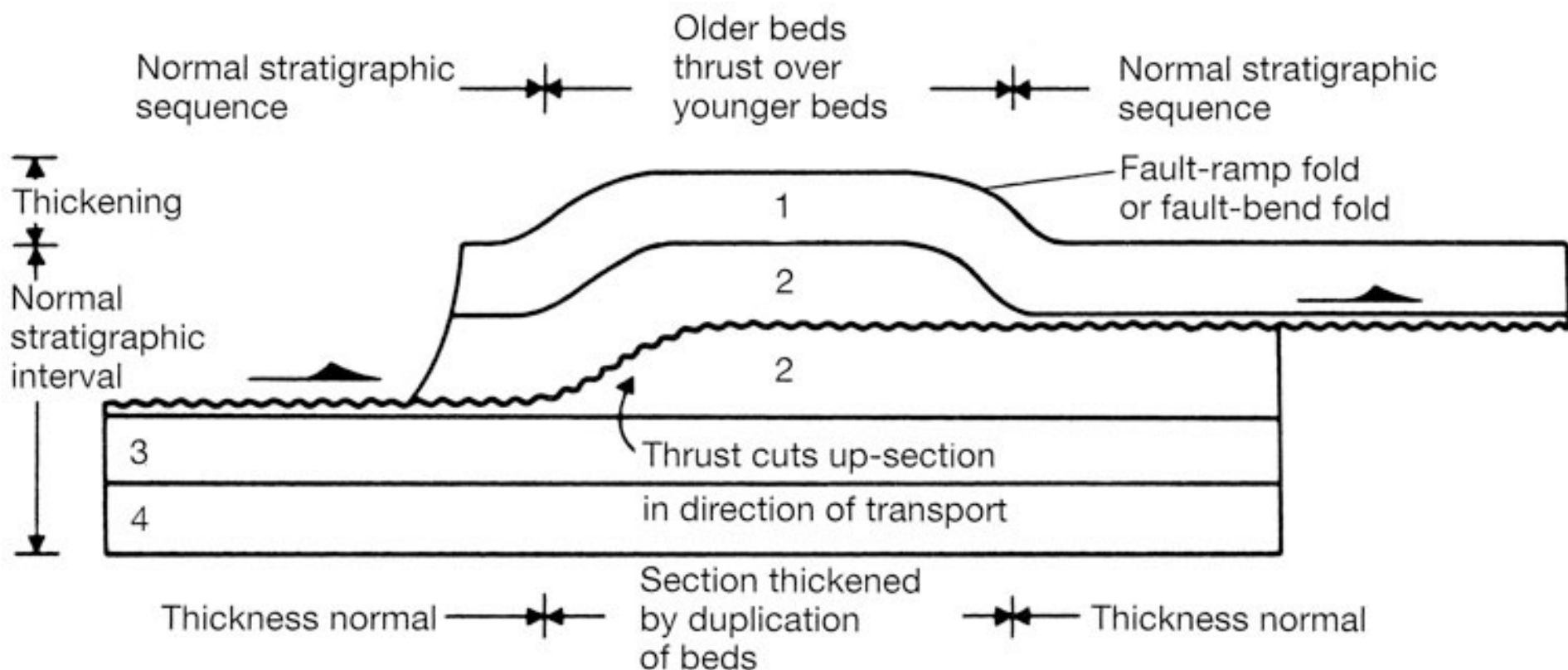
E.

Verkürzung

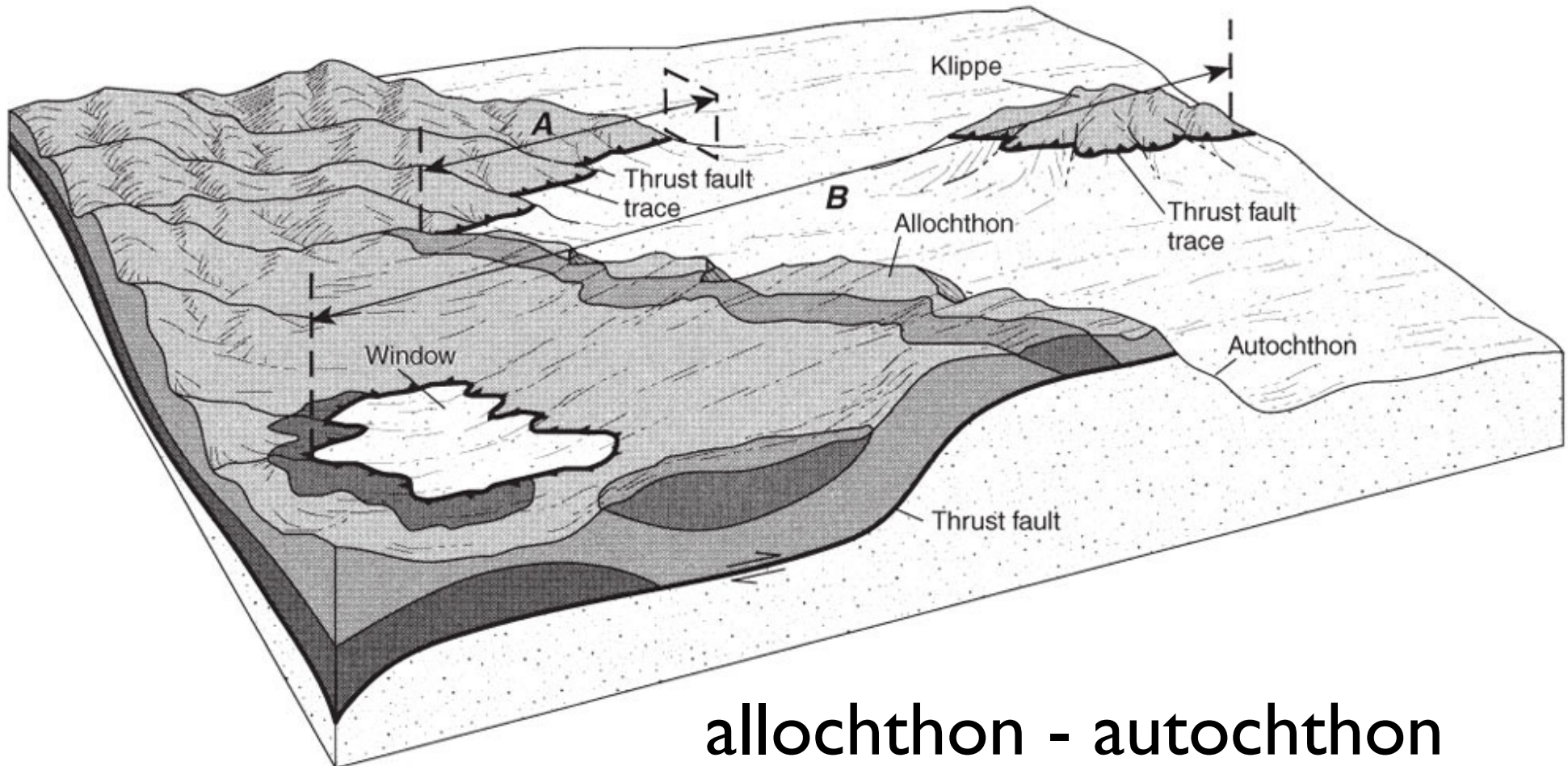


determination of shortening in thrust systems

Überschiebungsgeometrie



Fenster und Klippe



allochthon - autochthon

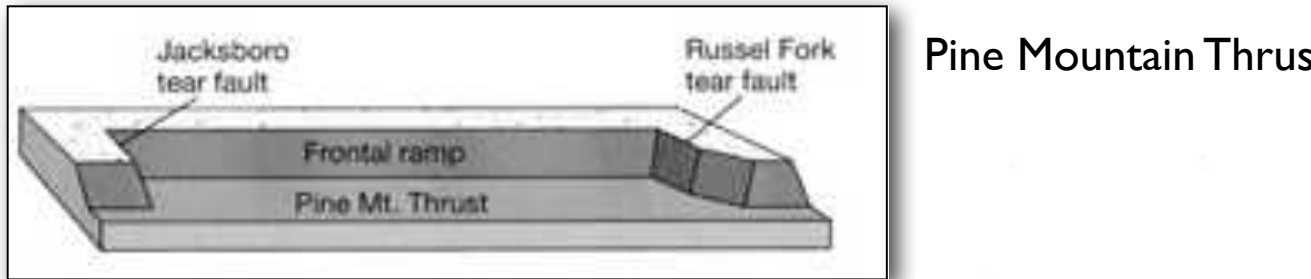
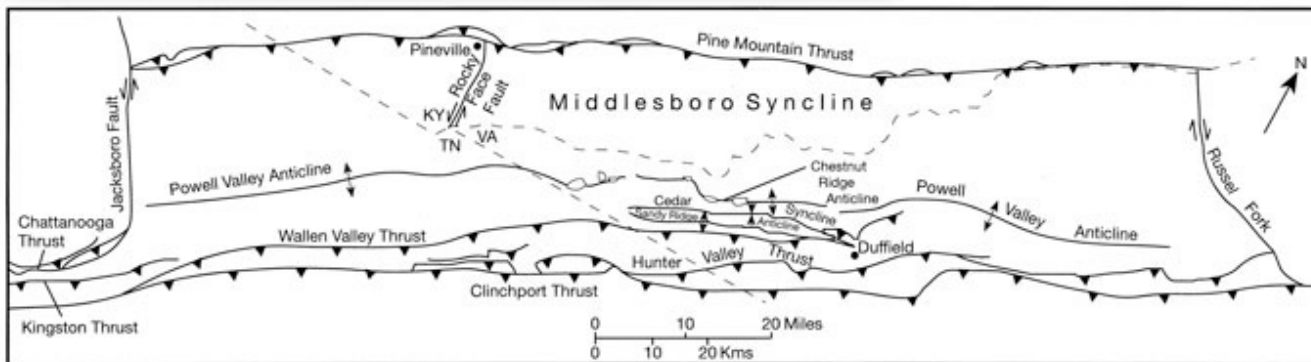
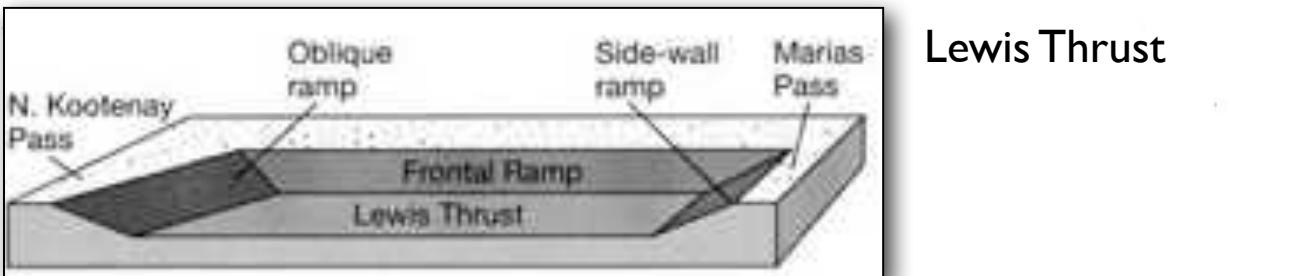
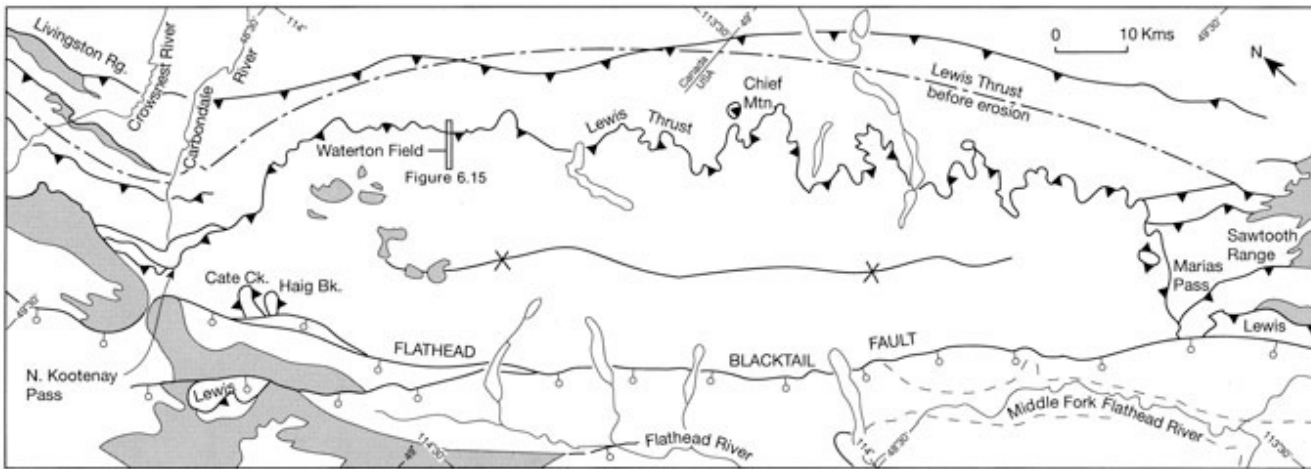
ἄλλος allos = anders, verschieden

αὐτός autós = selbst

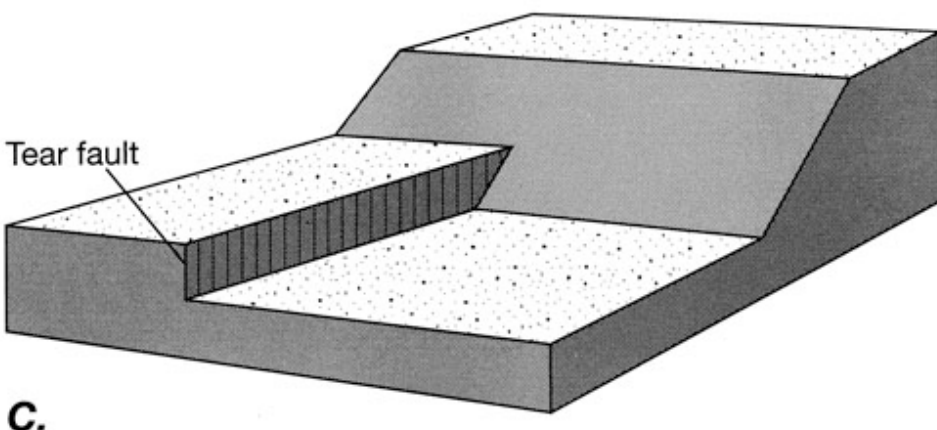
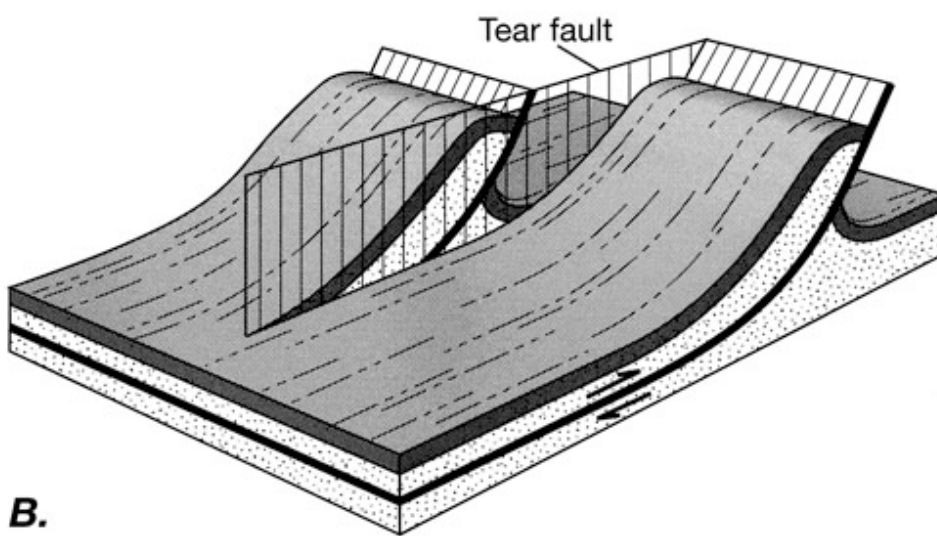
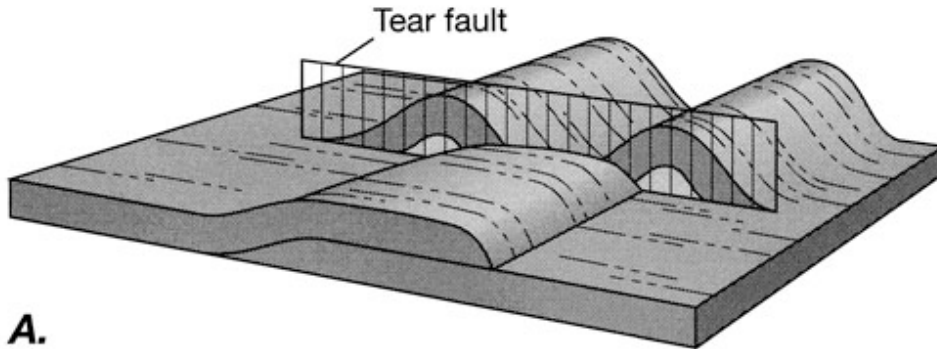
χθών chthōn = Erde

ramps and
flats

Rampe Flachbahn



frontal ramp
lateral ramp
(side-wall ramp)

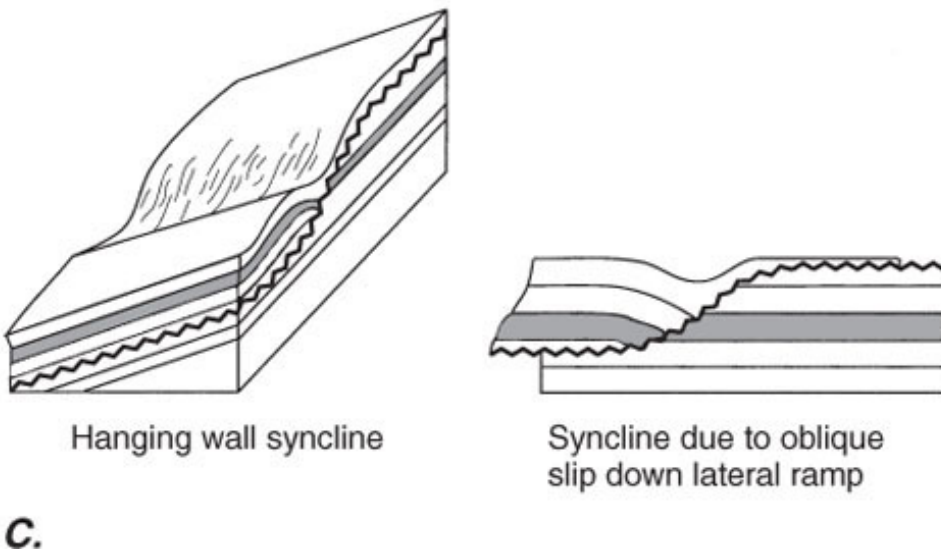
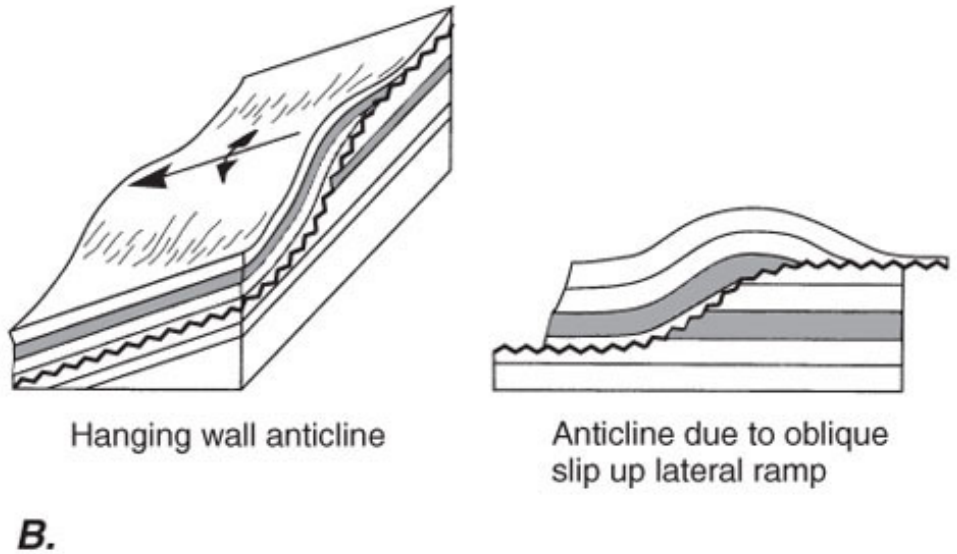
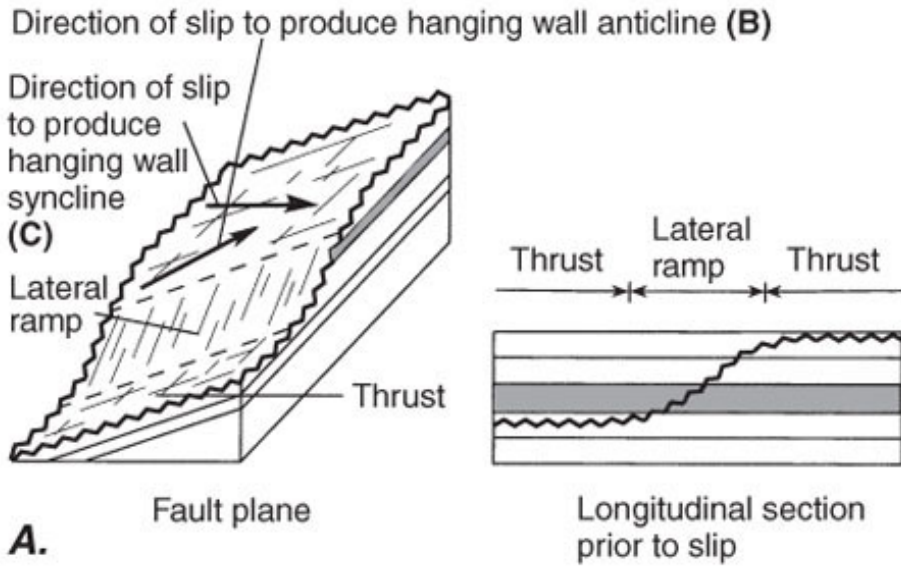


tear fault

Querverschiebung

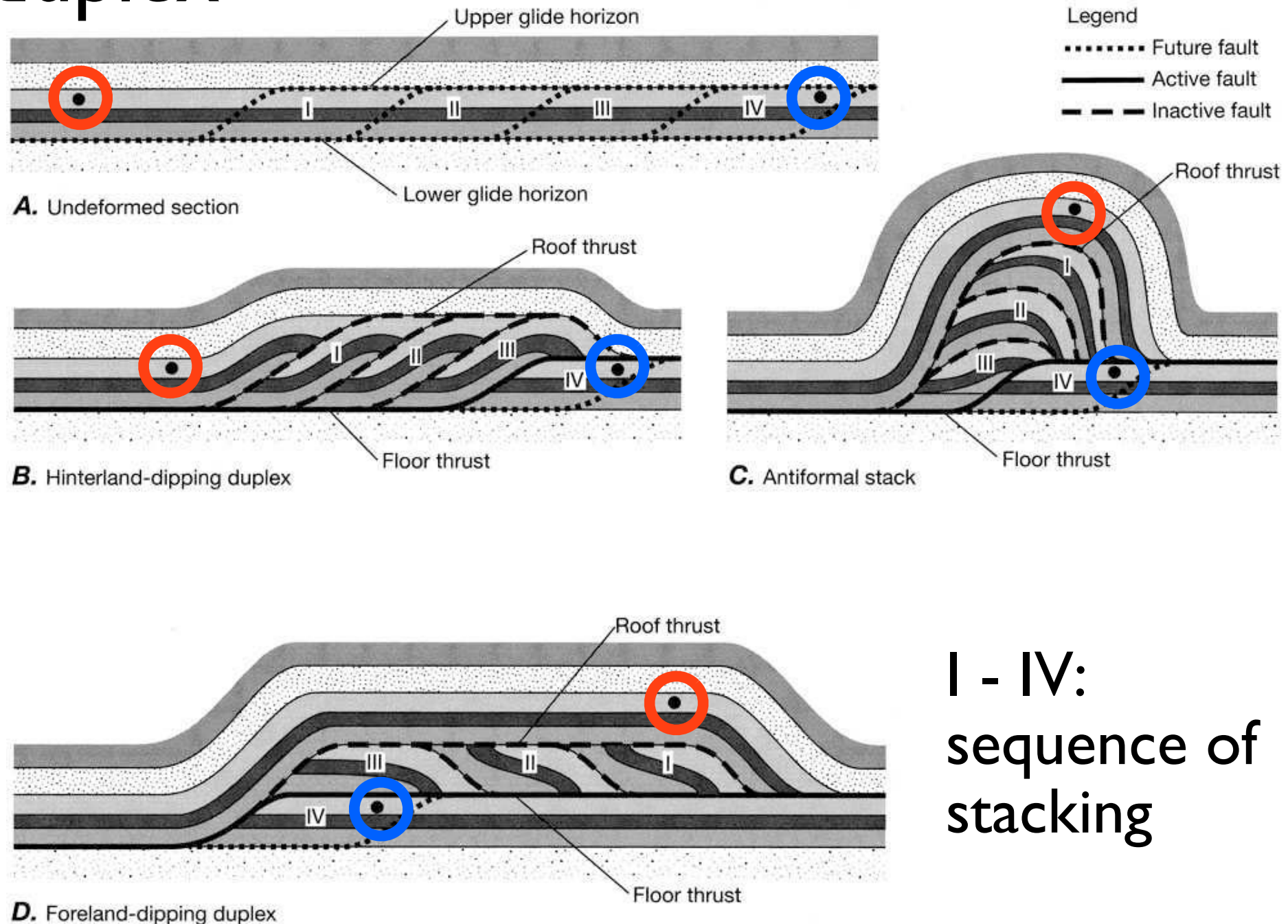
= local structure
accommodates
differential
displacement
along fault

hanging wall anticline / syncline



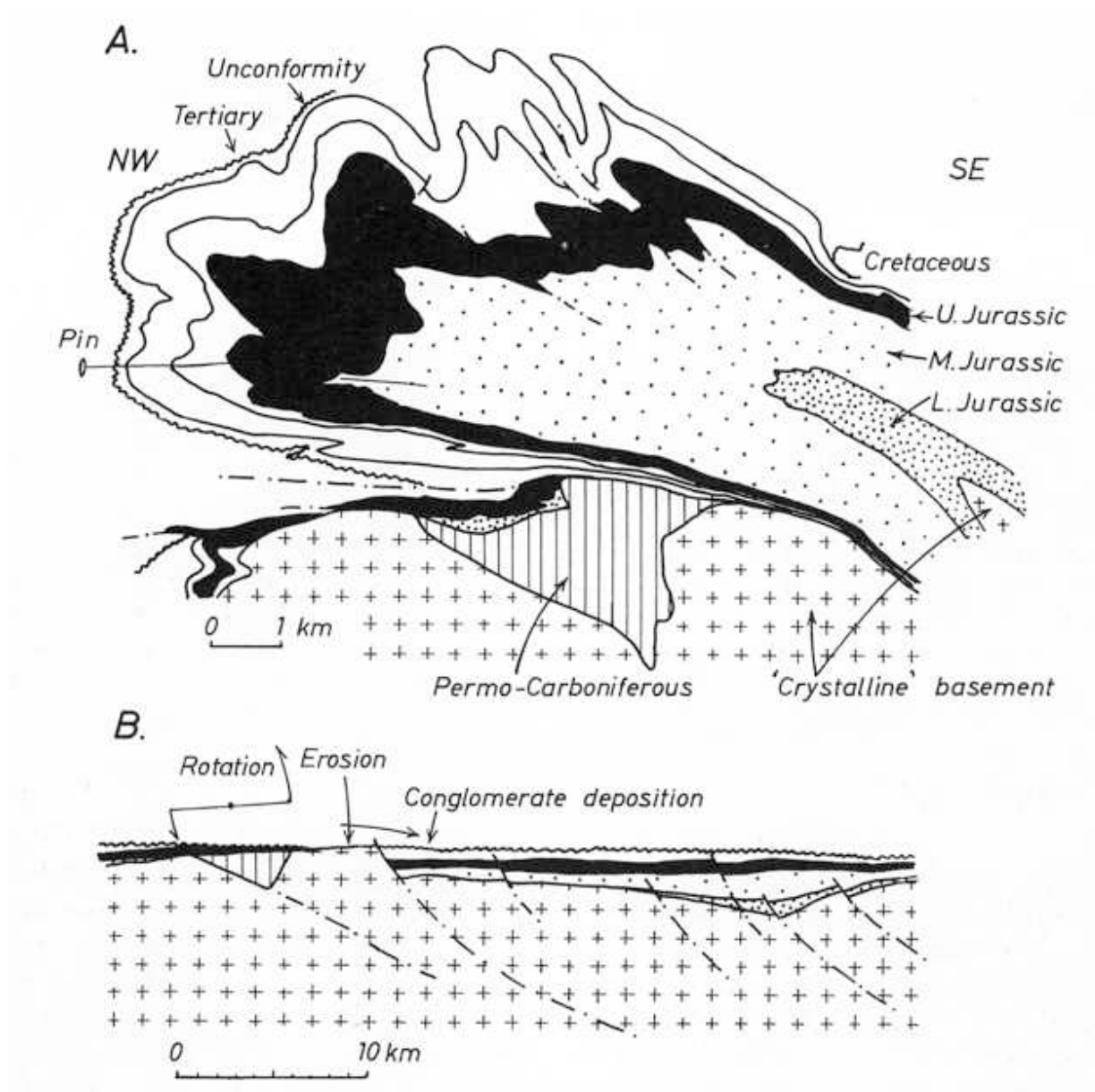
C.

duplex



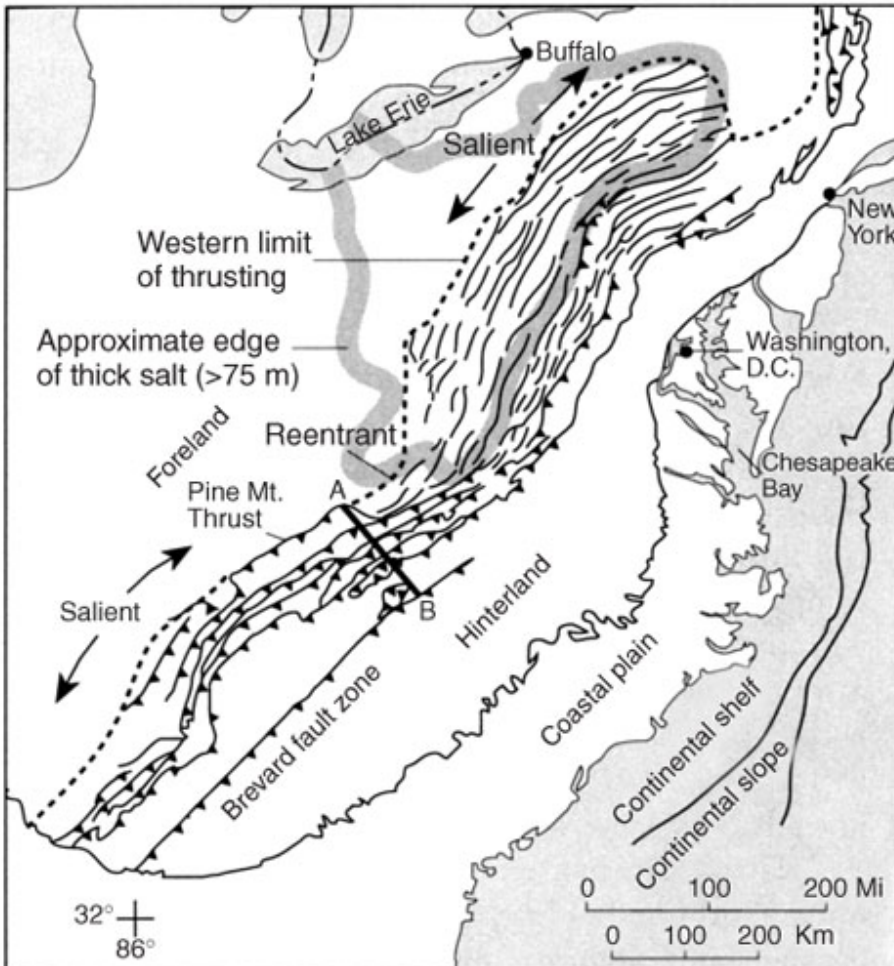
fold nappe

Faltendecke



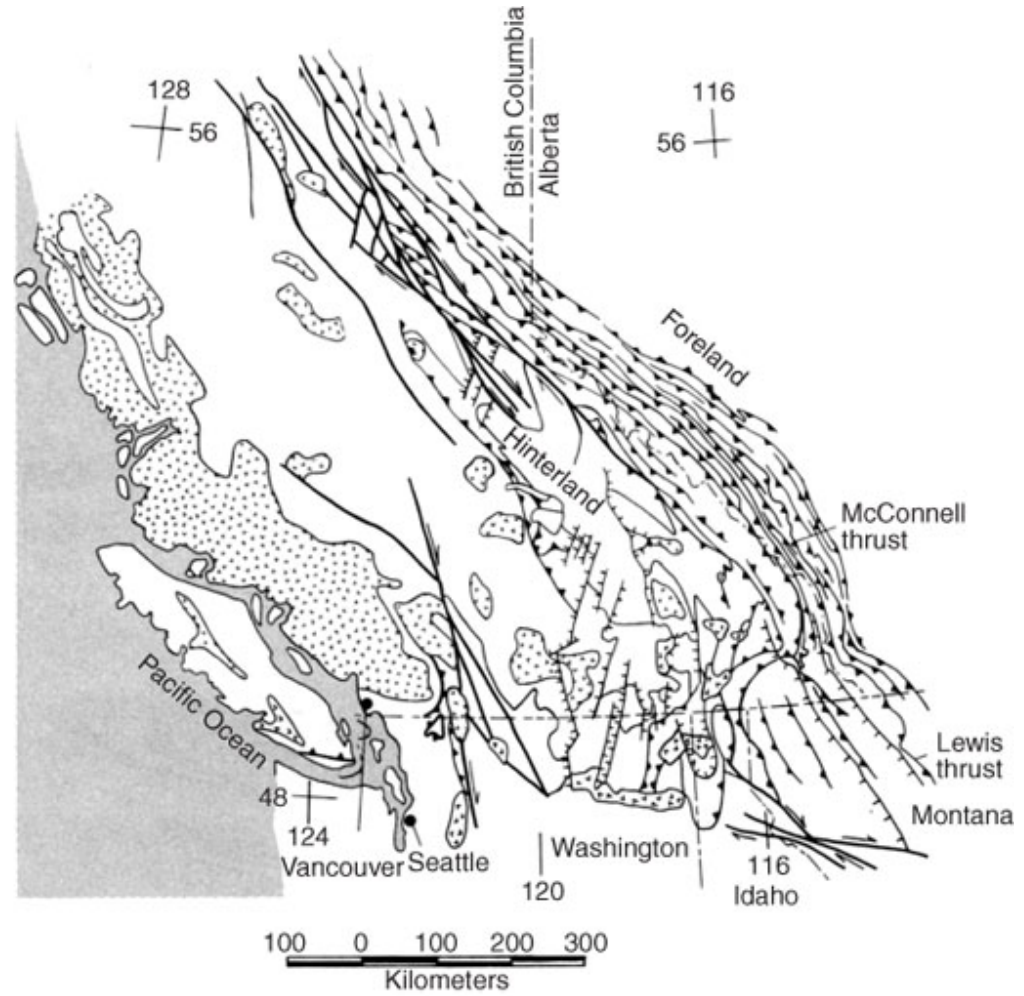
Morcles nappe,
Switzerland

regional thrust fault systems



A.

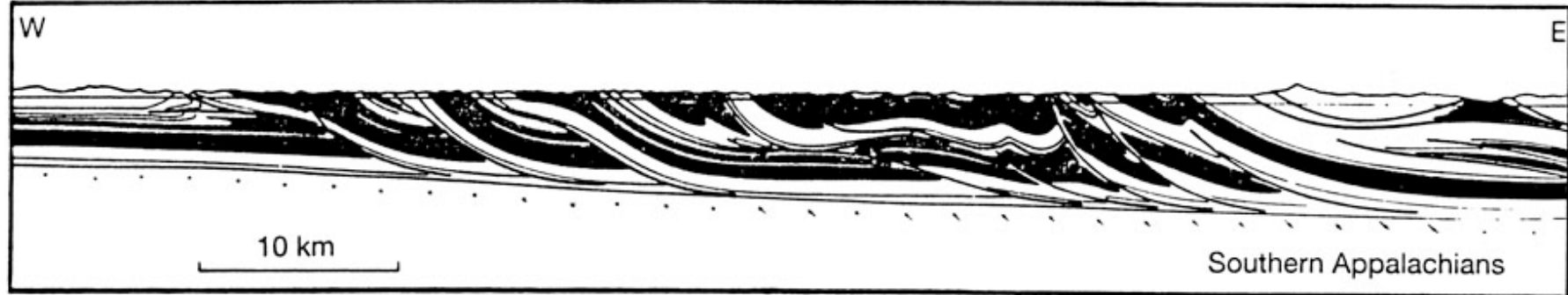
Appalachians



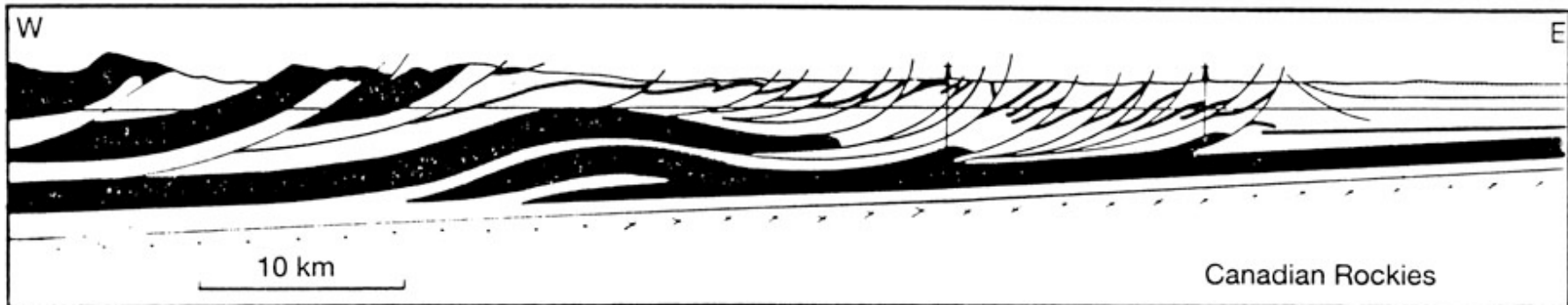
B.

Canadian Rockies

regional thrust fault systems



A.

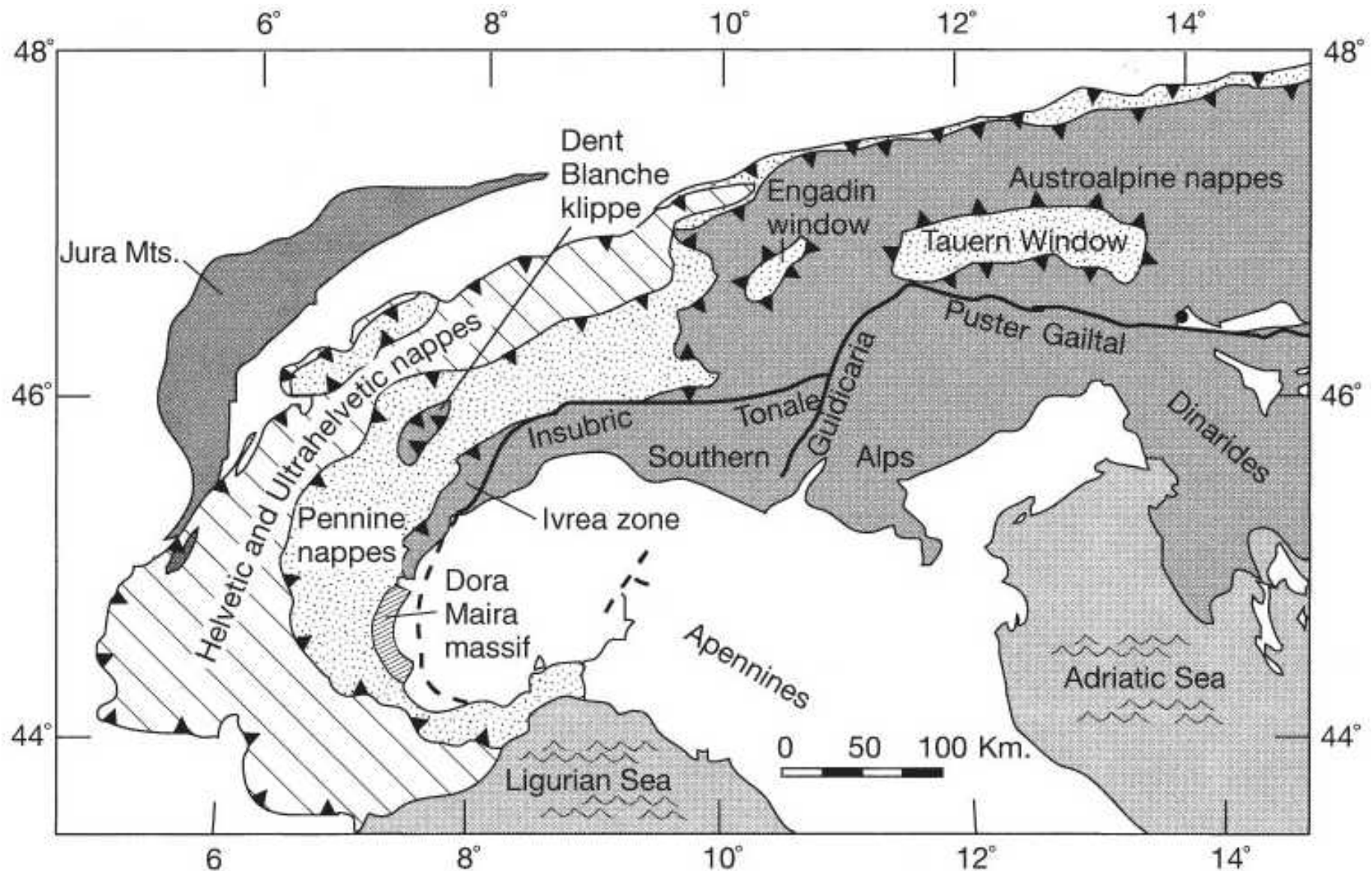


B.

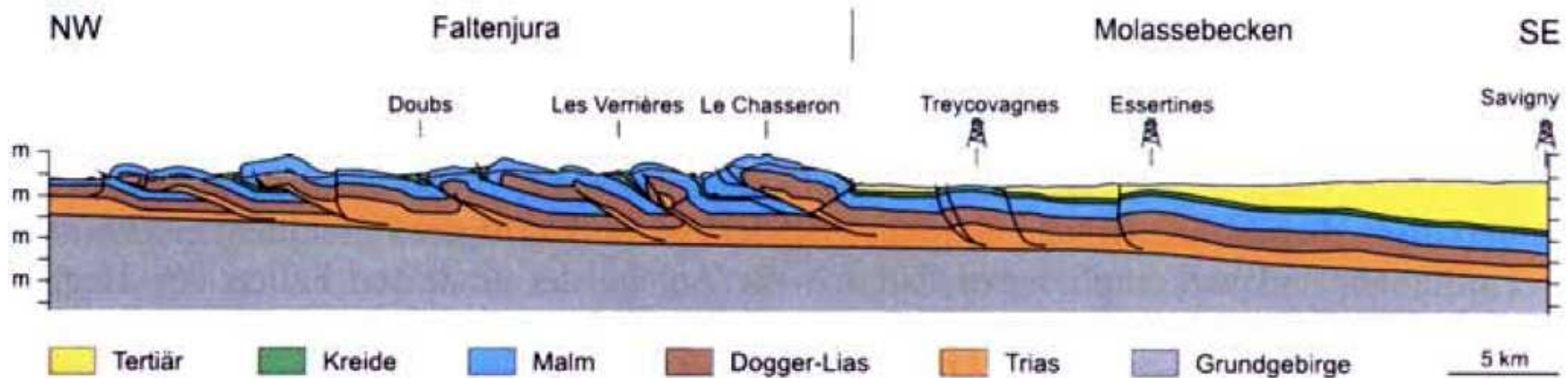
Appalachians

Canadian Rockies

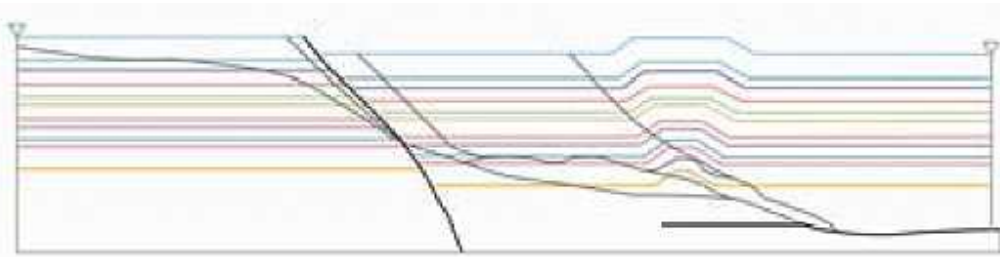
regional thrust fault systems



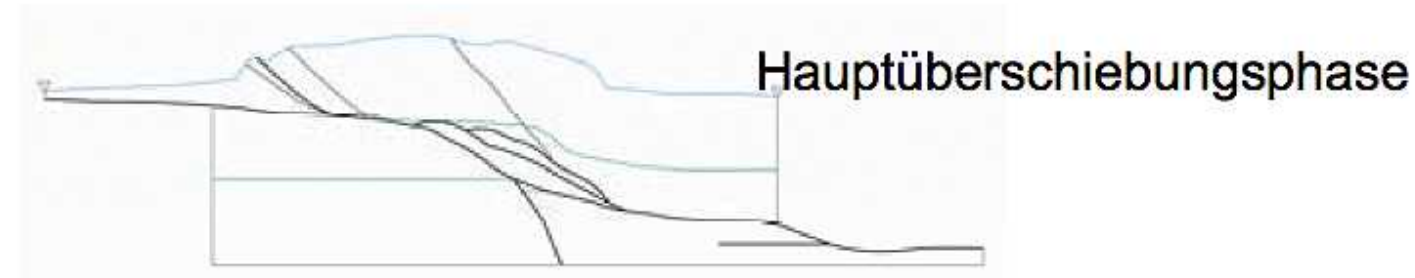
regional thrust fault systems



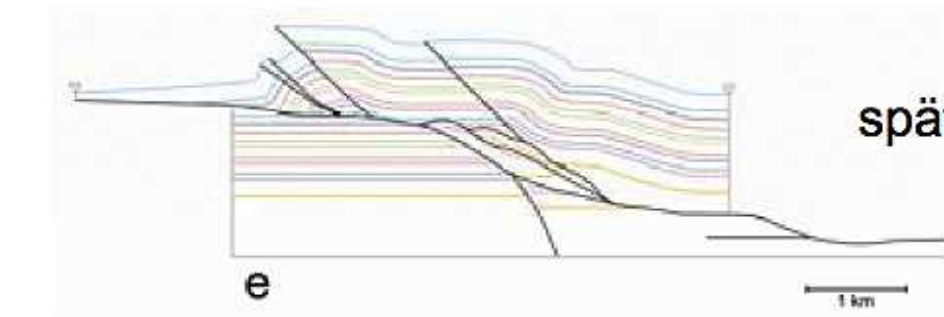
regional thrust fault systems



c



d



e

Freivogel und Huggenberger 2003

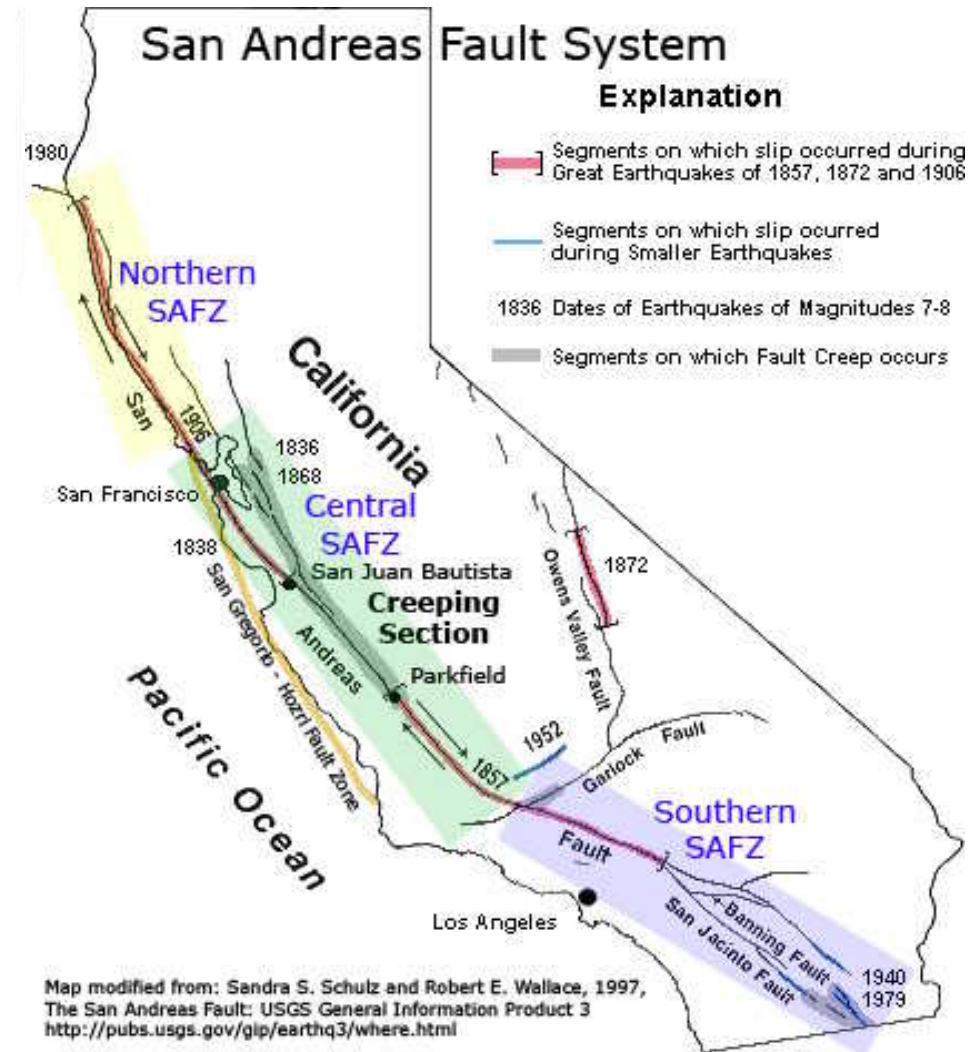
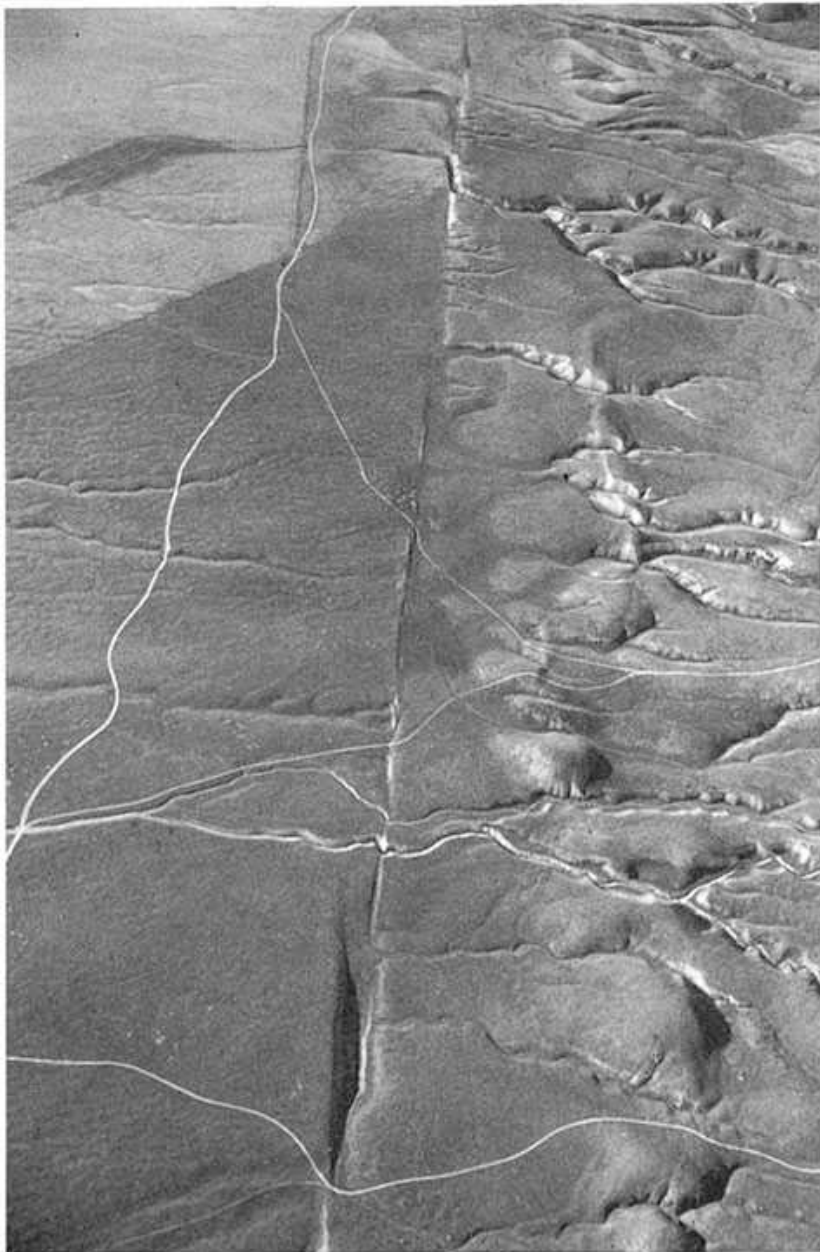
strike - slip faults

Definition

Blattverschiebung

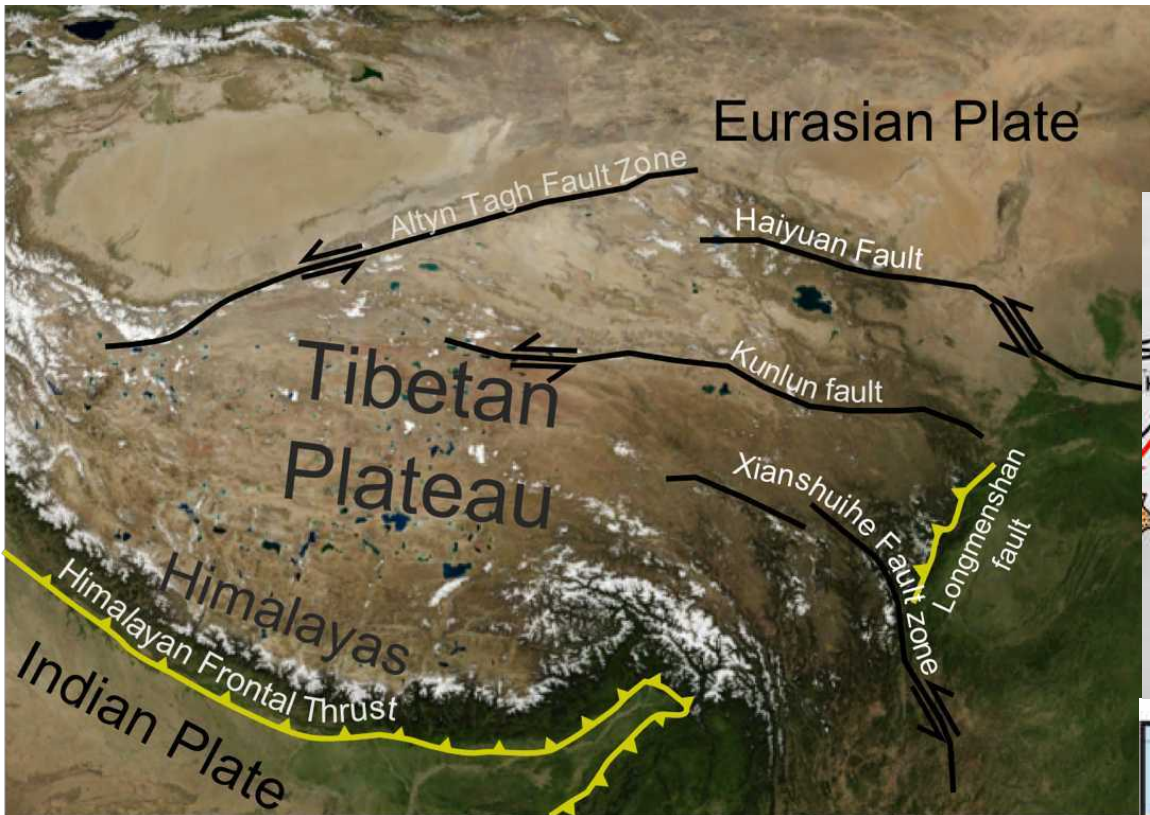
Approximately vertical faults
with horizontal displacement

strike slip faults

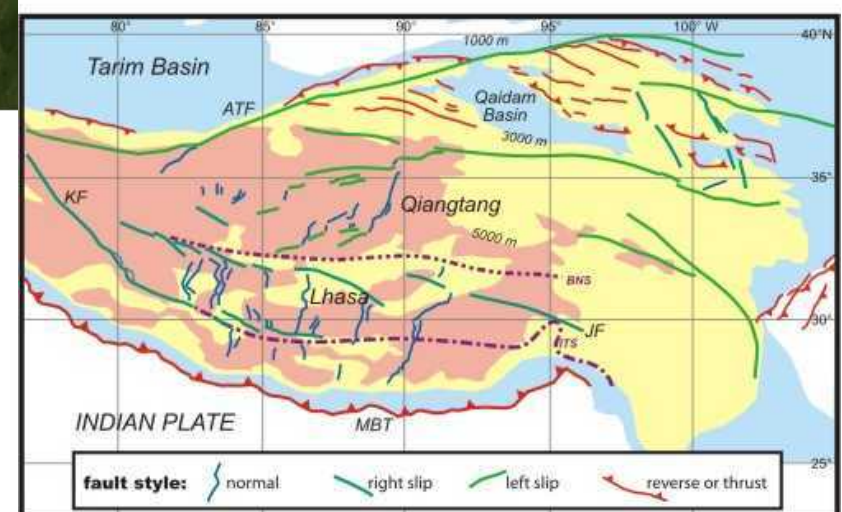
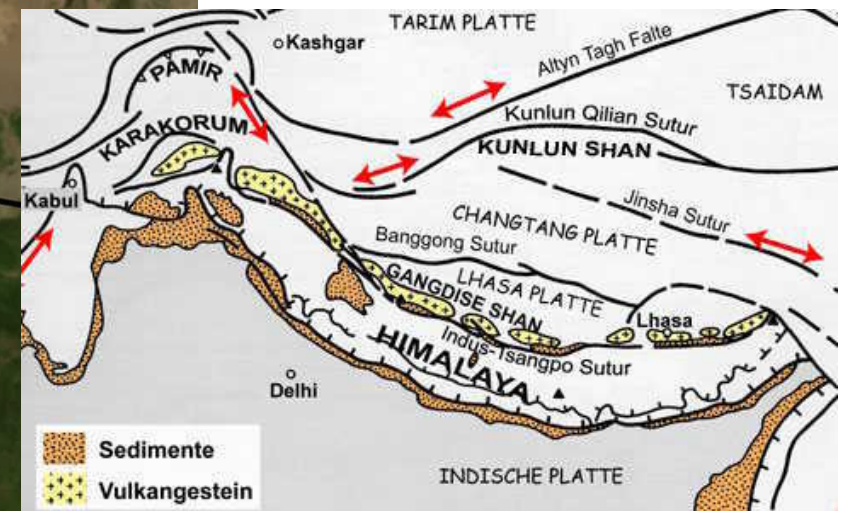


San Andreas Fault

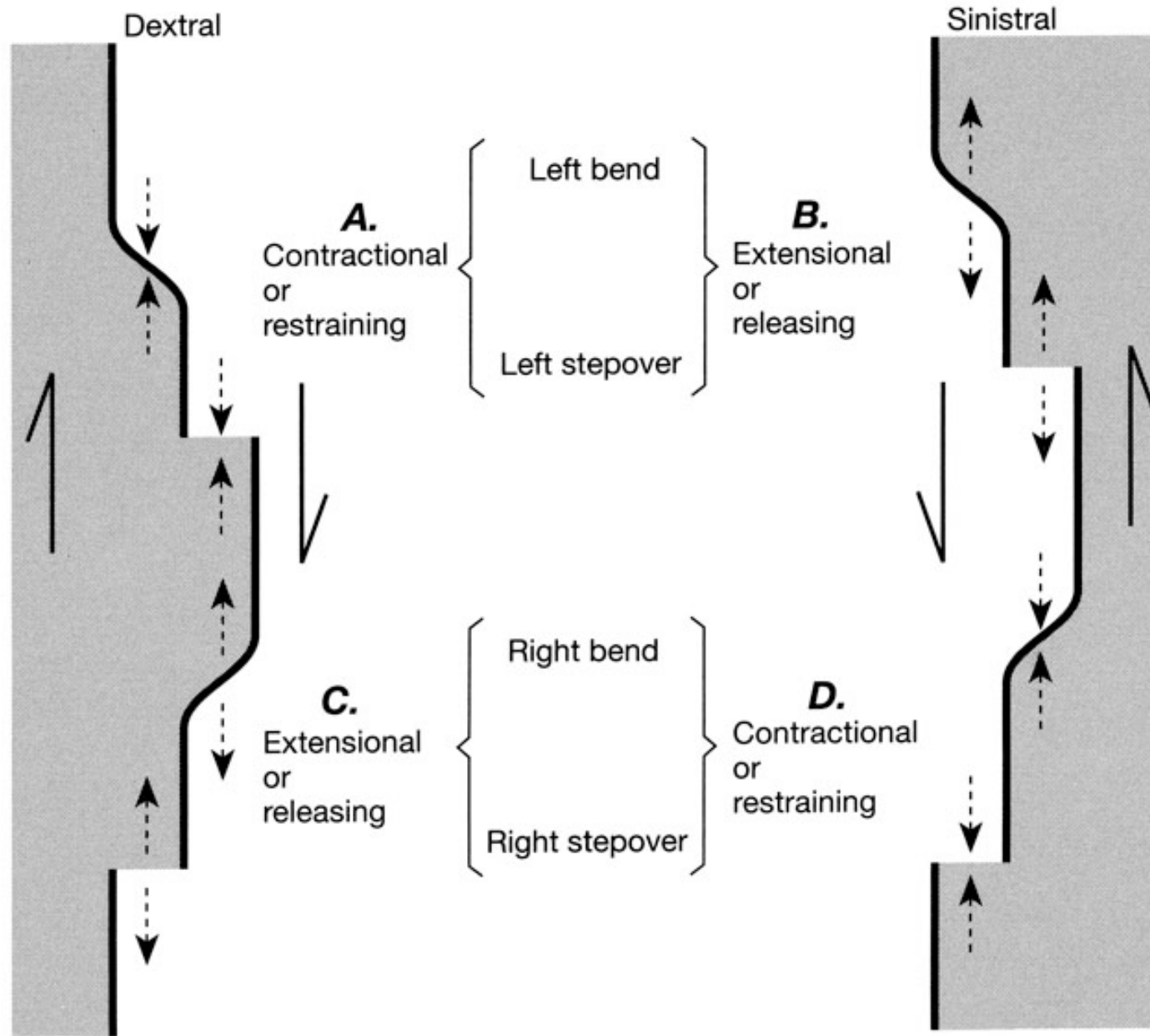
strike slip faults



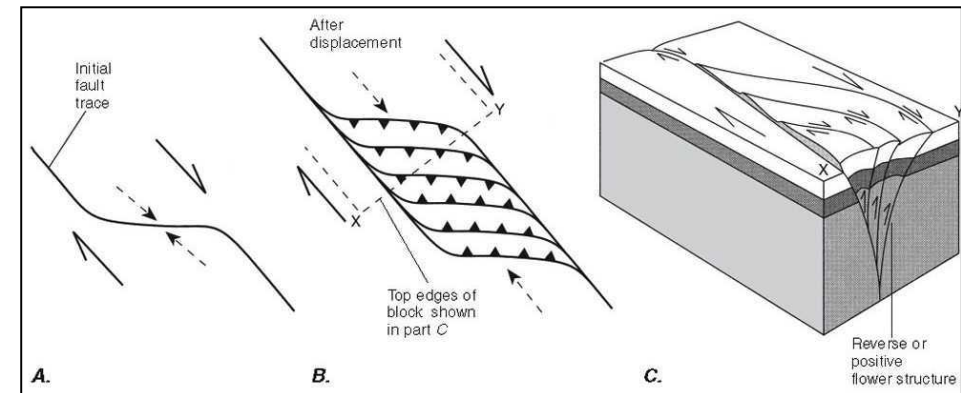
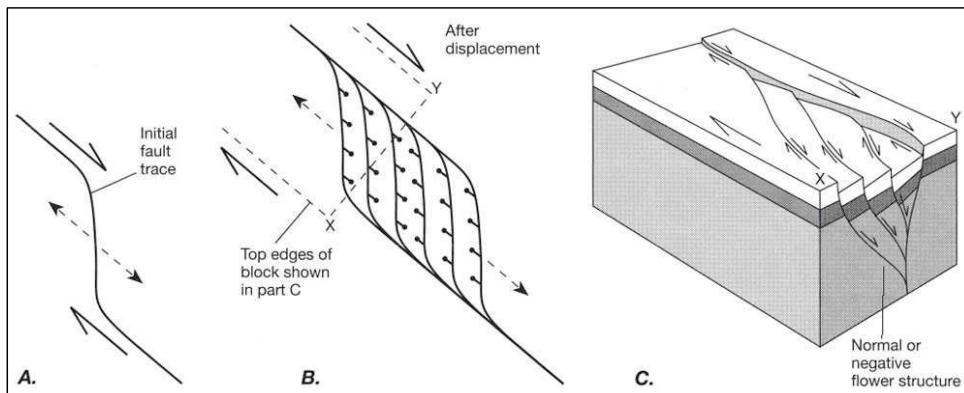
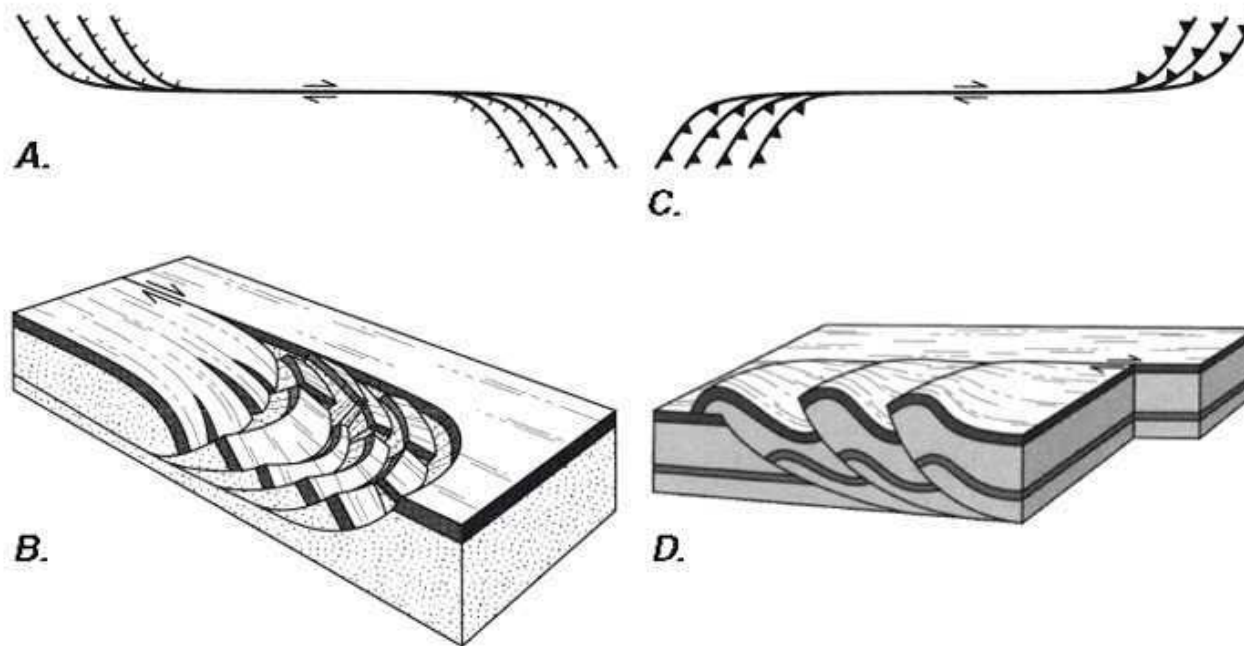
Altyn Tagh Fault



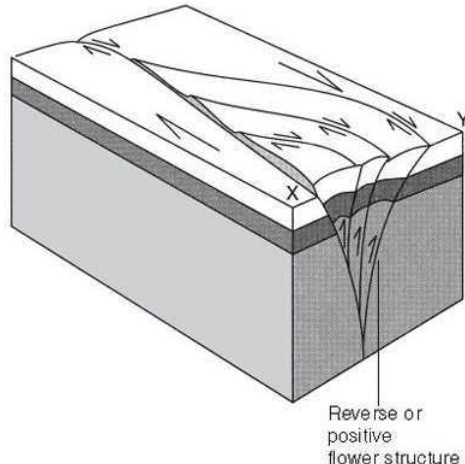
bends in fault surface



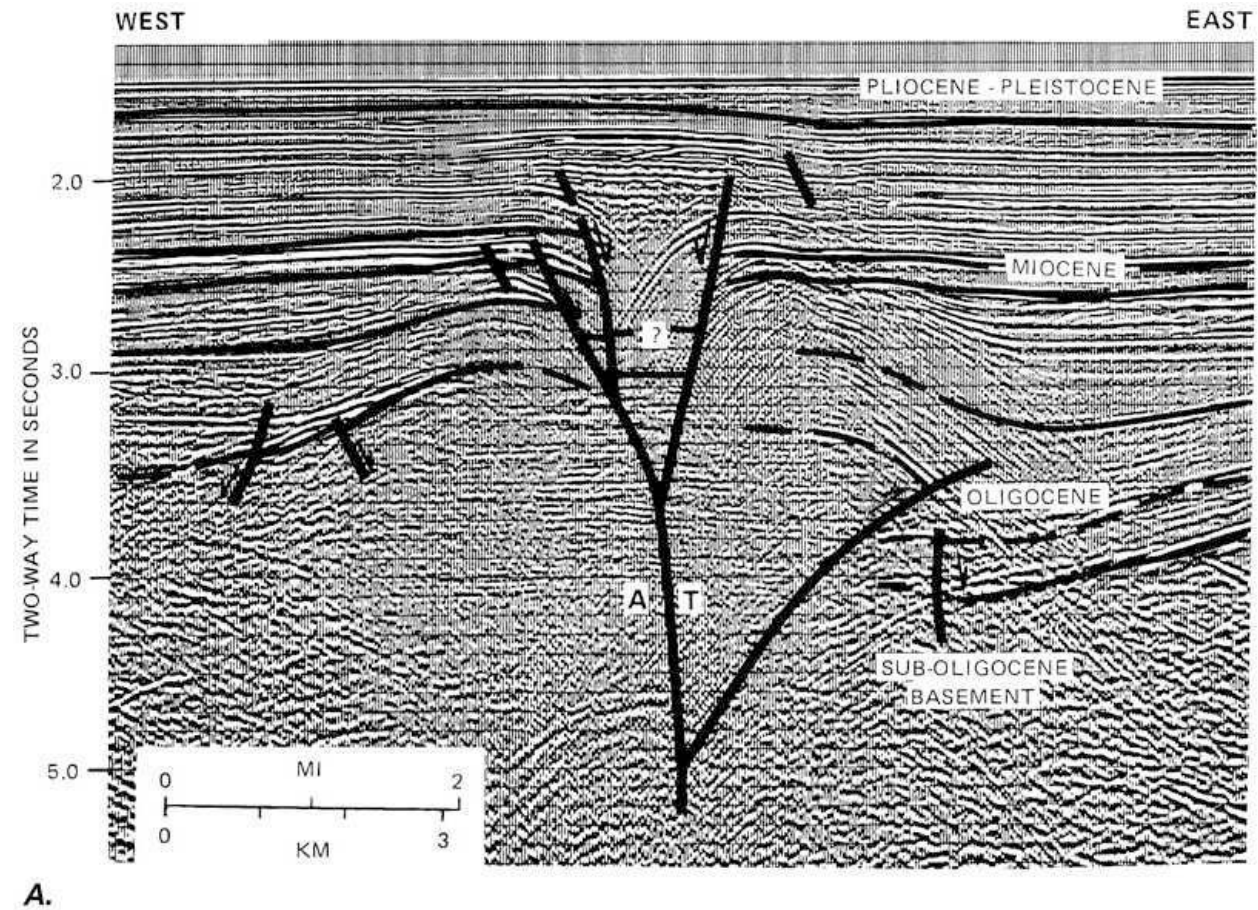
bends in fault surface



positive flower structure



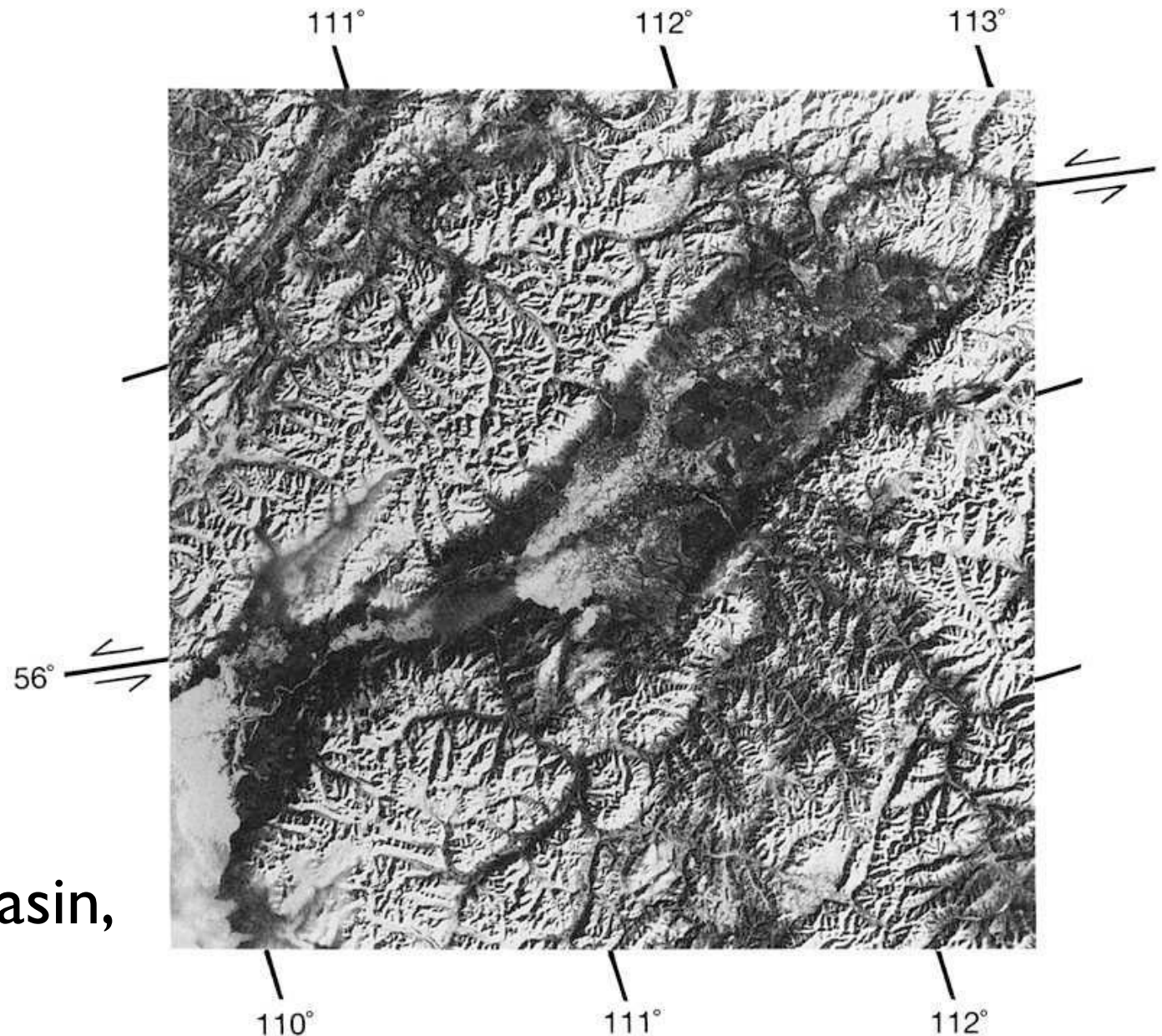
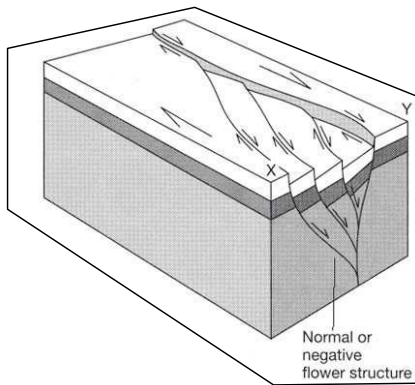
Reverse or
positive
flower structure



A.

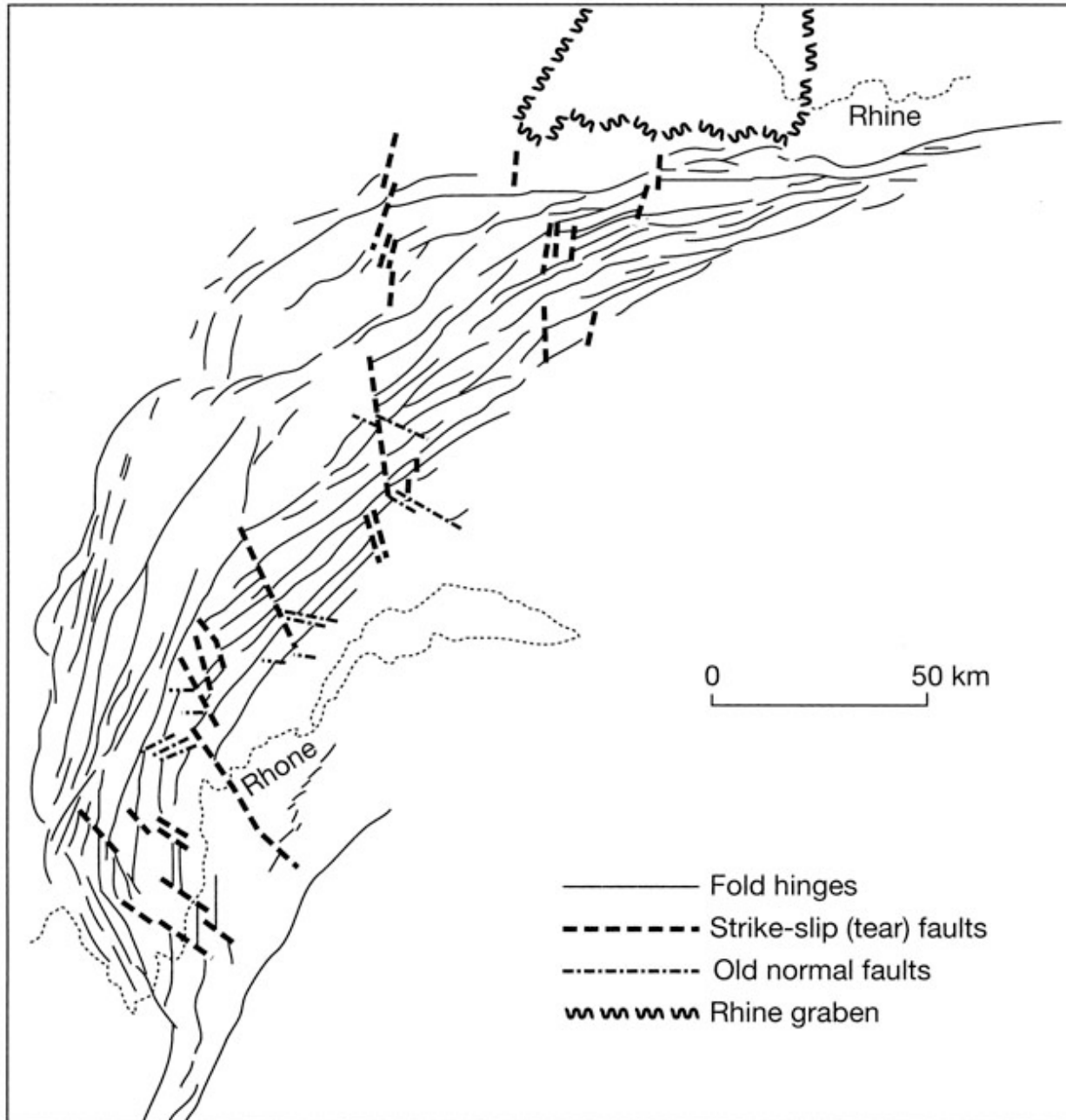
Example:
Andaman Sea (Malaysia - India)

negative flower structure



Example:
Angara graben basin,
Siberia

regional tear faults



Example:
Jura
Mountains,
Switzerland

5

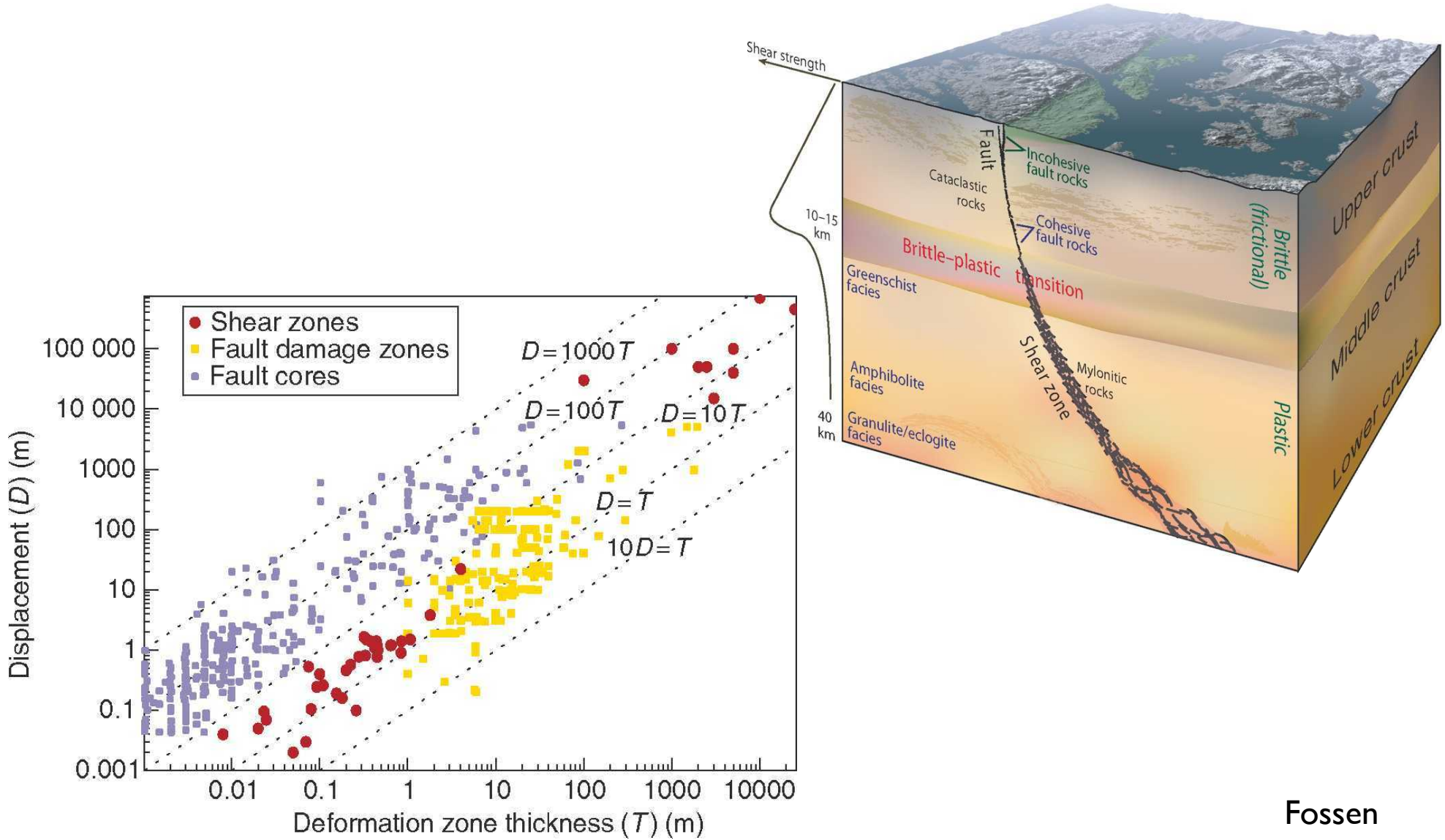
5 Scherzonen - Foliation - Lineation

VL-Themen:

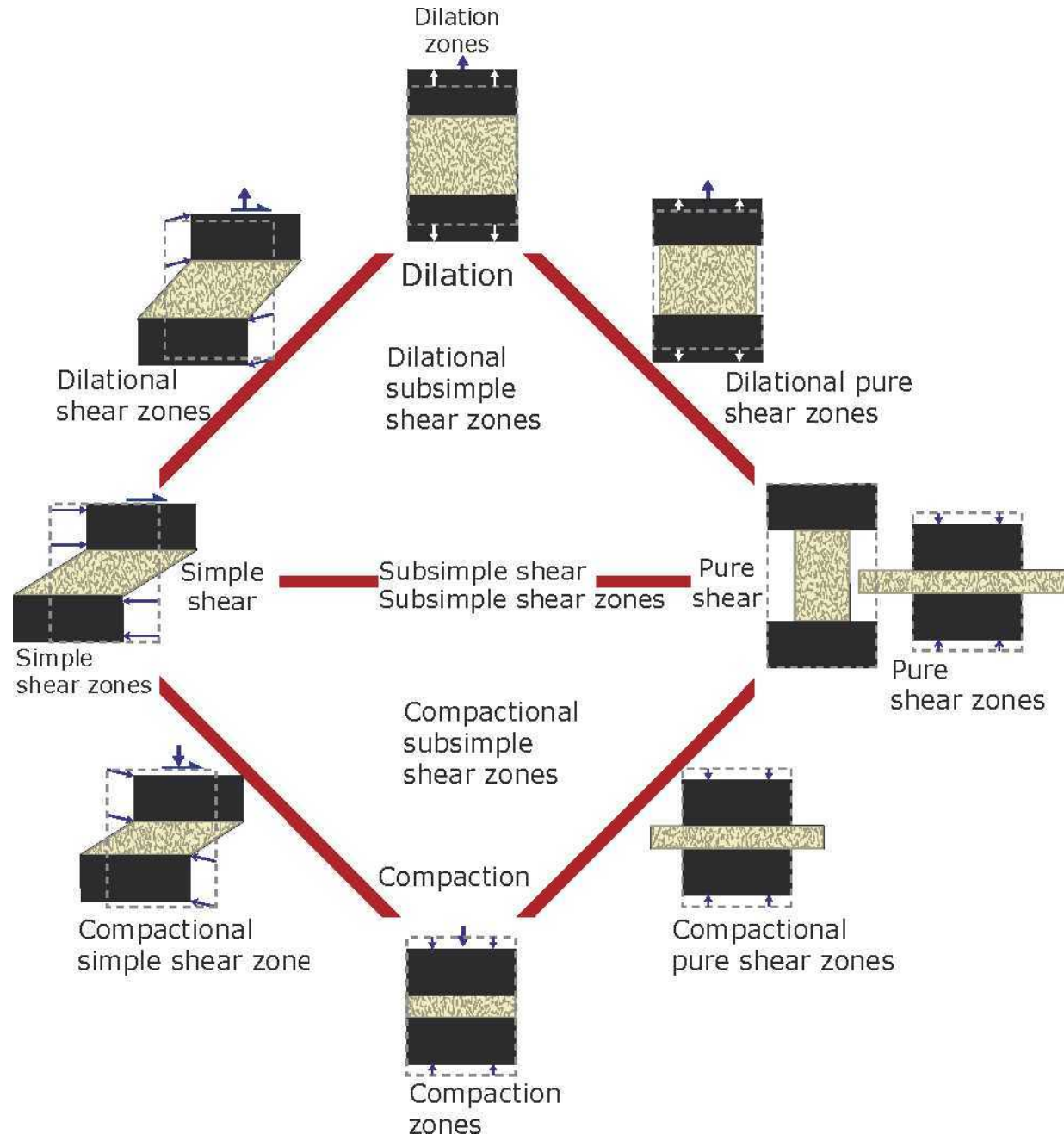
- Scherzonen
- Foliation & Lineation
- Schieferung und Verformung
- Mechanismen der Schieferungsbildung
- Bedeutung der Schieferung beim Kartieren
- Lineation

Scherzonen

Spröde und duktile Scherzonen

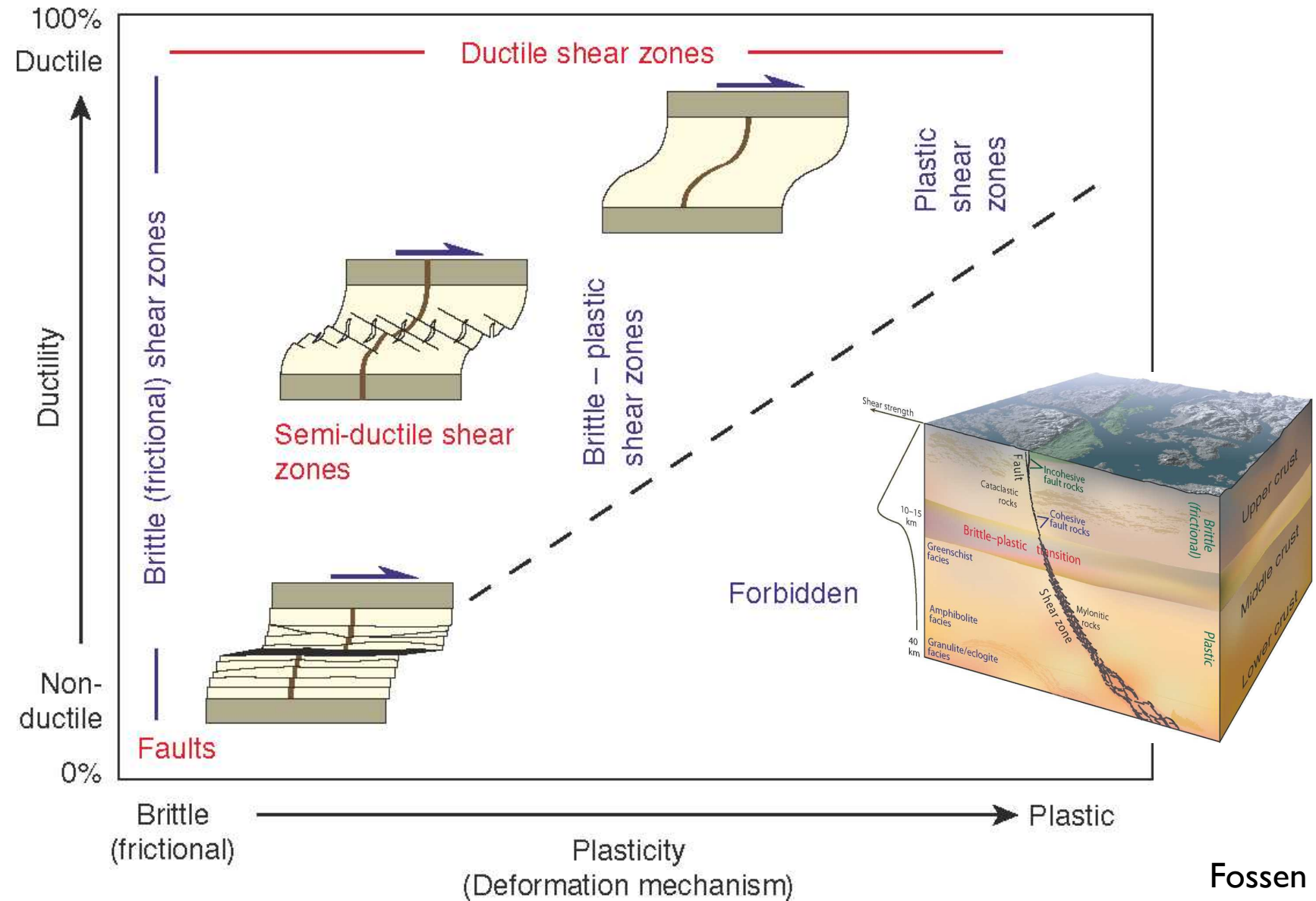


Typen von Scherzonen

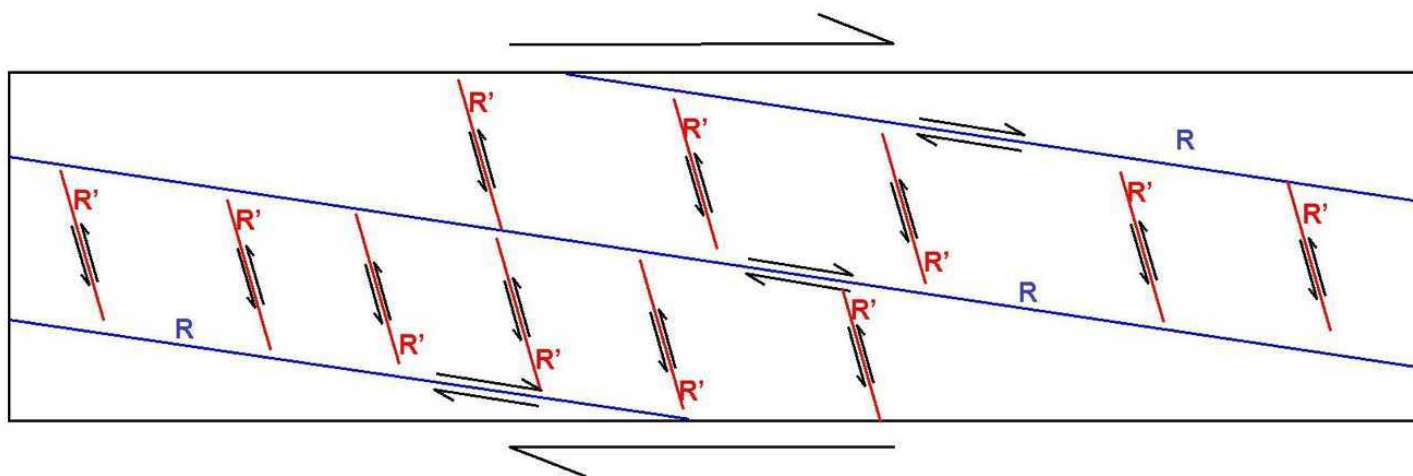


Fossen

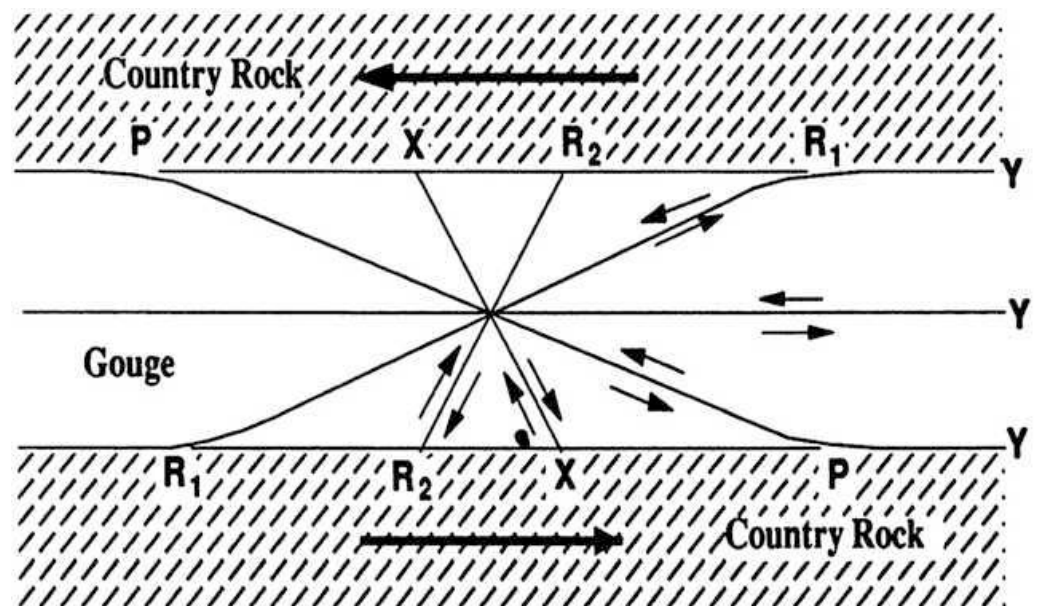
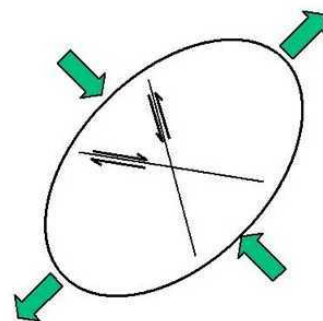
Scherzonen Klassifikation



Riedel Scherzonen

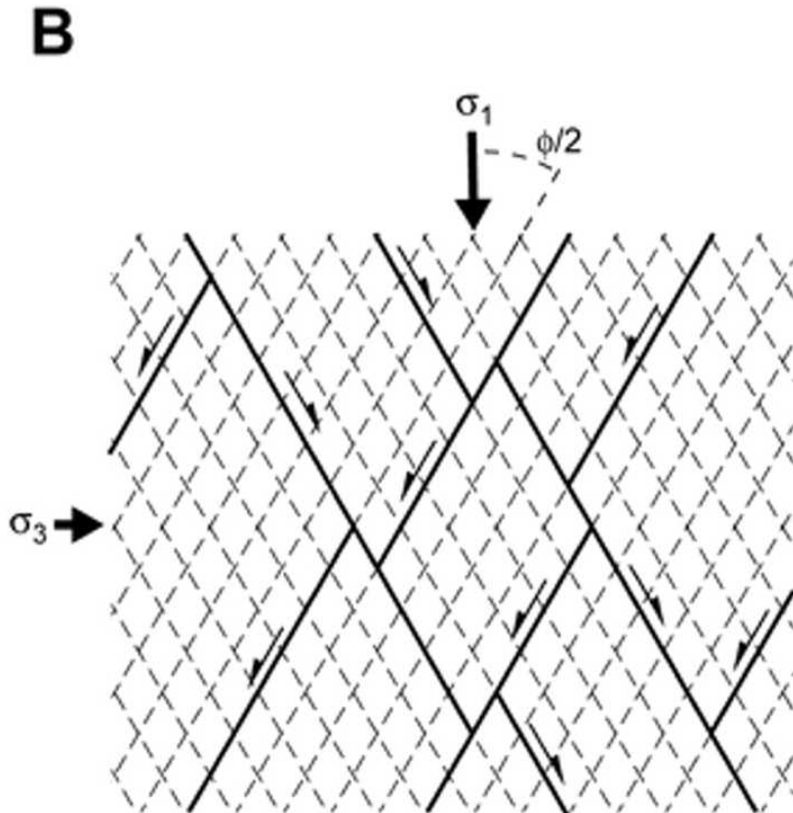
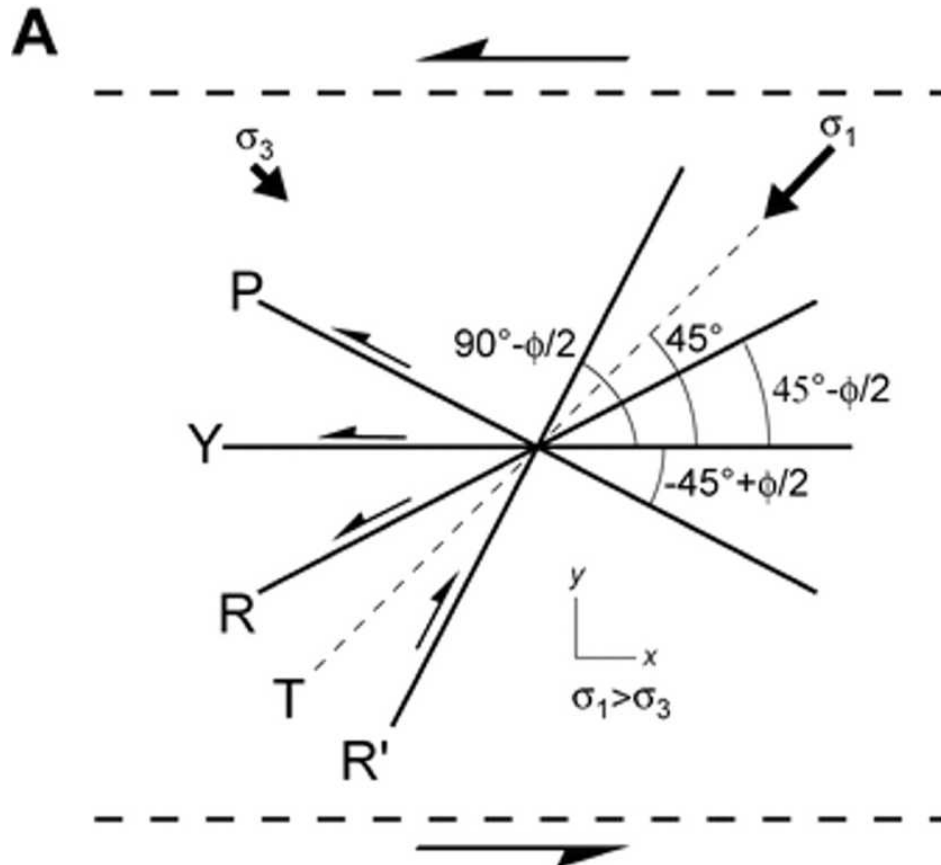


Infinitesimal strain ellipse for simple shear showing predicted fault orientations matching the two Riedel shear sets

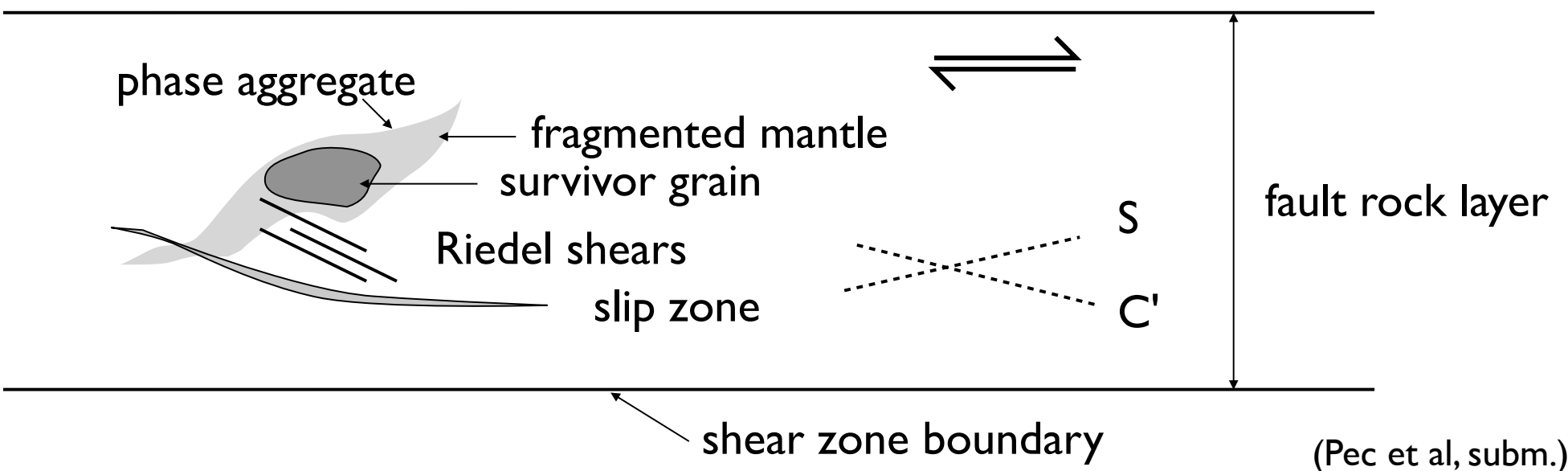
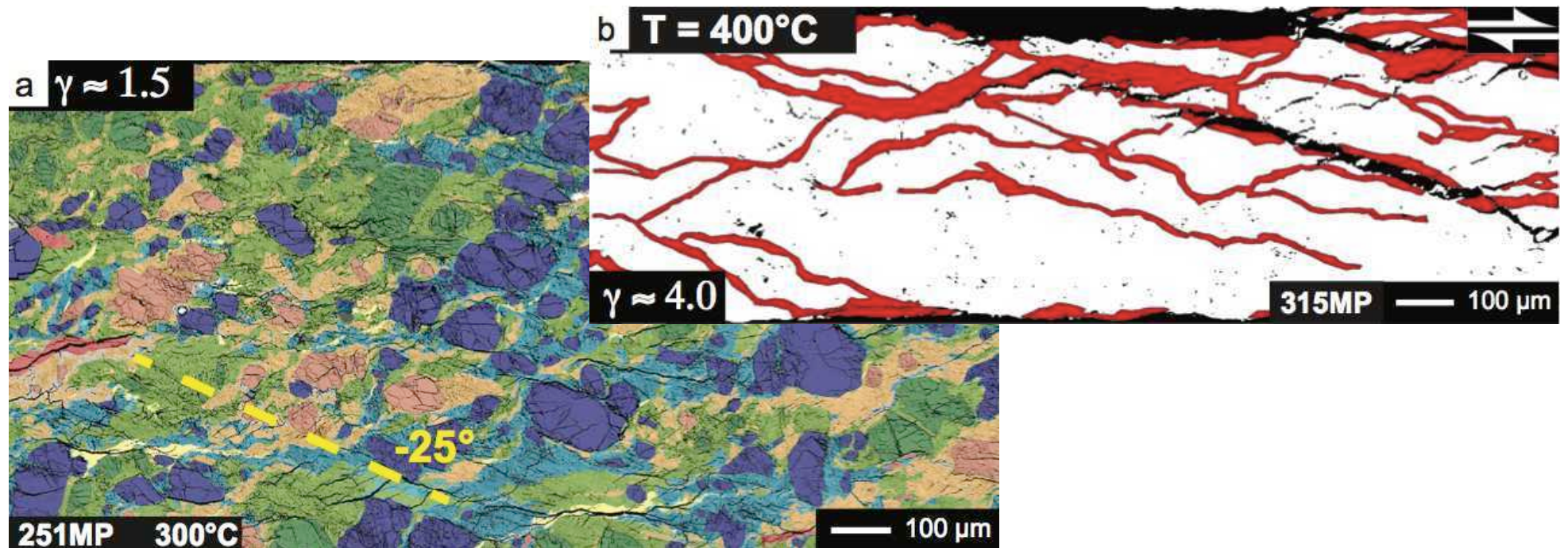


<http://upload.wikimedia.org/wikipedia/commons/f/f2/Riedel.jpg>

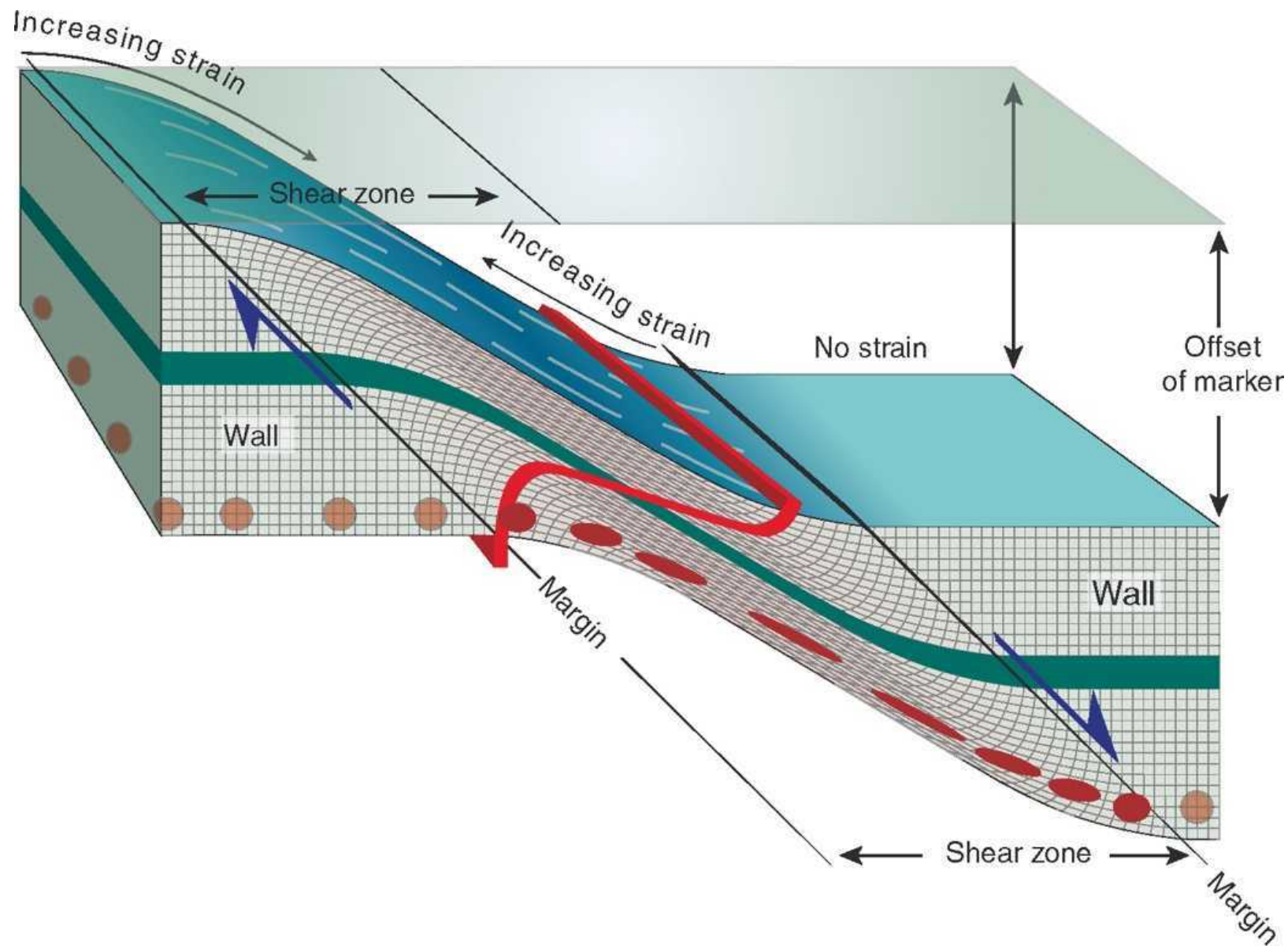
Spannungen in Riedel Scherzonen



Riedel and S-C'



Duktile Scherzonen

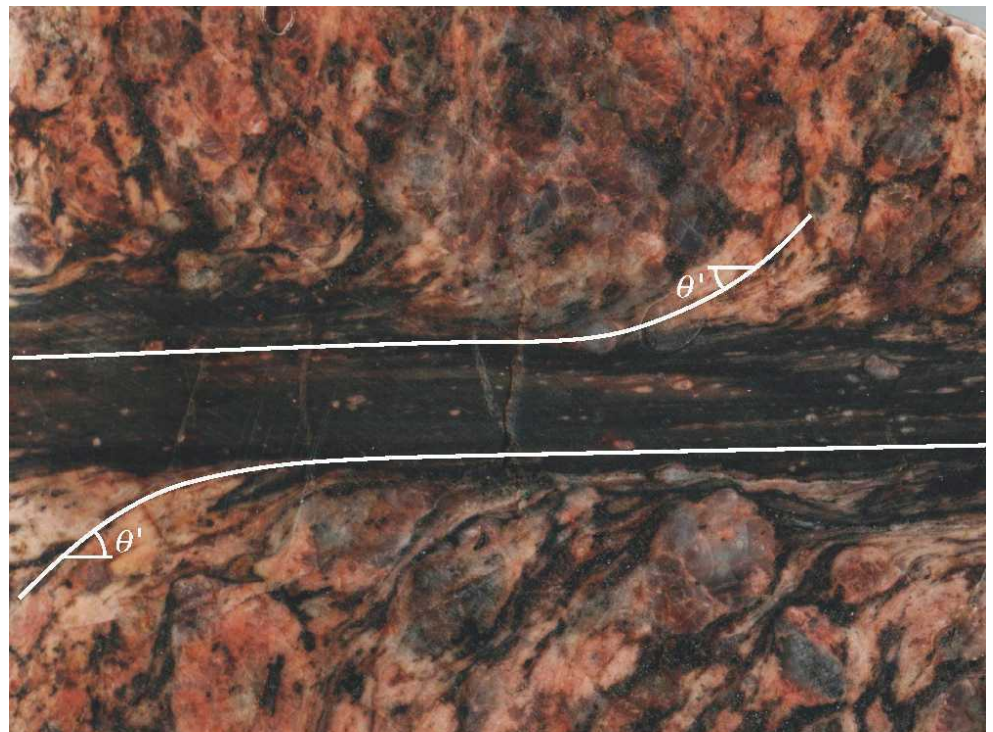


Fossen

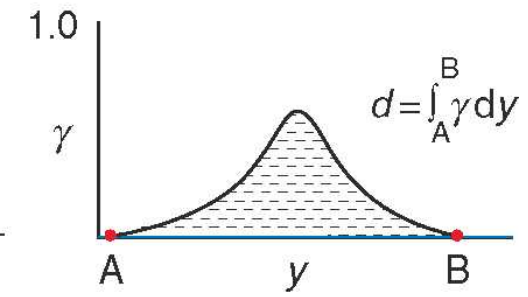
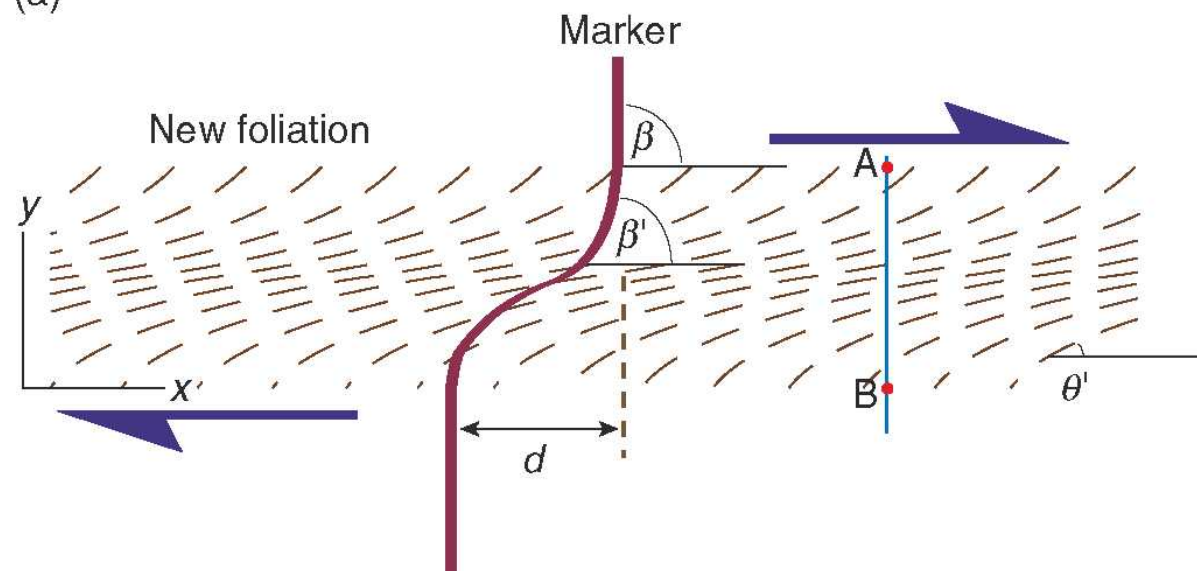
Gefüge-Trajektorien



(a)

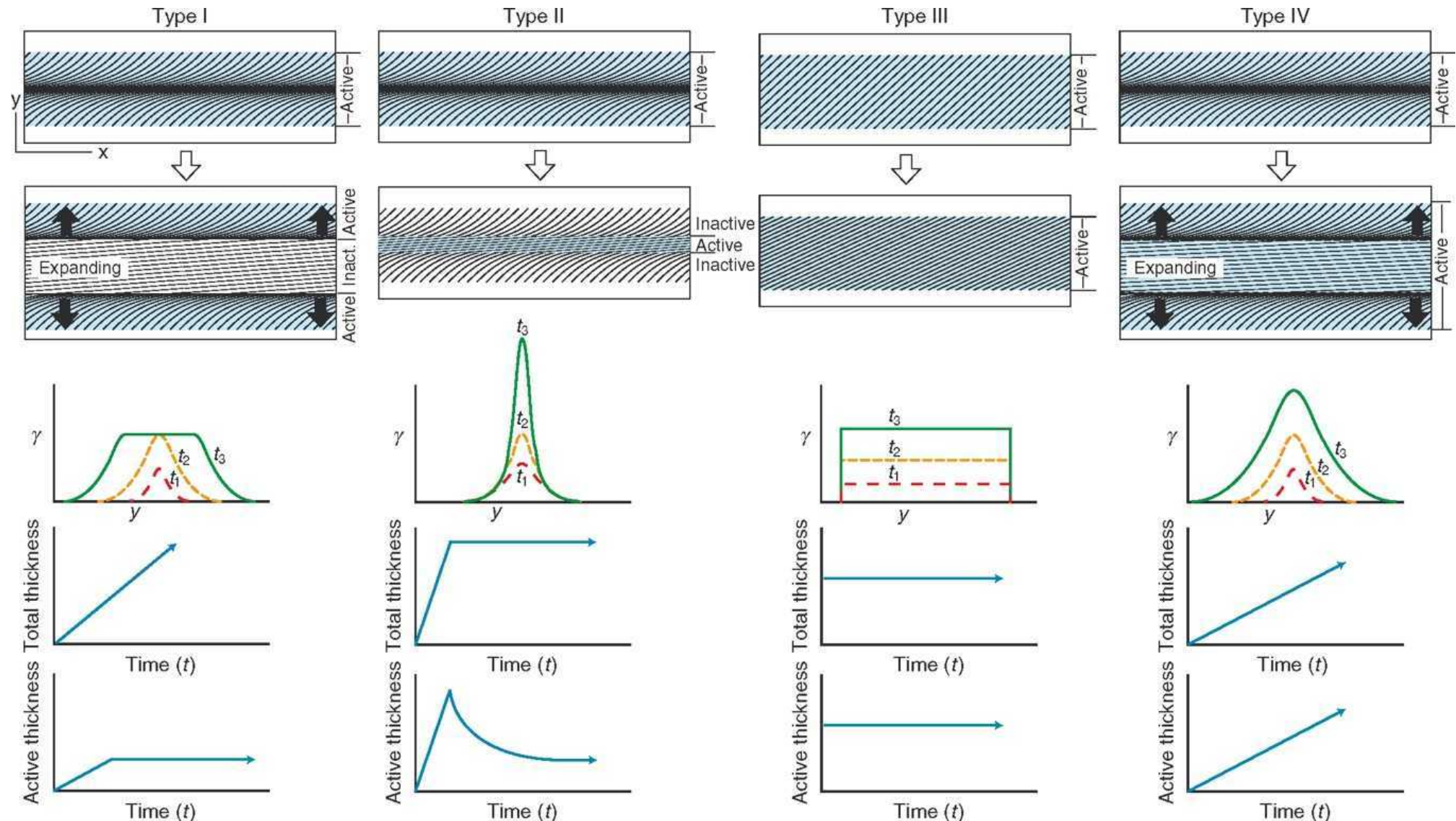


(b)

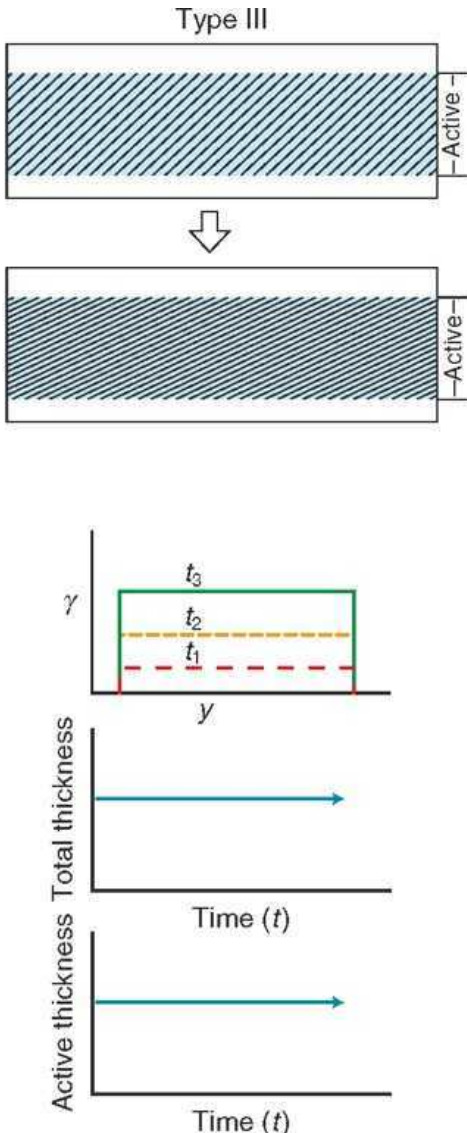


Fossen

Scherzonentypen



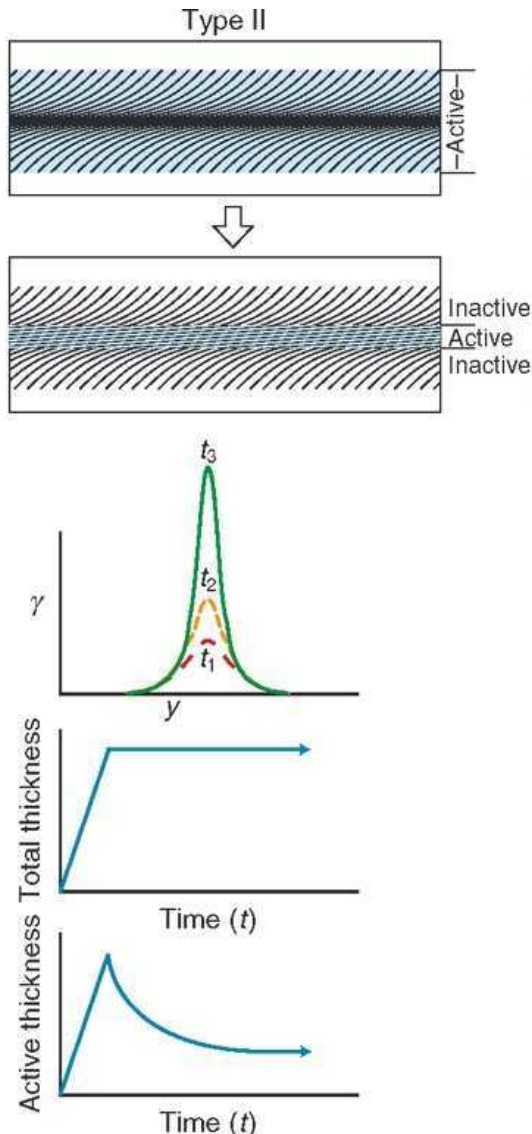
Scherzonentypen



Type III

- Type III shear zones initiate with a certain thickness.
- This shear zone thickness remains constant, and the entire zone is always active.
- The result is a flat strain profile.
- This type of shear zone involves no pronounced softening or hardening mechanisms.
- Some kink-bands may represent shear zones of this type.

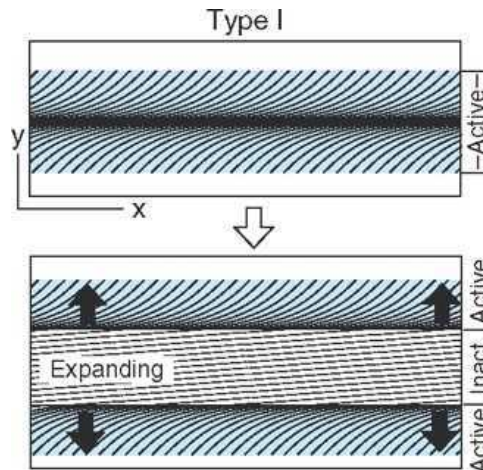
Scherzonentypen



Type II

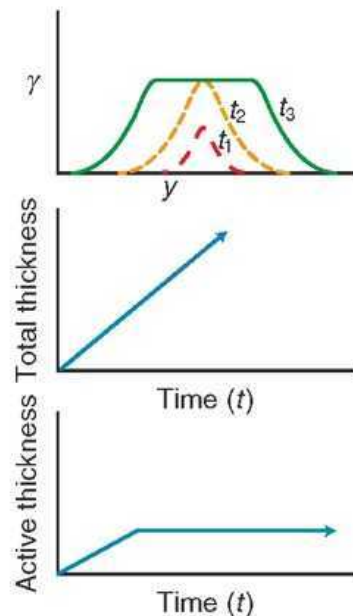
- Type II shear zones expand only for a limited period of time.
- Then the margins are left inactive, and all further deformation is concentrated in the central part of the zone.
- The result is a steep peak in the central part of the strain profile across the zone.
- This type of shear zone is normally explained by strain softening.

Scherzonentypen

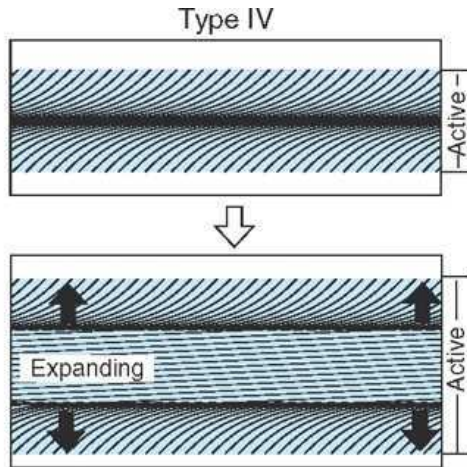


Type I

- Type I shear zones expand into its walls and thus becomes thicker with increasing offset.
- The central part of the zone is left behind (inactive) as the walls are being strained.
- The result is a flat peak in the strain profile in the central, inactive part of the zone.
- This type of development is normally attributed to strain hardening.

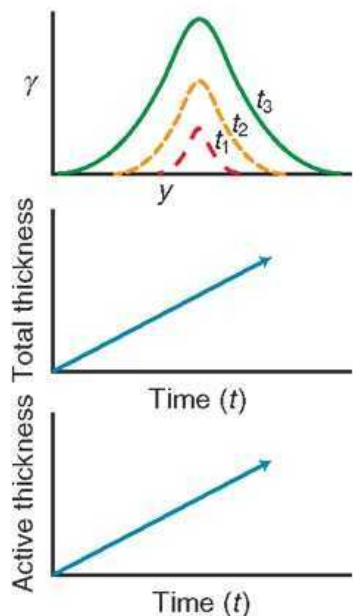


Scherzonentypen

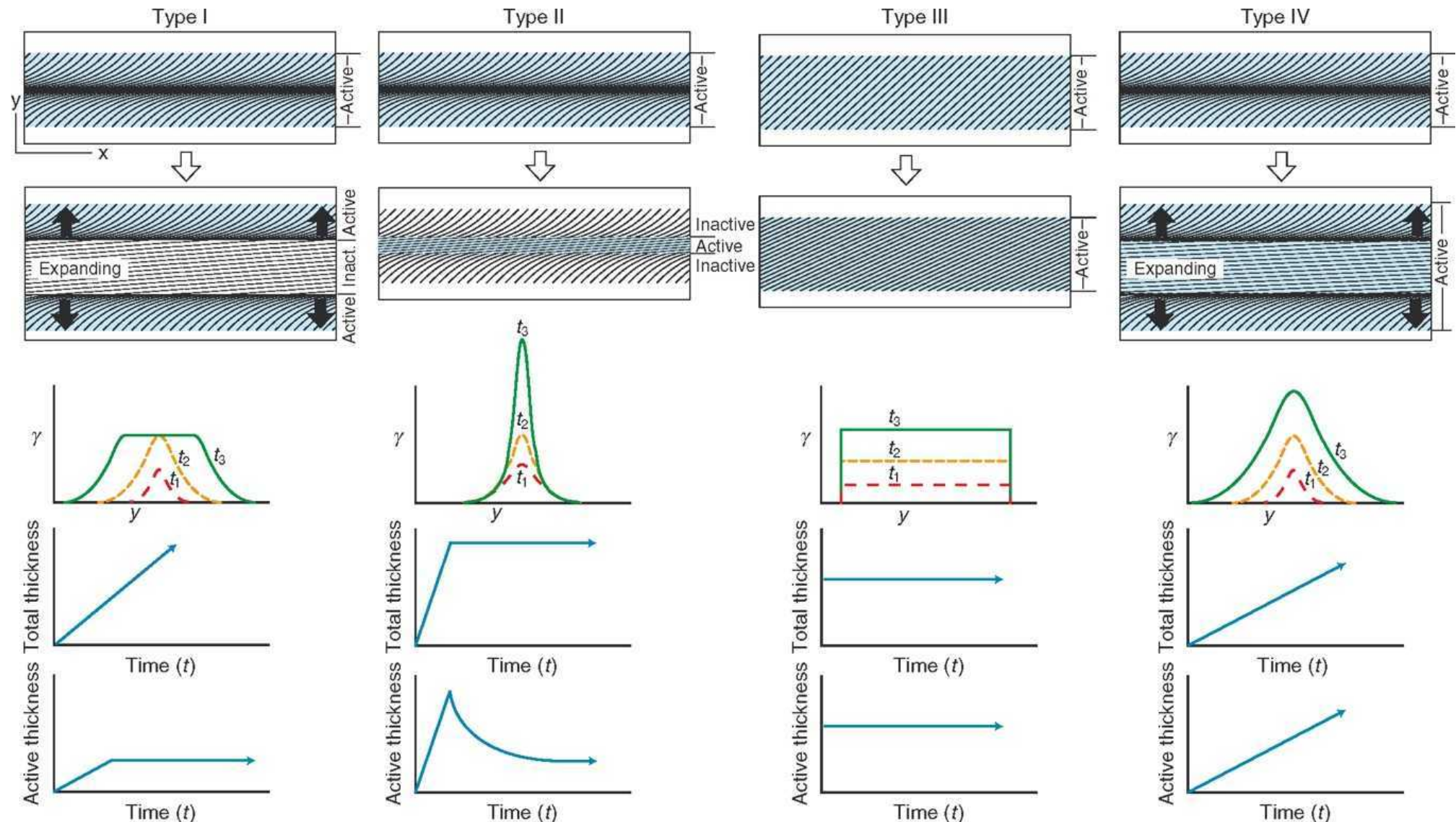


Type IV

- Type IV shear zones expand continuously during their lifetime.
- The entire zone is always active.
- The result is a steep peak-shaped strain profile through the zone.

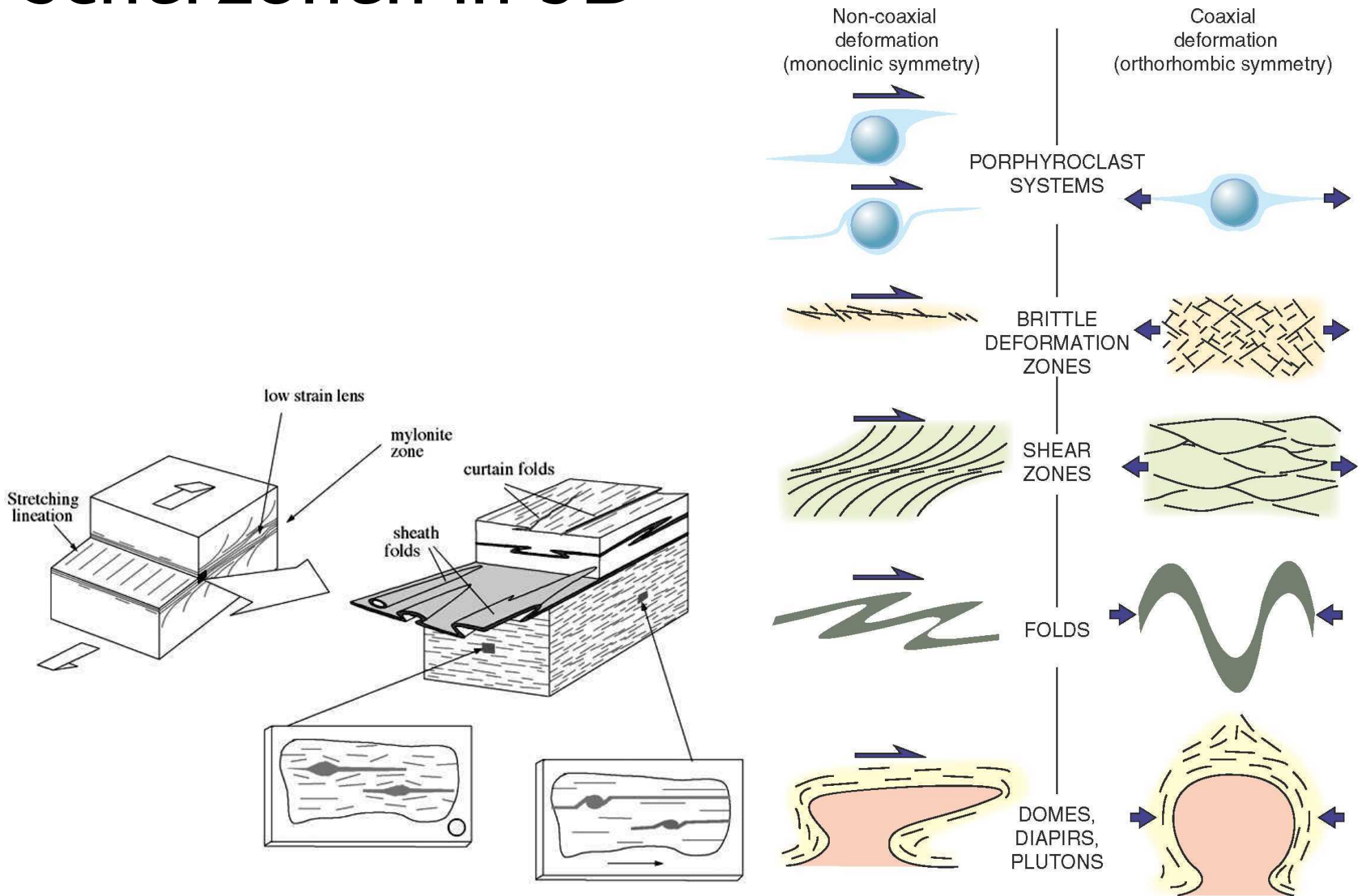


Scherzonentypen

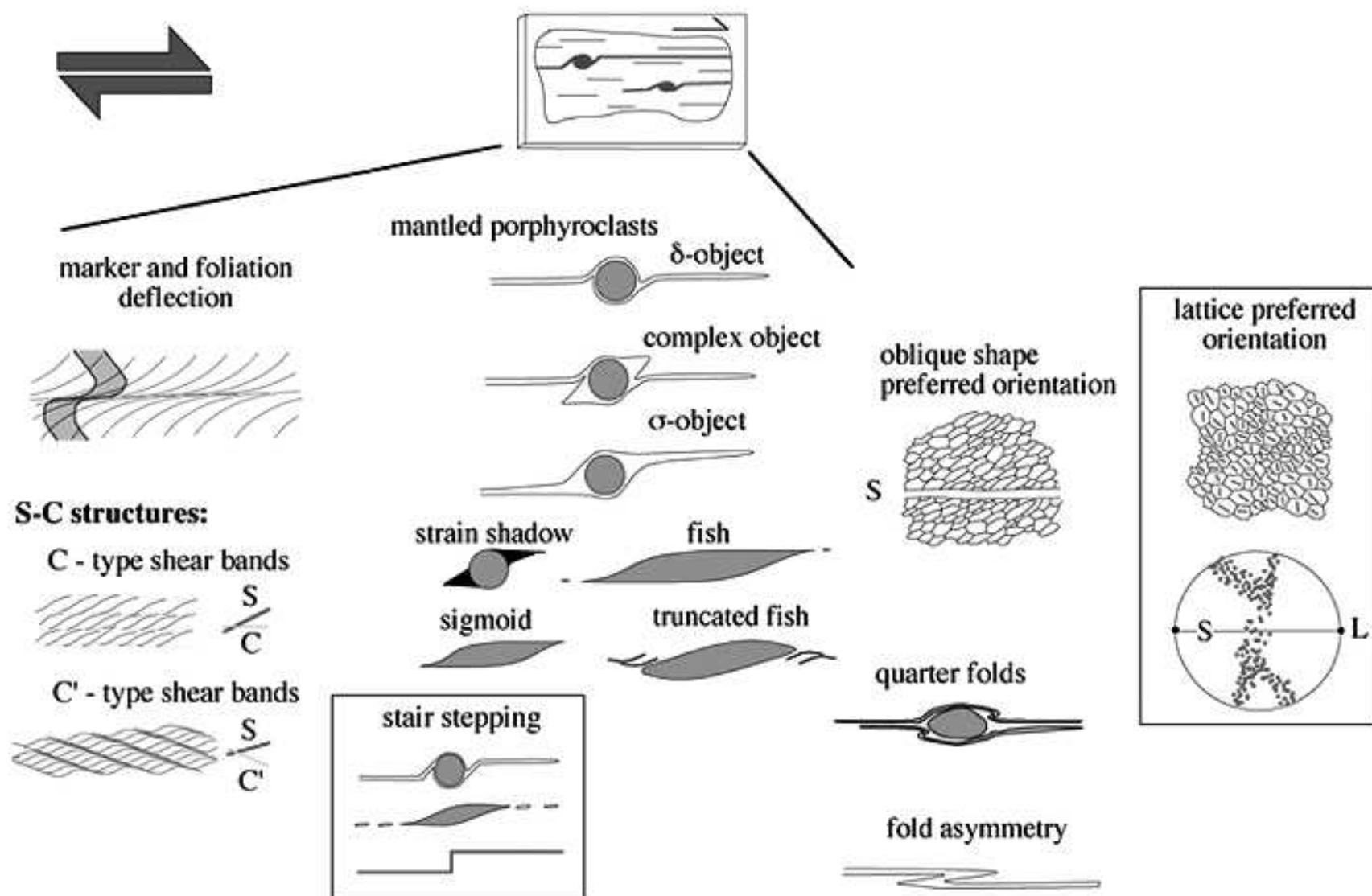


mit Scherzonen
assoziierte
(Mikro-)Strukturen

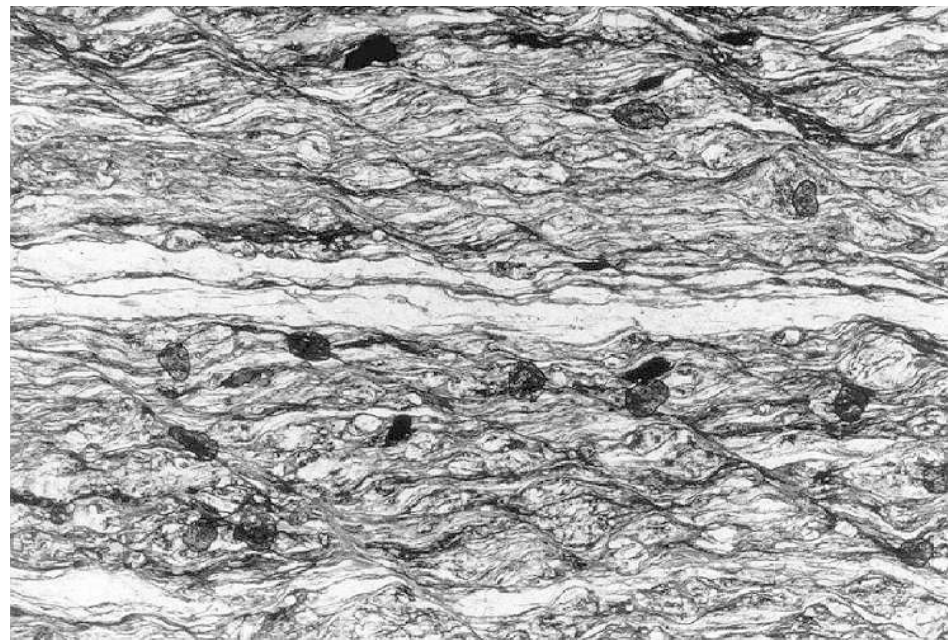
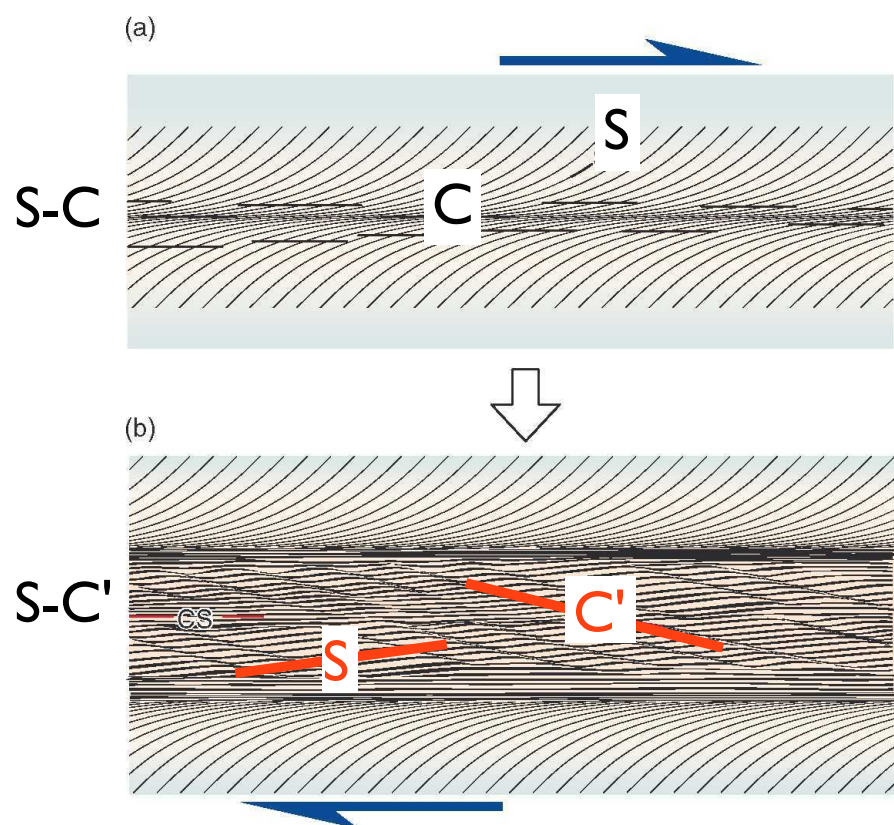
Scherzonen in 3D



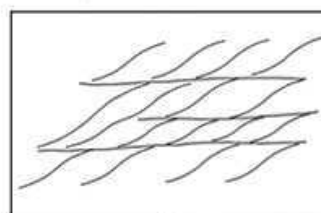
characteristic features of shear zones



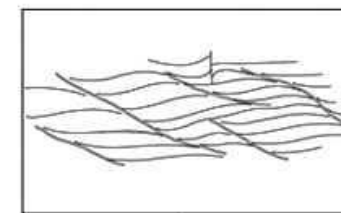
S-C and S-C' fabrics



C-type shear bands



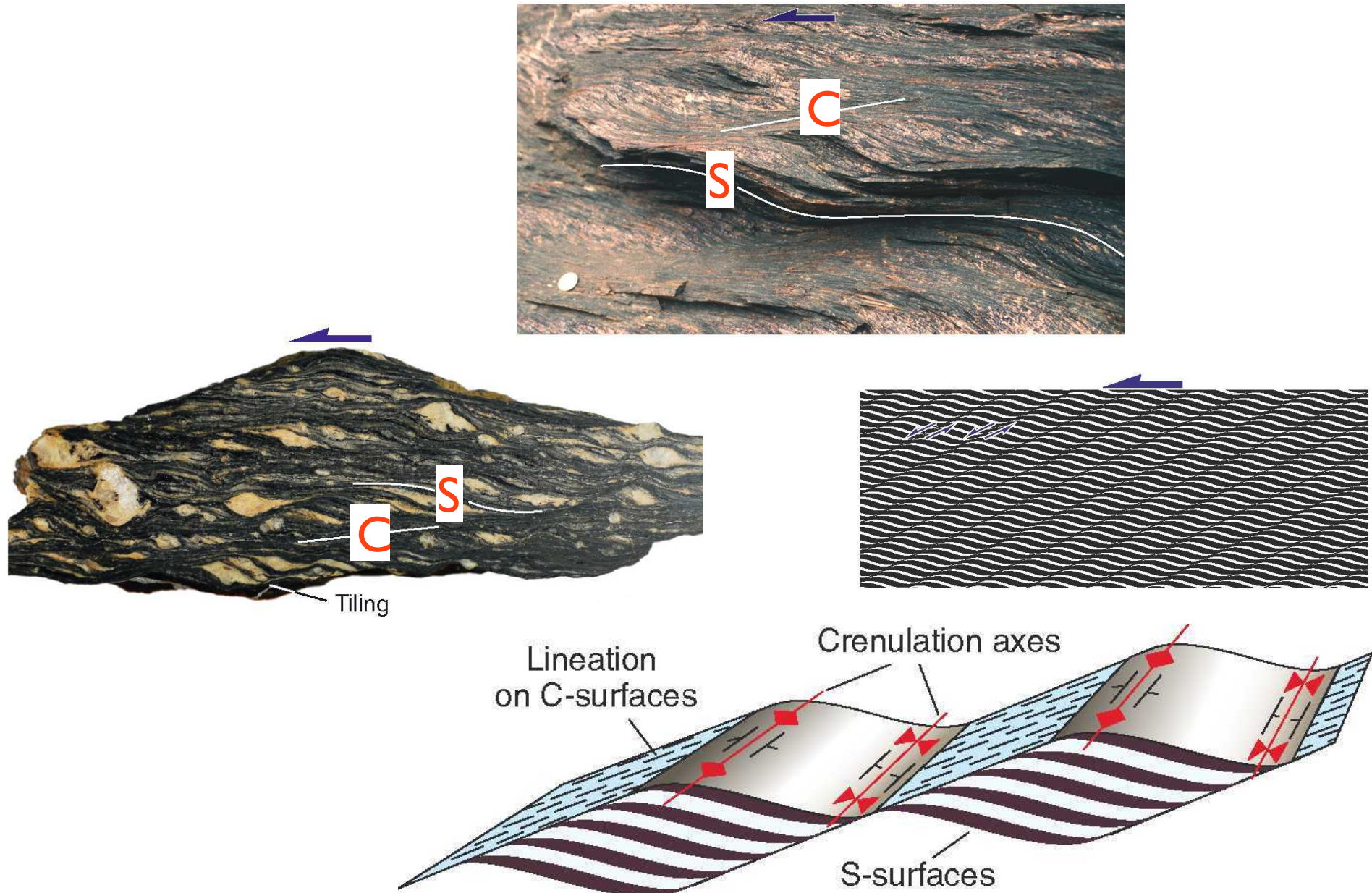
C'-type shear bands



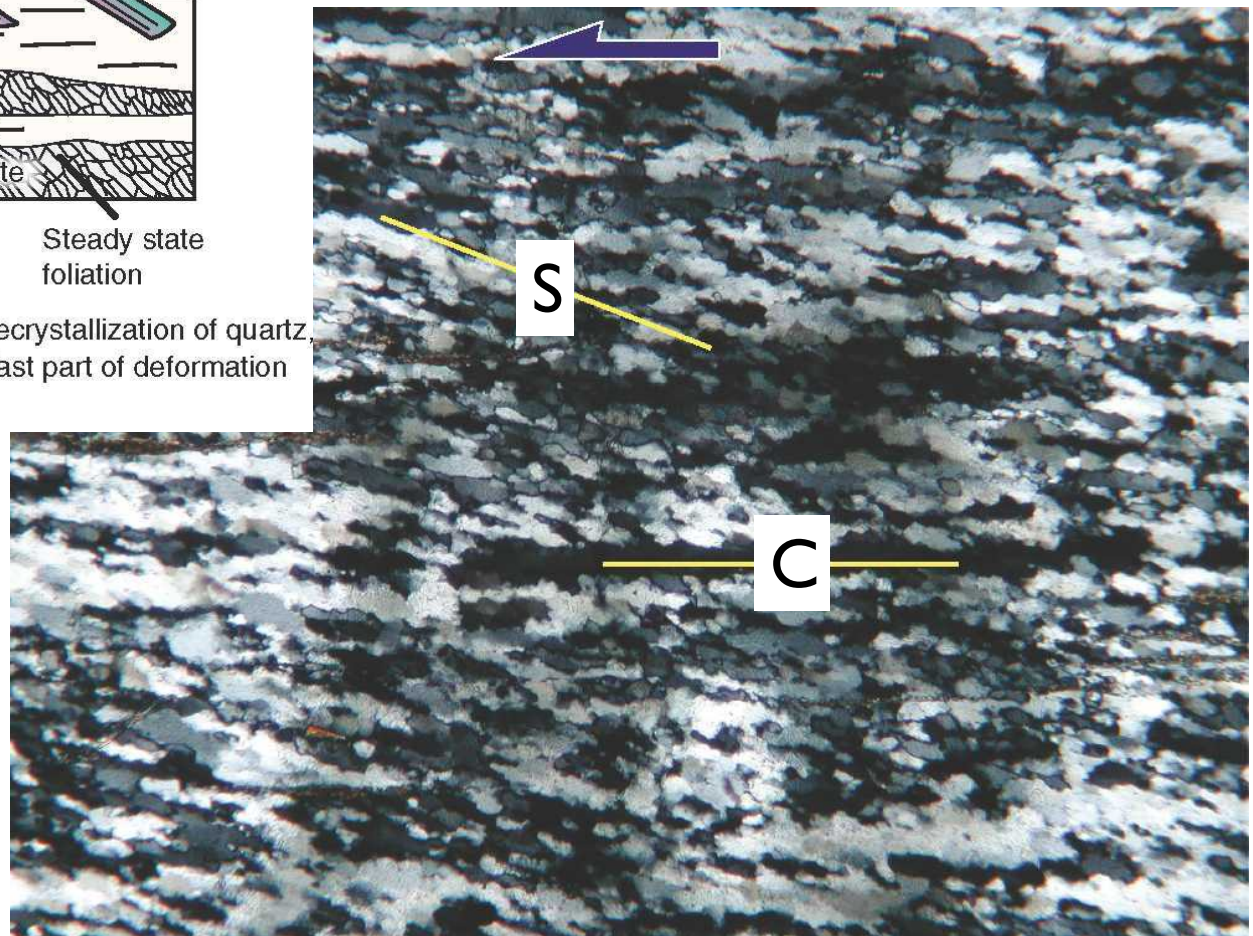
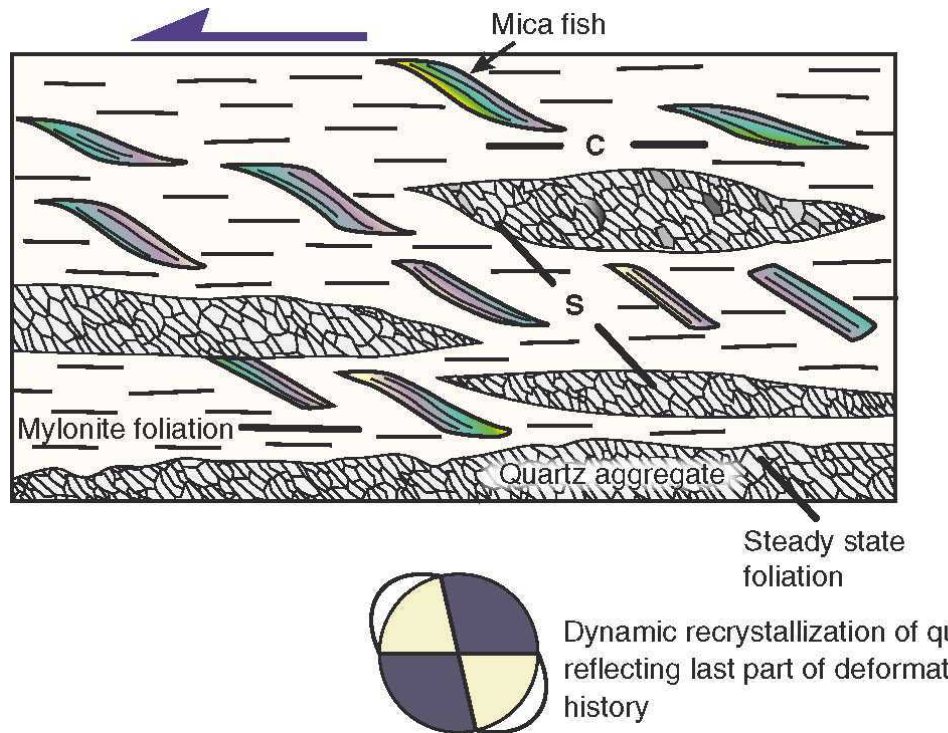
S = schistosité

C = cisaillement

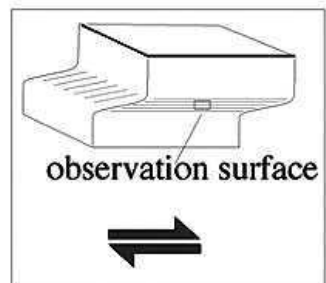
S-C shear band geometry



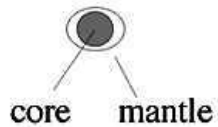
S-C microstructures



σ - and δ - clasts



Θ -type (no wings)



winged mantled objects :

stair stepping

σ -type

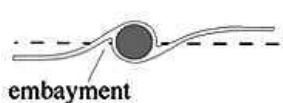


no stair stepping

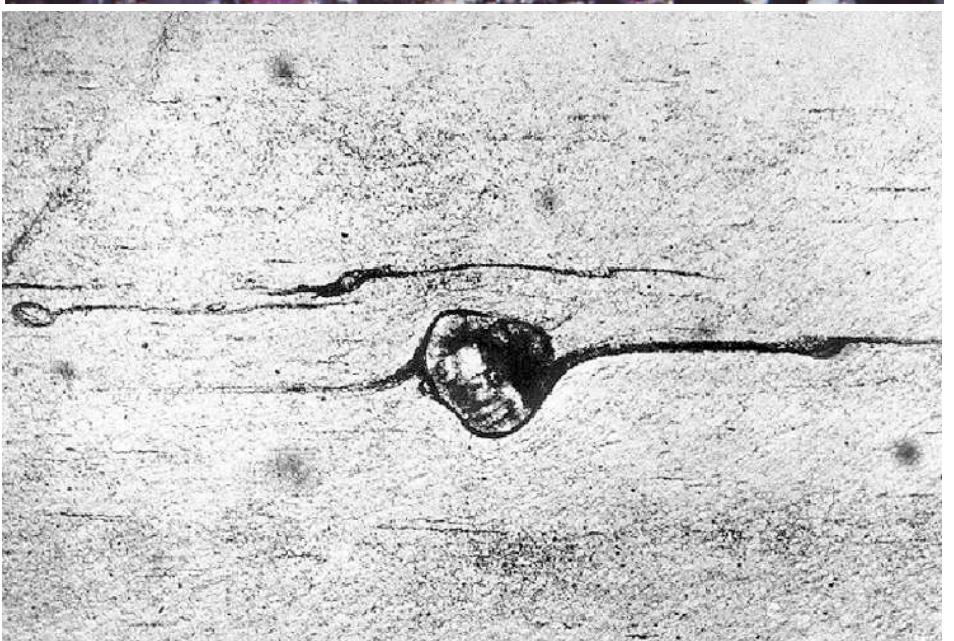
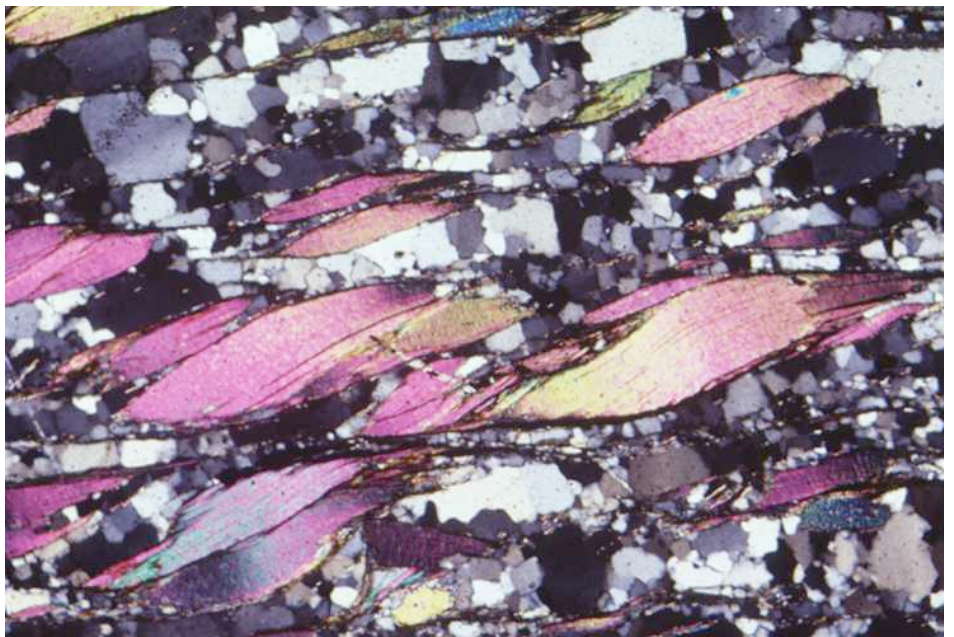
ϕ -type



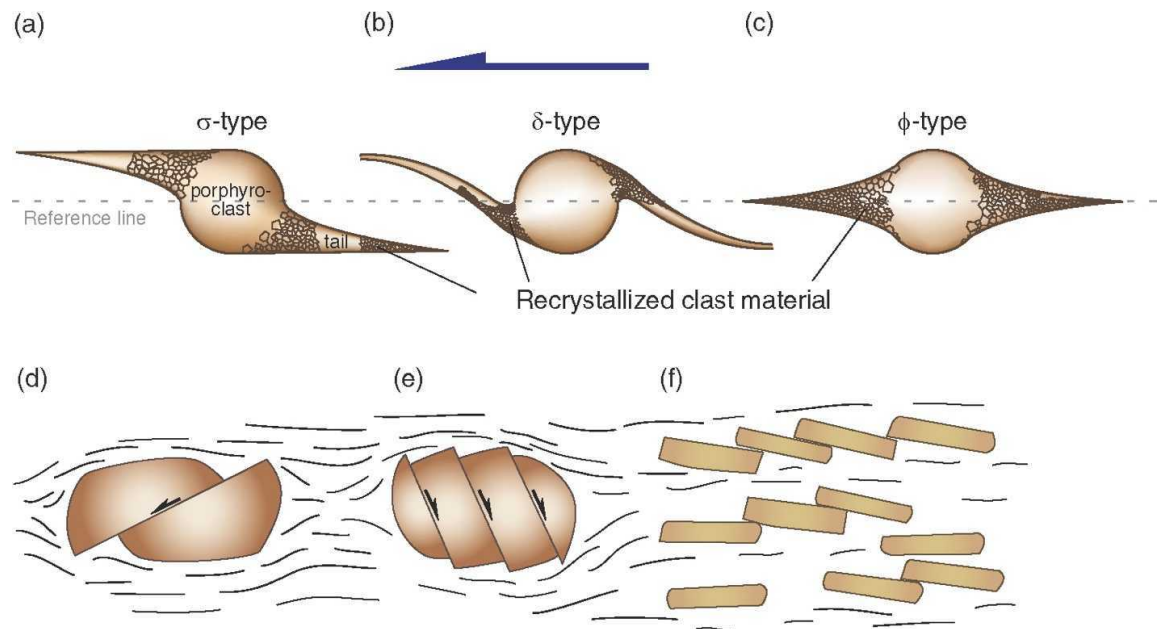
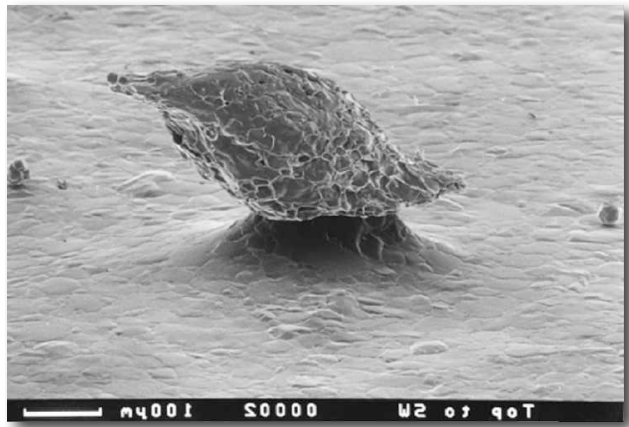
δ -type



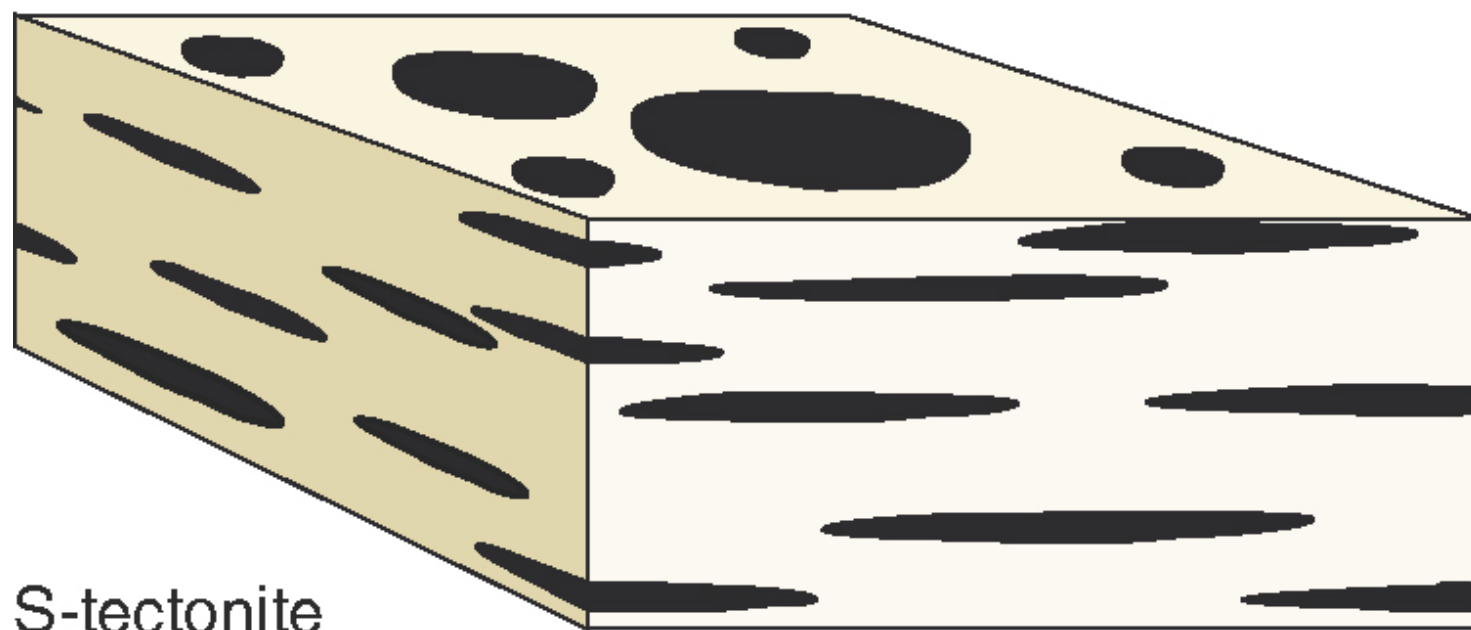
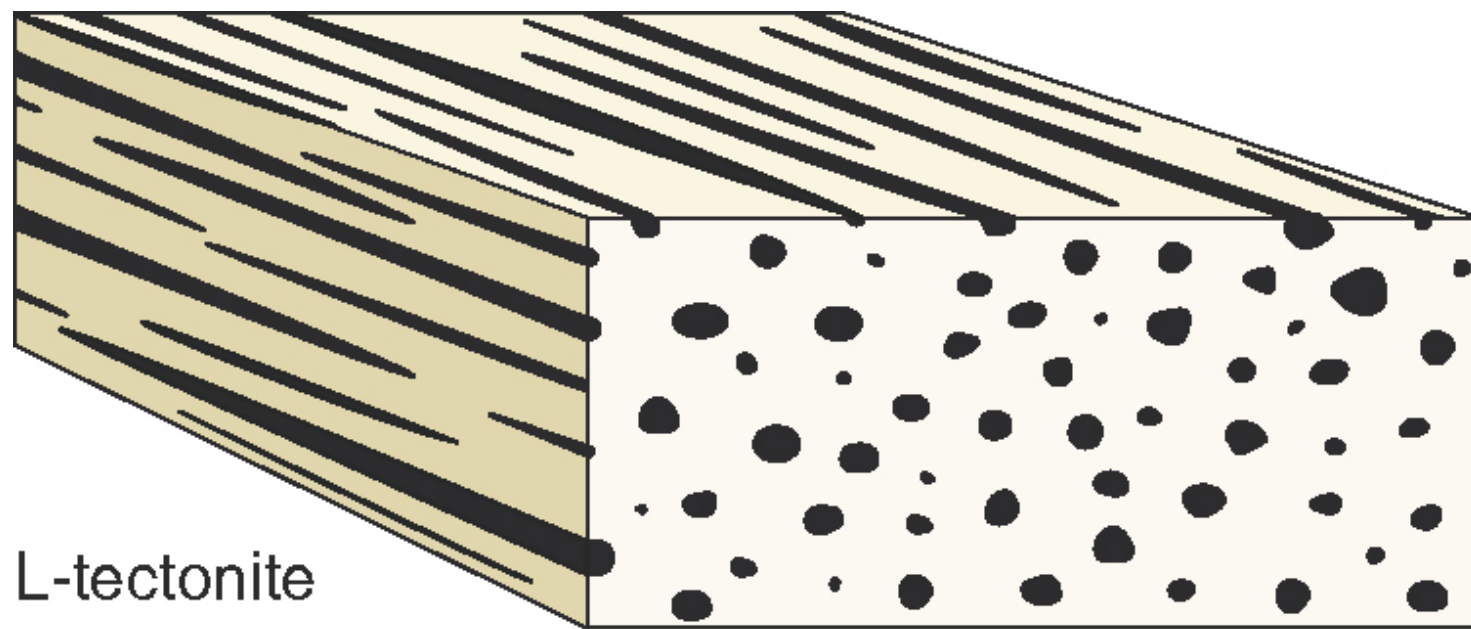
complex (several sets of wings)



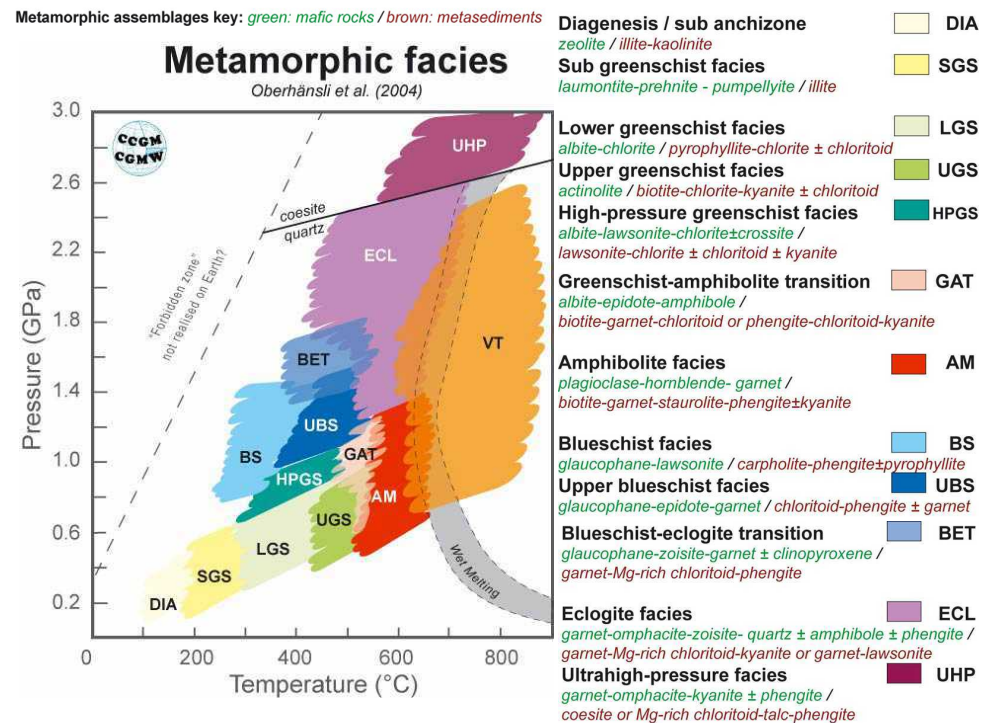
σ - δ - and ϕ - clasts



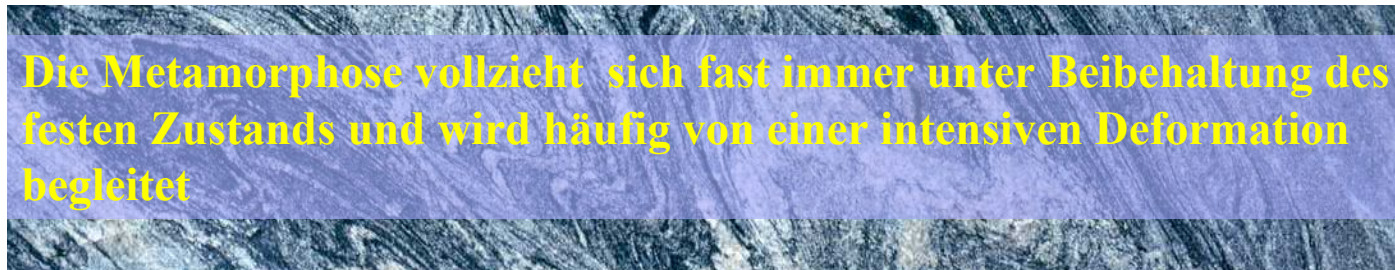
Beschreibung von Foliation & Lineation



recap: System Erde - Metamorphite



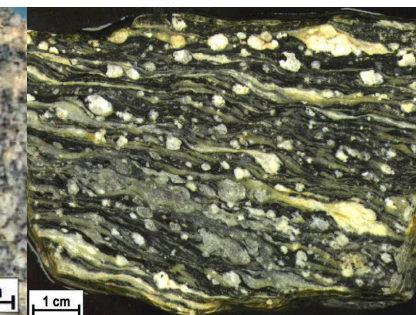
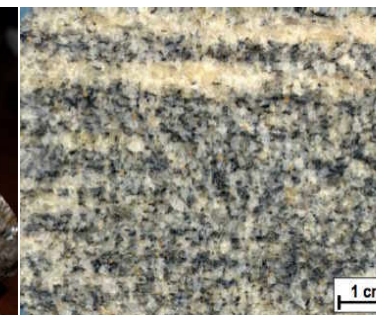
Die Klassifikation der metamorphen Gesteine basiert auf der Zusammensetzung (mineralogisch oder chemisch) und dem Gefüge



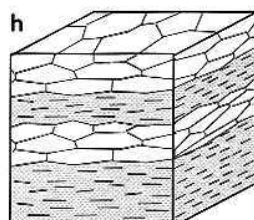
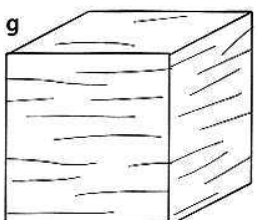
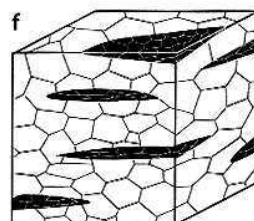
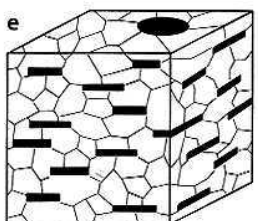
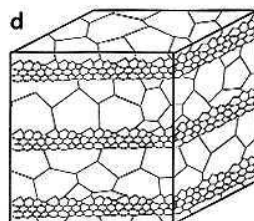
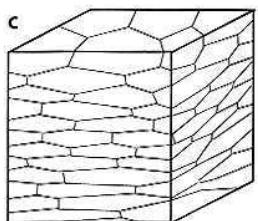
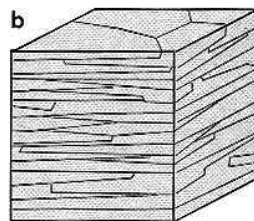
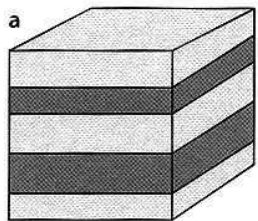
... und umgekehrt

Gesteine mit Planargefüge

Tonschiefer (slate)	Phyllit	Schiefer (schist)	Gneis	Mylonit
Kompaktes, sehr feinkörniges metamorphes Gestein mit guter Spaltbarkeit. Rauhe (nicht glänzende) Bruchflächen. Phyllit	Fein geschieferetes metamorphes Gestein mit sehr feinkörnigen Phyllosilikaten (z.B. viel Serizit und Chlorit), die aber mit bloßem Auge nicht erkennbar sind. Bruchflächen erhalten dadurch einen seidigen Glanz.	Metamorphes Gestein mit deutlicher Schieferung. Im Gegensatz zu Ton-schiefern und Phylliten sind in Schiefern die gefügedefinierenden Minerale (meist Glimmer) gut mit bloßem Auge erkennbar.	Metamorphes Gestein mit schwach ausgeprägter Schieferung oder Stoff- bänderung im m- bis cm-Bereich; meist grobkörniges Gefüge. Spalten im dm-Bereich.	Extrem stark durchbewegter, rekristallisierte Metamorphit



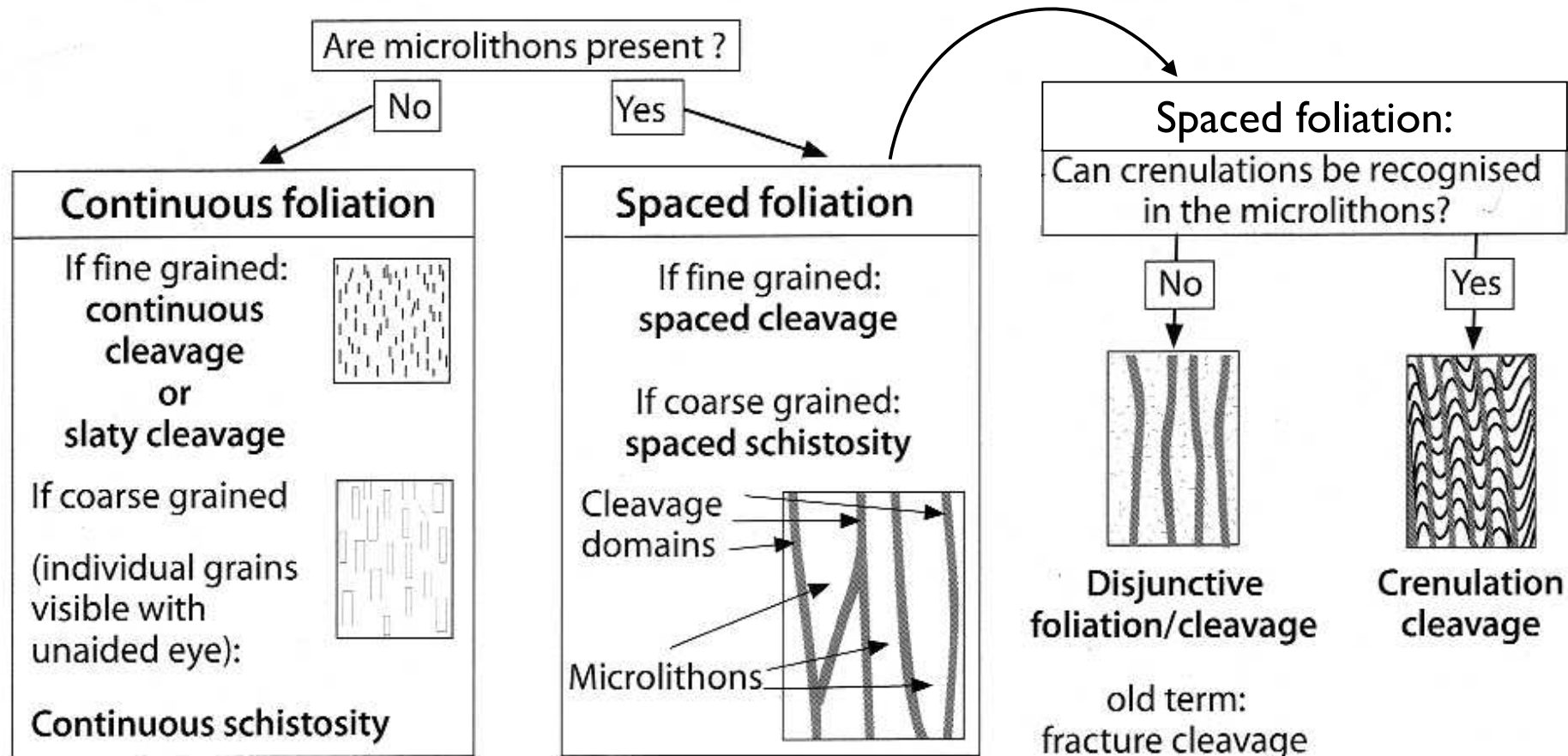
Planare Gefüge (planar fabric)



- a. Stoffbänderung
 - a compositional layering
- b. Orientierung tafeliger Minerale
 - b preferred orientation of platy minerals
- c. Deformierte Minerale
- d. Korngrößen-Variation
 - c preferred orientation of grain shapes
 - d grain size variations
- e. Orientierung tafeliger Minerale in einer Matrix ohne planare Gefüge
 - e platy minerals in isotropic matrix
- f. Orientierung linsenförmiger Mineral-Aggregate
 - f lenticular aggregates in isotropic matrix
- g. Orientierung von Rissen
- h. Kombinationen
 - g preferred orientation of fractures
 - h combination a, b, c

Klassifikation von Foliationen

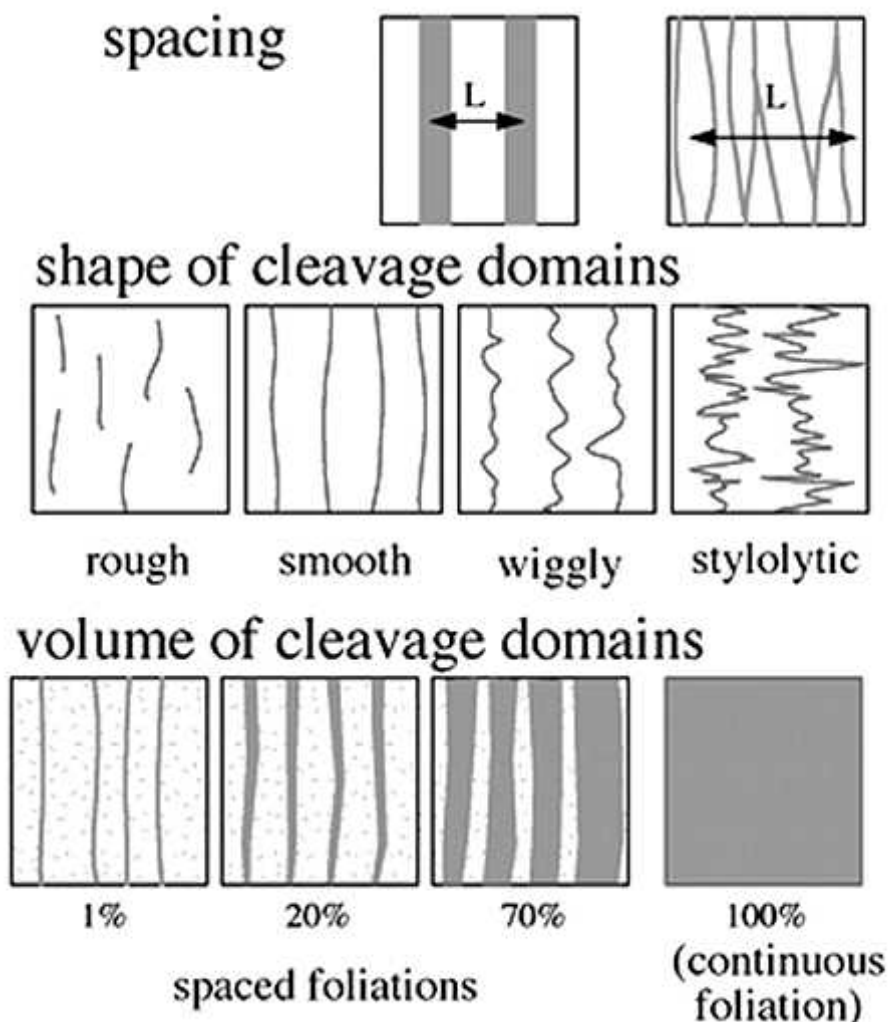
Morphological classification of foliations (using an optical microscope)



Penetrative Schieferung

Schieferung (mit Zwischenraum)

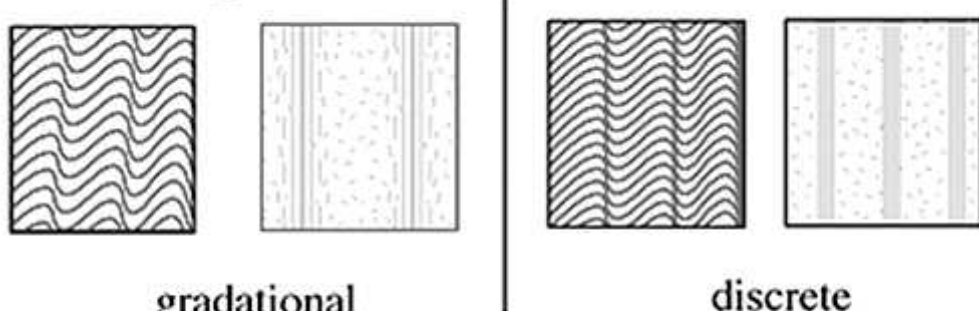
spaced foliation



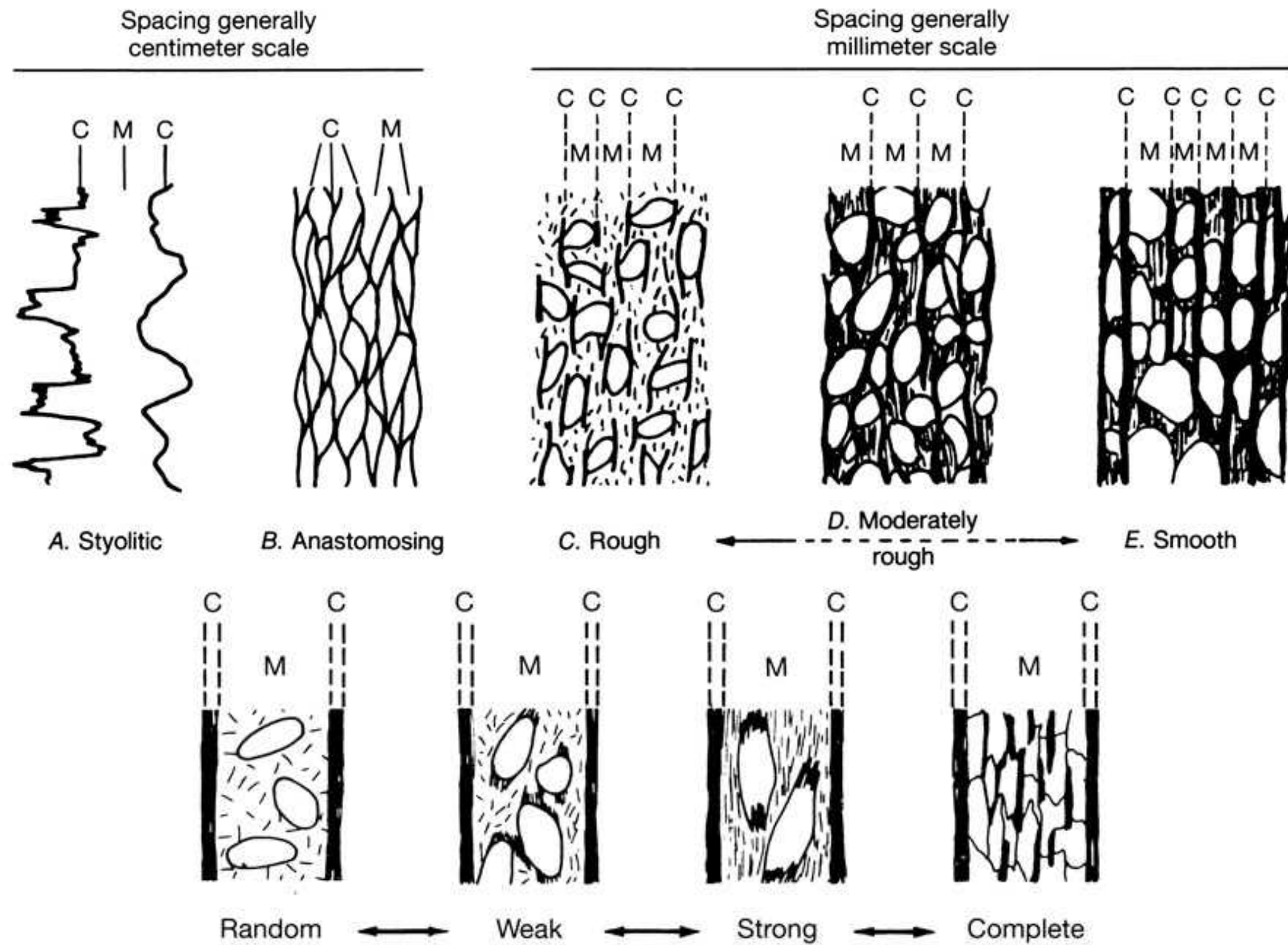
relation between cleavage domains



transition between
cleavage domains and microlithons



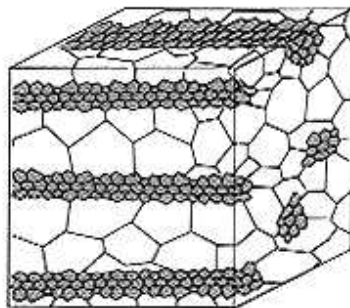
cleavage domains & microlithons



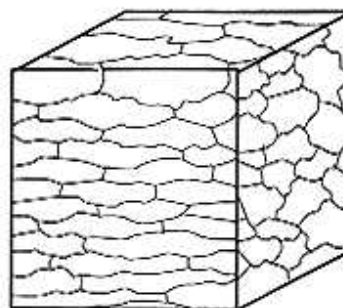
Lineare Gefüge (linear fabrics)

Object lineation

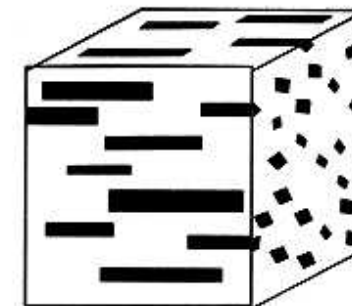
Aggregate lineation



Grain lineation
(isotropic minerals)



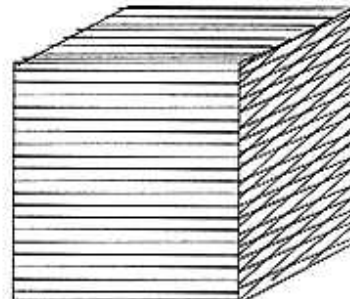
Grain lineation
(anisotropic minerals)



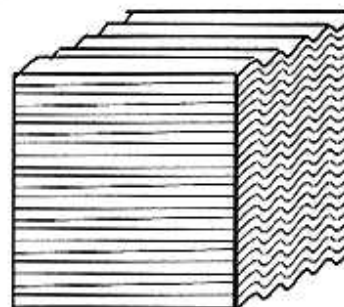
Stretching lineation

Trace lineation

Intersection lineation

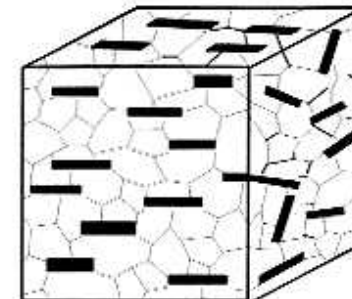


Crenulation lineation



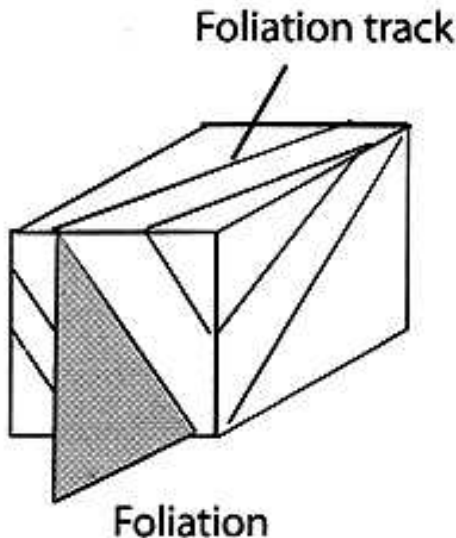
Mineral lineations

Platelet lineation

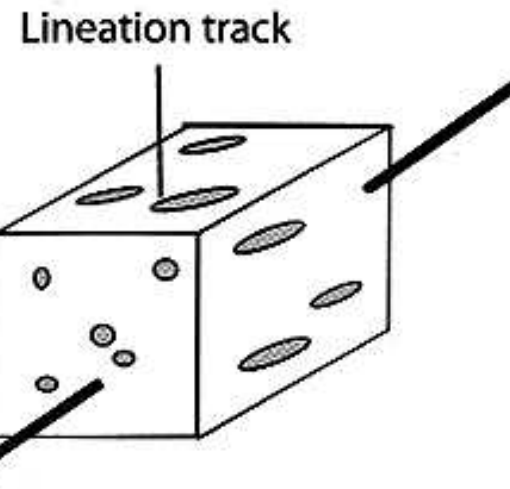


Lineation (Intersektions-)Lineare

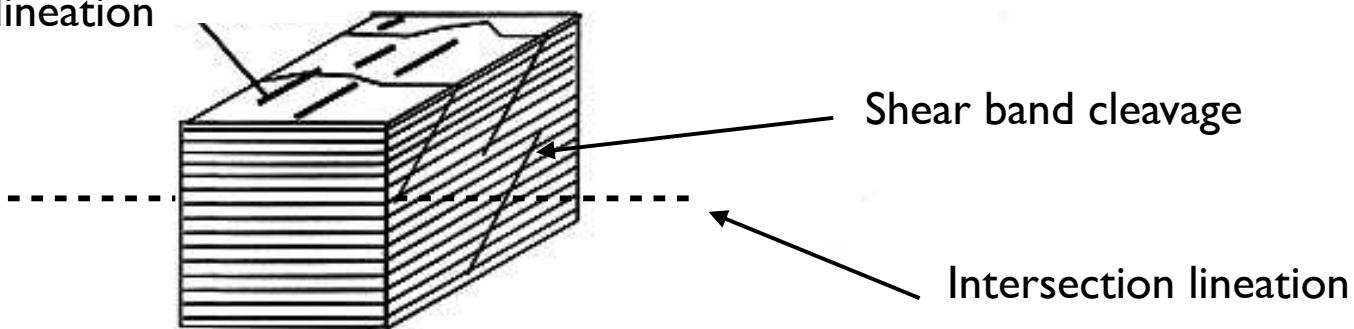
Trace lineation



Object lineation



Aggregate lineation



Nomenklatur

Foliation

Foliation and cleavage	Spaced	Compositional	Diffuse Banded
		Disjunctive	Styolitic Anastomosing Rough Smooth
		Crenulation	Zonal Discrete
		Fine	Microcrenulation Microdisjunctive Microcontinuous
		Coarse	Mineral grain Discrete
	Continuous		

Schichtung s_0

Foliation: tektonometamorph entstandenes Planargefüge

Schieferung: cleavage (Transversalschieferung)

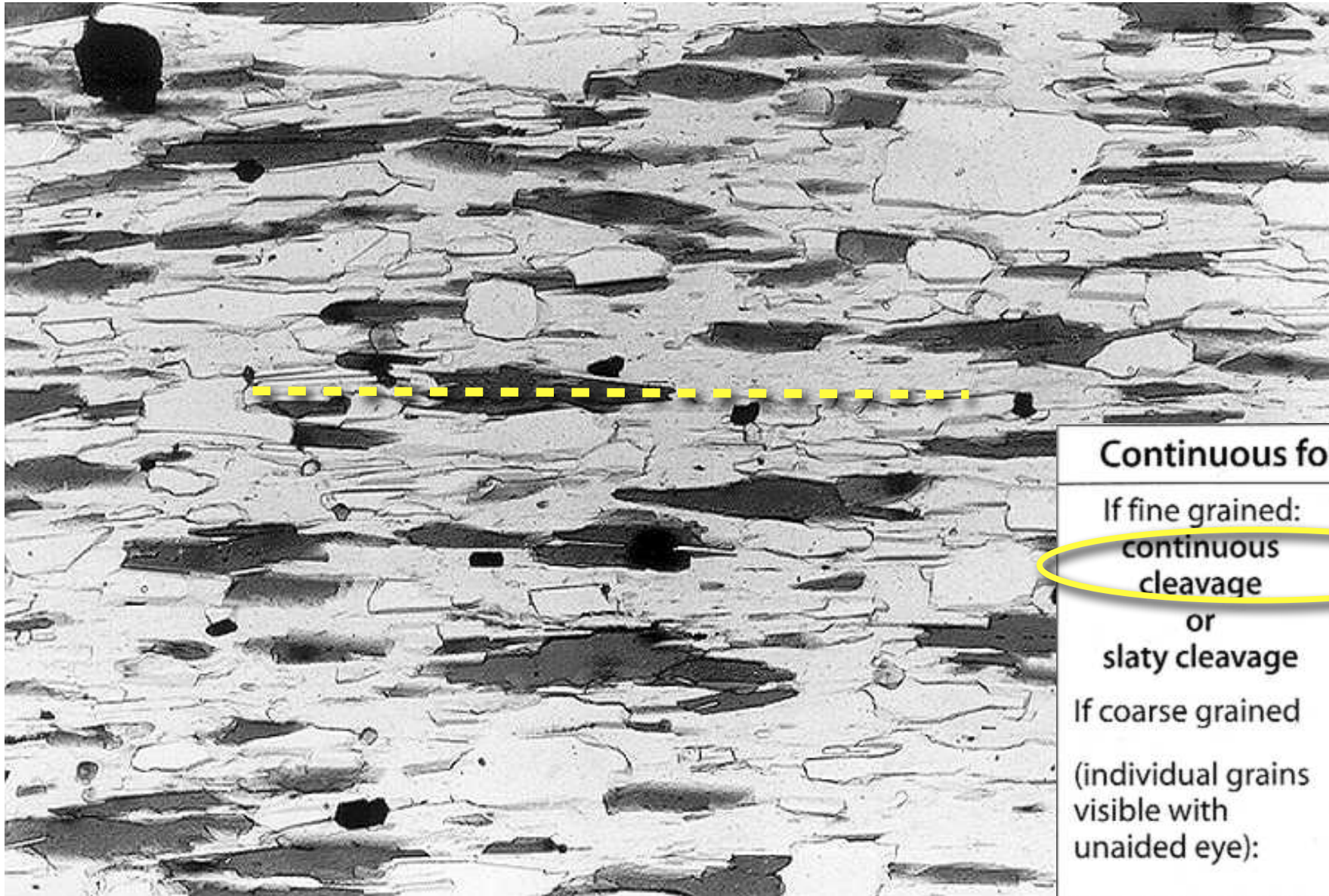
schistosity (Kristallisationsschieferung)

Lineation

Lineations in tectonites (surficial or penetrative)	Structural	Discrete	Pebbles Ooids Fossils Alteration spots
		Constructed	Intersections Hinge lines Boudin lines Mullions Structural slickenlines
	Mineral	Polycrystalline	Rods Mineral clusters Mineral slickenlines Nonfibrous overgrowths
		Mineral grain	Acicular habit grains Elongated grains Mineral fibers Fibrous vein filling Slickenfibers Fibrous overgrowths

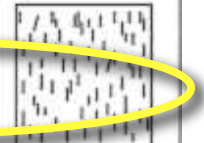
Beispiele

continuous schistosity



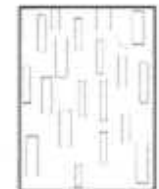
Continuous foliation

If fine grained:
**continuous
cleavage**



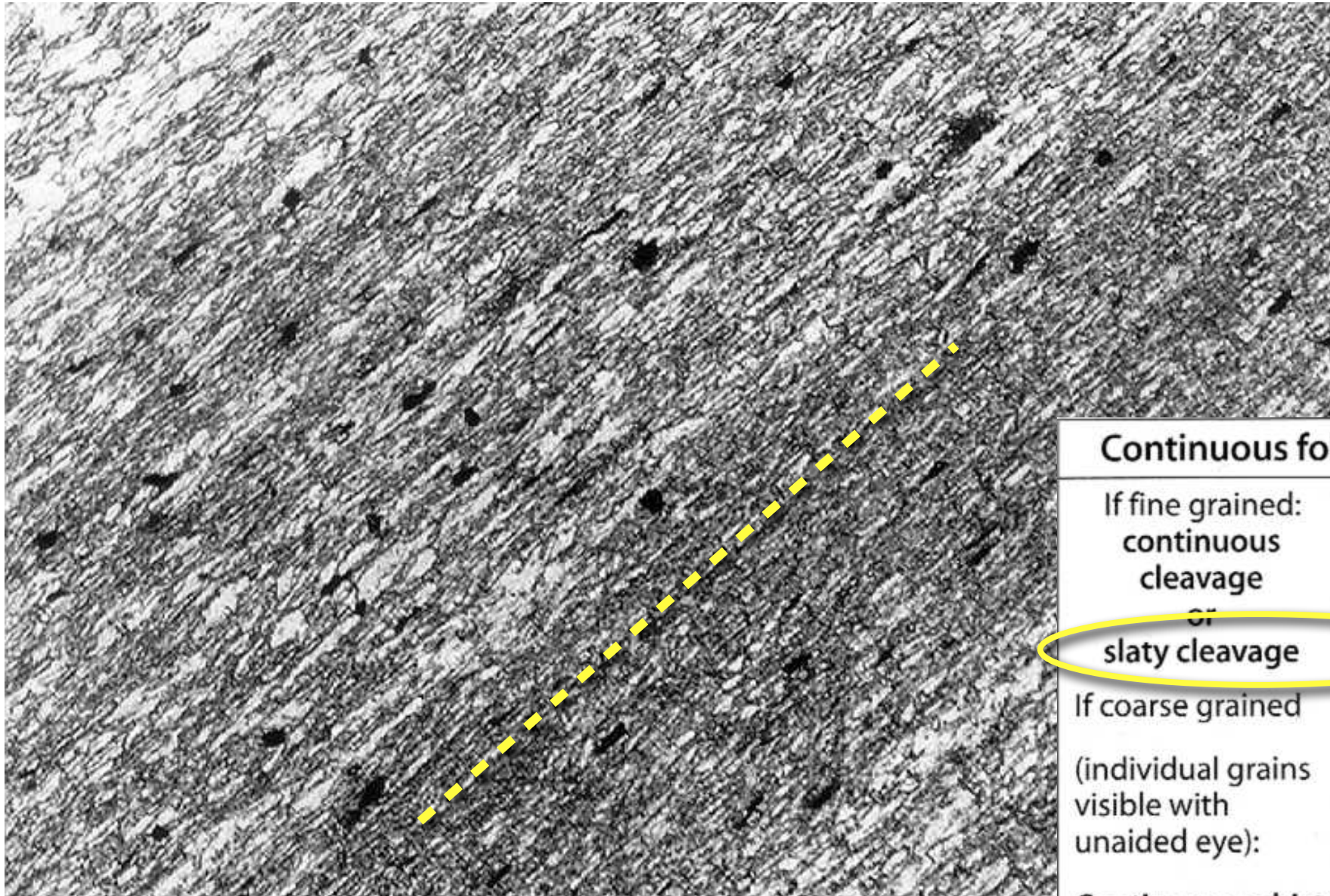
or
slaty cleavage

If coarse grained
(individual grains
visible with
unaided eye):



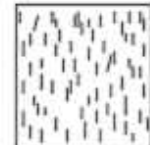
Continuous schistosity

slaty cleavage



Continuous foliation

If fine grained:
**continuous
cleavage**



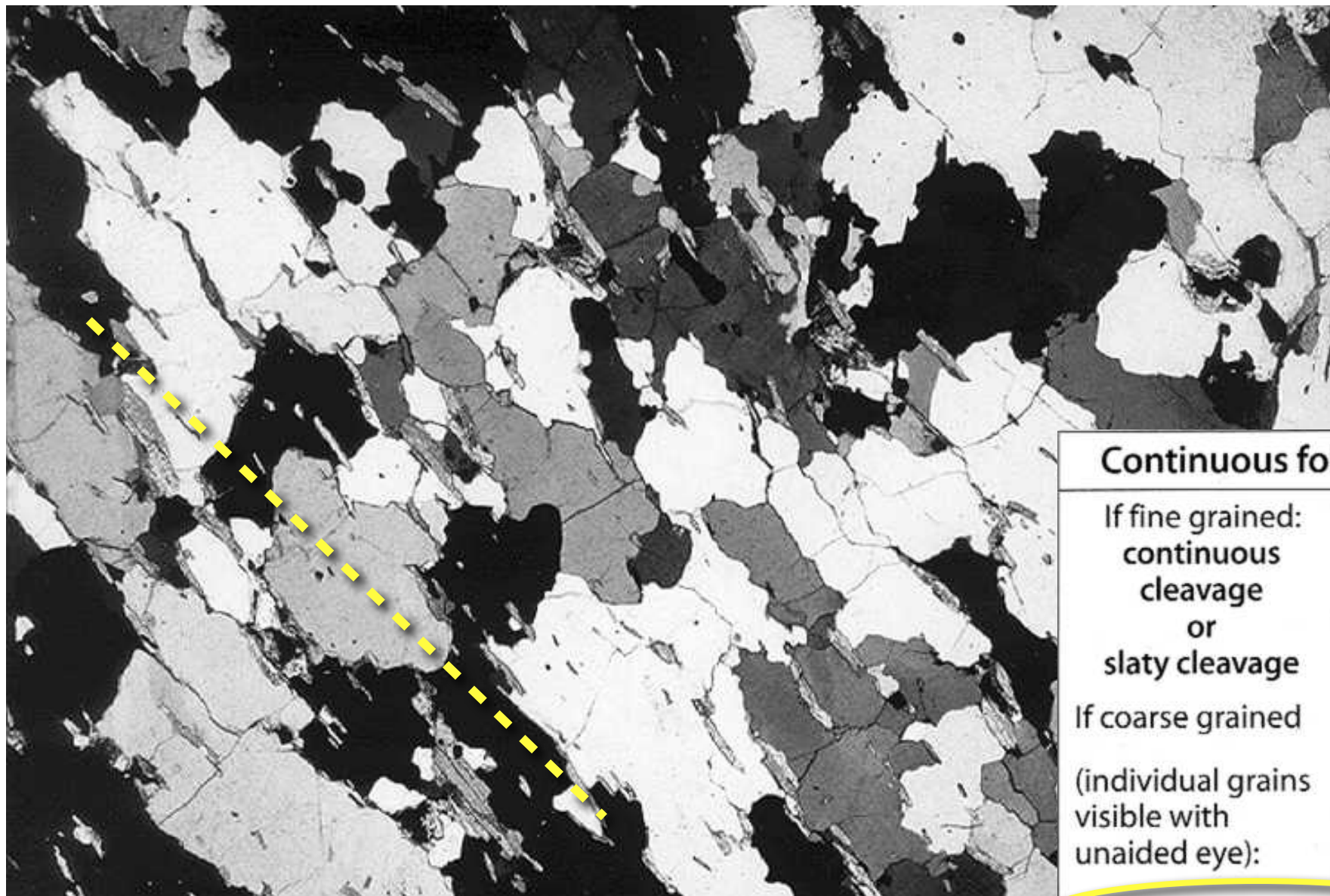
or
slaty cleavage

If coarse grained
(individual grains
visible with
unaided eye):



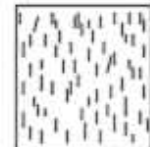
Continuous schistosity

continuous foliation (schistosity)



Continuous foliation

If fine grained:
**continuous
cleavage**
or
slaty cleavage

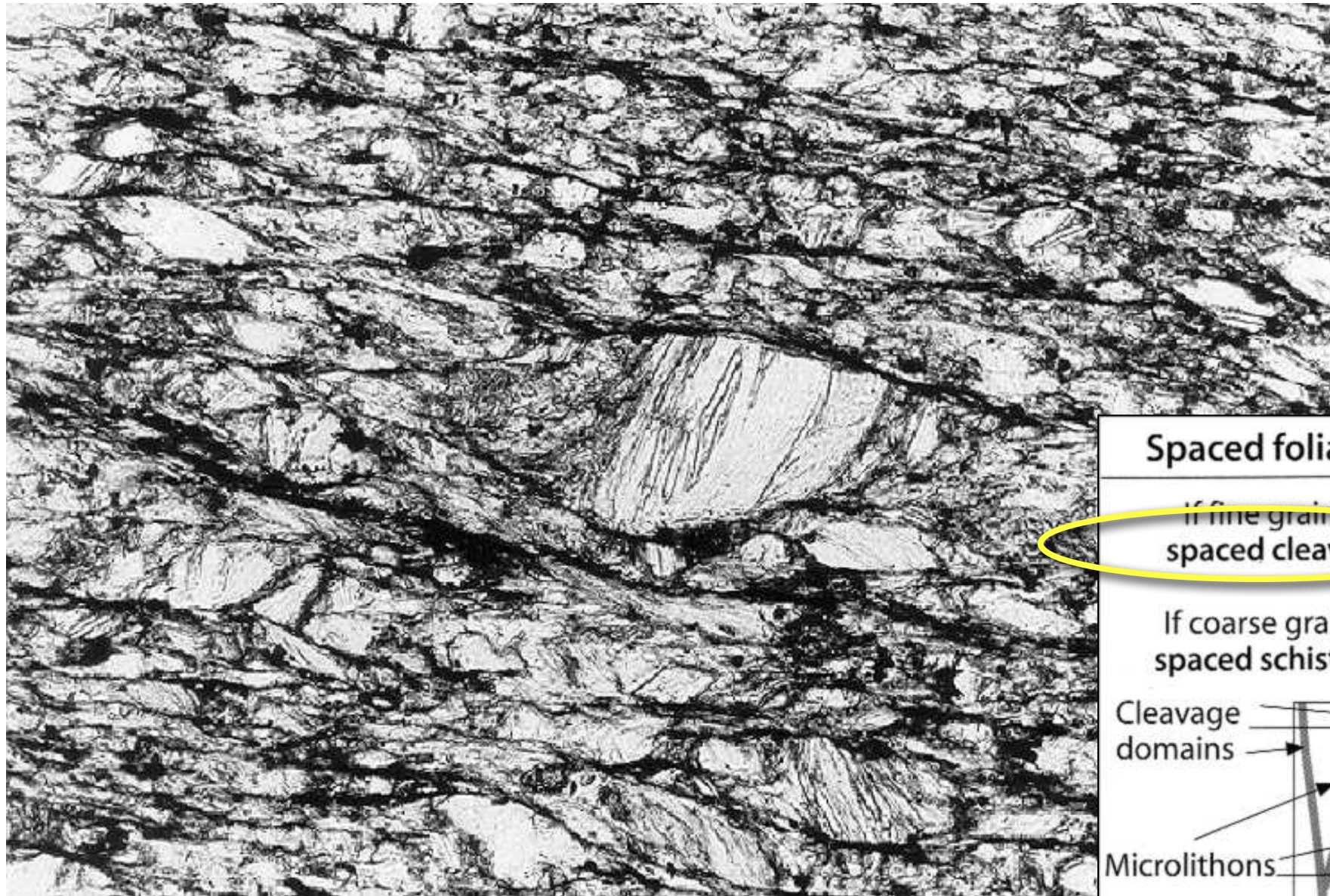


If coarse grained
(individual grains
visible with
unaided eye):



Continuous schistosity

domainal spaced cleavage



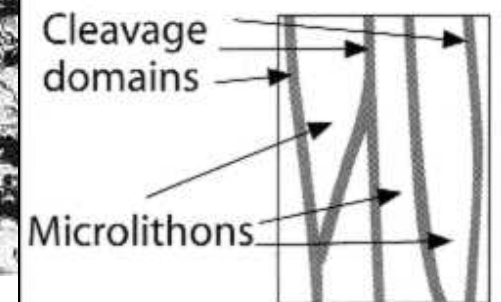
Spaced foliation

If fine grained:
spaced cleavage

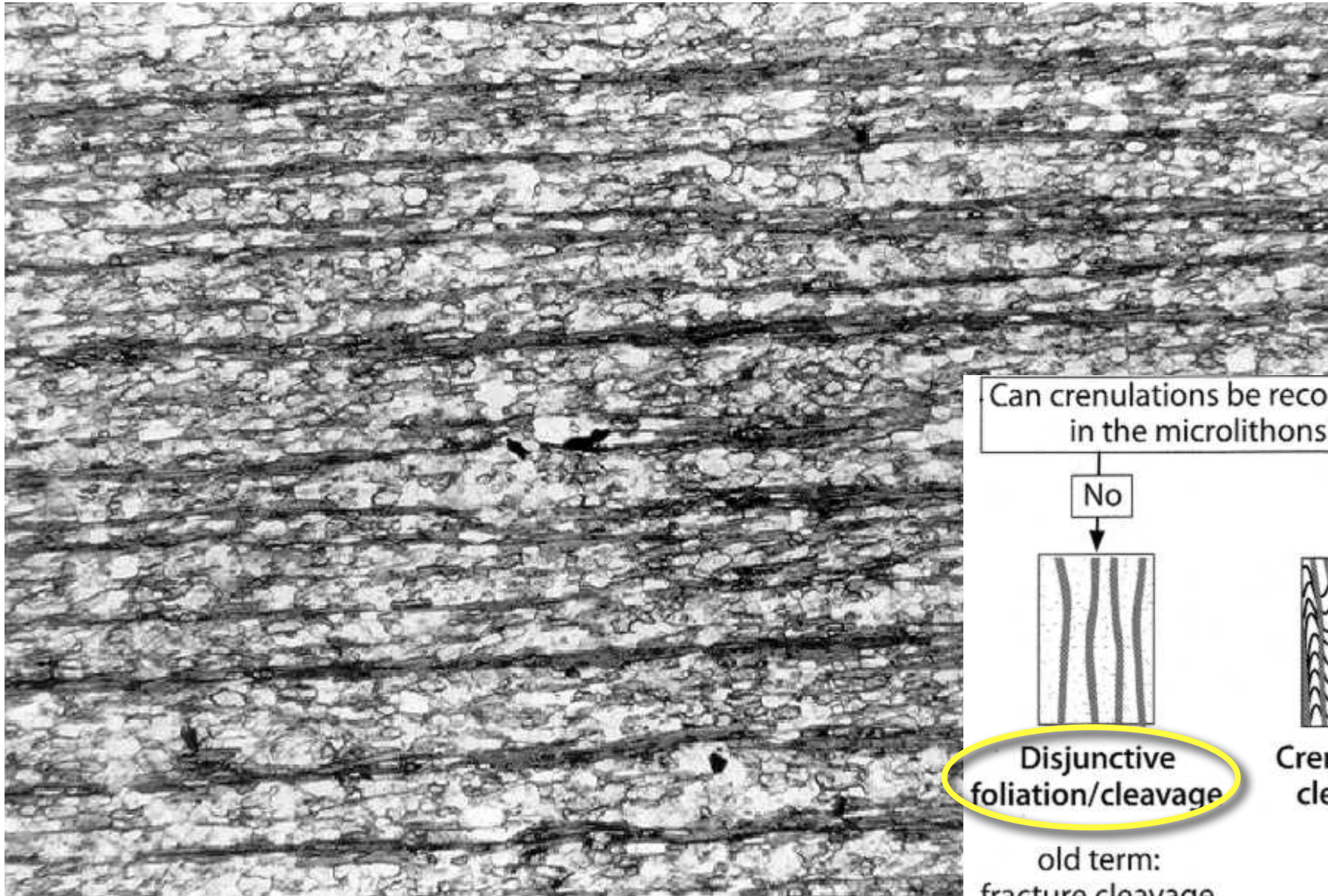
If coarse grained:
spaced schistosity

Cleavage
domains

Microlithons

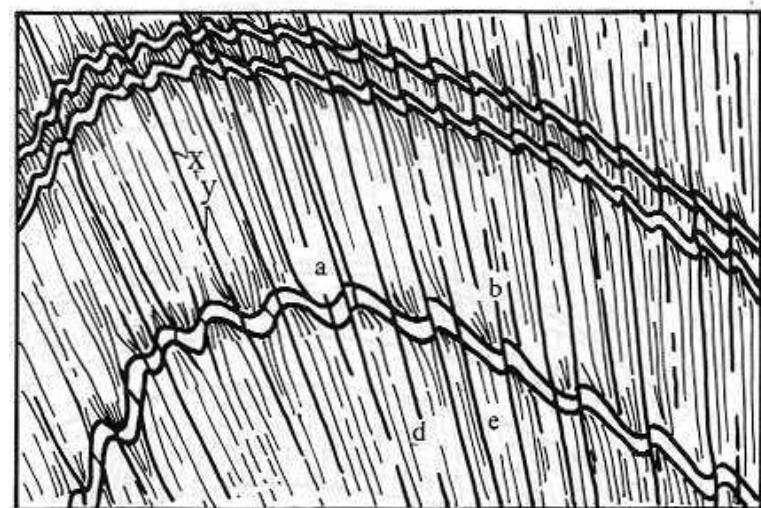
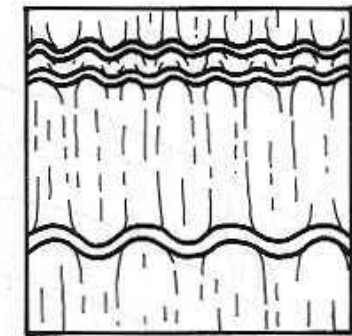
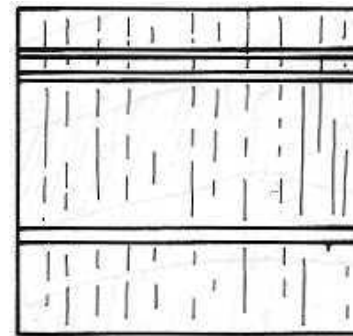
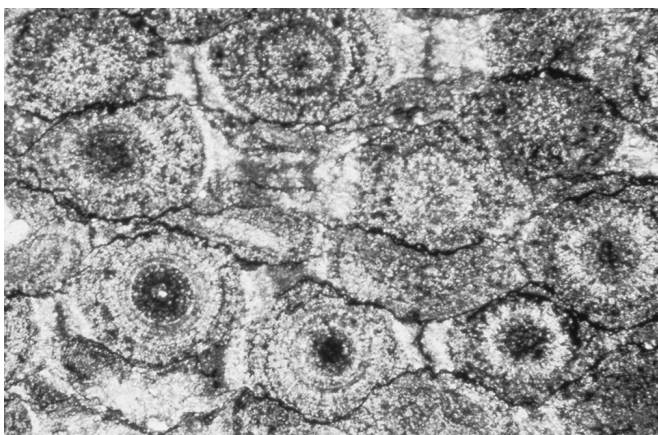
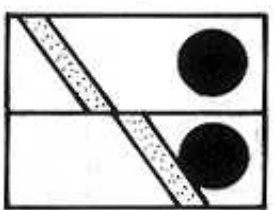
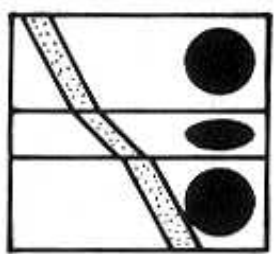
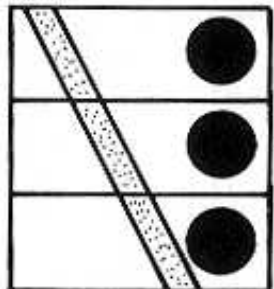


disjunctive cleavage

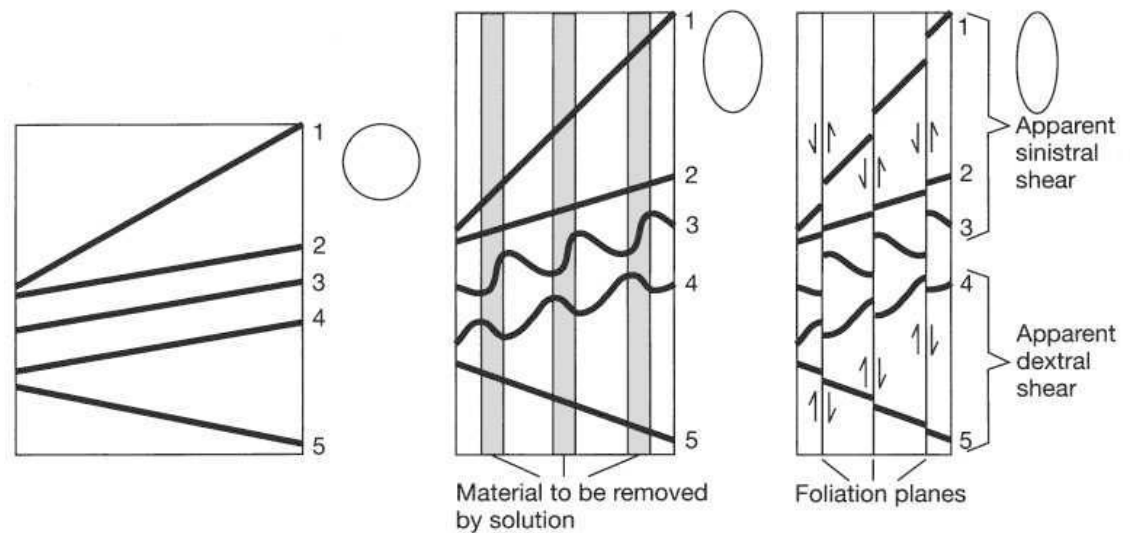
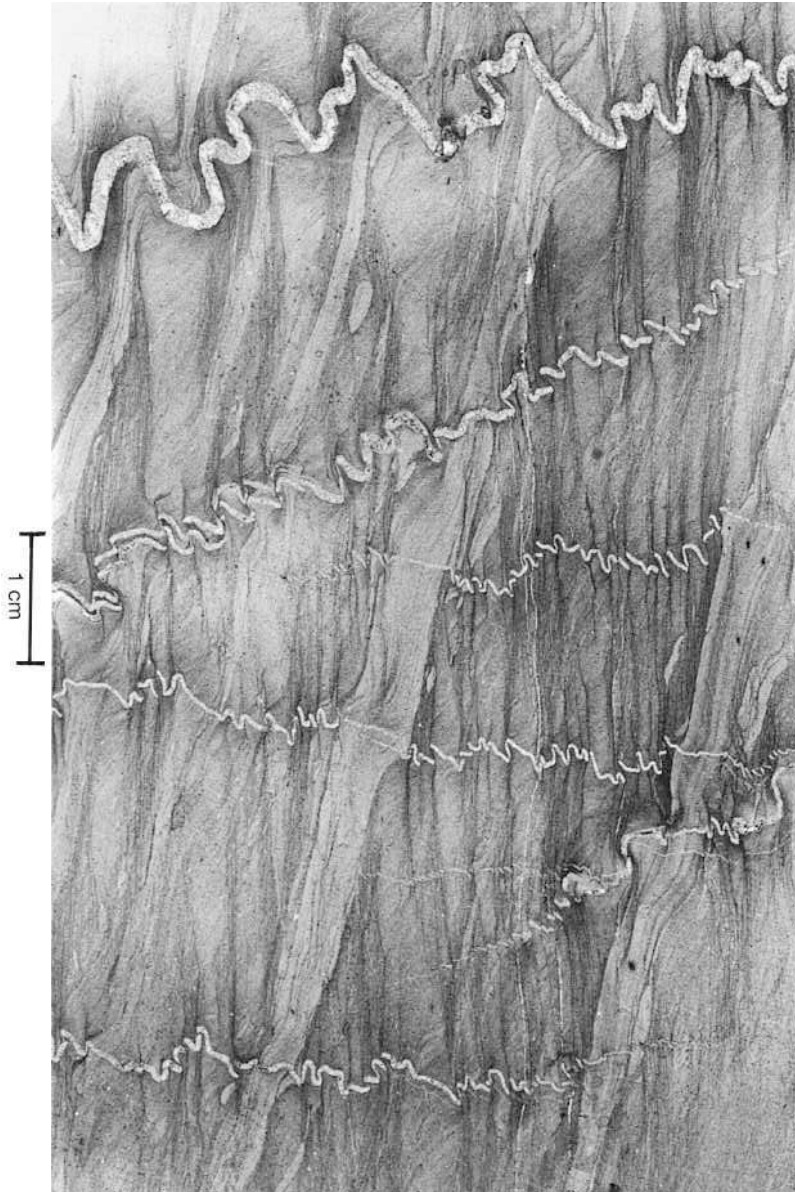


Spezielle Schieferungstypen

solution cleavage



Drucklösung - pressures solution

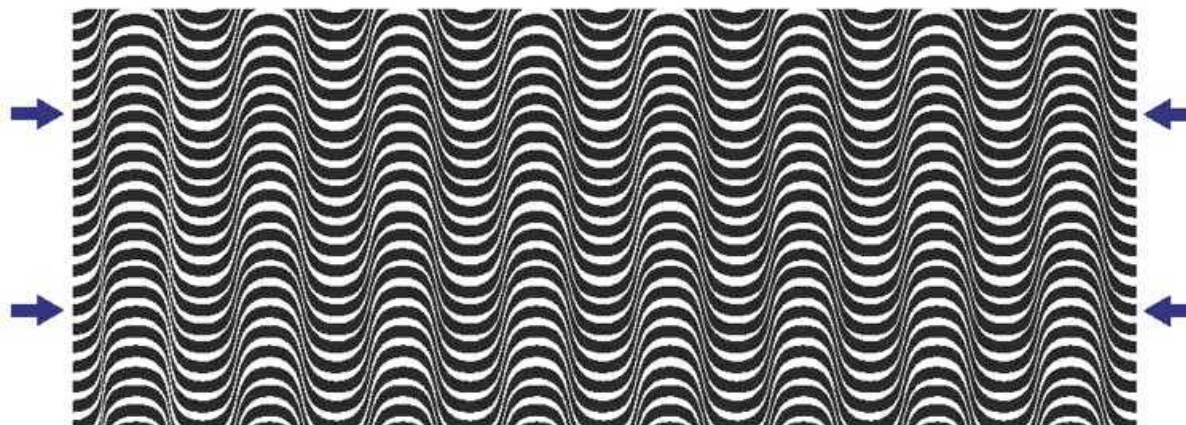
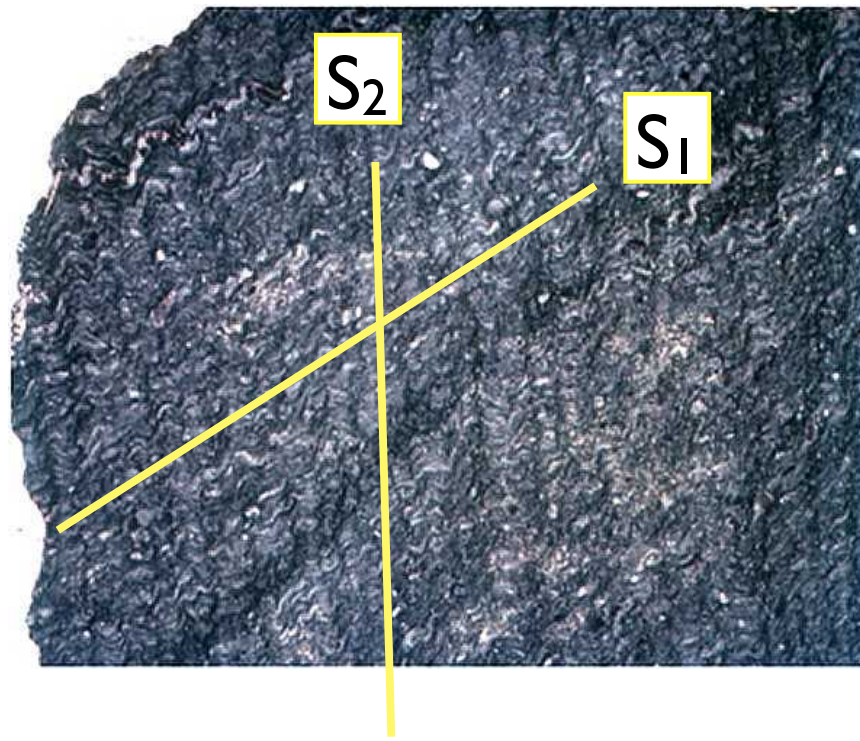


Apparent contradictory shear displacement from solution features



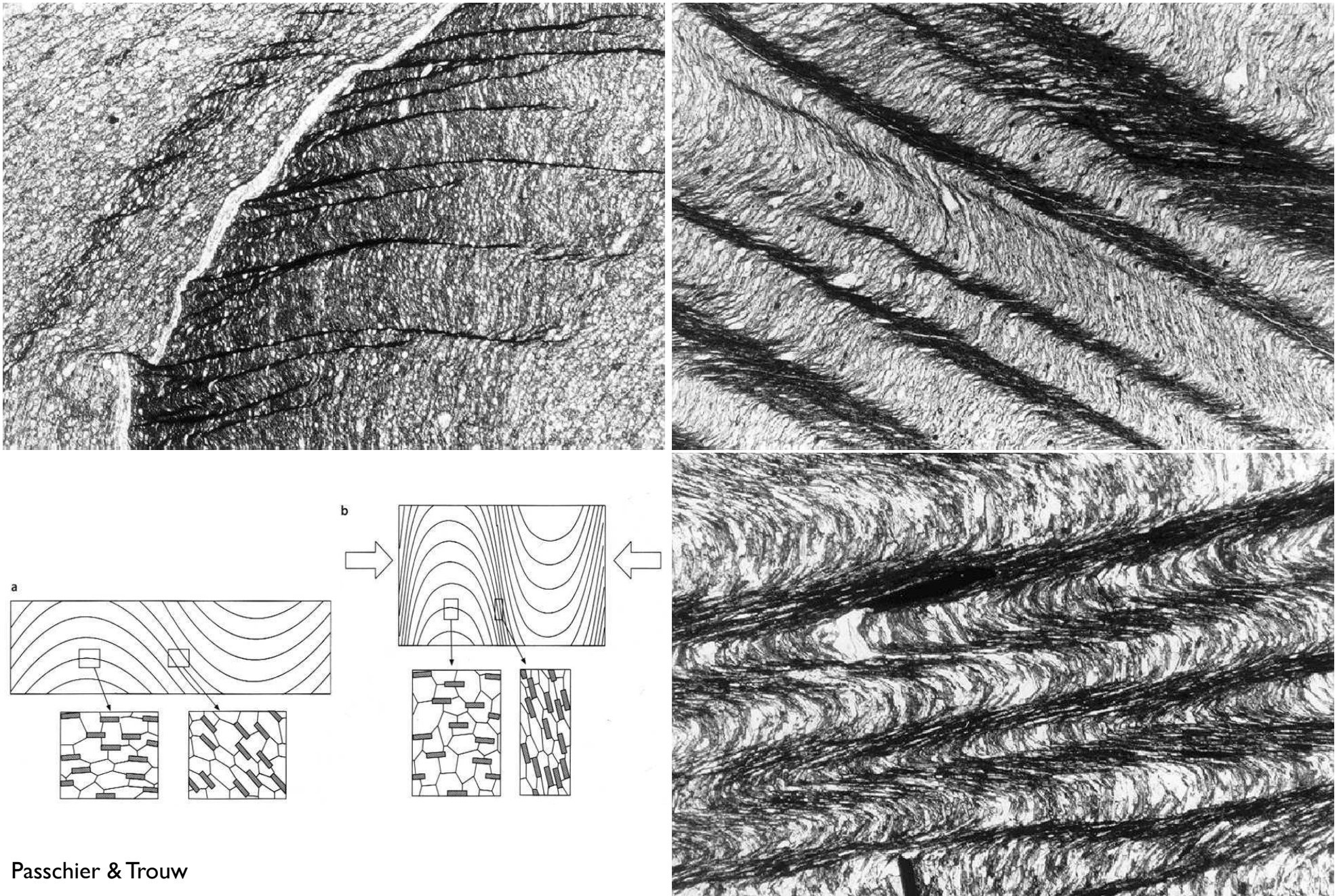
Apparent contradictory shear displacement from out-of-plane shear

Krenulations- (Runzel-) Schieferung



Fossen

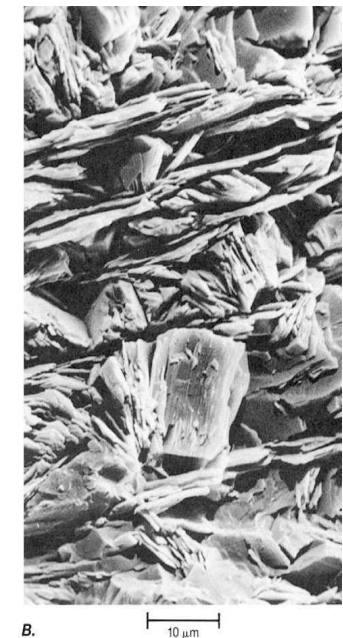
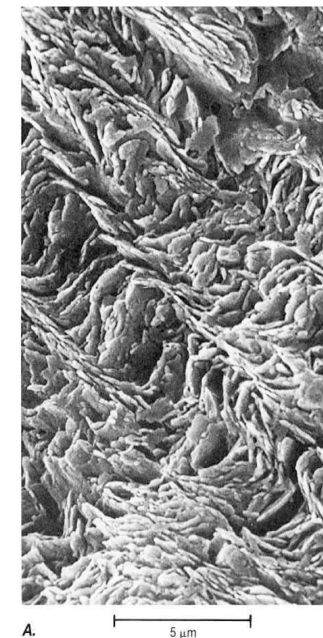
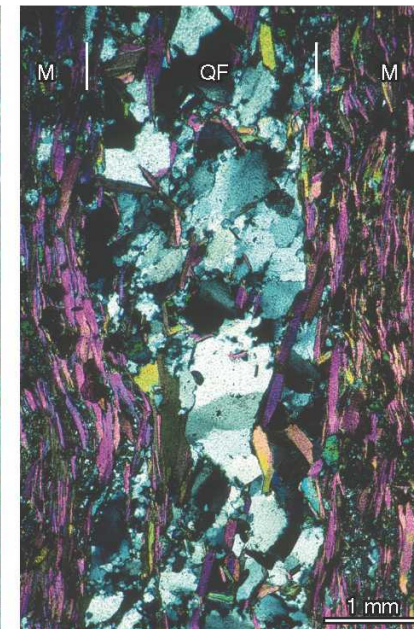
Krenulations- (Runzel-) Schieferung



... von cm bis μ m Masstab



Fossen



Not foliations ...

Fracture "cleavage" is a term from the past that reappear from time to time, but most modern structural geologists avoid using this term. It is used about densely spaced parallel fractures may look similar to cleavage, but the formation and kinematics are very different:

Cleavage involves shortening across the planar structure.

Fractures involve slip (shear fractures) or dilation (joints).

Shear bands in plastic shear zones have been called foliations by some geologists. Most of us prefer not to, because they do not involve shortening perpendicular to the bands.

Densely spaced shear bands in granular material (porous sandstone), known as **deformation bands**, may be regularly distributed to form a penetrative fabric, but do not classify as foliations. This is partly because they involve shear and partly because the deformation mechanism (frictional slip) is different.

Compaction bands, a type of deformation bands that form in highly porous sandstones, get very close since they involve compaction across the bands, but these are quite rare and seldom spaced densely enough to be confused with cleavage.

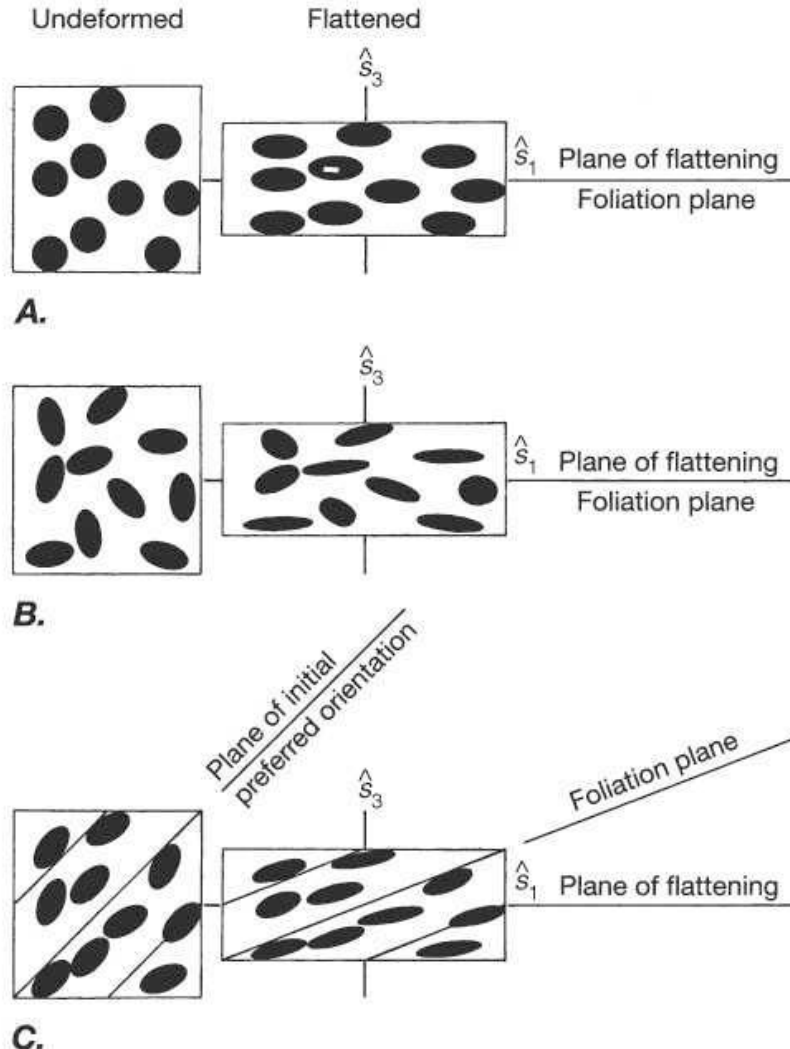


Various structures that are not foliations. Click to explore.

Fossen

Schieferung
und
Verformung

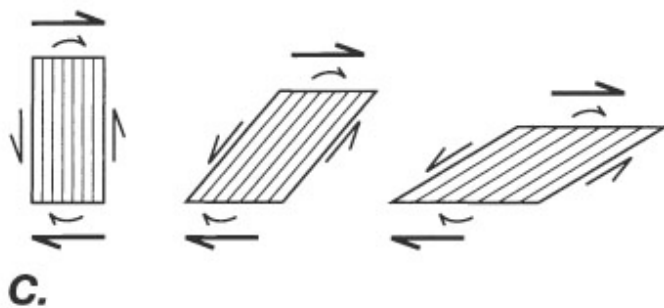
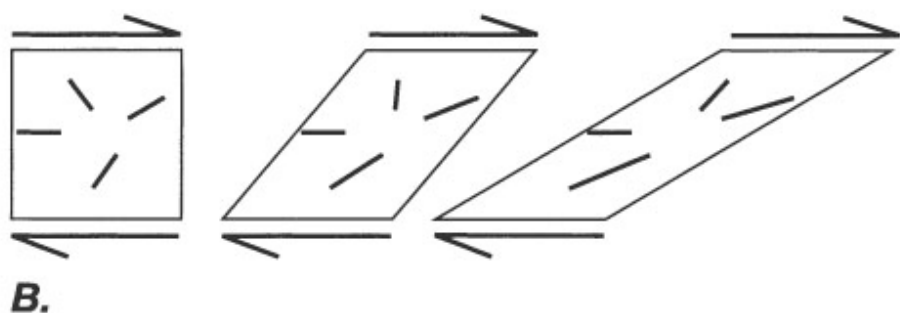
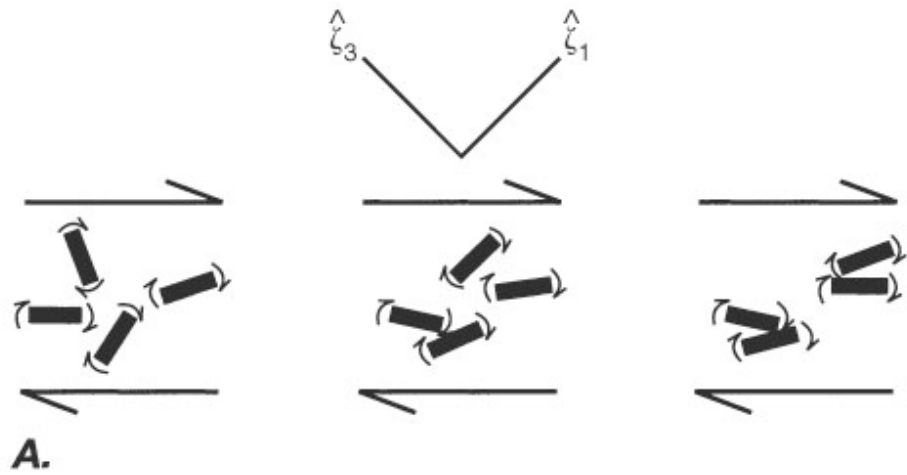
foliation - strain



**foliation =
plane of flattening
of the strain ellipsoid**

**foliation ≠
plane of flattening**

Schieferung: Geometrische Entwicklung

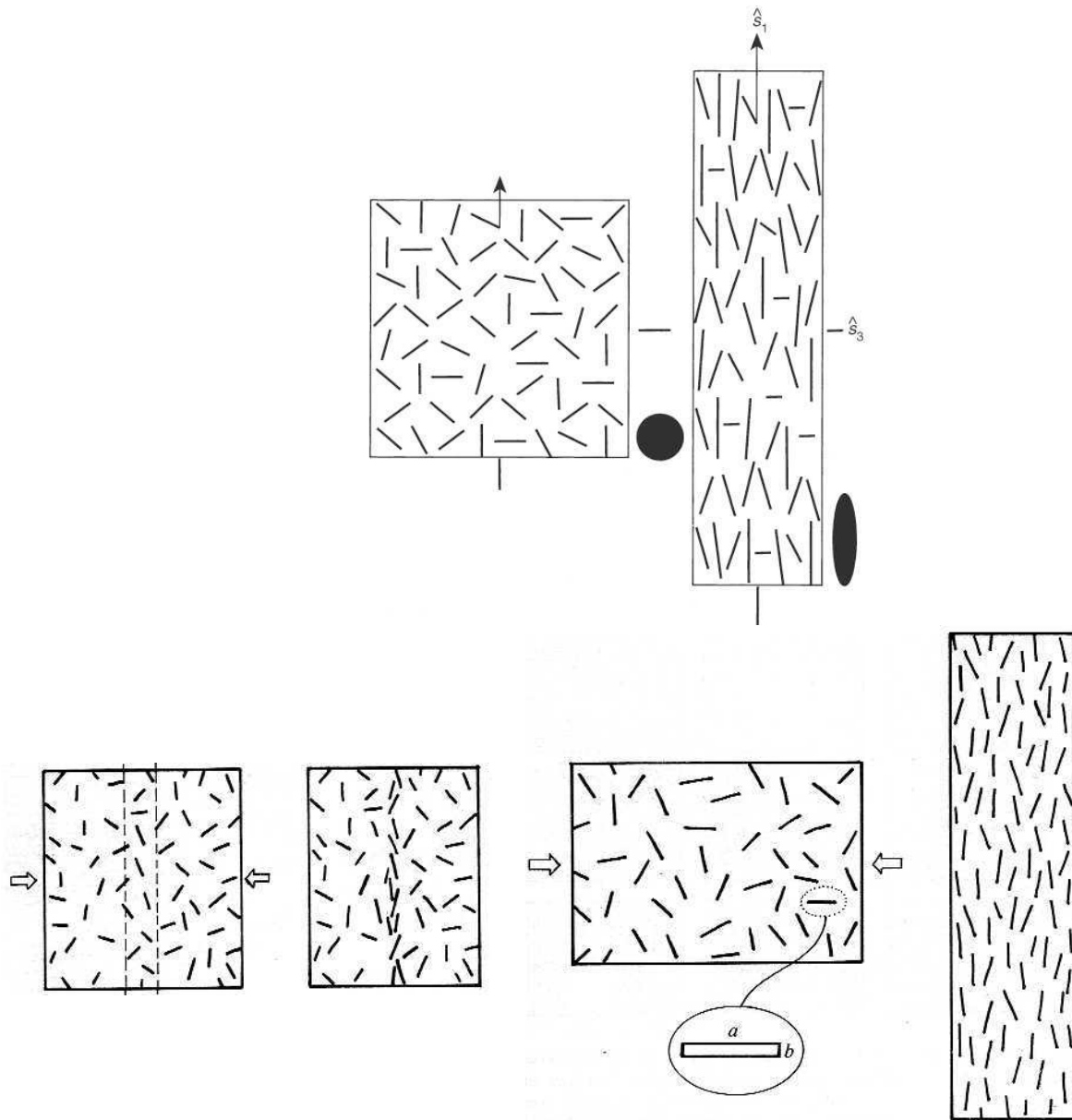


A.
Jeffrey model:
rotation of rigid particles

B.
March model:
rotation of passive markers

C.
Taylor-Bishop-Hill model:
rotation of crystallographic
planes

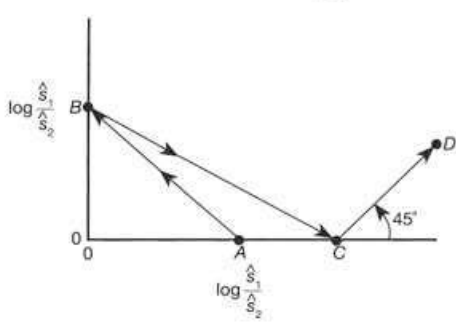
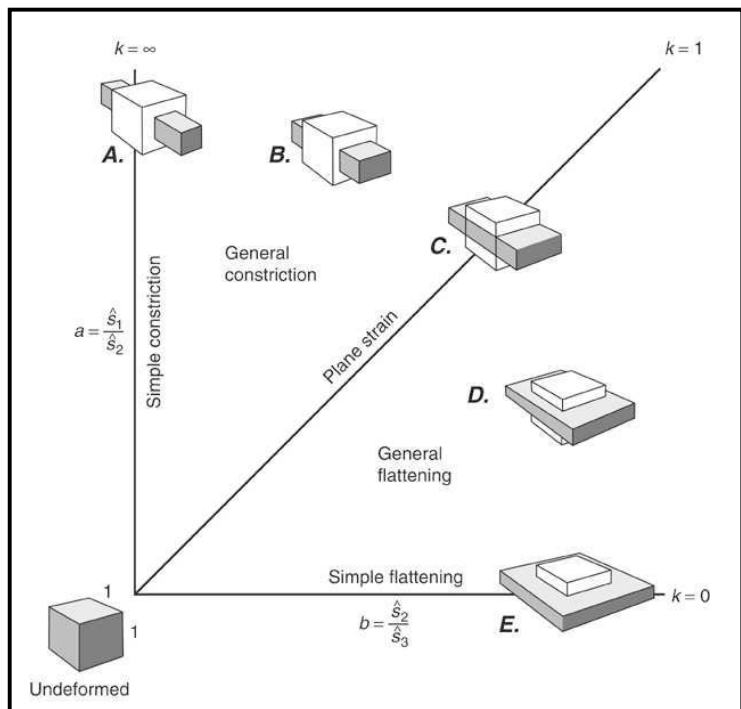
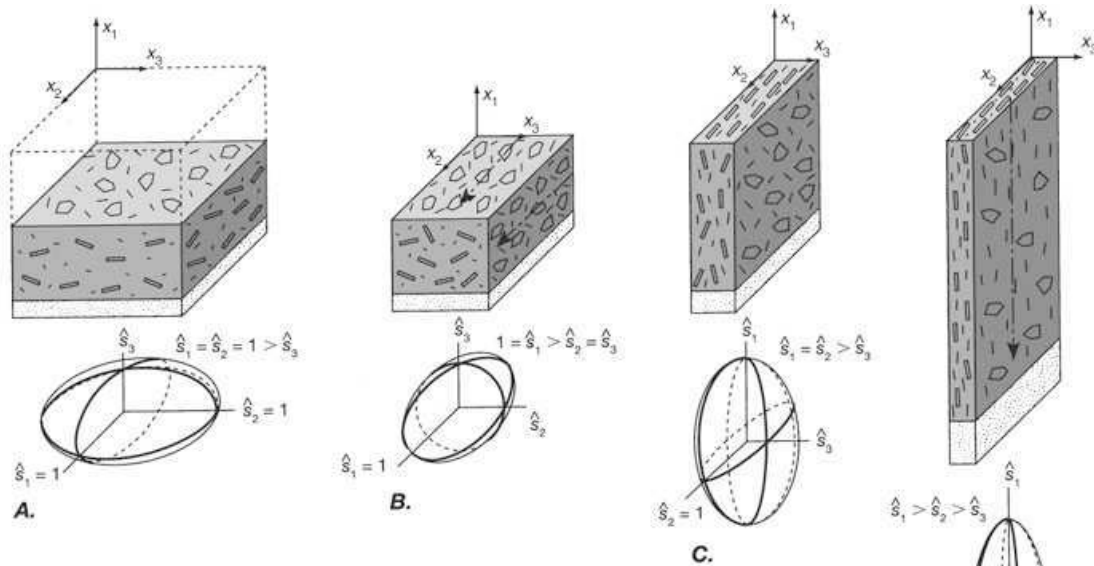
Schieferung: Geometrische Entwicklung



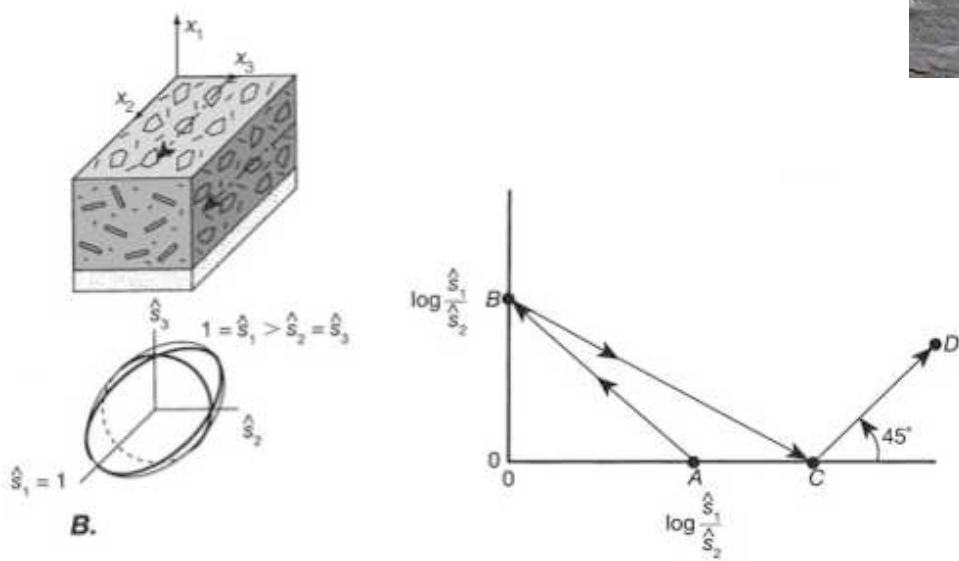
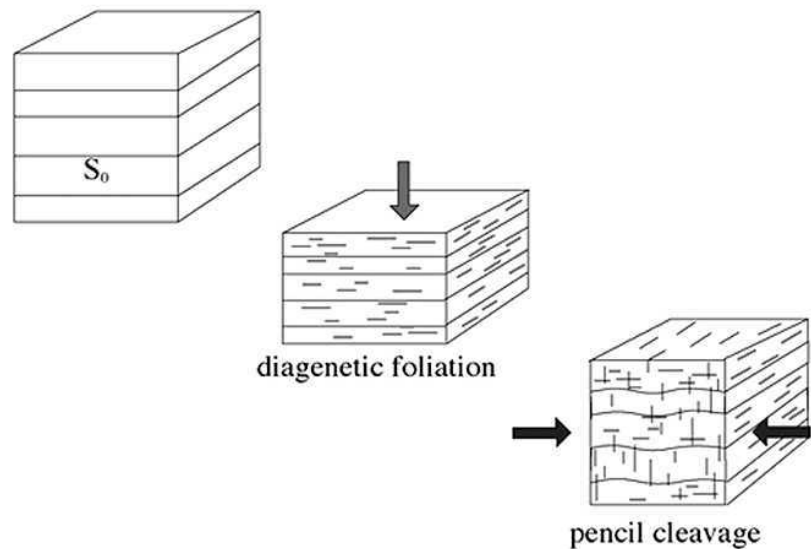
March model:
Rotation of passive
markers in pure shear

Observed:
Formation of a foliation
by preferential
orientation of marker
planes normal to the
shortening direction

cleavage development - Flinn diagram



pencil cleavage



Achsenflächen-Schieferung und strain

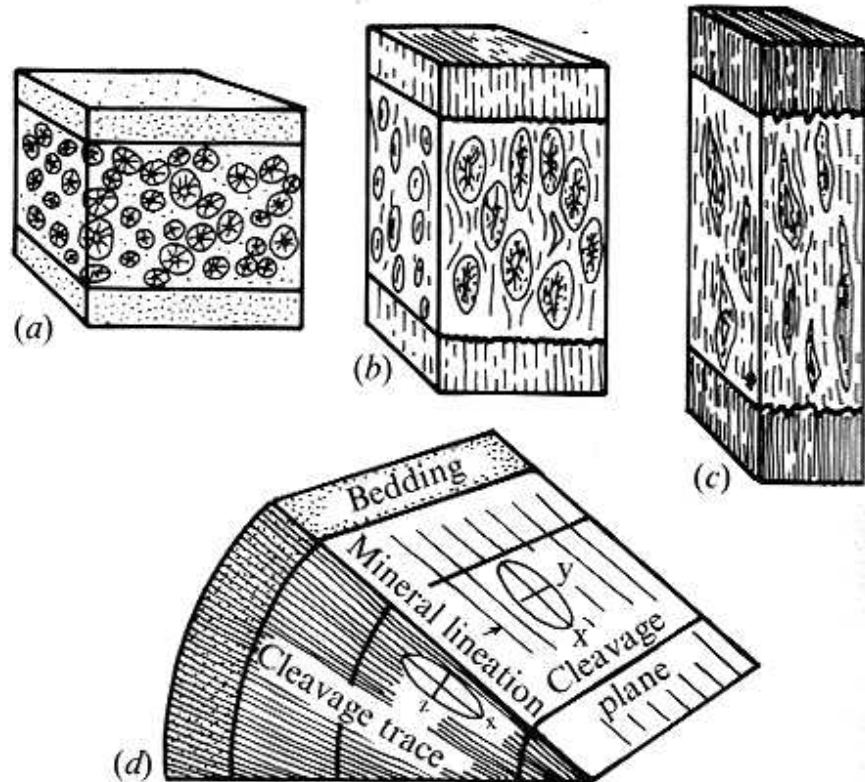
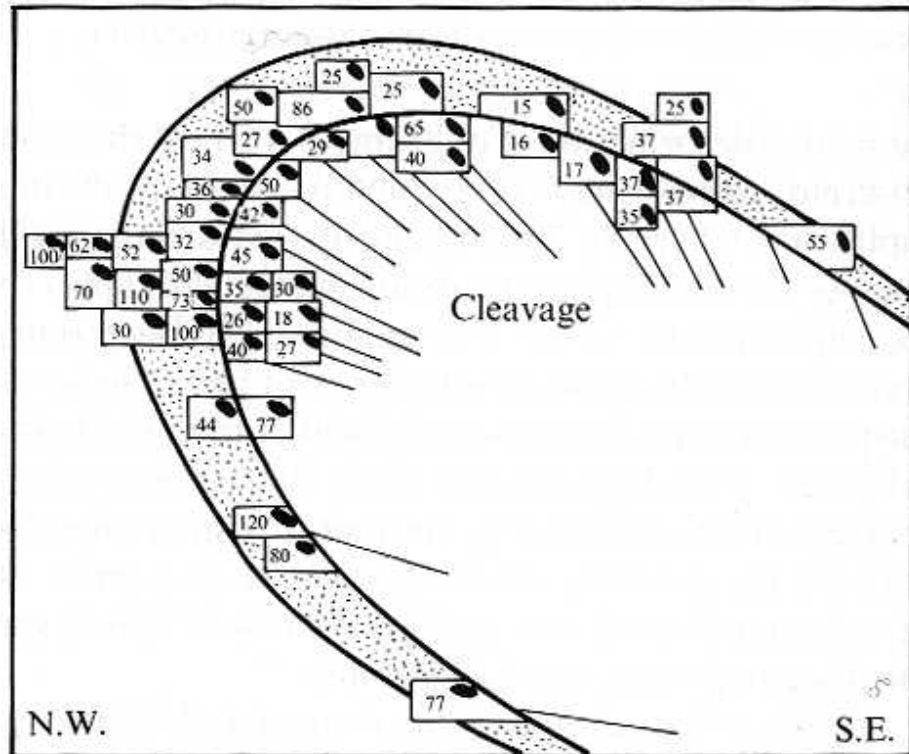
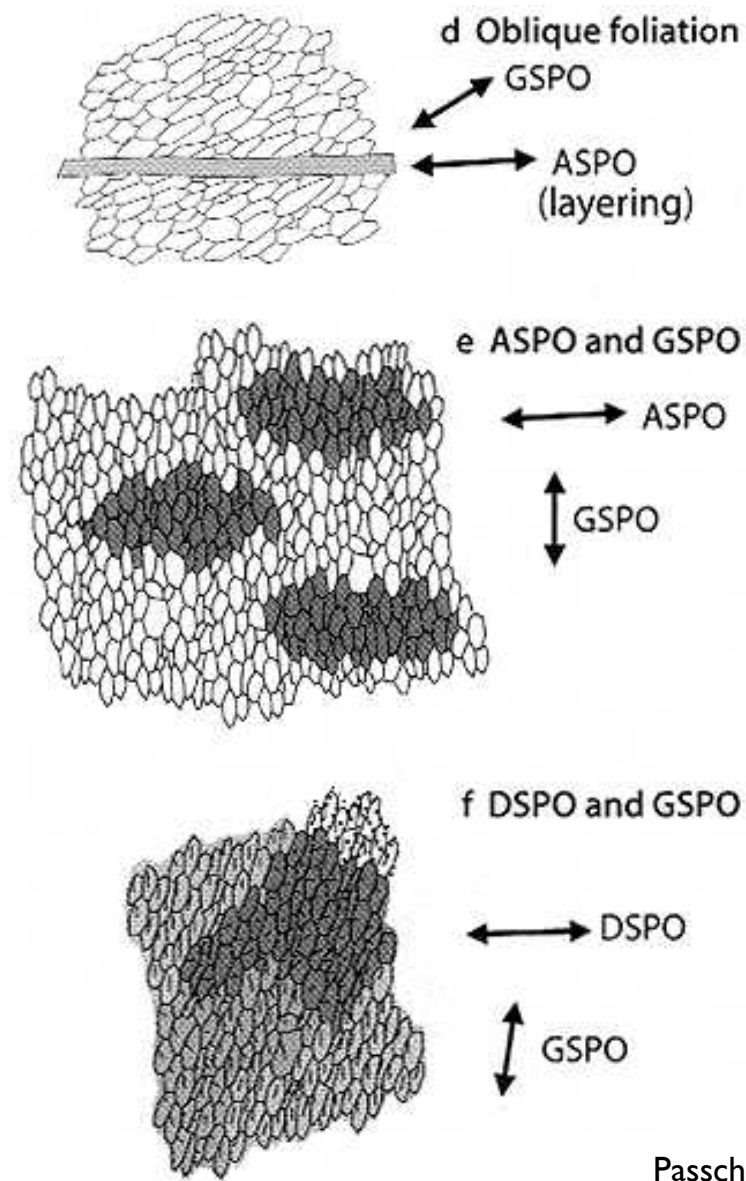
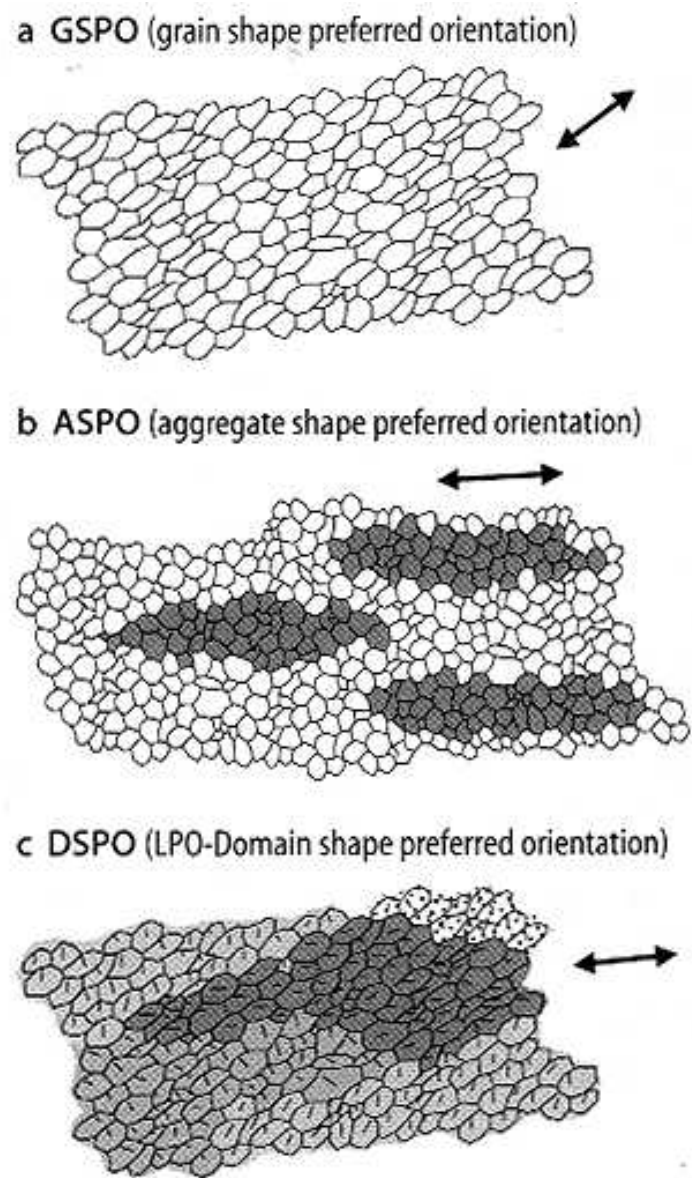
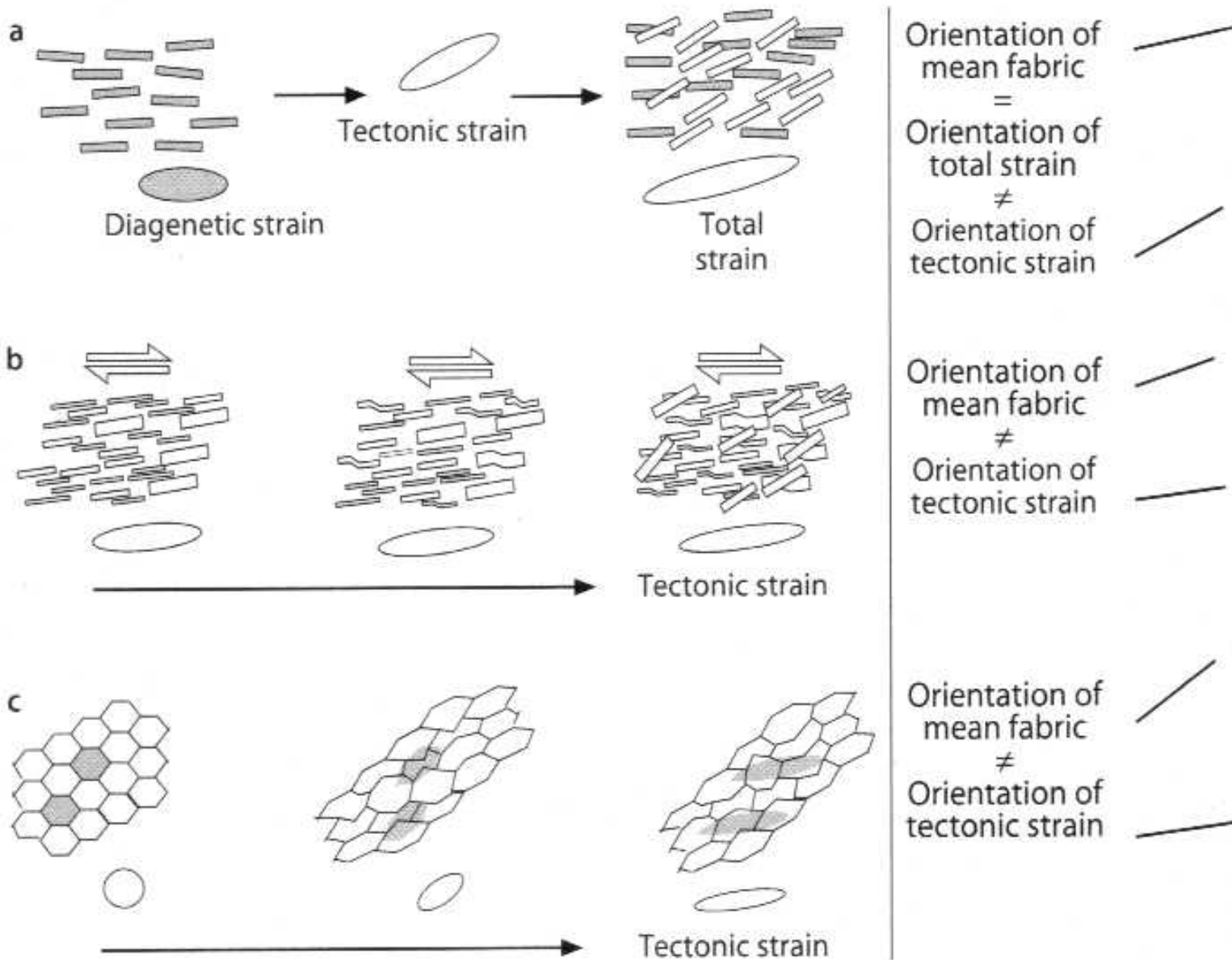


Fig. 17.37. Block diagrams of (a) an undeformed oolitic limestone sandwiched between beds of different lithologies; (b) appearance of (a) after 50 per cent deformation and (c) after 100 per cent deformation. (d) The relationship between the deformed ooliths and the cleavage. The major and intermediate axes of the oolith lie in the cleavage plane and the major axis is parallel to the mineral lineation. (After Cloos, 1947.)

Mikrostruktur

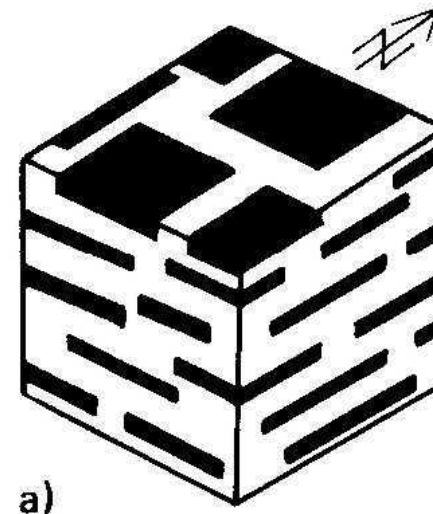


foliation microstructure

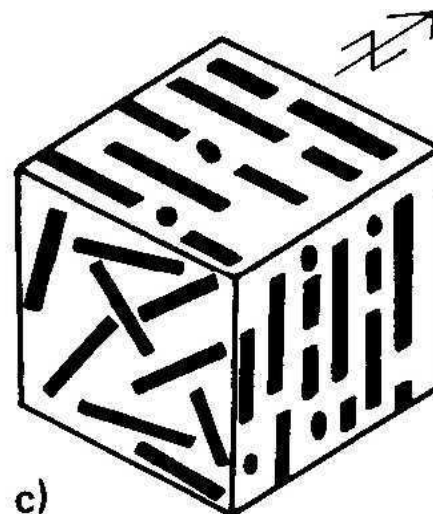


Mineralregelung

plattig

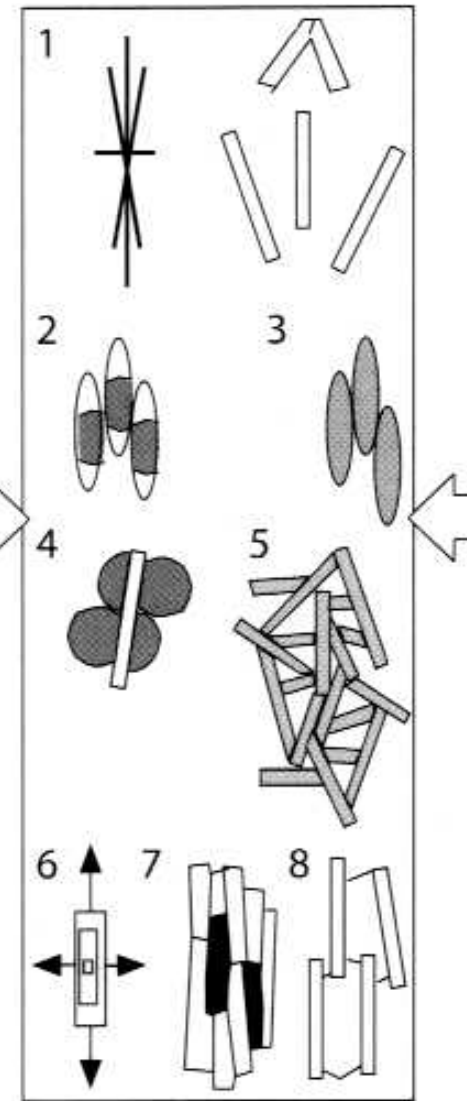
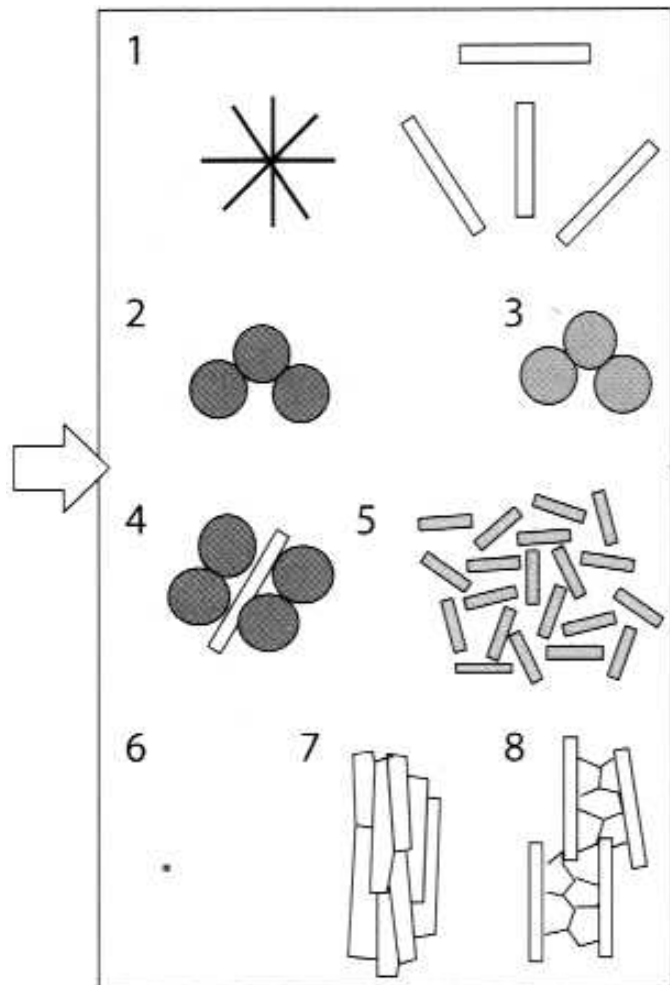


stengelig



Mechanismen der Schieferungsbildung

mechanisms for foliation development



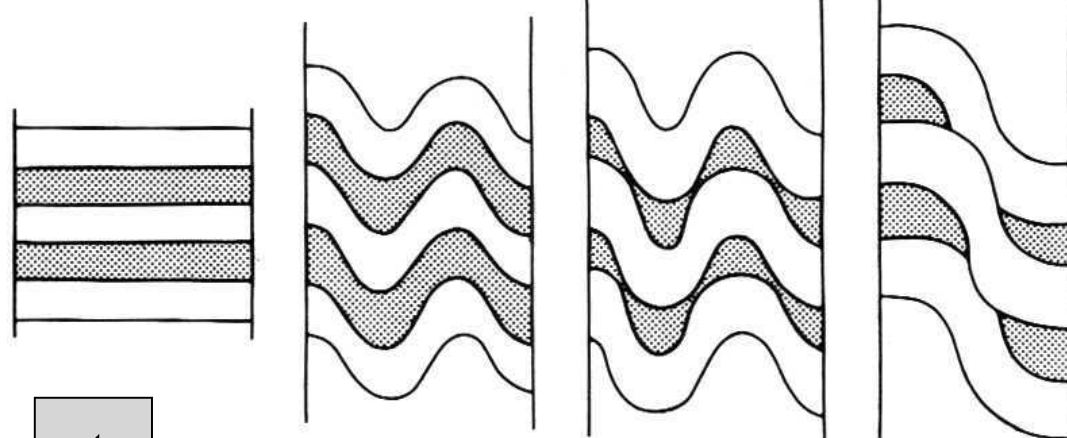
passive markers
rotate, bend

monomineralic:
solution-precipitation
crystal plasticity

polymimetic:
foliation formation
growth // (001)

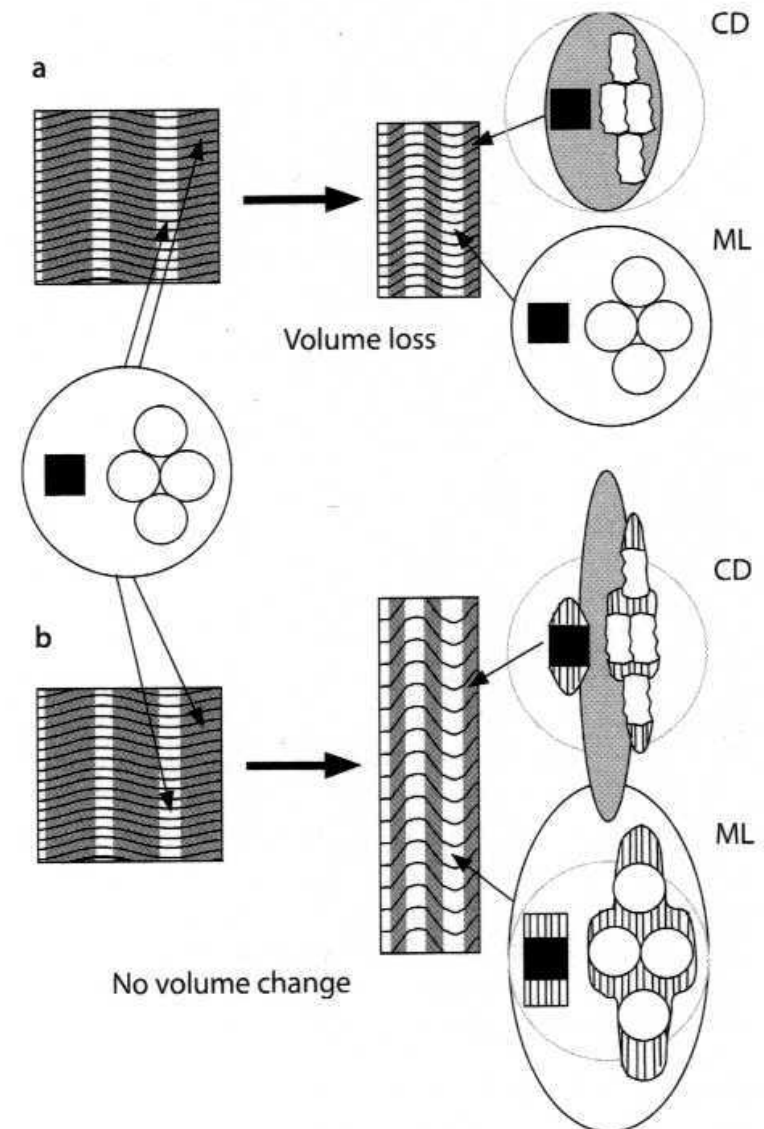
growth // stress field
restricted growth
- foliation
- platy minerals

crenulation cleavage in multilayer

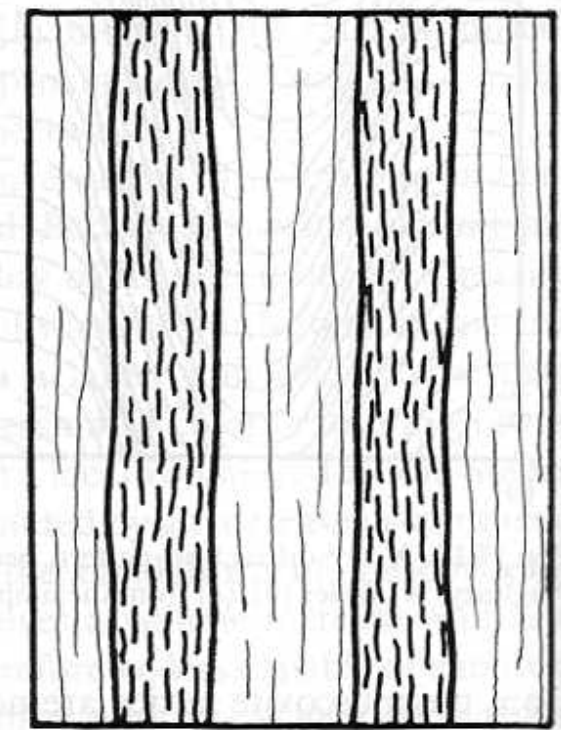
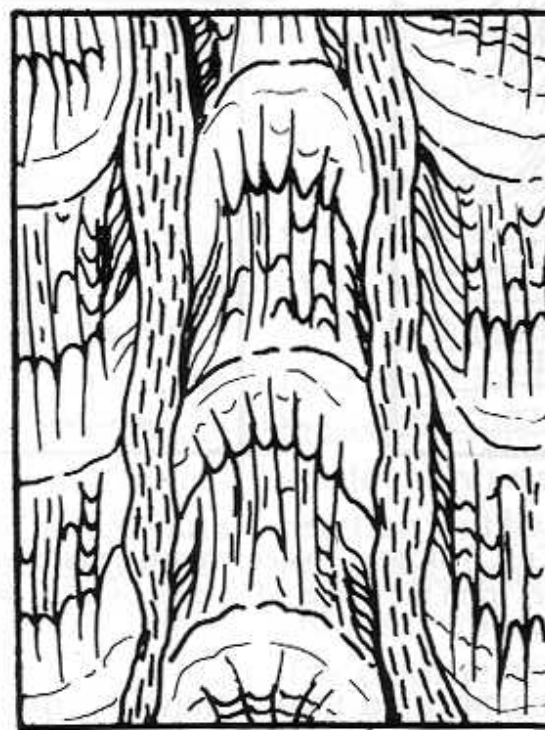
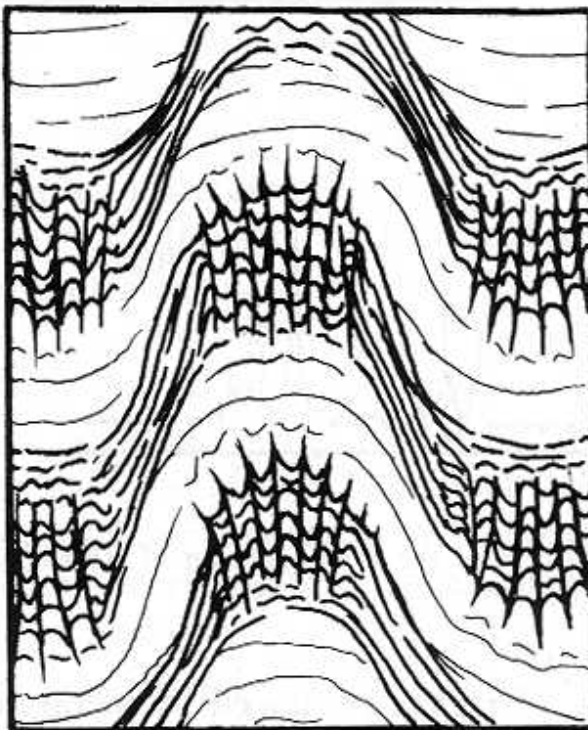
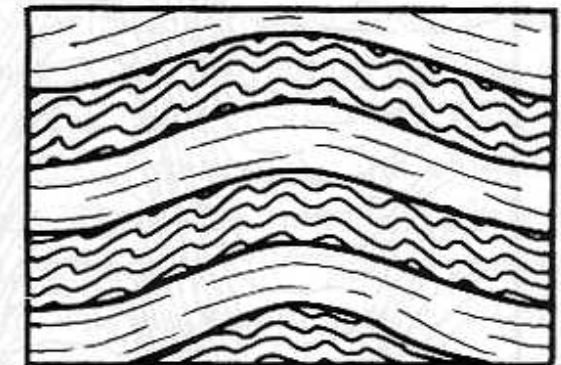
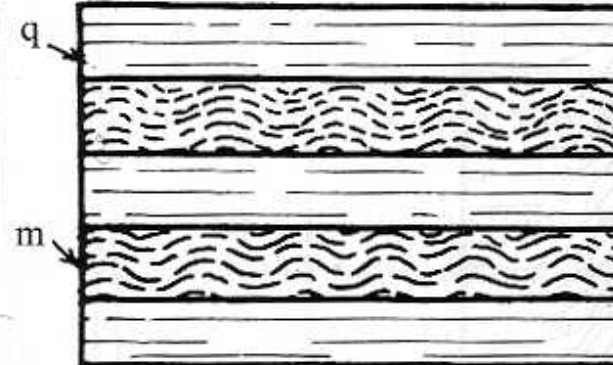
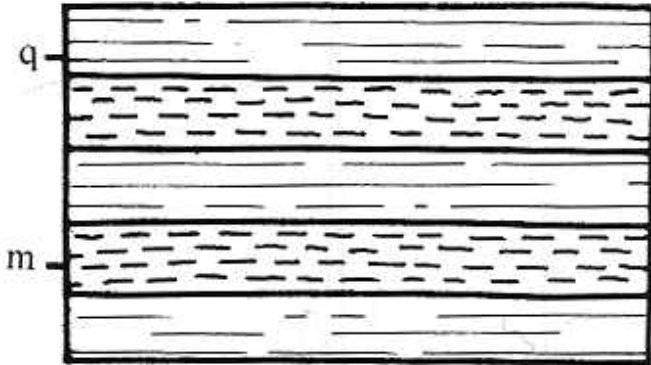


qtz

mica

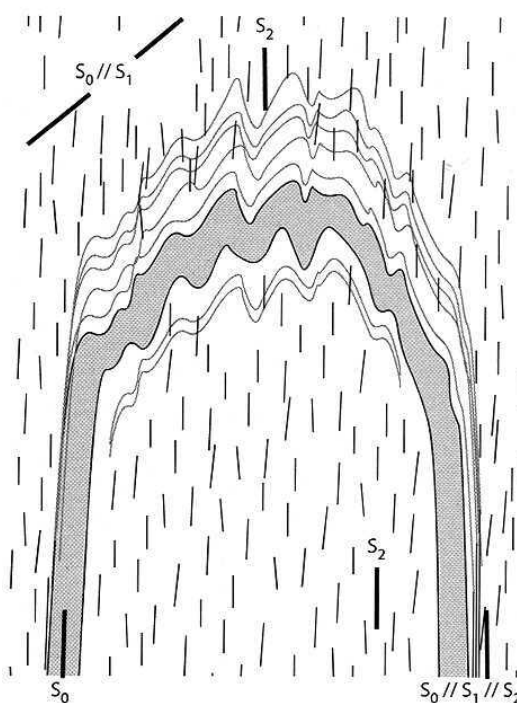
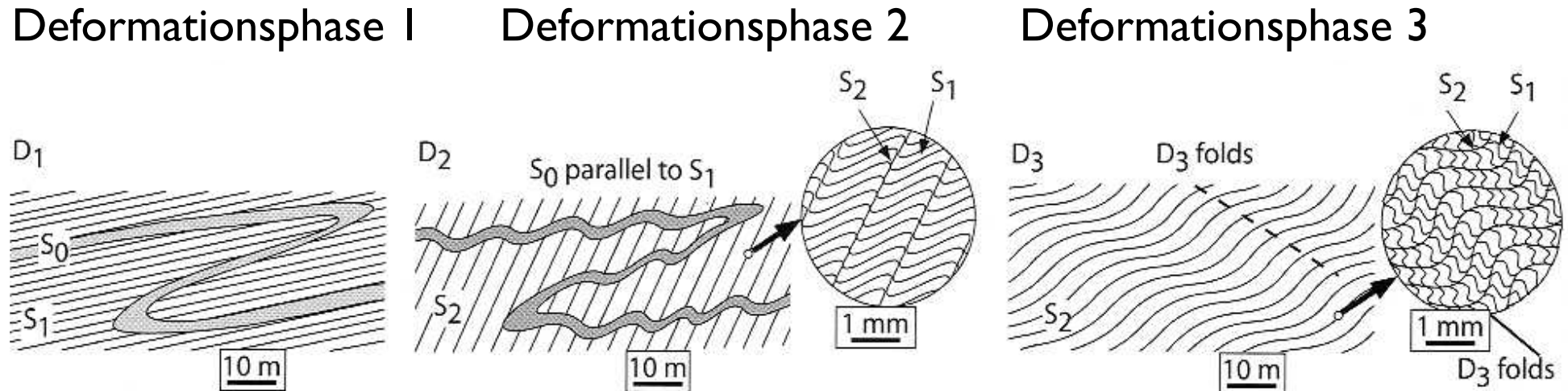


Schieferungsentwicklung



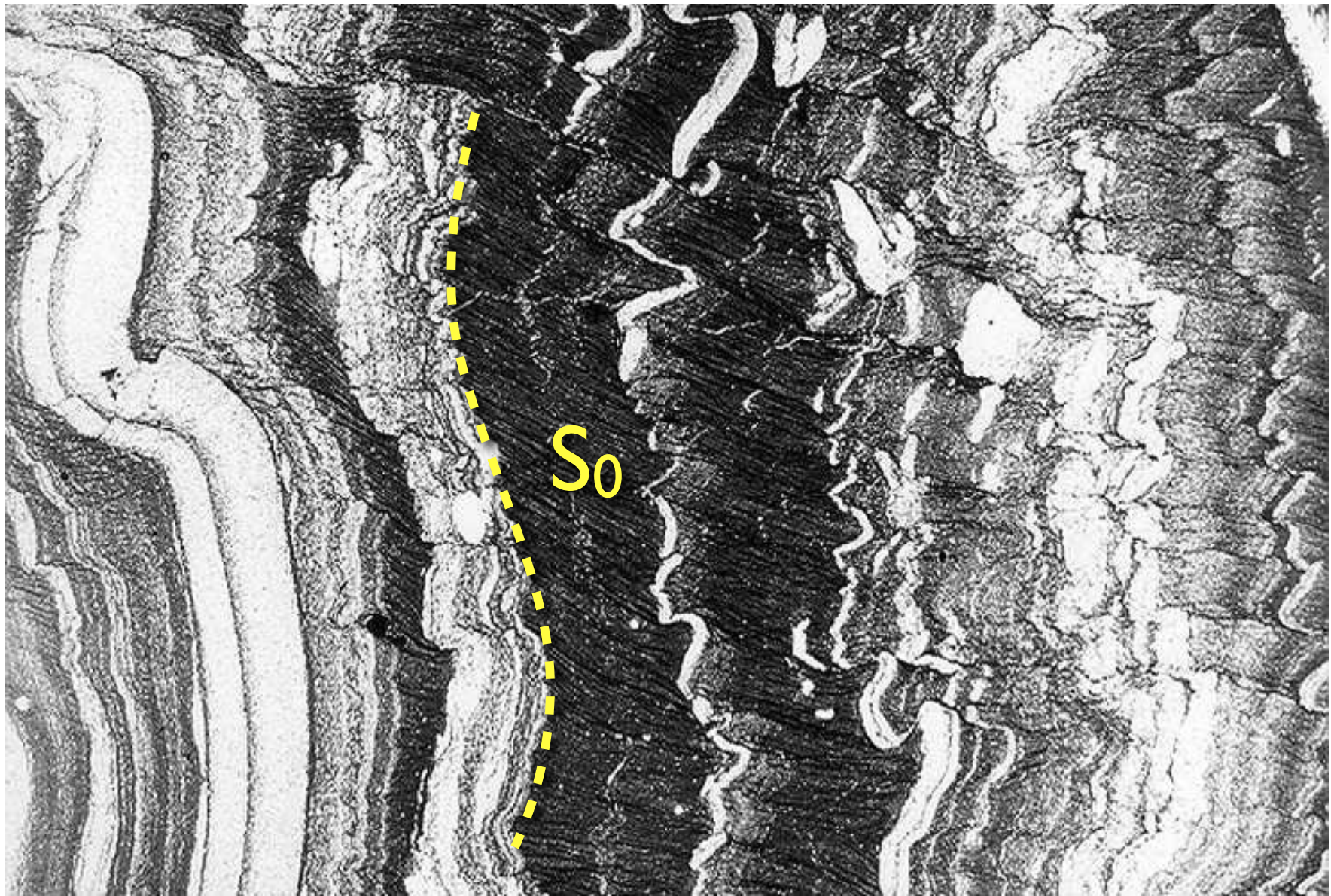
Anwendung in der Strukturgeologie: Überprägung s_0, s_1, s_2 , etc.

Beispiel für Schieferungsentwicklung

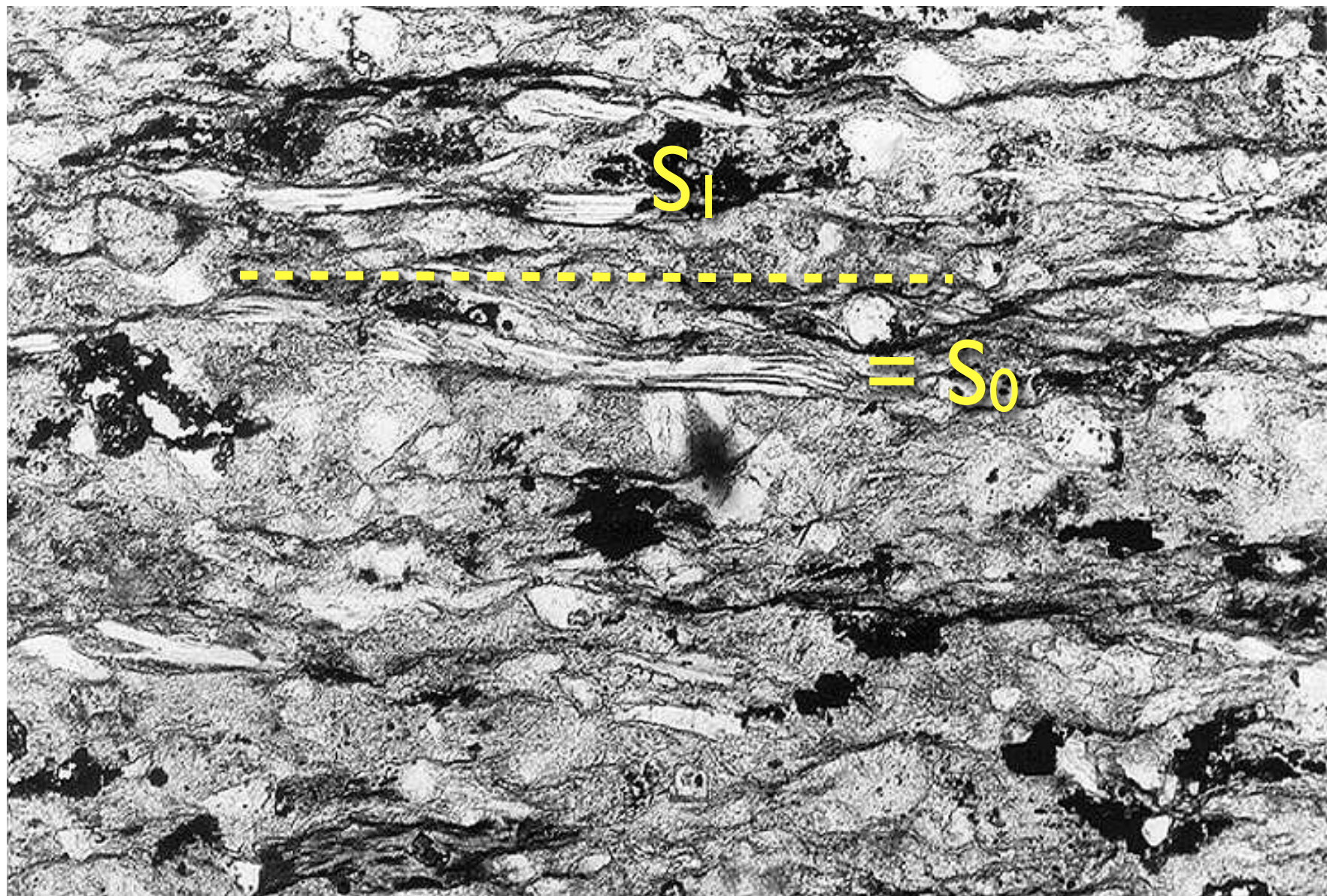


- S₀ Ablagerung
- D₁ Isoklinalfalten: Schieferung S₁
- D₂ Krenulationsschieferung S₂
- D₃ Offene Falten: S₃

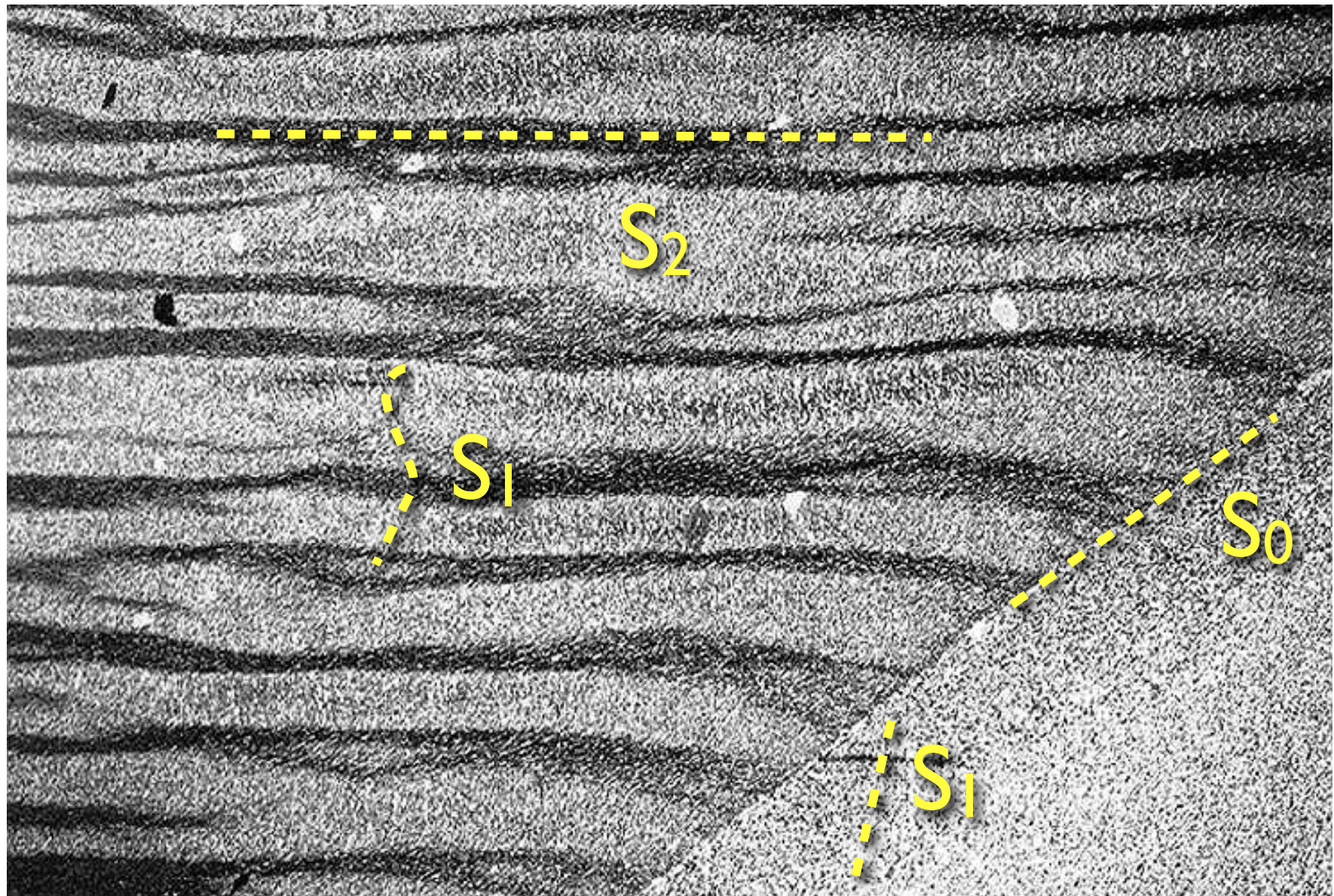
primary foliation S_0



diagenetic (bedding parallel) foliation



secondary foliation

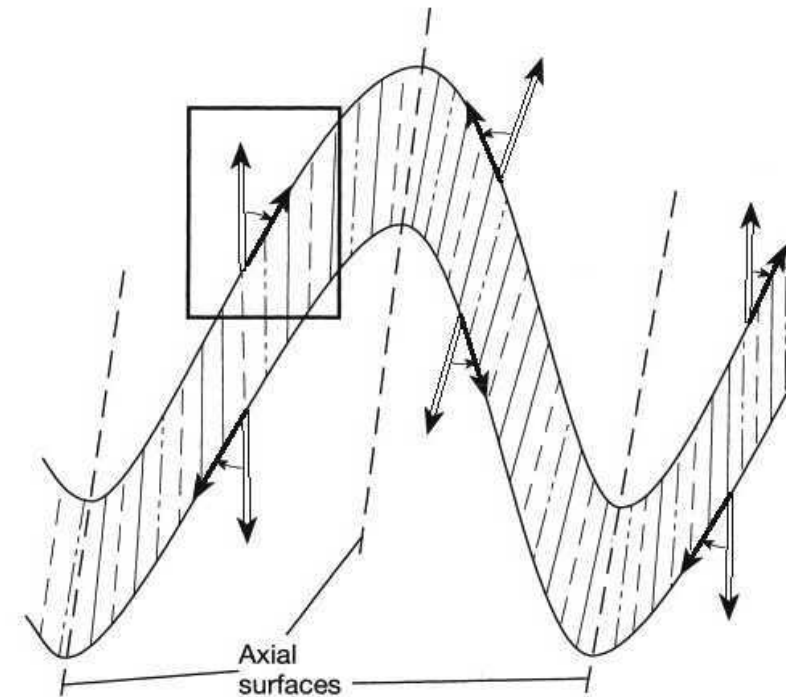
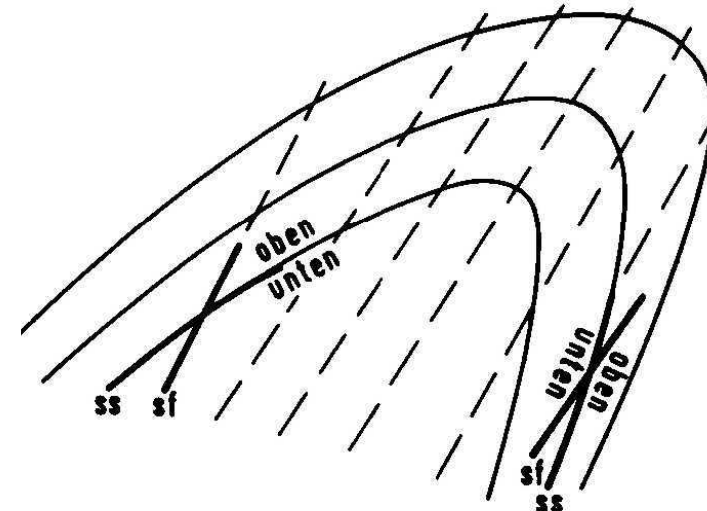
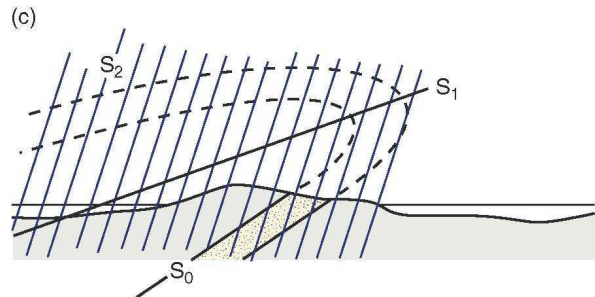
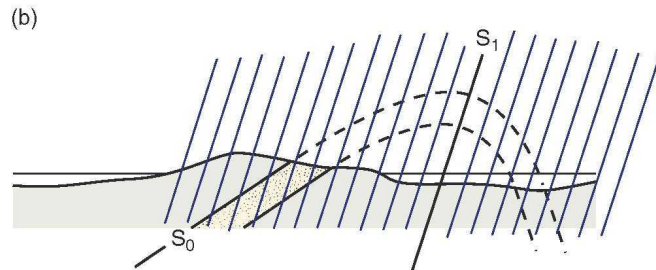
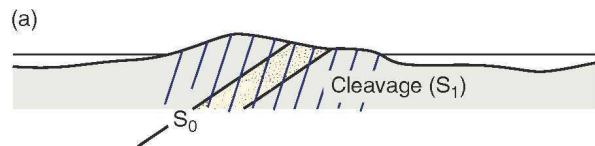


Bedeutung der Schieferung beim Kartieren

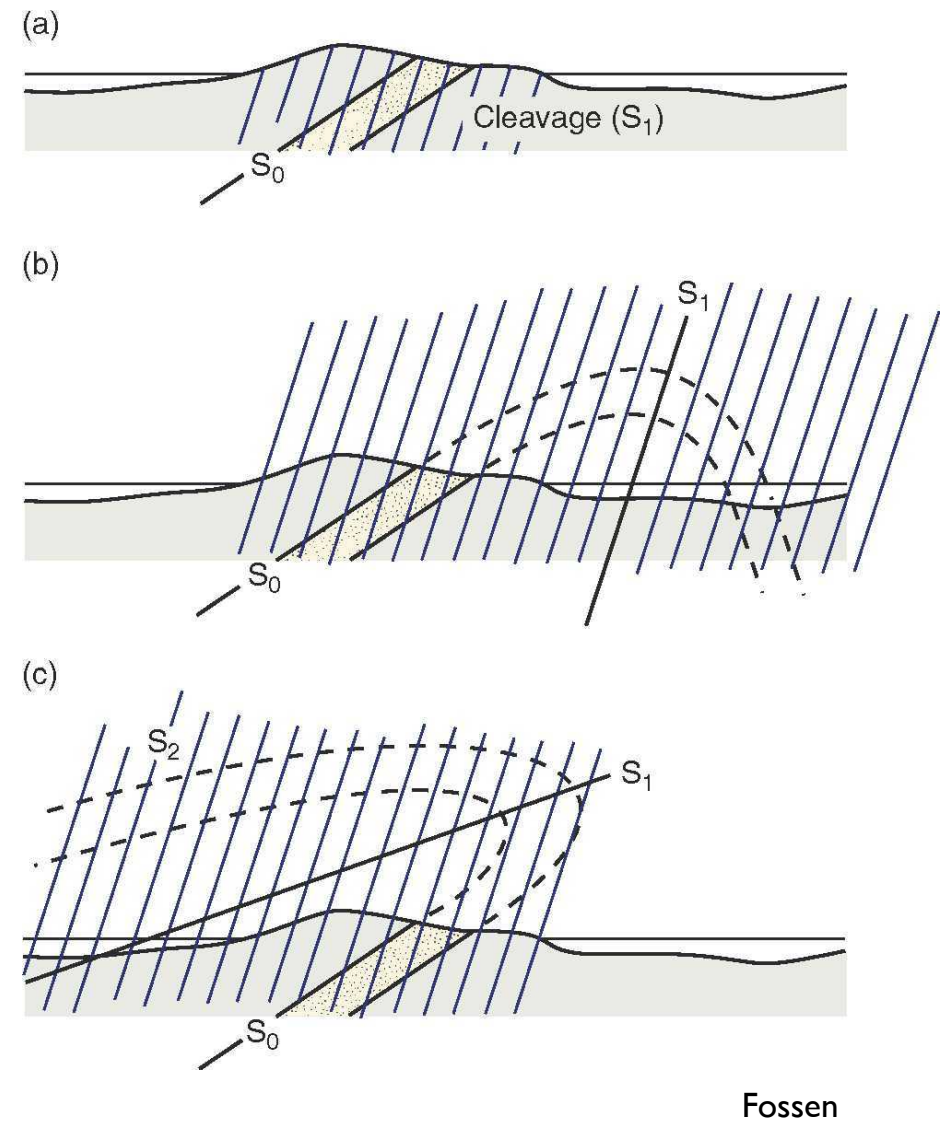
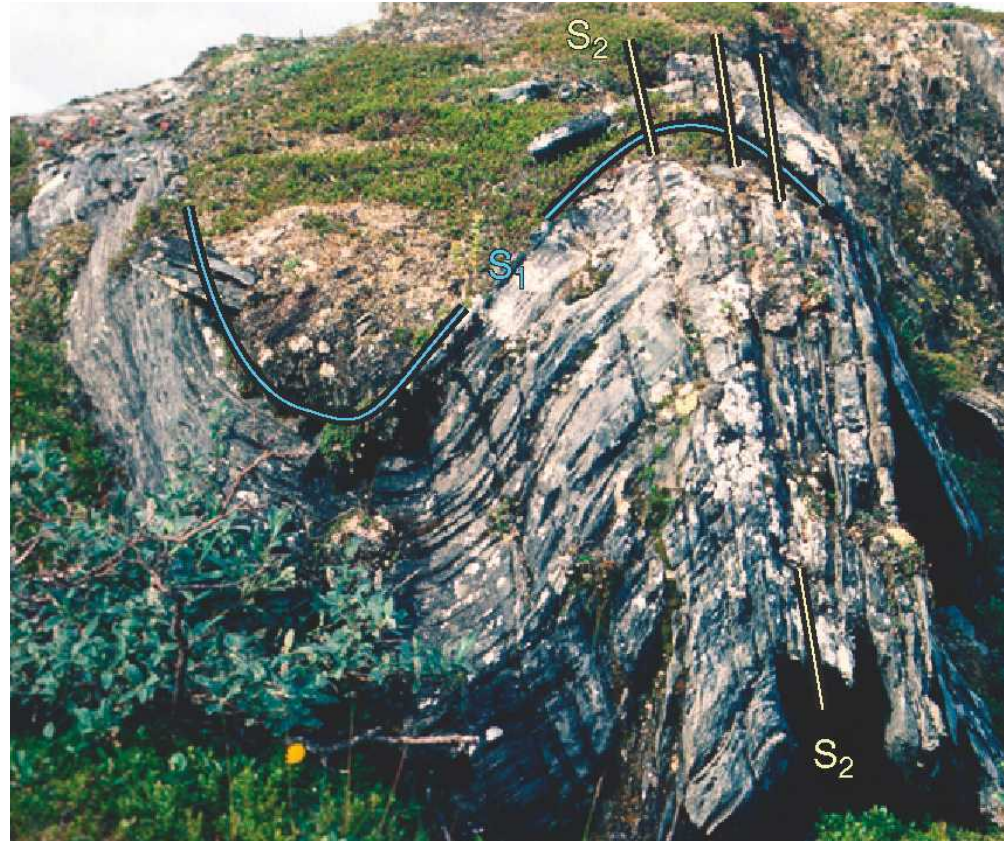
Achsenflächen-Schieferung

normale Lagerung
 s_f steiler als s_s

inverse Lagerung
 s_f flacher als s_s

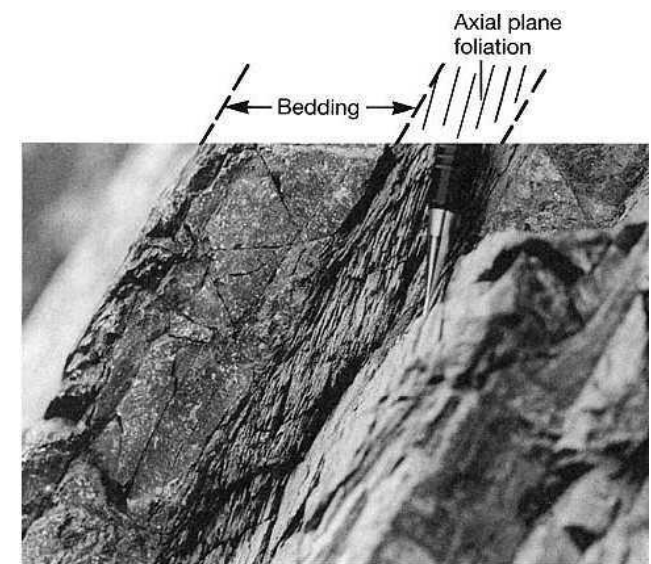
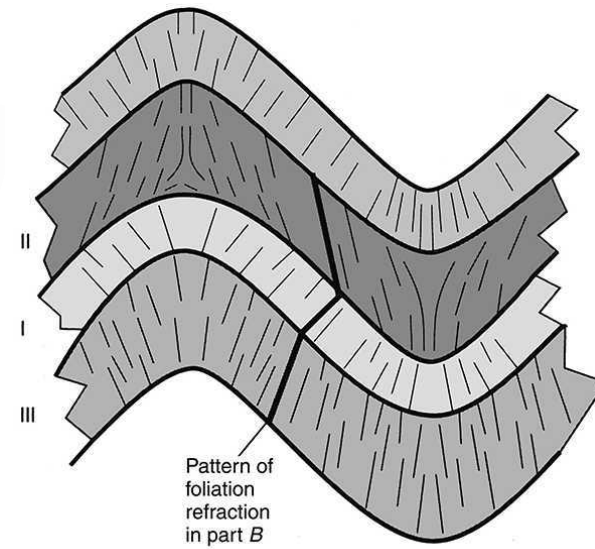
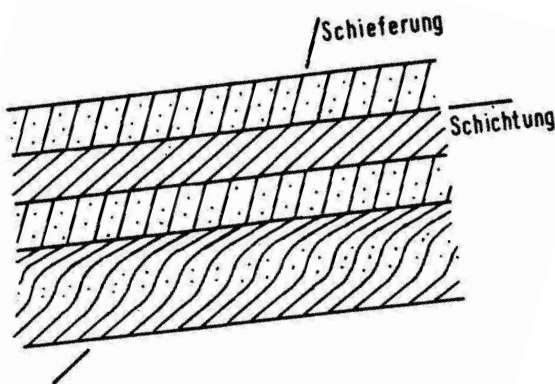
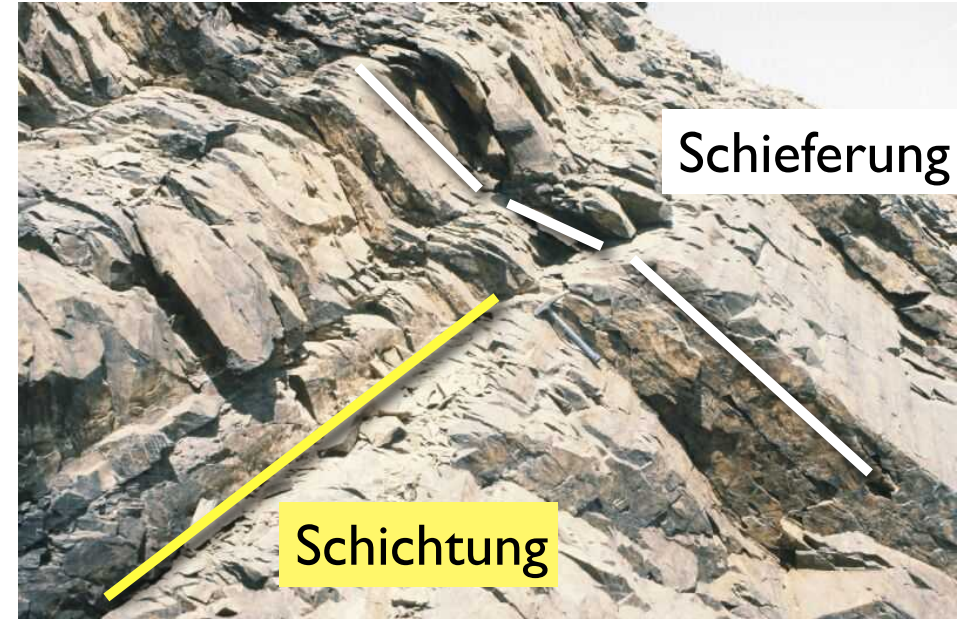


Schieferungsüberprägung

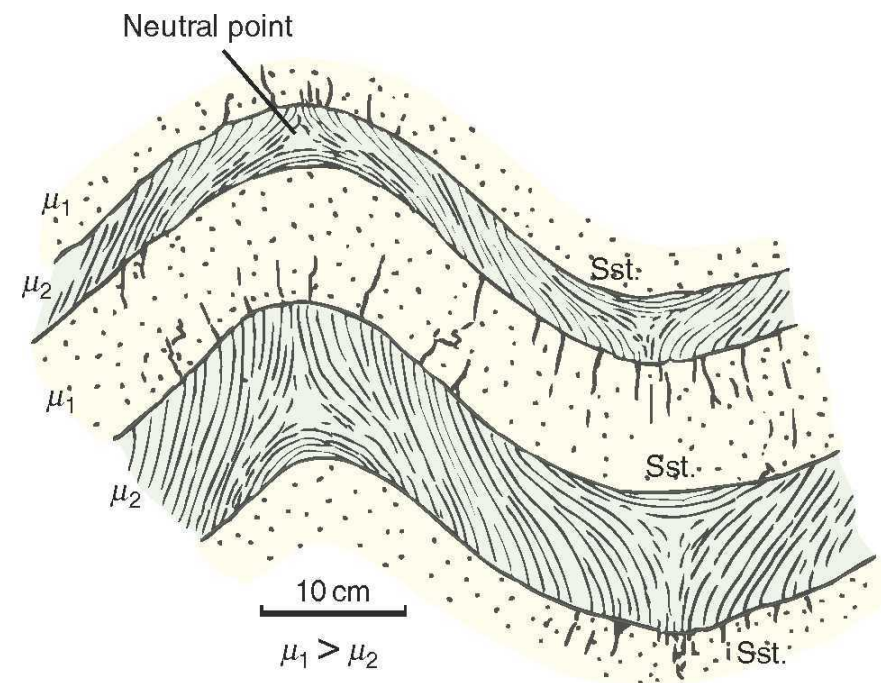
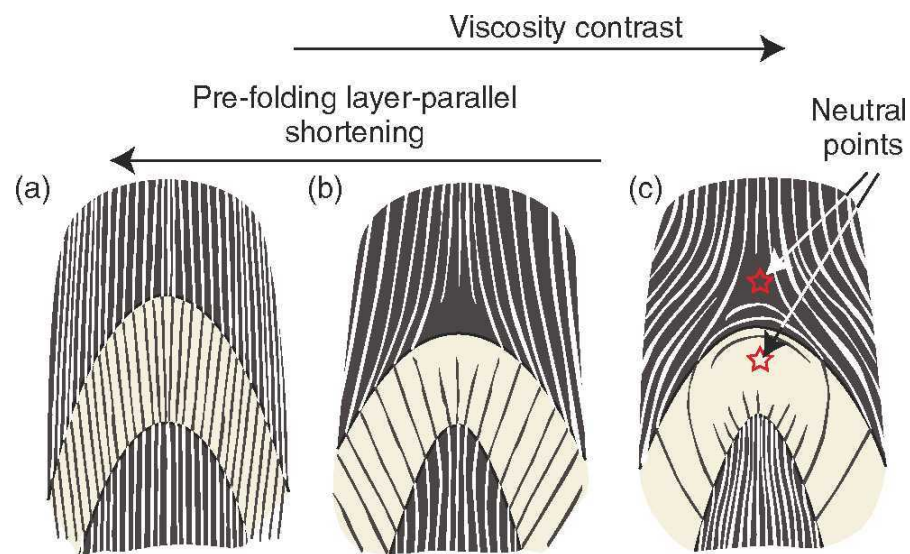


Fossen

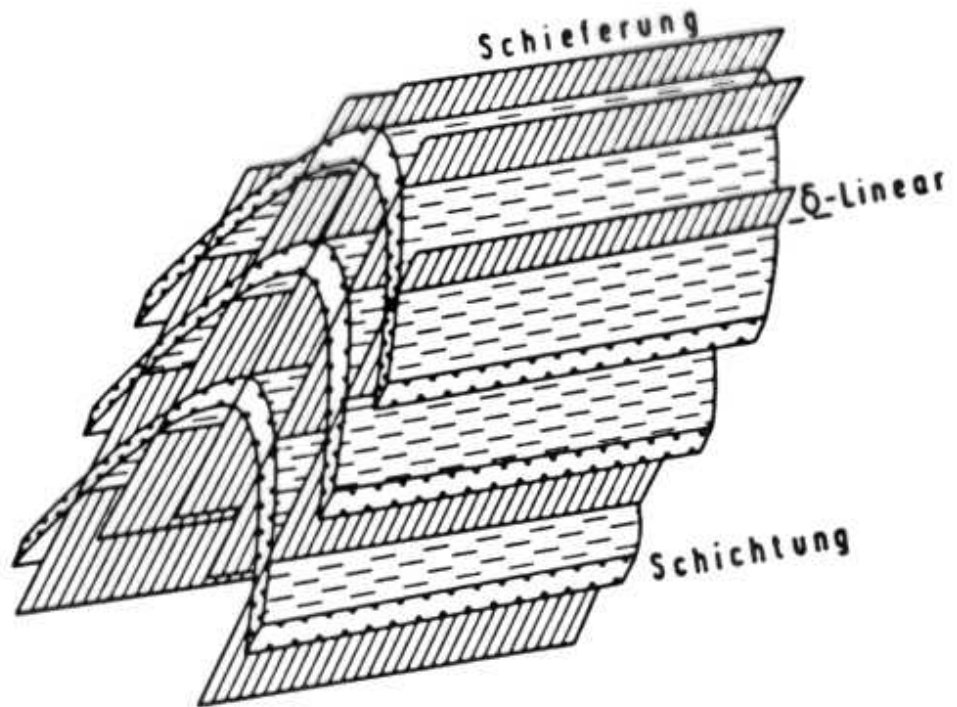
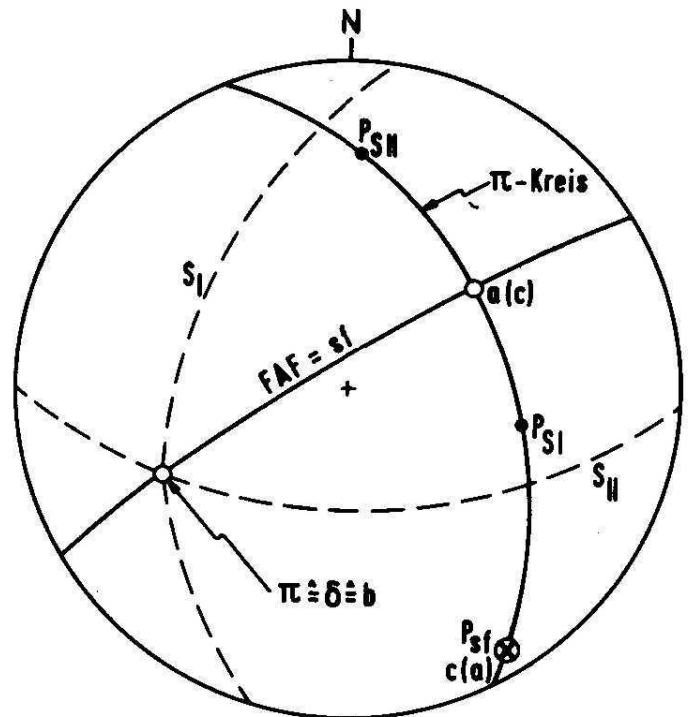
Schieferungsbrechung



Mechanische Bedeutung



Schieferung-Schichtung b - δ - π



π = Pol zum π -Kreis

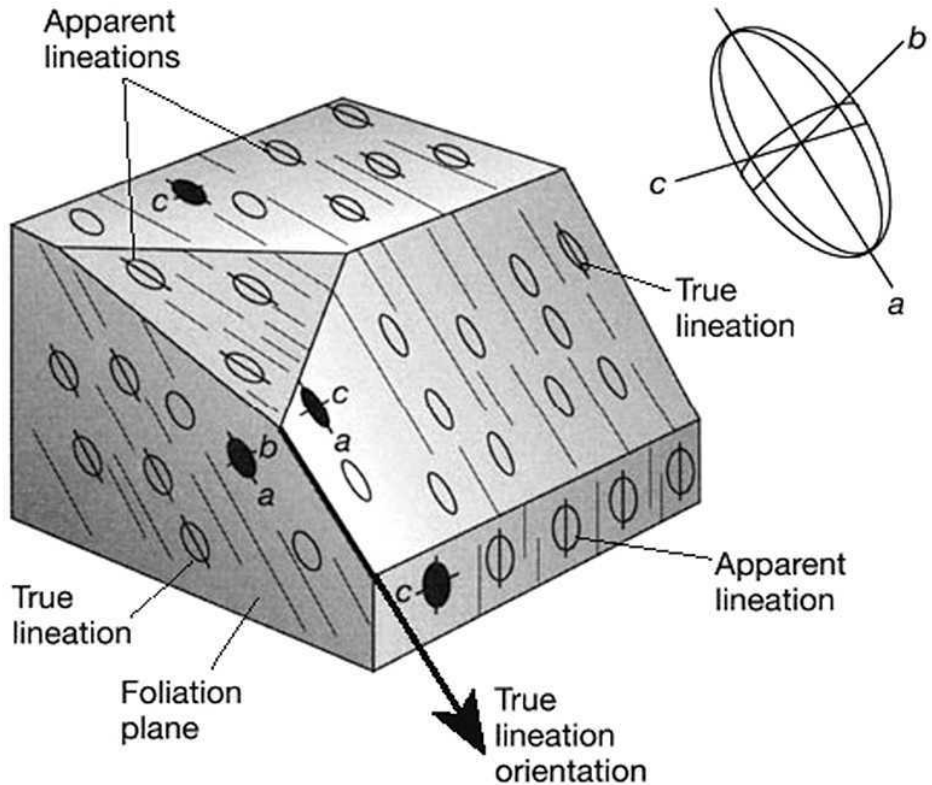
b = Linear = Faltenachse

δ = Linear = Intersektion (Achsenflächenschieferung / Schichtung)

Lineare Gefüge

Lineation

penetrative	stretching mineral rodding
geometric (virtual)	fold axes intersection lineation
surface	mullions slickenfibres striations, corrugations



penetrative lineation

stretching lineation



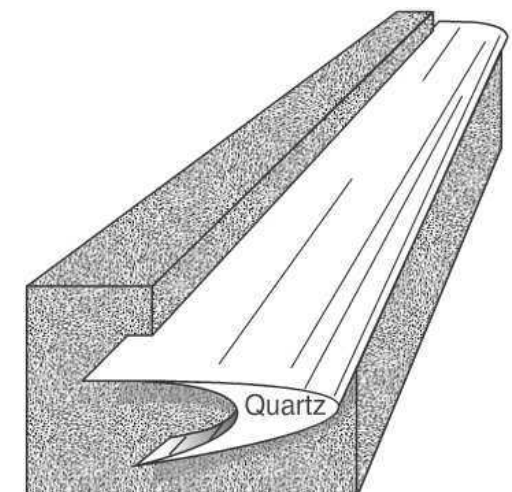
mineral lineation



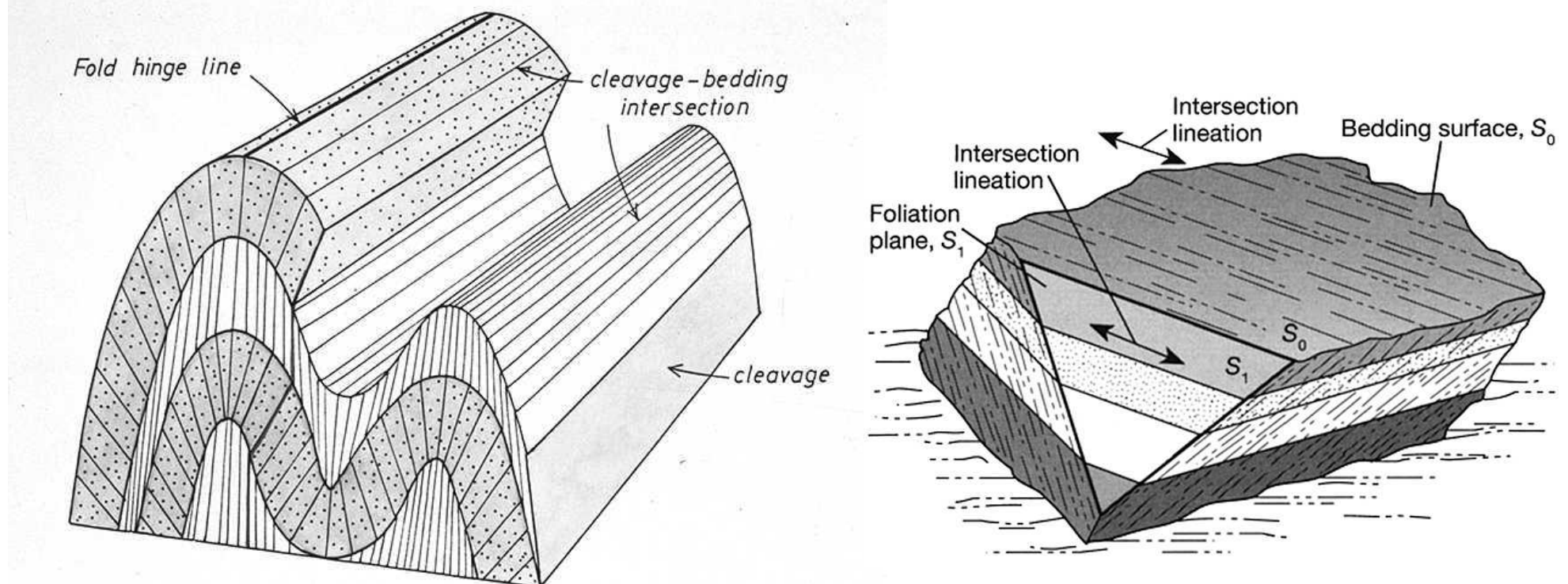
mineral lineation



rodding lineation

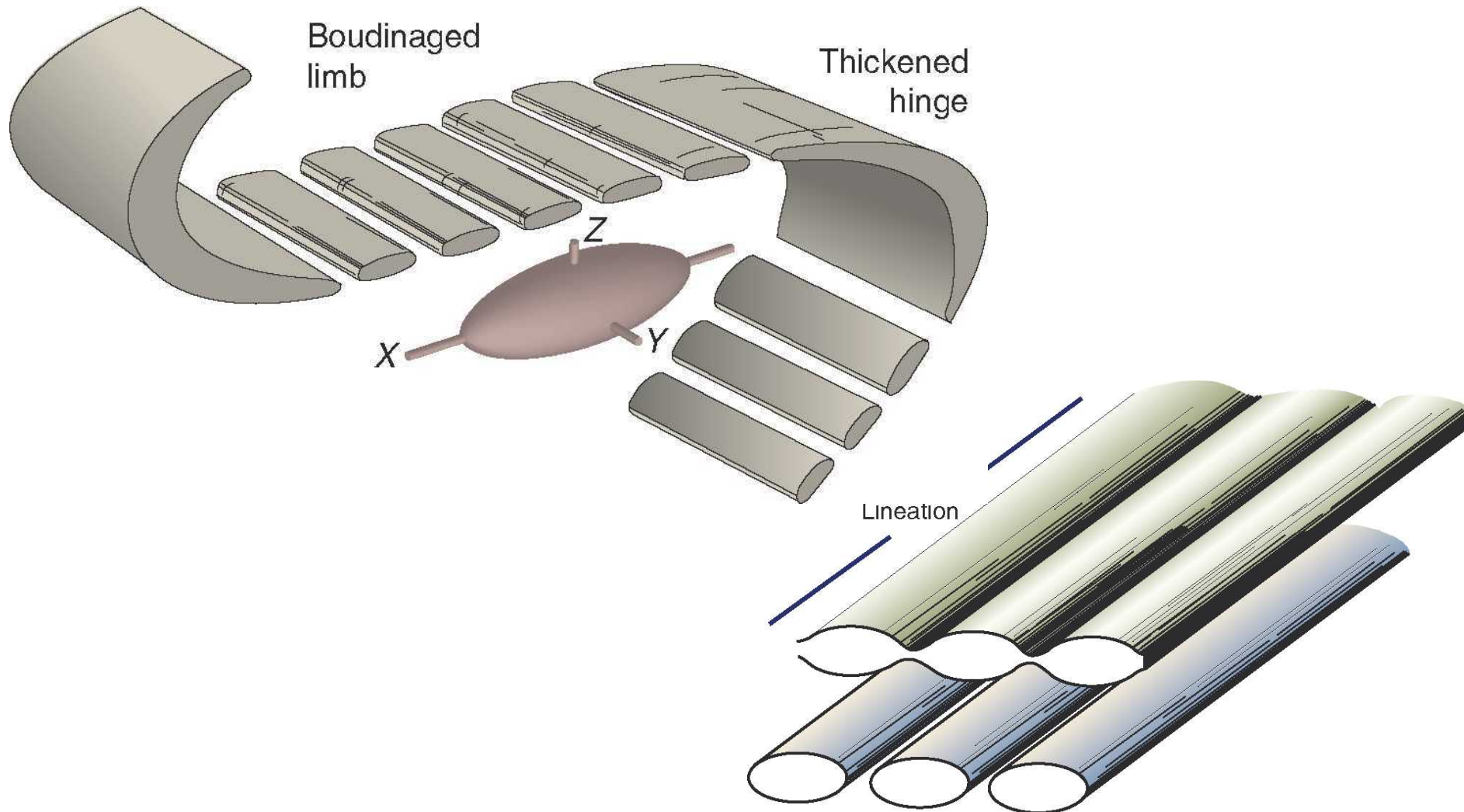


geometric (virtual) lineations



Intersektionslineare
Faltenachsen

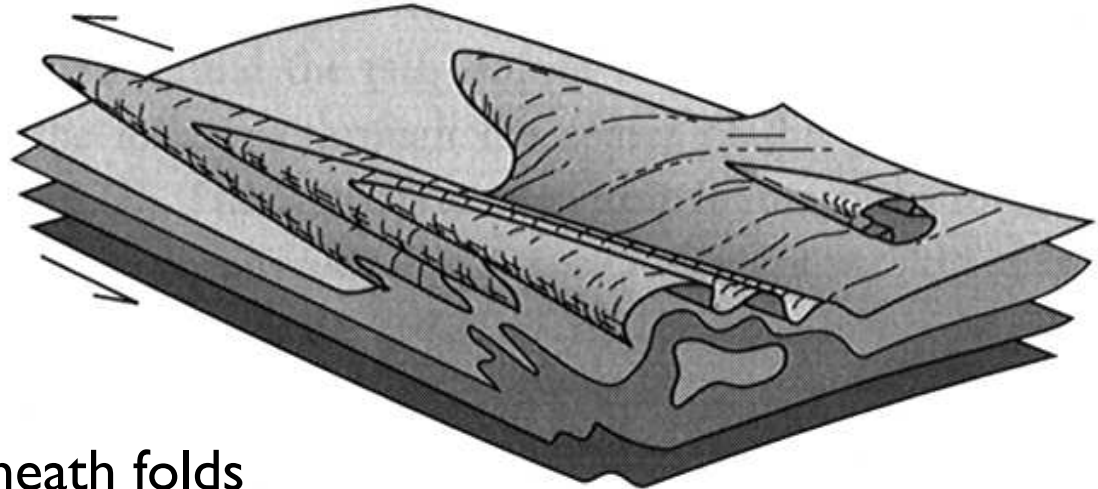
boudinage



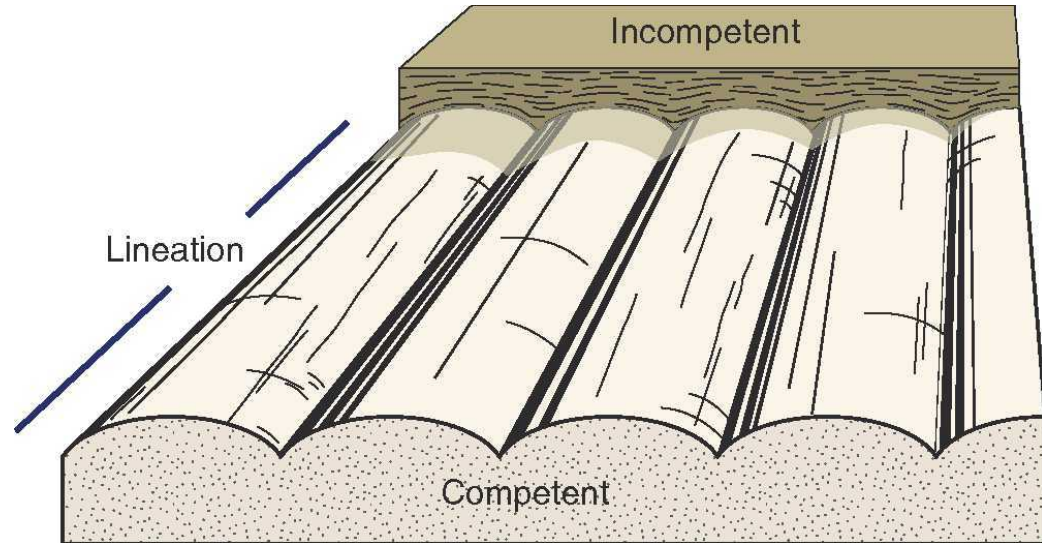
surface lineations



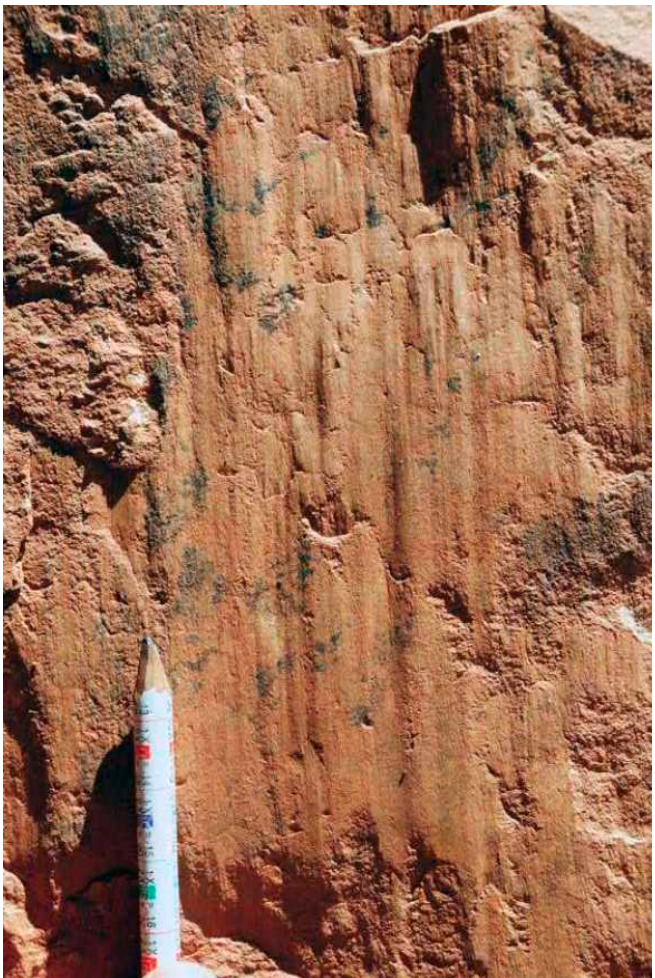
mullions



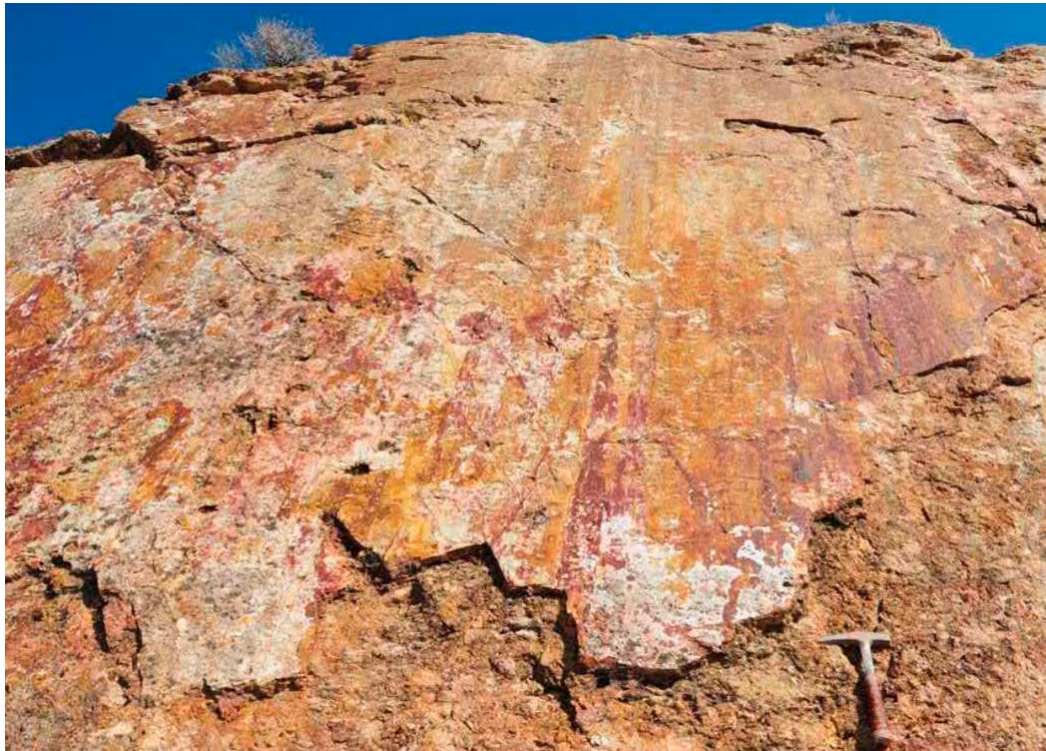
sheath folds



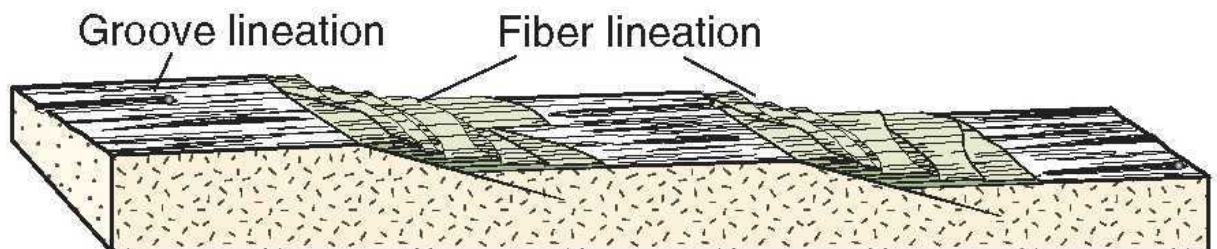
surface lineations



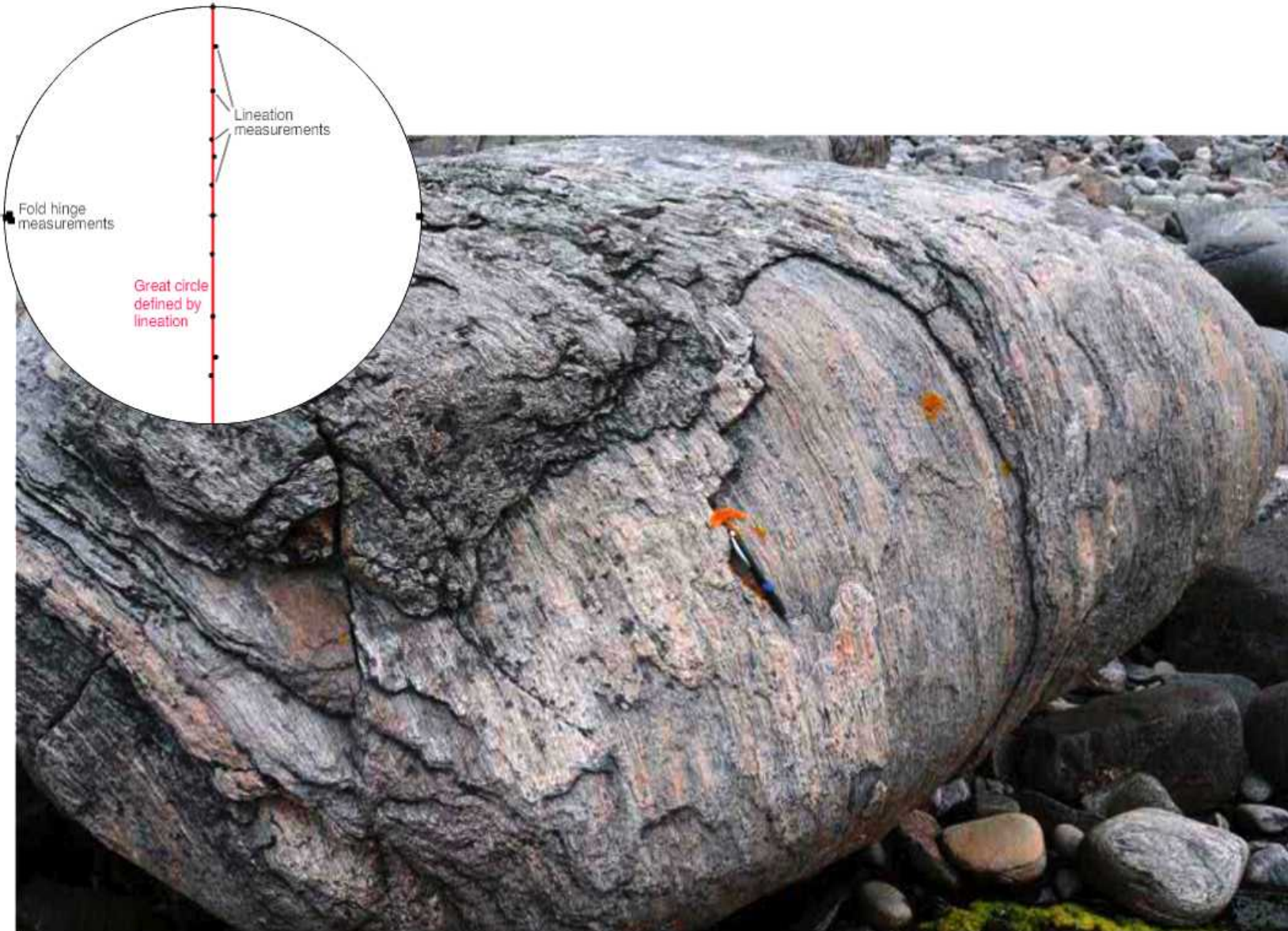
striations



slickenfibres



gefaltete Lineare



6

Semesterplan FS 2016

	Datum		Thema		Übungen	abgeben
1	26. Feb.	1	Druck, Spannung, Mohr Kreis, Spannungsfeld			
2	4. März	2	Deformation, Strainellipse, strain marker, Strainmessung			
3	11. März		fällt aus (Tromsø workshop)			
4	18. März		fällt aus (Tromsø workshop)			
5	25. März		fällt aus (Ostern)			
6	1. April	3	Mohr-Coulomb, Reibung, Klüfte und Brüche		-	
7	8. April	4	Bruchsysteme, Stereonetz Verwerfungen	3	Mohr-Coulomb	13. 4.
8	15. April	5	Scherzonen, Foliation, Lineation	4	Klüfte Mönthal	27. 4.
9	22. April		fällt aus (EGU)	5(6)	Inv. SURFOR, Fry	27. 4.
10	29. April	6	Falten, Geometrie, Faltenbildung		Trajektorien	11.5.
11	6. Mai		fällt aus (Himmelfahrt)	7		
12	13. Mai	7	Mikrostrukturen, Deformationsmechanismen, Rheologie	8	Def.Mech.	18. 5.
13	20. Mai	8	Subduktion, Gebirgsbildung, Transformstörungen	9	Critical taper	25. 5.
14	27. Mai	9	Extensionstektonik, rifting, MOR, MCC, LANF			
15	3. Juni	10	Test			

6 Falten - Geometrie - Faltenbildung

VL-Themen:

- Faltengeometrie
- superposed folding
- Falten im Stereonetz
- Strain in Falten
- Falten in tektonischen Strukturen
- Faltung (Mechanik)
buckling - bending - passive

folds

Haakon Fossen
PROFESSOR, STRUCTURAL GEOLOGY
UNIVERSITY OF BERGEN, NORWAY

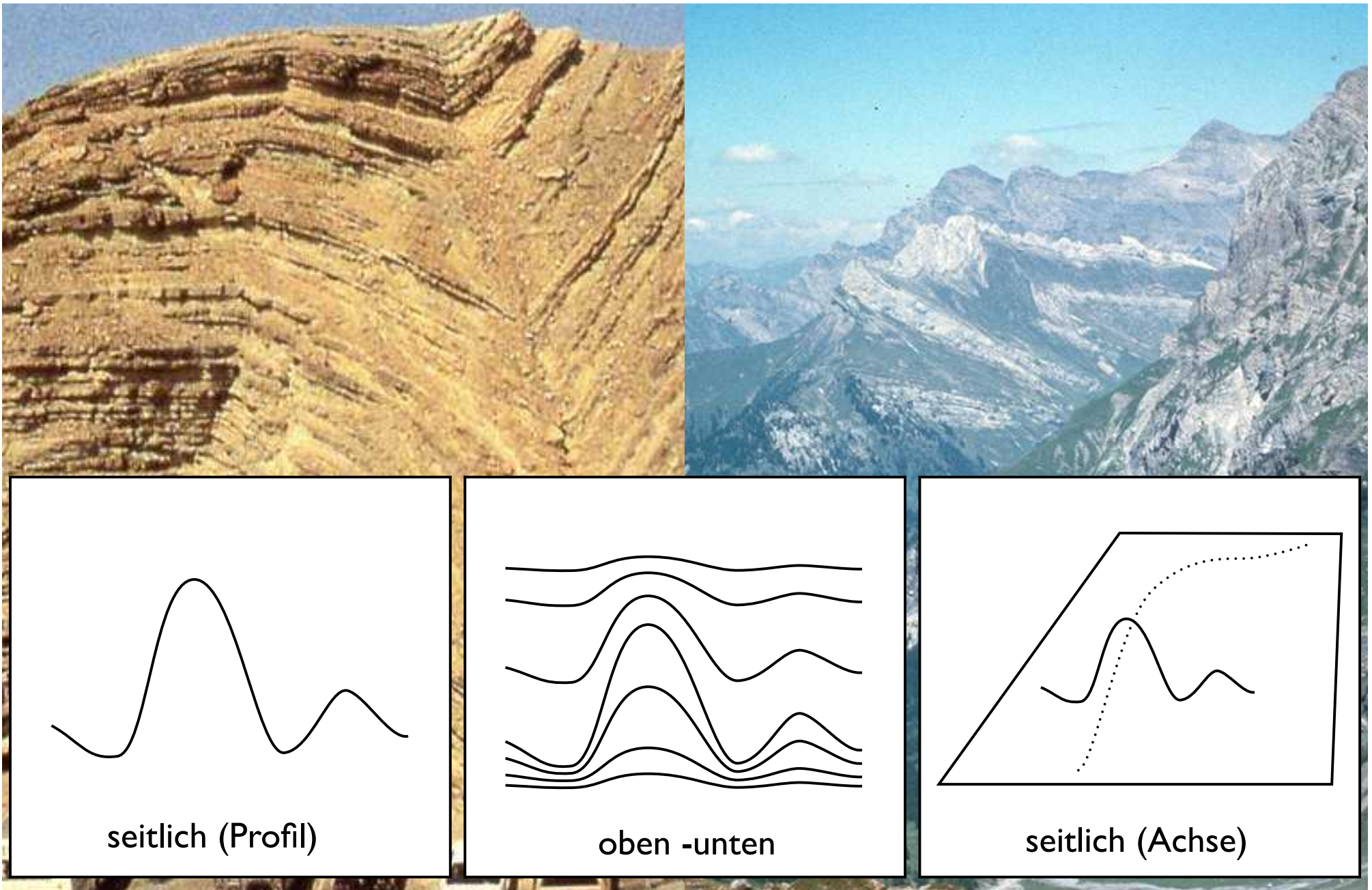
HOME ABOUT PUBLICATIONS RESEARCH CONTACT



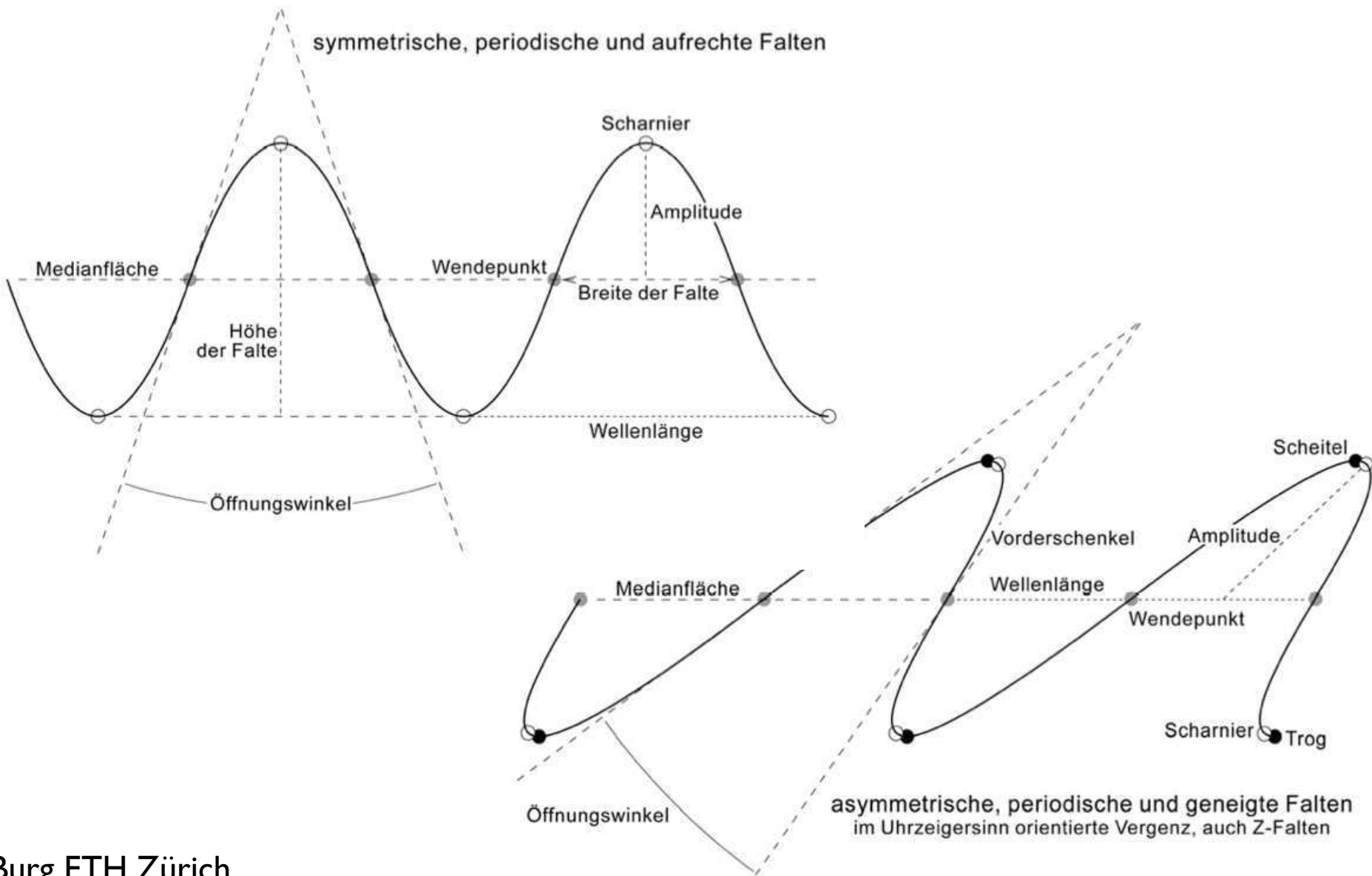
<http://folk.uib.no/nglhe/e-modules/Chapter%2011/11%20Folding.swf>

fold
geometry

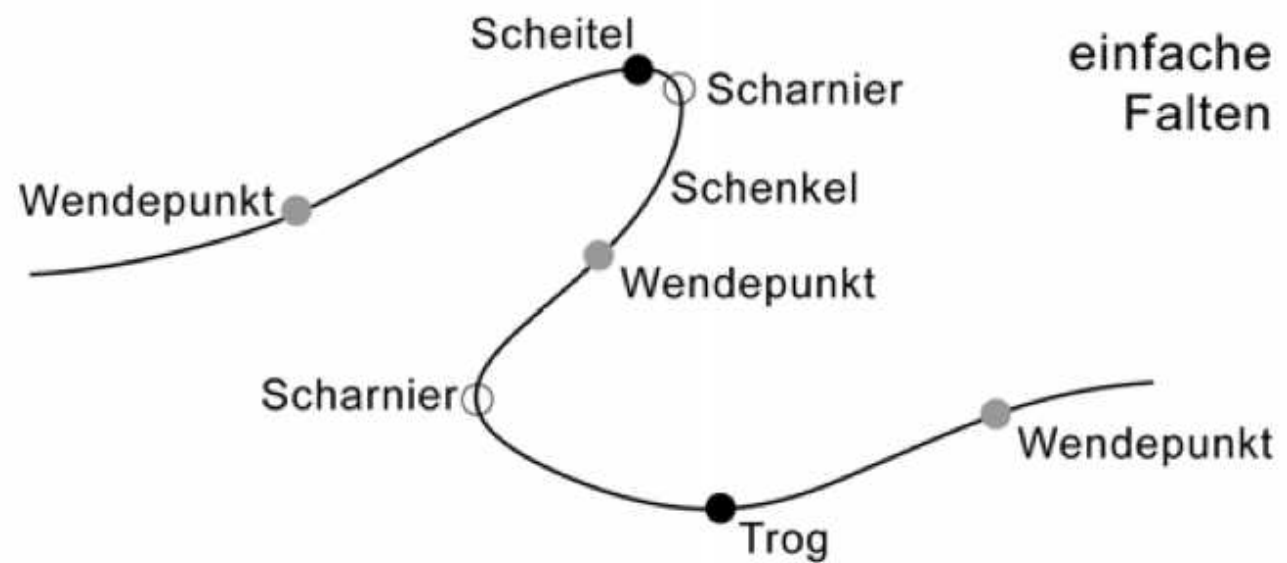
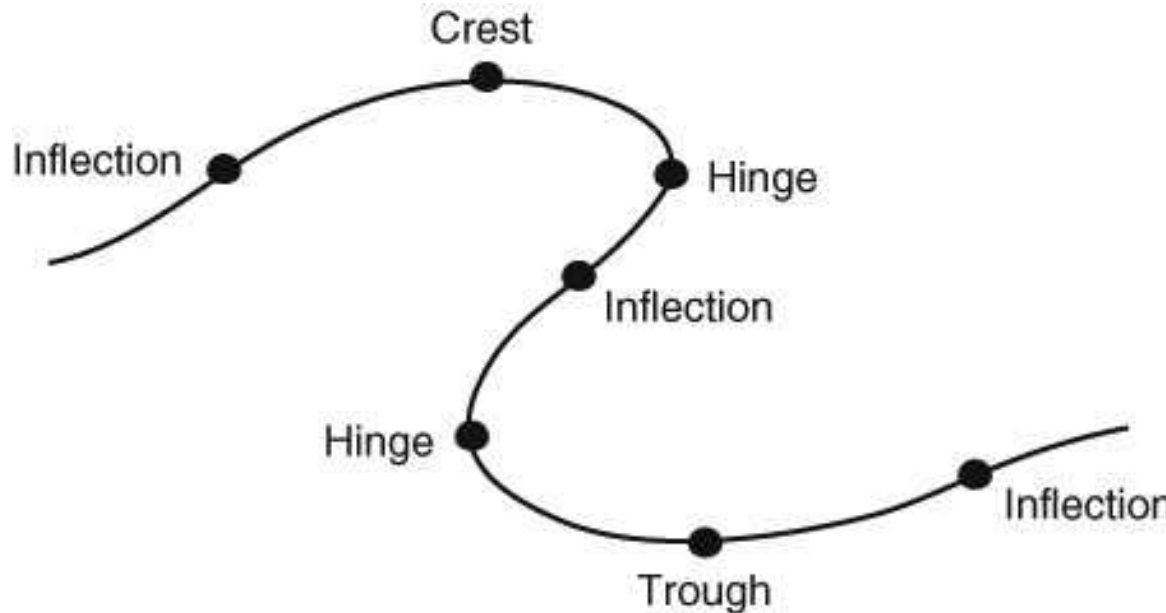
Falten = 3D Objekte



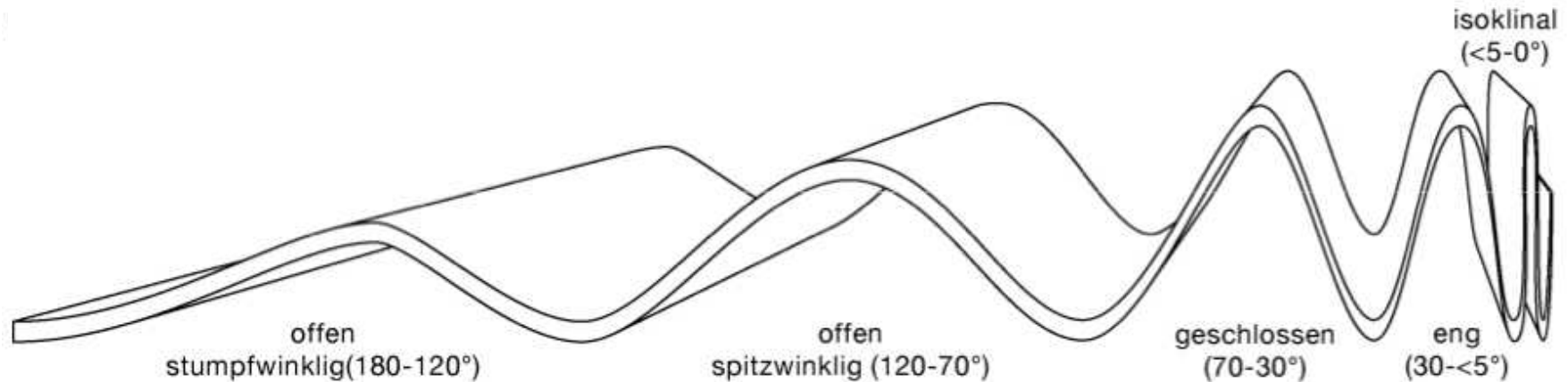
Falte als Welle



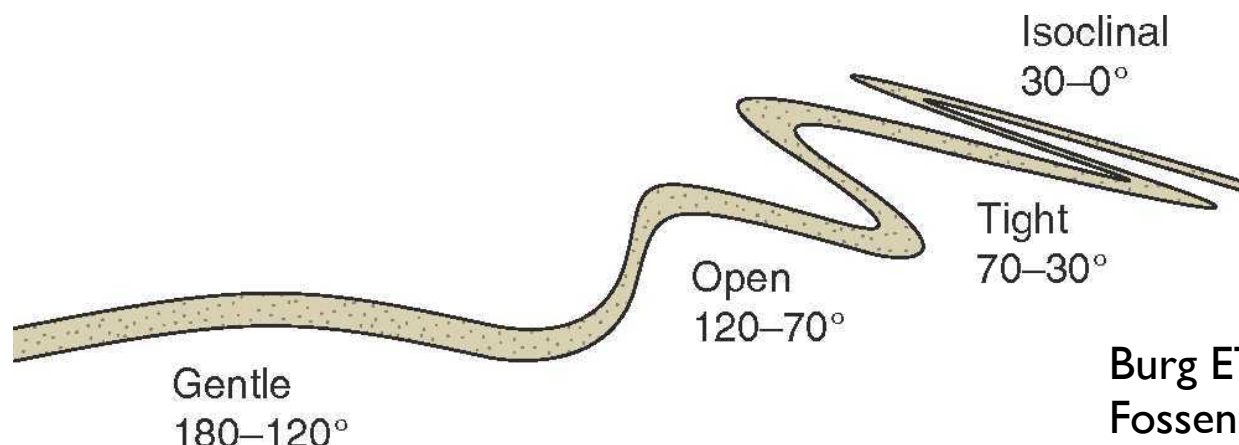
Falten: Terminologie



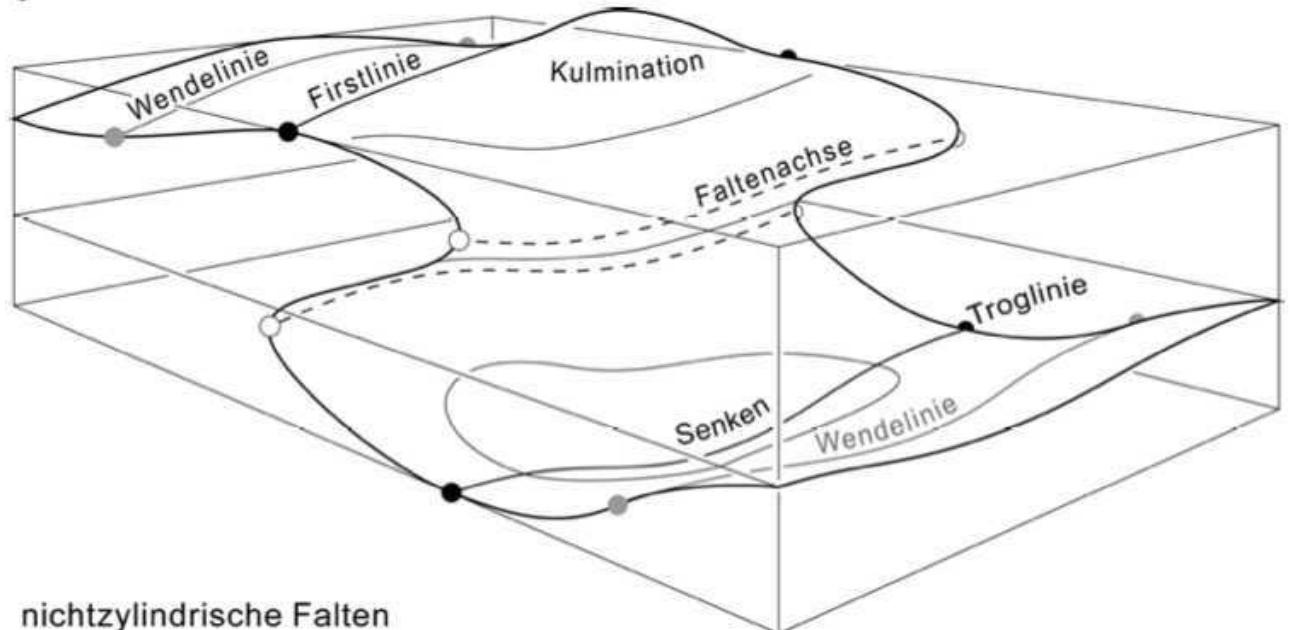
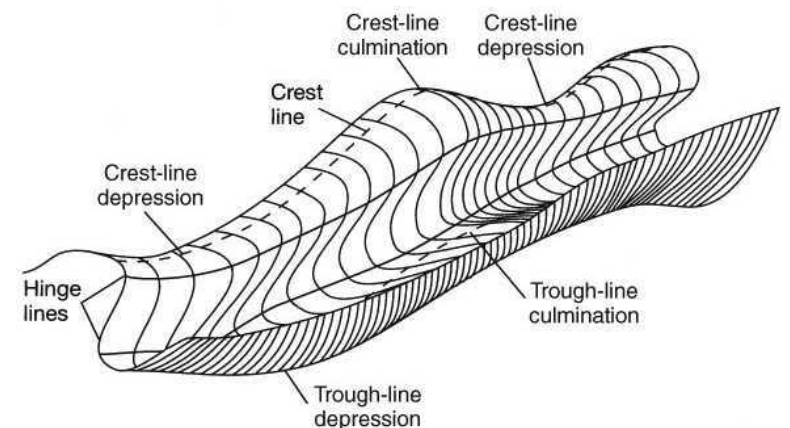
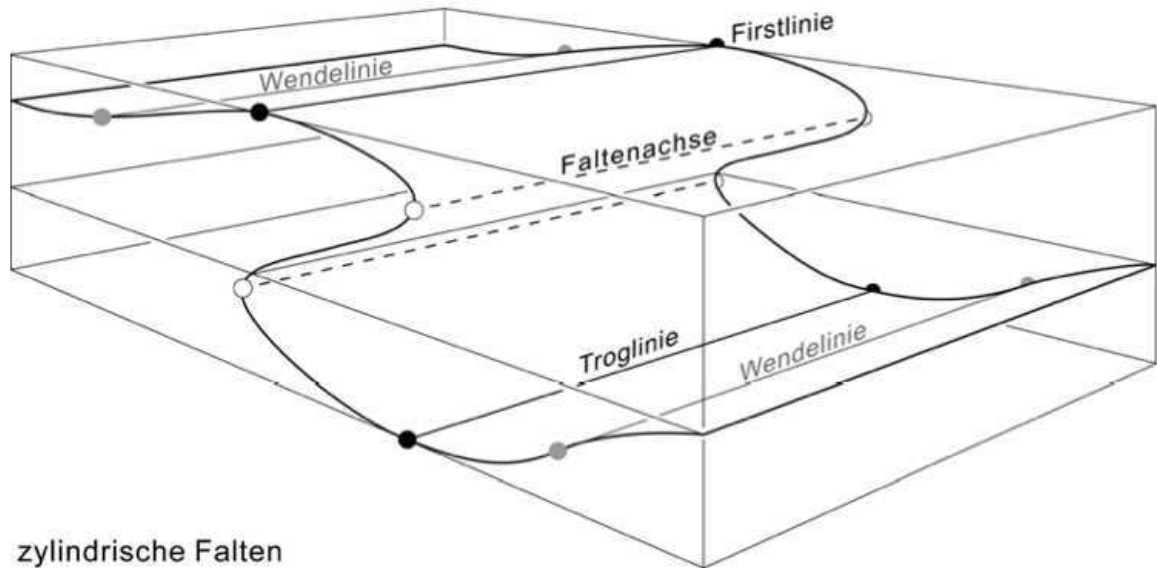
Öffnungswinkel



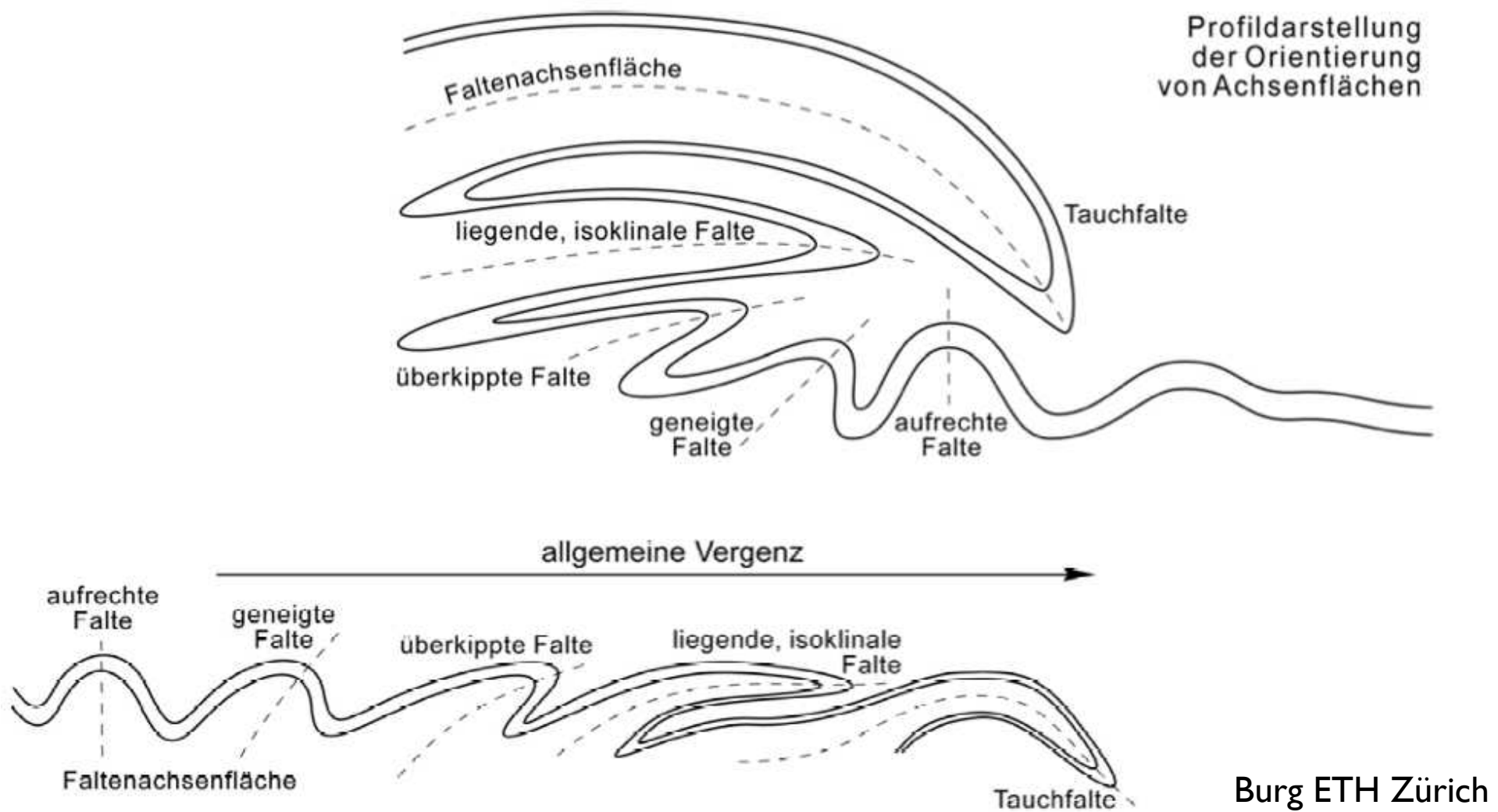
Öffnungswinkel	Klassen	<i>englische Bezeichnung</i>
180 bis ca. 120°	offen stumpfwinklig	<i>gentle</i>
120 -- 70°	offen spitzwinklig	<i>open</i>
70 -- 30°	geschlossen	<i>close</i>
kleiner als 30°	eng	<i>tight</i>
0°, d.h. parallele Schenkel	isoklinal	<i>isoclinal</i>



zylindrisch - nichtzylindrisch



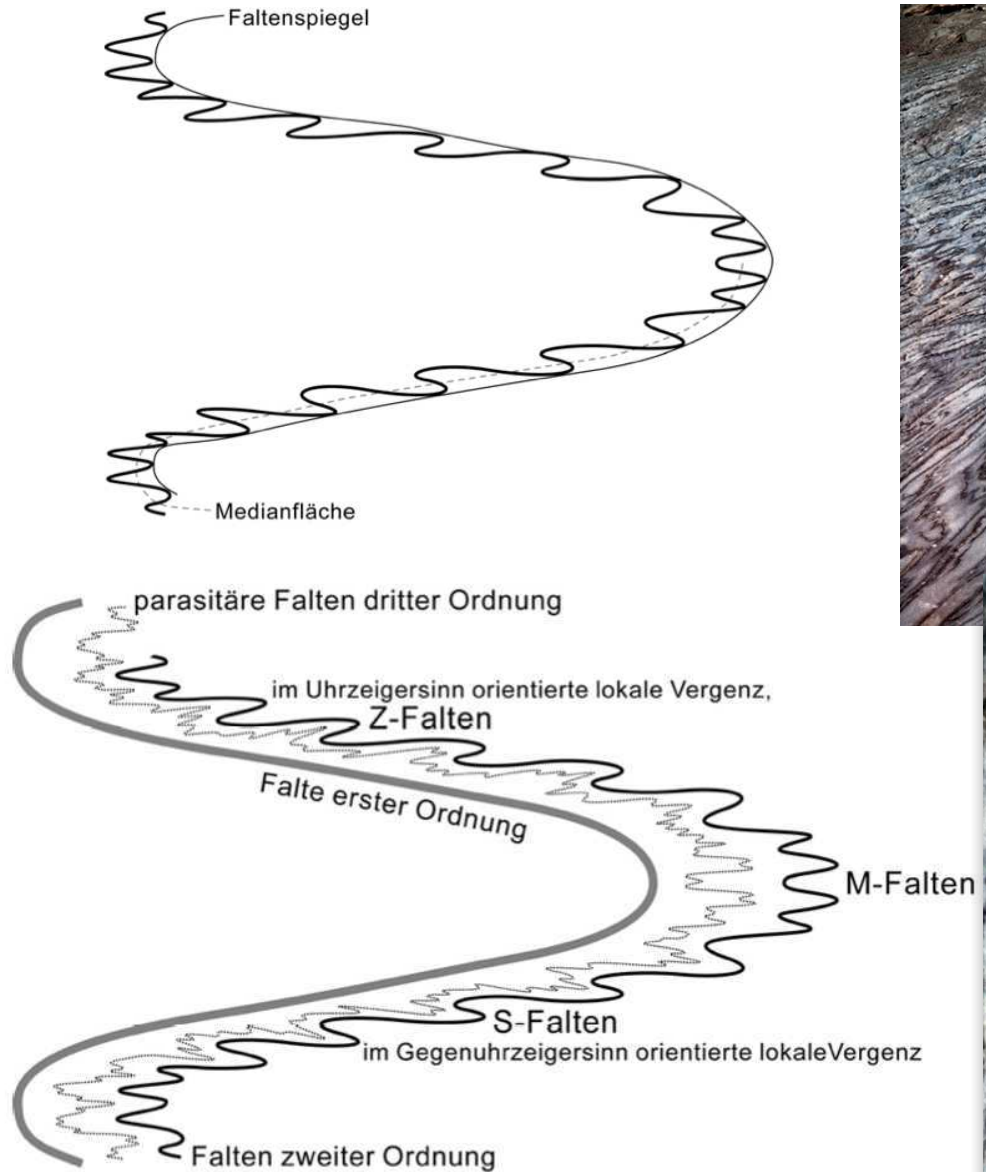
Vergenz



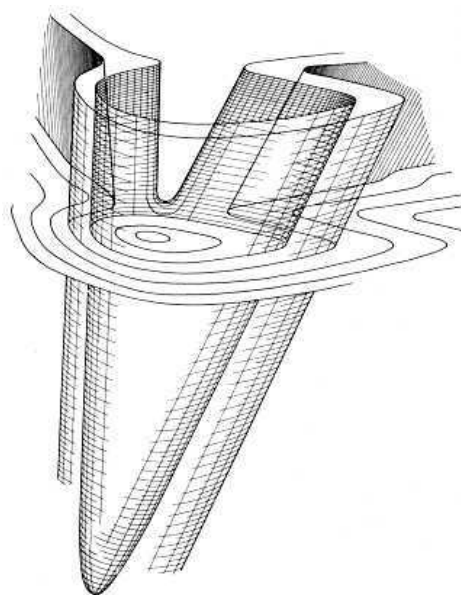
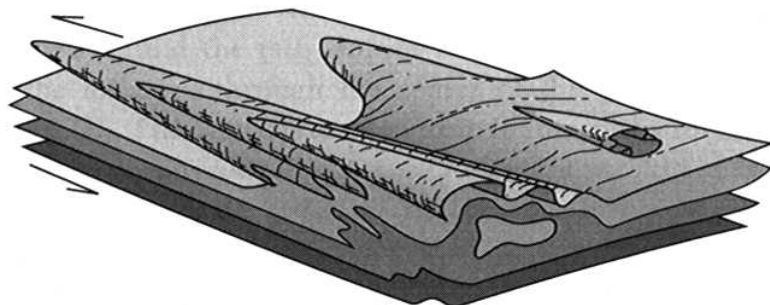
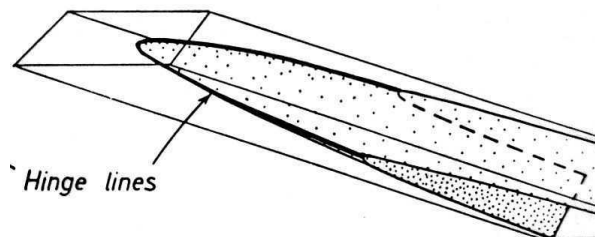
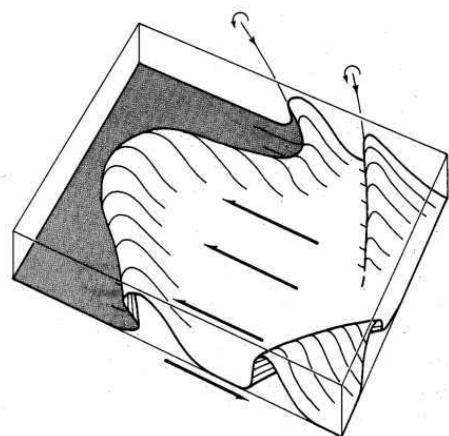
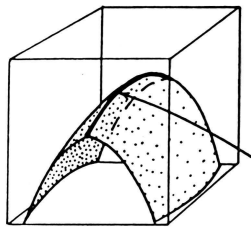
Burg ETH Zürich

Facing (= wahre Vergenz):
younging direction along the fold axial surface

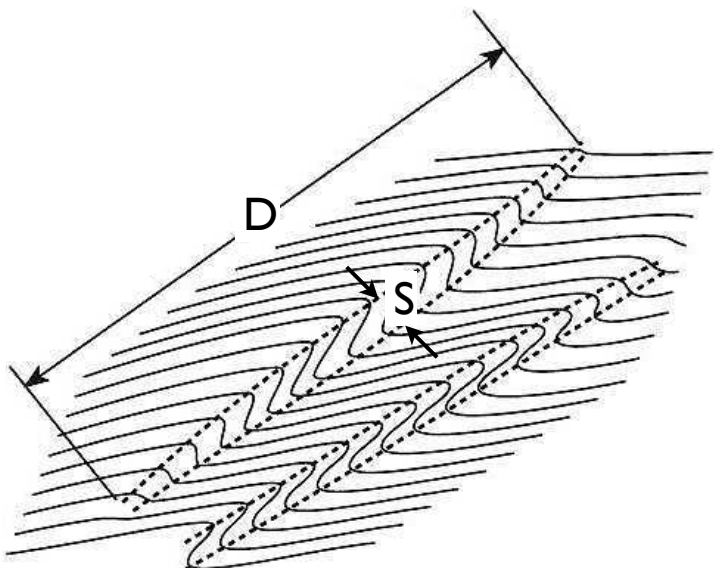
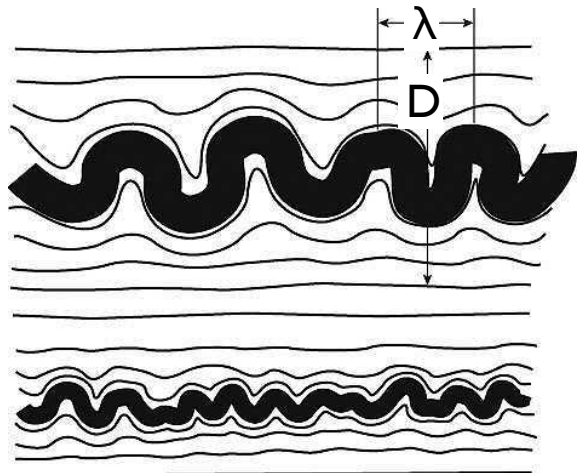
Falten höherer Ordnung



Spezialfall: Futteralfalte (sheath fold)



Harmonie - Disharmonie



H = harmony ratio

$$H = D/S = 2D/\lambda$$

D = Ausdehnung der Falte // Achsenfläche

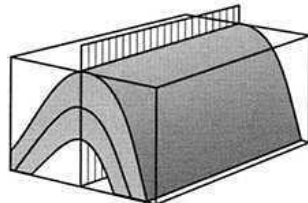
λ = Wellenlänge

$S = \lambda / 2$ = Schenkel

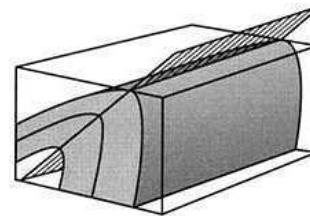
$$H = D/S \approx 12$$

fold
Klassifikationen

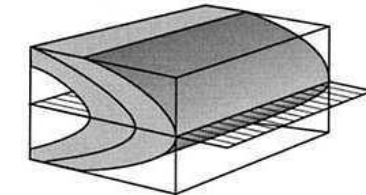
Klassifikation: Faltenachse / Achsenfläche



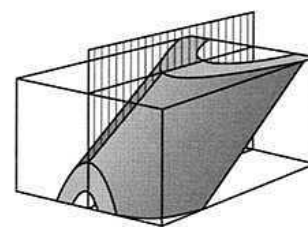
Upright horizontal



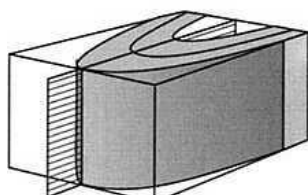
Moderately inclined horizontal



Recumbent

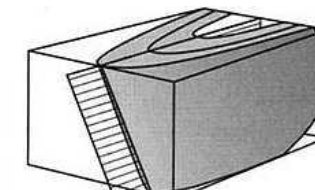
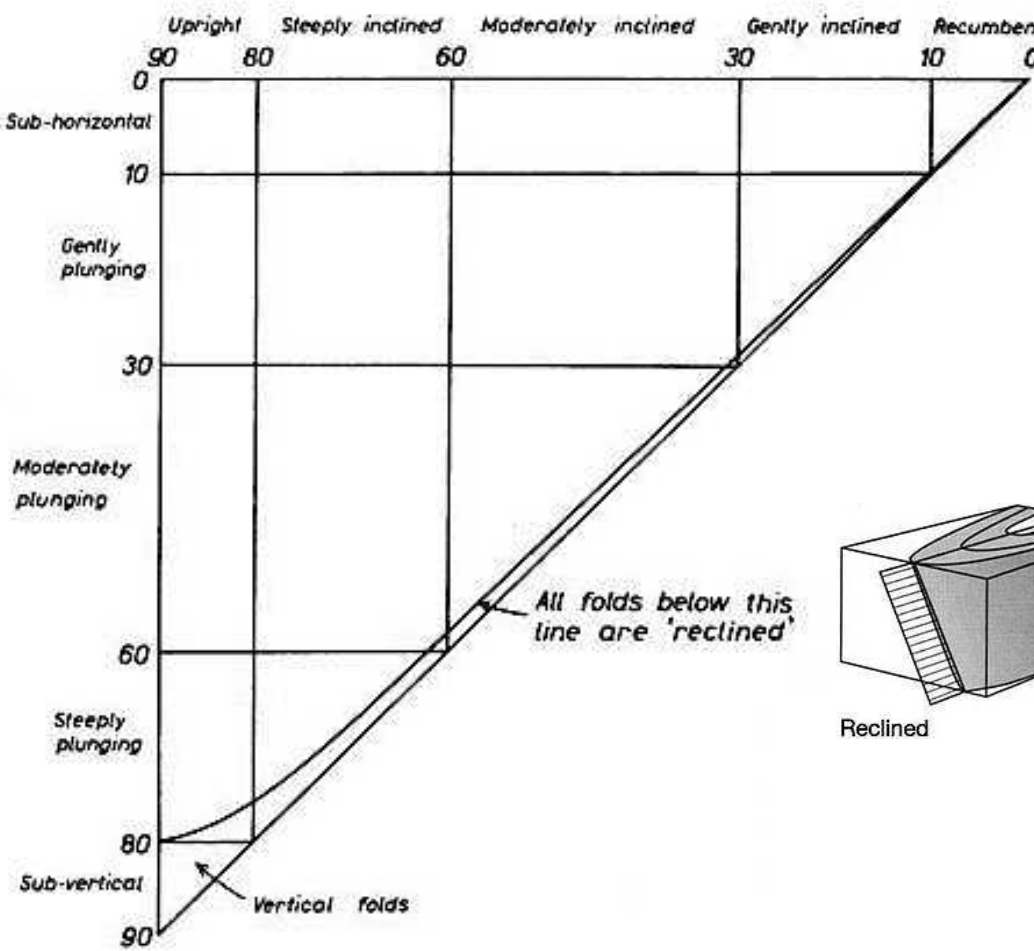


Upright moderately plunging



Vertical

Eintauchen der Faltenachse



Reclined

Einfallen der Achsenfläche

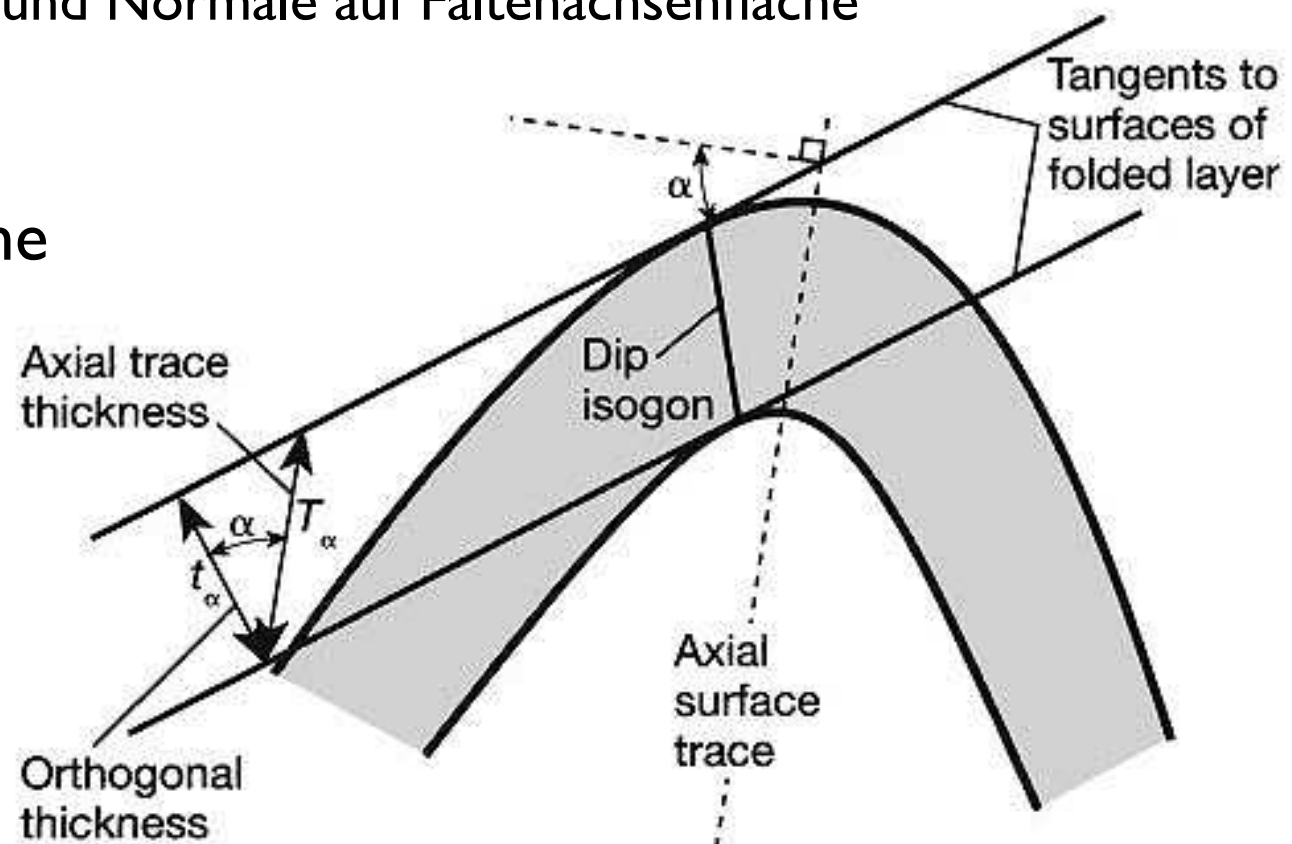
Twiss & Moores

Isogonen

α = Winkel zwischen Schicht und Normale auf Faltenachsenfläche

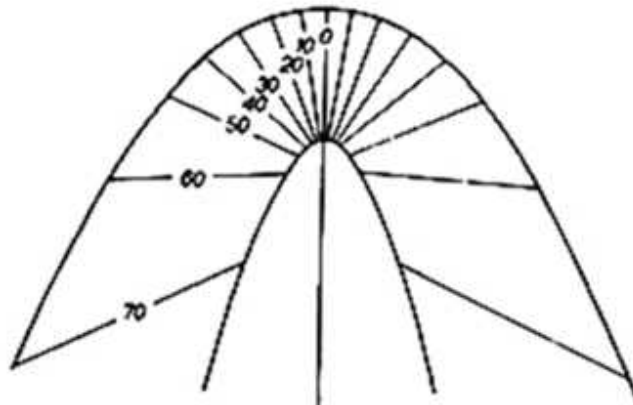
T = Dicke der Schicht parallel zur Achsenfläche

$$t_\alpha = \cos(\alpha) \cdot T_\alpha$$

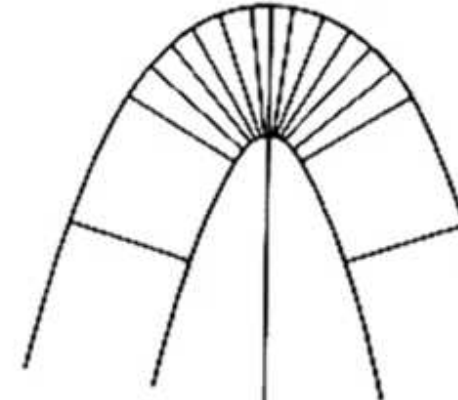


t = Dicke der Schicht senkrecht zur Schichtfläche

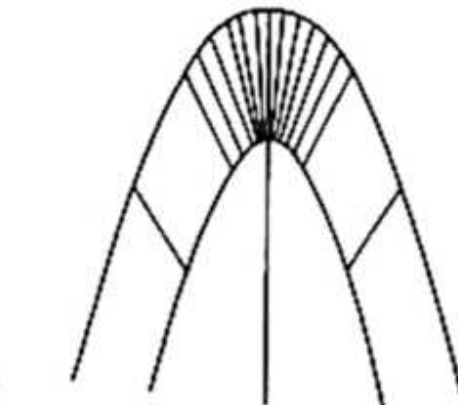
Ramsay's classification of folds



Typ IA



Typ IB parallele Falte



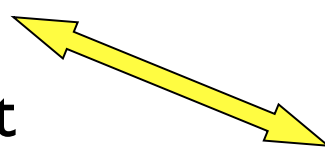
Typ IC

Isogonen sind im...

Typ I - konvergent

Typ 2 - parallel

Typ 3 - divergent



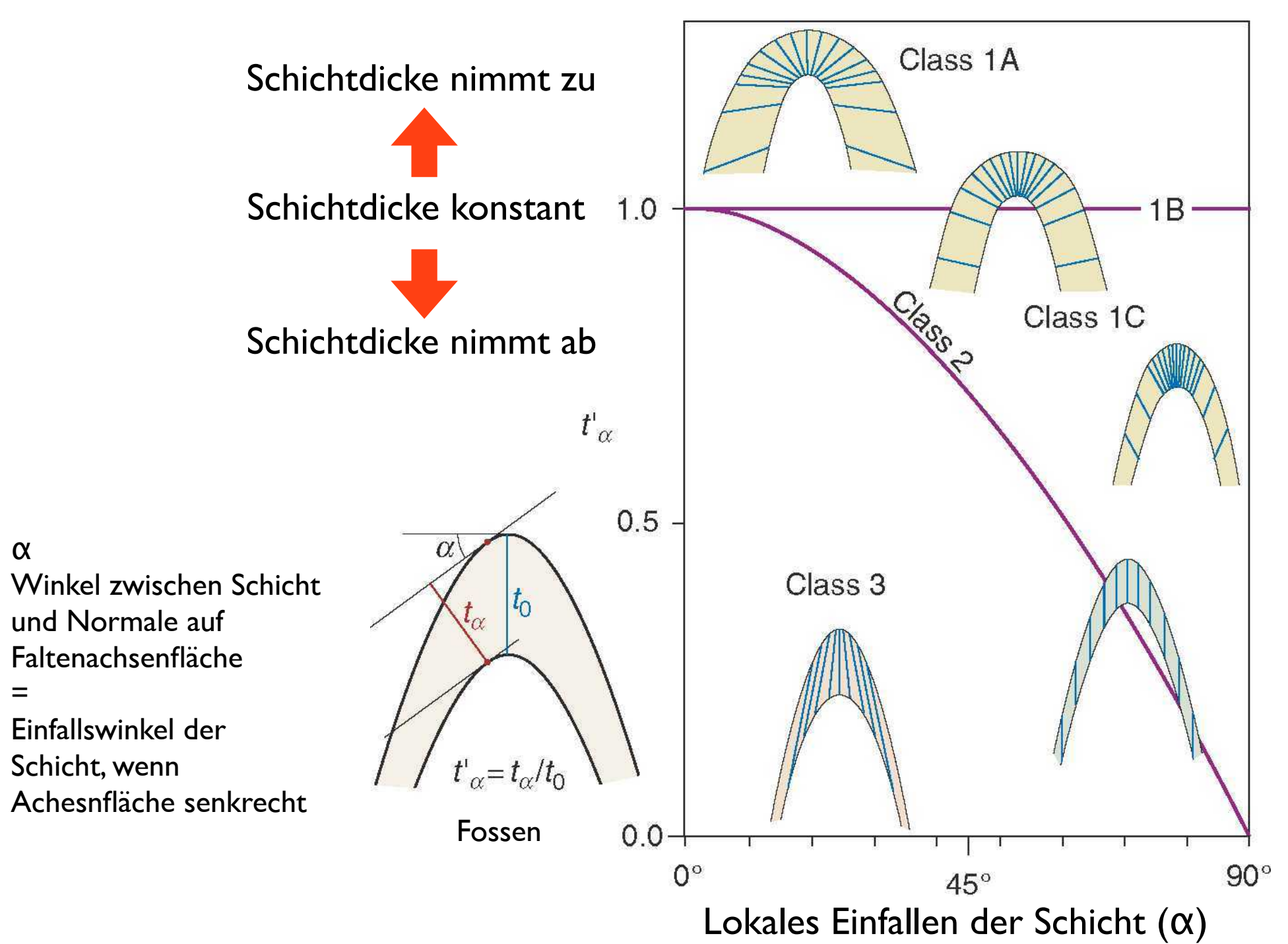
... bezüglich des Faltenkerns



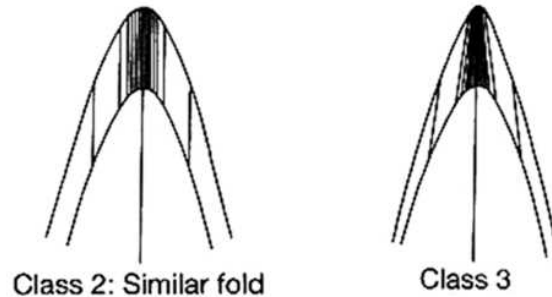
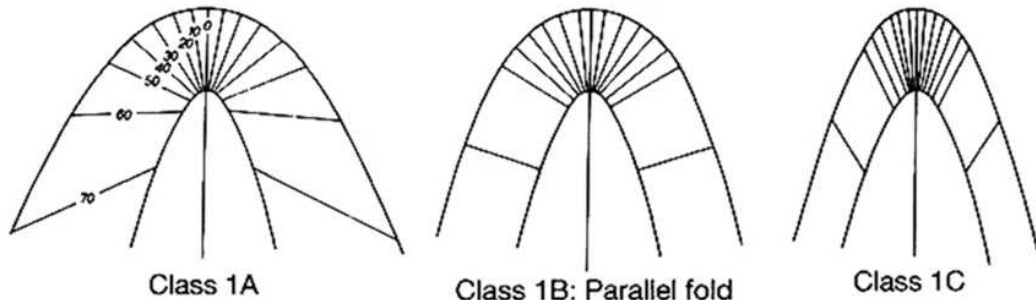
Typ 2 kongruente Falte



Typ 3

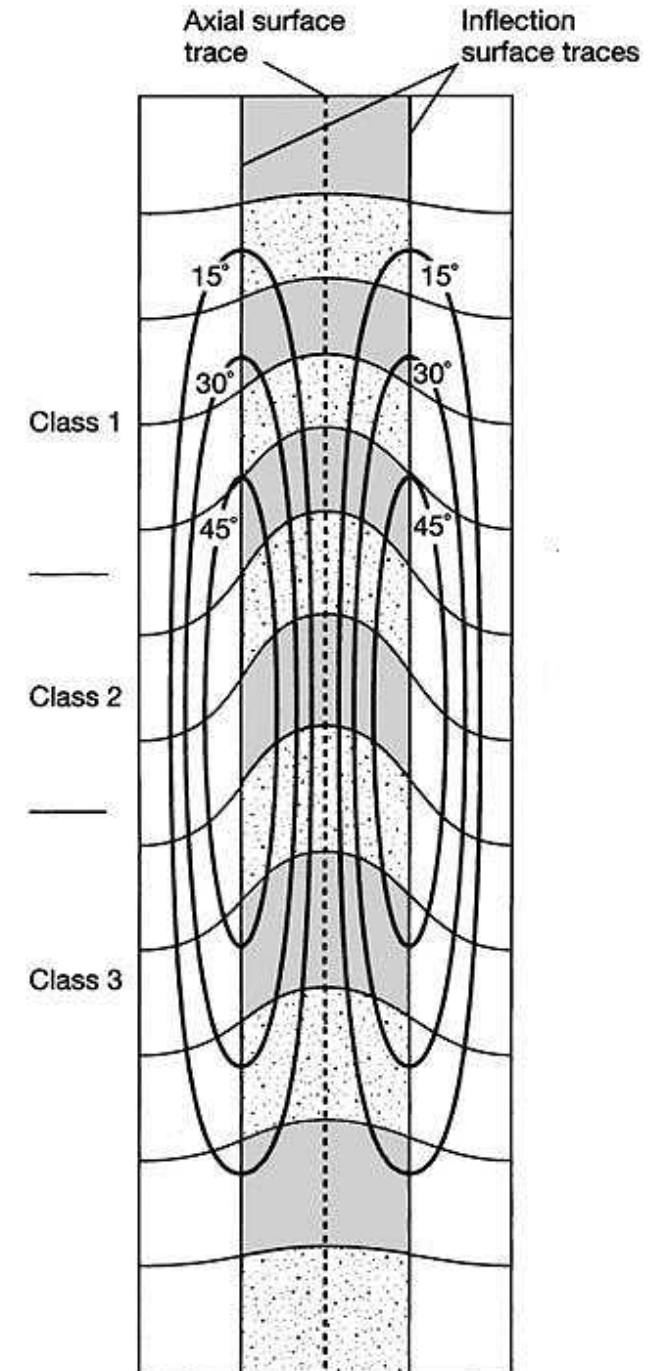


Beispiel

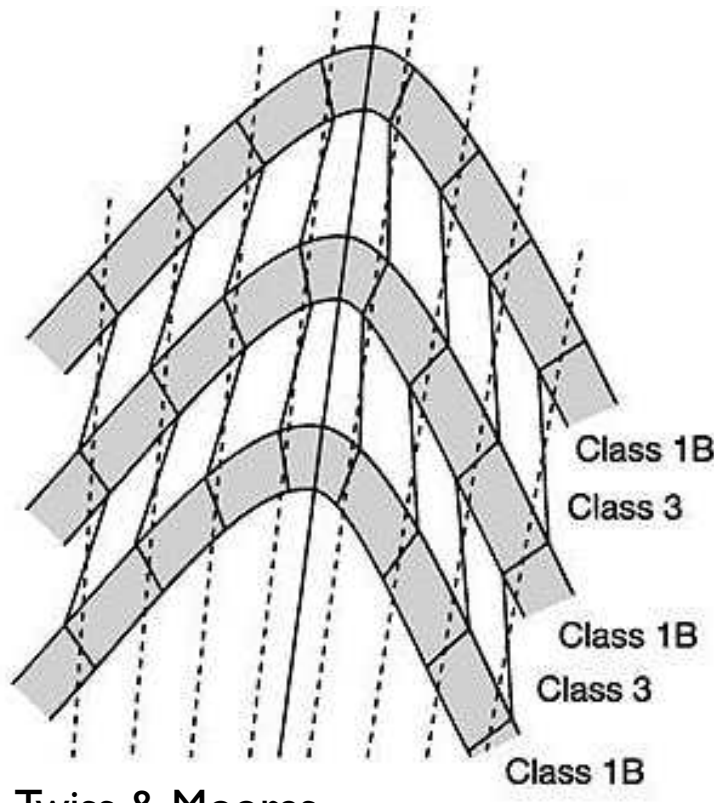


Twiss & Moores

oberes Ende: Class I
Mitte: Class 2
unteres Ende: Class 3



Beispiel



Twiss & Moores

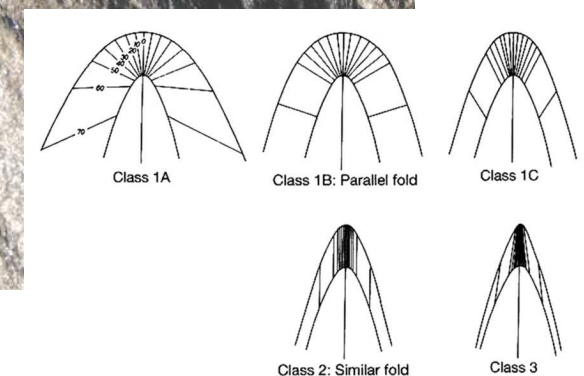
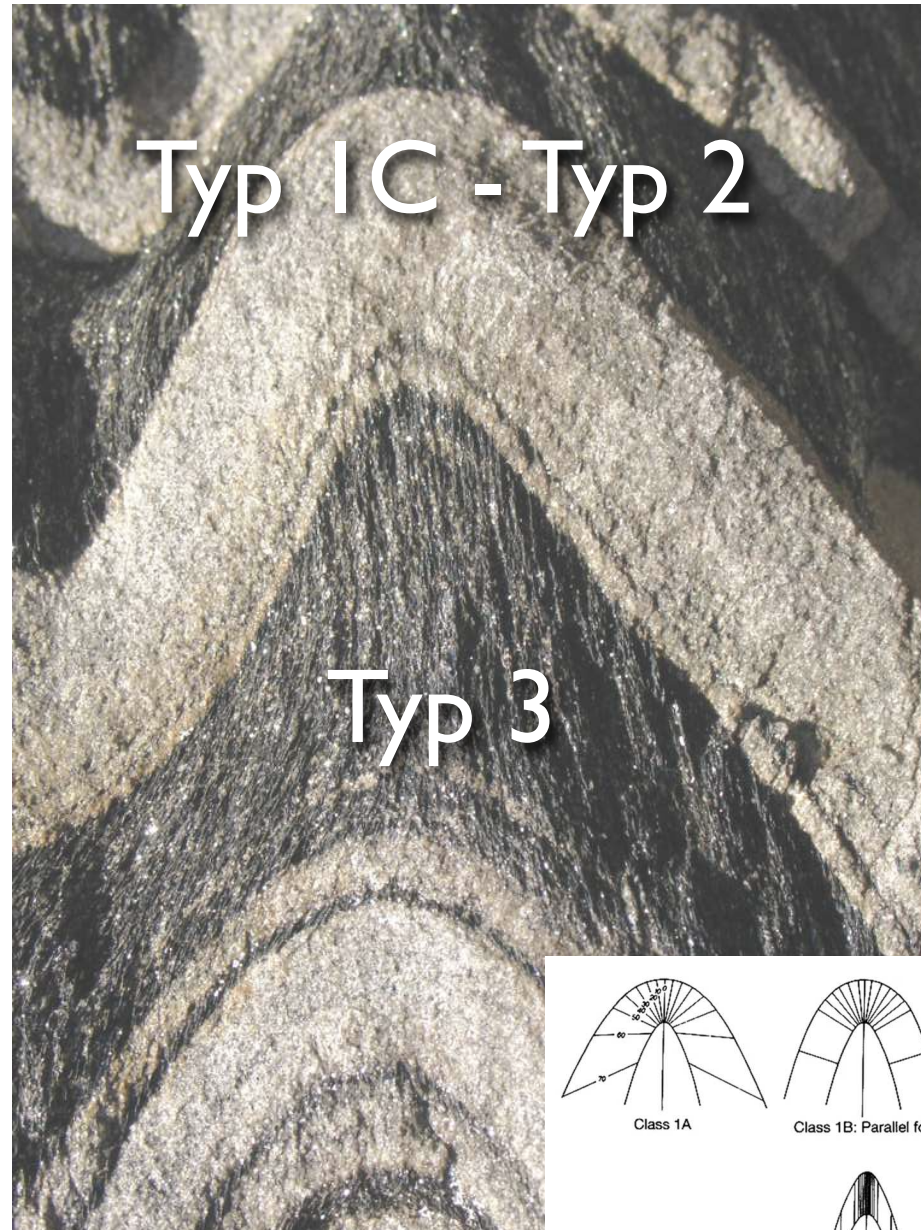
Verschieden Schichten:

Grau: Class 1B

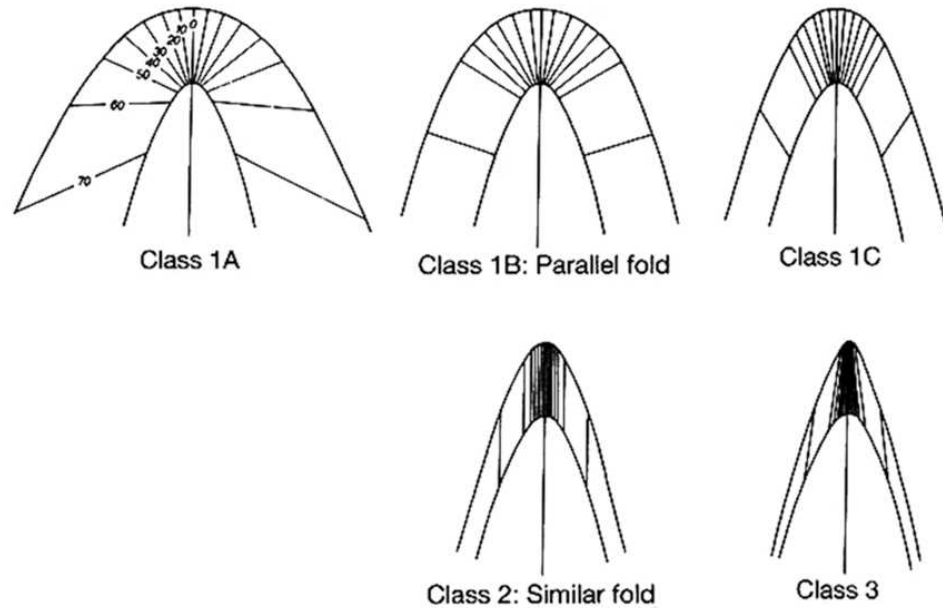
(konstante Schichtdicke)

Weiss: Class 3

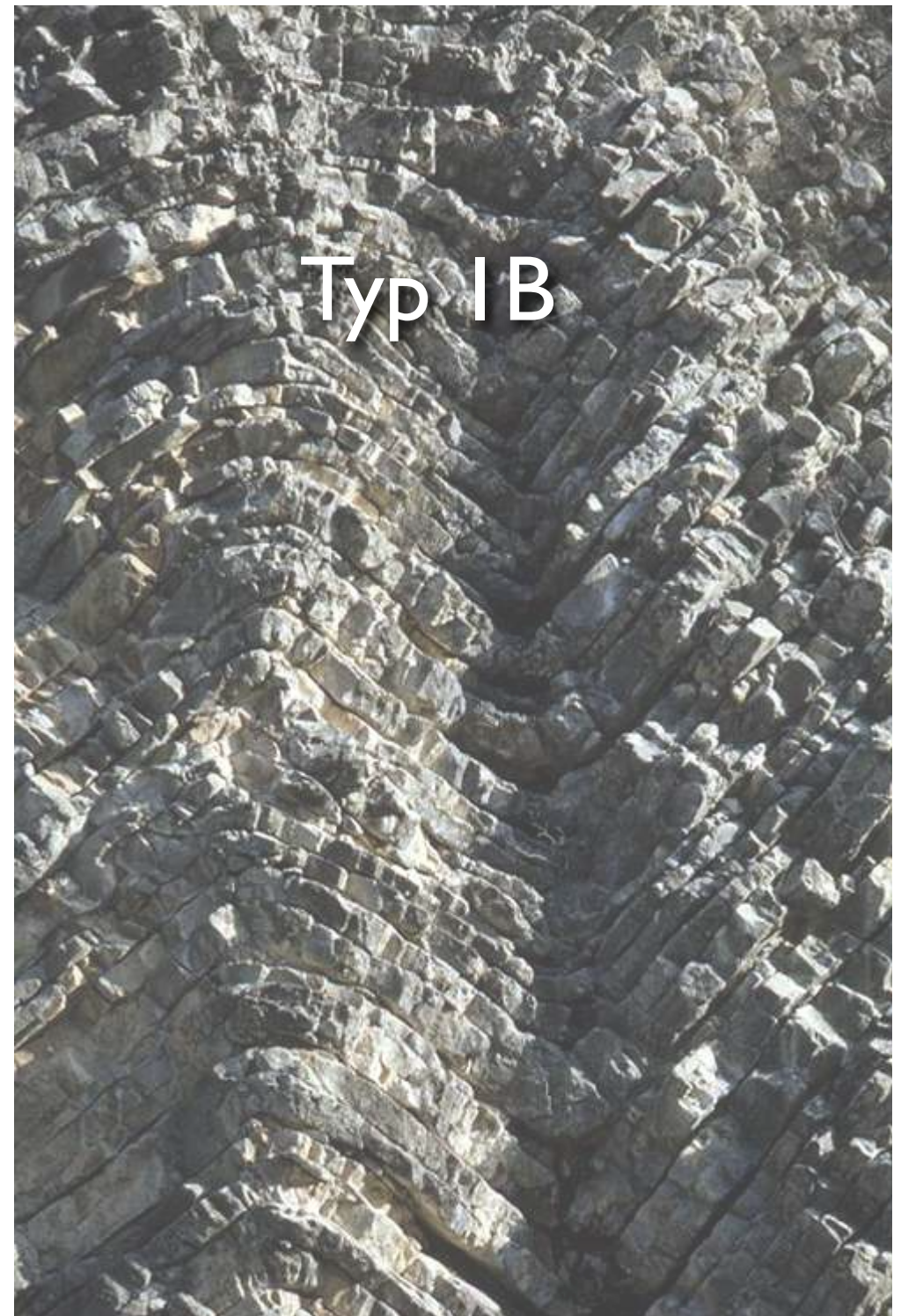
(divergente Isogonen)



Beispiel



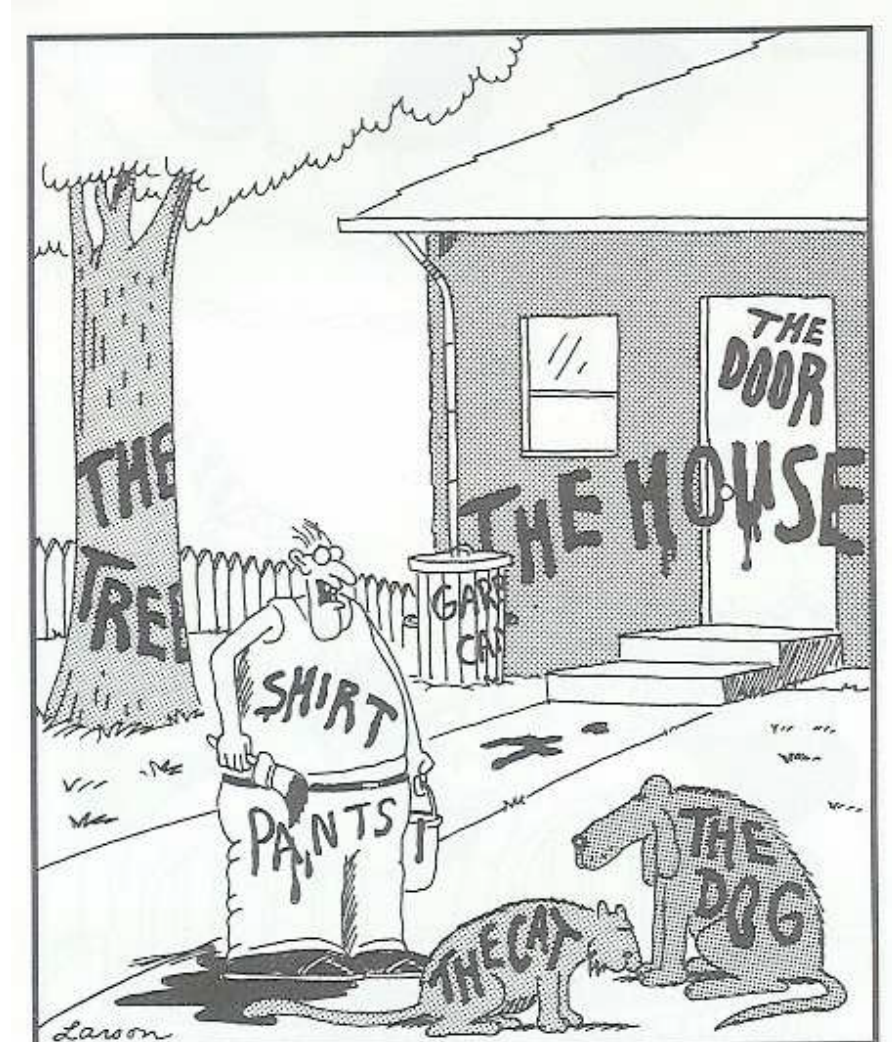
Knickfalten im Jura und
Chaines Subalpines:
Konstante Schichtdicke



Klassifikation sind ...

... gut,
wenn sie beschreibend
geometrisch
(beobachtbar)

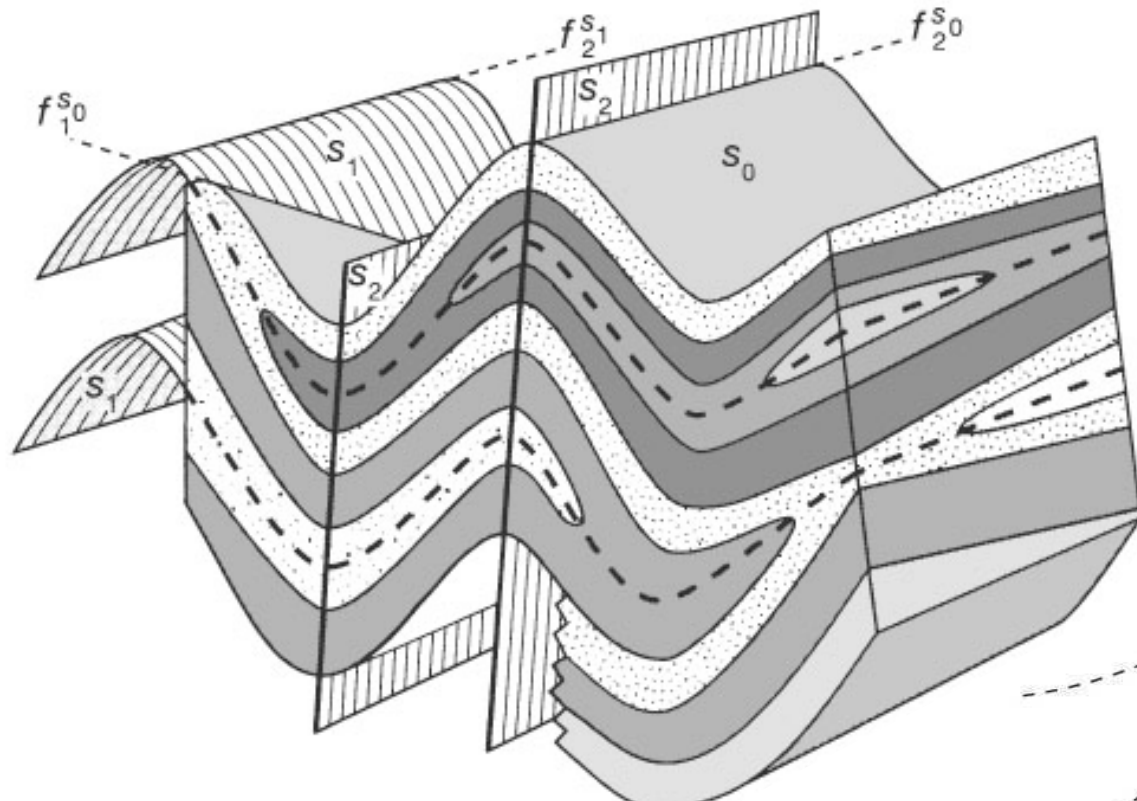
... schlecht,
wenn sie genetisch,
interpretierend
prozess-abhängig
(nicht beobachtbar)
sind



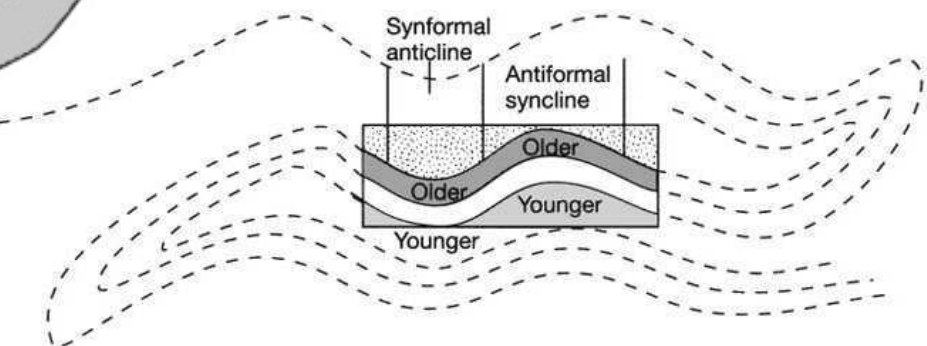
"Now! ... That should clear up
a few things around here!"

superposed folding

Superposed folding



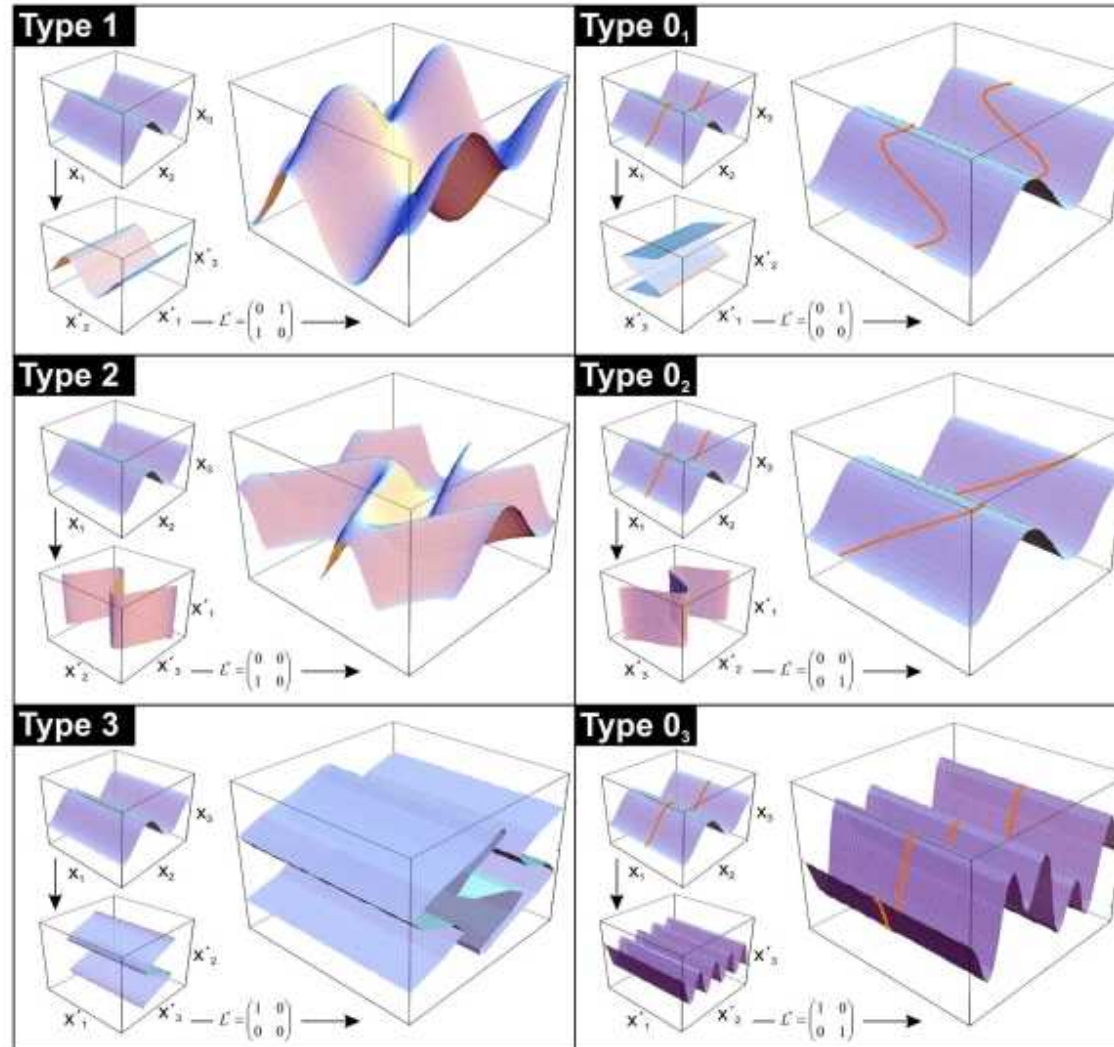
Twiss & Moores



several phases of folding;
requires geometric analysis;
most important: **fold axial surfaces (S = plane), fold axis (F = direction)**
fold axis = axis of rotation

Superposition

$S_1 \perp S_2$
 $F_1 \perp F_2$
 $F_1 \# S_2$



$S_1 \perp S_2$
 $F_1 \perp F_2$
 $F_1 // S_2$

$S_1 \perp S_2$
 $F_1 \perp F_2$
 $F_1 // S_2$

$S_1 \perp S_2$
 $F_1 // F_2$
 $F_1 // S_2$

$S_1 // S_2$
 $F_1 // F_2$
 $F_1 // S_2$

FAG Home Project Listing Current Projects Recent Projects Publications Lectures Gallery Educational Material

- [Papermodels](#)
- [Structure](#)
- [Contours](#)
- [Superposed Folds](#)

Software Staff Postgrads Collaborators Employment Opportunities Contact FAG

<http://www.fault-analysis-group.ucd.ie/>

Display a menu

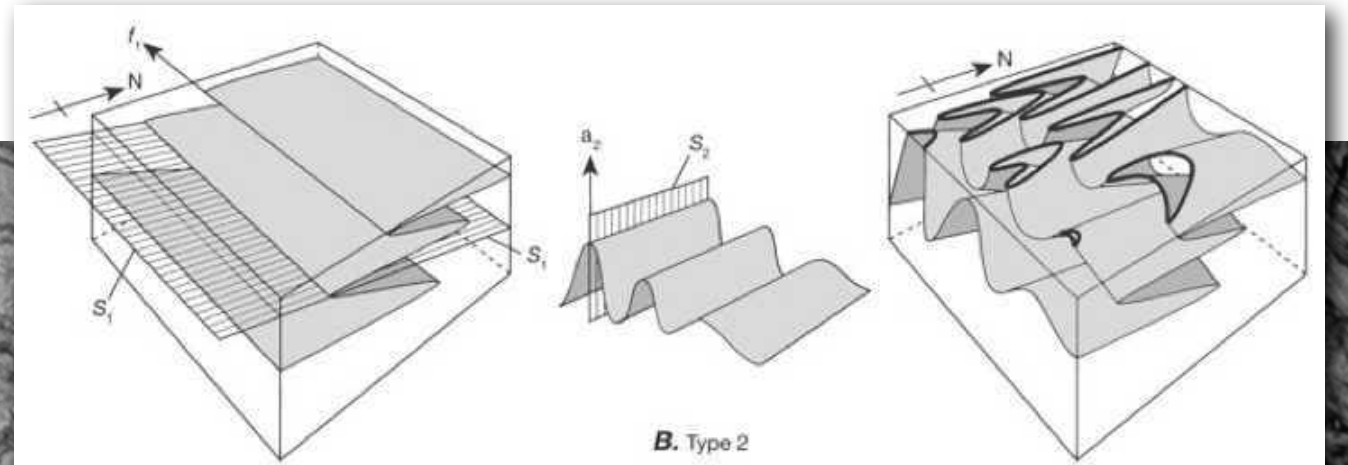
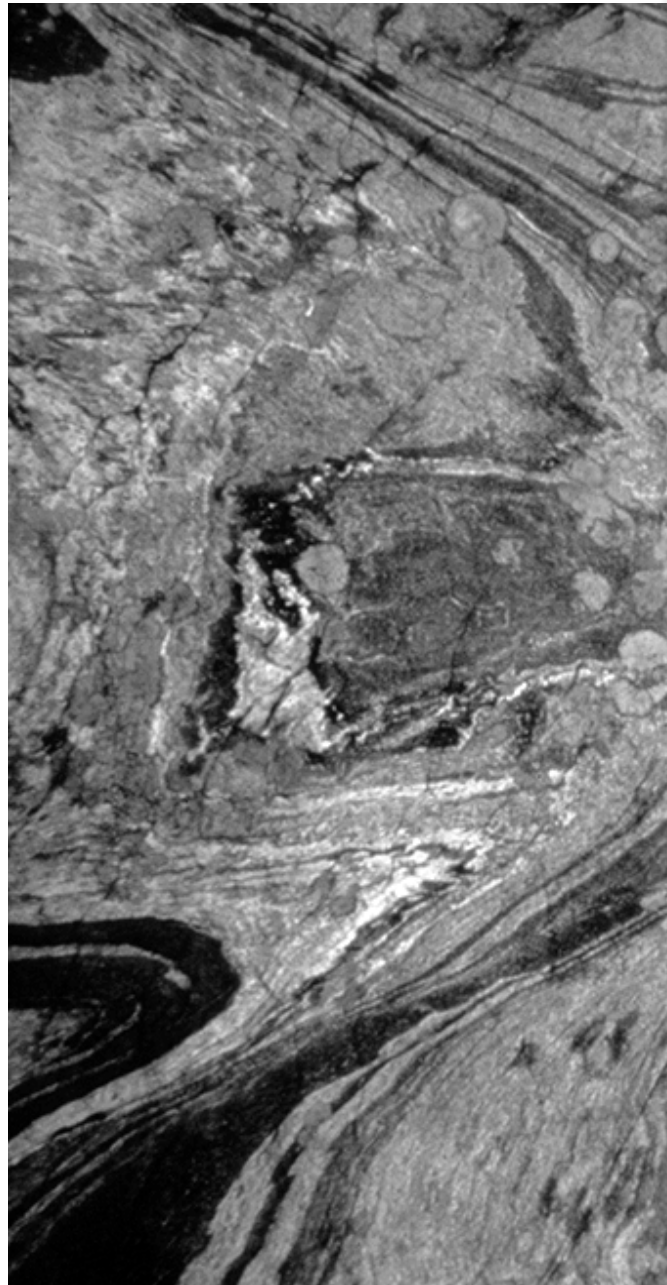
Superposed Folding Papermodels

Introduction

Superposition of folding can lead to very complex layer geometries, which when observed in 2D (e.g. outcrop) are called interference patterns. Commonly used names for the different patterns are 'crescent', 'mushroom', 'hook', 'bird's head', dog's tooth' and 'S-Z-W-M' shapes. Many Structural Geology textbooks illustrate idealised patterns either as 2D sections or as block diagrams. Computer programs and animations are also available that provide 2D and 3D visualisation of refolded folds. However, students (and teachers, including myself) often find it difficult to visualise these complex geometries in 3D. Here we provide a range of papermodels of superposed folds that hopefully will help students to improve their ability to infer the 3D geometry from 2D sections. Because drawing interference patterns is by no means trivial I have written a Matlab script which can be downloaded for free and with which users can create their own papermodels.

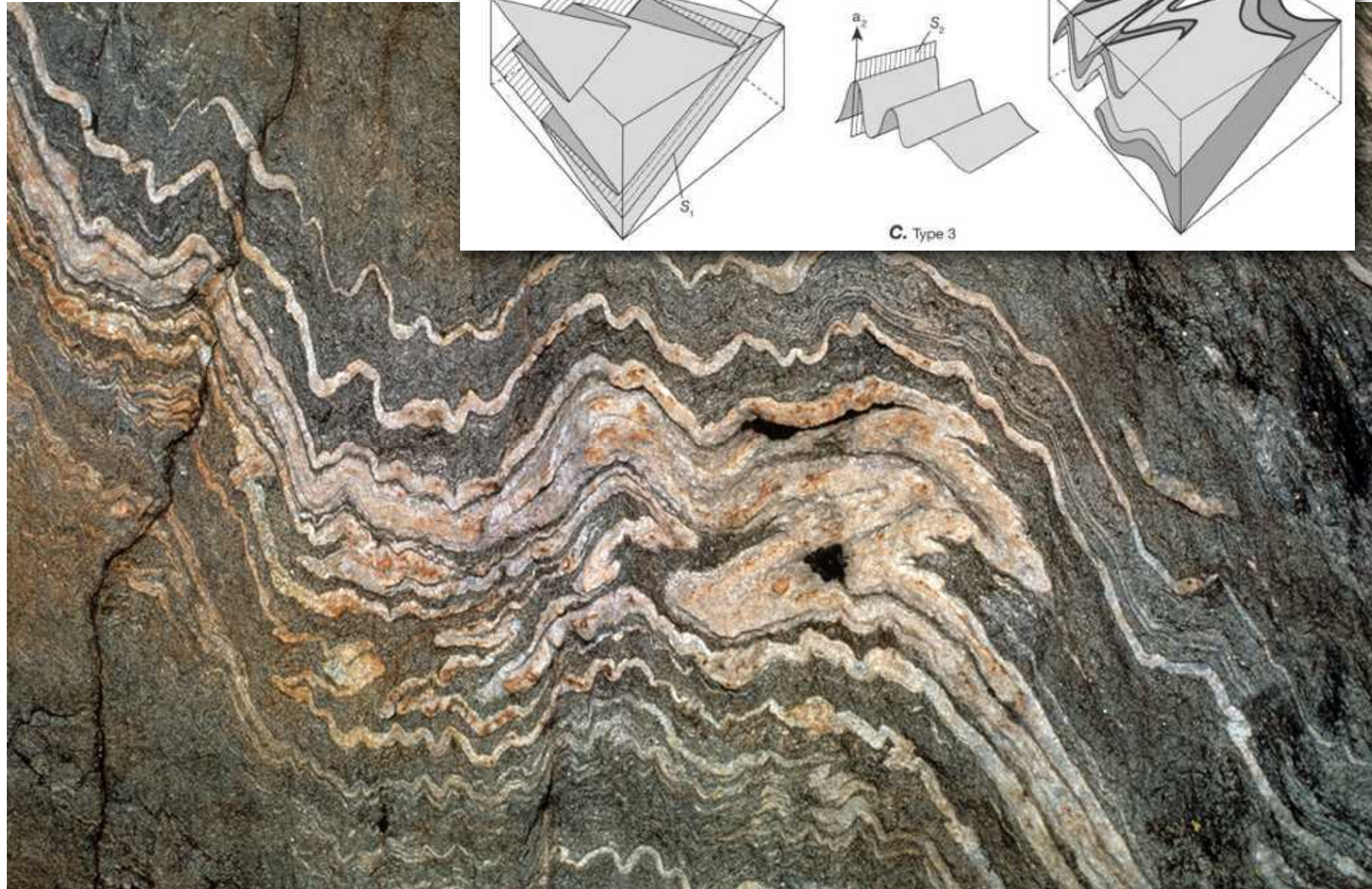
paper model superposed folding

Beispiel



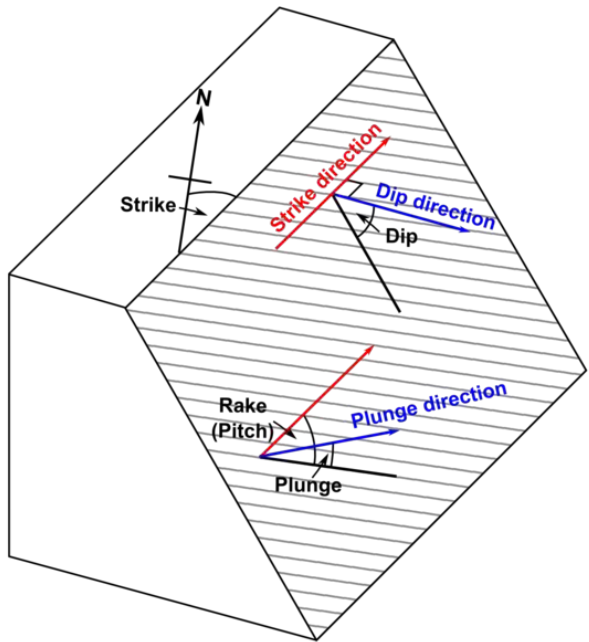
B. Type 2

Beispiel



Falten im Stereonetz

Flächen, Lineare im Stereonetz



Fläche:

Fallazimuth dip direction

Fallen dip

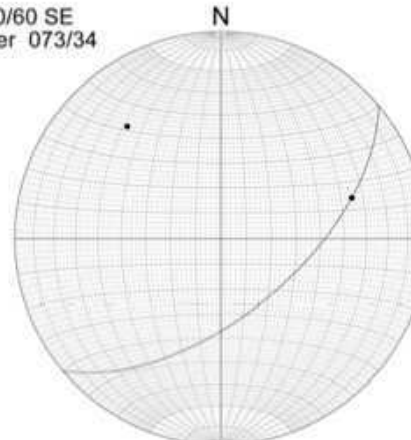
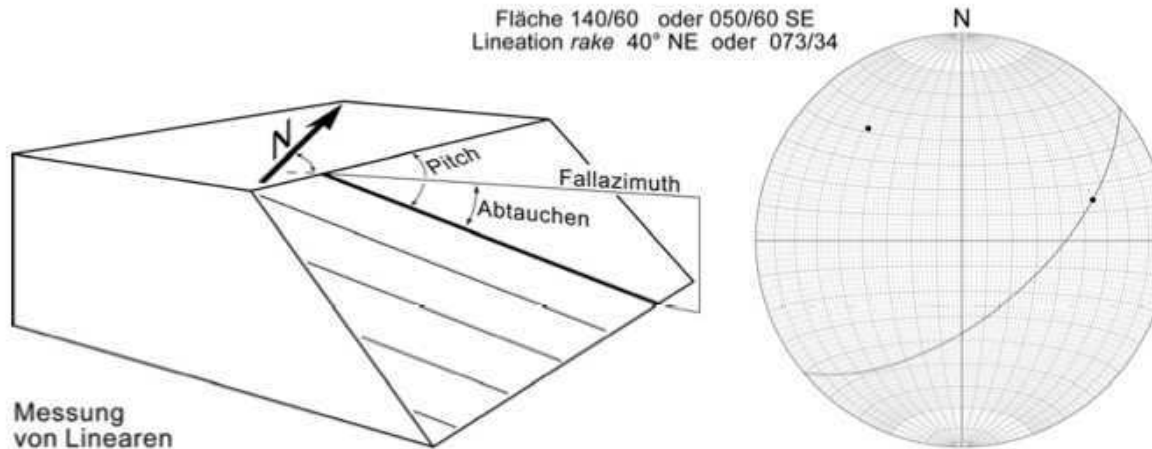
Streichen strike (direction)

Lineare:

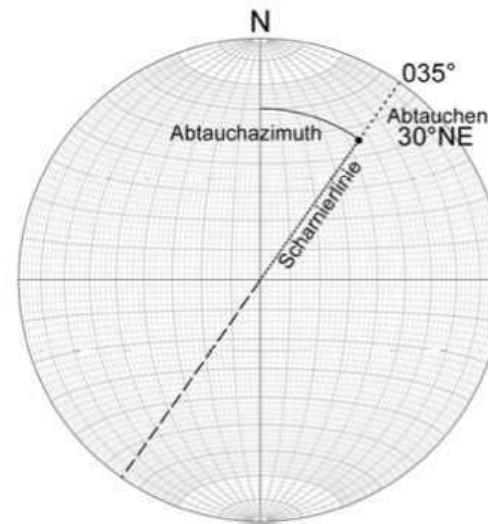
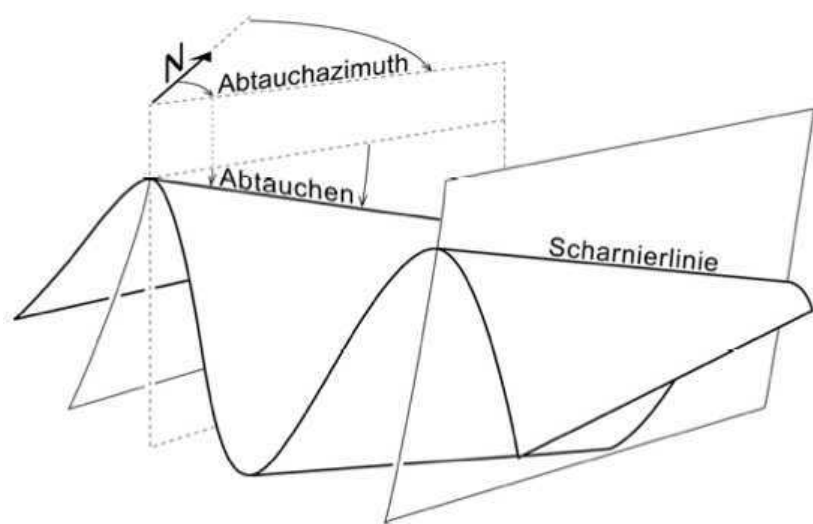
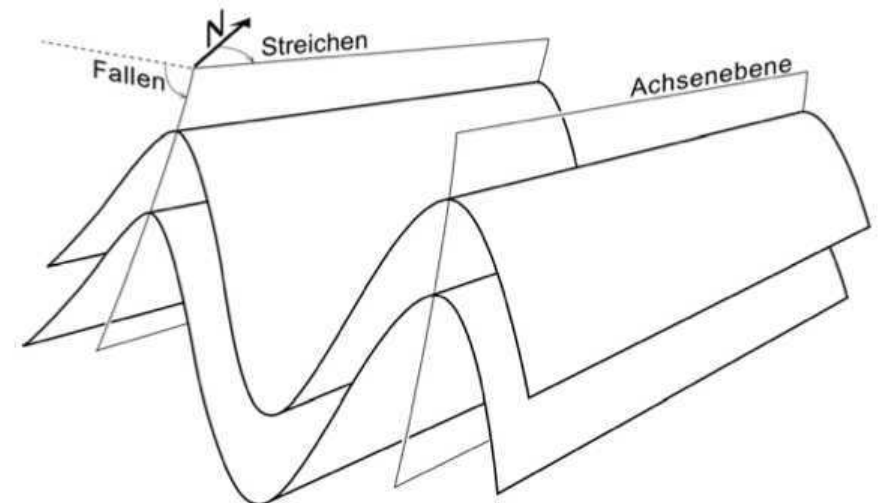
Azimuth plunge direction

(Ab-)Tauchwinkel plunge

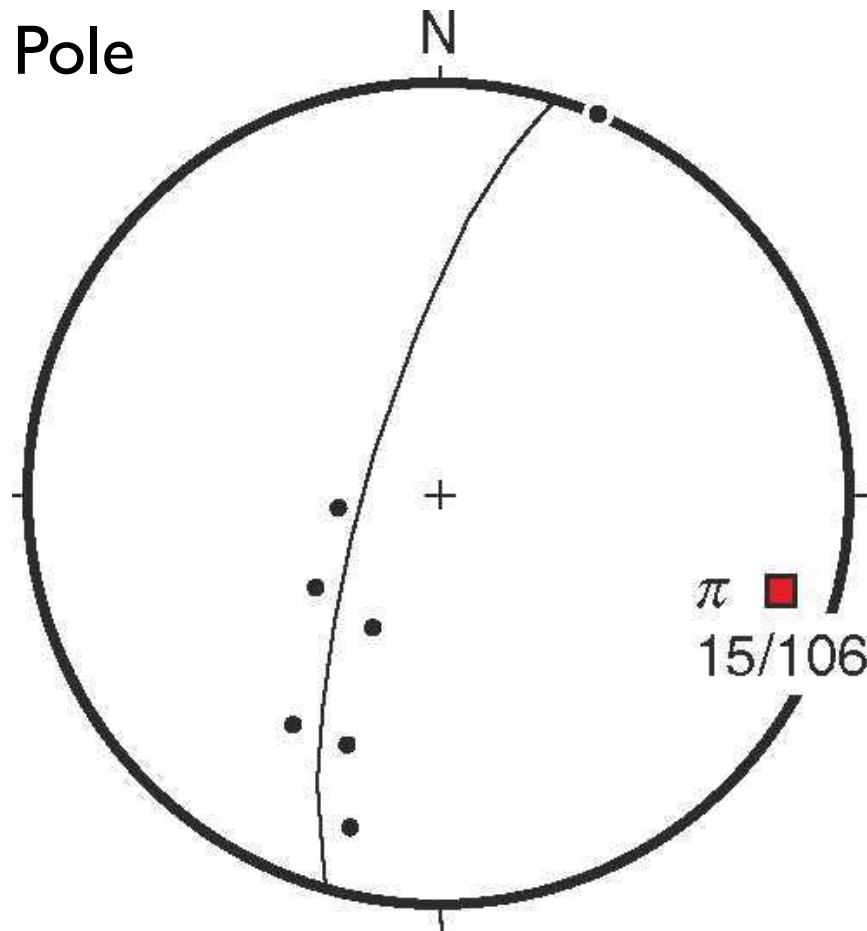
Winkel mit Streichen rake, pitch



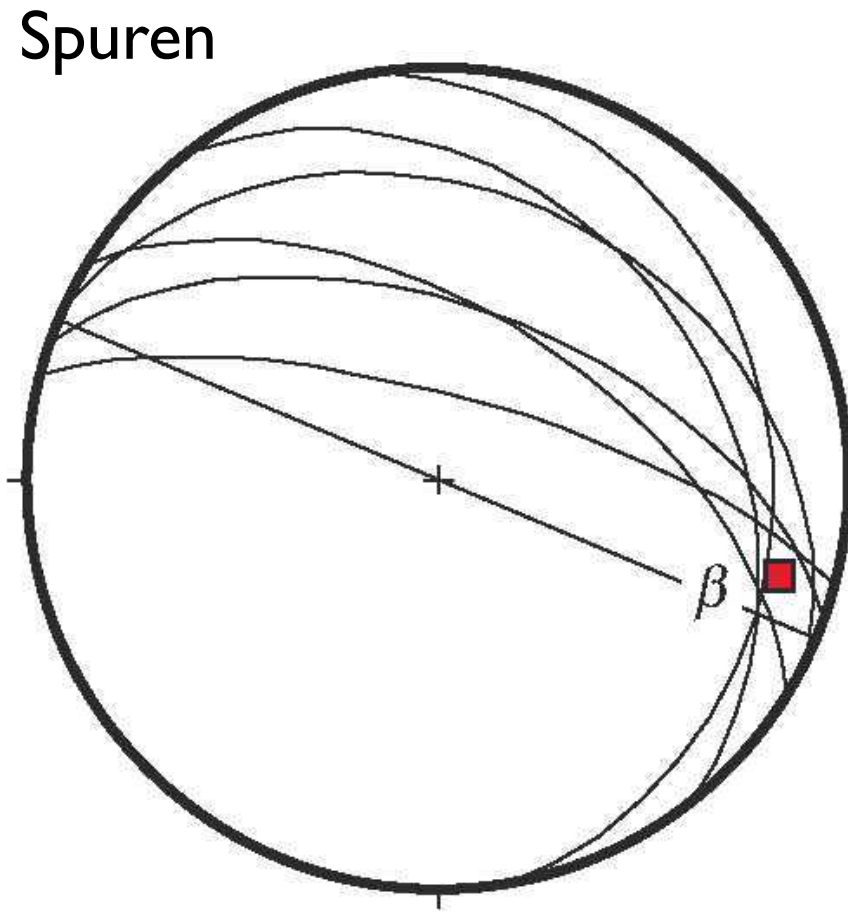
Achsenebene, Scharnier im Stereonetz



Konstruktion der Faltenachse

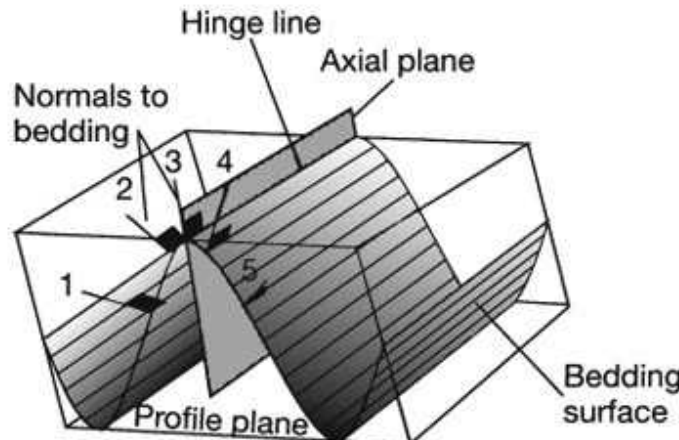


Faltenachse (π) =
Pol zur Fläche durch Flächenpole

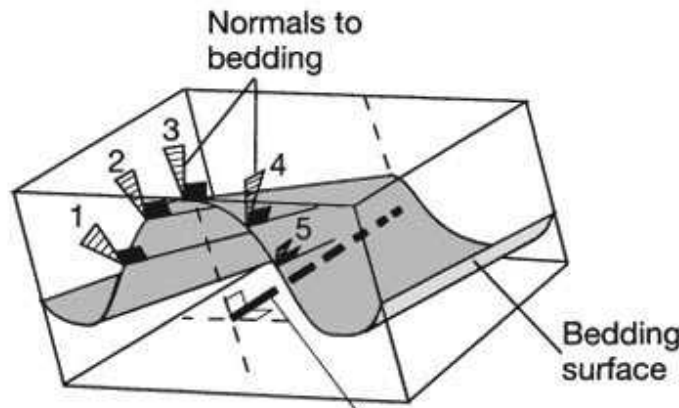
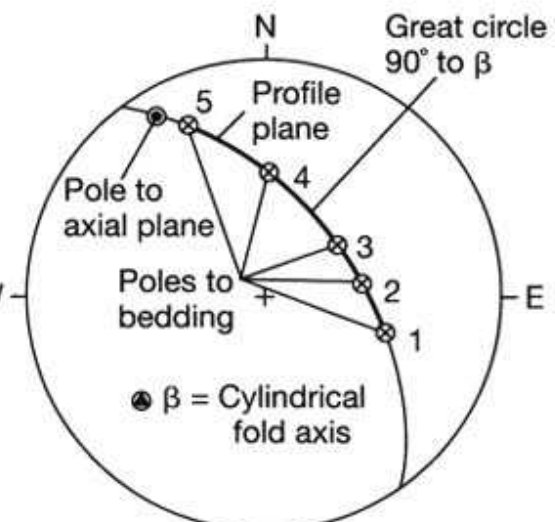
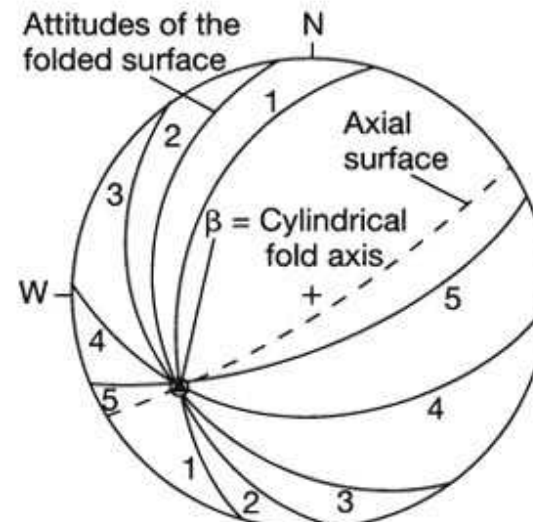


Faltenachse (β) =
Schnittpunkt der Flächenspuren

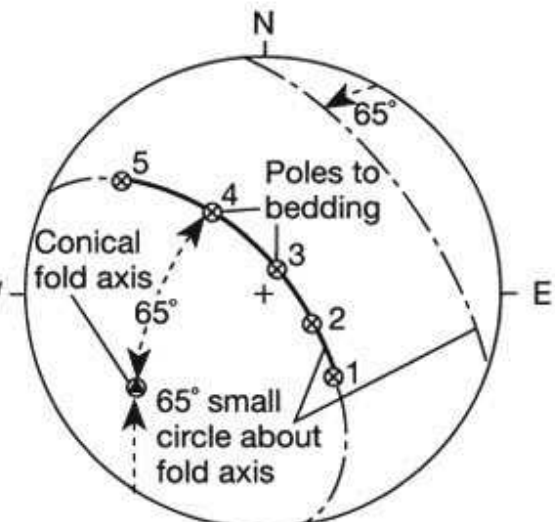
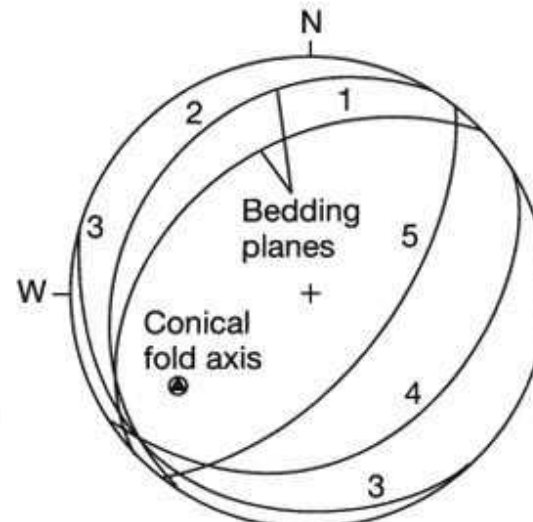
zylindrische - konische Falten



zylindrisch

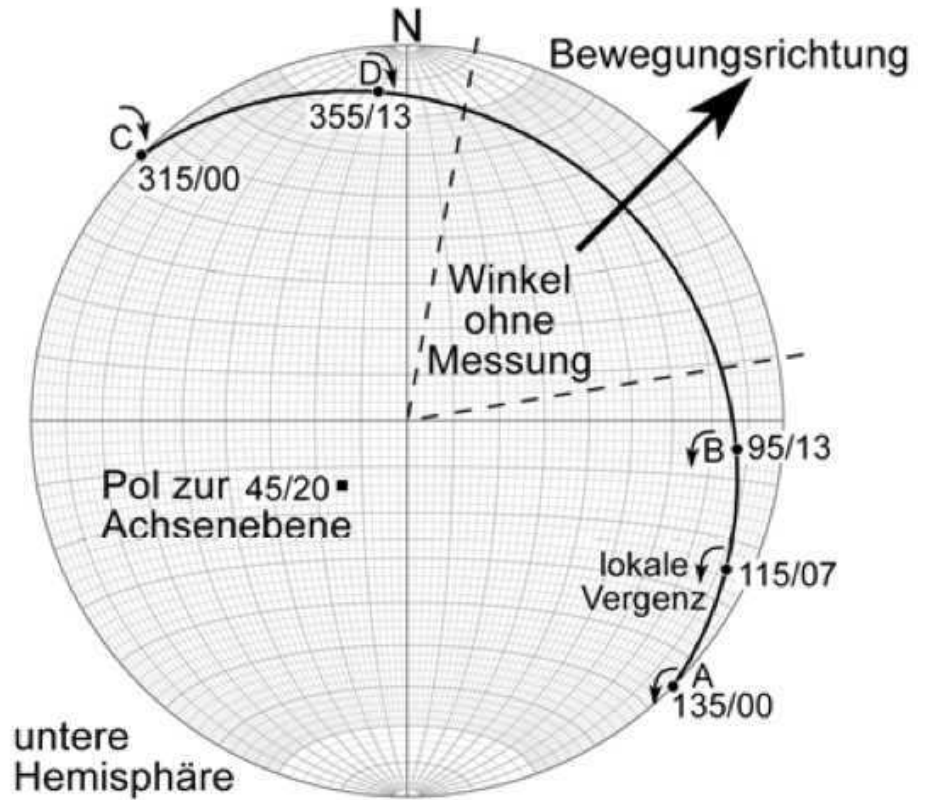
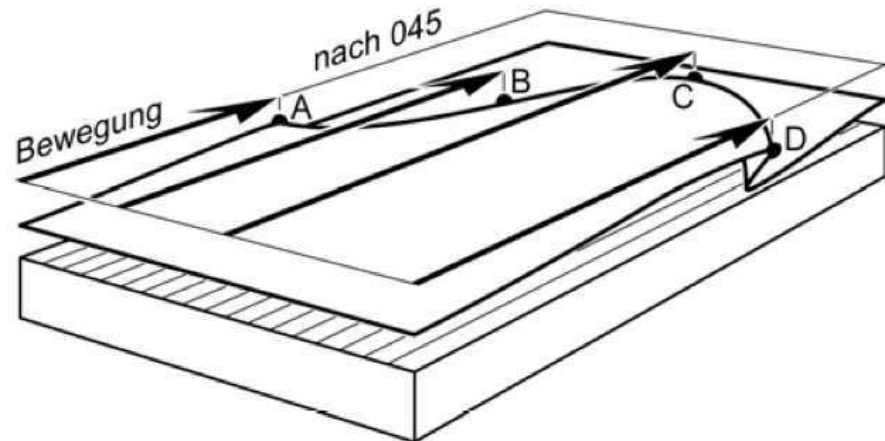


konisch



Twiss & Moores

sheat folds (Zungenfalten)



Lokale Vergenz berücksichtigen

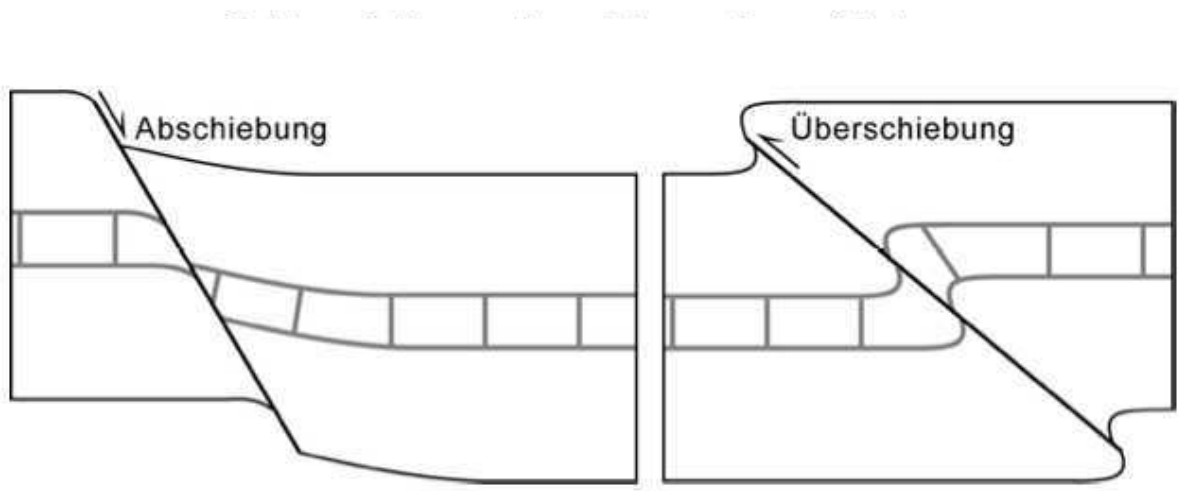
→ dextral (C, D)

↙ sinistral (A, B)

folds and structures

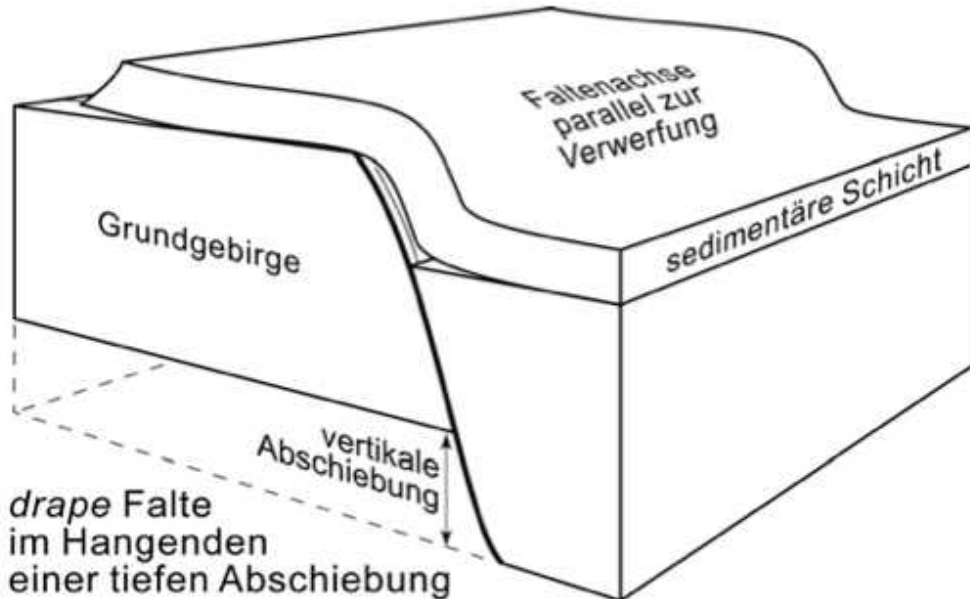
Schleppfalten

... an Verwerfungsflächen



Burg ETH Zürich

Falten an Abschiebungen



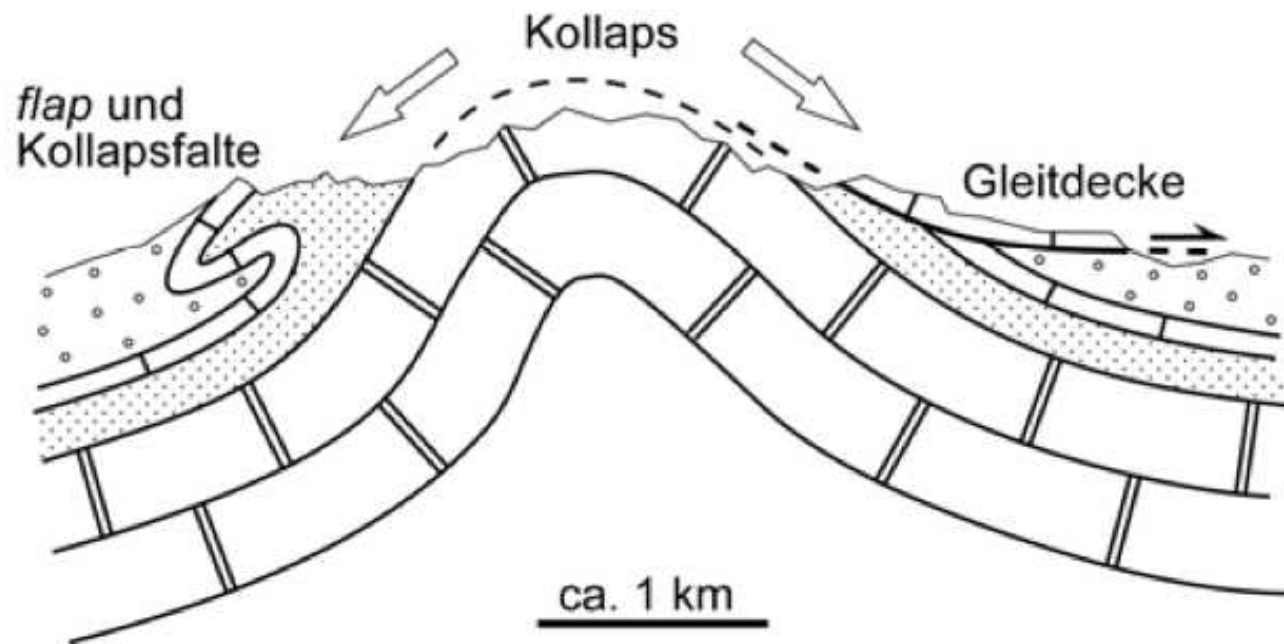
Burg ETH Zürich



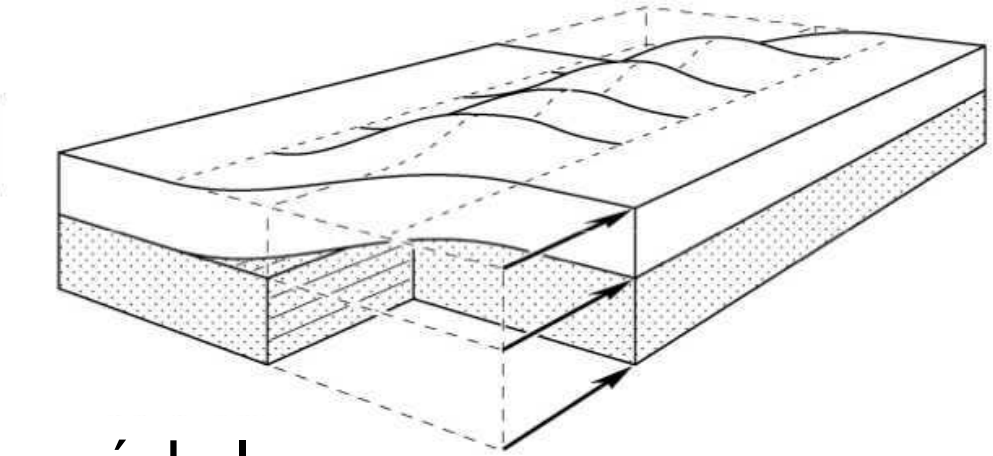
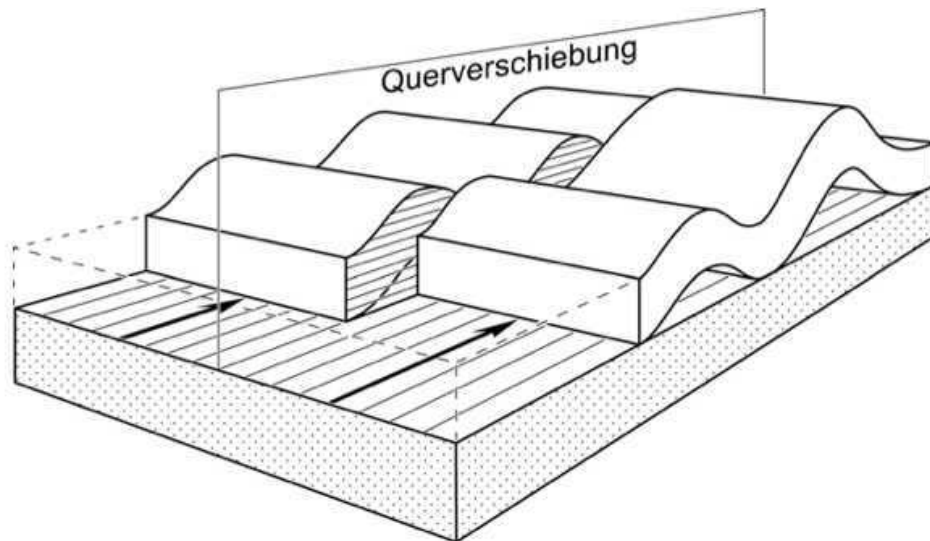
extensive regime

Kollapsfalten

Kollaps Strukturen an den Schenkeln einer grossen Antiklinale
nach Harrison & Falcon 1934 Geol. Mag. 71, 529-539



Falten an Blattverschiebungen

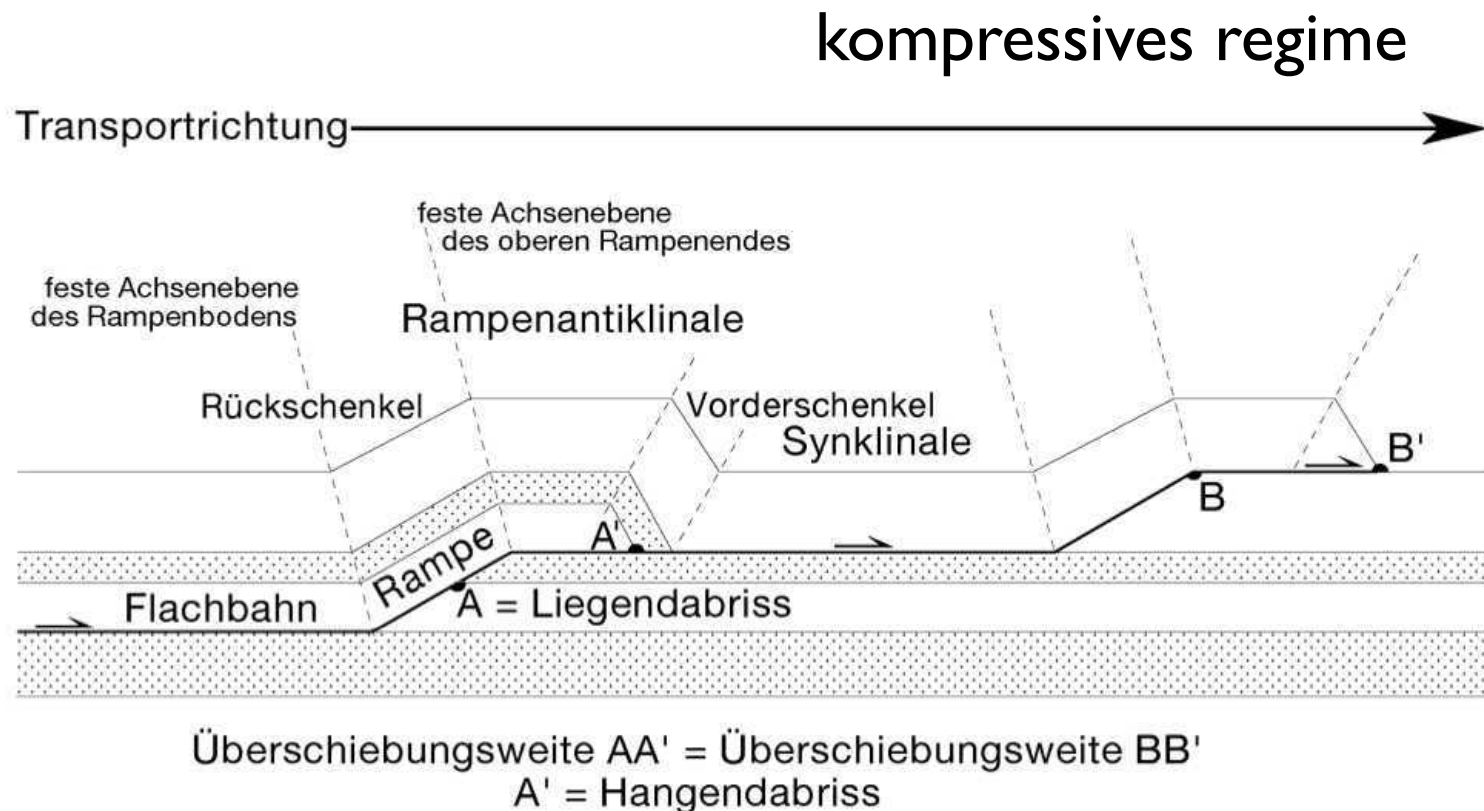


en échelon

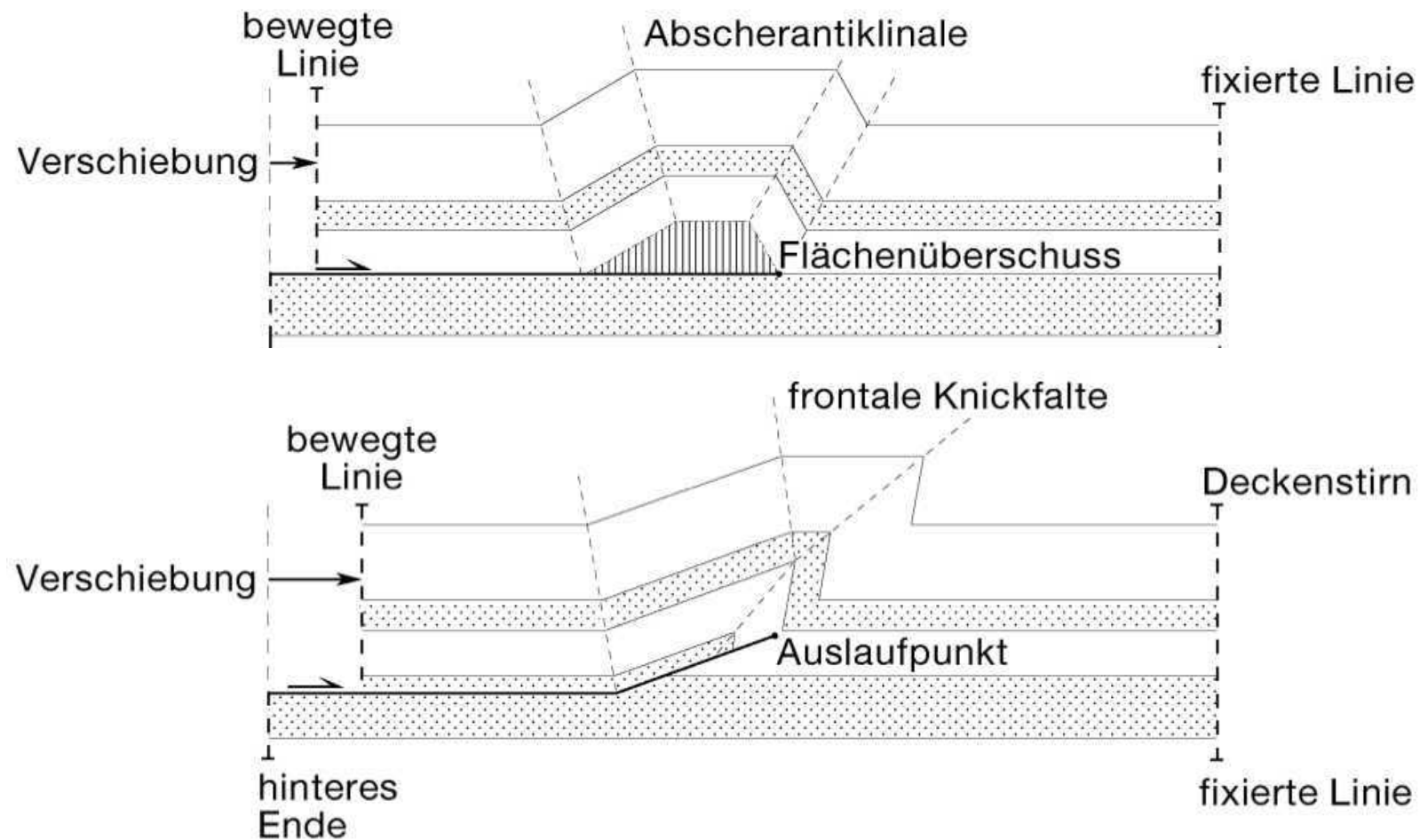
Burg ETH Zürich

strike slip regime

Rampenfalten FBF überschiebungsbezogen fault bend fold



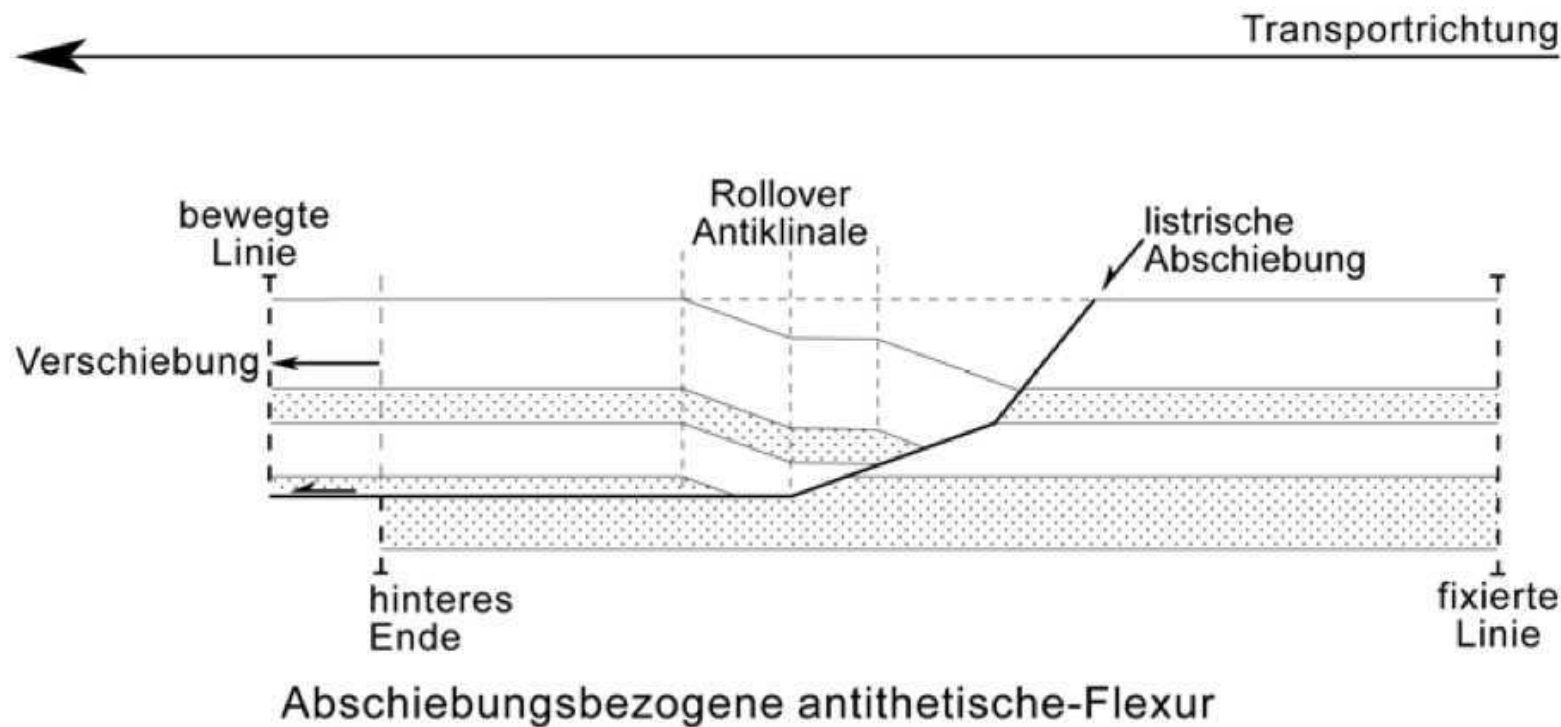
Rampenfalten FPF überschiebungsbezogen fault propagation fold



Rampenfalten

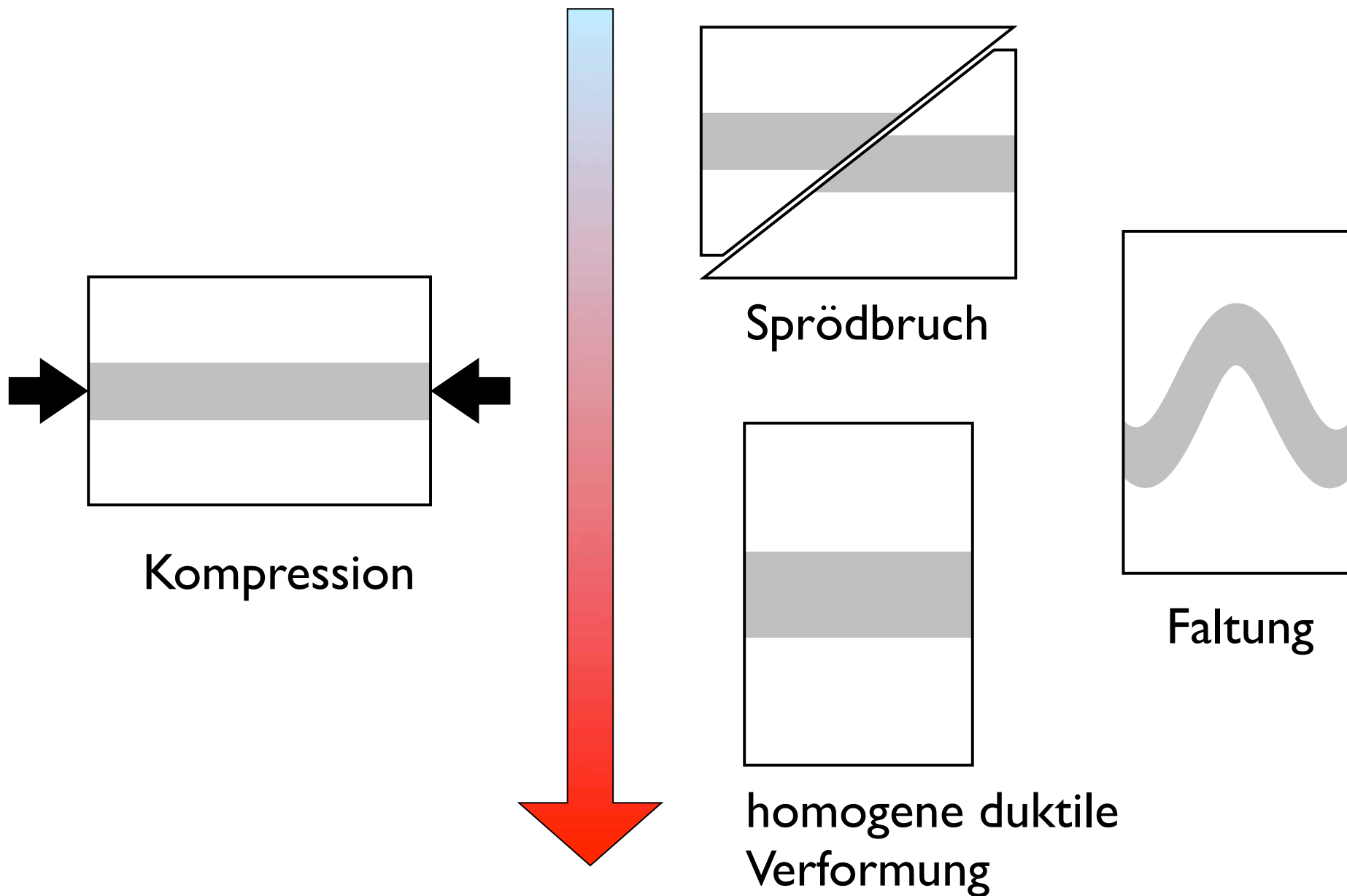
abschiebungsbezogen

extensive regime



folding

Faltung als Versagen (failure)



Faltung

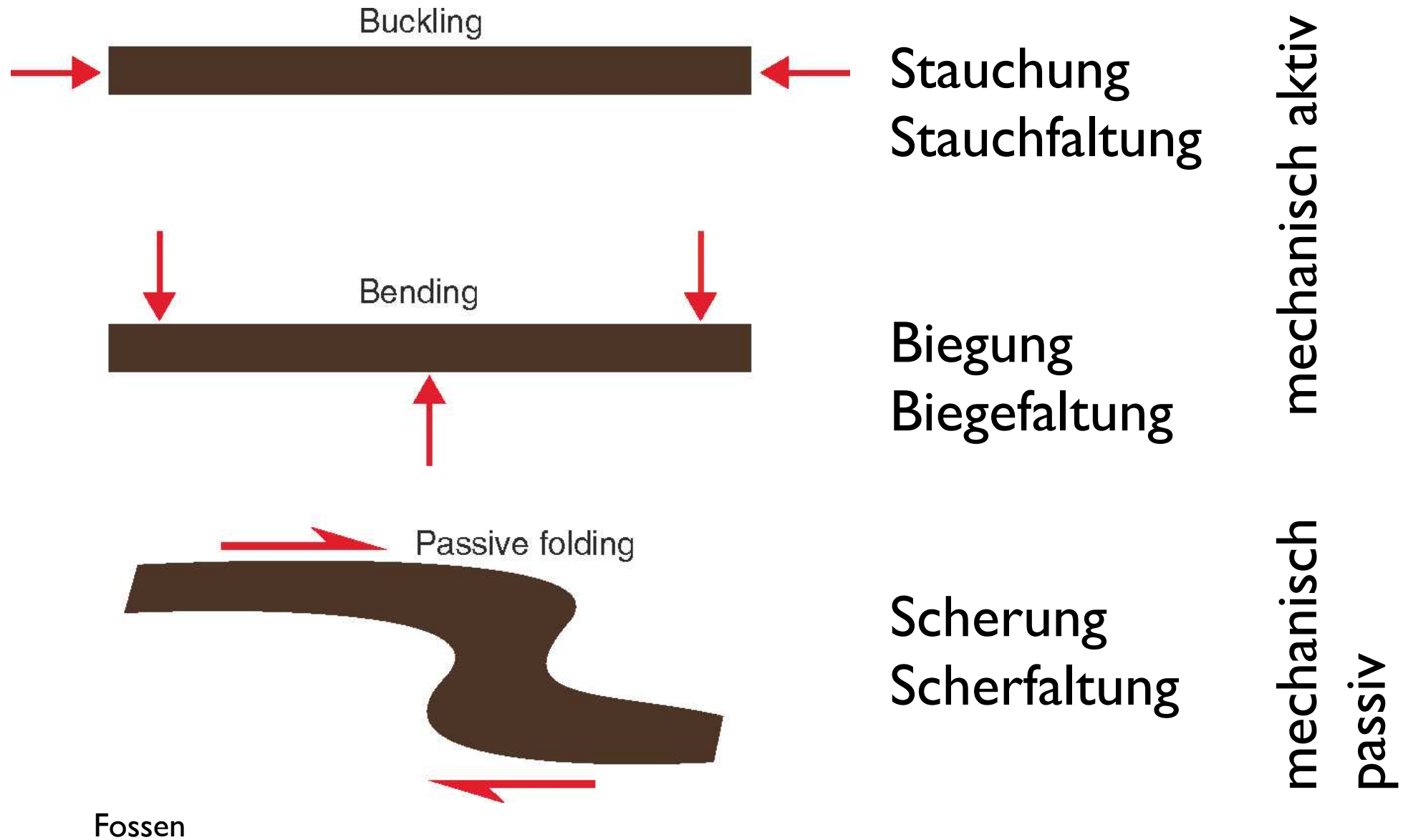
Kompression - Faltung



Extension - Boudinage



Faltungsmechanismus



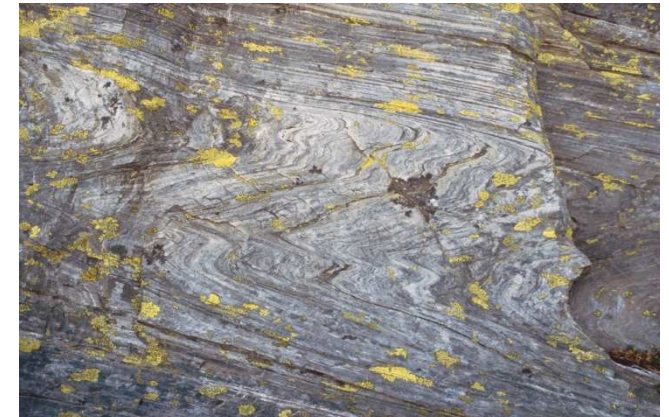
aktiv - passiv

mechanisch ...

aktiv Kompetenzkontrast
 Biegefaltung
 (flexural folding)
 Kartenstapel

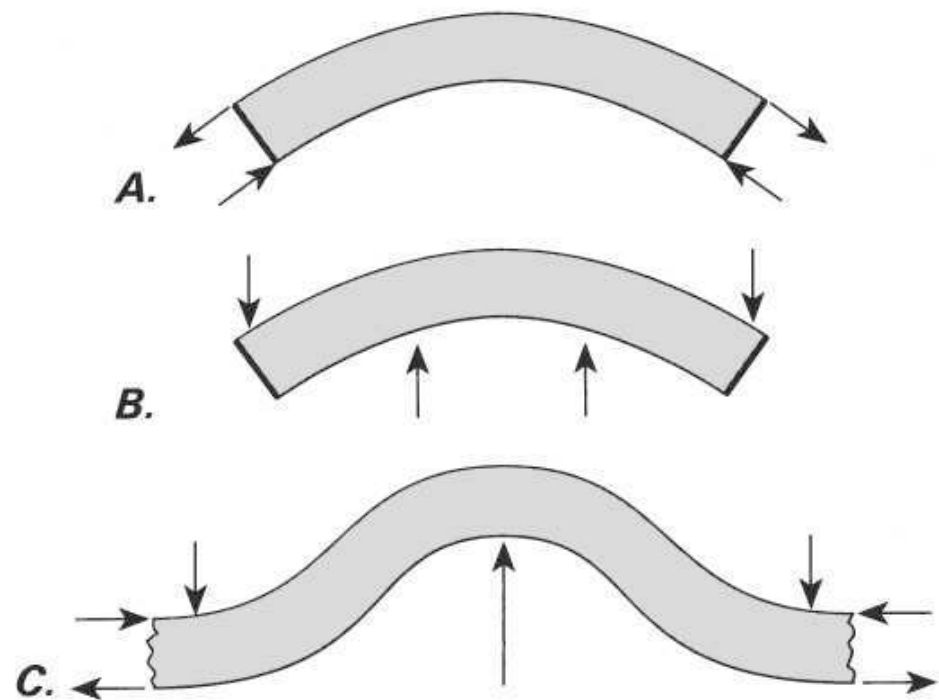


passiv kein Kompetenzkontrast
 Passive Faltung
 (passive folding)
 farbige Plastilin-Schichten



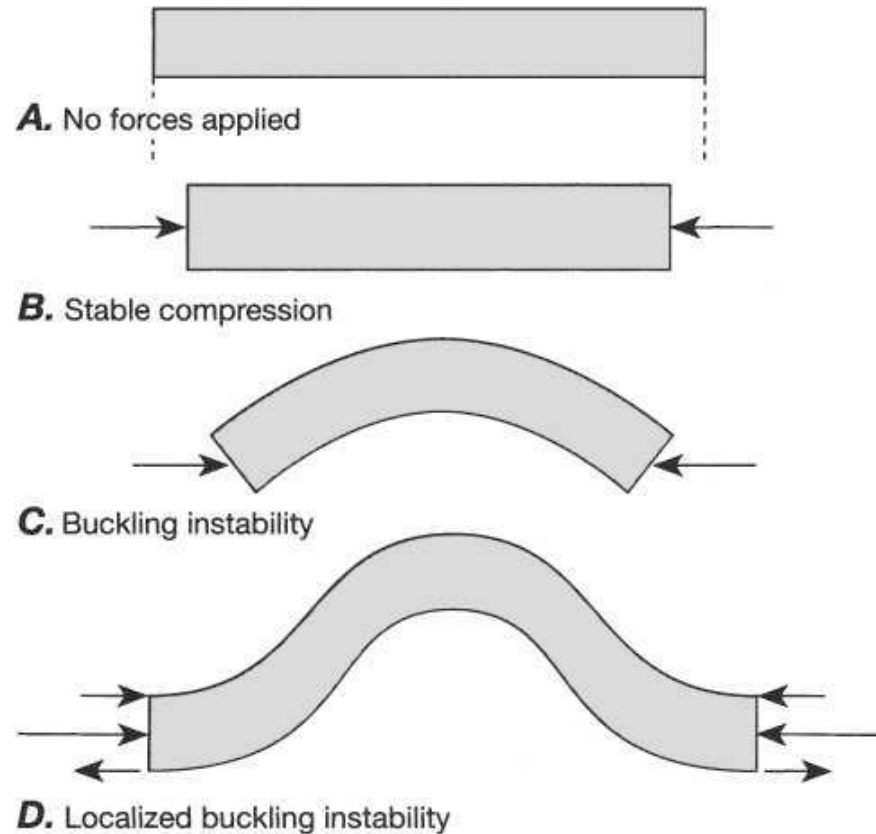
Randbedingungen

flexure of a plate by
bending



Biegefaltung

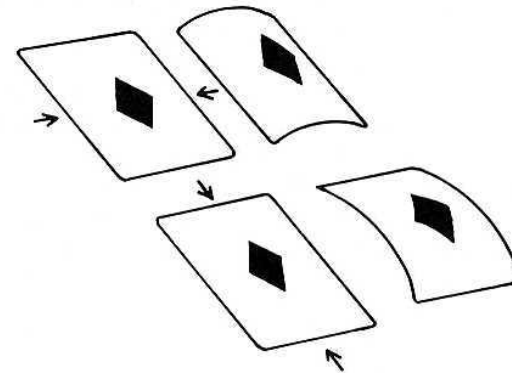
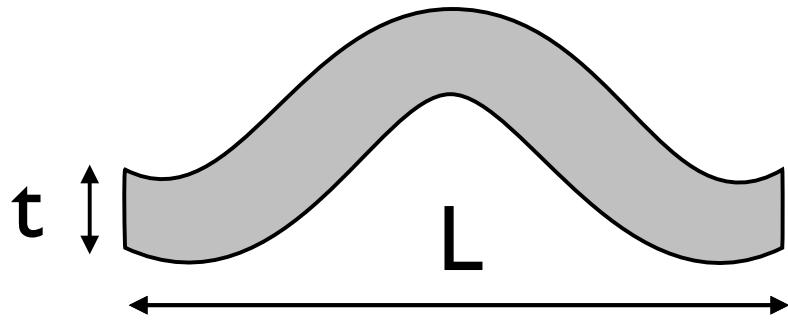
flexure of a plate by
buckling



Stauchfaltung

Biegung nach Euler (1757)

elastische Schicht (im freien Raum)



$$F_{\text{crit}} = \frac{4 \pi^2 E I}{L^2}$$

$$I = \frac{t^3 \cdot w}{12}$$

L = Länge

w = Breite

t = Dicke

F = Kraft

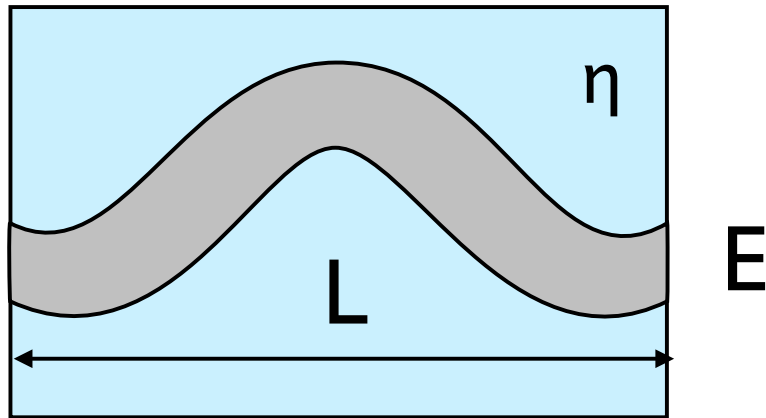
E = E-modul (Pa)

$$L = \sqrt{\frac{4 \pi^2 E I}{F}} = 2\pi \sqrt{\frac{E I}{F}}$$

Lange Wellenlänge,
wenn F klein, E gross

Biegung nach Biot (1961)

elastische Schicht in visköser Matrix



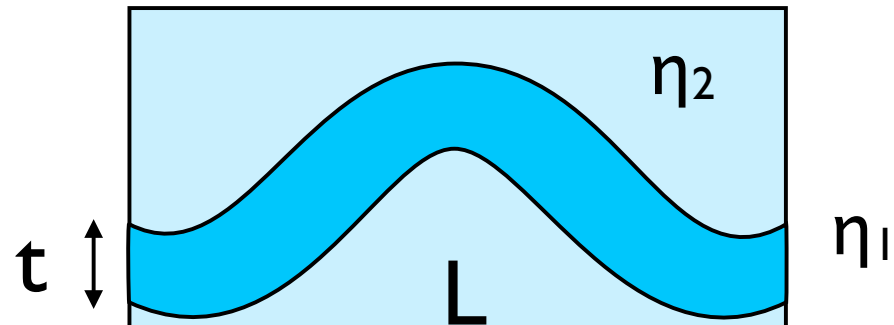
L hängt nur von den
mechanischen Eigenschaften
der elastischen Schicht ab

$$L = \sqrt{\frac{E}{(1-\nu^2) \sigma}}$$

Lange Wellenlänge,
wenn σ klein, E gross

Biot (1957) - Ramberg (1961)

visköse Schicht in visköser Matrix



$$L = 2\pi \cdot t \sqrt[3]{\frac{\eta_1}{6\eta_2}}$$

L = Länge

t = Dicke

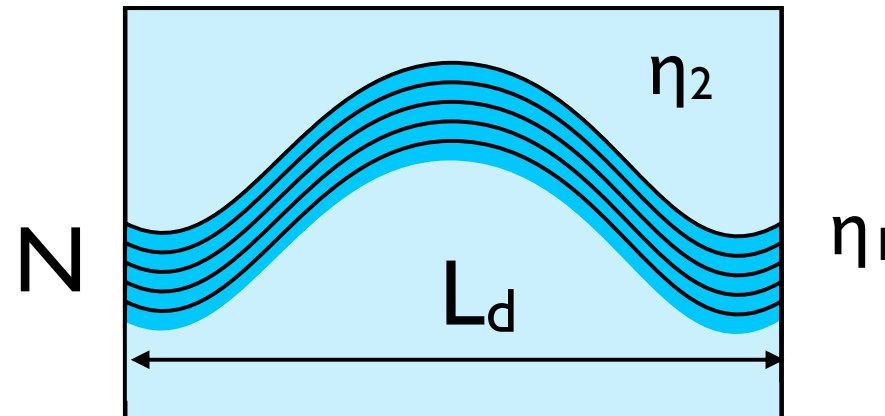
η = Viskositätskoeffizient (Pas)

$$\frac{L}{t} = 2\pi \sqrt[3]{\frac{\eta_1}{6\eta_2}}$$

Wellenlänge:Dicke ist Funktion des Viskositätsverhältnisses
 $\eta_1: \eta_2$ klein \rightarrow 'dicke' Falten
 $\eta_1: \eta_2$ gross \rightarrow 'schlanke' Falten

Biot (1957) - Ramberg (1961)

visköser Schichtstapel in visköser Matrix



$$L_d = 2\pi \cdot t \sqrt[3]{\frac{N \cdot \eta_1}{6\eta_2}}$$

L_d = dominante Länge

N = Anzahl Schichten

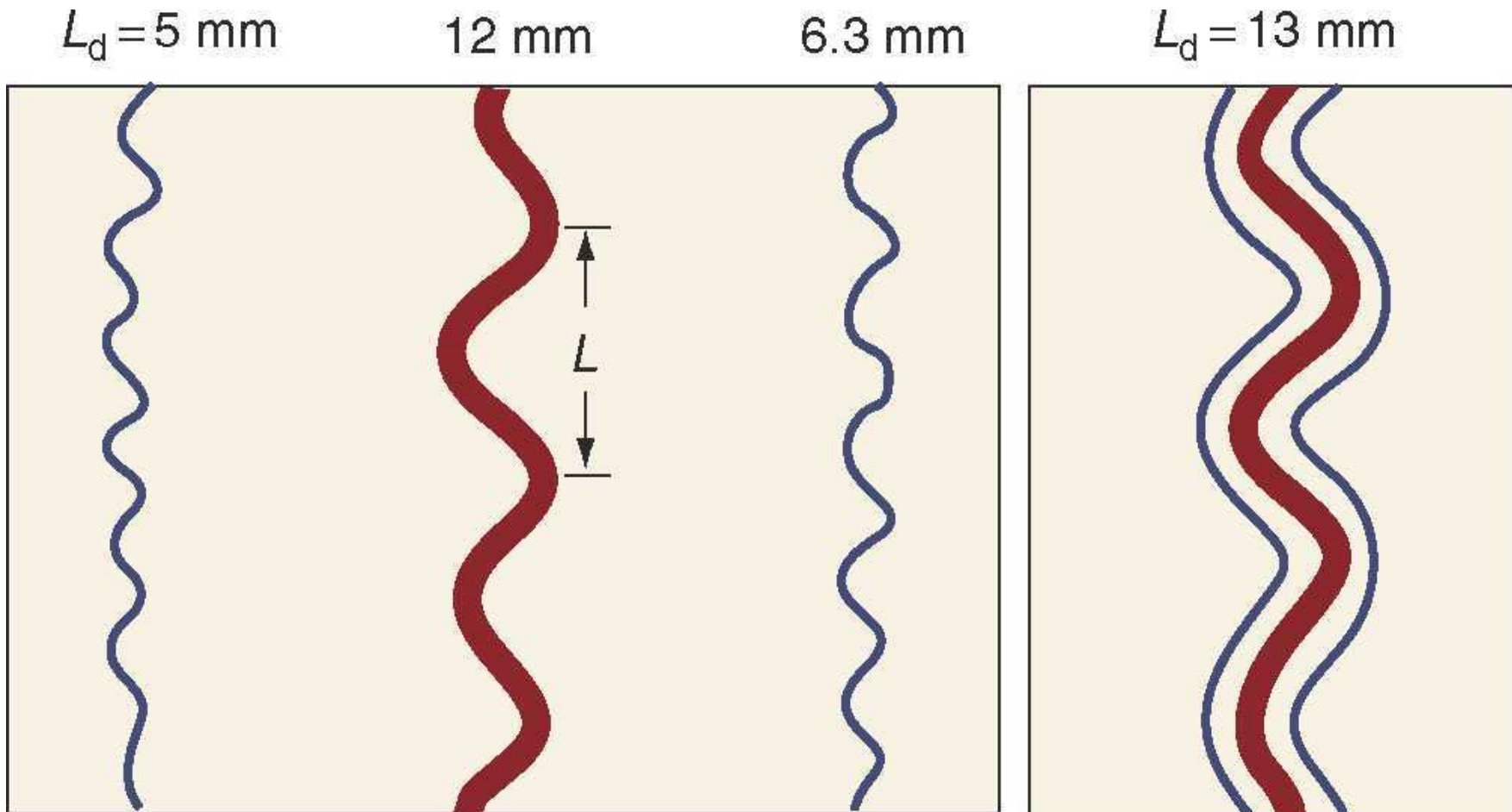
η = Viskositätskoeffizient (Pas)

kein Scherwiderstand
zwischen Schichten

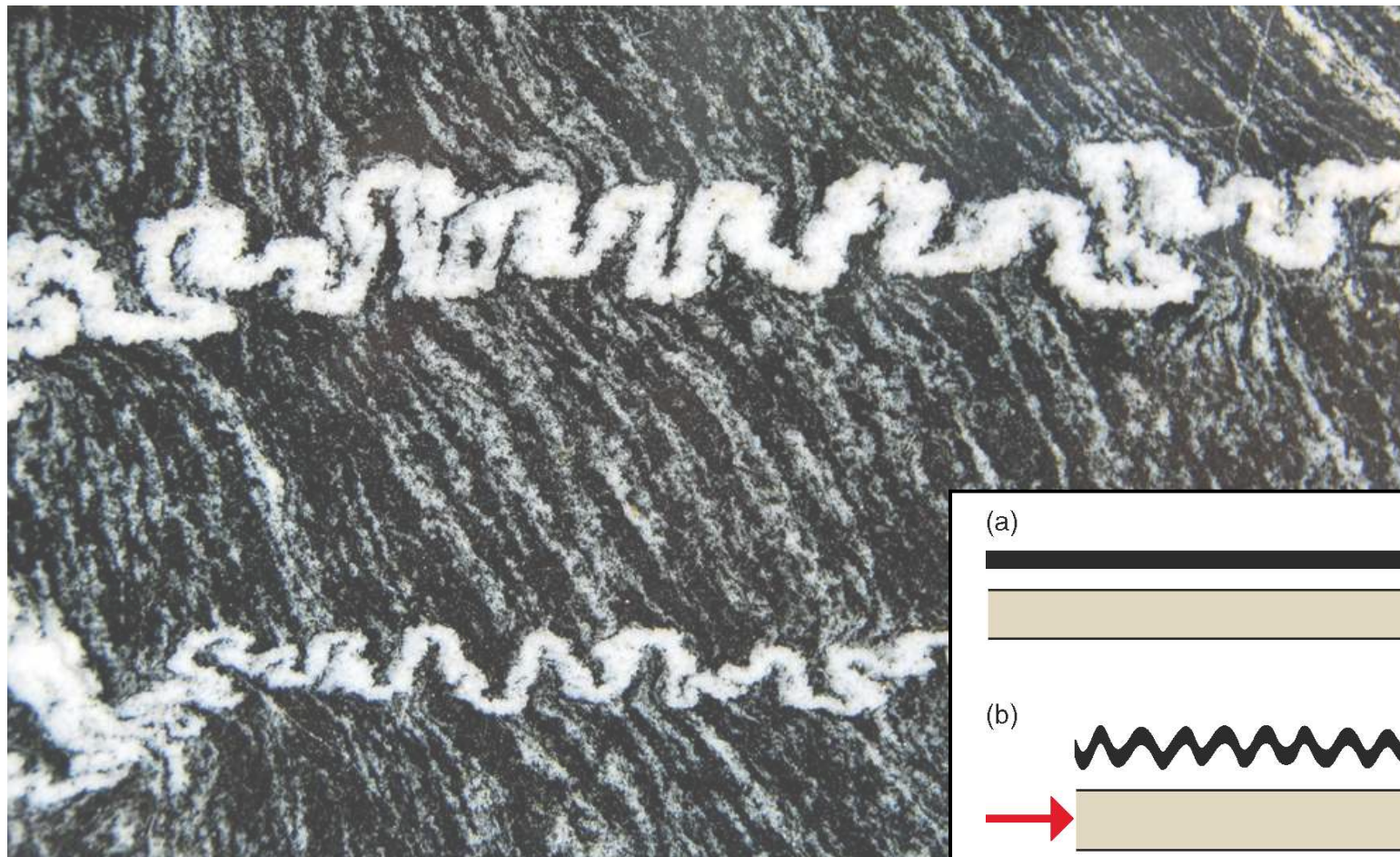
$$\frac{L_{\text{multi}}}{L_{\text{single}}} = \sqrt[3]{N^2}$$

Wellenlänge eines
Schichtstapels ist grösser als
einer einzelnen Schicht

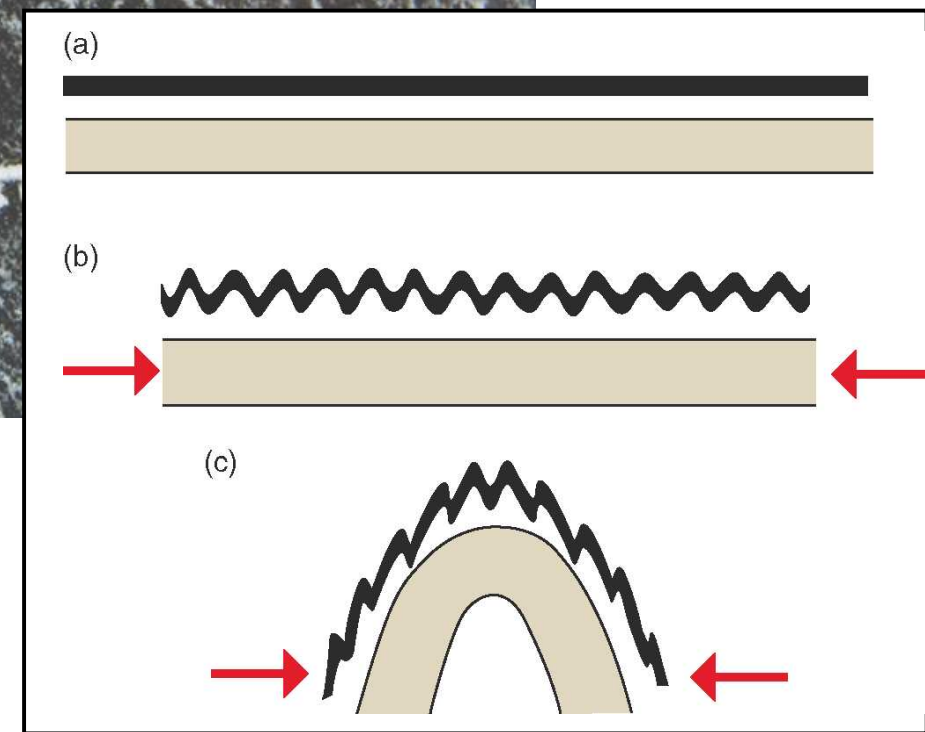
single layer - multilayer folding



Parasitärfalten

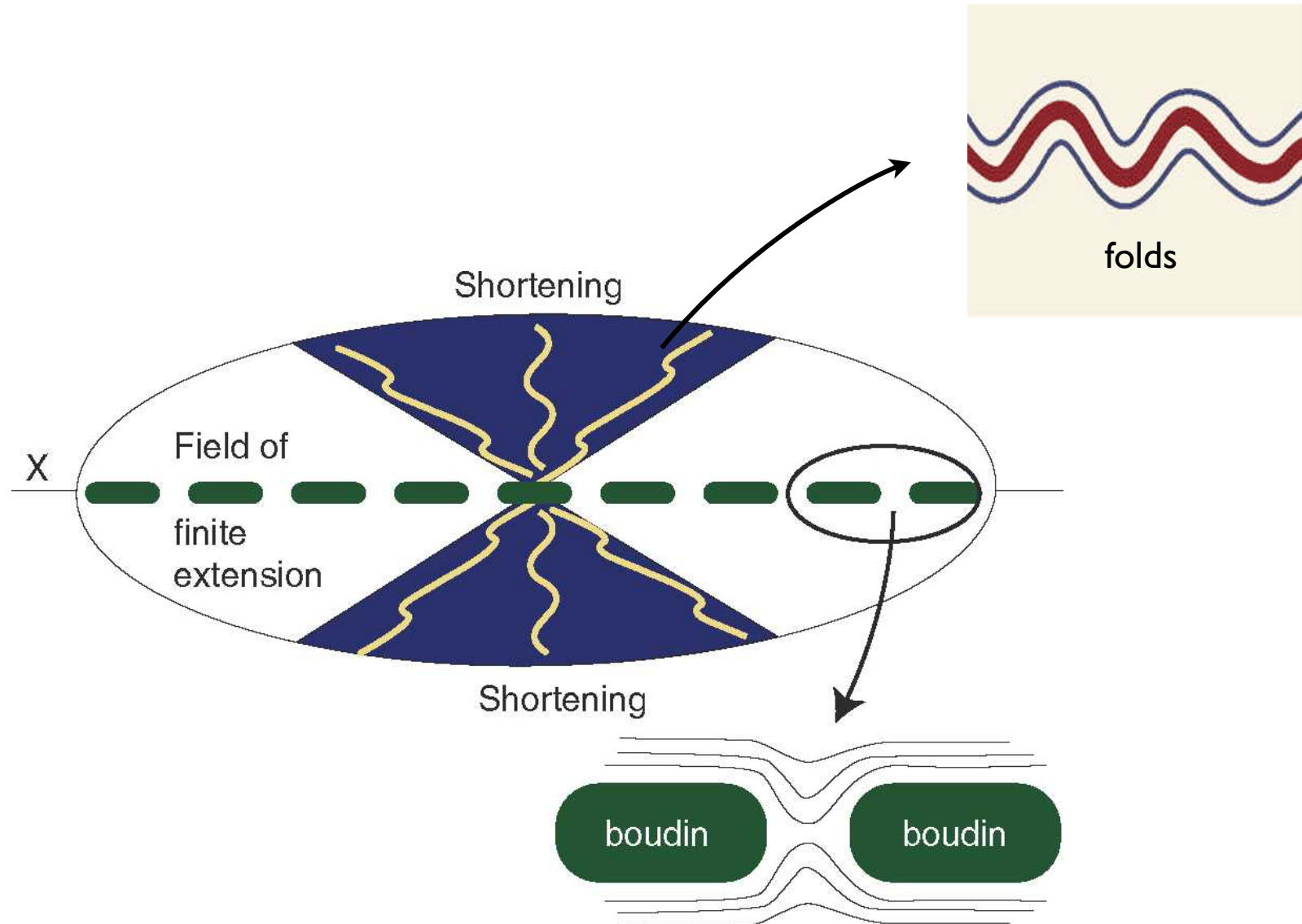


Fossen



folds and strain

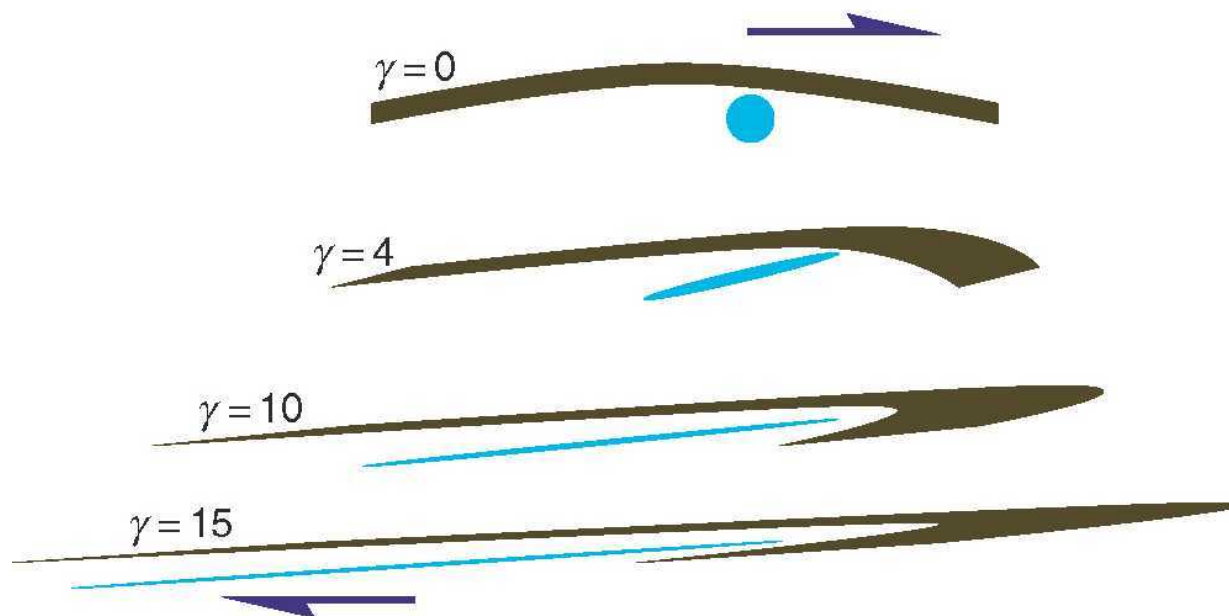
Faltung (Boudinage) und Verformung



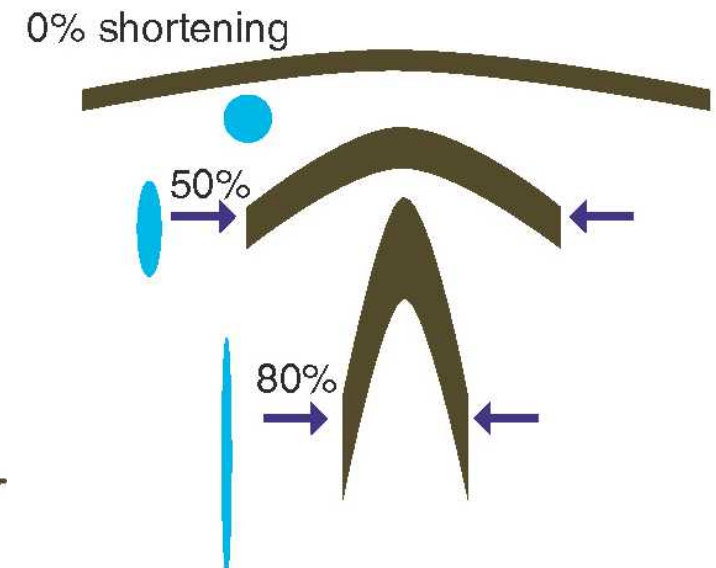
Fossen

Passive Faltung

einfache Scherung
(simple shear)



reine Scherung
(pure shear)

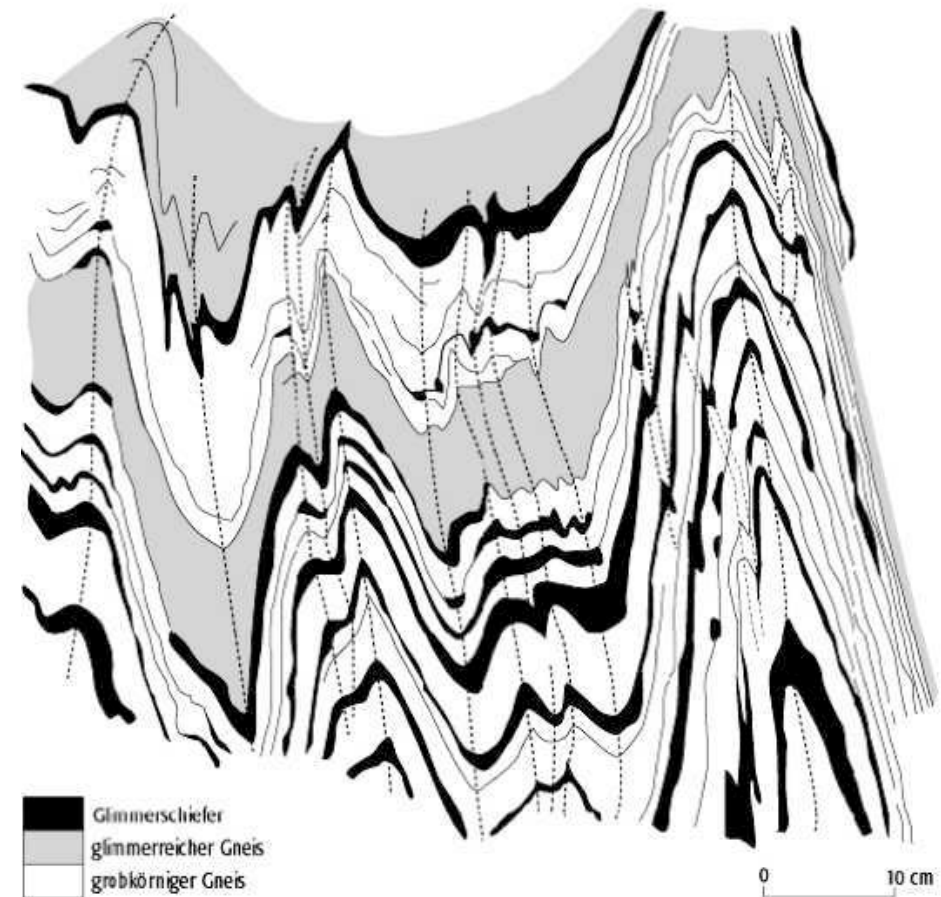
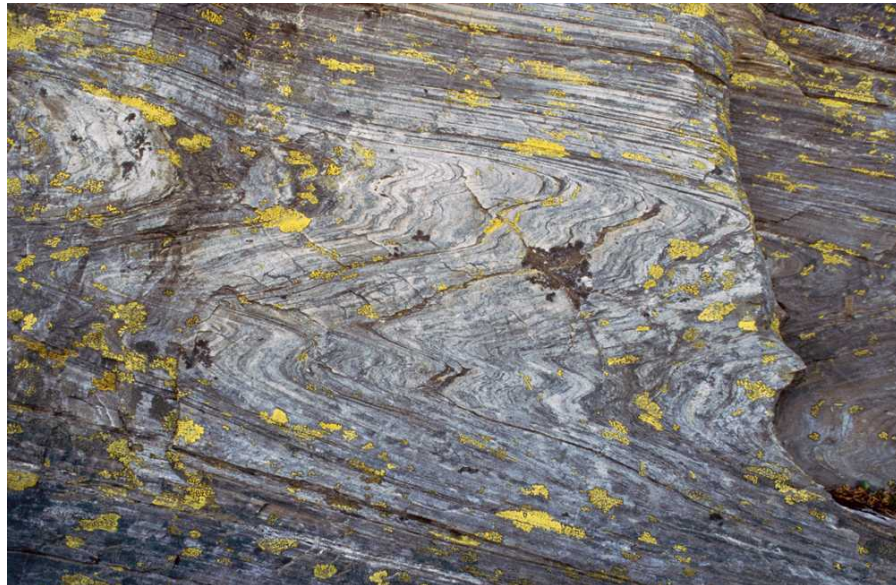
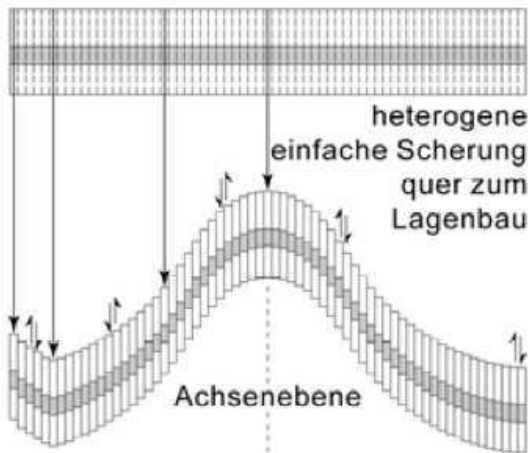


Fossen

Passive Faltung

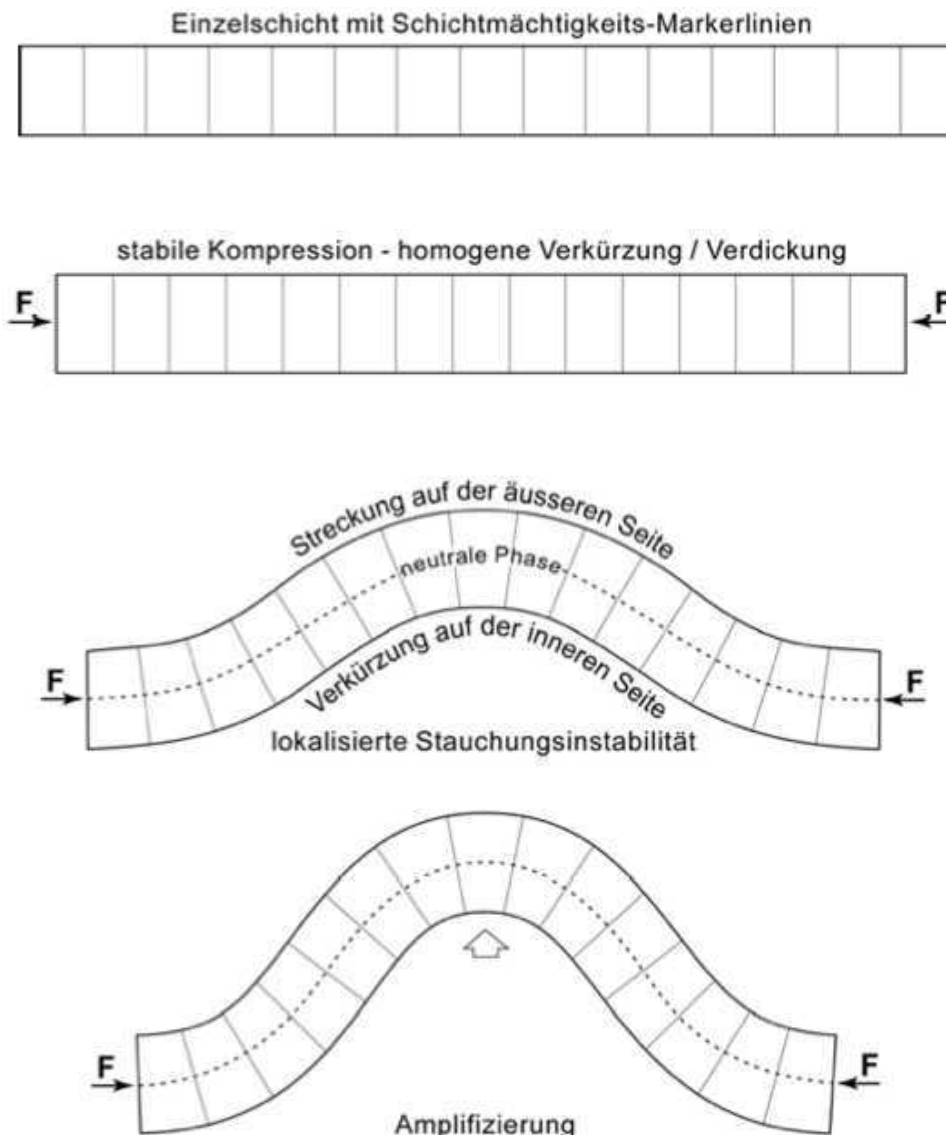
passive shear folding

Scherfaltung

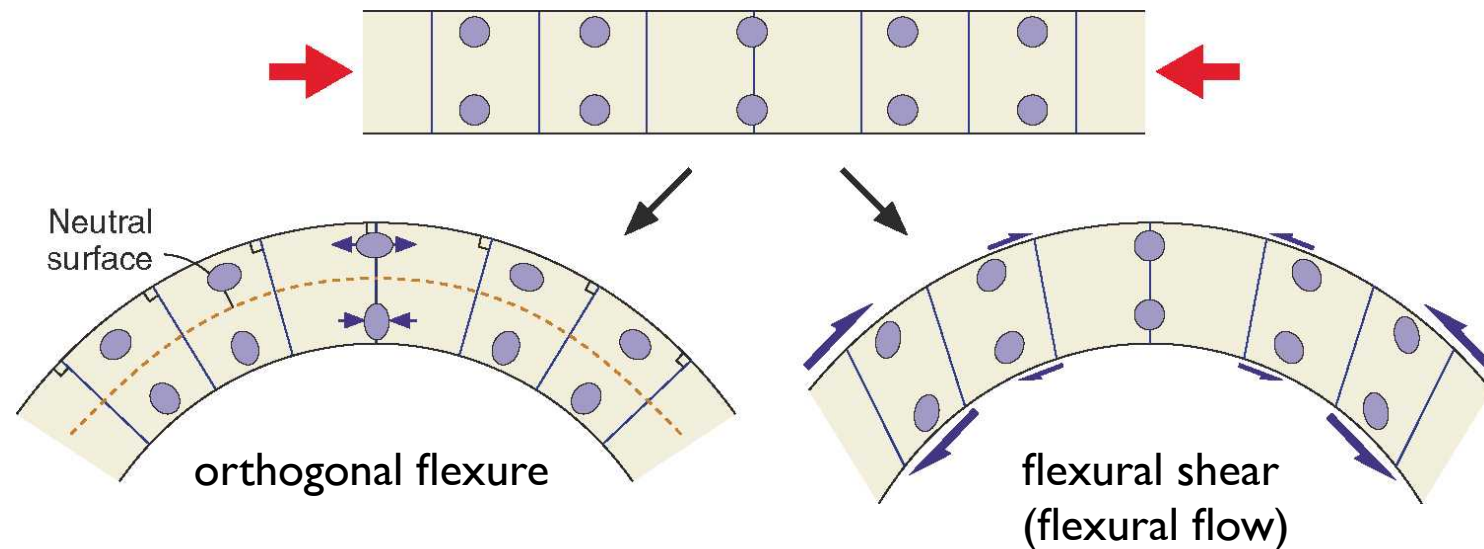


<http://www.geodz.com/deu/d/Scherfalte>

Verformung bei Stauchfaltung



Verformung bei Biegefaltung



Fossen

Biegegleitung

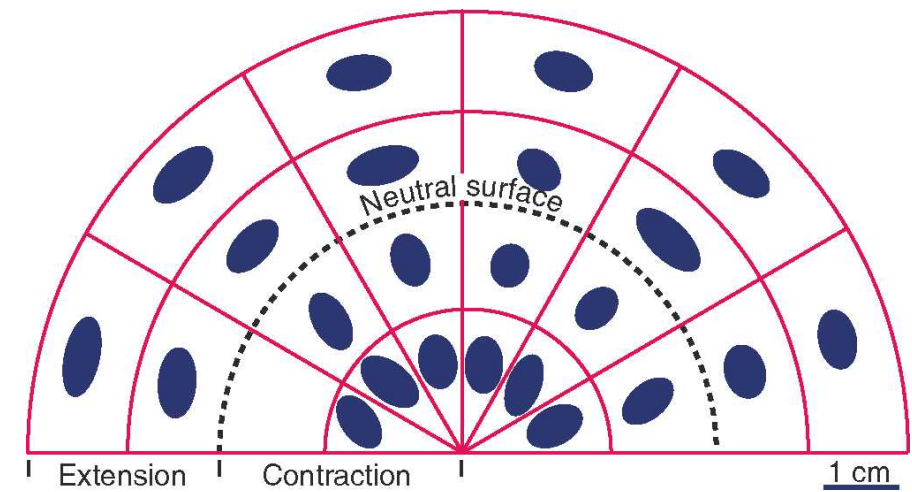
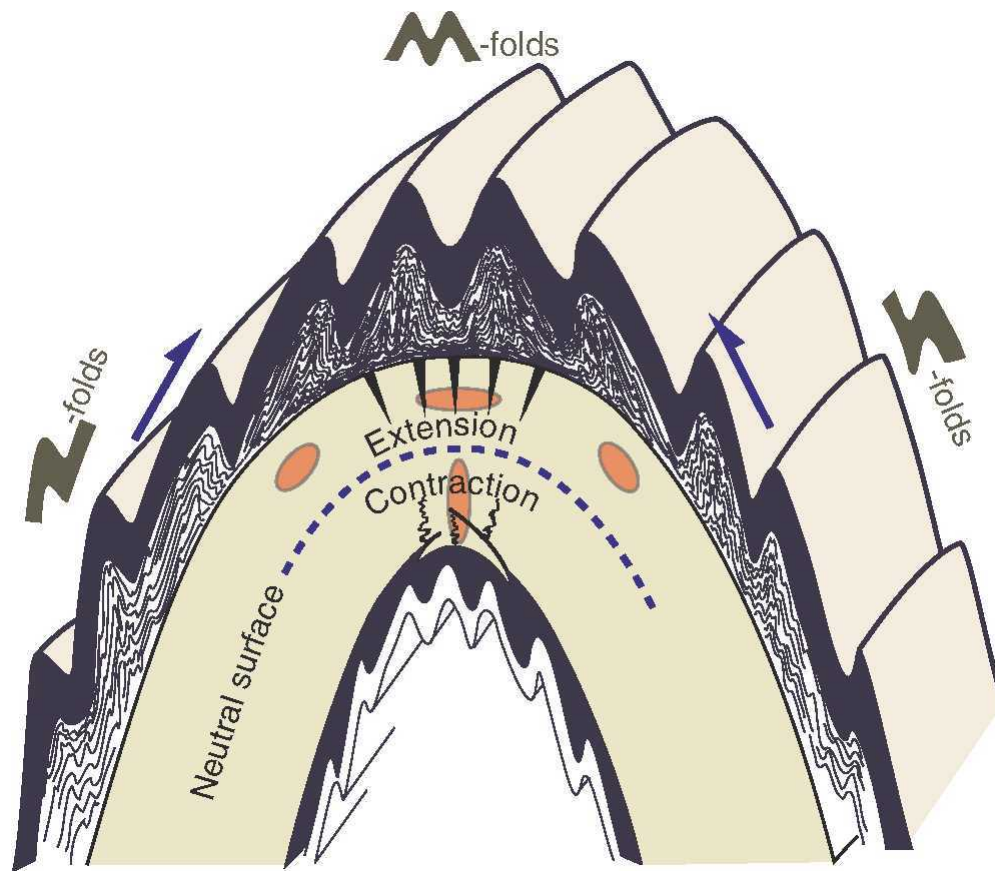
Biegescherung



Schichtdicke bleibt erhalten

Verformung bei Biegefaltung

orthogonal flexure

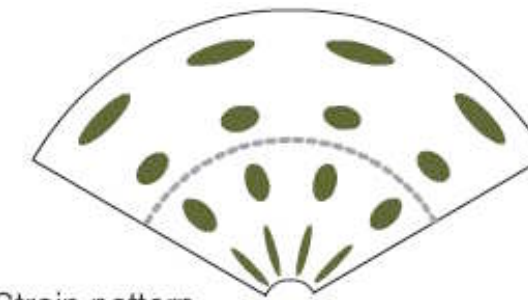


Fossen

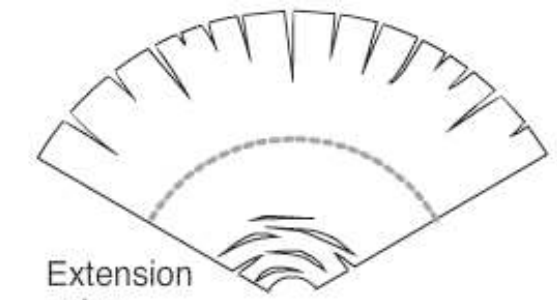
Verformung bei Biegefaltung



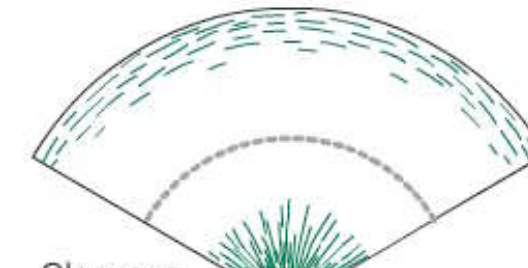
orthogonal flexure



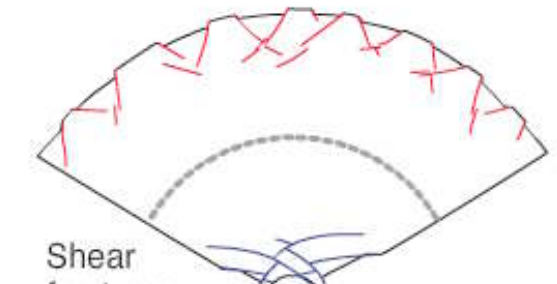
Strain pattern



Extension veins



Cleavage,
dissolution features



Shear
fractures

Verformungsmessung in passiver Falte

Voraussetzungen:

Start = bestehende Falte vom Typ IB (konzentrisch & parallel)

Nach der Faltenbildung homogene Verformung (passive Faltung)

progressive Plättung der ganzen Falte

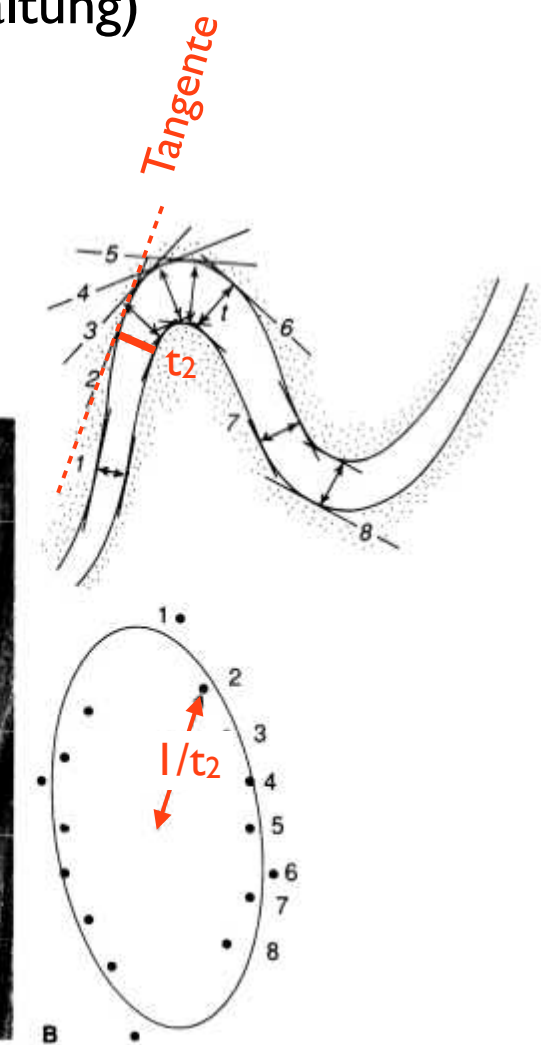
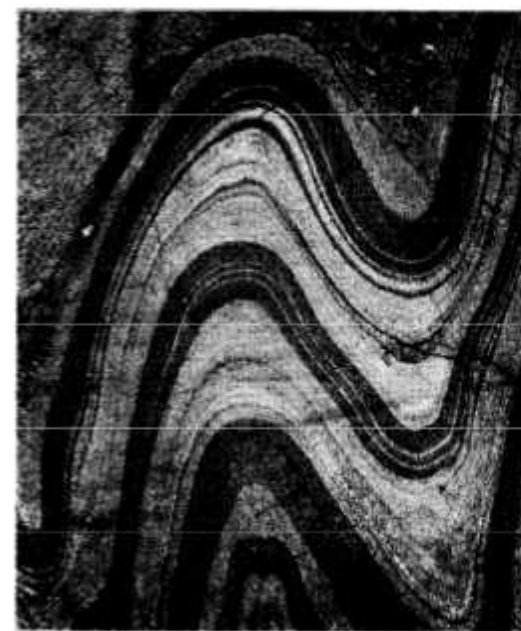
Schenkel verdünnt

Scharnier verdickt

nach Lisle (1992)
Geology 14, 369-371

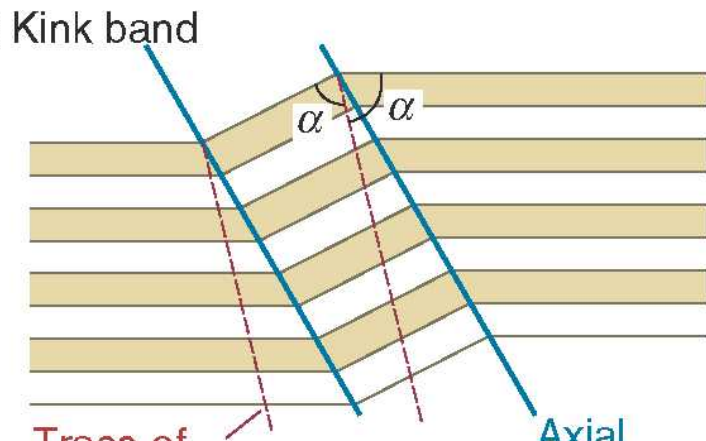
Vorgehen:

1. orthogonale Mächtigkeit, t ,
senkrecht zur Tangente
messen
2. inverse Mächtigkeit, $1/t$,
parallel zu Tangente um
Nullpunkt eintragen

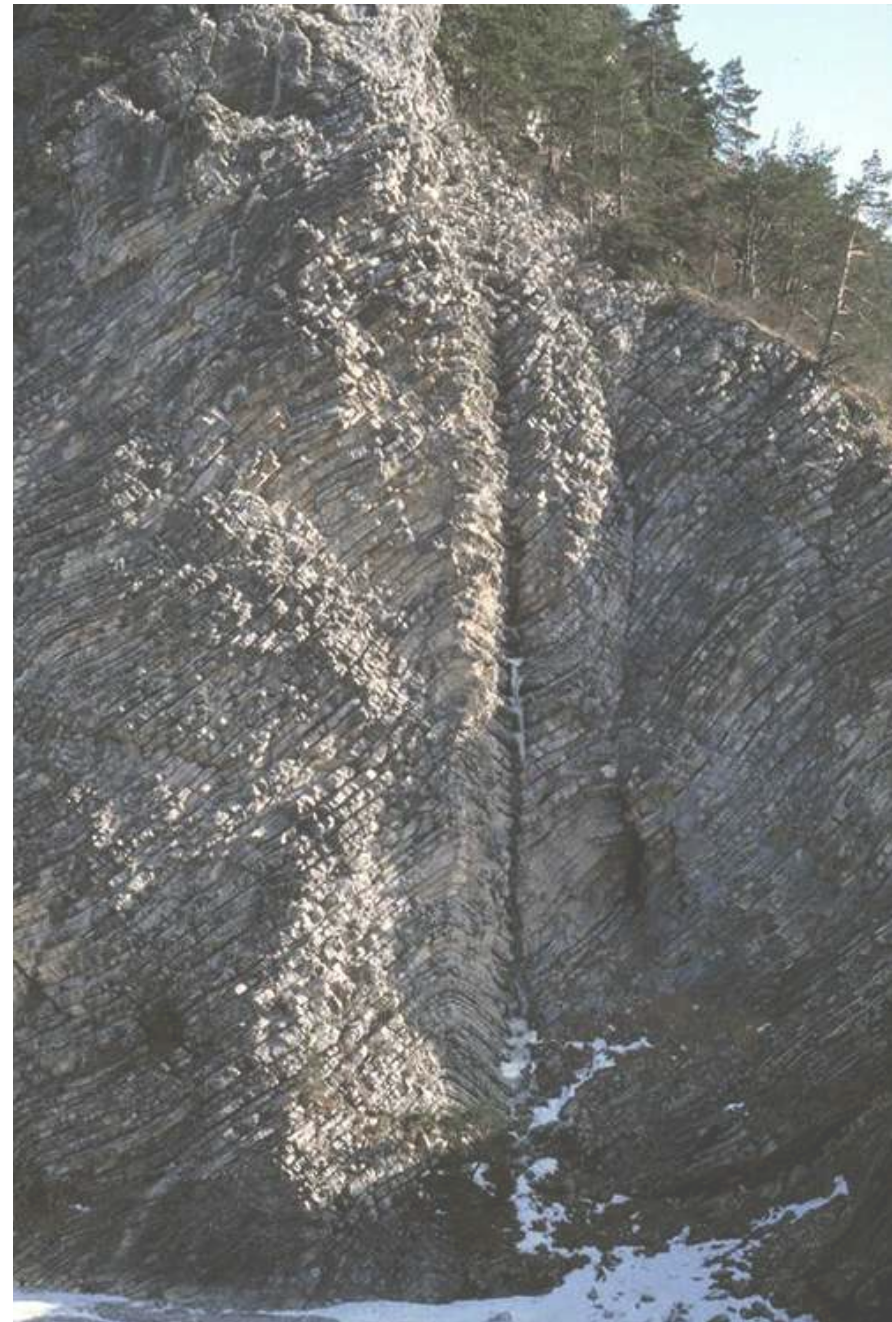
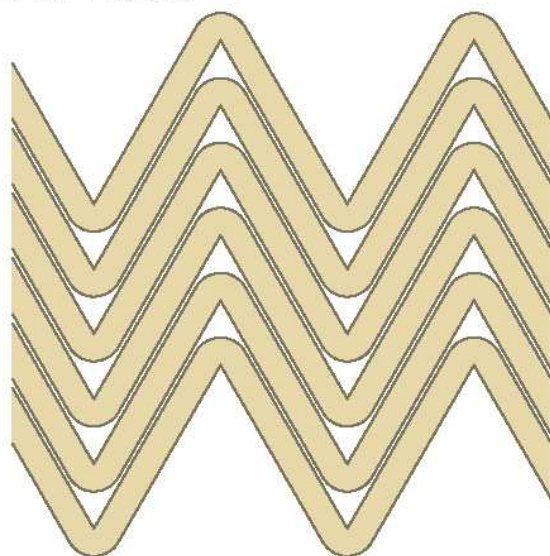


Knickfalten

Knickfalten



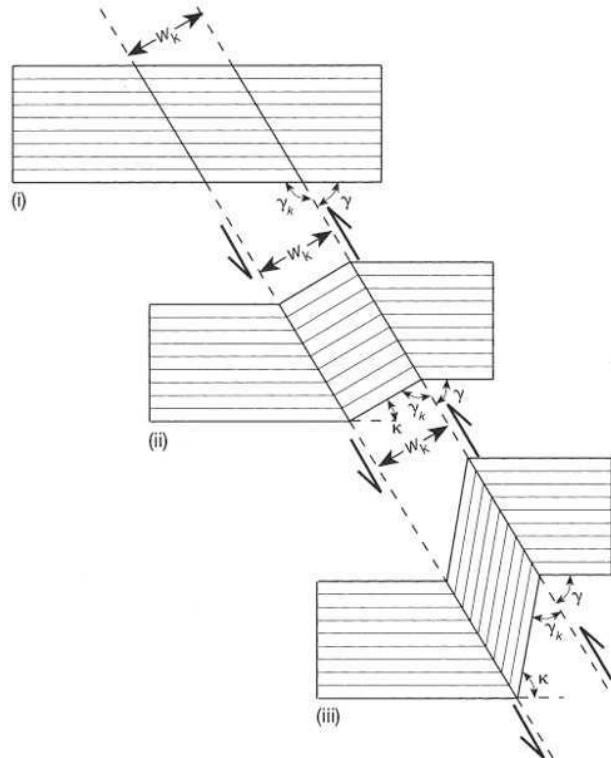
Chevron folds



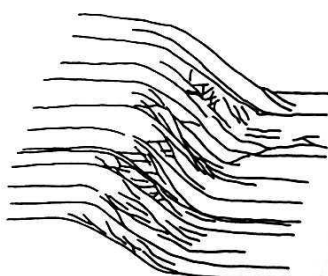
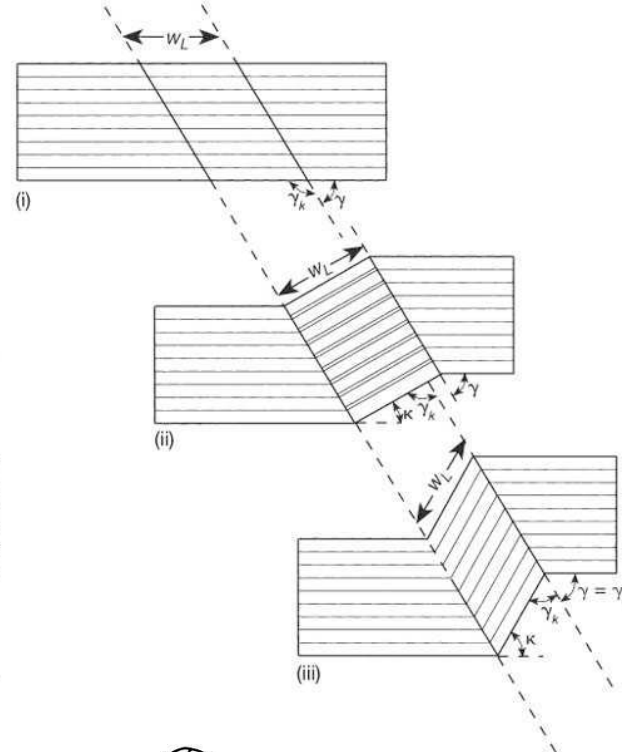
Knickfalten

shear kinkband

Twiss & Moores



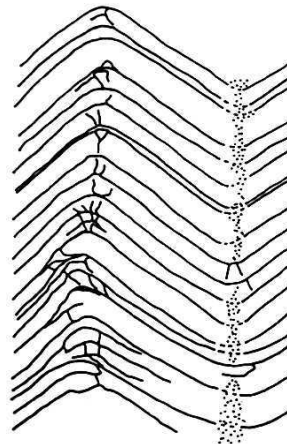
rotation kinkband



Panizzo PhD TAMU

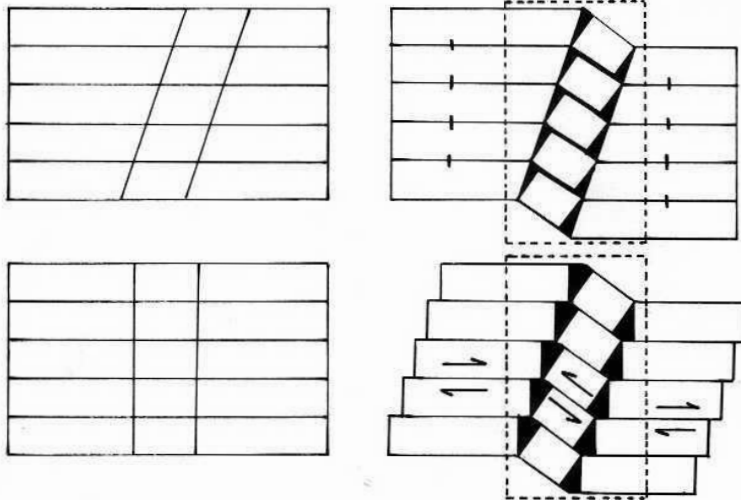


2 m

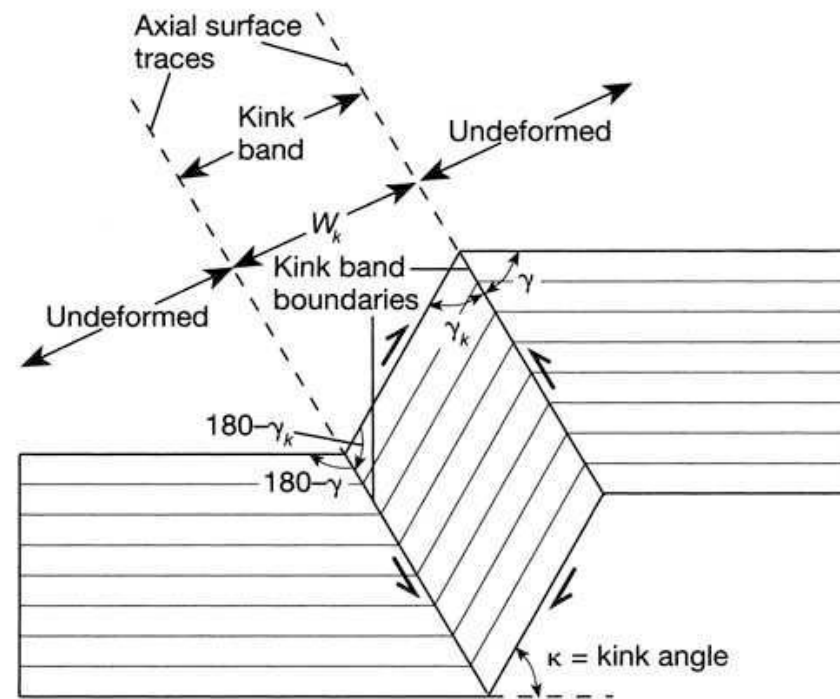
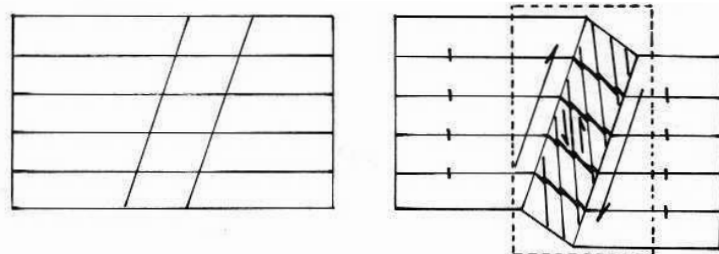


kinkband development

rotation kinkband



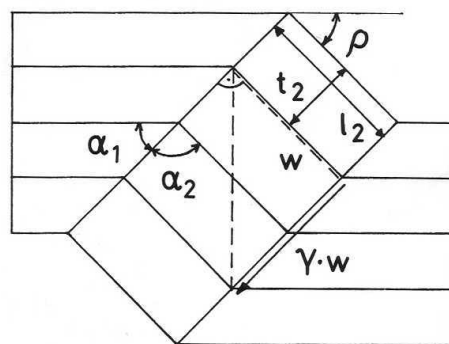
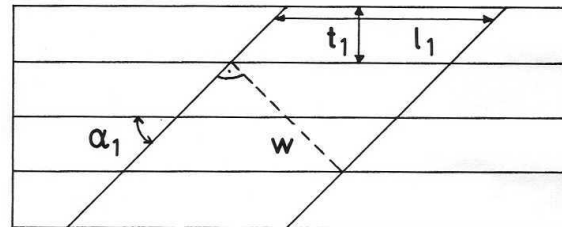
shear kinkband



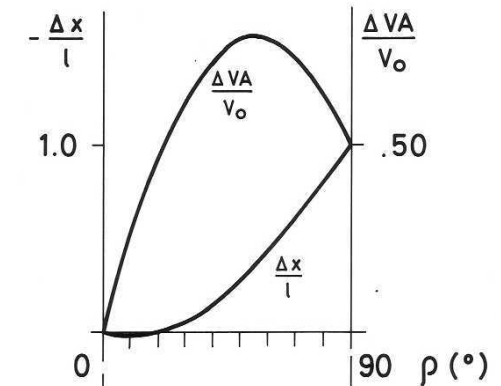
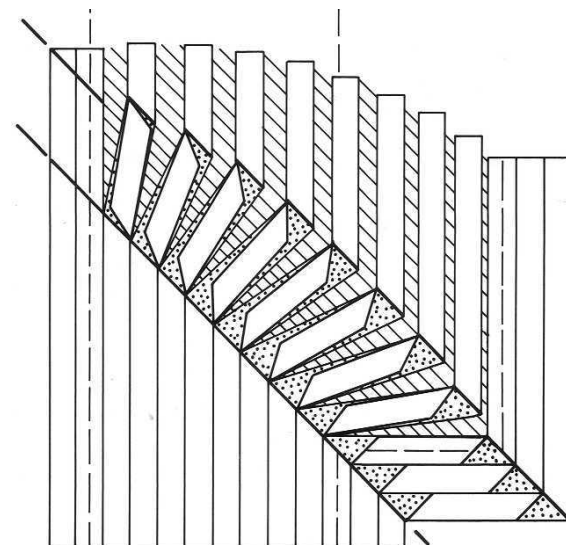
locking angle

volume change in kinkbands

shear kinkband



rotation kinkband



SKB

no volume change
no locking angle

RKB

volume change
locking angle

7

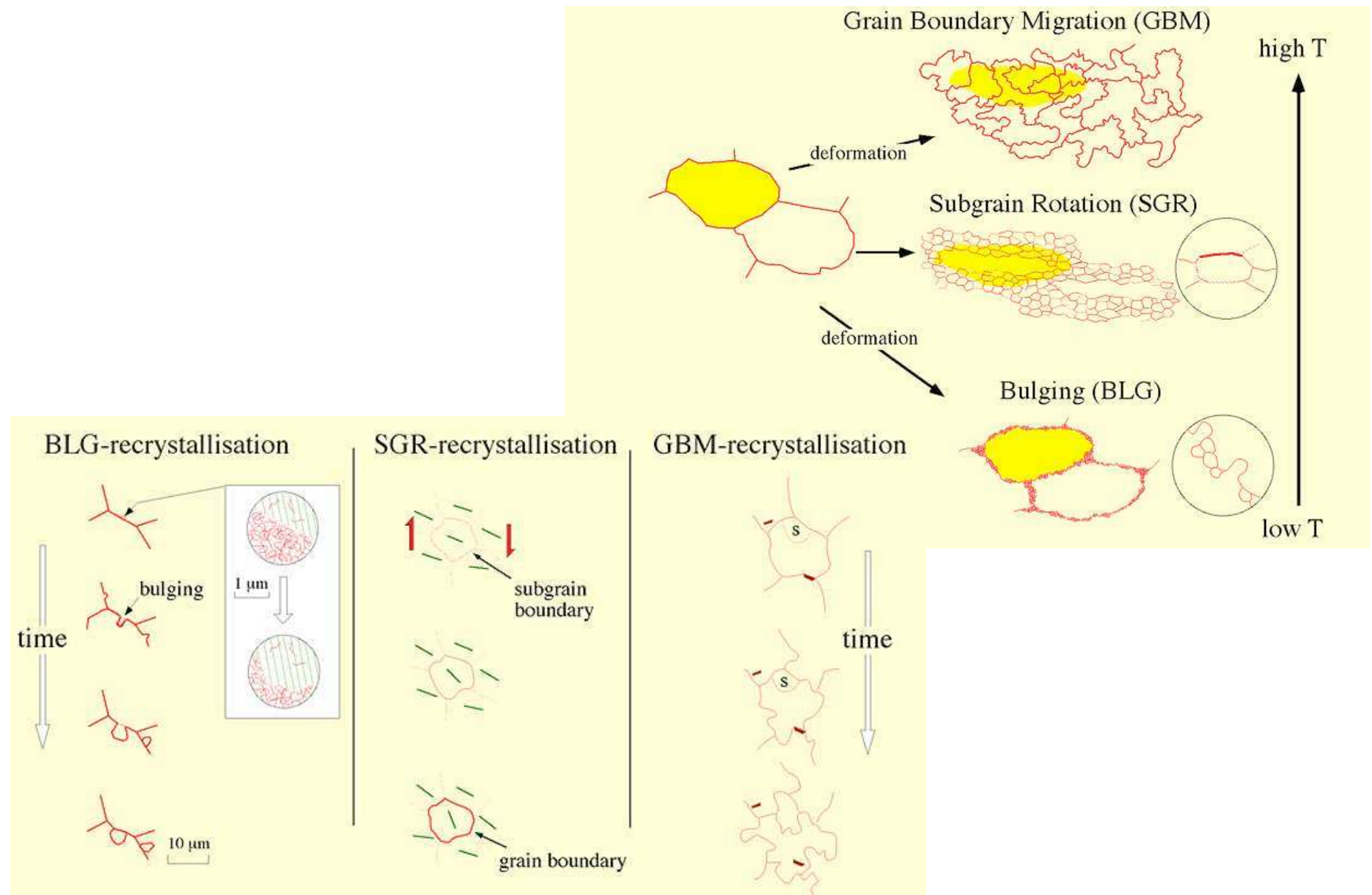
7 Mikrostrukturen - Deformationsmechanismen

VL-Themen:

- Mikrostrukturen statische-dynamische
- Versetzungen Dislokationen
- Rekristallisation und recovery
- Deformationsmechanismen
- mikromechanische Modelle
- Fliessgesetze
- deformation mechanism maps
- Gleitsysteme
- Kristallographische Einregelung CPO

microstructures
dynamic
static

dynamic recrystallization



dynamic recrystallization

M. Stipp et al. / Journal of Structural Geology 24 (2002) 1861–1884

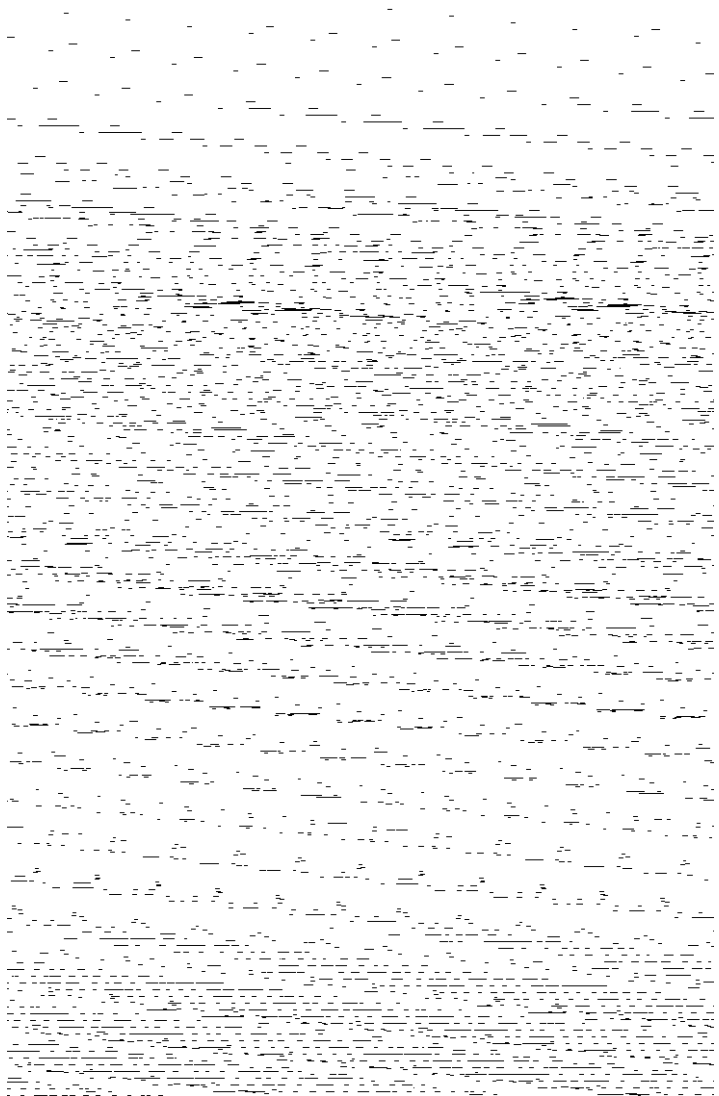
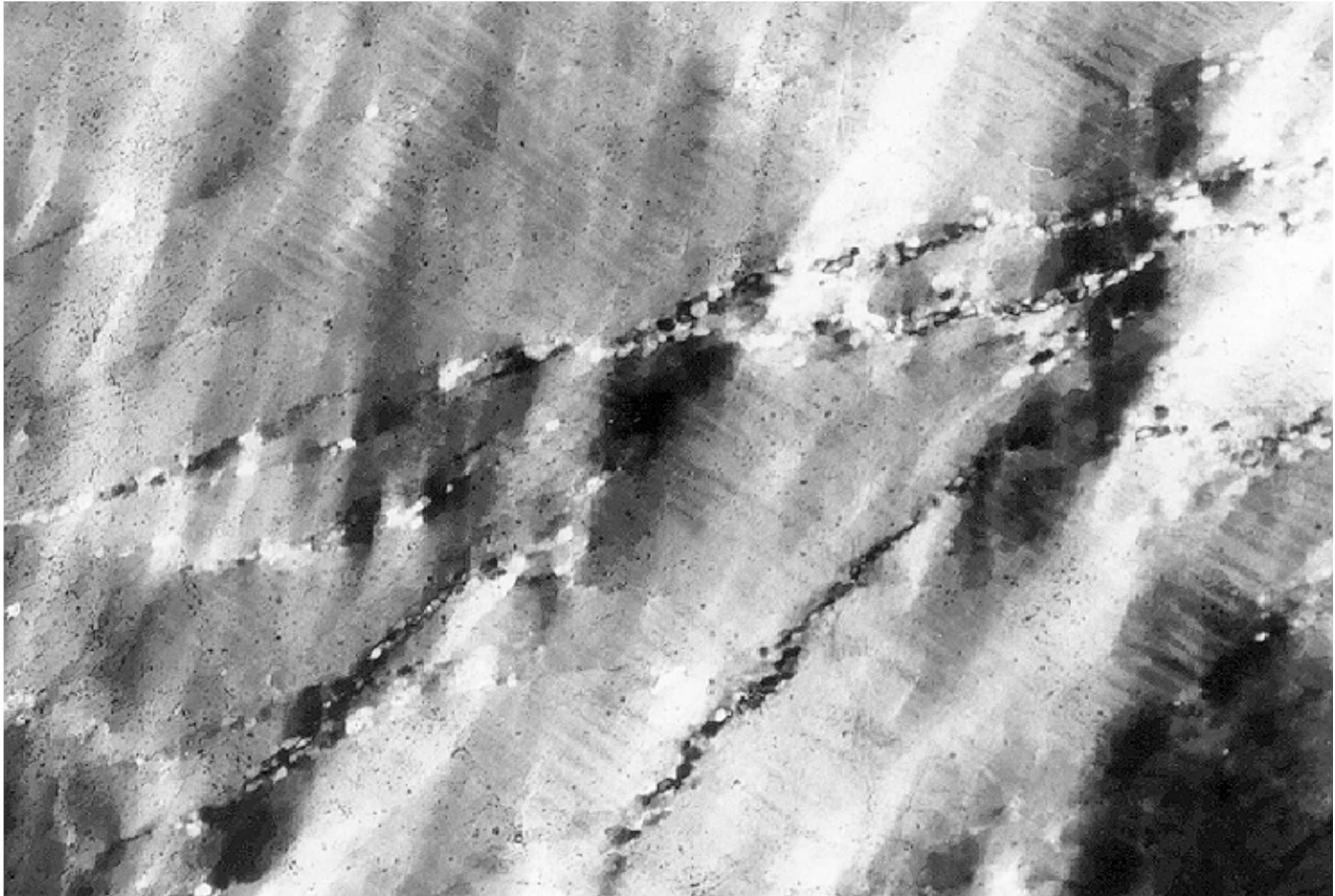


Fig. 1. Characteristic microstructures of the three dynamic recrystallization mechanisms of quartz shown at the same relative scale.

- (a) Bulging recrystallization (low T): bulges and recrystallized grains are present along grain boundaries and to a lesser extent along microcracks.
- (b) Subgrain rotation recrystallization (intermediate T): core and mantle structures of porphyroclastic ribbon grains and recrystallized subgrains. Polygonization by progressive subgrain rotation can completely consume the ribbon grains.
- (c) Grain boundary migration recrystallization (high T): irregular grain shapes and grain sizes; grain boundaries consist of interfingering sutures.

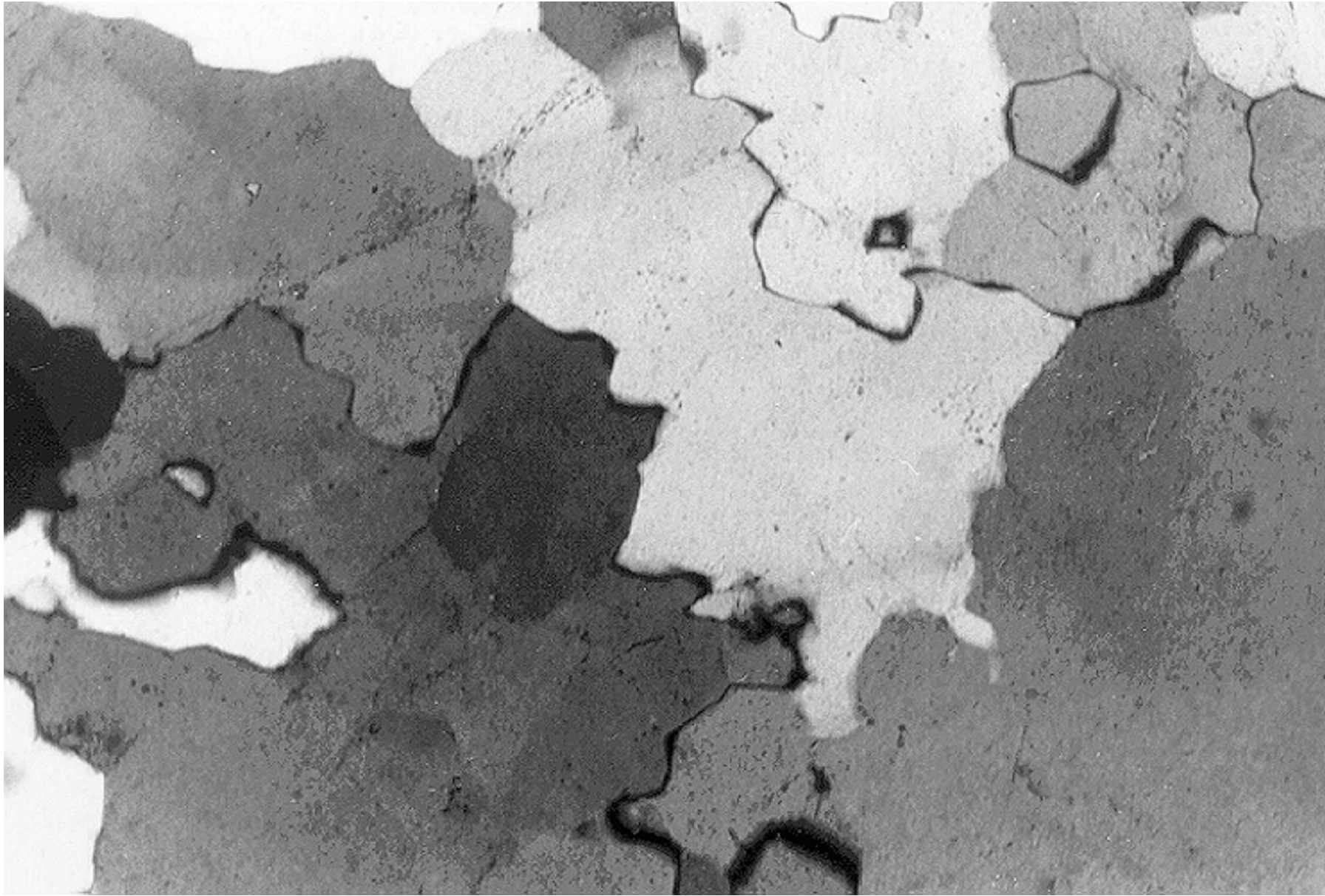
Bulging Recrystallization in Quartz



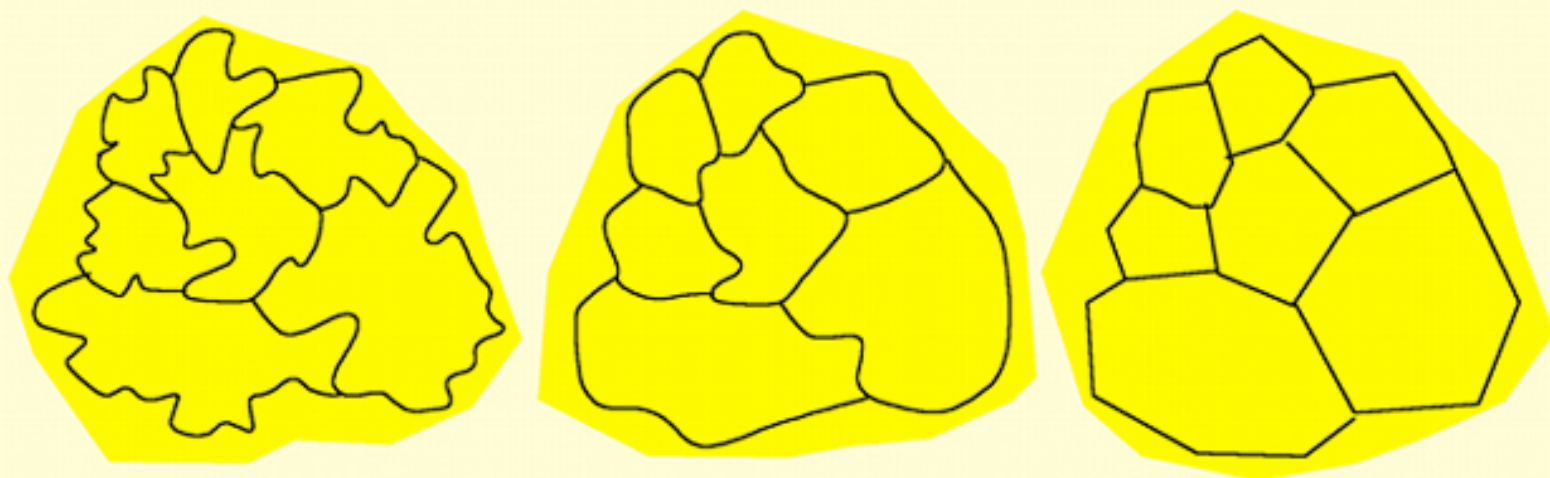
Rotation Recrystallization in Quartz



Grain Boundary Migration Recrystallization



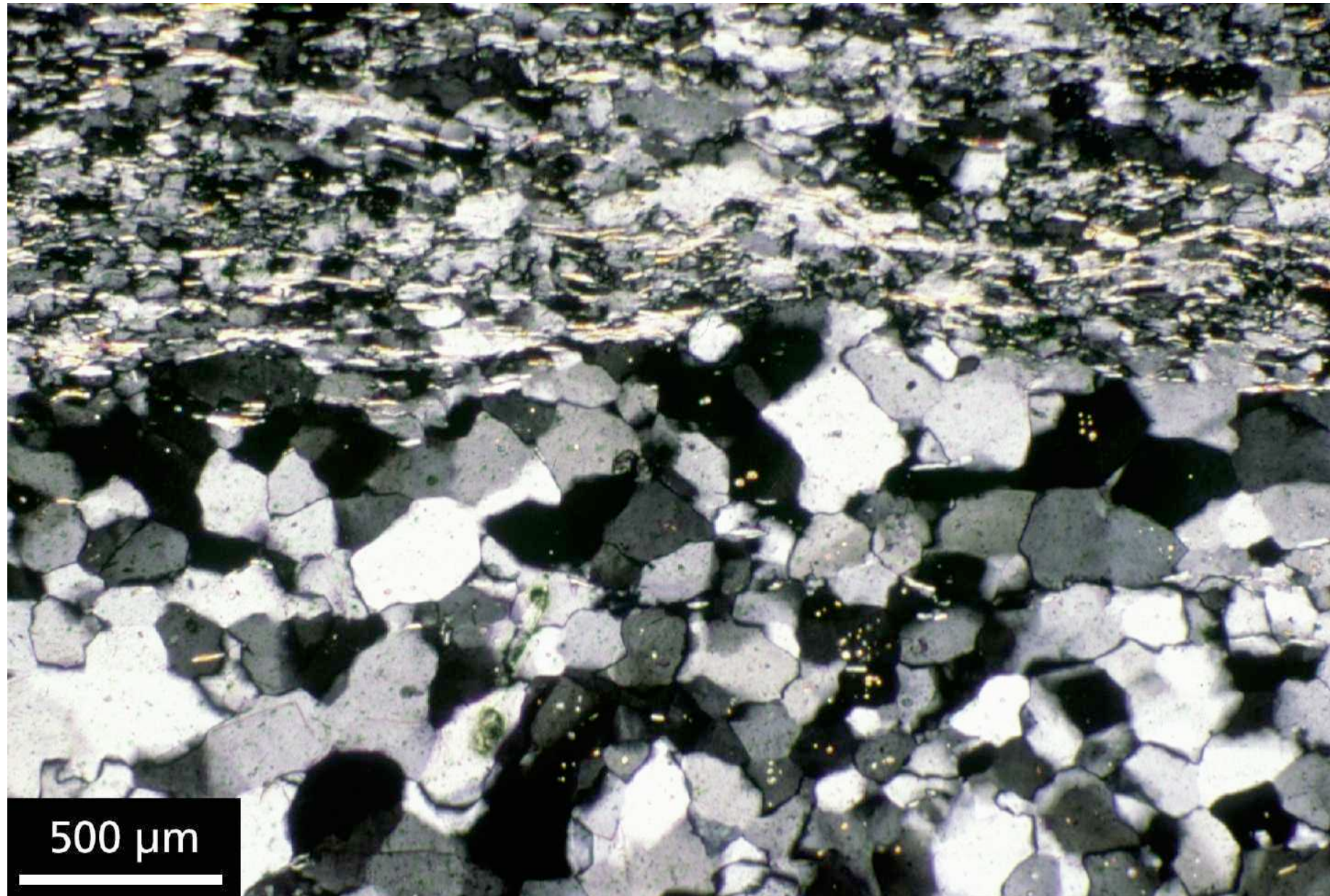
static recrystallization - annealing



static recrystallisation

Reduction of grain boundary area

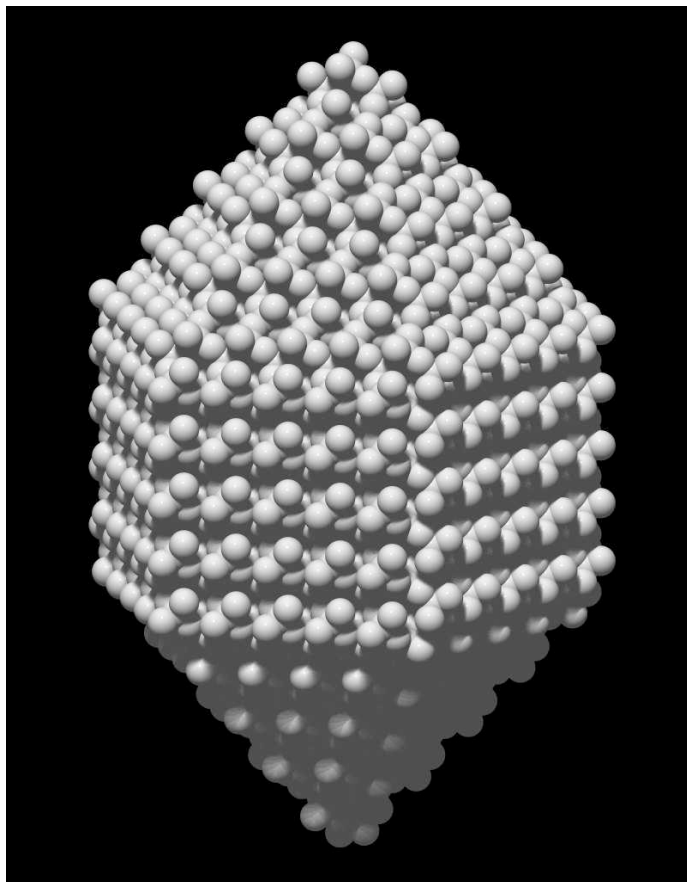
Example of grain growth due to annealing



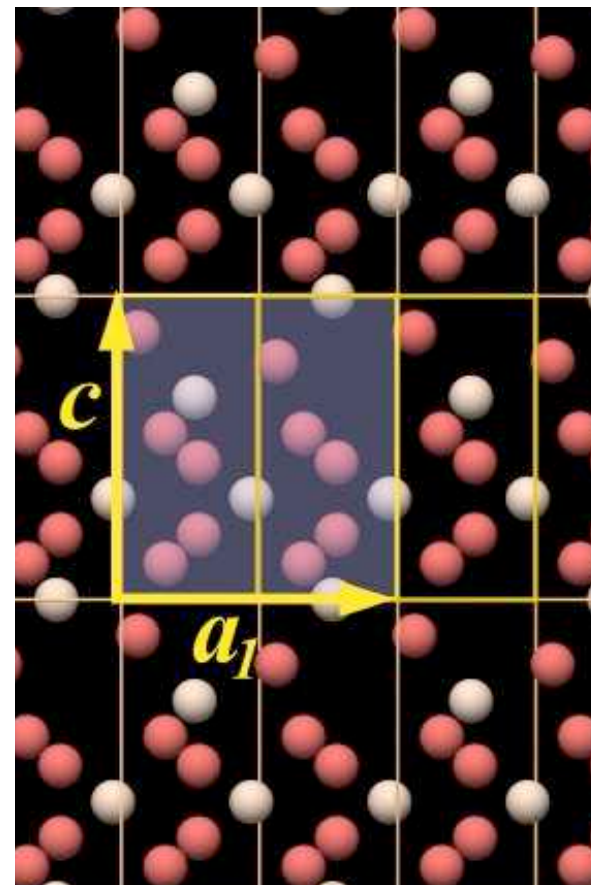
Versetzungen
Burgers vector
edge dislocations
screw dislocations

Diskontinua

Kristalle \neq Kontinuumsmechanik

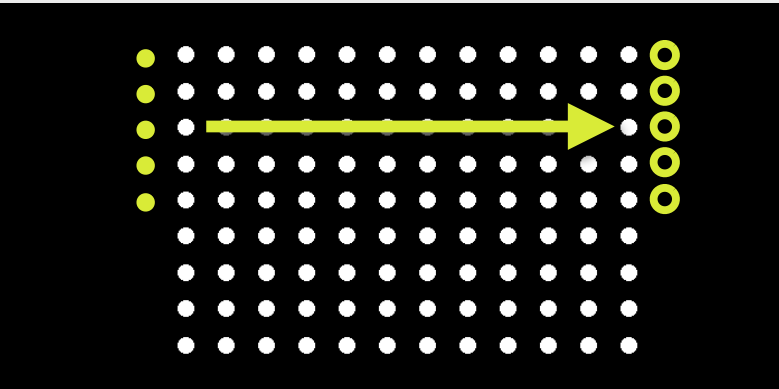


Quarz

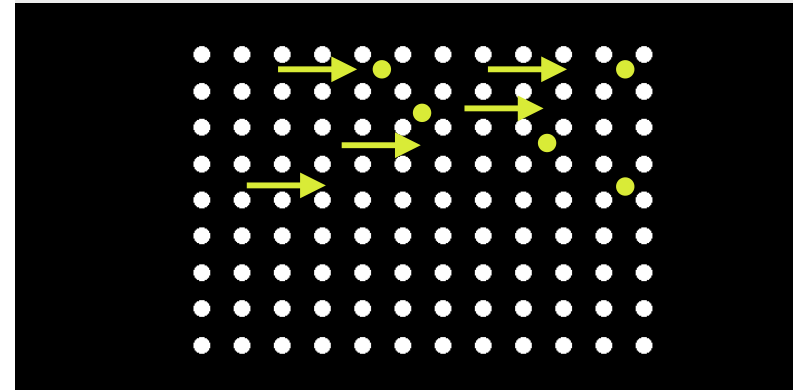


diffusion

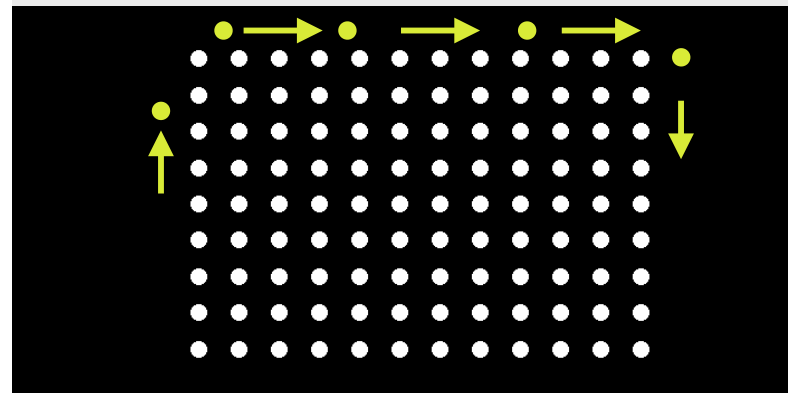
wie verformt man Kristalle ?



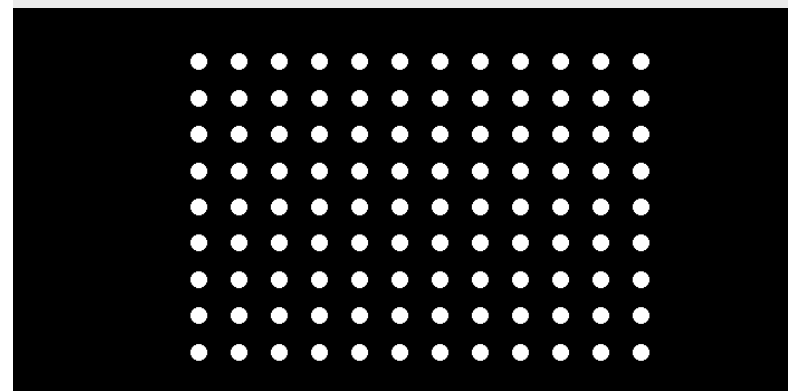
volume diffusion



grain boundary diffusion

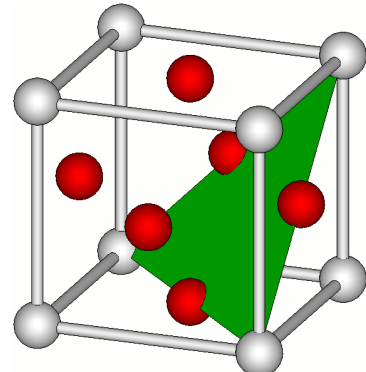


dislocation glide

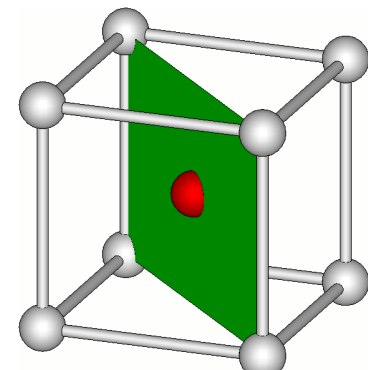


Gleitsysteme

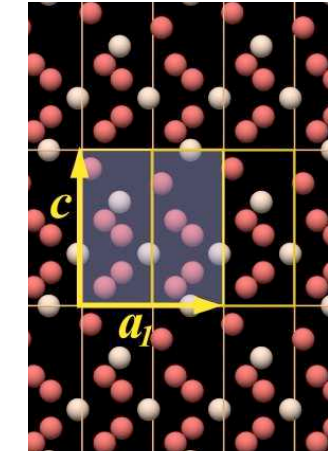
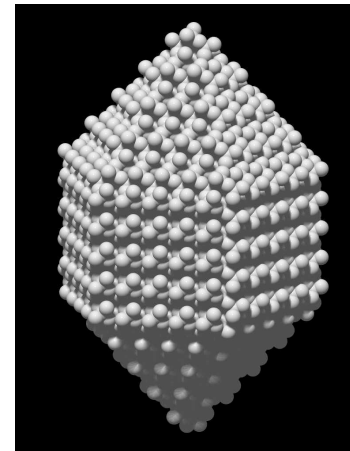
{111}-Gleitebene in einem kubisch- flächenzentrierten Gitter



{110}-Gleitebene in einem kubisch- raumzentrierten Gitter

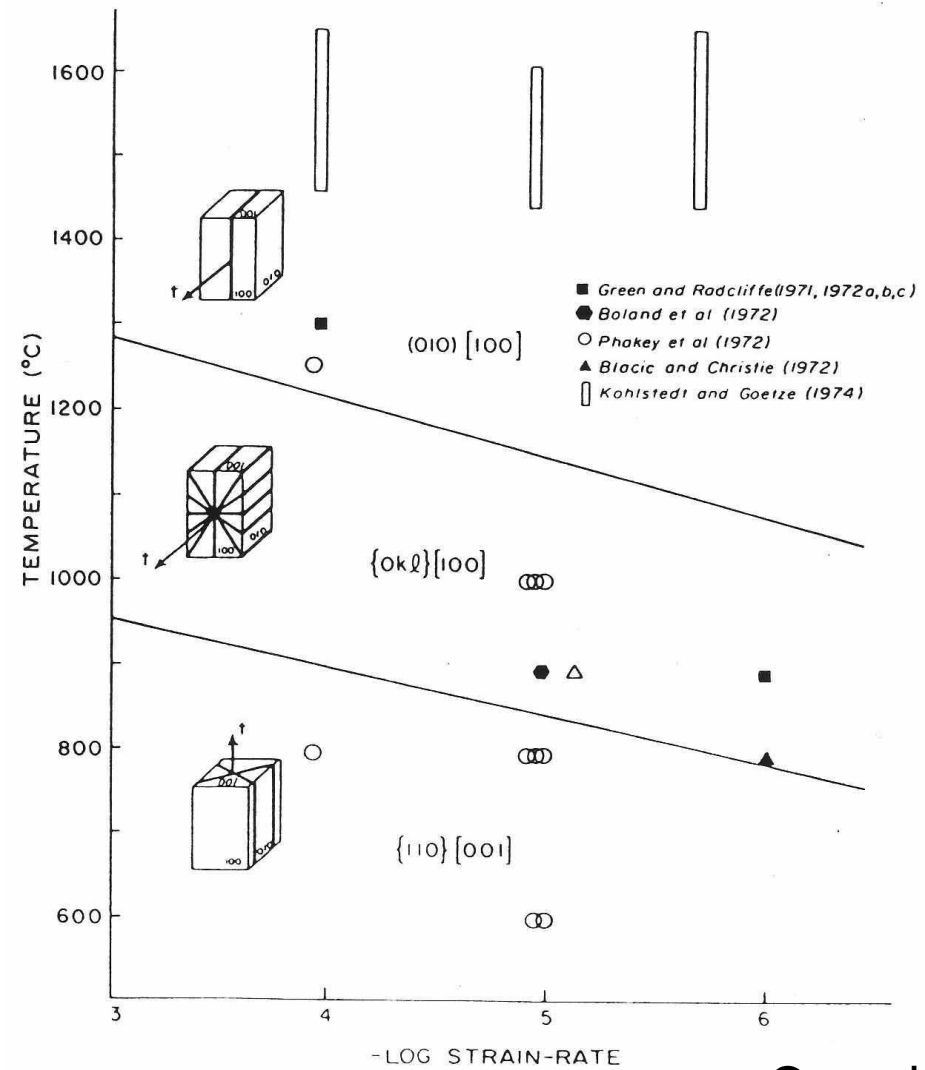
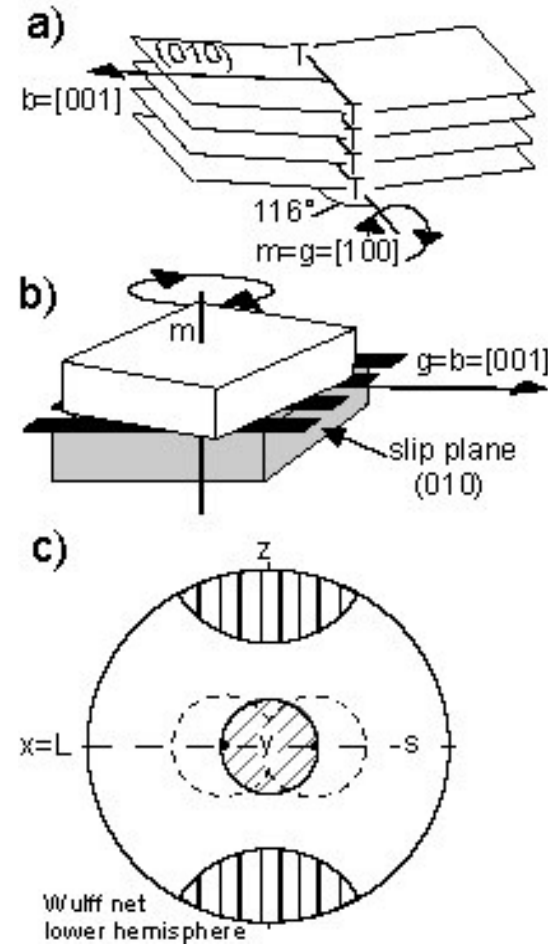


Quarz



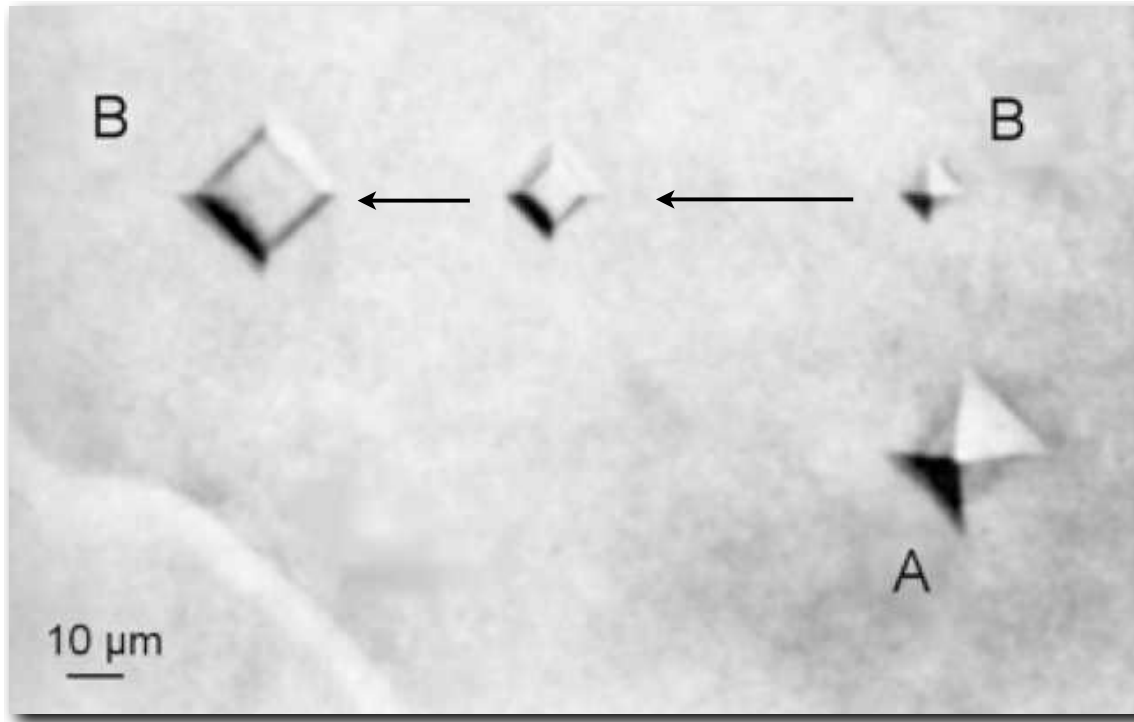
Kristallstruktur	Gleitebene	Gleitrichtung	
kfz	{111}	<110>	
krz	{110}	<111>	
	{112}	<111>	
	{123}	<111>	
hex	{0001}	<1120>	basal <a>
	{1010}	<1120>	prism <a>
	{1011}	<1120>	rhomb <a>
	{1010}	<0001>	prism <c>

Gleitsysteme

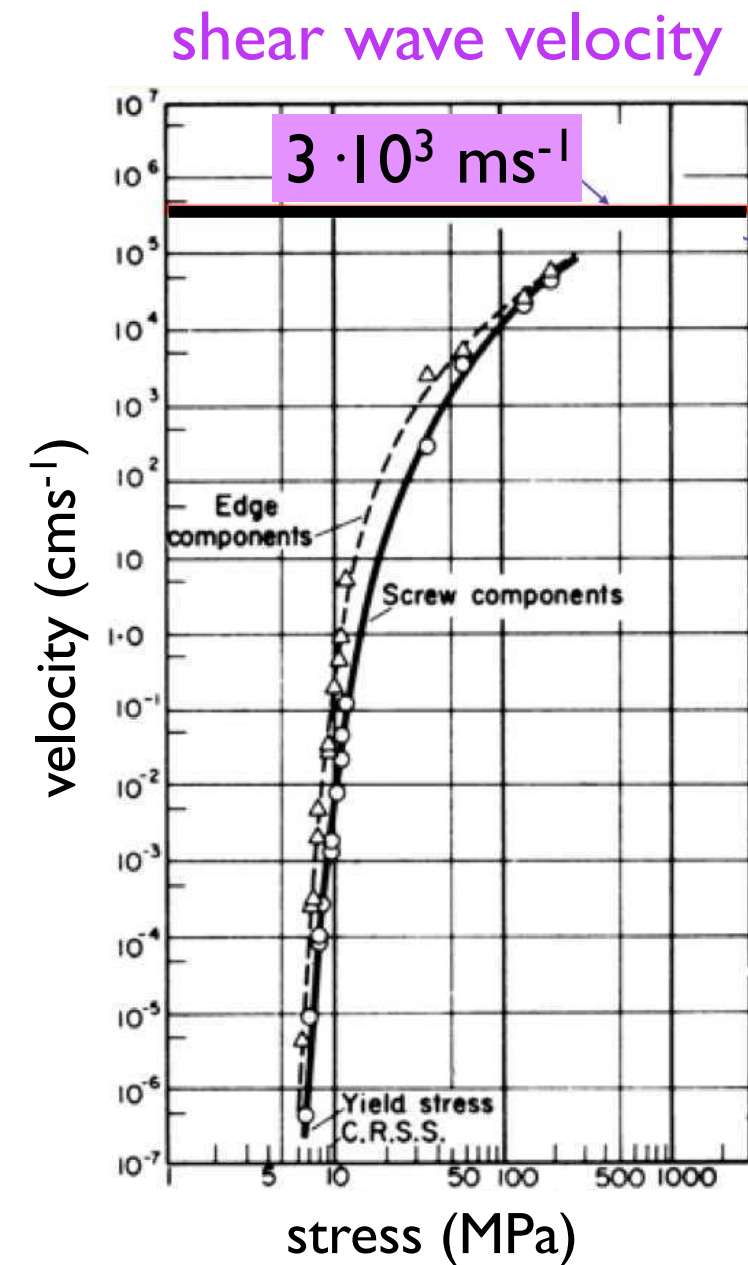


Green 1974

Versetzungen - dislocations



Ätzgrube = Dislokation

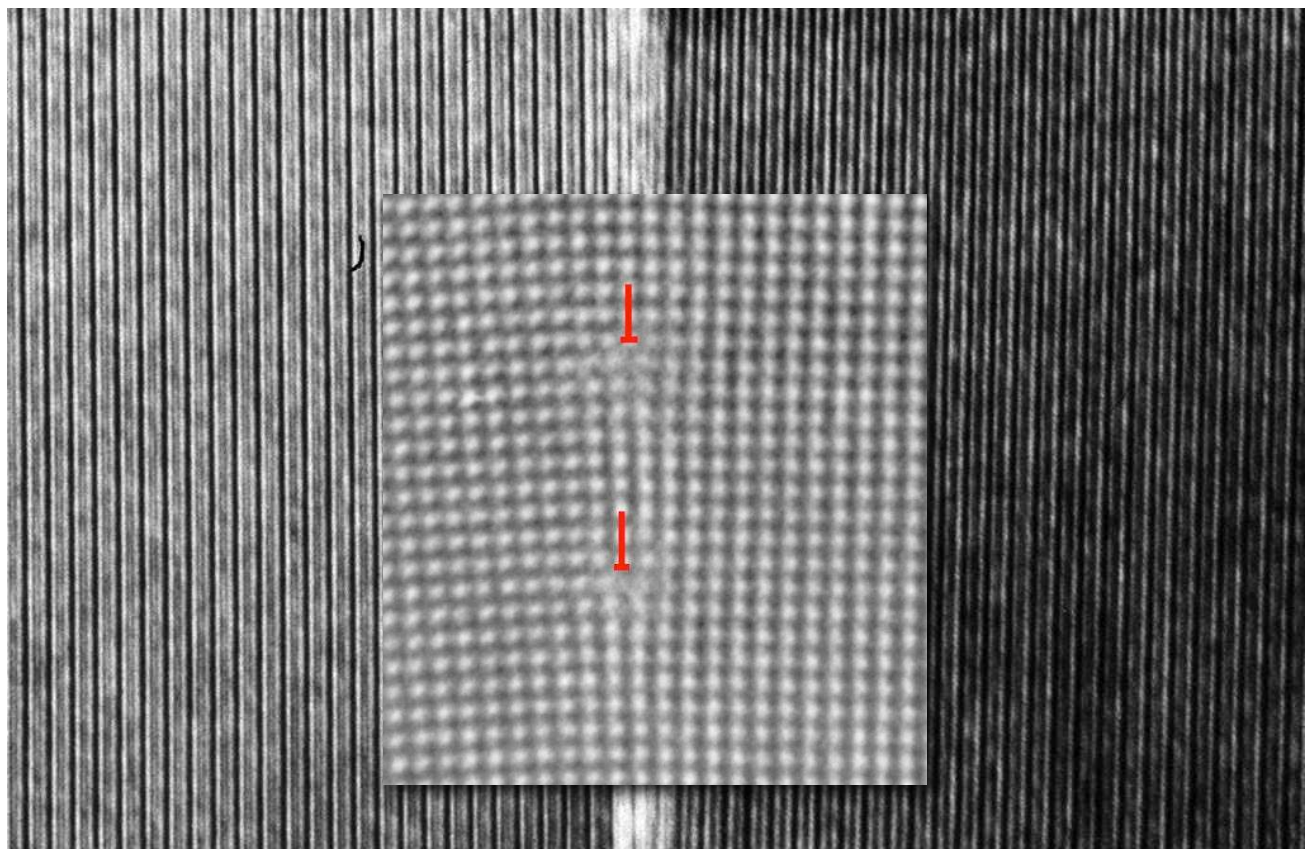
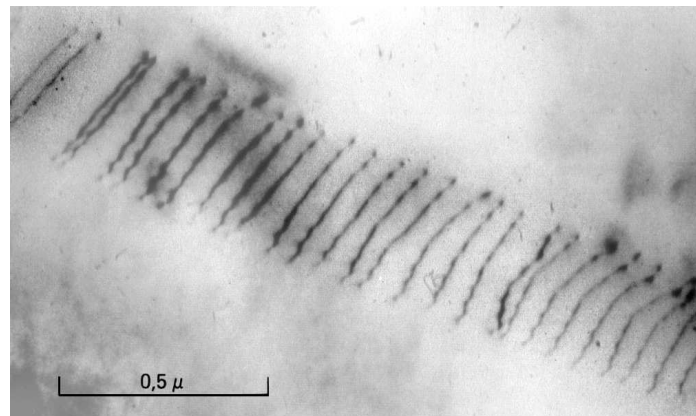
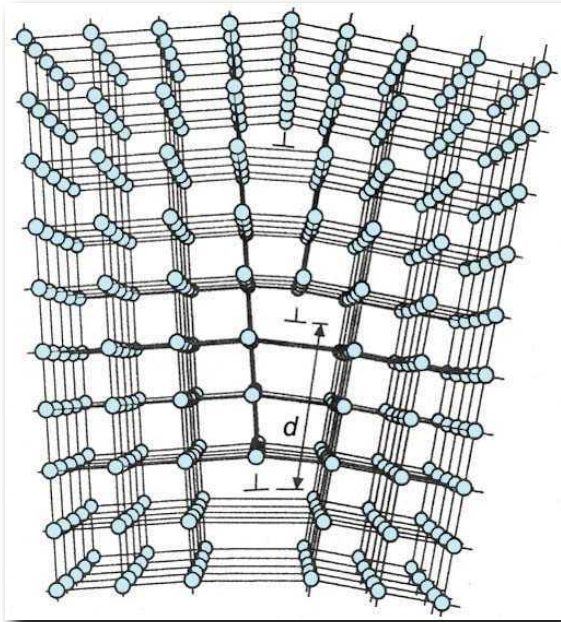


'dislocations are imperfections whose motion causes deformation'

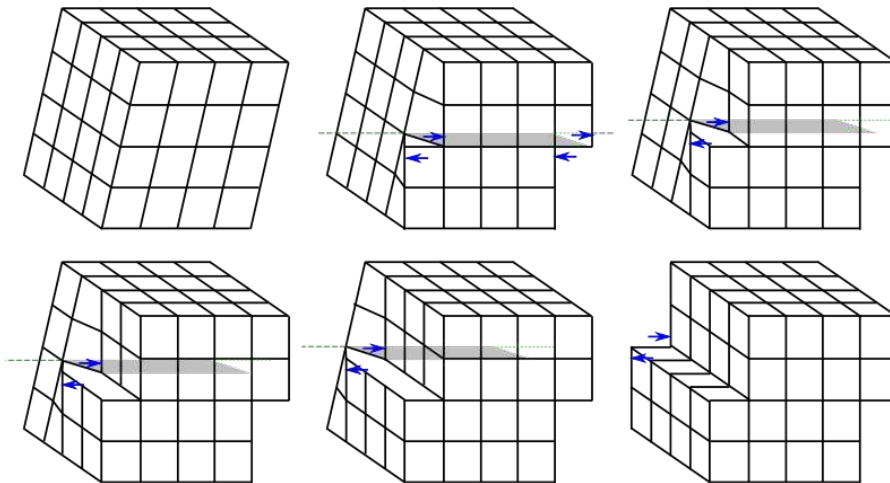
Probleme im Kristall:

- Erzeugung von Dislokationen
- Dislokationen behindern sich
- geschwindigkeitbestimmend werden Diffusionsprozesse

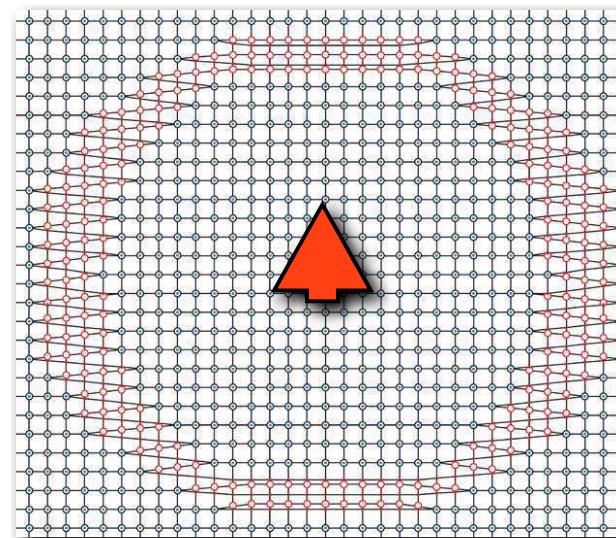
Stufenversetzungen - edge dislocations



Schraubenversetzungen - screw dislocations

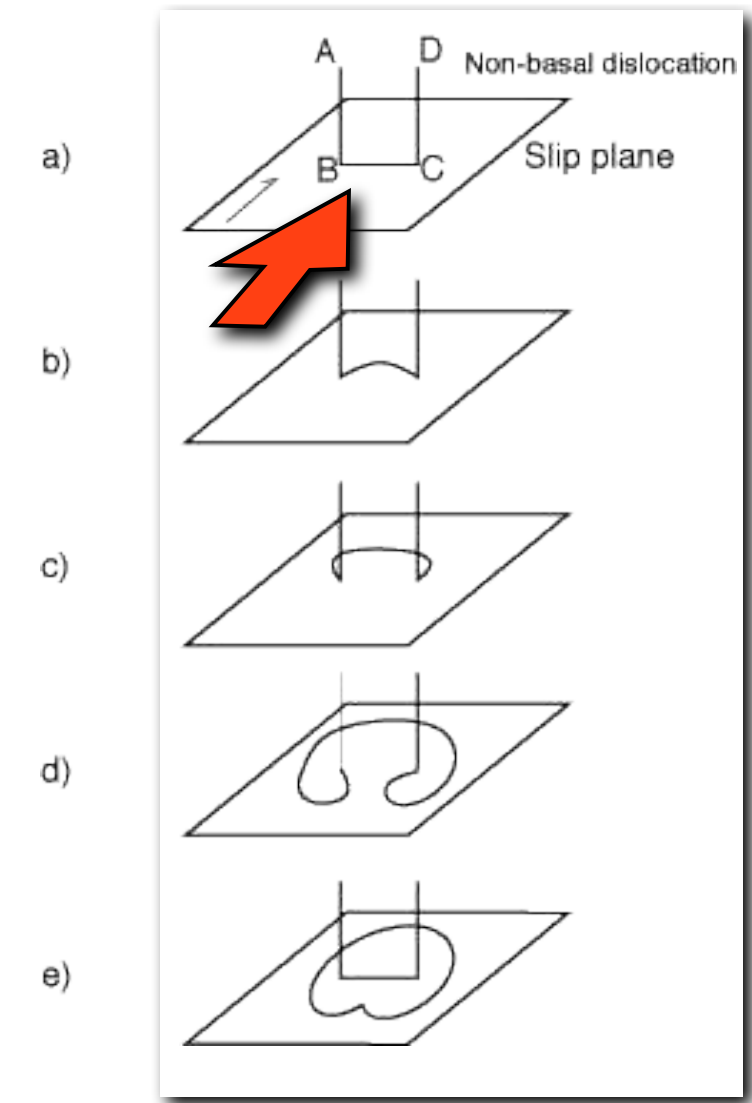
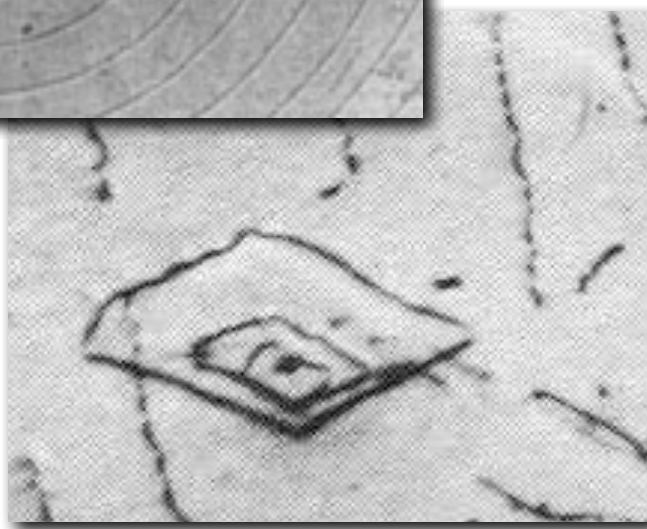
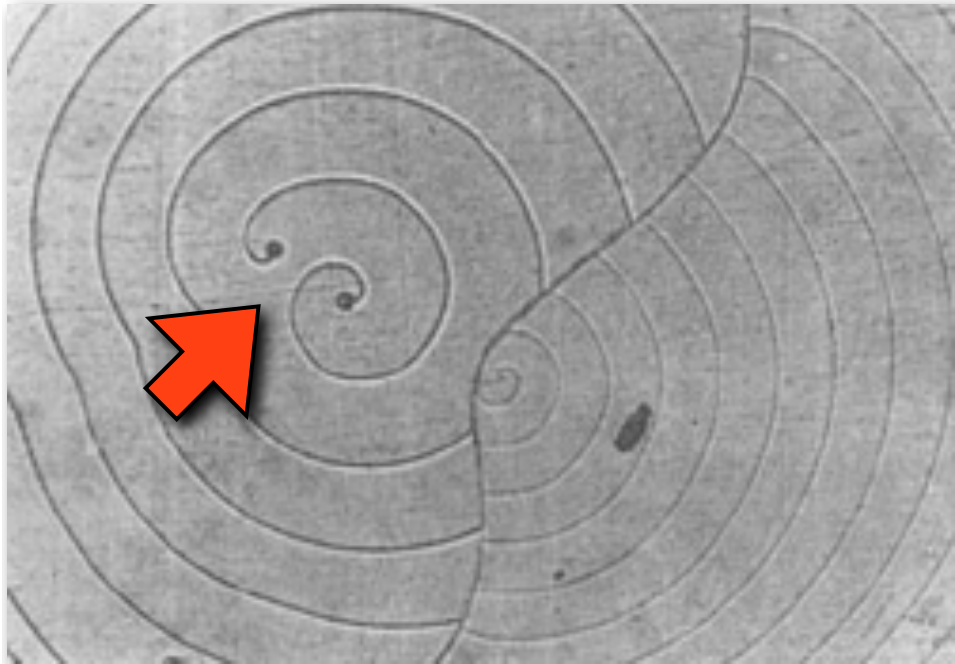


dislocation loop

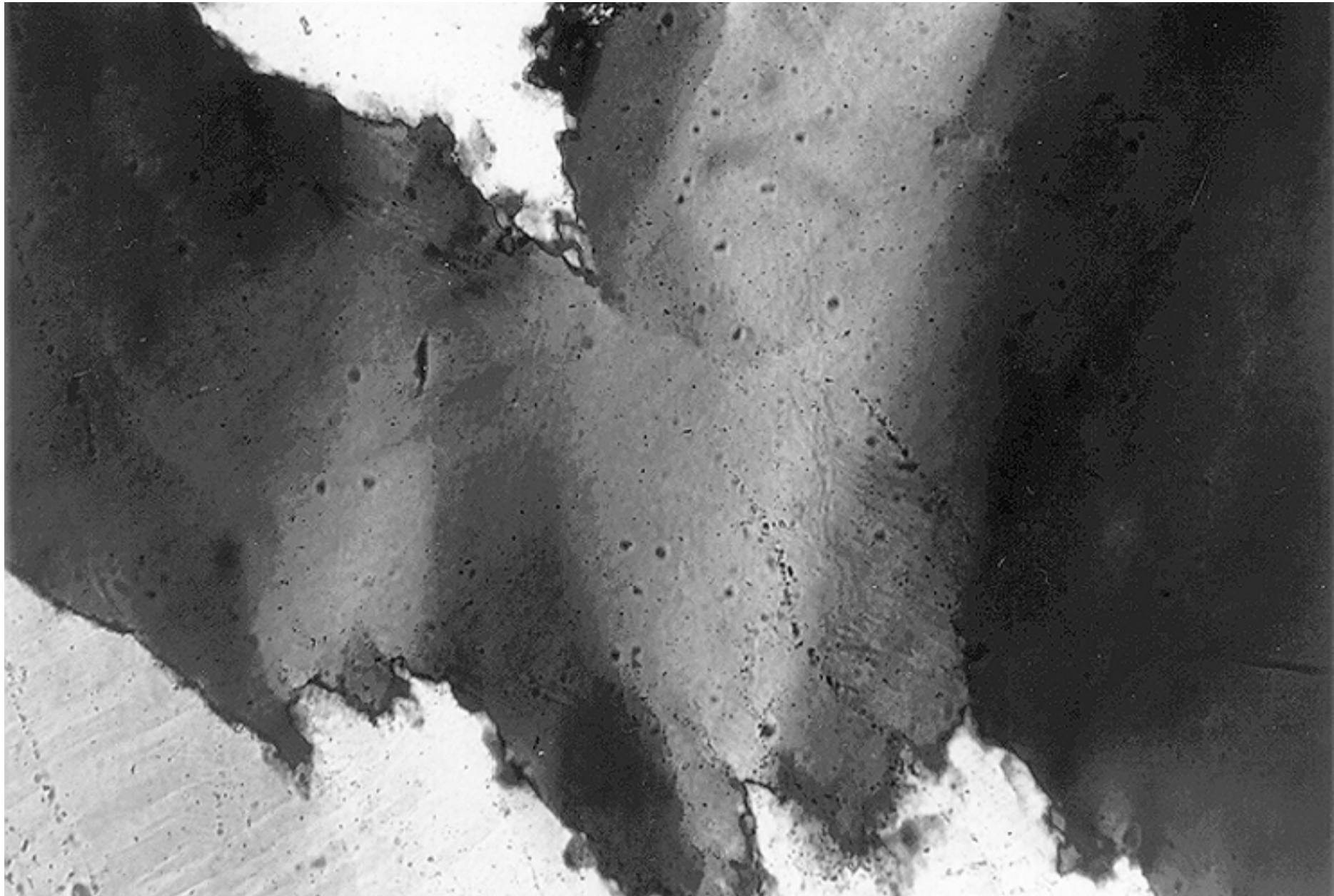


gemischte Versetzungen

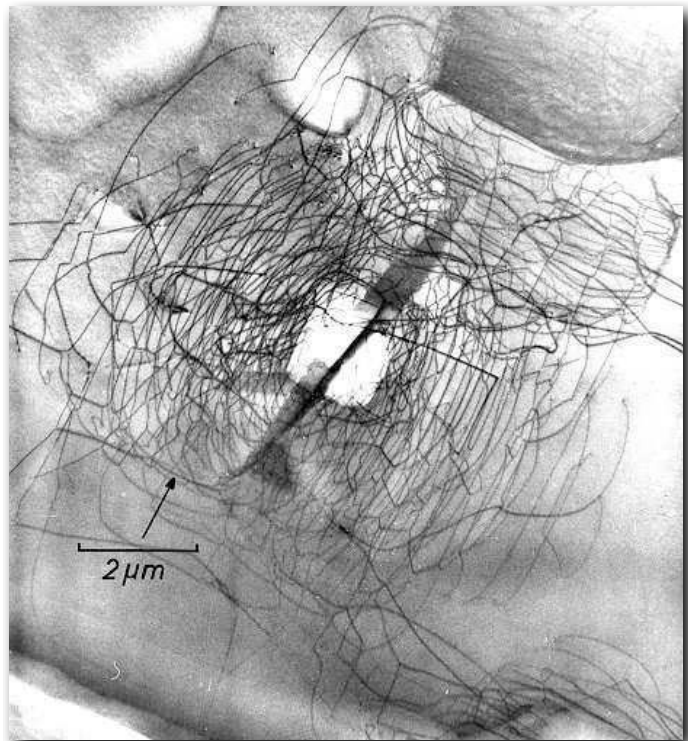
Frank-Reed sources



Undulatory extinction in quartz - evidence for dislocation glide

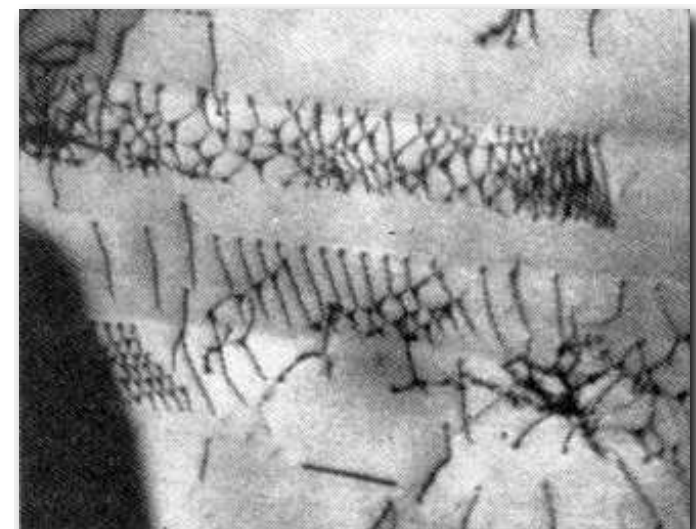
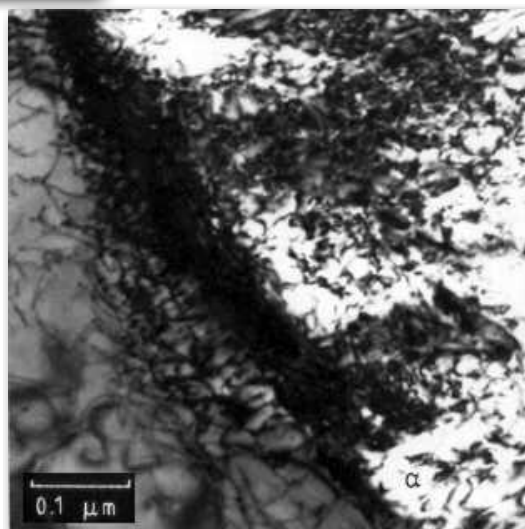


Versetzungen - dislocations

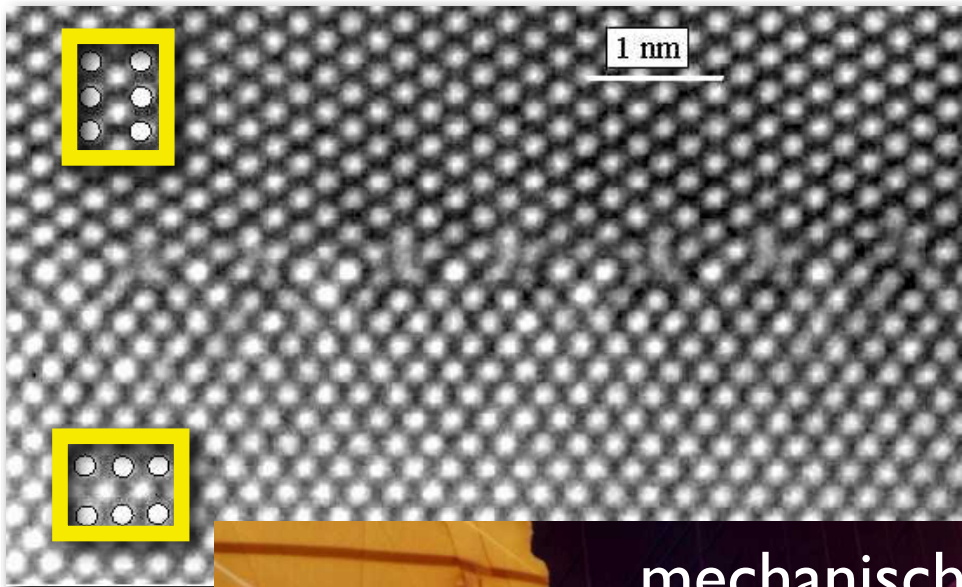


dislocation tangles:
aus glissil wird sessil

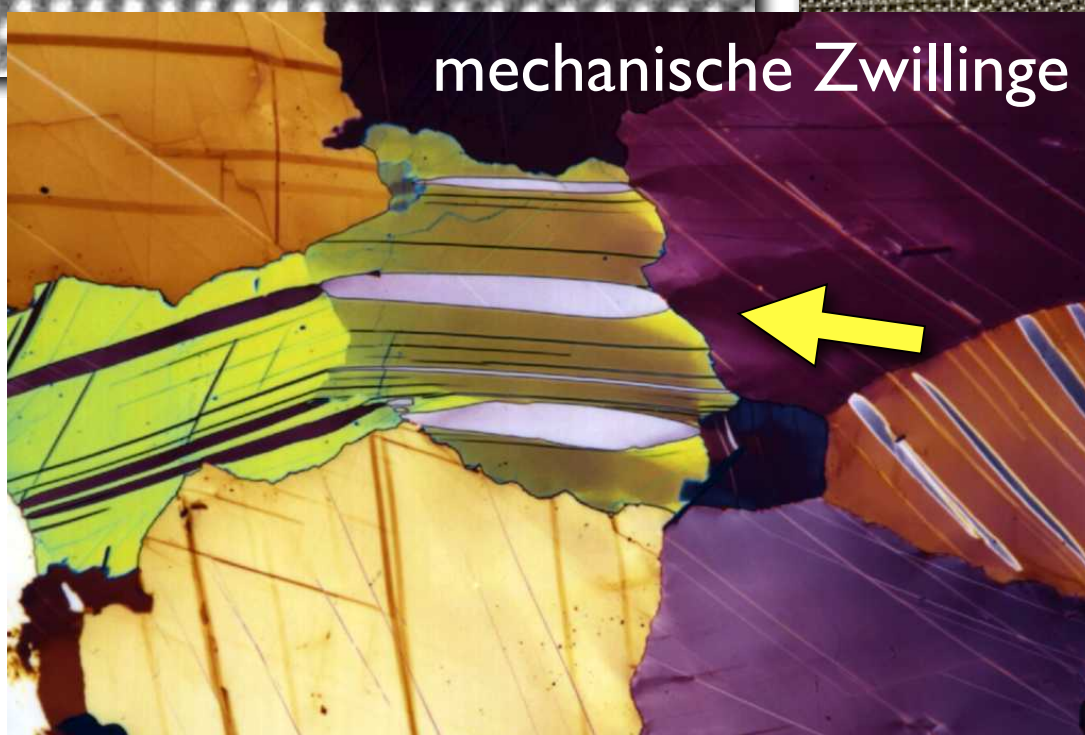
Diffusionsprozesse werden
geschwindigkeitbestimmend



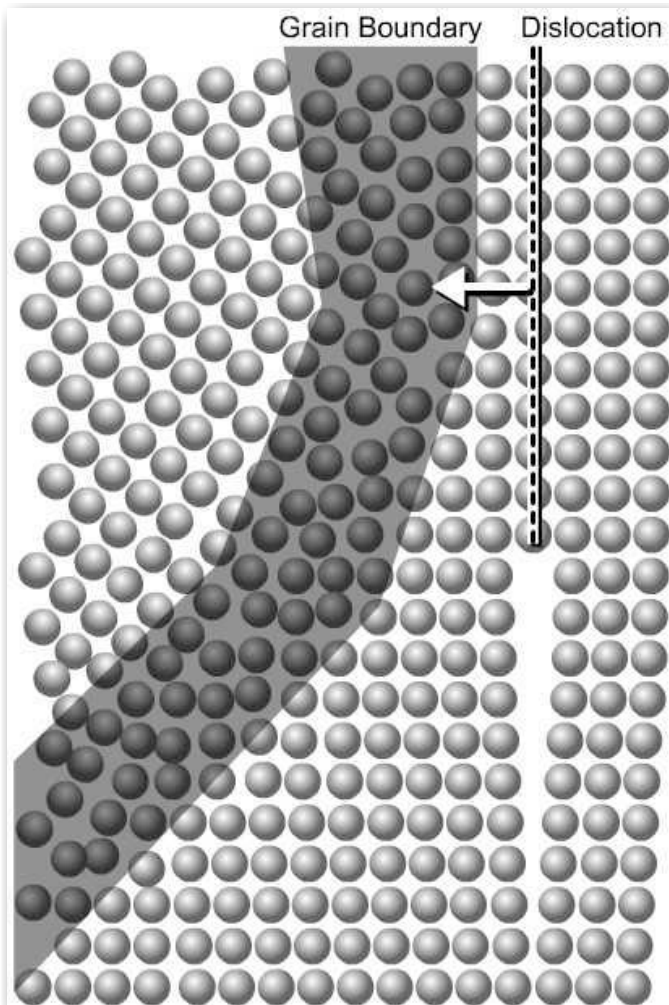
(sub)grain boundaries



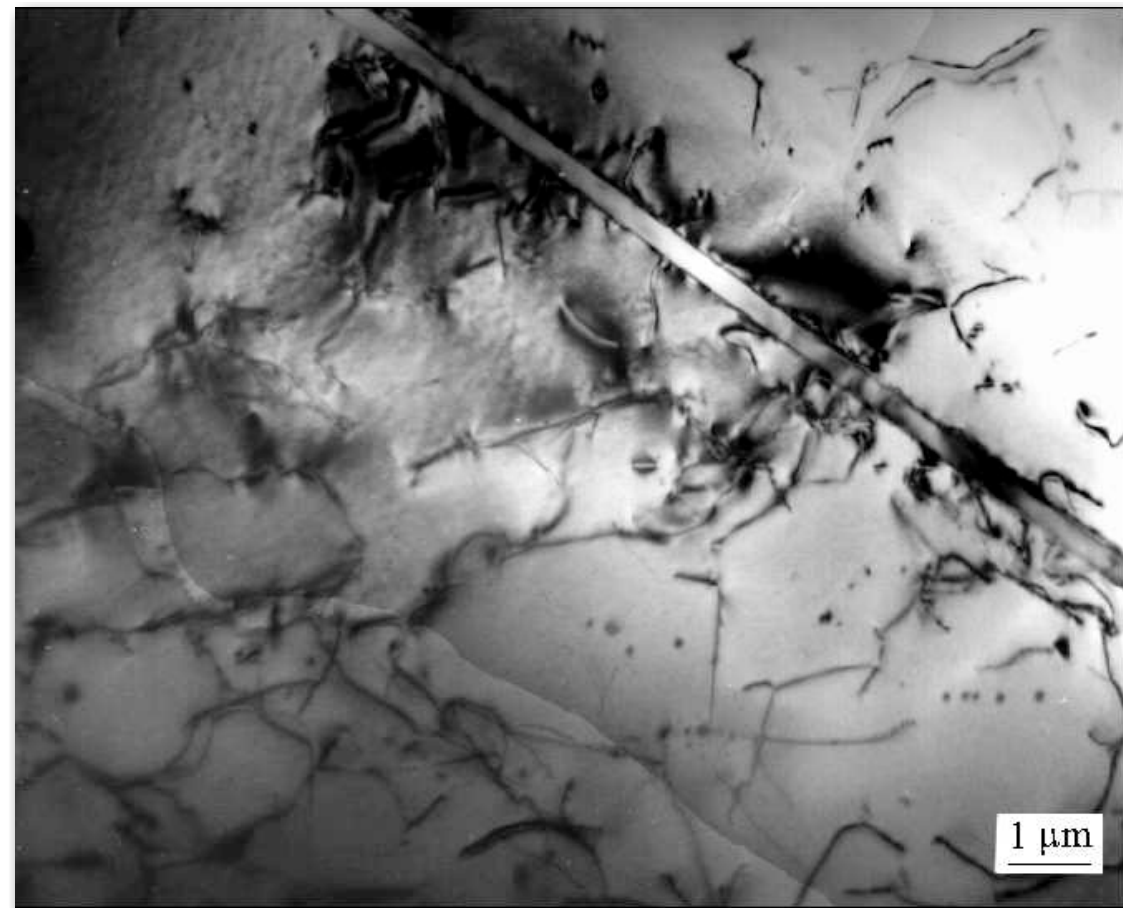
Probleme mit den
Nachbarn



grain boundaries



Korngrenzen
eine 'zusätzliche Phase'



recrystallization
&
recovery

dislocation climb

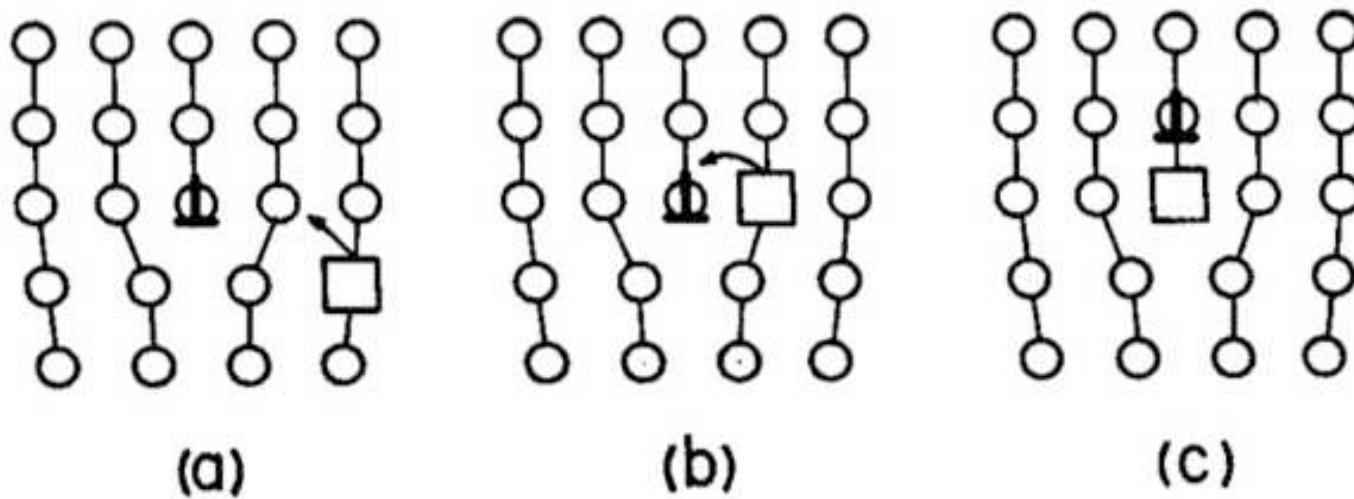
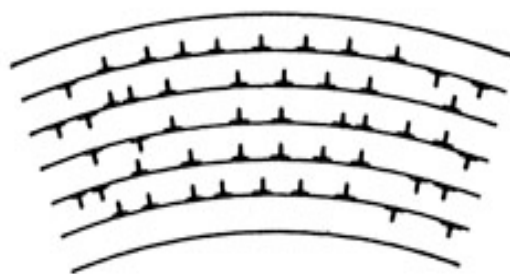


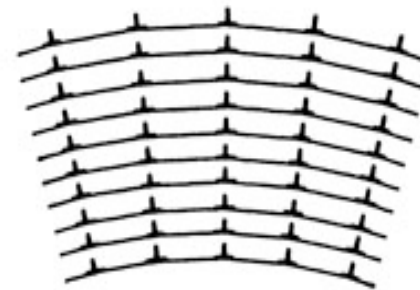
FIGURE 3–10. Dislocation climb.

Weertman & Weertman 1992

recovery

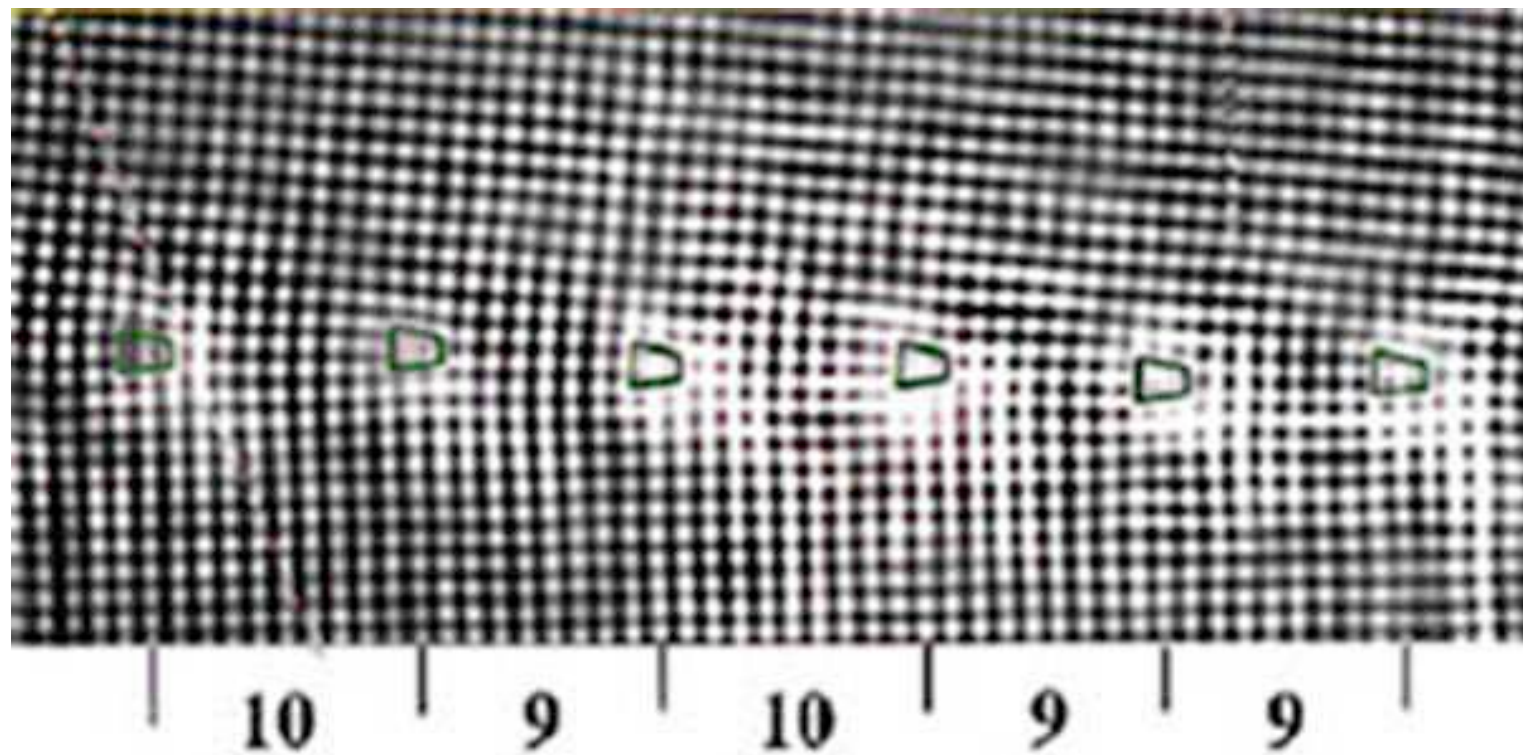


A.



B.

tilt boundaries



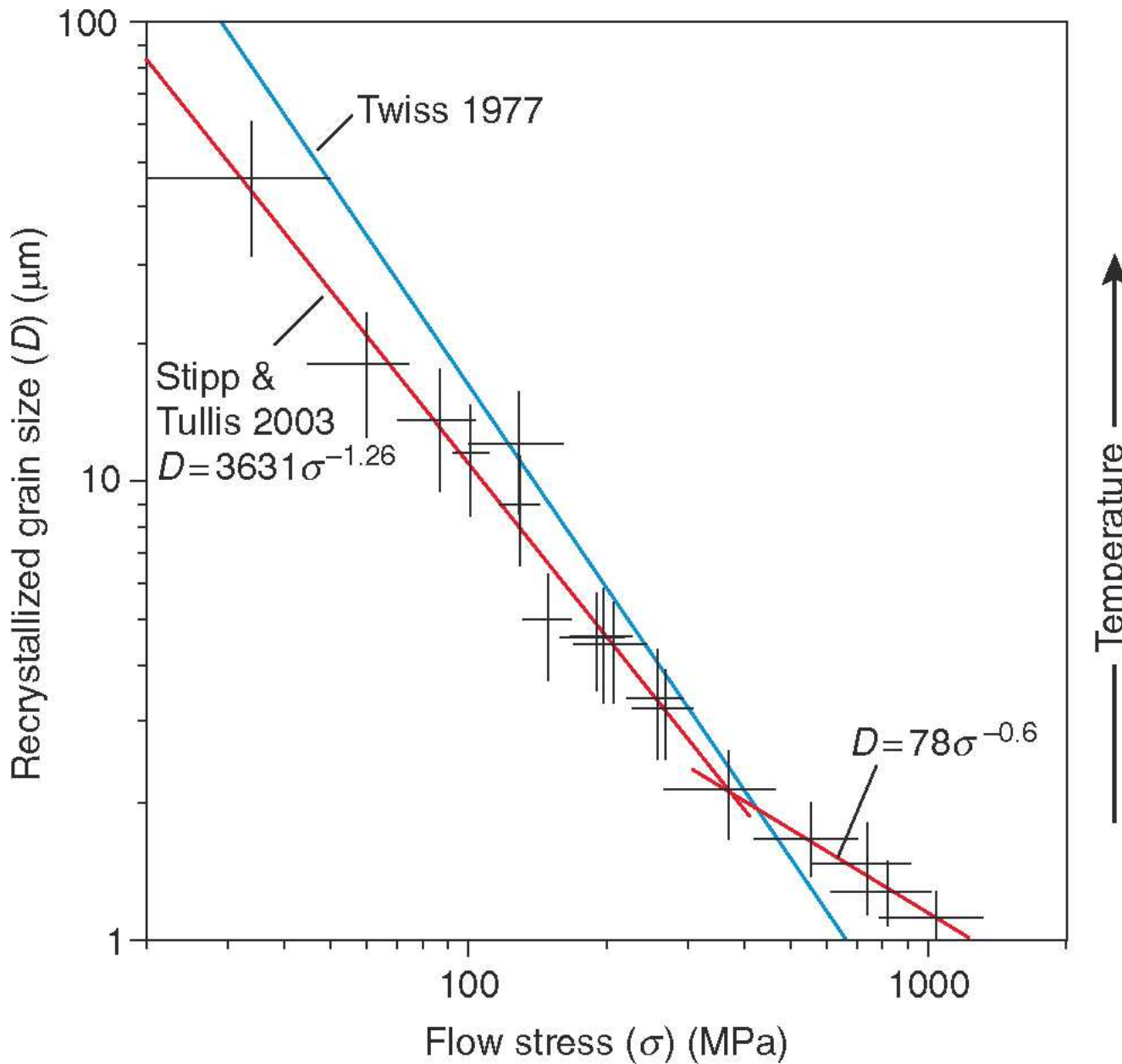
Subgrain boundaries in quartz



Grain boundary migration causes recrystallization
- driven by dislocation density difference

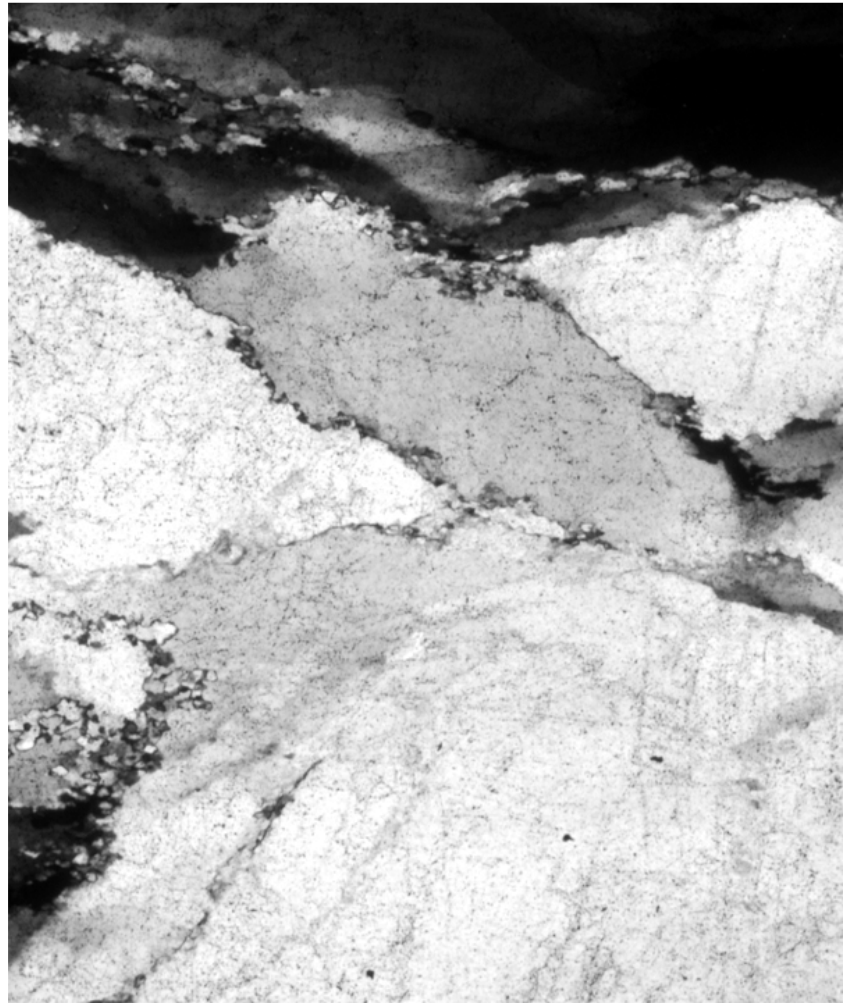


Paläo-Piezometer



deformation mechanisms

microstructures

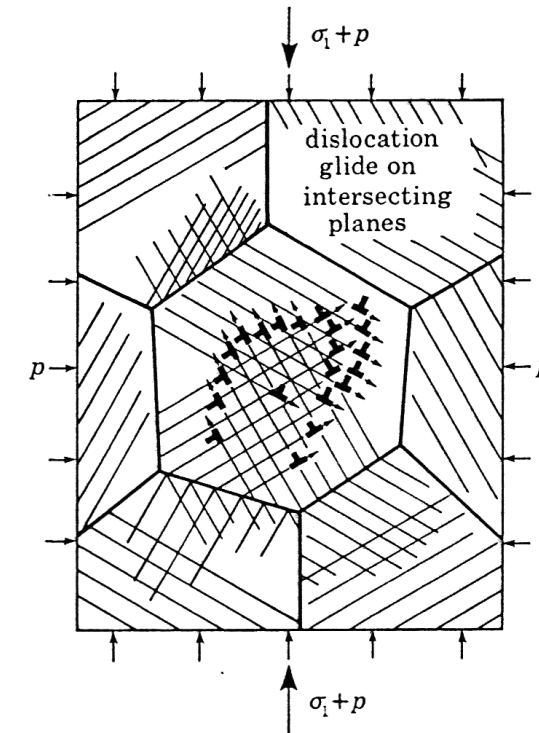


— 100 μm

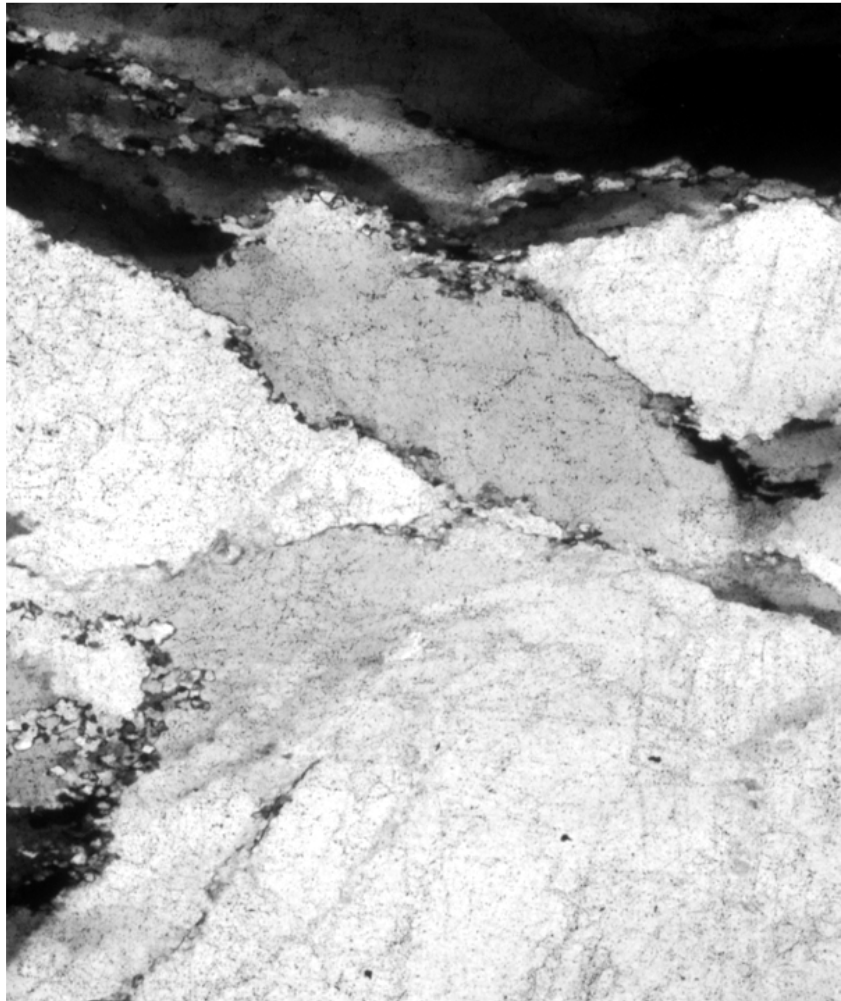
Stavel quartzite

intracrystalline plasticity

dislocation glide



microstructures

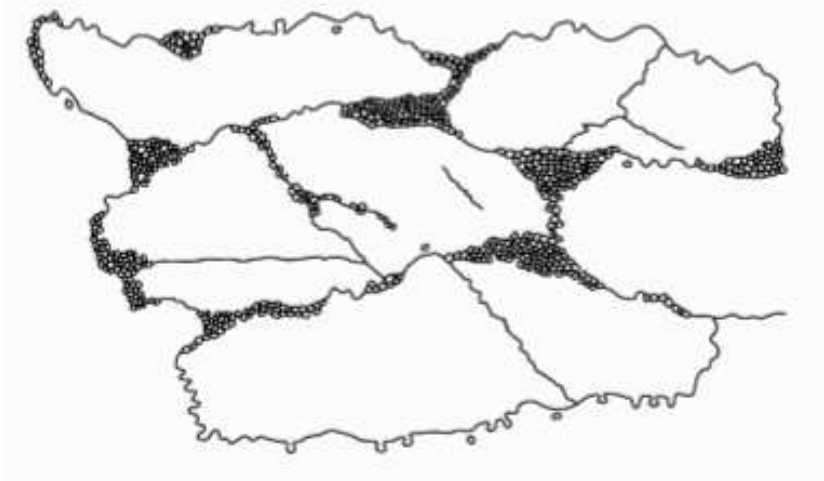


— 100 µm

Stavel quartzite

bulging
recrystallization

dislocation creep



microstructures



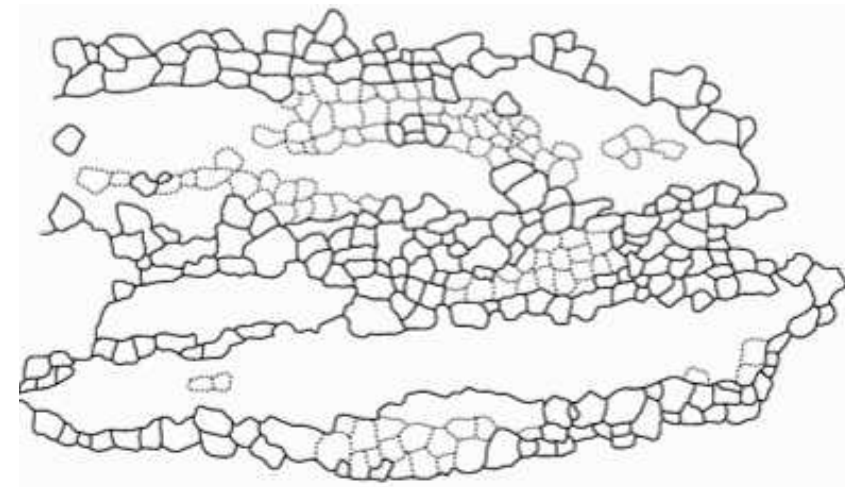
—

100 µm

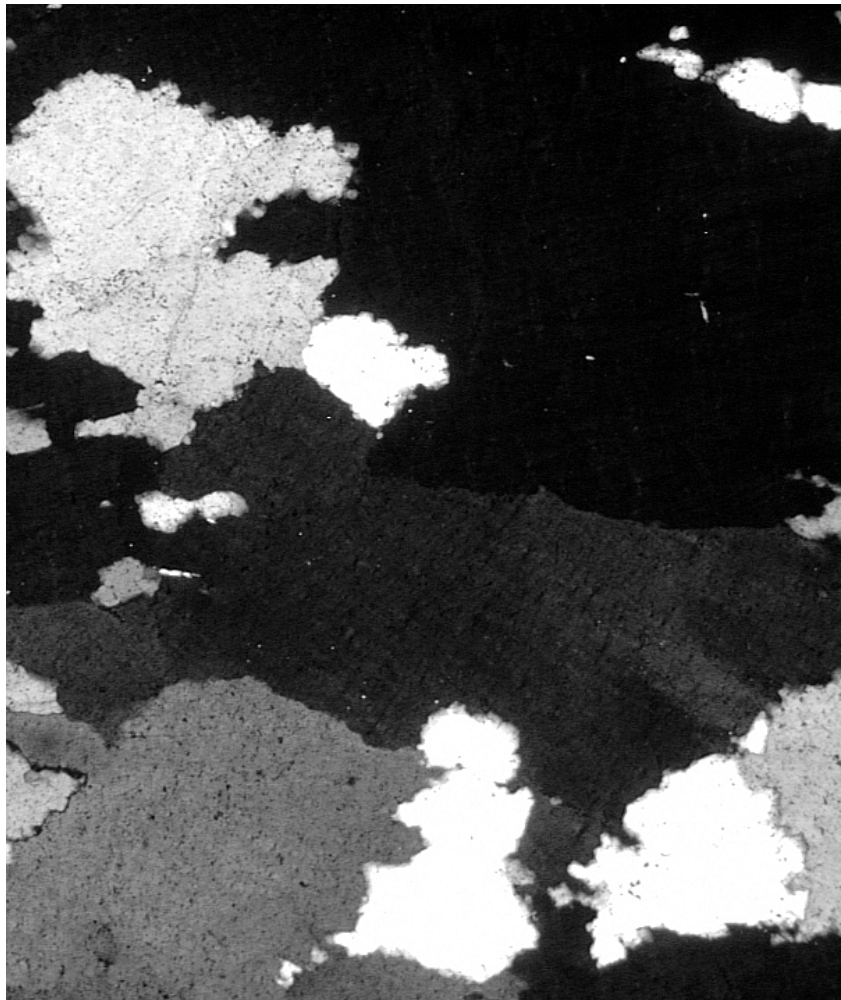
Stavel quartzite

subgrain rotation
recrystallization

dislocation creep



microstructures



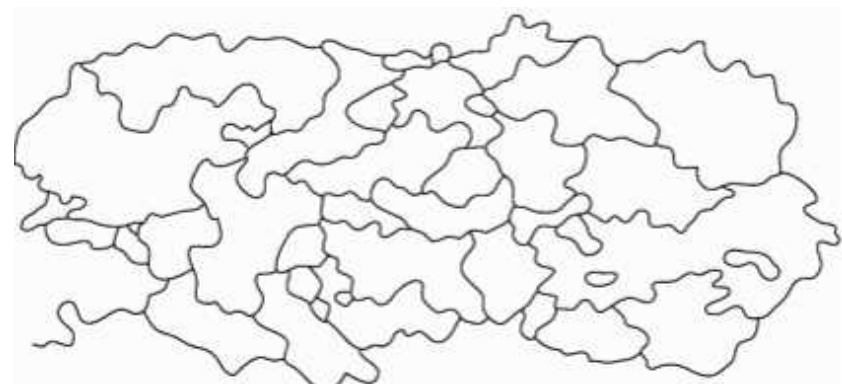
—

100 µm

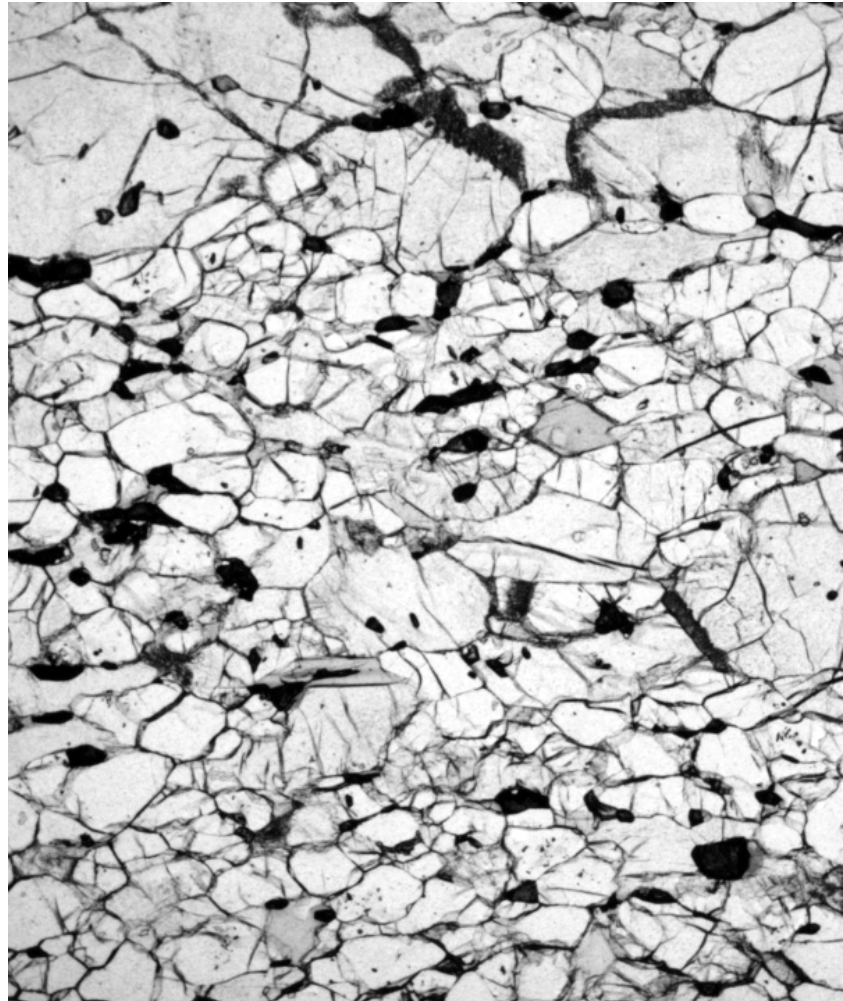
Stavel quartzite

grain boundary migration
recrystallization

dislocation creep



microstructures

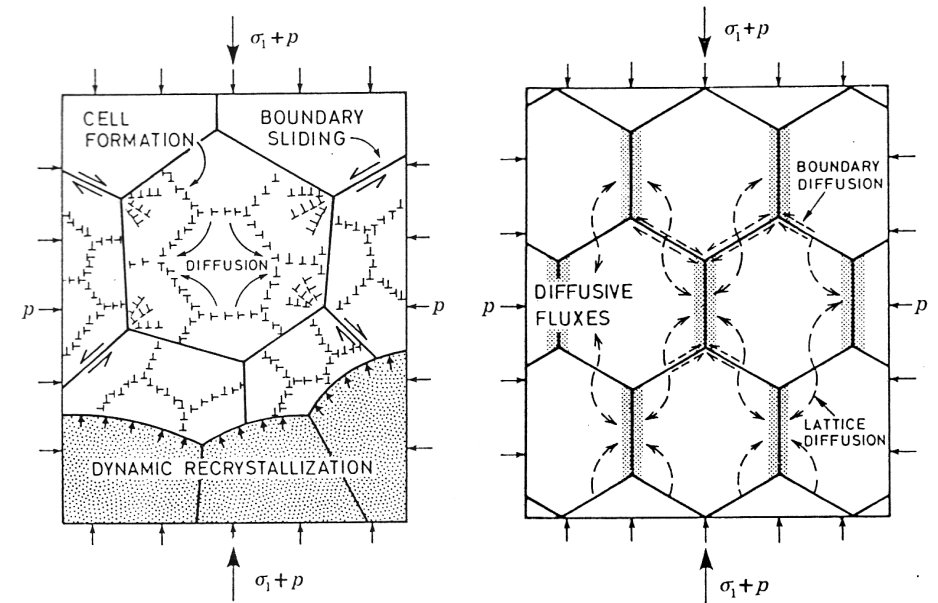


500 μm

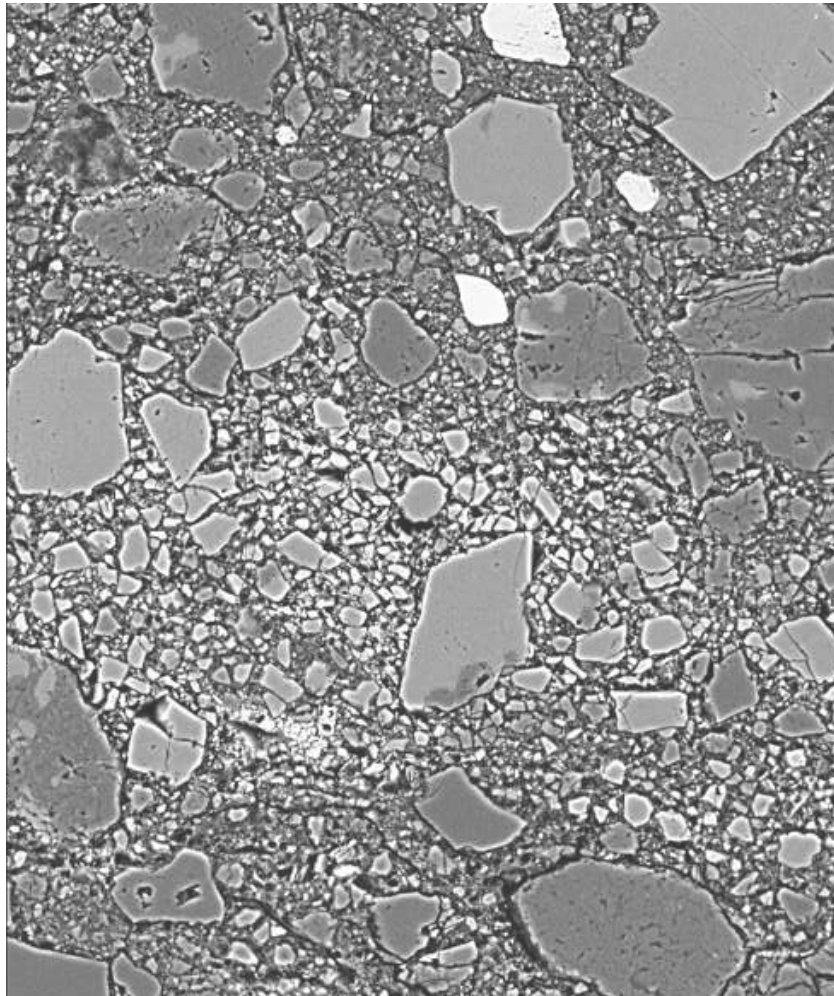
Meluzina ecolite

grain boundary sliding
bulk diffusion
boundary diffusion

diffusion creep



microstructures

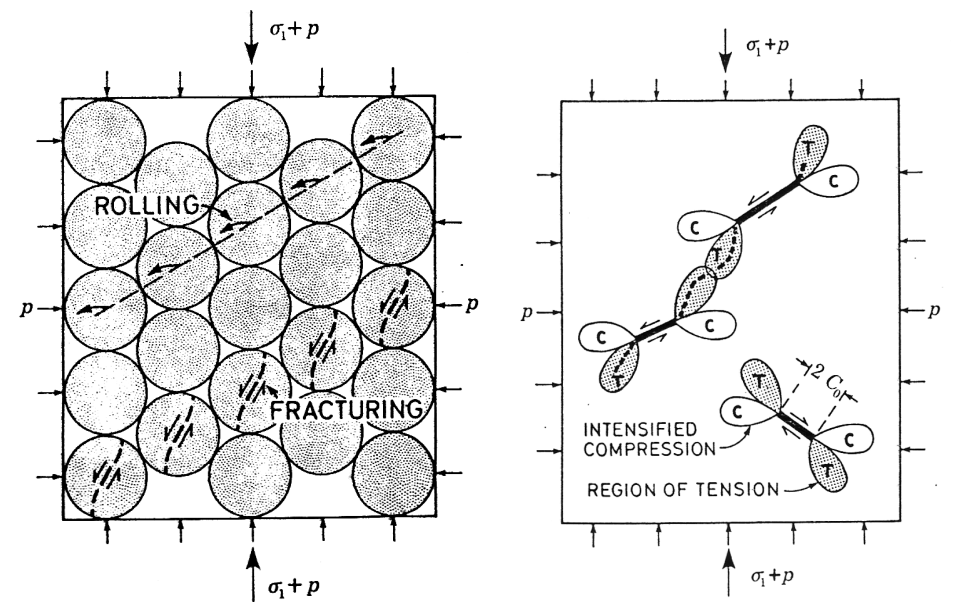


Nojima fault rock

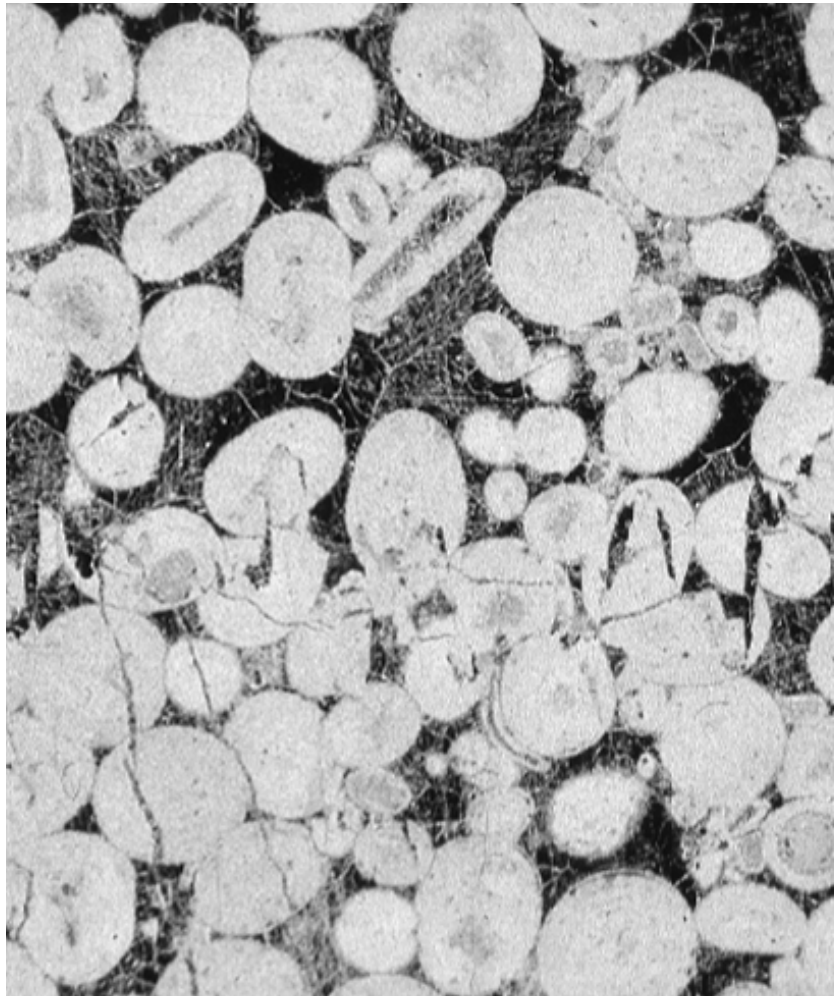
500 μm

rolling
fracturing

granular flow
(diffusion creep)



microstructures

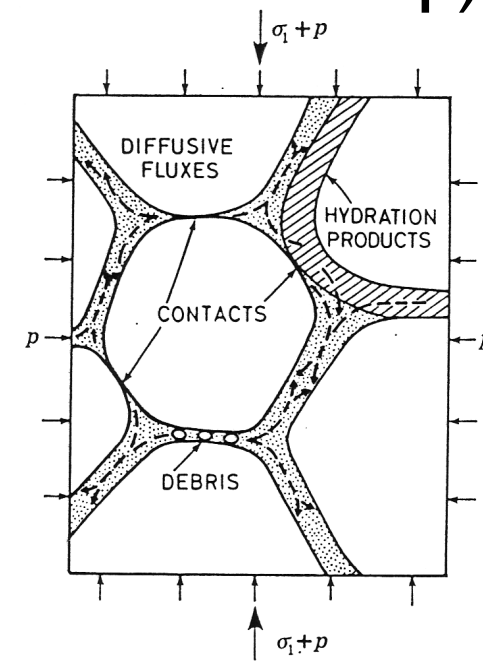


1 mm

Oolithic limestone

solution - diffusion -
precipitation

pressure solution
(diffusion creep)



micromechanical
models

intracrystalline plasticity

grain boundary sliding

Nabarro Herring /Coble

cataclastic flow

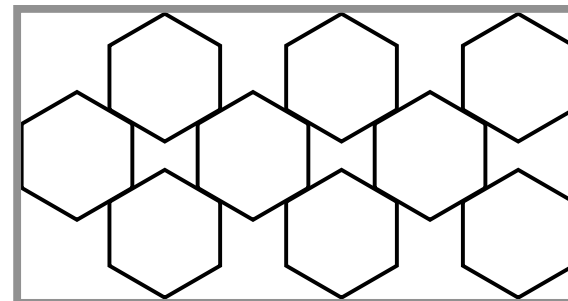
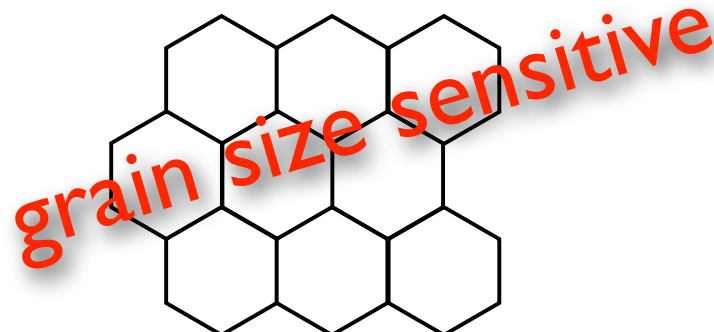
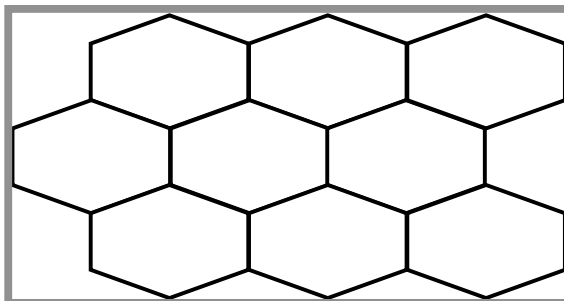
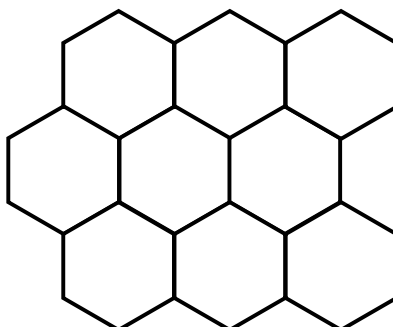
micromechanical models

intracrystalline plasticity
dislocation glide
(facilitated by:)

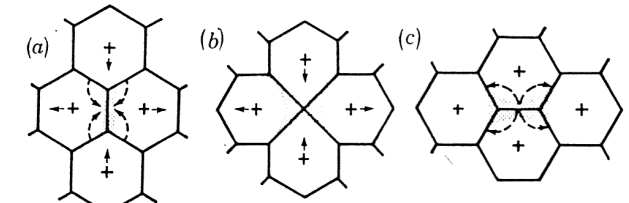
granular flow
grain boundary sliding
pressure solution

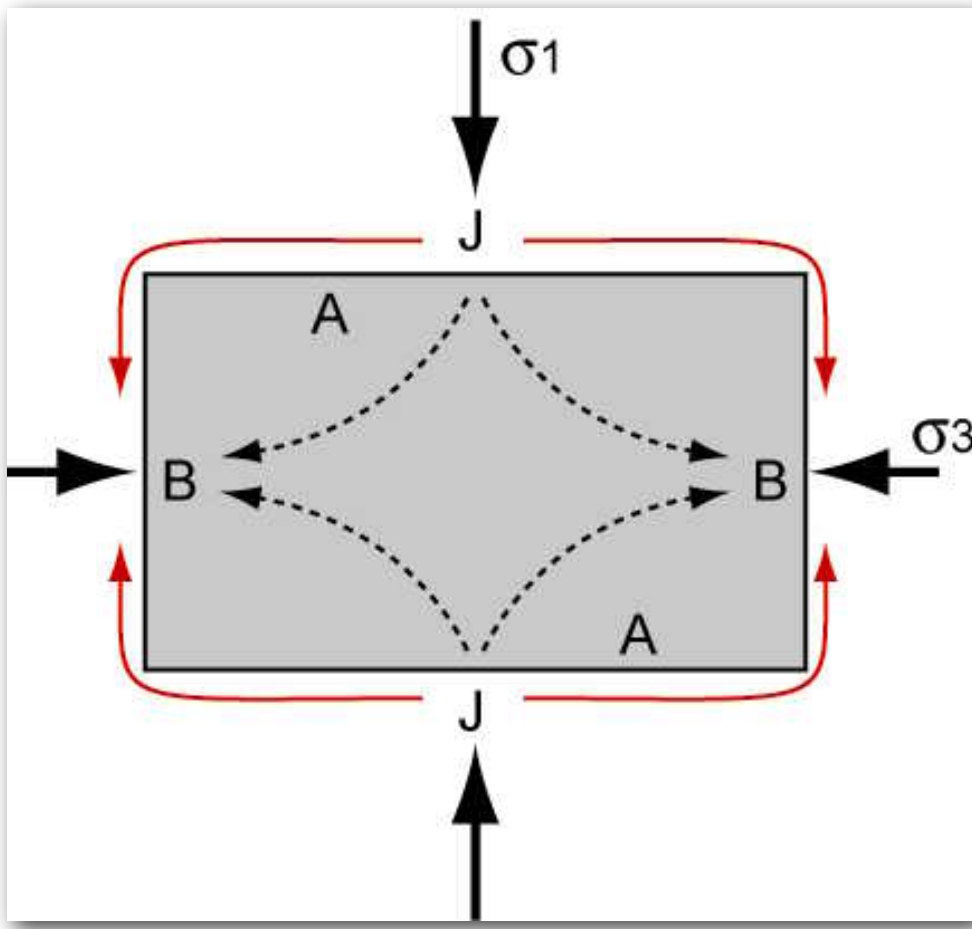
dislocation creep

diffusion creep



neighbor switching





Nabarro-Herring
Creep



Coble Creep

- Grain-scale diffusive mass transfer
- Grain-scale pressure solution

$$\dot{\varepsilon} = A \frac{\sigma^n}{d^p} \exp\left(-\frac{Q}{RT}\right)$$

ε' = strain rate

A = constant

σ = differential stress

n = stress exponent

d = grain size

p = grain size exponent

Q = activation energy

T = temperature

R = gas constant

Dislocation Creep:

n = 3 - 5

p = 0

→ grain size insensitive !

Diffusion Creep:

n = 1 - 2

p = 2 - 3

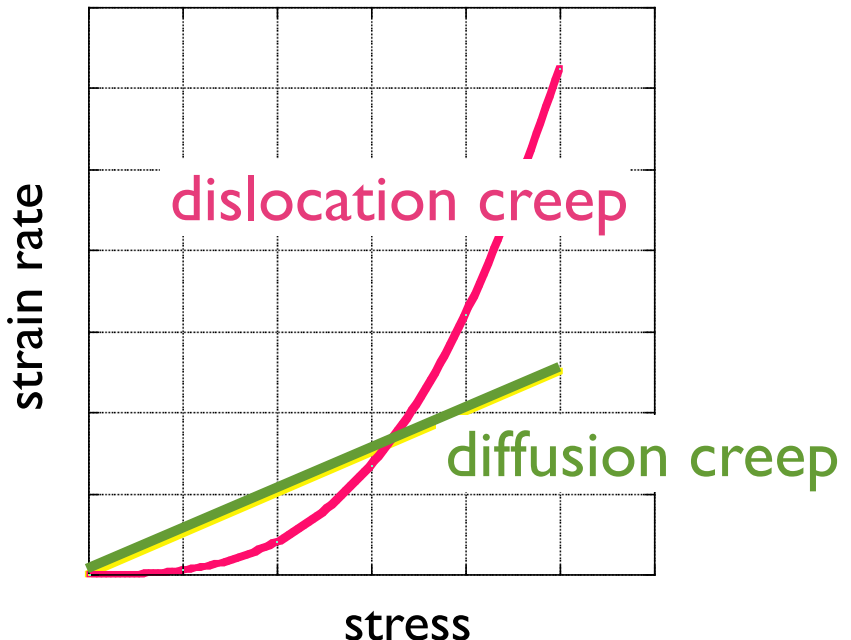
→ grain size sensitive !

Dislocation Creep: (Crystal Plastic Deformation)

$$\text{Strain rate} = A \sigma^n e^{-(Q/RT)}$$

$$n = 3 - 5$$

grain size insensitive !



Diffusion Creep: (Granular Flow, Grain boundary Sliding)

$$\text{Strain rate} = A \sigma^n \cdot d^{-p} e^{-(Q/RT)}$$

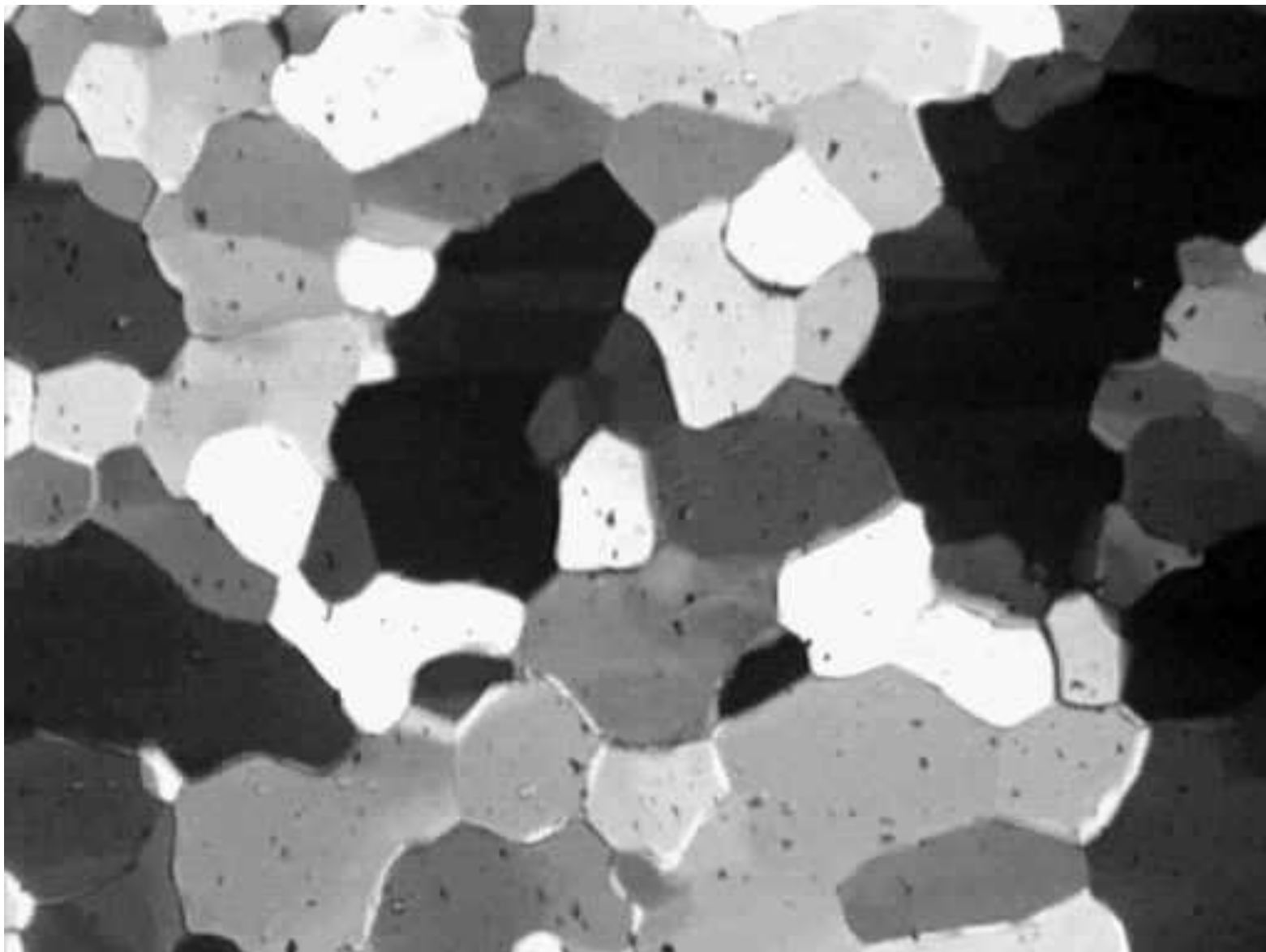
$$n = 1 - 2$$

$$p = 2 - 3$$

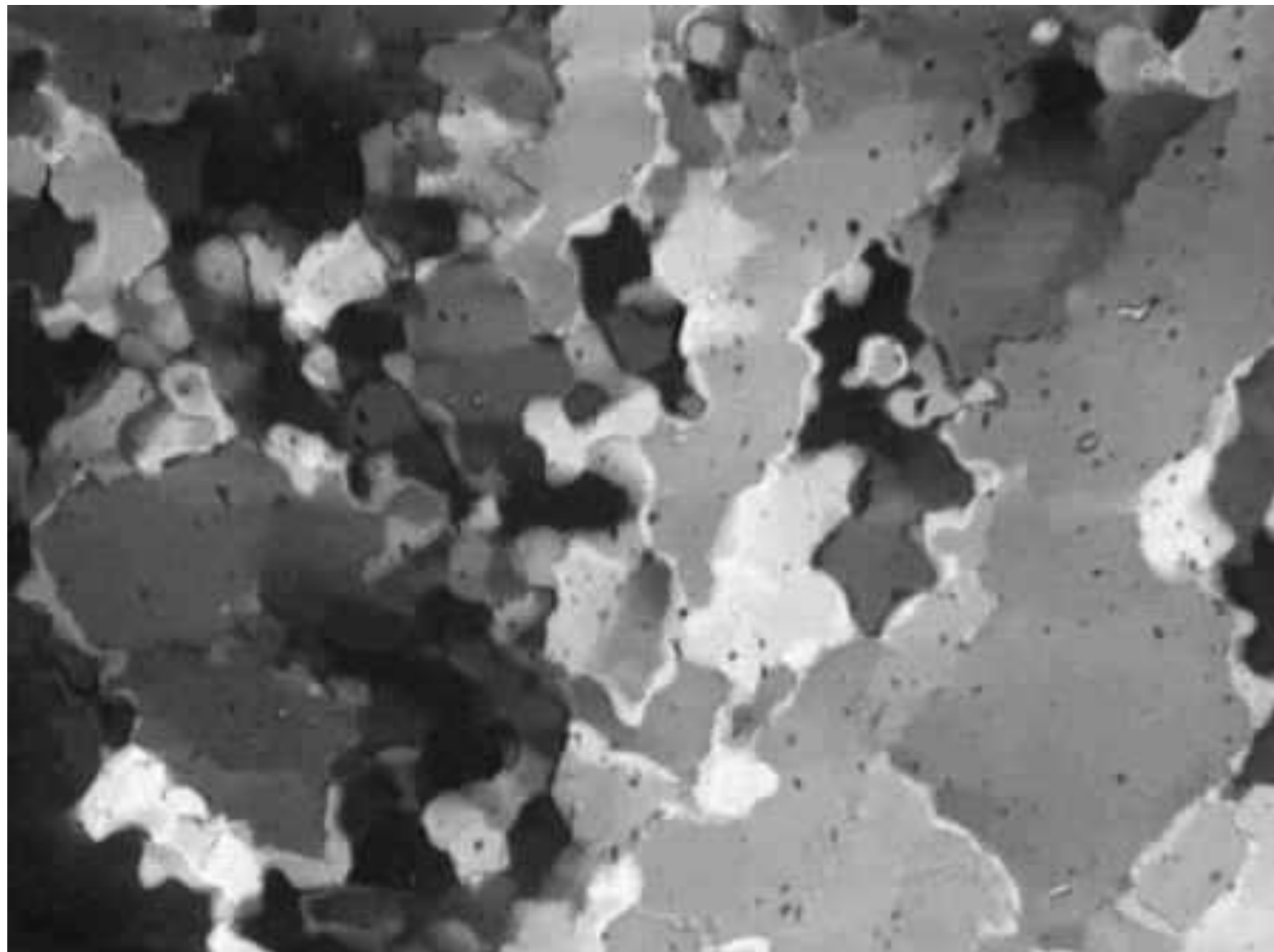
grain size sensitive !

from flow laws to
deformation
mechanism maps

dynamic recrystallization OCP

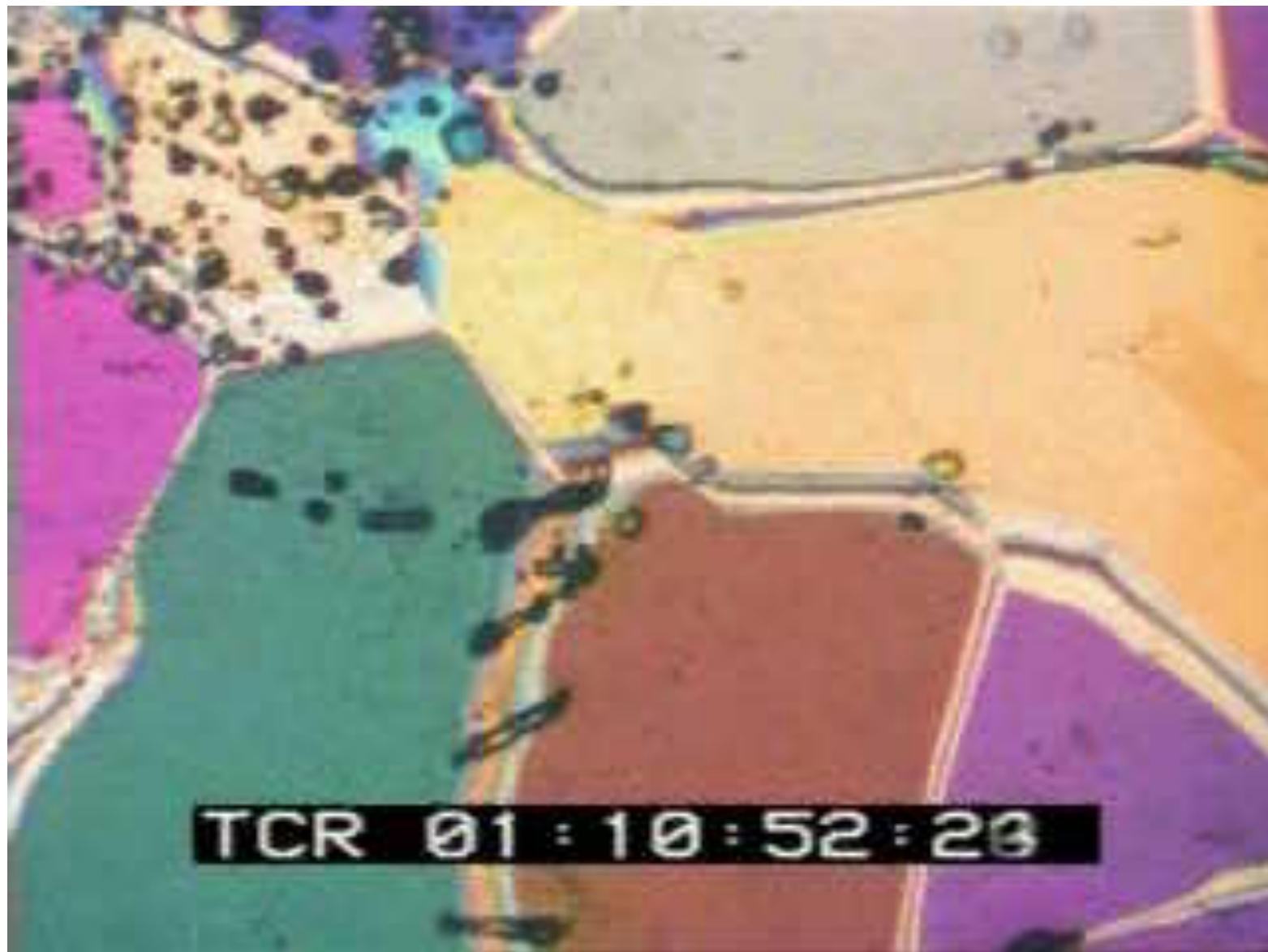


static recrystallization OCP



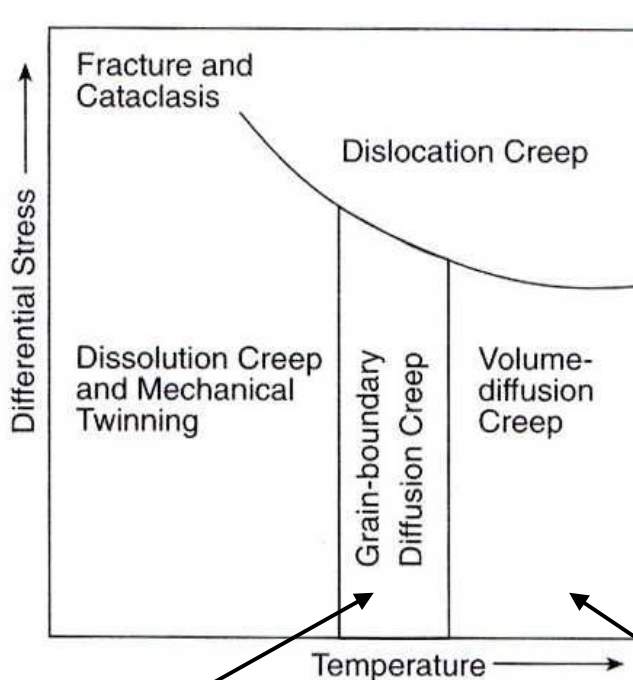
(annealing)

dynamic recryst. in polycrystalline ice

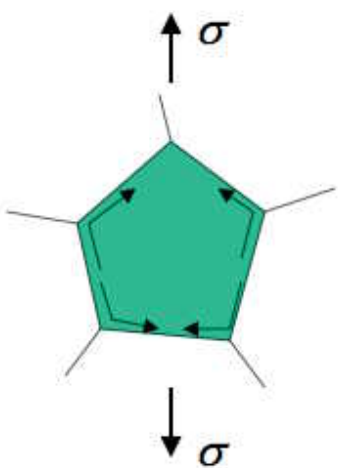


grain boundary migration, kinking

Deformation Mechanism Map

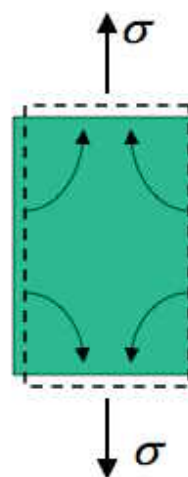


Davis and Reynolds, Structural
Geology of Rocks and Regions, 1996.



Coble creep

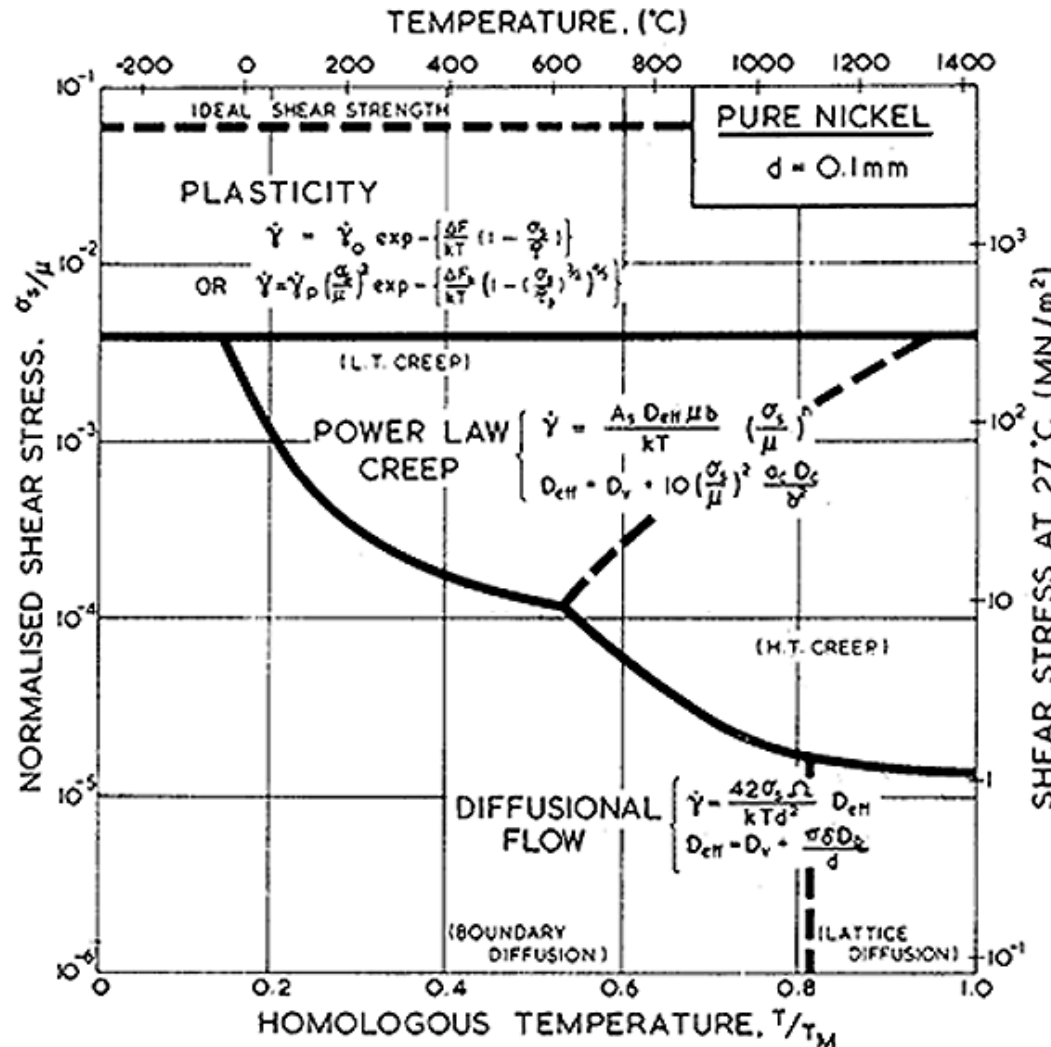
$$\dot{\varepsilon}_C = A \frac{\delta D_{GB}}{d^3} \frac{\sigma \Omega}{kT}$$



Nabarro-Herring creep

$$\dot{\varepsilon}_{NH} = A \frac{D}{d^2} \frac{\sigma \Omega}{kT}$$

deformation mechanism maps - flow laws



ideal strength

plasticity

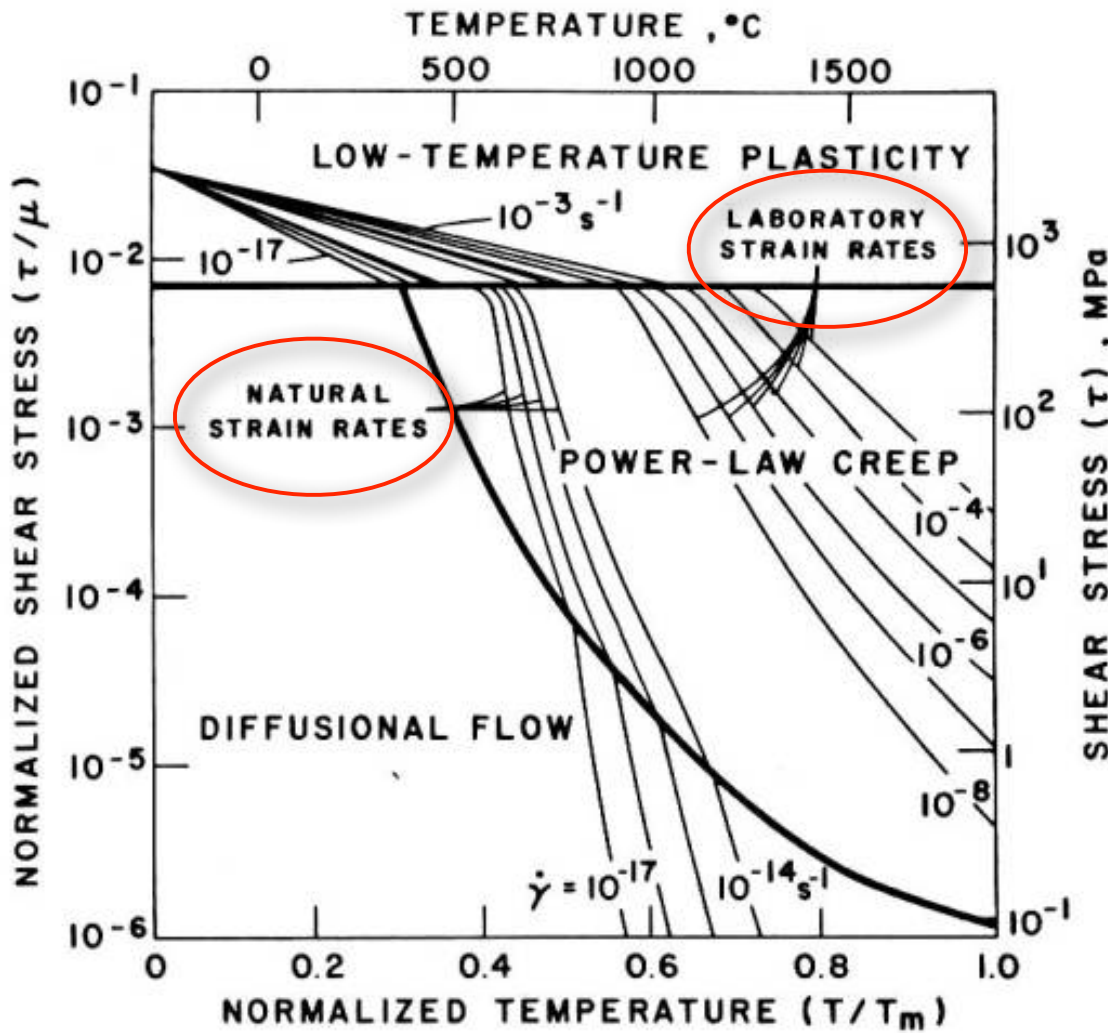
power law creep

low temperature
high temperature

diffusional flow

boundary diffusion
lattice diffusion

deformation mechanism maps - rheologies

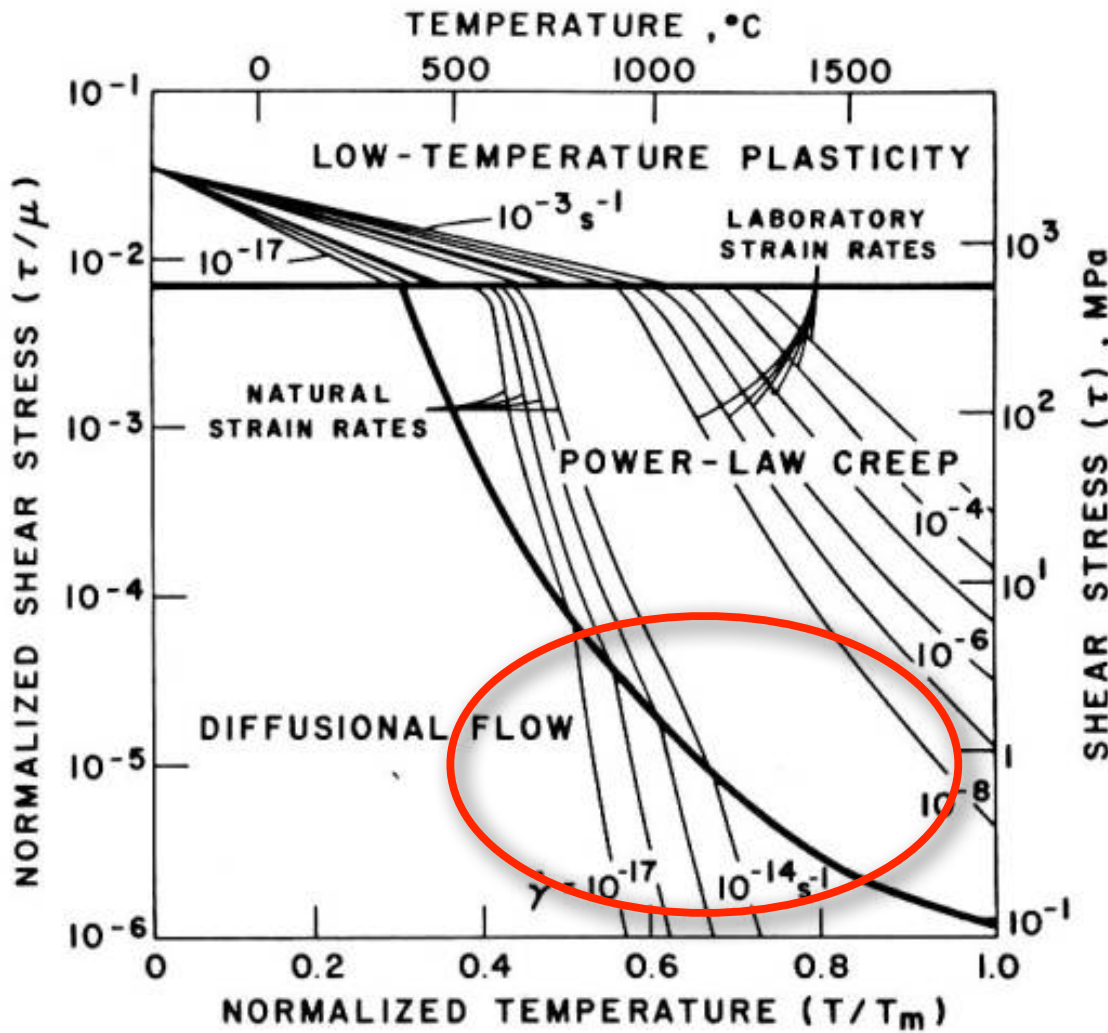


ideal strength
plasticity

power law creep
low temperature
high temperature

diffusional flow
boundary diffusion
lattice diffusion

deformation mechanism maps - regimes



fracture

dislocation glide

dislocation creep

low n

high n

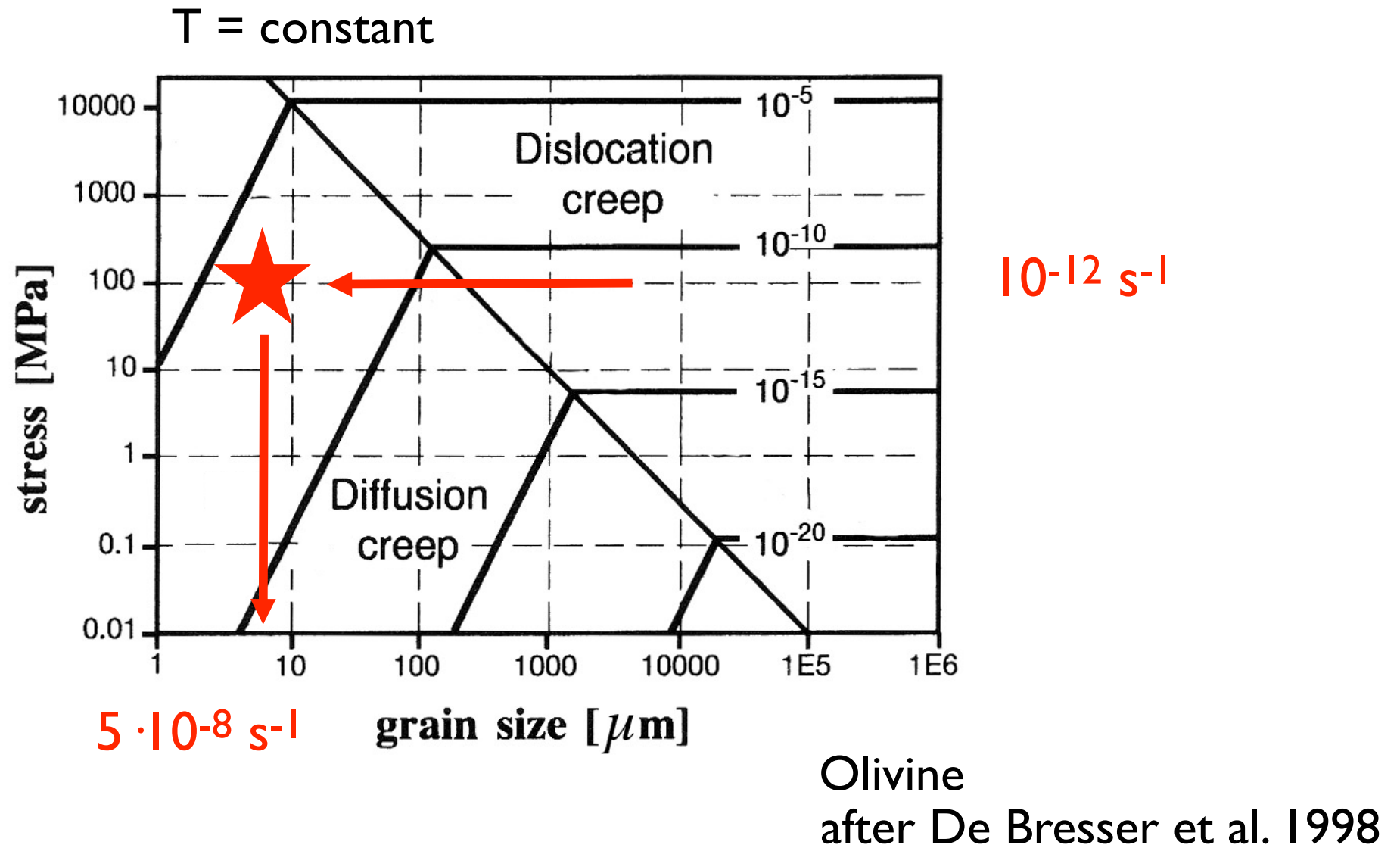
diffusion creep

boundary diffusion

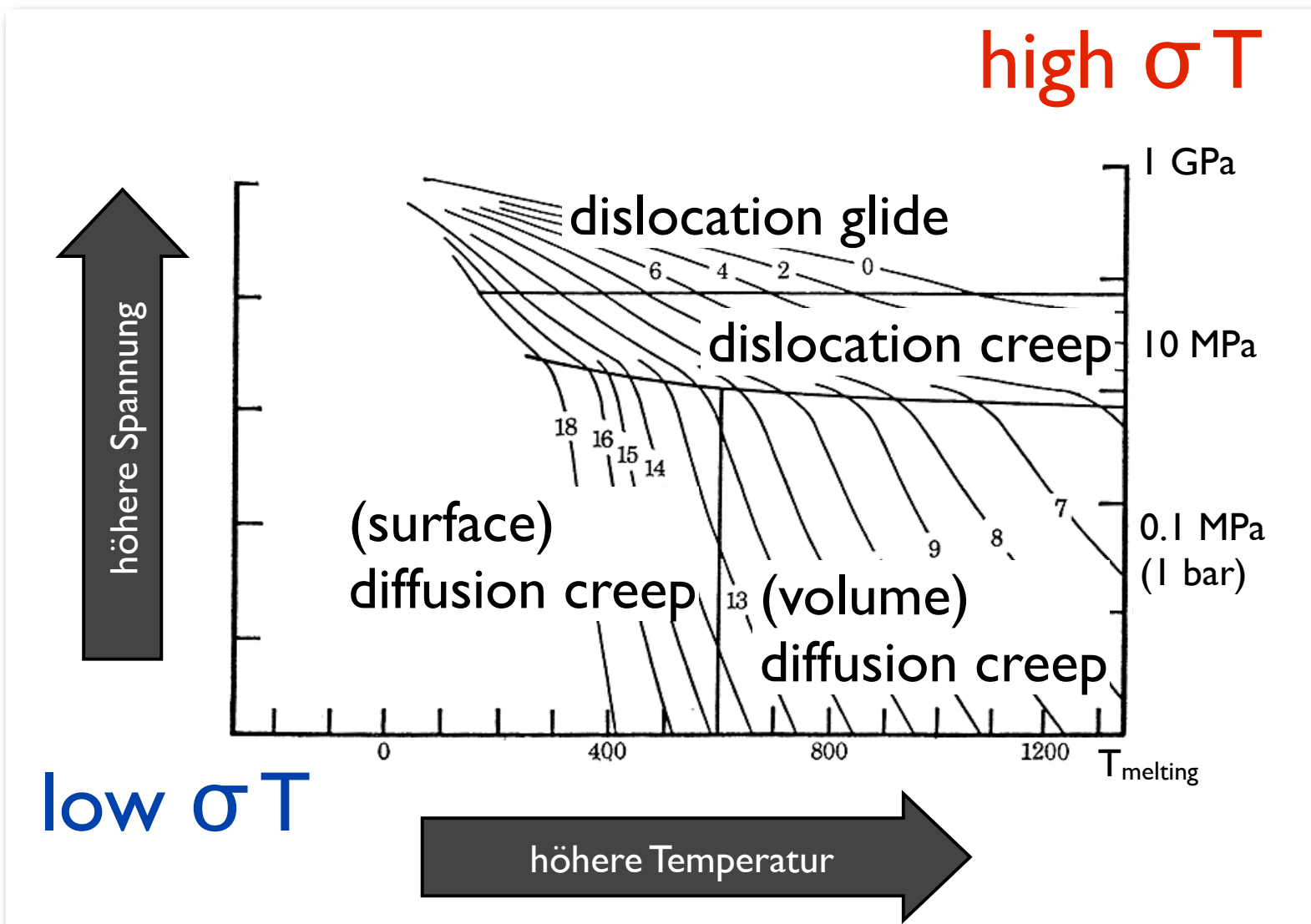
lattice diffusion

low stress - high T

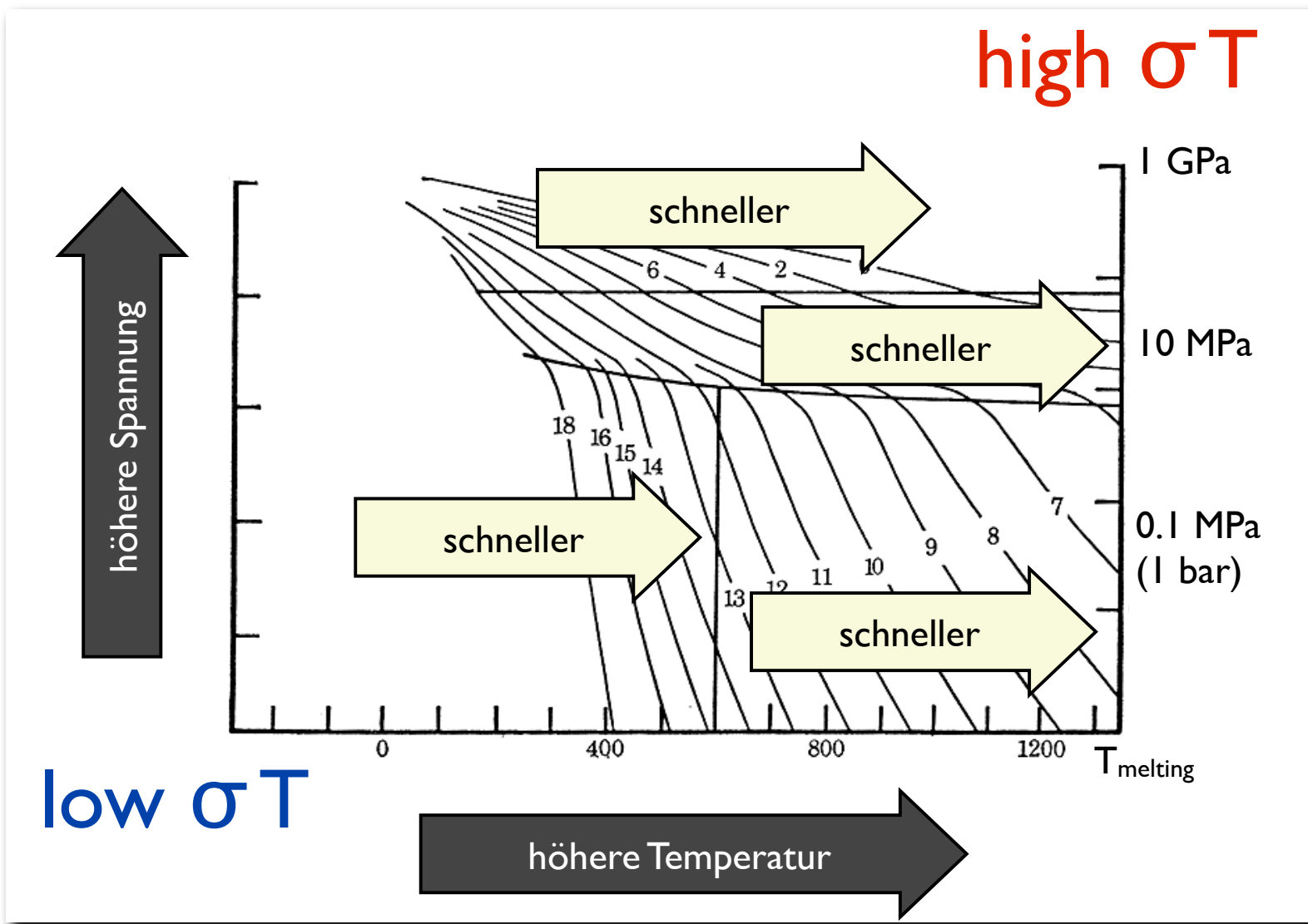
deformation mechanism maps - grain size

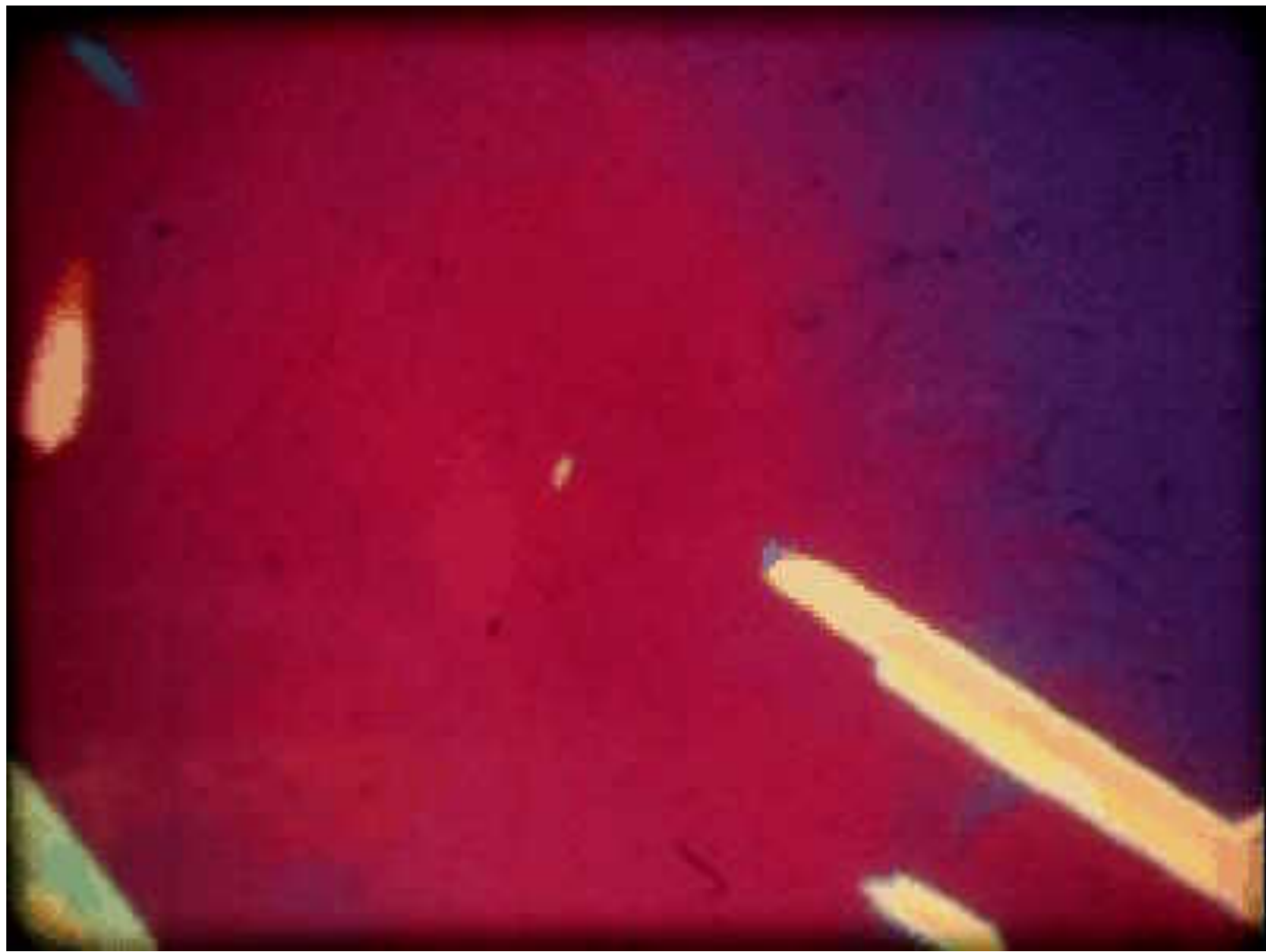


deformation mechanism map



deformation mechanism map

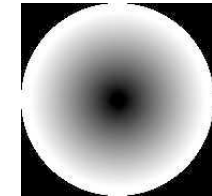
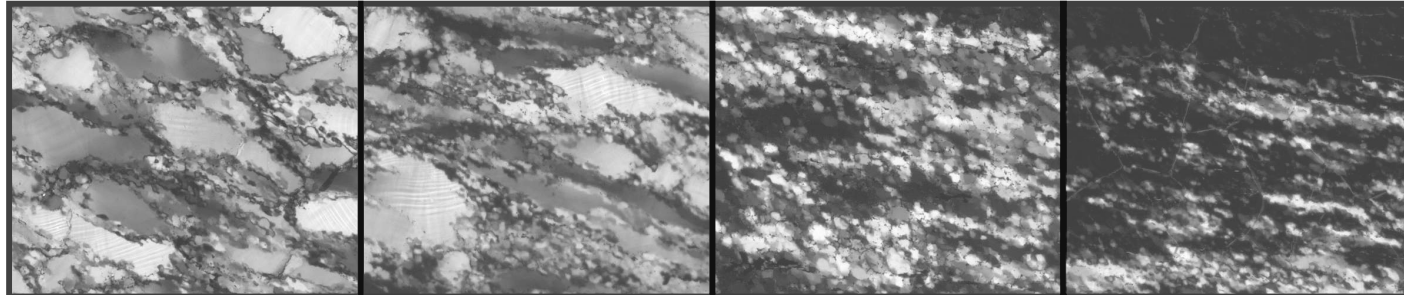




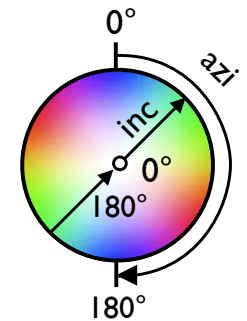
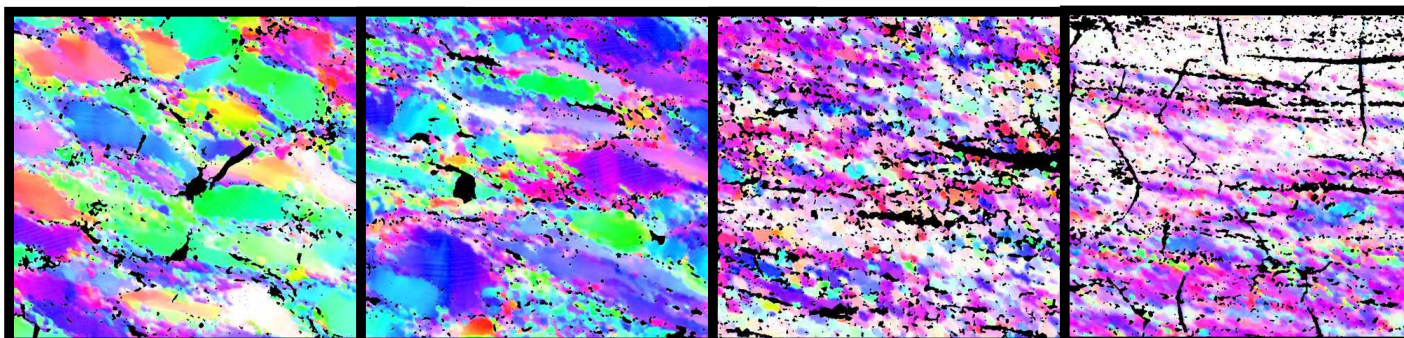
crystallographic preferred
orientation (CPO)
characteristic pole figures

pole figure development

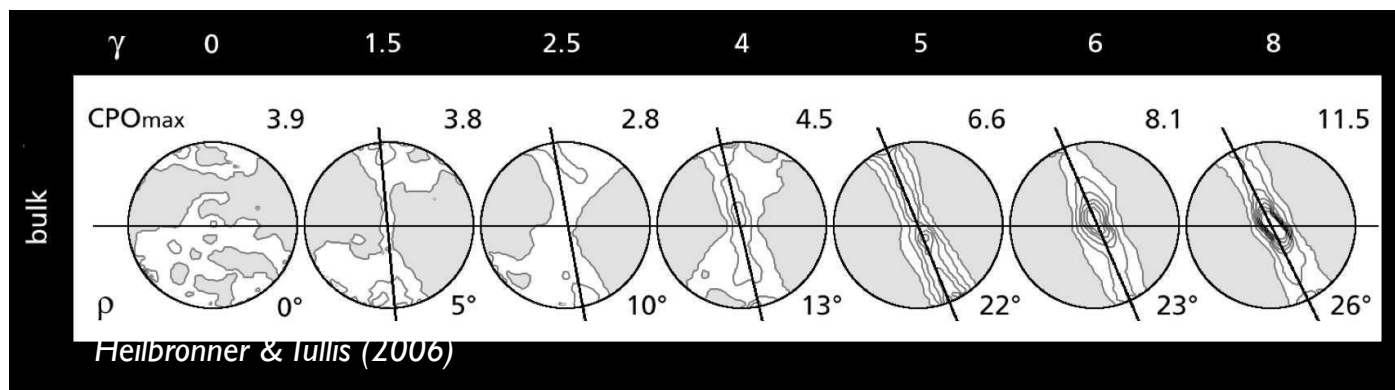
Dislocation creep regime 3



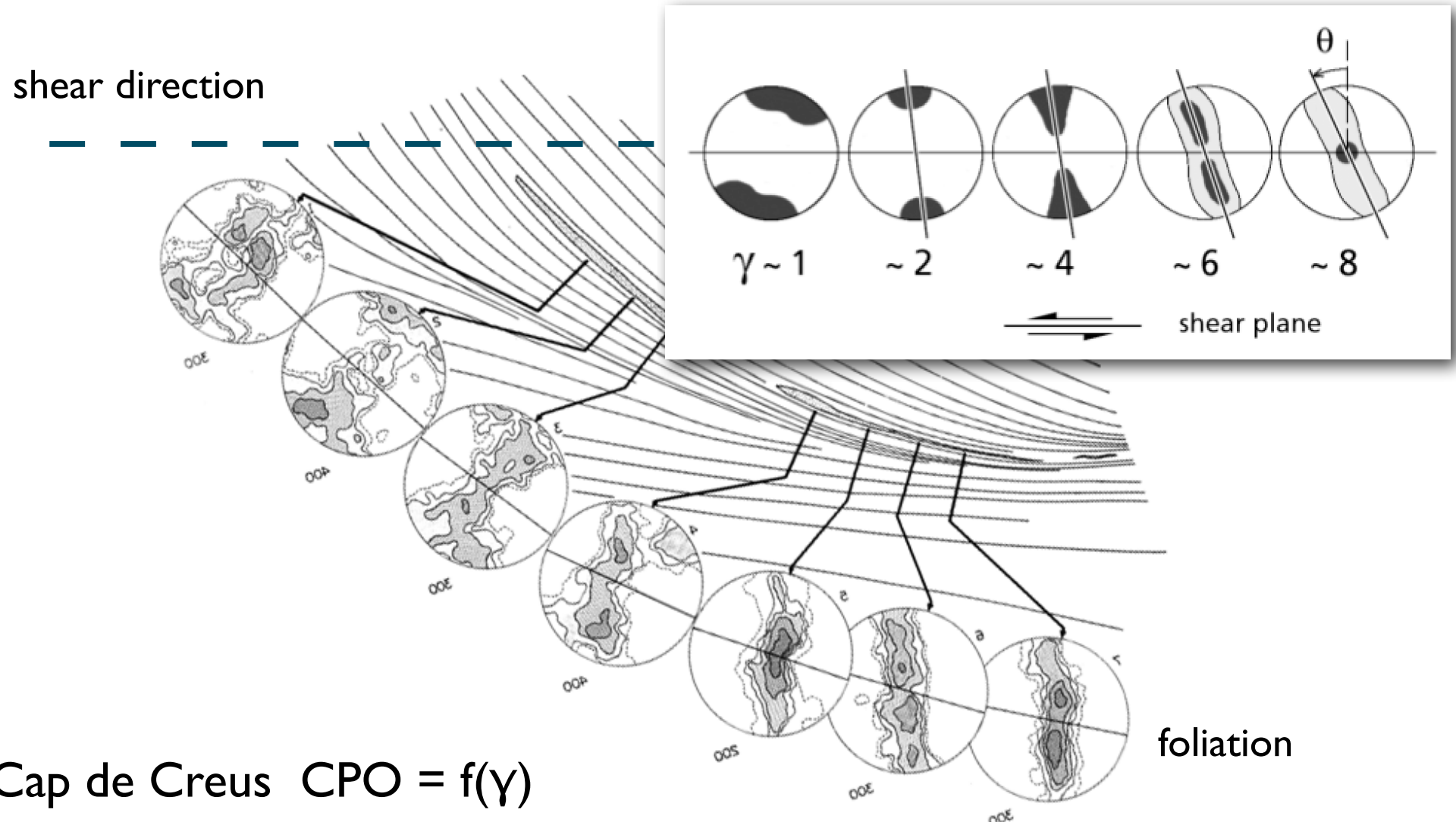
circular polarization



c-axis coloring

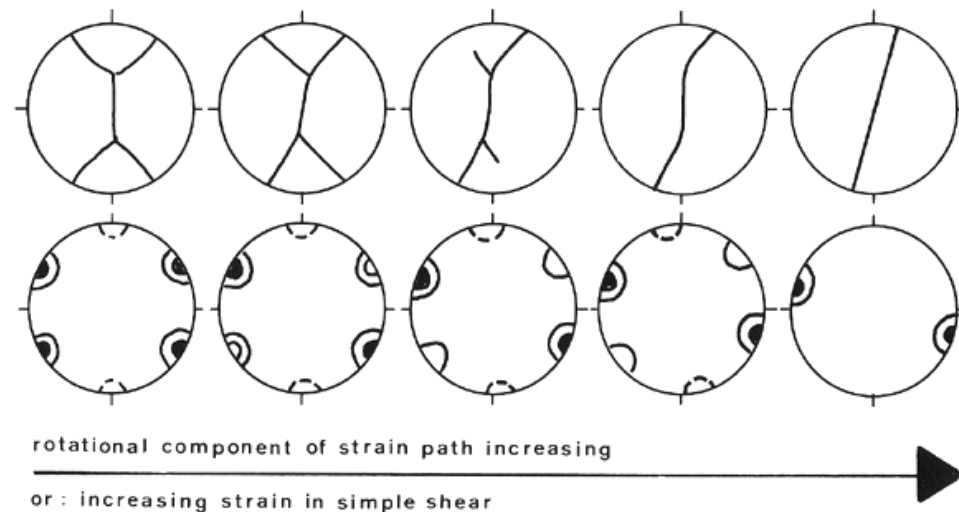


comparison nature - experiment

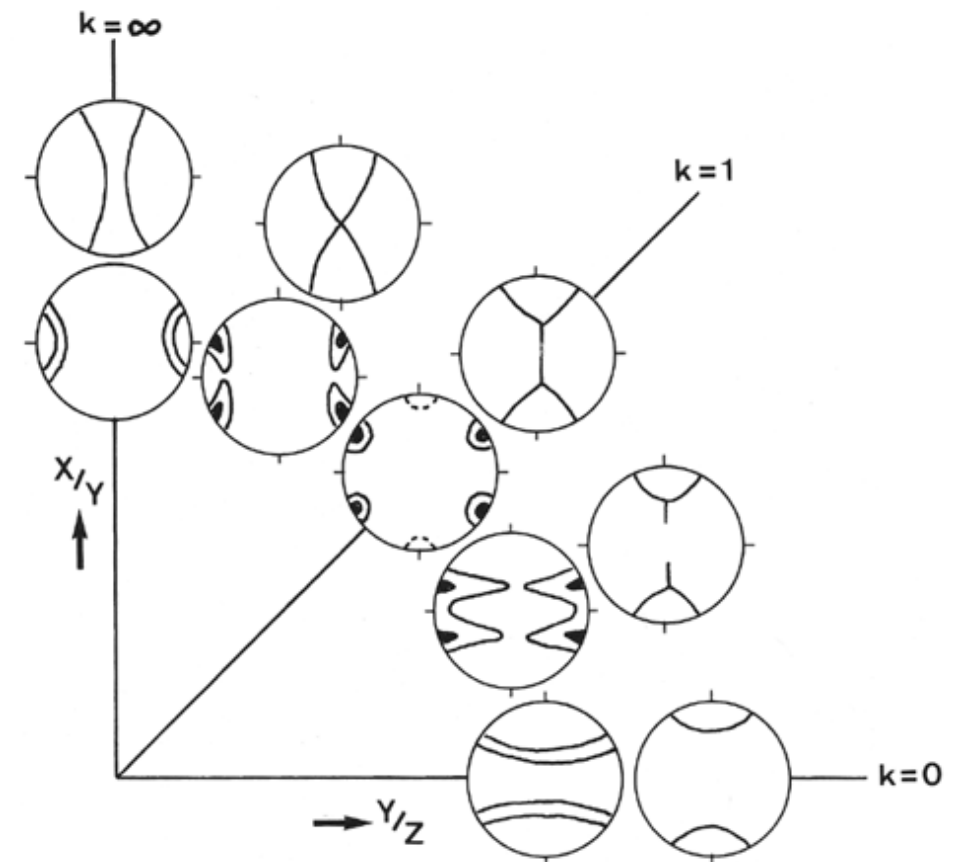


Cap de Creus CPO = $f(\gamma)$
(Garcia Celma, 1982)
(Carreras & Garcia Celma, 1982)

use texture to quantify dislocation creep



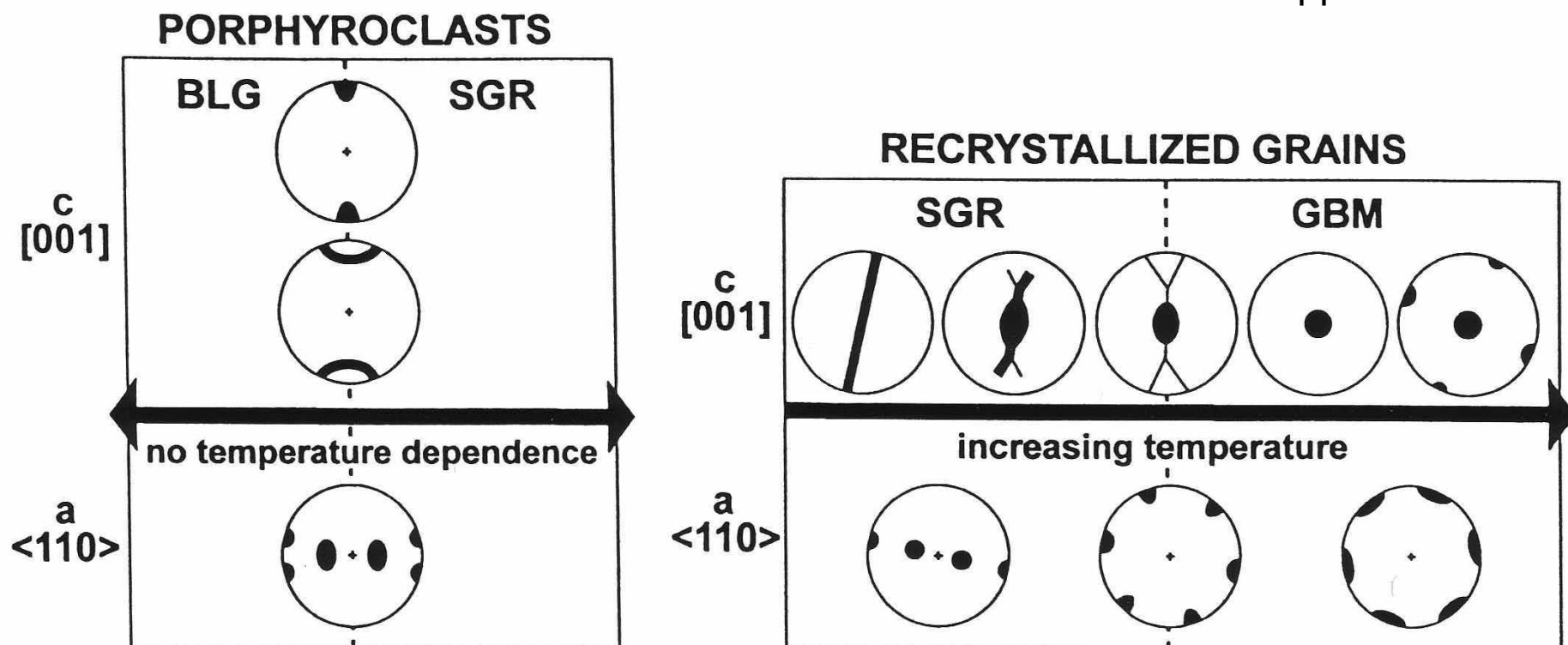
coaxial - shear



prolate - oblate

use texture to quantify dislocation creep

Stipp et al 2002

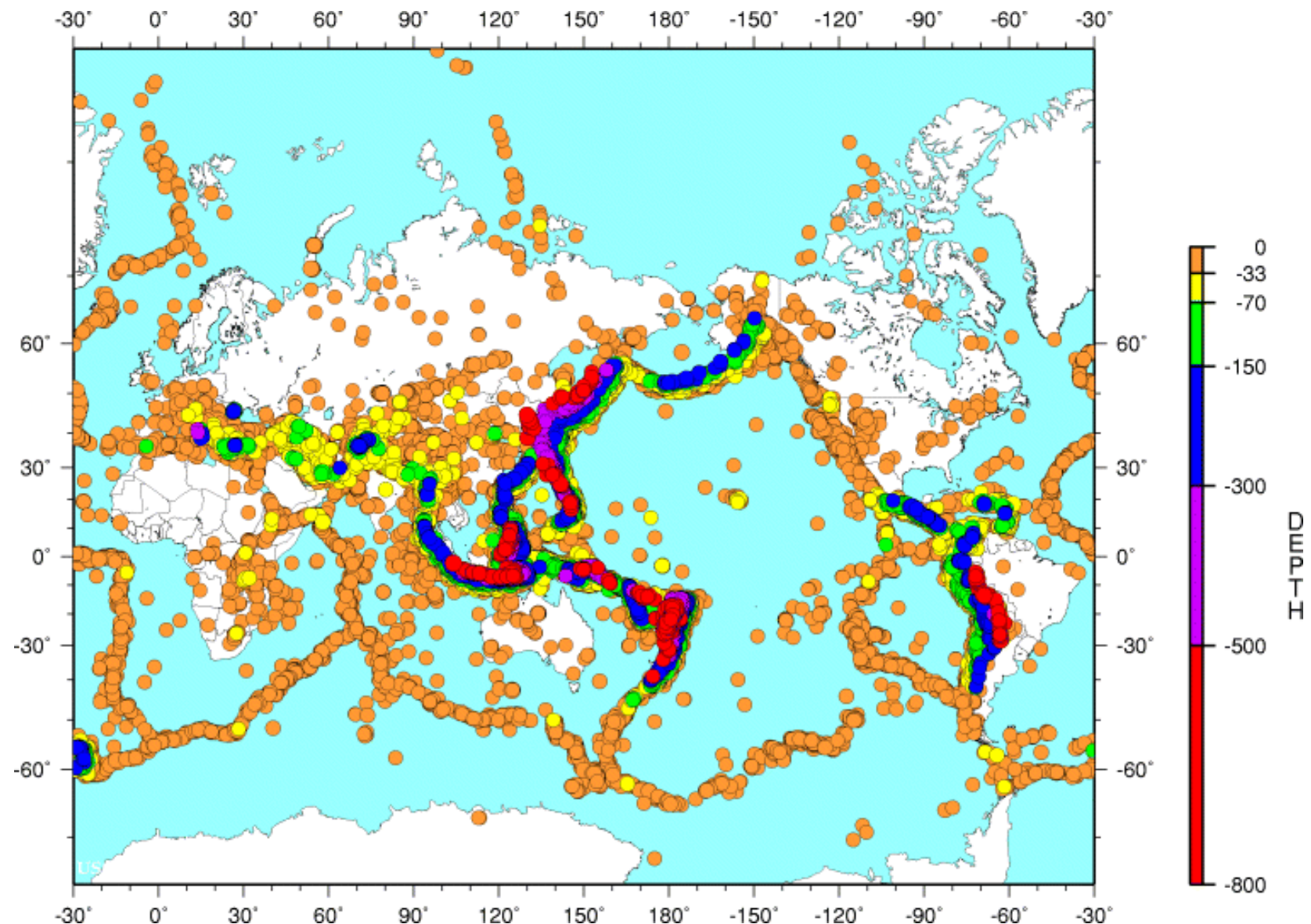


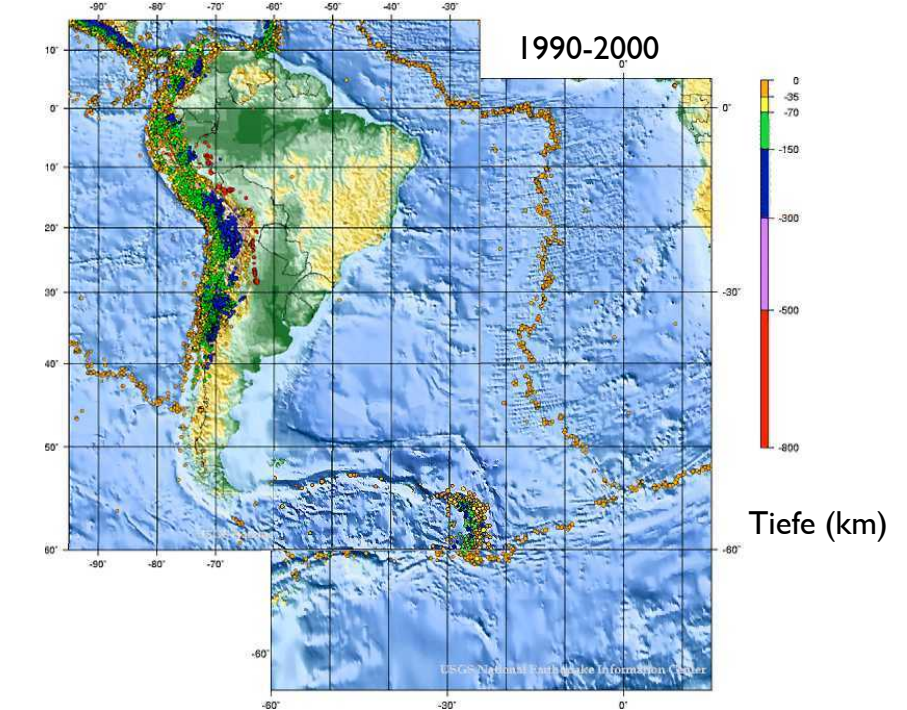
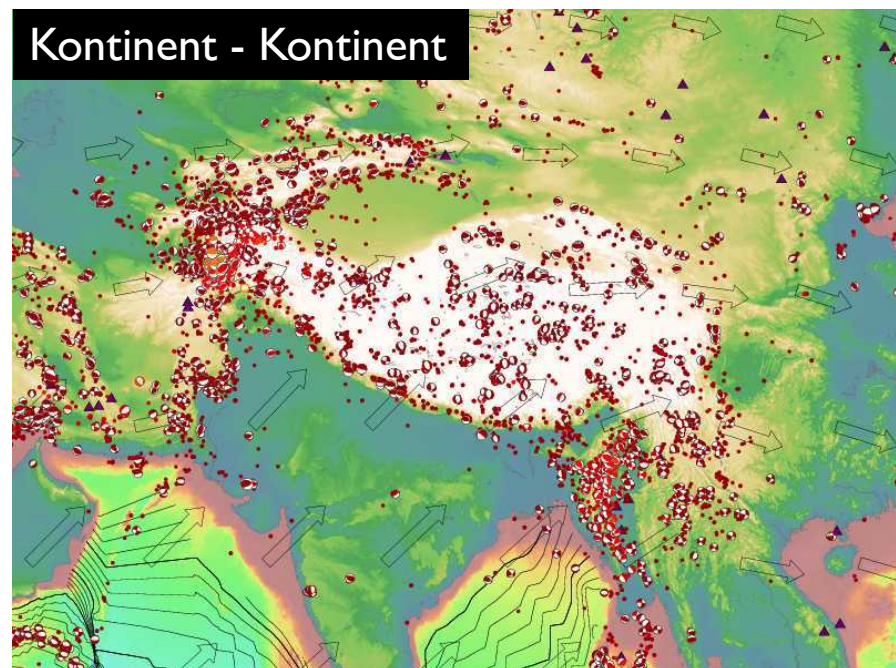
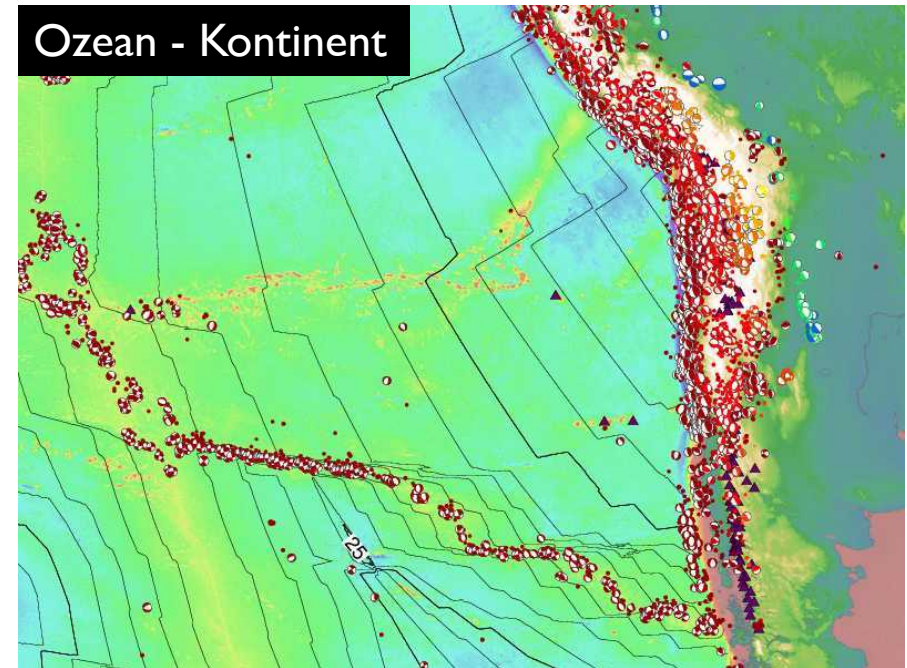
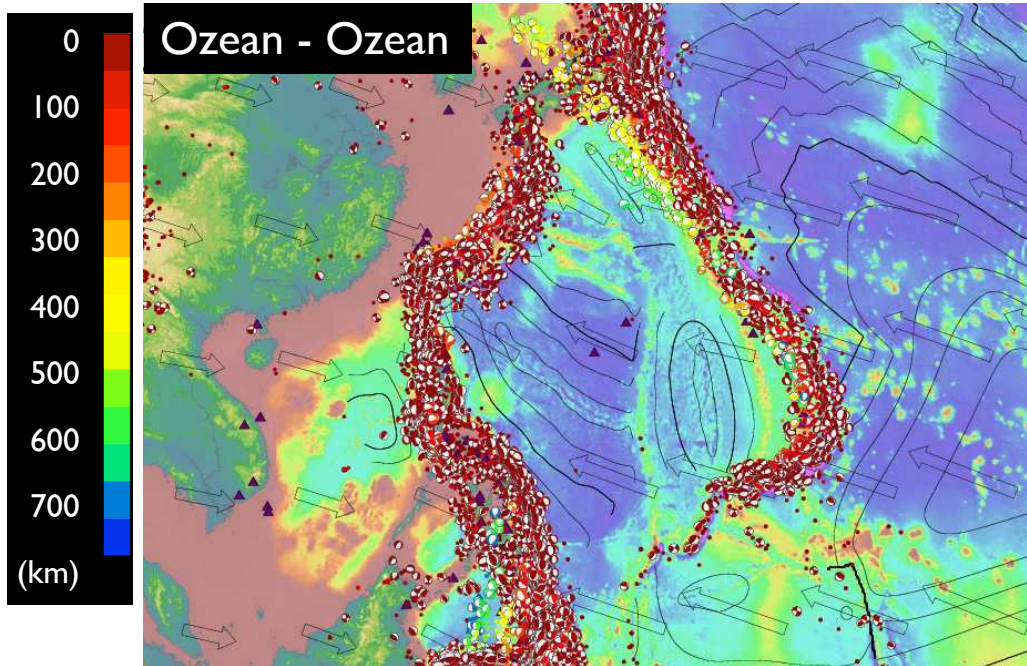
8

8 Subduktion - Kollision - Transformstörungen

- VL-Themen:
- Subduktion
 - accretionary wedges - orogenic wedges
 - subduction channel
 - Orogene
 - Strike-slip - Transformstörungen
 - Geometrie und Kinematik
 - Transform Systeme
 - Aktive Verwerfungen

Konvergente Plattengrenzen

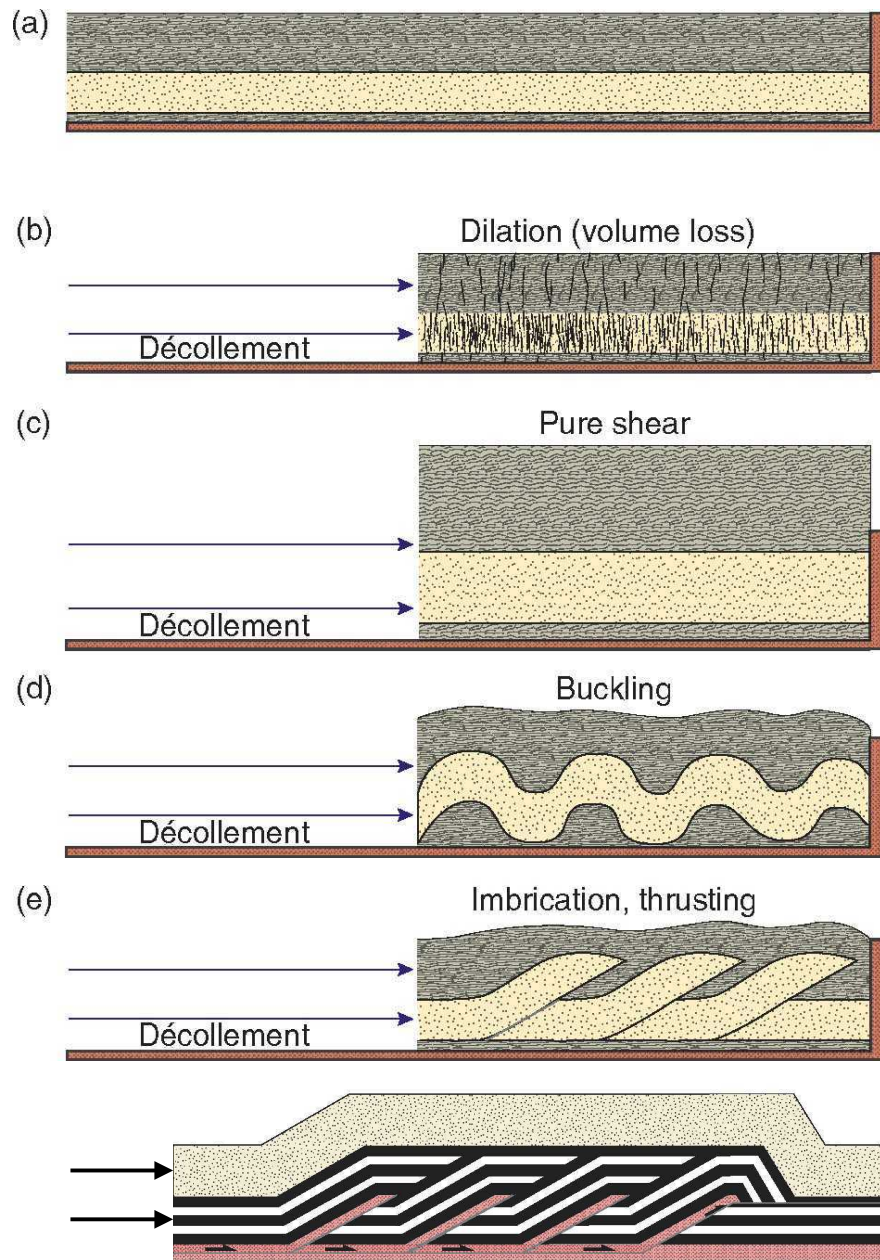




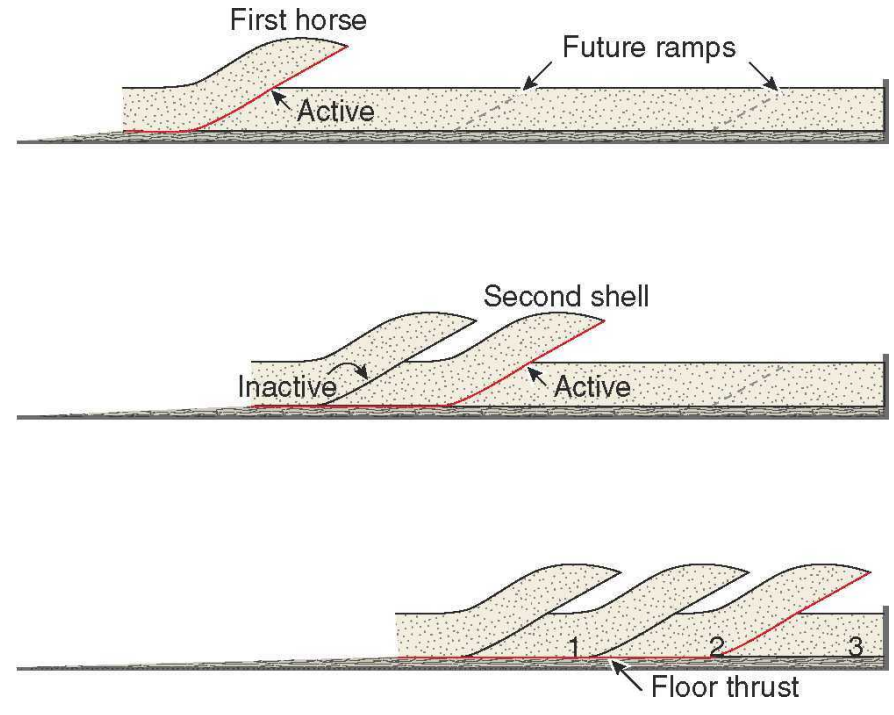
<http://earthquake.usgs.gov/regional/world/seismicity/>

geometry & morphology
of contraction

Verkürzung



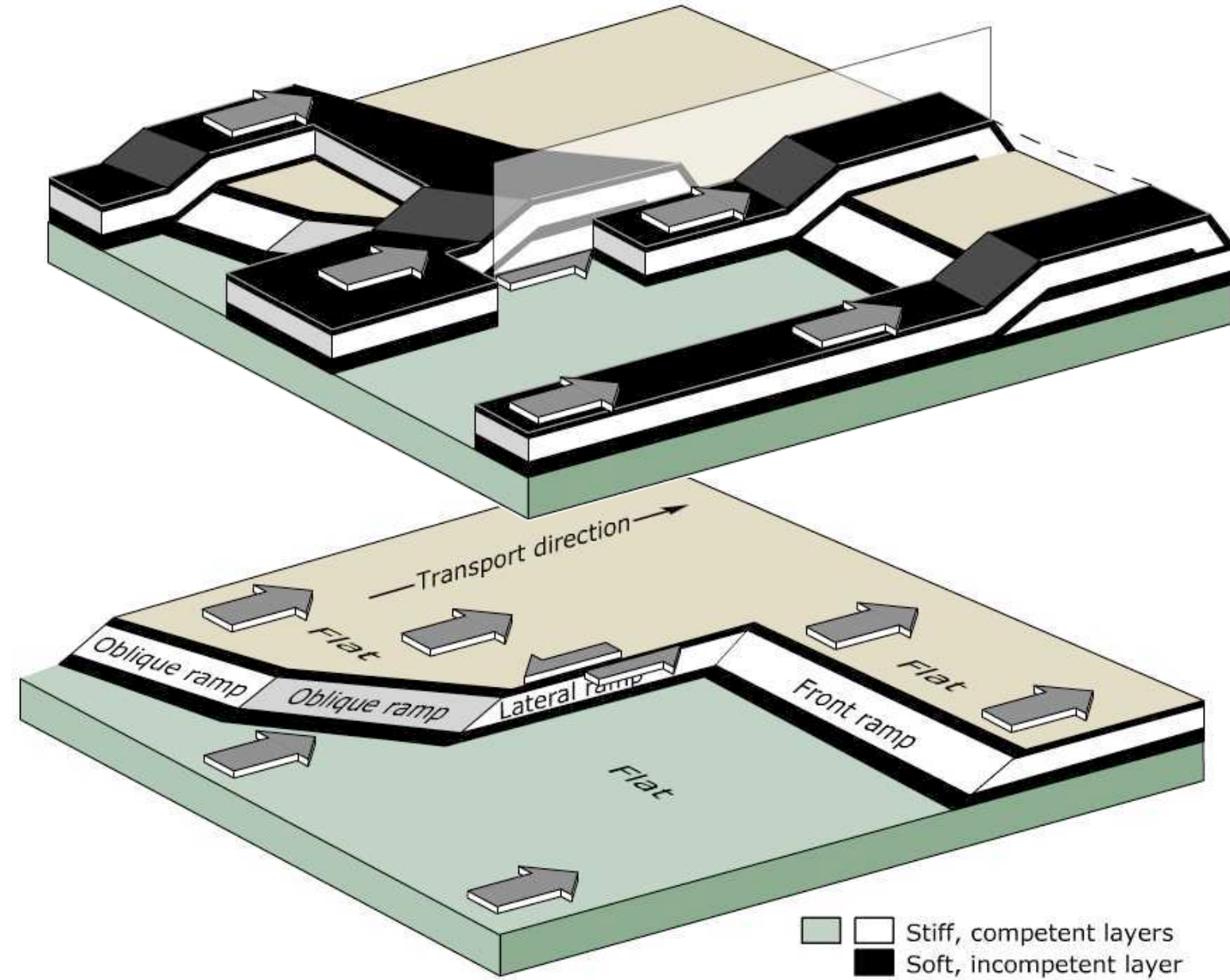
in sequence thrusting



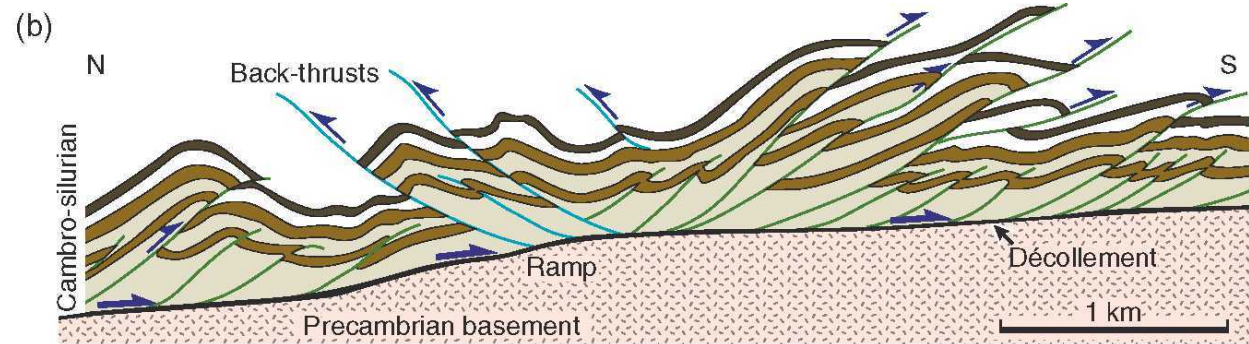
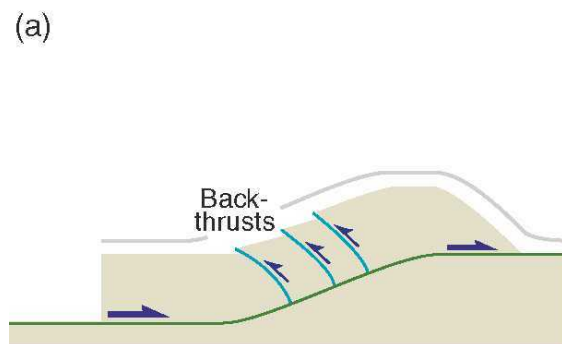
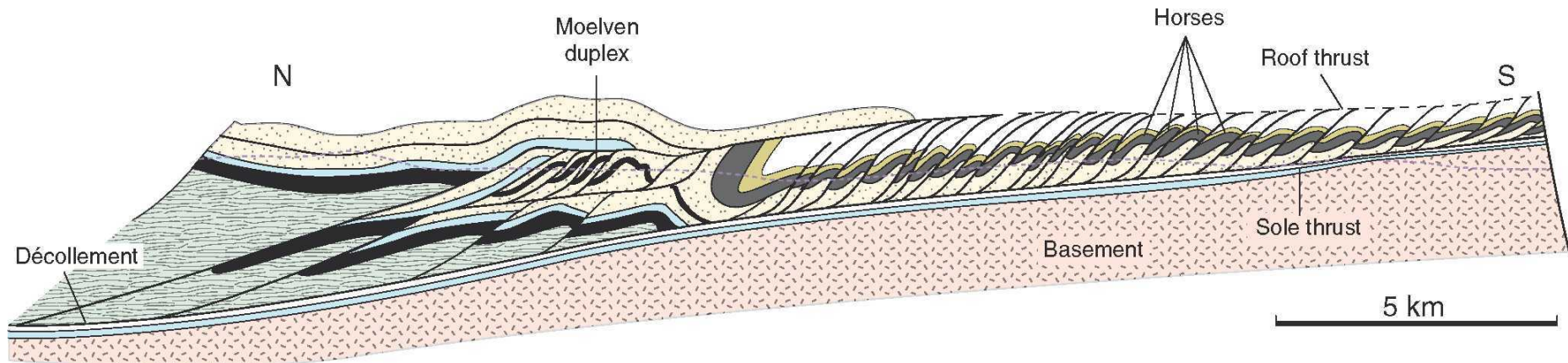
IMBRICATION
on floor thrust, fault blocks (horses)

DUPLEX
between floor and roof thrust

ramps + flats

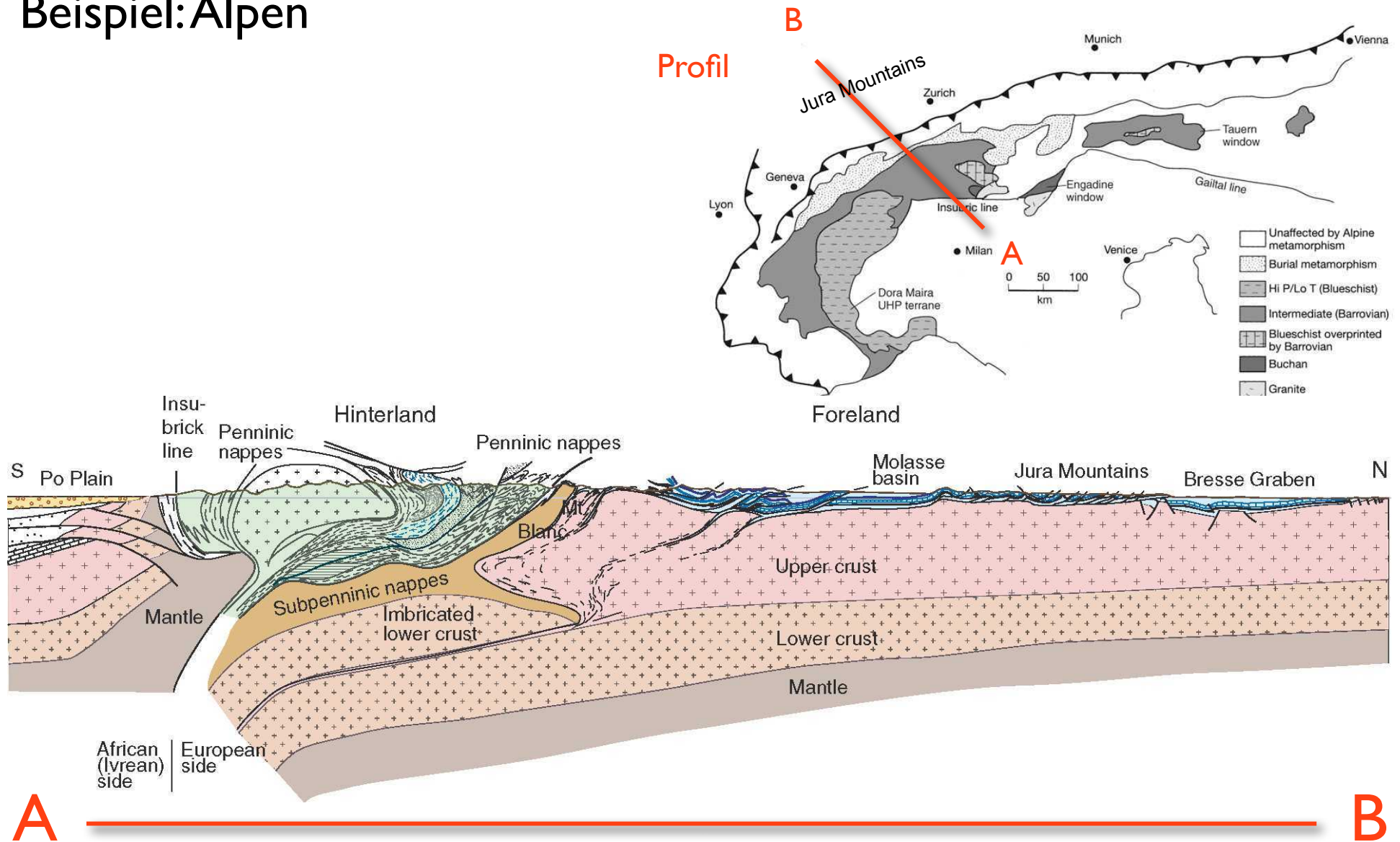


thrusting



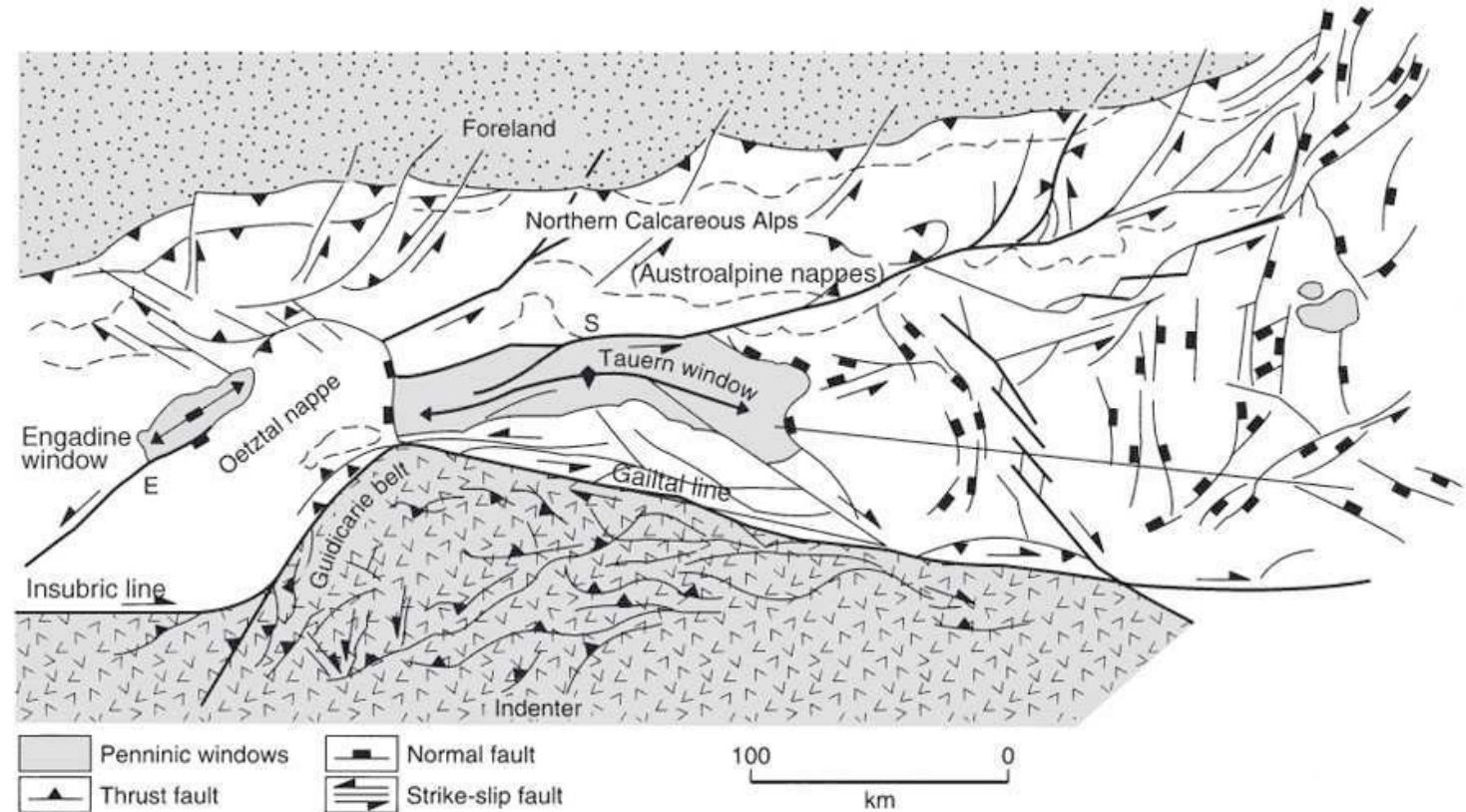
Decken- und Faltengebirge

Beispiel: Alpen

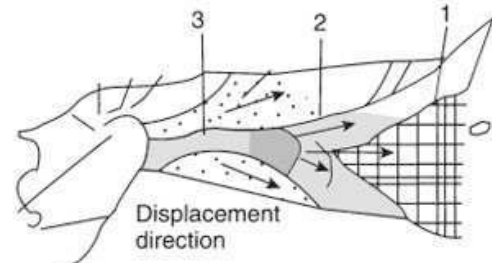


lateral escape

Beispiel: Alpen



A.



B.

Fold-Thrust Belt Terminology

allochthon
autochthon
basale Abscherung
décollement
detachment
fold-thrust belt

Allochthon	A mass of rock, comprising a thrust sheet (i.e., a hanging-wall block), that has been displaced by movement on a thrust fault; commonly, use of the term implies that the mass has moved a considerable distance on a detachment from its point of origin.
Allochthonous	Adjective describing “out-of-place” rocks that have moved a large distance from their point of origin.
Autochthonous	Adjective describing rocks that are still at the site where they originally formed and have not been displaced by movement on a thrust fault or detachment.
Backarc	The region that lies behind the volcanic arc along a convergent plate boundary; the backarc and the trench are on opposite sides of the volcanic arc.
Backstop	A representation of the boundary load in the hinterland of a fold-thrust belt. The backstop generates horizontal compressional stress, which contributes to driving fold-thrust belt development. The backstop represents rock of the hinterland that is moving toward the foreland. As such, a backstop is like a snowplow pushing snow toward the foreland.
Backthrust	A thrust on which the transport direction is opposite to the regional transport direction.
Basal detachment	The lowest detachment of a thrust system; the regional basal detachment in a fold-thrust belt separates shortened crust above from unshortened crust below. In the foreland part of a fold-thrust belt, it typically lies at or near the basement-cover contact (also called a basal décollement).
Blind thrust	A thrust that, while it is active, terminates in the subsurface.
Branch line	The line of intersection between two fault surfaces, e.g., where a ramp branches (splays) off of a detachment, or where one ramp splays off another.
Break-forward sequence	A sequence of thrusting during which younger thrusts initiate to the foreland of older thrusts (also called a foreland-breaking sequence).
Break-thrust fold	A fold that initiates prior to thrusting, but later ruptures so that a thrust cuts through its forelimb.
Cutoff (cutoff line)	The line of intersection between a fault and a bedding plane.
Décollement	A subhorizontal fault (also called a detachment)
Detachment	A subhorizontal fault (also called a décollement)
Detachment fold	A fold that forms in response to slip above a subhorizontal fault, much like fold in a rug that wrinkles above a slick floor.
Duplex	A type of thrust system where a series of thrusts branch from a lower detachment to an upper detachment.
Fault-bend fold	A fold that forms in response to movement over bends in a fault surface.
Fault-propagation fold	A fold that forms immediately in advance of a propagating fault tip (also called a tip fold).
Floor thrust	The lower detachment of a duplex; it forms the base of the duplex.
Fold nappe	A thrust sheet that contains a regional-scale recumbent fold.
Fold-thrust belt	A geologic terrane in which upper-crustal shortening is accommodated by development of a system of thrust faults and related folds.
Footwall block	The body of rock beneath the fault.
Footwall cutoff	The intersection between bedding planes of footwall strata and a fault surface.
Footwall flat	The portion of the footwall where bedding surfaces parallel the fault.
Footwall ramp	The portion of the footwall where bedding surfaces truncate against the fault (i.e., the portion of the footwall along which there are footwall cutoffs).

foreland

hinterland

inversion tectonics

mechanical stratigraphy

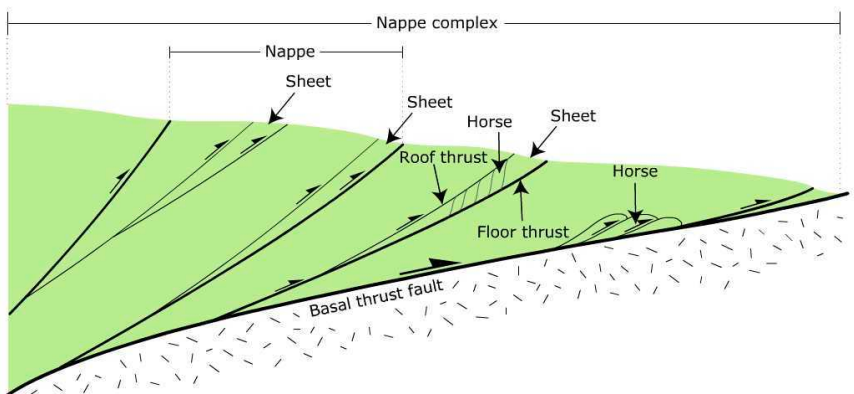
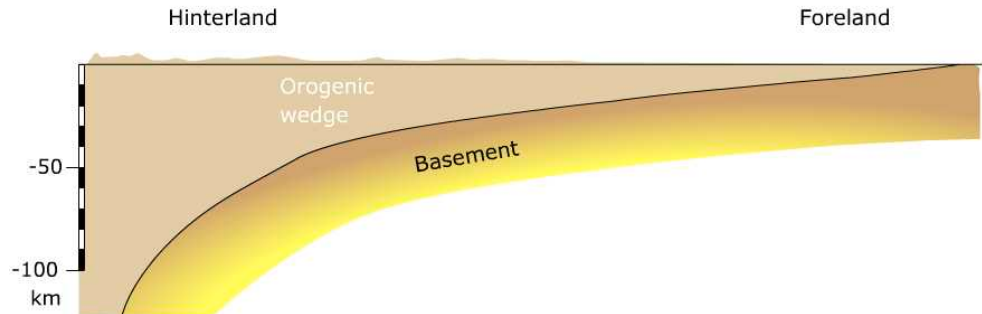
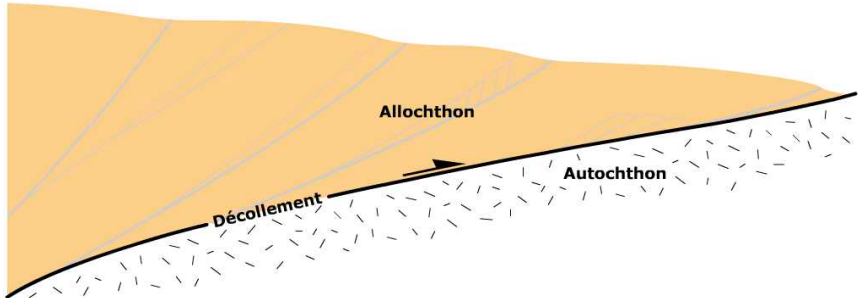
tear fault

Forearc	The region to the trench side of the volcanic arc of a convergent plate boundary. The forearc is not the same as the foreland. The forearc lies on the ocean side of a continental volcanic arc.
Foreland	The part of the undeformed craton adjacent to an orogenic belt; some authors have used the term in a more general sense to include the portion of an orogenic belt closer to the undeformed continental interior.
Foreland basin	A sedimentary basin formed on the continent side of a fold-thrust belt that forms because the weight of the stack of thrust sheets in the belt depresses the lithosphere.
Forethrust	A thrust on which the transport direction is the same as the regional transport direction for the whole fold-thrust belt.
Frontal ramp	A ramp that strikes perpendicular to transport direction.
Hanging-wall block	The rock mass that has been transported above a fault surface.
Hanging-wall cutoff	The intersection between bedding planes of hanging-wall strata and the fault surface.
Hanging-wall flat	The portion of the hanging wall where bedding surfaces parallel the fault.
Hanging-wall ramp	The portion of the hanging wall where bedding surfaces truncate against the fault (i.e., the portion of the hanging wall where there are hanging-wall cutoffs).
Hinterland	The region closer to the high-grade core of an orogen; as a directional reference, it is the direction opposite to the foreland direction.
Horse	A body of rock in a duplex that is completely enveloped by faults.
Imbricate fan	A type of thrust system where a series of thrusts branch from a lower detachment without merging into an upper detachment horizon.
Inversion tectonics	The process by which a site of extension (e.g., a rift or passive margin basin) transforms into a site of shortening. During inversion, faults that had initiated as normal faults reactivate as thrust faults, and the sedimentary fill of the rift or passive-margin basin is shoved up and over the margins of the basin.
Klippe	An erosional outlier of a thrust sheet that is completely surrounded by footwall rocks; it is an isolated remnant of the hanging-wall block above a thrust.
Lateral ramp	A ramp that strikes parallel to transport direction.
Mechanical stratigraphy	The succession of rock types comprising the stratigraphy of a region, defined in terms of their relative strength.
Oblique ramp	A ramp that strikes oblique to transport direction.
Out-of-sequence thrust	A thrust that initiates to the hinterland of preexisting thrusts.
Out-of-plane strain	The strain due to movement outside the plane of cross section.
Regional transport direction	The dominant direction in which thrust sheets of a thrust belt moved during faulting. Some authors use the term regional vergence direction as a synonym.
Roof thrust	The upper detachment of a duplex.
Stair-step geometry	The geometry of a thrust that cuts upsection via a series of flats and ramps. The shape of the fault resembles a staircase in cross section. Typically, the ramps form in stronger units, and the flats in weaker units.
Tear fault	A nearly vertically dipping fault in a thrust sheet that is parallel or subparallel to the regional transport direction. Motion on a tear fault is dominantly strike-slip and may accommodate differential displacement of one part of a thrust sheet relative to another (i.e., a tear fault is a nearly vertically dipping oblique ramp or lateral ramp).

tectonic inversion
thick-skinned tectonics
thin-skinned tectonics
thrsut
thrust sheet

Tectonic inversion	The reactivation of preexisting faults by a reversal of slip direction on the faults.
Thick-skinned tectonics	The process of deformation that involves slip on basement-penetrating reverse faults; this movement uplifts basement and causes monoclinal forced-folds ("drape folds") to develop in the overlying cover.
Thin-skinned tectonics	The process of deformation in which folding and faulting are restricted to rock above a detachment. Some authors restrict the term to situations in which the detachment lies at or above the basement-cover contact. Others use the term even when basement occurs in thrust sheets, to imply that the basement has been transported or detached.
Thrust fault [thrust]	A shallowly to moderately dipping ($< 30^\circ$) contractional fault with dip-slip reverse movement; in detail, thrusts may include several ramps and flats, and thus on a regional scale, do not necessarily have a uniform dip.
Thrust sheet	The hanging-wall block, above a thrust surface, that has been transported as a consequence of slip on the thrust (also called a thrust slice)
Thrust system	An array of related thrusts that connect at depth; a regional-scale thrust system may represent shortening above a specific regional detachment.
Tip line	The line along which displacement on the thrust becomes zero.
Triangle zone	A region in which a wedge of rock is bounded below by a forethrust and is bounded above by a backthrust.
Window [fenster]	An erosional hole through a thrust sheet that exposes the footwall (i.e., an exposure of the footwall completely surrounded by hanging wall rocks).

nappe complex



wedge accretion:

- folds
- duplexes
- imbrications

Foreland:

- thin-skinned contractional tectonics
- basement un-deformed
- localized deformation
- formation of nappe systems
- sediments form eroding hinterland

Hinterland:

- thick-skinned deformation
- basement and cover (wedge) deformed
- underplating
- penetrative deformation
- formation of metamorphic nappes
- extensive internal nappe folding

Subduktionszonen

terminology

Subduction zones

... are the three-dimensional manifestation of convective downwelling.

Subduction zones are defined by the inclined array of earthquakes known as the “Wadati-Benioff Zone” after the two scientists who first identified it.

Convergent plate margins

... are the surficial manifestations of downwelling

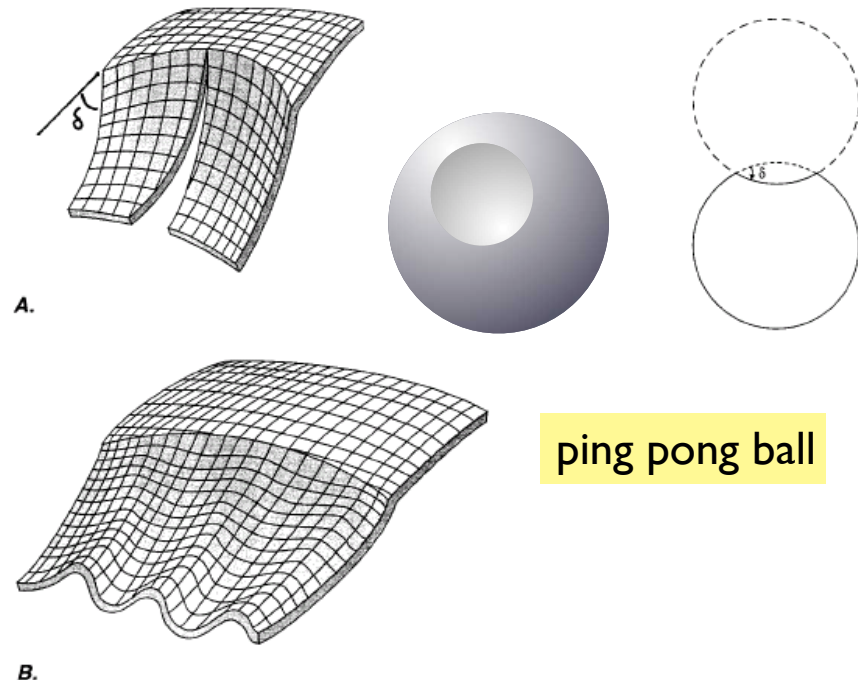
Arcs

... (better referred to as arc-trench complexes) are surficial and crustal manifestations of a subduction zone that is operating beneath it.

Slabs

Subducted sediments, crust, and mantle lithosphere may be described separately or in combination and may be called “subducted slab” or just “slab.”

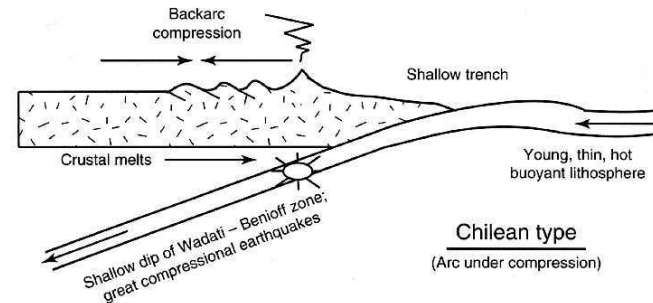
geometry



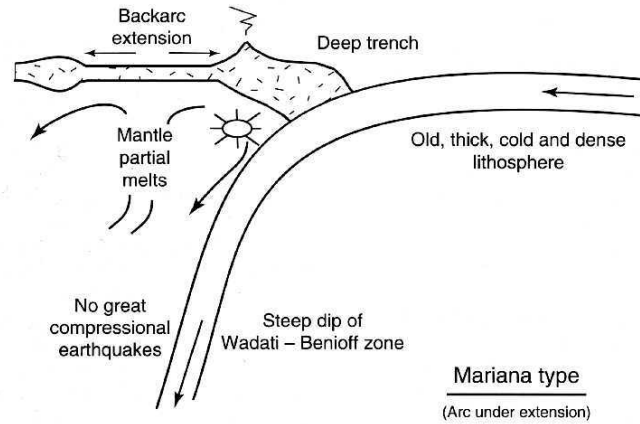
Moores & Twiss (1995)

Subduktionssystem sind
konkav gegen oben

young thin hot → shallow



old thick cold → steep



Kearey et al. 2009

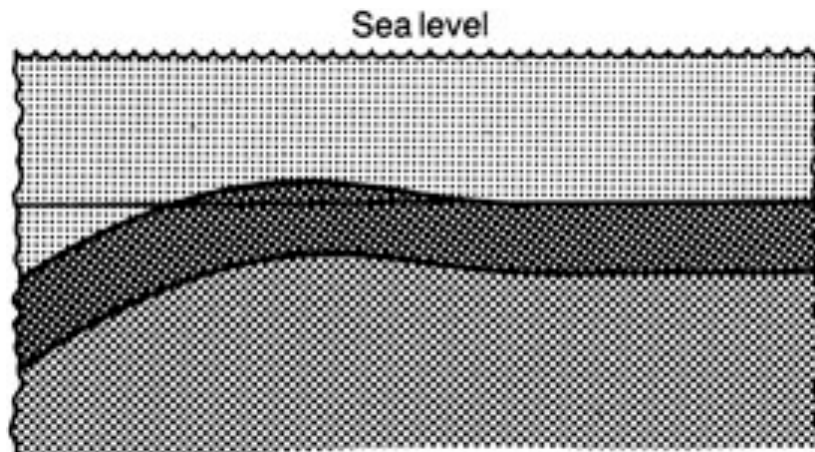
Tiefe des Grabens (Subduktionswinkel) hängt vor allem von Alter der abtauchenden Lithosphäre ab

outer swell

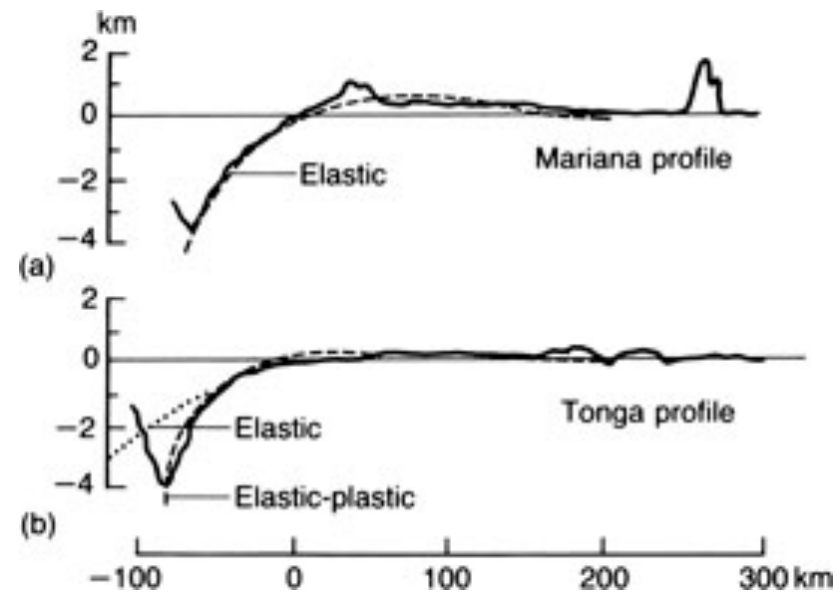
Bending of the lithosphere gives rise to the topographic bulge (outer swell).

Generally located 100-200 km from the trench axis.

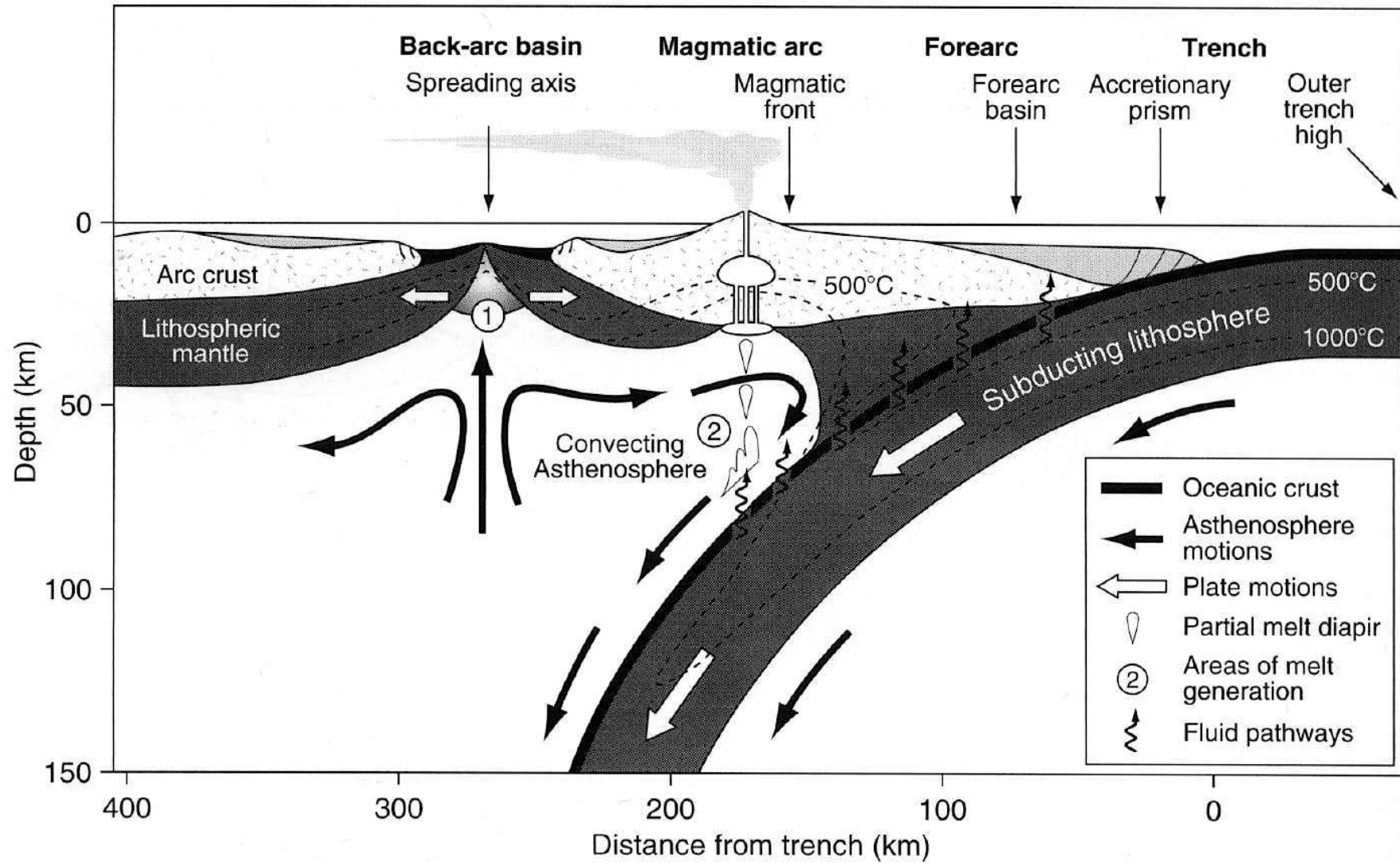
Bending model, using elastic behavior



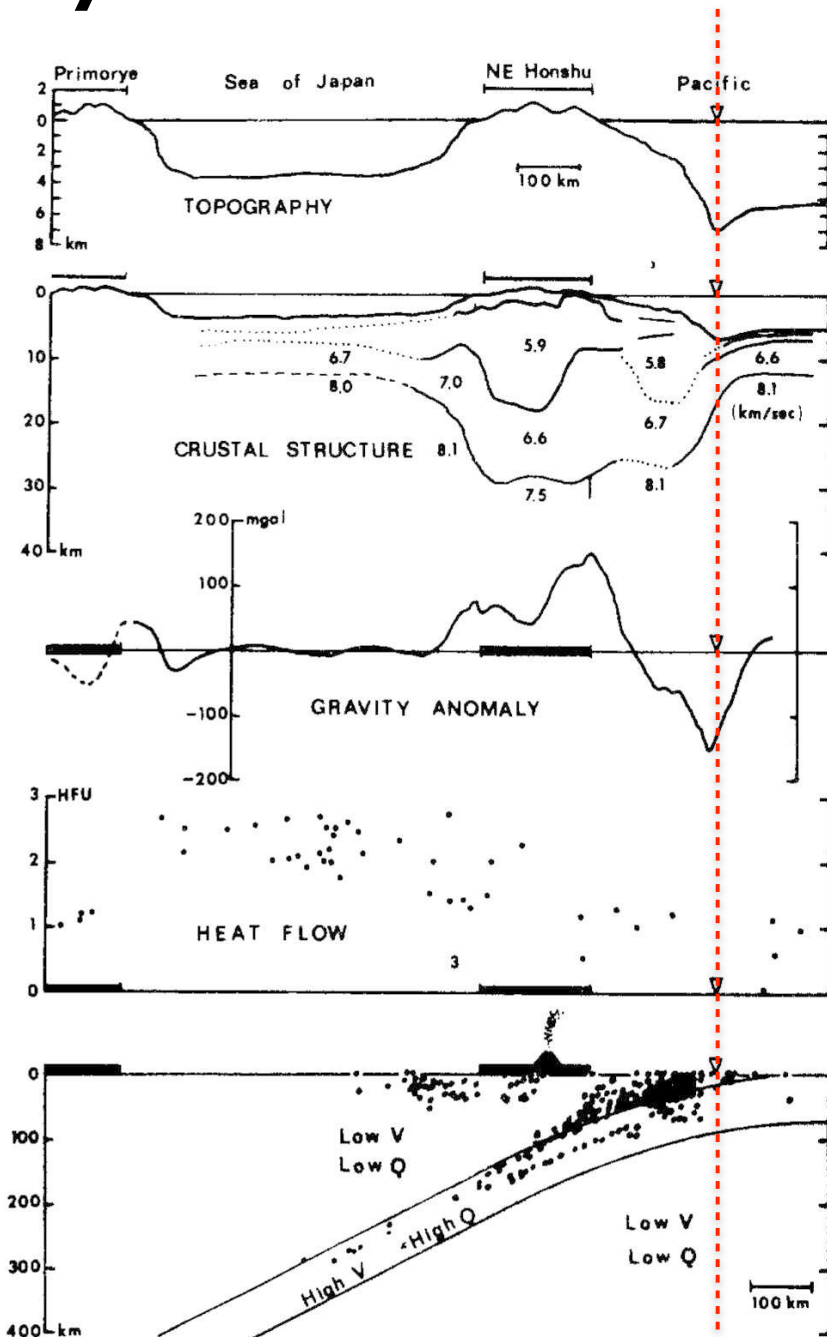
Kearey et al. 2009



morphology of arc systems



physical structure



Example Japan:

Low P-wave velocity in the uppermost mantle beneath the arc:

- indicating thin lithosphere
- high T asthenosphere elevated almost to Moho

Negative gravity anomaly

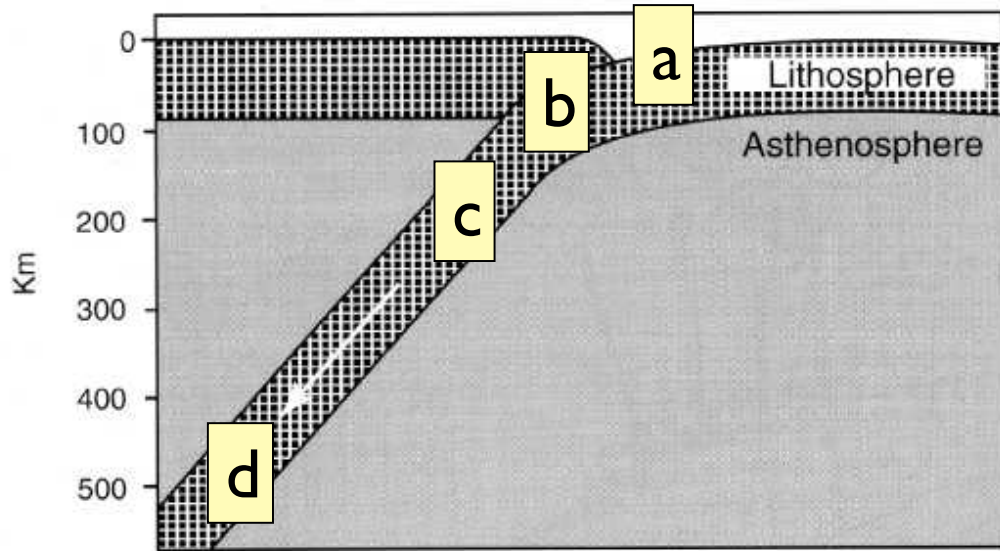
- replacement of rock by water and low density sediments at the trench

Positive gravity anomaly at volcanic arc

- replacement of water by high-density material.

Low heat flow at trench (here, Pacific Ocean)
high heat flow continentward of the volcanic front
including backarc (here, Japan Sea)

earth quakes in bending slab

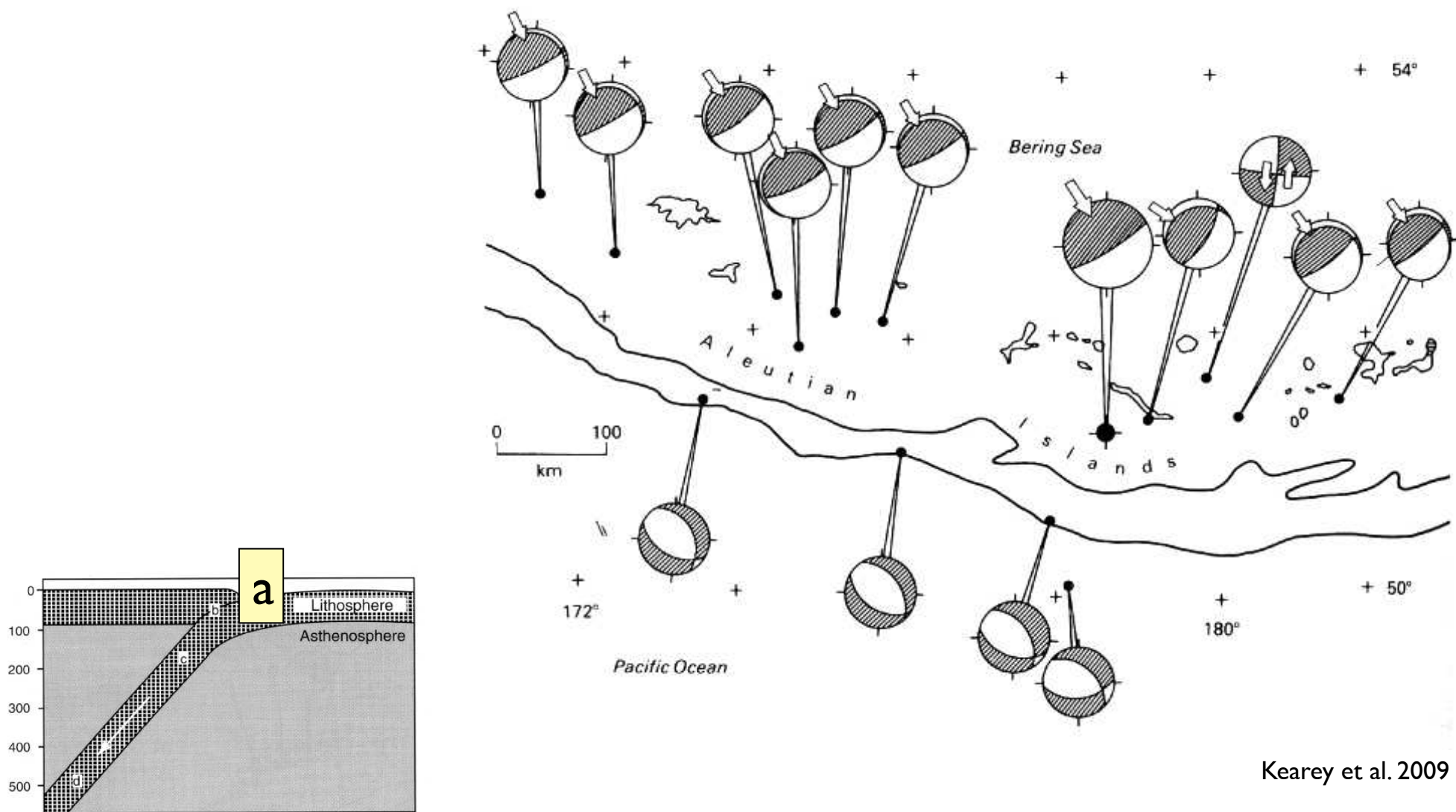


Depth of earthquakes and focal mechanism at downgoing slab

- a. Extensional setting in bending slab
- b. Frictional region in lithosphere
- c. Internal deformation of slab below lithosphere depth
- d. Deep earthquakes due to phase transformations

a. Extensional setting in bending slab

Focal solutions for Aleutian trench

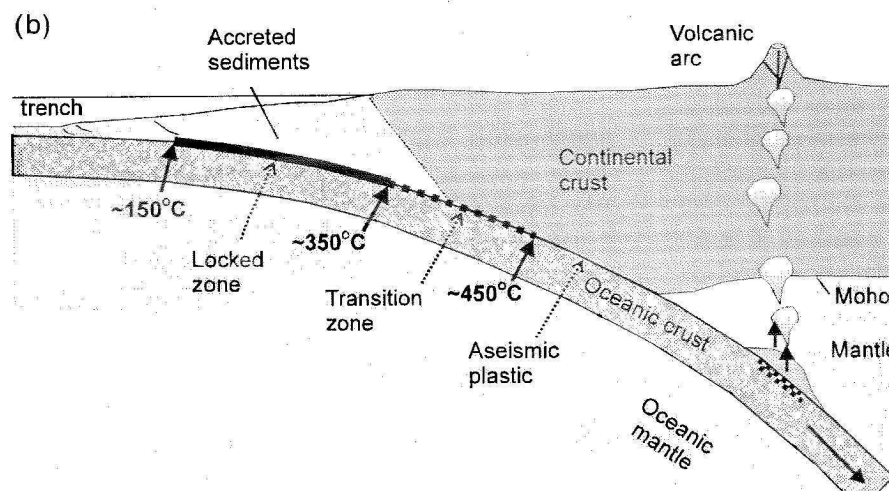
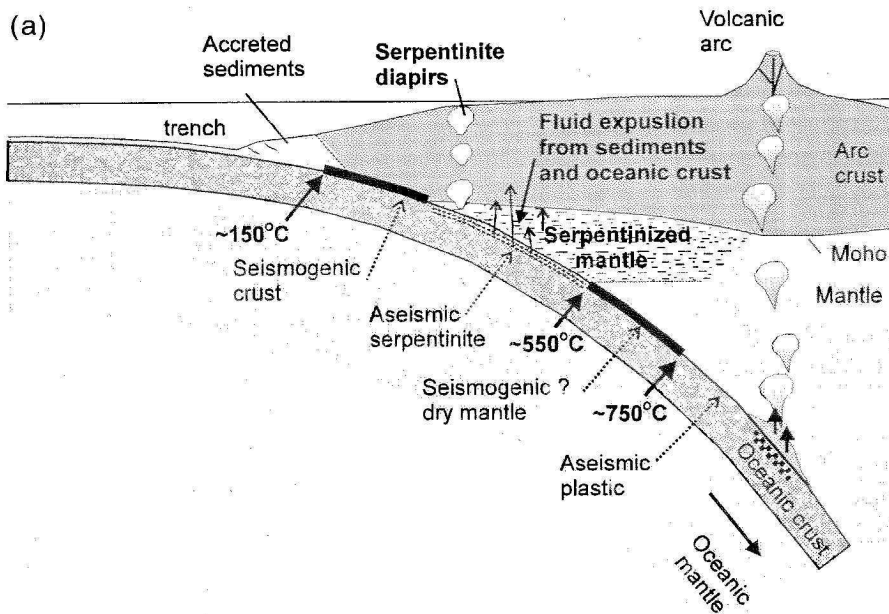
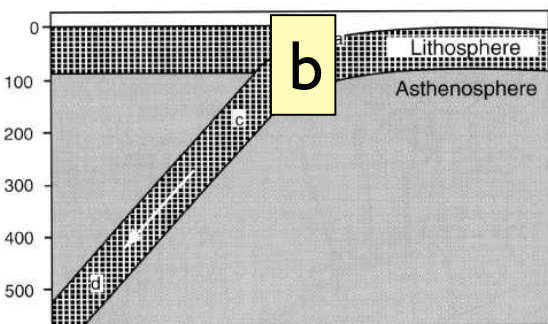


b. Frictional region in lithosphere

Large, shallow earthquakes in subduction zones contribute 90% of the total seismic moment released worldwide [Pacheco and Sykes, 1992].

These earthquakes have focal mechanisms indicating thrust faulting along the subduction interface by friction.

Only 2–5% of the total downdip length of the Wadati-Benioff Zone generates this kind of earthquake, and this segment is known as the main



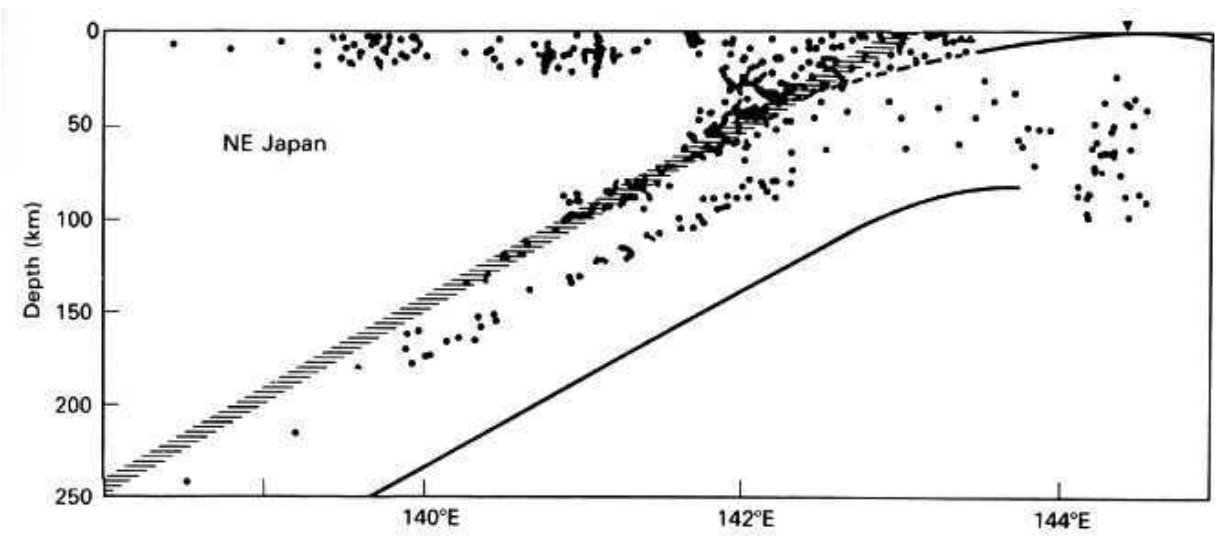
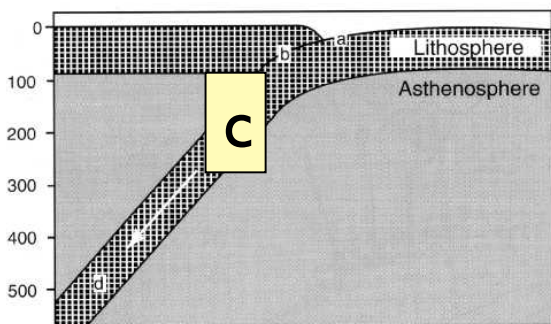
c. Internal deformation of slab

Different zones of earthquake sources in slab

=
different mechanisms for earthquakes

Upper zone:
Astenosphere too weak to cause earthquakes
→ eclogite formation ?

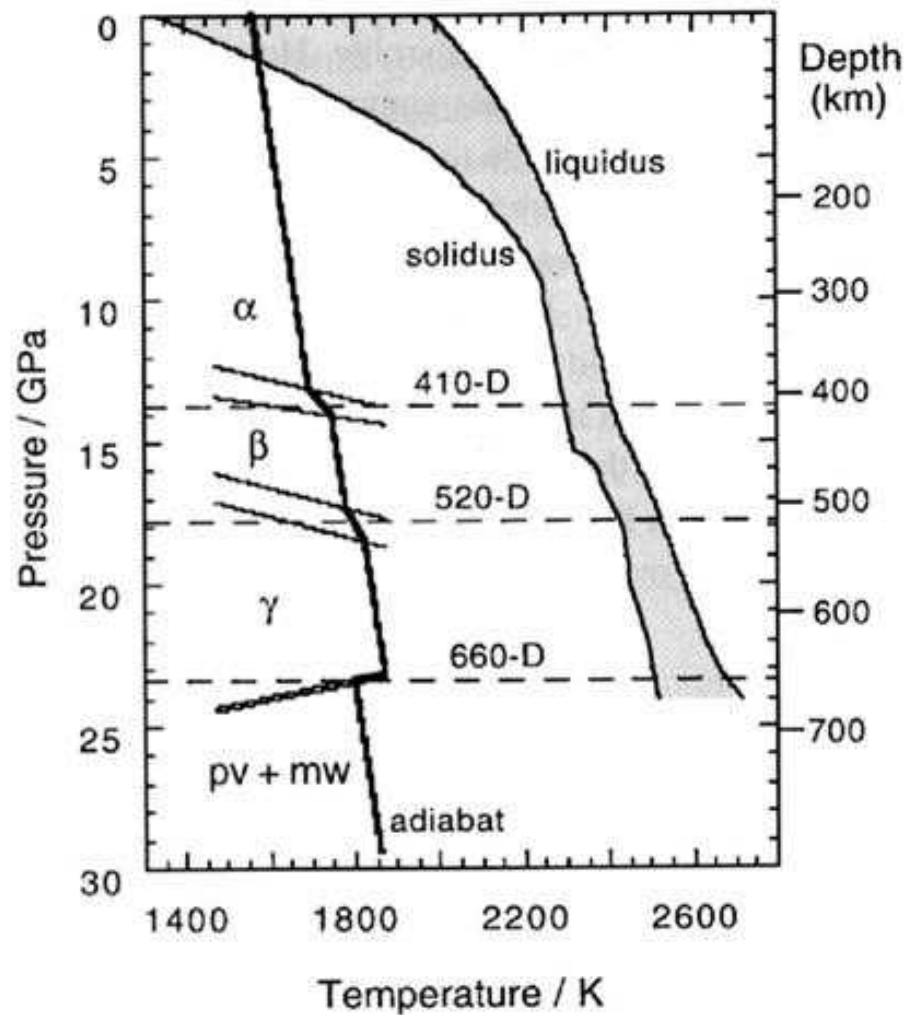
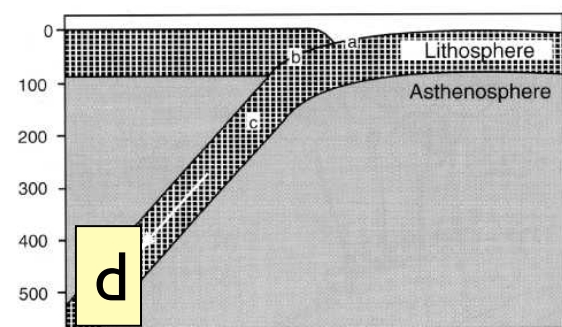
Lower zone:
→ serpentinite dehydration ?



Kearey et al. 2009

d. Phase transformations

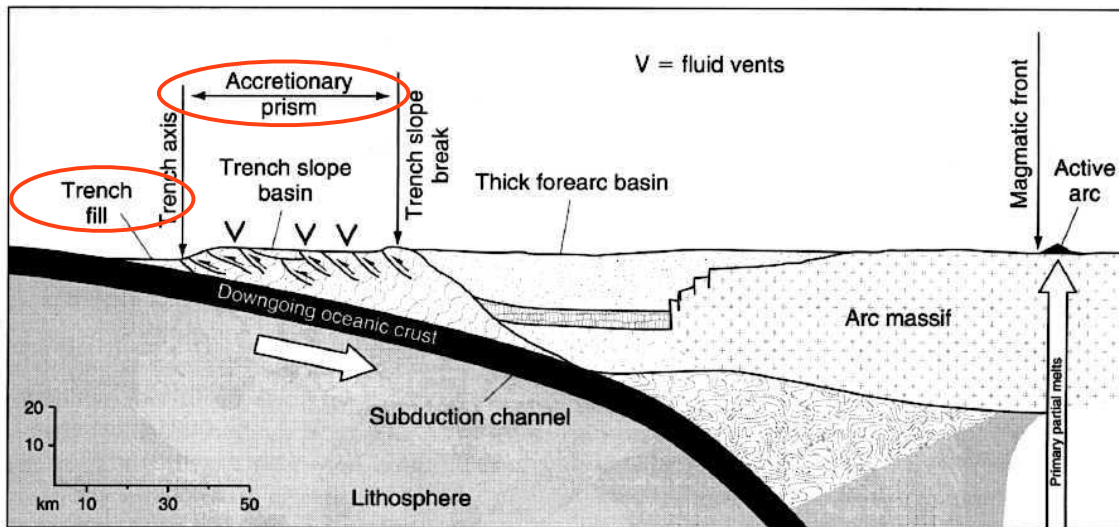
Phase transformations and seismic velocities fit very well in PT-diagrams



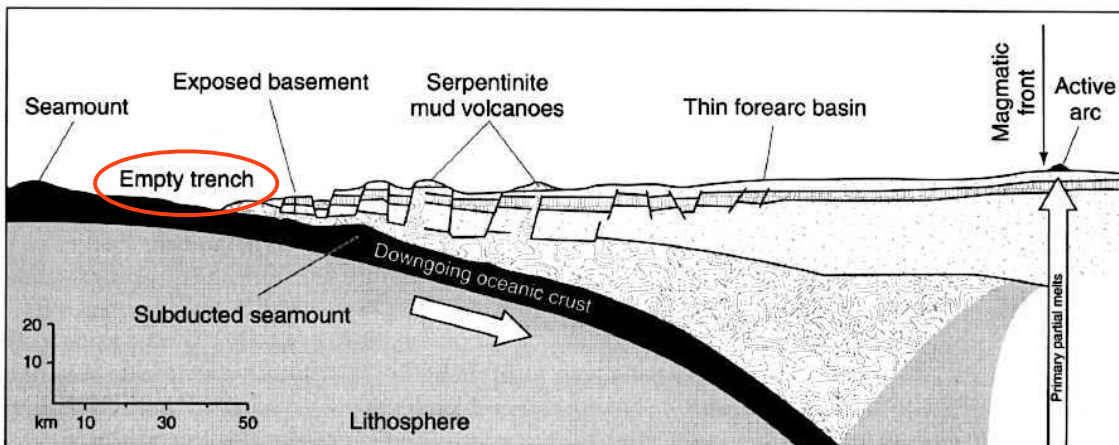
Akkretionskeil Orogenkeil

accretionary wedge

Accretionary forearc



Non-accretionary forearc



Partially serpentinized mantle



Basaltic forearc crust



Undeformed sediments



Lithospheric mantle



Gabbroic forearc crust



Deformed sediments

Landward thickening wedge-shaped body of marine sediments scraped off from the downgoing slab and accreted onto the non-subducting plate.

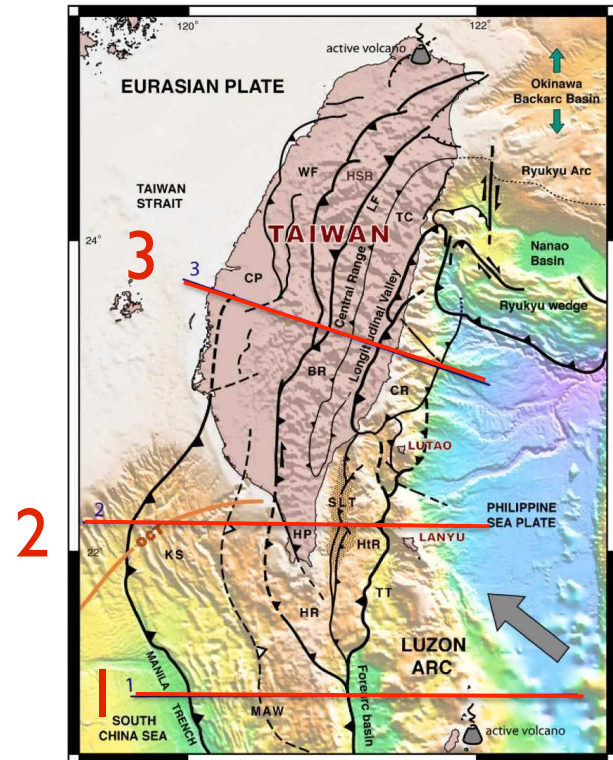
Material = marine sediments, may include erosional products of volcanic island arcs formed on the overriding plate.

Thickness, t , of incoming sediment layers determines whether there is accretion or not

$\rightarrow t > 400\text{-}1000\text{m}$ needed to accrete

Kearey et al. 2009

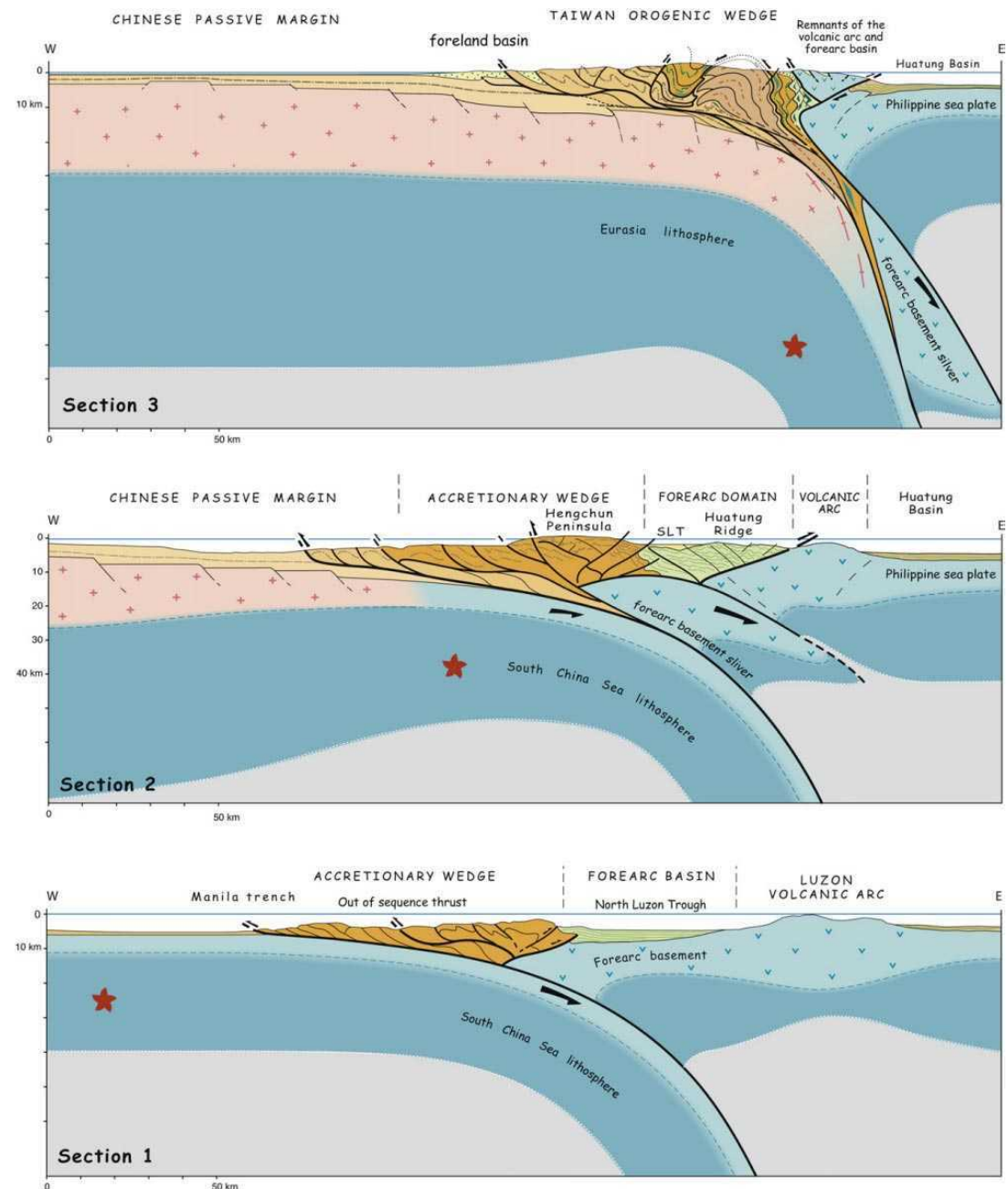
accretionary wedge - orogenic wedge



2
2
3

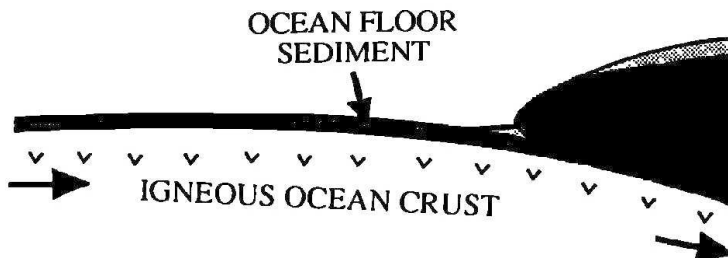
kontinuierlicher räumlicher Übergang:
Akkretionskeil → Orogenkeil

Orogenkeil = Keil, der sich über eine subduzierende Platte bildet
Material = hauptsächlich aus der unteren Platte.

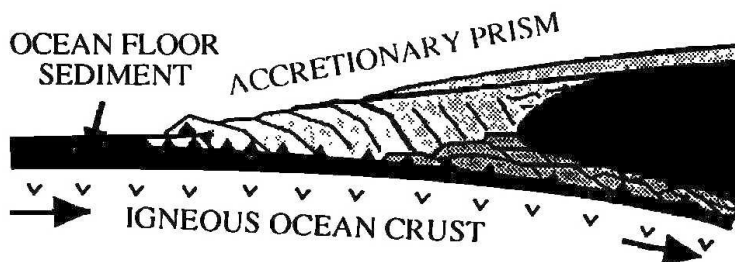


accretionary non-accretionary

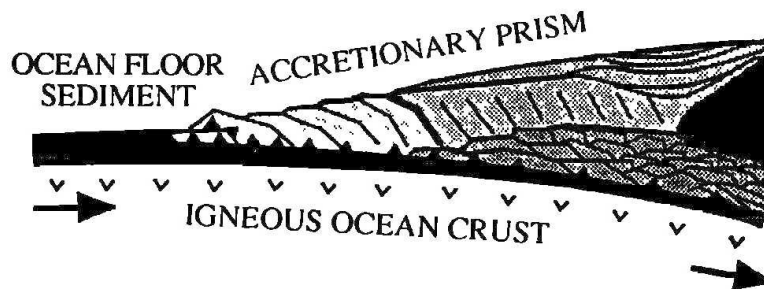
21000 km non-accretionary margin
(100% underthrusted)



16000 km semi-accretionary margin
(80% underthrusted)



7000 km typical accretionary margin
(70% underthrusted)



Non-accretionary wedges:

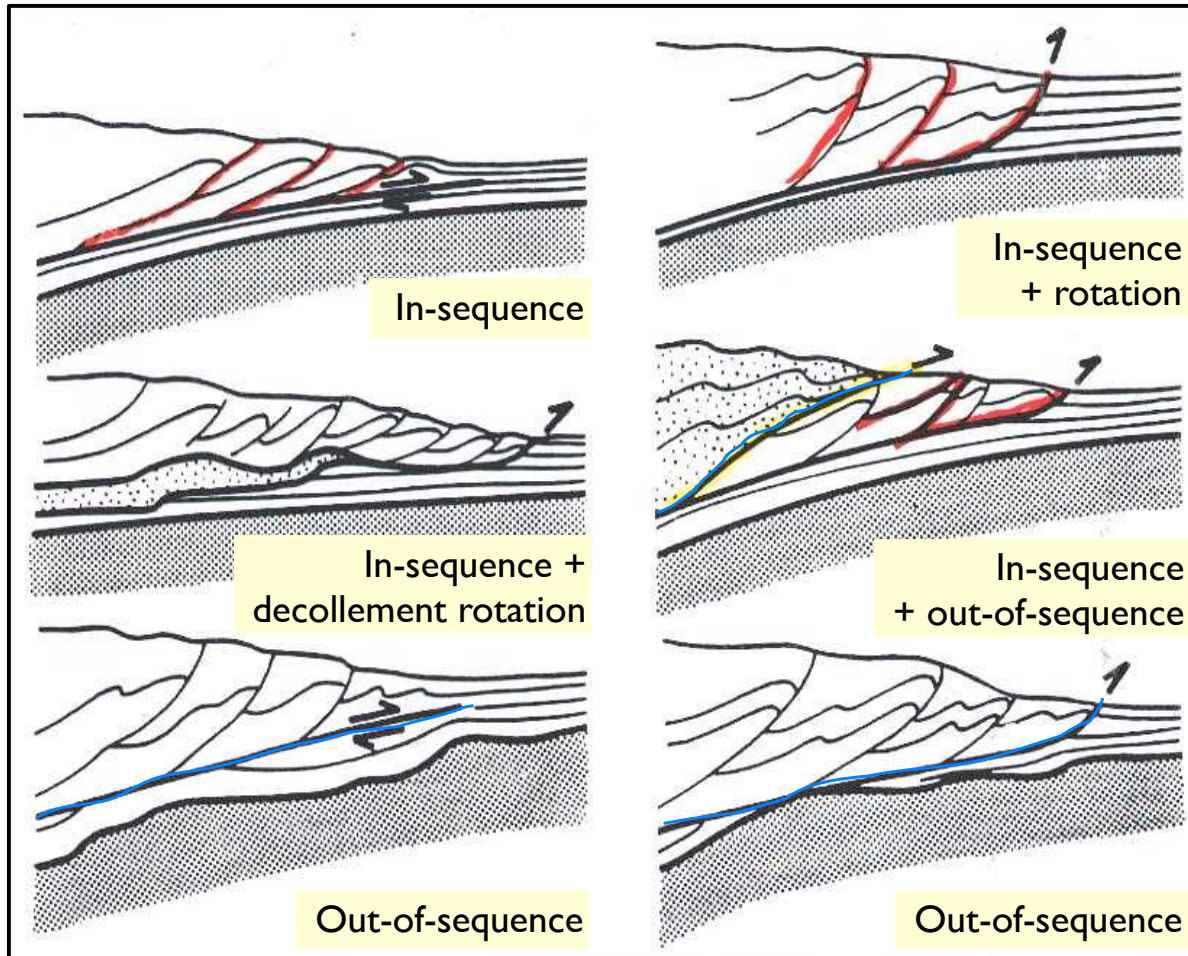
- larger slope angles (α)
- rougher surface of subducting plate
- high convergence rates
- almost no trench sediments

Typical Accretionary wedges:

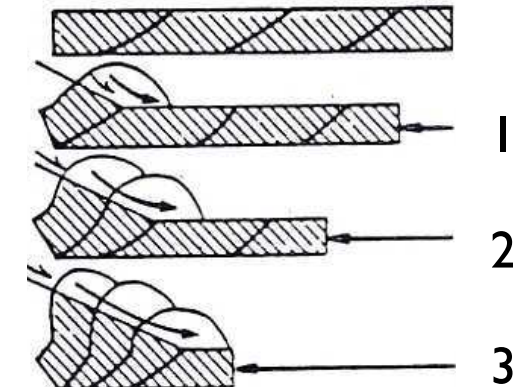
- small slope angles (α)
- smooth surfaces of subducting plate
- low convergence rates
- thick trench sediments

Lallemand et al., 1994, J. Geophys. Res.

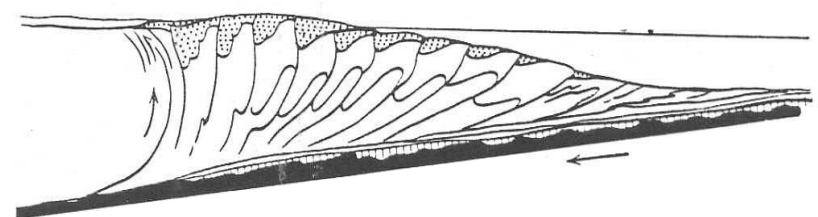
modes of accretion



Frontal accretion
Underplating &
telescoping



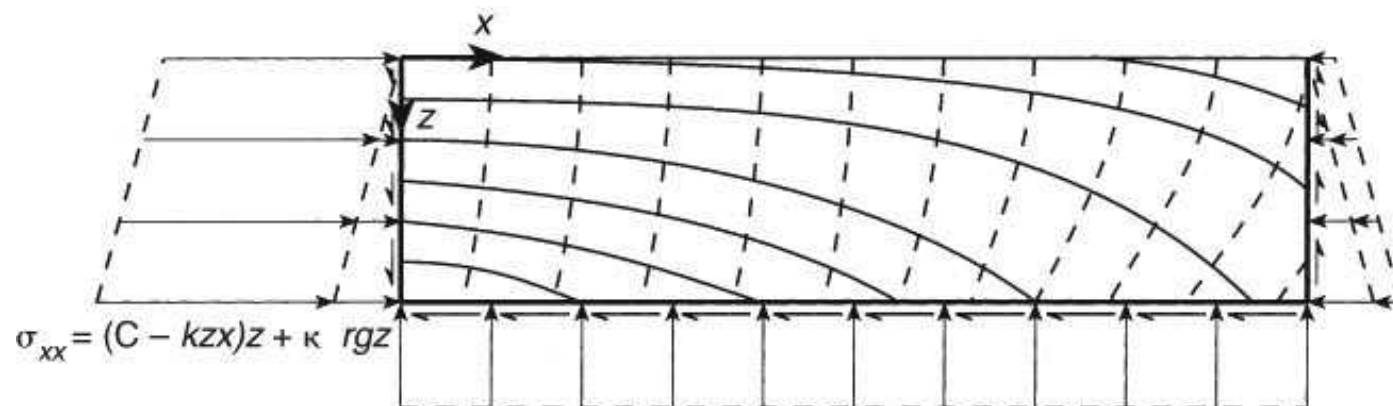
Rotation of older thrusts
in frontal part only



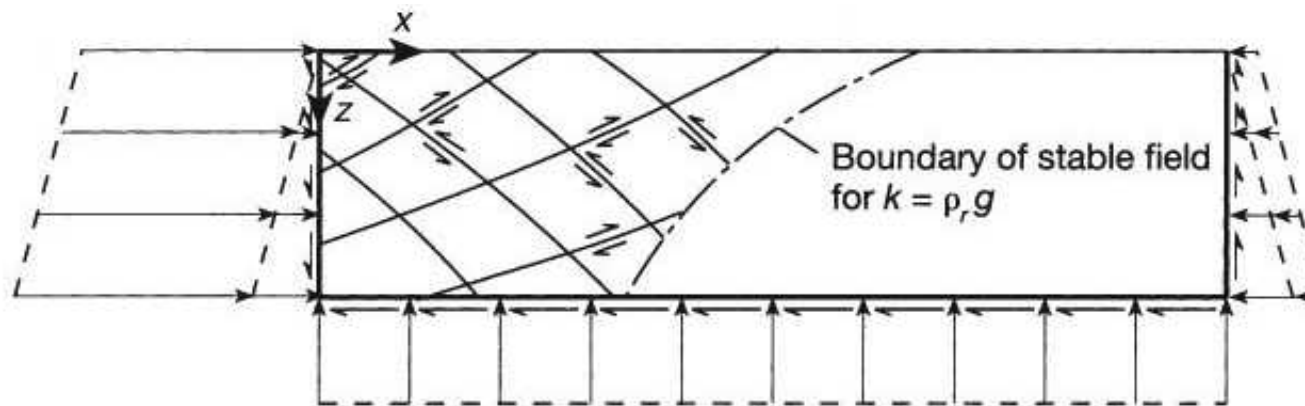
wedge

Hafner (1951)

Stress distribution in block



$$\sigma_{zx} = kz \quad \sigma_{zz} = rgz$$



$$\alpha_f = 32^\circ$$

Hubbert & Rubey (1959)

Pore fluid pressure

BULLETIN OF THE GEOLOGICAL SOCIETY OF AMERICA

VOL. 70, PP. 115-168, 32 FIGS.

FEBRUARY 1959

ROLE OF FLUID PRESSURE IN MECHANICS OF OVERTHRUST FAULTING

I. MECHANICS OF FLUID-FILLED POROUS SOLIDS AND ITS APPLICATION TO OVERTHRUST FAULTING

BY M. KING HUBBERT AND WILLIAM W. RUBEY

According to the Mohr-Coulomb law, slippage along any internal plane in the rock should occur when the shear stress along that plane reaches the critical value

$$\tau_{\text{crit}} = \tau_0 + \sigma \tan \phi; \quad (3)$$

where σ is the normal stress across the plane of slippage, τ_0 the shear strength of the material when σ is zero, and ϕ the angle of internal friction. However, once a fracture is started τ_0 is eliminated, and further slippage results when

$$\tau_{\text{crit}} = \sigma \tan \phi = (S - p) \tan \phi. \quad (4)$$

This can be further simplified by expressing p in terms of S by means of the equation

$$p = \lambda S, \quad (5)$$

which, when introduced into equation (4), gives

$$\tau_{\text{crit}} = \sigma \tan \phi = (1 - \lambda) S \tan \phi. \quad (6)$$

From equations (4) and (6) it follows that, without changing the coefficient of friction $\tan \phi$, the critical value of the shearing stress can be made arbitrarily small simply by increasing the fluid pressure p . In a horizontal block the total weight per unit area S_{zz} is jointly supported by the fluid pressure p and the residual solid stress σ_{zz} ; as p is increased, σ_{zz} is correspondingly diminished until, as p approaches the limit S_{zz} , or λ approaches 1, σ_{zz} approaches 0.

Chapple (1978)

Wedge model

Mechanics of thin-skinned fold-and-thrust belts

WILLIAM M. CHAPPLE *Department of Geological Sciences, Brown University, Providence, Rhode Island*

The essential characteristics of thin-skinned fold-and-thrust belts include the following: a wedge-shaped deforming region, thicker at the back end from which the thrusts come; a weak layer at the base of the wedge; and large amounts of shortening and thickening within the wedge. All these characteristics are incorporated into an analytical model of a perfectly plastic wedge, underlain by a weak basal layer and yielding in compressive flow.

Davis et al. (1983)

Critical taper

Mechanics of Fold-and-Thrust Belts and Accretionary Wedges

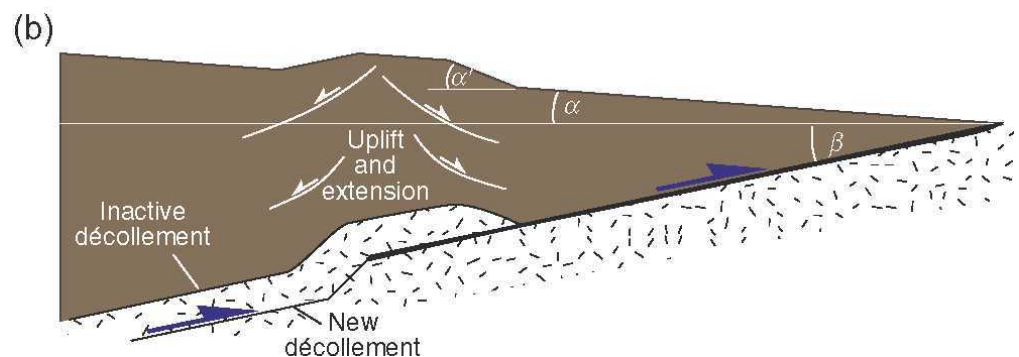
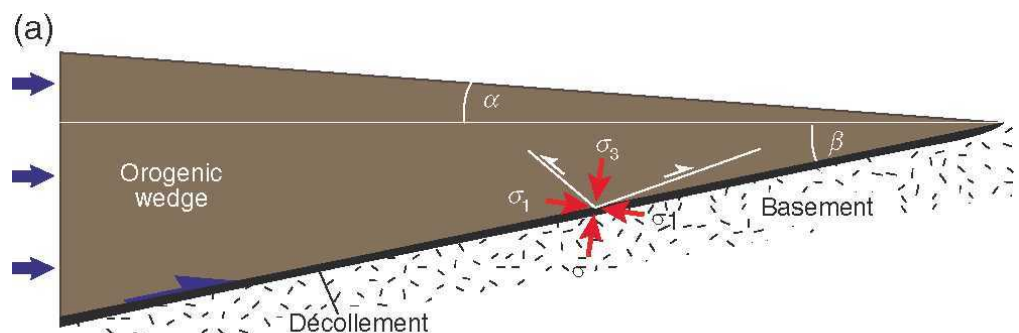
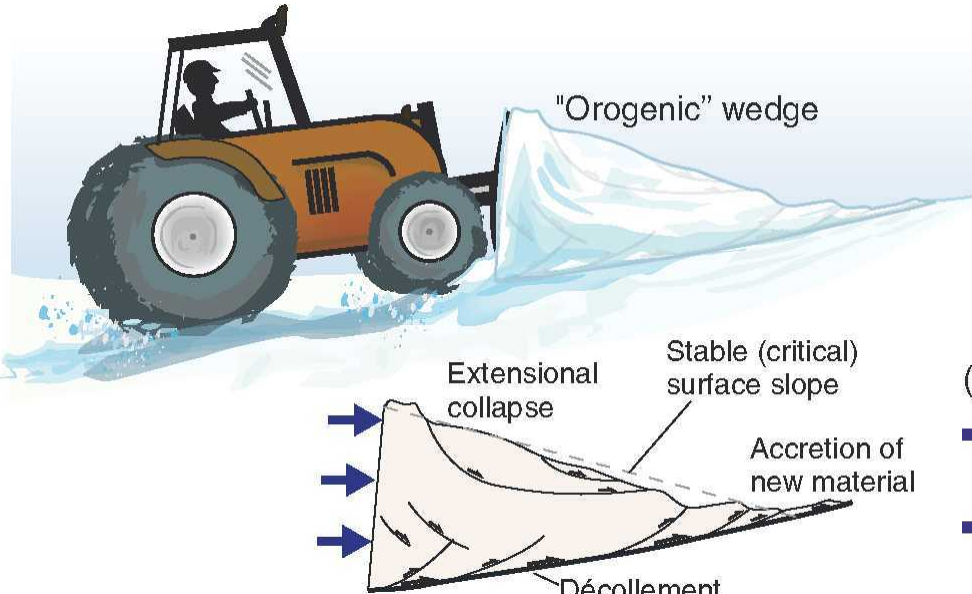
DAN DAVIS

*Department of Earth and Planetary Sciences, Massachusetts Institute of Technology
Cambridge, Massachusetts 02139*

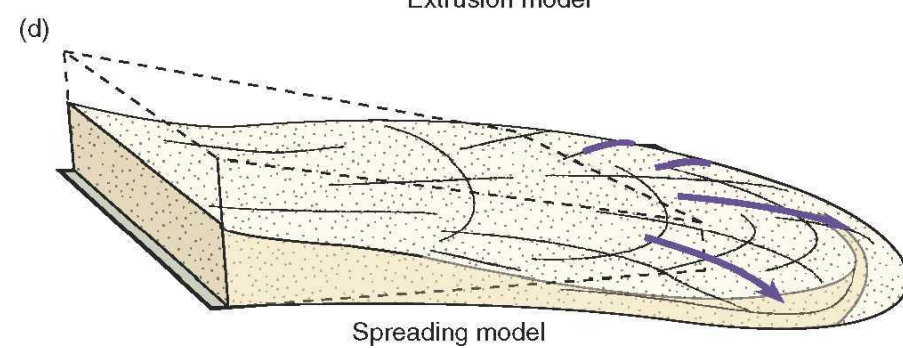
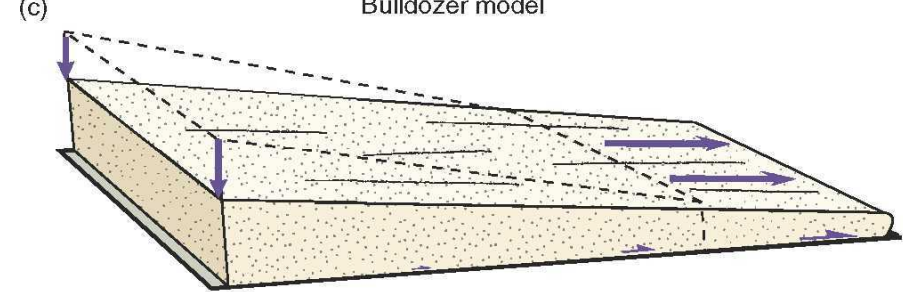
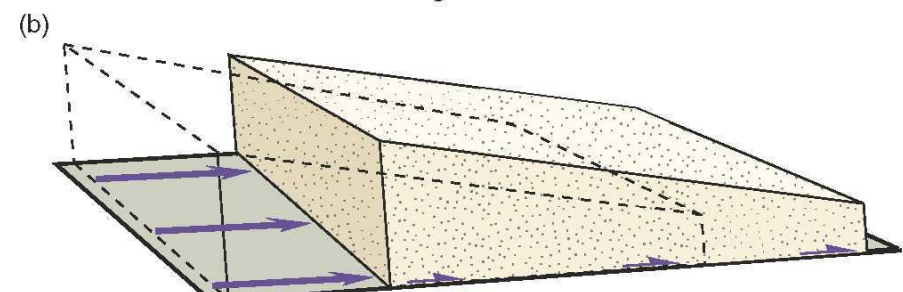
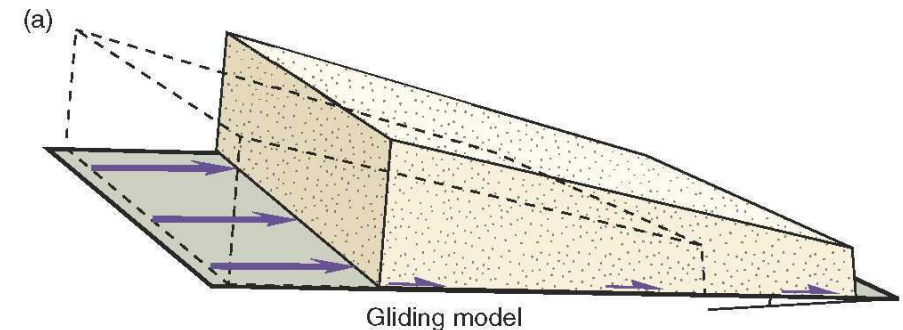
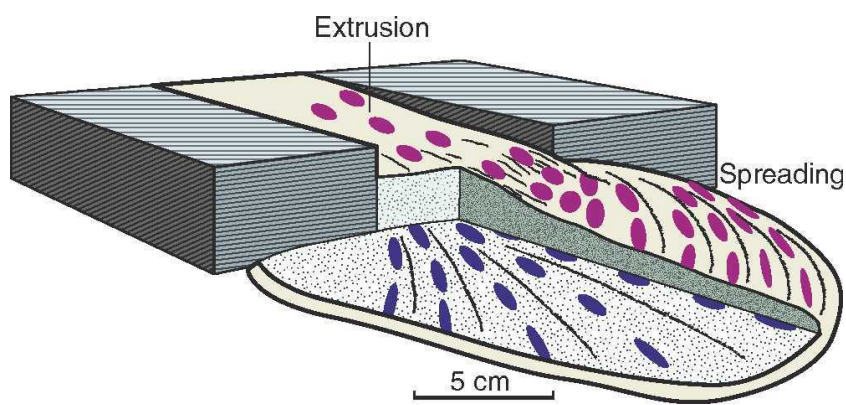
JOHN SUPPE AND F. A. DAHLEN

The overall mechanics of fold-and-thrust belts and accretionary wedges along compressive plate boundaries is considered to be analogous to that of a wedge of soil or snow in front of a moving bulldozer. The material within the wedge deforms until a critical taper is attained, after which it slides stably, continuing to grow at constant taper as additional material is encountered at the toe. The critical taper is the shape for which the wedge is on the verge of failure under horizontal compression everywhere, including the basal decollement. A wedge of less than critical taper will not slide when pushed but will deform internally, steepening its surface slope until the critical taper is attained. Common silicate sediments and rocks in the upper 10–15 km of the crust have pressure-dependent brittle compressive strengths which can be approximately represented by the empirical Coulomb failure criterion, modified to account for the weakening effects of pore fluid pressure. A simple

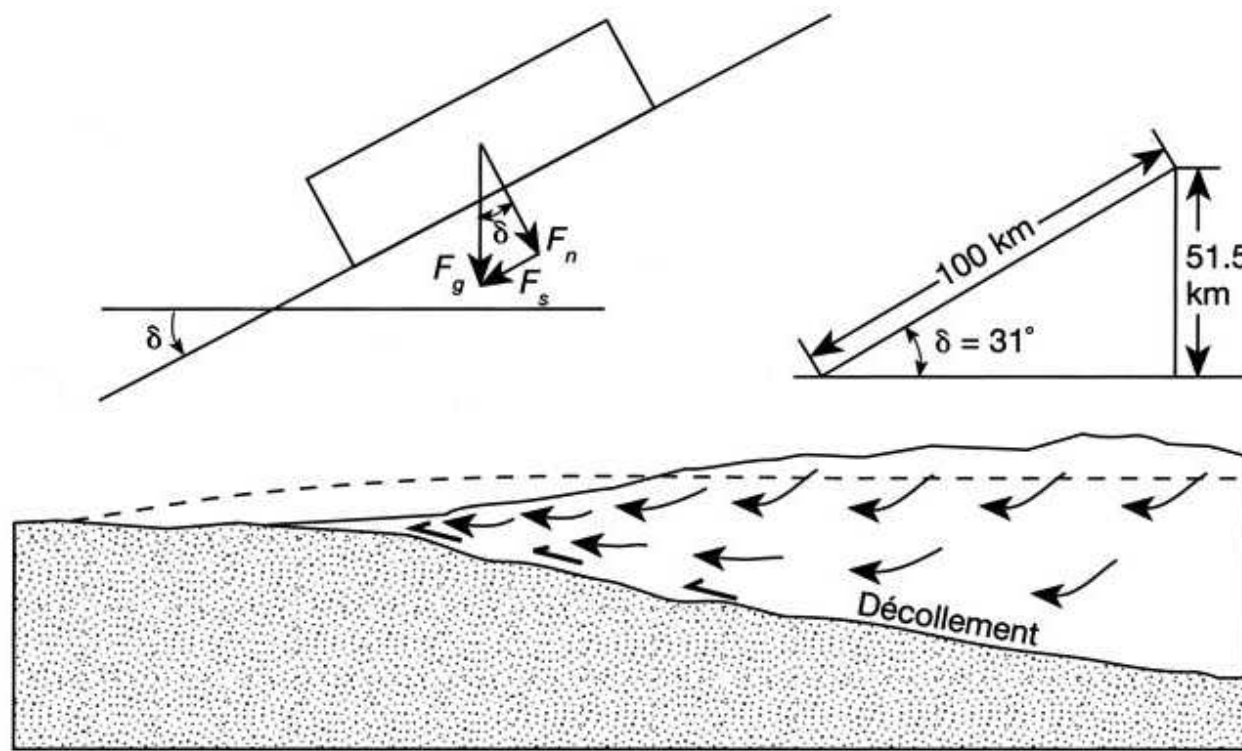
bulldozer model



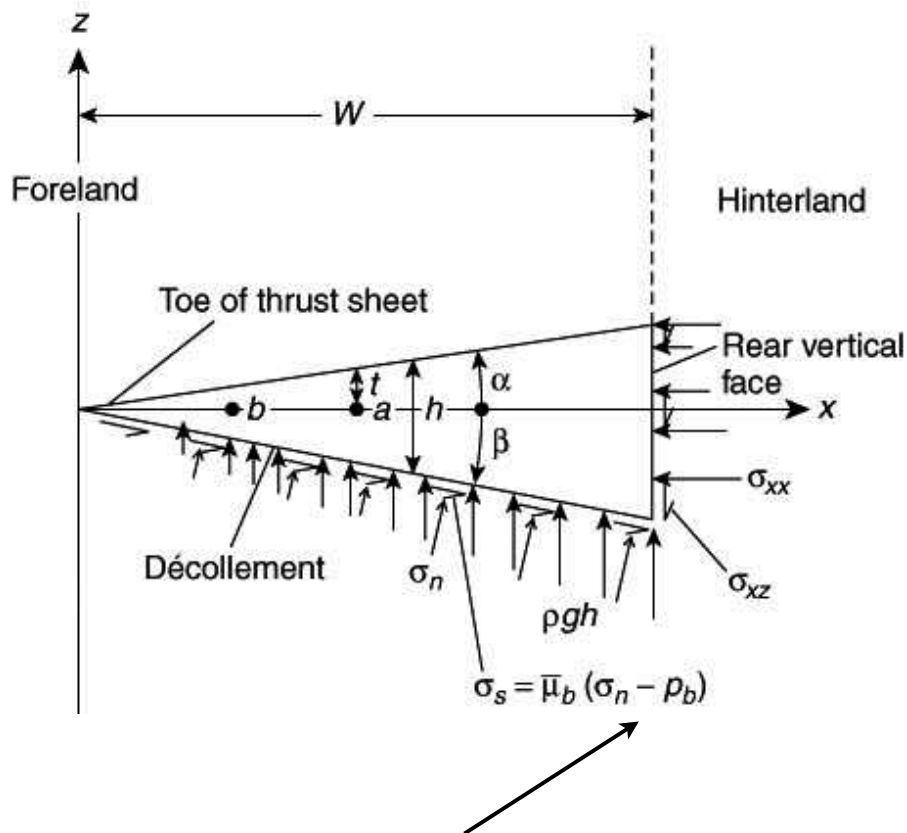
deformation of orogenic wedge



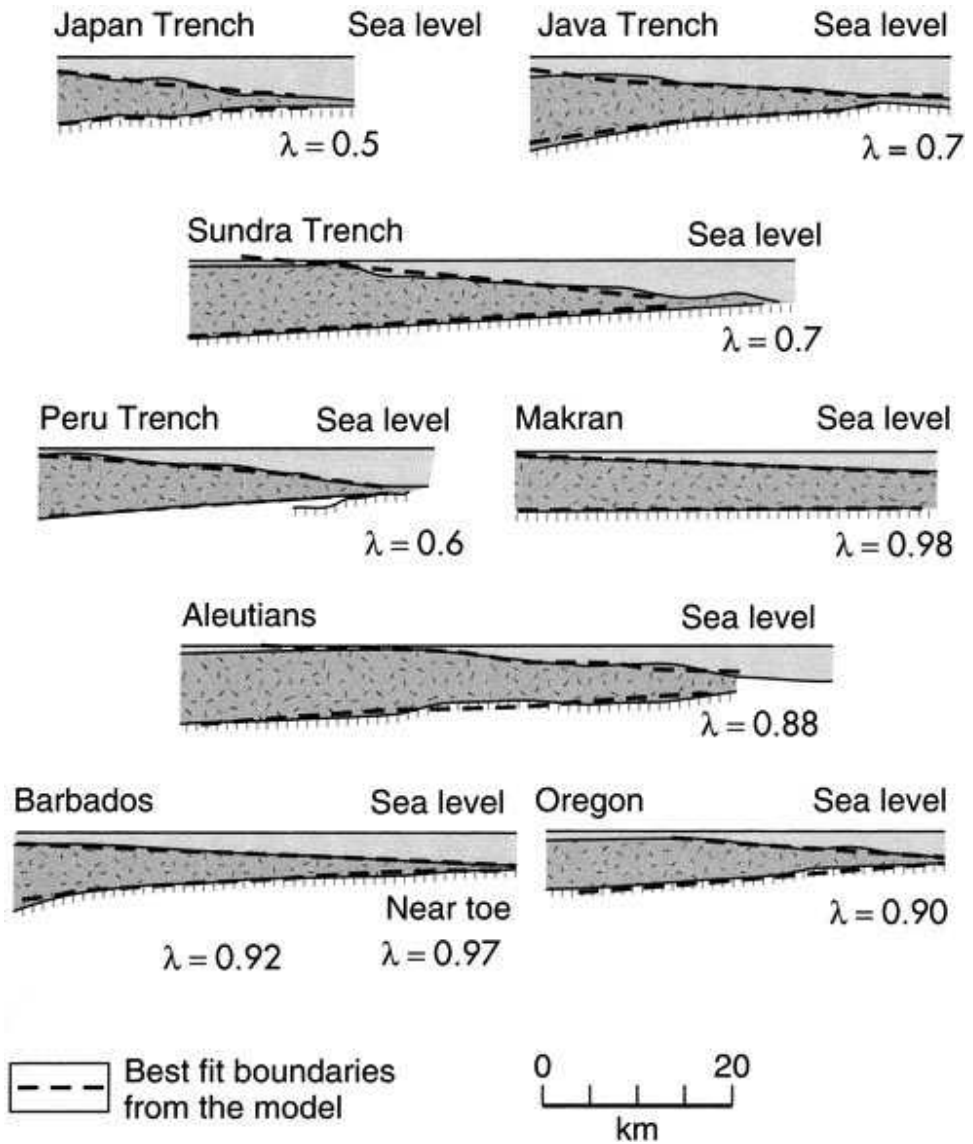
gravitationally driven thrust sheets



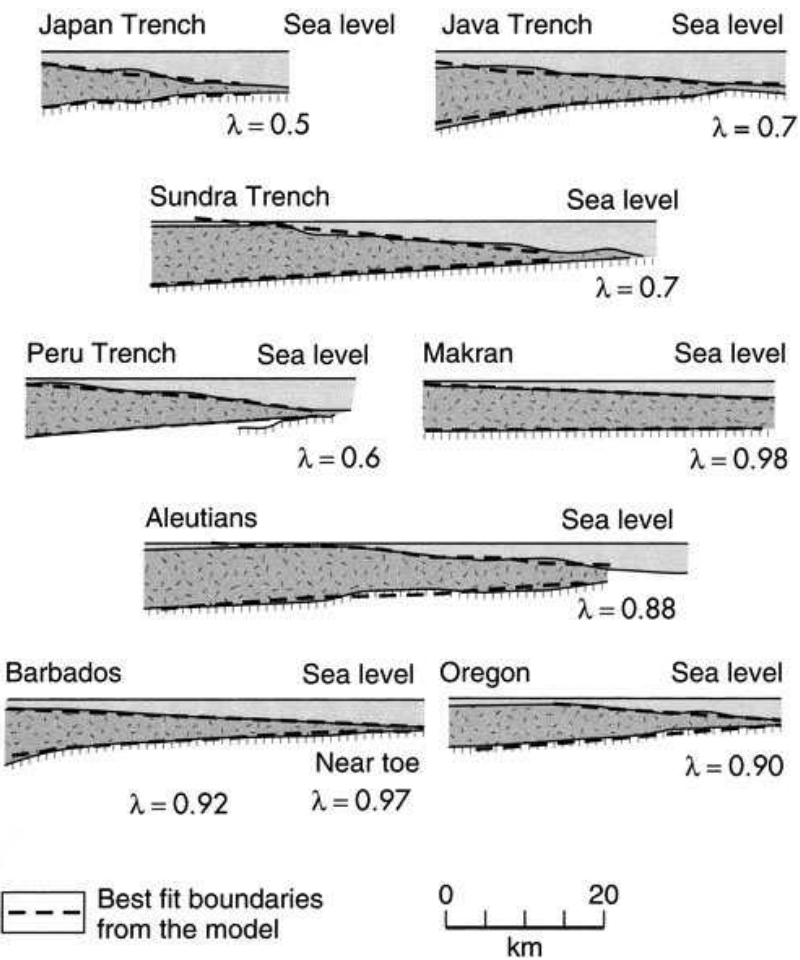
tapered thrust sheets



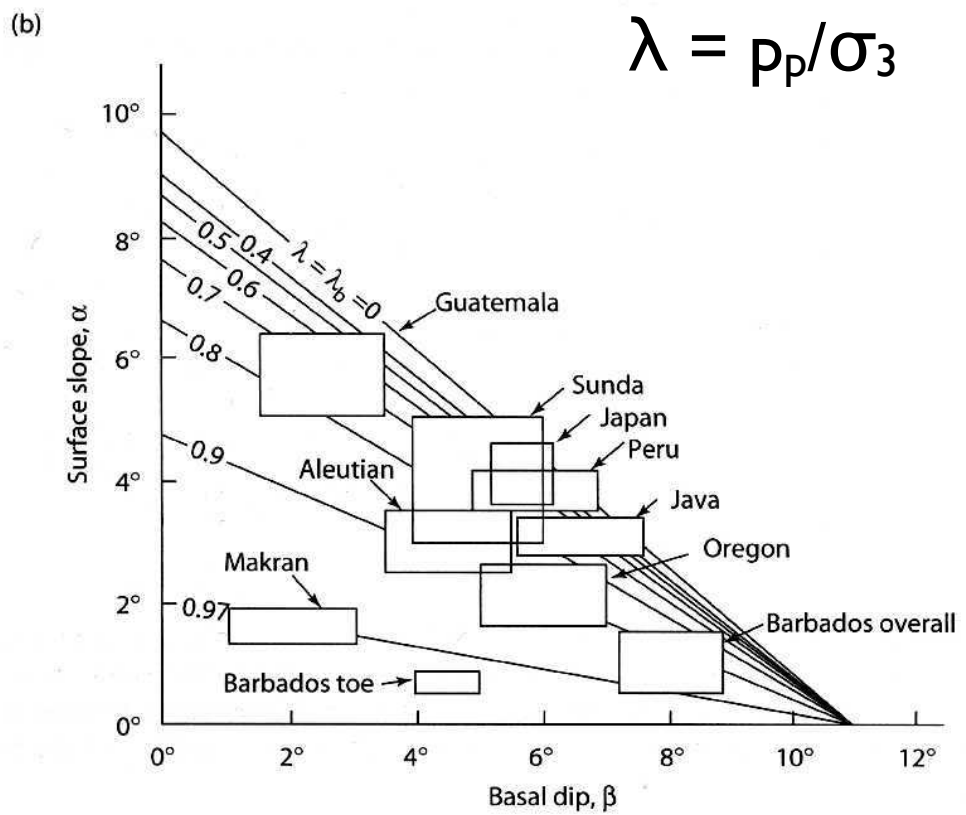
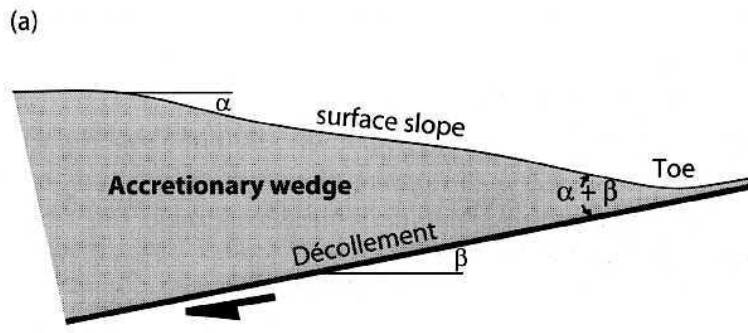
$$\lambda = p_p / \sigma_3$$



pore pressure effect

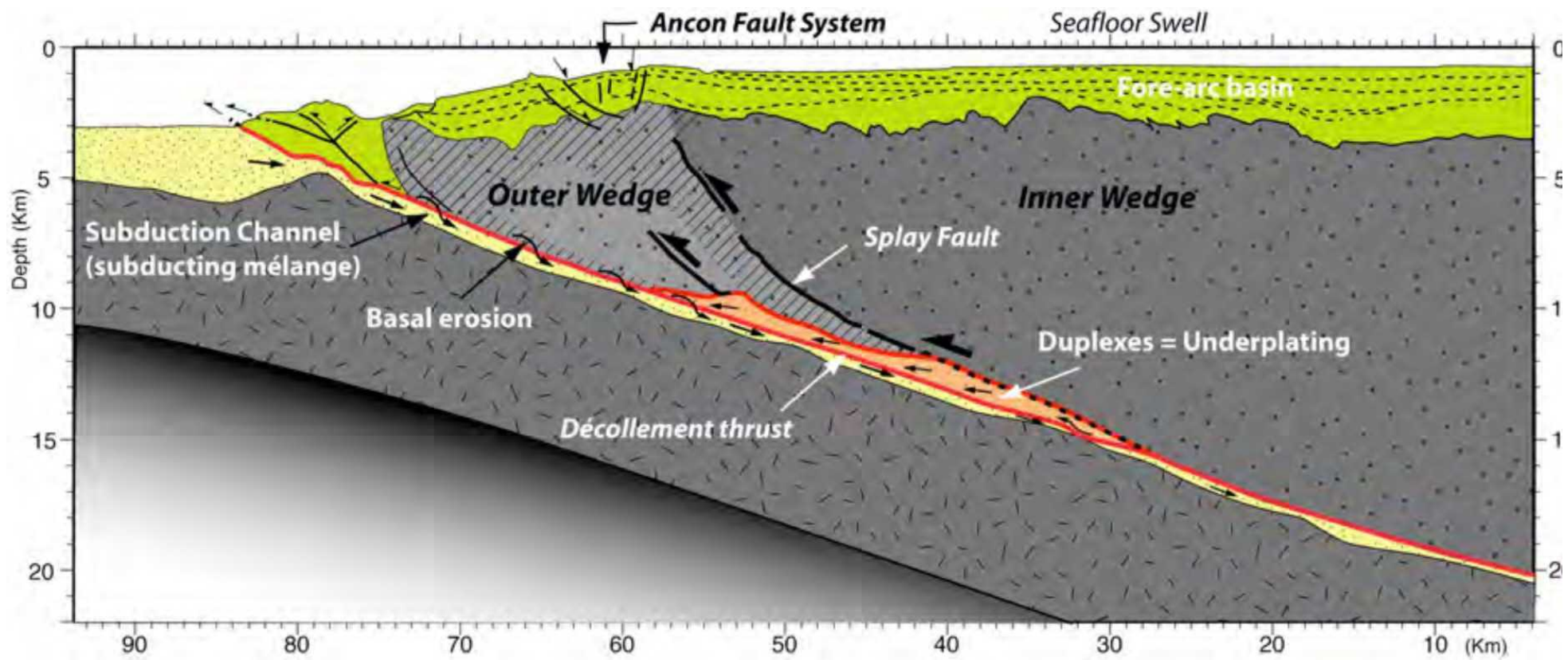


Kearey et al. 2009



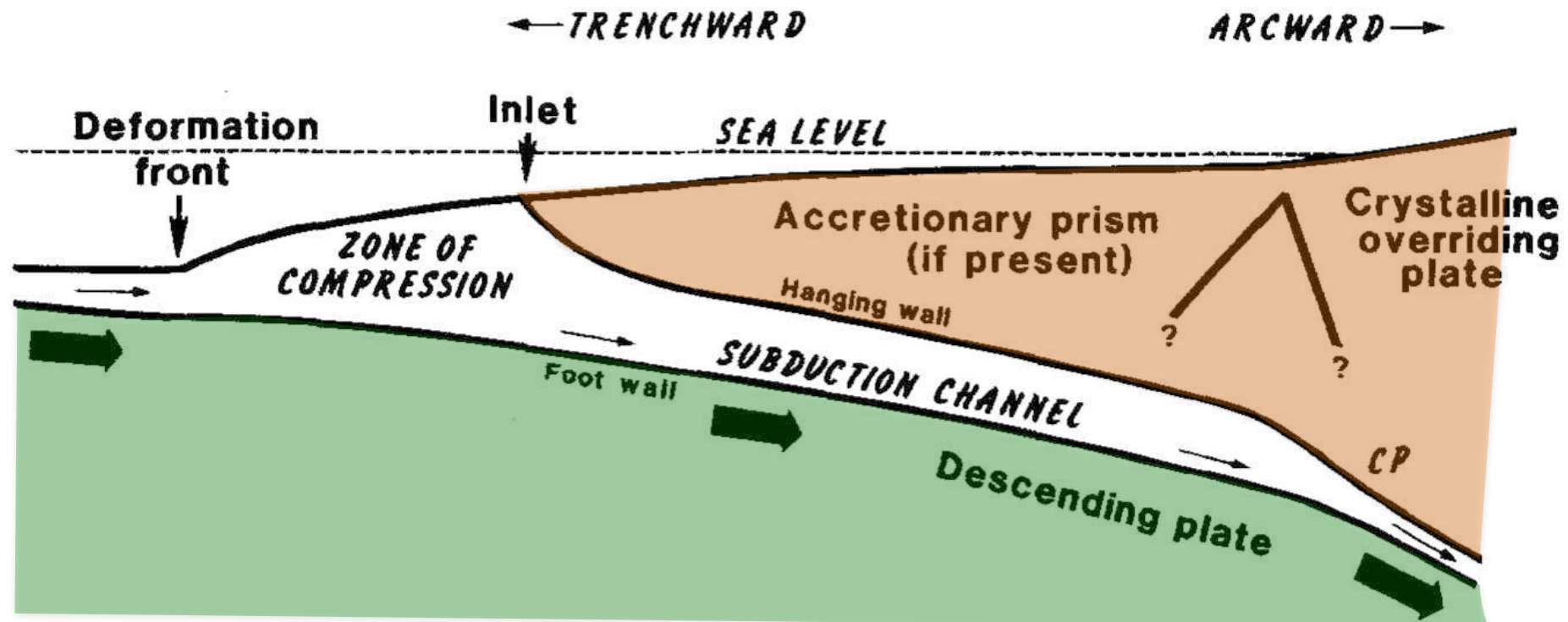
subduction channel

subduction channel

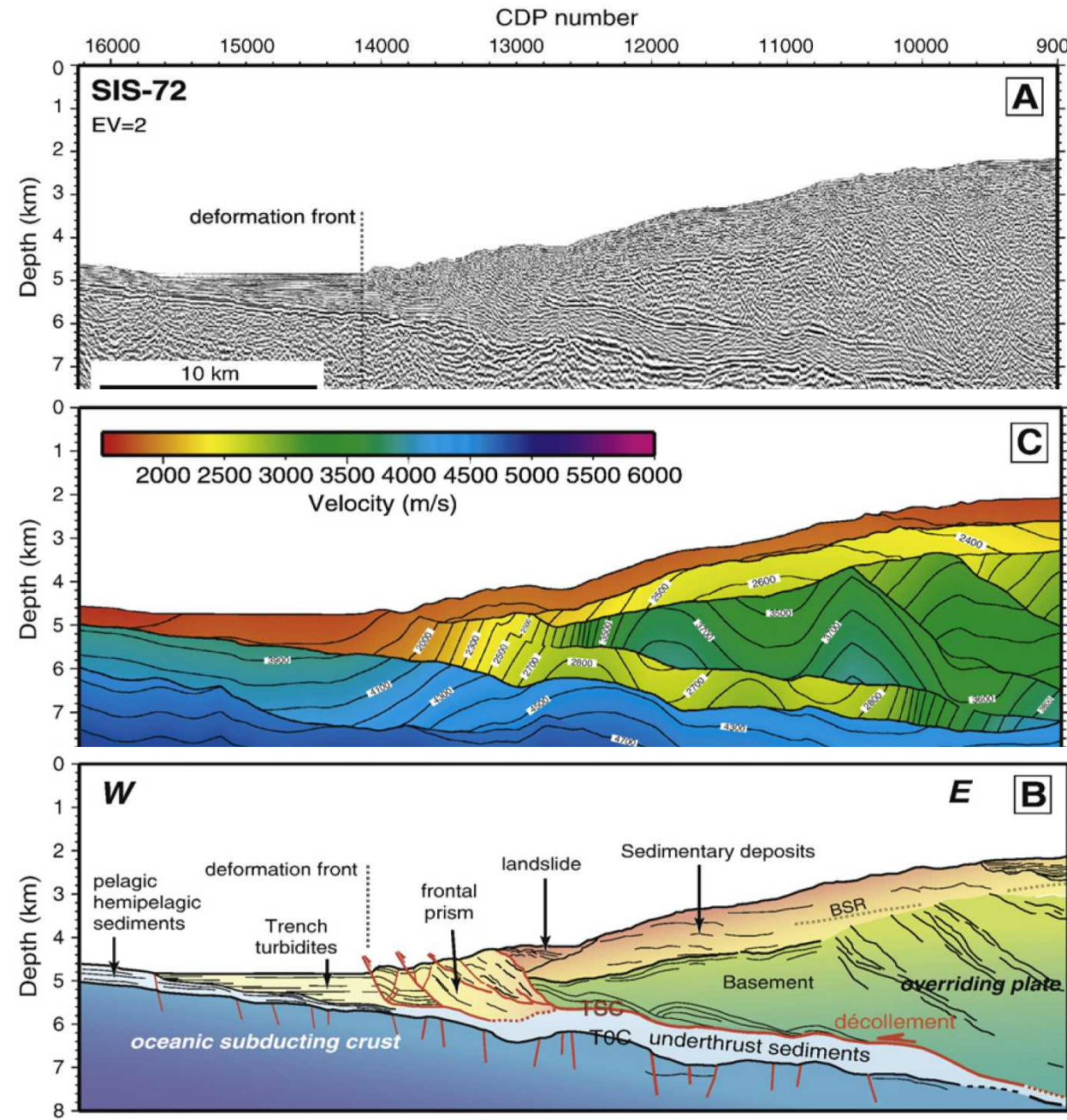


I - definition

Thin layer (less than 1 to several km) of poorly consolidated sediment dragged by the descending plate beneath the overriding one.



2- seismic evidence



3- mass balance

Potential frontal mass (in 2D) : $h \cdot v_c \cdot t$

where h = incoming sediment thickness

v_c = convergence rate

t = time

Observed mass (in 2D):

Surface of accreted sediment interpreted from seismic sections

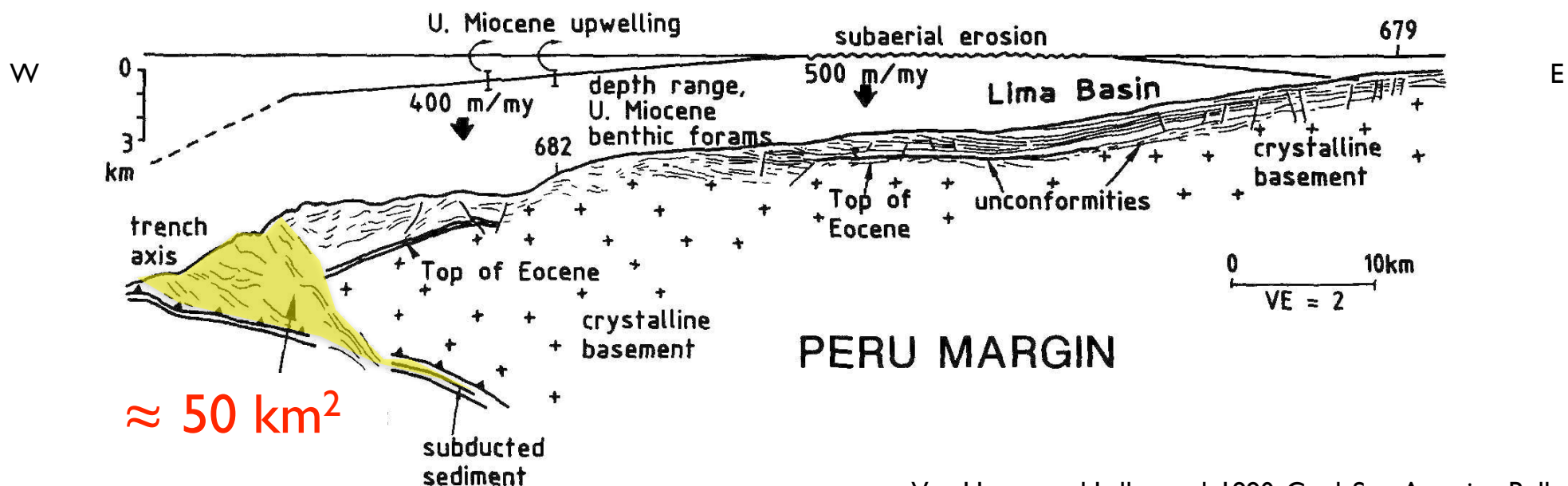
$h = 1\text{ km}$; $v_c = 10\text{ km/Ma}$ (1 cm/a); $t = 60\text{ Ma}$

Expected cross section of prism:

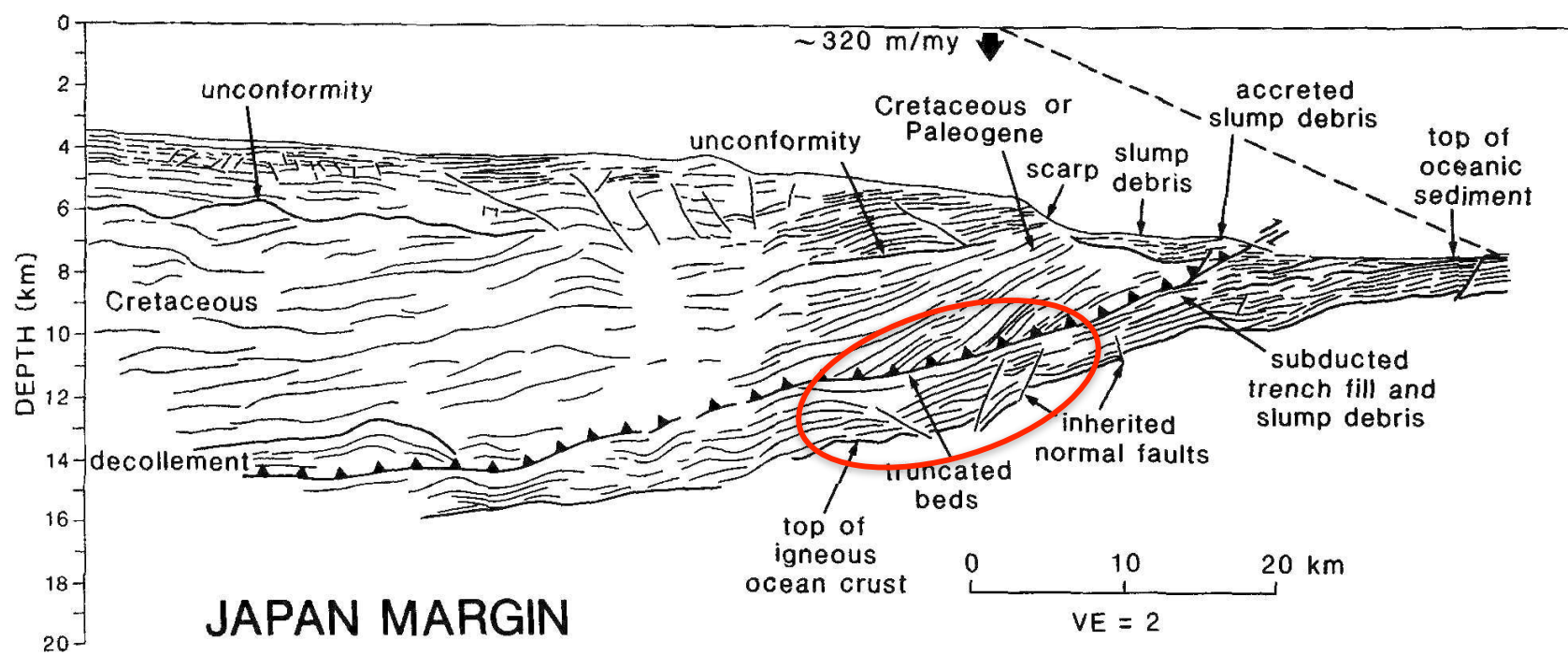
For $v_c = 100\text{ km/Ma}$ (10 cm/a);

600 km^2

6000 km^2



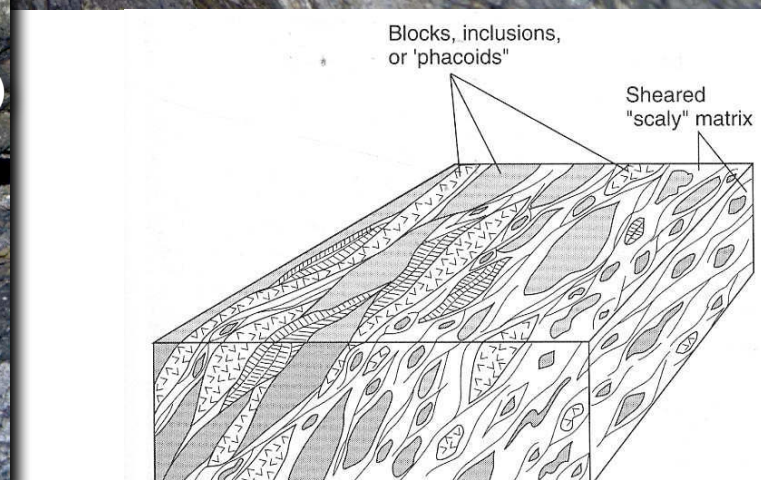
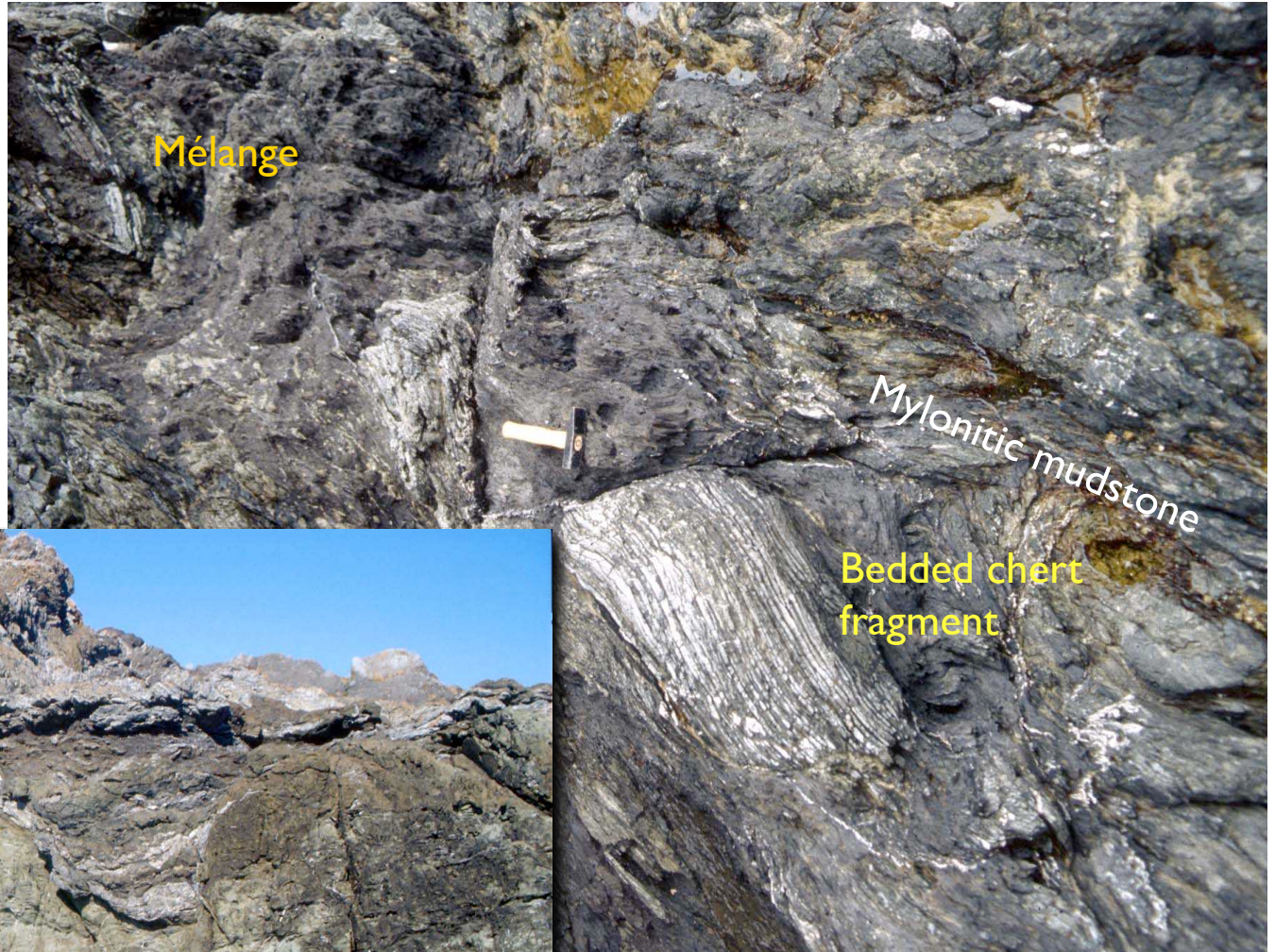
4- truncation of seismic reflector



5- lithology



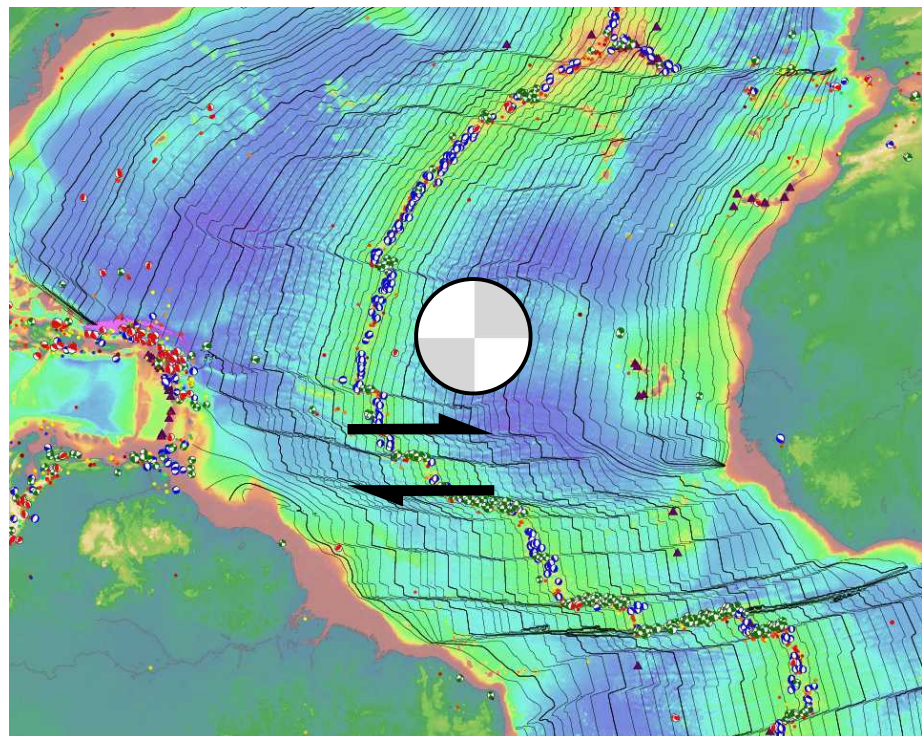
5- lithology



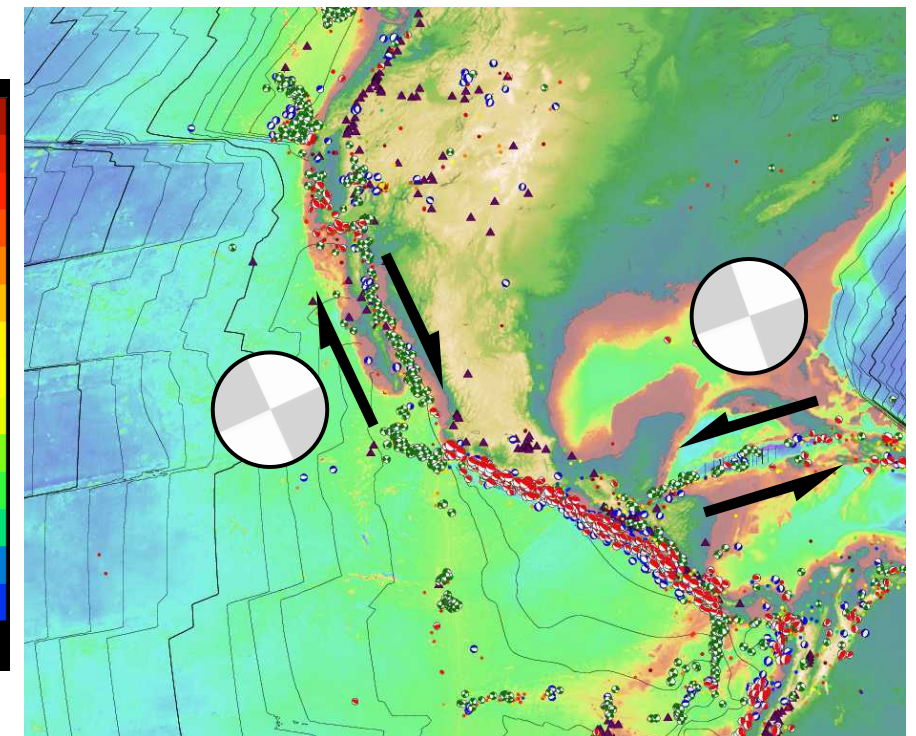
strike slip
geometry
kinematics

konservative Plattengrenze

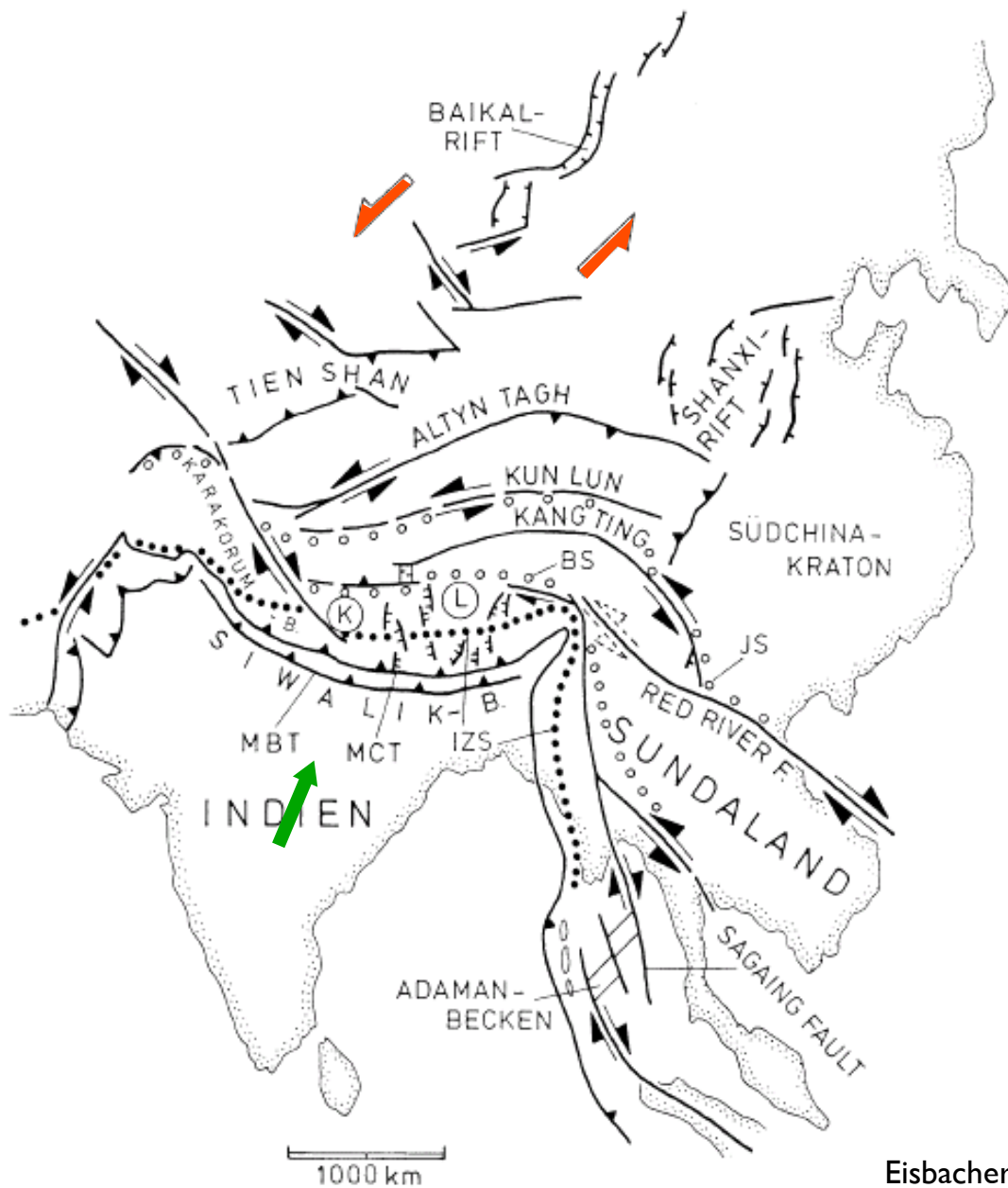
Transform-Brüche:
Segmente von Platten-grenzen an
mittelozeanischen Rücken



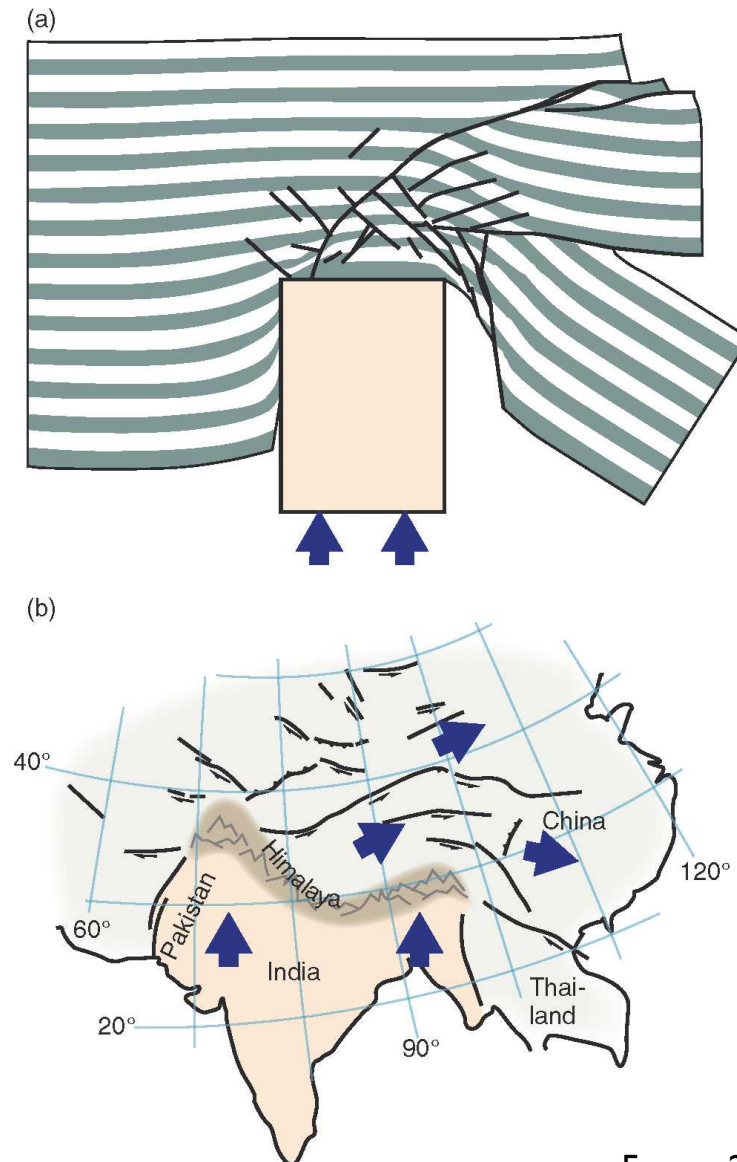
Transform Plattengrenzen:
Beispiel Kalifornien



Intrakontinentale Blattverschiebungen



Eisbacher (1996) after Tapponnier et al. (1986)

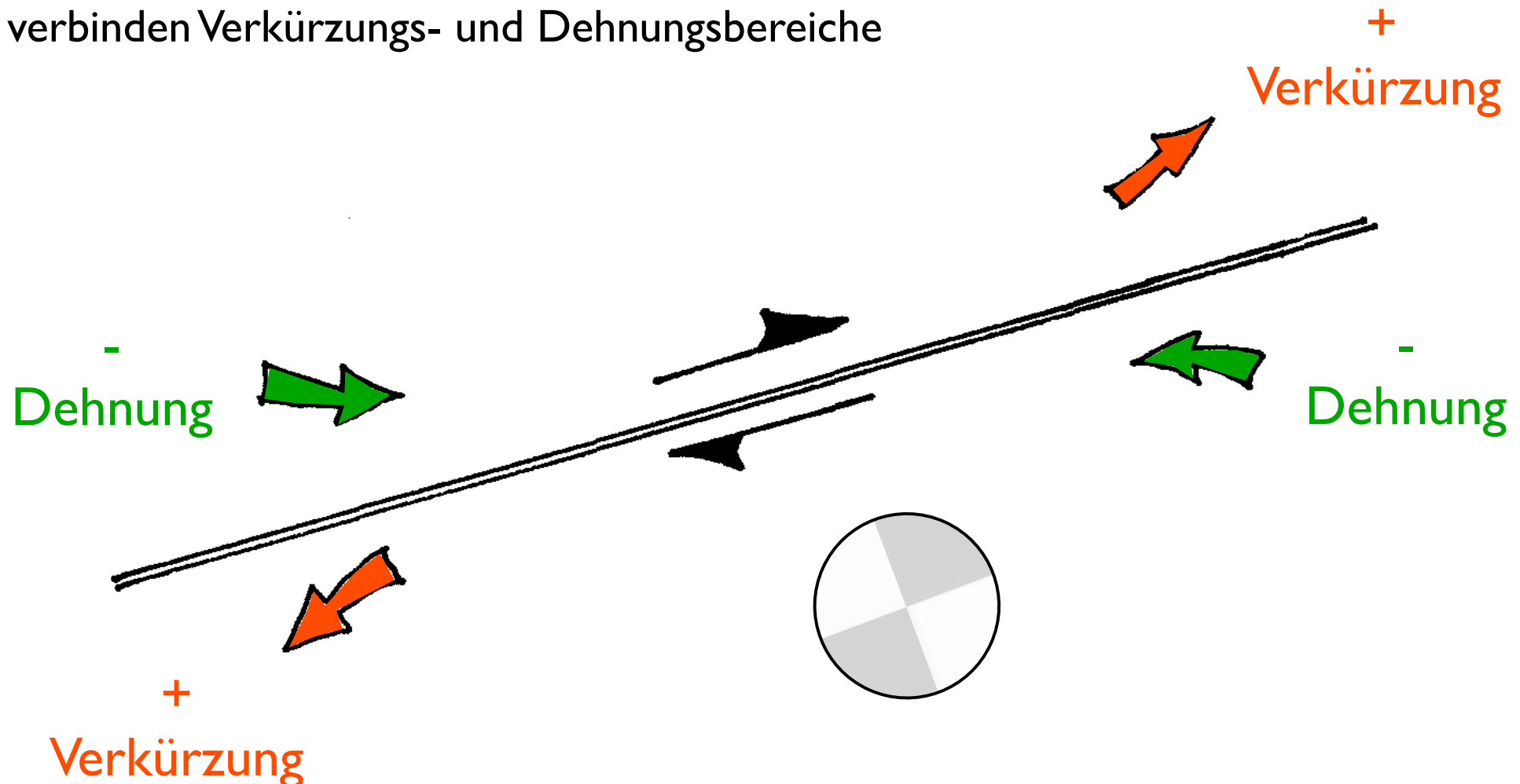


Fossen 2010

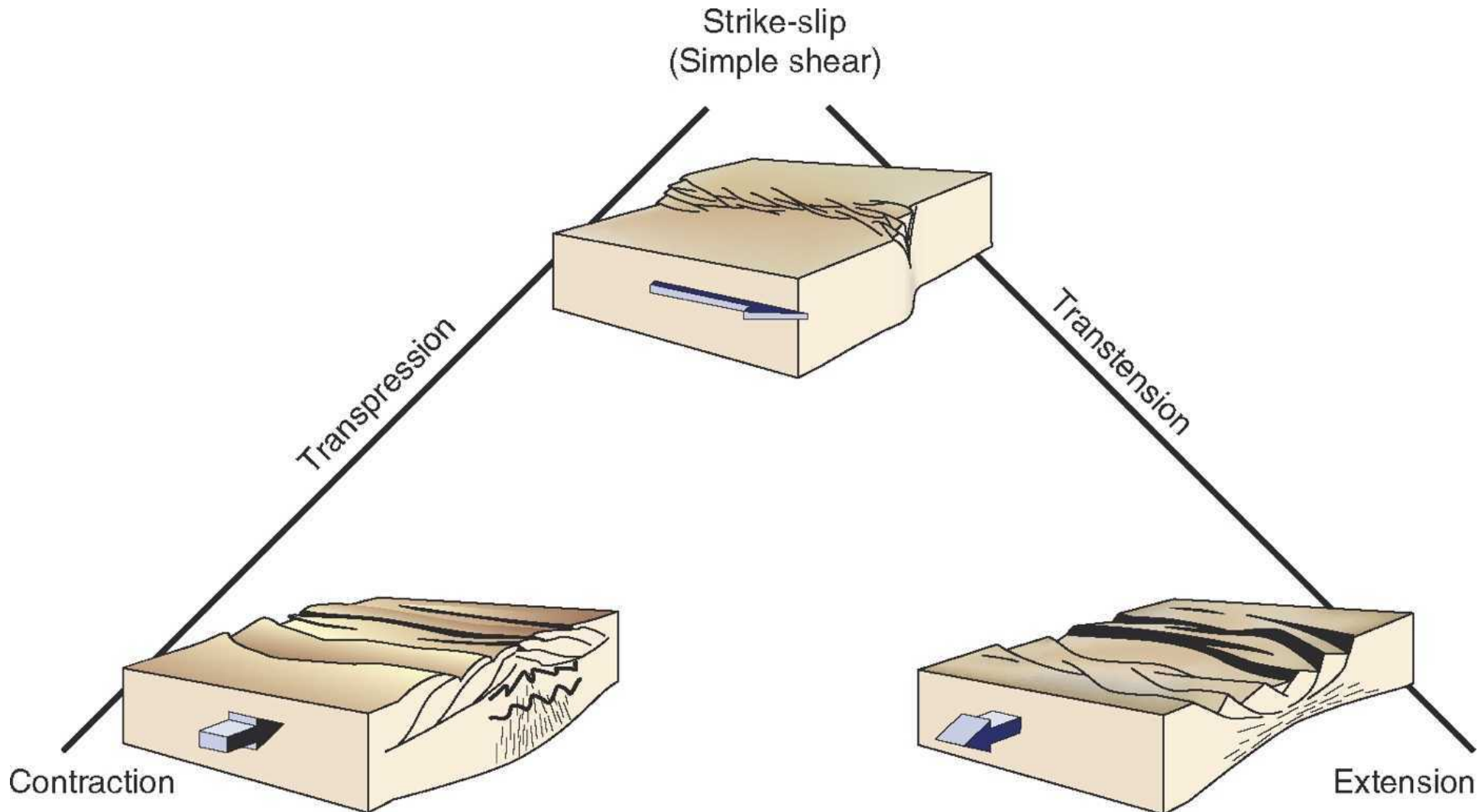
Transformsysteme

nehmen laterale Bewegungen parallel zu den Plattengrenzen auf
an Transformstörungen (transform faults)
an Blattverschiebungen (strike-slip faults, transcurrent faults)

verbinden Verkürzungs- und Dehnungsbereiche

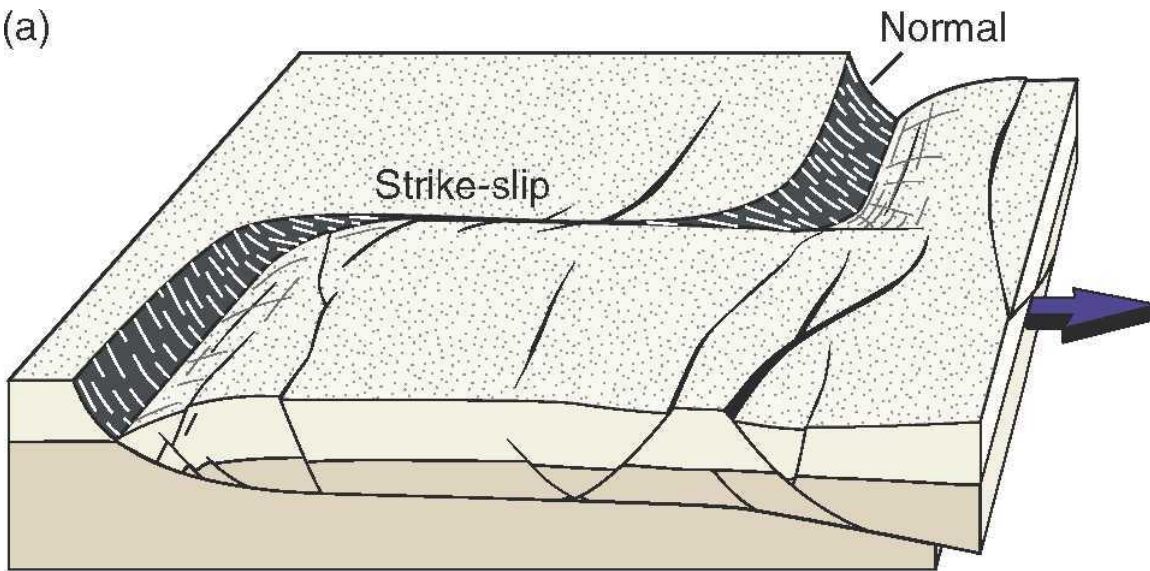


strike-slip & contaction / extension

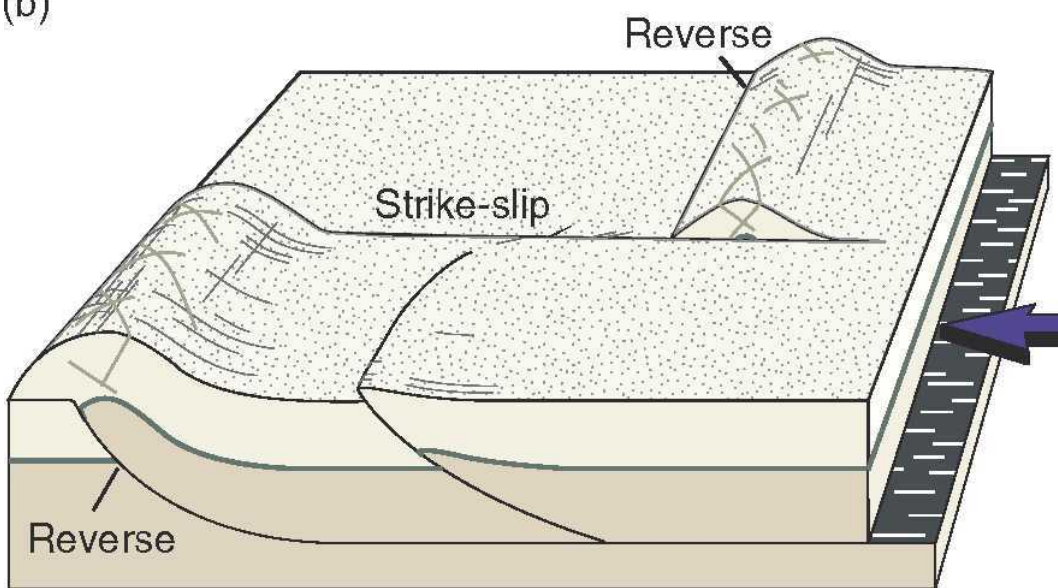


connecting strike-slip

(a)

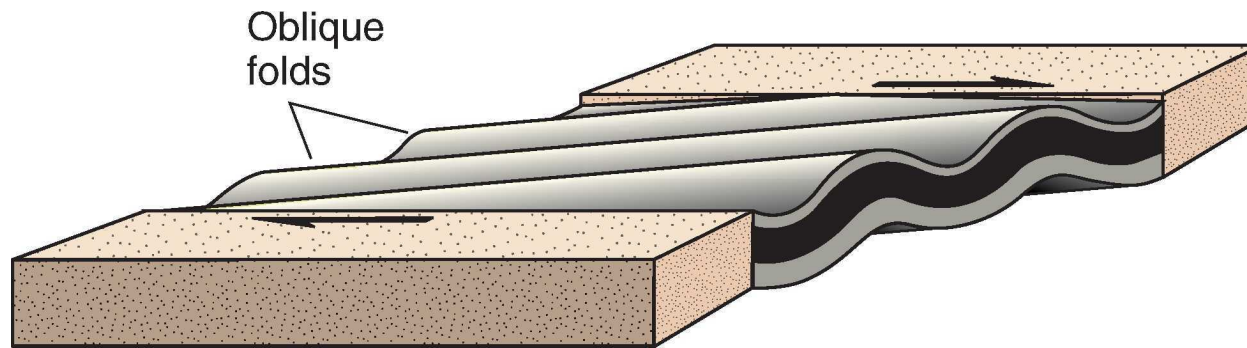


(b)

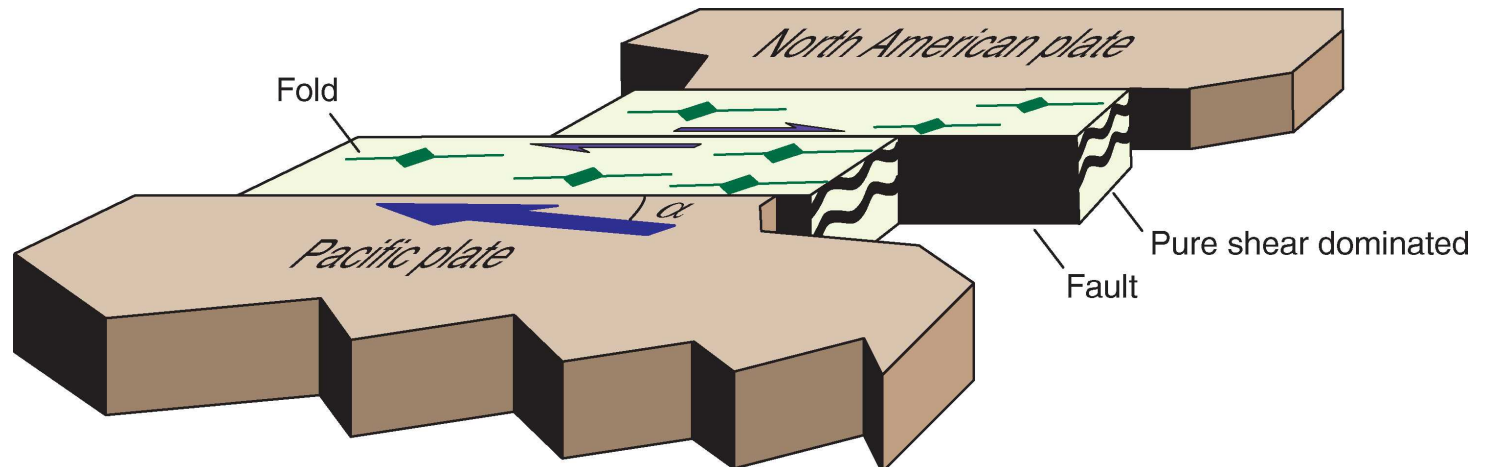


strike-slip & folding

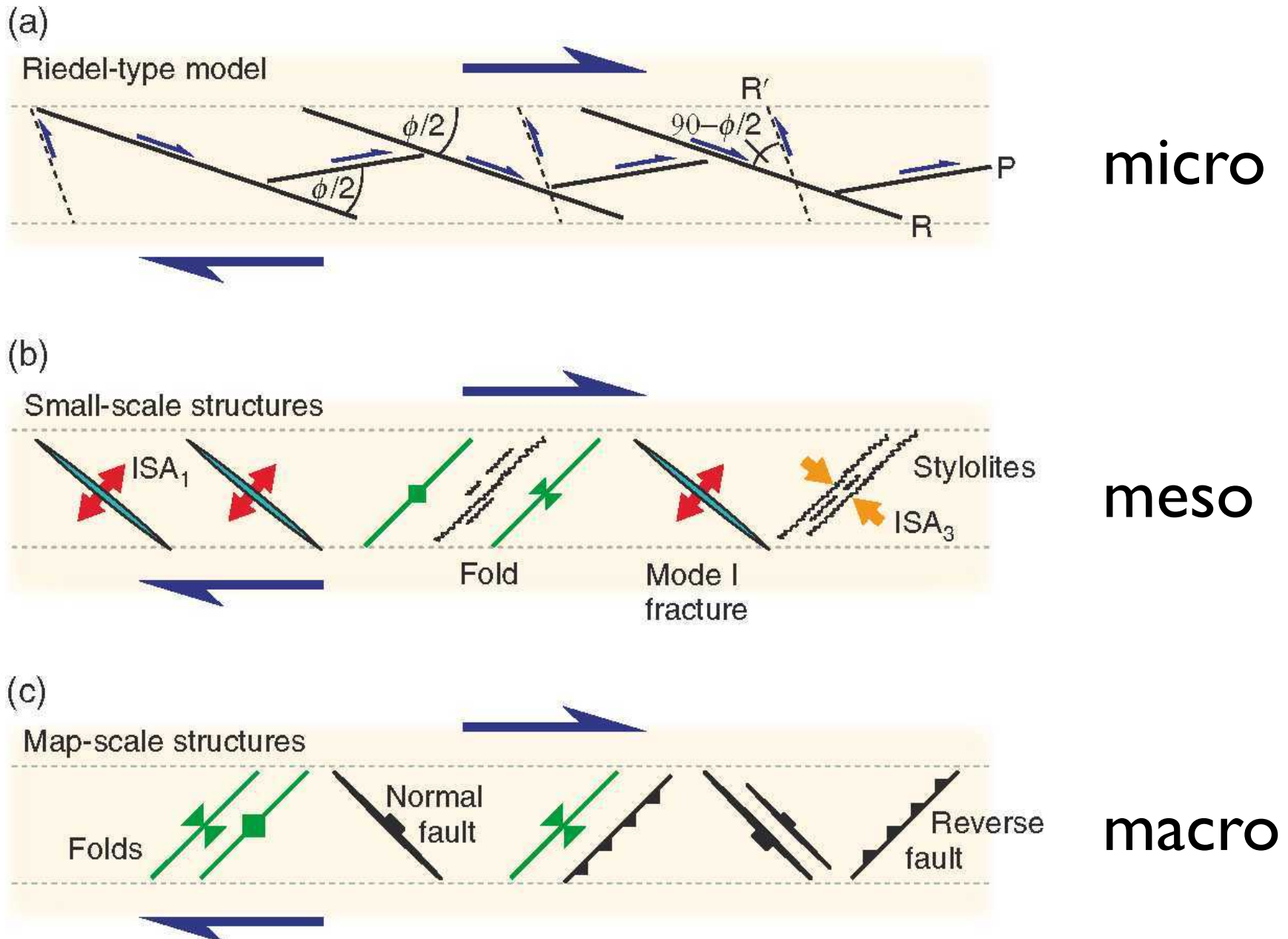
If deformation occurs by non-brittle mechanisms, folding may accompany strike slip faulting



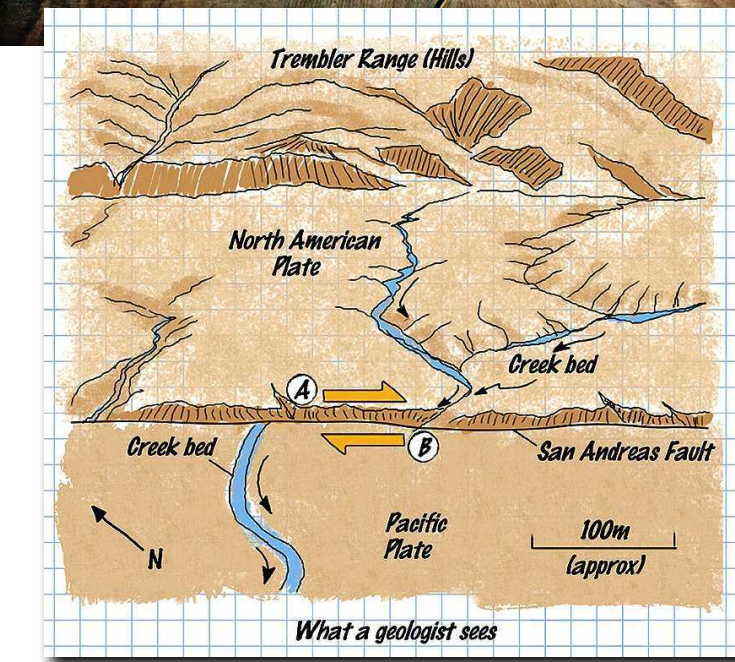
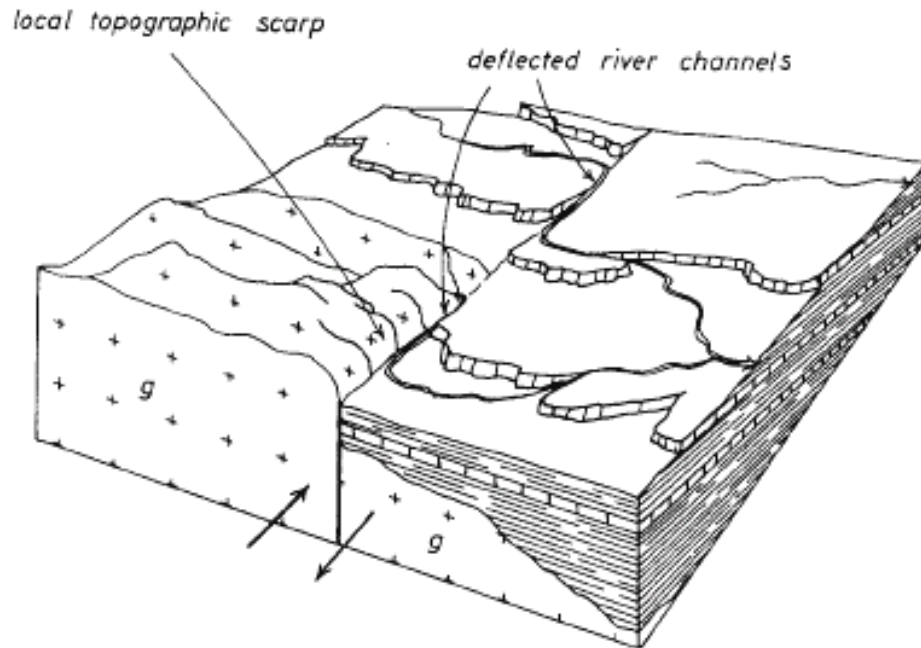
Strain partitioning can lead to fold patterns which are not oblique to simple shear zone boundaries



transfer system geometry



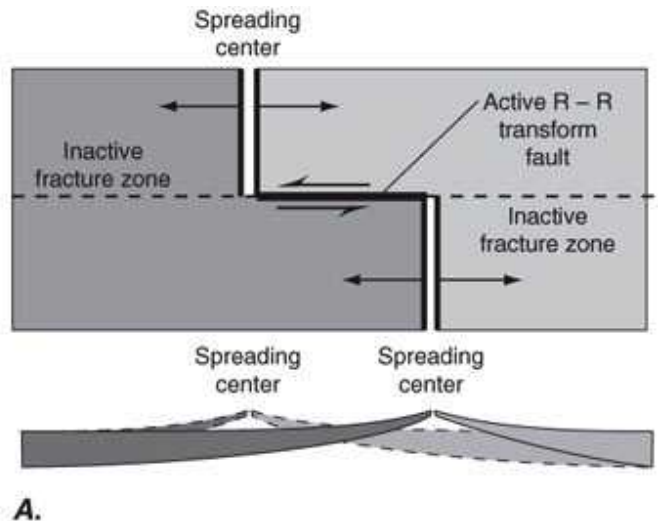
Geomorphologie von strike-slip



transform systems

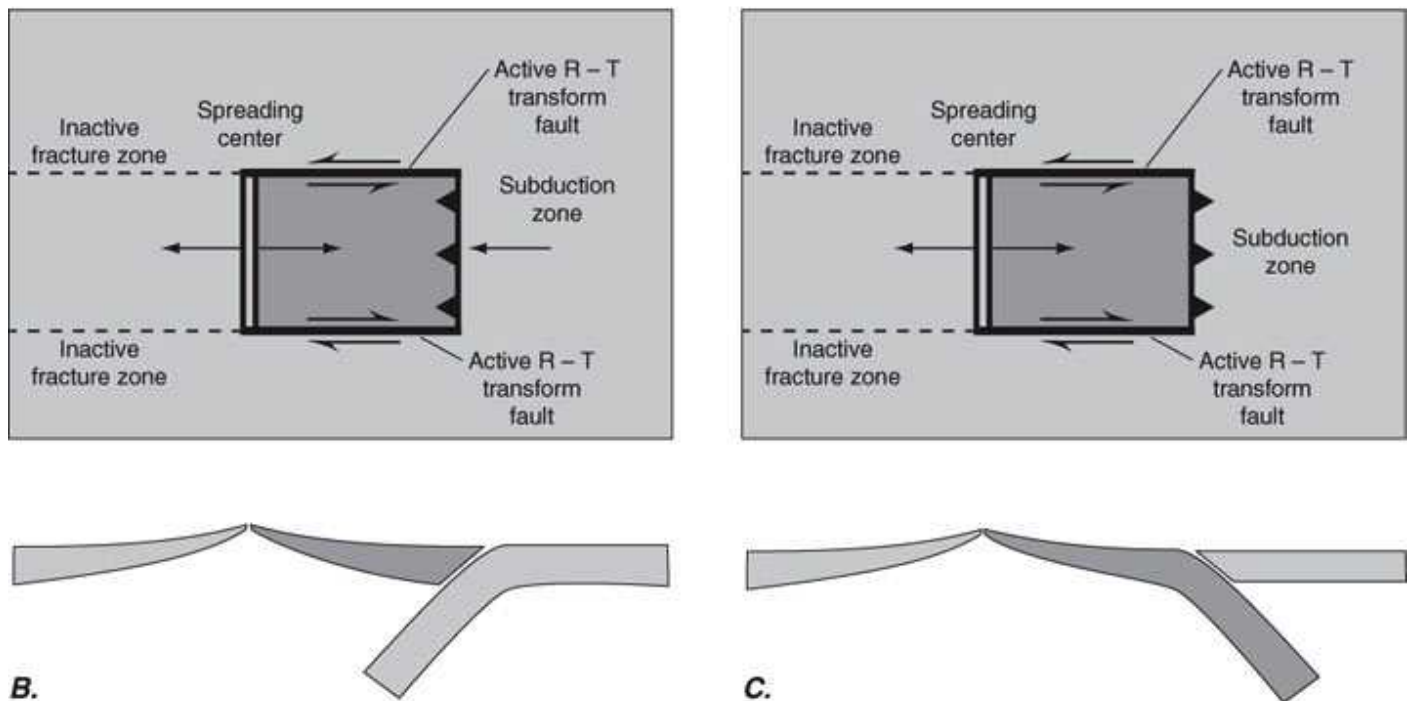
Transformsysteme

ridge-ridge

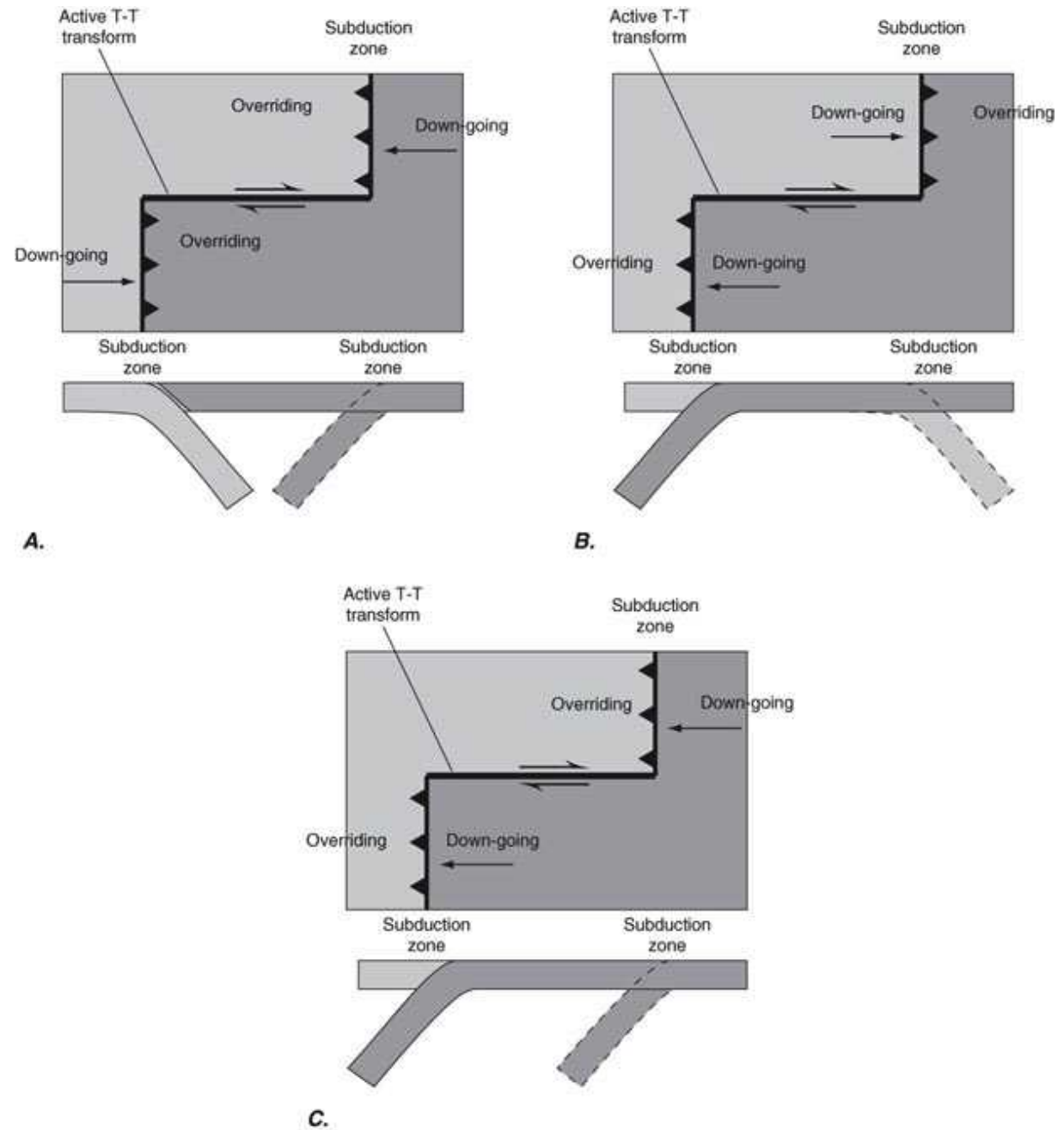


A.

ridge-trench

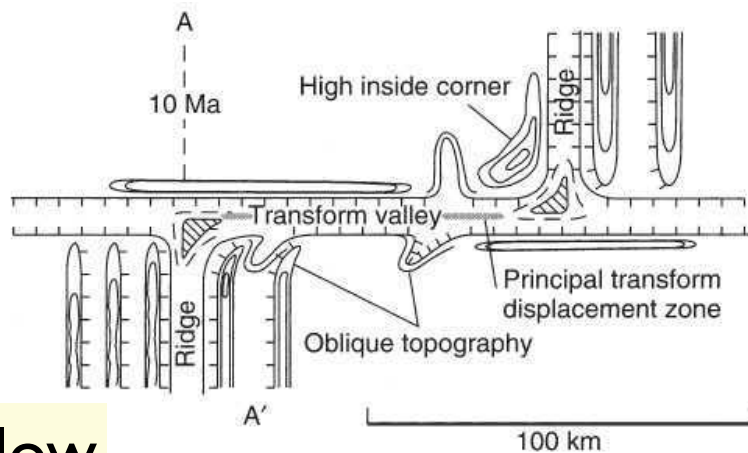


Transformsysteme

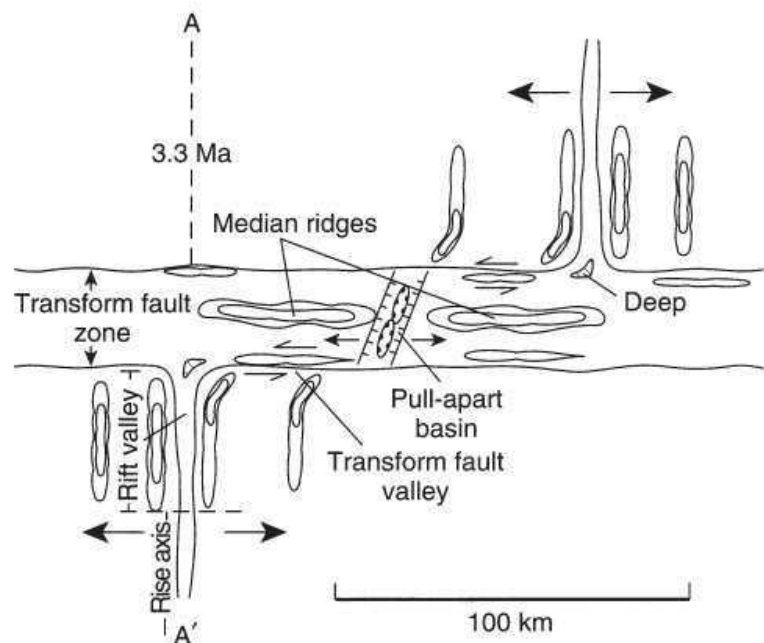


trench-trench

Transformsysteme

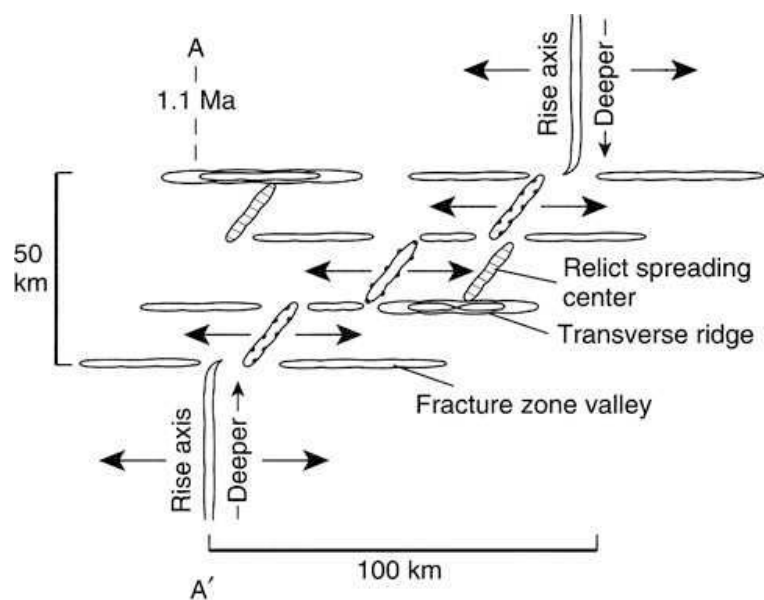


< 5 cm / a



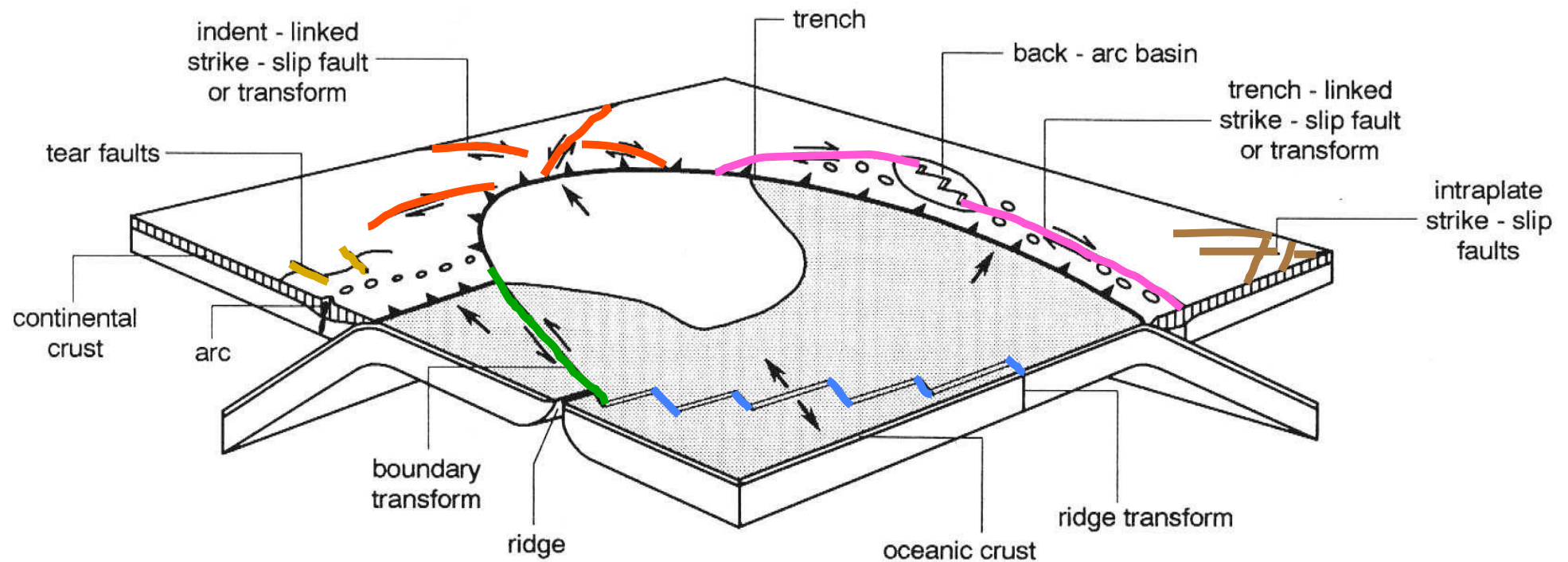
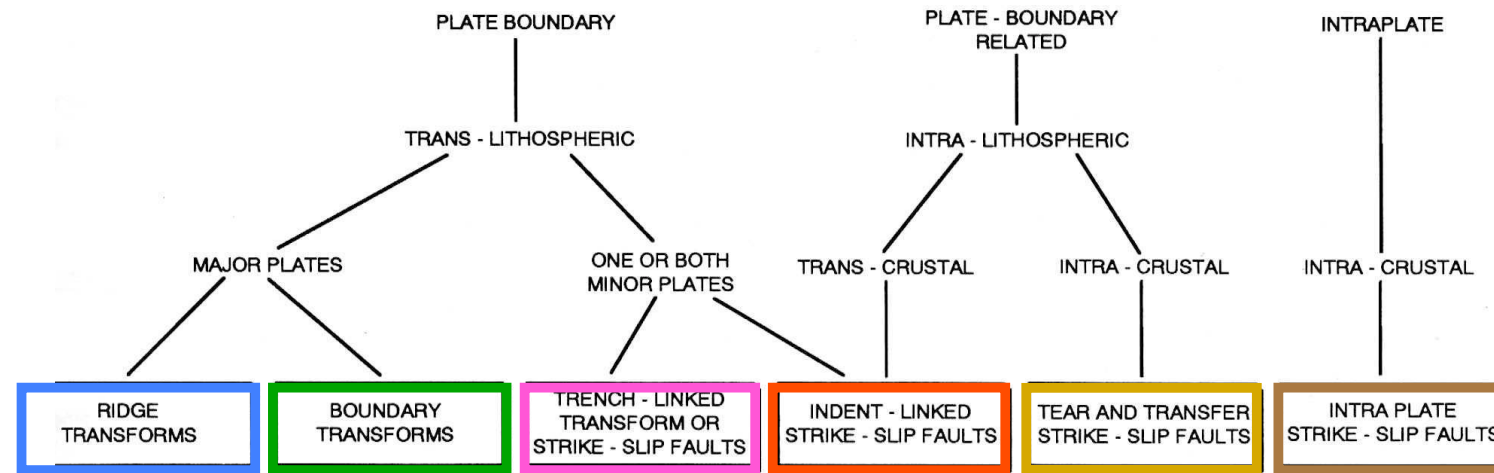
intermediate

5 - 9 cm / a



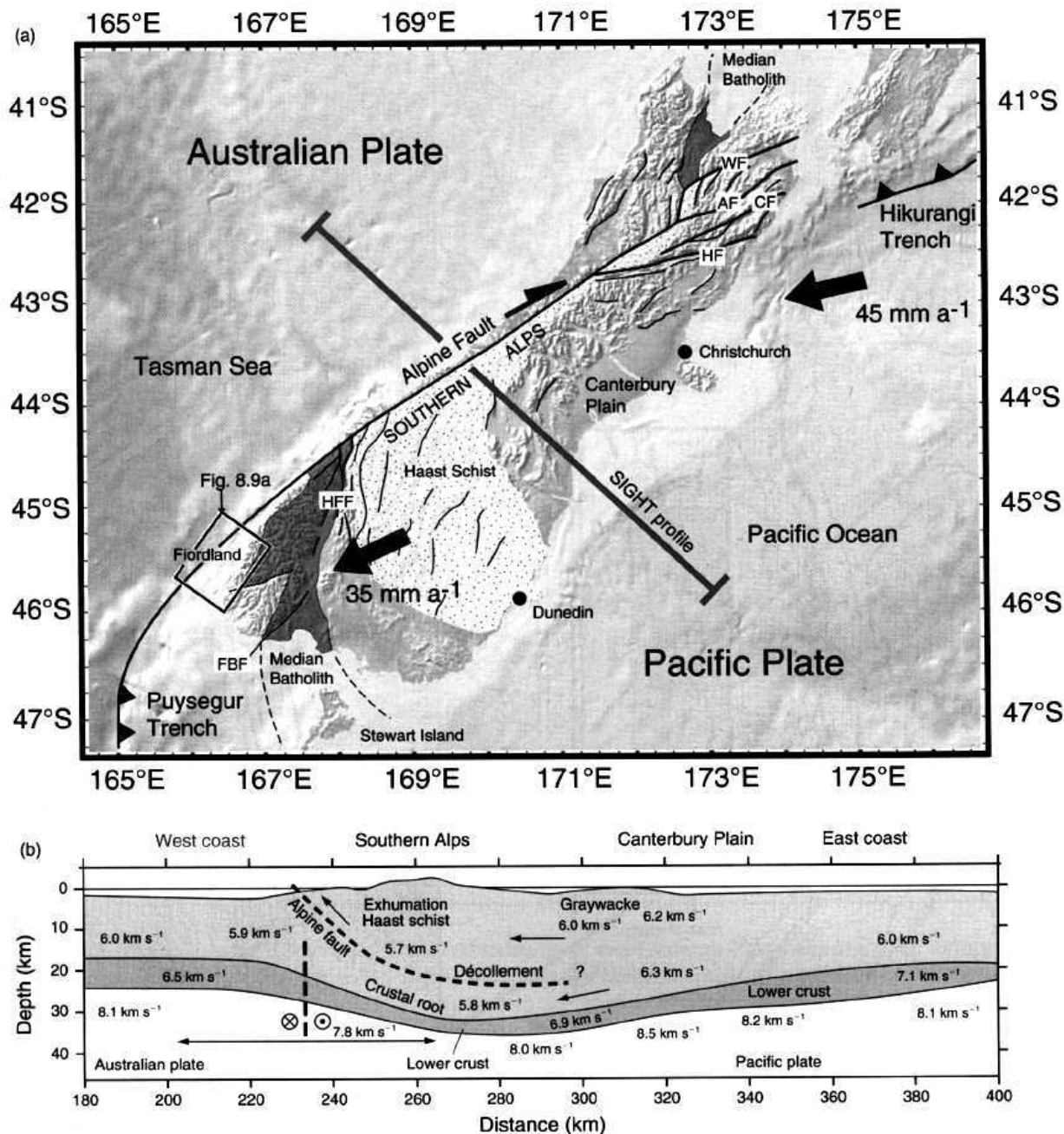
fast
9 - 18 cm / a

Typen von Transformsystemen

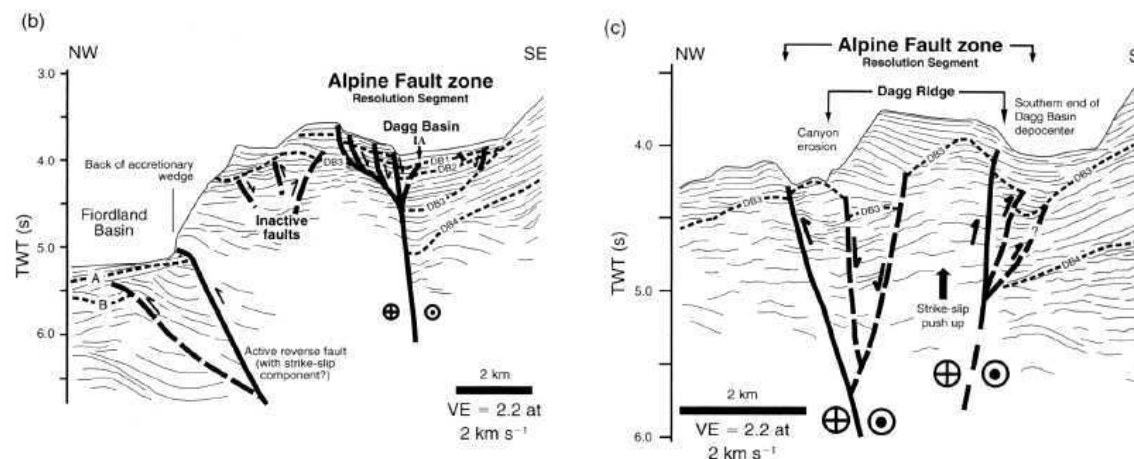
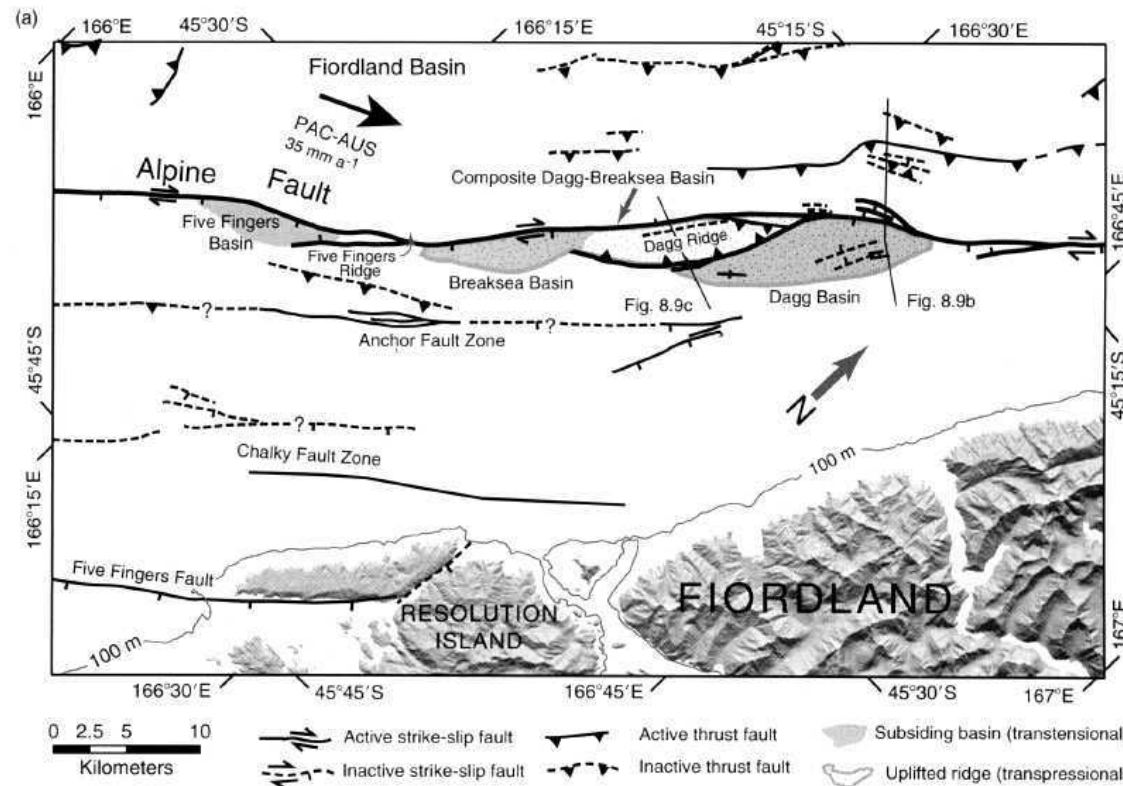


examples

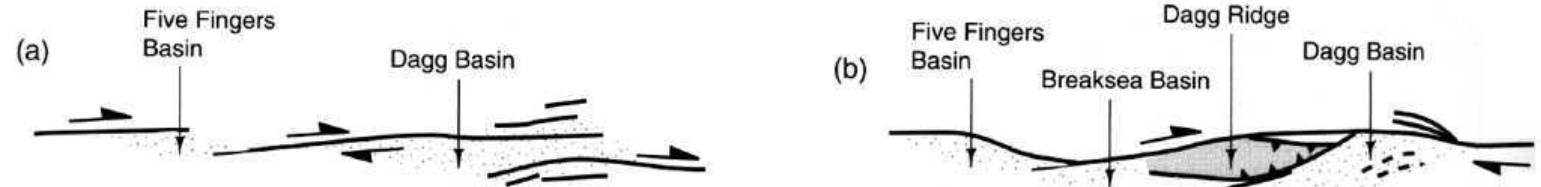
Alpine Fault, New Zealand



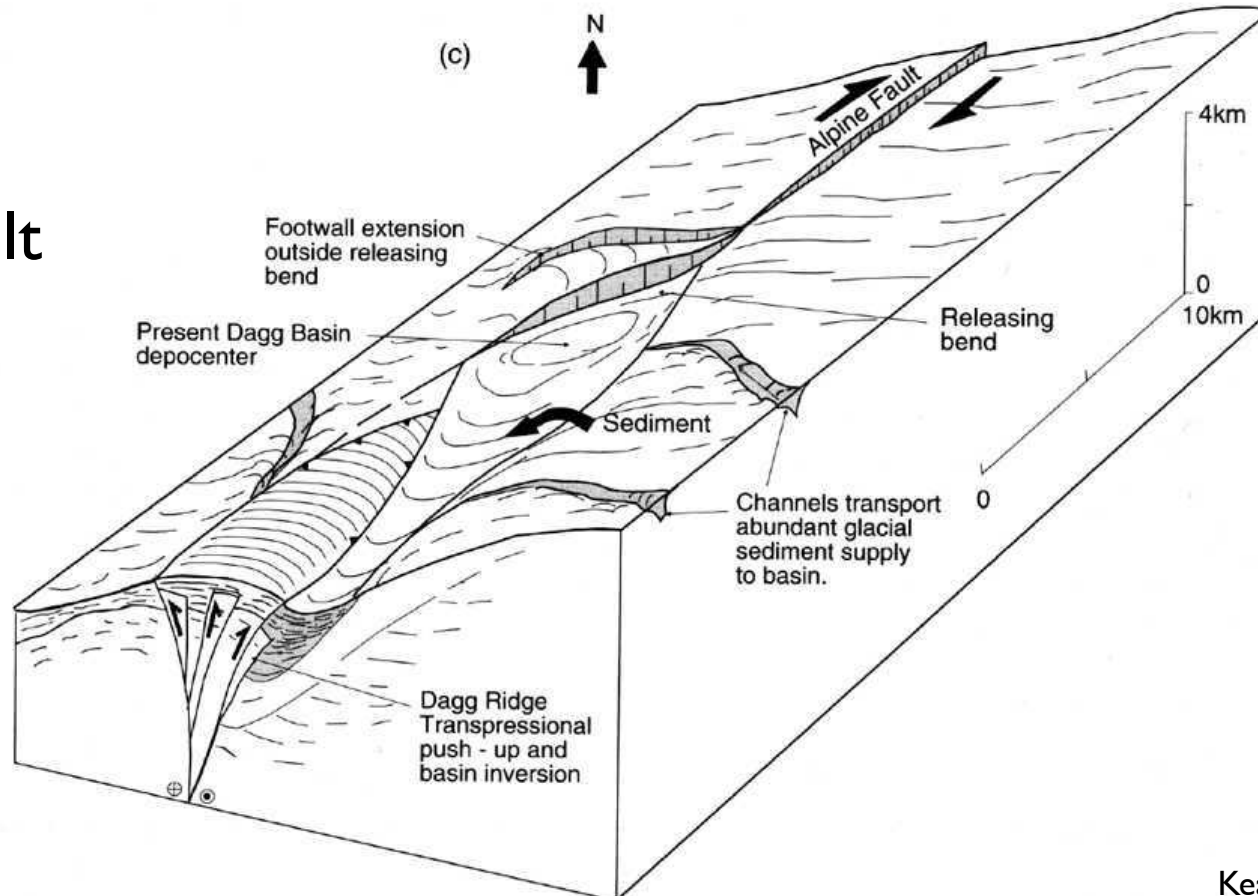
Alpine Fault, New Zealand



Alpine Fault, New Zealand

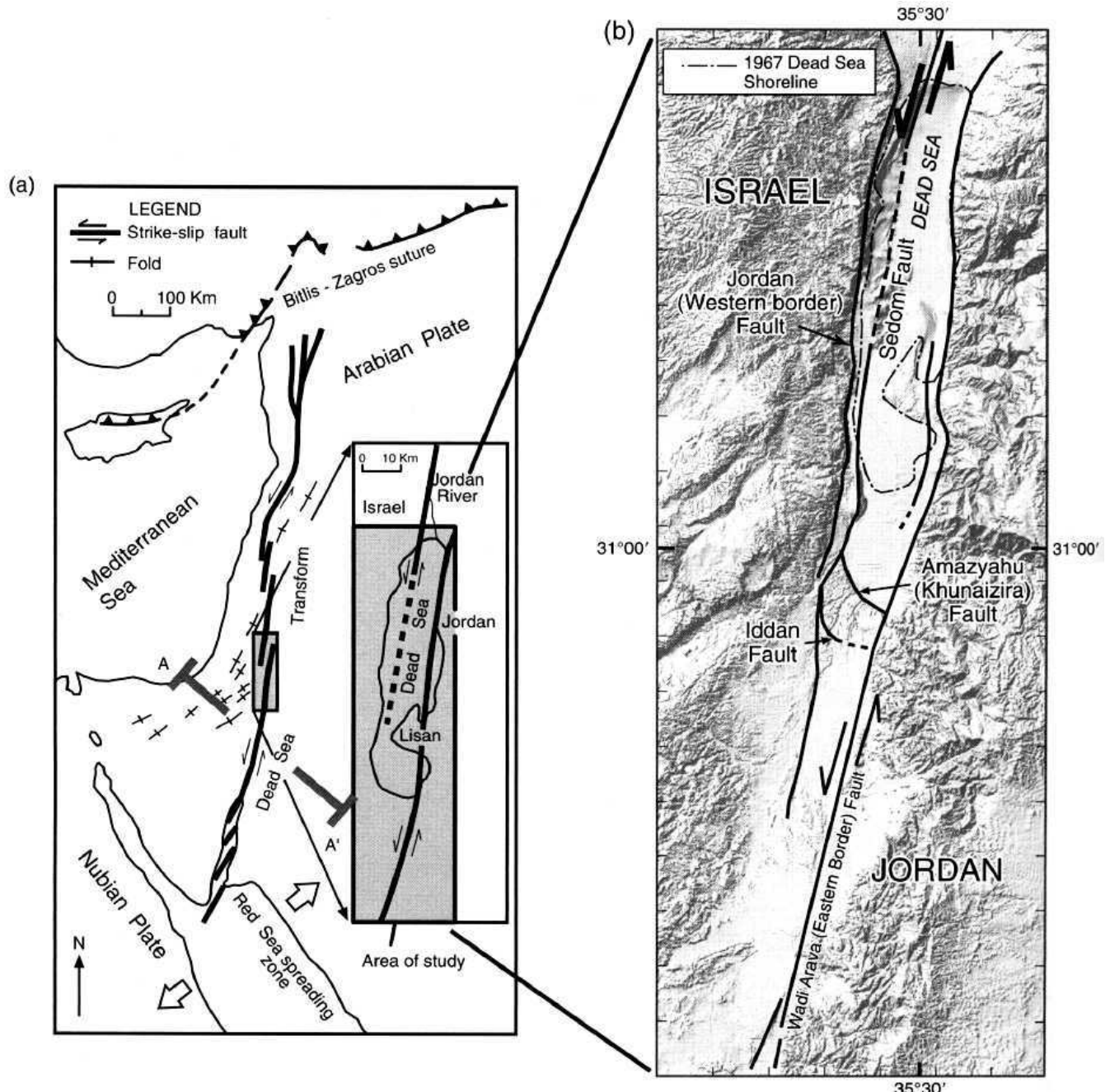


Restraining and
releasing bends
change along
length of the fault

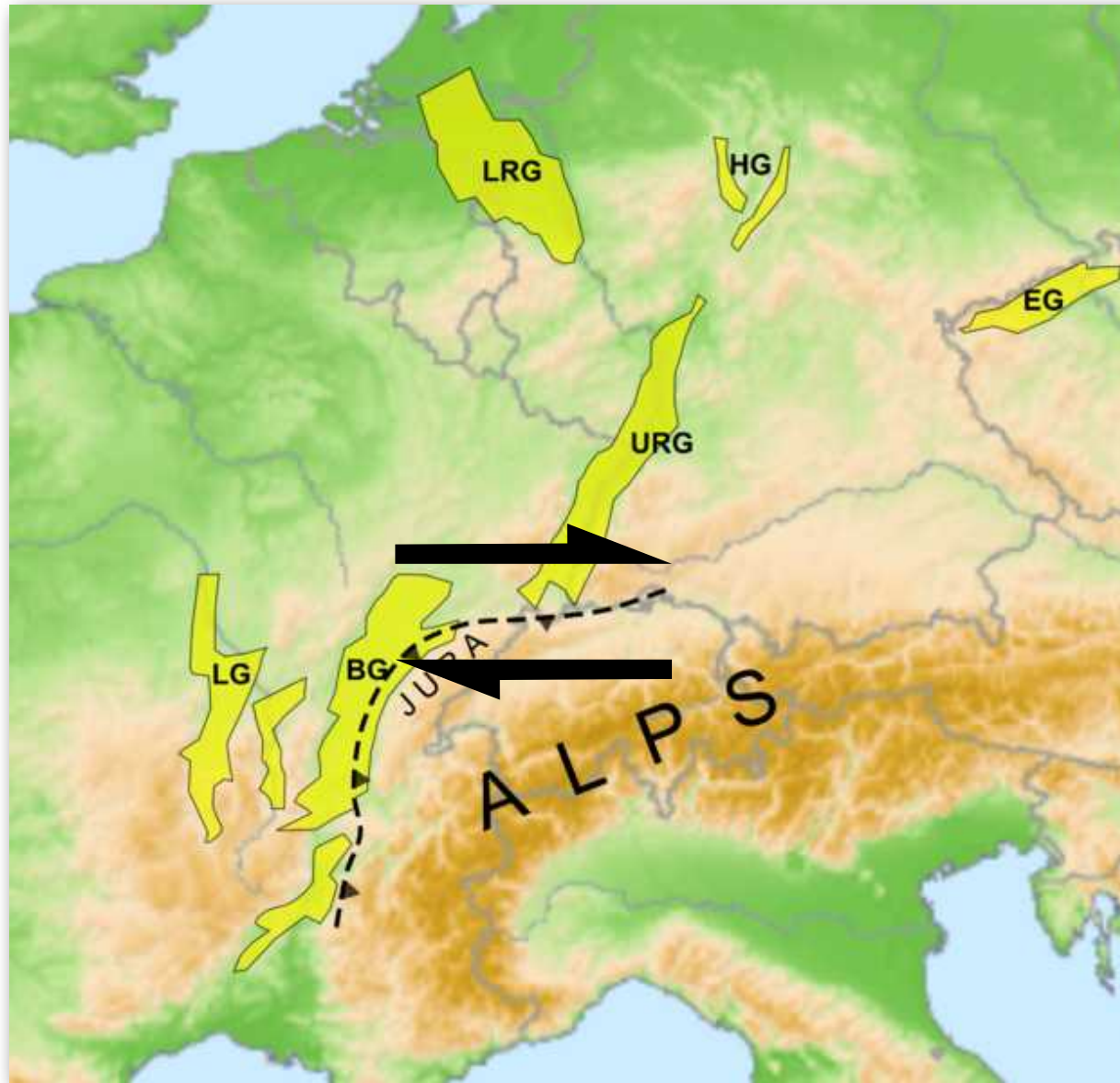


Dead Sea Transform

Dead Sea Transform,
produces large
depression
(= Dead Sea) as a
pull-apart-basin

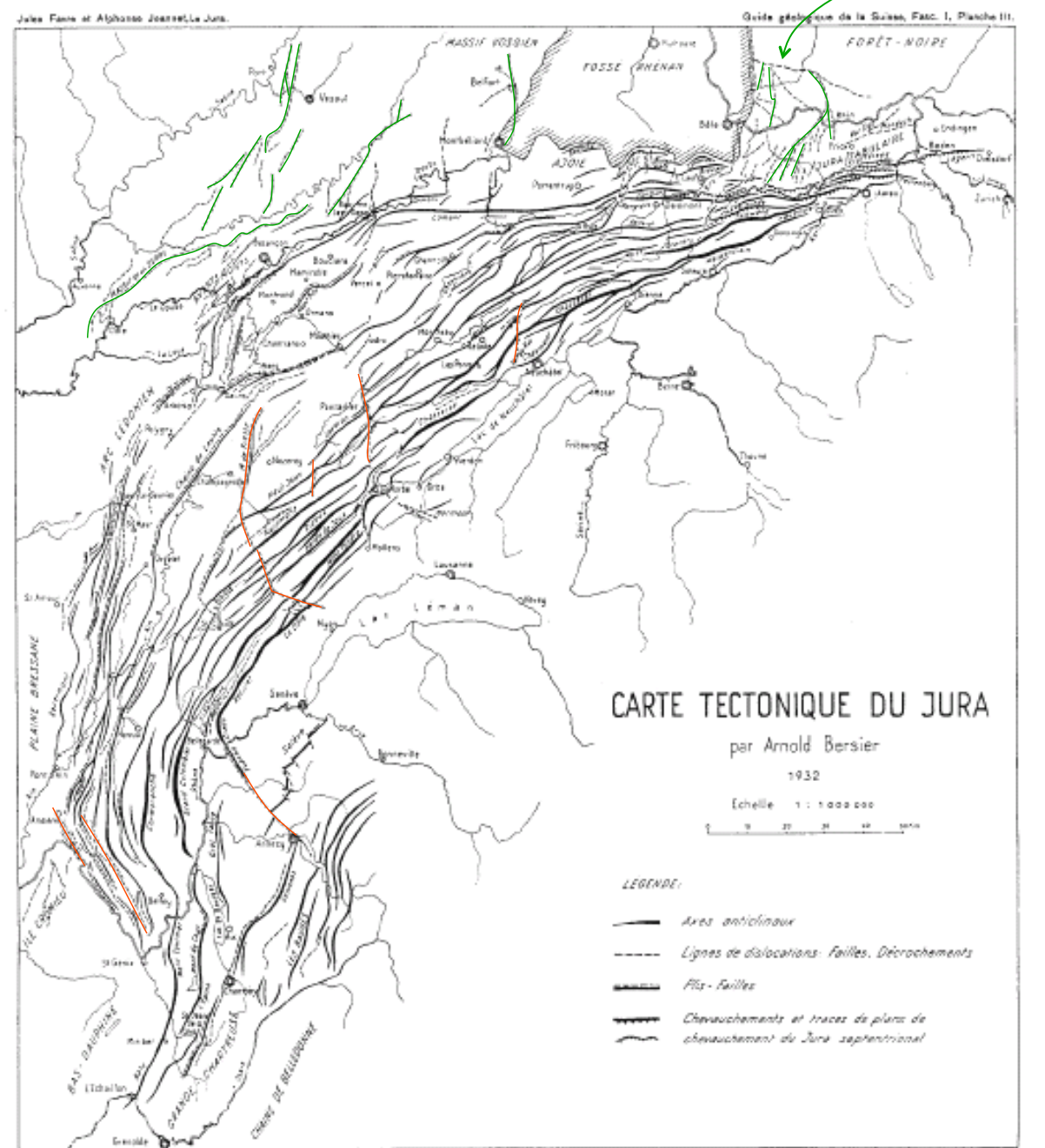
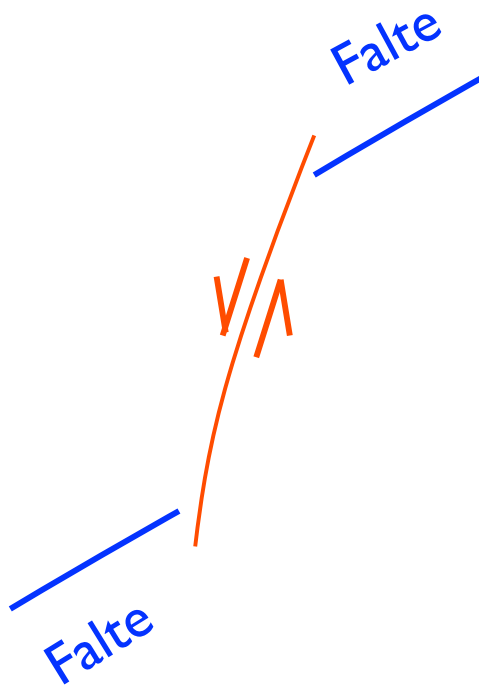


Rhein - Bressegraben Transferzone



transfer zone

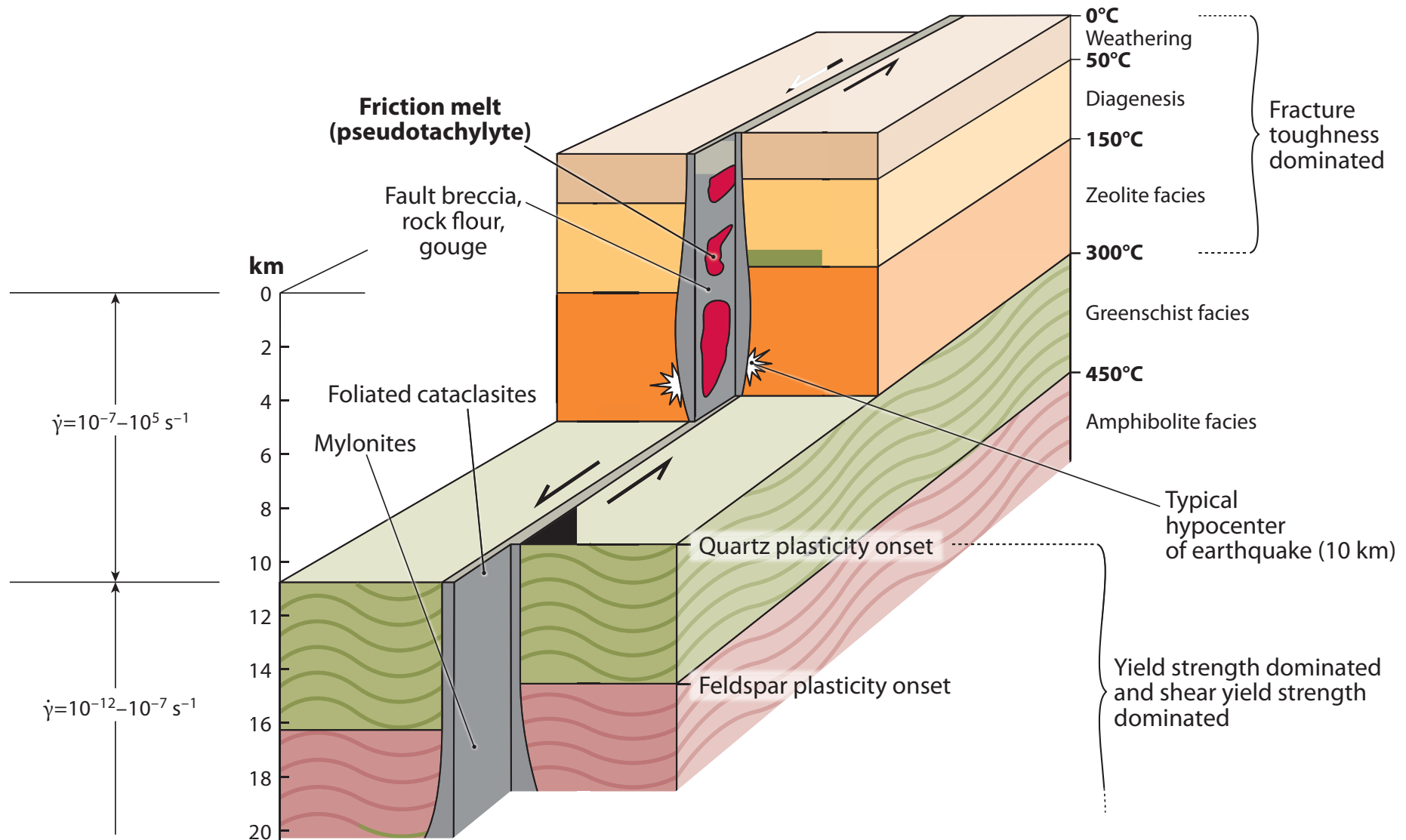
Jura



Rheingraben

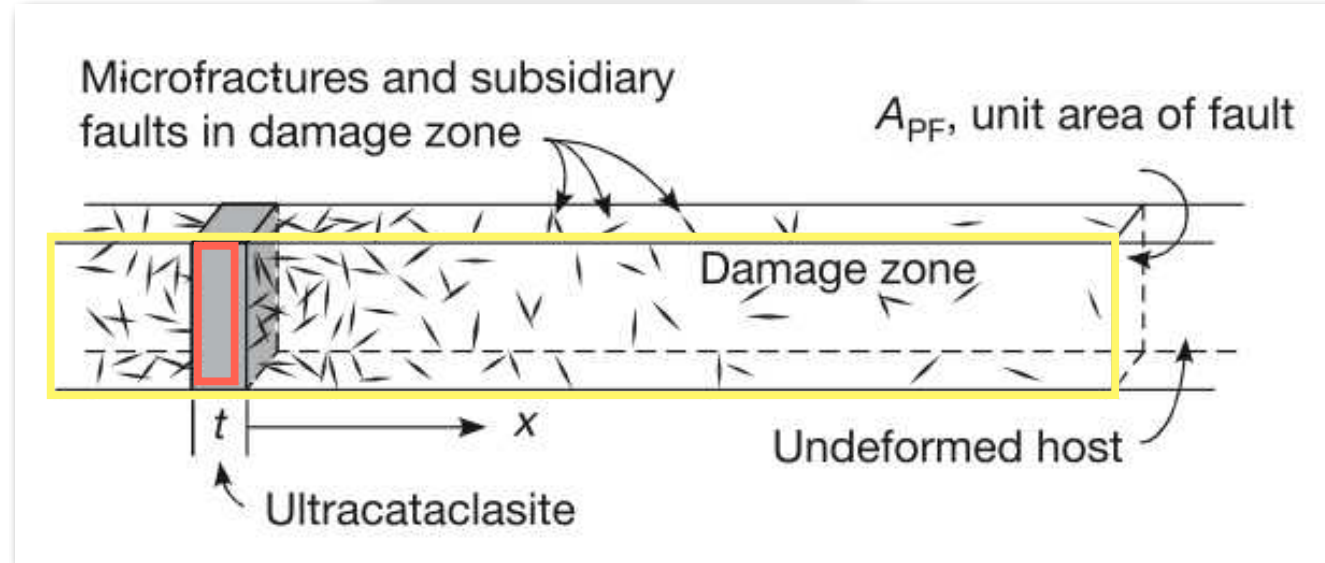
active faults

active faults



fault architecture & spatial localization

$$\dot{\gamma} \approx 10^{-14} \text{ s}^{-1}$$



Chester et al. 2005, Nature 437, p.133

$$100\text{km} \rightarrow 100\text{m}$$

(factor 10^3)

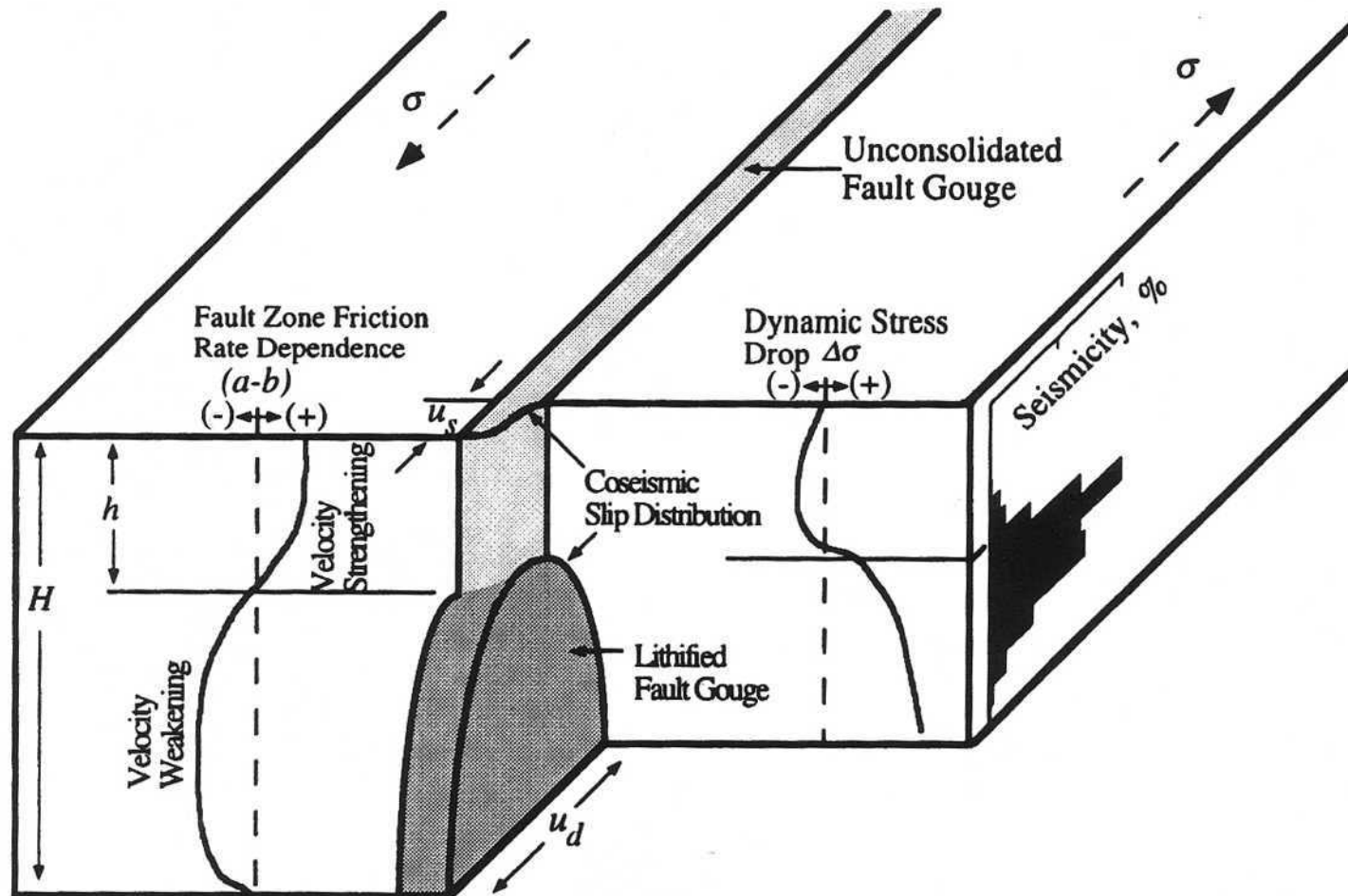
$$\Rightarrow \dot{\gamma} = 10^{-11} \text{ s}^{-1}$$

$$100\text{km} \rightarrow 1\text{mm}$$

(factor 10^8)

$$\Rightarrow \dot{\gamma} = 10^{-6} \text{ s}^{-1}$$

seismic fault model

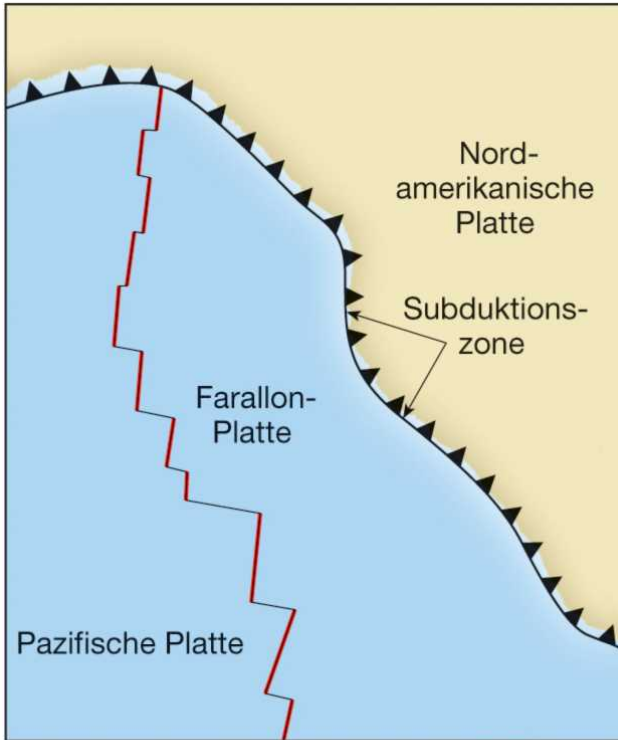


San Andreas Fault

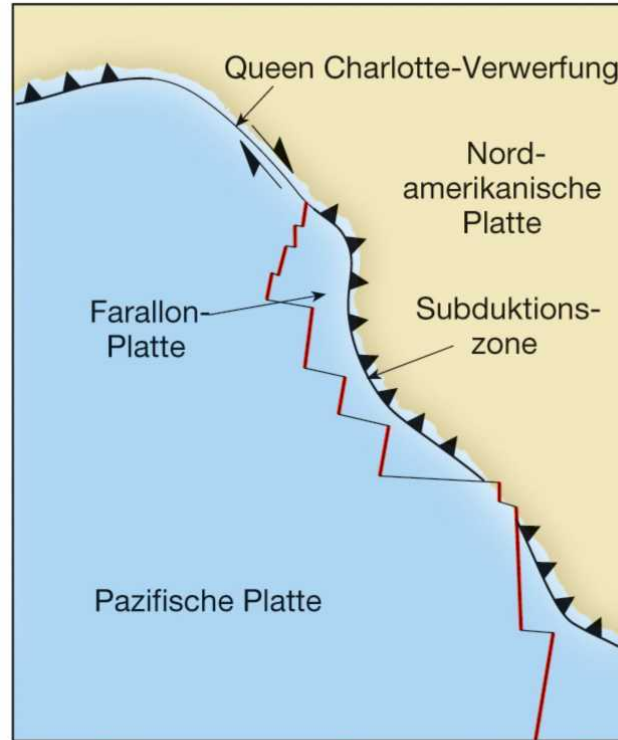


© 2009 Google

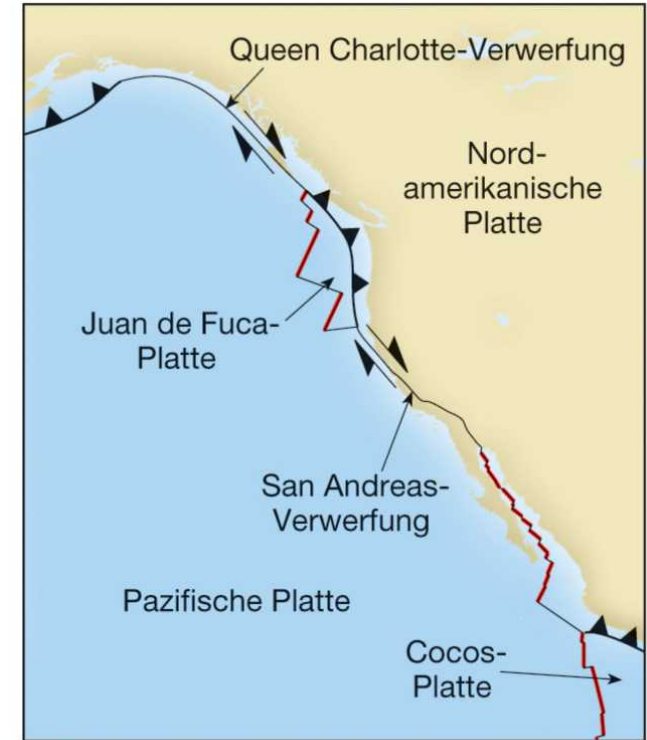
San Andreas Fault



A. Vor 56 Millionen Jahren

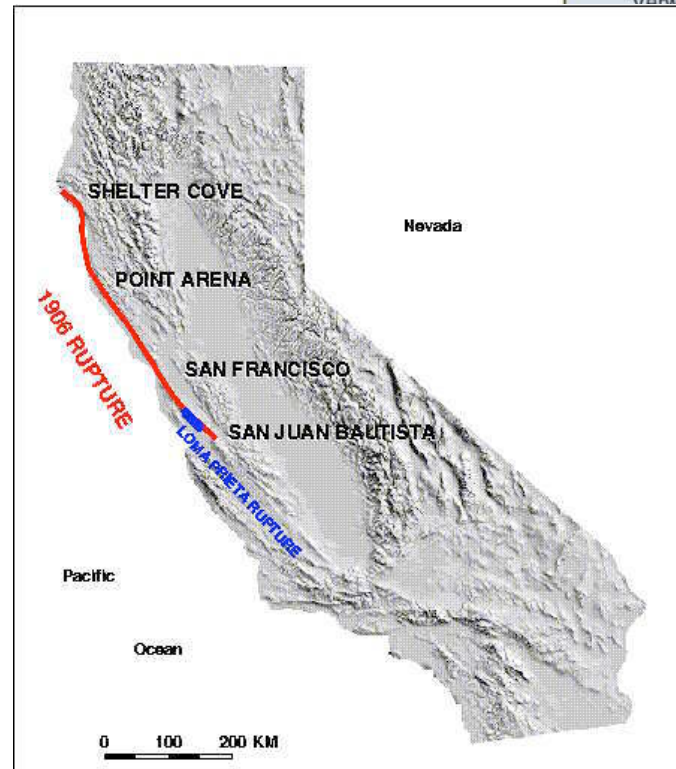


B. Vor 37 Millionen Jahren



C. Heute

Average relative velocity between North American and Pacific plate = 48-50 mm/a



San Andreas Fault

Heat flow

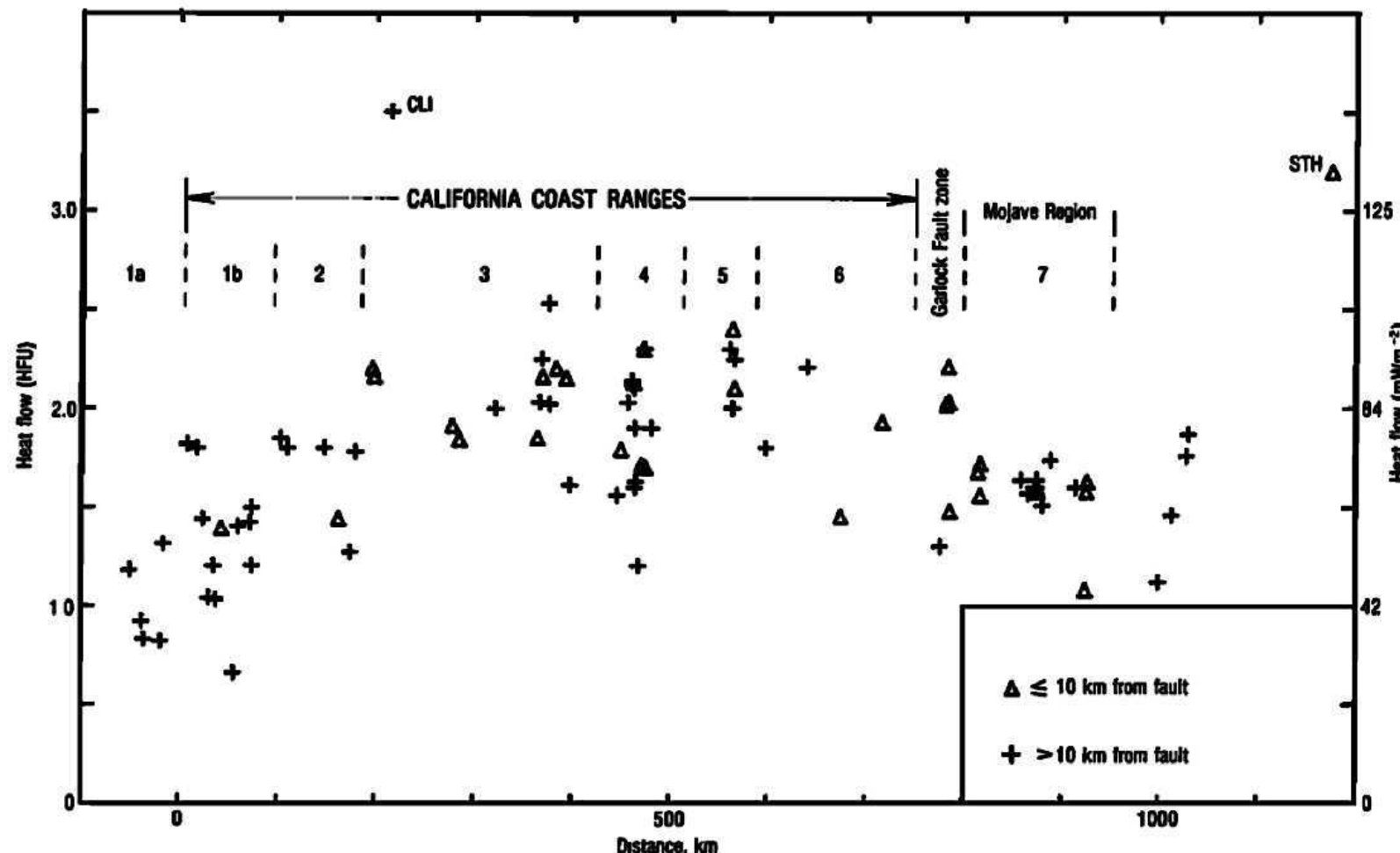


Fig. 12. Heat flow, projected on to the main trace of the San Andreas fault, as a function of distance from Cape Mendocino (CM, Figure 8). Regions are as defined in Figure 8. Points in Great Valley (stippled, Figure 8) were excluded.

San Andreas Fault

Heat flow

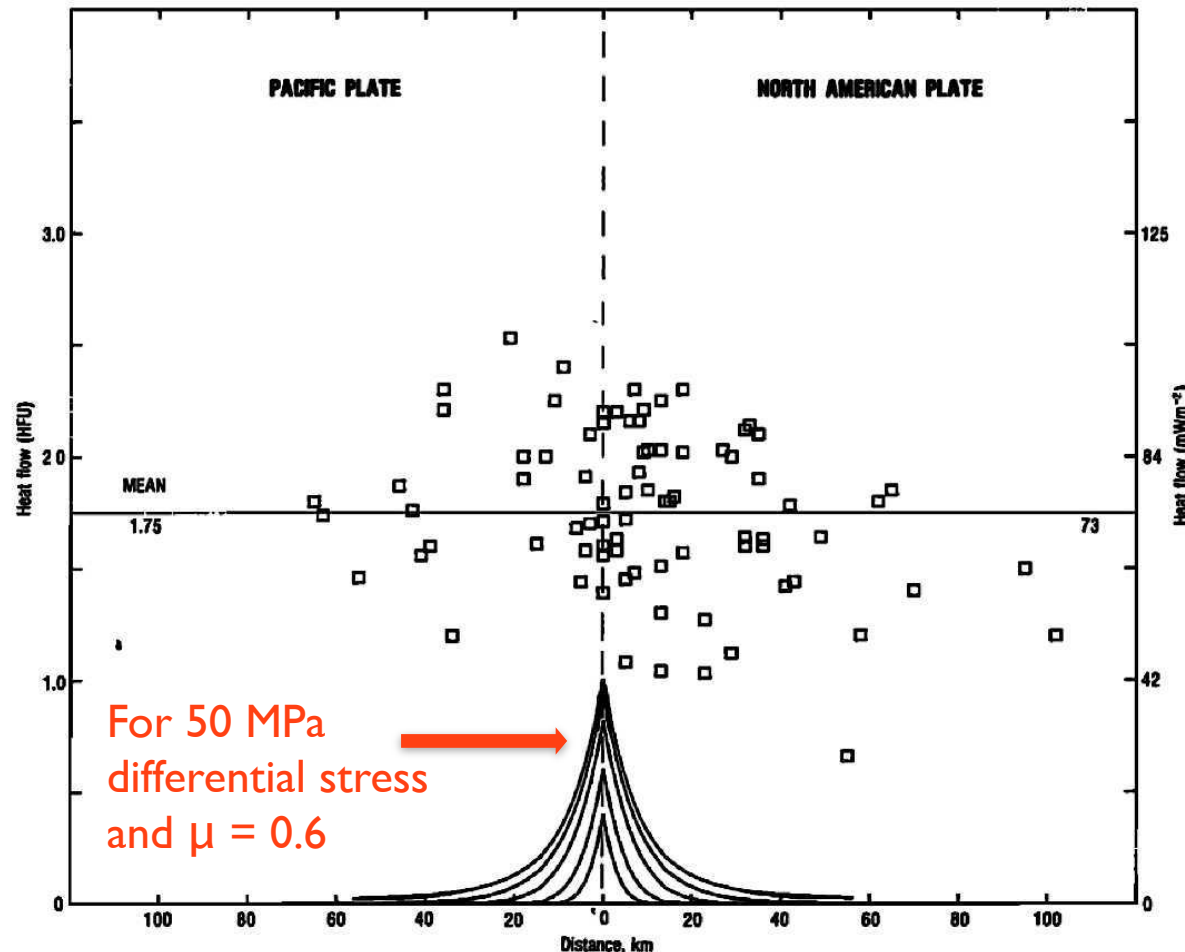


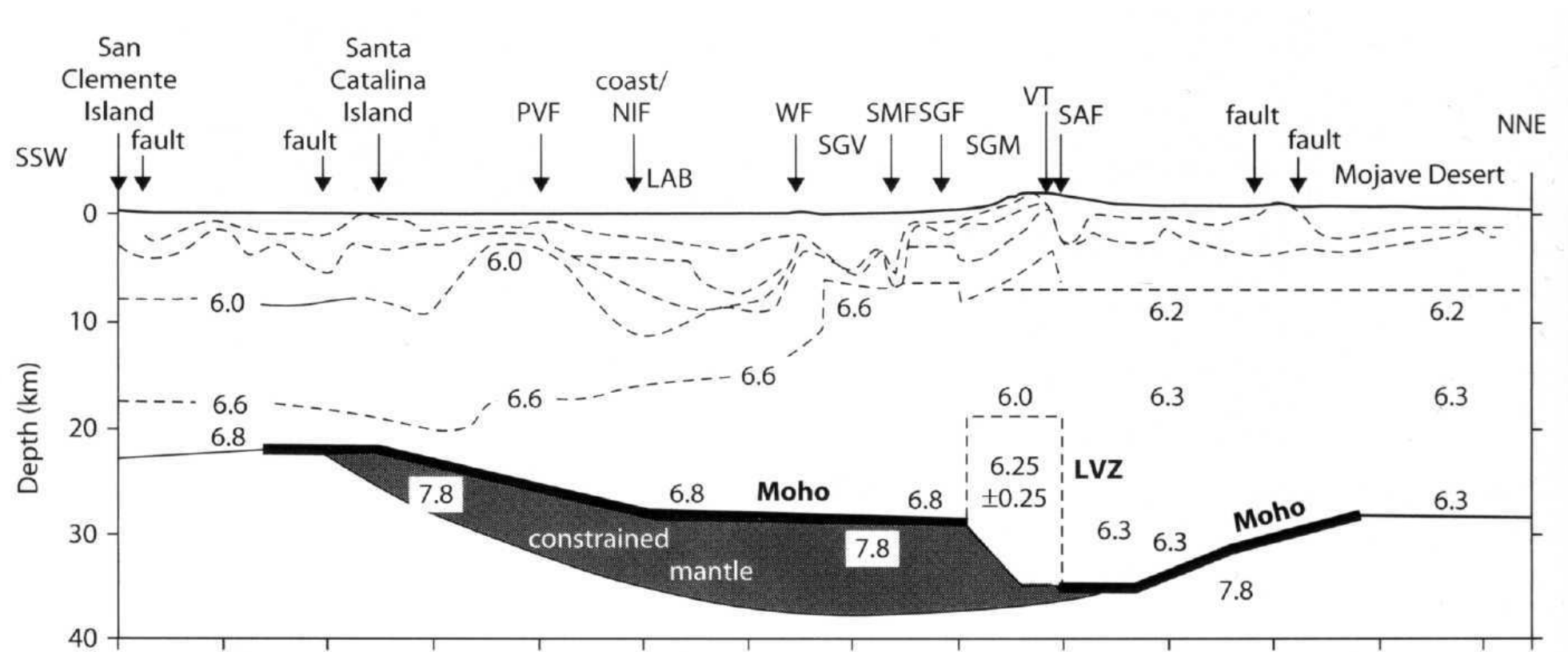
Fig. 11. Heat flow as a function of the distance from the main fault trace for 81 points of Figure 9. Pattern of curves is reference anomaly from Figure 2a (see (11) and (12)).

calculated anomaly
for heat production
by frictional heating,
i.e., weak fault

San Andreas Fault

Seismic Velocities:

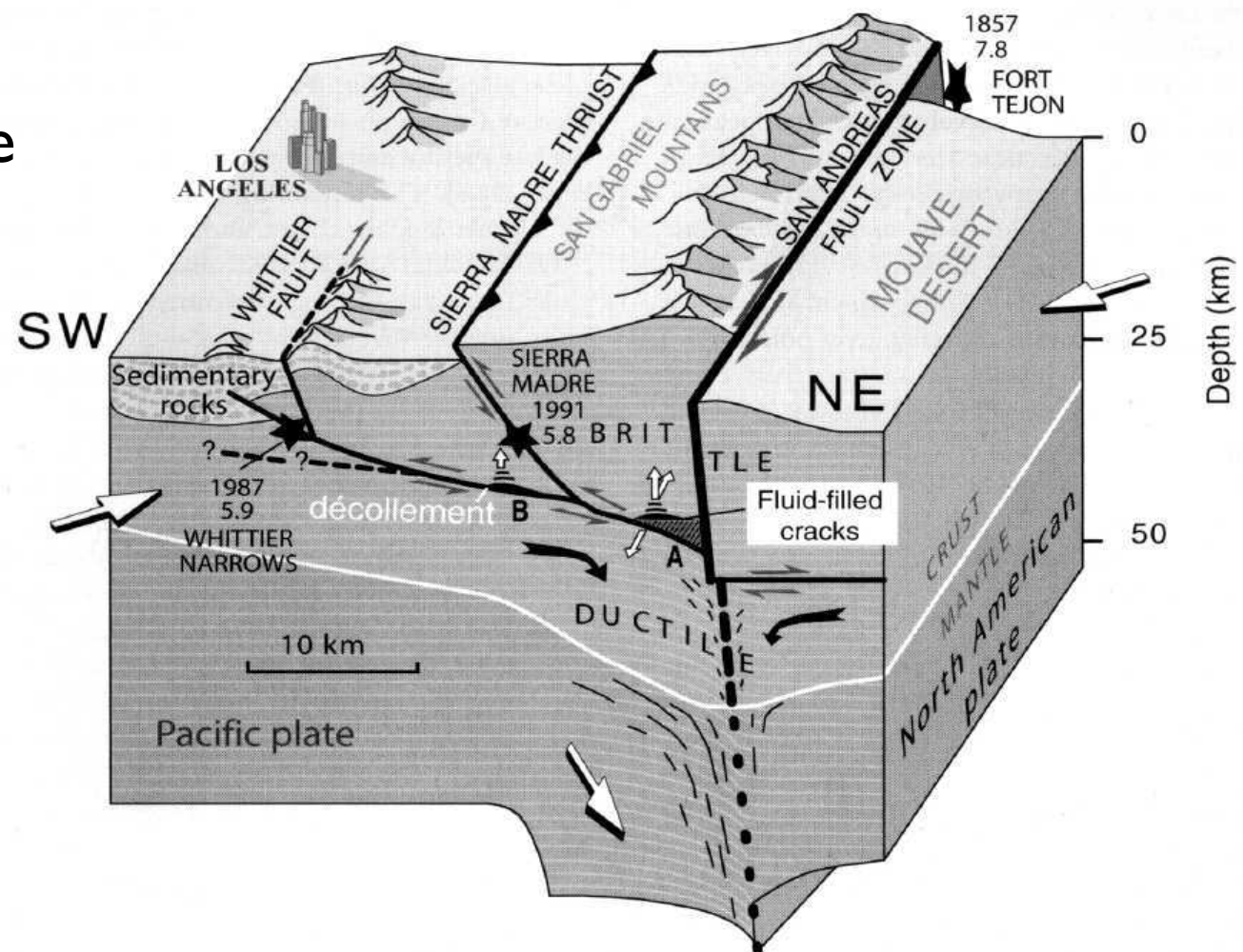
- Show weak crust on top
- Moho offset of several km s^{-1}
- Fault reaches into mantle



San Andreas Fault

Geologic interpretation:

- Decollement on the basis of weak crust constraints and seismic reflectors
- Deformation mechanisms must change with depth
- Earthquakes in upper part above decollement



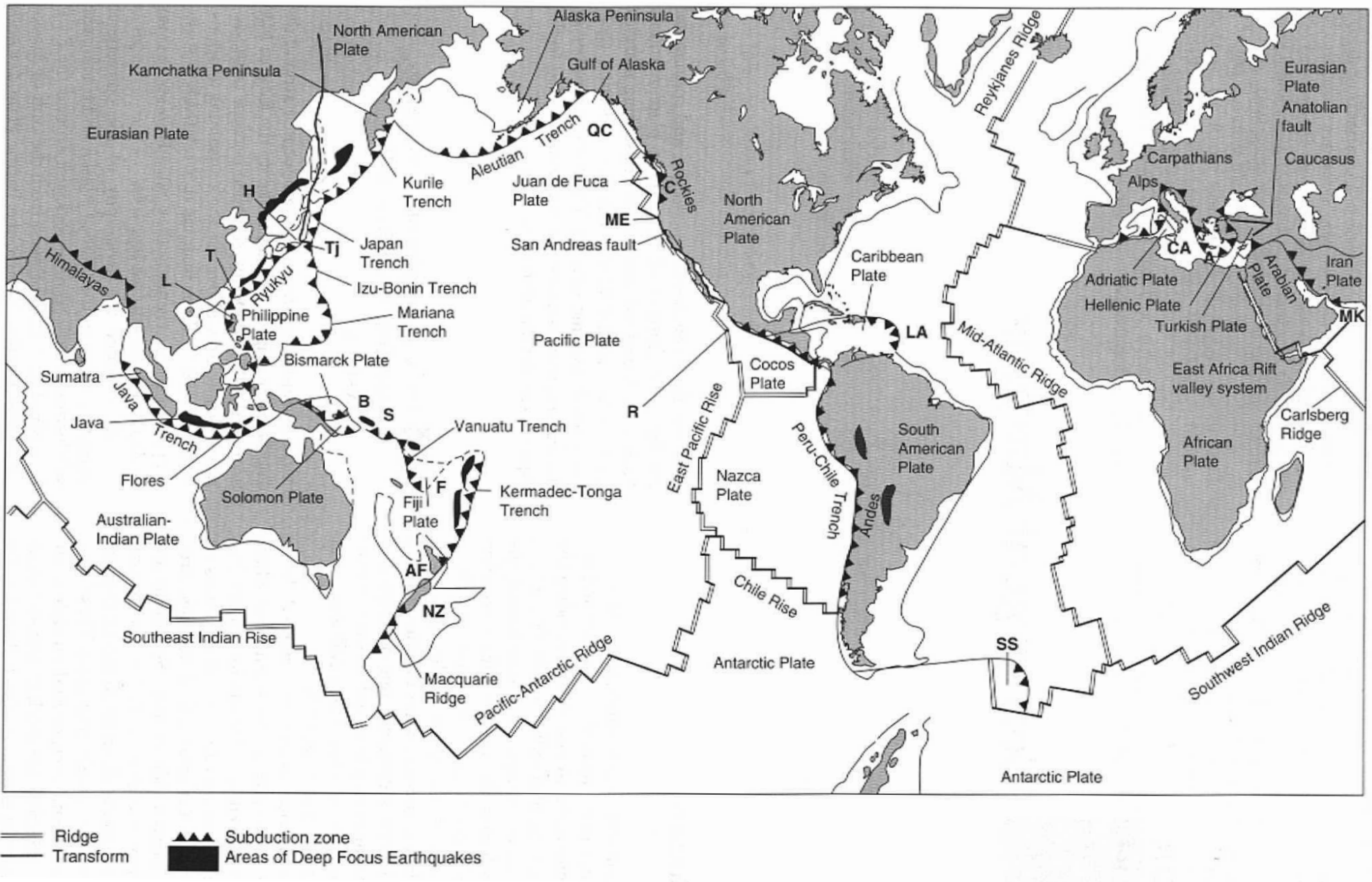
9

9 Extensionstektonik - rifting - MCCs - LANFs

VL-Themen:

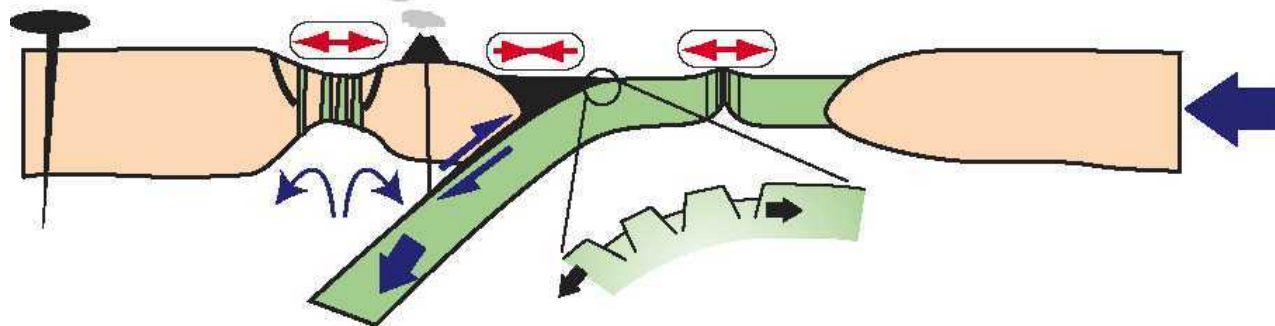
- Extensionsregimes
- Extensionsgeometrie
- Morphologie
- Krustenextension
- Ozeanische Rücken
- Graben Grabenbildung (rift - rifting)
- metamorphic core complexes MCC
- low angle normal faults LANF

extensional tectonics

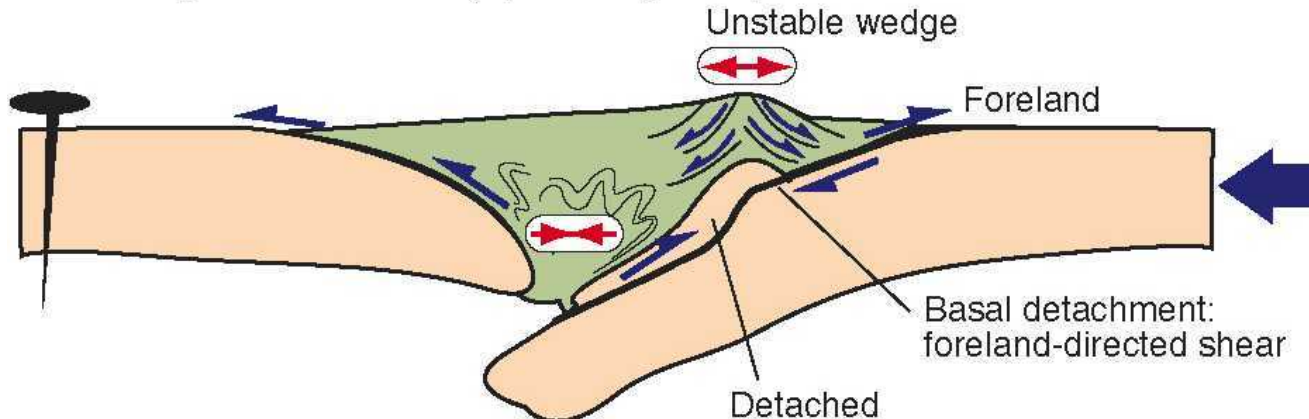


extensional settings

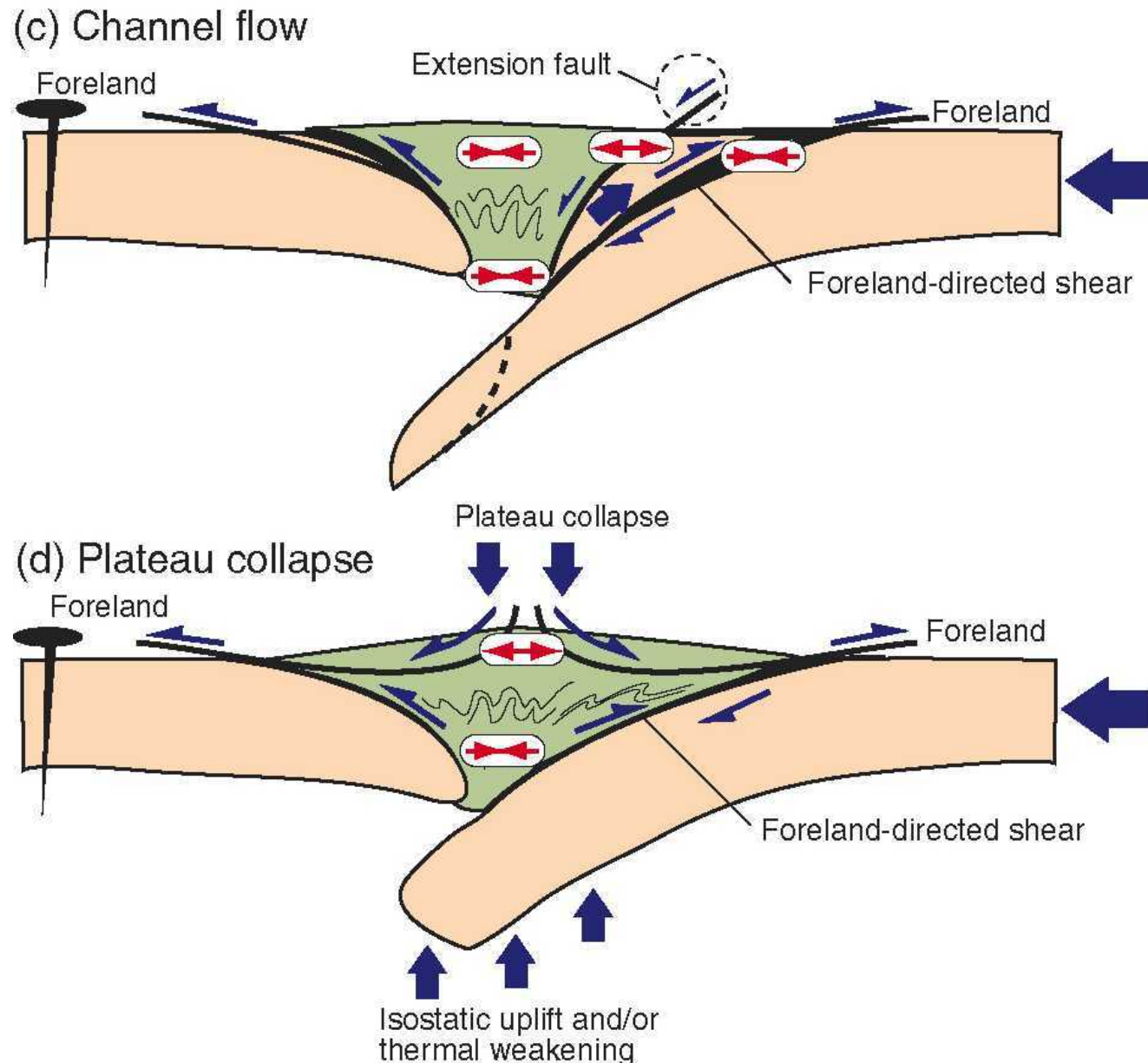
(a) Island-arc splitting, subduction and sea-floor spreading
Pre-collisional



(b) Unstable orogenic wedge
Syn-collisional (syn-orogenic)



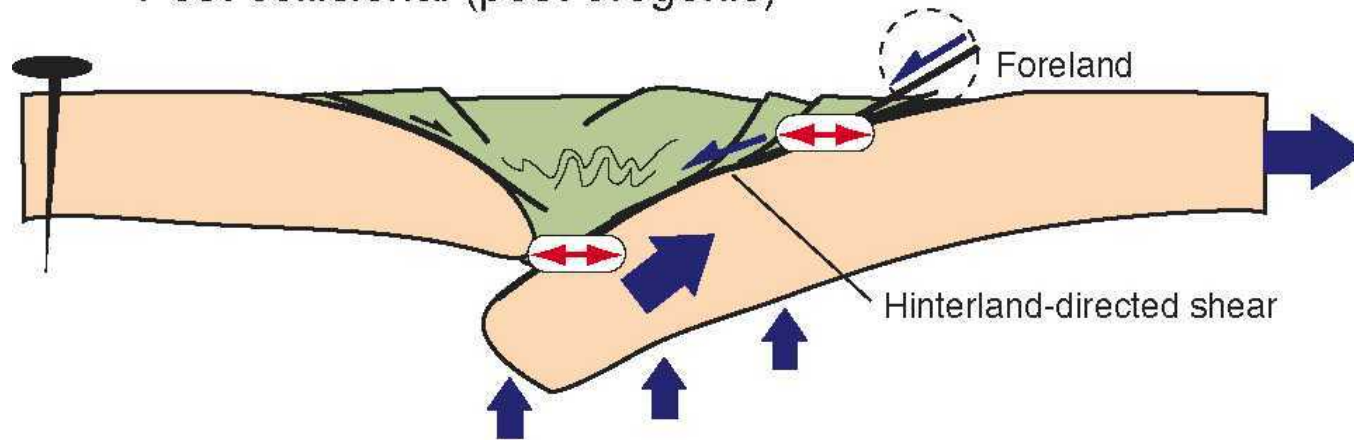
extensional settings



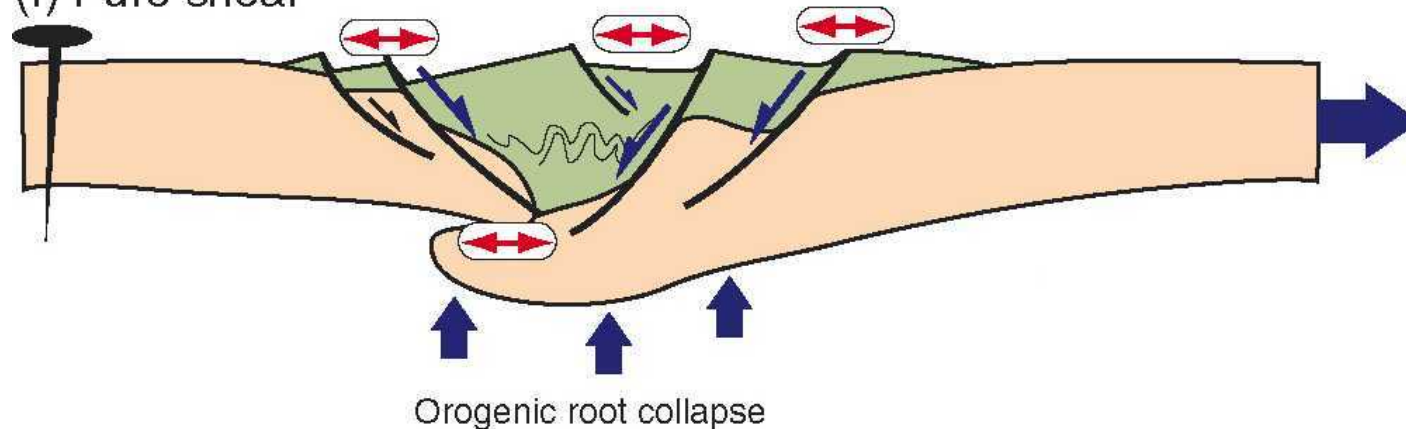
extensional settings

(e) Simple shear

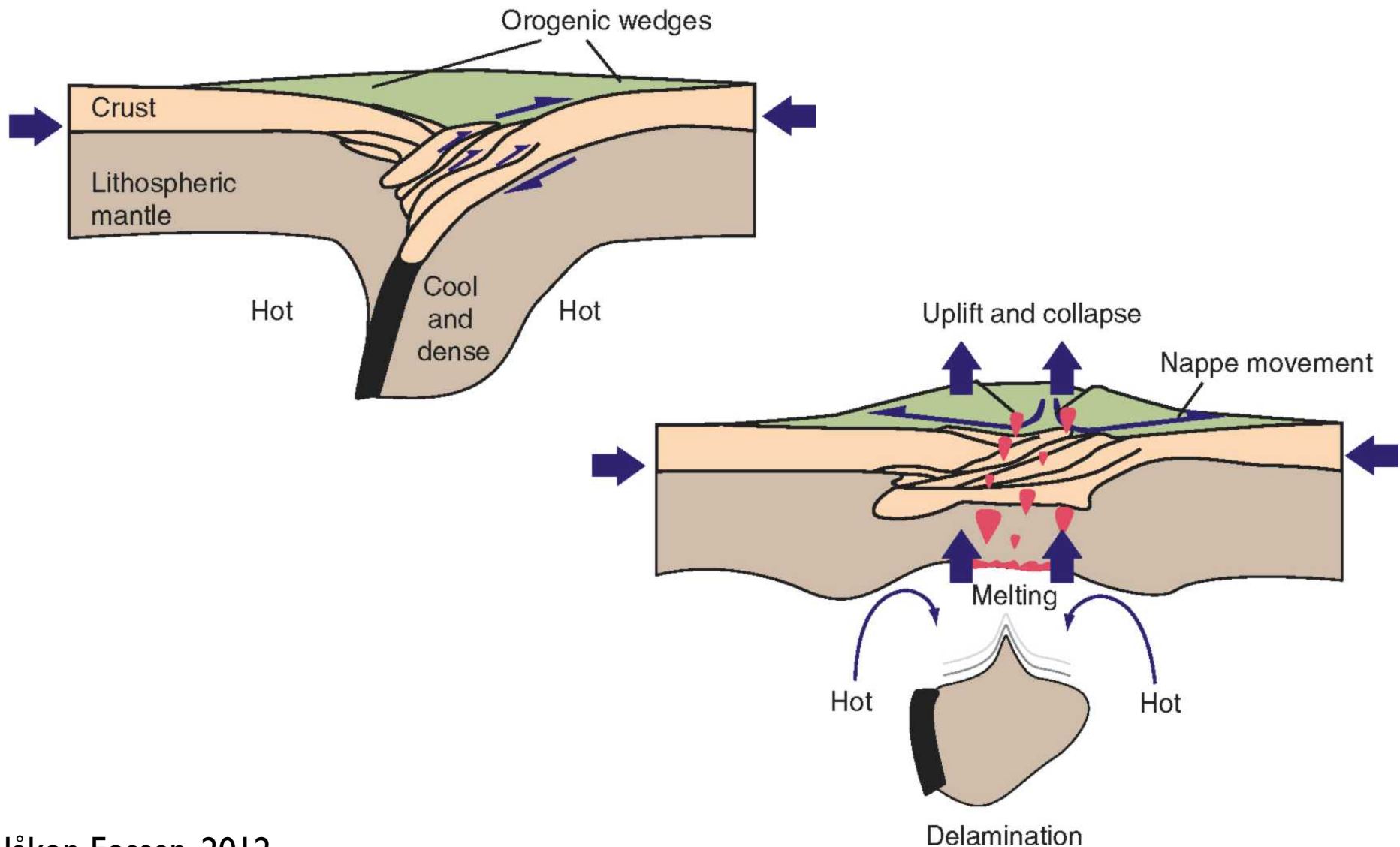
Post-collisional (post-orogenic)



(f) Pure shear

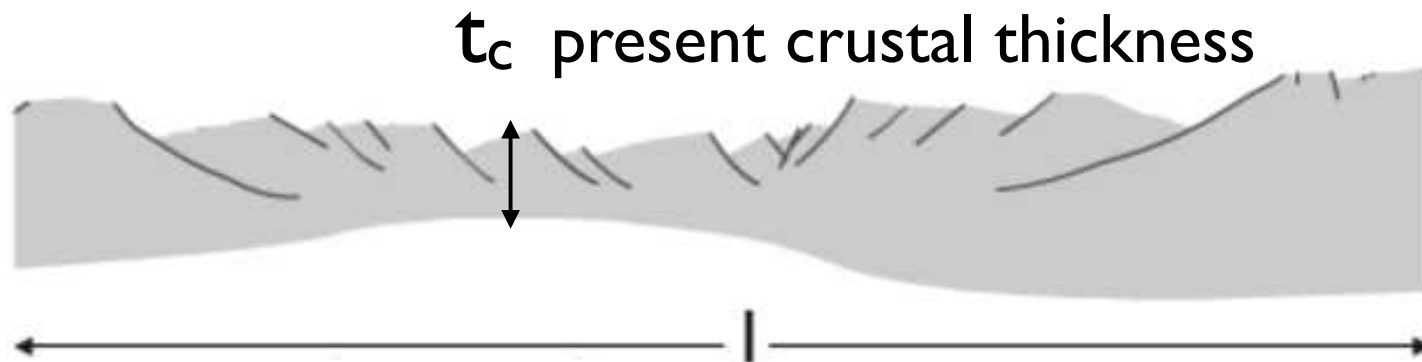
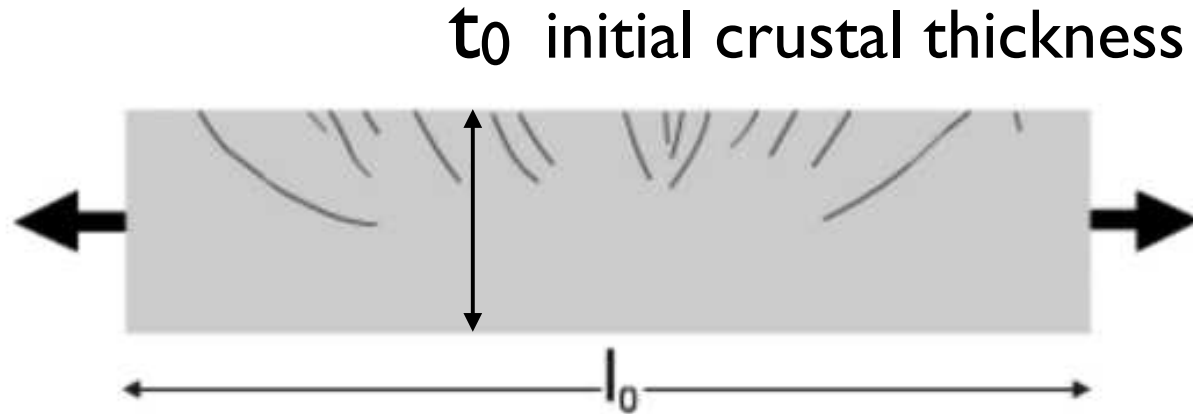


extensional settings



geometry of extension

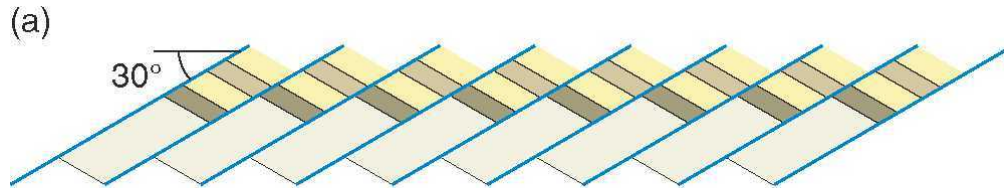
geometry of extension



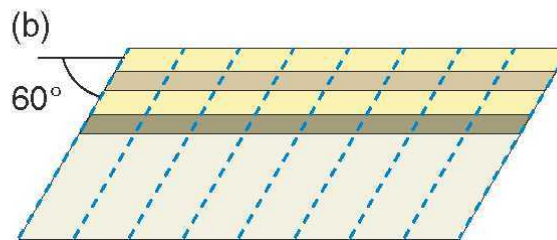
$$\beta = \frac{t_0}{t_c}$$

$$s = l / l_0 = (l + e) = \text{stretching} = \text{extension}$$

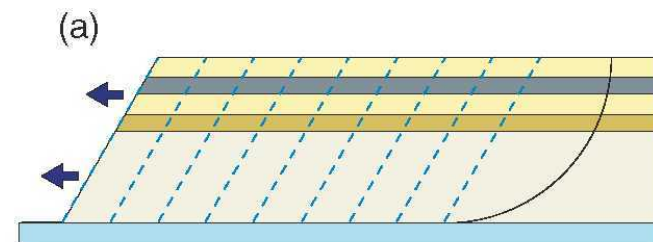
extensional faults



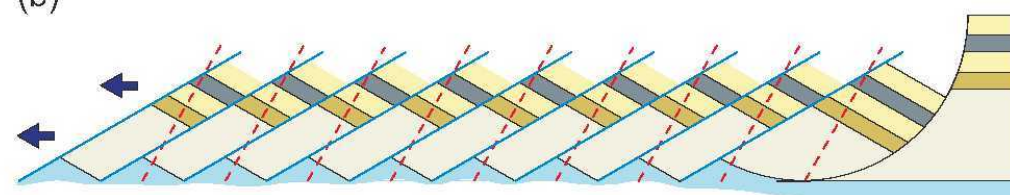
domino



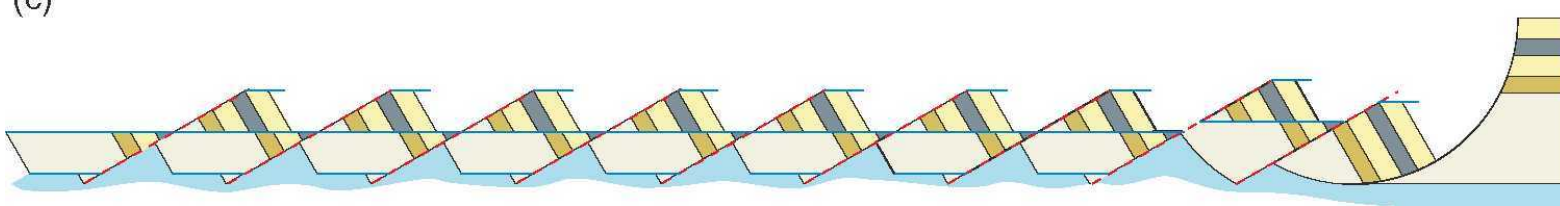
listric



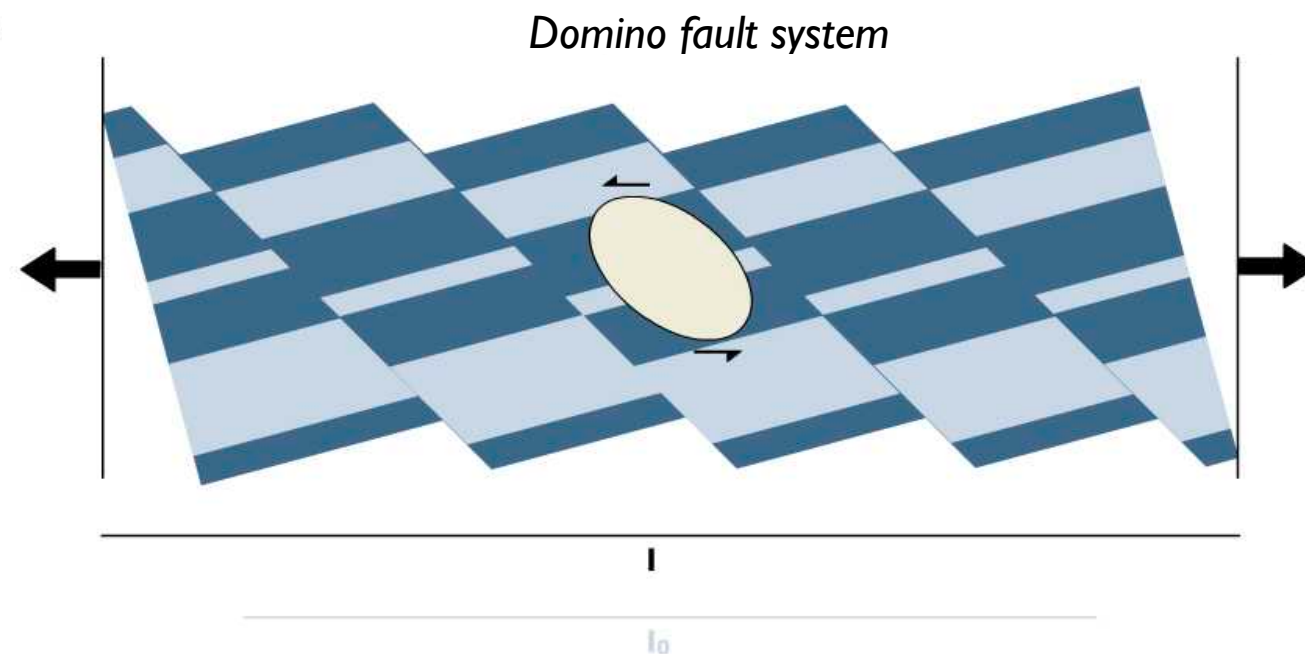
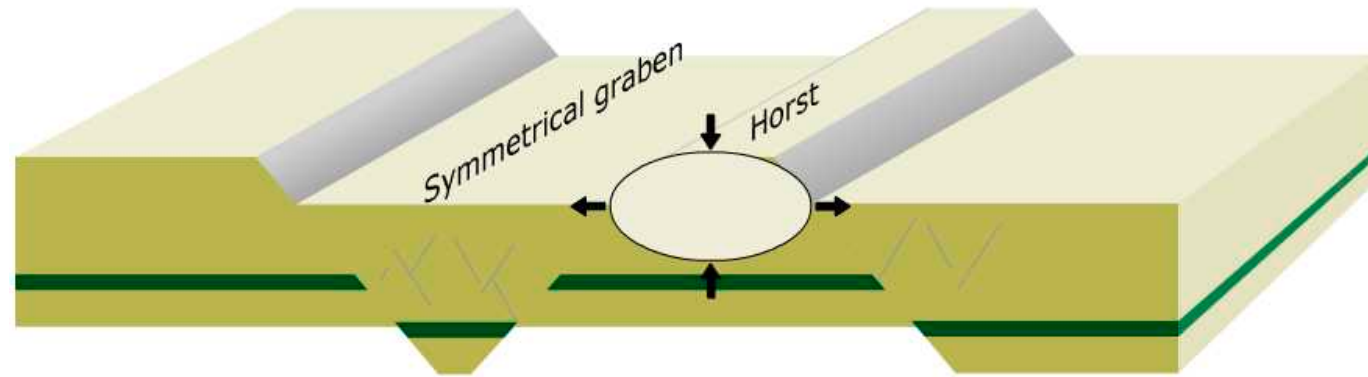
(b)



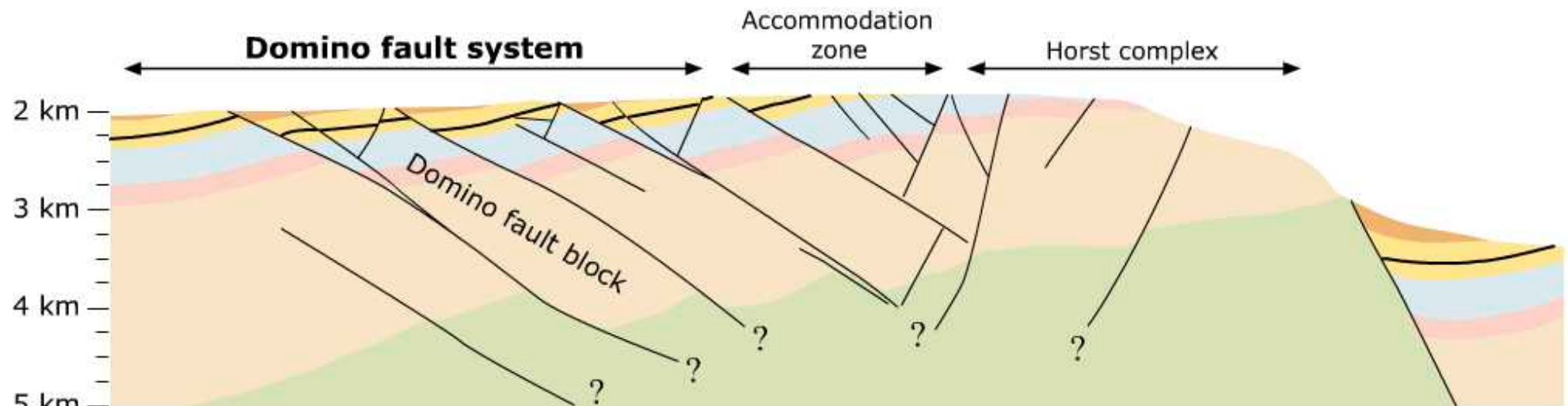
(c)



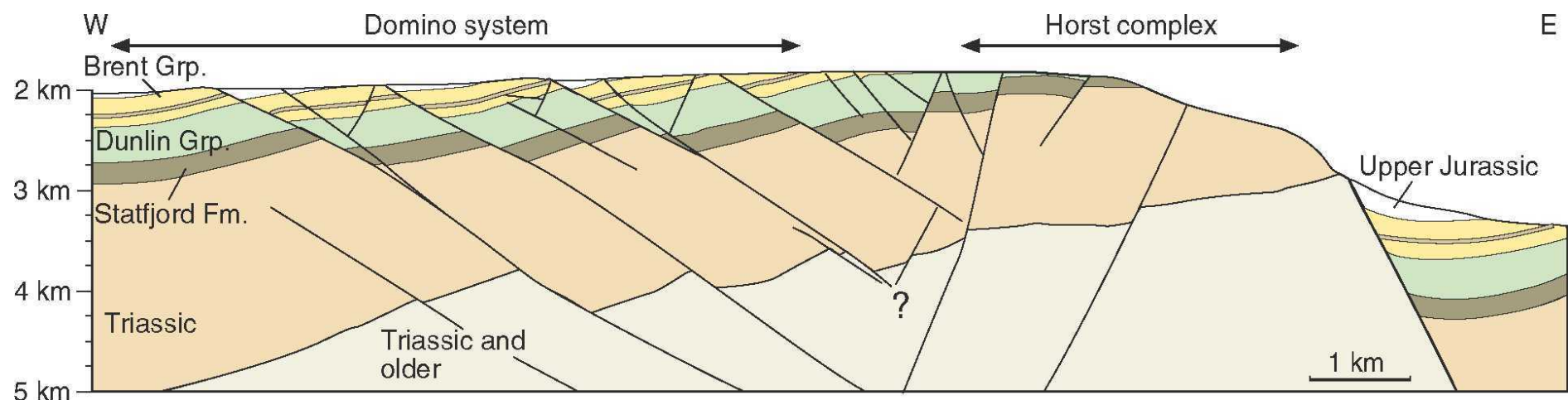
pure shear - simple shear extension



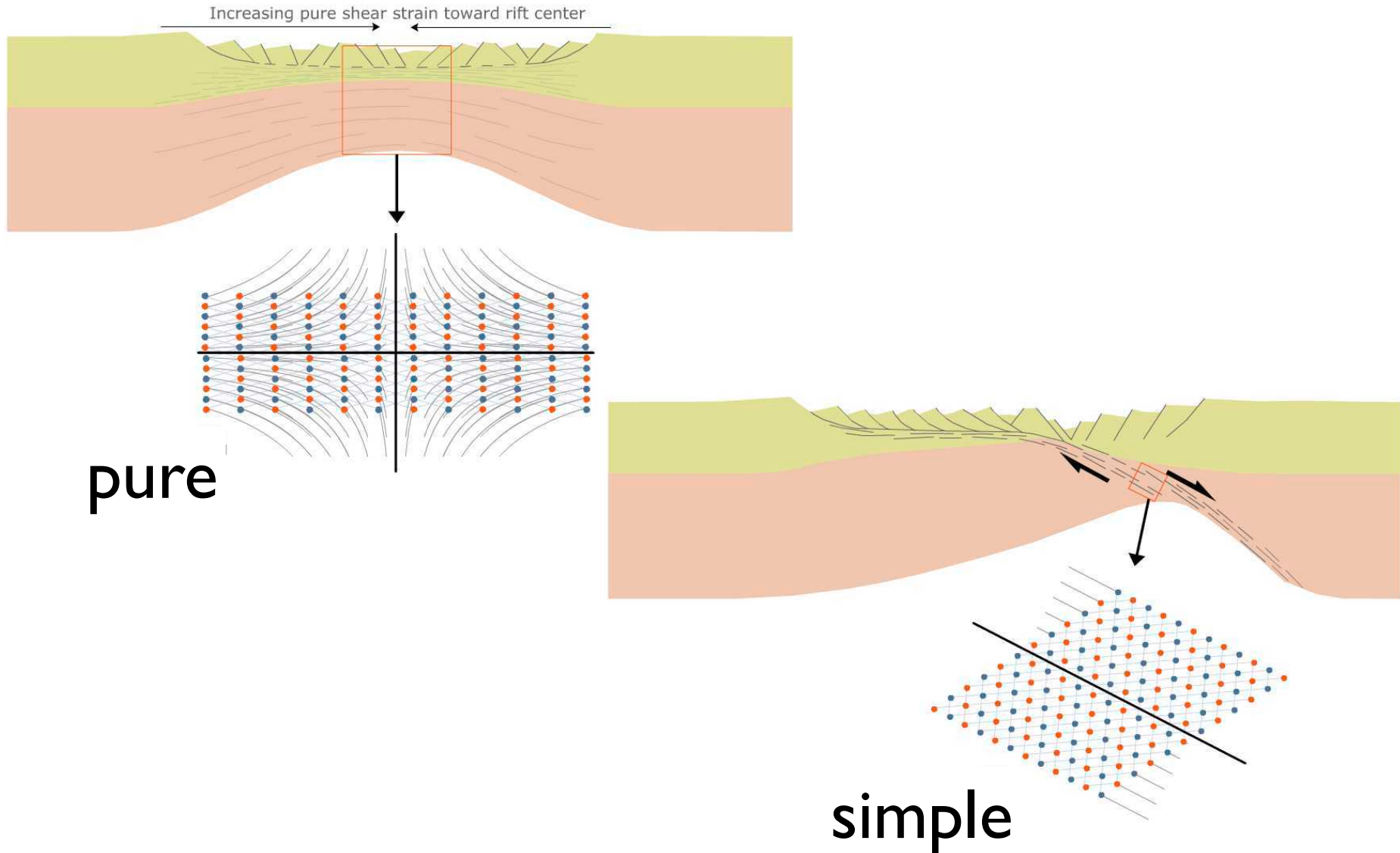
Beispiel: Gullfaks Field, North Sea



Domino faults on the Gullfaks Field, northern North Sea, based on seismic interpretation.

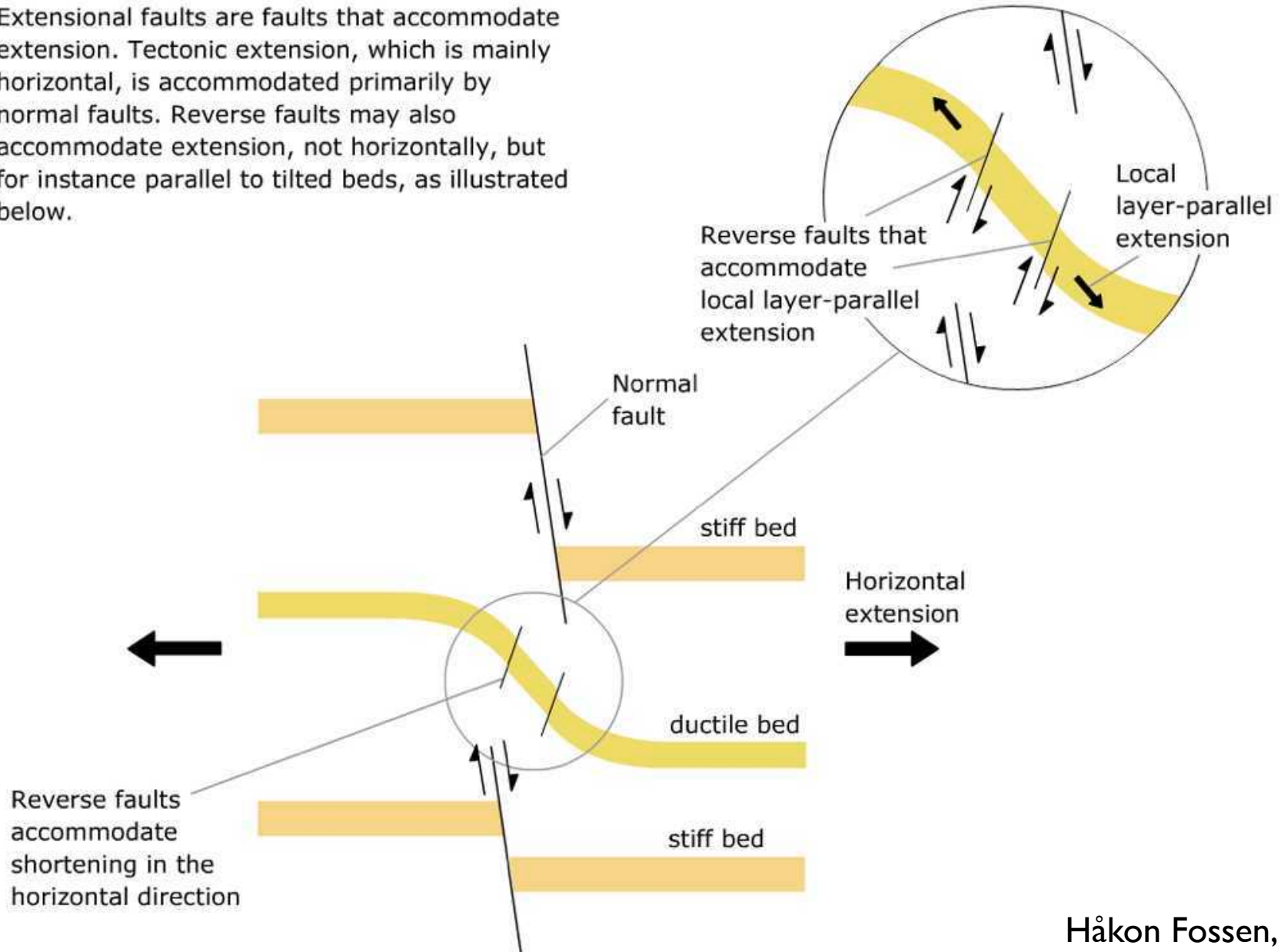


strain during rifting

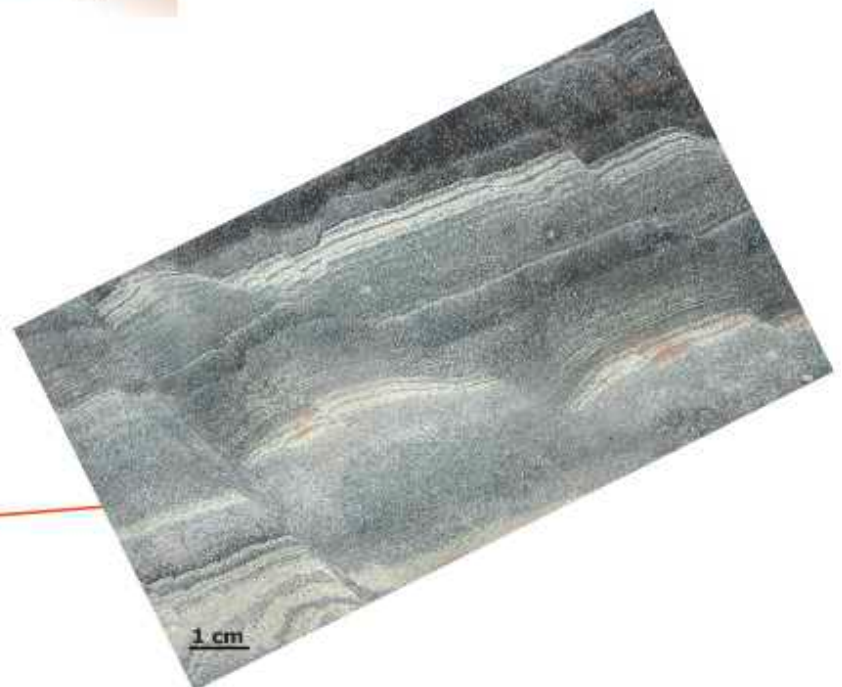
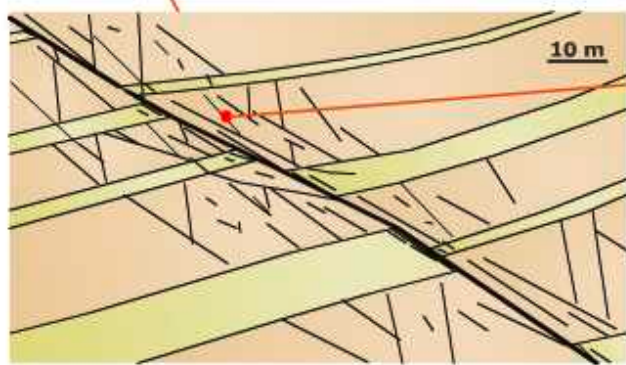
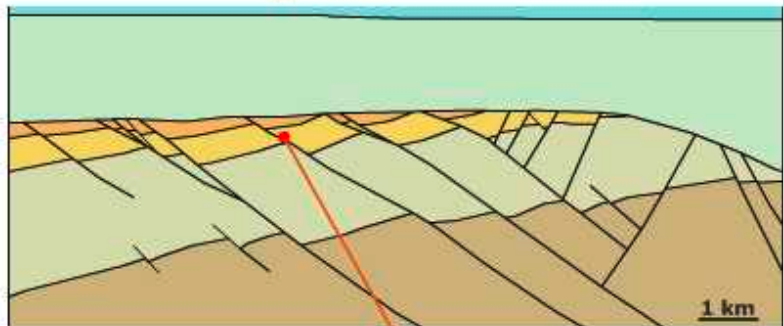
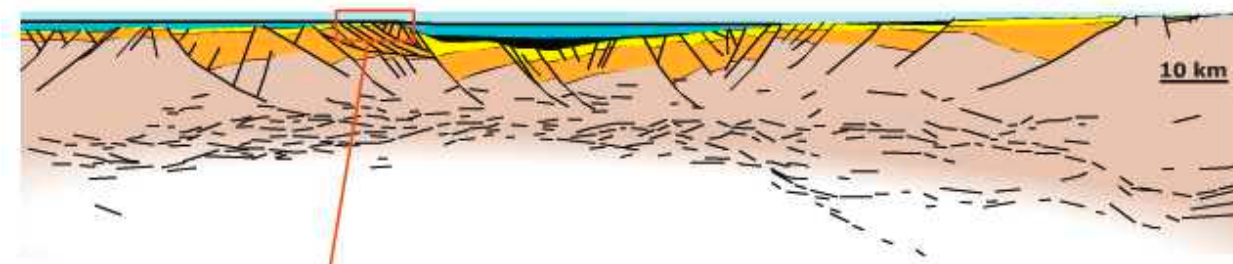


extensional faults

Extensional faults are faults that accommodate extension. Tectonic extension, which is mainly horizontal, is accommodated primarily by normal faults. Reverse faults may also accommodate extension, not horizontally, but for instance parallel to tilted beds, as illustrated below.

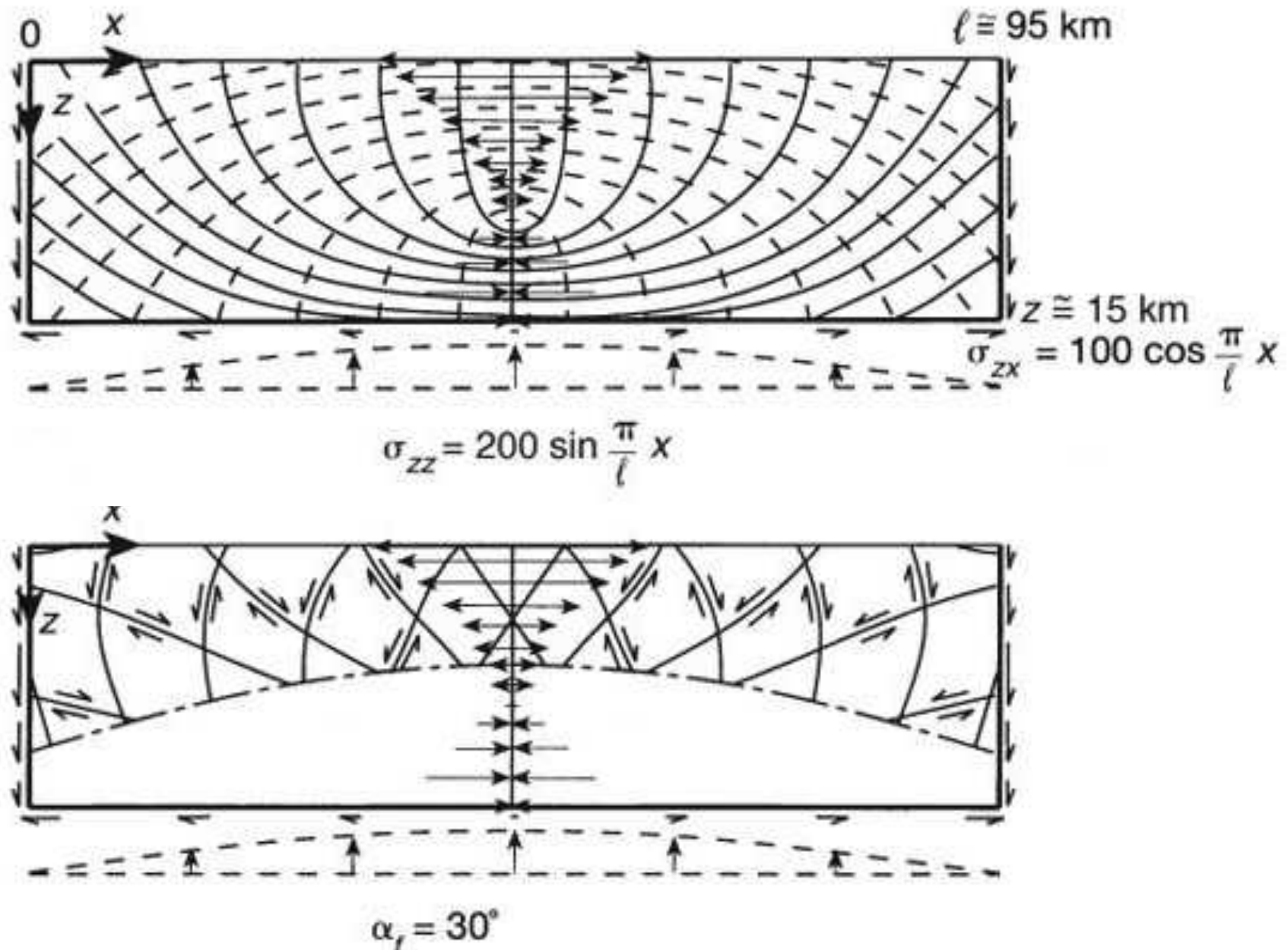


fractal aspects

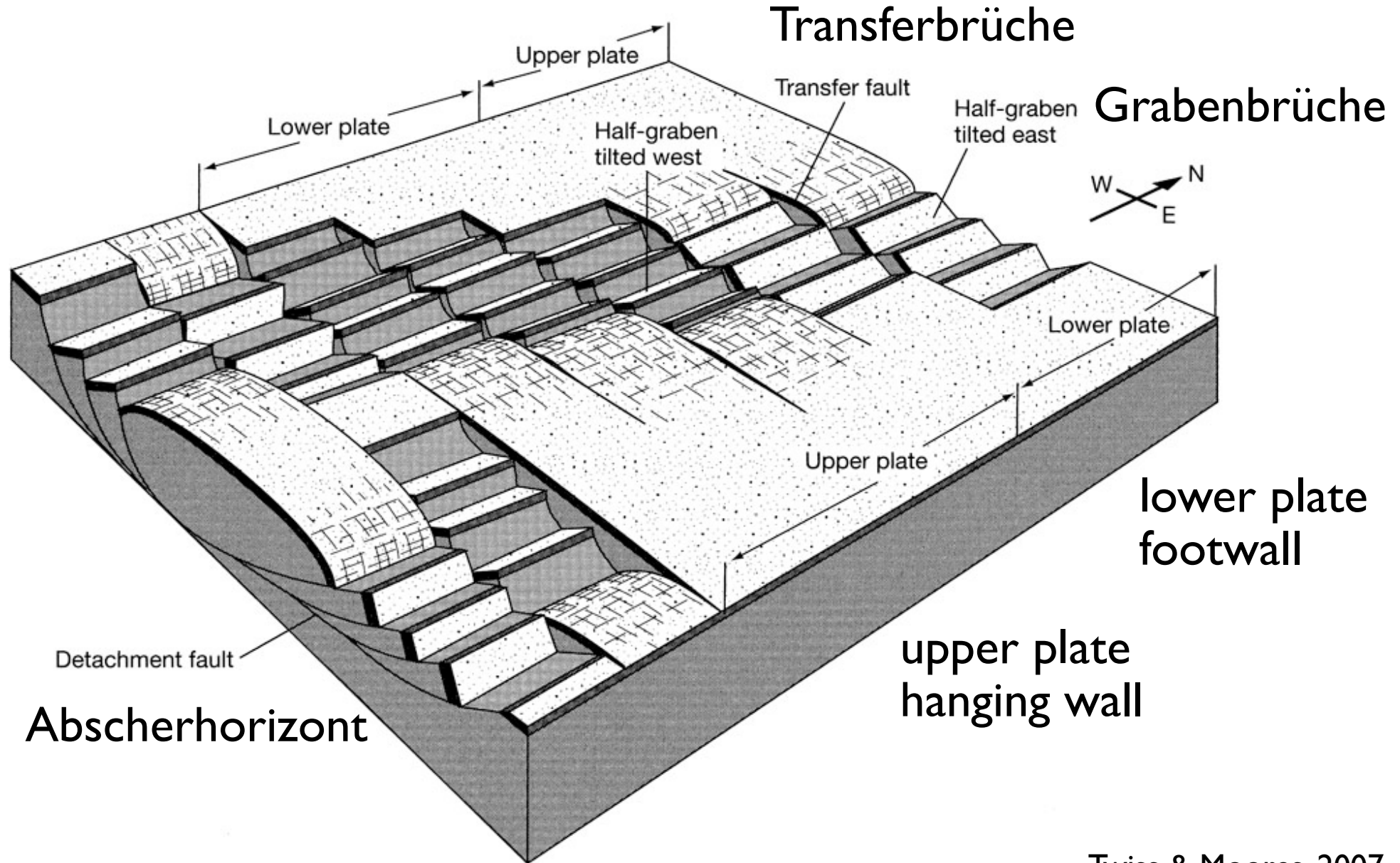


morphology of extension

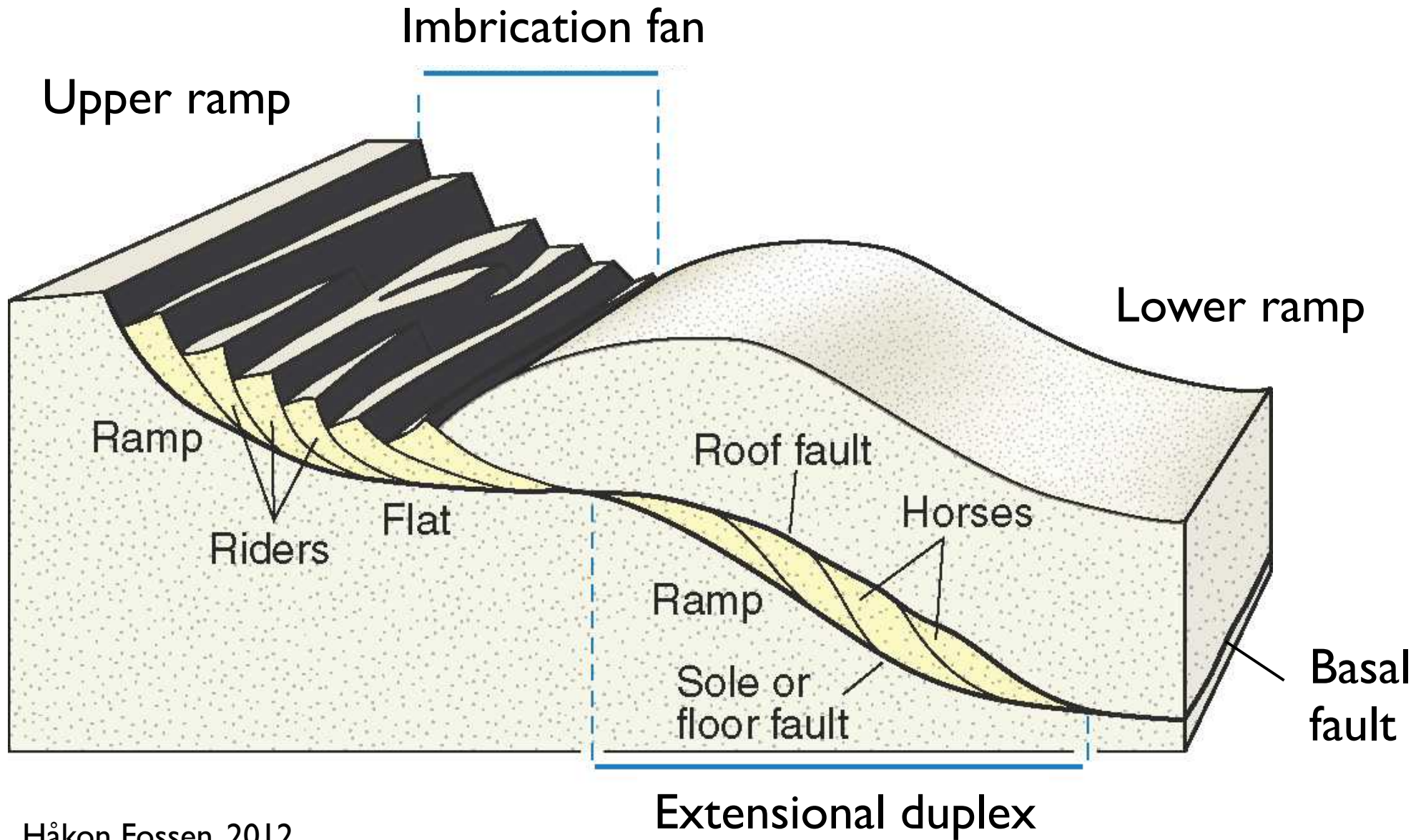
Hafner: extension



crustal extension

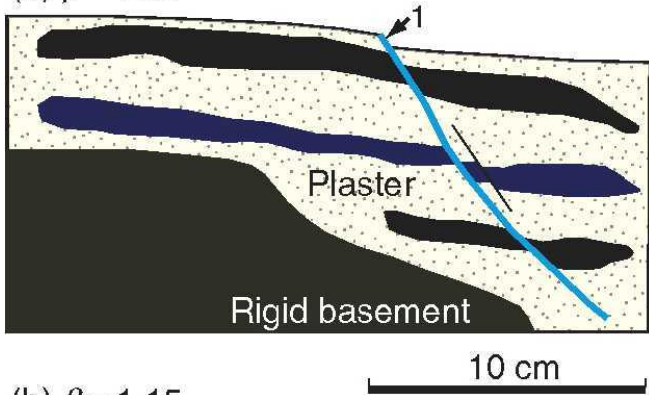


ramp-flat-ramp faults

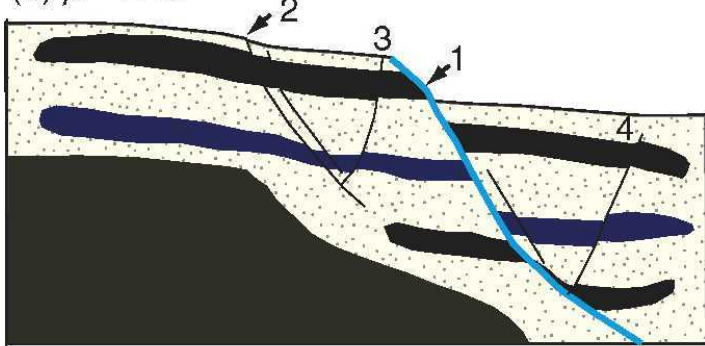


ramp-flat-ramp fault evolution

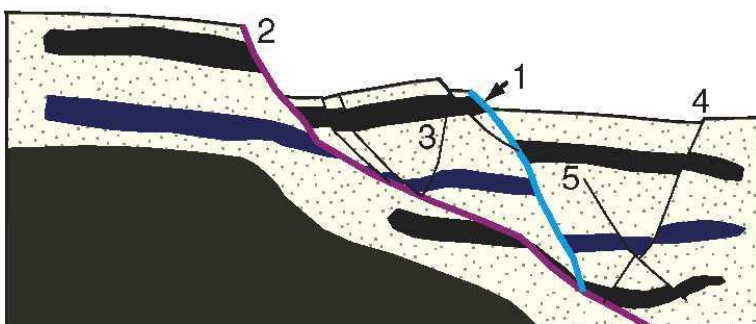
(a) $\beta = 1.08$



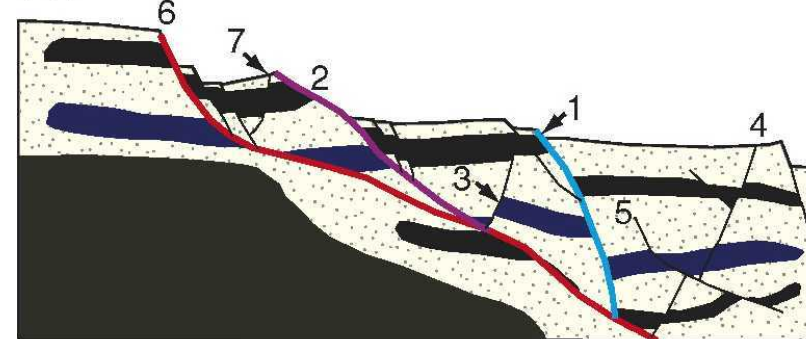
(b) $\beta = 1.15$



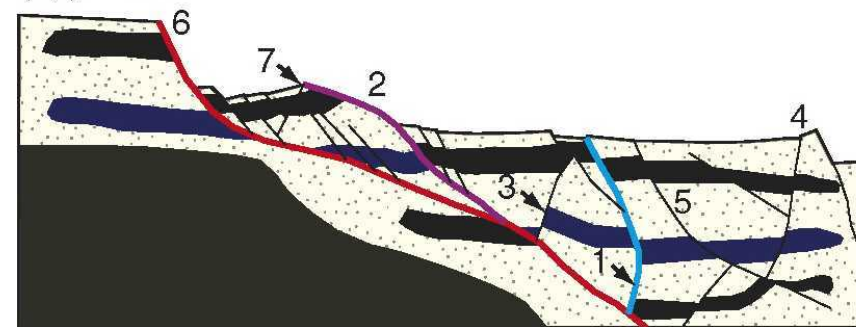
(c) $\beta = 1.23$



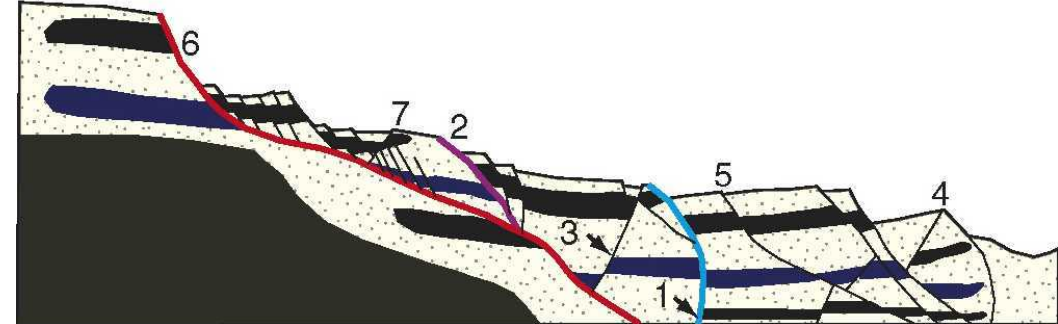
(d) $\beta = 1.33$



(e) $\beta = 1.40$

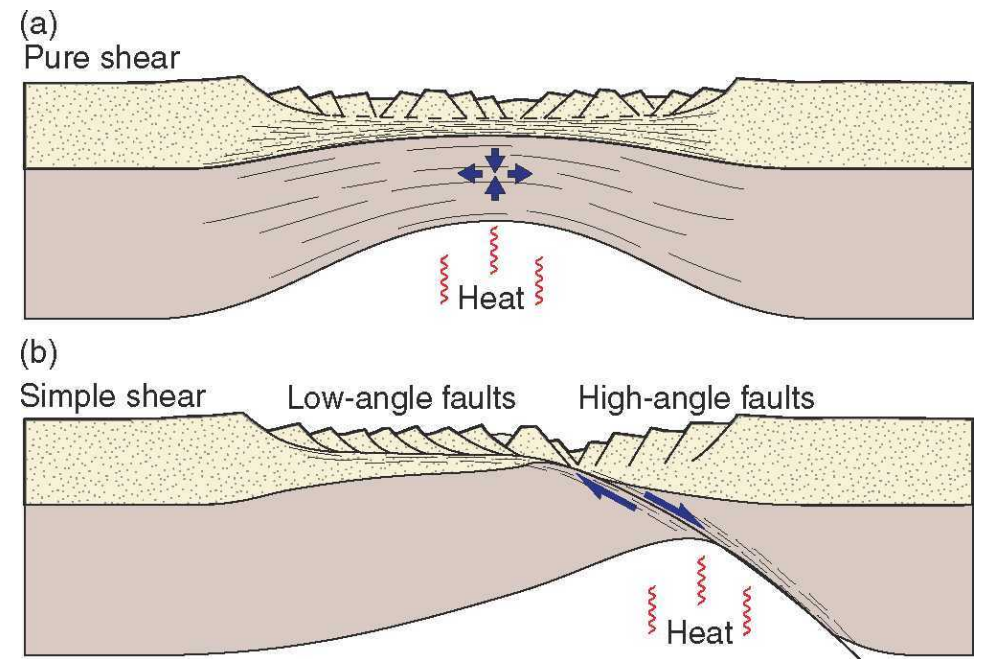
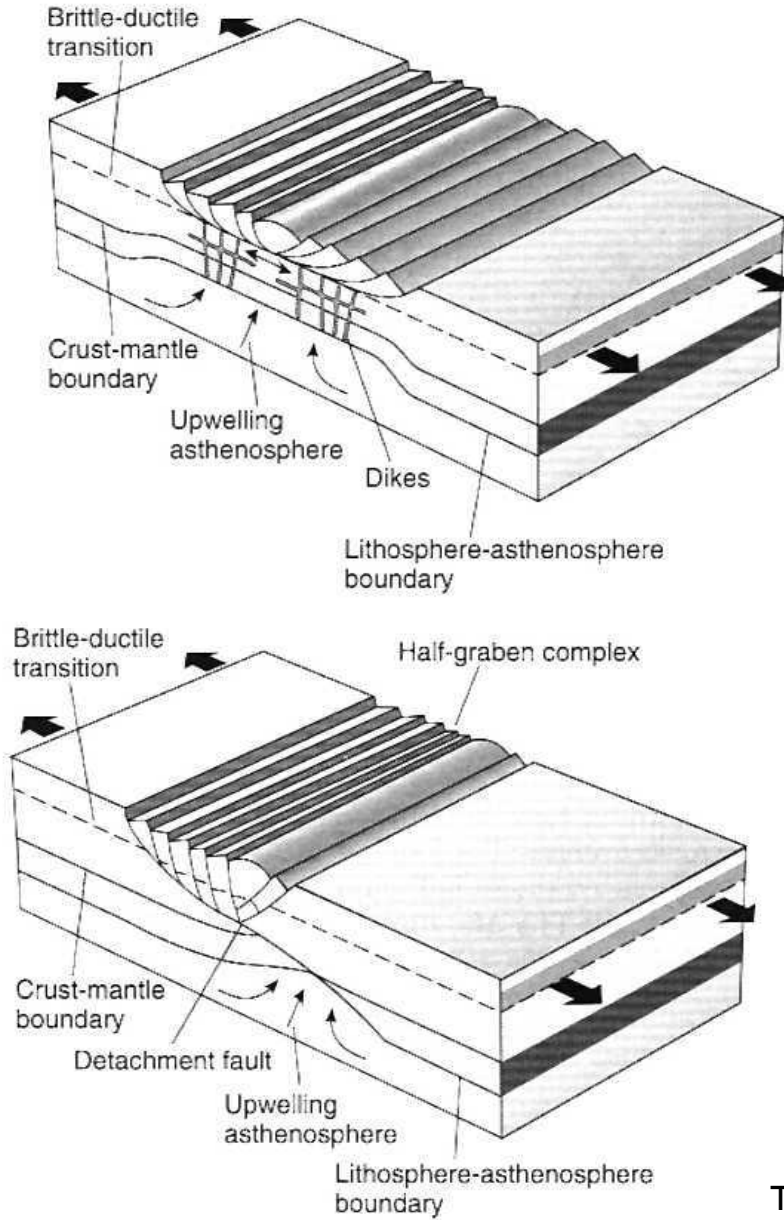


(f) $\beta = 1.74$

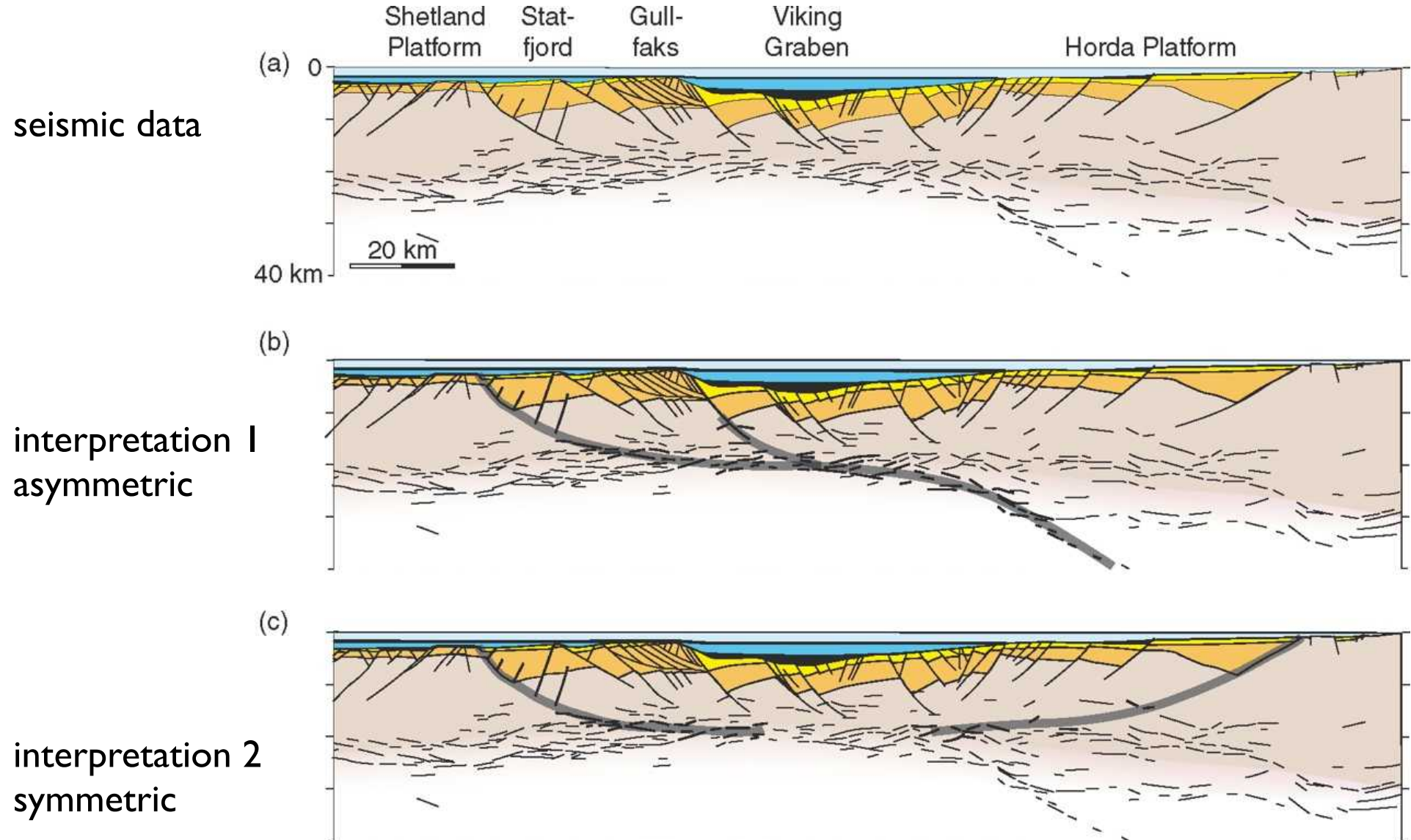


crustal extension models

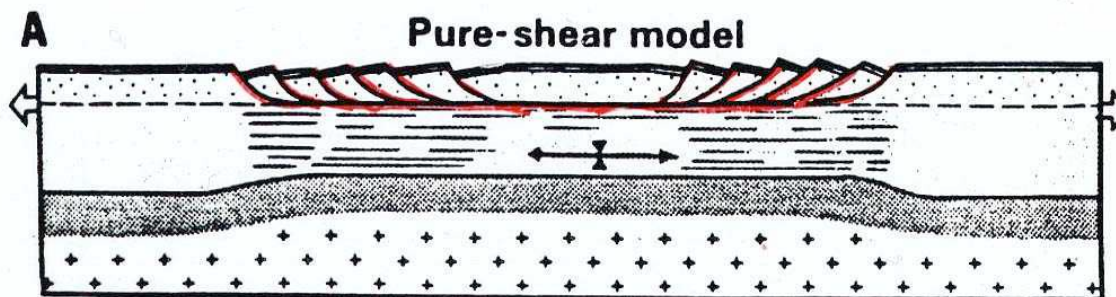
symmetry of extension



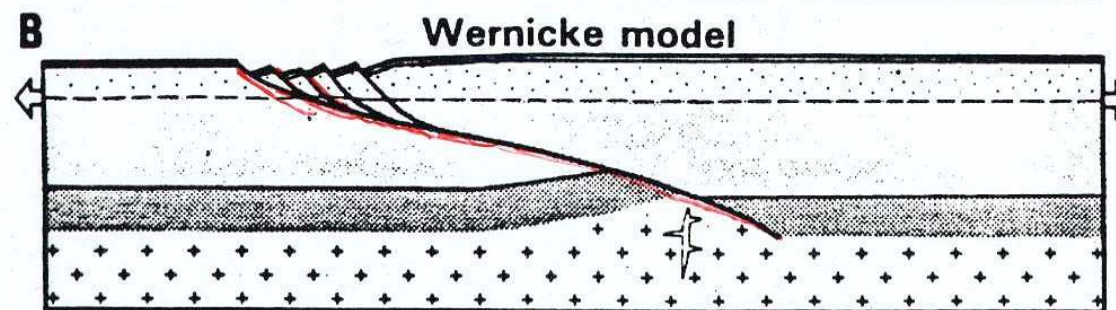
symmetry (?) of extension



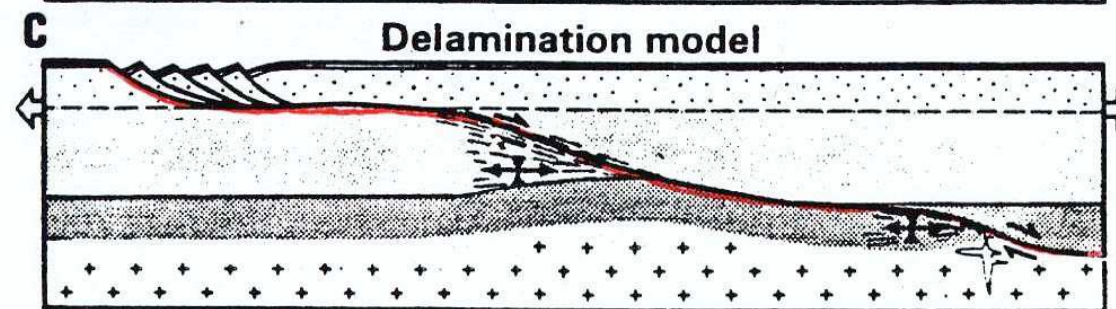
models for stretched lithosphere



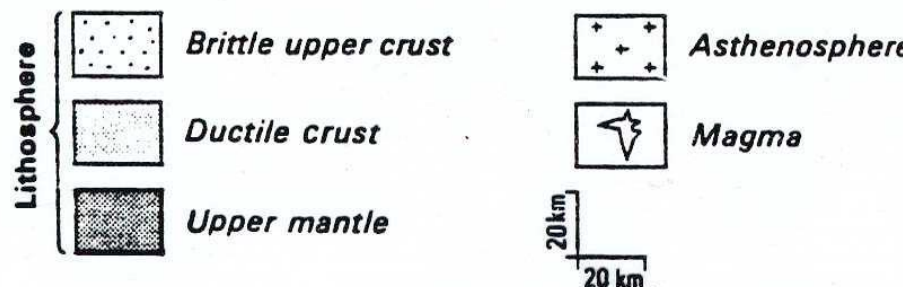
- symmetric extension and graben
- listric normal faults
- detachment between upper and lower crust
- brittle extension (upper part)
- ductile extension (lower part)



- asymmetric extension (also in graben)
- low-angle listric detachment cutting into the asthenosphere



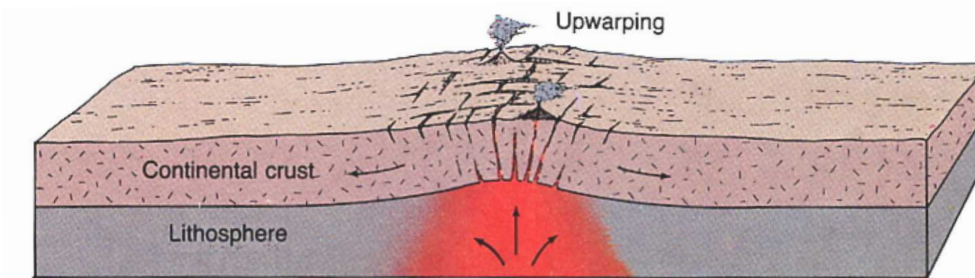
- Low-angle detachment that flattens in different crustal levels
- regional flat-ramp geometry



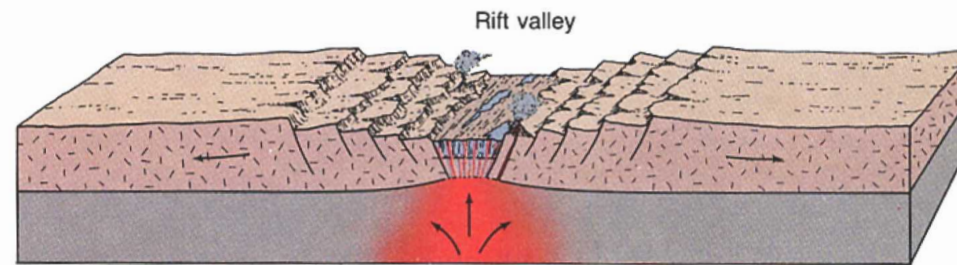
mid ocean ridges

(Beilagen z.T. modifiziert nach Claudio Rosenberg)

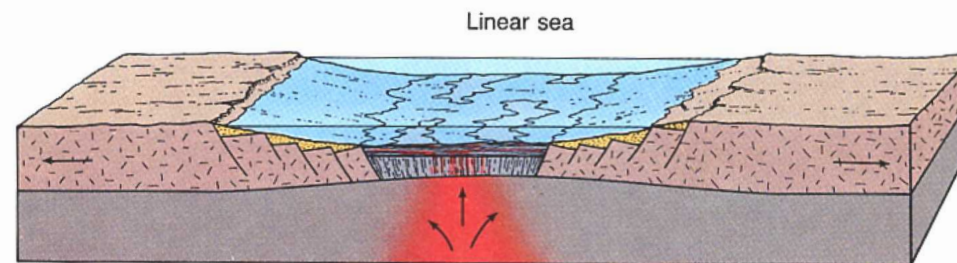
extensional regimes



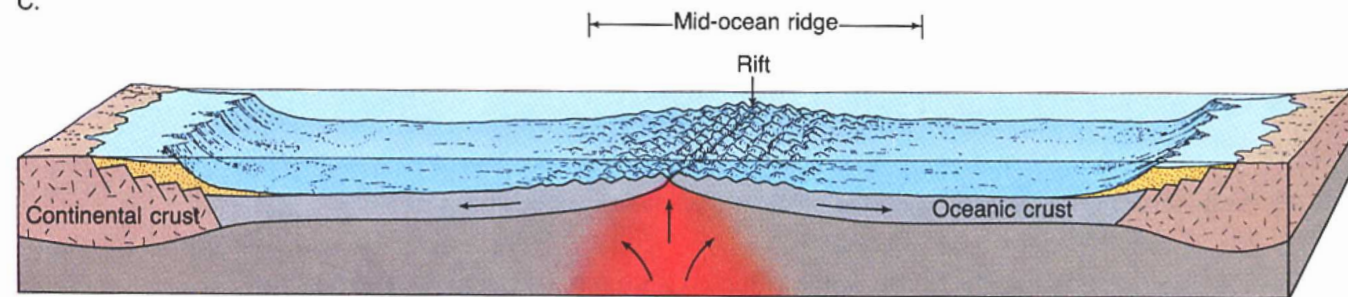
A.



B.

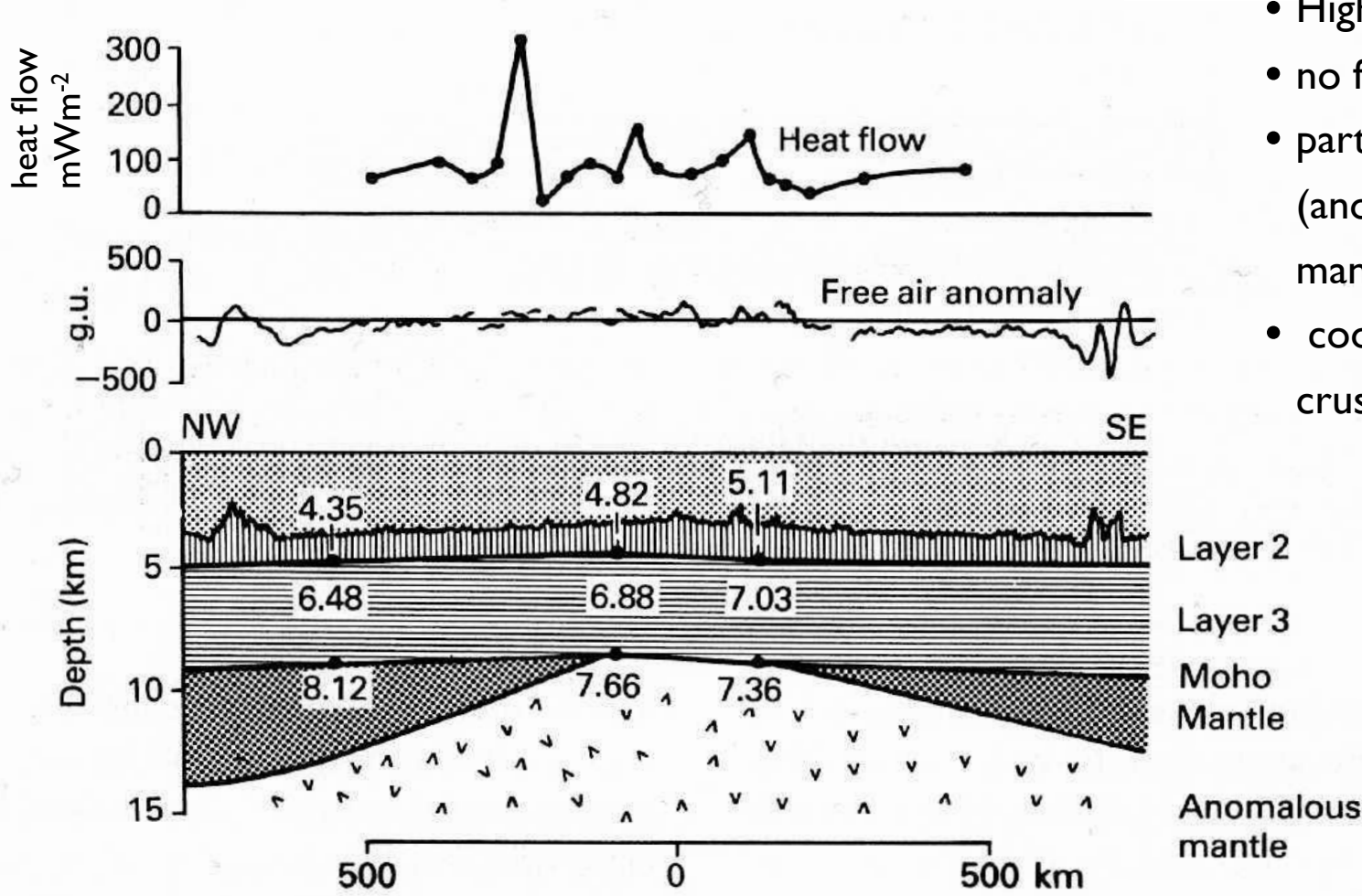


C.



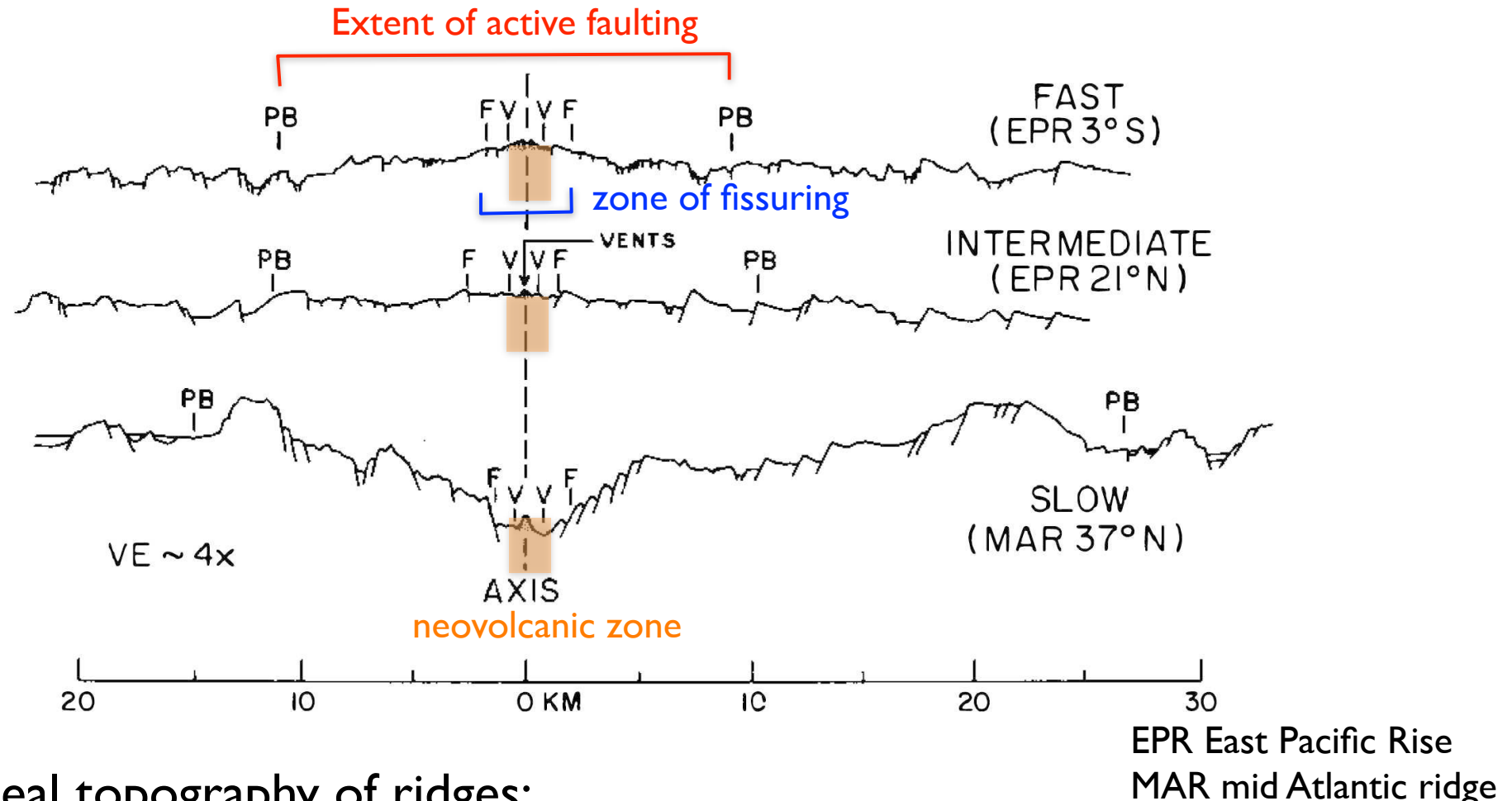
D.

heat flow and gravity at ridges



- High heat flow under ridge
- no free air anomaly
- partial melt under ridge
(anomalous mantle) supports elevation
- cooling leads to sinking of crust away from ridge

fast- and slow-spreading ridges



Real topography of ridges:

Fast Ridges not much relief at ridge

Slow Ridges 30-50 km wide, much deeper

V = Neovolcanic activity, F = fissures, P = zone of active faulting

fast - slow ridges topography

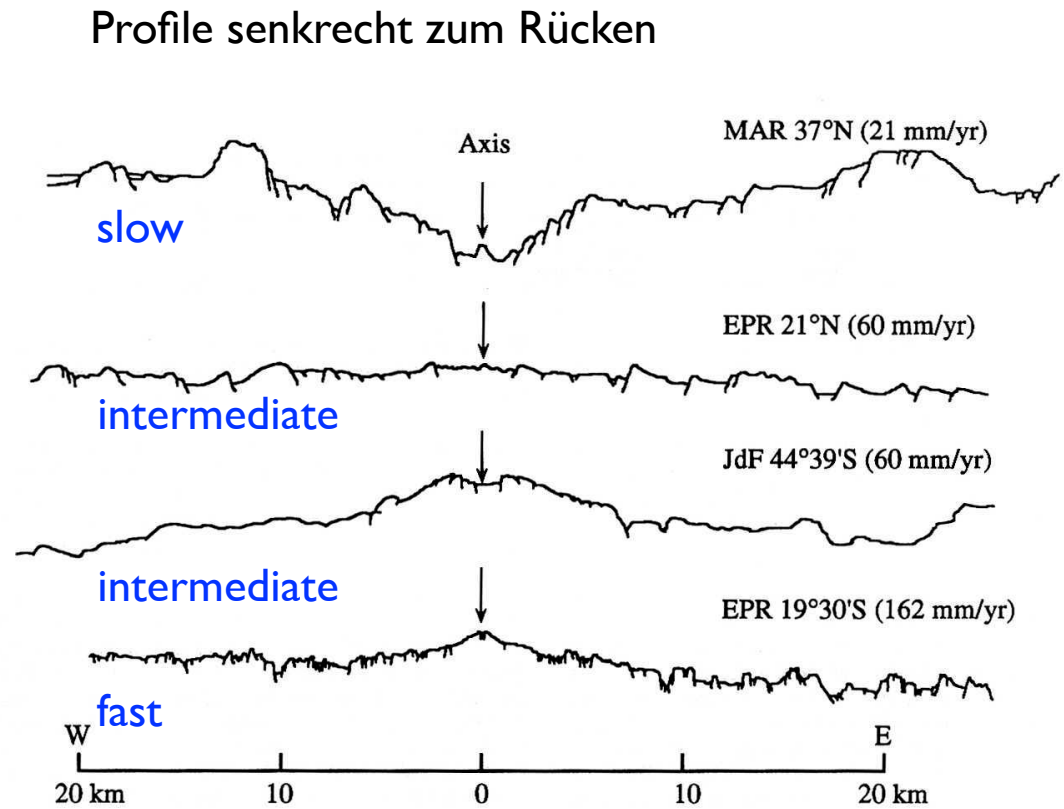
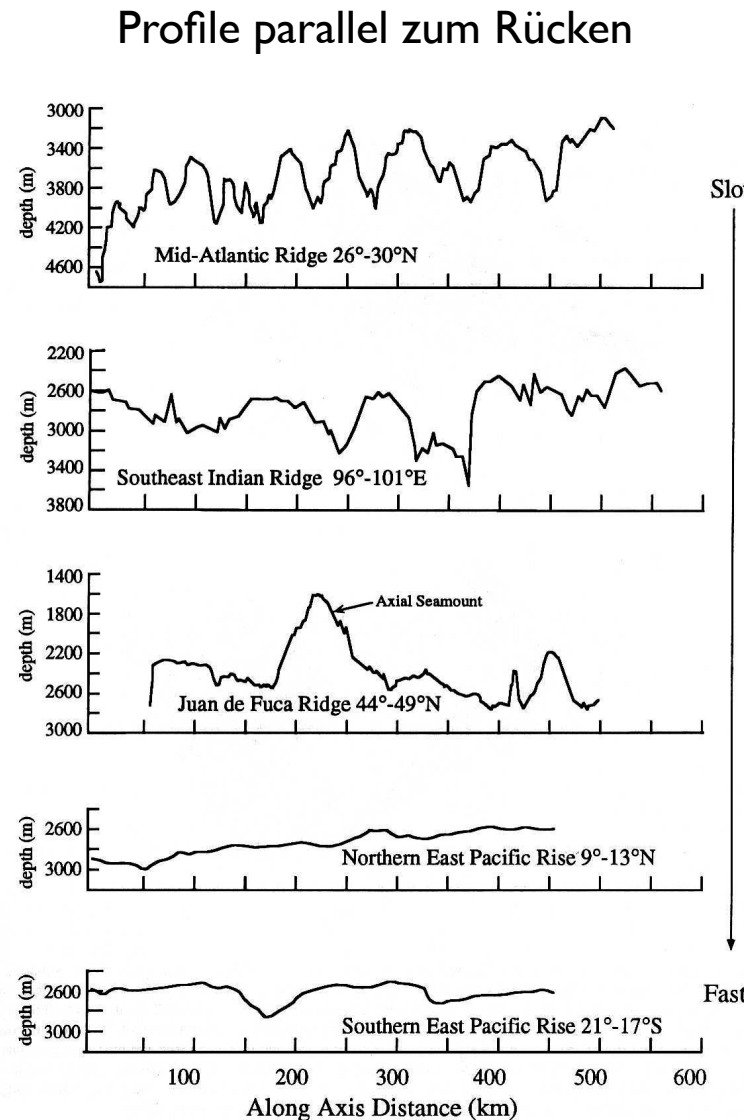
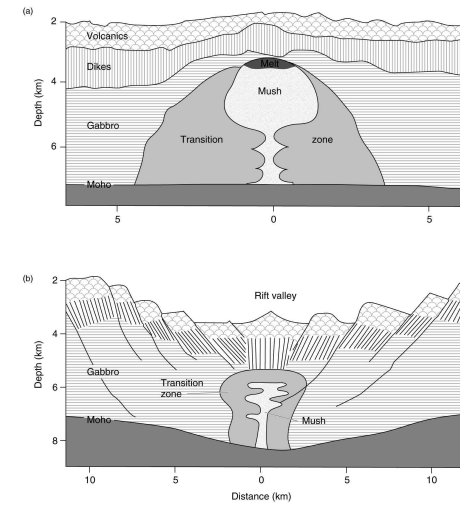
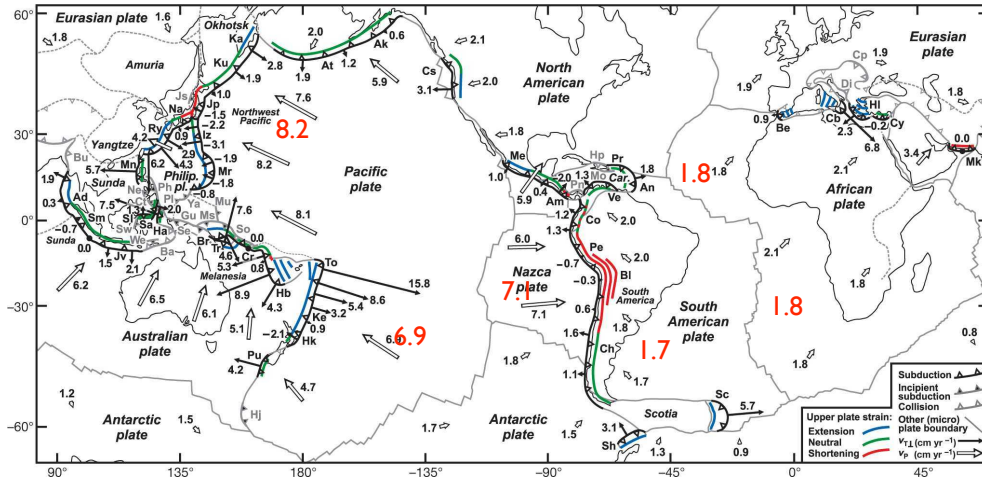


Figure 1. Cross-axis bathymetric profiles of selected mid-ocean ridges with different spreading rates. Profiles across fast-spreading (Southern East Pacific Rise) and slow-spreading (Northern Mid-Atlantic Ridge) ridges show the morphologic contrast between an axial high and a rift valley whereas intermediate spreading rate ridges (Juan de Fuca Ridge) have transitional features. Profiles are modified from Macdonald [1986].

fast- and slow-spreading ridges



EAST PACIFIC RISE, fast spreading

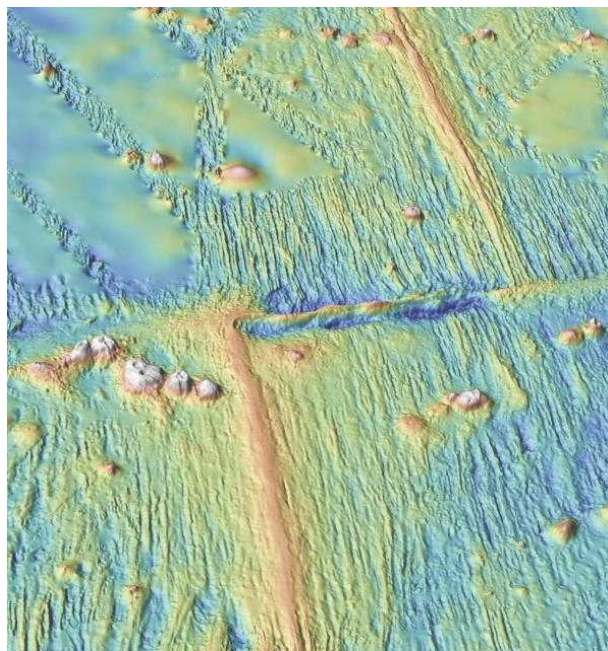
- presence of axial topographic high of up to 400 m height and 1-2 km width
- within this high, small graben < 100m wide and 10 m deep. High may result from buoyancy of hot rocks at shallow depth.
- faulting is more prevalent than on SSR and it accounts for the vast majority of relief
- low seismic velocities in a 4-8 km wide region in the lower crust, 1-2 km below sea-floor, interpreted as the top of magma chamber

MID-ATLANTIC RIDGE, slow spreading

- median valley, 30-50 km width and 500 to 2500 m depth.
- Inner valley bounded by normal fault scarps, ca. 100 m height
- Axial topographic high, 1-5 km width with 100's m relief, extending only for 10's of km along axis. Formed by the coalescence of volcanoes.
- low seismic velocities the lower crust, but no convincing evidence for magma chambers => probably magma chambers are transient below SSR

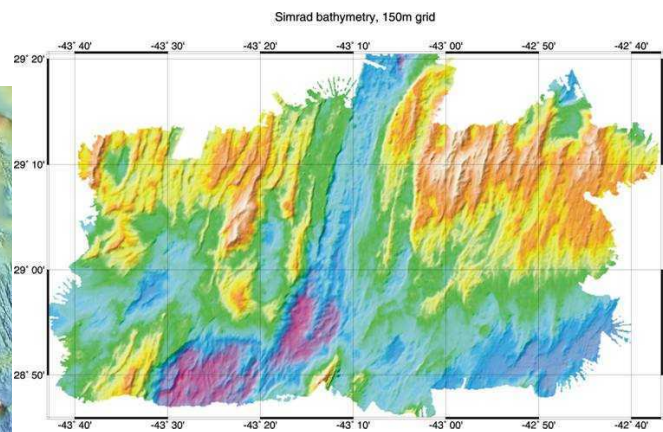
fast- and slow-spreading ridges

Perspective view looking north along the East Pacific Rise at 9° to 11°. Prominent (dark blue = deeper) transform fault running to the east.

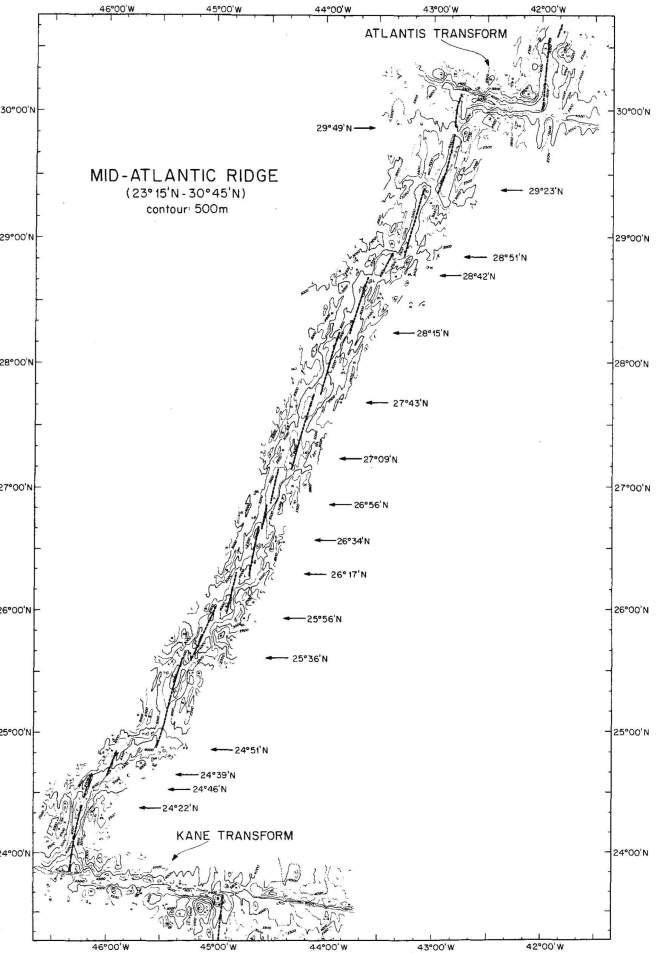
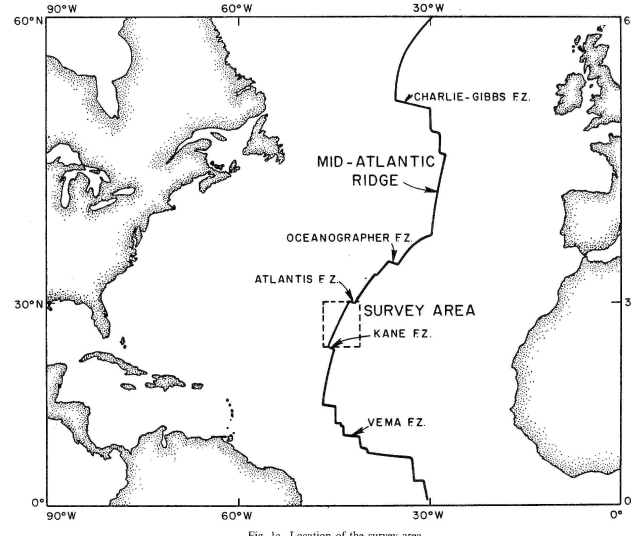


<http://media.marine-geo.org/image/east-pacific-rise-9°-to-11°-n-3d-view-2008>

Mid-Atlantic Ridge axis near 29°N, illuminated from the NW.

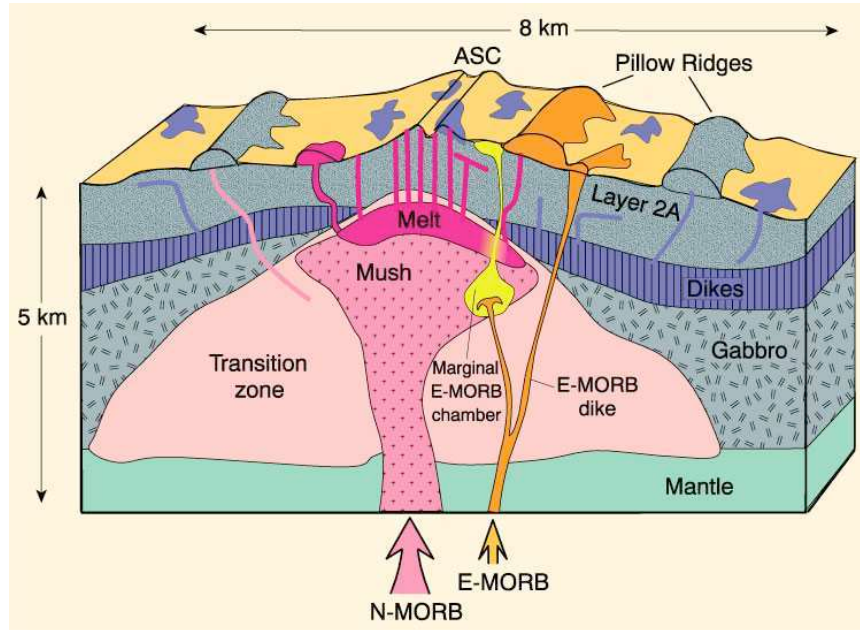


Searle et al., 1998



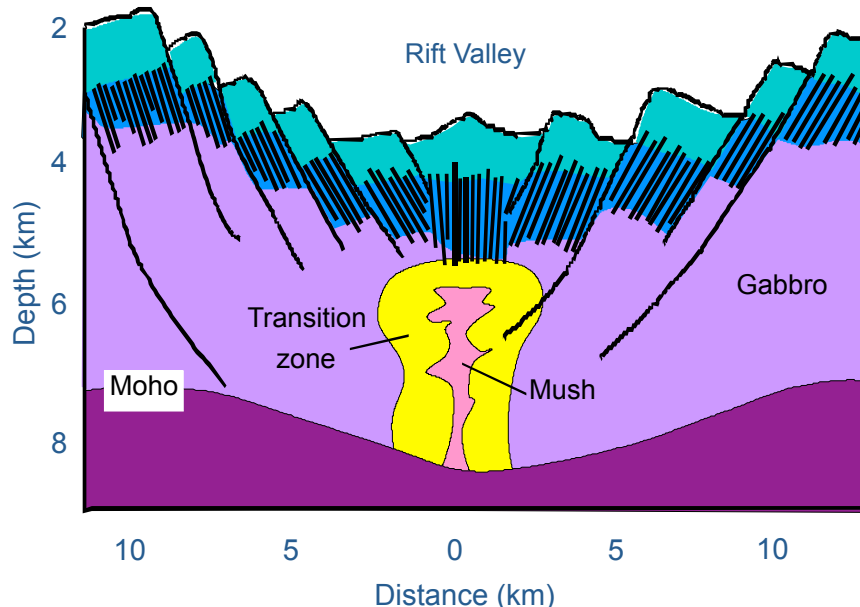
Sempéré et al., 1993, Marine Geophysical Researches

magma chambers



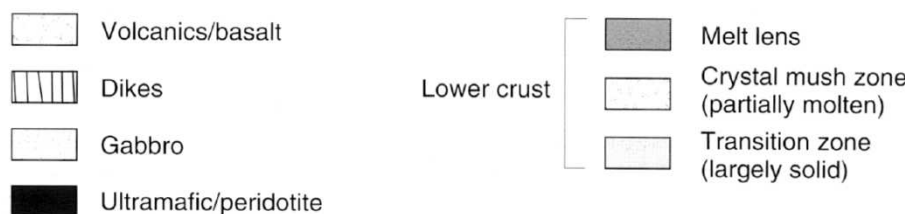
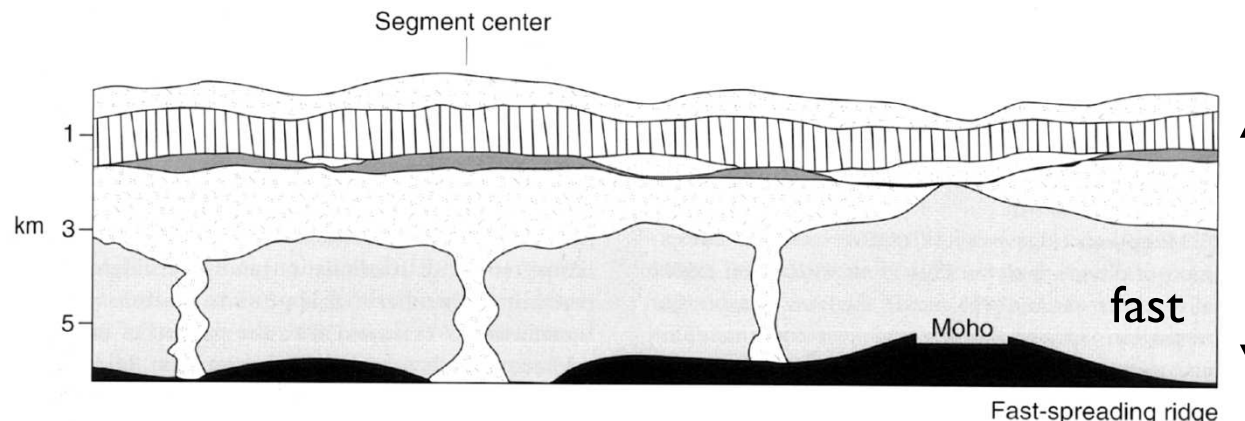
axial magma chamber beneath fast-spreading ridge

After Perfit et al. (1994) Geology, 22, 375-379.
After Sinton and Detrick (1992) J. Geophys. Res., 97, 197-216.



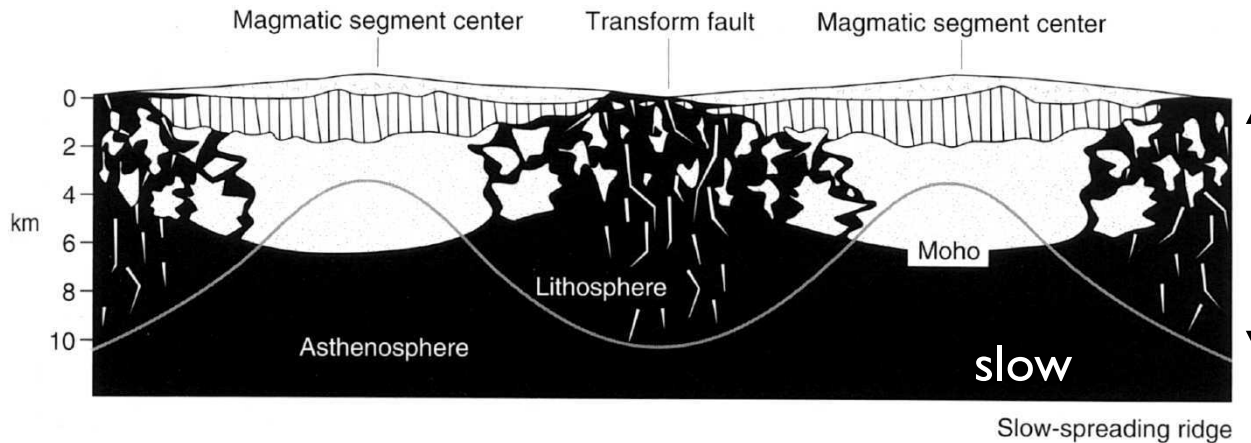
axial magma chamber beneath slow-spreading ridge

profiles along ridges



5 km

Thickness of lithosphere
is controlled by balance
between heat input and
heat removal



10 km

Keary et al. 2009

ridge morphology

Two processes control ridge morphology:

1. Stretching of mechanically strong lithosphere makes median valley at spreading center
2. Thickness of lithosphere is controlled by balance between heat input and heat removal

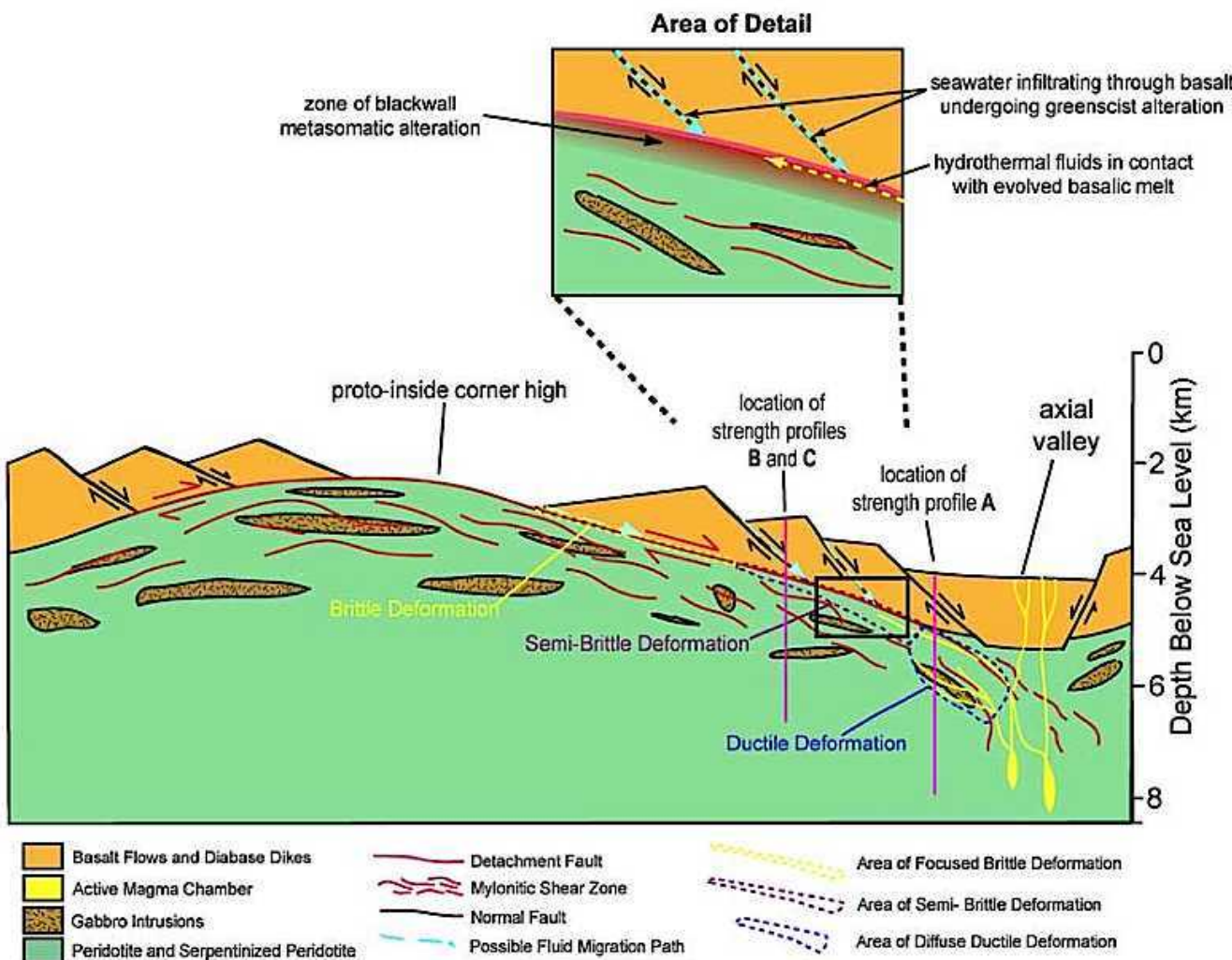
⇒ Ridge morphology is a consequence of thermal structure

Thermal structure is determined by two factors:

1. Rate and geometry of magma supply
2. Efficiency of heat removal by hydrothermal circulation (cracking / normal faulting at $T < 600^{\circ}\text{C}$).

Magma ascent by buoyancy – stopped by freezing at top of magma chamber (solidus at 1200°C)

low angles faults at ridges



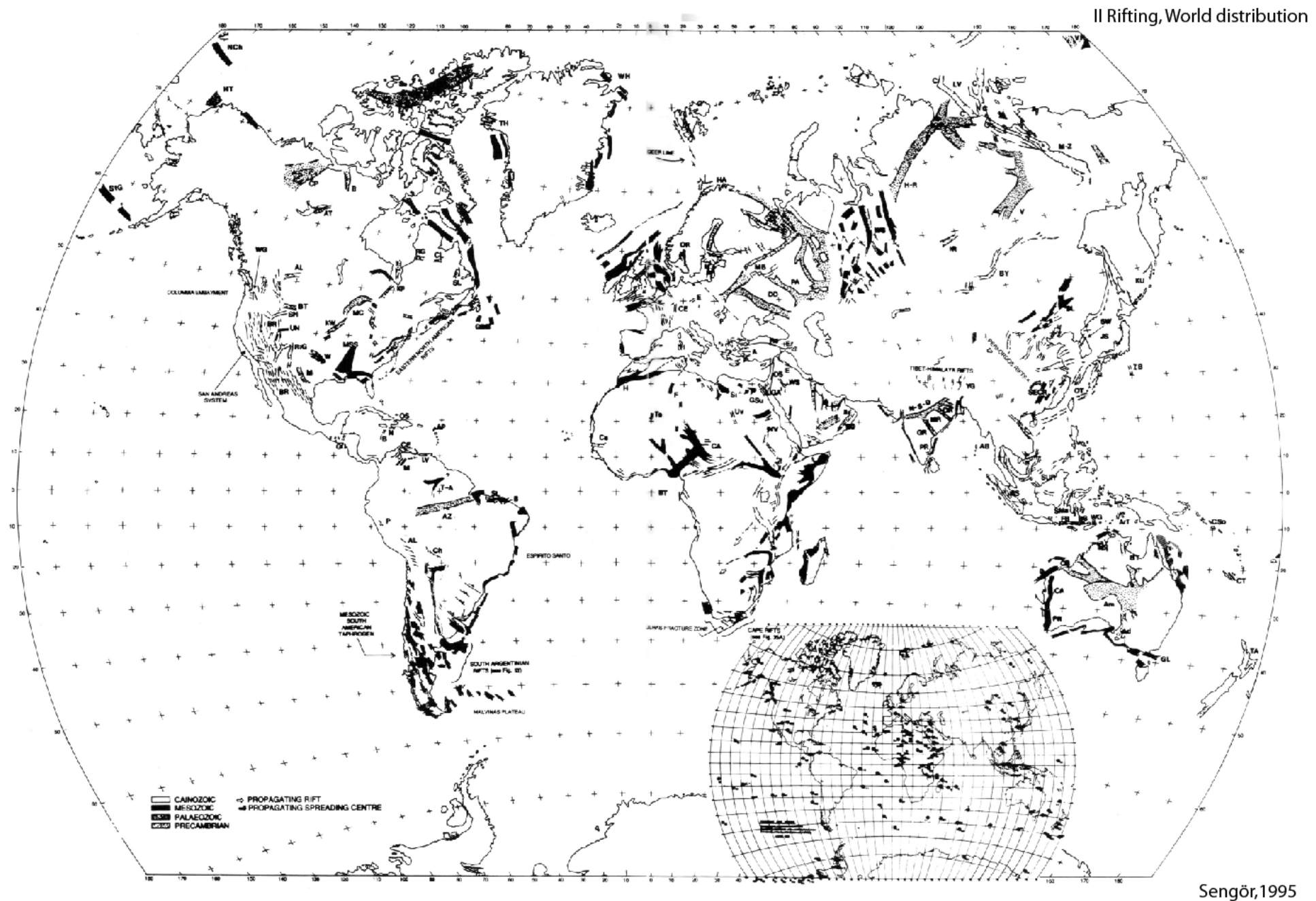
Asymmetric ridges because of low angle normal faults denuding mantle at ridges

- low angle normal faults at ocean ridges
- similar to metamorphic core complexes
- deformation localized through reactions from viscous to semi-brittle

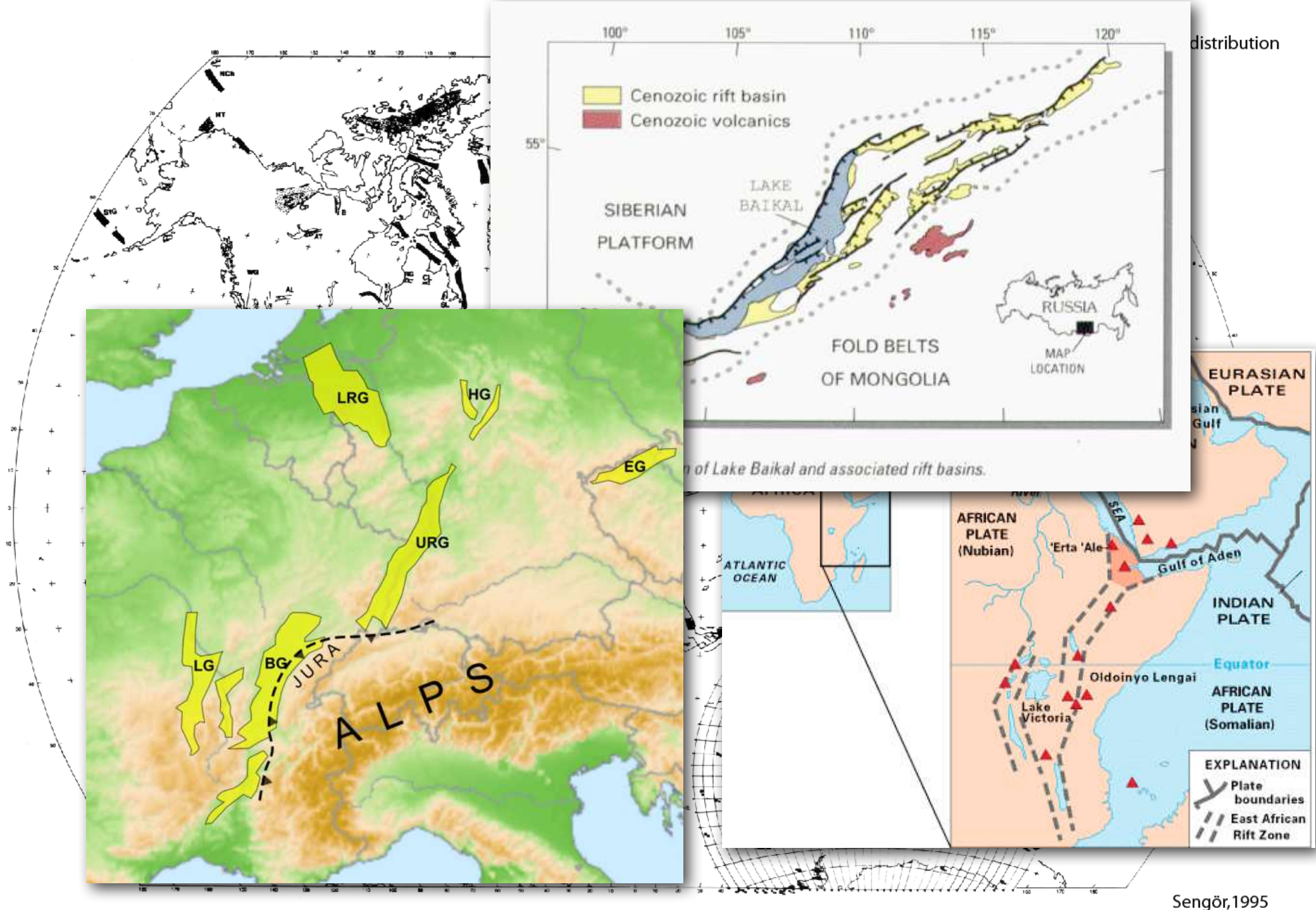
rifts

(Beilagen z.T. modifiziert nach Claudio Rosenberg)

distribution of rifts worldwide

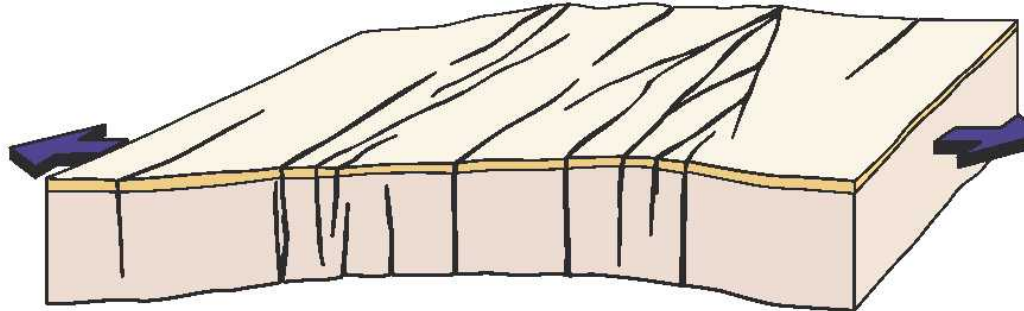


distribution of rifts worldwide

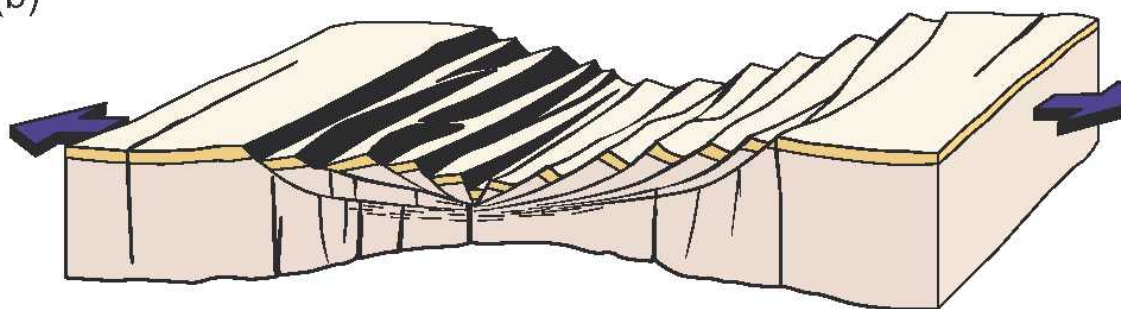


rafting

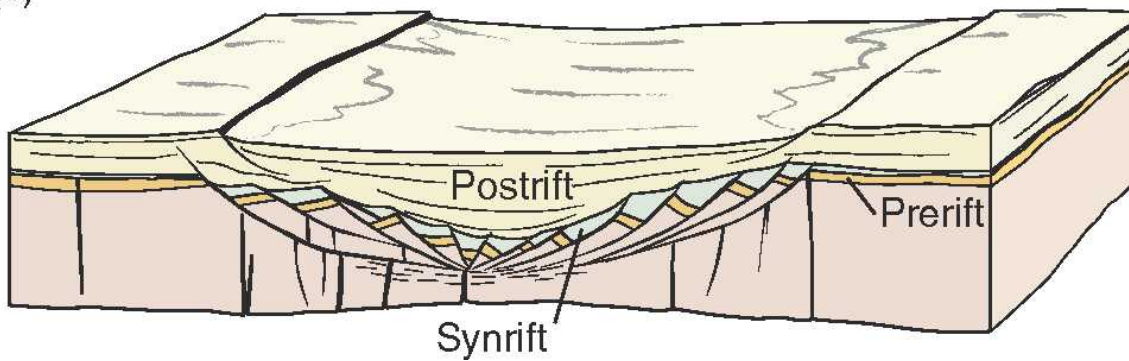
(a)



(b)



(c)



rifts - definition

RIFT: region where the crust has split apart.

GRABEN: depression or trough, which is much longer than it is wide.

"Rift" comes from the root "reve", meaning to tear apart, or to pull asunder.

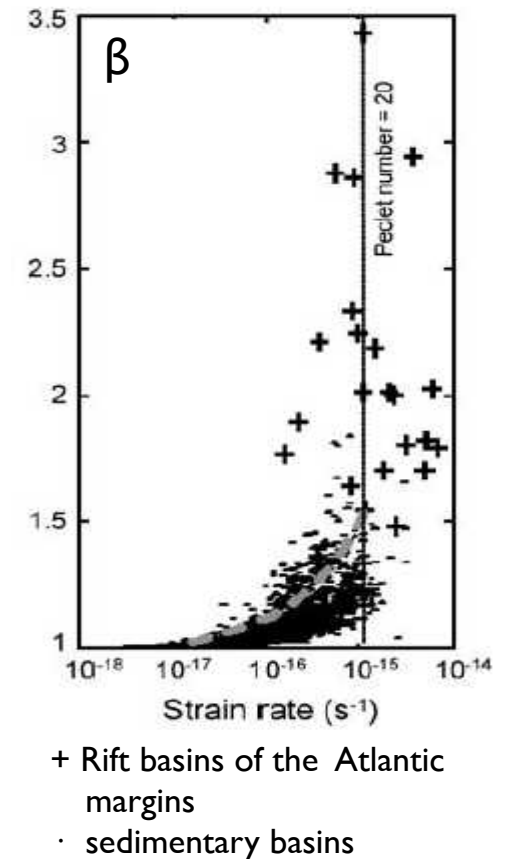
"Graben" is purely descriptive, rift is genetic (extensional rupture).
(A.M. Sengör, 1995)

Commonly, if the stretching factor β exceeds 3, sea-floor spreading starts, opening an ocean and destroying the rift.

$$\beta = t_0/t_c$$

t_0 : initial crustal thickness
 t_c : present crustal thickness

Rifts, which do not attain the oceanic stage are termed "failed rifts". This term should better be replaced with "fossil rifts", because these structures are not failed rifts, but rather failed oceans.

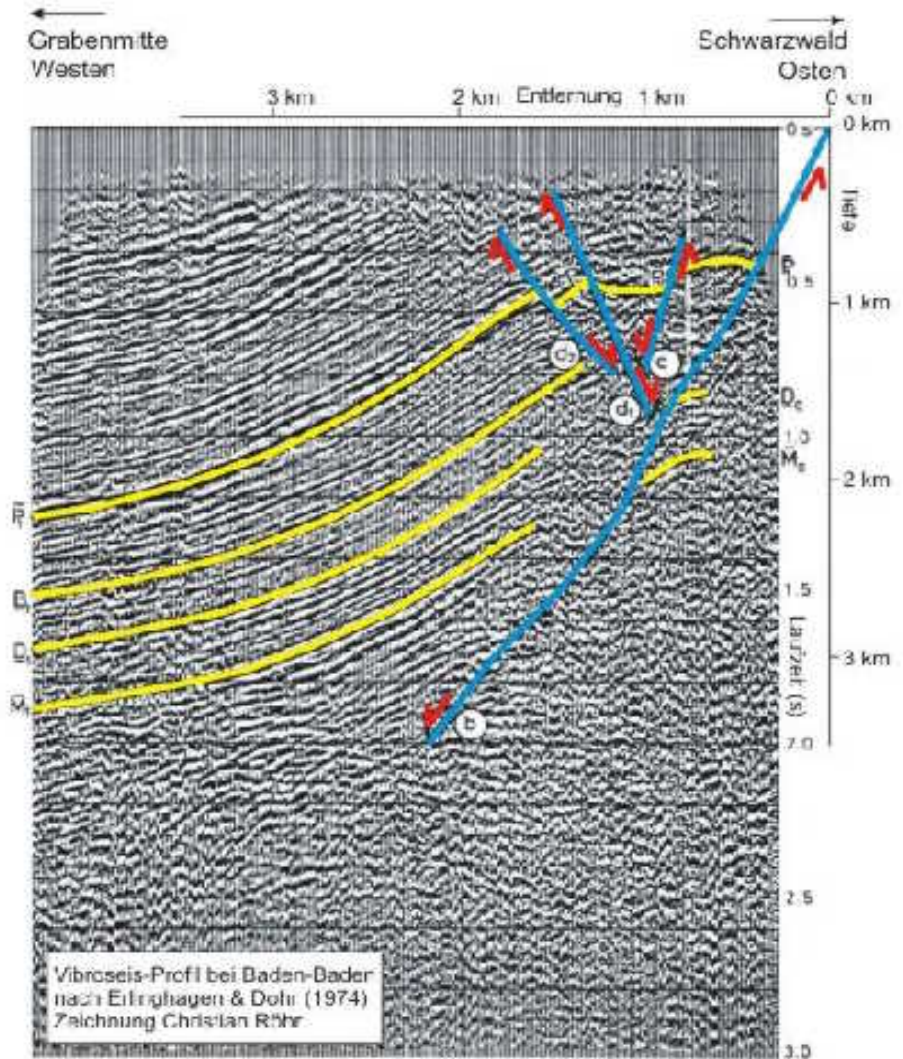


common characteristics of rifts

I. A rift or Graben structure with a rift valley flanked by normal faults

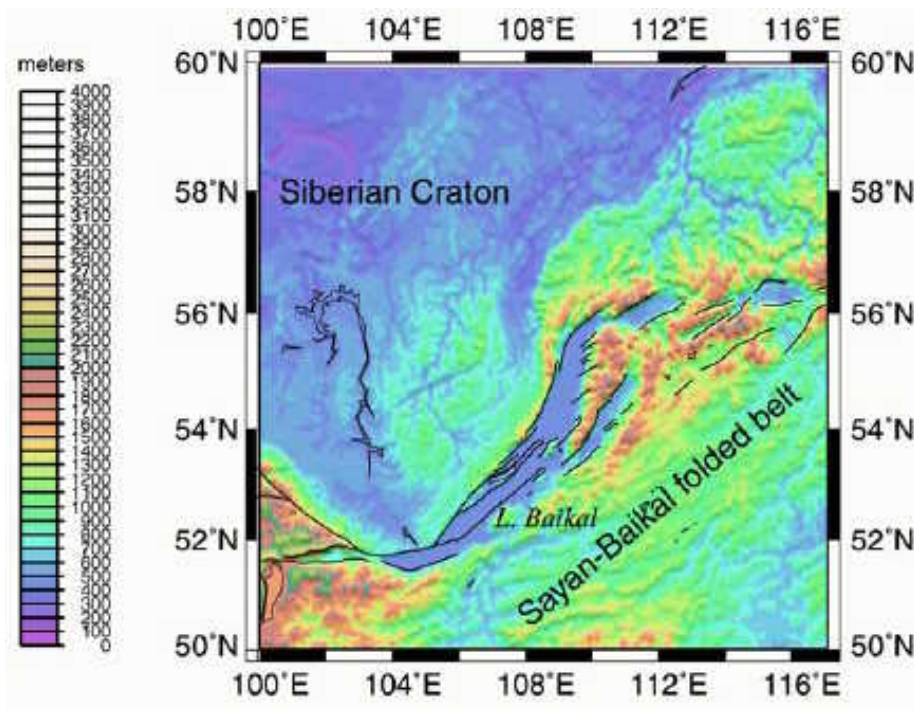


View of the Dabbahu rift, Afar region of Ethiopia.
Recent lava flows are cut by subvertical normal
faults.

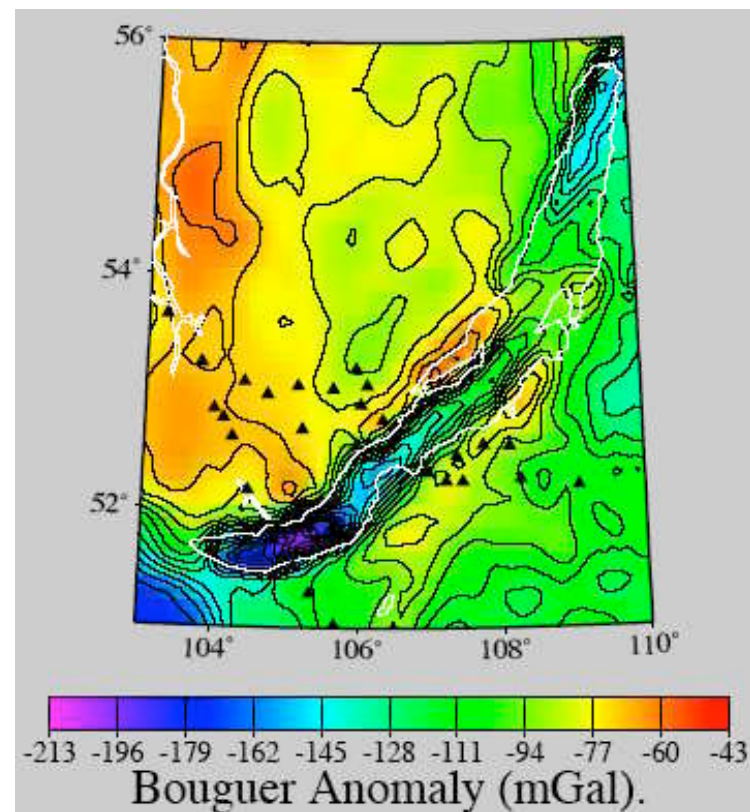


common characteristics of rifts

2. Negative Bouguer gravity anomalies (mass deficit)

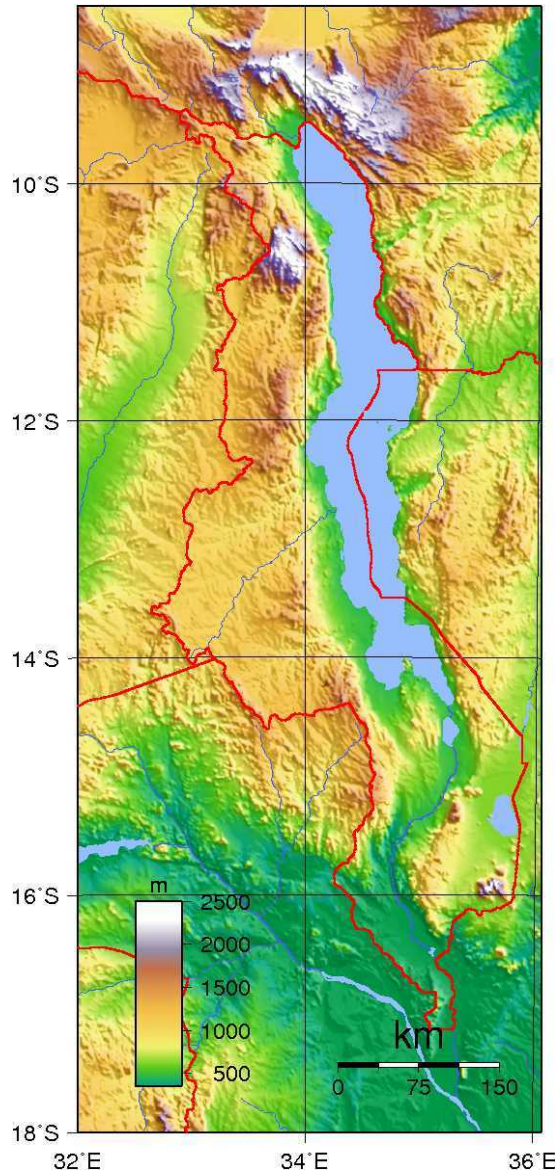


[www.ipgp.jussieu.fr/files_lib/
307_2001_AGU_insights%20into%20baikal.pdf](http://www.ipgp.jussieu.fr/files_lib/307_2001_AGU_insights%20into%20baikal.pdf)



common characteristics of rifts

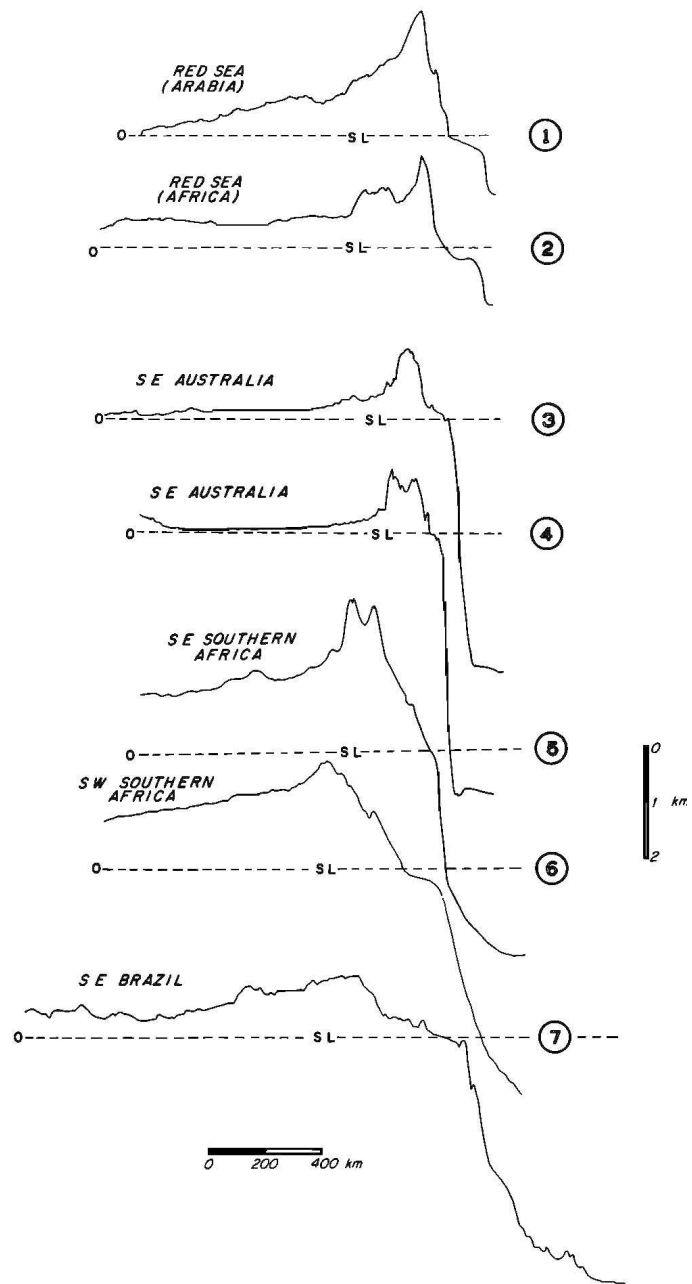
3. Uplifted rift shoulders



Rift flank uplifts are permanent structures. In SE-Brazil and S-Africa extension terminated in the Late Jurassic/early Cretaceous. Therefore, thermal support should have ended long time ago.

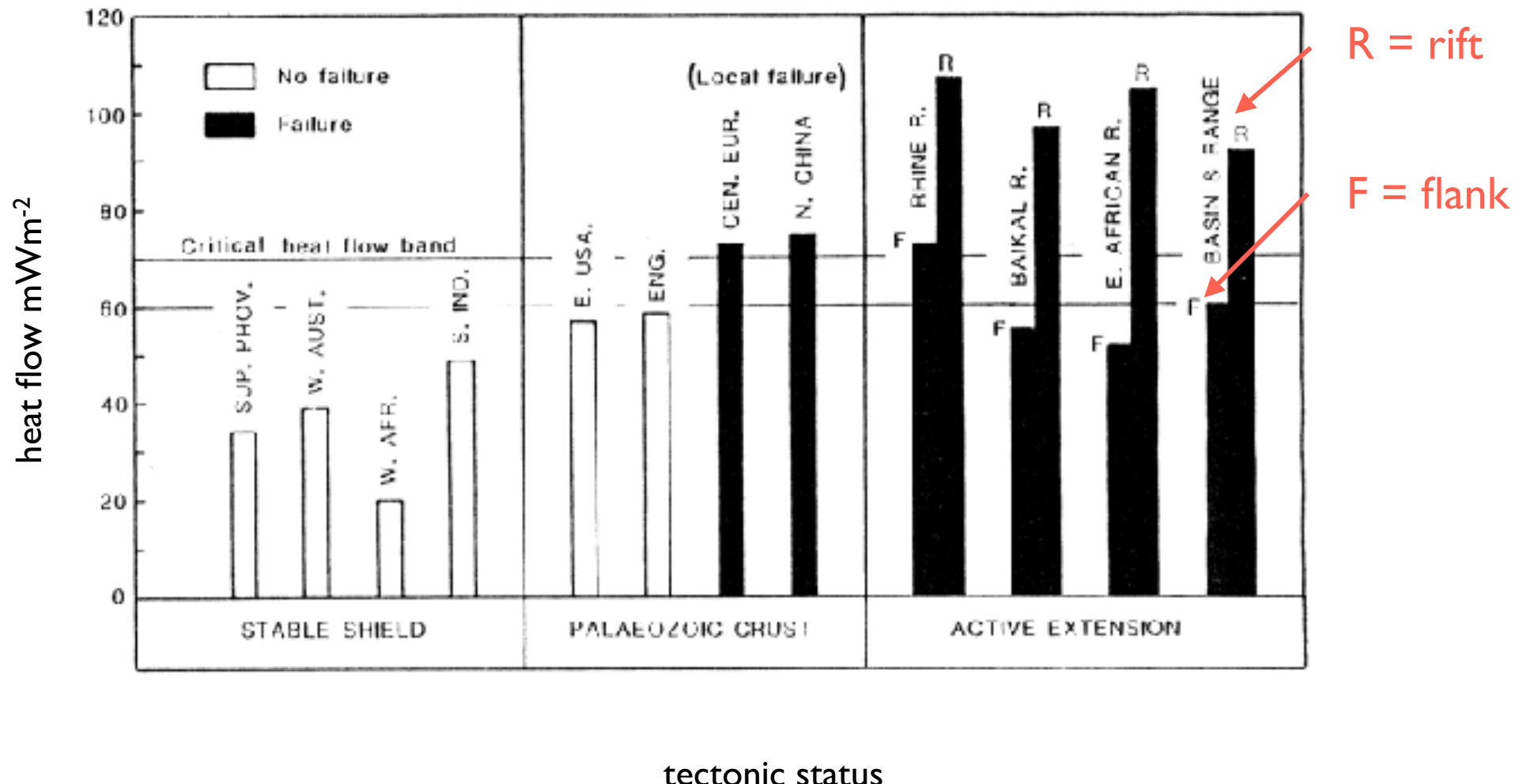
These structures can be explained by mechanical unloading during extension and consequent isostatic rebound, provided the lithosphere retains flexural rigidity, i.e. no local, but flexural (regional) isostatic response takes place.

Lake Malawi



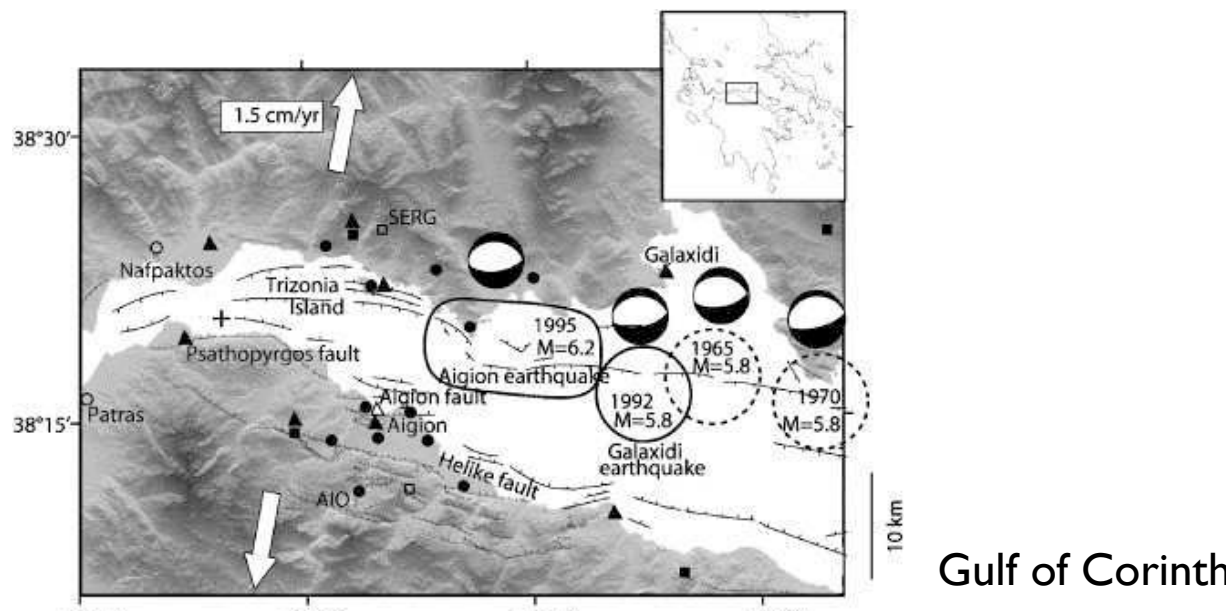
common characteristics of rifts

4. Higher than normal surface heat flow

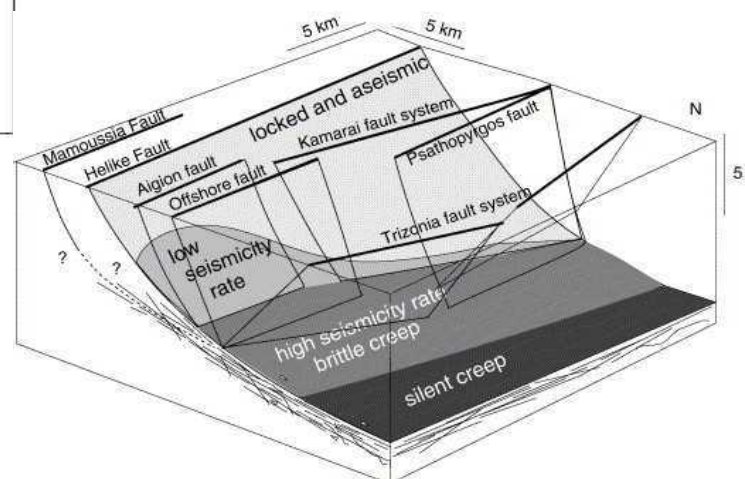
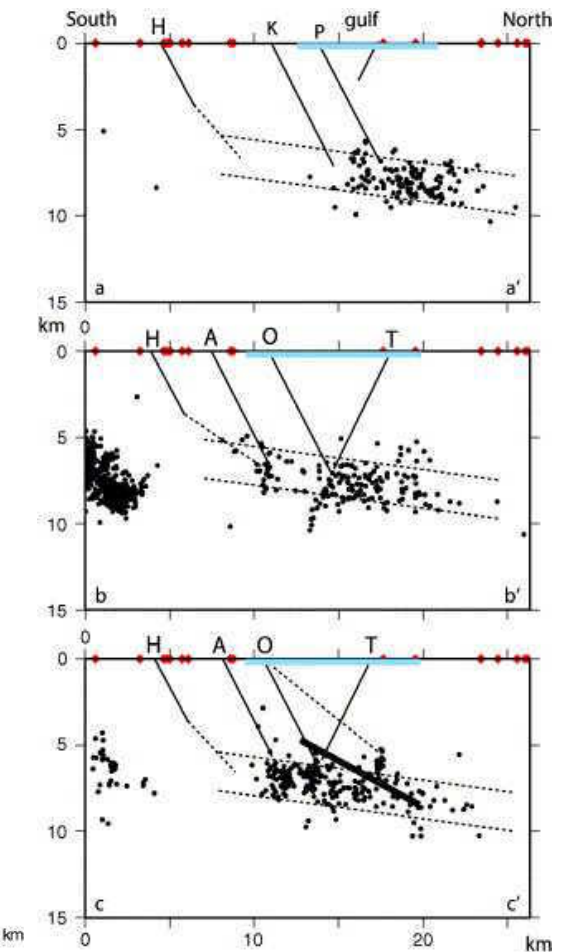


common characteristics of rifts

5. Shallow, tensional seismicity

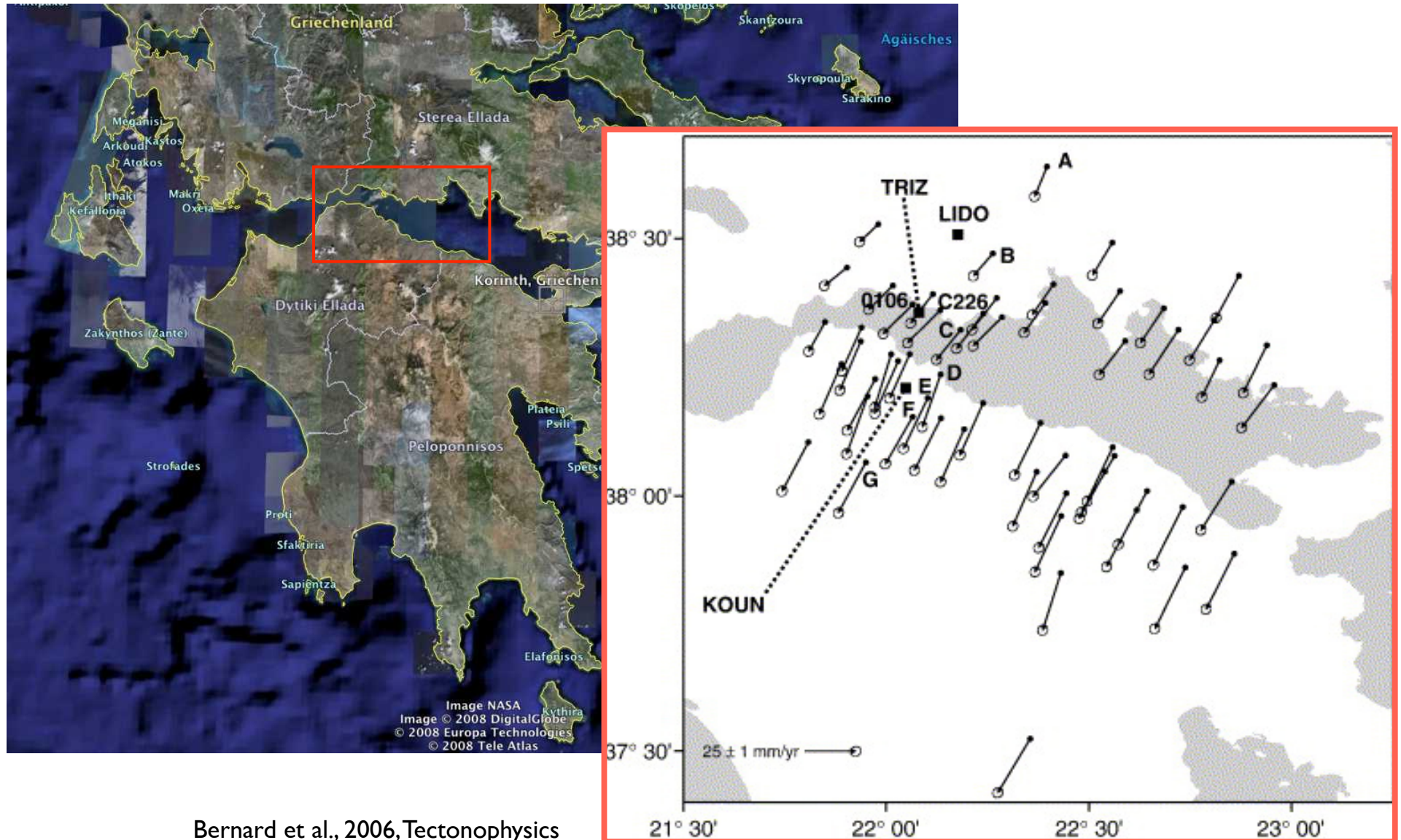


Gulf of Corinth



common characteristics of rifts

6. Differential motion of both rift flanks during activity



common characteristics of rifts

7. Thinning of the crust beneath the rift valley

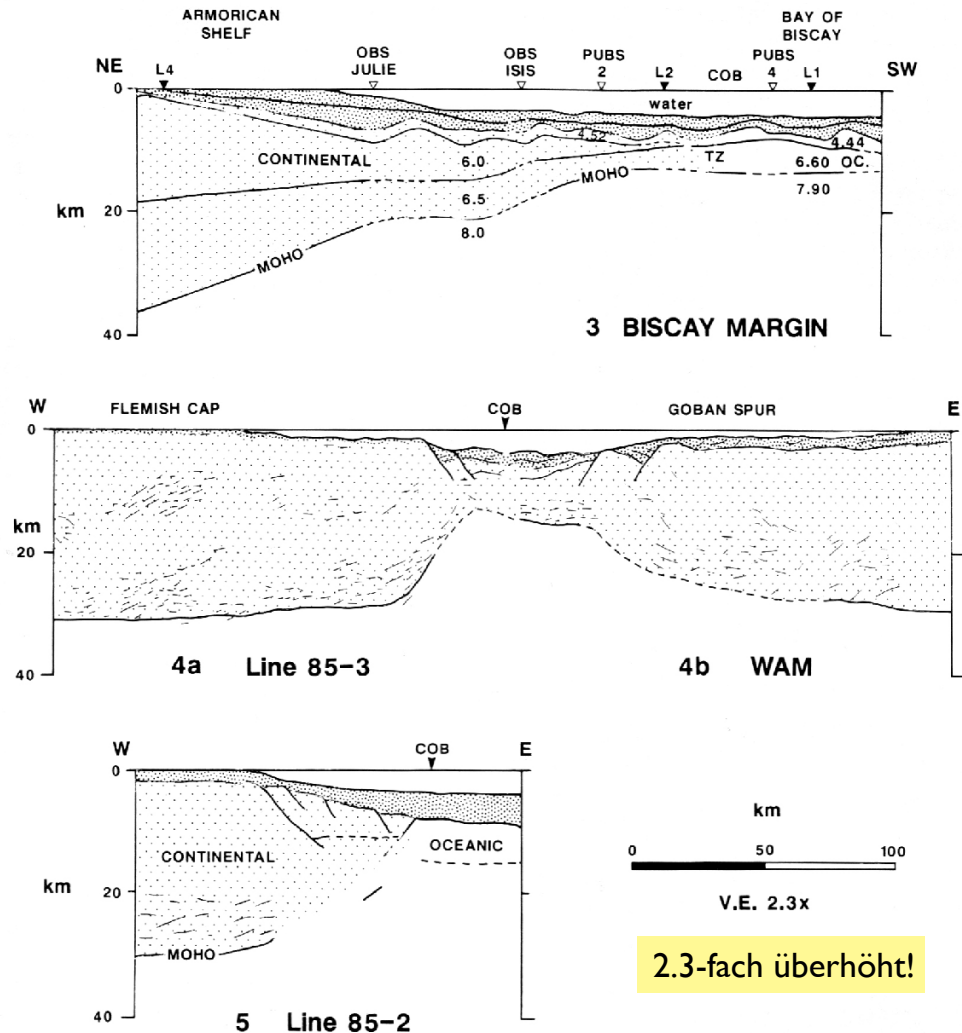
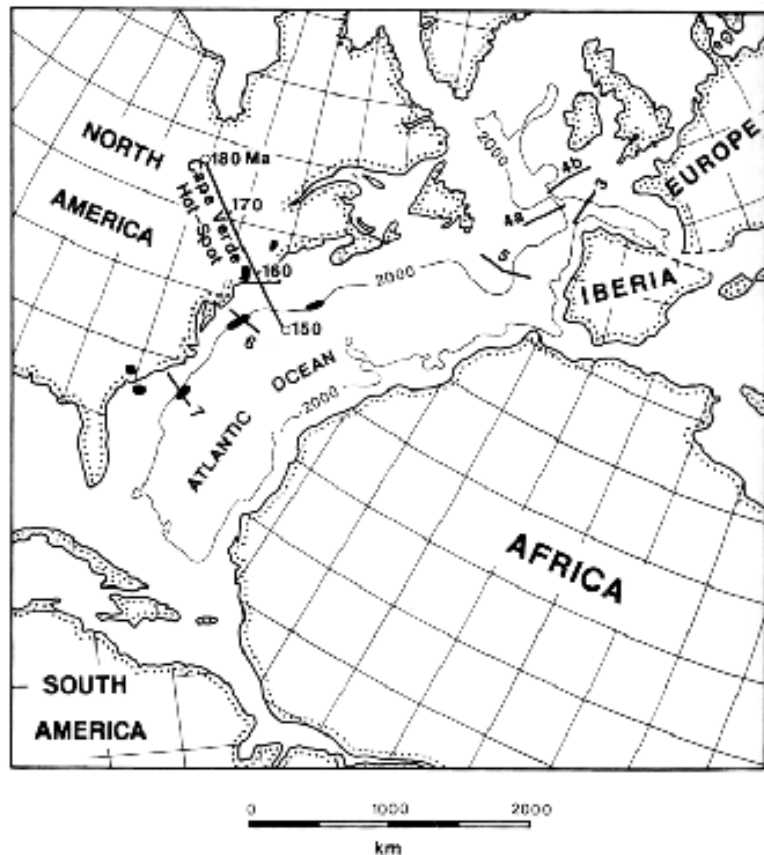
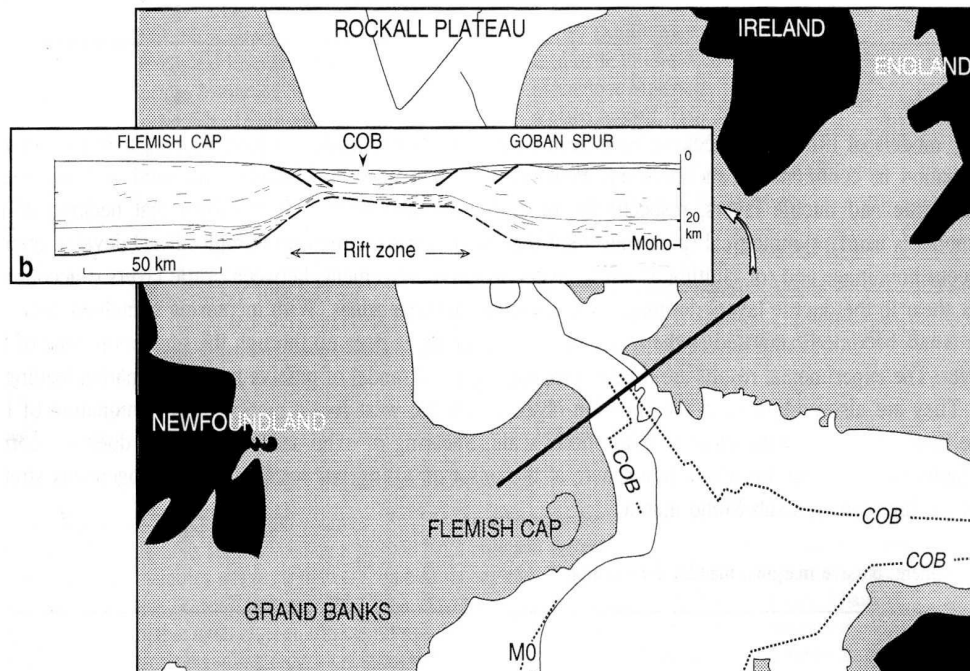


Fig. 12. Cross sections showing deep structure of the Biscay margin, the Western Approaches margin and Newfoundland margins. For locations see Figure 13. Biscay margin (profile 3) is redrawn from Ginzburg *et al.* [1985]. Western Approaches-Flemish Cap composite line (profile 4) is redrawn from Keen *et al.* [1989] Newfoundland margin (profile 5) is from Keen and de Voogd [1988] line 85-2. Key to symbols and scales are the same as for Figure 9.

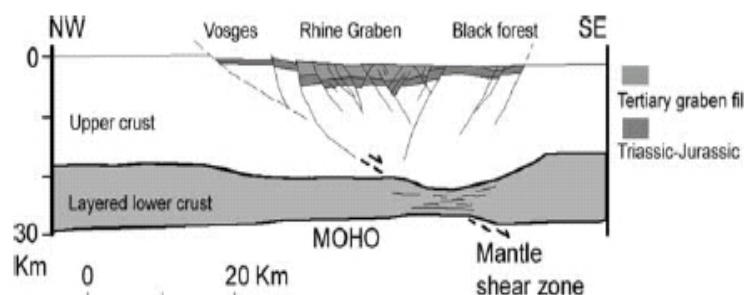
rifting

(Beilagen z.T. modifiziert nach Claudio Rosenberg)

narrow rifts

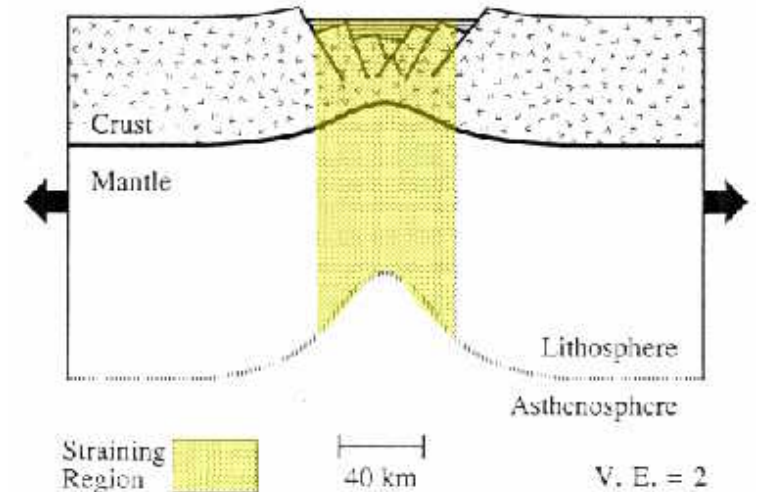


Brun and Beslier, 1996, Tectonophysics



DECORP-ECORS deep seismic profile
modified after Brun et al., 1992

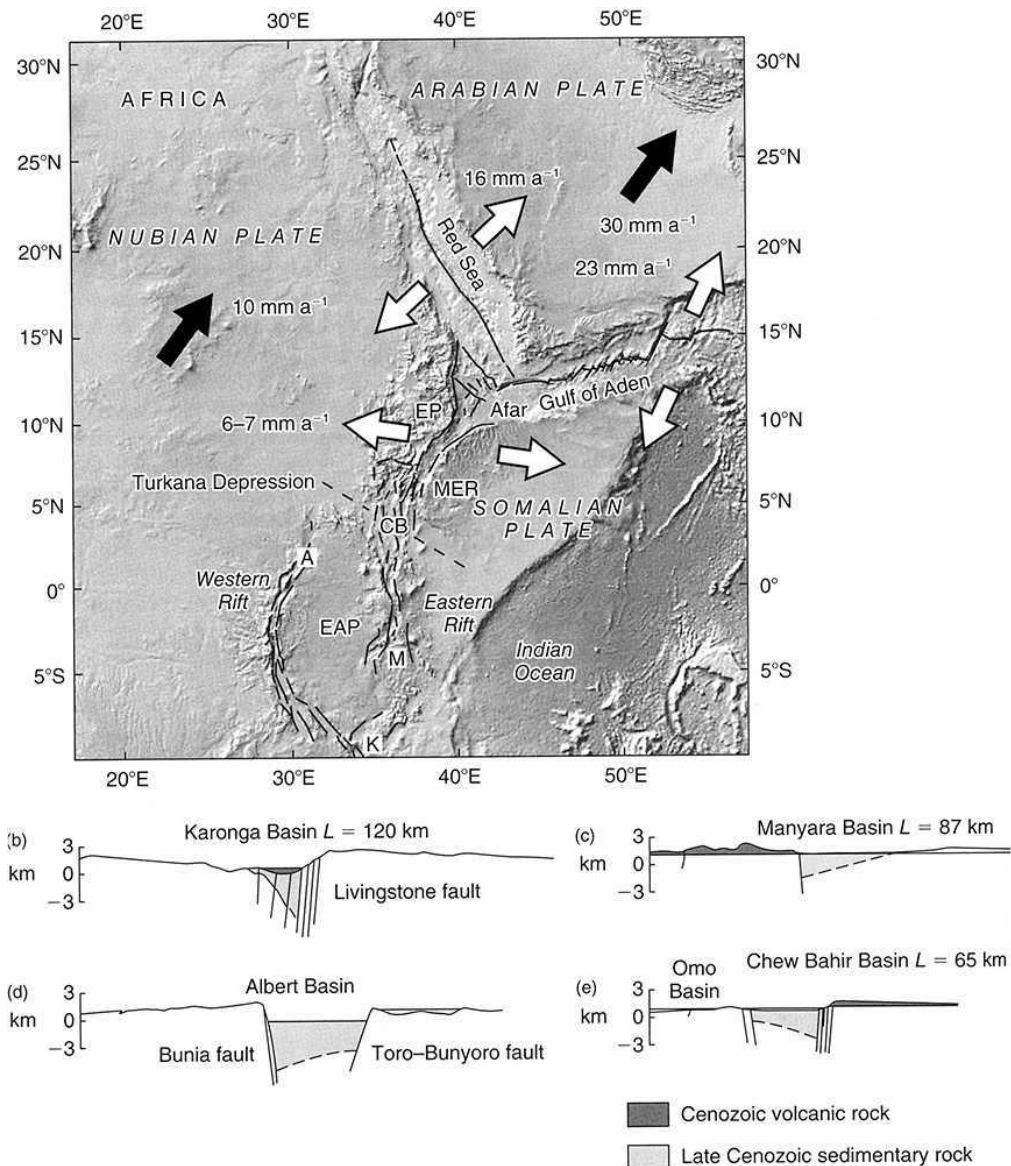
Narrow Rift Mode



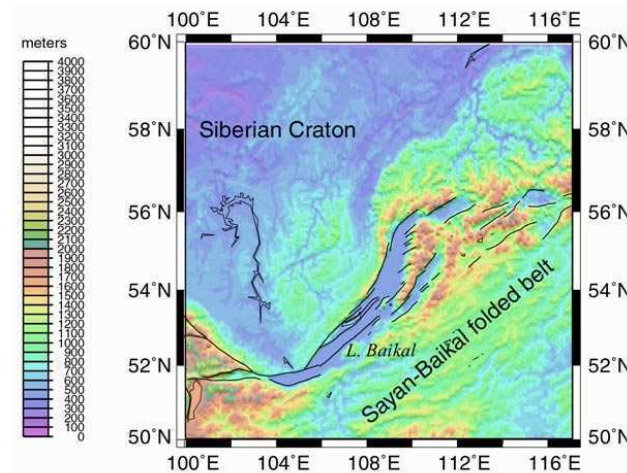
Die Verformung (gelbe Fläche) ist stark lokalisiert und reicht bis in den Mantel hinein. Die Moho und die Basis der Lithosphäre bilden eine „Antiform“

Buck, 1991, J. Geophys. Res.

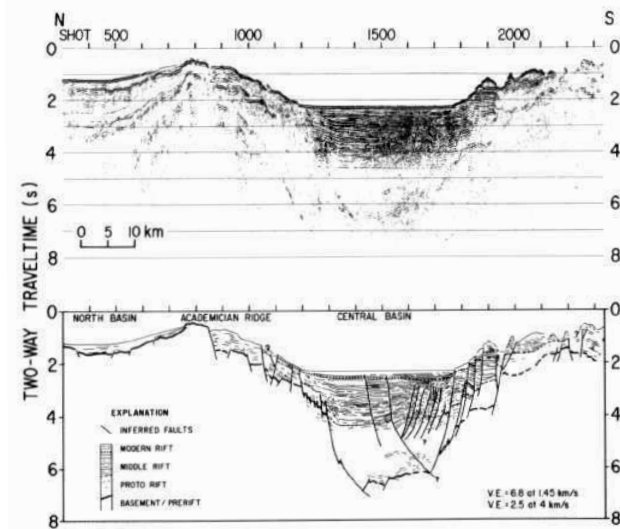
Red Sea Lake Baikal



Kearey, Klepeis and Vine, 2009, Global Tectonics,
Wiley-Blackwell

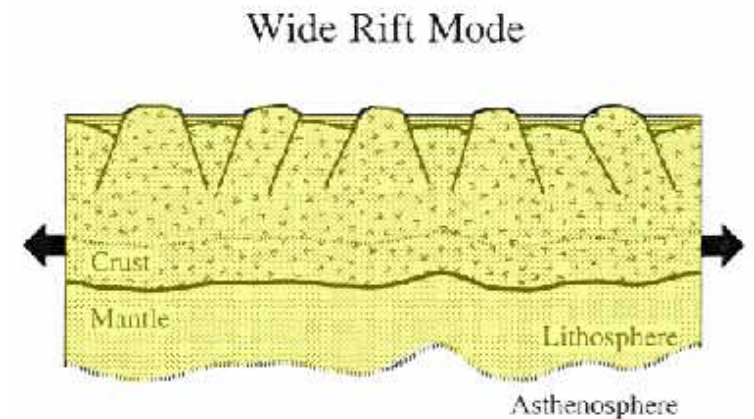
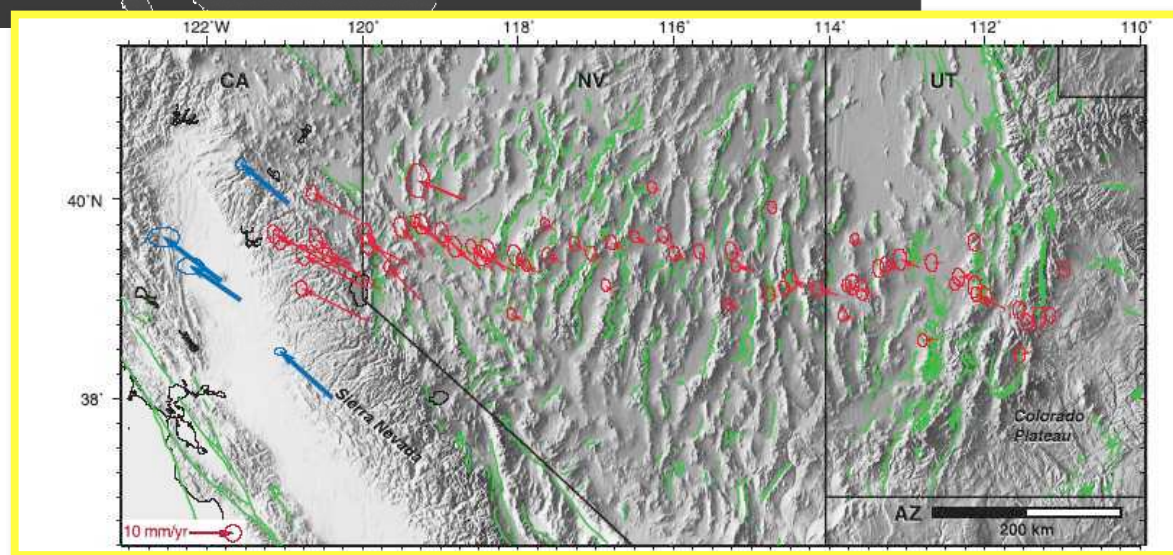
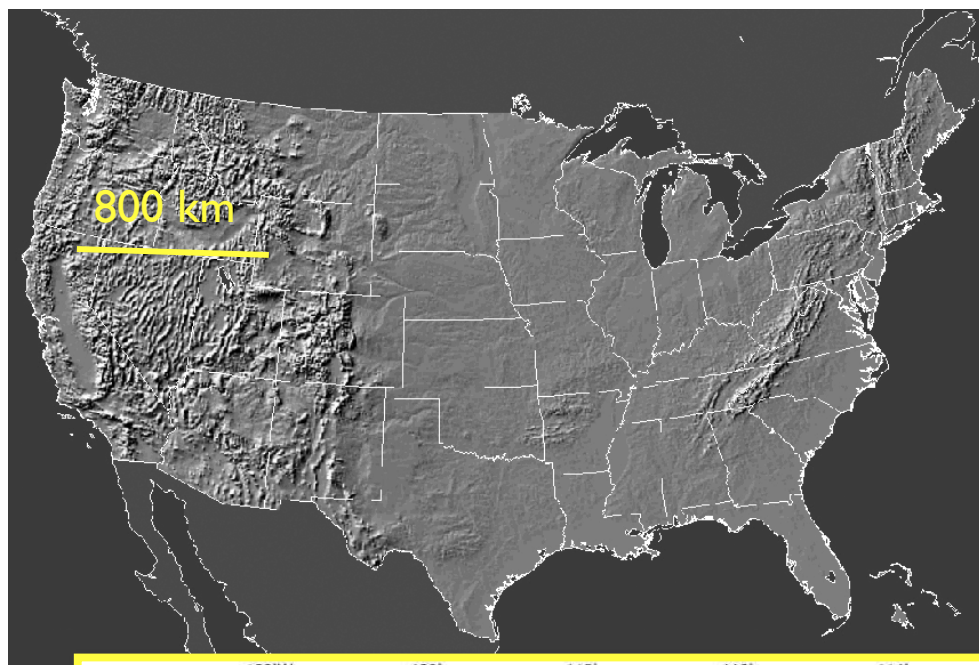


[www.ipgp.jussieu.fr/files_lib/
307_2001_AGU_insights%20into%20baikal.pdf](http://www.ipgp.jussieu.fr/files_lib/307_2001_AGU_insights%20into%20baikal.pdf)



Multichannel seismic reflection line across central part of Lake Baikal showing seismic
[http://marine.usgs.gov/fact-sheets/baikal/
baikal-2.gif](http://marine.usgs.gov/fact-sheets/baikal/baikal-2.gif)

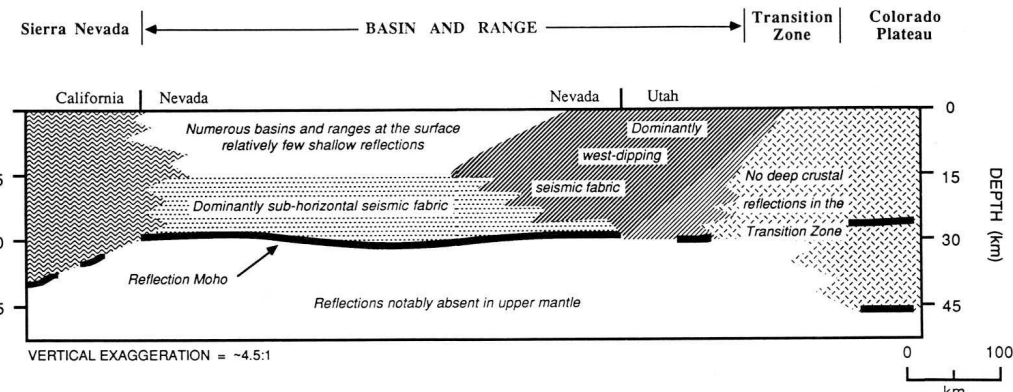
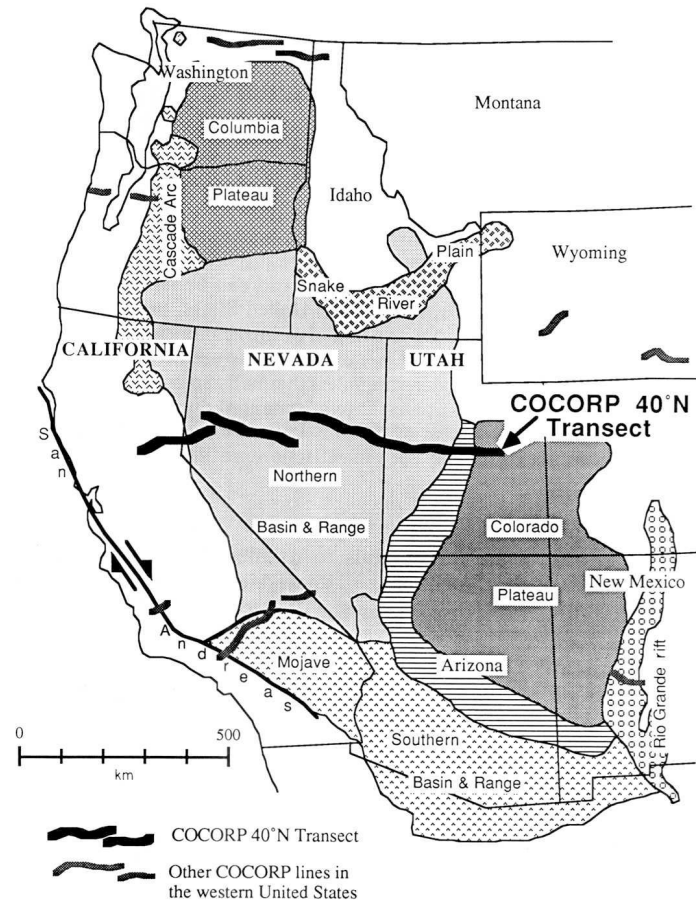
wider rifts



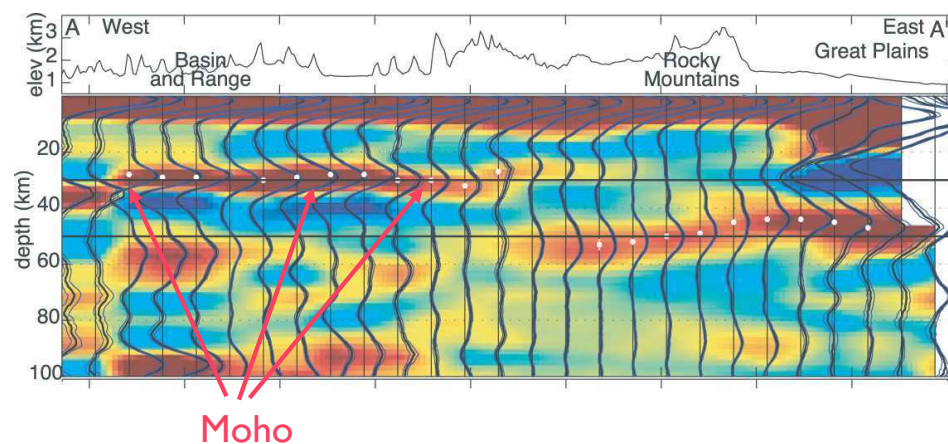
Die Verformung (gelbe Fläche) ist „delokalisiert“ (homogen verteilt) und reicht bis in den Mantel hinein

Buck, 1991, J. Geophys. Res.

Flachliegende Moho unterhalb der Basin and Range



Allmendinger, 1987

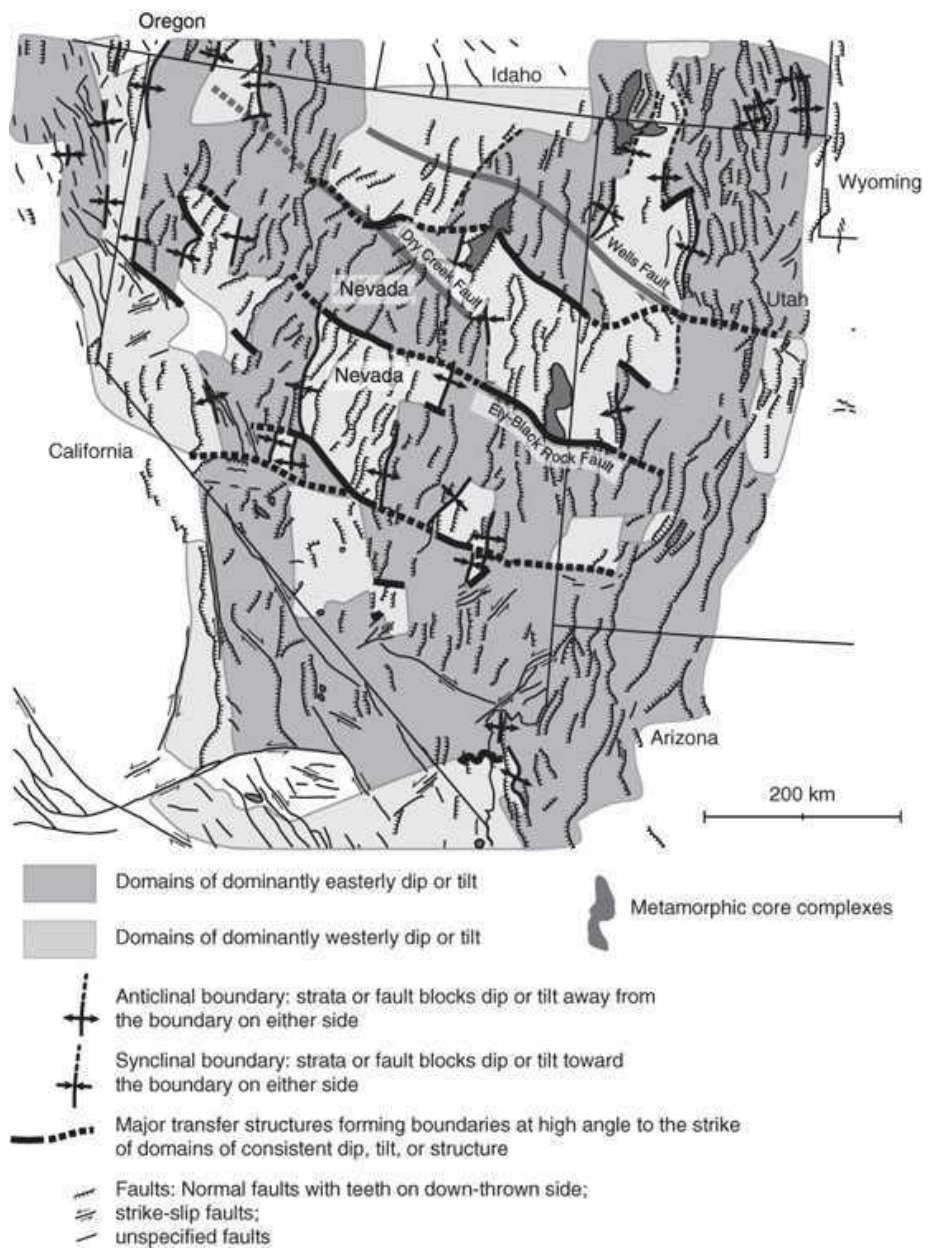
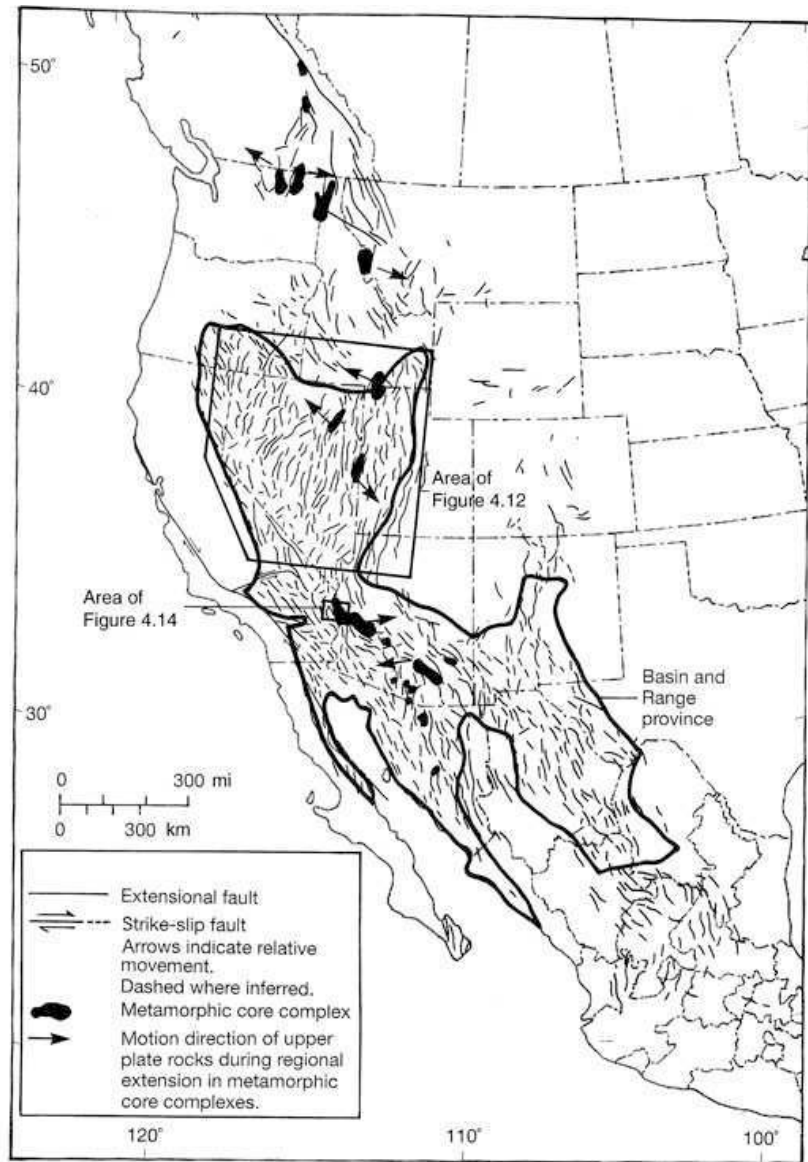


Gilbert and Sheehan, 2004, J. Geophys. Res.

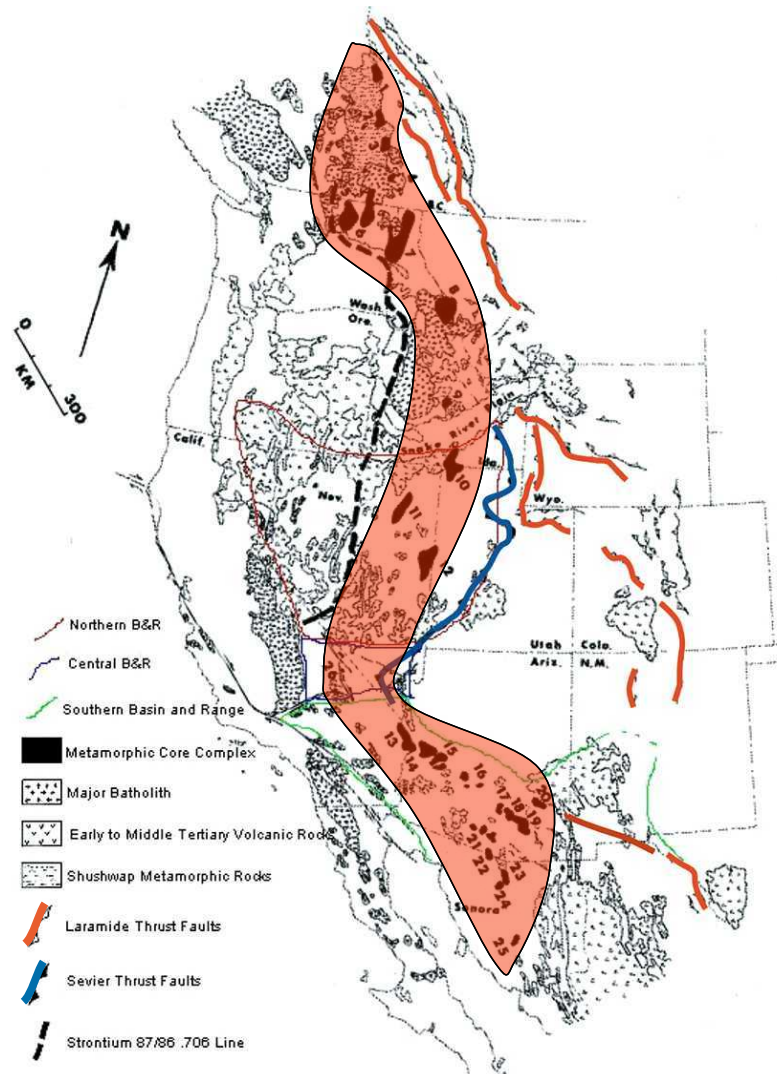
metamorphic core complexes (MCC)

(Beilagen z.T. modifiziert nach Claudio Rosenberg)

Beispiel: Western USA



Geschichte und Definition



Mitte des 20. Jahrhunderts wurden hochmetamorphe Gebiete westlich der N-Amerikanische Kordillere, mit Durchmesser von bis > 100 km auskartiert.

Typisch:

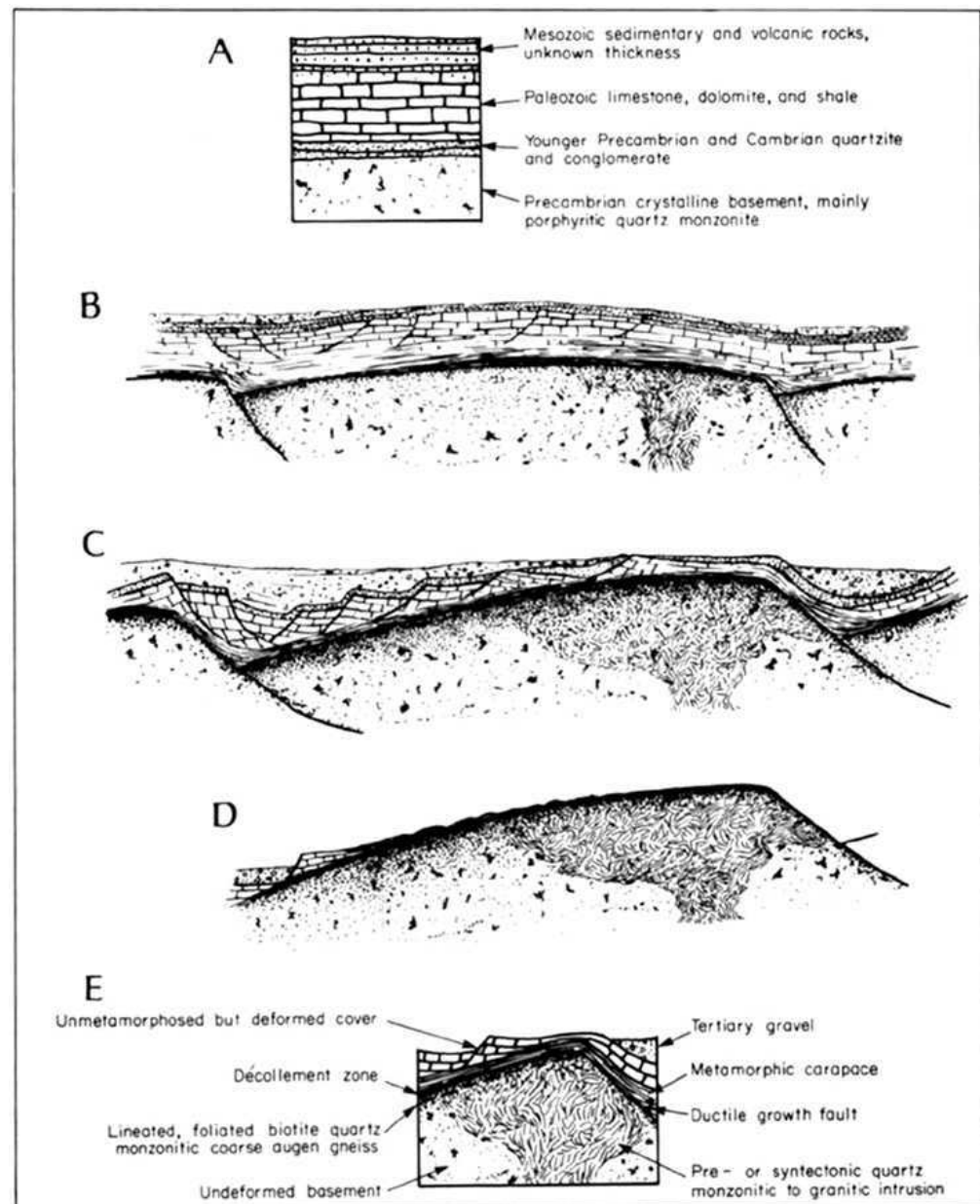
- Domartige Aufwölbung der Hochmet. Einheit
- Scharfe Grenze zur darüberliegende unmet. Einheit
- Grenze fällt zusammen mit flachliegende Störung(Detachment, Décollment)

→ Allgemeiner Begriff: Metamorphic Core Complex.

- von Canada bis Mexico, westlich der Vorlandsüberschiebungen der Laramiden/Sevier Orogenese
- tiefste strukturelle Niveaus sind in der Axialzone aufgeschlossen, manchmal als Gneissdome

Frage: MCC Gürtel = Axialzone des Laramiden/Sevier Orogen ?

→ man versuchte EIN tektonisches Bild zu entwerfen der die Core Complexes UND die Vorlandüberschiebungen miteinschliesst

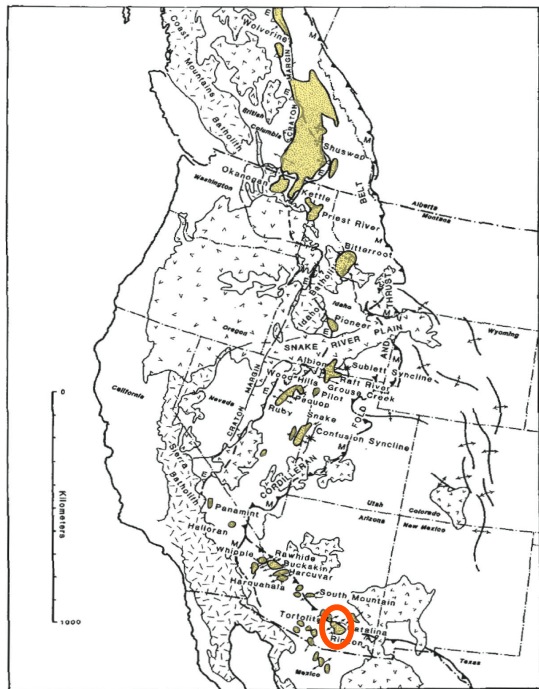


Ende der '70er Jahre konnten Entwicklungsmodelle gezeichnet werden, die sich kaum von den heutigen unterscheiden.

Die obere Einheit wird durch Abschiebungen progressiv ausgedünnt.

Dabei findet die Hebung und Exhumation der unteren, hoch metamorphen Einheit statt.

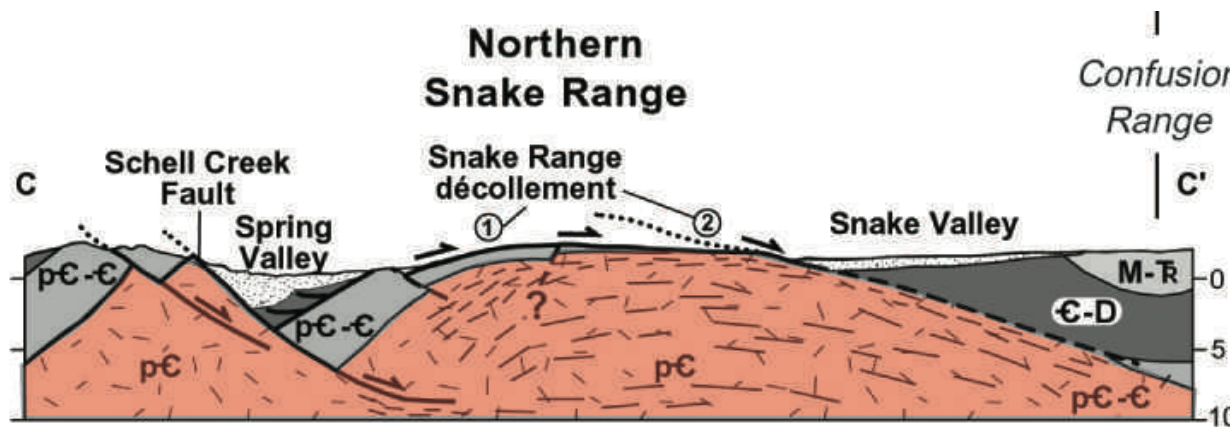
Geometrie, Struktur, Metamorphose



Asymmetrischer Dom der hochmetamorphen unteren Einheit.

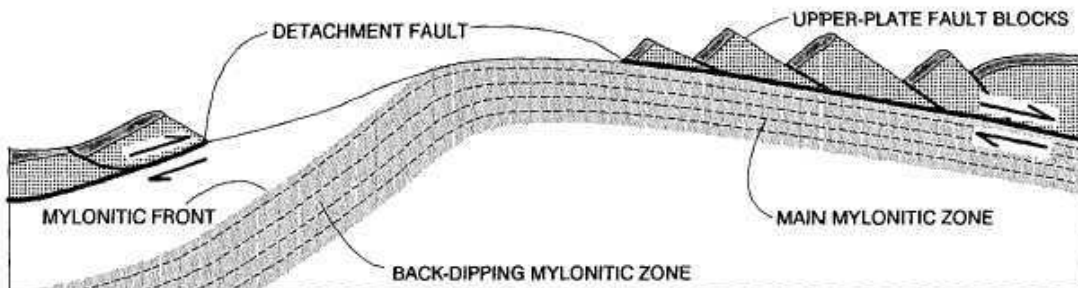
Ein Schenkel ist flacher und länger.
Dieser ist vom Detachment überprägt.

Der zweite Schenkel ist kürzer, steiler,
nicht vom Detachment überprägt.



Miller et al., 1999, GSA Bull

Geometrie, Struktur, Metamorphose



South Mountain, Arizona, U.S.A., Reynolds and Lister, 1990, Geology

Wenn beide Seiten des Doms durch Scherzonen begrenzt sind kann die eine Seite eine scheinbare Überschiebung darstellen.

→ ursprüngliche Abschiebung wurde während der Hebung der unteren Einheit verfaltet

→ scheinbare Überschiebung

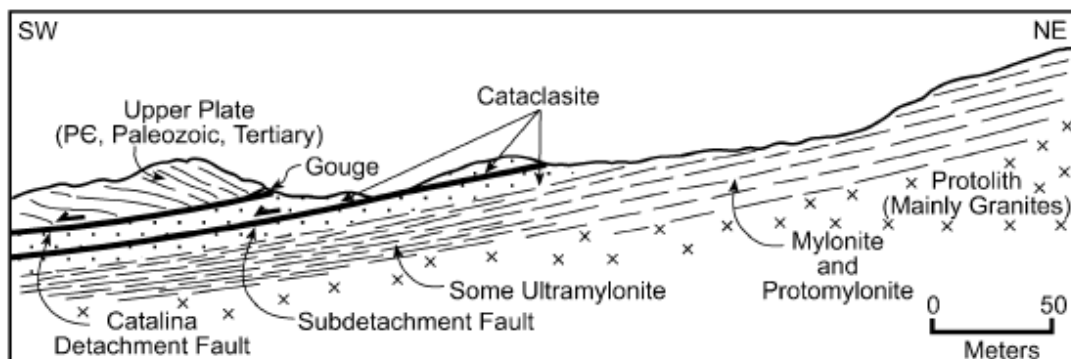
Detachment

Zunahme der Verformungsintensität

- Kaum verformter Granitoid
- Mylonite
- Ultramylonite

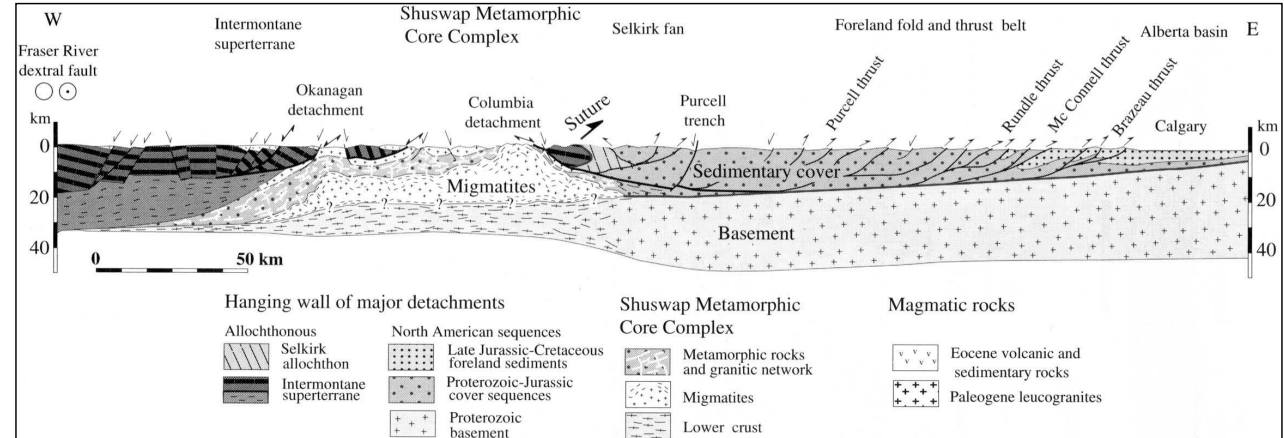
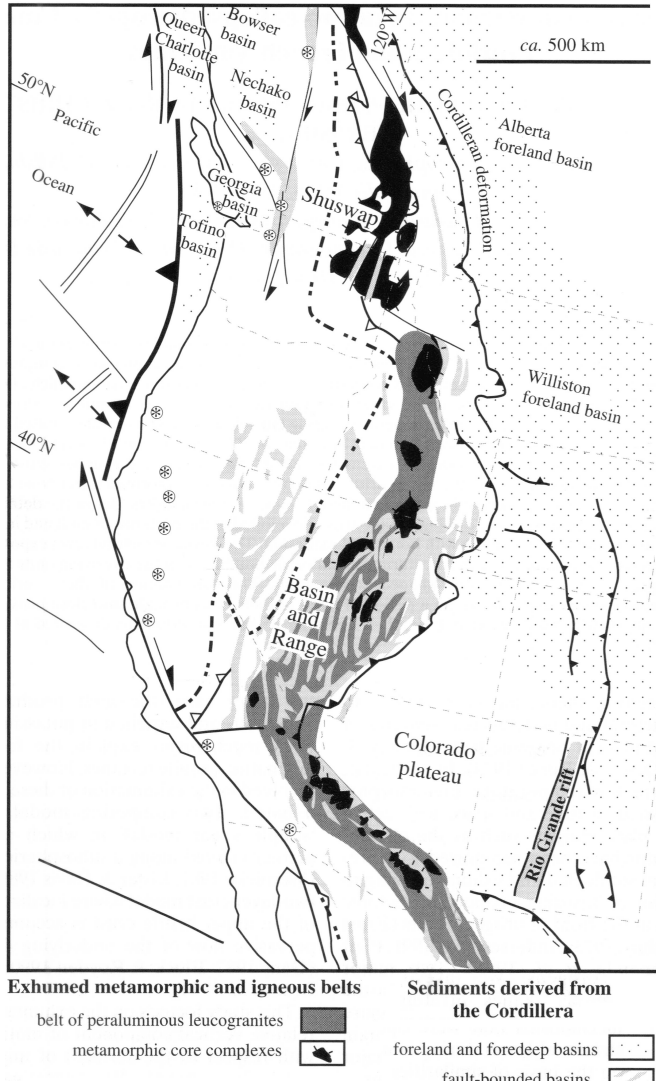
Spröd-duktiler Übergang

- Mylonite
- Kataklastite



Davies et al. 2004, GSA Bull.

Beispiel Nordamerikanische Kordilliere

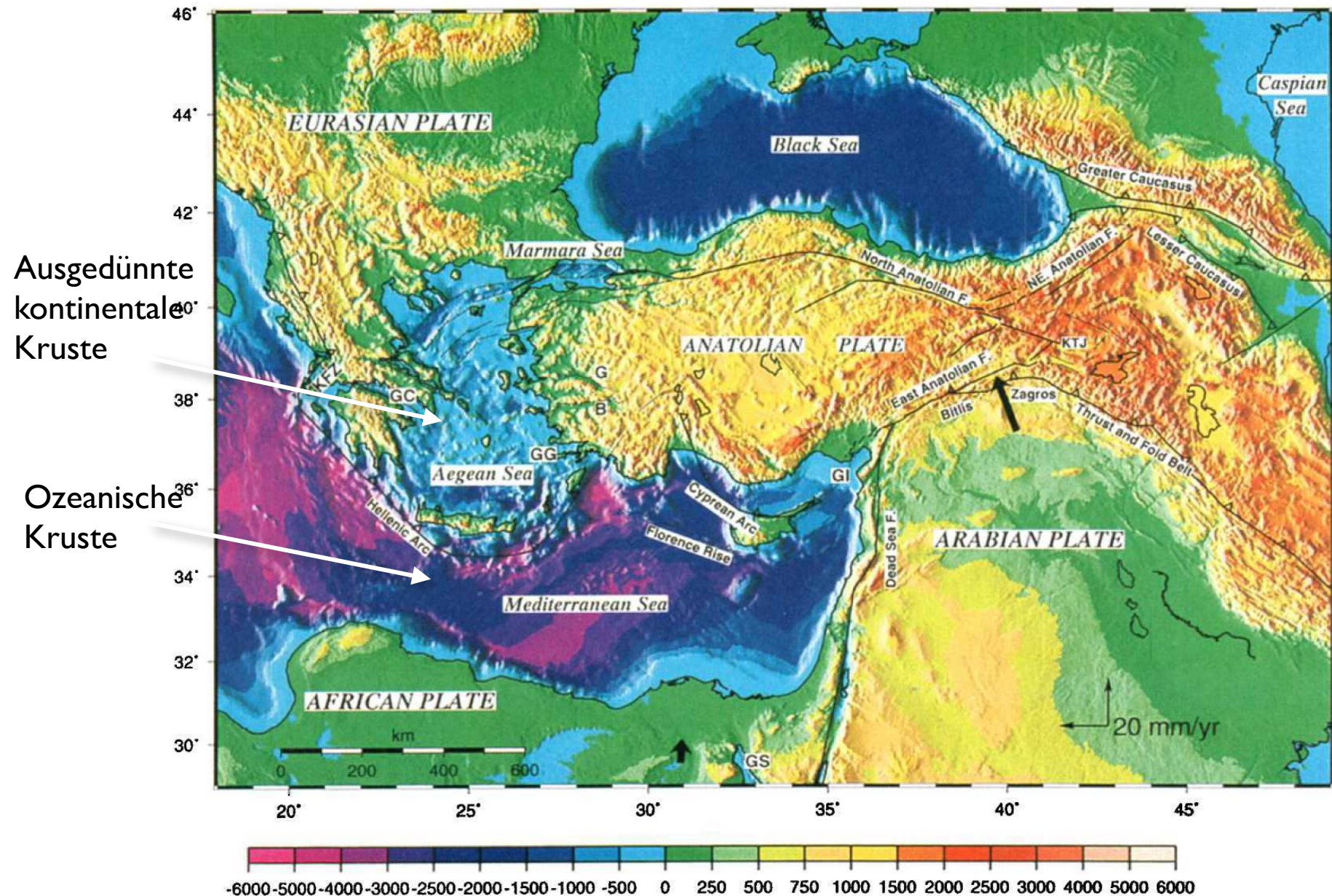


Verformung ist stark lokalisiert, reicht aber nicht bis in den Mantel

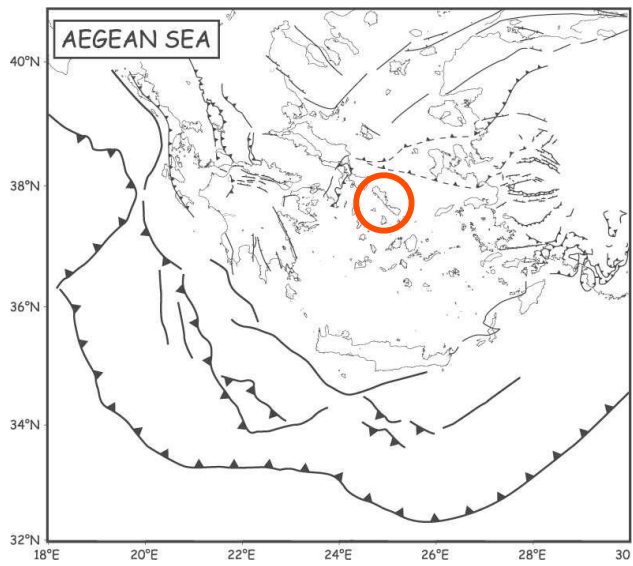
die entstehenden Mächtigkeitsunterschiede der oberen Kruste werden durch das Fliessen der unteren Kruste komplett ausgeglichen

→ MOHO ist flach

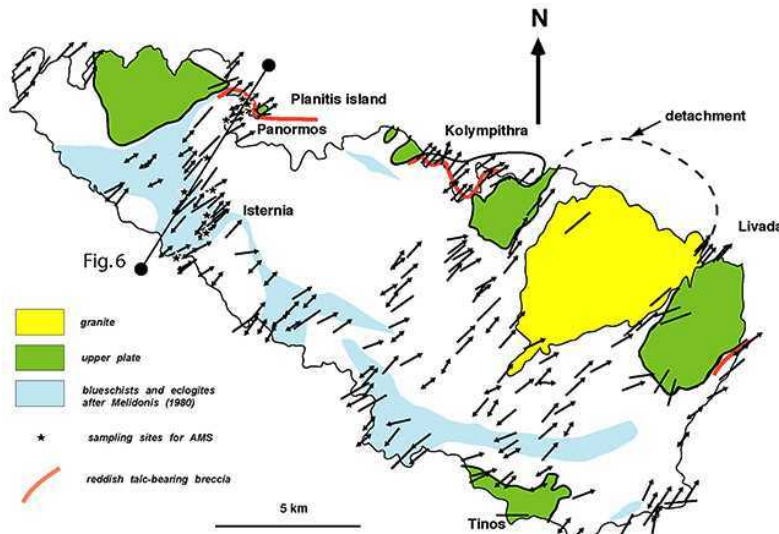
Beispiel Ägäis



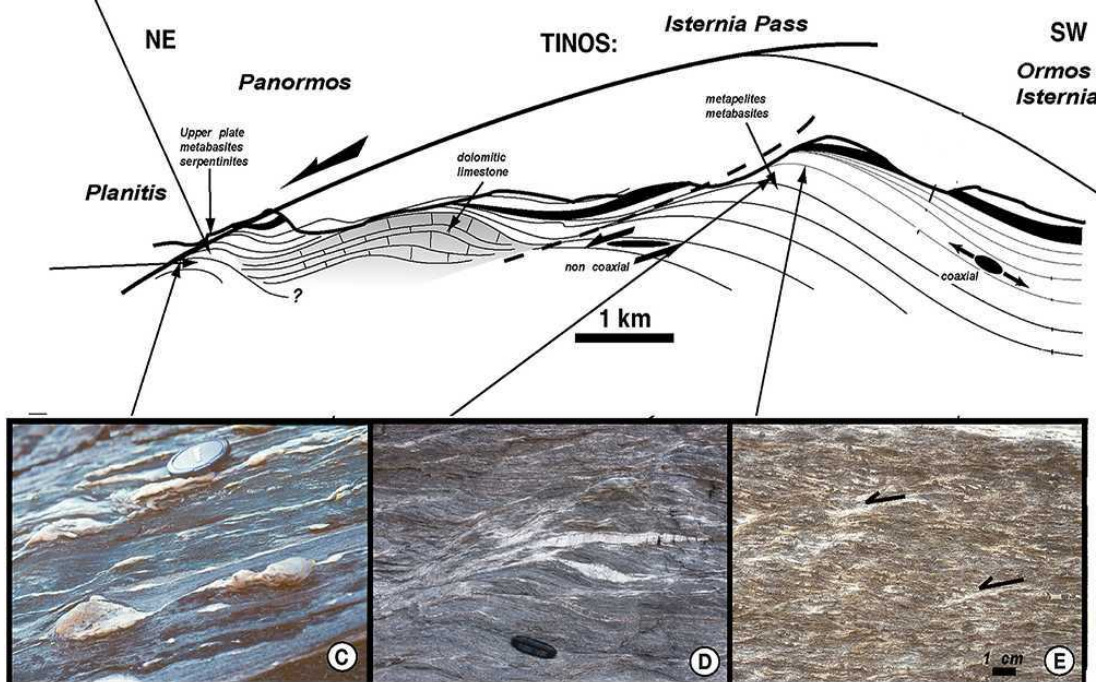
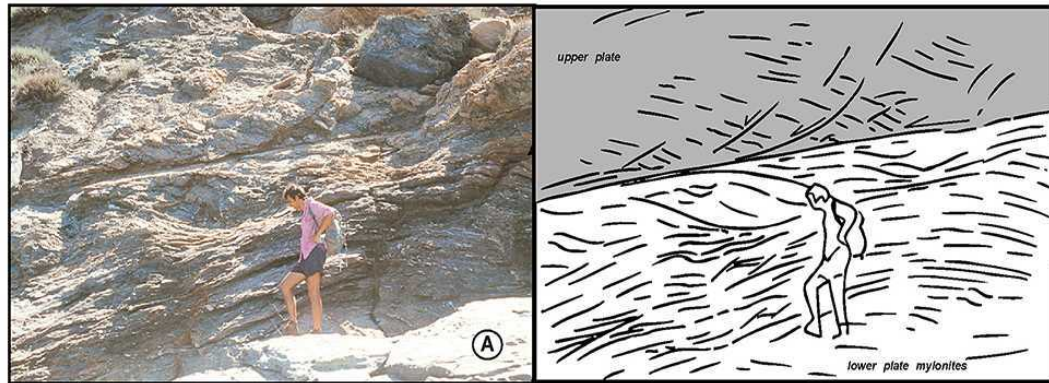
Beispiel Tinos



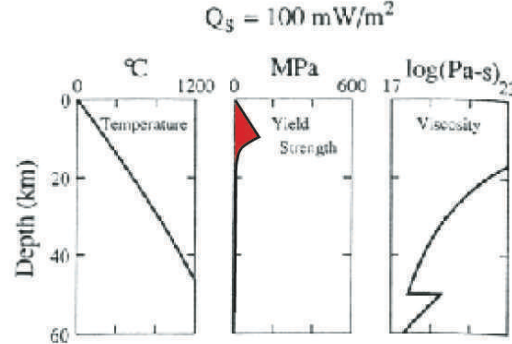
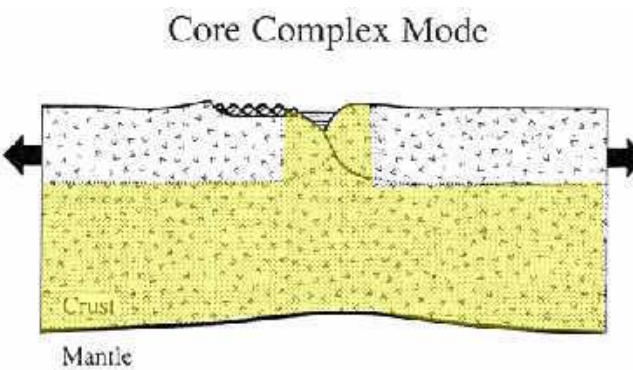
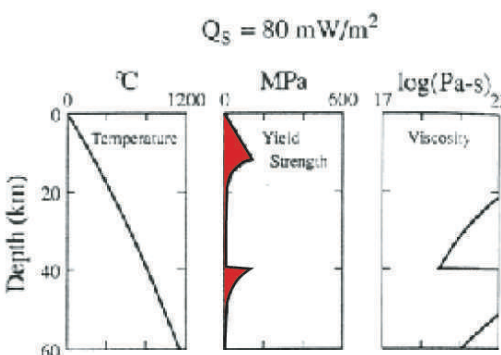
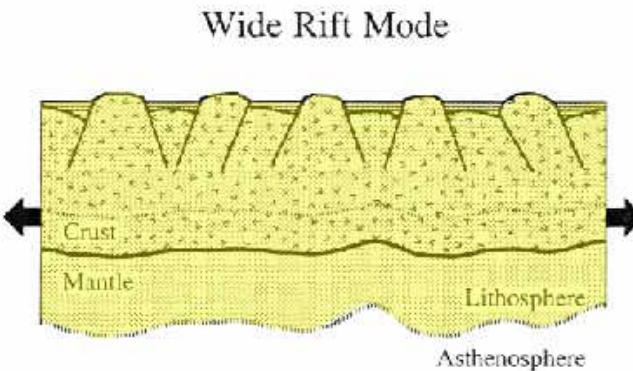
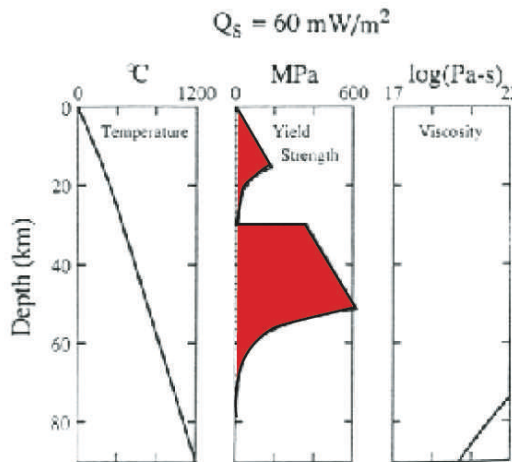
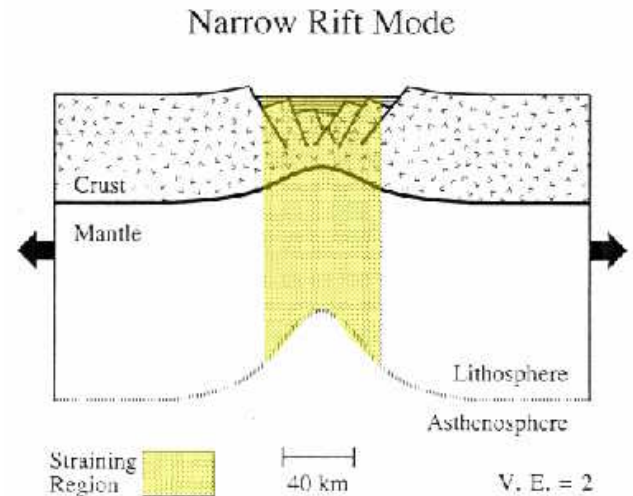
Jolivet et al., 2004, GSA Spec. Paper



Die Brekzien und die Mylonite zeigen den selben Schersinn:
→ EINE Deformationsgeschichte, die sowohl im duktilen
als auch im spröden Bereich der Kruste aktiv ist



Entstehung eines MCC



Niedriger geothermischer Gradient: die Festigkeit der Kruste dominiert über die gravitativen Gradienten

→narrow rift

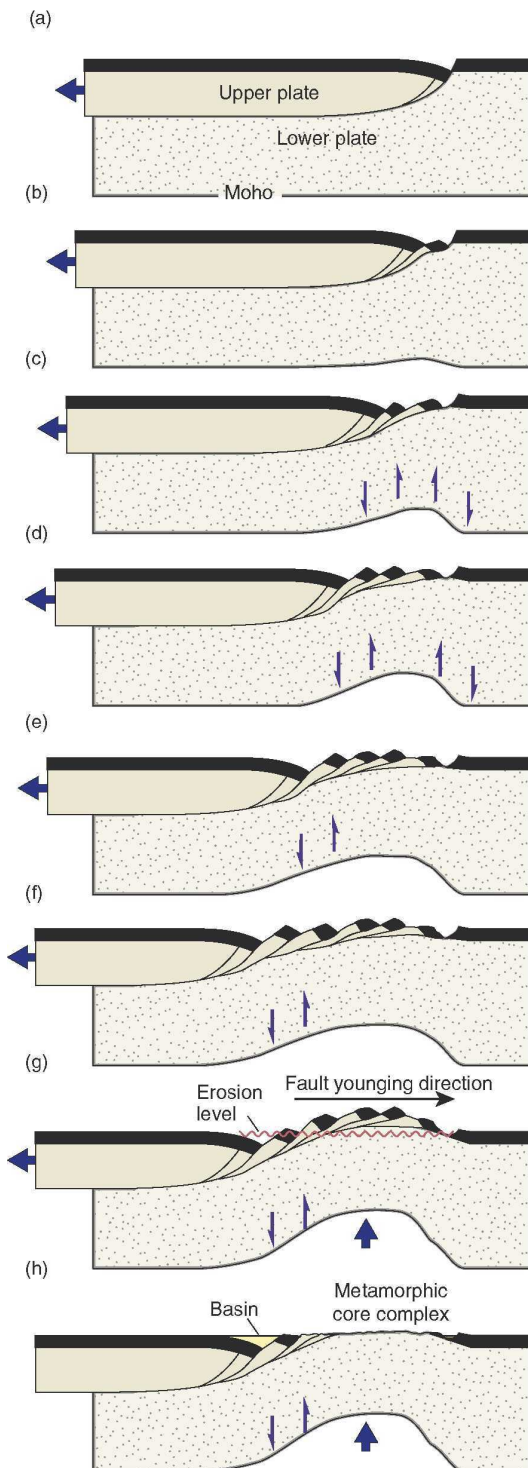
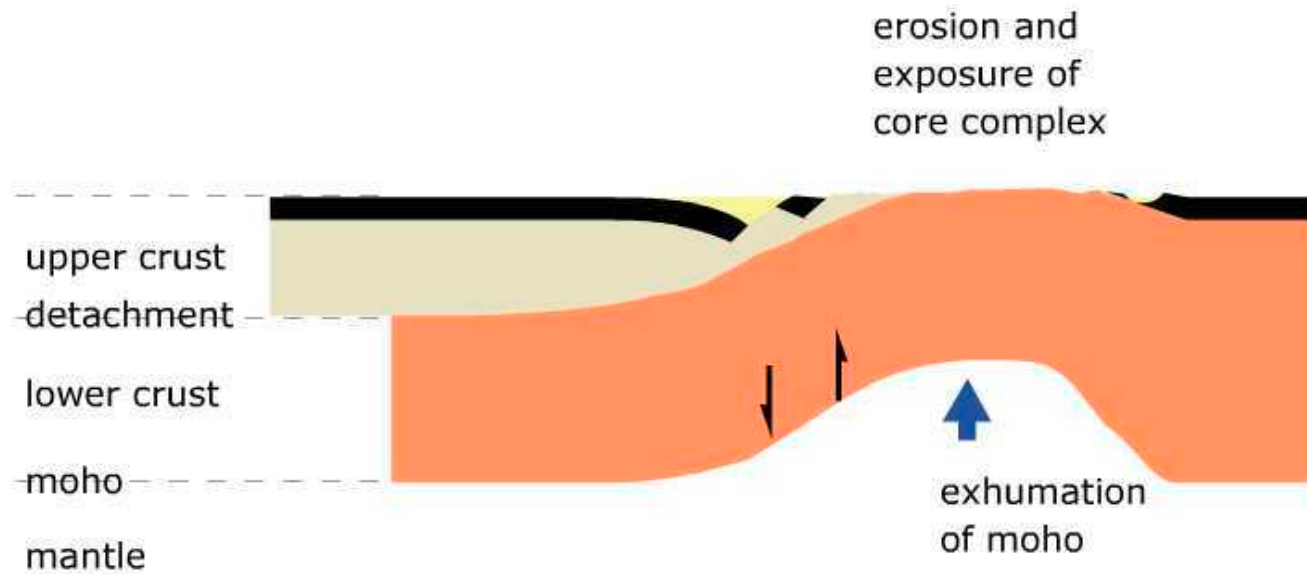
Höherer geothermischer Gradienten: gravitative Kräfte nehmen relativ zur Festigkeit zu

→wide rift

Sehr hoher geothermischer Gradienten: schnelles Fliessen der unteren Kruste reduziert die Gradienten der gravitativen Kräfte, in der oberen Kruste kann die Extension lokalisiert bleiben, während die untere Kruste homogen ausgedünnt wird

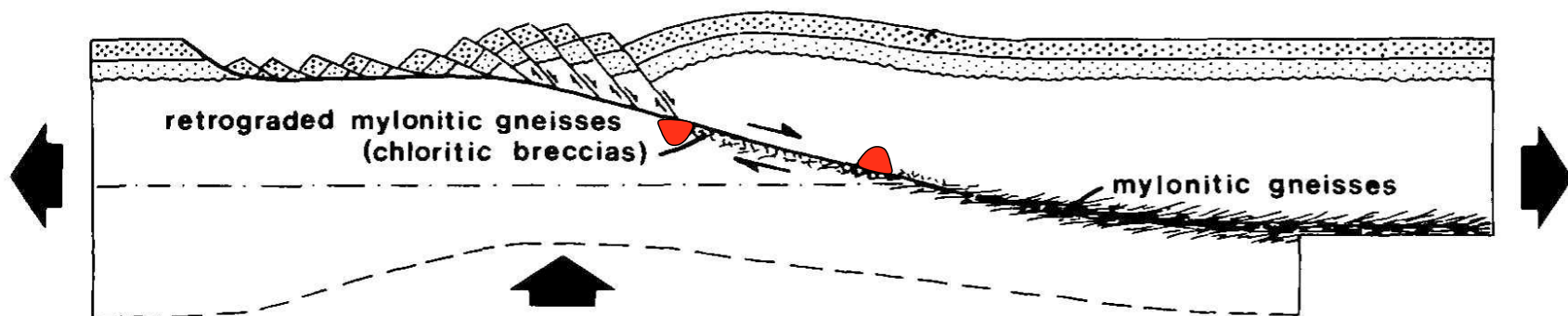
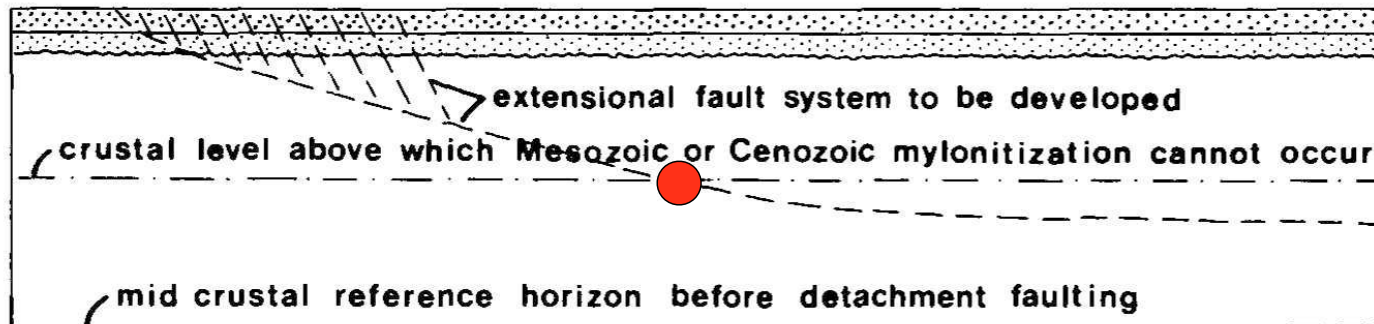
→core complex

development of MCC

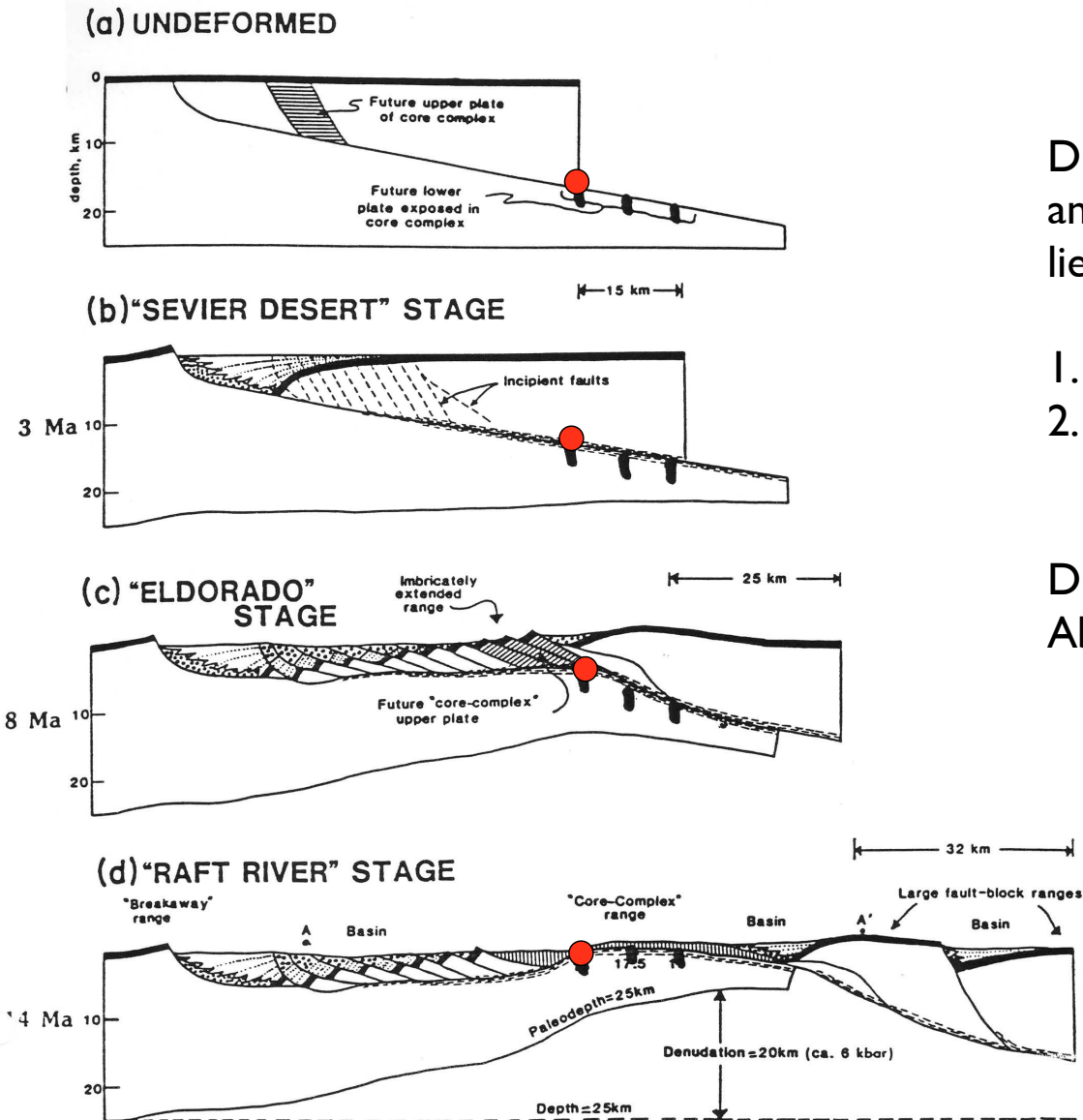


development of MCC

Unterhalb der spröd-duktilen Grenze bilden sich Mylonite. Ein Teil dieser Mylonite wird mit der unteren Platte exhumiert und kataklastisch überprägt.



development of MCC



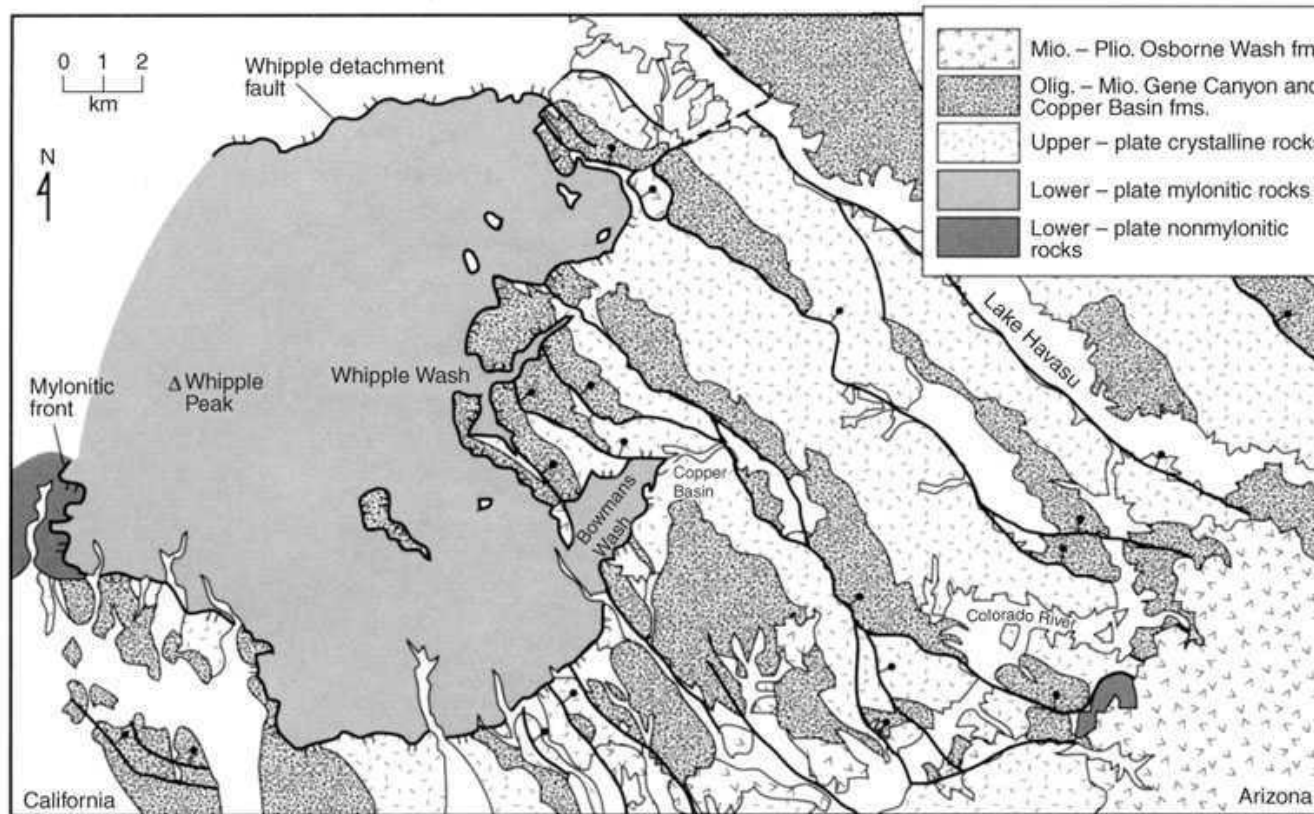
Die Materialpunkte, die an der Oberfläche am nächsten zur Abschiebungsfäche liegen, sind diejenigen die

1. zuletzt exhumiert worden sind
2. aus dem tiefsten Strukturniveau stammen (roter Punkt)

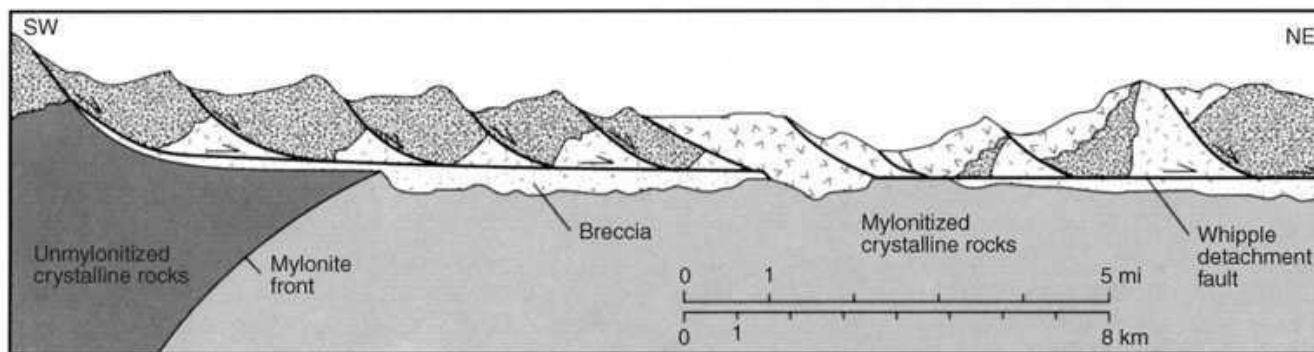
Diese Interpretation lässt sich anhand von Abkühlungsalter erhärten

low angle detachment
faults (LANF)

low angle detachment faults



A.



B.

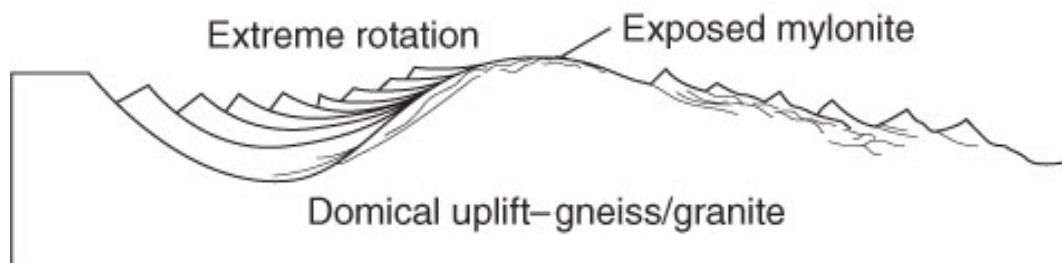
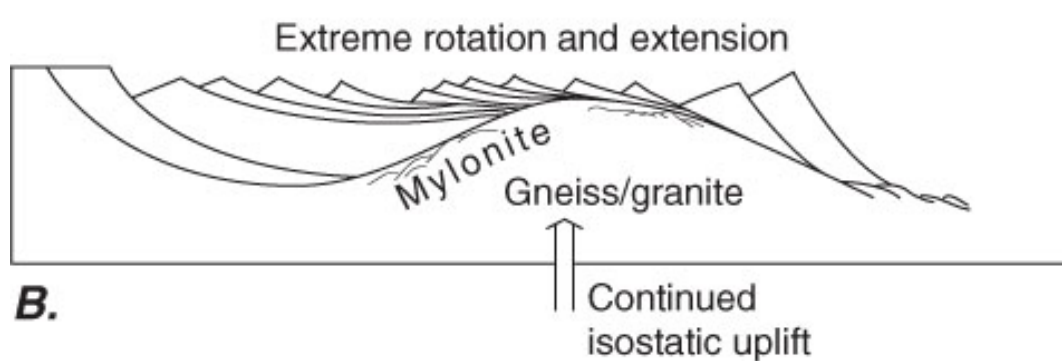
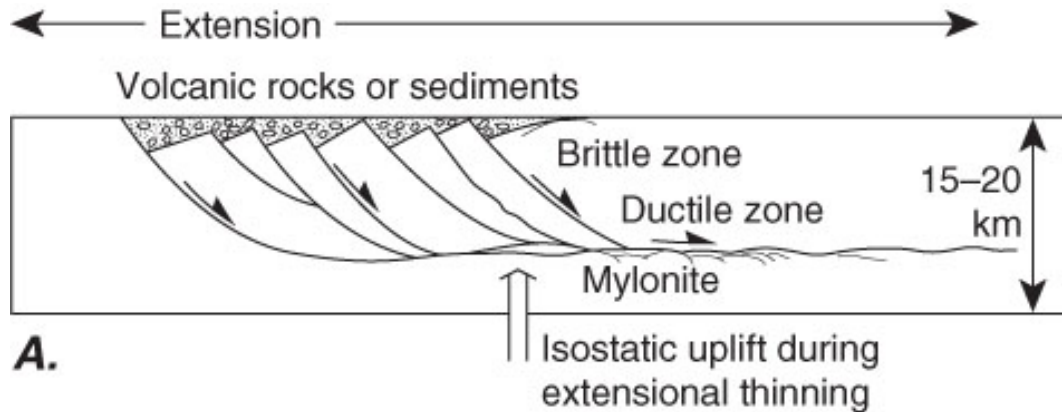
low angle detachment faults



Example: Whi

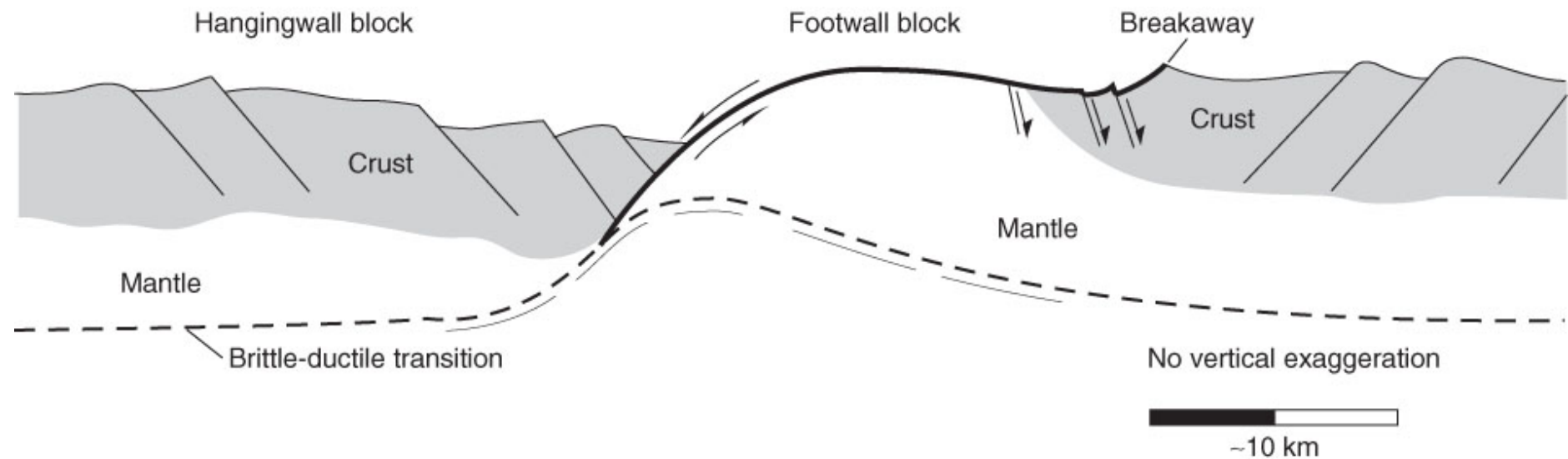
Example: Western Chemehuevi Mountains

low angle detachment faults

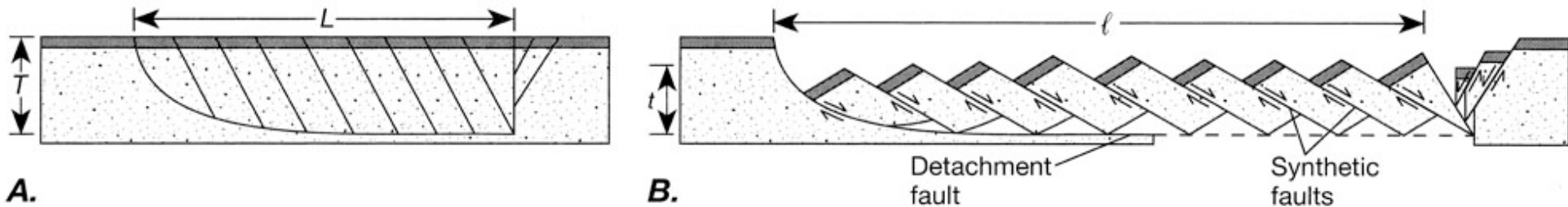


may unroof metamorphic core complexes
due to isostatic uplift
→
cataclasites and mylonites may form

low angle detachment faults



B.



A.

B.